

INFORME, CUARTA TEMPORADA
PROYECTO ARQUEOLÓGICO CHINIKIHÁ
2011



México D.F., Febrero de 2012

PROYECTO ARQUEOLÓGICO CHINIKIHÁ

INFORME TEMPORADA 2011



DIR. RODRIGO LIENDO STUARDO

Con la colaboración de:

Joshua Balcells González
Arianna Campiani
Atasta Flores Esquivel
Socorro del Pilar Jiménez Álvarez
Daniel Juárez Cossío
Javier López Mejía
Nicoletta Maestri
Esteban Mirón Marván
Luis Núñez Enríquez
Flavio Silva de la Mora
Felipe Trabanino García
Carlos Miguel Varela Scherrer

ÍNDICE

LISTADO DE FIGURAS

AGRADECIMIENTOS

INTRODUCCIÓN

p. 1

CAPÍTULO 1. LEVANTAMIENTO TOPOGRÁFICO EN LOS SITIOS
CHINIKIHÁ, CHIAPAS Y BOCA CHINIKIHÁ, TABASCO

p. 6

CAPÍTULO 2. ANÁLISIS URBANO Y ARQUITECTÓNICO DE CHINIKIHÁ, CHIAPAS.
INFORME FINAL

p. 37

p. 68

CAPÍTULO 3. OPERACIONES EXTENSIVAS 161, 167, 143 Y 144

CAPÍTULO 4. ÚLTIMA ETAPA DEL SONDEO INTENSIVO EN CHINIKIHÁ

p. 132

CAPÍTULO 5. OPERACIÓN 114

p. 158

CAPÍTULO 6. LAS SEPULTURAS

p. 178

CAPÍTULO 7. PALEOETNOBOTÁNICA Y PALEOAMBIENTE

p. 225

CAPÍTULO 8. PROSPECCIÓN ARQUEOLÓGICA EN LOS GRUPOS G, B, Y C.

p. 239

CAPÍTULO 9. INFORME PRELIMINAR DE LAS EXCAVACIONES EN EL SITIO DE BOCA
CHINIKIHÁ, TEMPORADA 2011

p. 275

p. 320

CAPÍTULO 10. PROGRAMA DE CONSERVACIÓN: INFORME DE ACTIVIDADES EN EL
SITIO DE CHINIKIHÁ, CHIAPAS.

p. 333

CAPÍTULO 11. ANÁLISIS PRELIMINAR DEL MATERIAL ARQUEOFAUNÍSTICO DEL
SITIO DE CHINIKIHA, CHIAPAS TEMPORADA 2010

p. 340

ANEXO 1. ANÁLISIS DEL MATERIAL CERÁMICO DE LA OPERACIÓN 114

ANEXO 2. ELEMENTOS

ANEXO 3. CONJUNTOS ARQUITECTÓNICOS DE CHINIKIHÁ

ANEXO 4. INFORME PRELIMINAR DEL ANÁLISIS DESCRIPTIVO REALIZADO A LAS
FIGURILLAS DE CHINIKIHÁ, CHIAPAS

BIBLIOGRAFÍA

LISTADO DE FIGURAS

CAPÍTULO 1

Fig. 1. Mapa compilado de Chinikihá, temporadas 2008 y 2010

Fig. 2. Cobertura topográfica temporadas 2008, 2010 y 2011

Fig. 3. Sitio arqueológico Chinikihá, mapa compilado de las temporadas 2008, 2010 y 2011

Fig. 4. Sitio arqueológico Chinikihá, definición de grupos arquitectónicos

Fig. 5. Modelo digital de elevación

Fig. 6. Modelo digital de elevación, con imagen satélite incrustada

Fig. 7. Modelo digital de elevación, con imagen satélite incrustada

Fig. 8. Sitio arqueológico Boca Chinikihá temporada 2010

Fig. 9. Cobertura topográfica temporadas 2010 y 2011

Fig. 10. Sitio arqueológico Boca Chinikihá, mapa compilado de las temporadas 2010 y 2011

Fig. 11. Sitio arqueológico Chinikihá, nomenclatura de estructuras temporada 2010 y 2011

Fig. 12. Sitio arqueológico Boca Chinikihá. Modelo digital de observación

Fig. 13. Sitio arqueológico Boca Chinikihá. Modelo digital de elevación con foto satelital incrustada

Fig. 14. Sitio arqueológico Boca Chinikihá. Modelo digital de elevación con foto satelital incrustada

Tabla 1. Estructuras registradas por temporada en cada grupo

Tabla 2. Lista de coordenadas por estación de las temporadas 2008, 2010 y 2011, referencia Norte Magnético

Tabla 3. Listado de dimensiones de estructuras en metros, temporadas 2008, 2010 y 2011

Tabla 4. Registro y dimensiones por temporada de elementos arquitectónico en metros

CAPÍTULO 2

Fig. 2.1. Mapa final de Chinikihá con evidenciados los conjuntos arquitectónicos

Fig. 2. 2. El área ocupada por las bocas de captación de agua que conforman un espacio libre de estructuras

Fig. 2. 3. El área sur, sureste del sitio, ocupada por conjuntos discretos en las alturas

Fig. 2. 4. Parte de muro interior de la estr. K-17

Fig. 2. 5. Acceso al cuarto abovedado del CHK/K94

Fig. 2. 6. Ventana en forma de “Ik” de la estr. K-5 del CHK/K94

Fig. 2. 7. La parte de la crujía de la estr. K-5 que se desarrolla en sentido este-oeste, apoyándose finalmente a la ladera del cerro

Fig. 2. 8. La aguada de Chinikihá fotografiada desde el sur

- Fig. 2. 9. Frente Norte del basamento del conjunto CHK/K93
- Fig. 2. 10. El conjunto CHK/L100 desde norte
- Fig. 2. 11. Los dos niveles de contención del basamento del conjunto CHK/L104
- Fig. 2. 12. El frente del conjunto CHK/C110
- Fig. 2. 13. Propuesta de “conjuntos de élite” en Chinikihá
- Fig. 2. 14. Muro interior sur de la crujía abovedada de la estr. I-25
- Fig. 2. 15. Reconstrucción hipotética de la estr. N del CHK/D87
- Fig. 2. 16. El conjunto CHK/A147
- Fig. 2. 17. Los conjuntos CHK/I120, 121
- Fig. 2. 18. Mampostería de la estr. A-32 del conjunto CHK/A147
- Fig. 2. 19. Mampostería de la estr. I-11 del conjunto CHK/I120
- Fig. 2. 20. Levantamiento y reconstrucción hipotética del corte del edificio A-9, “Gran Pirámide”
- Fig. 2. 21. Frente sur del edificio A-9, en correspondencia de la junción entre las dos estructuras que conforman el edificio final
- Fig. 2. 22. Frente norte estr. A-9, en correspondencia de la junción entre las dos estructuras que conforman el edificio final
- Fig. 2. 23. Identificación de los conjuntos de las II etapas constructiva
- Fig. 2. 24. Mapa de los conjuntos de élite (en morado) cruzado con la indicación de los conjuntos de la II etapa constructiva (en azul)
- Fig. 2. 25. Los accesos (o salidas) al sitio son indicados por las flechas amarillas, las estructuras evidenciadas en rojo son las que pueden haber vigilado estos lugares, creando entre ellas una red de control
- Fig. 2. 26. Indicación de las posibles rutas de circulación arriba de los cerros y del acceso desde el sur de Chinikihá
- Fig. 2. 27. Esquemmatización de las barreras internas a Chinikihá para el control de flujos
- Fig. 2. 28. Sectores identificados por barreras “físicas y naturales” al interior de Chinikihá
- Fig. 2. 29. Grupos propuestos para Chinikihá
- Fig. 2. 30. Los grupos propuestos para Chinikihá en una imagen que muestra como la topografía interviene en la separación de lugares
- Fig. 2. 31. Chinikihá desde el sur
- Fig. 2. 32. Chinikihá desde el norte
- Fig. 2. 33. Entre los grupos identificados se han evidenciado (en morado) los conjuntos que sobresalen pro características formales y volumen construido
- Fig. 2. 34. Extracción de material del conjunto CHK/D77
- Fig. 2. 35. Crujía del “cuarto de los murciélagos”
- Fig. 2. 36. El frente sur del edificio A-9

CAPÍTULO 3

Figura 3.1 Localización general del grupo D – Estructura D- 4 (Mapa de Chinikiha)

Figura 3.2 Vista general de las Estructuras D-4 Norte y D-4 Poniente y localización de calas de excavación

Figura 3.3 Vista parcial de las Calas 1 y 2 y rasgos arquitectónicos.

Figura 3.4 Vista general de Cala 1 antes de excavación.

Figura 3.5 Vista general de Cala 1

Figura 3.6 Dibujo de Corte Este – Oeste de Cala 1

Figura 3.7 Vista parcial de Cala 1 Nivel 2 piso de grava y tierra compactada - última ocupación

Figura 3.8 Vista general de Cala 1 Nivel 2 – Piso de grava y tierra compactada – última ocupación.

Figura 3.9 Nivel 3, relleno debajo del piso de gravas, Cuadro 1.

Figura 3.10 Vista parcial de Cala 1 Nivel 3, relleno debajo de piso.

Figura 3.11 Cuadro 1 –Transición entre niveles 3 y 4.

Figura 3.12 Cuadro 1 – Parte inferior de nivel 4.

Figura 3.13 Cuadros 1 y 2 – Piso de estuco y vista general de niveles.

Figura 3.14 Cuadros 1 y 2 – Piso de estuco y vista general de niveles.

Figura 3.15 Vista general de las áreas con piso estucado y niveles de relleno en Cala 1.

Figura 3.16 Cuadro 1 Nivel 5.

Figura 3.17 Detalle de los niveles debajo del piso estucado (Niveles 5 – 11).

Figura 3.18 Niveles indicados en Cuadro 1 – Perfil Sur

Figura 3.19 Cuadro 1 Nivel 1.

Figura 3.20 Mano de metate.

Figura 3.21 Cuadro 1 Nivel 2.

Figura 3.22 Detalle de Nivel 1 y 2.

Figura 3.23 Cuadro 1 Nivel 3

Figura 3.24 Muro y detalle de niveles en Cuadro 1 - Perfil Poniente.

Figura 3.25 Detalle de Niveles en Cuadro 1 Perfil Norte

Figura 3.26 Cuadro 1 Nivel 5.

Figura 3.27 Cuadro 1 excavado – profundidad total 1.10 m.

Figura 3.28 Cuadro 2 Nivel 1 Perfil Norte.

Figura 3.29 Cuadro 2 Nivel 1 Perfil Poniente.

Figura 3.30 Cuadro 2 Nivel 2.

Figura 3.31 Cuadro 2 y 2 Sur Nivel 3.

Figura 3.32 Entierro No. 18 Cuadro 2 Niveles 3 – 4.

Figura 3.33 Cuadro 2 Nivel 4 – Piso estucado.

Figura 3.34 Cuadro 3 Nivel 1.

Figura 3.35 Cuadro 3 detalle de niveles.

Figura 3.36 Cuadro 3 detalle de niveles 1, 2 y 3.

Figura 3.37 Cuadro 3 relleno constructivo – perfil poniente.

Figura 3.38 Cuadros 3, 4, 5 y 6 – previo a excavación.

Figura 3.39 Cuadro 4 Nivel 1.

Figura 3.40 Cuadros 4, 5 y 6 Nivel 2.

Figura 3.41 Cuadros 4 y 5 Nivel 3 – piso de estuco mezclado con gravas y guijarros.

Figura 3.42 Cuadro 5 transición entre niveles 1 y 2.

Figura 3.43 Cuadro 5 transición entre niveles 2 y 3.

Figura 3.44 Cuadro 6 Nivel 1.

Figura 3.45 Cuadro 6 Nivel 3 vista poniente.

Figura 3.46 Cuadro 6 Nivel 3 vista norte.

Figura 3.47 Cuadro 6 Nivel 3 vista sur.

Figura 3.48 Cuadro 6 transición entre niveles 4 y 5 vista poniente.

Figura 3.49 Cuadro 6 Nivel 5 vista poniente.

Figura 3.50 Cuadro 6 excavación total, vista oriente.

Figura 3.51 Cuadro 10 y 11 antes de excavar.

Figura 3.52 Cuadro 10 y 11 – alineamientos.

Figura 3.53 Cuadro 10 – desplante del primer muro o banqueta.

Figura 3.54 Cuadro 10 y 11 – alineamientos.

Figura 3.55 Cuadro 10 y 11 – alineamientos y posibles restos de piso enlajado.

Figura 3.56 Cuadro 10 y 11 – relleno constructivo

Figura 3.57 Cuadro 11 – vista general al final de la excavación – niveles 1 -11.

Figura 3.58 Cuadro 11 – relleno constructivo Nivel 11.

Figura 3.59 Cuadro 11 – vista general al final de la excavación – niveles 1 - 11.

Figura 3.60 Entierro no. 18 – ubicación y vista general – vista sur.

Figura 3.61 Entierro no. 18 – vista general.

Figura 3.62 Entierro no. 18 – detalle de huesos largos inferiores.

Figura 3.63 Entierro no. 18 – detalle de huesos largos inferiores.

Figura 3.64 Entierro no. 18 – detalle del área pélvica.

Figura 3.65 Entierro no. 18 – detalle del área torácica.

Figura 3.66 Entierro no. 18 – dibujo de planta.

Figura 3.67 Vista general de cala 2, conjunto, plaza y Plataforma D3.

Figura 3.68 Dibujo de corte norte – sur de Cala 2.

Figura 3.69 Vista general de las calas, ocupaciones y niveles dentro del conjunto.

Figura 3.70 Vista parcial de Cala 2 – parte superior de la capa orgánica – Nivel 1 lado sur.

Figura 3.71 Vista parcial de Cala 2 – parte inferior de la capa orgánica – Nivel 1 lado sur.

Figura 3.72 Vista parcial de Cala 2 – parte superior de la capa orgánica – Nivel 1 lado norte.

Figura 3.73 Cuadro 7 - detalle de niveles 7, 8 y 9.

Figura 3.74 Detalle de niveles en la parte central de la Cala 2.

Figura 3.75 Cuadros 8 y 9 – rasgos arquitectónicos en Niveles 4 – 5.

Figura 3.76 Cala 2 – imagen representativa detalles de Niveles 5, 6, 7 y 8 – parte central.

Figura 3.77 Cala 2 Nivel 7 – Cuadros 14 y 15 – escalinatas de acceso.

Figura 3.78 Cuadro 7 – Nivel 8 - parte superior de la capa orgánica.

Figura 3.79 Cuadro 7 – Nivel 9 - alineamientos.

Figura 3.80 Dibujo de corte – Cuadros 7, 8 y 9 – acceso a la estructura última ocupación.

Figura 3.81 Cuadros 7, 8 y 9 – piso estucado y gravas - acceso a la plataforma.

Figura 3.82 Cuadros 7, 8 y 9 – detalle del acceso a la plataforma - última ocupación.

Figura 3.83 Cuadros 1 y 8 – detalle de acceso a la plataforma.

Figura 3.84 Cuadros 7, 8 y 9 – detalle de la reducción del acceso superior a la plataforma – primera ocupación.

Figura 3.85 Dibujo de planta de los cuadros 7 y 8 – última ocupación.

Figura 3.86 Dibujo de planta de la Cala 2 – extensión total de la cala y rasgos arquitectónicos de la última ocupación (excepto en cuadros 8 y 9 ocupación anterior).

Figura 3.87 Acceso a la plataforma desde el patio – 1era ocupación.

Figura 3.88 Detalle de acceso a la plataforma – 1era ocupación.

Figura 3.89 Detalle de metate en el desplante del acceso a la plataforma – 1era ocupación.

Figura 3.90 Cuadro 9 – transición entre niveles 1 y 2.

Figura 3.91 Cuadro 9 – nivel 4.

Figura 3.92 Cuadro 9 – nivel de piso al interior de la plataforma.

Figura 3.93 Cuadro 9 – nivel de piso al interior de la plataforma.

Figura 3.94 Cuadro 12 – transición entre niveles 1 y 2.

Figura 3.95 Cuadro 12 – Nivel 3.

Figura 3.96 Cuadro 12 piso estucado – interior de la plataforma.

Figura 3.97 Cuadro 12 piso estucado – interior de la plataforma.

Figura 3.98 Cuadro 12 Nivel 6.

Figura 3.99 Cuadro 12 Vista general de niveles.

Figura 3.100 Cuadro 12 vista general del relleno constructivo.

Figura 3.101 Cuadro 13 niveles 3, 4, 5 y 6 – escalinatas de acceso al edificio y entrecalle.

Figura 3.102 Cuadro 13 – escalinatas de acceso al edificio y entrecalle.

Figura 3.103 Vista general del acceso a la plataforma.

Figura 3.104 Vista frontal de la Plataforma D – 4 Norte.

Figura 3.105 Detalle de los escalones – acceso a la Plataforma D-4 Norte

Figura 3.106 Vista general de calas rellenas.

Figura 3.107 Vista general de la Cala 1 durante el proceso de relleno.

Figura 3.108 Ubicación del Grupo C – Estructura C – 5 (mapa de Chinikihá)

Figura 3.109 Dibujo de Planta de la Cala 1 Op. 167 – Rasgos arquitectónicos Niveles 1-10.

Figura 3.110 Dibujo de Corte de la Cala 1 Op. 167.

Figura 3.111 Dibujo de Corte de la Cala 2 Op. 167.

Figura 3.112 Vista parcial de Cala 1 Op. 167 – Cuadros 1 – 7.

Figura 3.113 Cuadro 1 Nivel 15.

Figura 3.114 Cuadro 2 Nivel 14 – 15.

Figura 3.115 Cuadro 2 Nivel 14.

Figura 3.116 Vista general de Cala 1.

Figura 3.117 Vista general de Cala 1.

Figura 3.118 Acceso a la plataforma y relleno – protección del piso estucado y muro.

Figura 3.119 Cuadros 13, 14 y 15 rellenos.

Figura 3.120 Protección y relleno de muros consolidados.

Figura 3.121 Cala 1 y 2 durante el proceso de protección de rasgos arquitectónicos y relleno.

Figura 3.122 Relleno de extensión de Cala 1 – Cuadros 10 y 11.

Figura 3.123 Cuadro 3 – alineamientos nivel 13 – 15.

Figura 3.124 Cuadro 3 – Nivel 15.

Figura 3.125 Cuadro 3 Nivel 16.

Figura 3.126 Cuadro 4 Nivel 11 – 12.

Figura 3.127 Cuadro 4 Vista general de Niveles y Altar.

Figura 3.128 Cuadros 4, 5, 6, 10 y 11 – niveles generales.

Figura 3.129 Cuadro 5 Nivel 1 – altar bajo capa orgánica.

Figura 3.130 Cuadro 5 Nivel 2 – altar.

Figura 3.131 Cuadro 5 Altar bajo capa orgánica.

Figura 3.132 Lado sur del Altar.

Figura 3.133 Lado Este del Altar.

Figura 3.134 Extensiones de cala 1 – cuadros 10 y 11, vista desde el norte.

Figura 3.135 Extensiones de cala 1 – cuadros 10 y 11, vista desde el sur.

Figura 3.136 Cuadros 7 – 12 Capa orgánica – antes de excavar.

Figura 3.137 Cuadro 7 y 8 – Escalinatas de acceso a la plataforma.

Figura 3.138 Vista general de las Escalinatas de acceso a la plataforma.

Figura 3.139 Cuadro 12.

Figura 3.140 Cuadros 9 y 12 – piso de la terraza y muro frontal del edificio.

Figura 3.141 Cuadro 12 – piso interior y muro frontal.

Figura 3.142 Cuadro 12 y 13, piso interior y muro posterior.

Figura 3.143 Muro posterior.

Figura 3.144 Muro posterior.

Figura 3.145 Cuadros 14 y 15 Cala 2 Op. 167.

Figura 3.146 Cuadros 14 y 15 Cala 2 Op. 167.

Figura 3.147 Vista parcial de cala 1 durante el proceso de relleno.

Figura 3.148 Vista parcial de cala 1 durante el proceso de relleno.

Figura 3.149 Cuadros 1 – 3 rellenos – Cala 1.

Figura 3.150 Cajones de piedra para proteger arquitectura – proceso de relleno.

Figura 3.151 Proceso de protección de rasgos arquitectónicos.

Figura 3.152. . Acumulación de piedras del deslave del al Estructura F-5 a nivel de superficie

Figura 3.153. Capa 3, piso del patio de la última ocupación. Las piedras grandes corresponden a un elemento arquitectónico de la Estructura F-5 que se desplomaron sobre el piso del patio.

Figura 3.154. Capa III, acumulación de piedras al centro del pozo y parte superior de la Sepultura 17 (parte inferior de la imagen).

Figura 3.155. Operación 143, nivel de la roca madre.

Figura 3.156. Operación 143 tapado al final de la excavación.

Figura 3.157. Perfil norte de la Operación 143.

Figura 3.158. Operación 144, nivel de la superficie. Parte superior de la imagen se nota la Estructura F-6.

Figura 3.159. Capa II. La laja fue el primer indicio del alineamiento de piedras que enmarcaba las sepulturas.

Figura 3.160. Capa III. Empedrado sobre el que desplanta el piso del patio (parte superior de la imagen). Se nota el primer nivel del alineamiento (al centro) y la Capa III-C (parte inferior de la imagen).

Figura 3.161. Capa IV. Se observan sepulturas, alineamiento y piedras de la roca madre

Figura 3.162. Capa IV y ampliación al sur para liberar los extremos de las sepulturas 8 y 22.

Figura 3.163. Excavación de la Operación 144, tapado al final de la excavación.

Figura 3.164. Perfil oeste de la Operación 144.

CAPÍTULO 4

Fig. 4.1 Loma al sur del sitio donde se ubicaron las operaciones 169 y 170

Fig. 4.2 Todas las operaciones excavadas en las temporadas 2005, 2008, 2010 y 2011

Fig. 4.3 Ubicación de la Operación 157

Fig. 4.4 Dibujo de la cubierta de la cista

Fig. 4.5 Dibujo de los restos óseos registrados.

Fig. 4.6 Fotografía de la cubierta de la cista

Fig. 4.7 Fotografía de los restos óseos registrados.

Fig. 4.8 Ubicación de las operaciones 151 y 155

Fig. 4.9 Superficie de la Operación 151

Fig. 4.10 2º Nivelación de la Operación 151

Fig. 4.11 Figurilla del 2º nivel de la operación 155

Fig. 4.12 2º Nivel de la Operación 155

Fig. 4.13 Perfil Este de la Operación 155

Fig. 4.14 Perfil Norte de la Operación 155

Fig. 4.15 Dibujo de los perfiles de la Operación 155

Fig. 4.16 Ubicación de las operaciones 152 y 154

Fig. 4.17 Detalle de la capa de ceniza a 5 cm de profundidad de la operación 152

Fig. 4.18 3° Nivel de la Operación 152

Fig. 4.19 4° Nivel de la Operación 152

Fig. 4.20 Perfil Norte de la Operación 152

Fig. 4.21 Perfil Este de la Operación 152

Fig. 4.22 Dibujo de los perfiles de la Operación 152

Fig. 4.23 Superficie de la Operación 154

Fig. 4.24 1° Nivelación de la Operación 154

Fig. 4.25 Roca Madre de la Operación 154

Fig. 4.26 Perfil Sur de la Operación 154

Fig. 4.27 Perfil Oeste de la Operación 154

Fig. 4.28 Dibujo de los perfiles de la Operación 154

Fig. 4.29 Ubicación de la Operación 158

Fig. 4.30 Mano de metate registrada en el primer nivel de la Operación 158

Fig. 4.31 Dibujo del elemento 151 y la arquitectura registrada en la Operación 158

Fig. 4.32 fotografía de la planta final de la Operación 158

Fig. 4.33 Fotografía del elemento 151

Fig. 4.34 Muro de la Estructura G-26a

Fig. 4.35 Perfil Noroeste de la Operación 158

Fig. 4.36 Perfil Noreste de la Operación 158

Fig. 4.37 Dibujo de los perfiles de la operación 158

Fig. 4.38 Ubicación de las operaciones 153 y 156, en el Grupo H.

Fig. 4.39 Manos de metate del 3° nivel de la Operación 153

Fig. 4.40 Pendiente de hueso de la 5° Nivelación de la Operación 153

Fig. 4.41 Perfil oeste de la Operación 153, con la esquina noreste de la cista de la Sepultura 20

Fig. 4.42 La tapa de la cista y un alineamiento de piedras careadas superpuesto al Entierro 20 descubiertos por la extensión de la Operación 153

Fig. 4.43 Dibujo de los perfiles de la Operación 153

Fig. 4.44 Perfil Norte de la Operación 156

Fig. 4.45 Perfil Este de la Operación 156

Fig. 4.46 Dibujo de los perfiles de la Operación 156

Fig. 4.47 Ubicación de las operaciones 159, 160 y 166, en el Grupo I.

Fig. 4.48 2° Nivel de la Operación 159

Fig. 4.49 Roca madre de la Operación 159

Fig. 4.50 Perfil Oeste de la Operación 159

Fig. 4.51 Perfil Norte de la Operación 159
Fig. 4.52 3° Nivel de la operación 160.
Fig. 4.53 Roca madre de la operación 160.
Fig. 4.54 Perfil Este de la Operación 160
Fig. 4.55 Perfil sur de la Operación 160
Fig. 4.56 Dibujo de los perfiles de la Operación 160.
Fig. 4.57 Dibujo en planta del Muro de la subestructura y la posterior Sepultura 26.
Fig. 4.58 Perspectiva del perfil de la Operación 166 con el alzado del muro
Fig. 4.59 Fotografía del Entierro 26 al oeste del muro de la subestructura.
Fig. 4.60 Dibujo del Perfil Norte de la extensión de la operación 166.
Fig. 4.61 Ubicación de la Operación 168, en el Grupo J.
Fig. 4.62 2° Nivel de la Operación 168
Fig. 4.63 Roca madre de la Operación 168
Fig. 4.64 Perfil Norte de la Operación 168
Fig. 4.65 Perfil Este de la Operación 168
Fig. 4.66 Dibujo de los Perfiles de la Operación 168.
Fig. 4.67 Ubicación de las operaciones 169 y 170, en el grupo J.
Fig. 4.68 Figurilla registrada en la segunda nivelación, con una imagen de Tlaloc.
Fig. 4.69 Perfil Oeste de la Operación 169
Fig. 4.70, Perfil norte de la Operación 169
Fig. 4.71 Dibujo de los perfiles de la Operación 169

CAPÍTULO 5

Figura 5. 1. Detalle Topográfico Operación 114 (2010)
Figura 5.2. Sectores de Ladera [Lmb Ladera media baja], [Lmi Ladera media intermedia], y [Lma Ladera media alta].
Figura 5.3. Localización Depósito 114.
Figura 5.4 Corte Este-Oeste Operación 114, 2010
Figura 5.5 Colocación de la retícula. Parte posterior del Palacio
Figura 5.6 El estudio de gradiente magnético...
Figura 5.7 El mapa eléctrico...
Figura 5.8. Equipo “pasando” el georadar
Figura 5.9 La línea File 8 registra...
Figura 5.10 En el radargrama de la línea File 9...
Figura 5.11. Ubicación de la Operación 114
Figura 5.12 Corte Sur-Norte, temporada 2008, Operación 114

Figura 5.13 Mismo Corte Sur-Norte y Norte Sur. Temporada 2008, Operación 114

Figura 5.14 Operación 114. Distribución cerámica 20-40 cms de profundidad

Figura 5.15 Esquema mostrando distribución cerámica Op. 114.

Figura 5.16 Elemento 36 en el momento de su excavación

Figura 5.17 Esquema del Elemento 36 y su reconstrucción.

Figura 5.18 Plataforma y recubrimiento de estuco.

Figura 5.19 Corte de la plataforma mostrando piso de estuco y depósito.

Figura 5.20. Corte Op.114c

Figura 5.21 Planta Op. 114c

Figura 5.22 Rellenado final de la Op. 114c

Índice de Tablas Capítulo 5

Tabla 5.1 Evaluación Suelos Op. 114.

Tabla 5.2 Fauna representada en el basurero detrás del Palacio proveniente de las excavaciones Temporadas 2006 y 2008 (modificado de Montero 2008).

CAPÍTULO 6

Fig. 6. 1 Sección de S-8 excavada durante la temporada 2008

Fig. 6. 2 Mancha de sustancia negra sobre piedra delimitadora, parte sureste de la cista

Fig. 6. 3. Vista general de la Sepultura 8, el textil que se observa en el lado izquierdo indica la parte intervenida durante 2008

Fig. 6. 4 Acumulación secundaria de la Sepultura 16 (sur) y, huella de cista en el relleno del patio (norte).

Fig. 6. 5 Sepultura 17 (parte baja de la foto), mostrando parte cubierta al sur y alterada al norte.

Fig. 6. 6 Vista general de la Sepultura 18.

Fig. 6. 7 Detalle donde se observan los tepalcates y otros objetos sobre los restos óseos.

Fig. 6. 8 Huella de la excavación para acceder a S-19 desde el piso superior del patio. 13

Fig. 6. 9. Cubierta parcial de la Sepultura 8.

Fig. 6. 10 Vista general de la Sepultura 8.

Fig. 6. 11 Restos parciales del Individuo B. Fragmentos de cráneo y huesos del tórax y de los brazos. Parte sur de la cista.

Fig. 6. 12 Cubierta de la Sepultura 20, S-25 junto al lado izquierdo.

Fig. 6. 13 Detalle de las piedras delimitadoras de la cista.

Fig. 6. 14 Vista general de la Sepultura 20.

Fig. 6. 15 Vasija asociada a la Sepultura 21, parte central de la cista.

- Fig. 6. 16 Restos óseos encontrados en la parte norte de la Sepultura 21.
- Fig. 6. 17 Vista general de la Sepultura 21, con parte central y sur aun cubiertas por lajas.
- Fig. 6. 18 Cubierta de lajas del sector sur de la sepultura.
- Fig. 6. 19 Vista general de la cista de la Sepultura 21
- Fig. 6. 20 Cubierta parte sur de la Sepultura 22.
- Fig. 6. 21 Restos del esqueleto infantil de la Sepultura 22.
- Fig. 6. 22 Vista general de la Sepultura 23 aun con la cubierta de lajas, nótese al centro la falta de lajas y la sustitución por piedras.
- Fig. 6. 23 Detalles parte sur de la cista, nótese el estado de destrucción de los elementos óseos.
- Fig. 6. 24 Sepultura 24. Acumulación de piedras sobre lajas y junto marcador de la Sepultura 21.
- Fig. 6. 25 Restos del esqueleto infantil de la Sepultura 24.
- Fig. 6. 26 Cubierta de la Sepultura 25.
- Fig. 6. 27 Vista general de la Sepultura 25.
- Fig. 6. 28 Cubierta de la Sepultura 26. Notar parte rellena con piedras.
- Fig. 6. 29 Vista general de la Sepultura 26, nótese el “nicho” en la esquina NE.
- Fig. 6. 30 Huesos largos secundarios de la Sepultura 27.
- Fig. 6. 31 Huesos largos de S-2y cubierta de la Sepultura 30.
- Fig. 6. 32 Parte norte de la Sepultura 28.
- Fig. 6. 33 Cubierta de la Sepultura 29.
- Fig. 6. 34 Vista general de la Sepultura 29, note la prolongación hacia el norte.
- Fig. 6. 35 Vista general de la Sepultura 30. Al norte la parte más alterada.
- Fig. 6. 36 Detalle del esqueleto, Sepultura 30.

CAPÍTULO 7

Figura 7.1. Corte transversal de madera carbonizada de Majahua (*Trichospermum mexicanum* TILIACEAE).

Colección de referencia de especies actuales de la región de Palenque, Chiapas, México.

Figura 7.2. Unidades de Paisaje en El ejido López Mateos, modificado según Liendo (2002). Áreas de Producción agrícola en la región de Palenque.

Figura 7.3. Inventarios florísticos en los cerros de Chinikihá.

Figura 7.4. Semillas arqueológicas de *Spondias* (izquierda), *Vitis* (medio), y *Passiflora* (derecha).

Figuras 7.5. Microfotografía de corte transversal de la madera carbonizada de ocote *Pinus sp.* (izquierda), y carbón no identificado de Angiosperma (derecha).

Figura 7.6. Morfotipos de fitolitos arqueológicos extraídos del depósito problemático del Palacio de Chinikihá.

Extracción realizada en el Laboratorio de Palinología del LPP con la ayuda de Cristina Adriano, identificación y fotografía realizada en el Laboratorio de Edafología del Instituto de Geología con la ayuda de Alexandra Golyeva.

Figura 7.7. Gránulos de Polen extraídos de entierros en Chinikihá.

Figura 7.8. (A): Mano. Lítica de Caliza. Op. 114, El.10, Bolsa 710, capa IV, CUADRO J2 (21/06/08); (B): Metate. Lítica de Basalto Estructura D4, Op. 161. Cuadro 8, Nivel 5, Elemento 120. (28/02/11). Bolsa 2838; (C): Almidones arqueológicos TIPO DIOSCOREACEAE con luz negra donde se observa la cruz de malta y (D): con luz polarizada; (E): Almidón actual de ñame (*Dioscorea sp.*) con luz polarizada y (F) con luz negra Fotografías realizadas en el microscopio del Laboratorio de FOTOMICROSCOPIA del IIA UNAM. ;(G): Tubérculo; y (H): hoja de ñame colectados en una milpa de año (H) en el ejido López Mateos, Palenque, Chiapas, México (Agosto 2011). La extracción fue realizada con el apoyo de Jorge Ezra Cruz Palma (ENAH) según la técnica de Jaime Pagán Jiménez (2007), y las identificaciones con la colaboración de Roberto Rodríguez de la Universidad de la Habana.

CAPÍTULO 8

Fig. 8. 1 Mapa de Chinikihá con áreas investigadas: Grupo G-rojo, Grupo B-azul, Grupo C-violeta (PRACH-IIA-UNAM)

Fig. 8. 2 Mapa y modelo con elevación del Grupo G y zona de estudio.

Fig. 8. 3 Imágenes de la pendiente y terraza G22; vista desde el Sur.

Fig. 8. 4 Imágenes de material localizado en superficie; fragmento de laja, micro y macro desecho de talla, fragmentos de metate o piedra de molienda.

Fig. 8. 5 Mapa del Grupo G mostrando la zona donde se concentro el trabajo. Observar la inclinación en el terreno.

Fig. 8. 6 Imagen de la retícula de la Operación 165 y localización en el mapa de los trabajos en el Grupo G.

Fig. 8. 7 Imagen del desecho de talla localizado en la Capa I.

Fig. 8. 8 Imagen del elemento 1.

Fig. 8. 9 Imagen de la Capa I mostrando la zona donde se encontró el fragmento de espejo de pirita.

Fig. 8. 10 Imagen del fragmento de piedra trabajado encontrado en la operación.

Fig. 8. 12 Imagen del Elemento 2.

Fig. 8. 13 Imagen del perfil Noroeste (lado izquierdo) y la imagen de planta de la operación llegando a la roca madre (a la derecha).

Fig. 8. 14 Dibujo de la Operación 165.

Fig. 8. 15 Imagen del perfil Noroeste y perfil Suroeste.

Fig. 8. 16 Mapa mostrando la ubicación de la Operación 176 y los trabajos llevados a cabo en el Grupo G.

Fig. 8. 17 Imagen de la parte trasera de G-16 (izquierda) donde se ubico la operación y la fotografía tomada desde G-16 hacia G-22 (derecha).

Fig. 8. 18 Imagen de la ubicación de la Operación 176, la imagen del extremo superior derecho muestra las dimensiones originales; mientras la imagen en el extremo inferior muestra la reducción de las dimensiones de la operación.

Fig. 8. 19 Imagen del desecho lítico recuperado en excavación de esta capa; de izquierda a derecha: fragmento de cuenta, fragmento de cuchillo/punta, desecho de talla.

Fig. 8. 20 Imagen de la Capa I y el perfil Norte.

- Fig. 8. 21 Imagen de fragmentos de perforadores encontrados en esta capa.
- Fig. 8. 22 Imagen del Perfil Oeste (izquierda); imagen del perfil Norte (derecha).
- Fig. 8. 23 Dibujo de los perfiles Oeste y Norte de la operación 176.
- Fig. 8. 24 Imagen del Elemento 4, preforma de punta.
- Fig. 8. 25 Imagen del Elemento 5, preforma de hacha.
- Fig. 8. 26 Imagen del Elemento 6, herramienta en forma de raspador o raedera.
- Fig. 8. 27 Imagen de parte de la prospección con pruebas de pala (izquierda) y una de las pruebas de pala en el Grupo G (derecha).
- Fig. 8. 28 Imágenes de lítica recuperada durante las pruebas de pala en el Grupo G.
- Fig. 8. 29 Mapa mostrando la ubicación de las Pruebas de Pala y el peso de desecho lítico obtenido en el Grupo G; ilustrar la dispersión y concentración del material lítico.
- Fig. 8. 30 Pesos en Kg del desecho de talla recuperado en las Pruebas de Pala en el Grupo G.
- Fig. 8. 31 Mapa de elevación de parte donde se llevaron a cabo la operación y las pruebas de pala (izquierda) y mapa mostrando la zona de investigación en el Grupo B (derecha).
- Fig. 8. 32 Imágenes del Grupo B; (izquierda) imagen tomada desde B-15 hacia el Norte, (derecha) imagen tomada desde B-14 hacia el Sur.
- Fig. 8. 33 Imágenes del Grupo B; (izquierda) imagen de parte de la ladera y (derecha) imagen de una de las plataformas con su cantera en la parte inferior.
- Fig. 8. 34 Mapa del Grupo B mostrando las pruebas de pala y la operación 171.
- Fig. 8. 35 Imagen del material recuperado de PP 39 y la imagen de una de las pruebas de pala en el Grupo B.
- Fig. 8. 36 Pesos en Kg del desecho de talla recuperado en las Pruebas de Pala en el Grupo G.
- Fig. 8. 37 Mapa mostrando la ubicación de las Pruebas de Pala y el peso de desecho lítico obtenido en el Grupo B; ilustra la dispersión y concentración del material lítico
- Fig. 8. 38 Imágenes del Grupo B: (izquierda) foto de la estructura B-14 ; imagen de la estructura B-15 (derecha).
- Fig. 8. 39 Mapa mostrando las pruebas de pala, la operación 171 y la topografía del terreno.
- Fig. 8. 40 Imágenes de la operación 171.
- Fig. 8. 41 Imagen de planta de la Capa I.
- Fig. 8. 42 Imagen del comienzo de la excavación de la Capa II; (izquierda) imagen del perfil, (derecha) imagen de planta donde se puede observar la gravilla utilizada para aplanar la superficie.
- Fig. 8. 43 Imágenes de los Perfiles Oeste (izquierda) y Norte (derecha) de la operación 171.
- Fig. 8. 44 Dibujo de los perfiles Oeste y Norte de la operación 171.
- Fig. 8. 45 Mapa con la estructura C-27 y la Operación 172 en el Grupo C.
- Fig. 8. 46 Imagen de la terracería entre C-27 y C-26; acercamiento de la estela/lintel liso localizado en la parte frontal de C-27 junto a la terracería.
- Fig. 8. 47 Imagen de la parte del parte interno de C-27 (izquierda) y uno de los pozos de saqueo donde se observa la parte interna de un edificio abovedado.

Fig. 8. 48 Mapa de la estructura C-27 con la operación 172.

Fig. 8. 49 Imagen del terreno donde se ubico la operación 172 (izquierda) con la vegetación secundaria y la imagen de la operación una vez que se limpio la zona.

Fig. 8. 50 Imagen de la planta y el perfil S de la operación 171.

Fig. 8. 51 Imagen de la planta y el perfil Norte de la operación 172.

Fig. 8. 52 Imagen de la planta de la operación 172.

Fig. 8. 53 Imagen del perfil Oeste (izquierda) y el perfil Norte de la Operación 172.

Fig. 8. 54 Dibujo del perfil Oeste y el perfil Norte.

CAPÍTULO 9

Fig. 9. 1. Mapa de Boca Chinikihá con ubicación de las operaciones del 2011

Fig. 9. 3. Op.217, Capa 1

Fig. 9. 4. Op. 217, Perfil Norte y Sur

Fig. 9. 5. Op.218, Foto Capa 1

Fig. 9. 6. Op.218, dibujo capa 1

Fig. 9. 7. Op. 218, Foto y dibujo Perfil Este

Fig. 9. 8 . Op. 219, Foto capa 2 y perfil Norte

Fig. 9. 10. Op. 220, Foto capa 1 y 2.

Fig. 9. 11. Op.220, cajete invertido, hallazgo capa 2

Fig. 9. 12. Op.220, Perfil Norte y Oeste

Fig. 9. 13. Op. 221, Foto inicio y fin excavación

Fig. 9. 14. Op.221, capa 2

Fig. 9. 15. Op.221. Perfil Sur

Fig. 9. 16. Op.221, Perfil Oeste

Fig. 9. 17. Ubicación de las operaciones 222, 223, 224, 225, y 231

Fig. 9. 18. Op. 222, 223, 224, empedrado y muro de contención de la grada

Fig. 9. 19. Op 224, Fragmento de metate y lente de ceniza, capa 2

Fig. 9. 20. op. 224, Corte muro de contención

Fig. 9. 21. Op.224, foto muro de contención

Fig. 9. 22. Op.222-225, Perfil Norte

Fig. 9. 23. Op.222-225, fin excavación

Fig. 9. 24. Ubicación operaciones 226 y 227

Fig. 9. 25. Op.226, Foto final y ubicación entierro 1

Fig. 9. 26. Op.226, Perfil Norte y Este

Fig. 9. 27. Op.226, Entierro #1

Fig. 9. 28. Op. 227, Inicio y Fin Excavación

- Fig. 9. 29. Op.227 Foto y dibujo Perfil Oeste
- Fig. 9. 30. Ubicación Operaciones 228 y 229
- Fig. 9. 31. Op.228, Foto inicio y fin excavación.
- Fig. 9. 32. Op.228, Foto y dibujo Perfil Sur
- Fig. 9. 33. Op. 229, Foto inicio excavación y parte de empedrado Capa 2
- Fig. 9. 34. Op. 229 Foto y dibujo Perfil Este
- Fig. 9. 35. Ubicación operacion 230
- Fig. 9. 36. Operación 230, Fin excavación

CAPÍTULO 10

- 10.1. Operación 161, Aspecto de la escalinata del Edificio 4 al concluir el proceso de excavación
- 10.2. Operación 161. Al concluir la excavación, se procedió a realizar una limpieza más detallada para conocer las características del sistema constructivo, previo a su consolidación.
- 10.3. Operación 161: Vista general de la cala
- 10.3A. Operación 161: Retiro de escombros de la escalinata del Edificio 4.
- 10.3B. Operación 161: Saneamiento de juntas en la escalinata del Edificio 4.
- 10.4. Operación 161: Remoción de escombros y materiales disgregados en la porción superior del basamento del Edificio 4.
- 10.5. Operación 161: Reacomodo y alineación de los peldaños de la escalinata.
- 10.6. Operación 161: Reposición de juntas en la escalinata del basamento del Edificio 4.
- 10.7. Operación 161: Preparación y consolidación del núcleo para la base de la escalinata.
- 10.10. Operación 161: Detalle de la escalinata una vez concluido el proceso de consolidación.
- 10.14. Operación 161: Reacomodo y consolidación de la escalinata superior del Edificio 4.
- 10.19. Operación 161: Consolidación del vano de acceso al recinto de Edificio 4.
- 10.24. Operación 161: Consolidación del muro medianero.
- 10.28. Operación 161: Vista del muro posterior donde se aprecian las raicillas que ocasionaron la disgregación de la mampostería.
- 10.30. Operación 161: En esta porción del muro posterior, se aprecia el faltante del patío.
- 10.16. Operación 161: Colocación y consolidación del núcleo en la porción faltante de la escalinata superior en el Edificio 4.
- 10.17. Operación 161: Proceso concluido de la consolidación de la escalinata superior del Edificio 4.
- 10.23. Operación 161: Aplicación de agua de cal para consolidar los restos del piso de estuco.
- 10.20. Operación 161: Una vez concluida la consolidación del vano, se procedió con la limpieza del muro medianero en el recinto del Edificio 4.
- 10.21. Operación 161: Aspecto del recinto, al término de la consolidación, al cual se le incorporó una capa de gravilla de *sascab* para indicar la ubicación del nivel de piso.

- 10.22. Operación 161: Vista general del recinto superior ya concluido el proceso de consolidación.
- 10.27. Operación 161: El piso de estuco quedó protegido mediante la aplicación de *sascab* bien cribado. Sobre éste se colocó una capa de gravilla de *sascab*, indicando así su nivel general.
- 10.25. Operación 161: Limpieza de juntas y consolidación del muro medianero.
- 10.26. Operación 161: Vista general del recinto del Edificio 4 ya concluido con el piso de gravilla de *sascab*
- 10.31. Operación 161: Aspecto del muro posterior una vez saneadas las juntas.
- 10.34. Operación 161: Detalle de la anterior.
- 10.37. Operación 161: Aspecto del muro posterior con la incorporación del núcleo para indicar el límite del recinto.
- 10.39. Operación 161: Para diferenciar la porción faltante de muro, se aplicó una capa de tierra negra.
- 10.40. Operación 161: Detalle de la consolidación del núcleo en el muro posterior.
- 10.41. Operación 161: Vista general de la cala desde el muro posterior ya terminado el trabajo de consolidación.
- 10.45. Operación 161: Tambos para el apagado de la cal y cribado de *sascab* para la preparación de mezclas.
- 10.46. Operación 161: Vista general de la cala ya terminado el trabajo.
10. 46A. Tapado de la op. 161. Vista del frente Norte
10. 46B. Rellenado de la escalera del frente Norte de la op. 161
10. 46C. Operación 161. Finalización de las labores de relleno.
- 10.46D. Operación 161. Finalización de las labores de relleno.
- 10.47. Operación 167: Consolidación de la escalinata del Edificio C-5b.
- 10.48. Operación 167: Vista general de la cala, con la escalinata ya consolidada y la colocación de gravilla de *sascab*.
- 10.49. Operación 167: Detalle de la escalinata.
- 10.50. Operación 167: Limpieza y saneamiento de juntas del muro posterior del Edificio C-5b.
- 10.51. Operación 167: Consolidación del muro posterior del Edificio C-5b y colocación de la caja para su relleno.
- 10.52. Operación 167: Detalle que muestra la colocación de muros secos para el armado de las cajas de relleno.
- 10.53. Operación 167: Relleno de las cajas alternando capas de tierra y piedra.
- 10.54. Tapado de la op. 167, vista general
- 10.55. Vista de las operaciones de tapado de la op. 167
- 10.56. Operación 167. Finalización de las labores de relleno.
- 10.57. Operación 167. Finalización de las labores de relleno.

CAPÍTULO 11

Fig. 11.1 Parte del muestrario de la fauna arqueológica de Palenque

Fig. 11.1A Segmentos del cuerpo de *Odocoileus virginianus* encontrados en la Operación 114

Fig. 11.2 Segmentos del cuerpo de *Canis familiaris* encontrados en la Operación 114

11.3 Calcáneos de *Odocoileus virginianus*. Uno izquierdo y dos derechos. Nótese las huellas de mordisqueo en los ejemplares externos.

Fig. 11.4 Caninos de perro doméstico. Nótese la perforación en la raíz, la cual se encuentra rota, pero es evidente la modificación cultural. El ejemplar de la derecha pertenece a la colección arqueológica de Palenque, Chiapas.

ANEXO I

Fig. 1. Ubicación de los pozos 1a (pozo norte) y 1b (pozo sur)

Fig. 2. Perfiles de los pozos 1a y 1b

Fig. 3 Ubicación de las tres etapas de la Operación 114, y nomenclatura de la retícula.

Fig. 4. Vista general del Palacio y la ubicación de la operación 114

Fig. 4. Vista general del Palacio y la ubicación de la operación 114

Fig. 5. Detalle del perfil oeste de la operación 114b

Fig. 6. Distribución de todo el material cerámico diagnóstico de las operaciones 114a y 114b

Fig. 7. Piezas con fragmentos de textos epigráficos

Fig. 8. Distribución de los artefactos cerámicos relacionados con alimentos

Fig. 9. Distribución de la cerámica de almacenaje y procesamiento de alimentos

Fig. 10. Distribución de la cerámica de servicio de alimentos

Fig. 11. Distribución de Cajetes

Fig. 12. Distribución de vasos

Fig. 13. Distribución de platos

Fig. 14. Distribución de ollas

Fig. 15. Distribución de cazuelas

Fig. 16. Distribución de incensarios y sahumerios

Fig. 17. Distribución de instrumentos musicales

Fig. 18. Perfiles de ollas de cuello corto

Fig. 19. Perfiles de ollas de cuello largo

Fig. 20. Superficies de ollas estriadas

Fig. 21. Perfiles de cazuelas

Fig. 22. Superficies de cazuelas

Fig. 23. Perfiles de cajetes de paredes altas

Fig. 24. Superficies de cajetes de paredes altas

Fig. 25. Cajete arenoso con iconografía

Fig. 26. Cajetes arenosos de silueta compuesta

Fig. 27. Perfiles de cajetes de paredes bajas

Fig. 28. Superficies de cajetes de paredes bajas

Fig. 29. Cajetes de paredes curvo-convergentes

Fig. 30. Superficies de cajetes de paredes curvo-convergentes

Fig. 31. Cajetes de pasta arenosa con iconografía

Fig. 32. Platos de soportes altos

Fig. 33. Plato arenoso con muescas en la base.

Fig. 34. Platos de volumen pequeño y soportes bajos

Fig. 35. Ejemplos de superficies de los platos del depósito

Fig. 36. Ollas arenosas de paredes delgadas con el cuello vertical

Fig. 37. Superficies decoradas de ollas de paredes delgadas y cuello vertical

Fig. 38. Ejemplos de los incensarios

Fig. 39. Ejemplos de los sahumadores

Fig. 40. Ejemplos de tambores.

Índice de Tablas Anexo I

Tabla 1. Totales del material cerámico registrado

Tabla 2. Modos de análisis y porcentaje de tiestos categorizados

Tabla 3. Proporciones del material cerámico diagnóstico con alguna categoría formal

Tabla 4. Conteo y peso de las formas asociadas con almacenaje y procesamiento de alimentos

Tabla 5. Conteo y peso de las formas asociadas con servicio de alimentos

AGRADECIMIENTOS

La realización de la cuarta temporada de campo del Proyecto Arqueológico Chinikihá habría sido imposible sin contar con el financiamiento, colaboración apoyo e inspiración de varias instituciones, colaboradores y amigos interesados en la arqueología de las Tierras Bajas Noroccidentales. De manera particular nos gustaría reconocer y agradecer la ayuda prestada por las siguientes personas e instituciones.

El permiso para llevar a cabo la cuarta temporada de campo en Chinikihá fue concedido generosamente por el Consejo de Arqueología del Instituto Nacional de Antropología e Historia en su sesión del mes de Febrero de 2011. Agradecemos profundamente el apoyo para este proyecto por parte de la Presidenta del Consejo la Dra. Nelly Robles y el grupo de consejeros que leyeron el proyecto y el informe de labores de la Temporada 2010.

Quisiéramos también agradecer al Arqlogo. Salvador Guilhem, Coordinador Nacional de Arqueología del INAH por su valioso apoyo para permitirnos usar las instalaciones del INAH en la Zona Arqueológica de Palenque como campamento y bodega durante los meses que duró nuestra temporada. De manera especial queremos agradecer la valiosa ayuda e interés mostrada a lo largo de los años por el Lic. Juan Antonio Ferrer, Director del Centro INAH, Tabasco y Director de la Zona Arqueológica de Palenque en todos los detalles de nuestro proyecto.

El proyecto fue financiado en su primera temporada por FAMSI (Foundation for the Advancement of Mesoamerican Studies) Beca 06007 y por CONACyT (Consejo Nacional de Ciencia y Tecnología) Proyecto No. 56573, durante las tres últimas temporadas.

Finalmente quisiéramos agradecer a Don Macario Guzmán, Don Alfonso Guzmán, Doña María López, Don Alfonso Bonilla y Doña Olga Livia Cortés, dueños de los terrenos sobre los cuales se encuentran ubicadas las ruinas de Chinikihá y quienes amablemente, año tras año, nos ha permitido realizar nuestras investigaciones en sus terrenos. Queremos también agradecer a los habitantes de Reforma Agraria por su hospitalidad y buena recepción a este proyecto, y muy especialmente a Doña Candelaria y Ezequiel Guzmán por su amistad, buena comida y conversación.

Lista de Colaboradores Temporadas 2006, 2008, 2010 y 2011

.
Keiko Teranishi, Temporadas 2006, 2008, 2010
Atasta Flores, Temporadas 2006, 2008, 2010, 2011
Esteban Mirón, Temporadas 2006, 2008, 2010, 2011
Flavio Silva, Temporadas 2006, 2008, 2011
Lauren Herckis, Temporada 2010
Javier López, Temporadas 2008, 2010, 2011
Federica Minnoci, Temporada 2006.
Paola Panaccione, Temporada 2006
Israel Román, Temporada 2008.
José Carlos de la Fuente, Temporada 2008.
Miguel Ángel Marín, Temporada 2008.
Christián Arias, Temporada 2008.
Sabrina García, Temporada 2008, 2011
Paola Rodríguez, Temporada 2008.
Coral Montero, Temporada 2008.
Luis Núñez, Temporada 2008, 2010, 2011
Joshua Balcells, Temporada 2008, 2011
Arianna Campiani, Temporada 2008, 2010,2011
Francesca Abbonato Temporada 2011
Valeria Bellonia Temporada 2011
Gaia Carosi Temporada 2011
Flaminia di Constanzo Temporada 2011
Matia di Paolo Temporada 2011
Federica Falchi Temporada 2011
Viola Martinni Temporada 2011
Silvia Monterrosa Temporada 2011
Luisa Villani Temporada 2011
Natalia Visconti Temporada 2011
Guiseppe Zega Temporada 2011
Lupita Zetina Temporada 2010
Daniel Juárez Temporada 2011
Doris Maldonado Temporada 2011
Jeanne Loppiparo Temporada 2011

INTRODUCCIÓN

El Proyecto Arqueológico Chinikihá es parte de un proyecto mayor, a largo plazo, que trata de reconstruir la secuencia de desarrollo cultural de las sociedades que habitaron las Tierras Bajas Noroccidentales que culminó con el abandono de los centros importantes de la región a mediados del siglo IX d. de C. Esa reconstrucción ha sido llevada a cabo hasta ahora a través del estudio del patrón de asentamiento y la excavación de pozos de sondeo en una muestra pequeña de sitios en la región. Pensamos que la importancia de documentar el desarrollo de las sociedades de las Tierras Bajas Noroccidentales no radica sólo en tener un registro preciso de su historia y desarrollo particular, sino en la posibilidad de discutir - a partir de evidencia material pertinente - una serie de propuestas metodológicas y cuestionamientos antropológicos contemporáneos. En nuestra área de estudios, un tema de estudio recurrente ha sido la relación de las ciudades principales- Palenque, Pomoná y Chinikihá- y el probable territorio controlado por ellas a partir del análisis de textos escritos. Esta relación ha sido inferida, por lo general, a partir de la distribución de glifos emblema (Houston 1993; Marcus 1976; Berlin 1958; Mathews 1991); la designación de unidades territoriales menores; entronización de gobernantes con relaciones de subordinación a otros principales (Martin y Grube 1995; Grube y Martin 1998); de los títulos con connotaciones territoriales o administrativas; o bien, el registro de conquistas; captura de gobernantes, etc. De manera incuestionable, esta reconstrucción, importante y detallada de la vida cotidiana de los grupos gobernantes mayas ha servido para formarnos una idea de la compleja vida política de los reinos mayas prehispánicos. Sin embargo, creemos que ésta poco nos aporta para entender como múltiples conjuntos residenciales y/o comunidades menores, dispuestas sobre el paisaje circundante, fueron integrados económica y políticamente en unidades políticas mayores. Por ello y dado el importante sesgo existente en cuanto al tipo y cantidad de información disponible para la reconstrucción de los procesos involucrados en el desarrollo social de los centros de la región Sierra norte de Chiapas, creemos necesario, desarrollar estrategias de investigación alternativas que permitan comprender la compleja red de relaciones políticas, económicas y sociales que conectaron los centros políticos de la región con el resto de las comunidades que habitaron sus respectivos Hinterlands.

Con el propósito de contribuir al conocimiento de esta región en esa dirección, nuestra investigación ha tenido como propósito identificar:

- 1) la distribución espacial de la población en un amplio sector de las Tierras Bajas Noroccidentales.
- 2) establecer cuáles fueron los factores que modelaron la distribución de dicha población. Y
- 3) Conocer en detalle las historias particulares de una muestra representativa de centros de población en la región.

A lo largo de los últimos 15 años hemos construido una base de datos de la distribución, número y características de los asentamientos de la región de Palenque lo cual nos permite contar con una plataforma para la realización de futuras investigaciones enfocadas al estudio de sitios y áreas particulares en las Tierras Bajas

Noroccidentales, y poder contrastar dicha información con resultados obtenidos en proyectos semejantes en otras regiones de las Tierras Bajas Mayas. Por

consiguiente, en estos momentos, estamos en mejores condiciones de formular nuevas explicaciones al desarrollo del sistema de asentamientos, sistemas de subsistencia, complejidad social y organización territorial en las Tierras Bajas Noroccidentales. Estamos conscientes que aunque los resultados de nuestro proyecto sean satisfactorios en muchos aspectos y nos permiten, por ejemplo, contextualizar el desarrollo de sitios como Palenque o Chinikihá en un contexto más amplio, las características propias del estudio de superficie imponen limitaciones a la interpretación: por principio, ésta tiene una escasa resolución temporal y dificulta la identificación de contextos primarios. El Proyecto Arqueológico Chinikihá nace y debe ser entendido como el primer paso de una segunda etapa de la investigación regional en las Tierras Bajas Noroccidentales que consista, en un futuro cercano en excavaciones extensivas, tanto en arquitectura ceremonial como doméstica en un conjunto de asentamientos de diferentes características e importancia de la región.

Durante estas cuatro temporadas, en el Proyecto Arqueológico Chinikihá hemos querido abordar una serie de preguntas relacionadas con el fenómeno de integración sociopolítica Maya prehispánica. Nos ha interesado encontrar respuestas a una serie de interrogantes, por ejemplo: ¿Cuál fue la naturaleza de la asimilación e integración política y económica de sitios como Chinikihá a la región más amplia y con Palenque en particular? ¿Es posible detectar cambios a través del tiempo en la naturaleza de dicha asimilación? Cómo la dinámica de desintegración política y económica propuesta para Palenque durante el período Clásico Terminal se percibe desde Chinikihá. ¿Implicó dicho proceso una fragmentación y regreso a un patrón previo de provincias autónomas como propone el modelo dinámico de Marcus (1993), o bien, este proceso implicó necesariamente la ruptura de los mecanismos de integración social a nivel regional?

Chinikihá, representa una buena oportunidad para abordar estos problemas por representar éste último un nodo político y económico de importancia a nivel regional. Su estudio nos permitirá, en un futuro cercano, entender aspectos relevantes del desarrollo geopolítico de la región del Usumacinta en época prehispánica. Los resultados de esta investigación en este sitio permitirán, también conjuntar información pertinente con otros sitios mejor conocidos de la región como Palenque, Pomoná o Piedras Negras y de esta manera construir una visión más completa de las características de la organización y dinámicas políticas del mundo maya prehispánico.

En los últimos cuatro años hemos avanzado, con mayor o menor éxito, en los siguientes aspectos:

- Dividir la historia de ocupación de Chinikihá en subperíodos de cambio evidente.
- Elaborar una secuencia cerámica que pueda ser correlacionada con los períodos anteriormente señalados con la finalidad de comprender la cronología de desarrollo arquitectónico del sitio. Los análisis cerámicos correspondientes aún no se encuentran acabados, pero llevamos un avance importante en la clasificación de alrededor 160,000 tiestos que componen a la colección.

- Desarrollar un estudio de patrón y una jerarquía de asentamientos que nos permita distinguir contextos residenciales de élite y no élite.
- Obtener una muestra de materiales de contextos que reflejen de manera representativa la variación temporal y social del sitio.
- Comparar estos materiales (especialmente cerámica, lítica, ecofactos, restos óseos, etc) con la finalidad de medir el nivel de interacción e integración a diferentes niveles sociales.

Como describiremos a continuación durante las tres primeras temporadas hemos elaborado una secuencia cerámica preliminar y lo suficientemente detallada para poder dividir la historia de ocupación del sitio en bloques temporales que nos permitirán ordenar nuestros materiales de manera adecuada. Hemos también, concluido con la elaboración de un plano topográfico de la distribución de las estructuras (414) de Chinikihá en un área de 100 ha.

Se han obtenido diferentes tipos de materiales arqueológicos que fueron descritos en detalle en los informes entregados al Consejo de Arqueología en 2007, 2008 y 2010 y que pueden ser consultados en línea en: <http://www.famsi.org/reports/06007es/index.html>, <http://www.mesoweb.com/resources/informes/chinikiha2008.html> y <http://www.mesoweb.com/resources/informes/chinikiha2010.html>

Presentamos a continuación los resultados de la temporada 2011 del proyecto.

El Capítulo I: “Levantamiento Topográfico en los Sitios Chinikihá, Chiapas y Boca Chinikihá, Tabasco (Febrero – Marzo 2011)” por Javier López Mejía, Atasta Flores Esquivel y Arianna Campiani, describe los trabajos de topografía llevados a cabo durante la temporada de 2011, concluyendo la cobertura topográfica comenzada en 2008. Parte de las actividades realizadas por el equipo de topografía se concentraron en el sitio de Boca Chinikihá, Tabasco, en donde se realizó el levantamiento topográfico de este asentamiento ubicado a 17 kms de Chinikihá, a la orilla del río Usumacinta.

En el Capítulo II: “Análisis Urbano y Arquitectónico de Chinikihá, Chiapas. Informe Final” Arianna Campiani, resume brevemente la metodología de estudio utilizada en el análisis urbano y arquitectónico de Chinikihá, y describe las nuevas estructuras mapeadas en el sitio durante la temporada 2011. Concluye el trabajo de categorización de conjuntos arquitectónicos empezado en 2010 con el fin de proveer un cuadro completo de distribución urbana en Chinikihá, proponer cuáles podrían ser los conjuntos de élite, de acuerdo a factores de ubicación y volumen constructivo. El objetivo principal de este capítulo es definir características constructivas y formales de los edificios principales del sitio. Campiani realiza un breve estudio de circulación hacia, desde y al interior del sitio, que complementa el que ya se había empezado en 2010 y propone también un análisis sobre cuáles son, al interior del sitio, las barreras naturales y físicas que identifican sectores diferentes y de aquí una nueva categorización en grupos

arquitectónicos. Se completa este informe final con las conclusiones y un anexo que comprende las fichas de catalogación de los conjuntos arquitectónicos de Chinikihá, en donde aparece la descripción de cada uno de ellos, las estructuras que lo componen con su volumen constructivo, una foto (cuando ejemplificativa), su mapa y su ubicación al interior del sitio.

En el Capítulo III: “Operaciones Extensivas”. Joshua Balcells y Luis Nuñez describen las excavaciones mayores en cuatro contextos domésticos de Chinikihá; las Operaciones 143-144, 161 y 167.

En el Capítulo IV, Esteban Mirón describe y enumera las características de 14 pozos de sondeo (Operaciones 151, 152, 153, 154, 155, 156, 157, 158, 159, 160, 166, 168, 169, 170)

realizados en todos los grupos de Chinikihá, con el fin de obtener datos cronológicos del sitio.

En el Capítulo V se describen las excavaciones y elementos encontrados en la operación 114. Este contexto problemático se ubica en la parte posterior de El Palacio de Chinikihá. Empezó a excavar en la Temporada 2006 del proyecto arrojando una gran cantidad de cerámica diagnóstica, restos paleobotánicos y de fauna. Los resultados parciales de los hallazgos provenientes de esta operación han sido reportados en diferentes informes y en este trataremos de dar una interpretación probable de la naturaleza de este depósito.

Luis Núñez en el Capítulo VI lleva a cabo una descripción detallada y una interpretación preliminar de los patrones mortuorios a partir de los entierros encontrados durante esta temporada en varias de las Operaciones llevadas a cabo en el sitio.

En el Capítulo VII, Felipe Trabanino describe la metodología y los elementos paleobotánicos encontrados en diferentes excavaciones del sitio. En especial los materiales provenientes de la Operación 114.

El Capítulo VIII describe (Flavio Silva de la Mora) los sondeos iniciales de dos contextos que corresponden, probablemente a talleres líticos y la operación 172.

Nicoletta Maestri en el Capítulo IX, describe sus excavaciones en el sitio de Boca Chinikihá, un sitio ubicado a 17 kms de Chinikihá que probablemente estuviera bajo su influencia. Su ubicación, donde confluyen los ríos Chinikihá y Usumacinta es un indicador de la función probable del sitio. Este reporte es la continuación de las excavaciones y trabajos de mapeo iniciados en la temporada 2010 de nuestro proyecto.

En el Capítulo X, Daniel Juárez describe en detalle el procedimiento de consolidación y rellenado final de los elementos estructurales expuestos por las diferentes excavaciones del proyecto.

Finalmente en el Capítulo XI, Carlos Varela presenta el complemento (incompleto aún) del análisis paleofaunístico comenzado por Coral Montero en su informe 2008 de este proyecto.

El Informe va acompañado de un CD que contiene un conjunto de Anexos compuesto por:

El Anexo Cerámico que resume los análisis cerámicos del material proveniente de la Operación 114 y los avances del Catálogo Cerámico Final del Proyecto. El Anexo de las cédulas de registro de los conjuntos arquitectónicos y El Catálogo de Entierros.

Levantamiento Topográfico en los Sitios Chinikihá, Chiapas y Boca Chinikihá, Tabasco (Febrero – Marzo 2011)

Javier López Mejía, Atasta Flores Esquivel y Arianna Campiani

Chinikihá

Introducción

A lo largo de tres temporadas de campo, una de las principales actividades del Proyecto Arqueológico Chinikihá (*PRACH*) ha sido la exploración y registro de elementos arquitectónicos en superficie, por lo que desde los inicios del *PRACH* en 2008, se comenzó a construir un mapa detallado que incluye tanto la ubicación planimétrica de estructuras, plataformas y terrazas prehispánicas, así como el relieve topográfico que acompaña dicha arquitectura.

Ya en ocasiones anteriores (Flores *et. al.* 2009 y López *et. al.* 2010) se han mencionado los antecedentes que enmarcan al sitio, así como los detalles sobre el levantamiento topográfico de las dos temporadas previas (Fig.1). En esta ocasión, presentamos los pormenores de los trabajos realizados durante la tercera temporada de campo.

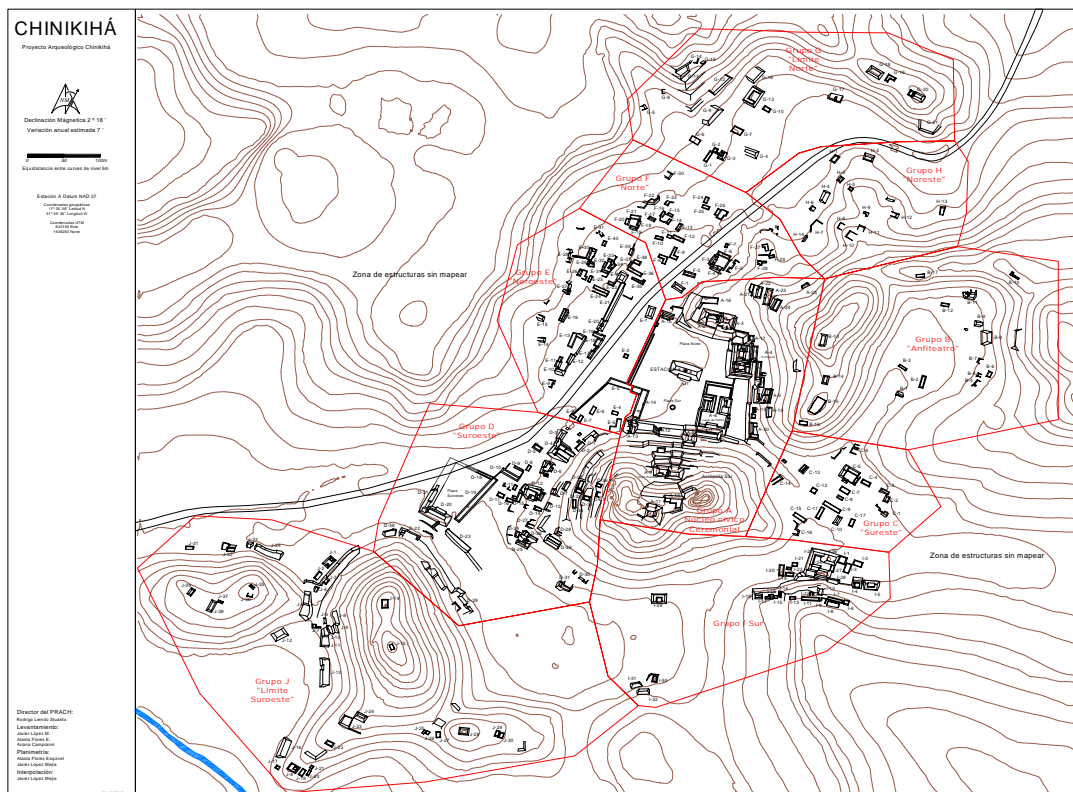


Fig. 1
Mapa compilado de
Chinikihá, temporadas
2008 y 2010 (López *et. al.* 2010)

Levantamiento 2011

El PRACH a cargo del Dr. Rodrigo Liendo Stuardo llevó a cabo su tercera temporada en los meses de febrero y marzo de 2011, teniendo como objetivo en cuanto al levantamiento topográfico, continuar con el registro de elementos tanto geográficos como arquitectónicos, así como tratar de definir en la medida de lo posible, los antiguos límites del sitio, de los cuales se comenzó a tener una esbozo en la temporada realizada durante 2010 (López *et. al.* 2010).

El levantamiento topográfico continuó realizándose utilizando como herramienta principal una estación total (SOKKIA SET 630 RK) y dos prismas reflectantes -30, además de rescatar algunas de las estaciones colocadas en las dos primeras temporadas, que han servido año con año como red de apoyo para darle continuidad al trabajo. De esta forma, se utilizó nuevamente como referencia el norte magnético, cuya declinación magnética estimada (no calculada) para el día del inicio del levantamiento (Febrero 1 de 2011) fue de 2° 10' Este, con una variación anual sugerida de 7' hacia el Oeste (Ortiz 2011), no obstante, se recuperó el azimut entre las estaciones anteriores para derivar las nuevas.

Las actuales estaciones intentaron ubicarse en sectores inéditos del sitio, buscando siempre expresar la mayor cobertura topográfica posible, así como, el mejor detalle de la arquitectura en superficie.

Con base en lo anterior y a los levantamientos realizados tanto en 2008 como en 2010, se comenzó por recuperar lugares visitados pero que habían quedado inconclusos dentro de los grupos, como en los casos del “A Núcleo Cívico Ceremonial”, “B Anfiteatro”, “C Sureste”, “D Suroeste”, “E Noroeste”, “G Límite Norte”, “I Sur”, y “J Limite Suroeste”, por otro lado, se levantaron áreas que habían sido poco exploradas al sur de los grupos “I Sur” y “C Sureste”. En total, el área cubierta en la temporada de 2011 fue de alrededor de 40 hectáreas, utilizando 104 estaciones y 11,688 puntos de control, de esta forma, se lograron registrar cerca de 90 elementos arquitectónicos entre estructuras, plataformas y terrazas, además de distintos rasgos geomorfológicos que definen al sitio.

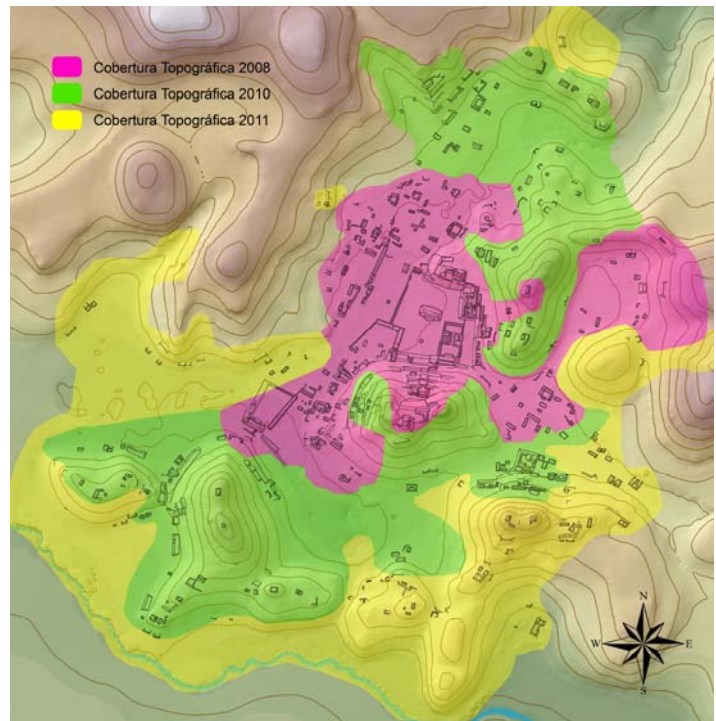


Fig. 2 Cobertura topográfica temporadas 2008, 2010 y 2011

CHINIKIHÁ

Proyecto Arqueológico Chinihiká



Declinación Magnética 2° 18'
Variación anual estimada 7'



Equidistancia entre curvas de nivel 5m

Estación A Datum NAD 27

Coordenadas geográficas
17° 25' 08" Latitud N
91° 39' 06" Longitud W

Coordenadas UTM
643190 Este
1928283 Norte

Director del PRACH:

Rodrigo Liendo Stuardo

Levantamiento:

Javier López M.
Alasia Flores E.
Arianna Campiani

Planimetría:

Alasia Flores Esquivel
Javier López Mejía

Interpolación:

Javier López Mejía

Abril 2011



Fig. 3 Sitio arqueológico Chinihiká, mapa compilado de las temporadas 2008, 2010 y 2011

Definición de Grupos Arquitectónicos

Siempre el trabajo más reciente de mapeo sobre una misma área, revela aspectos que no habían sido tomados en cuenta en otro tiempo, modificando así la imagen que se tenía del entorno que incluye tanto los aspectos culturales como los naturales; el caso de Chinikihá no es la excepción y en la temporada de 2011 se pueden apreciar ciertos cambios en la definición de grupos arquitectónicos propuestos en 2010 e incluso la adición de nuevos grupos en áreas que habían sido poco exploradas.

De manera general, se pueden mencionar cuatro aspectos que afectan la definición de grupos arquitectónicos y con esto la imagen resultante de Chinikihá. El primero es sin duda, el trabajo pendiente que involucra aquellos elementos arquitectónicos que debido a la falta de tiempo no pudieron ser registrados en su momento, por lo que es prioritaria su inclusión. El segundo aspecto es la constante transformación (natural y cultural) del entorno que oculta y exhibe detalles que habían sido ignorados o expresados de manera distinta. El tercero es la distribución espacial de la arquitectura, lo que permite tomar decisiones en cuanto a que estructuras están asociadas a que grupo, y por último, la exploración de lugares “inéditos”, se puede decir que con cada elemento arquitectónico descubierto, se reconfigura una y otra vez la imagen del sitio y se modifican muchas de las ideas sobre el mismo.

Con base en lo anterior, en el presente plano del sitio se presenta una nueva nomenclatura de estructuras, en la que principalmente se han incorporado aproximadamente 57 elementos arquitectónicos a grupos conocidos, además de otros 33 que conforman dos nuevos grupos, el “K Límite Sur” y el “L Límite Sureste” (Tabla 1); por otro lado, es necesario mencionar también el cambio de denominación de las estructuras I-30, I-31 e I-32 que de acuerdo a su posición se encuentran más integradas al reciente grupo “K Límite Sur” por lo que han sido renombradas como K-1, K-2 y K-3 respectivamente (Fig. 4).

<i>Grupo</i>	<i>A</i>	<i>B</i>	<i>C</i>	<i>D</i>	<i>E</i>	<i>F</i>	<i>G</i>	<i>H</i>	<i>I</i>	<i>J</i>	<i>K</i>	<i>L</i>	<i>Total</i>
<i>No. de estructuras registradas en 2008</i>	20	13	16	31	41	29	0	0	0	0	0	0	150
<i>No. de estructuras registradas en 2010</i>	5	4	1	8	0	1	21	14	29	39	0	0	122
<i>No. de estructuras registradas en 2011</i>	5	5	10	10	1	1	6	0	4	15	16	17	90
<i>Total</i>	30	22	27	49	42	31	27	14	33	54	16	17	362

Tabla 1 Estructuras registradas por temporada en cada grupo

CHINIKIHÁ

Proyecto Arqueológico Chinikihá

Grupos Arquitectónicos



Declinación Magnética 2° 18'
Variación anual estimada 7'



Equidistancia entre curvas de nivel 20m

Estación A Datum NAD 27

Coordenadas geográficas
17° 25' 08" Latitud N
91° 39' 06" Longitud W

Coordenadas UTM
643190 Este
1928283 Norte

Director del PRACH:

Rodrigo Liendo Stuardo

Levantamiento:

Javier López M.
Alasia Flores E.
Arianna Campiani

Planimetría:

Alasia Flores Esquivel
Javier López Mejía

Interpolación:

Javier López Mejía



Fig. 4 Sitio arqueológico Chinikihá, definición de grupos arquitectónicos

Abril 2011

Afectaciones sobre el sitio y saqueo

De la misma forma que en temporadas previas, se puede decir que existen distintos niveles de afectación y saqueo en el sitio, aunque sin temor a equivocarnos, se podría resumir diciendo que aproximadamente el 80% de las estructuras presenta un indicio de haber sido perturbadas ya sea por causas naturales o culturales.

Se podrían citar como ejemplo los casos más evidentes como sucede en las estructuras A-26, A-28, A-29, C-18, C-22, C-26, C-27, G-27, L-1, L-6, L-12, L-13, L-14 y L-15, que presentan oquedades que en promedio se acercan a 1.5m de diámetro; también existen casos como las plataformas J-51 y J-52 que tomando en cuenta la opinión local fueron utilizadas como hornos para asar chiles, lo que causó la erosión en el centro de las mismas. Por otro lado, existen casos como las estructuras D-47, K-15 y L-17, en las que el deterioro ha sido mayor e incluso ha dejado arquitectura original expuesta.

Un caso lamentable es el ocurrido en el grupo “D Suroeste” en donde la estructura D-25 fue casi totalmente arrasada durante el último año para la extracción de piedra.

Es difícil puntualizar cual fue cada una de las causas que provocó el daño a las estructuras, aunque no debemos olvidar que la vulnerabilidad de Chinikihá se debe en gran parte a que se encuentra alojado en terrenos que han sido adaptados para pastoreo, además de ser una zona de paso constante comenzando por la carretera que divide en dos al sitio, además de la red de veredas y caminos entre predios, muchos de los cuales cruzan y dan acceso sin descaro a los diferentes grupos arquitectónicos.

Chinikihá, el comienzo de una nueva historia

Como se menciona en el informe presentado sobre la temporada realizada en el sitio durante 2008 (Flores *et. al.* 2009), uno de los objetivos principales desde las primeras aproximaciones al mismo, era la elaboración de un mapa detallado.

A la fecha y después de tres temporadas de mapeo, se puede decir que contamos con una buena aproximación de lo que pudo haber sido la antigua ciudad de Chinikihá, conformada por distintos grupos arquitectónicos ordenados y amoldados al terreno, no obstante, es muy probable que en el futuro se sigan descubriendo estructuras que por una u otra razón han quedado por el momento fuera del mapa actual (Fig. 5).

Por otro lado, una particularidad trascendental que se puso de manifiesto en la temporada 2011, fue el entorno geográfico que rodea a Chinikihá; si bien, en el informe presentado en 2010 se menciona la importancia de la topografía como un factor que delimita físicamente al sitio, en la más reciente temporada este aspecto se hizo más evidente, incluso se podría decir que la geomorfología que envuelve al sitio era un componente esencial en el funcionamiento de la “ciudad”, proporcionando a los

diseñadores y constructores, lugares idóneos para controlar los accesos, para colocar puestos de observación, para el abastecimiento de agua, para la congregación de personas en espacios de gran amplitud, etc. (Fig. 6 y 7)

Lo que es innegable después de más de 48,000 puntos de control, 261 estaciones y más de 300 elementos arquitectónicos reconocidos (Tablas 2 y 3), es que la investigación arqueológica en el sitio a partir de su representación gráfica, abre un mundo de posibilidades para nuevas interpretaciones e ideas en torno al sitio, se puede decir que el descubrimiento de la historia de Chinikihá apenas comienza, y después de observar en un mapa su “real” magnitud, es muy diferente a lo que escasamente han podido visualizar los que de alguna u otra forma se han atrevido a escudriñar esta importante ciudad del Clásico Maya.

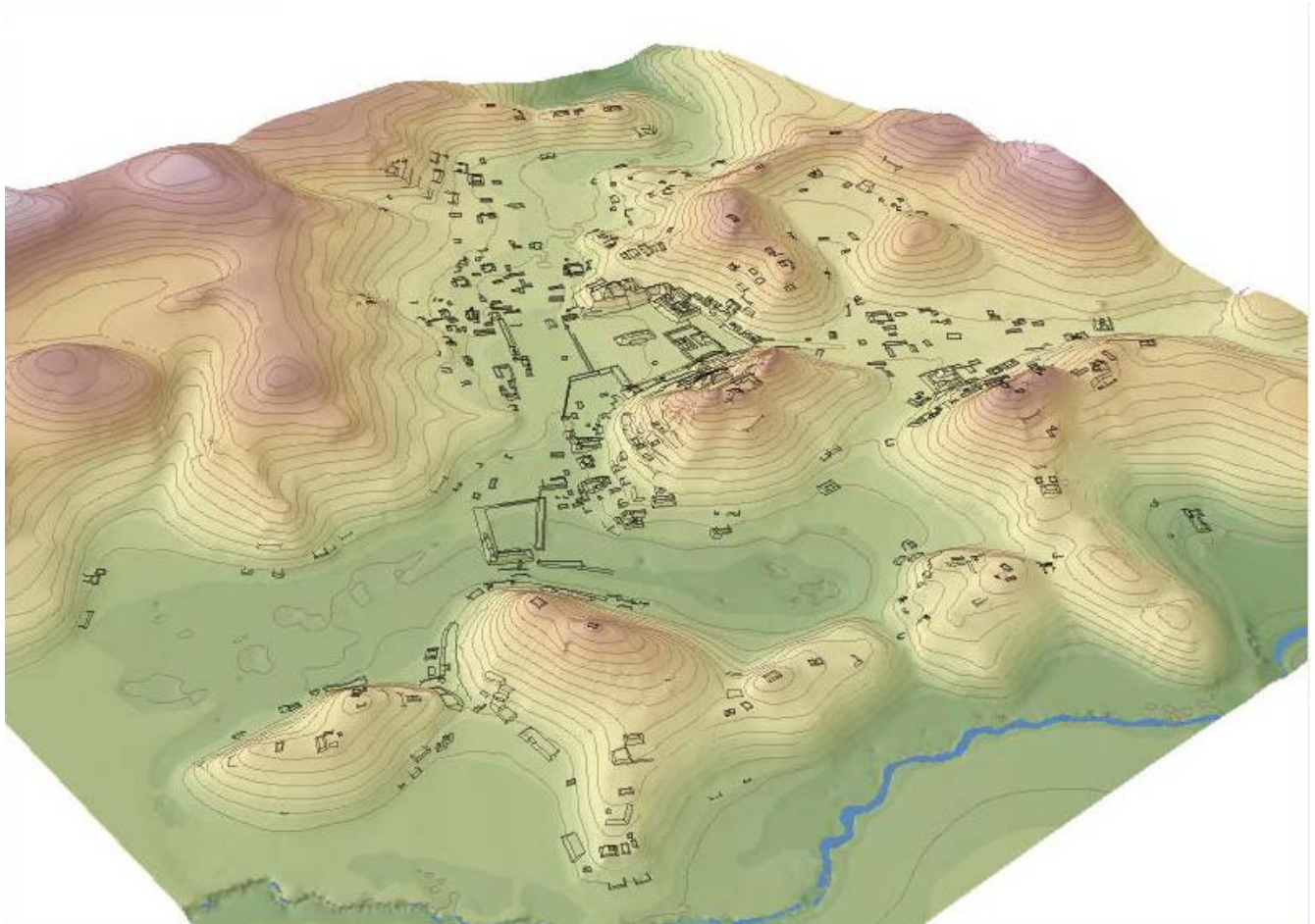


Fig. 5 Modelo digital de elevación

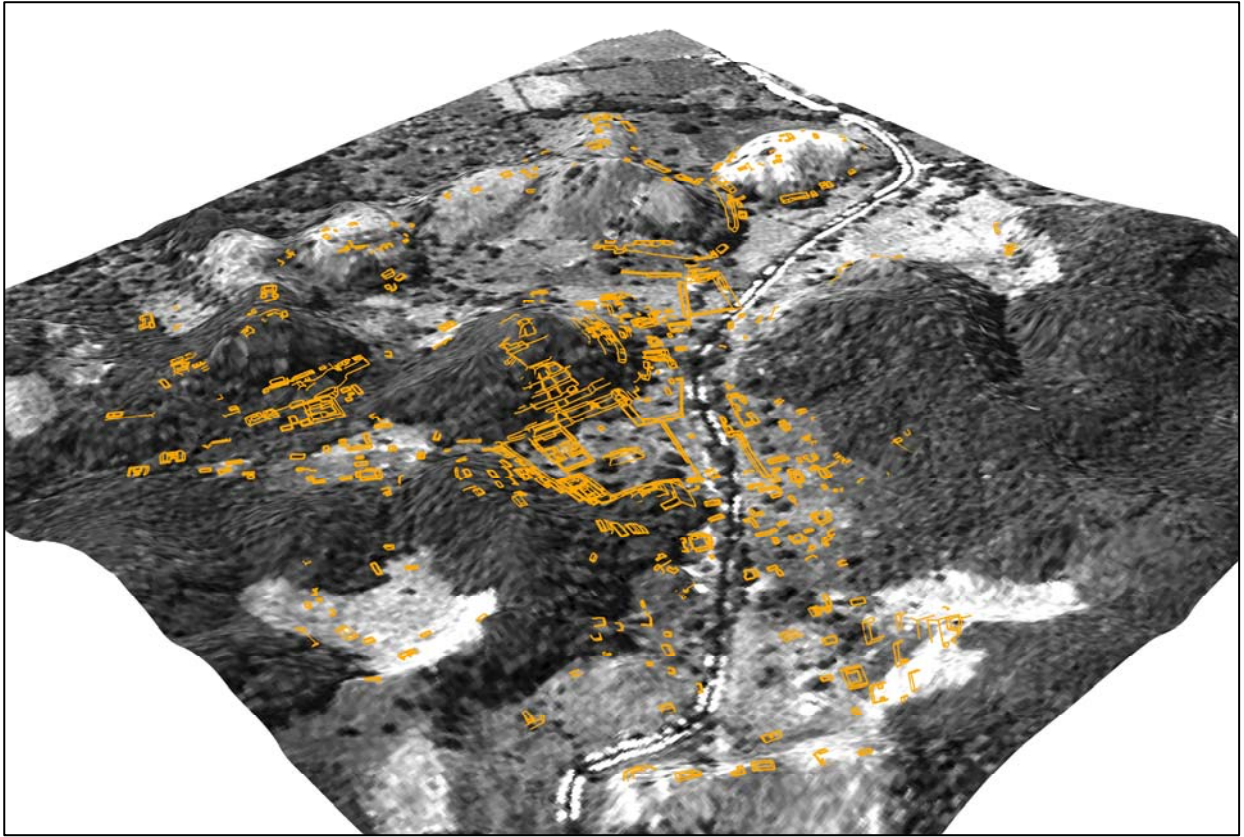


Fig. 6 Modelo digital de elevación, con imagen de satélite incrustada (Google 2011)

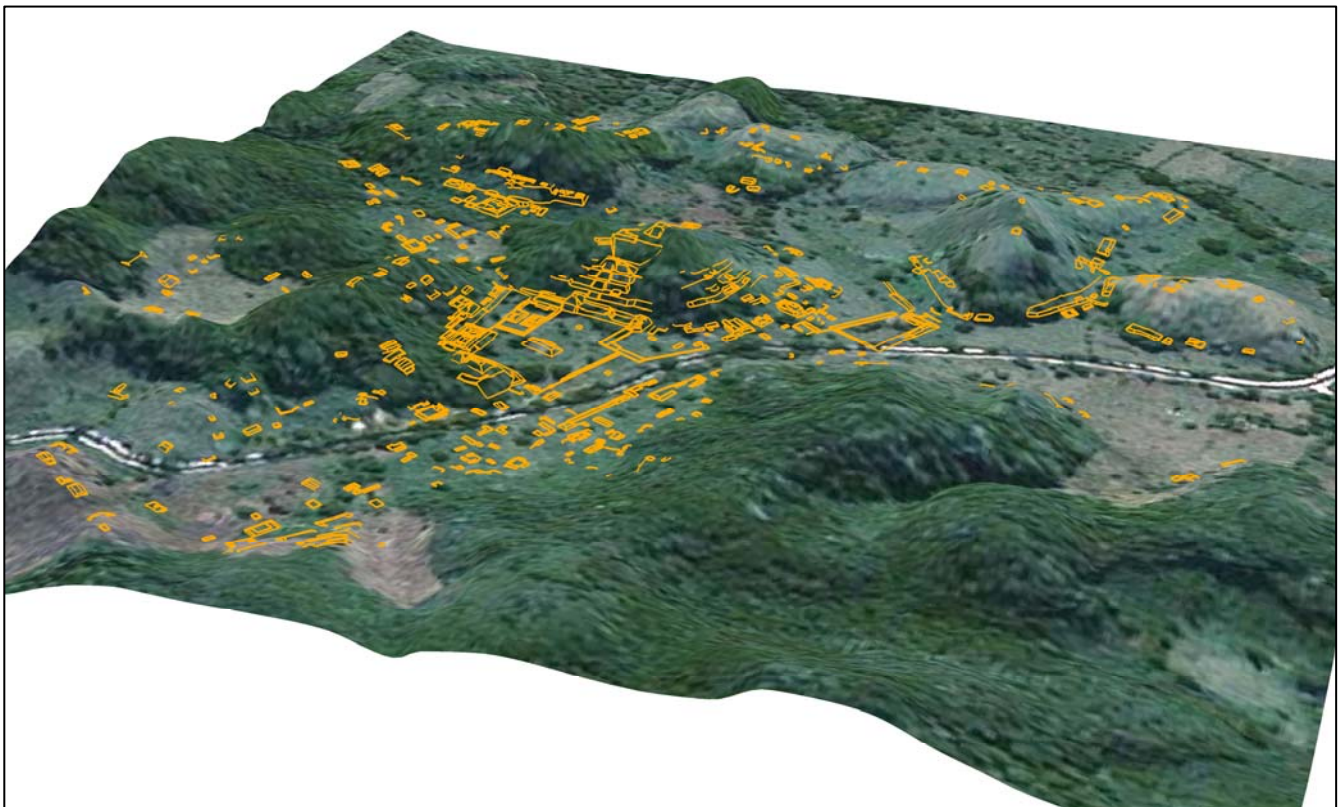


Fig. 7 Modelo digital de elevación, con imagen de satélite incrustada (Google 2011)

Tabla 2 Lista de coordenadas por estación de las temporadas 2008, 2010 y 2011, referencia Norte Magnético

Temporada 2008	Coord. X	Coord. Y	Coord. Z	Estación
	643190.000	1926283.000	200.000	A
	643304.929	1926147.230	200.042	I
	643254.127	1926328.340	198.882	1B
	643173.903	1926369.780	195.398	9B
	643206.833	1926433.830	194.448	10B
	643241.565	1926443.000	194.155	11B
	643242.137	1926468.890	194.139	12B
	643299.461	1926469.610	207.147	13B
	643131.855	1926330.750	192.823	14B
	643218.058	1926229.470	198.156	15B
	643133.566	1926187.070	201.028	16B
	643217.560	1926188.800	202.790	17B
	643018.138	1926184.480	192.761	18B
	643196.090	1926183.850	208.430	19B
	642933.291	1926100.560	186.927	20B
	642841.527	1926071.450	188.129	21B
	643008.821	1926029.770	199.159	22B
	642999.078	1926141.380	191.447	23B
	643257.086	1926288.070	201.548	24B
	643294.473	1926297.440	206.537	25B
	643257.373	1926308.720	201.873	26B
	643274.608	1926303.680	202.665	27B
	643281.204	1926276.070	202.930	28B
	643291.558	1926320.980	205.914	29B
	643388.186	1926125.480	201.828	30B
	643499.202	1926289.580	210.818	31B
	643635.061	1926431.960	246.114	32B
	643270.699	1926341.130	206.214	33B
	643261.164	1926377.050	206.105	34B
	643255.264	1926343.640	206.702	35B
	643247.491	1926379.490	206.362	36B

643234.365	1926377.610	206.778	37B
643208.348	1926376.060	206.680	38B
643220.558	1926366.410	214.101	39B
643195.869	1926164.970	207.804	40B
643172.793	1926166.700	207.598	41B
643191.650	1926139.530	220.836	42B
643149.934	1926153.970	214.096	43B
643190.070	1926124.870	223.890	44B
643295.484	1926254.740	205.731	45B
643336.358	1926290.220	223.875	46B
643308.738	1926246.430	211.535	47B
643095.905	1926367.570	192.448	48B
643072.965	1926348.270	194.444	49B
643104.379	1926424.080	197.285	50B
643221.018	1926158.420	210.996	51B
643193.640	1926107.850	235.816	52B
643348.281	1926290.250	228.226	53B
643385.499	1926302.930	251.194	54B
643174.275	1926116.950	223.666	55B
643177.301	1926087.100	241.159	56B
643144.629	1926122.240	221.650	57B
643154.993	1926132.400	228.752	58B
643027.688	1926344.290	194.079	59B
643187.299	1926456.790	194.855	60B
643129.296	1926166.670	206.618	61B
643249.561	1926181.410	199.336	62B
643166.465	1926082.730	240.223	63B
643135.004	1926088.927	240.184	64B
643377.806	1926325.100	262.248	65B
643133.257	1926072.363	247.385	66B

Temporada 2010

Coord. X	Coord. Y	Coord. Z	Estación
643094.526	1926370.783	192.296	70B
643241.502	1926520.163	196.396	71B
643284.113	1926606.195	198.284	72B
643369.336	1926671.290	193.825	73B
643451.653	1926729.476	225.911	74B
643512.162	1926683.138	224.912	75B
643440.508	1926600.507	201.453	76B
643440.129	1926541.496	214.143	77B
643402.455	1926499.702	213.648	78B
643289.382	1926506.441	194.880	79B
643226.239	1926439.316	195.784	80B
643273.809	1926295.801	202.261	81B
643212.337	1926739.635	230.118	82B
643308.303	1926714.104	199.269	83B
643186.063	1926633.723	206.551	84B
643069.147	1926149.832	207.993	85B
643026.003	1926027.475	201.307	86B
642839.137	1926074.029	188.198	87B
643047.501	1925907.465	183.033	88B
642887.179	1925743.769	220.303	89B
642909.022	1925950.807	183.377	90B
642718.684	1925740.553	208.432	91B
642702.196	1925724.788	207.882	92B
642671.926	1926004.118	185.827	93B
642705.966	1925917.427	206.665	94B
642597.575	1926040.508	184.993	95B
642513.265	1925954.790	218.251	96B
643287.235	1926212.974	201.701	97B
643325.875	1926126.629	199.888	98B
643315.191	1926209.238	217.061	99B
643346.898	1926207.189	231.777	100B
643355.108	1926216.399	239.085	101B
643368.478	1926233.255	242.288	102B
643390.010	1926262.410	238.787	103B
643343.827	1926245.697	229.138	104B
643401.023	1926033.972	200.155	105B
643404.105	1926007.237	200.400	106B
643389.694	1925998.460	204.035	107B
643377.756	1925991.198	201.531	108B
643367.128	1926010.319	202.649	109B
643381.778	1925980.307	205.506	110B
643426.845	1925976.593	202.857	111B
643355.251	1925974.282	203.964	112B

643345.020	1926015.435	198.337	113B
643331.781	1926021.883	199.011	114B
643316.520	1925995.039	197.467	115B
643319.798	1925966.815	201.195	116B
643278.344	1925987.368	196.410	117B
643270.944	1926003.754	198.807	118B
643438.409	1925959.532	207.824	119B
643423.925	1926000.288	201.159	120B
643293.757	1926036.742	213.093	121B
643264.801	1926052.152	218.575	122B
643193.289	1925987.552	201.295	124B
643141.527	1925975.559	201.723	126B
643130.804	1925910.429	187.109	127B
643131.093	1926025.892	229.067	128B
643128.928	1926035.505	232.876	129B
643303.952	1926141.009	200.735	130B
643271.744	1926135.465	213.637	131B
643043.842	1926116.042	206.735	132B
643068.438	1926090.508	218.403	133B
643262.051	1926424.123	201.972	134B
643282.231	1926414.257	212.543	135B
643292.115	1926402.172	218.004	136B
643306.377	1926399.616	220.519	137B
643314.605	1926379.299	224.571	138B
643337.749	1926388.461	224.571	139B
643165.805	1925939.230	190.193	140B
643140.825	1925825.522	188.839	141B
643377.098	1926372.842	239.999	142B
643351.921	1926406.361	220.171	143B
643356.223	1925954.973	214.223	144B
643376.795	1925953.272	215.618	145B
643328.050	1925948.542	214.030	146B
643387.797	1925937.498	217.873	147B
643305.576	1925944.787	210.351	148B
643282.509	1925942.768	207.242	149B
643401.485	1926365.060	256.388	150B
643408.261	1926376.997	255.810	151B
643437.043	1926396.896	250.281	152B
643464.972	1926416.439	232.053	153B
643486.797	1926431.225	241.267	154B
643517.555	1926431.276	242.349	155B
643539.082	1926435.612	240.256	156B
642644.567	1925725.269	192.143	157B

Temporada 2011

Coord. X	Coord. Y	Coord. Z	Estación
643054.760	1925785.667	186.443	158C
643066.675	1925755.155	198.773	159C
643108.087	1925753.273	205.232	160C
643060.271	1925703.903	208.146	161C
642989.032	1925638.771	181.235	162C
643079.918	1925706.471	210.885	163C
642907.379	1926173.977	188.920	164C
642824.538	1926163.855	187.405	165C
642756.487	1926162.877	186.132	166C
642651.998	1926123.424	185.125	167C
642527.299	1926292.723	190.543	168C
642883.918	1925621.503	181.868	169C
642711.893	1925646.216	184.710	170C
643462.328	1926054.944	203.186	171C
643506.475	1926017.548	203.656	172C
643458.561	1925960.220	206.768	173C
643586.145	1925936.790	202.106	174C
643557.403	1925953.988	204.500	175C
643457.493	1925941.513	212.757	176C
643451.517	1925920.328	217.162	177C
643447.721	1925900.875	226.289	178C
643445.783	1925875.456	238.049	179C
643441.164	1925851.088	238.260	180C
643466.732	1925863.364	240.916	181C
643615.562	1926241.648	228.422	182C
643558.646	1926195.781	242.530	183C
643572.527	1926233.322	232.816	184C
643540.771	1926191.930	244.884	185C
643591.943	1925953.996	205.128	186C
643549.826	1925928.864	212.718	187C
643542.834	1925895.648	226.909	188C
643559.862	1925880.033	226.270	189C
643411.886	1925874.941	250.952	190C
643394.928	1925879.256	261.337	191C
643366.084	1925875.207	260.175	192C
643348.040	1925873.053	258.971	193C
643339.226	1925881.648	262.625	194C
643339.063	1925870.993	258.924	195C
643107.578	1925761.104	206.382	196C
643110.972	1925765.720	208.982	197C
643132.107	1925755.682	212.647	198C
643123.991	1925769.575	213.801	199C
643086.641	1925759.945	200.831	200C
643145.571	1925712.831	219.918	201C
643157.058	1925742.219	215.022	202C
643245.011	1925813.824	200.656	203C
643430.140	1925812.572	226.416	204C
643457.009	1925843.382	235.876	205C
643360.788	1925684.073	183.308	206C
643287.372	1925782.216	220.776	207C
643194.550	1925978.759	199.850	208C
643197.734	1925710.563	206.890	209C
643299.595	1925775.699	220.723	210C
643284.866	1925767.202	223.235	211C
643296.579	1925803.574	225.405	212C

643274.497	1925732.915	214.226	213C
643296.149	1925717.550	204.643	214C
643332.314	1925830.066	237.474	215C
643339.370	1925820.531	236.943	216C
643340.978	1925837.884	242.448	217C
643335.553	1925847.813	246.407	218C
643135.167	1925552.463	180.292	219C
643143.875	1925618.290	182.962	220C
643187.713	1925501.033	180.315	221C
643234.705	1925496.709	180.293	222C
643265.437	1925502.113	179.141	223C
642650.271	1925653.727	189.188	224C
642582.091	1925687.176	185.506	225C
642643.371	1925754.372	188.463	226C
643020.251	1926166.590	192.724	227C
642611.767	1925889.836	194.353	228C
642421.725	1925893.620	186.746	229C
642437.994	1925995.925	189.074	230C
643352.664	1926571.627	194.949	231C
642638.808	1925935.251	209.927	232C
642591.830	1925946.779	221.466	233C
642590.987	1926294.817	189.862	234C
642659.251	1926388.705	203.540	235C
643306.425	1926218.487	212.522	236C
643307.692	1926240.233	211.616	237C
643328.328	1926251.034	219.638	238C
643349.698	1926261.796	229.557	239C
643343.935	1926285.345	227.571	240C
643284.457	1926721.368	202.723	241C
643410.439	1926767.729	225.914	242C
643406.041	1926755.693	225.013	243C
643426.378	1926190.873	205.921	244C
643489.194	1926286.856	210.626	245C
643452.203	1926188.163	211.864	246C
643493.994	1926174.483	235.987	247C
643506.941	1926173.155	240.147	248C
643478.924	1925866.882	240.768	249C
643490.525	1925872.838	236.615	250C
643507.362	1925881.241	235.396	251C
643608.066	1925929.496	201.490	252C
643526.619	1926182.405	244.771	253C
643534.177	1926139.036	230.260	254C
643466.085	1926299.386	211.846	255C
643449.846	1926306.932	219.300	256C
643425.423	1926219.710	216.410	257C
643036.820	1926502.040	203.793	258C
643013.695	1926513.898	209.487	259C
643001.923	1926512.129	218.373	260C
642982.458	1926510.054	226.148	261C

Tabla 3 Listado de dimensiones de estructuras en metros, temporadas 2008, 2010 y 2011

Grupo	Estructura	Largo	Ancho	Área (m ²)	Alto	Tipo de Estructura	
A Núcleo Cívico Ceremonial	A-1	42.9	17.4	746.46	4.5	plataforma rectangular	
	A-2	25.3	19.3	488.29	8	estructura piramidal	
	A-3	23.7	18.1	428.97	8.5	estructura piramidal	
	A-4	A-4a	27.5	7.6	209	2.5	plataforma rectangular
		A-4b	12.5	4.3	53.75	2.5	plataforma rectangular
		A-4c	18	3.9	70.2	2.5	plataforma rectangular
		A-4d	15	4.1	61.5	2.5	plataforma rectangular
		A-4e	19.8	5.8	114.84	2.5	plataforma rectangular
		A-4f	23.3	4	93.2	2	plataforma rectangular
		A-4g	19.8	6.9	136.62	1.5	plataforma rectangular
		A-4h	25.4	6.2	157.48	1.5	plataforma rectangular
		A-4i	5	4.3	21.5	0.5	plataforma cuadrangular
		A-4j	14.8	7.7	113.96	1	plataforma en forma de L
		A-5	A-5	19.8	2.7	53.46	0.5
	A-6		58.4	31.6	1845.44	0	juego de pelota
	A-7		35.4	15.5	548.7	4	plataforma rectangular
	A-8		18.3	16	292.8	8	estructura piramidal
	A-9		41.4	17	703.8	9.5	plataforma rectangular
	A-10		24.4	14.2	346.48	0.5	plataforma en forma de L
	A-11		26	22.4	582.4	9.5	estructura piramidal
	A-12		11.4	2.8	31.92	1.5	plataforma en forma de L
	A-13		14.8	8.9	131.72	3	plataforma rectangular
	A-14		48.1	22.6	1087.06	0.5	plataforma en forma de L
	A-15		18.2	7.3	132.86	2	plataforma rectangular
	A-16		22.7	18	408.6	0.5	plataforma en forma de L
	A-17		9.3	6.6	61.38	2	plataforma rectangular
	A-18		15.3	2.5	38.25	2	plataforma rectangular
	A-19		6.9	4.2	28.98	1	plataforma rectangular
	A-20		18	5.9	106.2	0.5	plataforma en forma de L
	A-21		12.3	4.2	51.66	0.6	plataforma rectangular
A-22	A-22		16.8	8.6	144.48	0.7	plataforma rectangular
	A-22a		16.6	13.2	219.12	0.7	plataforma basal
A-23	A-23		25	9.2	230	1.5	plataforma rectangular
	A-24		18.7	5.6	104.72	0.6	plataforma rectangular
	A-25	11.2	3.5	39.2	1	plataforma rectangular	
A-26	A-26	10	8.8	88	0.7	plataforma basal	
	A-26a	6.8	2.4	16.32	0.4	plataforma rectangular	
A-27	A-27	16.5	4.6	75.9	1	plataforma rectangular	
	A-28	11.2	5.4	60.48	0.3	plataforma rectangular	
	A-29	12.1	8.3	100.43	0.5	plataforma rectangular	
	A-30	17.6	3.6	63.36	0.6	plataforma rectangular	

Grupo	Estructura	Largo	Ancho	Área (m ²)	Alto	Tipo de Estructura	
B Anfiteatro	B-1	7.2	6.9	49.68	2	plataforma cuadrangular	
	B-2	18.5	6	111	0.5	plataforma rectangular	
	B-3	13.3	3.8	50.54	0.3	plataforma rectangular	
	B-4	7.6	4.8	36.48	1	plataforma rectangular	
	B-5	6.3	5.8	36.54	1	plataforma cuadrangular	
	B-6	9.1	5.6	50.96	1	plataforma rectangular	
	B-7	7.1	4.9	34.79	1	plataforma rectangular	
	B-8	19.1	5.7	108.87	5.5	plataforma rectangular	
	B-9	8	6	48	1.5	plataforma rectangular	
	B-10	14.1	5.8	81.78	0.5	plataforma en forma de L	
	B-11	4.2	2.9	12.18	1	plataforma rectangular	
	B-12	11	5	55	0.5	plataforma rectangular	
	B-13	17.5	9.2	161	3.5	plataforma rectangular	
	B-14	13.1	8.2	107.42	1.5	plataforma rectangular	
	B-15	B-15	22.1	13.9	307.19	0.8	plataforma basal
		B-15a	11.5	6.5	74.75	0.4	plataforma rectangular
		B-16	11.1	5.6	62.16	0.3	plataforma rectangular
		B-17	11.6	4.5	52.2	0.5	plataforma rectangular
		B-18	11	7.4	81.4	0.5	plataforma rectangular
		B-19	11.9	5.5	65.45	0.4	plataforma rectangular
		B-20	4.7	4.4	20.68	0.3	plataforma cuadrangular
		B-21	5.6	3	16.8	0.2	plataforma rectangular
B-22		11.6	4.5	52.2	0.4	plataforma rectangular	

Grupo	Estructura	Largo	Ancho	Área (m ²)	Alto	Tipo de Estructura	
C Sureste	C-1	6	5.1	30.6	1	plataforma rectangular	
	C-2	9.8	7	68.6	1	plataforma rectangular	
	C-3	12.8	4.1	52.48	0.5	plataforma rectangular	
	C-4	13.5	6.5	87.75	0.5	plataforma rectangular	
	C-5	C-5a	10.7	5.3	56.71	0.5	plataforma rectangular
		C-5b	18	6.6	118.8	0.5	plataforma rectangular
		C-5c	10.2	4.3	43.86	0.5	plataforma rectangular
		C-5d	7.9	3.6	28.44	1	plataforma rectangular
		C-6	7.7	7.7	59.29	0.5	plataforma cuadrangular
		C-7	14	7.2	100.8	0.3	plataforma rectangular
		C-8	8.8	4.5	39.6	0.3	plataforma rectangular
		C-9	26.3	6	157.8	0.5	plataforma rectangular
		C-10	13.6	7	95.2	0.5	plataforma rectangular
		C-11	18.4	5.6	103.04	0.5	plataforma rectangular
C-12		8	7.5	60	0.5	plataforma rectangular	
C-13		12.7	7.7	97.79	1	plataforma basal	
C-14	15.1	7.3	110.23	1	plataforma rectangular		

		C-15	19.3	5.7	110.01	0.5	plataforma rectangular
		C-16	18.7	6.2	115.94	1	plataforma en forma de L
		C-17	11.1	6	66.6	0.3	plataforma rectangular
		C-18	14.6	9.5	138.7	0.3	plataforma rectangular
		C-19	7	6.5	45.5	0.4	plataforma cuadrangular
		C-20	11.9	5.9	70.21	0.9	plataforma rectangular
		C-21	7.3	6.8	49.64	1	plataforma cuadrangular
		C-22	8.2	6.3	51.66	1.2	plataforma rectangular
		C-23	17.6	5.8	102.08	0.5	plataforma rectangular
		C-24	12.4	7.2	89.28	1	plataforma rectangular
	C-25	29.1	8	232.8	0.7	plataforma rectangular	
	C-26	C-26	25.5	12.5	318.75	1.8	plataforma basal en forma de C
		C-26a	9.3	5	46.5	0.6	plataforma rectangular
C-27	C-27	20.9	18	376.2	1.3	plataforma basal en forma de C	
	C-27a	5.7	4.2	23.94	0.3	plataforma rectangular	

Grupo	Estructura	Largo	Ancho	Área (m ²)	Alto	Tipo de Estructura	
D Suroeste		D-1	20.3	7.6	154.28	1.5	plataforma rectangular
		D-2	14.1	6.6	93.06	1.5	plataforma rectangular
		D-3	14.8	8.6	127.28	2.5	plataforma rectangular
		D-4	15	13.8	207	2.5	plataforma basal
	D-4	D-4a	9.3	5.6	52.08	0.5	plataforma rectangular
		D-4b	21.5	7.3	156.95	0.5	plataforma rectangular
		D-4c	18.1	5.6	101.36	0.5	plataforma rectangular
		D-5	13	7.5	97.5	1	plataforma rectangular
	D-6	D-6	19.9	14	278.6	1.5	plataforma basal
		D-6a	7.6	2.6	19.76	0.5	plataforma rectangular
		D-6b	5	2.9	14.5	0.3	plataforma rectangular
		D-6c	7.7	4.4	33.88	0.5	plataforma rectangular
		D-6d	3.9	3.9	15.21	0.5	plataforma cuadrangular
		D-6e	3.9	3.3	12.87	0.5	plataforma cuadrangular
		D-7	12.2	4.4	53.68	1.5	plataforma rectangular
		D-8	8.8	4.8	42.24	0.5	plataforma rectangular
D-9		14.1	3.3	46.53	0.5	plataforma rectangular	
D-10		27.1	7	189.7	0.5	plataforma rectangular	
D-11		7.8	4.6	35.88	0.5	plataforma rectangular	
D-12		19	16.5	313.5	2	plataforma basal	
D-12	D-12a	18.9	7.7	145.53	0.5	plataforma en forma de L	
	D-12b	11	4.8	52.8	0.5	plataforma rectangular	
	D-12c	5.5	4	22	1	plataforma rectangular	
	D-12d	8.6	6.2	53.32	1	plataforma rectangular	
	D-13	11.2	5.3	59.36	1.5	plataforma rectangular	
	D-14	11.5	6.3	72.45	1.5	plataforma rectangular	
	D-15	14.5	4.2	60.9	1	plataforma rectangular	
	D-16	10.5	5.5	57.75	1	plataforma rectangular	

	D-17	10	6.2	62	0.5	plataforma rectangular
	D-18	56.1	3.7	207.57	0.5	plataforma rectangular
	D-19	82.7	8.8	727.76	1.5	plataforma rectangular
	D-20	30.1	16.9	508.69	3.5	plataforma rectangular
	D-21	92	10.4	956.8	2	plataforma rectangular
D-22	D-22	24.4	4.8	117.12	1.5	plataforma basal
	D-22a	5.1	4.1	20.91	0.5	plataforma rectangular
	D-22b	5.1	2.7	13.77	0.5	plataforma rectangular
	D-23	42.8	4.5	192.6	0.3	plataforma rectangular
	D-24	8.9	4.5	40.05	1	plataforma rectangular
D-25	D-25	18.5	7.4	136.9	1.5	plataforma rectangular
	D-25a	11.4	3.2	36.48	0.5	plataforma rectangular
	D-25b	11	3.2	35.2	0.5	plataforma rectangular
D-26	D-26	19.5	6.8	132.6	2	plataforma rectangular
	D-26a	7.2	4.9	35.28	1	plataforma rectangular
	D-26b	12.8	4.6	58.88	0.5	plataforma rectangular
	D-27	9.2	5.2	47.84	1	plataforma rectangular
	D-28	5	3.6	18	0.5	plataforma rectangular
	D-29	20	5.4	108	0.5	plataforma rectangular
	D-30	3.9	3.7	14.43	1	plataforma cuadrangular
	D-31	8.3	3.8	31.54	0.5	plataforma rectangular
	D-32	11.9	6.3	74.97	0.7	plataforma rectangular
	D-33	8.8	5.6	49.28	0.6	plataforma rectangular
	D-34	12.7	4.8	60.96	0.9	plataforma rectangular
	D-35	8.9	6.7	59.63	0.8	plataforma rectangular
	D-36	7.3	5.3	38.69	0.6	plataforma rectangular
	D-37	7.5	4.4	33	0.8	plataforma rectangular
	D-38	19.4	7.8	151.32	1	plataforma rectangular
D-39	D-39	41.9	20.6	863.14	2.5	plataforma basal en forma de C
	D-39a	12.4	6.4	79.36	0.4	plataforma rectangular
	D-40	12.1	8	96.8	0.5	plataforma rectangular
	D-41	15.8	5.8	91.64	0.5	plataforma rectangular
	D-42	8.4	6.3	52.92	0.4	plataforma rectangular
	D-43	13.8	5.3	73.14	0.4	plataforma rectangular
	D-44	13.6	8.6	116.96	0.6	plataforma rectangular
	D-45	9.3	6	55.8	1.8	plataforma rectangular
	D-46	9.6	4.2	40.32	1.5	plataforma rectangular
	D-47	8.4	8.3	69.72	0.7	plataforma rectangular
	D-48	14.3	12.3	175.89	1.1	plataforma rectangular
	D-49	23.9	5.6	133.84	0.6	plataforma rectangular

Grupo	Estructura	Largo	Ancho	Área (m ²)	Alto	Tipo de Estructura
E Noroeste	E-1	17.5	10.2	178.5	1.5	plataforma rectangular
	E-2	6	6	36	0.5	plataforma cuadrangular
	E-3	32.8	9.9	324.72	0.5	plataforma rectangular
	E-4	8.7	4.9	42.63	0.3	plataforma rectangular
	E-5	16.8	12.9	216.72	1	plataforma rectangular
	E-6	12.2	5.4	65.88	0.5	plataforma rectangular
	E-7	10	5.1	51	0.5	plataforma rectangular
	E-8	8.9	4.5	40.05	0.5	plataforma rectangular
	E-9	11.3	6	67.8	1.5	plataforma rectangular
	E-10	12	7.9	94.8	2	plataforma rectangular
	E-11	16.5	6.6	108.9	1.5	plataforma rectangular
	E-12	15	4.5	67.5	1	plataforma rectangular
	E-13	21.7	6	130.2	0.5	plataforma en forma de L
	E-14	6.8	4.5	30.6	1.5	plataforma rectangular
	E-15	7.3	6.5	47.45	2	plataforma rectangular
	E-16	17.5	6.9	120.75	2	plataforma rectangular
	E-17	12.6	5.8	73.08	1	plataforma rectangular
	E-18	12.2	8.1	98.82	1	plataforma rectangular
	E-19	15.7	6.4	100.48	1	plataforma rectangular
	E-20	17.1	9	153.9	1.5	plataforma rectangular
	E-21	58.7	7.1	416.77	0.5	plataforma rectangular
	E-22	13.1	12.5	163.75	2.5	plataforma rectangular
	E-23	8.4	4.3	36.12	1	plataforma rectangular
	E-24	23	5.1	117.3	1.5	plataforma rectangular
	E-25	10.3	4	41.2	0.5	plataforma rectangular
	E-26	9.6	5.3	50.88	0.5	plataforma rectangular
	E-27	6.3	4.1	25.83	1.5	plataforma rectangular
	E-28	20.2	3.8	76.76	1.5	plataforma rectangular
	E-29	7.1	4.8	34.08	0.5	plataforma en forma de L
	E-30	16.8	3.9	65.52	0.5	plataforma rectangular
	E-31	10.3	4	41.2	0.5	plataforma rectangular
	E-32	9.1	4	36.4	0.3	plataforma rectangular
	E-33	6.6	3.8	25.08	0.3	plataforma rectangular
	E-34	7.7	2.3	17.71	0.3	plataforma rectangular
	E-35	18.5	7.6	140.6	0.5	plataforma en forma de L
	E-36	22.2	5.3	117.66	0.5	plataforma rectangular
	E-37	8.1	3.2	25.92	0.3	plataforma rectangular
	E-38	10.2	6.3	64.26	0.5	plataforma rectangular
	E-39	10.8	5.2	56.16	0.5	plataforma rectangular
	E-40	7.8	4.9	38.22	0.5	plataforma rectangular
	E-41	5.1	4.6	23.46	0.3	plataforma rectangular
	E-42	7	5.4	37.8	0.5	plataforma rectangular

Grupo	Estructura	Largo	Ancho	Área (m ²)	Alto	Tipo de Estructura
F Norte	F-1	16.5	8.7	143.55	1	plataforma rectangular
	F-2	16.4	6.3	103.32	1	plataforma rectangular
	F-3	15.7	6.7	105.19	1.5	plataforma rectangular
	F-4	16.3	7.8	127.14	1	plataforma rectangular
	F-5	21.4	4.6	98.44	1	plataforma rectangular
	F-6	18.7	5.6	104.72	0.5	plataforma rectangular
	F-7	7	3.8	26.6	0.3	plataforma rectangular
	F-8	12.6	11.5	144.9	0.5	plataforma en forma de L
	F-9	17.4	11.3	196.62	0.5	plataforma en forma de L
	F-10	11.5	4.8	55.2	0.5	plataforma rectangular
	F-11	6.2	4.4	27.28	0.3	plataforma rectangular
	F-12	17	5.5	93.5	0.5	plataforma rectangular
	F-13	12	5.2	62.4	0.5	plataforma rectangular
	F-14	8.5	3.7	31.45	0.5	plataforma rectangular
	F-15	7.4	3.7	27.38	0.5	plataforma rectangular
	F-16	9.4	4.6	43.24	0.5	plataforma rectangular
	F-17	9.7	4.7	45.59	0.5	plataforma rectangular
	F-18	7.7	3.3	25.41	1	plataforma rectangular
	F-19	10.5	4.3	45.15	1	plataforma rectangular
	F-20	9.3	4.4	40.92	1	plataforma rectangular
	F-21	14.4	5.6	80.64	1.5	plataforma rectangular
	F-22	8.1	8.1	65.61	1	plataforma cuadrangular
	F-23	5.8	5.8	33.64	0.5	plataforma rectangular
	F-24	9.5	5.5	52.25	0.5	plataforma rectangular
	F-25	10.3	5.5	56.65	0.5	plataforma rectangular
	F-26	11	4.5	49.5	1	plataforma rectangular
	F-27	10.3	7.9	81.37	0.5	plataforma en forma de L
	F-28	12.7	6.3	80.01	1	plataforma rectangular
	F-29	7.8	4	31.2	0.5	plataforma rectangular
	F-30	8.8	8.1	71.28	1	plataforma rectangular
	F-31	10.9	8	87.2	0.5	plataforma rectangular

Grupo	Estructura	Largo	Ancho	Área (m ²)	Alto	Tipo de Estructura	
G Límite Norte	G-1	18	5.3	95.4	0.3	plataforma rectangular	
	G-2	7.1	5.7	40.47	0.6	plataforma rectangular	
	G-3	13.2	8.8	116.16	1.5	plataforma rectangular	
	G-4	20.9	11.3	236.17	1.2	plataforma rectangular	
	G-5	7.4	6.3	46.62	1.1	plataforma rectangular	
	G-6	13.9	8.5	118.15	0.2	plataforma rectangular	
	G-7	14.3	8.5	121.55	0.7	plataforma rectangular	
	G-8	6.6	4.2	27.72	0.3	plataforma rectangular	
	G-9	30.7	12.7	389.89	1.9	plataforma rectangular	
	G-10	11	6.6	72.6	0.5	plataforma rectangular	
	G-11	15.9	14	222.6	1.1	plataforma rectangular	
	G-12	33.8	7.3	246.74	1,6	plataforma rectangular	
	G-13	27.6	16.6	458.16	1,7	plataforma en forma de C	
	G-14	25.2	9.3	234.36	0.9	plataforma rectangular	
	G-15	5.7	3.7	21.09	0.1	plataforma rectangular	
	G-16	G-16	23.9	12.3	293.97	1.1	plataforma basal
		G-16a	4.4	4.1	18.04	0.5	plataforma cuadrangular
		G-16b	4	3.6	14.4	0.6	plataforma cuadrangular
	G-17	G-17	18.5	8.9	164.65	1.1	plataforma en forma de C
		G-18	19.8	11.3	223.74	1.2	plataforma rectangular
		G-19	12.4	11.2	138.88	0.5	plataforma en forma de L
		G-20	22.9	10.1	231.29	0.7	plataforma rectangular
	G-21	G-21	20.7	15.5	320.85	1	plataforma basal
		G-21a	9.7	8.3	80.51	0.3	plataforma rectangular
	G-22	G-22	24.7	6.9	170.43	1.7	plataforma rectangular
		G-23	9.1	5.2	47.32	1.8	plataforma rectangular
		G-24	11.2	5.8	64.96	0.7	plataforma rectangular
G-25		11.8	5.4	63.72	0.6	plataforma rectangular	
G-26	G-26	23.7	12	284.4	0.5	plataforma rectangular	
	G-26a	8.6	4.1	35.26	0.2	plataforma rectangular	
	G-26b	7.2	2.8	20.16	0.3	plataforma rectangular	
G-27	20	9.1	182	2	plataforma rectangular		

Grupo	Estructura	Largo	Ancho	Área (m ²)	Alto	Tipo de Estructura
H Noreste	H-1	11.4	5.1	58.14	0.5	plataforma rectangular
	H-2	13.5	6.8	91.8	0.5	plataforma rectangular
	H-3	8.6	6.4	55.04	0.8	plataforma rectangular
	H-4	19.9	6.8	135.32	0.6	plataforma rectangular
	H-5	5.3	4.9	25.97	0.5	plataforma rectangular
	H-6	6.7	3.6	24.12	0.6	plataforma rectangular
	H-7	22.3	10.9	243.07	0.7	plataforma rectangular
	H-8	9.4	6	56.4	0.3	plataforma rectangular

		H-9	6.8	5.3	36.04	0.3	plataforma rectangular
		H-10	11.8	10.8	127.44	0.5	plataforma rectangular
		H-11	8.8	7.4	65.12	0.8	plataforma rectangular
		H-12	11.5	7.7	88.55	1.2	plataforma rectangular
	H-13	H-13	18.2	17.3	314.86	1.6	plataforma cuadrangular
		H-13a	12.8	7.5	96	1.2	plataforma rectangular
		H-14	10	2.2	22	1	plataforma rectangular

Grupo	Estructura	Largo	Ancho	Área (m ²)	Alto	Tipo de Estructura
I Sur	I-1	10.9	9	98.1	1.2	plataforma rectangular
	I-2	12.8	7.9	101.12	0.4	plataforma rectangular
	I-3	14.3	8.4	120.12	1	plataforma rectangular
	I-4	13.5	10.5	141.75	2	plataforma rectangular
	I-5	21.8	8	174.4	2.8	plataforma en forma de C
	I-6	6.8	4.3	29.24	1	plataforma rectangular
	I-7	21.5	5	107.5	0.8	plataforma rectangular
	I-8	16.2	6.1	98.82	0.6	plataforma rectangular
	I-9	7.3	6.5	47.45	0.8	plataforma rectangular
	I-10	10.8	5.4	58.32	0.6	plataforma rectangular
	I-11	25.4	6.7	170.18	1	plataforma rectangular
	I-12	5.5	5	27.5	0.4	plataforma en forma de L
	I-13	8.3	4.2	34.86	0.4	plataforma rectangular
	I-14	8.8	2.4	21.12	0.4	plataforma rectangular
	I-15	4.5	4.4	19.8	0.2	plataforma cuadrangular
	I-16	6.9	3.5	24.15	0.2	plataforma rectangular
	I-17	6.4	6.2	39.68	0.4	plataforma en forma de L
	I-18	10.1	7	70.7	0.6	plataforma rectangular
	I-19	11.8	5.8	68.44	0.6	plataforma rectangular
	I-20	16.6	6.9	114.54	0.8	plataforma rectangular
	I-21	7.5	5.7	42.75	0.6	plataforma rectangular
	I-22	7.4	3.8	28.12	0.4	plataforma rectangular
	I-23	19.8	15.3	302.94	2.4	plataforma en forma de L
	I-24	23.4	9.5	222.3	2	plataforma rectangular
	I-25	12.4	7.3	90.52	1.4	plataforma rectangular
	I-26	22	16.8	369.6	4	plataforma rectangular
	I-27	10.3	5.3	54.59	0.6	plataforma rectangular
	I-28	16	4.7	75.2	0.8	plataforma rectangular
	I-29	20.6	13.9	286.34	1.4	plataforma en forma de C
	I-30	11.3	5.9	66.67	0.6	plataforma rectangular
	I-31	15.5	7.2	111.6	1.2	plataforma rectangular
	I-32	11.1	6.4	71.04	0.8	plataforma rectangular
	I-33	9.8	3.9	38.22	0.8	plataforma rectangular

Grupo	Estructura	Largo	Ancho	Área (m ²)	Alto	Tipo de Estructura	
J Límite Suroeste	J-1	J-1	16.4	10.3	168.92	0.8	plataforma basal
		J-1a	3.3	2.7	8.91	0.4	plataforma cuadrangular
		J-1b	5.7	3.6	20.52	0.5	plataforma rectangular
		J-2	12.7	4.5	57.15	0.4	plataforma rectangular
		J-3	8.6	5	43	0.5	plataforma rectangular
		J-4	6.9	5.7	39.33	0.9	plataforma rectangular
		J-5	31.7	9	285.3	1.8	plataforma rectangular
		J-6	8.2	3.2	26.24	0.3	plataforma rectangular
		J-7	12	5.6	67.2	0.5	plataforma en forma de L
		J-8	20.4	7.7	157.08	1.3	plataforma rectangular
		J-9	10.8	5.9	63.72	2	plataforma rectangular
		J-10	11.1	4.8	53.28	0.9	plataforma rectangular
		J-11	25	11.6	290	1	plataforma rectangular
		J-12	J-12	11	6.4	70.4	0.6
	J-12a		4.5	2.7	12.15	0.3	plataforma rectangular
		J-13	42.9	8.7	373.23	1.1	plataforma en forma de C
		J-14	13	8.9	115.7	0.5	plataforma rectangular
		J-15	8.2	4.9	40.18	0.3	plataforma rectangular
		J-16	31.2	7.9	246.48	2	plataforma rectangular
		J-17	6.3	5.1	32.13	0.6	plataforma rectangular
	J-18	J-18	14.4	11.4	164.16	1.5	plataforma basal
		J-18a	4.2	4.1	17.22	0.3	plataforma cuadrangular
		J-19	11.3	5.9	66.67	0.3	plataforma rectangular
		J-20	9	3.7	33.3	0.3	plataforma rectangular
		J-21	5	4.1	20.5	0.4	plataforma cuadrangular
		J-22	11.5	7	80.5	0.7	plataforma rectangular
		J-23	15.9	15.3	243.27	1.4	plataforma cuadrangular
		J-24	16.3	10.6	172.78	2.5	plataforma rectangular
		J-25	5.9	3.2	18.88	0.2	plataforma rectangular
		J-26	5	4.5	22.5	0.2	plataforma cuadrangular
		J-27	9.1	6.4	58.24	0.6	plataforma rectangular
		J-28	13.5	10.4	140.4	0.9	plataforma rectangular
		J-29	8.5	5	42.5	0.3	plataforma rectangular
		J-30	7.5	5.4	40.5	0.4	plataforma rectangular
		J-31	11.2	4.3	48.16	0.6	plataforma rectangular
		J-32	11	5.5	60.5	0.3	plataforma rectangular
		J-33	8.6	6.2	53.32	1.7	plataforma rectangular
		J-34	36.3	8.8	319.44	1,7	plataforma rectangular
		J-35	7.1	3.7	26.27	0.4	plataforma rectangular
		J-36	8	4.6	36.8	0.4	plataforma rectangular
		J-37	7.4	3.3	24.42	0.4	plataforma rectangular
J-38		17.6	8	140.8	0.8	plataforma rectangular	
J-39	11	6.5	71.5	0.9	plataforma rectangular		
J-40	7.4	4.3	31.82	0.1	plataforma rectangular		
J-41	4.5	6.3	28.35	0.3	plataforma rectangular		

		J-42	7.9	5.8	45.82	0.5	plataforma rectangular
		J-43	5.9	2.2	12.98	0.2	plataforma rectangular
		J-44	12.6	6.3	79.38	1.3	plataforma rectangular
	J-45	J-45	8.8	5.9	51.92	0.8	plataforma basal
		J-45a	3.5	2.6	9.1	0.3	plataforma rectangular
		J-46	18.1	7.3	132.13	1.2	plataforma rectangular
		J-47	10.8	6.1	65.88	1.2	plataforma rectangular
		J-48	5.1	3.2	16.32	0.6	plataforma rectangular
		J-49	7.1	5.9	41.89	0.9	plataforma rectangular
		J-50	5.1	3.1	15.81	0.3	plataforma rectangular
		J-51	14.2	7	99.4	0.8	plataforma rectangular
		J-52	13.1	7.3	95.63	0.5	plataforma rectangular
		J-53	5.9	1.7	10.03	0.4	plataforma rectangular
		J-54	9.2	7	64.4	0.9	plataforma rectangular

Grupo	Estructura	Largo	Ancho	Área (m ²)	Alto	Tipo de Estructura	
K	K-1	K-1	17.7	13.5	238.95	0.5	plataforma rectangular
		K-1a	9.1	7.3	66.43	0.4	plataforma rectangular
		K-2	15.6	6.5	101.4	0.6	plataforma rectangular
		K-3	16.7	4.9	81.83	2	plataforma rectangular
		K-4	8.9	8.2	72.98	2.4	plataforma cuadrangular
		K-5	8.8	7.1	62.48	2	plataforma rectangular
		K-6	11.3	3.3	37.29	0.4	plataforma rectangular
		K-7	6.3	3.1	19.53	0.3	plataforma rectangular
		K-8	K-8	14.5	10.4	150.8	1
	K-8a		4.3	2.4	10.32	0.3	plataforma rectangular
		K-9	7.1	6.8	48.28	0.8	plataforma cuadrangular
		K-10	4.7	2.9	13.63	0.4	plataforma rectangular
		K-11	13.2	7.3	96.36	1.4	plataforma rectangular
		K-12	4.8	3.2	15.36	0.2	plataforma rectangular
		K-13	11.5	6.7	77.05	0.7	plataforma rectangular
		K-14	9.9	3.9	38.61	0.5	plataforma rectangular
		K-15	8.5	2.2	18.7	0.9	plataforma rectangular
K-16		11.9	2.3	27.37	0.2	plataforma rectangular	
K-17		5.3	2.4	12.72	0.4	plataforma rectangular	

Grupo	Estructura	Largo	Ancho	Área (m ²)	Alto	Tipo de Estructura
L Límite Sureste	L-1	17.9	6.2	110.98	0.35	plataforma rectangular
	L-2	10.3	4.8	49.44	0.2	plataforma rectangular
	L-3	6.4	5.5	35.2	0.4	plataforma cuadrangular
	L-4	6.4	4.2	26.88	0.2	plataforma rectangular
	L-5	15	4.9	73.5	0.5	plataforma rectangular
	L-6	17.9	6.5	116.35	0.5	plataforma rectangular
	L-7	17	9.3	158.1	0.6	plataforma rectangular
	L-8	4	3.7	14.8	0.2	plataforma cuadrangular
	L-9	4.1	1.8	7.38	0.3	plataforma rectangular
	L-10	10.9	4.5	49.05	0.5	plataforma rectangular
	L-11	5.9	4.8	28.32	0.3	plataforma rectangular
	L-12	9.6	4	38.4	0.3	plataforma rectangular
	L-13	4.8	4.3	20.64	0.3	plataforma cuadrangular
	L-14	9.1	6.1	55.51	0.5	plataforma rectangular
	L-15	9.7	6.2	60.14	0.7	plataforma rectangular
	L-16	17.6	14.4	253.44	1.8	plataforma rectangular
	L-17	L-17	32	17.5	560	1.6
L-17a		13.4	5.6	75.04	0.4	plataforma rectangular

Boca Chinikihá

Introducción

Como se mencionó en los informes de las temporadas anteriores (Silva y Mirón 2009 y López *et. al.* 2010), una parte importante del PRACH ha sido el recorrido de superficie y ubicación de sitios en una de las regiones adyacentes a Chinikihá conocida como Valle de Lindavista, en donde a partir de 2010 se comenzaron con los trabajos de mapeo en el sitio conocido como Boca Chinikihá (López *et. al.* 2010).

En aquella ocasión se comenzó con el reconocimiento del sitio y la ubicación de estructuras a partir de los croquis e información existente, al final se topografiaron alrededor de 10 hectáreas en donde se localizaron 21 estructuras, no obstante, en la sección noroeste del sitio se detectaron elementos arquitectónicos que no pudieron ser levantados (Fig. 8).

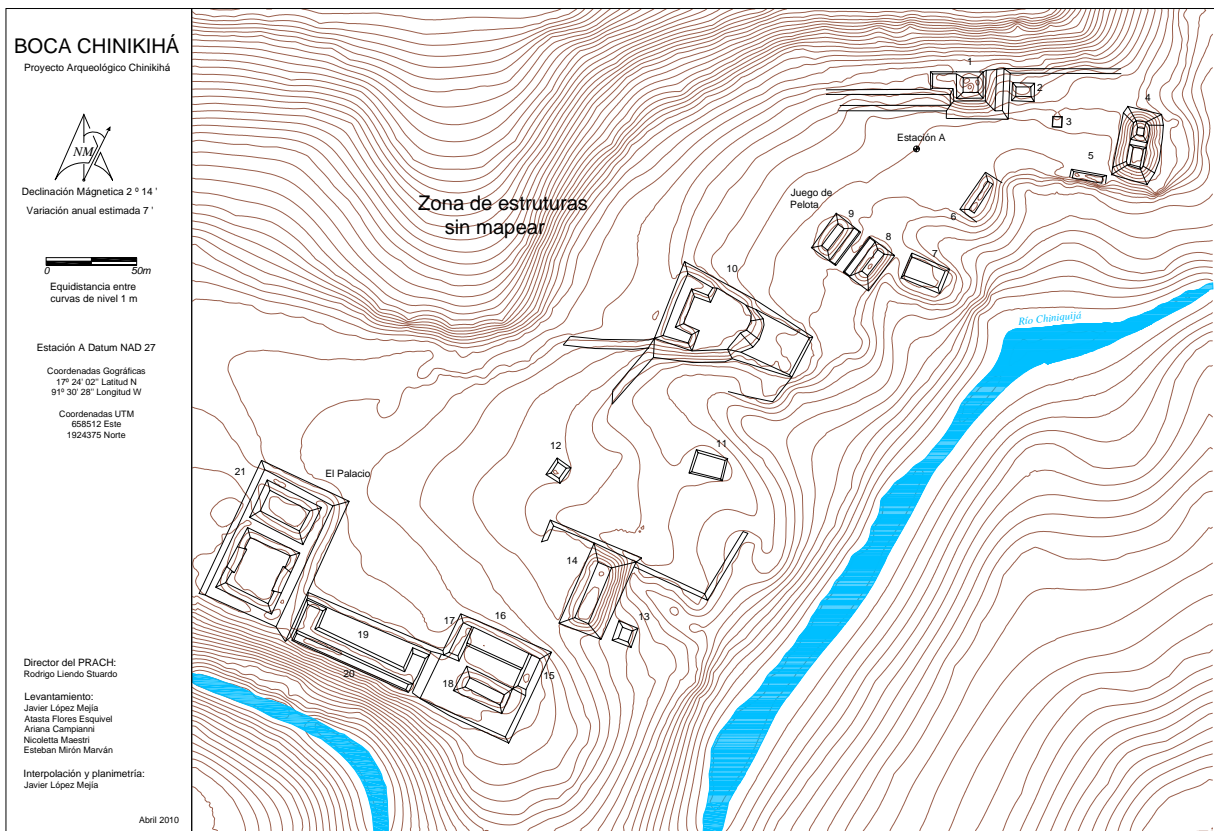


Fig. 8 Sitio arqueológico Boca Chinikihá temporada 2010 (López *et. al.* 2010)

Levantamiento Topográfico

A finales del mes de Marzo de 2011 se continuó con los trabajos de mapeo en Boca Chinikihá, teniendo como prioridad la sección inconclusa de la temporada 2010, así, se utilizó una estación total (SOKKIA SET 630 RK) y dos prismas reflectantes -30, teniendo como punto de inicio la estación A2 y como referencia el norte magnético cuya declinación estimada (no calculada) para el día del inicio del levantamiento (21 de Marzo de 2011) fue de $2^{\circ} 5'$ hacia el este, con una variación anual estimada hacia el oeste de $7'$ (Ortiz 2011).

A partir del punto de inicio se realizó una red de apoyo de 23 estaciones de las que se derivaron 1168 puntos de control, teniendo una cobertura final aproximada de 3.4 hectáreas, en donde se ubicaron 10 estructuras contabilizando así un total de 40, tomando en cuenta las localizadas en la temporada de 2010 (Fig. 9).



Fig. 9
Cobertura topográfica
temporadas 2010 y 2011

Después de observar la distribución arquitectónica en el plano, se continuó asignando números para identificar a las estructuras, sin embargo, se realizó un ajuste con respecto a lo elaborado en 2010 para una mejor descripción del sitio, de esta forma tenemos que ahora las estructuras 1, 4, 10, 15, 16 y 17 se encuentran divididas en incisos que separan la plataforma basal de las estructuras superiores; a partir del número 18 se reasignó la numeración para los elementos arquitectónicos registrados durante la temporada 2011 (Fig. 10 y 11, Tablas 4 y 5).

BOCA CHINIQUIHÁ

Proyecto Arqueológico Chiniquihá



Declinación Magnética 2° 05'
Variación anual estimada 7'



Equidistancia entre
curvas de nivel 2 m

Estación A Datum NAD 27

Coordenadas Geográficas
17° 24' 02" Latitud N
91° 30' 28" Longitud W

Coordenadas UTM
659512 Este
1924375 Norte

Director del PRACH:
Rodrigo Uendo Stuardo

Levantamiento:
Javier López Mejía
Alcides Flores Escobar
Arianna Campesini
Nicolletta Maasrifi
Esteban Mirón Marván

Interpolación y planimetría:
Javier López Mejía

Abril 2010

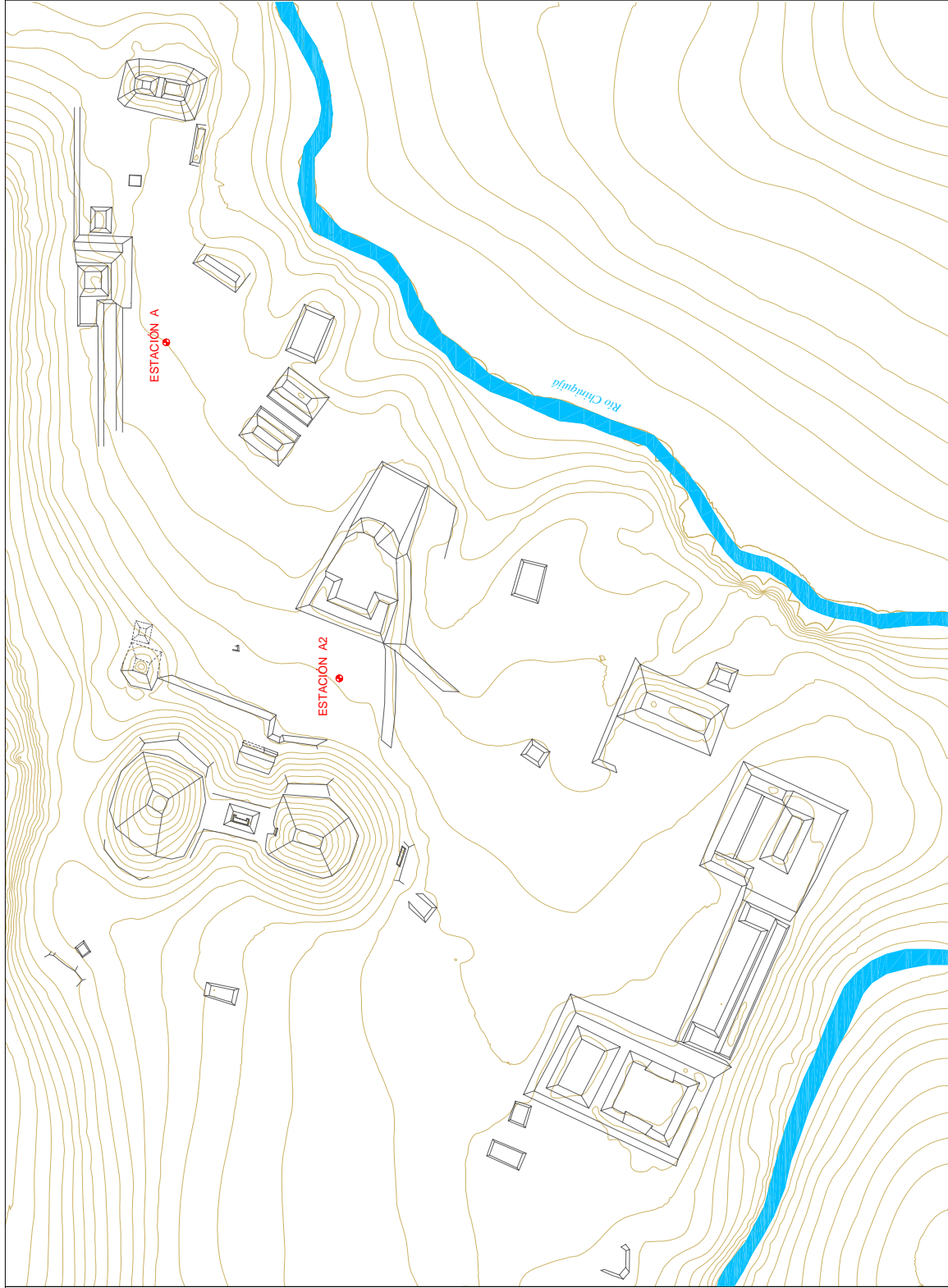
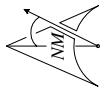


Fig. 10 Sitio arqueológico Boca Chiniquihá, mapa compilado de las temporadas 2010 y 2011

BOCA CHINIQUIHÁ
 Proyecto Arqueológico Chiniquihá



Declinación Magnética 2° 5' .
 Variación anual estimada 7' .



Estación A. Datum NAD 27

Coordenadas Geográficas
 17° 24' 02" Latitud N
 91° 30' 28" Longitud W

Coordenadas UTM
 658512 Este
 1924375 Norte

Director del PRACH:
 Rodrigo Liendo Suardo

Levantamiento:
 Javier López Mejía
 Alvaro Flores Esquivel
 Arianna Campiani
 Nicoletta Maesiri
 Esteban Mirón Marván

Interpolación y planimetría:
 Javier López Mejía

Abril 2010



Fig. 11 Sitio arqueológico Boca Chiniquihá, nomenclatura de estructuras temporadas 2010 y 2011

	Estructura	Largo	Ancho	Área (m ²)	Altura	Tipo de Estructura
Temporada 2010	1	14.5	14.4	208.8	1.8	estructura piramidal
	1a	34.2	25.4	868.68	5.6	plataforma basal
	2	12.4	10.1	125.24	1.3	plataforma rectangular
	3	5.8	5.2	30.16	0.2	plataforma cuadrangular
	4	38.2	23.9	912.98	4.5	estructura piramidal
	4a	10.4	9.5	98.8	2.5	plataforma cuadrangular
	4b	11.9	9.5	113.05	1.2	plataforma rectangular
	5	19.7	4.4	86.68	0.5	plataforma rectangular
	6	24.8	11	272.8	1.5	plataforma rectangular
	7	34.9	39.7	1385.53	0.8	plataforma rectangular
	8	24.3	17.4	422.82	3.3	juego de pelota
	9	23.8	17.7	421.26	2.4	juego de pelota
	10	82	45.4	3722.8	2.3	plataforma basal
	10a	21.8	37.4	815.32	1.5	plataforma en forma de C
	11	18.8	13.5	253.8	0.4	plataforma rectangular
	12	10.5	9.4	98.7	0.7	plataforma rectangular
	13	11.3	11.2	126.56	0.8	plataforma cuadrangular
	14	46.8	24.8	1160.64	3.3	estructura piramidal
	15	55.4	54.4	3013.76	0.4	plataforma basal
	15a	21.2	8.1	171.72	0.4	plataforma rectangular
	15b	32.9	10	329	0.2	plataforma rectangular
	15c	20.3	9	182.7	0.3	plataforma rectangular
	15d	29.6	15.4	455.84	1.8	estructura piramidal
16	75.3	29.8	2243.94	1.1	plataforma basal	
16a	85.7	46	3942.2	0.6	plataforma basal en forma de C	
16b	70.5	7.6	535.8	1	plataforma rectangular	
17	84.8	53.4	4528.32	2.1	palacio exterior	
17a	29	24.2	701.8	1.8	patio hundido	
17b	24.7	12.4	306.28	2	patio hundido	
Temporada 2011	18	10.8	8.8	95.04	0.4	plataforma rectangular
	19	17.4	8.4	146.16	0.5	plataforma rectangular
	20	9.4	8.9	83.66	1.1	plataforma rectangular
	21	9.2	2.2	20.24	0.2	plataforma rectangular
	22	41.6	36.3	1510.08	13.2	estructura piramidal
	23	15.1	10.5	158.55	1	plataforma basal
	23a	7.8	3.1	24.18	0.3	plataforma en forma de C
	24	44.4	44.6	1980.24	14.8	estructura piramidal
	25	6.2	5.3	32.86	0.5	plataforma cuadrangular
	26	15.8	8.3	131.14	0.4	plataforma rectangular
	27	19.6	17.1	335.16	3	plataforma rectangular

Tabla 4 Registro y dimensiones por temporada, de elementos arquitectónicos en metros

Temporada 2010	Coord. X	Coord. Y	Coord. Z	Estación
	658512.000	1924375.000	34.000	A
	658409.252	1924291.845	38.173	A1
	658350.420	1924291.883	39.873	A2
	658512.745	1924302.739	33.378	A3
	658408.359	1924266.632	37.768	A4
	658255.330	1924211.434	38.175	A5
	658184.630	1924177.368	43.237	A6
	658174.860	1924104.370	44.099	A7
	658273.991	1924076.878	44.490	A8
	658635.299	1924384.907	41.597	B
	658635.299	1924384.907	41.597	B1
	658530.756	1924294.722	30.988	B2

Tabla 5 Listados de coordenadas de estaciones por temporada, referencia Norte Magnético

Temporada 2011	Coord. X	Coord. Y	Coord. Z	Estación
	658315.219	1924325.832	45.381	C1
	658295.831	1924317.126	57.037	C2
	658341.244	1924356.193	44.648	C3
	658286.954	1924327.264	60.177	C4
	658272.180	1924313.614	69.420	C5
	658290.242	1924348.525	60.284	C6
	658274.395	1924333.177	60.111	C7
	658258.144	1924340.638	51.476	C8
	658306.237	1924357.113	59.662	C9
	658275.784	1924359.371	59.891	C10
	658270.839	1924301.495	70.122	C11
	658343.191	1924378.889	47.491	C12
	658339.033	1924394.323	48.466	C13
	658298.726	1924409.816	55.594	C14
	658231.706	1924438.393	56.322	C15
	658235.119	1924334.785	46.956	C16
	658318.655	1924321.639	44.101	C17
	658316.416	1924304.378	44.713	C18
	658112.218	1924192.356	43.402	C19
	658293.923	1924238.365	37.260	C20
	658267.223	1924259.214	43.507	C21
	658234.008	1924419.089	53.071	C22
658230.841	1924303.148	45.048	C23	

Afectaciones sobre el sitio y saqueo

Al igual que en Chinikihá, se puede decir que el sitio se encuentra sobre terrenos de pastoreo y paso constante de la población local, no obstante la zona en la que se desarrolló el trabajo en esta temporada, son terrenos altos con una pendiente pronunciada que son poco transitados, por lo que el saqueo no es tan evidente como en otras partes del sitio, podemos destacar la oquedad observada en la estructura 27 de aproximadamente 5m de diámetro por 3 de profundidad; la 24 muestra indicios también de haber sido intervenida al igual que la 26 y la 20. Cabe señalar que al norte de la estructura 22 el escombros se encontró removido exponiendo arquitectura original (Fig. 12).

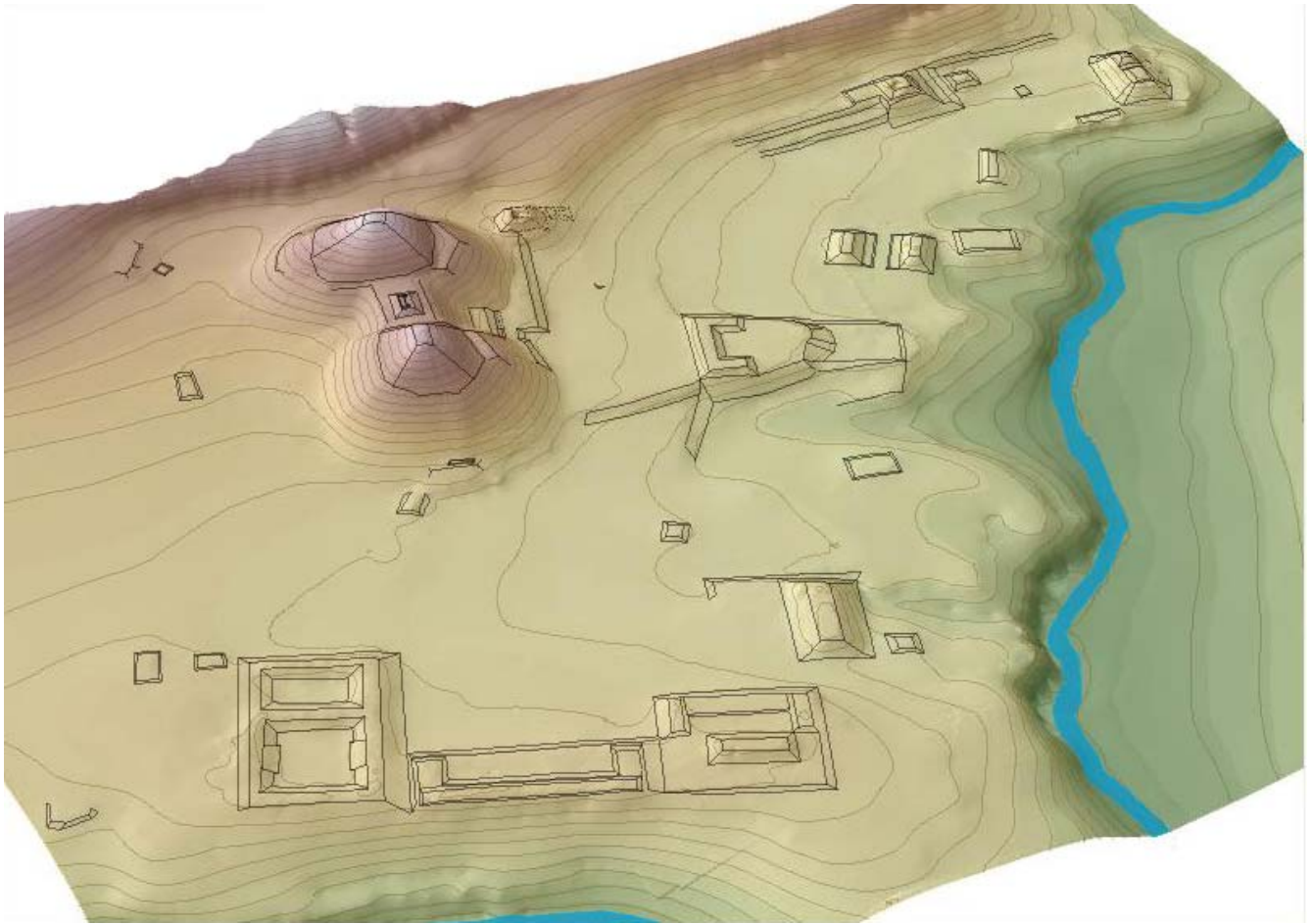


Fig. 12 Sitio arqueológico Boca Chinikihá Modelo digital de elevación.

Es difícil determinar el origen de cada una de las perturbaciones, de acuerdo con la información local, históricamente en el sitio se ha extraído piedra para construcción, lo que aunado a la erosión por el tránsito, las obras como jagüeyes y cercas, además del saqueo, han sido las principales causas; lo que es evidente, es que un factor determinante de deterioro al menos en las estructuras 22, 23 y 24 es la gravedad, ya que el lugar en donde se encuentran ubicadas, se observa una pendiente muy pronunciada y el deslave de piedra es constante (Fig. 13 y 14).

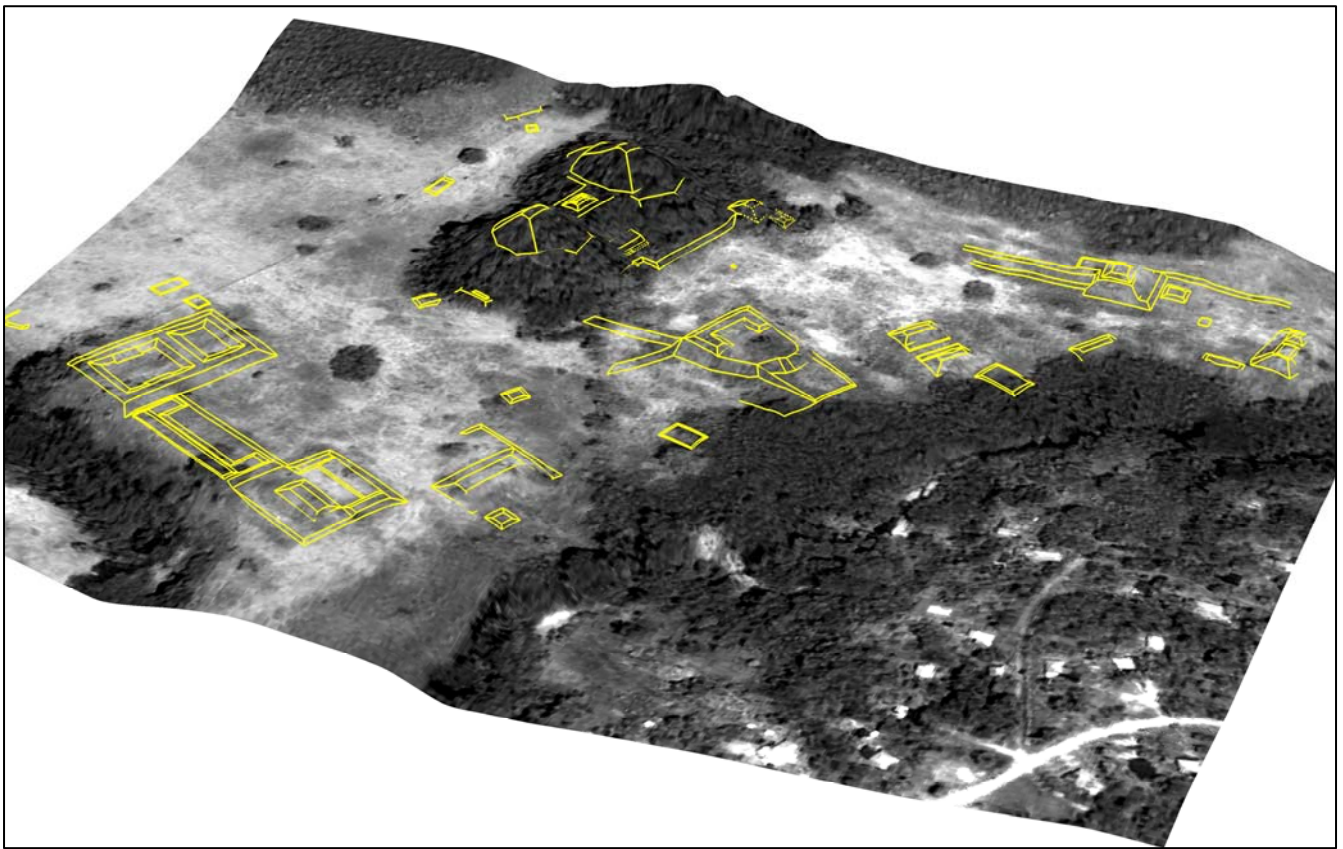


Fig. 13 Sitio arqueológico Boca Chinihah Modelo digital de elevación, con foto satelital incrustada (Digital Globe 2008)

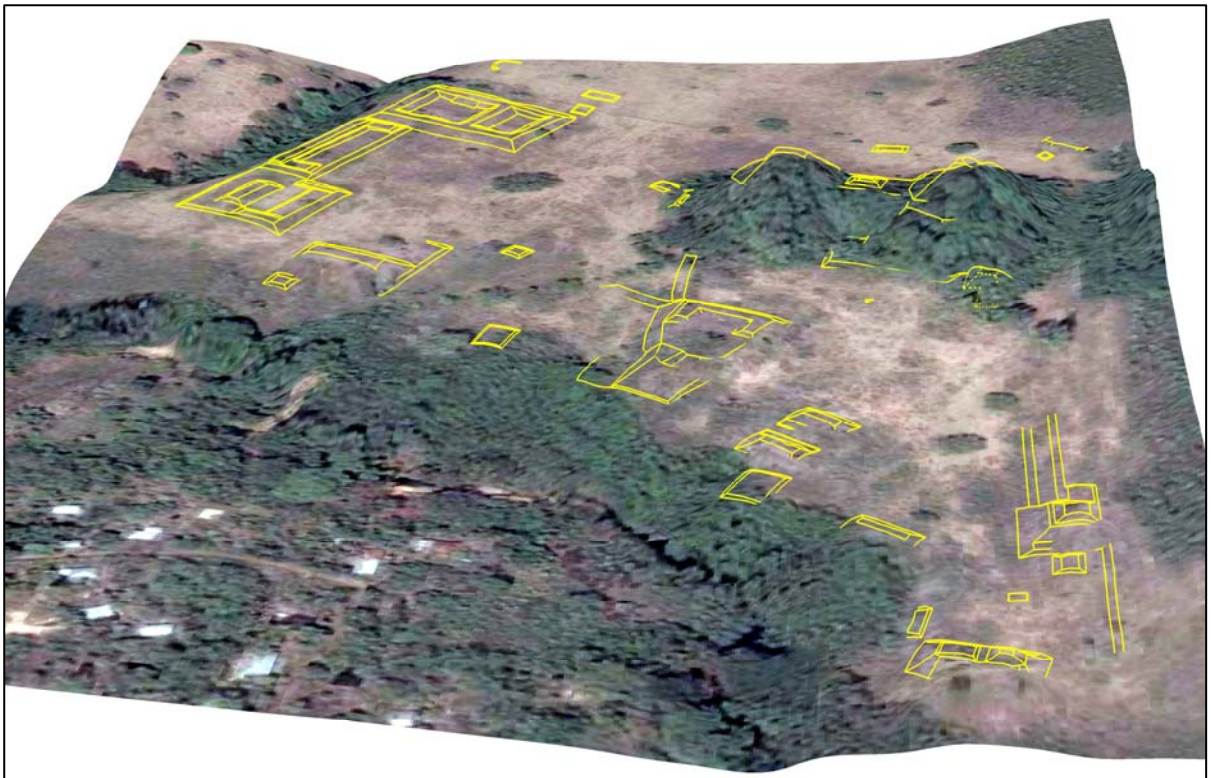


Fig. 14 Sitio arqueológico Boca Chinihah Modelo digital de elevación, con foto satelital incrustada (Digital Globe 2008)

Conclusiones y perspectivas

Cuando dio comienzo la temporada 2011 en lo que respecta al sitio de Boca Chinikihá, no se tenía certeza de cual era la magnitud de la sección que había quedado inconclusa la temporada anterior, ya que en aquella oportunidad sólo se pudo realizar un reconocimiento parcial al noroeste del sitio en el que se pudieron detectar algunas estructuras. De esta forma, el objetivo en la más reciente temporada era encontrar nuevamente esas estructuras y ubicarlas en el mapa.

Así, después de explorar una vez más el sector noroeste de Boca Chinikihá, destacan las estructuras 22, 23, 23a y 24, las cuales después de observar su distribución, se puede precisar que conforman un conjunto ubicado muy probablemente sobre una elevación natural que ha sido en gran parte modificada con terrazas, adosamientos y revestimientos de piedra. Por el momento, dicho conjunto ha quedado ubicado y delimitado, sin embargo, debido a la falta de visibilidad en ciertas partes, no fue posible esquematizar con más detalle lugares como la cima de la estructura 24, así como su ladera norte, lo mismo sucede con la ladera sur de la estructura 22.

Como se puede apreciar en el mapa presentado, aun existen secciones del sitio que deben ser exploradas como la ladera del cerro al norte de las estructuras 1 y 4 y la planicie al oeste de la 19, incluso existen elementos arquitectónicos que han sido detectados y que no han podido ser expresados en el mapa. Por otro lado, continua pendiente el registro del curso del río *Chiniquijá* que como se ha mencionado con anterioridad (López *et. al.* 2010) podría considerarse como la frontera natural que envuelve al sitio.

No esta por demás señalar que si bien se ha registrado la parte más importante del sitio en cuanto a elementos arquitectónicos se refiere, es muy probable que aún existan estructuras ocultas que sin duda aportarían información significativa sobre la distribución espacial del sitio y que por el momento permanecerán en el anonimato hasta una nueva temporada de campo.

2. ANÁLISIS URBANO Y ARQUITECTÓNICO DE CHINIKIHÁ, CHIAPAS. INFORME

FINAL

Arianna Campiani

Introducción y objetivos

Este informe final quiere ser una revisión, recopilación y completamiento del trabajo de análisis arquitectónico y urbano llevado a cabo en Chinikihá a lo largo de tres temporadas de campo (2008, 2010 y 2011), y que estuvo finalizado al entendimiento del sitio y de su funcionamiento, para poder finalmente insertarlo en el panorama político del período Clásico en las Tierras bajas noroccidentales. El mapa exhaustivo y su realización (Flores *et alt.* 2009; López *et alt.* 2010; López *et alt.* 2011, este volumen) fueron un medio fundamental para conocer el asentamiento y sus características, tanto morfológicas como de distribución de edificios: en primera instancia pudimos inferir que la elección del emplazamiento también tuvo una componente estratégica de acceso a los recursos y de control de flujos de circulación, al interior y hacia el exterior del sitio; en segunda instancia se pudo proceder al reconocimiento de las estructuras que lo componen y de su organización relativa en conjuntos y grupos arquitectónicos, que se distribuyen radialmente y de manera disímil con respecto al corazón monumental del asentamiento (Campiani, Flores y López, 2011). Otro aspecto interesante a resaltar es que, a través de la observación de la técnica constructiva empleada (en los edificios mejor conservados) y de las características formales se planteó la existencia de por lo menos dos etapas constructivas en algunos edificios del sitio, identificables gracias a la prospección (Campiani 2009, 2010); sin embargo dos etapas o fases de remodelación se detectaron también a través de la excavación de dos conjuntos “sobre plataforma basal” y de uno del “tipo patio”: los primeros dos son el CHK/D87 y el CHK/I118; el tercero es el CHK/F150. A raíz de esta evidencia, interesa también destacar cómo se modificaría el aspecto arquitectónico y/o urbano del asentamiento gracias a la identificación de los lugares en dónde se reconoce la presencia de estructuras de la segunda etapa constructiva.

Este informe final se divide en cuatro apartados: en el primero se resume brevemente la metodología de estudio utilizada en el análisis urbano y arquitectónico de Chinikihá, el segundo tiene como finalidad insertar las nuevas estructuras mapeadas en el trabajo de categorización de conjuntos arquitectónicos empezado en 2010 (*Idem*), con el fin de proveer un cuadro completo de distribución urbana en Chinikihá, proponer cuáles podrían ser los conjuntos de élite, de acuerdo a factores de ubicación y volumen constructivo. El tercero sigue lógicamente el anterior en el evidenciar en dónde se encuentran las estructuras de la segunda etapa constructiva, cuáles son sus características constructivas y formales y si es posible establecer una relación entre su ubicación, los posibles cambios ocurridos a nivel urbano y político en el sitio; en este mismo apartado se procede también a una propuesta de reconstrucción de otro de los tres

conjuntos escavados en esta temporada¹ además se provee el levantamiento y el corte hipotético del edificio llamado “la gran pirámide/edificio Maler” (A-9) que se encuentra en la cima del cerro que cierra al sur la plaza principal. El último apartado se compone de un breve estudio de circulación hacia, desde y al interior del sitio, que complementa el que ya se había empezado en 2010 (*Idem*); se propone también un análisis sobre cuáles son, al interior del sitio, las barreras naturales y físicas que identifican sectores diferentes y de aquí una nueva categorización en grupos arquitectónicos (Campiani 2010). Se completa este informe final con las conclusiones y un anexo (nr. 3) que comprende las fichas de catalogación de los conjuntos arquitectónicos de Chinikihá, en donde aparece la descripción de cada uno de ellos, las estructuras que lo componen con su volumen constructivo, una foto (cuando ejemplificativa), su mapa y su ubicación al interior del sitio.

1- Metodología

La metodología adoptada para el estudio arquitectónico de Chinikihá se ha basado principalmente en la observación *in situ* de la arquitectura y de sus características sobresalientes, en su documentación fotográfica y, en donde posible, en el levantamiento arquitectónico. El recorrido exhaustivo del asentamiento permitió conocer y documentar las estructuras encontradas, su específica localización y sus características constructivas y formales: una vez completado el mapa de Chinikihá los datos recolectados sirvieron como base para empezar el estudio urbano del sitio y sus de sus componentes arquitectónicos, lo que nos llevó a empezar una catalogación en conjuntos, que a su vez se relacionan en grupos; los conjuntos se catalogaron también gracias a la utilización de una cédula dibujada con ese fin específico (ver Anexo 3). Estas fichas nos sirvieron para poder comprender de una manera más directa las diferentes maneras en que las estructuras se congregan; desde tales variables identificadas en Chinikihá, se ha empezado en gabinete el mismo trabajo a nivel regional, para comprender si existe algún patrón identificable entre los sitios rectores (Rango I y II) (Liendo 2011) y los de rango menor que gravitan en la que, hipotizamos, ser su área de influencia.

En el caso de algunos conjuntos (CHK/F150; CHK/D87) y gracias a la posibilidad de conducir en ellos un levantamiento arquitectónico, procedimos al dibujo y a una propuesta de reconstrucción virtual de las estructuras, para poder apreciar sus características formales al interior del conjunto de pertenencia. Éstas, aunadas a la posición del conjunto con respecto al núcleo central, podrían ser un indicador de complejidad social, debida tanto a la inversión de mano de obra como a su cercanía o menos con el corazón monumental del sitio.

En última instancia el proyecto de mapeo y el recorrido de superficie a ello asociado, han consentido identificar no sólo los límites físicos del sitio, sino también la existencia de una red visual de comunicación u observación entre las elevaciones, en las que se encuentran estructuras en lugares estratégicos: esta red permitiría un control de flujos y de accesos al sitio (Campiani, 2010). Las fotos tomadas a lo largo del asentamiento han sido complementadas con unas vistas del modelo tridimensional del sitio para confirmar tal red de control visual y también para enfatizar la constante

¹ La propuesta hipotética de reconstrucción del tercer conjunto se encuentra en el informe de la temporada de 2010.

presencia de algunos edificios específicos del núcleo central, cuales marcadores al interior del sitio Campiani, Flores y Mejía 2011).

Como se puede apreciar, mucho del trabajo de estudio arquitectónico y urbano de Chinikihá ha sido desarrollado en gabinete, con base en el mapa realizado por el PRACH y en las observaciones y mediciones efectuadas en campo. Sin embargo los análisis conducidos sientan las bases para otras investigaciones relacionadas con Chinikihá, su diseño urbano y su papel al interior del panorama político de la región.

Este párrafo metodológico introductorio es el que constituye el hilo conductor de este informe, ya que cada análisis descrito arriba se desglosa en los apartados siguientes.

2- Chinikihá: identificación de los nuevos conjuntos arquitectónicos y propuesta de conjuntos de élite

Para completar el trabajo empezado en 2010 sobre la categorización de conjuntos arquitectónicos es necesario considerar y añadir las nuevas estructuras mapeadas en 2011. Es menester recordar cuáles fueron las definiciones proporcionadas: definimos **conjunto** la agregación de dos o más estructuras de acuerdo a factores geográficos o de cercanía espacial, mientras que el **grupo** se compone, según la terminología adoptada, por conjuntos y estructuras aisladas (*Idem*). En un sitio como Chinikihá, en donde topografía natural fue un factor importante en la delimitación física del asentamiento, la morfología del terreno juega un papel fundamental también a una escala menor, es decir en la identificación de conjuntos, ya que ayuda a identificar barreras o condicionantes físicas útiles para su delimitación y, por ende, nos asiste en establecer la relación mutua entre las estructuras. La otra variable considerada en su diferenciación es la de cercanía espacial, ésta se refleja primeramente en la presencia de un área común entre las estructuras, que está enmarcada por su posición relativa y que comúnmente consiste en un espacio cuadrangular o alargado: el patio. No sobra mencionar, en esta ocasión también, los tipos de conjuntos identificados y la breve descripción de sus características, para poder luego complementar la visión del sitio de acuerdo al mapa final de conjuntos (Fig. 2.1):

1. CONJUNTO PATIO FORMAL: de 2 a 4 estructuras que comparten un espacio abierto cuadrangular.
2. CONJUNTO COMPUESTO: estructuras (≥ 4) alrededor de un espacio común alargado.
3. CONJUNTO SOBRE PLATAFORMA BASAL: estructuras alrededor de un espacio común que se construyen sobre una plataforma de base natural o parcialmente artificial; como en Palenque, donde se evidencia la presencia de plataformas basales que soportan una sola estructura (Levi 1993: 159; López 2005:109).
4. EDIFICIO EN C SOBRE PLATAFORMA BASAL: se compone por una estructura en forma de C que desplanta sobre una plataforma basal.
5. CONJUNTO INFORMAL: estructuras individuales cercanas, sin organización aparente (Ashmore 1981: 51).
6. CONJUNTO ALINEADO DE PLATAFORMAS: más de dos estructuras alineadas en sentido longitudinal o que se encuentran en una sucesión de terrazas contiguas sin una diferenciación significativa de altura entre ellas; no presentan un espacio común.

7. CONJUNTO DE DOS PLATAFORMAS CERCANAS: plataformas próximas o cercanas (López 2005: 111), cuya posición recíproca no enmarca un espacio común, por lo que a la vez pueden ser paralelas, presentar un ángulo de rotación entre ellas y hasta ser consecutivas y manifestar un patrón lineal (el conjunto lineal se definió como compuesto de más de 2 estructuras).

Y finalmente se hallan las plataformas AISLADAS que constituyen otra categoría, cuya característica principal es de tener una distancia superior a los 15 m entre estructuras o con respecto a otros conjuntos; a la vez su aislamiento puede depender de su posición en alguna terraza en la ladera de los cerros. Cuando una estructura está asociada al entorno exterior directo de algún conjunto formal, por cercanía u orientación, se considera a ello perteneciente.

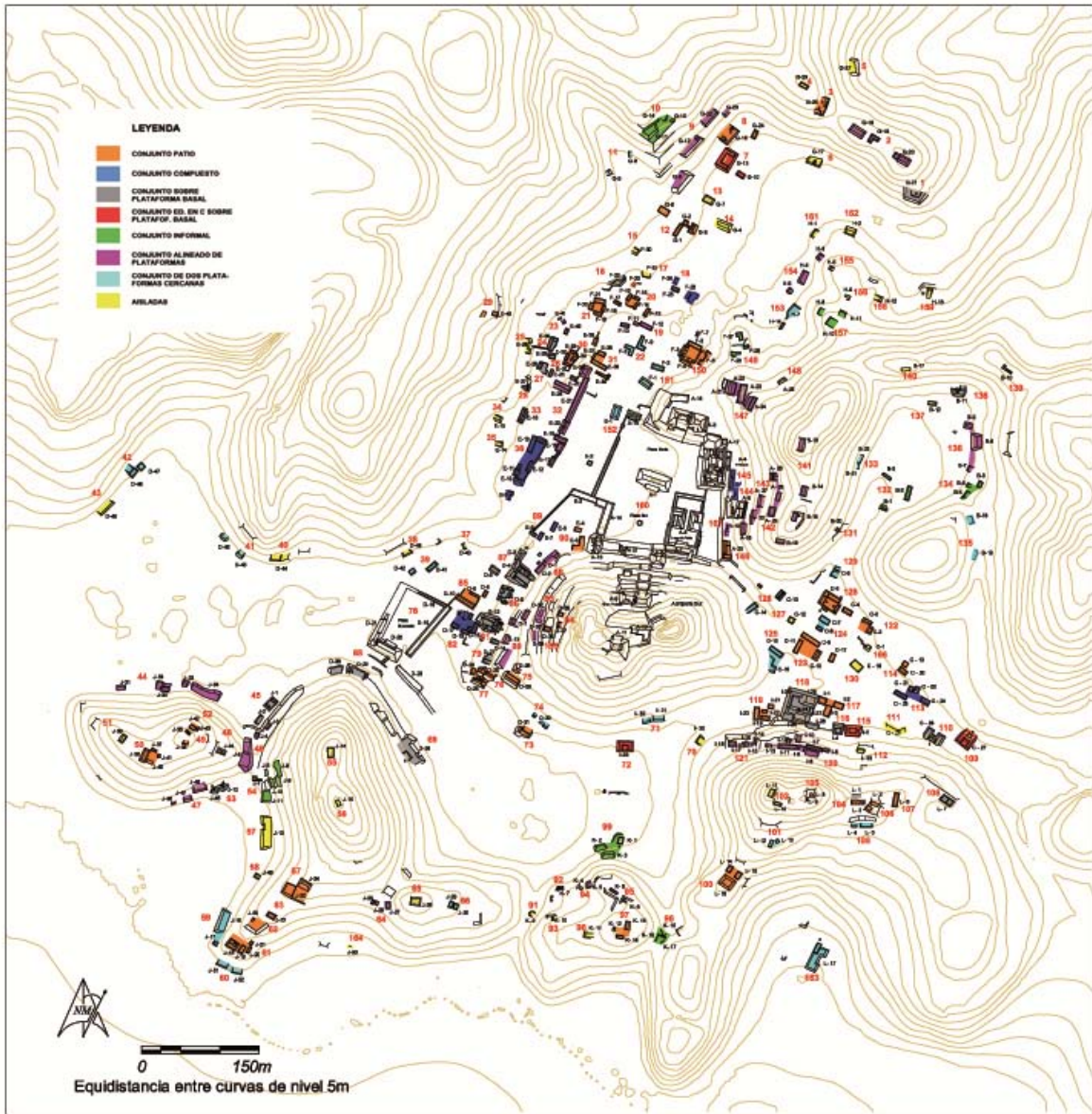


Fig. 2.1. Mapa final de Chinikihá con evidenciados los conjuntos arquitectónicos (PRACH- Elaboración A. Campiani)

Podemos ahora formular algunas consideraciones sobre los nuevos conjuntos añadidos gracias a la última temporada de mapeo del sitio de Chinikihá, recordando que faltaba afinar el mapa hacia el extremo sur del sitio, y al sureste y suroeste del Grupo Monumental. Como mencionado en otras ocasiones, las estructuras del asentamiento disminuyen hacia sus límites físicos y el sector sur del sitio no constituye una excepción. Por lo general asistimos a la presencia de estructuras en las alturas del sitio, ya que parece que el sistema de bocas de captación de agua identificado anteriormente (al este de la plaza cerrada constituida por las estr. D-18/D-21 _Conjunto CHK/D78_) y que posiblemente crea un arroyo subterráneo, siga al suroeste; esto explicaría la grande área de planicie sin estructuras (a menos de las pequeñas plataformas pegadas al pie de monte (D-40/D-43) (Fig. 2.2).

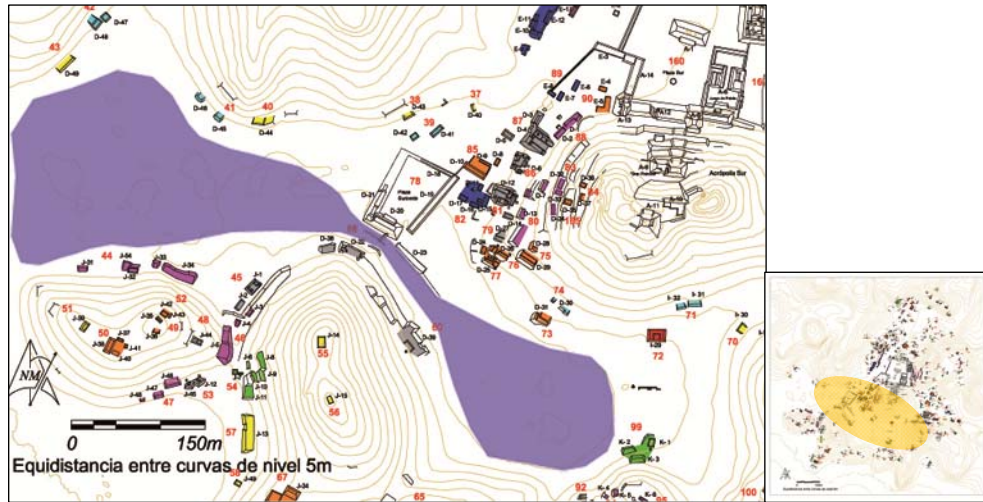


Fig. 2. 2. El área ocupada por las bocas de captación de agua que conforman un espacio libre de estructuras (PRACH- Elaboración A. Campiani)

Al sur y sureste del sitio las estructuras se agregan en conjuntos discretos en la cumbre de los cerros (de diferente altura) que delimitan el sitio antes de llegar al arroyo Chinikihá y antes de la salida a las cuevas (en el límite este) (Fig. 2.3). El cerro más al oeste, evidenciado en la Fig. 3.3, tiene una posición predominante con respecto al control de dos de las rutas de salida (o acceso) hacia (desde) el arroyo Chinikihá. Las estructuras K-9 y K-17 se encuentran en posición predominante para observar los posibles flujos en estas direcciones; la K-17 en particular crea una barrera perpendicular al sendero de acceso al sitio. También hay que destacar que esta estructura, a diferencia de la K-9, manifiesta una notable inversión de mano de obra siendo más compleja a nivel formal y quizás ocupando hasta dos niveles de piso (Fig. 2.4).

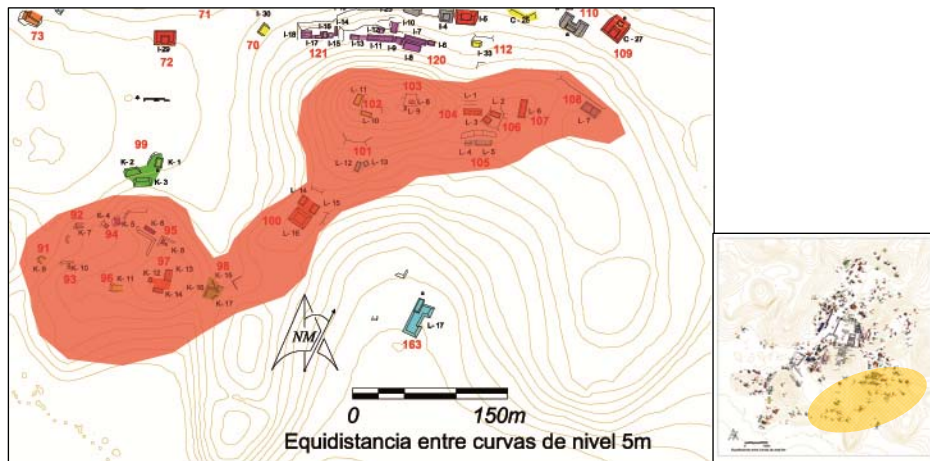


Fig. 2. 3. El área sur, sureste del sitio, ocupada por conjuntos discretos en las alturas (PRACH- Elaboración A. Campiani)



Fig. 2. 4. Parte de muro interior de la estr. K-17 (foto A. Campiani)

Siempre en este sector, otro conjunto que resulta de particular interés tanto a nivel formal como de volumen construido es el CHK/K94, ya que es caracterizado por un cuarto abovedado en forma de L (estr. K-5; Fig. 2.5) que tiene, al norte, en donde quiebra la crujía, una pequeña ventana en forma de “Ik” (Fig. 2.6). La bóveda es constituida por grandes bloques de caliza y se apoya, al este, a un abrigo rocoso, con el que parece mimetizarse (Fig. 2.7); posiblemente esta estructura se desarrollaba en más de un nivel, siendo visible un hoyo que parece debido a una bóveda colapsada, entre las estr. K-5 y K-4.



Fig. 2. 5. Acceso al cuarto abovedado del CHK/K94 (foto A. Campiani)



Fig. 2. 6. Ventana en forma de "Ik" de la estr. K-5 del CHK/K94 (foto A. Campiani)



Fig. 2. 7. La parte de la crujía de la estr. K-5 que se desarrolla en sentido este-oeste, apoyándose finalmente a la ladera del cerro (foto A. Campiani)

Cercano a este conjunto destacamos otro, el CHK/K93, que domina un pequeño cerro y desde aquí la salida hacia el río y la aguada (Fig. 2.8). Sobresale también por su estado de conservación y, por ende, por la visible inversión de mano de obra (Fig. 2.9) manifiesta en su basamento: su mampostería burda y bien conservada es muy parecida a la de la estr. K-17, mencionada anteriormente.



Fig. 2. 8. La aguada de Chinikihá fotografiada desde el sur (foto A. Campiani)



Fig. 2. 9. Frente Norte del basamento del conjunto CHK/K93 (foto A. Campiani)

La ladera sur del cerro contiguo a éste último, hacia el este y que es el más alto de Chinikihá, es caracterizada por dos lenguas (a un nivel más bajo de la cumbre) que definen en la planicie y hacia el río un espacio semicircular en el que se encuentra un conjunto aislado (CHK/L163). Por lo general tanto estas lenguas como su cumbre, son caracterizadas por terrazas y desniveles que propician la presencia de conjuntos discretos, los que aprovechan de estos amplios espacios y de sus visuales hacia diferentes lugares del sitio. Es aquí que con el proyecto de mapeo se levantaron nueve conjuntos, entre los que destaca el CHK/L100, por la amplitud de la terraza que ocupa, la presencia de una estructura sobresaliente al sur (L-16) (Fig. 2.10) y la vista que desde aquí se goza del área inundable y de toda esta explanada que corre en dirección este-oeste. En la cumbre el conjunto CHK/L103 goza de una vista completa del “Grupo C”, sin embargo el conjunto que sobresale en la cima del cerro es el CHK/L104: aunque se trata de una sola estructura, la terraza que ocupa, delimitada en todos sus lados y además con dos niveles de terrazas artificiales hacia el norte, para contener el cerro (Fig. 2.11), nos hizo catalogarlo como de “tipo patio”. El estado de conservación de la estr. L-1 es bueno y se puede observar la única crujía que la compone y que se extiende en sentido este-oeste, y sus tres accesos.



Fig. 2. 10. El conjunto CHK/L100 desde norte (foto A. Campiani)



Fig. 2. 11. Los dos niveles de contención del basamento del conjunto CHK/L104 (foto A. Campiani)

Hacia el extremo este de Chinikihá, ya en la planicie y al límite del “Grupo C”, se levantaron dos grandes conjuntos (a nivel tanto de volumen construido como de características formales), el CHK/C109 y CHK/C110 (Fig. 2.12), que cierran las estructuras de Chinikihá y controlan la salida a las cuevas (o la entrada). Uno de estos (el CHK/C109) forma parte de los conjuntos del tipo “C sobre plataforma basal”, alcanzando, con éste, el número de cuatro en todo el sitio.



Fig. 2. 12. El frente del conjunto CHK/C110 (foto A. Campiani)

Con respecto a los conjuntos en “C sobre plataforma basal”, y a menos de futuras excavaciones que evidencien su desarrollo en planta, podemos inferir que todos se encuentran en lugares estratégicos de Chinikihá: el CHK/I72 y el CHK/C109 controlan dos importantes rutas del sitio, el primero une el “Grupo C” al área de la aguada, mientras que el segundo la salida a las cuevas. Los otros dos están cerca otros sectores importantes del sitio: el CHK/I115 se encuentra muy cerca del CHK/I118, el grande conjunto que domina el “Grupo C”, y el CHK/G7 domina los conjuntos al extremo norte del sitio y cerca de la única entrada desde este lado a Chinikihá (o salida).

Después de esta breve aproximación a los nuevos conjuntos identificados en Chinikihá, queremos plantear una primera propuesta sobre cuáles pueden haber sido los conjuntos de élite al interior del sitio². En ausencia de excavaciones que liberaran estructuras, estos han sido reconocidos de acuerdo a su complejidad formal y a su volumen constructivo: la arquitectura y sus elementos constitutivos son los parámetros para diferenciar tales conjuntos; finalmente su posición en el espacio y su relación con el “Grupo Monumental” o al interior de un grupo específico es otro elemento a reforzar tal planteamiento (Fig. 2.13).

² Esta idea ha sido retomada de **Demarest et al.** (2007: 32, 42), aunque el concepto manejado por el Proyecto Cancuen es de “complejos de élites sub-reales” o “complejos de alta élite”; tales conjuntos han sido identificados de acuerdo a los datos y materiales procedentes de las excavaciones.

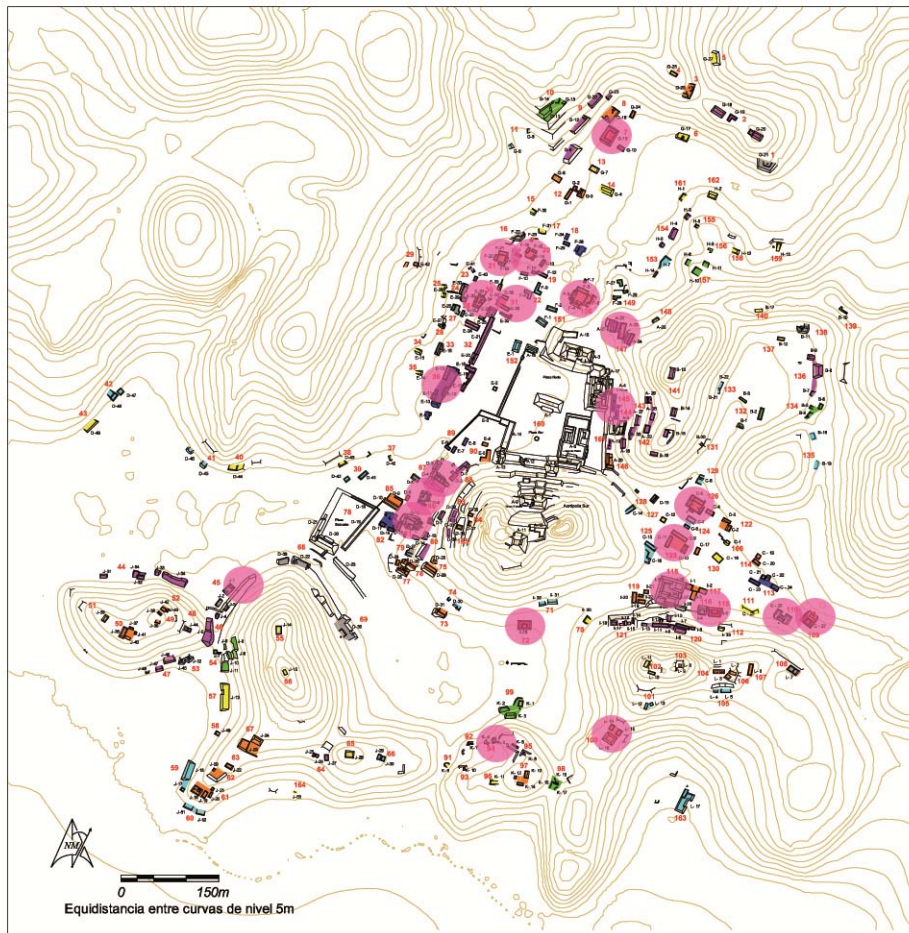


Fig. 2. 13. Propuesta de “conjuntos de élite” en Chinikihá (PRACH- Elaboración A. Campiani)

Los conjuntos de élite son 23 sobre un total de 167 conjuntos en Chinikihá, entre estos últimos hay que considerar también que se encuentran 42 plataformas aisladas; es decir que, considerando el total, un 13.7%, mientras sin plataformas aisladas podemos hablar de un 18.4%. Tienen características diferentes, tanto a nivel formal como de volumen construido, siendo nueve de ellos de “tipo patio” (CHK/F20,21,30,31,150, CHK/L100, CHK/G110, CHK/G123,124), seis del tipo “basal” (CHK/D81,86,87, CHK/J45, CHK/I116,118), cuatro en “C sobre plataforma basal” (CHK/G7, CHK/I72, CHK/G109, CHK/I115), dos del tipo “lineal” (CHK/F147, CHK/E145) y uno del tipo “compuesto” (CHK/E36).

En el mapa se puede apreciar que se encuentran dispersos casi por todo el sitio, siendo el mayor número cercano identificable en el “Grupo C”, es decir en un lugar bien delimitado, a nivel geográfico, y que goza de una estrecha cercanía con el Grupo Monumental. Es aquí que se encuentra el conjunto CHK/I118, el más imponente a nivel de volumen constructivo y el más complejo a nivel formal de todo el sitio de Chinikihá después de los edificios que pertenecen al Grupo Central. Se compone de estructuras con características formales diferentes entre ellas; todas desplantan arriba de un grande basamento artificial creando un patio interior elevado; en su lado sur el basamento se apoya a la ladera del cerro más alto de Chinikihá. La estr. I-25 todavía conserva el muro interior de una doble cruja

abovedada (Fig. 2.14) en dirección este-oeste, en algunos lugares se puede aun apreciar el arranque de la bóveda y las manchas del estuco que constituía el aplanado interior. En su frente Norte, es decir hacia el patio interior, se pueden apreciar las huellas y los peraltes de una escalera de acceso a la crujía abovedada.



Fig. 2. 14. Muro interior sur de la crujía abovedada de la estr. I-25 (foto A. Campiani)

Hacia el sur del sitio, los tres conjuntos que se encuentran son extremadamente diferentes entre ellos, el CHK/K94 se ha considerado de élite por la presencia de bóvedas, aunque construidas con piedra burdamente careada y aprovechando plenamente del entorno natural; los otros dos son un “C sobre basal” (CHK/I72) y arriba de un cerro el de tipo “patio” CHK/L100.

Los otros conjuntos de élite “tipo patio” se encuentran tanto al este como al oeste del corazón del sitio, los del lado este (como ya enfatizado en otras ocasiones Campiani 2010) manifiestan un espacio central mucho más amplio de los del noroeste: los del lado este (CHK/F20,21) no obstante el tamaño reducido fueron objeto de excavaciones que evidenciaron artefactos elaborados.

Hacia el suroeste encontramos tres “conjuntos de tipo basal” de dimensiones diferentes y alineados (CHK/D81, 86, 87) (*Idem*), mientras que el conjunto más al suroeste es el CHK/J45, catalogado entre los conjuntos “de élite” por el hallazgo de un elemento decorativo: un fragmento de piedra labrada.

Esta breve descripción quiere ser una primera propuesta de otros estudios que se pueden llevar a cabo en Chinikihá, estos datos serán cruzados en el apartado siguiente con los de los conjuntos de la segunda etapa constructiva. Por detalles más específicos sobre cada conjunto mencionado en el texto y los otros de Chinikihá, reenviamos al anexo número 3 al final del informe, en donde es posible consultar las fichas de catalogación.

3- La segunda etapa constructiva en Chinikihá

Como se ha planteado en otra ocasión (Campiani 2008 y 2010), en Chinikihá se detectaron por lo menos dos etapas constructivas, identificadas gracias a las diferencias observables en la técnica constructiva empleada y en los rasgos formales de las estructuras. Estas diferencias se han reconocido primeramente en los edificios que presentan un mejor estado de conservación y que, en este caso específico, se encuentran en el núcleo central-monumental y en su entorno directo; una excepción es constituida por las estructuras F-3 y F-4 (del conjunto constituido CHK/F150), directamente al norte del grupo monumental, en las que durante su excavación se detectaron dos momentos constructivos evidenciados por la presencia de una subestructura en cada una de ellas (Barba, Ortiz y Blancas 2008; Campiani 2008 y 2010; Nuñez 2010). La presencia de una subestructura se ha detectado también a lo largo de esta temporada de campo (2011), en dos conjuntos de tipo “basal”, el primero es el CHK/I118, en el patio atrás de la estr. I-24 el pozo de sondeo puso en evidencia un muro transversal al edificio de la última etapa constructiva (la que se puede observar ahora), indicando la presencia de por lo menos una fase de remodelación; el segundo es el CHK/D87 (Fig. 2.15), en el que, gracias a las operaciones de excavación en la estructura al norte, se ha evidenciado la presencia de una subestructura. No obstante hay que aclarar que estos tres conjuntos no manifiestan los mismos rasgos formales y constructivos que hemos identificado y asociado a la segunda etapa constructiva, con el sólo apoyo de la observación en superficie. Esta condición puede ser debida a dos factores, uno que depende del estado de conservación (y también de la ausencia de excavaciones de edificios) y el otro puede depender del carácter funcional de las estructuras, sea esto habitacional o de funciones más específicas.

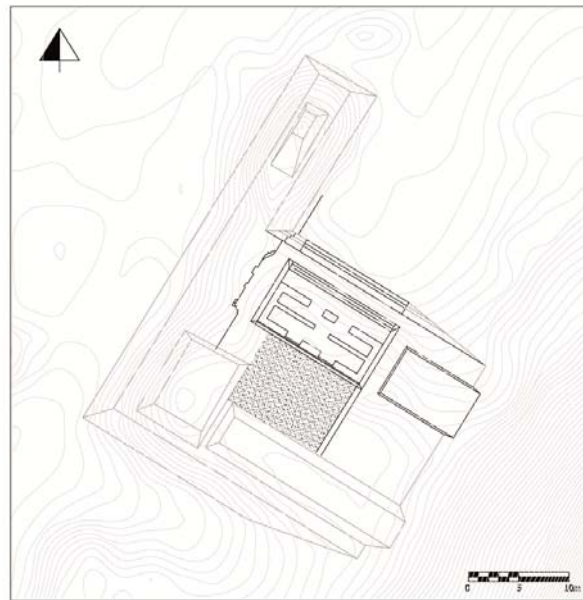


Fig. 2. 15. Reconstrucción hipotética de la estr. N del CHK/D87 (Elaboración A. Campiani)

Por lo general los rasgos arquitectónicos de esta segunda etapa constructiva detectados a nivel de superficie son, a nivel formal, la construcción de estructuras que se extienden en sentido longitudinal, es decir en donde la relación entre largo y ancho es muy marcada (Fig. 2.16 y 2.17). Esta característica se acompaña a una técnica constructiva más burda (Fig. 2.18 y 2.19) que provoca una menor durabilidad de la mampostería y que a la vez conlleva numerosos derrumbes, sobre todo en las obras de nivelación y contención; el caso más evidente es el de la escalera de subida al palacio en su frente Sureste (desde el patio sur) y en las terrazas atrás del “edificio Maler” (Gran Pirámide o A-9) hasta la cima del cerro.

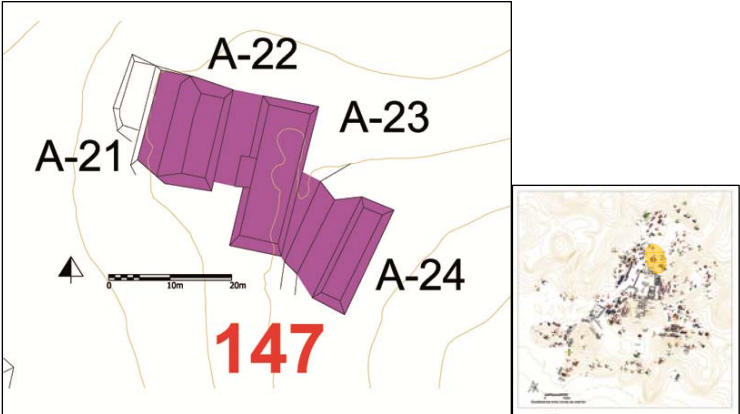


Fig. 2. 16. El conjunto CHK/A147 (PRACH- Elaboración A. Campiani)

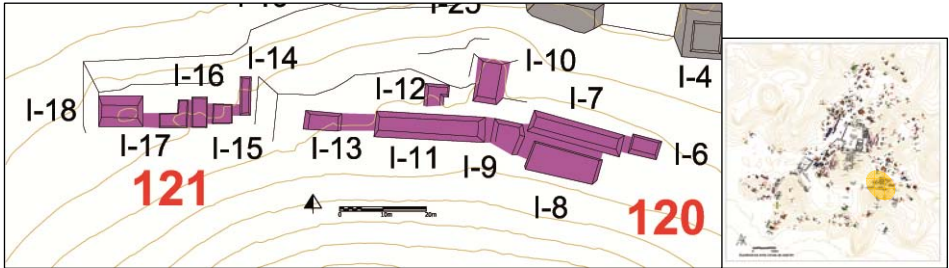


Fig. 2. 17. Los conjuntos CHK/I120,121 (PRACH- Elaboración A. Campiani)



Fig. 2. 18. Mampostería de la estr. A-32 del conjunto CHK/A147 (foto A. Campiani)



Fig. 2. 19. Mampostería de la estr. I-11 del conjunto CHK/I120 (foto A. Campiani)

En la estructura A-9 es indiscutible la presencia de dos etapas constructivas, ya que la edificación viene evidentemente ampliada con el adosamiento de otra que presenta, en altura, un cuerpo menos (Fig. 2.20). Esto es visible sobre todo en el frente posterior, Sur (Fig. 2.21), en donde se evidencia su diferencia en dimensiones; además en el paramento norte, que manifiesta una fachada continua pero no homogénea, la junción entre los edificios provoca una fractura vertical por el simple adosamiento y unión de las dos arquitecturas sin amarre estructural de la mampostería. La cala de saqueo en correspondencia de tal quiebra pone en evidencia el aplanado estucado del primer edificio, confirmando la presencia de dos etapas constructivas (fig. 2.22).

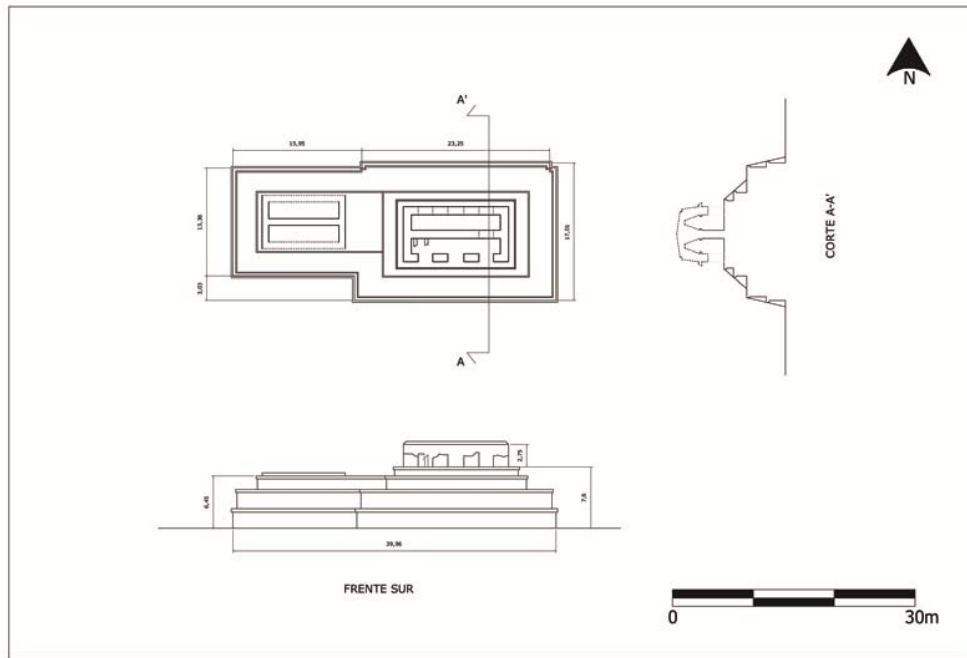


Fig. 2. 20. Levantamiento y reconstrucción hipotética del corte del edificio A-9, “Gran Pirámide” (Elaboración A. Campiani)



Fig. 2. 21. Frente sur del edificio A-9, en correspondencia de la junción entre las dos estructuras que conforman el edificio final (foto E. Mirón)

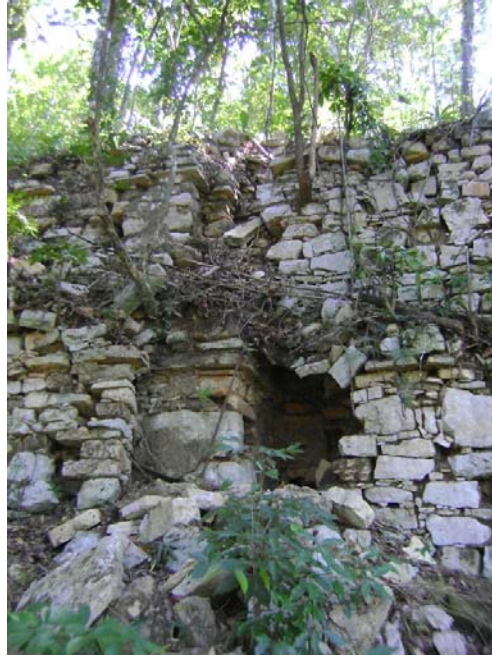


Fig. 2. 22. Frente norte estr. A-9, en correspondencia de la junción entre las dos estructuras que conforman el edificio final (foto A. Campiani)

A nivel de observación de los conjuntos ligados a la segunda etapa constructiva que se desarrollan en sentido longitudinal, podemos decir que las plataformas se encuentran sobre todo en los cerros y en sus laderas. Las construcciones, por la mayoría, se asocian en conjuntos de tipo lineal y se construyen en las cercanías del grupo central-monumental o de conjuntos que manifiestan mucho volumen constructivo (como es el caso del CHK/I118) (Fig. 2.23); pensamos que ocuparon áreas precedentemente libres de estructuras.

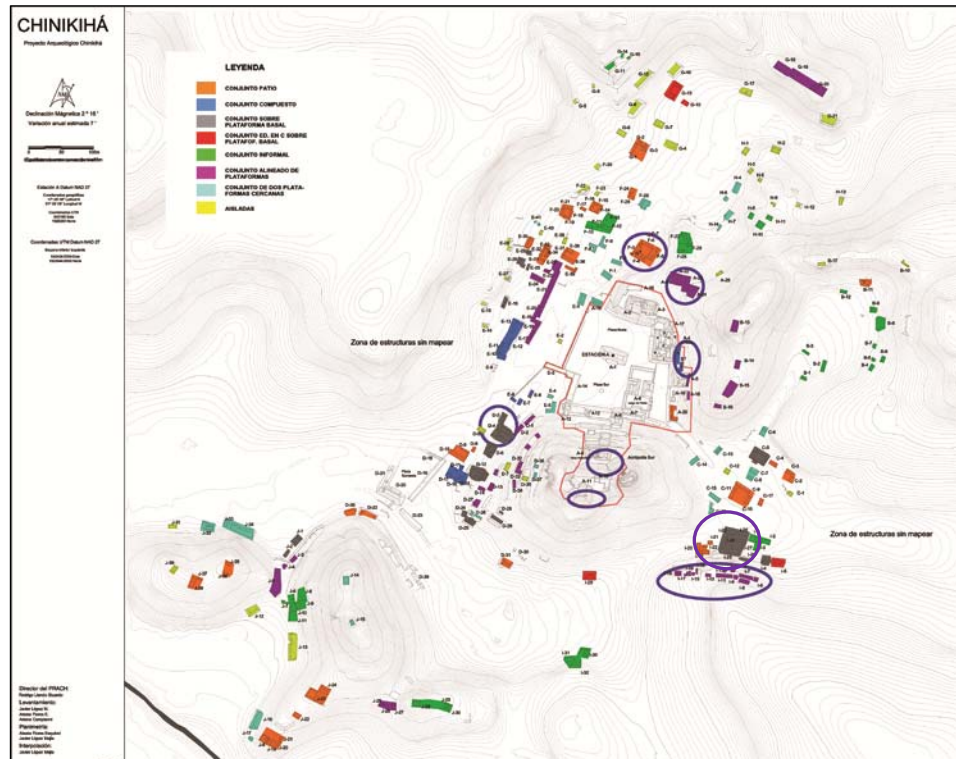


Fig. 2. 23. Identificación de los conjuntos de las II etapas constructiva (PRACH- Elaboración A. Campiani)

De acuerdo a los resultados preliminares procedentes de los datos cerámicos se piensa que este segundo momento arquitectónico pueda asociarse a una mayor influencia de Palenque que se acompañaría a una nueva fase constructiva y de ampliación, con el desarrollo de un programa arquitectónico y urbano que involucraría todo el sitio, y manifiesto sobre todo en los edificios del grupo monumental. Se cree que tal programa se desarrolló en poco tiempo, hecho que conlleva la utilización de una mampostería de menor calidad, la ampliación de edificios monumentales en el corazón del sitio y la ocupación, siempre alrededor de éste, de áreas precedentemente libres de edificios, con una tendencia hacia la construcción de estructuras con características formales marcadas. Si cruzamos los datos del mapa de los conjuntos de élite con los de la II etapa constructiva (Fig. 2.24), podemos decir que por lo general estas afirmaciones son confirmadas; además de la construcción de nuevos conjuntos en áreas anteriormente sin construir, podemos también pensar en eventos de remodelación de conjuntos cercanos al “Grupo Central”, que ya existían y que, a raíz de este cambio político, serían sujetos a ulteriores modificaciones. Ante la ausencia de excavaciones que confirmen estos datos habrá que tener cuidado con la contemporaneidad de tales eventos, considerando quizás la posibilidad según la cual al interior de una etapa constructiva (asociada a un cambio sustancial en el panorama social y político) se encuentren una o más fases (momentos de más breve duración al interior de la misma etapa) de remodelación.

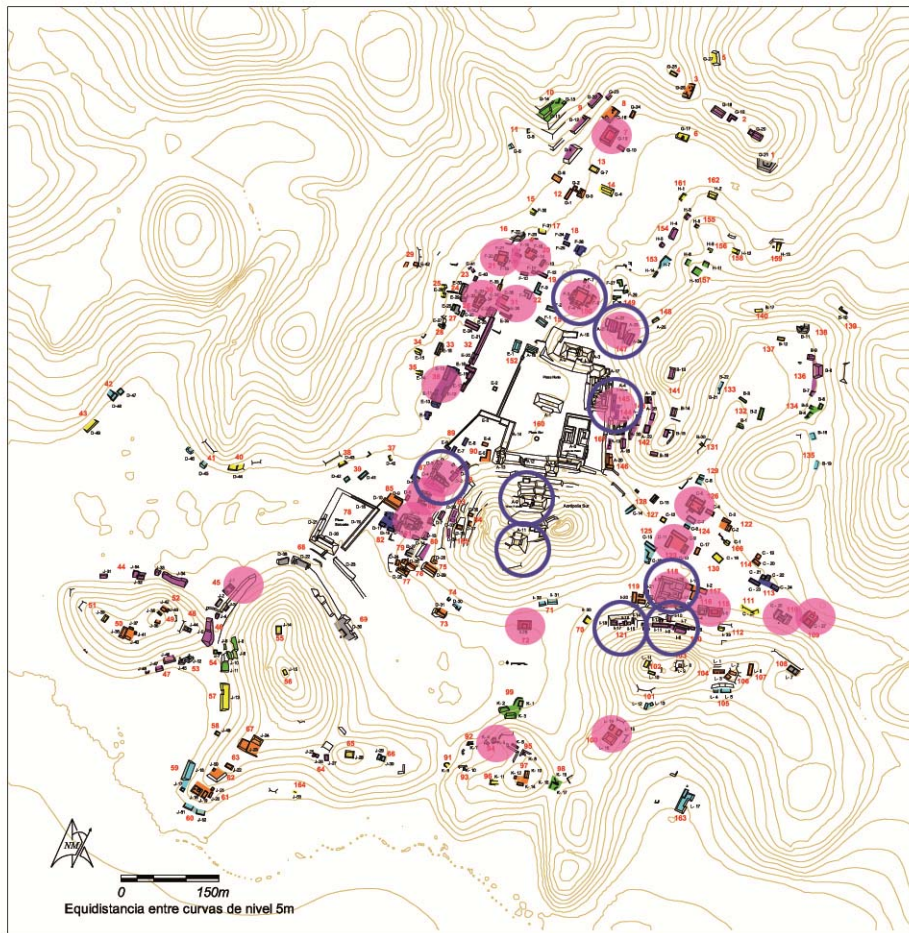


Fig. 2. 24. Mapa de los conjuntos de élite (en morado) cruzado con la indicación de los conjuntos de la II etapa constructiva (en azul) (PRACH- Elaboración A. Campiani)

4- Algunas propuestas sobre circulación, barreras arquitectónicas y grupos arquitectónicos

En el informe de 2010 se empezó a subrayar la presencia de una posible red visual de observación hacia el exterior y el interior de Chinikihá, que se crearía entre las estructuras que se encuentran arriba de las alturas al interior del sitio y sobre todo en sus límites físicos (Fig. 2.25).

Debido a las particulares condiciones topográficas en las que se encuentra Chinikihá, es decir una planicie rodeada en todos sus lados por cerros de altura diferentes, los accesos al sitio son todos bien identificables y restringidos, podemos también decir que pueden ser de diferente naturaleza, ya que algunos parecen ser “de servicio” mientras que otros parecen ser más obligados: los primeros serían los accesos estrechos o a través de pequeños cambios de elevación entre la planicie y los cerros, mientras quedarían predominantes los que se encuentran en el extremo norte y sur del sitio, y él del extremo este, hacia las cuevas.

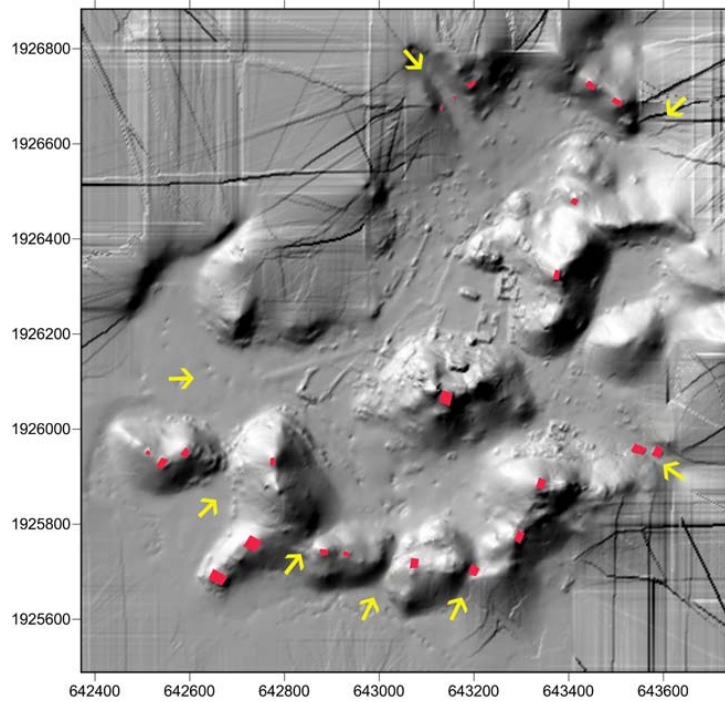


Fig. 2. 25. Los accesos (o salidas) al sitio son indicados por las flechas amarillas, las estructuras evidenciadas en rojo son las que pueden haber vigilado estos lugares, creando entre ellas una red de control (PRACH- Elaboración A. Campiani)

Recordamos que Chinikihá se encuentra en un lugar estratégico para el control de una importante ruta de comunicación entre el Valle de Lindavista (y el Usumacinta al Este) y el Valle de la Primavera hacia Palenque (al Oeste) (Silva 2008). La plaza cerrada del sector suroeste (es decir el conjunto CHK/D78) estaría en una posición preferencial para controlar el acceso desde el sur, es decir desde el Valle de la Primavera, visible en su gran mayoría desde las ondulaciones montañosas que caracterizan este lugar, mientras que hay que enfatizar que desde las alturas del límite norte de Chinikihá se domina la planicie en la que se encuentra Pomoná. De acuerdo a estas consideraciones, la ruta principal de circulación del sitio se desarrollaría en sentido norte-sur, sin embargo pensamos que arriba de los cerros de altura modesta que delimitan el sitio al sur-sureste, se pueda distinguir una ruta de circulación hasta el cerro más alto de Chinikihá. Arriba del “Grupo B” también ocurriría este mismo fenómeno, esta ruta de circulación llegaría hasta la cumbre del cerro del palacio (Fig. 2.26).

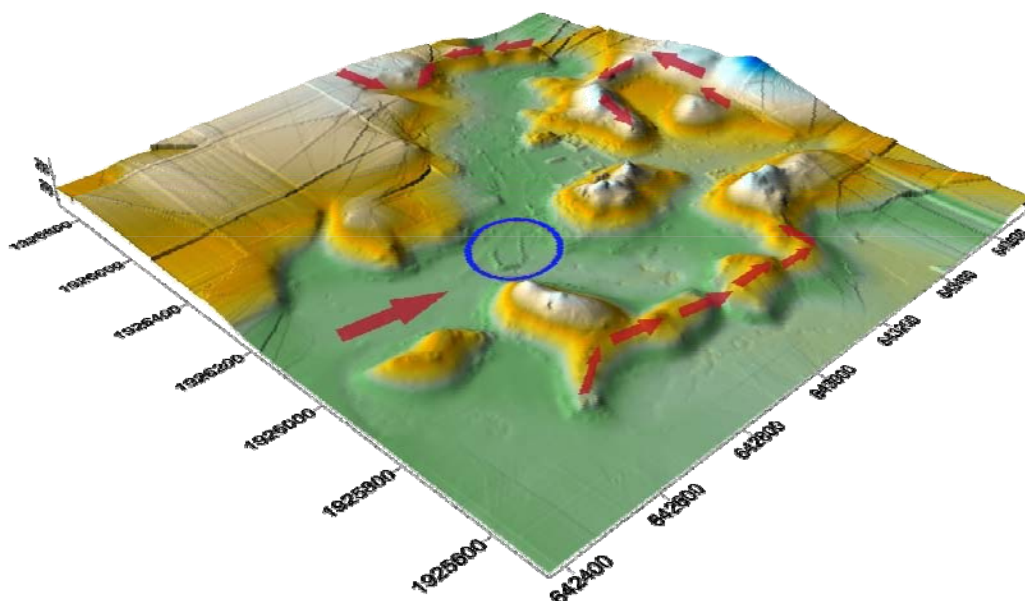


Fig. 2. 26. Indicación de las posibles rutas de circulación arriba de los cerros y del acceso desde el sur de Chinikihá (PRACH-Elaboración A. Campiani)

Se puede apreciar que la mayoría de los accesos “secundarios” se encuentran al sur y suroeste del sitio, precisamente desde la planicie en donde corre el arroyo Chinikihá; los tres identificados se dan a través de pequeños cambios de nivel entre las alturas, propiciando un control obligado de flujos. Lo mismo acontece en el acceso al noroeste del sitio: antes de la llegada a la planicie que hospeda los conjuntos habitacionales hay dos estructuras que se enfrentan como si constituyeran una garrita (conjunto CHK/G11).

Curiosamente el control de flujos es presente también al interior del sitio y no sólo desde las alturas, sino entre sectores contiguos del asentamiento mismo (Fig. 2.27). Hemos evidenciado en rojo las estructuras o condicionantes artificiales que podrían dificultar o controlar el pasaje entre un sector y otro del sitio, en amarillo las flechas indican la dirección que podría ser obstaculizada y la única flecha en verde muestra el área más grande al interior del asentamiento que puede ser recorrida sin aparentes barreras. Vemos como al sur la plaza cerrada no sólo controla el flujo desde el exterior hacia el interior del sitio, sino lo reparte hacia las dos áreas inundables (este y oeste) y los conjuntos basales en la ladera oeste del cerro central de Chinikihá. La plaza principal es separada de otras al oeste por un bajo terraplén, éste es enfrentado por el conjunto lineal CHK/E32, una sucesión de estructuras que constituye una barrera entre el área delimitada por ello mismo y la ladera del cerro.

Al este del “Grupo monumental”, el sector C resulta el más privado y controlado del asentamiento (sin considerar el Grupo Monumental): dos conjuntos controlan el sendero entre el CHK/I118 y el área inundable; un conjunto de plataformas pareadas controla a su vez el acceso al “Grupo B” y hacia el oeste del “Grupo C” el acceso a la plaza es obstruido por un largo basamento que se apoya a la ladera del cerro del palacio y lo sigue espacialmente, arriba de esto se identificaron el conjunto CHK/A146.

El sector norte- noroeste del sitio hasta la plaza es el más grande sin barreras aparentes (reconocidas hasta la fecha).

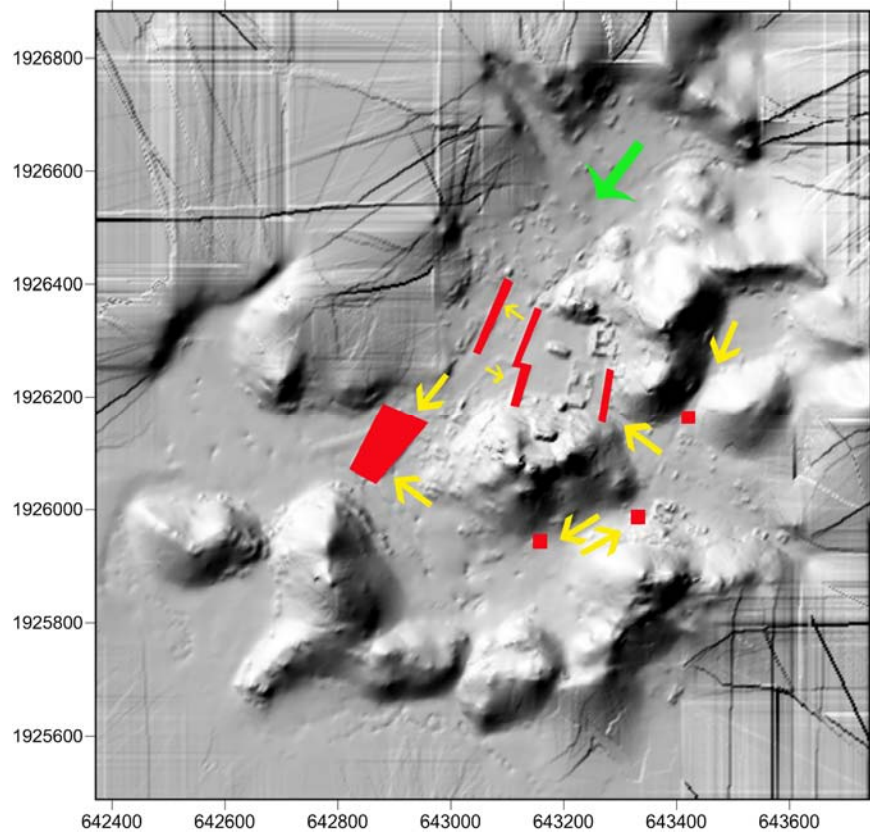


Fig. 2. 27. Esquematación de las barreras internas a Chinikihá para el control de flujos (PRACH- Elaboración A. Campiani)

Si tenemos en cuenta las barreras “artificiales” evidenciadas en la Fig. 2.27 junto con las barreras “naturales” constituidas por los cerros que caracterizan Chinikihá, podemos decir que contribuyen a la determinación de sectores específicos al interior del sitio (Fig. 2.28). El “Grupo Monumental” es el que ocupa, evidentemente, el área central, alrededor de éste se disponen de manera radial otros cuatro espacios (el área inundable se ha coloreado de dos maneras, aunque por la ausencia de estructuras podemos considerar que constituya un solo sector).

A un nivel de análisis que contempla una escala menor, podemos decir que estos espacios no siempre coinciden con “grupos arquitectónicos” (conjuntos y estructuras aisladas), ya que para distinguirlos hay que considerar también las áreas libres de estructuras (además de las condicionantes topográficas y artificiales). El sector 1, 2, 3 y 4 son los que encajan con algunos o con parte de los grupos propuestos (Fig. 2.29 y 2.30).

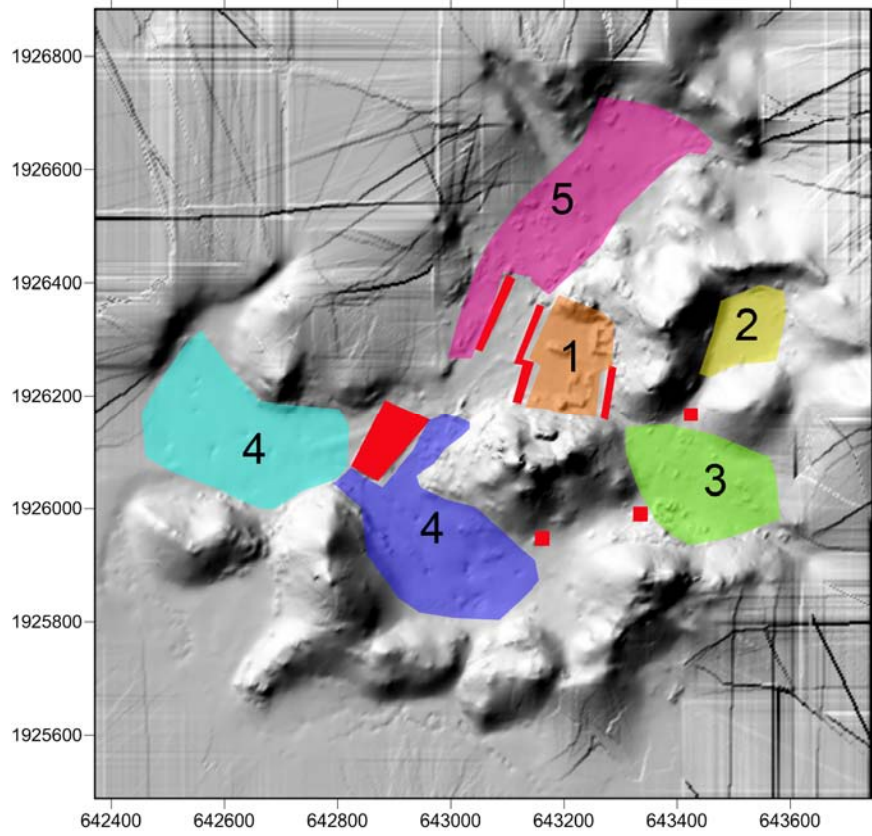


Fig. 2. 28. Sectores identificados por barreras “físicas y naturales” al interior de Chinikihá (PRACH- Elaboración A. Campiani)

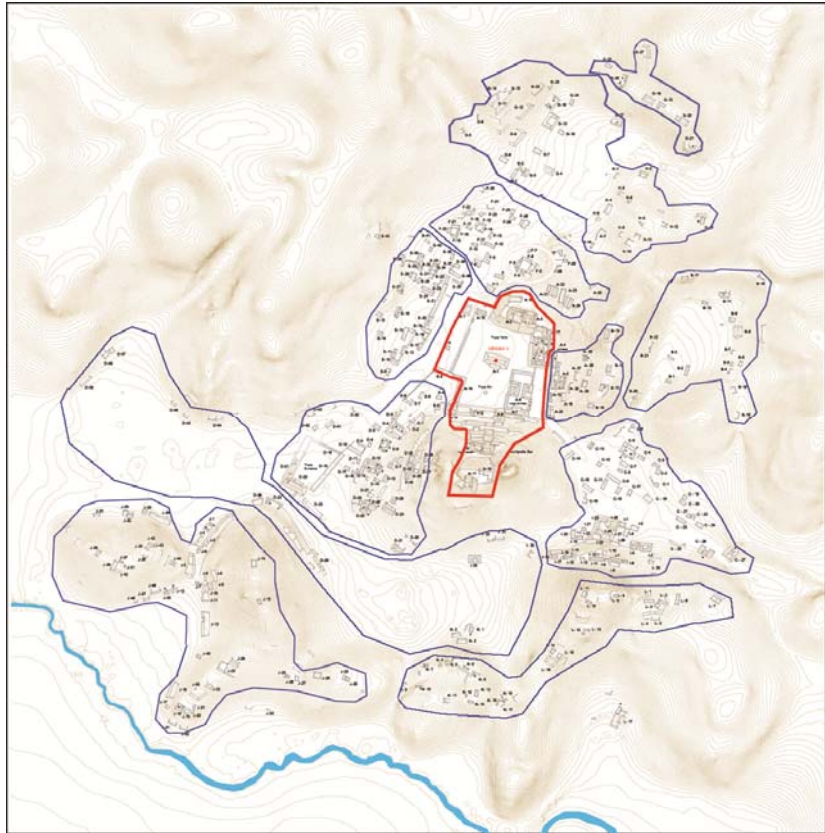


Fig. 2. 29. Grupos propuestos para Chinikihá (PRACH- Elaboración A. Campiani)

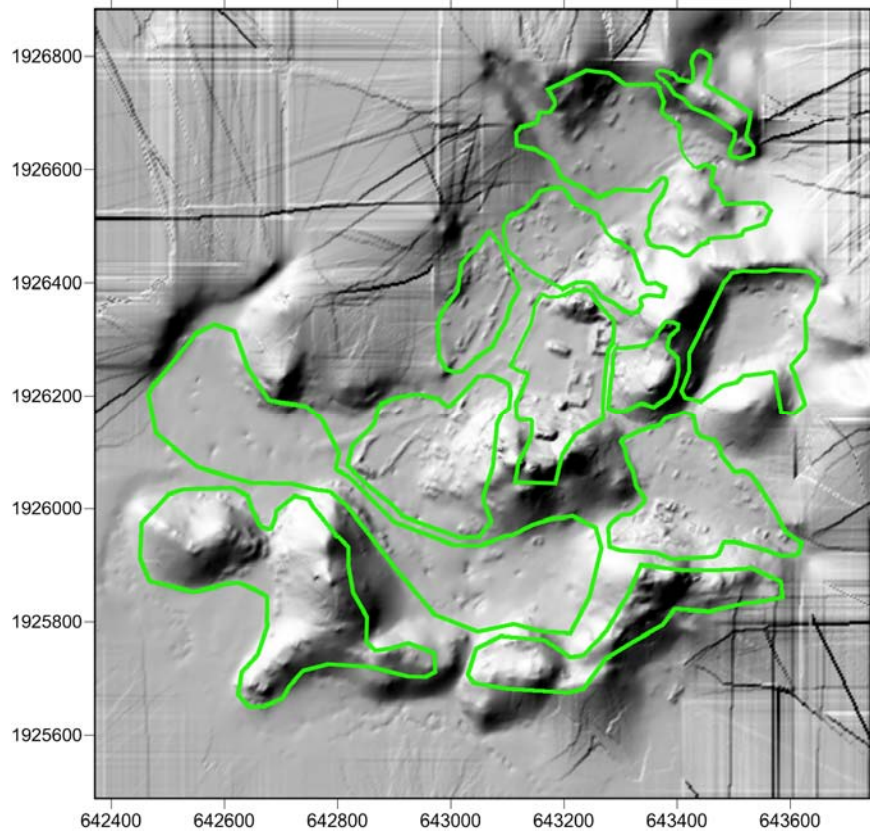


Fig. 2. 30. Los grupos propuestos para Chinikihá en una imagen que muestra como la topografía interviene en la separación de lugares (PRACH- Elaboración A. Campiani)

Los grupos evidenciados son 12 (que modifican en parte una propuesta de 2010), por lo general en su identificación se han considerado los factores mencionados: condicionantes físicas naturales (topografía), condicionantes físicas artificiales (terraplenes, barreras- como pueden ser estructuras), recorridos preferenciales (como los identificados en la cumbre de algunos cerros) y control de flujos (es decir la presencia de estructuras que impiden o controlan cierta directrices y, por ende, implican una separación y diferenciación de lugares).

Una vez analizados los recorridos internos y externos a Chinikihá, otro aspecto interesante a subrayar es la presencia de algunos edificios cuales referentes permanentes al interior del sitio: los constructores de Chinikihá, de hecho, aprovecharon de un cerro en una posición central con respecto al área del asentamiento para edificar el “edificio Maler” (A-9), con su escenario de farallones, que juntos con los templos contiguos (A-2, A-3) que cierran la plaza al norte, son visibles a lo largo de toda Chinikihá (Fig. 2.29 y 2.30).



Fig. 2. 31. Chinikihá desde el sur (foto A. Campiani)



Fig. 2. 32. Chinikihá desde el norte (foto A. Campiani)

Consideraciones finales

Para concluir este informe final nos queda hacer algunas reflexiones generales sobre el trabajo de análisis urbano-arquitectónico que se ha llevado a cabo hasta el momento y proponer algunos puntos de interés que puedan constituir la base para futuras investigaciones; además hay que pensar que el trabajo de gabinete y de estudio sigue conjuntamente con el análisis cerámico y de los artefactos hallados.

No obstante no se hayan excavado estructuras al interior del asentamiento, hemos visto como la realización de un mapa exhaustivo sea fundamental para conocer un sitio y ha constituido la base fundamental para los análisis propuestos. El recorrido llevado a cabo para realizar el mapa ha permitido también un conocimiento del sitio y una apreciación de sus características físicas y formales, tanto del asentamiento como de sus conjuntos y estructuras constitutivas; sin embargo a menudo el estado de conservación y la vegetación no lo han permitido.

Gracias a la observación en superficie de la técnica constructiva se han podido reconocer por lo menos dos etapas constructivas en el corazón monumental del sitio; su identificación ha sido luego complementada con los resultados de las excavaciones en tres conjuntos (CHK/D87, CHK/F150 y CHK/I118) llevándonos a plantear su

contemporaneidad o la presencia de fases de remodelación al interior de las dos etapas identificadas. La segunda sería de atribuirse a una influencia, positiva, más marcada de Palenque y a una intensificación de las relaciones entre los dos sitios, hecho atestiguado también por los artefactos hallados en los pozos de sondeo realizados en la inmediaciones del “Grupo Monumental”.

La visión completa del sitio nos ha permitido también proponer los flujos al interior y hacia el exterior del asentamiento, estas observaciones, junto con la propuesta de sectores identificable (más allá del reconocimiento de grupos arquitectónicos) reafirman la importancia de la selección del lugar en la elección del emplazamiento en donde construir Chinikihá, enfatizando el papel de la planeación urbana en su conformación. La importancia de la planeación es visible también en el diseño del “Grupo Monumental” y la modelación de los cerros que los delimitan para crear espacios con diferentes niveles de privacidad y levantar edificios que sean visibles a lo largo del sitio.

Desde una escala mayor, a nivel sitio, hasta una escala a nivel conjunto, los datos recolectados han sido cruzados para reconocer conjuntos arquitectónicos y finalmente los grupos a los que pertenecen: tomando en consideración la propuesta de “conjuntos de élite” hemos observado que al interior de cada “grupo” se encuentra por lo menos uno (a la vez dos) conjunto predominante sobre los otros, por características formales y volumen construido (Fig. 2.33).

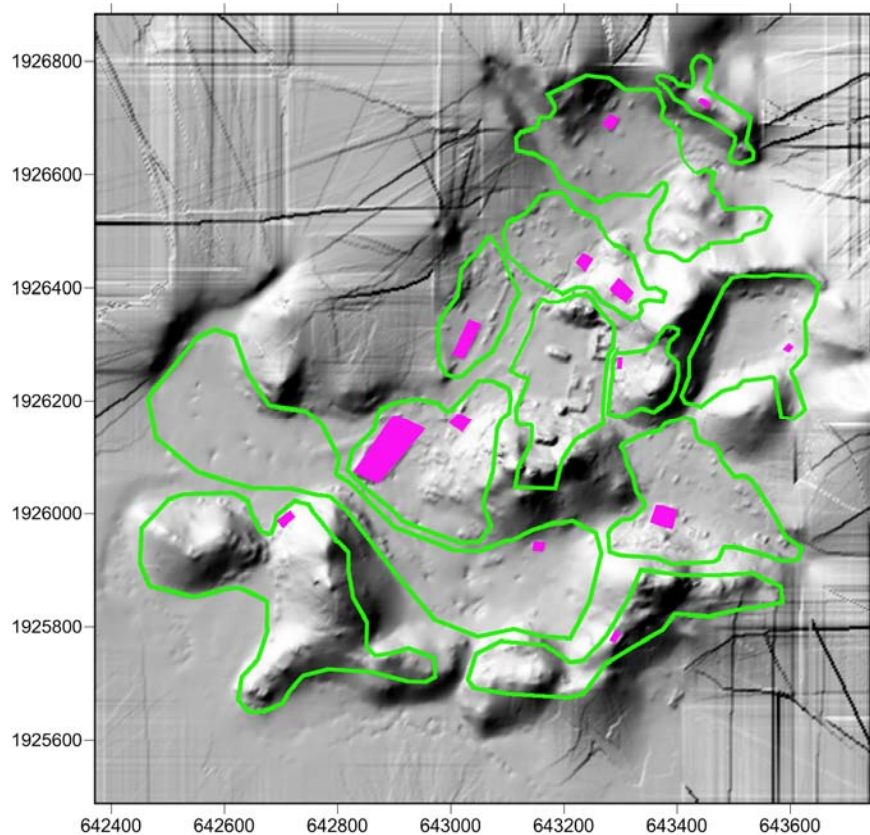


Fig. 2. 33. Entre los grupos identificados se han evidenciado (en morado) los conjuntos que sobresalen por características formales y volumen construido (PRACH- Elaboración A. Campiani)

Finalmente queremos hacer algunas observaciones sobre el estado de conservación en el que se encuentran algunos de los edificios de Chinikihá, en particular modo los que pertenecen al “Grupo Monumental”; otros a lo largo del sitio han sido objeto de saqueo y extracción de material (Fig. 2.34), además de los daños provocados por el uso ganadero de los terrenos. Además de estas causas de afectación, que podemos definir antrópicas, el colapso estructural de los edificios es otra de las fuentes seriamente dañinas detectadas en Chinikihá. En particular sería urgente llevar a cabo algunas operaciones de consolidación de las crujiás del palacio en donde las bóvedas aún quedan en pié, en particular modo la que contiene las pinturas de “los murciélagos”, ya que a lo largo de tres temporadas de campo hemos visto aumentar el progreso del deterioro (Fig. 2.35). Lo mismo acontece con uno de los edificios más emblemáticos de Chinikihá, el A-9 o “Gran pirámide”, como lo definió Maler, sobre todo en su frente sur el proceso de desprendimiento de los sillares en correspondencia de la junción de los dos edificios que conforman la estructura se ha acelerado en los últimos cuatro años, lo que es visible sobre todo en su frente sur (Fig. 2.36).



Fig. 2. 34. Extracción de material del conjunto CHK/D77 (foto A. Campiani 2011)



Fig. 2. 35. Crujía del “cuarto de los murciélagos” (foto A. Campiani 2011)



Fig. 2. 36. El frente sur del edificio A-9 (foto A. Campiani y E. Mirón 2008, 2010 y 2011)

Estas consideraciones quieren ser también una propuesta para futura investigaciones e intervenciones que aunque puedan ser de emergencia constituyen una necesidad para no comprometer ulteriormente el débil equilibrio y la conservación de un sitio que ha resultado ser, gracias a las investigaciones conducidas por el Proyecto Integración Política en el Señorío de Palenque y Proyecto Arqueológico Chinikihá (PIPSP-PRACH), de gran importancia en el panorama político de la Tierras bajas noroccidentales.

3. OPERACIONES EXTENSIVAS 161 y 167

Joshua Abenamar Balcells González

OPERACIÓN 161: Estructura D-4

La operación 161 fue realizada en el grupo arquitectónico conocido como Grupo D. El conjunto se localiza en la parte suroeste de Chinikihá, próximo al núcleo cívico-ceremonial sobre el costado poniente de la Acrópolis. El Grupo D está compuesto por 38 estructuras que incluyen conjuntos orientados a patios, edificios con basamentos escalonados de baja altura, plazuelas y corredores que comunican las estructuras presentes; la distribución espacial del grupo delimita y restringe el acceso desde el suroeste del sitio hacia el núcleo cívico-ceremonial, especialmente protege el acceso poniente y sur hacia la Acrópolis.

Hasta el momento desconocemos la secuencia constructiva completa del grupo y cómo se refleja este proceso de ocupación a través de su cultura material, sin embargo con las excavaciones llevadas a cabo comenzaremos a comprender estos aspectos. Luego de la revisión de los resultados arrojados por los reconocimientos sistemáticos regionales así como el mapeo y las excavaciones intensivas realizadas en Chinikihá en temporadas anteriores, se eligió la estructura D-4 para llevar a cabo excavaciones extensivas bajo un registro estratigráfico de la cultura material; con los materiales recuperado pretendemos llevar a cabo análisis específicos en torno al desarrollo del sitio en relación a otros sitios de la región y especialmente con Palenque. Las excavaciones en la estructura D-4 se llevaron a cabo con el objetivo de conocer aspectos sobre la vida cotidiana de los antiguos habitantes del sitio y su posterior comparación con los materiales arqueológicos de otros grupos arquitectónicos procedentes de excavaciones intensivas y extensivas al interior del sitio y la región, asimismo aspectos sobre producción y consumo de cerámica y lítica; costumbres funerarias; sistemas constructivos; cronologías de ocupación; prácticas y consumo de recursos forestales.

La excavación y el registro de información fueron llevados a cabo bajo el control estratigráfico de artefactos y rasgos arquitectónicos por capas naturales y niveles métricos de 10 cm. Se realizaron dibujos de planta y corte de las excavaciones poniendo énfasis en el registro de rasgos arquitectónicos, las diferentes fases y etapas constructivas, así como también la ubicación estratigráfica de las concentraciones de artefactos (elementos) y la ubicación de los muestreos realizados. Vale la pena mencionar el control estricto de las capas estratigráficas y niveles métricos de excavación, el cual incluyó registro fotográfico y descripciones de sus propiedades básicas: profundidad mínima y máxima, color Munsell, textura, estructura, agregación, grietas, facies, artefactos asociados, entre otros aspectos.

La Estructura D-4 está compuesta por tres plataformas orientadas a patio (Figs. 3.1 y 3.2). Se realizaron dos calas, la Cala 1 (eje norte – sur) comprendió el patio del conjunto y parte de la Estructura D-4 Poniente; La Cala 2 (eje este – oeste) se proyecta desde el área poniente del patio hacia la Estructura D-4 Norte hasta nivel de plaza (Figs. 3.2 y 3.3).



Fig. 3. 1. Localización general del grupo D



Fig. 3. 2. Vista general de las Estructuras D-4 Norte y D-4 Poniente y localización de calas de excavación



Fig. 3. 3. Vista parcial de las Calas 1 y 2 y rasgos arquitectónicos.

Cala 1: descripción general de la excavación y niveles métricos

La cala estuvo compuesta por seis cuadros de 2 x 2 m ubicados en dirección oriente-poniente. Los cuadros se identifican con la nomenclatura consecutiva 1 – 6, y 10 – 11. La cala comprendió el eje central del patio hasta el área de desplante de la plataforma D-4 Poniente (Figura 3.3). La máxima profundidad de excavación fue de 1.20 m correspondiente a 12 niveles métricos. Esta cala reveló información importante sobre las actividades llevadas a cabo en el patio del conjunto, mismo que muestra al menos dos ocupaciones, ambas correspondientes al periodo Clásico Tardío aunque posiblemente en el futuro podamos discutir la posibilidad de la transición Clásico Temprano – Tardío debido a la presencia de materiales Motiepa en un estrato inmediatamente debajo de los materiales tardíos en contexto de relleno, sin embargo aun requerimos finalizar los análisis cerámicos y de radio-carbón para discutir la posibilidad de una ocupación temprana precedente a la ocupación tardía.

Nivel 1 (0 – 10 cm): corresponde a la parte superior de un horizonte orgánico dentro del grupo de suelos clasificados como Vertisoles, suelos arcillosos que en temporada de sequía se contraen y dan lugar a grietas, y que en temporada de lluvias se expanden y dan lugar a texturas arcillosas de suma plasticidad. El nivel está compuesto por tierra café oscura (Color Munsell 5YR 3/2) de textura migajón-arcillosa con muy bajo porcentaje de limos y arenas; presencia de pasto, piedras careadas y burdas procedentes del colapso de la arquitectura de las plataformas D-4 Norte y D-4 Poniente; la parte superior del nivel presenta una baja densidad de artefactos, sin embargo la parte inferior del nivel corresponde al inicio de una alta densidad artefactos: tepalcates (abundantes bordes de ollas y *beakers* Murciélagos – Balunté), desechos de talla de pedernal y restos de núcleos del mismo material (Figura 3.4, 3.5 y 3.6).



Fig. 3. 4. Vista general de Cala 1 antes de excavación



Fig. 3. 5. Vista general de Cala 1

Nivel 2 (10 – 20 cm), presenta una alta densidad de artefactos; la parte superior del nivel corresponde al inicio de un apisonado bien compacto de tierra café rojizo (Color Munsell 10R 4/6) y gravas que corresponden a la última ocupación del piso del patio (Murciélagos – Balunté). La parte oriente del patio presenta abundante gravilla como parte del piso (Cuadros 1 y 2), sin embargo en la parte central y poniente las gravas aumentan de tamaño y se presentan en forma de guijarros o bien, gravillas finas sobre lajas que sirvieron para nivelar el piso del patio y contra-restar un ligero hundimiento del mismo (Cuadros 3, 4, 5 y 6). Un aspecto interesante a resaltar es que en los Cuadros 3, 4 y 5, en los Niveles 2 y 3 se registró una alta densidad de artefactos en forma de desechos de talla de pedernal, pre-formas y núcleos del mismo material; al parecer la nivelación del patio a base de piedras lajas y gravillas durante la última ocupación (y no únicamente de gravilla como en los Cuadros 1 y 2) tiene que ver con el soporte del impacto de estas actividades y evitar un ligero hundimiento del mismo, especialmente en Cuadro 5 (Fig. 3.6, 3.7 y 3.8).

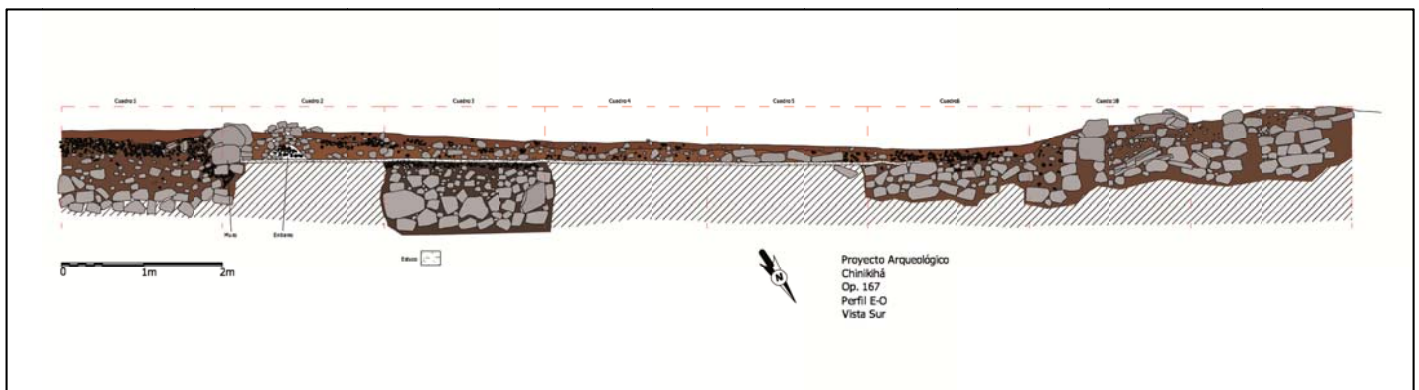


Fig. 3. 6. Dibujo de Corte Este – Oeste de Cala 1



Fig. 3. 7. Vista parcial de Cala 1 Nivel 2 piso de grava y tierra compactada - última ocupación



Fig. 3. 8. Vista general de Cala 1 Nivel 2 – Piso de grava y tierra compactada – última ocupación.

Nivel 3 (20 – 30 cm), en términos generales este nivel métrico corresponde al núcleo del apisonado de la última ocupación del patio, abundante cantidad de tepalcates como relleno, bien compactados con gravillas y tierra café (Munsell 5YR 3/2, 5YR 3/4 y 10R 3/4). Presencia de guijarros y piedras (7 x 10 cm) en la parte inferior del nivel que cimentan y corresponden al firme (Figs. 3.6, 3.9 y 3.10). Los cuadros 3 y 4 muestran un relleno más compactado con tierra arcillosa de piedras (10 x 20 cm). La cantidad de artefactos usados como relleno abundan en forma de tepalcates, restos de talla de pedernal y hueso animal. La parte inferior de este nivel, a excepción del cuadro 1, presenta tierra compactada que da paso a un piso estucado correspondiente a una ocupación anterior del conjunto.



Fig. 3. 9. Nivel 3, relleno debajo del piso de gravas, Cuadro 1.



Fig. 3. 10. Vista parcial de Cala 1 Nivel 3, relleno debajo de piso

Nivel 4 (30 – 40 cm), la parte superior de este nivel corresponde al firme y relleno de la última ocupación del patio cuyas características ya han sido descritas. La parte medial e inferior de este nivel en el cuadro 1 corresponde a

un relleno de gravas y guijarros compactados con tierra café (Munsell 5YR 3/4) (Fig. 3.11 y 3.12), sin embargo en el resto de los cuadros corresponde a un piso estucado. Esto se debe a que en la transición de los cuadros 1 y 2 se registró la presencia de un muro (dirección norte – sur) a base de piedra burda que sirvió para delimitar la parte oriente del patio; este muro se presenta desde el nivel 1 hasta nivel 11 (Fig. 3.13 y 3.14). El piso estucado presentó un buen estado de conservación y buena dureza en los cuadros 2, 3, 4 y 5, sin embargo en el Cuadro 6 el piso mostró un mal estado de conservación y en ocasiones se halla ausente, en su lugar estuvo conformado por un apisonado de tierra, gravilla y estuco hasta el desplante de la estructura D-4 Poniente (Fig. 3.15).

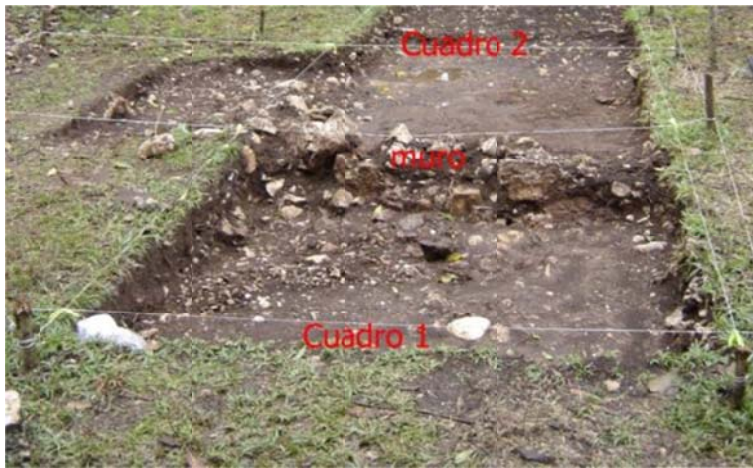


Fig. 3. 11. Cuadro 1 – Transición entre niveles 3 y 4



Fig. 3. 12. Cuadro 1 – Parte inferior de nivel 4



Fig. 3. 13. Cuadros 1 y 2 – Piso de estuco y vista general de niveles



Fig. 3. 14. Cuadros 1 y 2 – Piso de estuco y vista general de niveles



Fig. 3. 15. Vista general de las áreas con piso estucado y niveles de relleno en Cala 1.

Nivel 5 (40 – 50 cm), en el cuadro 1 este nivel se caracteriza por el relleno constructivo en forma de abundante tierra café compactada (Munsell 5YR 3/4) y guijarros (Fig. 3.16); en el resto de los cuadros el nivel comprende el grueso del apisonado de estuco (10 - 15 cm), formado por gravillas muy finas y cal que forman un cemento duro; el piso estucado fue hecho a base de cal bien fraguada, arena y gravillas que cementaron de manera excelente. La parte inferior de este nivel está formado por una cama de gravillas y guijarros que sirvió como cemento, soporte y nivelación para el piso estucado (Fig. 3.17).



Fig. 3. 16. Cuadro 1 Nivel 5



Fig. 3. 17. Detalle de los niveles debajo del piso estucado (Niveles 5 – 11).

Nivel 6 (50 – 60 cm), en el cuadro 1 este nivel corresponde a relleno constructivo bien compactado compuesto por gravilla, guijarros y tierra café muy arcillosa. En el área de patio la parte superior de este nivel corresponde a la cama de gravillas y guijarros que cimentó el piso de estuco; la parte inferior del nivel corresponde (en toda la cala) a guijarros, piedras calizas con acabados burdos, piedra caliza careada y tierra que forman el relleno constructivo presente en todo el conjunto (Fig. 3.6 y 3.17).

Nivel 7 – 11 (60 – 120 cm), en toda la Cala estos niveles son uniformes y corresponden a los cimientos y piedras de amarre del conjunto arquitectónico, presencia de arena fina café y tierra arcillosa compactada entre las juntas de las piedras lajas. No se detectaron ocupaciones precedentes a la del piso estucado. La profundidad máxima de excavación fue de 1.20 m en cuadros 1 y 3 (Fig. 3.6 y 3.17).

Descripción de cuadros y detalles de niveles

Cuadro 1, se excavaron 11 niveles métricos de 10 cm cada uno. En este pozo fueron tomadas muestras para flotación y polen en todos los niveles, asimismo fue tomada una muestra de carbón a .90 m sobre la base del muro (Ver dibujo de corte para visualizar niveles y características generales del cuadro - Fig. 3.6 y 3.18).

Nivel 1.- Una delgada capa orgánica de 5 cm compuesta por pasto y tierra café oscuro de textura migajón arcillosa con bajos porcentajes de arenas y limos, piedras de colapso arquitectónico, baja densidad de artefactos (Fig. 3.19). La parte poniente del cuadro presenta una alineación de piedras burdas que forman un muro (norte – sur), a nivel de superficie el muro tiene una altura de .50 m. La parte inferior de este nivel, a partir de los 7 – 8 cm marca el inicio de una alta densidad de artefactos líticos y cerámicos que pueden ser entendidos como el material de superficie de la

última ocupación del conjunto (Murciélagos – Balunté); en la parte noreste del cuadro se halló una mano de metate (Fig. 3.19 y 3.20).



Fig. 3. 18. Niveles indicados en Cuadro 1 – Perfil Sur



Fig. 3. 19. Cuadro 1 Nivel 1.



Fig. 3. 20. Mano de metate.

Nivel 2.- Este nivel marca el inicio de una alta densidad de artefactos sobre la última ocupación y materiales de relleno expuestos por la presencia de raíces finas y actividad de roedores (Figs. 3.7, 3.21 y 3.22); la parte superior del nivel corresponde al inicio de un apisonado compactado de tierra y gravas de la última ocupación del conjunto. La parte poniente del cuadro estuvo conformada por el muro que separa el área de patio del corredor hacia las estructuras localizadas en los cuerpos arquitectónicos del costado poniente de la Acrópolis; las piedras del muro miden en promedio entre 10 x 15 cm y 10 x 20 cm, las juntas del muro no presentan argamasa y fueron rellenas por fragmentos de artefactos de obsidiana y pedernal y tepalcates.



Fig. 3. 21. Cuadro 1 Nivel 2.



Fig. 3. 22. Detalle de Nivel 1 y 2.

Niveles 3 y 4.- Está conformado por el relleno que cimienta el apisonado; gravillas y tierra bien compactada, tepalcates y en la parte inferior del nivel se observaron piedras de 7 x 10 cm que sirven como cimiento de la última ocupación (Fig. 3.22 y 3.23). En la parte poniente continúa el muro que ha sido mencionado en la descripción de los dos niveles anteriores. El nivel 4 muestra prácticamente las mismas características que el nivel 3 y la única diferencia podría señalarse en dirección de la textura y estructura de la tierra, la cual se presenta más arcillosa y mejor agregada que en el nivel anterior, asimismo la presencia de gravillas es menor, dando lugar a la ligera presencia de mayores cantidades de guijarros y piedras (Fig. 3.24 y 3.25). El muro presente en la parte poniente del pozo continua sin embargo, las piedras que lo conforman disminuyen de tamaño; en superficie las piedras del muro promedian 20 x 40 cm, en la parte medial (niveles 2 y 3) promedian 20 x 30 y en su parte más profunda a partir de Nivel 4 las piedras disminuyen a un promedio de 10 x 20 cm.



Fig. 3. 23. Cuadro 1 Nivel 3



Fig. 3. 24. Muro y detalle de niveles en Cuadro 1 - Perfil Poniente

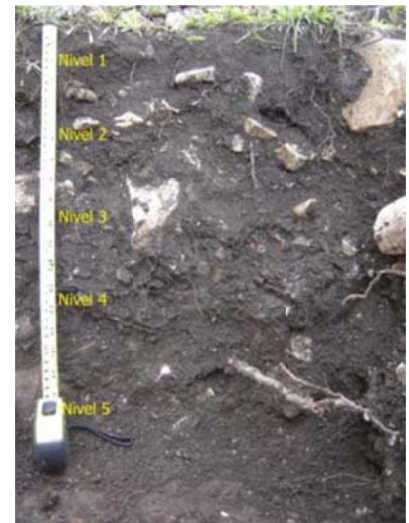


Fig. 3. 25. Detalle de Niveles en Cuadro 1 Perfil Norte

Niveles 5, 6 y 7.- Estos niveles muestran uniformidad en todos sus componentes (Fig. 3.26); las gravillas son escasas o nulas y aumenta la cantidad de tierra café arcillosa bien compactada, asimismo, las gravas fueron sustituidas por una baja cantidad de guijarros y piedras burdas cuyo tamaño promedia 5 x 10 cm. El muro en la parte poniente del cuadro continua, con las mismas características que los Niveles 3 y 4, y quizás la única variación sea que las juntas de los muros se hallan mejor compactadas a base de tierra y gravilla. En estos niveles la frecuencia de artefactos comienza a descender de manera drástica.

Niveles 8, 9, 10 y 11.- Estos niveles presentan uniformidad y están conformados por relleno constructivo en forma de piedras bien careadas y otras formas irregulares pero bien cortadas que sirvieron para amarrar el cimiento constructivo (Figs. 3.7 y 3.26). A .90 m se halló una concentración de carbón en la base del muro y a esta misma profundidad algunas áreas presentaron tierra quemada. El muro desplanta a 1 m de profundidad y da paso al relleno

constructivo. La excavación se suspendió a 1.10 m de profundidad con la presencia de piedras de amarre y cemento muy bien compactadas (Fig. 3.27).



Fig. 3. 26. Cuadro 1 Nivel 5.



Fig. 3. 27. Cuadro 1 excavado – profundidad total 1.10 m.

Cuadro 2

Nivel 1.- Capa orgánica, tierra café oscura con piedras de colapso de arquitectura; este nivel métrico representa todo el grosor de la capa orgánica 8 – 10 cm (Figs. 3.7, 3.28 y 3.29). En la parte oriente del cuadro, sobre la capa orgánica sobresale parte del muro que divide el patio y el corredor hacia la Acrópolis, asimismo destaca una agregación de piedras de forma irregular con formas sub-angulares y redondeadas debajo de las cuales se halló un entierro entre los niveles 3 y 4. Esta concentración de piedras sobre el entierro sirvió como marcador en superficie durante la última ocupación.

Nivel 2.- Conformado por un apisonado de gravilla compactada con tierra de textura migajón-arcillosa correspondiente a la última ocupación del patio. Los artefactos son abundantes sobre el apisonado, manos de metate y especialmente núcleos y desechos de talla de pedernal. Este nivel ocupa prácticamente todo el grosor del piso de gravas y la parte inferior formada por un apisonado compacto de tierra migajón-arcillosa que cimienta el piso (Fig. 3.30).



Fig. 3. 28. Cuadro 2 Nivel 1 Perfil Norte.



Fig. 3. 29. Cuadro 2 Nivel 1 Perfil Poniente.



Fig. 3. 30. Cuadro 2 Nivel 2.

Nivel 3.- La parte superior de este nivel corresponde a las características mencionadas para la parte inferior del nivel anterior, sin embargo la parte inferior del nivel 3 se caracteriza por la disminución drástica de gravilla y aumenta la cantidad de tierra. La cantidad de artefactos aumenta en forma de materiales de relleno en la parte inferior del nivel antes de dar paso a un piso estucado correspondiente a una ocupación anterior (Nivel 4) al piso de gravilla presente entre los niveles 1 y 2 (Fig. 3.31). La transición entre los niveles 2 y 3 en este cuadro al igual que en los cuadros 3 y 4, se caracteriza por la presencia de elementos en formas de concentraciones de lítica, asimismo por la presencia de artefactos usados como relleno constructivo y artefactos correspondientes a la ocupación precedente (sobre el piso de estuco) (Fig. 3.14). Es importante señalar que en la transición entre los niveles 3 y 4 (directamente debajo de la concentración de piedras en superficie) se halló un entierro (No. 18) (Fig. 3.32) y se describe en un apartado individual más adelante. Debido a la presencia del entierro se extendió el cuadro 1 m hacia el sur (denominado Cuadro 2 Sur).

Nivel 4.- la parte superior de este nivel corresponde al firme debajo del piso de gravas y tierra de la última ocupación cuyas características son las mismas a las descritas para el nivel 3, incluyendo la presencia del Entierro No. 18, el cual ocupa los niveles 1, 2, 3 y 4 (Fig. 3.32). La parte inferior del nivel corresponde a la superficie de un piso estucado en muy buen estado de conservación (Fig. 3.33); al parecer el entierro no. 18 marcó la etapa de renovación constructiva del patio ya que yace directamente sobre piso de estuco y debajo del piso de gravas presente en el Nivel 2. El piso de estuco fue protegido con una densa y compacta capa de tierra café migajón – arcillosa bien compactada. Sobre el piso de estuco fueron hallados núcleos y desechos de talla de pedernal.



Fig. 3.31. Cuadro 2 y 2 Sur Nivel 3.



Fig. 3.32. Entierro No. 18 Cuadro 2 Niveles 3 – 4.



Fig. 3.33. Cuadro 2 Nivel 4 – Piso estucado.

Cuadro 3

Nivel 1.- Corresponde a la capa orgánica formada por pastizal para alimentación de ganado bovino, bajas densidades de piedra de colapso en comparación al nivel 1 de los Cuadros 1 y 2 (Fig. 3.34). La parte inferior de este nivel da paso al apisonado de tierra café oscuro y gravilla presente en los cuadros anteriores, y la diferencia marcada es la incorporación de piedra irregular cuyo tamaño promedio es de 8 x 15 cm. La tierra muestra un color café oscuro de textura migajón – arcillosa predominando la arcilla sobre las arenas y limos (Figs. 3.34 y 3.35).



Fig. 3.34. Cuadro 3 Nivel 1.



Fig. 3.35. Cuadro 3 detalle de niveles.

Nivel 2.- Este nivel corresponde al apisonado de gravilla de la última ocupación y mostró una gran densidad de artefactos, predominando tepalcates Murciélagos – Balunté, lascas y núcleos de pedernal. A diferencia del nivel 2 en el cuadro anterior, en este cuadro el apisonado muestra la incorporación de guijarros como parte de la nivelación y es marca el punto en el cual el patio comienza a mostrar un ligero hundimiento de 5 a 10 cm con respecto al cuadro anterior (Figs. 3.35 y 3.36).

Nivel 3.- Esta conformado por el relleno debajo del apisonado, formado por tierra café oscura, gravas y guijarros, artefactos de relleno, principalmente desechos de talla de pedernal y hueso animal. La parte inferior del nivel corresponde al inicio del piso estucado correspondiente a una ocupación anterior. Gran densidad de artefactos (tepalcates, hueso animal, fragmentos de instrumentos de pedernal) (Figs. 3.35 y 3.36).

Nivel 4.- La parte superior ocupa el relleno del apisonado descrito para el nivel anterior, sin embargo este nivel se caracteriza por ocupar todo el grueso del piso de estuco, el firme cementado del piso y en la parte inferior una delgada capa de gravilla que sirve como firme y nivelación para montar la argamasa de cal. Poca presencia de artefactos (Fig. 3.35).

Nivel 5.- Este nivel yace directamente debajo de la cama de gravilla mencionada en el nivel anterior y está compuesto por gravas y guijarros cuyo tamaño promedia 2 x 3 cm y 3 x 5 respectivamente, algunas piedras presentes alcanzan tamaños de 5 x 15 cm. No hay presencia de tierra para compactar el relleno constructivo ya que fue sustituida por polvo de piedra caliza (Fig. 3.35).

Niveles 6, 7, 8, 9 10 11 y 12.- estos niveles muestran uniformidad en todos sus componentes, los cuales están conformados por piedra de relleno y amarre de cemento hasta una profundidad de 1.20 m (Figs. 3.6, 3.35 y 3.37). Poca presencia de artefactos pero vale la pena señalar la presencia de fragmentos de platos anulares Motiepa a una profundidad de .90 m – 1 m. El relleno constructivo se muestra muy sólido, con piedra caliza burda en su acabado pero bien cortada para su disposición como cemento; los espacios vacíos fueron llenados con polvo de piedra y arena fina color café amarillenta (Munsell 10YR 5/4) que no se presenta en ningún otro nivel métrico excavado en esta operación. Conforme aumenta la profundidad las piedras aumentan de tamaño, a una profundidad de .60 m las piedras promedian tamaños de 10 x 20 cm, sin embargo a una profundidad de .80 m – 1.20 m alcanzan tamaños de 30 x 50 cm. Este cuadro fue el más profundo que se excavó en esta operación.



Fig. 3.36. Cuadro 3 detalle de niveles 1, 2 y 3.



Fig. 3.37. Cuadro 3 relleno constructivo – perfil poniente.

Cuadro 4

Nivel 1.- Corresponde a la capa orgánica con un espesor de 5 cm; la parte inferior del nivel presenta gravas y presencia menor de piedras de colapso de la arquitectura de las plataformas que forman el conjunto (Fig. 3.4, 3.6, 3.38 y 3.39). Es importante mencionar que el nivel 1 en los Cuadros 4, 5 y 6 muestra los espesores de capa orgánica más delgados de toda la cala (entre 5 – 8 cm), esto se debe a la erosión y hundimiento del terreno, asimismo debido a la intrusión de raíces pertenecientes al árbol de Jobo ubicado sobre la Plataforma D-4 Poniente. La parte inferior del nivel corresponde al apisonado de la última ocupación, mismo que presentó menor cantidad de gravillas con respecto a los cuadros anteriores, las cuales fueron sustituidas por lascas de forma rectangular bien aplanadas para nivelar el apisonado (Fig. 3.6). Presencia moderada de artefactos.



Fig. 3. 38. Cuadros 3, 4, 5 y 6 – previo a excavación.



Fig. 3. 39. Cuadro 4 Nivel 1.

Nivel 2.- Este nivel corresponde al apisonado de la última ocupación, formado por gravas en menor cantidad y piedras lajas rectangulares bien aplanadas cuyo tamaño promedia 8 x 16 cm. El material cerámico y lítico aumenta, este cuadro se caracteriza por presentar una gran densidad de desechos de talla y núcleos de pedernal; la parte inferior muestra tierra compactada y piedras redondeadas que dan paso al piso de estuco de la ocupación previa (Figs. 3.6 y 3.40).

Nivel 3.- Corresponde al piso estucado de la ocupación anterior mezclado con grava y guijarros. Gran concentración de artefactos cerámicos y líticos (pedernal y obsidiana) entre el piso estucado y el apisonado mencionado para el nivel anterior. El piso de estuco fue hallado en malas condiciones de conservación, no se excavó a más profundidad para respetar el piso, dejar evidencia de la ocupación y debido a que en el cuadro anterior ya se había explorado debajo del piso y se contaban con suficientes datos sobre el sistema constructivo bajo de esta ocupación (Figs. 3.6 y 3.41)

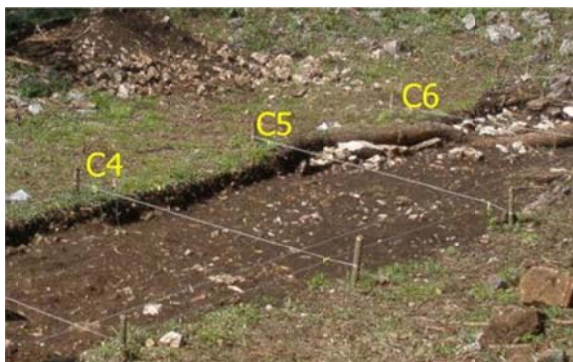


Fig. 3. 40. Cuadros 4, 5 y 6 Nivel 2.



Fig. 3. 41. Cuadros 4 y 5 Nivel 3 – piso de estuco mezclado con gravas y guijarros.

Cuadro 5

Nivel 1.- Capa orgánica delgada (5 – 10 cm), suelo erosionado y abundantes raíces de Jobo, asimismo abundante colapso de la Plataforma D-4 Poniente (Fig. 3.38 y 3.42). La parte inferior del nivel presenta cantidades menores de gravas, sin embargo la parte inferior muestra un aumento de gravas (menores en comparación a los cuadros anteriores). Abundante material cerámico.

Nivel 2.- Corresponden al apisonado de la última ocupación, sin embargo muestra cantidades menores de grava en comparación a los cuadros anteriores (Figs. 3.41 y 3.42). El apisonado estuvo compuesto por lajas rectangulares y delgadas que fueron dispuestas para nivelar el terreno o bien, estas lajas parecen marcar un alineamiento en dirección norte – sur que posiblemente sirvió como banqueta antes de acceder a las escalinatas de la Plataforma D-4 Poniente pero que fue desplazada por el crecimiento de abundantes raíces. Abundante material cerámico. Los niveles 2 y 3 en los cuadros 5 y 6 son los más perturbados por el hundimiento del terreno, la erosión causada por las actividades ganaderas y por la acción de las raíces de los árboles próximos al conjunto arquitectónico; el control estratigráfico de los materiales resulta complicado ya que aparecen materiales mezclados pertenecientes a diferentes niveles.

Nivel 3.- Corresponde al grueso del piso de estuco en muy malas condiciones de conservación y muy mezclado con gravas y guijarros, con las mismas características descritas para los cuadros anteriores (Fig. 3.6 y 3.43). Abundante material cerámico.



Fig. 3. 42. Cuadro 5 transición entre niveles 1 y 2.



Fig. 3. 43. Cuadro 5 transición entre niveles 2 y 3.

Cuadro 6

Nivel 1.- Al igual que en el cuadro anterior, este nivel presenta un grosor similar para la capa orgánica, abundantes raíces y piedras de colapso de la Plataforma D-4 Poniente (Figs. 3.6 y 3.38).

Nivel 2.- Corresponde al apisonado de gravilla y tierra compactada de la última ocupación, presencia de guijarros. Abundante cantidad de tepalcates. La parte poniente del perfil, muestra en este nivel piedras bien careadas que parecen corresponder a un primer alineamiento antes de entrar a la Plataforma D-4 Poniente y que corresponde a una banqueta de acceso a la estructura, es en esta zona donde desplanta el apisonado la ocupación precedente (piso de gravas) (Fig. 3.6).

Nivel 3.- Corresponde al nivel del piso de estuco de la ocupación anterior, sin embargo la presencia de estuco es menor y el piso está compuesto por una delgada capa de gravillas finas, tierra café compactada y abundantes gravas y guijarros. Alta densidad de artefactos, tepalcates y restos desechos de talla de pedernal. En la parte poniente del perfil es posible apreciar la continuación del muro – banquetta descrita en el nivel anterior; es en esta zona donde desplanta el apisonado la ocupación precedente (piso de estuco) (Figs. 3.46 y 3.47).



Fig. 3. 46. Cuadro 6 Nivel 3 vista norte.



Fig. 3. 47. Cuadro 6 Nivel 3 vista sur.

Nivel 4.- Firme que cimenta el piso mencionado para el nivel anterior, presencia de gravas gruesas. La parte inferior de este nivel presenta piedras de relleno. En la parte poniente del perfil continúa el muro ya mencionado en los niveles anteriores (Figura 3.6 y Figura 3.48). Quizás los niveles 2, 3, 4, y 5 (que presentan los desplantes de los pisos con referencia al primer muro o banquetta de la Plataforma D-4) presentan la mejor evidencia para discutir las dos ocupaciones evidentes del conjunto arquitectónico.

Niveles 5, 6 y 7.- Estos niveles presentan uniformidad en todos sus componentes. Relleno constructivo formado por lajas burdas pero bien cortadas cuyo tamaño promedia 16 x 20 cm y 20 x 30 cm (Fig. 3.6 y 3.50)



Fig. 3. 50. Cuadro 6 excavación total, vista oriente.

Extensiones de Cala 1 – Cuadros 10 y 11

Debido a la presencia de raíces expuestas y la base del árbol de Jobo sobre la Plataforma D-4 Poniente no fue posible seguir con la excavación de la cala sobre la estructura mencionada y se tomó la decisión de extender la cala 2 m al sur para poder obtener información sobre el desplante de la estructura y sus componentes arquitectónicos. Se excavaron 2 cuadros bajo la nomenclatura 10 y 11.

Cuadro 10

Nivel 1.- Esta conformado por la capa orgánica, piedra careada colapsada y alineamientos de la plataforma. En este nivel es claro un alineamiento norte – sur que corresponde al muro frontal de plataforma (Figura 3.6, 3.51 y 3.52).



Fig. 3. 51. Cuadro 10 y 11 antes de excavar



Fig. 3. 52. Cuadro 10 y 11 – alineamientos.

Nivel 2.- Inmediatamente debajo de la capa orgánica se presentó el nivel cultural que corresponde al muro frontal de la plataforma seguido de un apisonado de gravas, piedras y guijarros, vale la pena señalar la presencia menor de lascas delgadas de forma rectangular que sugieren la posible existencia de un apisonado que pudo haber estado enlajado de forma parcial (Fig. 3.55). La presencia de tepalcates es abundante y corresponden a tiestos Murciélagos – Balunté. Vale la pena mencionar que el muro hallado en el cuadro 6 de la Cala 1 y el muro presente en este cuadro (ver el dibujo de corte de la cala) forman una pequeña terraza de aproximadamente .50 cm o bien una banqueta de acceso a la plataforma (Fig. 3.52, 3.53 y 3.54).



Fig. 3. 53. Cuadro 10 – desplante del primer muro o banqueta.



Fig. 3. 54. Cuadro 10 y 11 – alineamientos.

Nivel 3.- Corresponde al relleno constructivo debajo del piso de la plataforma, conformado por gravas, guijarros y una cantidad menor de piedras lajas mal cortadas y de acabado burdo (Figs. 3.6 y 3.56).

Nivel 4.- La parte superior corresponde al relleno constructivo con las mismas características mencionadas para el nivel 3, el único cambio se da en el aumento de piedra burda en la parte poniente del cuadro (Fig. 3.6 y 3.56). Vale la pena mencionar la presencia de lajas alargadas y delgadas en la parte oriente del cuadro, sugieren la existencia de un piso enlajado correspondiente a una subestructura posiblemente asociada al piso de estuco del patio. El muro frontal de la plataforma continua presente en el extremo poniente del cuadro. Abundantes materiales cerámicos.

Niveles 5, 6, 7, 8 y 9.- Todos los niveles muestran uniformidad en sus componentes, correspondiendo a piedras burdas que conforman el relleno constructivo de la estructura. Quizás la única variación se halla presente en la parte superior del nivel 5 donde es posible apreciar la continuación de componentes uniformes al nivel 4, predominando lajas alargadas y delgadas en la parte oriente del cuadro y piedra burda en la parte poniente. Moderada presencia de tepalcates en comparación a los niveles anteriores. Este cuadro fue excavado a una profundidad de .90 – 1 m.



Fig. 3.55. Cuadro 10 y 11 – alineamientos y posibles restos de piso enlajado.



Fig. 3.56. Cuadro 10 y 11 – relleno constructivo

Cuadro 11

Nivel 1.- Corresponde a la capa orgánica, piedras de colapso de arquitectura y al menos dos alineamientos en dirección norte – sur correspondientes a los muros internos de la plataforma. En la parte inferior del nivel el material cerámico y lítico (fragmentos de navajillas de obsidiana) es abundante (Fig. 3.51 y 3.52).

Nivel 2.- Corresponde al piso del cuarto al interior de la estructura, compuesto de tierra compactada y lajas bien cortadas de forma rectangular cuyo tamaño varía entre 10 x 20 cm y 20 x 30 m (Fig. 3.6).

Niveles 3, 4, 5, 6, 7 y 8.- Estos niveles muestran uniformidad y corresponden al relleno constructivo. Vale la pena mencionar que el relleno mejora en calidad con respecto al relleno que cimenta el patio y el cuadro anterior: piedras bien cortadas y con acabados poco burdos cuyas juntas fueran rellenas con polvo de piedra y arena fina. Conforme la profundidad aumenta, el tamaño de las lajas también. La profundidad de excavación de este cuadro fue de .80 - .90 m (Fig. 3.57, 3.58 y 3.59).



Fig. 3.57. Cuadro 11 – vista general al final de la excavación – niveles 1-11.



Fig. 3.58. Cuadro 11 – relleno constructivo Nivel 11



Fig. 3.59. Cuadro 11 – vista general al final de la excavación – niveles 1-11.

4.- Entierro No. 18

El entierro se localiza en la parte oriente del cuadro 2, entre los niveles 3 y 4 a una profundidad de entre 20 y 35 cm (Fig. 3.6 y 3.32); fue depositado de manera extendida sobre una delgada cama de tierra bien apisonada sobre el piso de estuco de la primera ocupación del patio, con una orientación norte – sur (Figs. 3.60, 3.61 y 3.67). Originalmente pudo haber tenido un tamaño de entre 1.60 y 1.70 m. Solo se hallaron los fémures, tibias y peroné; al parecer la zona pélvica, costillas, radios, cúbitos, húmeros y cráneo fueron removidos durante un proceso de remodelación asociado al piso de gravas de la última ocupación.



Fig. 3. 60. Entierro no. 18 – ubicación y vista general – vista sur



Fig. 3. 61. Entierro no. 18 – vista general



Fig. 3. 62. Entierro no. 18 – detalle de huesos largos inferiores.

Resulta complicado determinar materiales asociados debido a que no presentó cista o contenedor y los artefactos de relleno de los niveles 3 y 4 se mezclaron con aquellos que originalmente formaron parte del entierro. Sin embargo, luego de la excavación minuciosa fue posible determinar algunos artefactos que seguramente funcionaron como ofrenda. El área de las extremidades inferiores estuvo asociada a 4 fragmentos de navajillas de obsidiana; 1 fragmentos de punta de pedernal; 1 núcleo exhausto de obsidiana; 5 caracoles de río; 1 fragmento de figurilla; 1 piedra de río (chinita); 1 fragmento de lasca de pedernal y 1 pequeña concha (Fig. 3.62). El área pélvica, costillas y extremidades superiores (Figs. 3.63, 3.64 y 3.65) estuvo asociada a 5 caracoles de río; 1 figurilla que posiblemente también funcionó como silbato; huesos animales; 2 fragmentos de figurilla (cabeza y pie); 1 fragmento de hueso largo humano cocido (no perteneciente al entierro) (Fig. 3.63); 2 fragmentos de navajilla de obsidiana; 5 fragmentos de hueso animal; 1 preforma de pedernal (punta); 1 punta completa y una lasca de pedernal. El área craneal estuvo asociada a una lasca de pedernal (Fig. 3.66 y 3.67).



Fig. 3. 65. Entierro no. 18 – detalle del área torácica.



Fig. 3. 67. Vista general de cala 2, conjunto, plaza y Plataforma D3

Cala 2: descripción general de la excavación de niveles métricos

La Cala 2 se realizó en dirección norte – sur a partir de la extensión del cuadro 4 hacia el norte, tomando como punto de partida el nivel 3 (piso estucado) (Figs. 3.2, 3.3, 3.67 y 3.68). El objetivo fue conocer de manera extensiva las características del edificio. La cala tiene 7 cuadros (8, 9, 12, 13, 14 y 15) y fueron excavados 12 niveles métricos, como ya fue mencionado comenzó en el cuadro 4 hacia la Plataforma D-4 Norte hasta el nivel de plaza. A igual que la Cala 1 esta cala también ofrece información importante sobre las dos ocupaciones del patio, mismas que parecen corresponder a dos etapas constructivas tardías que pueden ser discutidas a partir de la evidencia arquitectónica de la Plataforma D-4 Poniente (Fig. 3.69). Es importante mencionar que a diferencia de la Plataforma D-4 Poniente, el desplante (de la Plataforma D-4 Norte en sus dos etapas de ocupación) tuvo como punto de partida el piso estucado del patio y no se halla presente el apisonado de gravilla y tierra compactada observado en los cuadros 1-6 de la Cala 1; también vale la pena señalar que el área de piso estucado próximo a la Plataforma D-4 durante la última etapa de ocupación fue elevado al menos 10 cm para alcanzar la nivelación del apisonado de gravilla, aprovechando el hundimiento del terreno en esta zona (Fig. 3.69). Es importante enfatizar que al igual que en el patio y la Plataforma D-4 Poniente y tanto en el área de piso estucado próxima a la Plataforma D-Norte como al interior de la plataforma misma, existe evidencia clara para discutir dos ocupaciones del conjunto durante el Clásico Tardío. Al parecer la última ocupación de la plataforma tiene que ver con la ampliación del acceso hacia el patio, el mantenimiento y nivelación de los enlucidos al interior del edificio de manera que la fachada de la estructura y el acceso hacia el edificio no fueron modificados durante estas remodelaciones (Fig. 3.6 y 3.69). Estos aspectos se discuten en el apartado dedicado a la arquitectura, ocupaciones y funciones. A continuación describen aspectos generales de los niveles excavados en la cala.

Nivel 1 (0 - 20 cm), refiere a la capa orgánica, compuesta por pasto, tierra migajón – arcillosa (5YR 3/2), pasto, hojarasca, piedras careadas y burdas de la Plataforma D-4 Norte (Fig. 3.70, 3.71 y 3.72). En los cuadros 7 y 8, la capa orgánica corresponde a los niveles 8 y 9 debido al desnivel del terreno y obviamente al volumen natural de la estructura arquitectónica (Fig. 3.73). Estos niveles son descritos de manera individual en el apartado destinado a descripción de cuadros y detalles de niveles con el objetivo de que la descripción de cada cuadro pueda comprenderse

dentro de una secuencia estratigráfica con denominación numérica uniforme. En los cuadros 13, 14 y 15 la capa orgánica está conformada por una muy delgada capa de hojarasca y tierra café oscuro o bien se halla ausente y es ocupada por las escalinatas de acceso a la estructura, la entrecalle y posteriormente escalinatas de acceso al edificio. Es necesario enfatizar que, en términos generales, Nivel 1 corresponde a la capa orgánica presente en los cuadros 9, 12 y 12, en el resto de los cuadros la capa orgánica ocupa diferentes niveles obviamente de acuerdo a suposición en el terreno (verte dibujo de corte Norte – Sur de Cala 2 Fig. 3.68). La presencia de artefactos en este nivel es moderada (tepalcates) con respecto a los niveles inferiores.

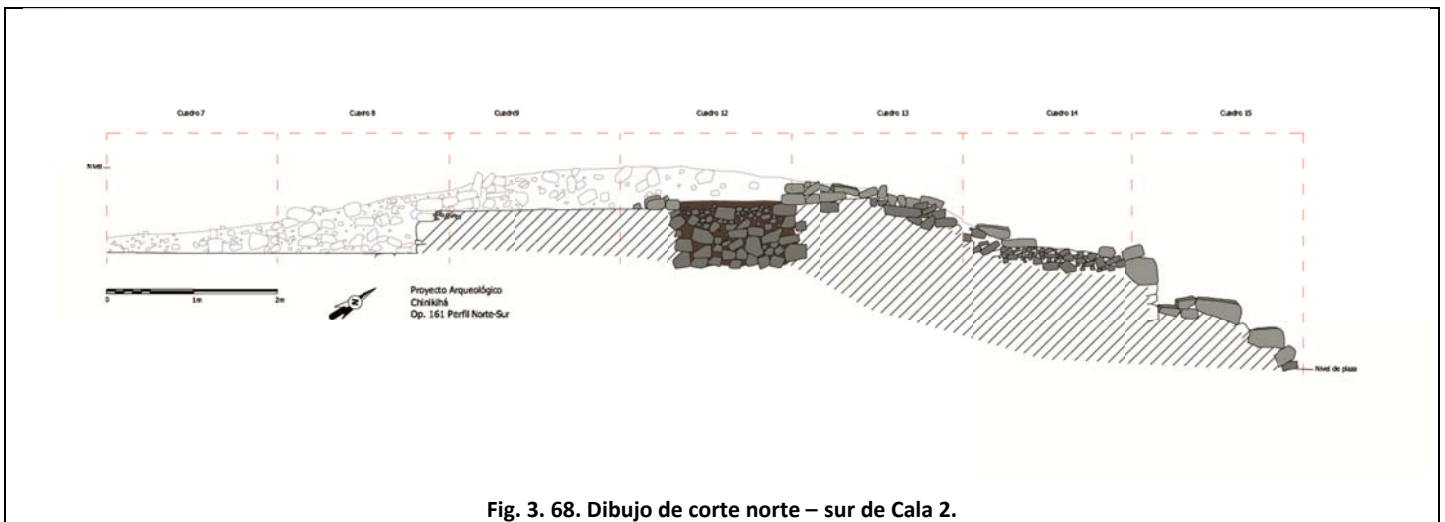


Fig. 3. 68. Dibujo de corte norte – sur de Cala 2.



Fig. 3. 69. Vista general de las calas, ocupaciones y niveles dentro del conjunto.



Fig. 3. 70. Vista parcial de Cala 2 – parte superior de la capa orgánica – Nivel 1 lado sur.



Fig. 3. 71. Vista parcial de Cala 2 – parte inferior de la capa orgánica – Nivel 1 lado sur.



Fig. 3. 72. Vista parcial de Cala 2 – parte superior de la capa orgánica – Nivel 1 lado norte.

Nivel 2.- La parte superior de este nivel corresponde a la capa orgánica, tierra café con tendencias grises (Munsell 5YR 3/2 con tendencias hacia 5YR 2/2) mezclada con guijarros, piedras burdas y otras careadas que devienen del colapso arquitectónico de los muros de la plataforma (Fig. 3.68 y Fig. 3.74). La parte inferior del nivel corresponde a una presencia menor de tierra, raíces y en su totalidad se compone de tierra café (Munsell 5YR 2/2) que conforme se halla más profundas tiene texturas menos arcillosas y adopta tonalidades más claras (Munsell 5YR 4/4), se halla mezclada con piedras, gravas y guijarros. Este nivel está bien representado en los cuadros 9, 12 y 13. La frecuencia de artefactos aumenta pero sigue siendo moderada con respecto a niveles inferiores: tepalcates Murciélagos – Balunté y desechos de talla de pedernal.

Nivel 3.- Corresponde en su totalidad a tierra café (Munsell 5YR 2/2 - 5YR 4/4) mezclada con una gran densidad de piedras de colapso arquitectónicos (Fig. 3.68 y 3.74). En la parte inferior de los cuadros 8 y 13 este nivel corresponde al inicio de la evidencia arquitectónica en forma de alineamientos que formaron la salida hacia el patio y el acceso al edificio respectivamente. La densidad de tepalcates y lítica (obsidiana y pedernal) comienza a elevarse de manera drástica, especialmente en el cuadro 8 donde fueron hallados dos fragmentos de mano de metate, fragmentos de navajillas de obsidiana y desechos de talla de pedernal.

Nivel 4.- Se halla mejor representado en los cuadros 8, 9, 12 y 13. La parte superior de este nivel corresponde al colapso arquitectónico y tierra café (Munsell 5YR 2/2 - 5YR 4/4) debajo de la capa orgánica; la parte inferior

corresponde al inicio de alineamientos de muros de la última ocupación. La densidad de artefactos aumenta, tepalcates abundantes de las fases Murciélagos – Balunté (ollas, *beakers* y tazones) (Fig. 3.68 y 3.74).



Fig. 3. 73. Cuadro 7 - detalle de niveles 7, 8 y 9.



Fig. 3. 74. Detalle de niveles en la parte central de la Cala 2.

Nivel 5.- Este nivel corresponde al inicio de la arquitectura de la Plataforma D-4 Norte, de manera particular sobresalen en este nivel los cuadros 8, 9, 12 y 13. La parte inferior de este nivel corresponde al piso estucado al interior del edificio. La densidad de artefactos continua, especialmente cerámica y cantidades menores de lítica (fragmentos de instrumentos de obsidiana y pedernal) y hueso animal (Fig. 3.75).

Nivel 6.- Se halla representado en casi toda la cala y se manifiesta de manera diversa debido al desnivel del terreno y la nivelación de los elementos arquitectónicos; corresponde a las escalinatas superiores para acceder al edificio a nivel de piso estucado, el firme debajo del piso, el inicio del relleno constructivo y el acceso hacia el patio (Fig. 3.76). La densidad de artefactos continúa.

Nivel 7.- En la parte central de la cala este nivel corresponde al relleno constructivo debajo del firme, formado por piedras calizas bien cortadas pero de acabados burdos. En los extremos de la cala corresponde a las escalinatas de acceso a la estructura (lado norte) y el muro y escalinatas de salida hacia el patio estucado (lado sur) (Fig. 3.68, 3.75, 3.76 y 3.77).

Niveles 8, 9, 10, 11 y 12.- En la parte central de la cala estos niveles corresponden al relleno constructivo (Fig. 3.68, 3.74); en la parte norte corresponde a las escalinatas de acceso a la estructura; en la parte sur, la parte superior del

nivel corresponde a la salida hacia el patio, sin embargo la parte inferior comienza a evidenciar restos de una ocupación anterior.



Fig. 3. 75. Cuadros 8 y 9 – rasgos arquitectónicos en Niveles 4 – 5.



Fig. 3. 76. Cala 2 – imagen representativa detalles de Niveles 5, 6, 7 y 8 – parte central.



Fig. 3. 77. Cala 2 Nivel 7 – Cuadros 14 y 15 – escalinatas de acceso.

Descripción de cuadros y detalles de niveles

Cuadro 7, se excavaron 3 niveles métricos.

Nivel 8.- Corresponde a la capa orgánica, piedras de colapso de la plataforma y pasto. La tierra muestra las características típicas de los suelos Vertisoles, texturas arcillosas con altos porcentajes de migajones, poca arena, color café (5YR 3/2) (Figs. 3.68 y 3.78).

Nivel 9.- La parte superior de este nivel corresponde a la capa orgánica con las mismas características mencionadas para el nivel anterior, sin embargo en el extremo sur norte del cuadro, la parte inferior de este nivel corresponde a un alineamiento en dirección este – oeste que compone una banqueta de acceso o bien un escalón con huella prolongada de .80 – 1 m para acceder directamente del patio hacia otra nivelación dentro de la estructura (Fig. 3.68, 3.79 y 3.80). La presencia de artefactos es abundante, compuesta por manos de metate, fragmentos de metates, preformas, fragmentos de puntas y hachas de pedernal, navajillas prismáticas de obsidiana.

Nivel 10.- Corresponde al piso estucado del patio hallado en la Cala 2. Es importante mencionar que la adición de un apisonado de gravillas durante la última etapa de ocupación no estuvo presente en esta área del conjunto, al parecer la plataforma desplantó directamente del piso de estuco tanto en la ocupación temprana como en la ocupación tardía. Para alcanzar el nivel del piso con gravas y tierra compacta, el piso de estuco fue elevado al menos 10 cm arriba de su nivel original (en la ocupación temprana), así lo sugieren las capas de enlucidos halladas (Figura 3.80). La densidad de artefactos es muy alta, directamente sobre el piso de estuco fueron halladas grandes concentraciones de puntas de preformas, puntas, hachas y desechos de talla de pedernal; fragmentos de navajillas prismáticas de obsidiana y núcleos exhaustos; tepalcates; fragmentos de metates y manos de basalto; caracoles de río y concha marina.



Fig. 3. 78. Cuadro 7 – Nivel 8 - parte superior de la capa orgánica.



Fig. 3. 79. Cuadro 7 – Nivel 9 - alineamientos.

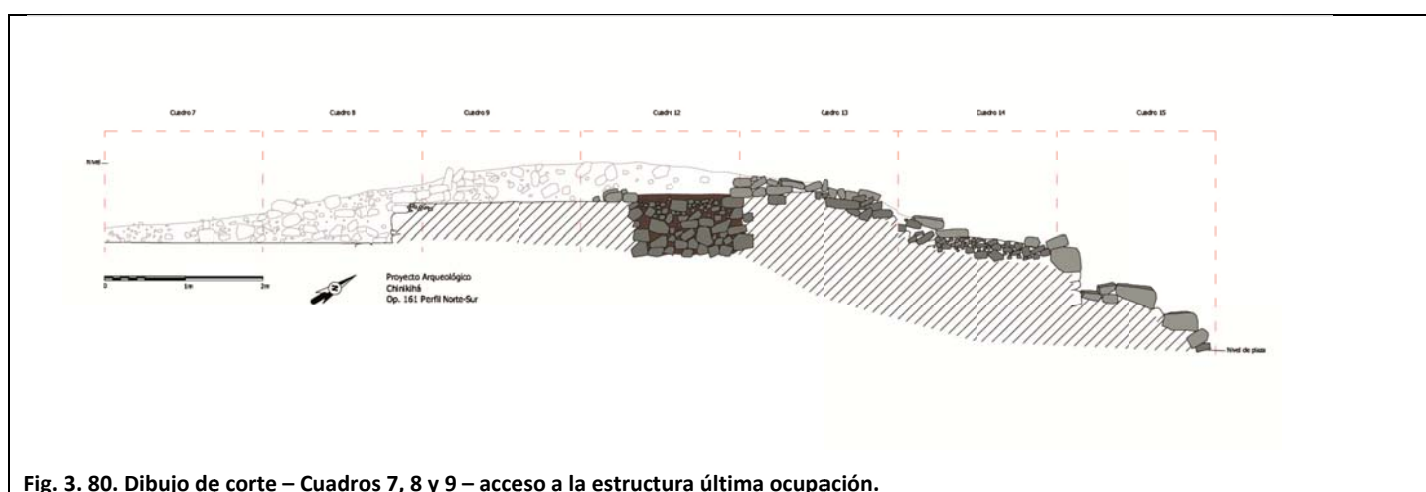


Fig. 3. 80. Dibujo de corte – Cuadros 7, 8 y 9 – acceso a la estructura última ocupación.

Cuadro 8

Niveles 1 y 2.-Estos niveles muestran uniformidad en sus componentes, los cuales corresponden a la capa orgánica mezclada con piedras bien careadas procedentes del colapso arquitectónico del muro sur del edificio. La distribución y disposición del colapso arquitectónico indica que gran parte del edificio se desplomó hacia el sur, asimismo el tamaño y forma de de la piedra careada indican que el edificio no tuvo bóveda (Fig. 3.81).

Niveles 3, 4, 5, 6, 7, 8 y 9.- Estos niveles son descritos de manera conjunta en un solo apartado por tres razones. La primera radica (obviamente por la similitud de sus componentes) en el hecho de que todas las partes superiores de estos niveles muestran una delgada capa orgánica mezclada con gravas, guijarros y muy poca piedra de colapso arquitectónico, asimismo su densidad de artefactos es la más alta de toda la cala. La segunda razón tiene que ver con el hecho de que la parte medial de de los niveles corresponde a rasgos arquitectónicos de la última ocupación (el acceso – salida hacia el patio o bien la entrada posterior al edificio). La tercera y última razón tiene que ver con el hecho de que luego de remover la última ocupación, todos los niveles mostraron evidencia de una ocupación anterior

(Figs. 3.68, 3.80 y 3.81). La evidencia arquitectónica sugiere que el acceso hacia el edificio (desde el patio) estuvo conformado por dos escalones de huella prolongada, uno de .80 – 1 m (descrito para el nivel 9 del cuadro 7) y el siguiente de .90 – 1 m, ambos con una contrahuella de .20 – .30 m; posteriormente un escalón que se reduce en tamaño con respecto a los anteriores, una huella de .25 - .30 m y contrahuella de .20 m. Este escalón permite acceder directamente al piso estucado del edificio a través de un acceso flanqueado por los muros del edificio (ver dibujo de planta y corte de la Cala 2) (Figs. 3.81, 3.82 y 3.83). Vale la pena señalar la re-utilización de un fragmento de metate y una mano como parte de los escalones de acceso (Fig. 3.83).



Fig. 3. 81. Cuadros 7, 8 y 9 – piso estucado y gravas - acceso a la plataforma.



Fig. 3. 82. Cuadros 7, 8 y 9 – detalle del acceso a la plataforma - última ocupación.

Luego de documentar estos rasgos arquitectónicos se abrió una cala menor de .50 x .50 m para explorar una posible subestructura, misma que fue hallada directamente debajo de los escalones de acceso de la última ocupación. Durante la ocupación anterior el acceso hacia el edificio (desde el piso de estuco) era más reducido y estuvo compuesto de un escalón de 38 cm de contrahuella y 38 de huella, mismo que conduce directamente hacia el mismo nivel de piso de estuco de la última ocupación (Figs. 3.68 y 3.84, 3.85). A .30 m del desplante del escalón de acceso, se halló un metate con el cuenco hacia abajo y .40 al sur una concentración de navajillas prismáticas, preformas y puntas de pedernal, fragmentos de figurilla, concha marina y caracoles de río (Figs. 3.86, 3.87, 3.88 y 3.89). Directamente sobre este depósito fue construida la última ocupación y al parecer el acceso hacia el patio fue la única zona de la plataforma que fue modificada. Ambas ocupaciones compartieron la misma fachada y acceso al edificio, así como el mismo nivel de piso, el cual solo fue conservado y modificado ligeramente a través de la colocación de enlucidos (Ver Cuadros 7 – 9 en dibujo de corte (Figs. 3.68, 3.80, 3.83, 3.85, 3.86 y 3.88).



Fig. 3. 83. Cuadros 1 y 8 – detalle de acceso a la plataforma.

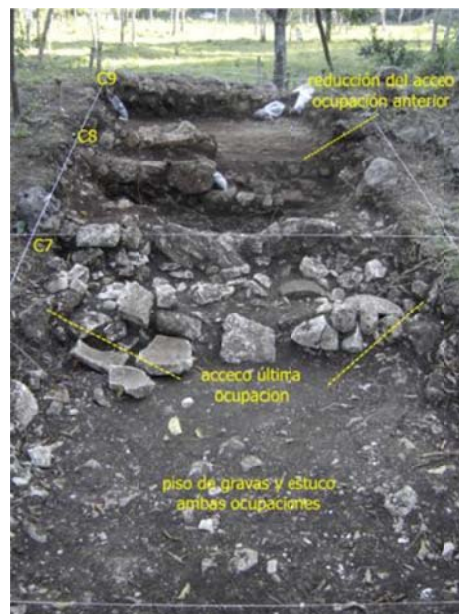


Fig. 3. 84. Cuadros 7, 8 y 9 – detalle de la reducción del acceso superior a la plataforma – primera ocupación.

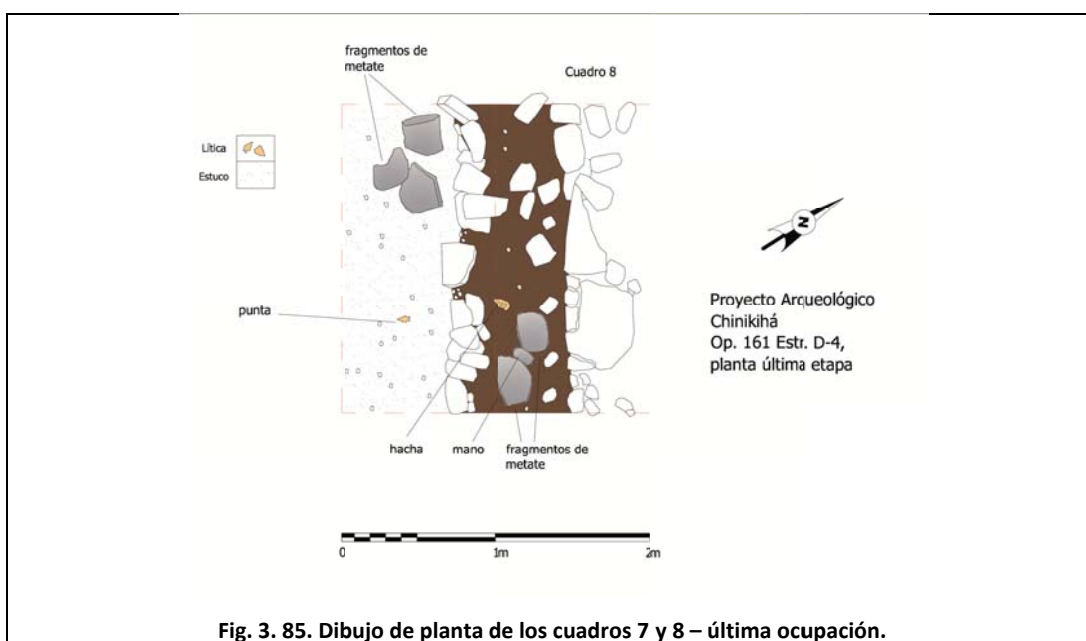


Fig. 3. 85. Dibujo de planta de los cuadros 7 y 8 – última ocupación.

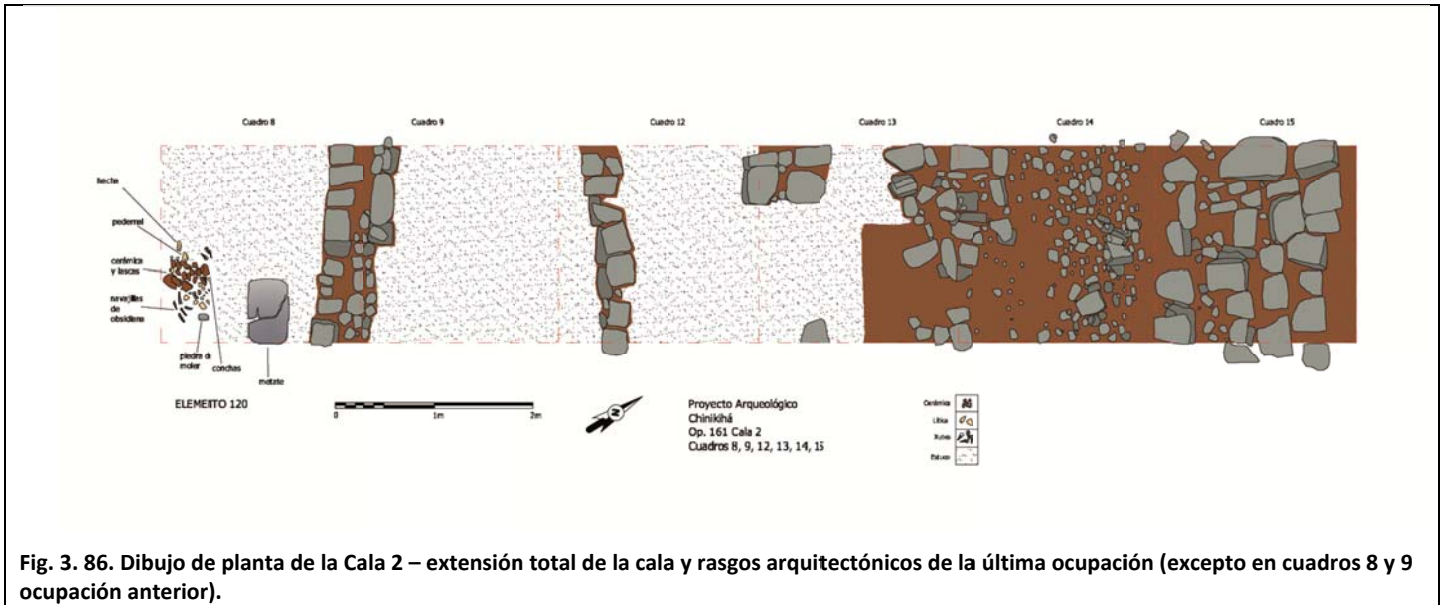


Fig. 3. 86. Dibujo de planta de la Cala 2 – extensión total de la cala y rasgos arquitectónicos de la última ocupación (excepto en cuadros 8 y 9 ocupación anterior).



Fig. 3. 87. Acceso a la plataforma desde el patio – 1era ocupación.



Fig. 3. 88. Detalle de acceso a la plataforma – 1era ocupación.



Fig. 3. 89. Detalle de metate en el desplante del acceso a la plataforma – 1era ocupación.

Cuadro 9

Niveles 1, 2 y 3.- Capa orgánica, tierra café mezclada con piedras de colapso arquitectónico, gravas y guijarros (Fig. 3.68, 3.71 y 3.83). La presencia de artefactos es moderada en comparación a los niveles inferiores. Es importante señalar que la capa orgánica de Cala 2 presenta una menor cantidad de artefactos que la Cala 1, y en general, las cantidades de artefactos disminuyen drásticamente en todos los niveles en comparación a los de la Cala 1. Los niveles 1, 2 y 3 en los Cuadros 9 y 12 presentan los grosores de capa orgánica más grandes de toda la excavación, los cuales promedian 35 cm.

Nivel 4.- La parte superior de este nivel representa el fin de la capa orgánica. La parte inferior del nivel corresponde a una densa cantidad de escombros producto del colapso arquitectónico (Fig. 3.91).

Nivel 5.- El área sur del cuadro (en la parte superior) corresponde al muro y salida de la última ocupación hacia el patio del conjunto; la parte inferior corresponde al inicio del piso estucado al interior del edificio (Fig. 3.68 y 3.93).

Nivel 6.- Corresponde al piso de estuco y el firme debajo del piso compuestos por gravillas finas (Figs. 3.92 y 3.93). Vale la pena mencionar que el piso de estuco estuvo en constante mantenimiento y nivelación, así lo sugiere la evidencia macroscópica de varios enlucidos, especialmente aquellos de mayor grosor.



Fig. 3.91. Cuadro 9 – nivel 4.

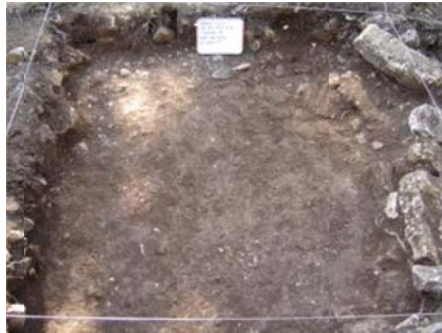


Fig. 3.92. Cuadro 9 – nivel de piso al interior de la plataforma



Fig. 3.93. Cuadro 9 – nivel de piso al interior de la plataforma.

Cuadro 12

Niveles 1 y 2.- Estos niveles muestran uniformidad y están compuestos por la capa orgánica mezclada con piedras de colapso. La cantidad de escombros de colapso decrece en comparación a los cuadros anteriores y aumenta la presencia de gravas y guijarros (Fig. 3.94). La densidad de artefactos es muy baja. En el extremo norte del cuadro (en la parte inferior del nivel) aparece un alineamiento (este – oeste) que corresponde al muro frontal del edificio.

Nivel 3.- La parte superior se compone de la última porción de capa orgánica, mayor cantidad de guijarros, gravas y abundante material de colapso (Fig. 3.95); la parte inferior comprende un alineamiento (norte – sur) que forma el muro interno que separa las dos galerías del edificio; la parte norte del cuadro está comprendida por el muro frontal del edificio. Alta frecuencia de tepalcates Murciélagos – Balunté.



Fig. 3.94. Cuadro 12 – transición entre niveles 1 y 2



Fig. 3.95. Cuadro 12 – Nivel 3.

Nivel 4.- La parte superior muestra las mismas características que el nivel anterior, sin embargo la parte inferior corresponde al piso estucado al interior del edificio (Fig. 3.96 y 3.97). Frecuencia de artefactos moderada.



Fig. 3.96. Cuadro 12 piso estucado – interior de la plataforma.



Fig. 3.97. Cuadro 12 piso estucado – interior de la plataforma.

Nivel 5.- Esta conformado por el piso de estuco y el firme; la parte inferior del nivel está conformada por un compacto de gravillas que da paso a una capa de gravas y guijarros. Frecuencia de artefactos moderada (Fig. 3.98).

Nivel 6.- Esta conformado por una densa capa de gravas y guijarros que cimenta el piso de estuco (Fig. 3.68 y 3.99).

Niveles 7, 8, 9, 10, 11 y 12.- La parte superior del nivel 7 está conformado por gravas y guijarros que cimentan el piso de estuco, el resto de los niveles mantienen uniformidad y corresponden al relleno constructivo (Figs. 3.99 y 3.100). Vale la pena mencionar que el relleno mantiene una gran similitud que el relleno excavado en el Cuadro 3 de la Cala 1 y los colores del polvo de piedra, tierra y arena empleados los mismos. No podemos decir lo mismo del relleno

encontrado en la Plataforma D-4 Poniente que difiere de los mencionados, por lo cual podemos sugerir que el patio y la Plataforma D-4 Poniente suponen más antigüedad que la Plataforma D-4 Poniente.



Fig. 3. 98. Cuadro 12 Nivel 6.



Fig. 3. 99. Cuadro 12 Vista general de niveles.



Fig. 3. 100. Cuadro 12 vista general del relleno constructivo.

Cuadro 13

Niveles 3, 4, 5 y 6.- Estos niveles mantienen uniformidad en todos sus componentes. Una delgada capa orgánica de 5 cm que da paso a las escalinatas de acceso al edificio y parte de la entrecalle (Figs. 3.101 y 3.102).



Fig. 3. 101. Cuadro 13 niveles 3, 4, 5 y 6 – escalinatas de acceso al edificio y entrecalle.



Fig. 3. 102. Cuadro 13 – escalinatas de acceso al edificio y entrecalle.

Cuadro 14

Niveles 6, 7, 8.- La parte sur de cuadro corresponde a los dos primeros escalones de 4 que formaron las escalinatas de acceso al edificio. El resto del cuadro en todos los niveles corresponde a la entrecalle que ocupa el espacio entre las escalinatas mencionadas y las escalinatas de acceso a la estructura. Debido a las actividades ganaderas

y los factores climáticos parte del suelo en este cuadro mostró erosión y expuso el núcleo debajo de la entrecalle, formado por gravas y guijarros bien compactados (Figs. 3.103 y 3.104).



Fig. 3. 103. Vista general del acceso a la plataforma.



Fig. 3. 104. Vista frontal de la Plataforma D – 4 Norte.

Cuadro 15

Niveles 10, 11, 12, y 13, corresponden a los escalones de acceso a la estructura. (Figs. 3.68, 3.86, 3.103, 3.104 y 3.105).



Fig. 3. 105. Detalle de los escalones – acceso a la Plataforma D-4 Norte

Rellenado de pozos

Posterior a la excavación y consolidación de rasgos arquitectónicos (Ver Capítulo del Arqlgo. Daniel Juárez), los pozos fueron rellenados. El relleno consistió en la elaboración de cajas de piedras al interior del pozo con el objetivo de retener el material de relleno (capas de gravas, guijarros y tierra); en el caso de las áreas con arquitectura

consolidada, previo al relleno se colocó una capa de tierra cribada para proteger los vestigios (Figs. 3.106, 3.107, 3.118, 3.119, 3.20, 3.121 y 3.122).



Fig. 3. 106. Vista general de calas rellenas.



Fig. 3. 107. Vista general de la Cala 1 durante el proceso de relleno.

Comentarios: arquitectura, ocupaciones y función en el conjunto D - 4

El registro de artefactos y rasgos arquitectónicos en las áreas excavadas, ofrecen información importante para discutir el patrón de ocupación y actividades llevadas a cabo en el patio, las ocupaciones dentro del conjunto y los componentes arquitectónicos dentro del mismo.

El patio tuvo dos ocupaciones, al parecer ambas durante el Clásico Tardío. Los análisis cerámicos preliminares señalan que los materiales cerámicos más tempranos del patio y en general del conjunto datan para el Clásico Temprano (bases anulares Motiepa), sin embargo estos materiales vienen de contexto de relleno constructivo (debajo del piso estucado) y no tenemos la certeza de que corresponden a una ocupación temprana del conjunto; los resultados de los análisis cerámicos y de radio-carbón permitirán discutir este aspecto a detalle. Investigaciones previas en el sitio sugieren que durante el último periodo de ocupación la arquitectura muestra un acabado arquitectónico burdo precedido por una arquitectura más fina a partir del empleo de piedras bien careadas, lo cual coincide con la evidencia arqueológica de las excavaciones llevadas a cabo en la Estructura D-4, sin embargo aun requerimos de más investigaciones para datar fases, etapas y estilos arquitectónicos.

El sistema constructivo y el patio durante la primera ocupación

El conjunto fue construido sobre una elevación artificial que desplanta del mismo nivel de plaza del Conjunto E, aproximadamente a 1.50 m debajo de las plazas Norte y Sur. El conjunto presenta una elevación de 2 m desde el nivel de plaza hasta el nivel de piso al interior de la Plataforma D-4 Norte. La evidencia de los Cuadros 3 y 12 (Cala 1 y 2 respectivamente) (Fig. 3.67 y 3.68) sugiere que la elevación fue realizada a partir de una estructura muy sólida que incorporó la cimentación del conjunto a partir de piedras lajas de apariencia burda pero bien cortada; para unir las

juntas de las piedras de amarre no se usó cementante, de lo contrario se usó tierra de textura migajón – arenosa y polvo de piedra (Fig. 3.35). El sistema consistió en amarrar un nivel de 20 – 30 cm de lajas sobre cual se rellenaban las juntas de las piedras y se colocaba una delgada pero maciza capa de tierra arcillosa bien compactada, sobre la cual se volvía amarrar otro nivel de lajas.

La primera ocupación puede evidenciarse a partir de la evidencia arqueológica y arquitectónica del patio. Sobre el último nivel de cimentación se construyó un firme a partir de capas sucesivas de guijarros, gravas, gravillas, arena y cal, posteriormente el grueso del piso de estuco y el enlucido pulido (Fig.3.6). El relleno constructivo debajo de piso mostró materiales cerámicos del Clásico Tardío y Clásico Temprano. A nivel de piso todos los materiales cerámicos parecen corresponder a las fases Murciélagos – Balunté. Los artefactos predominantes sobre piso corresponden a desechos de talla, preformas, puntas y abundantes núcleos de pedernal, asimismo fragmentos de metates y manos en cercanía del desplante de la Plataforma D-4 Norte. Núcleos exhaustos y navajas prismáticas de obsidiana se presentan en menos frecuencia comparada con los materiales mencionados. Los Cuadros 3, 4 y 5 de la Cala 1 se caracterizan por presentar las frecuencias más altas de los artefactos mencionados a excepción de los metates, los cuales se presentan con mayor frecuencia en los cuadros 7 y 8 de la Cala 2, siempre sobre piso durante la primera ocupación (Fig. 3.6). Al parecer, la producción de herramientas de pedernal fue una actividad constante e importante en el patio del conjunto y es importante señalar que a nivel de sitio, los instrumentos de pedernal se presentan con más frecuencia que los de obsidiana; no menos importante resulta el hallazgo de canteras y fuentes de pedernal en las áreas escarpadas y pie de monte próximas al grupo E Noroeste, grupo F Norte y G Límite Norte, donde han sido registradas (en varios puntos) grandes acumulaciones de desechos de talla y preformas de pedernal (Ver Capítulo del ArqIgo. Flavio Silva Mora). Sin duda alguna, las actividades de molienda y preparación de alimentos no pueden descartarse del conjunto, así lo sugieren los fragmentos de metate hallados en diversos puntos, teniendo su punto focal en cercanía del desplante del acceso hacia la Plataforma D-4 Norte.

El nivel de patio mencionado sirvió como desplante para la Plataforma D-4 Poniente y D-4 Norte; para el caso de la plataforma poniente, la evidencia registrada en la Cala 1 señala que el patio con piso estucado sirvió como desplante para una terraza o corredor que da paso a dos vanos que seguramente tuvieron piso enlajado como parte del espacio de circulación interior. Los Cuadros 10 y 11, a una profundidad de .40 y .50 m respectivamente muestran evidencia de lajas que coinciden bien con el nivel del piso de estuco, lo cual sugiere la presencia de una subestructura que desplantaba .10 - .20 ligeramente arriba del nivel del piso estucado del patio, durante una primera etapa de ocupación (Fig. 3.6). Los materiales cerámicos asociados al posible piso enlajado corresponden al Clásico Tardío (Murciélagos – Balunté). A partir de esta evidencia, podemos sugerir que posterior a esta ocupación, la Plataforma D-4 Poniente tuvo modificaciones menores que consistieron en subir las hileras de piedra del corredor, a manera de nivelar con el nivel de piso engravado de la última ocupación.

Asimismo, el nivel de piso estucado sirvió como desplante de la subestructura de Plataforma D-4 Norte, la cual sufrió modificaciones más complejas durante la última etapa de ocupación en comparación con la D-4 Poniente. El acceso hacia la plataforma mencionada desde el patio, consistió de un escalón de 38 cm de contrahuella y

38 de huella, mismo que condujo directamente hacia el mismo nivel de piso de estuco de la última ocupación (Figs. 3.68 y 3.84, 3.85). A .30 m del desplante del escalón de acceso, se halló un metate con el cuenco hacia abajo y .40 al sur una concentración de navajillas prismáticas, preformas y puntas de pedernal, fragmentos de figurilla, concha marina y caracoles de río (Figs. 3.86, 3.87, 3.88 y 3.89). Directamente sobre este depósito fue construida la última ocupación y al parecer el acceso hacia el patio fue la única zona de la plataforma que fue modificada. Ambas ocupaciones compartieron la misma fachada y acceso al edificio desde el nivel de plaza (lado norte), así como el mismo nivel de piso, el cual solo fue conservado y modificado ligeramente a través de la colocación de enlucidos (Ver Cuadros 7 – 9 en dibujo de corte (Figs. 3.68, 3.80, 3.83, 3.85, 3.86 y 3.88).

El patio y las plataformas durante la última ocupación

El evento que marcó la transformación del conjunto seguramente tiene que ver con el Entierro no. 18, mismo que provocó la elevación de nivel del piso del patio, la elevación de la banqueta o corredor que permite acceder al edificio de la Plataforma D-4 Poniente así como también el acceso hacia la Plataforma D-4 Norte. Como ya hemos mencionado, el entierro fue depositado sobre una delgada capa de arena y tierra compactada, directamente sobre el piso de estuco, 20 – 30 cm debajo del piso de gravas del patio correspondiente a la última ocupación. En el patio la modificación consistió en añadir una capa de acabado burdo a partir de gravas y guijarros, y posteriormente una capa compactada de tierra con gravas que sirvió como piso de la última ocupación. Siguiendo la tradición arquitectónica del sitio es evidente la presencia de una etapa temprana con acabados finos que antecede a la etapa tardía con burdos y toscos. La capa de relleno entre el piso estucado y el piso de gravas mostró una densidad de artefactos enorme, principalmente tiestos de la fase Murciélagos – Balunté y abundante desechos de talla de pedernal. Sobre el nivel de piso de gravas, al igual que el piso anterior, resultó frecuente hallar abundantes núcleos, preformas y desechos de talla de pedernal. Lo anterior sugiere que durante la última ocupación la tradición de producción de instrumentos de pedernal, continuó como la actividad primordial en el patio.

Con la subida de nivel del patio, la Plataforma D-4 Poniente sufrió modificaciones que consistieron en levantar el nivel de acceso y el nivel de piso. La banqueta de acceso de acceso se levantó al menos .30 m, mientras que el nivel de piso al interior de los vanos se elevó entre .30 y .40 m. Al menos el piso del primer vano, continuó la tradición de piso enlajado, sin embargo el piso del segundo vano al parecer tuvo un apisonado de tierra muy compactada con grava. Por otro lado, el área cercana al desplante de la Plataforma D-4 Norte (cuadros 7, 8 y 9 de Cala 2) no incorporó un piso de gravas, la modificación consistió en levantar el nivel de piso a partir de una base de cal, gravillas y tierra para alcanzar el nivel de desplante de la Plataforma D-4 Poniente y en general de toda la nivelación del piso de gravas del patio. La modificación consistió en rellenar con tierra compacta, gravas y guijarros; el acceso a la plataforma fue modificado a manera de proyectarlo hacia el sur y crear un acceso con escalones más prolongado que el de la subestructura. La evidencia arquitectónica sugiere que el acceso hacia el edificio estuvo conformado por dos escalones de huella prolongada, uno de .80 – 1 m (descrito para el nivel 9 del cuadro 7) y el siguiente de .90 – 1 m, ambos con una contrahuella de .20 – .30 m; posteriormente un escalón que se reduce en tamaño con respecto a los anteriores, una huella de .25 - .30 m y contrahuella de .20 m. Este escalón permite acceder directamente al piso

estucado del edificio a través de un acceso flanqueado por los muros del edificio (ver dibujo de planta y corte de la Cala 2) (Figs. 3.81, 3.82 y 3.83). Vale la pena señalar la re-utilización de un fragmento de metate y una mano como parte de los escalones de acceso (Fig. 3.83). Al parecer el resto del edificio y la estructura no fueron modificados y simplemente se añadieron enlucidos al nivel de piso estucado al interior para levantar un poco el nivel con respecto al anterior (10 cm). La Cala 2 permitió realizar un dibujo de corte norte – sur con el cual se pudieron conocer los rasgos arquitectónicos formales más importantes de la Plataforma D-Norte, la cual consiste en 4 escalones que desplantan desde el nivel de plaza y posteriormente una entrecalle de 1.20 m que permite llegar a los 4-5 peldaños que sirven como escalinatas de acceso al edificio. El interior del edificio consiste en dos vanos separados por un muro interno; en el vano posterior se halla el acceso hacia el patio, el cual ha sido descrito.

OPERACIÓN 167: Estructura C-5

La estructura C-5 se localiza en la parte sureste de Chinikihá, dentro del grupo arquitectónico denominado Grupo C, formado por 16 estructuras. En términos generales, la ubicación del grupo restringe el acceso sureste hacia el núcleo cívico-ceremonial del sitio. La estructura C-5 refiere a un conjunto de tres plataformas orientadas a patio, distribuidas sobre una nivelación de terreno con un acceso desde el sur (Fig. 3.108). Las excavaciones se llevaron a cabo a partir 1 cala, con el objetivo de explorar el acceso hacia el conjunto, el patio central, un altar al centro del patio, la Plataforma C-5 Norte y C-5 Este. La Cala 1 tuvo un eje norte – sur y estuvo conformada por 11 cuadros y una extensión de dos cuadros hacia el poniente para liberar un altar ubicado al centro del patio, asimismo 4 cuadros hacia el este para explorar la plataforma C-5 Poniente (Figs. 3.109, 3.110, 3.111, 3.112, 3.116 y 3.117). Por la diversidad constitutiva de los cuadros y sus respectivos niveles, no es posible realizar una descripción general unificada de los mismos siguiendo el esquema en el cual se describió la operación 161; para el caso de la operación 167 hemos optado por realizar de manera directa la descripción de niveles por cuadros y posteriormente un apartado referido a la discusión de los niveles más representativos, rasgos arquitectónicos y distribución de artefactos.



Fig. 3. 108. Ubicación del Grupo C – Estructura C – 5

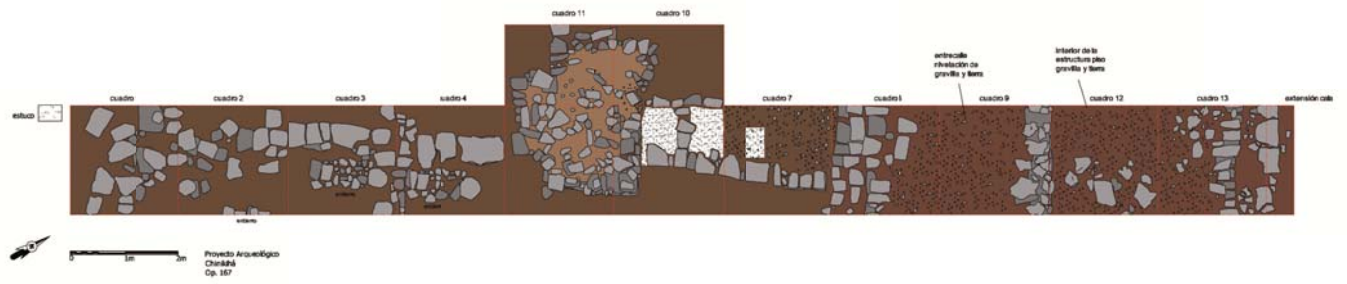


Fig. 3. 109. Dibujo de Planta de la Cala 1 Op. 167 – Rasgos arquitectónicos Niveles 1-10.

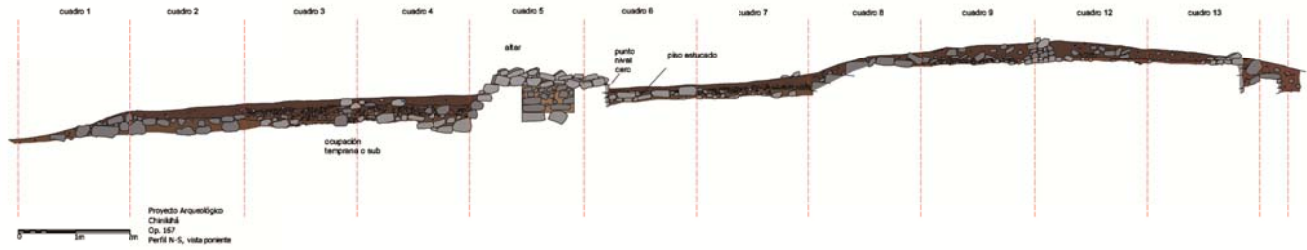


Fig. 3. 110. Dibujo de Corte de la Cala 1 Op. 167.

Cuadro 1

Nivel 15.- Conformado por la capa orgánica en forma de pastizal que sirve como alimento para ganado, raíces de pasto y tierra color café rojiza (Munsell 5Y3 4/4) (Fig. 3.112 y 3.113). Nula presencia de artefactos. En la parte inferior del nivel, la parte norte del cuadro muestra al menos dos alineamientos en dirección este - oeste que forman parte de un muro de contención para la nivelación del conjunto arquitectónico y al mismo tiempo parte del acceso a la nivelación (patio del conjunto).



Fig. 3. 112. Vista parcial de Cala 1 Op. 167 – Cuadros 1 – 7.



Fig. 3. 113. Cuadro 1 Nivel 15.

Nivel 16.- Se aprecian restos del muro de contención y acceso a la nivelación del patio del conjunto en muy mal estado de conservación debido a la erosión natural del terreno y en mayor medida provocado por el paso constante de ganado. La tierra sigue mostrando un color café rojizo (Munsell 5Y3 4/4) mezclado con una cantidad menor de gravas y guijarros (Fig. 3.110).

Nivel 17.- El suelo sigue mostrando texturas arcillosas correspondientes a suelos Vertisoles. Nula presencia de artefactos; pequeñas cantidades de gravas y guijarros. En este nivel es posible ver con claridad los alineamientos mencionados anteriormente, aunque muestran un estado de conservación pésimo es claro distinguir dos alineamientos de piedra careada de acabado burdo en dirección este – oeste que a juzgar por el tamaño de las piedras (40 x 50 cm en promedio) y por su posición, sirvieron tanto de contención para la nivelación como para acceder al patio, formando dos peldaños de escalones (Fig. 3.110).

Cuadro 2

Niveles 13 y 14.- Estos niveles se muestran unificados en sus componentes. Corresponde a la capa orgánica formada por pasto, seguido de una gruesa y dura capa orgánica de textura arcillosa de color café rojizo (Munsell 5Y3 4/4) mezclada ligeramente con gravas y guijarros. Nula presencia de materiales (Figs. 3.110, 3.116 y 3.117).

Nivel 15.- Corresponde al piso del patio de la última ocupación, formado por un apisonado delgado (3-4 cm) de tierra café cuyo color varía entre café rojiza y café oscuro (Munsell 5YR 3/4). La parte norte del cuadro muestra un ligero incremento en el nivel y hay evidencia de al menos un alineamiento que sirvió para contener la nivelación y permitir acceder a un nivel más alto. El apisonado descansa directamente sobre piedras y guijarros que sirvieron como firme para el apisonado (Figura 3.114).

Nivel 16 y 17.- Corresponden a el relleno constructivo debajo del apisonado, compuesto por tierra bien compactada mezclada con piedras cuyo tamaño promedia 15 x 30 cm.



Fig. 3. 114. Cuadro 2 Nivel 14 – 15.



Fig. 3. 115. Cuadro 2 Nivel 14.



Fig. 3. 116. Vista general de Cala 1.

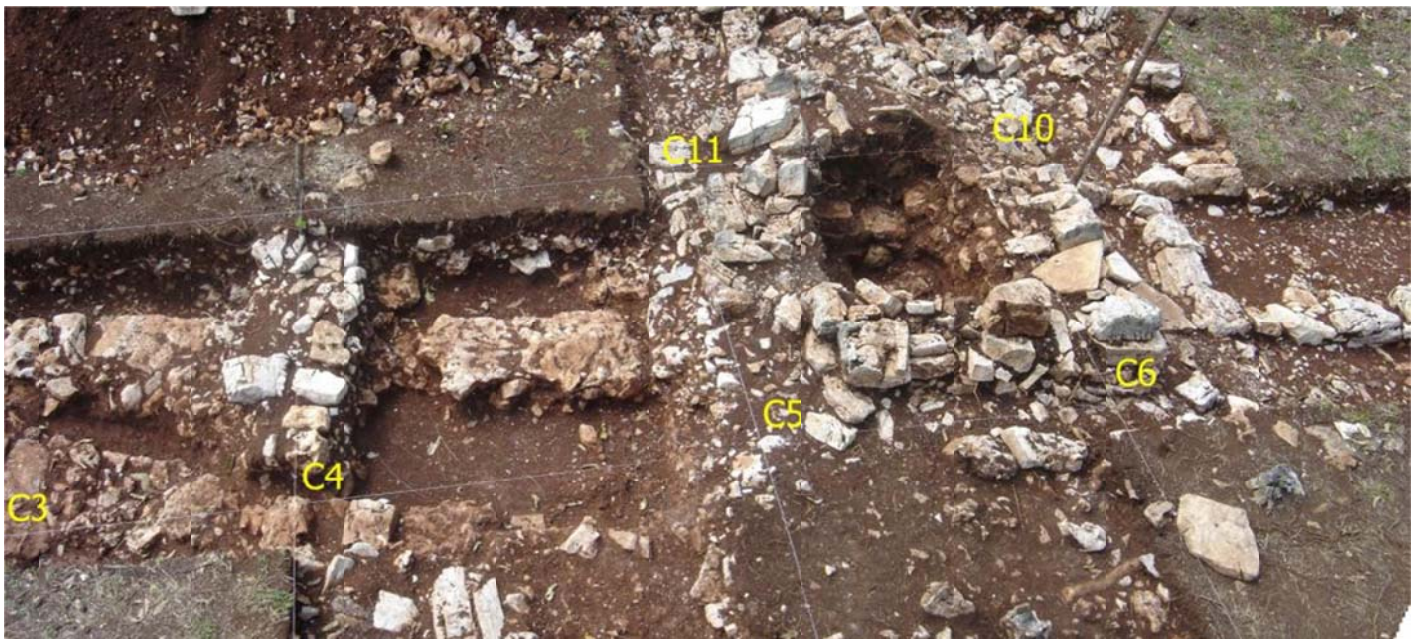


Fig. 3. 117. Vista general de Cala 1.

Cuadro 3

Nivel 12.- Corresponde a la capa orgánica, suelos Vertisoles bajo pastizal, raíces de pasto, nula presencia de artefactos, pequeñas cantidades de gravas y guijarros. La parte superior del nivel al norte del cuadro muestra restos de un alineamiento este – oeste que posiblemente represente el acceso a otra nivelación del patio (Fig. 3.109 y 3.110).

Nivel 13.- La parte superior del nivel corresponde a la capa orgánica con las mismas características que las descritas para el nivel anterior, sin embargo la parte inferior muestra un gran cambio, en primera instancia, comienza la presencia de tepalcates sobre una capa de gravilla que corresponde al piso del patio, asimismo la presencia de un alineamiento de piedras lajas dispuestas en dirección norte – sur, asimismo un alineamiento (muro) en dirección este – oeste en la transición hacia cuadro 4 (Fig. 123). Como ya he mencionado, el alineamiento al parecer funcionó como contención y acceso a la nivelación del patio. Es necesario mencionar que el perfil oriente del cuadro muestra una discontinuidad y desnivel con respecto al piso en los lados sur, norte y poniente, lo cual supone un hundimiento o la presencia de un piso empedrado más antiguo que el de la última ocupación.

Nivel 14.- Corresponde al grosor del firme bajo piso, compuesto de gravas muy bien compactadas, guijarros y tierra café rojiza, ligeramente más clara que en los niveles de los cuadros anteriores; son evidentes grietas características de los Vertisoles.

Nivel 15.-La parte superior del nivel corresponde al firme descrito para el nivel anterior aunque ocurren cambios graduales, por ejemplo el tamaño de las gravas aumentas, asimismo la presencia de guijarros hasta convertirse en piedras de 30 x 30 cm y mezclarse con tierra y gravillas. Hay un cambio en el suelo, se torna más compacto y húmedo, con característica de barro, textura más arcillosa (franca) nula presencia de artefactos. Este nivel corresponde a la cimentación de la última ocupación del conjunto. El lado oriente del perfil muestra un apisonado de grava que corresponde a una ocupación anterior en el patio (Fig. 3.110 y Fig. 3. 124).

Nivel 16.- Debajo del apisonado de la ocupación anterior, este nivel aparece como el firme del piso, compuesto por gravillas y tierra café rojiza y moderada, y piedras de relleno constructivo dispuestas en orientación norte sur, formando una especie de cajón de resistencia para el firme (Fig. 3.110 y 3.125).



Fig. 3. 123. Cuadro 3 – alineamientos nivel 13 – 15.



Fig. 3. 124. Cuadro 3 – Nivel 15.



Fig. 3. 125. Cuadro 3 Nivel 16.

Cuadro 4

Nivel 11.- Capa orgánica de pastizal, suelos agrietado café rojiza, raíces delgadas de pasto, poca cantidades de grava, algunas concentraciones de tepalcates en la parte inferior del nivel (Fig. 3.126).

Nivel 12.- la parte superior del nivel tiene las mismas características descritas para el nivel anterior, sin embargo la parte medial e inferior en la parte sur del cuadro muestra el alineamiento de acceso a la nivelación y en el resto del cuadro se presenta el piso del patio hecho a partir de tierra compactada, gravas y menores cantidades de guijarros. La presencia de artefactos es muy baja.

Nivel 13.- Corresponde al firme debajo del piso del patio a partir de gravas y abundantes guijarros mezclados con tierra bien compactada. Hay evidencia de un alineamiento norte –sur con piedras cuyo tamaño promedio es 50 x 60 cm; en la parte norte del cuadro hay evidencia parcial del desplante del altar presente en cuadro 5.

Nivel 14.- la parte superior del nivel corresponde al firme descrito para el nivel anterior. La parte inferior corresponde al piso de la ocupación anterior del patio (Fig. 3.127), compuesto por una ligera capa de tierra bien compactada con poca grava, cimentada por piedras y guijarros; es posible apreciar la cimentación del altar y la continuación del piso; al parecer durante la etapa anterior el altar no estuvo presente y se trata de una adición que marcó el cambio de nivelación del patio.

Nivel 15 y 16.- Corresponde al relleno constructivo y una cista que se describe en el apartado dedicado a los entierros de la temporada (ver capítulo del Arqlgo. Luis Núñez) (Fig. 3.128).



Fig. 3. 126. Cuadro 4 Nivel 11 – 12.



Fig. 3. 127. Cuadro 4 Vista general de Niveles y Altar.



Fig. 3. 128. Cuadros 4, 5, 6, 10 y 11 – niveles generales.

Cuadros 5 y 6 (Altar)

Los niveles de estos cuadros se describen en conjunto por la similitud de sus elementos constitutivos y para no fragmentar la descripción del altar ubicado al centro del patio del conjunto.

Niveles 6, 7 y 8.- Corresponden a 30 cm de piedra bien careada de la parte superior de un altar rectangular que ubicado en el centro del patio del conjunto. A pesar del paso constante de ganado en esta área, el altar presenta una buena conservación y a pesar del colapso fue posible reconocer alineamientos que corresponden al perímetro del altar (Fig. 3.109, 3.110, 3.129, 3.130 y 3.131).

Nivel 9.- En el lado sur del Cuadro 5, este nivel corresponde a la parte superior de la base del altar (Fig. 3.109, 3.110, 3.17 y 3.128); en la parte central del cuadro mencionado es posible observar parte del acceso hacia el altar a

través de un escalón, asimismo es posible apreciar la esquina arremetida sureste. En la parte sur del Cuadro 6, este nivel corresponde a la capa orgánica formada por una densa capa de tierra café rojiza con alguna presencia menor de gravillas y poca presencia de artefactos (tepalcates). La parte central y norte del cuadro 6 presenta el inicio del relleno constructivo o cimiento del altar, formado por gravas y guijarros bien compactado con tierra arcillosa.



Fig. 3. 129. Cuadro 5 Nivel 1 – altar bajo capa orgánica.



Fig. 3. 130. Cuadro 5 Nivel 2 – altar.



Fig. 3. 131. Cuadro 5 Altar bajo capa orgánica.

Nivel 10.- En la parte sur del Cuadro 5, este nivel corresponde a la base y escalón de acceso del altar, hecho a partir de piedra bien careada y de acabado fino; la parte central de este cuadro corresponde al relleno constructivo o cimiento del altar hecho a partir de guijarros y piedra. La parte sur del Cuadro 6 corresponde a la base y desplante del altar; es importante mencionar que el altar representó el paso hacia otra nivelación 30 cm arriba del piso de circulación de la última ocupación presente en los niveles 12 y 13 de Cuadro 3 y 4; a partir del Cuadro 6, el altar desplanta de un piso estucado 30 arriba de los niveles mencionados (Fig. 3.132 y 3.133). En este nivel, la parte central y norte del cuadro corresponde al piso de estuco y a un alineamiento norte – sur que se proyecta hasta el desplante de la plataforma C-5 Norte en Cuadro 8.

Nivel 11.- En la parte sur del Cuadro 5 corresponde al desplante de la escalinata de acceso al altar a partir del piso de grava y tierra compactada de la última ocupación; la parte central del cuadro corresponde al relleno constructivo a partir de lajas bien cortadas de forma rectangular cuyo tamaño promedio es 15 x 35 cm. La parte sur de Cuadro 6 corresponde a los cimientos del altar, 15 cm debajo del desplante a partir del piso estucado. La parte central y norte del Cuadro 6 corresponden a lajas alargadas bien cortadas y el firme debajo del piso estucado; el alineamiento norte – sur descrito para los niveles superiores continúa y guarda la misma orientación que los alineamientos descritos para los Cuadros 2, 3 y 4 (Fig. 3.109 y 3.110).

Niveles 12 y 13.- Corresponden a los cimientos del altar 15 – 25 cm debajo del desplante a partir del piso de gravas y tierra compactada de la última ocupación presente en la parte sur del Cuadro 5. La parte central del cuadro mencionado tiene las mismas características mencionadas para el nivel anterior (cimientos).

Niveles 14 y 15.- En el Cuadro 6 (lado sur) corresponden a los cimientos del altar, asimismo la parte inferior de nivel 14 corresponde al piso del patio de la ocupación anterior, mismo que se proyecta debajo del altar, lo cual supone

que el altar fue una adición posterior a la ocupación temprana. La parte central de Cuadro 6 evidencia el piso de gravas de la ocupación anterior (Fig. 3.110).



Fig. 3. 132. Lado sur del Altar.



Fig. 3. 133. Lado Este del Altar.

Cuadros 10 y 11 (Extensiones de Cala – Altar)

Con el objetivo de explorar el altar, se abrieron dos cuadros como extensión en el lado poniente de la Cala a partir de los cuadros 5 (Cuadro 11) y 6 (Cuadro), los cuales presentan las características ya descritas en el apartado anterior (Fig. 3.117, 3.134 y 3.135). En términos generales el contenido de los cuadros corresponde a la parte poniente del altar y un alineamiento paralelo (norte – sur) al murete hallan en el nivel 10 – 11 de Cuadro 6. Con estos cuadros liberados, fue posible observar la morfología del altar: mide 2.50 de largo y 2.28 de ancho, lo cual supone una forma rectangular hecha a partir de mampostería. Tuvo un acceso a través de 1 o quizás dos peldaños de escalinata que muestran esquinas arremetidas. Luego de su liberación se procedió a elaborar un pozo de 1 x 1 m en el centro para explorar materiales constitutivos. El altar fue hecho a partir de una estructura de mampostería de forma rectangular, en su interior fue relleno con gravas y guijarros que lo cimentaron y le dieron volumen (Figs. 3.109 y 3.110). El Altar es una adición posterior a la ocupación temprana del conjunto ya que fue construido sobre el piso de la ocupación mencionada y su desplante corresponde al piso de la última ocupación. Es importante mencionar que en el lado o riente y poniente del altar se desprenden dos pequeñas calzadas empedradas de 1.30 de ancho hechas a partir de muretes de piedra laja bien careada, asimismo, dos calzadas en sus lados sur y norte, formando un eje, lo cual supone la importancia del concepto de orientación en la construcción y cimentación del conjunto.



Fig. 3. 134. Extensiones de cala 1 – cuadros 10 y 11, vista desde el norte.



Fig. 3. 135. Extensiones de cala 1 – cuadros 10 y 11, vista desde el sur.

Cuadro 7

Niveles 7 y 8.- corresponden al grueso de la capa orgánica (Fig. 3.136), la parte superior del cuadro corresponde a suelo del tipo Vertisol y algunas pocas piedras de colapso arquitectónico del muro frontal de la plataforma C-5 Norte. La parte medial e inferior corresponde a capa orgánica mezclada con una densa capa de gravillas producto del intemperismo físico y químico de la roca caliza de tipo arcilloso.

Nivel 9.- Corresponde a una gruesa capa de gravillas y tierra compacta que da paso al apisonado de la última ocupación del patio. Es importante mencionar que el piso de estuco descrito para el cuadro 6 tiene la misma nivelación que el piso de gravas de este nivel (Fig. 3.109 y 3.110). Es posible que el intemperismo del suelo haya degradado el estuco o bien que esta área del conjunto no tuvo piso estucado.

Niveles 10 y 11.- Corresponden al firme debajo del piso de gravas y tierra compacta de la última ocupación, compuesto por gravas y guijarros, tierra compacta y debajo piedras bien dispuestas que dan inicio al relleno constructivo de la última ocupación.



Fig. 3. 136. Cuadros 7 – 12 Capa orgánica – antes de excavar.

Cuadro 8

La parte superior de los niveles 3 – 8 corresponde a suelos de pastizal y una delgada capa orgánica de tierra suelta muy erosionada con presencia menor de guijarros. La parte medial e inferior de los niveles corresponde al desplante de la escalinata de acceso a la plataforma a partir del apisonado descrito para el nivel 9 del cuadro anterior. El resto de los elementos constitutivos de este cuadro corresponden a cuatro peldaños de escalones de acceso a la plataforma; los escalones tienen en promedio 25 cm de contrahuella y 30 de huella (Fig. 3.110 y 3.137).

Cuadro 9

Niveles 1, 2, 3 y 4.- Corresponden a la capa orgánica compuesta por gravillas, guijarros, tierra agrietada y piedras de colapso de la plataforma. La parte inferior del nivel 4 corresponde al piso del interior de la plataforma, correspondiente a un área de terraza abierta de 2.10 m que da paso al muro frontal y acceso al interior de la plataforma (Fig. 3.137 y 3.138).



Fig. 3.137. Cuadro 7 y 8 – Escalinatas de acceso a la plataforma.



Fig. 3.138. Vista general de las Escalinatas de acceso a la plataforma.

Nivel 5.- La parte superior corresponde al piso de la terraza abierta, compuesto por cantidades menores de tierra y gran cantidad de gravas. La parte norte del cuadro evidencia la parte medial y desplante del muro frontal y acceso hacia el interior del edificio (Fig. 3.109 y 3.110).

Cuadro 12

Niveles 1, 2 y 3.- Corresponden al grueso de la capa orgánica formada por gravas, guijarros y piedras careadas – burdas de colapso de los muros internos de la plataforma (Fig. 3.138, 3.139 y 3.141). Todo el grueso de estos niveles en la parte sur del cuadro corresponde a la parte posterior del muro y acceso hacia el interior del edificio, hecho a partir de piedras bien careadas y predominio de piedra burda, con gravas y guijarros en las juntas.

Niveles 4 y 5.- En la parte sur del cuadro corresponden a la parte inferior, desplante y cimiento del muro mencionado para los niveles anteriores. En el resto del cuadro estos niveles corresponden al piso del edificio, firme debajo de piso e inicio de material de relleno constructivo (Fig. 3.110).



Fig. 3. 141. Cuadro 12 – piso interior y muro frontal.

Cuadro 13

Niveles 2 y 3.- Capa orgánica con tierra característica de los suelos Vertisoles; es importante mencionar que la cantidad de piedras de colapso arquitectónico, gravas y guijarros disminuye drásticamente en comparación a los niveles de los cuadros anteriores, lo cual supone que el colapso de los muros se dio hacia la parte norte de la plataforma (Fig. 3.110, 3.142, 3.143, 3.144).

Nivel 4.- Corresponde al piso del vano posterior o sur al interior del edificio, asimismo se halla presente la parte superior del muro posterior del edificio, mismo que tiene una altura de 30 cm antes de dar paso al muro posterior de la plataforma. El muro fue hecho a partir de piedra mal careada y guijarros lo cual da una apariencia tosca al muro (Fig. 3.109 y 3.110).



Fig. 3. 142. Cuadro 12 y 13, piso interior y muro posterior.



Fig. 3. 143. Muro posterior.



Fig. 3. 144. Muro posterior.

Cuadro 13 – extensión.

Este cuadro muestra una capa orgánica de 30 – 40 cm que da paso al muro posterior de la plataforma, el cual desplanta en el mismo nivel que las escalinatas de acceso, con una altura de 30 cm y un ancho de 70 cm. El muro presenta apariencia burda debido al empleo de guijarros y piedra mal careada (Fig. 3.144 y 3.145).



Fig. 3. 145. Cuadros 14 y 15 Cala 2 Op. 167.

Cala 2

A partir del cuadro 5 de la Cala 1 se realizó una extensión de 2 cuadros hacia el oriente con el objetivo de liberar los cuerpos arquitectónicos correspondientes a la última ocupación de la Plataforma C-5 Este, tomando como punto de referencia el desplante del altar ubicado al centro del patio del conjunto. Como ya mencione, la cala solo comprendió la excavación de una delgada capa orgánica para liberar arquitectura y no se excavó a profundidad por cuestiones de tiempo y para respetar la integridad del edificio (Fig. 3.111).

Cuadro 14

Niveles 12 y 13.- Estos niveles corresponden a 20 cm de capa orgánica compuesta por tierra de textura arcillosa agrietada, característica de suelos Vertisoles erosionados, hay presencia de gravas y guijarros y presencia menor de piedra careada procedentes de la plataforma C-5 Oriente. Al igual que en toda la Cala 1, este pozo presenta tepalcates pertenecientes a las fases Murciélagos – Balunté (Fig. 3.145).

Nivel 14.- La parte superior del nivel corresponde a la parte final de la capa orgánica; la parte inferior corresponde al apisonado de gravas de la última ocupación, nivel desde el cual desplanta la Plataforma C-5 y el altar del patio del conjunto.

Cuadro 15

Niveles 5, 6, 7, 8 y 9.- Estos niveles corresponden a una muy delgada capa orgánica de tierra café rojiza mezclada con piedras careadas de colapso arquitectónico; asimismo corresponden a los escalones de acceso a la plataforma (Fig. 3.111, 3.145 y 3.146).

Niveles 10 y 11.- La parte superior de estos niveles corresponde a la capa orgánica, con las mismas características descritas para los niveles anteriores, sin embargo la parte inferior presenta al menos dos peldaños de los escalones de acceso a la plataforma.

Niveles 12 y 13.- Corresponden a la parte inferior de la capa orgánica y la presencia de un peldaño de los escalones ya mencionado (Fig. 3.111).

Posterior a la excavación y consolidación de rasgos arquitectónicos, todos los cuadros fueron cerrados, protegiendo la arquitectura con cajones de piedra y grava que fueron rellenos con tierra cribada (ver capítulo dedicado a consolidación) (Fig. 3.147, 3.148, 3.149, 3.150)



Fig. 3. 146. Cuadros 14 y 15 Cala 2 Op. 167.



Fig. 3. 147. Vista parcial de cala 1 durante el proceso de relleno.



Fig. 3. 148. Vista parcial de cala 1 durante el proceso de relleno.



Fig. 3. 149. Cuadros 1 – 3 rellenos – Cala 1.



Fig. 3. 150. Cajones de piedra para proteger arquitectura – proceso de relleno



Fig. 3.151. Proceso de protección de rasgos arquitectónicos.

Comentarios sobre la Operación 167 – Estructura C-5

Las excavaciones realizadas en la Estructura C-5 permitieron conocer una parte de las ocupaciones y actividades llevadas a cabo en el patio del conjunto, y una parte de las características arquitectónicas de la Plataforma C-5 Norte. El patio muestra dos ocupaciones, al parecer ambas correspondientes al periodo Clásico Tardío, así lo demuestran las observaciones hechas en campo y los análisis de cerámica preliminares. Ambas ocupaciones muestran ligeras diferencias en cuanto a formas arquitectónicas y la última ocupación representa una elevación al nivel original de plaza, la colocación de una línea de piedras en forma de eje norte – sur y este – oeste, y la adición de un altar rectangular al centro del patio. No se llevaron a cabo excavaciones profundas en la plataforma C-5 Norte y no podemos hablar de modificaciones o subestructuras en el edificio, sin embargo es muy probable que el nivel de desplante de la estructura haya sido levantado luego de la incorporación de los elementos mencionados, especialmente con la adición del altar.

El acceso al patio de la última ocupación estuvo conformado por al menos tres peldaños de escalones (Cuadro 1) a base de bloques de piedra megalíticos de apariencia burda pero bien cortada; estos alineamientos por su tamaño y posición sirvieron como acceso a la próxima nivelación del patio y al mismo tiempo como contención y cimentación. Posterior a las escalinatas se accede a un tramo de dos metros de nivelación hasta un alineamiento que parece haber funcionado como banqueta y acceso a otra nivelación de aproximadamente 4 metros hasta el desplante del altar en el Cuadro 5. El piso de las nivelaciones mencionadas estuvo conformado por un apisonado de gravillas muy bien compactado con tierra de textura arcillosa. Luego del altar, el apisonado continúa hasta el desplante de la plataforma C-5 Norte (Cuadros 6 y 7) pero la nivelación aumenta entre 20 cm con respecto del apisonado del cual desplanta el altar en los cuadros 4 y 5. El dibujo de sección permite observar al menos cuatro peldaños de escalinatas a través de las cual se accedía a una terraza de aproximadamente 2 m. de la cual desplanta el muro frontal de la plataforma. El apisonado de la terraza está formado por una nivelación bien compactada de gravilla que a diferencia del apisonado del patio no tuvo adiciones de tierra. Posterior al muro se accede al nivel de piso dentro del edificio, hecho a partir de gravillas y tierra compactada; este vano tuvo cuatro metros de largo hasta llegar al muro posterior de la plataforma, mismo que da paso a una banqueta o muro posterior que desplanta de un nivel similar al del apisonado del patio.

Los materiales hallados sobre el nivel del apisonado del patio muestran gran actividad en la fabricación de instrumentos de pedernal en forma de núcleos, desechos de tallas y algunas preformas., sin embargo vale la pena mencionar que la frecuencia de esta evidencia decrece en comparación a la registrada en el patio del Conjunto C-5, donde es abundante hallar depósitos con instrumentos terminados, núcleos y preformas. La transformación en las nivelaciones del patio del conjunto tuvieron que ver con la adición del altar, ello sugiere que las actividades religiosas ocuparon un lugar importante en las actividades llevadas a cabo. Es importante mencionar la presencia de al menos dos entierros en los Cuadro 3 y 4 (Ver apartado de Entierros, por el Arqlgo. Luis Núñez) los cuales parecen haber influenciado junto con el altar, en la transformación del nivel del apisonado del patio. Los materiales usados en la construcción del conjunto son de apariencia burda como suele suceder en las ocupaciones tardías del sitio, a excepción de la parte inferior y medial del altar que muestra piedra bien careada y bien cortada, contrastando con la parte superior que muestra piedra muy burda, lo cual puede evidencia la transformación final del altar en forma de una elevación de sus muros de entre 20 y 30 cm arriba de su nivel original.

OPERACIONES EXTENSIVAS 143, 144

Luis Núñez Enríquez

Durante esta tercera temporada se excavaron dos operaciones más en el Conjunto F 3-6. La Operación 143 se colocó pegada al muro sur de F-5 y a escasos centímetros al este de la Operación 136 de la temporada pasada. En la 143 se excavó la Sepultura 17 y se registró la presencia de otra sepultura en el perfil norte de la operación, pero no se amplió la excavación para liberarla. La Operación 144, a espaldas de F-6, se trazó para terminar con la excavación de la Sepultura 8, localizada y parcialmente intervenida en la temporada de 2008. Se encontró además la S-22. Esta última se encontraba dentro de un perímetro rectangular formado con piedras grandes alineadas en los lados oeste y norte y, por el este cerraba con la S-8. Las especificaciones de cada operación y sus capas puede consultarse en el Apéndice.

Operación 143

Esta operación fue colocada en el patio central del conjunto F 3-6, cerca de la fachada este de la Estructura F-5. El objetivo de su excavación fue establecer si había alguna sepultura en esta sección del patio pues en una operación anterior (136) excavada en 2010 no se encontró ninguna, por lo que esta vez se siguió el eje este oeste del patio interno del conjunto para ubicarlo. Se encontró la Sepultura 17 y se identificó una más en el perfil norte del pozo, (Fig. 3.156) pero esta ya no fue excavada. El único elemento (85) que se ubicó en esta operación fue una vasija asociada a S-17.

Capa I. Tierra orgánica y piedras medianas, depositadas principalmente por el deslave del cerro y de la Estructura F-5. Esta capa que varió en profundidad de 0.05 m a 0.15 m contenía escaso material cultural (Figura 3.152).

Capa II. Como la anterior, esta capa se formó como parte del deslave de la tierra y piedras de la estructura ubicada al este y del cerro que hay por detrás, en la misma orientación. La diferencia con la capa anterior es que aquí se encontraron piedras careadas de gran tamaño que posiblemente correspondían con algún elemento arquitectónico de F-5. Estas piedras de gran tamaño descansaban sobre lo que pensamos fue el piso del patio en la última etapa de ocupación del conjunto. En este nivel también hubo escaso material cultural.

Capa III. Es la capa que corresponde con el piso del patio y su relleno consistente en piedras pequeñas y medianas y abundante material cultural, principalmente cerámica. Al nivel de lo que fue la superficie de este

nivel se encontró, hacia el centro, la evidencia de una alteración de la Sepultura 17, la cual se encontraba en la capa inferior (IV). Se trató de varias piedras grandes, algunas semi-careadas y otras aplanadas como lajas, que se encontraban acumuladas y sin orden en la parte centro-oeste del pozo. (Fig. 3.153-154)

Capa IV: En esta capa, caracterizada por la presencia de piedras de mayor tamaño u abundante material cerámico fue en la que se construyó la cista que contenía la Sepultura 17. Debajo de esta capa se presentó, de manera generalizada, la roca madre, la cual mostro evidencia de haber sido modificada para conseguir una superficie aplanada. La otra cista que se descubrió, instruyendo en el perfil norte, corresponde también a este nivel.(Fig. 3.155-156)





Figura 3.152. . Acumulación de piedras del deslave del al Estructura F-5 a nivel de superficie.



Figura 3.153. Capa 3, piso del patio de la última ocupación. Las piedras grandes corresponden a un elemento arquitectónico de la Estructura F-5 que se desplomaron sobre el piso del patio.



Figura 3.154 . Capa III, acumulación de piedras al centro del pozo y parte superior de la Sepultura 17 (parte inferior de la imagen).



Figura 3.155 . Operación 143, nivel de la roca madre.



Figura 3.156. Operación 143 tapado al final de la excavación.

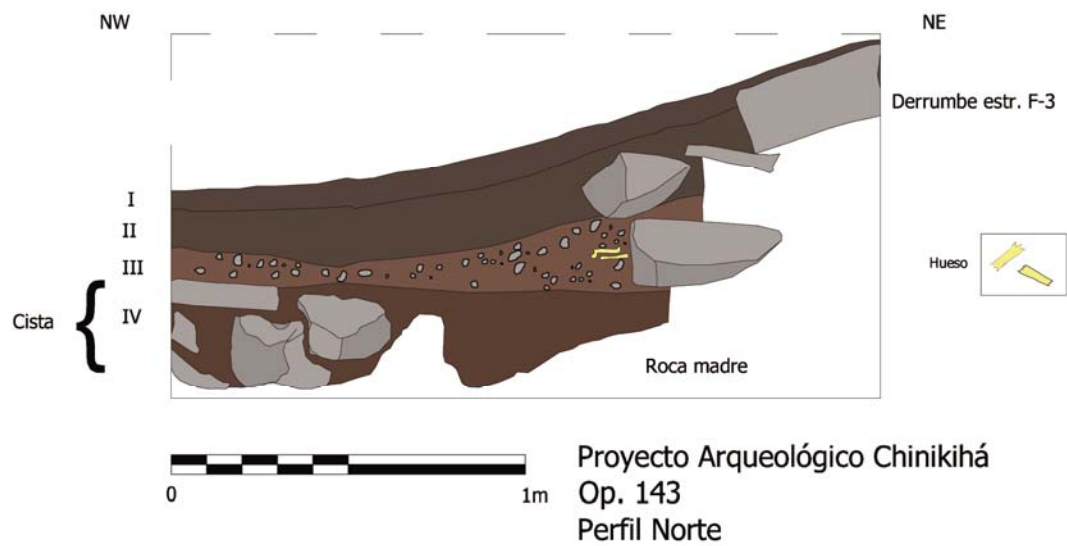


Figura 3.157. Perfil norte de la Operación 143.

Operación 144

Esta operación se excavó en el patio externo al norte del Conjunto F 3-6. Pegado a los restos del muro de contención de la plataforma de la Estructura F-6, en su lado este. El motivo para realizar esta exploración fue para recuperar la Sepultura 8, la cual habíamos identificado e intervenido parcialmente durante la temporada 2008. Además de recuperar la mencionada sepulturas, hallamos otra (la 22) y, se encontró también que ambas sepulturas se encontraban enmarcadas por una alineamiento de varias hiladas sobrepuestas de piedras grandes y aplanadas. La cual sobresalía del nivel que tuvo el piso de ocupación del patio.

Capa I. Tierra orgánica que en parte procede del deslave de la Estructura F-6, escaso material cultural. En la parte baja de ésta capa apareció el Elemento 82 (Figura 3.158).

Capa II. Posiblemente el nivel del último piso del patio externo, sobre éste piedras grandes del derrumbe de la estructura al sur. Abundante en tepalcates y comienzan a aparecer piedras pequeñas mezcladas entre la tierra. Aparecen también artefactos líticos (navajillas de sílex) y se encuentran en nivel superior lentículas de ceniza gris fina, las cuales han sido evidentes a ese nivel en todas las operaciones practicadas a lo largo de las 3 temporadas. Al final de esta capa se encontró un alineamiento de lajas que delimita la parte sur del cuadro y en donde posteriormente se encontraron las dos sepulturas (Figura 3.159).

Capa III. Inicia a una profundidad promedio de 0.25 m. A ese nivel se notan 3 secciones de la misma capa que se diferencian por el tipo de materiales mezclados con la tierra. Debajo de esta capa fue que se localizaron las sepulturas 8 y 22. La Capa III-A se presenta en la parte sur del pozo. Ésta se caracteriza por una alta concentración de piedras pequeñas y medianas que forman una especie de empedrado sobre el que desplanta el piso del patio (Capa II). Cuenta además con una alta concentración de fragmentos pequeños de cerámica y lítica. Esta capa se formó como el relleno que se colocó dentro de la delimitación de piedras encontrada en la capa anterior. La Capa III-B corresponde a la parte en la que se encuentra la delimitación. A diferencia de la anterior no tiene piedras, sólo una alta concentración de tepalcates pequeños. La Capa III-C, la más al norte, tenía una concentración menor de materiales culturales (figura 3.160). Esta parte queda afuera del alineamiento que enmarcaba las sepulturas, y en ella se encontraron los elementos 84, 85 y 87.

Capa IV. Formada por tierra y abundantes piedras de diferentes tamaños, corresponde al espacio delimitado por el alineamiento de piedras, es la parte más baja del relleno que se colocó cuando se construyó dicho elemento arquitectónico. Debajo de esta capa se presentó la roca madre, de la cual había varios afloramientos de roca que sobresalían en este nivel. En esta capa se encontró también abundante material cerámico. Esta es la capa dentro de la que se construyeron las sepulturas. Dentro de la S-8 se encontraron tres elementos (89, 91 y 92). Y se encontraron dos más en el relleno de la capa (90 y 93). La Sepultura 8 se encontró en la parte este

del cuadro y la 22 en la parte centro sur. Para poder excavarlas fue necesario hacer dos ampliaciones menores. Una fue de 1.00 m hacia el sur y la otra de 0.50 m hacia el este (figuras 3.161-164).

Elementos de la Operación 144 (véase la información detallada en el Apéndice).

1. Elemento 82, punta de proyectil
2. Elemento 84, bifacial
3. Elemento 85, dos manos
4. Elemento 87, acumulación de fragmentos grandes de vasijas al norte de la delimitación
5. Elemento 89, cuenco asociado a la S-8
6. Elemento 90, punta de proyectil
7. Elemento 91, cuentas de piedra verde asociadas a la S-8
8. Elemento 92, fragmentos de cerámica debajo de los restos óseos de la S-8
9. Elemento 93, fragmentos de olla entre la S-8 y S-22



Figura 3.158 . Operación 144, nivel de la superficie. Parte superior de la imagen se nota la Estructura F-6.



Figura 3.159 . Capa II. La laja fue el primer indicio del alineamiento de piedras que enmarcaba las sepulturas.



Figura 3.160 . Capa III. Empedrado sobre el que desplanta el piso del patio (parte superior de la imagen). Se nota el primer nivel del alineamiento (al centro) y la Capa III-C (parte inferior de la imagen).

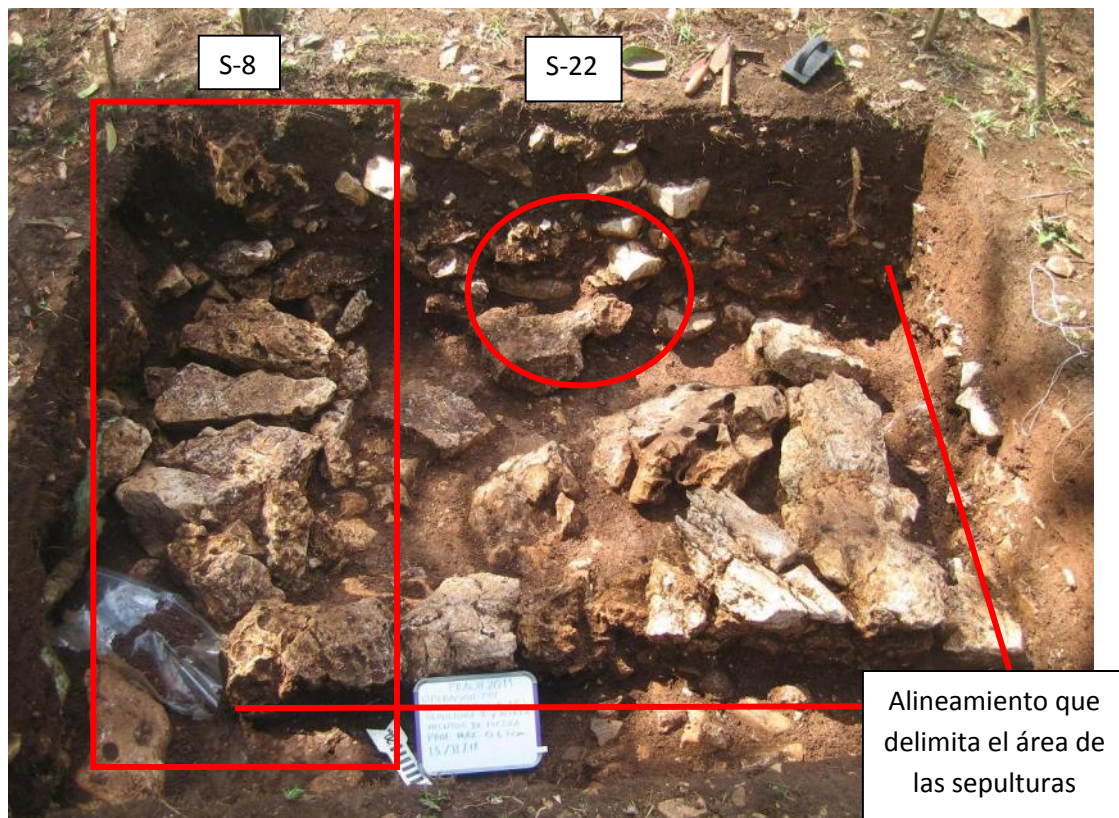


Figura 3.161. Capa IV. Se observan sepulturas, alineamiento y piedras de la roca madre



Figura 3.162. Capa IV y ampliación al sur para liberar los extremos de las sepulturas 8 y 22.



Figura 3.163 . Excavación de la Operación 144, tapado al final de la excavación.

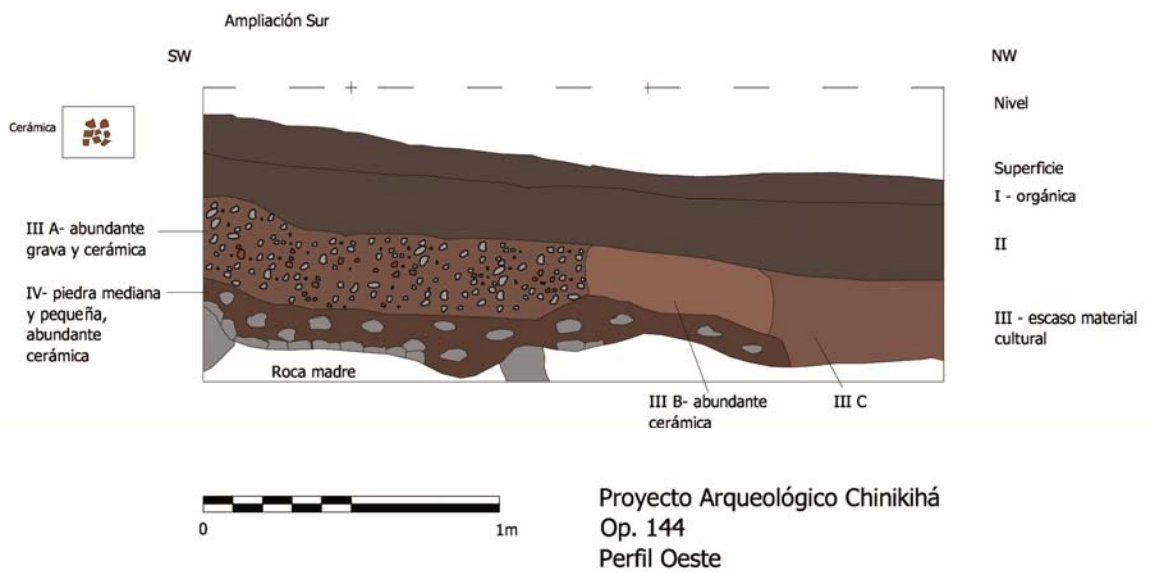


Figura 3.164 . Perfil oeste de la Operación 144.

4. Última Etapa del Sondeo Intensivo en Chinikihá

Esteban Mirón Marván

En esta temporada concluimos el muestreo intensivo previsto por el Proyecto Arqueológico Chinikihá, que fue planteado para conocer los diferentes tamaños y distribuciones que presentó el asentamiento a través del tiempo, desde el inicio de su ocupación hasta su abandono. Para ello era necesario hacer el mayor número de pozos de sondeo distribuidos en todo el sitio. Está siendo llevado a cabo el análisis de la gran cantidad de datos y materiales que ha provisto este programa de muestreo.

Durante los meses de Enero y Febrero del 2011, con la ayuda de Erik López realizamos las últimas catorce operaciones de sondeo en Chinikihá, en los grupos A, F, G, H, I y J. Todas estas fueron ubicadas en conjuntos arquitectónicos que no habían sido muestreados en las temporadas anteriores del proyecto. Al mismo tiempo que el equipo de topografía cubría la superficie, se trató de incluir en el muestreo la totalidad de la extensión del sitio, se logró representar a la mayor parte. Se obtuvo una copiosa muestra de materiales, sobre todo cerámicos, el reconocimiento de datos estratigráficos, rasgos arquitectónicos y el registro de cinco entierros.

En el desarrollo de este proyecto arqueológico se efectuaron sesenta y cuatro pozos de sondeo distribuidos en casi toda la extensión del sitio; concentrando la mayor parte dentro o cerca del núcleo cívico ceremonial. Junto con nueve excavaciones extensivas son un total de setenta y tres operaciones, que suman 405.5 m² y representan alrededor del 0.04% del área total del asentamiento. Todas estas fueron excavadas durante las temporadas 2006 (disponible en <http://www.famsi.org>), 2008, 2010 (Publicado en <http://www.mesoweb.com>), y 2011 (presente informe). Únicamente el oriente de la última línea de cerros en el extremo sur del sitio permanece sin operación alguna, como se puede ver en la figura 4.2.

Aunado al conjunto de datos de todas las operaciones se cuenta con una abundante muestra de materiales cerámicos de superficie, que complementarán los datos de la cronología de ocupación en la extensión del sitio, sobre todo en las áreas que no tengan operaciones cercanas. El equipo de topografía conforme hacía el levantamiento del terreno procuró en todas las temporadas recolectar el material cerámico de superficie ubicando la estación o estructura más cercana.



Fig. 4.1 Loma al sur del sitio donde se ubicaron las operaciones 169 y 170

Proyecto Arqueológico Chinikihá

Total de operaciones excavadas

- Temporada 2005
- Temporada 2008
- Temporada 2010
- Temporada 2011

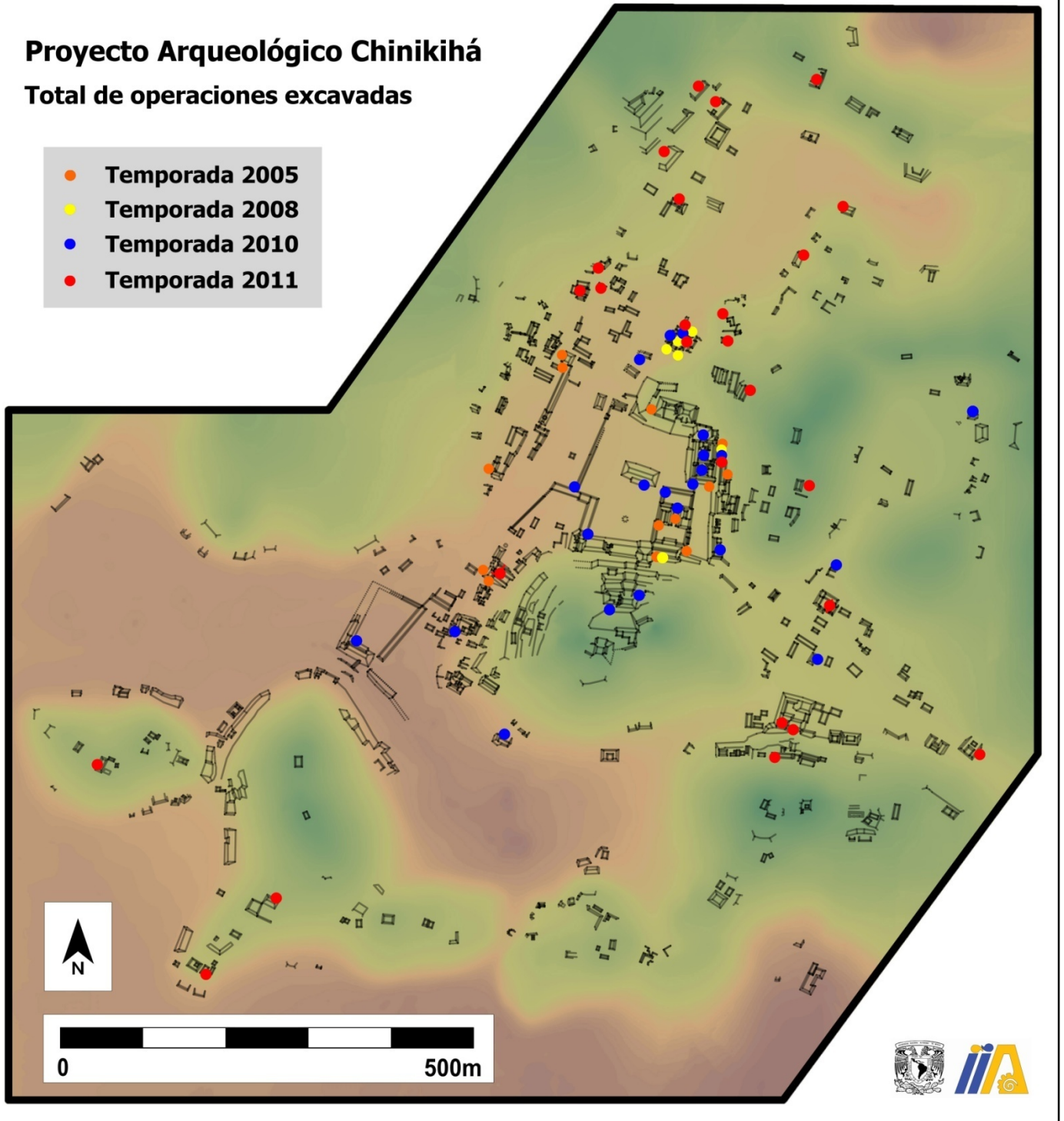


Fig. 4.2 Todas las operaciones excavadas en las temporadas 2005, 2008, 2010 y 2011

Operación 157

El único pozo de sondeo efectuado en el grupo A durante esta temporada, en el conjunto conformado por las plataformas A-21, A-22, A-23 y A-24; que presentan muy buen estado de conservación al preservar algunos de sus muros en pié, conteniendo el volumen de las plataformas en su forma original. El pozo se ubicó detrás de la estructura A-24, con una orientación paralela a la estructura de 24°, Con una extensión original de cuatro metros cuadrados. Se registraron un total de 28 bolsas de material cerámico y lítico, principalmente recolectado dentro de los dos primeros niveles métricos en una concentración contigua al derrumbe del muro este de la estructura adyacente. Todo el material recuperado parece corresponder al clásico tardío, en el mismo momento del auge de ocupación en el asentamiento, entre los siglos VII y VIII d. C.

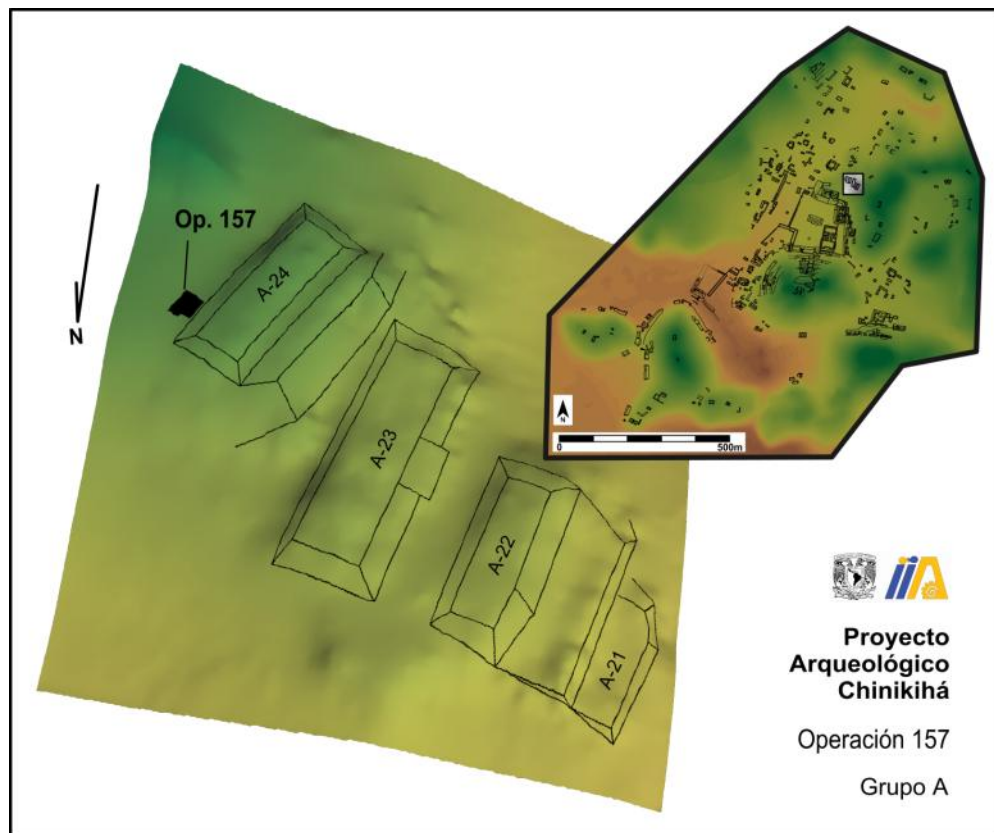


Fig. 4.3 Ubicación de la Operación 157

En la tercer nivelación, mientras se descubría la roca madre en la porción oeste del pozo observamos la presencia de lajas alineadas sobre la cista del entierro 23, por lo que la cual se encontraba parcialmente excavada en el lecho rocoso y construida con piedras delimitándola. Se tuvo que ampliar medio metro cuadrado en la esquina noreste del trazo original del pozo para descubrir por completo la cista.

Se descubrió una cista de 2.04 m de longitud con la misma orientación que la estructura, que contenía el entierro de un individuo en posición de cúbito dorsal en muy mal estado de conservación. Solamente se recuperaron algunos segmentos de huesos largos y fragmentos pequeños dispersos en el sustrato que rellenaba la cista; así como algunas piezas dentales.

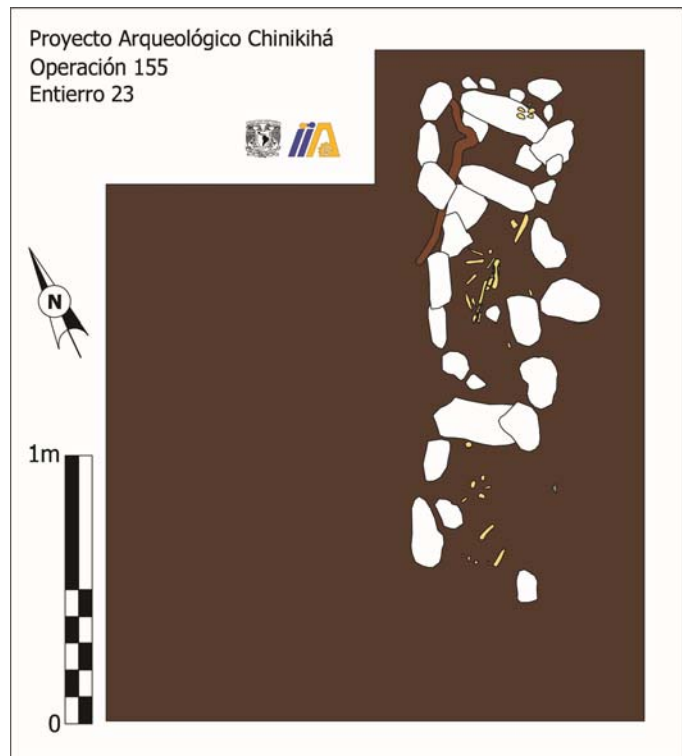
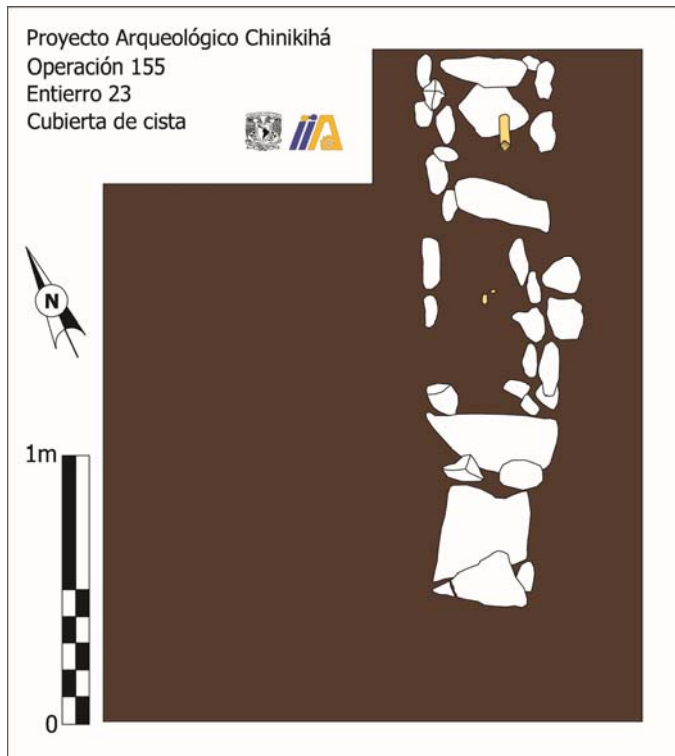


Fig. 4.4 (derecha) Dibujo de la cubierta de la cista y Fig. 4.5 (izquierda) Dibujo de los restos óseos registrados.



Fig. 4.6 (derecha) Fotografía de la cubierta de la cista y Fig. 4.7 (izquierda) Fotografía de los restos óseos registrados.

Operaciones en el Grupo F

Dos pozos en la cima de la pequeña loma donde se ubican las estructuras F-27, F-29 y F-28, que se encuentran en muy mal estado de conservación, presentando abundante remoción de volúmenes de tierra y piedra. No fue abundante la recolección de material en ninguna de las operaciones pero se obtuvieron algunos tiosos que pueden ser diagnósticos para señalar un periodo de ocupación en las dos estructuras sondeadas en este conjunto arquitectónico.

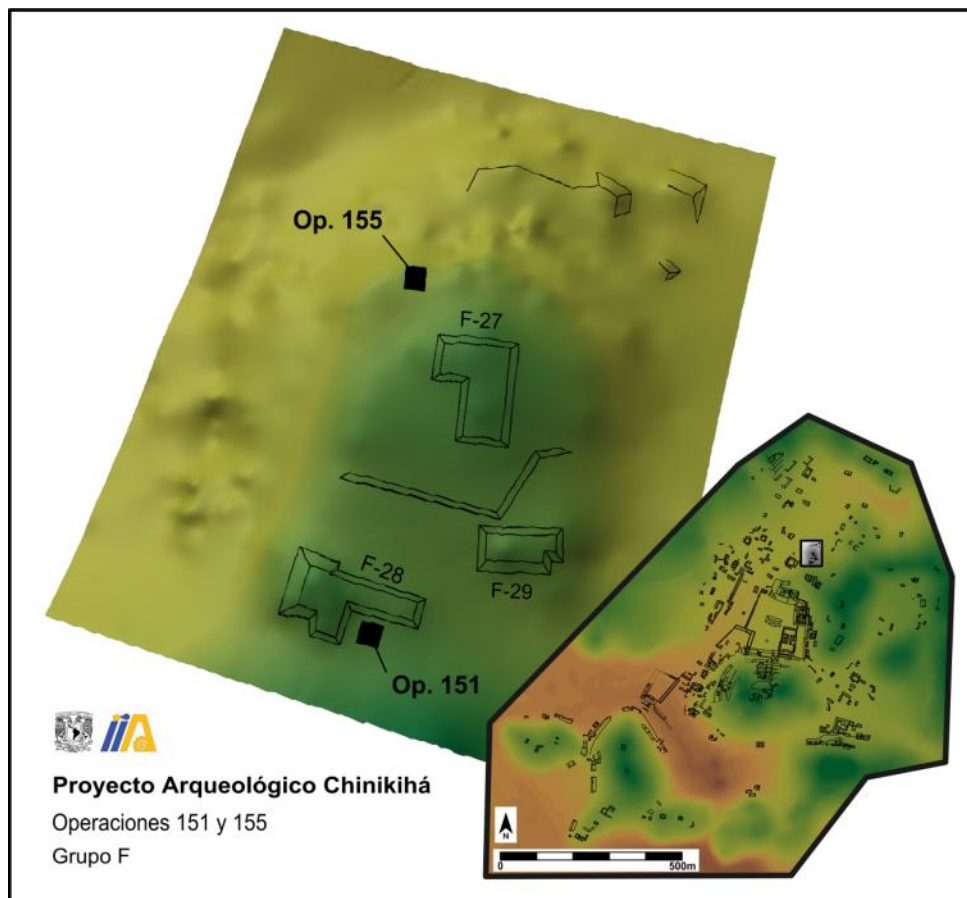


Fig. 4.8 Ubicación de las operaciones 151 y 155

Operación 151

Realizada en lo que se considero en superficie que era la parte posterior de la estructura F-28, con la misma orientación en lo que sería la parte posterior del conjunto. Habiéndonos percatado después de descubrir los dos primeros niveles de 10 cm que se ubicó la excavación sobre el relleno de la plataforma, misma de la que anteriormente se sustrajo gran cantidad de volumen, sobre todo de su porción sureste.

El relleno expuesto de la plataforma está constituido por abundantes piedras irregulares con poca tierra en los intersticios. Se recolectó una pequeña bolsa de material cerámico muy fragmentado. La peculiar forma de la planta vista desde la topografía es producto de esta remoción de material en tiempos recientes.

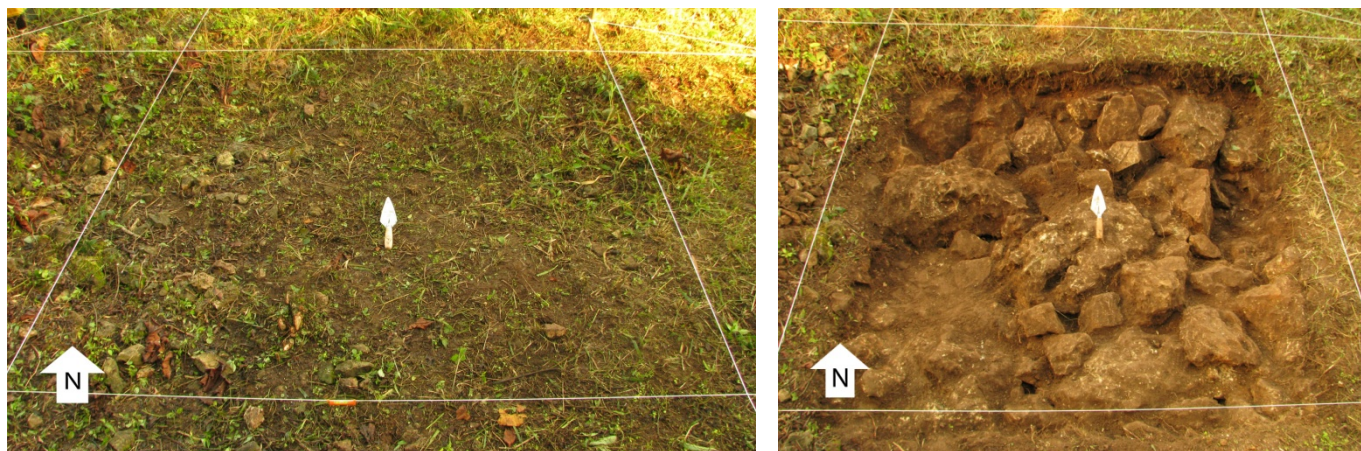


Fig. 4.9 (derecha) Superficie y Fig. 4.10 (izquierda) 2º Nivelación de la Operación 151.

Operación 155

Ubicada en la ladera inmediatamente al norte de la estructura F-27, con el fin de recuperar la mayor cantidad de material arqueológico que hubiera sido desechado hacia la parte posterior del edificio. Originalmente trazada de cuatro metros cuadrados con una orientación de 347°. Se terminó extendiendo 80 cm al norte; distancia que permitía la pendiente de la loma, esto después de percatarnos de una pequeña concentración de material cerámico y lítico muy fragmentado en esa porción del pozo.

Después de descubrir por completo la roca madre, se registraron cuatro pequeñas bolsas de material cerámico y otras dos de fragmentos de lítica, principalmente pedernal. A su vez se recuperó la cabeza de una figurilla en la segunda nivelación. (Fig. 4.11)



Fig. 4.11 (Izquierda) Figurilla del 2º nivel y Fig. 4.12 (derecha) 2º Nivel de la Operación 155



Fig. 4.13 (Izquierda) Perfil Este y Fig. 4.14 (derecha) Perfil Norte de la Operación 155

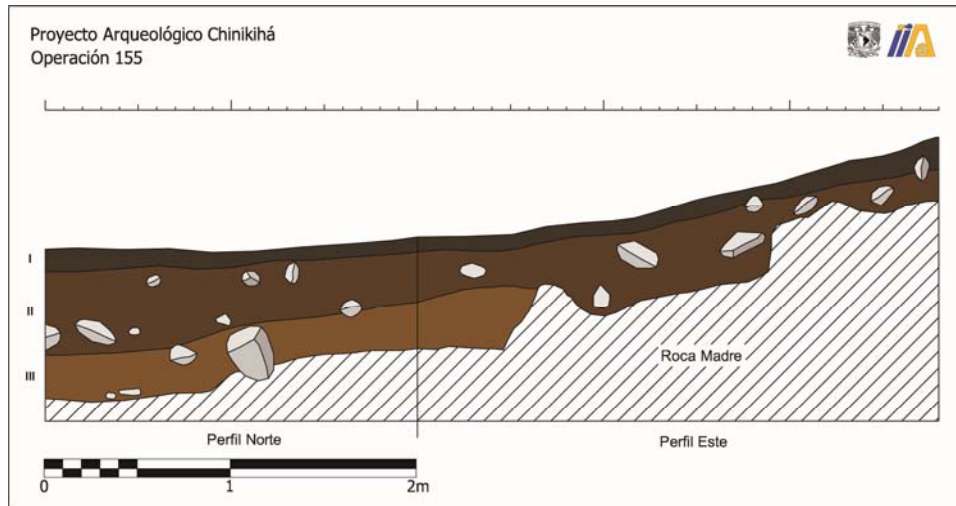


Fig. 4.15 Dibujo de los perfiles de la Operación 155

Operaciones en el Grupo G

Se excavaron en este grupo tres operaciones de sondeo, dos de ellas cercanas al límite sur del grupo, la Operación 152, detrás de la terraza G-9 y la Operación 154, ubicada detrás al norte del conjunto formado por las estructuras G-1, G-2 y G-3. En la primera se obtuvo una abundante colección de material arqueológico.

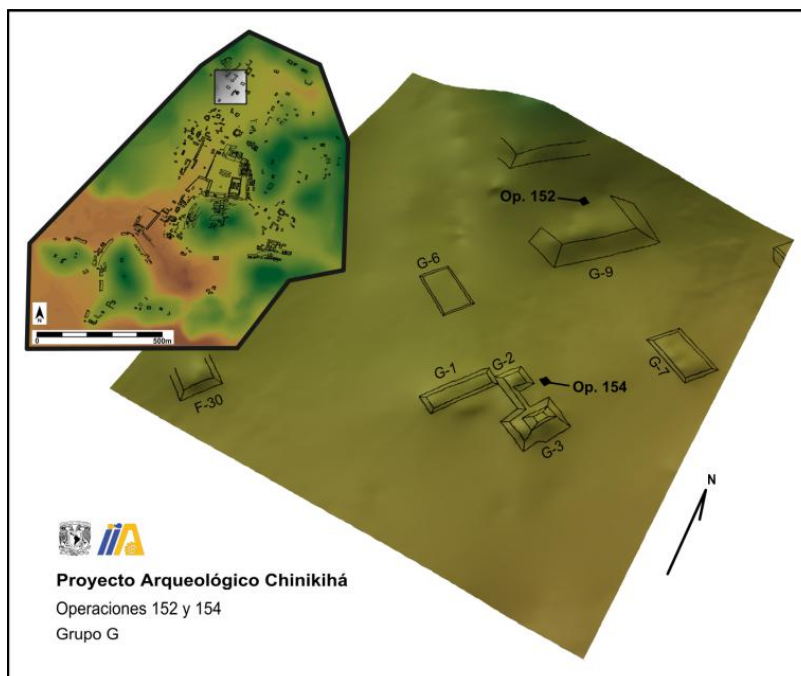


Fig. 4.16 Ubicación de las operaciones 152 y 154

Operación 152

En la parte posterior de la estructura en forma de terraza adosada a la pendiente con el nombre de G-9, se realizó esta operación de cuatro metros cuadrados. Se obtuvieron 21 bolsas de material arqueológico, la mayor parte de la tercera de las cuatro registradas. Abundante cerámica, lítica pulida, tallada, una cuenta de piedra verde y algunos fragmentos de figurillas.

Cercano a la superficie, se registró una capa de partículas finas color gris, (Capa II) que probablemente correspondan a cenizas arrojadas por el Volcán Chichonal en 1981 (Fig. 4.17), asumimos esta fecha por la presencia de textiles modernos y una grapa de alambre de púas en el contacto inferior de este estrato. Se tomó una pequeña muestra.

En la capa IV se registraron dos alineamientos de piedras, que se pueden ver en las fotografías de la tercer y cuarta nivelación (Fig. 4.18 y 4.19). Estos quizás correspondían a cajones de piedra para rellenar el volumen requerido para la construcción de la terraza sobre la que seguramente existía una estructura de la que no pudimos percatarnos en este pozo.



Fig. 4.17 Detalle de la capa de ceniza a 5 cm de profundidad



Fig. 4.18 (Izquierda) 3º Nivel y Fig. 4.19 (derecha) 4º Nivel de la Operación 152

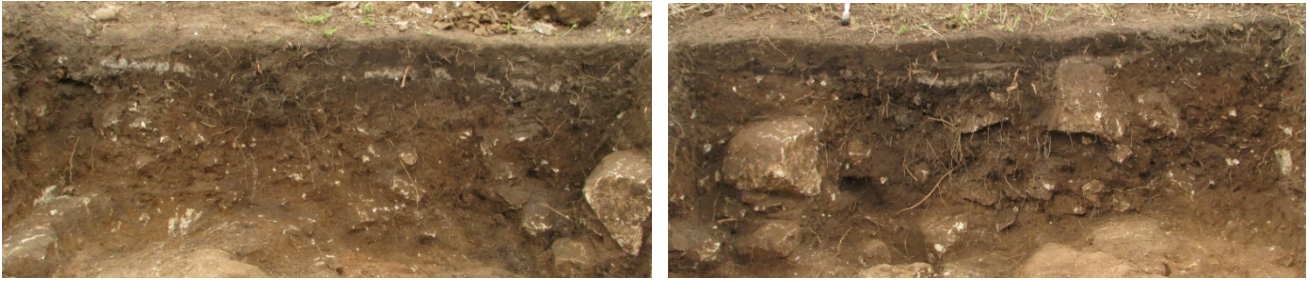


Fig. 4.20 (Izquierda) Perfil Norte y Fig. 4.21 (derecha) Perfil Este de la Operación 152

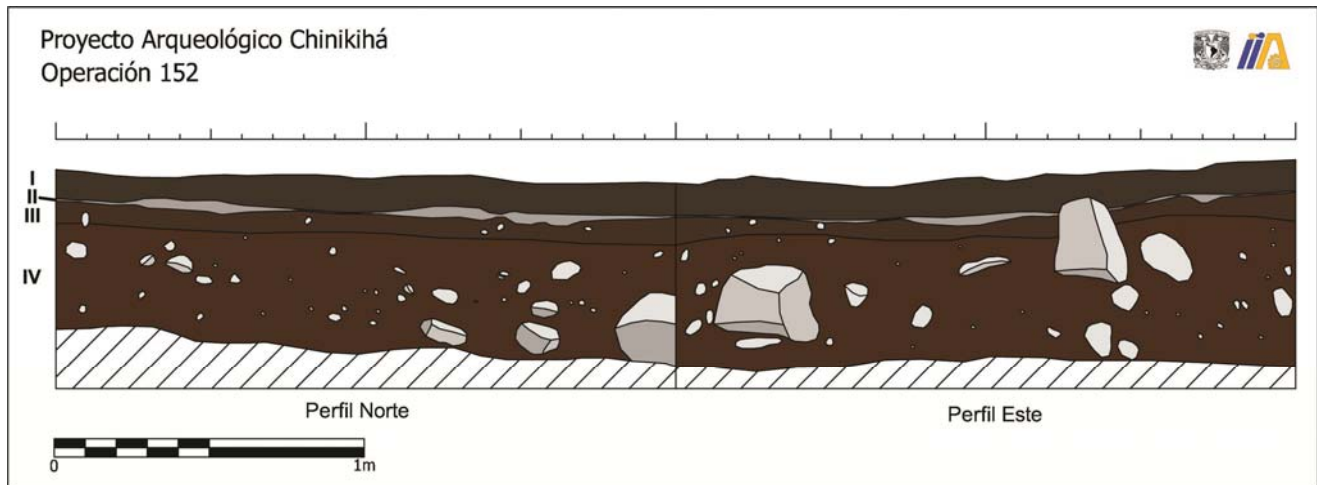


Fig. 4.22 Dibujo de los perfiles de la Operación 152

Operación 154

Ubicada en el límite norte del conjunto formado por las estructuras G-1, G-2 y G-3, en el noroeste del sitio. En la excavación de este pozo nos percatamos de recientes remociones y extracciones de material, probablemente para explotar la piedra contenida en la plataforma G-2, de la que creíamos que íbamos a poder observar su desplante norte, mas no fue el caso.

Se registraron tres capas, la segunda corresponde probablemente a lo que fuera el relleno de la estructura G-2, misma que en su porción norte presenta un muy mal estado de conservación. La tercera corresponde a roca madre intemperizada que es posible remover.



Fig. 4.23 (Izquierda) Superficie y Fig. 4.24 (derecha) 1º Nivelación de la Operación 154



Fig. 4.25 Roca Madre de la Operación 154



Fig. 4.26 (Izquierda) Perfil Sur y Fig. 4.27 (derecha) Perfil Oeste de la Operación 154

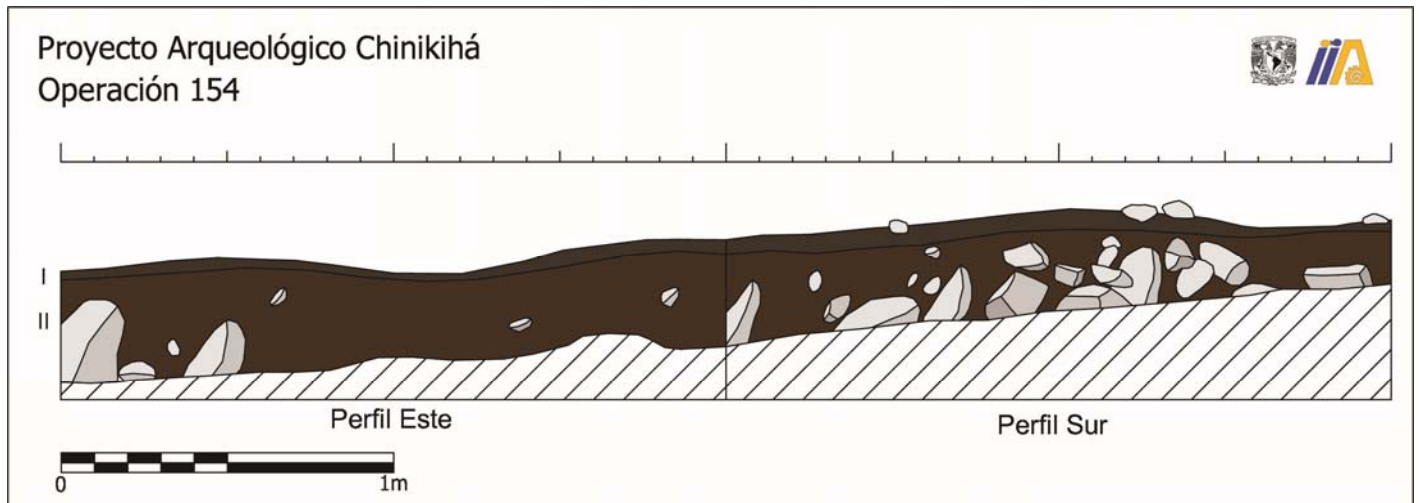


Fig. 4.28 Dibujo de los perfiles de la Operación 154

Operación 158

La última operación realizada en el grupo G se ubicó en el límite norte de este grupo y del sitio de Chinikihá, en la loma que cierra al norte el asentamiento, desde donde se tiene una perspectiva muy amplia hacia las planicies aluviales y el valle de Lindavista al norte y la mayor parte del sitio al sur. Fue trazado sobre la estructura basal con el número G-26, en el límite norte de la plataforma G-26a, al sur de la misma.

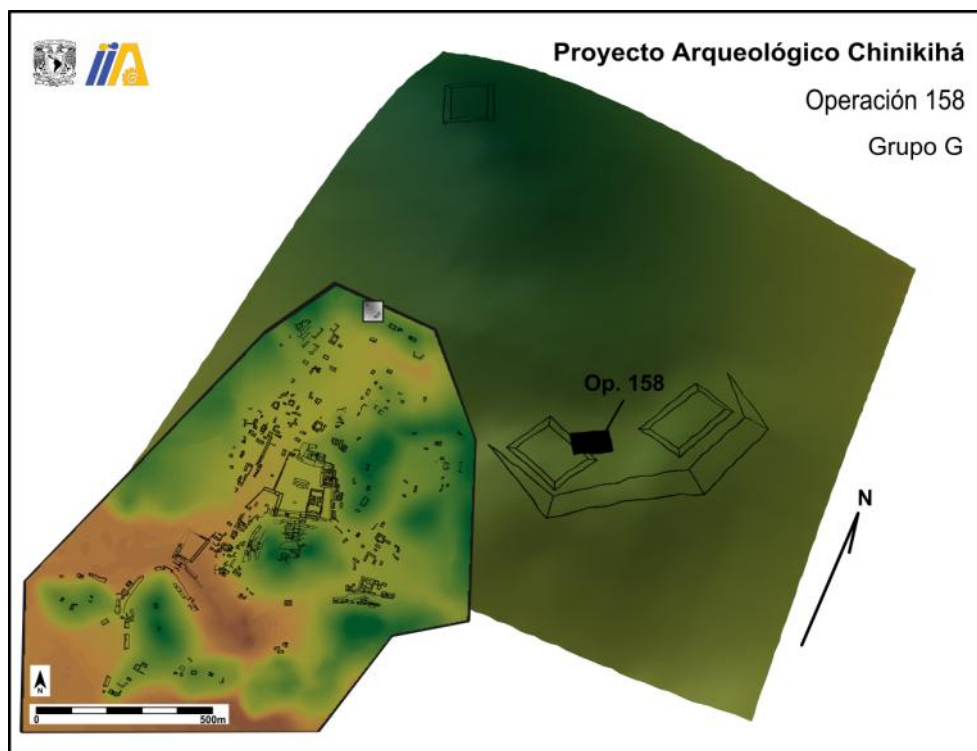


Fig. 4.29 Ubicación de la operación 158

Se trazó esta operación originalmente cuadrada de dos metros en sus lados con una desviación de 60°, en el límite de la estructura basal encontrándose con la ladera del cerro. Se recuperó abundante material arqueológico desde

las primeras nivelaciones, especialmente concentrado en las cercanías del perfil noroeste, junto a la pendiente, conteniendo muy abundante cerámica y lítica, así como un par de manos de metate.



Fig. 4.30 Mano de metate registrada en el primer nivel de la operación 158

Desde el cuarto nivel se fue descubriendo cercano a la esquina suroeste una concreción de cal, piedras y material arqueológico y una olla semicompleta completamente adherida a esta masa de cal solidificada, lo que conforma el elemento 151, (Fig. 4.31) mismo que se sustrajo de la excavación en bloque. De especial valor en cuanto a los datos cerámicos que contiene, debido a que es la única olla de la que podemos calcular su volumen integro, al conservar el recipiente su silueta completa, como se aprecia en la fotografía (Fig. 4.33)



Fig. 4.31 (izquierda) Dibujo del elemento 151 y la arquitectura registrada y Fig. 4.32 (derecha) fotografía de la planta final de la operación.



Fig. 4.33 Fotografía del elemento 151

En el perfil sur del pozo, contiguo al elemento 151 se percibía un alineamiento de piedras, por lo que extendimos la operación un metro hacia el suroeste, registrando el muro que contenía al noroeste el relleno de la plataforma F-26a, conservando aún tres hiladas de piedra desplantando muy cerca de la roca madre.



Fig. 4.34 Muro de la Estructura G-26a

Adosado al oeste de este último muro, se apreciaba un adosamiento con relleno similar al de la primera estructura, ubicando al elemento 151 en la esquina que formaban ambos volúmenes arquitectónicos; mismos que no fueron excavados para no comprometer los escasos rasgos arquitectónicos conservados.



Fig. 4.35 (Izquierda) Perfil Noroeste y Fig. 4.36 (derecha) Perfil Noreste de la Operación 158

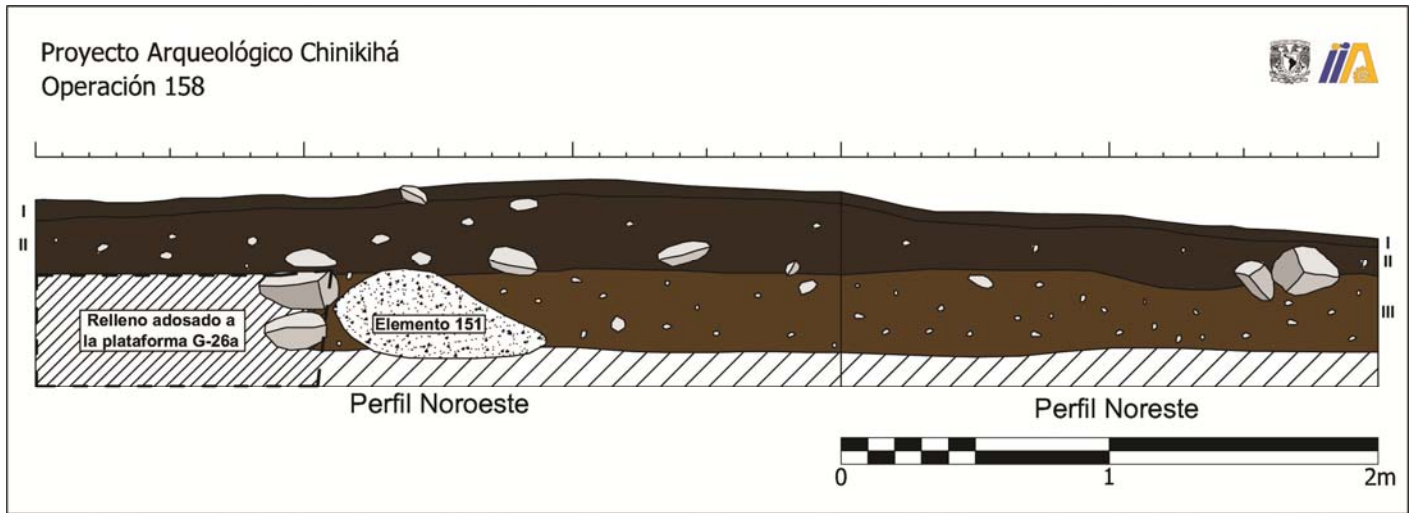


Fig. 4.37 Dibujo de los perfiles de la operación 158

Operaciones en el grupo H

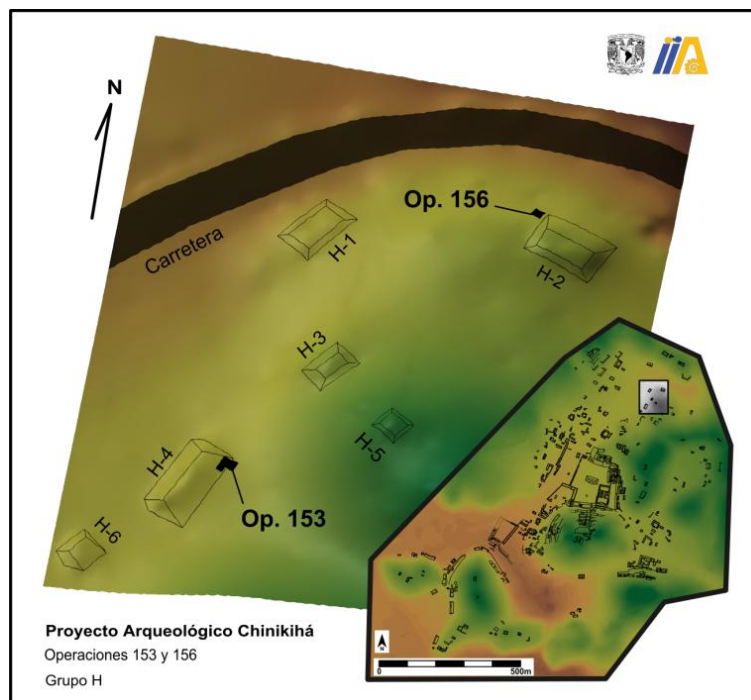


Fig. 4.38 Ubicación de las operaciones 153 y 156, en el Grupo H.

Operación 153

Interesante pozo de sondeo ubicado en la esquina noreste de la estructura H-4. Se obtuvo una muestra abundante de material cerámico y lítico, tanto pulido como tallado, entre las que destacan cuatro puntas de proyectil de pedernal y una de obsidiana completas. En las últimas nivelaciones de la excavación nos percatamos de la presencia de una tumba (Entierro 20) por lo que se extendió hacia el oeste, añadiendo tres metros cuadrados al trazo original y descubriendo otro enterramiento al lado del primero (Entierro 25). De las más de cuarenta bolsas de material recolectadas, principalmente cerámicas; destacó la abundancia de manos de metate, con un total de seis registradas. Asimismo se recuperó del 5° nivel un peculiar pendiente de hueso, elaborado con una vértebra posiblemente humana. Se recolectaron tres pequeñas muestras de carbón en el 5° y 7° nivel.



Fig. 4.39 (Izquierda) Manos de metate del 3° nivel y Fig. 4.40 (derecha) Pendiente de hueso de la 5° Nivelación

En la sexta y séptima nivelación nos percatamos del arreglo de piedras formando la esquina de una cista en el ángulo suroeste del pozo, por lo que extendimos un metro hacia el oeste y otro hacia el sur en esa esquina con el fin de descubrirlo por completo y fuese excavado por el equipo de Luis Nuñez.



Fig. 4.41 (izquierda) Perfil oeste del pozo, con la esquina noreste de la cista del entierro 20 y Fig. 4.42 (derecha) La tapa de la cista y un alineamiento de piedras careadas superpuesto al entierro descubiertos por la extensión.

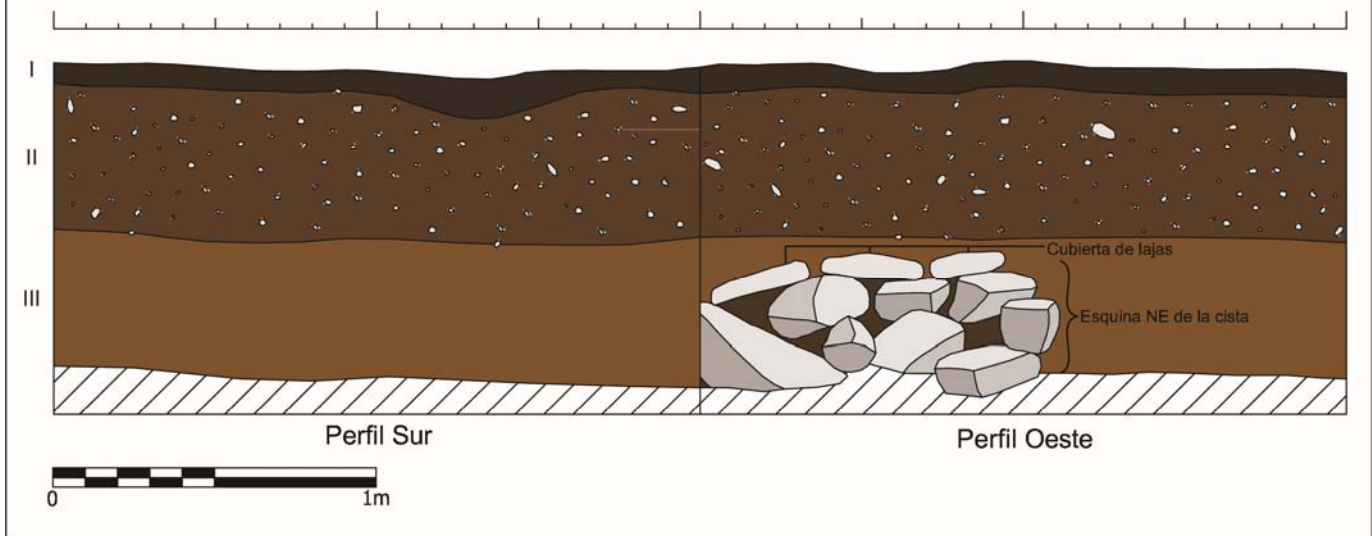


Fig. 4.43 Dibujo de los perfiles de la Operación 153, con la esquina NE de la cista del Entierro 20

Operación 156

Pozo de sondeo de dos metros en sus lados cercano a la esquina noroeste de la estructura H-2. En sus cuatro niveles métricos excavados se observaron tres capas de las que se recolectó una pequeña cantidad de material arqueológico cerámico y lítico; sobre todo de la segunda, cuyo contacto con la capa superior parece corresponder al nivel en uso cuando la estructura anexa se encontraba en uso. Destacan de la muestra de material dos puntas de proyectil de pedernal completas.



Fig. 4.44 (izquierda) Perfil Norte y Fig. 4.45 (derecha) Perfil Este de la Operación 156

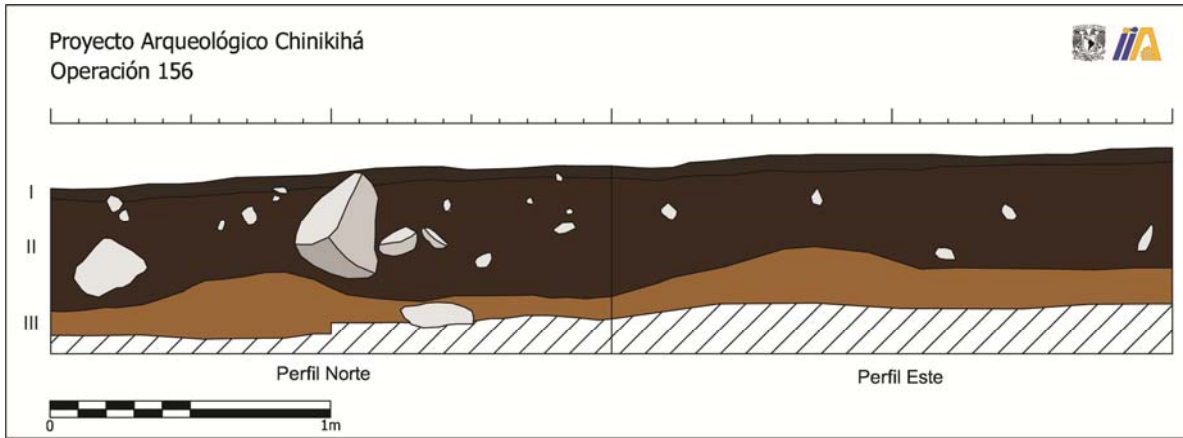


Fig. 4.46 Dibujo de los perfiles de la Operación 156

Operaciones en el Grupo I

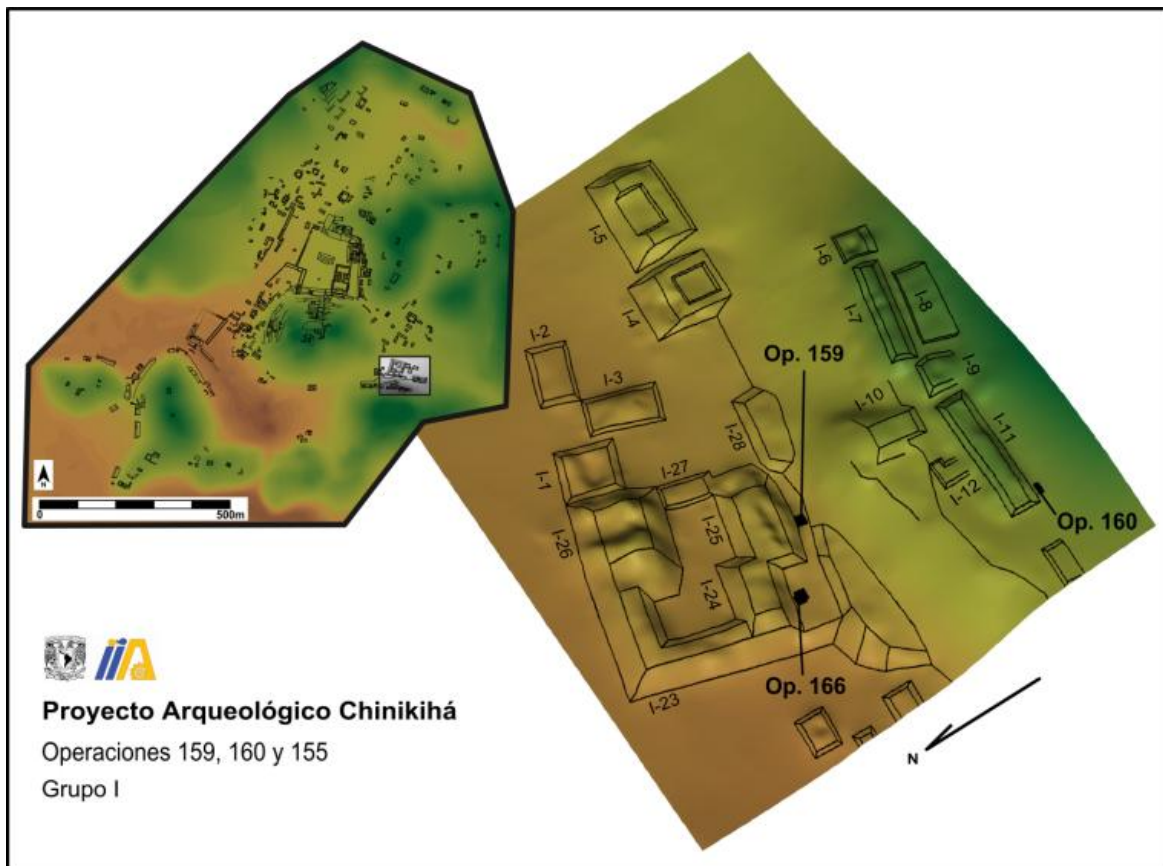


Fig. 4.47 Ubicación de las operaciones 159, 160 y 166, en el Grupo I.

En este Grupo registrado en la temporada 2010, se ubicaron tres operaciones de sondeo, en la parte posterior de las estructuras I-24, I-25 e I-12, respectivamente. Desde la limpieza de la vegetación de las superficies por sondear en las operaciones 159 y 166 se recolectó abundante cerámica, entre la que se observaron varios tiestos tempranos con engobe rojo ceroso.

Operación 159

Somero pozo de sondeo de cuatro metros cuadrados realizado en la parte posterior y con la misma orientación de la Estructura I-25. Se obtuvieron siete bolsas de material cerámico y lítico, al parecer tardío, con excepción de un par de tiestos recolectados en la superficie de esta operación.



Fig. 4.48 (izquierda) 2º Nivel y Fig. 4.49 (derecha) Roca madre de la Operación 159.



Fig. 4.50 (izquierda) Perfil Oeste y Fig. 4.51 Perfil Norte de la Operación 159.

Operación 160

Ubicada en la esquina suroeste de la Estructura I-11, esta operación de dos metros cuadrados se trazó con una orientación en su eje mayor de 117°, misma que la plataforma, que conserva aún muy bien definida aquella esquina. Se caracterizó por la fácil remoción del sustrato, al estar compuesto de limo sin compactar. En las primeras dos de las tres capas registradas se recolectó material arqueológico, sobre todo cerámico; algunos de los tiestos presentan pastas que no corresponden a la generalidad observada en el Clásico Tardío del sitio. En la cuarta y quinta nivelación, dentro de la Capa II se registraron fragmentos de estuco sin forma de los que se tomaron muestras.



Fig. 4.52 (izquierda) 3º Nivel y Fig. 4.53 Roca madre de la operación 160.



Fig. 4.54 (izquierda) Perfil Este y Fig. 4.55 Perfil sur de la Operación 160.

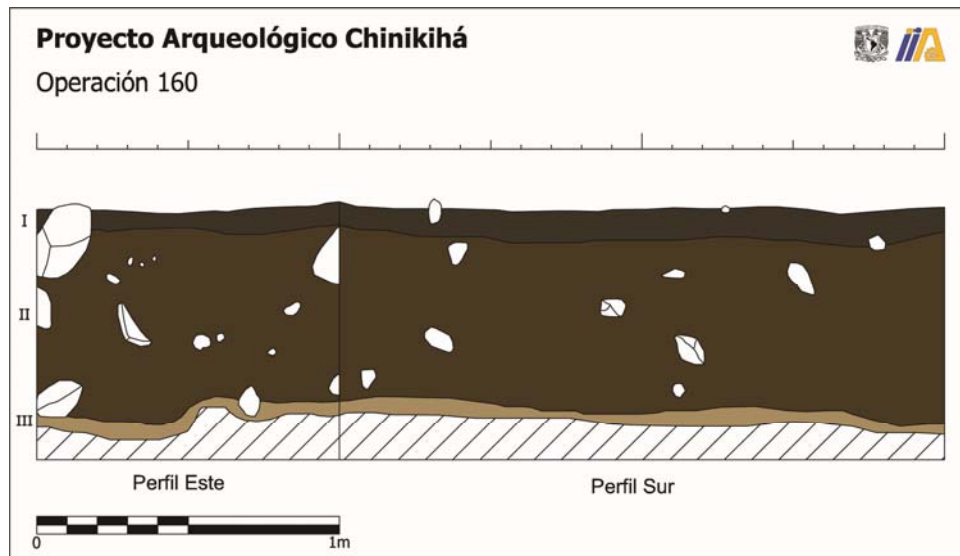


Fig. 4.56 Dibujo de los perfiles de la Operación 160.

Operación 166

Operación efectuada en el patio de la parte posterior del conjunto de grandes dimensiones que conforman las estructuras I-23, I-24, I-25, I-26 e I-27 que presentan rasgos muy formales de construcción en su mampostería y arreglo del patio que rodean; sin duda un emplazamiento arquitectónico producto de una ocupación prolongada y próspera. El

lugar elegido para la excavación del pozo se antojaba similar al de la Operación 114, detrás del Palacio de este mismo sitio; ambos están en el espacio formado entre una estructura de rango y una pendiente pronunciada, en lo que se podría denominar como el patio trasero de ambos lujosos conjuntos arquitectónicos.

Se limpió de vegetación y se registró una buena cantidad de cerámica y lítica de superficie, incluyendo un par de tiestos con engobe rojo ceroso. Abundante piedra en todos los niveles, desde el segundo empezó a observarse un alineamiento de piedras formando el muro de contención de una subestructura con mampostería careada hacia el lado oeste solamente, cubierta por el último evento de ampliación de volumen de la plataforma basal del conjunto.

Contenido dentro del volumen de este último evento (Capa III), al exterior al oeste del muro se registró a 55 cm de la superficie una sepultura en forma de cista cubierta por lajas que se le dio el número de Entierro 26. Se extendió la excavación hacia el noroeste para descubrir toda el área de la cista, removiendo una buena cantidad de piedras de derrumbe de la Estructura I-24 en el perfil norte de la extensión. El entierro fue excavado por el equipo de Luis Núñez para que después regresáramos a continuar con los niveles inferiores.

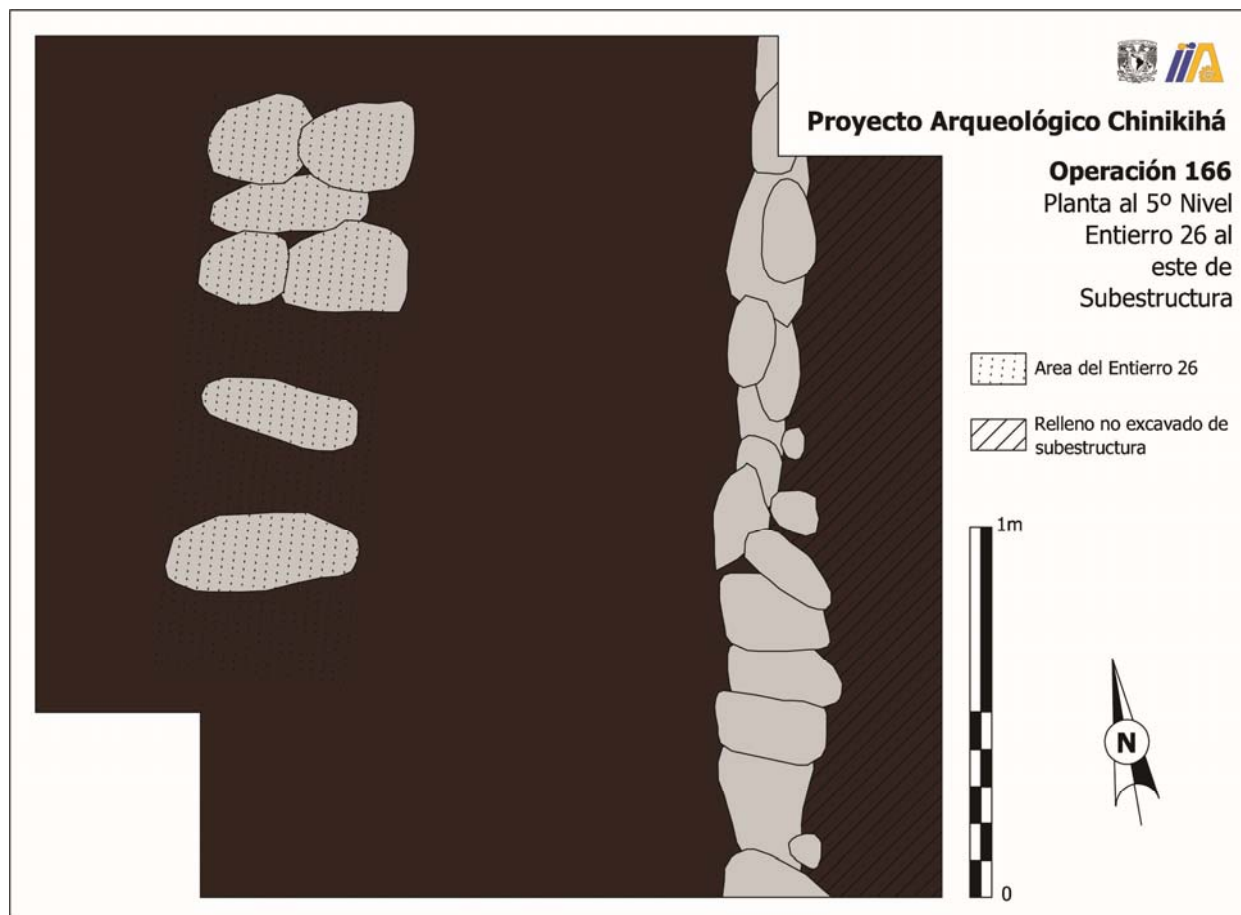


Fig. 4.57 Dibujo en planta del Muro de la subestructura y la posterior Sepultura 26.

Una vez removido el entierro 26 y la cista que lo contenía descendimos hasta el nivel donde se desplanta el muro observado desde los primeros niveles, registramos un sustrato compacto con abundantes piedras medianas y grava que corresponde a un piso previo a la construcción de la primer subestructura registrada (Capa IV). Debido a la

abundancia de piedras grandes en el perfil norte y el subsecuente peligro de derrumbe decidimos solamente excavar un metro al norte del pozo extendido. Debajo de este piso registramos un sustrato de limo-arcilla poco compacto con piedras grandes de relleno que contenía en la esquina noroeste una concentración de material arqueológico que con tuestos que se pueden ubicar dentro del clásico temprano, de los complejos Motieπά y Otulum, se observaron desde la excavación platonos de base anular con la superficie interior cubierta por un engobe color crema de textura cerosa y en esta misma concentración platos de pasta arenosa bayo fina conservando policromía roja y negra sobre una base color crema. Este quizás sea este el único contexto excavado hasta este momento dentro del sitio que no tenga elementos más tardíos que el siglo VII d. C.

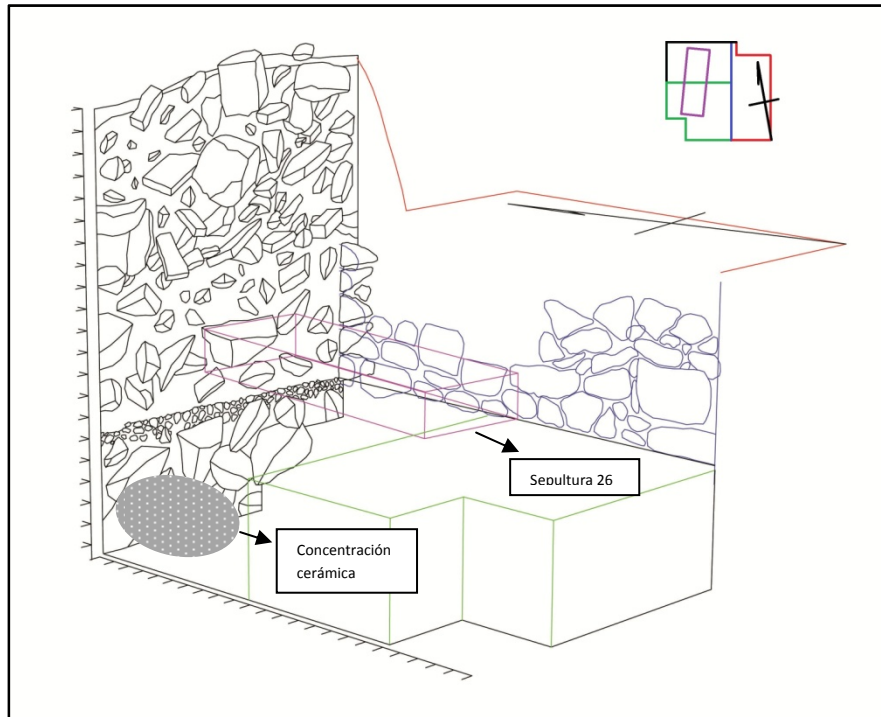


Fig. 4.58 Perspectiva del perfil de la Operación 166 con el alzado del muro (en azul) de la subestructura, el rectángulo en el centro (en púrpura) corresponde al espacio ocupado por el entierro 26. Representados en los ejes niveles de 10 cm



Fig. 4.59 Fotografía del Entierro 26 al oeste del muro de la subestructura.

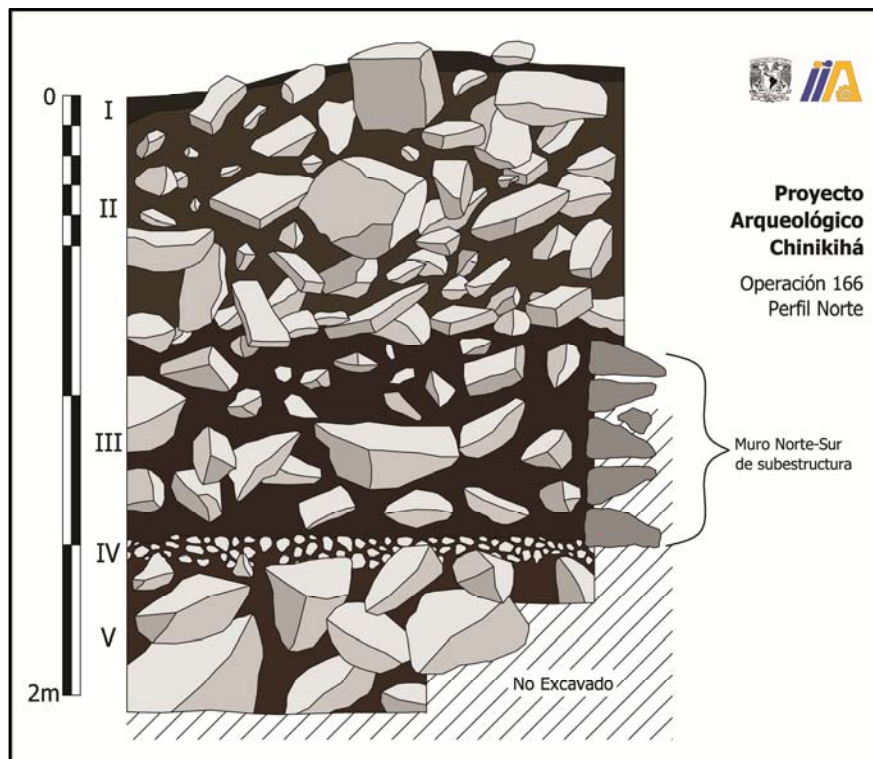


Fig. 4.60 Dibujo del Perfil Norte de la extensión de la operación 166.

Operaciones en el Grupo J

Cubierto por el levantamiento topográfico desde la temporada 2010 nos percatamos de la presencia de material cerámico con engobes cerosos en las cimas de las lomas que cierran al sur el sitio de Chinikihá. Buscando evidencia de ocupación temprana ubicamos tres pozos de sondeo sobre dos de las lomas que componen este grupo. En los tres se registró material temprano.

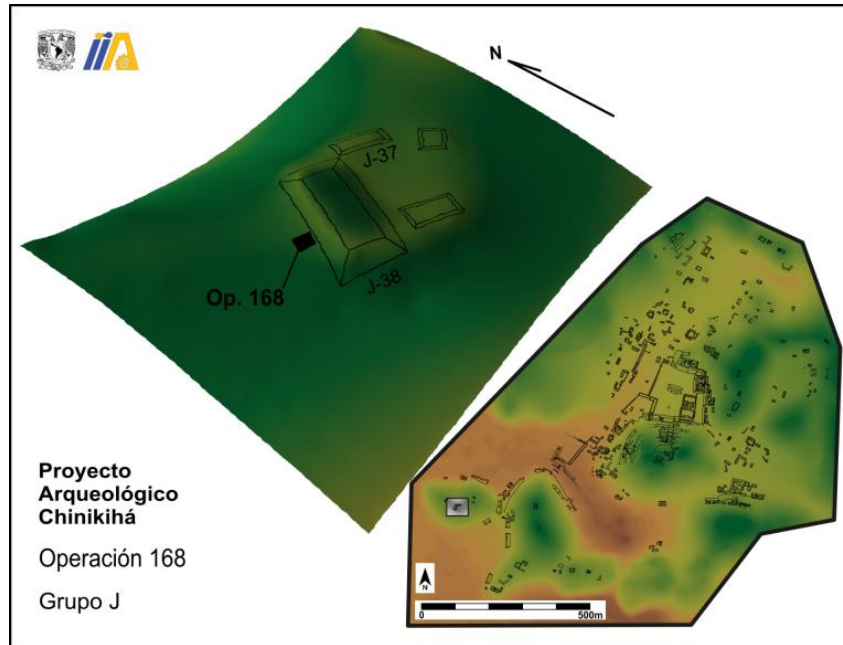


Fig. 4.61 Ubicación de la Operación 168, en el Grupo J.

Operación 168

Sobre la cima de la loma mas occidental del sitio en la parte posterior de la Estructura J-38 que cierra un conjunto tipo patio al oeste. Se obtuvo una pequeña muestra de material arqueológico con un buen porcentaje de tiestos diagnósticos. Se observaron tres capas antes de llegar a la roca madre que se presentó cercana a la superficie y de forma irregular.



Fig. 4.62 (izquierda) 2º Nivel y Fig. 4.63 (derecha) Roca madre de la Operación 168



Fig. 4.64 (izquierda) Perfil Norte y Fig. 4.65 Perfil Este de la Operación 168

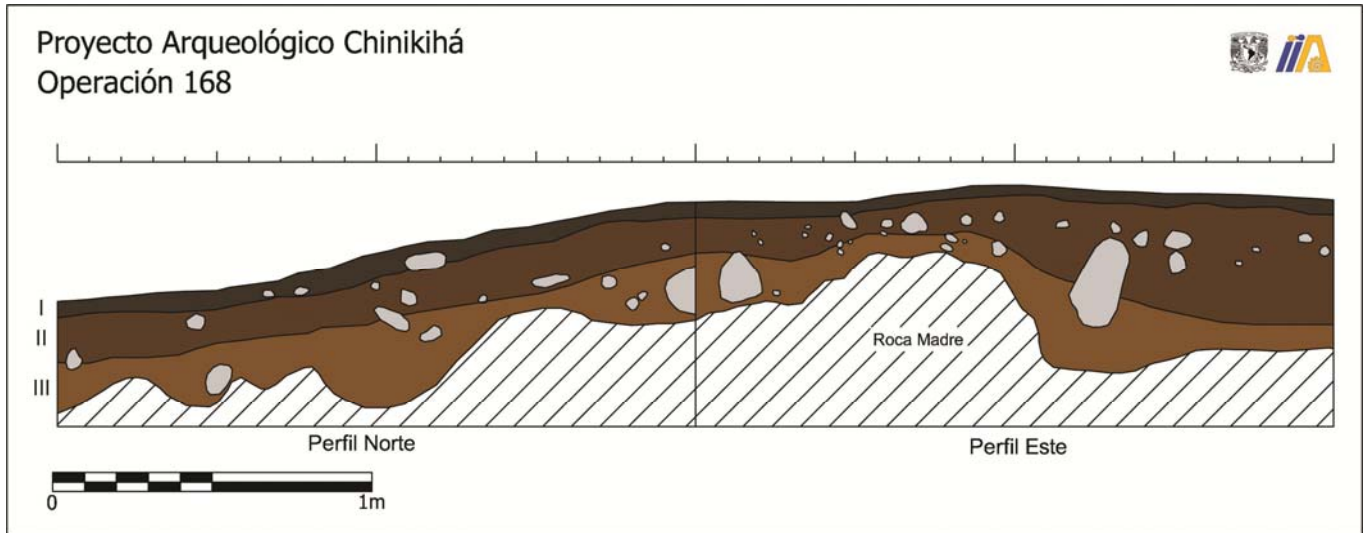


Fig. 4.66 Dibujo de los Perfiles de la Operación 168.

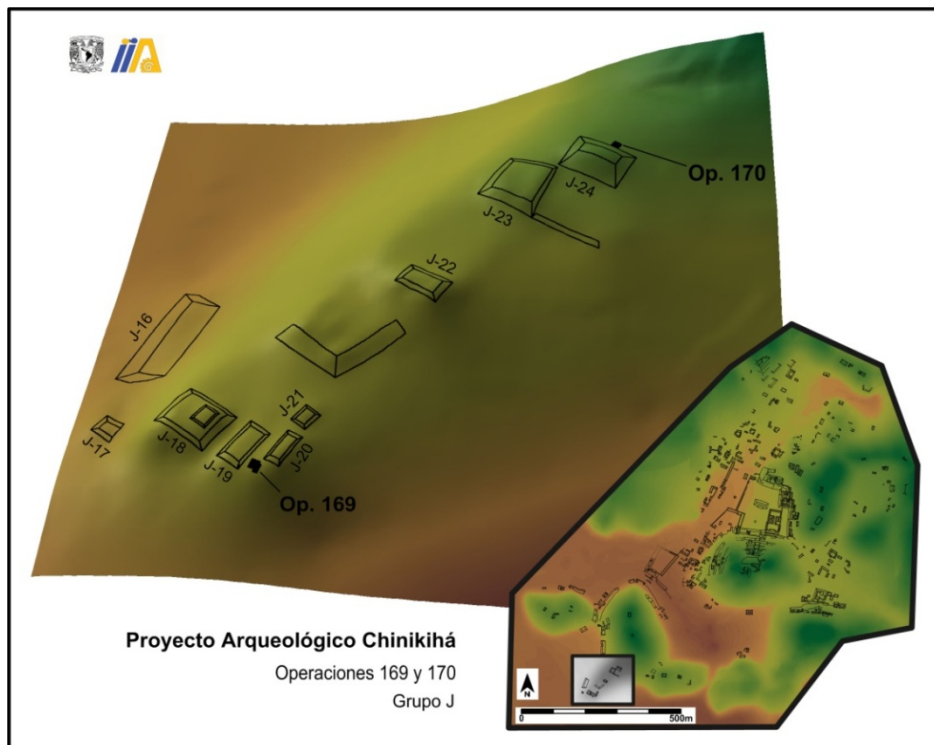


Fig. 4.67, Ubicación de las operaciones 169 y 170, en el grupo J.

Operación 169

Excavación realizada en el extremo sur del sitio, se realizó esta operación originalmente de cuatro metros cuadrados, en la parte sur del espacio entre las estructuras J-19 y J-20, con la misma orientación. Desde los primeros niveles pudimos registrar la presencia de material cerámico con engobe rojo de textura cerosa, mezclado con tiestos del clásico tardío. Cabe destacar un elemento registrado en la segunda nivelación, una pieza de cerámica en forma de medallón con la iconografía en relieve de un personaje tipo Tlaloc, con anteojeras y colmillos típicos de esa entidad (Figura 4.68)



Fig. 4.68 Figurilla registrada en la segunda nivelación, con una imagen de Tlaloc.

En el cuarto nivel métrico y a dos días de finalizar la temporada nos percatamos de la presencia del Entierro 29, por lo que tuvimos que extender la excavación hacia el sureste para descubrir la cista que lo contenía. La sepultura fue registrada por el equipo de Luis Núñez. El resto de la excavación se concentró en un cuadro de un metro cuadrado en la esquina noroeste de la operación, En donde seguimos recolectando material temprano mezclado con tiestos del clásico tardío.

Rodeando la sepultura observamos dos alineamientos de piedra que parecen corresponder a cajones para contener y ordenar el relleno de la última etapa constructiva del conjunto arquitectónico, ya que no presentaban piedra careada ni formalidad en el alineamiento.



Fig. 4.69 (izquierda) Perfil Oeste y Fig. 4.70, Perfil norte de la Operación 169.

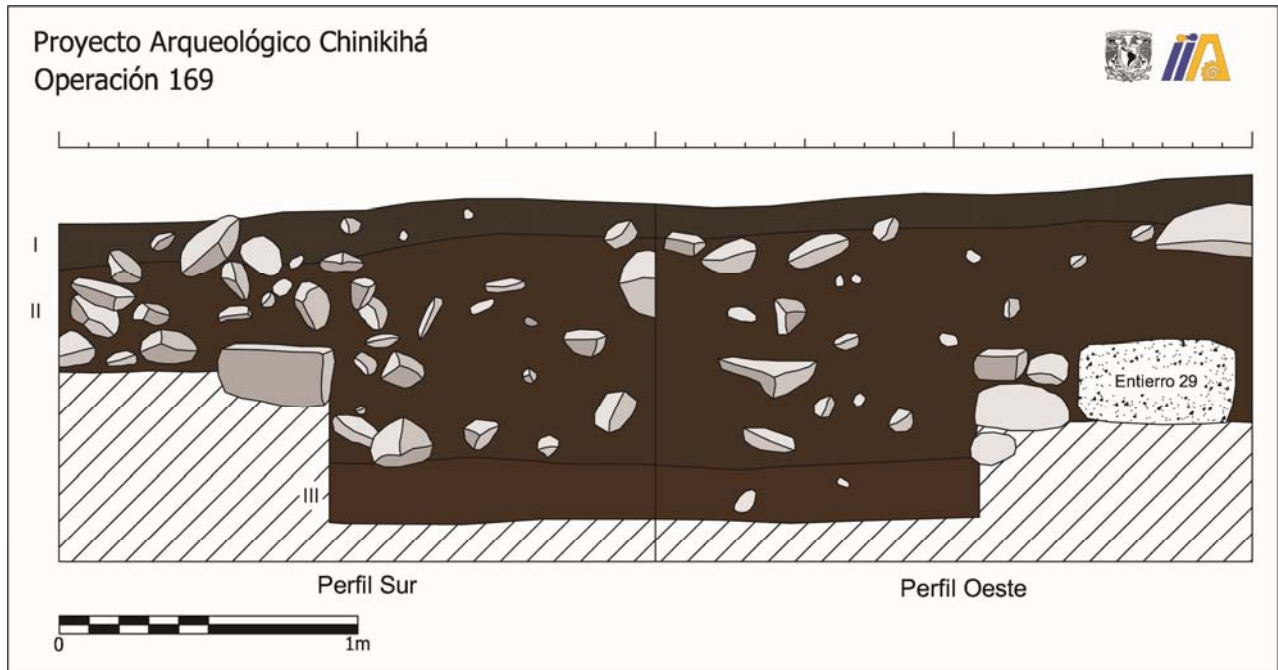


Fig. 4.71 Dibujo de los perfiles de la Operación 169

Operación 170

El último pozo de sondeo efectuado durante esta temporada se realizó en la parte alta de la misma loma que la operación anterior, detrás y con la misma orientación que la estructura J-24. En esta excavación, al igual que en todas las realizadas en este Grupo, se registró material temprano en todos sus niveles, por la falta de tiempo tratamos de ubicarla en un lugar en donde fuera poco posible la presencia de un entierro. Al tercer nivel, inevitablemente nos percatamos la presencia de otra sepultura contenida en una cista, con orientación norte sur y ubicada en la porción este de la operación; por lo que nos vimos obligados a cerrar la excavación y dejar este registro para otro momento. Se obtuvieron cuatro bolsas de material que contribuirán a desarrollar la cronología del sitio.

5. OPERACIÓN 114

Rodrigo Liendo Stuardo

En el Capítulo se describen las excavaciones y elementos encontrados en la operación 114. Este contexto problemático se ubica en la parte posterior de El Palacio de Chinikihá. Empezó a excavar en la Temporada 2006 del proyecto arrojando una gran cantidad de cerámica diagnóstica, restos paleobotánicos y de fauna. Los resultados parciales de los hallazgos provenientes de esta operación han sido reportados en diferentes informes:

<http://www.famsi.org/reports/06007es/index.html>,

<http://www.mesoweb.com/resources/informes/chinikiha2008.html>

<http://www.mesoweb.com/resources/informes/chinikiha2010.html> y en este trataremos de dar una interpretación probable de la naturaleza de este depósito.

1- Informe Global de Suelos. Geomorfología de Chinikihá

Keiko María Teranishi Castillo

Las excavaciones de la Operación 114 fueron llevadas a cabo dentro de una unidad de ladera media baja dentro del Cerro Norte en donde se emplazó la arquitectura del palacio del sitio de Chinikihá, este sector dentro del plano del valle de Chinikihá representa un sector de coluvión derivado del mismo colapso de los desniveles de los acondicionamientos y terrazas del Cerro Norte. Este cerro es un límite natural del circuito del núcleo cívico ceremonial del sitio. Como unidad geomorfológica es parte de una terraza más antigua en su base el cual fue agregando e incorporando las descargas de sedimento natural del desnivel del cerro en su arquitectura. Este plano logró un desnivel descendente claro con el sector Oeste en donde desplantan los demás edificios y un sector al este con un nivel abrupto ascendente que lo delimita, este plano creó un área de alrededor de 8 metros de ancho y unos 20 metros aproximadamente.

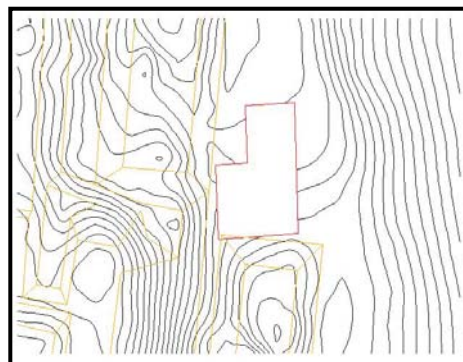


Figura 5. 1. Detalle Topográfico Operación 114 (2010)

Zonas Delimitadas

Las formas del terreno como primera división ubican al depósito 114 en una posición fisiográfica de ladera, en una pared de caída de la parte superior este del cerro Norte, el depósito está posicionado en piedemonte medio – bajo, con procesos de formación asociados a las caídas y deslizamientos de bloques y detritos. Este sector fue modelado por el intemperismo físico y químico con el transporte de material a través de movimientos en masa y de flujo, colapsos y reptaciones. Estos procesos en los cerros Norte y Sur han provocado una sedimentación de detritos que junto a la alta pluviosidad del área ha percolado a través del agua a las capas de Tecnosol (suelo antropogénico) impidiendo así por sus constantes aportes la formación de suelo natural en esta geofoma acondicionada. Además de que los aportes por coluvionamiento han impedido por caída la permanencia de la estructura de los suelos transportados.

Los procesos de gleysación en la planicie aluvial del valle de Chinikihá son procesos de eluviación de constantes salidas de minerales por percolación o intemperismo y alta actividad biológica. En Chinikihá encontramos Luvisoles (Lc, Lo/2), Luvisoles crómicos y órticos, además de litosoles. Chinikihá presenta saprolización en su litología como un intemperismo biológico en donde la roca se descompone en este caso la roca química como la caliza (roca podrida) pulverulenta colores claro o grises, además de tener capas húmicas poco potentes (menores a 5 cm) con una lenta incorporación de la hojarasca por lo que la actividad biológica dentro de las matrices es de bajo impacto.

Suelos

En las cartas de suelo INEGI (1960) la zona abordada es definida y clasificada como de suelos Luvisoles los que corresponden a suelos enriquecidos con arcillas en el subsuelo. Por definición el umbral del perfil de este tipo de suelo deriva de un horizonte subsuperficial argílico, presentan una actividad de formación de arcillas y una saturación de bases alta en ciertas profundidades. Nomenclaturados como cromosoles, luvisoles. De la palabra luere, lavado, es un tipo de suelo en donde la migración, la formación y diferenciación de arcillas es clara en diversas profundidades. El material parental es variado en general y está compuesto de una variedad de materiales no consolidados, depósitos aluviales, coluviales, y eólicos. Casi en la mayor parte de los casos estos suelos se dan en ambientes extremos secos y húmedos estacionales. Con respecto a sus rasgos en los perfiles sus procesos pedogenéticos dan a conocer un horizonte casi siempre albico (superficie discontinua con migración y presencia de arcillas sin una marcada diferencia de clase).

Ya en campo la característica más clara en los perfiles de las unidades 127 y 130 posicionadas en ladera baja y planicie respectivamente, fue de suelos ricos en formación de arcillas, y el rasgo más claro de evaluación son las abundantes grietas verticales desde los 20 hasta los 60 cm de profundidad. Este rasgo y las coloraciones de 5YR, dieron como resultado la presencia y formación de arcillas expandibles que quiebran el terreno y que se entremezclan en este caso con los suelos culturales y sus componentes de caliza de diversas dimensiones desde 3 hasta 12 cm de ancho con agregados férricos y sliken sides.

2- UNIDADES EXPLORADAS

Operación 114

La Operación 114 se encuentra ubicada en una zona de sedimentación coluvial consecutiva provocada por la erosión natural de la pared sur del cerro ubicado en la parte posterior al Palacio. En general se detectaron 6 capas arqueológicas que responden a techosoles dentro del sistema constructivo de esta área de patio del Palacio.

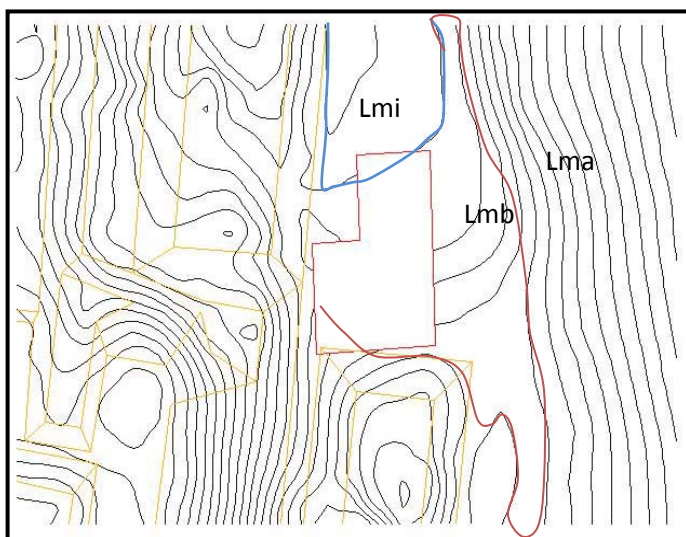


Figura 5.2. Sectores de Ladera [Lmb Ladera media baja],[Lmi Ladera media intermedia], y [Lma Ladera media alta].

Operación 114 (Esquina SO mE/ mN). Unidad de 10 x 5 mt. Localizada en la parte media baja de ladera.

Descripción de capas

Capa I: (La primera capa en una orientación Sur a Norte se muestra con una profundidad que fluctúa entre de 0-4 cm en casi todos los cuadrantes y de 0 a 12 cm en el cuadrante L).

Es una capa de matriz textura arcillo-arenosa, poco potente (0 - 4 cm), de color 7.5 YR 4/2 (color Café). Su estructura es granular, poros con agregación natural de tamaño grueso con un desarrollo de la estructura moderado, una consistencia en seco dura y en húmedo friable. Su adhesividad y plasticidad es ligera. No se presentan películas ni facetas. Hay presencia abundante de gravas y piedras de dimensiones varias (7 a 20 cm). Se presentan grietas de constitución fisurada y agrietada de profundidades diversas de 0.5 a 4 cm.

No hay concreciones ni manchas, tampoco se registraron inclusiones y con respecto a las raíces estas son de grosor fino a gruesas, estas últimas de origen arbóreo, en cantidades frecuentes. Se observó en superficie material constructivo careado tanto lajas de caliza como pedacería. El drenaje de esta capa es drenado.

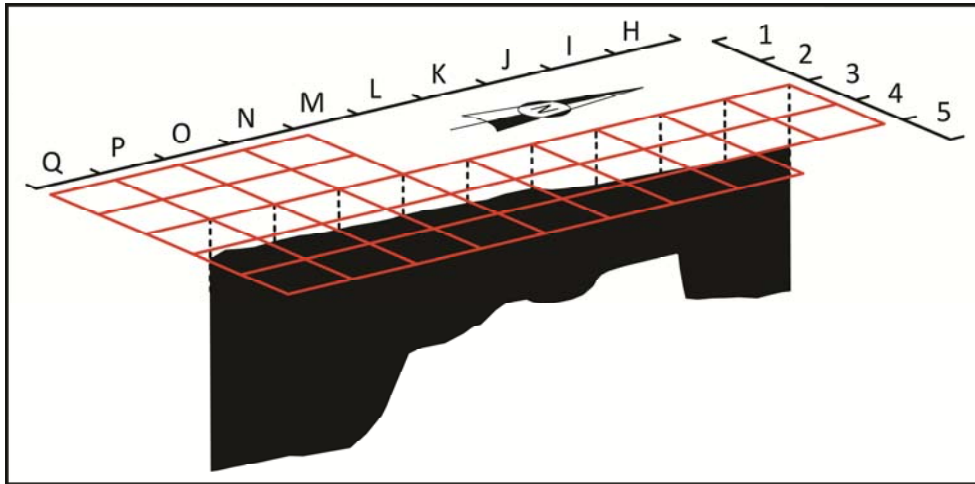
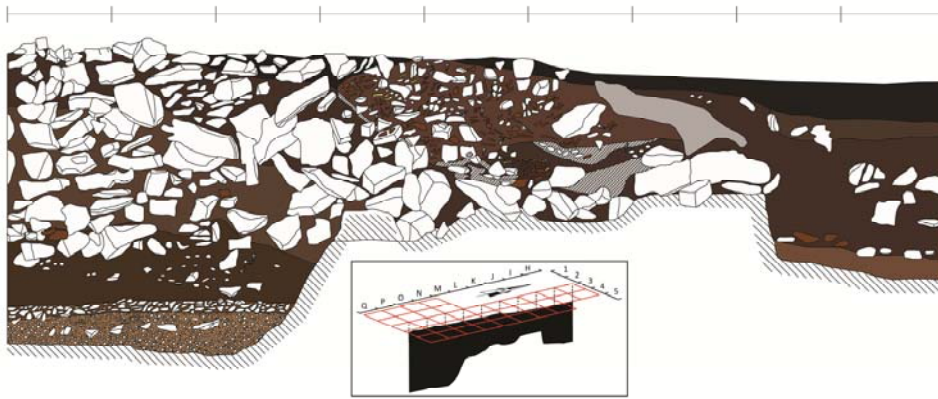


Figura 5.3. Localización Depósito 114.

Capa II (Desde L2 0- 50 cm hacia el Norte)

Es una capa de matriz de textura arcillo -limosa, de potencia media (4- 30 cm), de color 10YR 5/3 (color Café). Su estructura es granular, relativamente no poroso de tamaño medio con un desarrollo de la estructura moderado, una consistencia en seco dura y en húmedo friable. Su adhesividad y plasticidad es ligera. No se presentan películas ni facetas. Hay presencia de gravas, piedras y pedacería de caliza (5-20 cm) trabajadas se encontraron en forma bastante homogénea en esta capa pero hacia los cuadrantes L, K, J, e I presento componentes cerámicos de gran tamaño especialmente en el cuadro K junto a una cantidad abundantes de jutes de tamaño grande que dan inicio al depósito 114 con un sedimento más limoso y de mayor contenido de materia orgánica delimitado al sur con el cuadrante L2 con un argamasa de estuco. Se presentan grietas de constitución fisurada y agrietada de profundidades diversas de .4 a 25 cm. Hay concreciones de carbonatos de calcio muy escasos como lentículas en forma de partículas redondeadas, no hay manchas tampoco se registraron inclusiones y con respecto a las raíces estas son de grosor fino a gruesas, estas últimas de origen arbóreo al igual que el nivel anterior, en cantidades frecuentes. El drenaje de esta capa es drenado. Se observan procesos de iluviación de sedimentos de caliza de coloración amarillenta y blanquecina desde la capa I a la capa II por los canales de aireación de las lombrices de tierra y a través de los espacios que dejó el material constructivo al colapsarse.



M L K J I

Figura 5.4 Corte Este-Oeste Operación 114, 2010

Capa III

Es una capa de matriz de textura arcillo - limosa, con solo un 20% de limo de potencia media (30-77 cm), de color 10YR 5/3 (color Café). Su estructura es granular, relativamente no porosos de tamaño medio con un desarrollo de la estructura fuerte, una consistencia en seco dura y en húmedo friable. Su adhesividad y plasticidad es fuerte. Se presentan películas de carbonatos de calcio en menor cantidad, pero concreciones de este carbonatos en forma granular redondeados, también se detectaron facetas. Continuó registrándose cerámica de forma abundante pero de menor tamaño dentro del área del depósito (cuadrantes L y K) y material óseo (huesos de venado, cánido y otros), además de jutes aunque de menor tamaño. Se presentan grietas de constitución fisurada y agrietada de profundidades diversas de .30 a .37 cm. El drenaje de esta capa es drenado. Se observan procesos de iluviación de arcilla de coloración más clara desde la capa II a la capa III por los espacios del material cultural depositado se percoló además gravilla de la caliza en descomposición y se presentaron dos claras lentículas de limo amarillento 10YR 7/6 (amarillento) cerca de los 50 cm y que sigue la trayectoria desde la capa II se encuentra delimitada al sur también con restos de argamasa que crean una forma elíptica del depósito, el cuál contenía en esta capa la mayor cantidad de cerámica en los cuadrantes K y J llegando a los 50 cm de profundidad delimitado por piedras careadas de calizas de tamaño medio a grande. La mayor profundidad de esta capa se registró en el cuadrante M. Los canales están llenos de limos 10YR 7/6 (amarillento) produciendo la impresión de manchas o lentículas.

Capa IV



Es una capa de matriz de textura arcillosa- limosa, potente (87 a 120 cm) bastante homogénea, de color 10YR 5/6 (café). Se presentan depósitos de arcillas mezclados con pequeñas intrusiones o lentículas de arcilla de textura más arcillosa. Su estructura es de bloques angulares que rompen a subangulares, poros con agregación natural de tamaño grueso con un desarrollo de la estructura semifuerte, una consistencia en seco media y en húmedo friable. Su adhesividad y plasticidad es moderada. Se presentan películas y facetas. Hay presencia solo de gravas de .2 a .4 cm. Se presentan grietas de constitución agrietada de profundidades de .89 cm. Hay concreciones aún de carbonatos de calcio, no se registraron manchas ni inclusiones. Con respecto a las raíces estas son de grosor fino es un número escaso. El drenaje de esta capa es muy drenado. Se obtuvieron en los primeros centímetros de esta capa los últimos fragmentos de cerámica casi todos tipos también domésticos.

Capa V (120-125 cm)

Es una capa de matriz de textura arcillo-limosa, potente de color 10YR /6 (amarillento blanquecino) con un componente de grava de caliza (firme) de tamaños pequeño. 2 cm promedio). Se presentan depósitos laminares de arcillas mezclados con pequeñas intrusiones o lentículas de arcilla de textura arcillo- arenosa. Se presentan grietas de constitución agrietada de profundidades de .125 cm.

Se registraron manchas e inclusiones de arcillas 2:1 de color anaranjado tenue a fuerte con textura arcillo-arenosa. Con respecto a las raíces estas son en un número escaso casi nulas a este nivel. El drenaje de esta capa es de bajo drenaje. Esta capa fue totalmente estéril de material cultural. Solo dos fragmentos pequeños de cerámica se registraron.

Capa VI (126-155 cm) Datum 50 cm 2.10 cm

Dentro del depósito se encontró una concentración de fragmentos cerámicos asociado a piedras quemadas, presencia de carbón y ceniza. Se encontró en el perfil Norte en la capa V, horizontes A1, A2. a 2.10 mts de profundidad. Esto al parecer corresponde a un suelo muy profundo de estructura semifuerte y granular de color 10YR 5/8 (color Café oscuro a negruzco). Presenta abundantes restos de la descomposición de la caliza del firme de la capa anterior bastante abundantes y distribuidos homogéneamente. No se presentó material cerámico.

Prof (cm)	Textura:	Pedregosidad (Vol %)	Color (húmedo)	pH (CaCl)	Sales C.E 1:2.5 (mS/cm)	M. O. %	CaCO3 (%)	humedad	pF	estructura tipo	tamaño	grado	Estab agreg	Poros	d.a. g/cm3	dens. Raices	limite	horizonte
0 – 10	CRL	0	10YR 1.7/1	6 – 7	-	5	0	seca	4				Alta		0.85	Muy alta	Abrupto uniforme	Ah1
10 – 13/19	CLf ó CRL	0	10YR 1.7/1	6 – 7	-	4.5	0	seca	6				Muy alta		0.5	Mediana	Abrupto irregular	Ah2
13/19 – 21/24	CRL	0	10YR 2/2	6	-		0	muy seca	6				Alta		0.9	Alta	Claro irregular	BC
21/24 – 42	CR	0	2.5YR 2.5/1	6	-	3.5	0	muy seca	7				Moderada		0.79	Baja	Gradual	2Ah
42 – 54	CRL y CLf	1	10YR 2/2	7	-	3	0	muy seca	8				Alta		0.71	Alta	Difuso	2Ah2
54 – 80	CLf	0	7.5YR 3/2	5	-	0	0	seca	8				Moderada		0.8	Mediana	Difuso	2Bw1
80 – 140	CLf	1	10YR 3/3	5	-	0	0	seca	7				Moderada		0.9	Nula	Difuso	2BW2
140 – 160	CLf	1	10YR 3/2	5	-	0	0	seca	7				Alta		1.4	Baja		2BW3

Tabla 5.I Evaluación Suelos Op. 114.

3- INTERPRETACIÓN TENTATIVA DEL CONTEXTO

Descripción de los trabajos arqueológicos de la Op.114.

Desde la temporada 2006 (primera temporada del proyecto Chinikihá, <http://www.famsi.org/reports/06007es/index.html>) observamos la presencia de una cantidad inusual de material cerámico en los tres pozos que llevamos a cabo en la parte posterior del Palacio. Durante la segunda temporada del proyecto (2008.

<http://www.mesoweb.com/resources/informes/chinikiha2008.html>). Tratamos de definir los probables límites de dicho depósito mediante la aplicación de una prospección Geofísica (radar, magnetómetro y resistividad eléctrica) a cargo del Laboratorio de Prospección del Instituto de Investigaciones Antropológicas de la UNAM (Dirigido por el Dr. Luis Barba) con la finalidad de detectar áreas con una mayor presencia de materia orgánica y cerámica que, tentativamente, nos permitiera tener una idea previa a la excavación acerca de las características del depósito.

La retícula sobre la que se llevó a cabo los análisis fue de 7 x 10 tuvo una orientación N-S y se comenzó en la esquina SW.





Figura 5.5 Colocación de la retícula. Parte posterior del Palacio

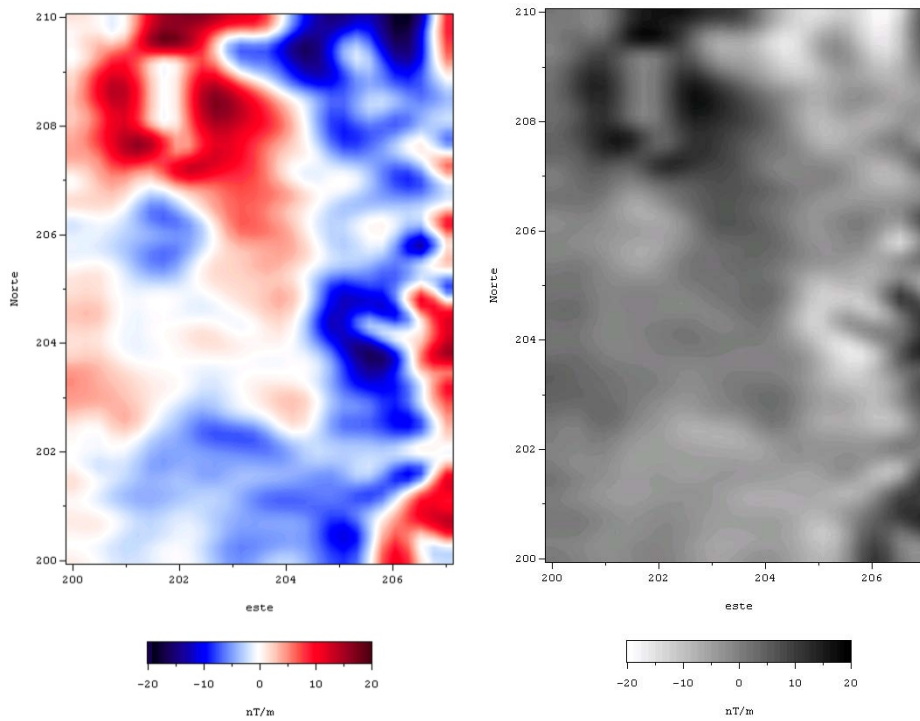


Figura 5.6 El estudio de gradiente magnético delimita claramente la zona de concentración cerámica en color rojo. E incluso puede verse que se continúa un poco más hacia el norte. También se puede observar en la parte media de esta zona de valores “altos”, la localización del pozo de excavación con bajos valores. La parte Este de la retícula, caracterizada por bajos valores, parece coincidir con afloramientos de caliza en el área.

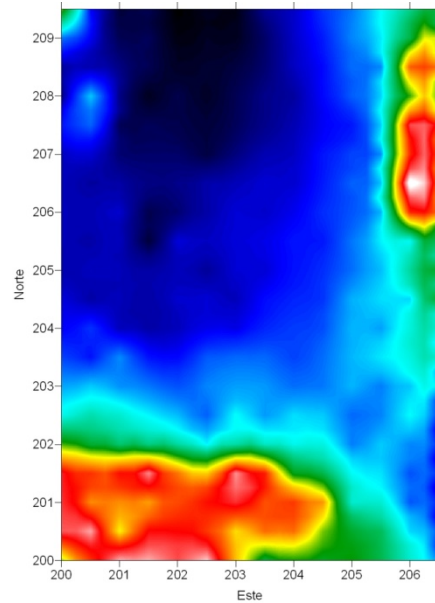


Figura 5.7 El mapa eléctrico confirma lo observado en el mapa de gradiente magnético. En donde la zona de concentración de cerámica, se observa una zona de alta conductividad (en azul oscuro), producida por el relleno donde se encuentra inmersa la cerámica. Al contrario la zona con mayor concentración de piedras y lajas se presenta como una zona de alta resistividad (en rojo).

Con la finalidad de tratar de delimitar la profundidad y características de las anomalías detectadas previamente, el estudio se complementó con georadar.



Figura 5.8. Equipo “pasando” el georadar

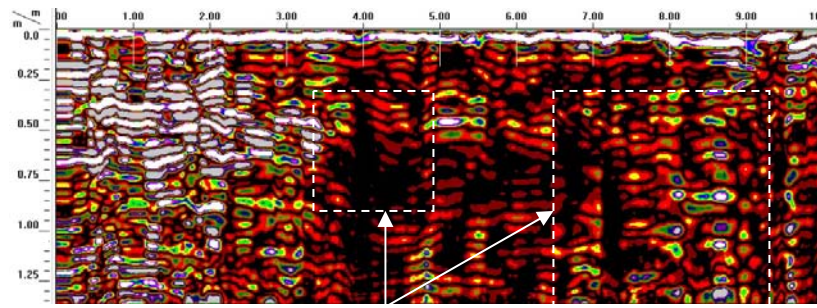


Figura 5.9 La línea File 8 registra en los primeros 3 metros del recorrido reflexiones muy fuertes producidas por estructuras constructivas de roca caliza. De 4.8-5.6 m del recorrido detecta un grupo de reflexiones de media amplitud asociadas seguramente con materiales culturales. De 7 a 9.4 m del recorrido nuevamente se registra un grupo de reflexiones que llegan hasta 1 metro de profundidad y que también pueden asociarse con cerámica, entierros y otros objetos culturales.

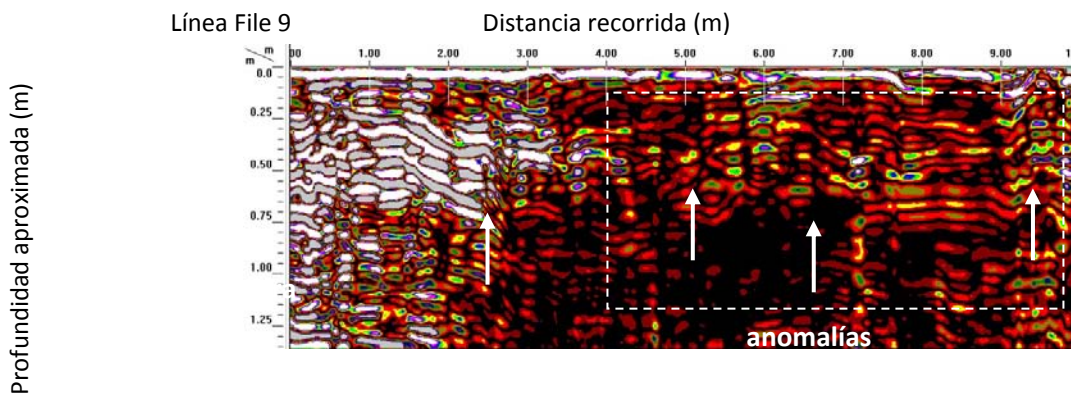


Figura 5.10 En el radargrama de la línea File 9, nuevamente se registró las reflexiones intensas de las estructuras constructivas de roca y una anomalía pequeña de 3.6 a 4.2 m del recorrido que parece ser independiente. De 5.3 hasta los 10 m del recorrido se detectó un grupo de reflexiones producidas por materiales de origen cultural. Llama la atención las reflexiones más intensas localizadas en 6, 7.2 y 9.5 m del recorrido, con excepción de la localizada a los 6 m que es parte de una excavación, las otras pueden asociarse con un posible enterramiento y con una mayor acumulación de objetos culturales.

Gracias a la aplicación de estas técnicas delimitamos una superficie de 52 m² como nuestra posible área de excavación

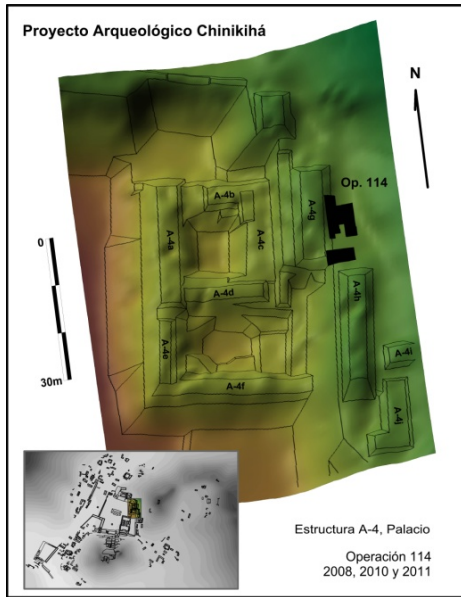
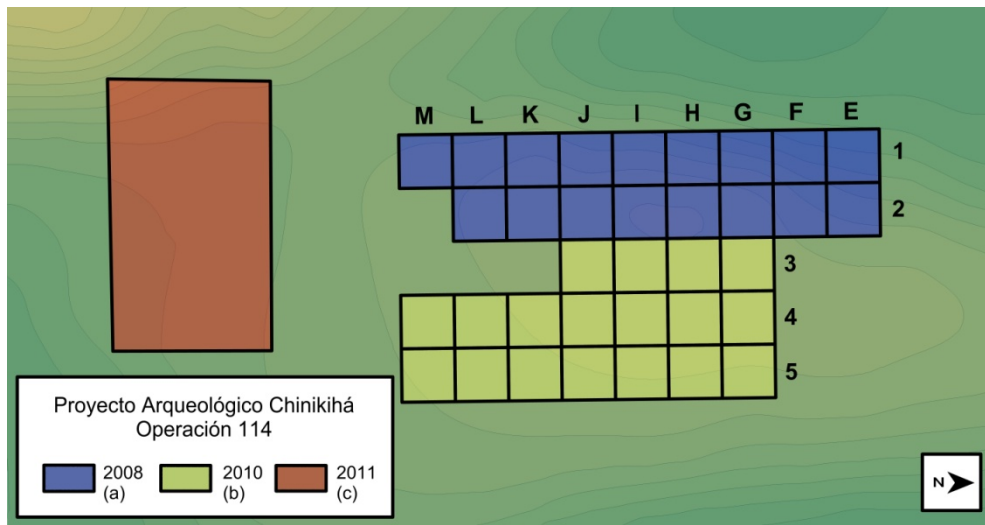


Figura 5.11. Ubicación de la Operación 114

Dividimos esta superficie en cuadrantes de 1m² y en las tres temporadas siguientes (2008,2010 y 2011) excavamos los contextos que se indican en la siguiente gráfica:



Los detalles de la excavación han sido reportados en informes anteriores y pueden ser consultados en :

<http://www.mesoweb.com/resources/informes/chinikiha2008.html>

<http://www.mesoweb.com/resources/informes/chinikiha2010.html>

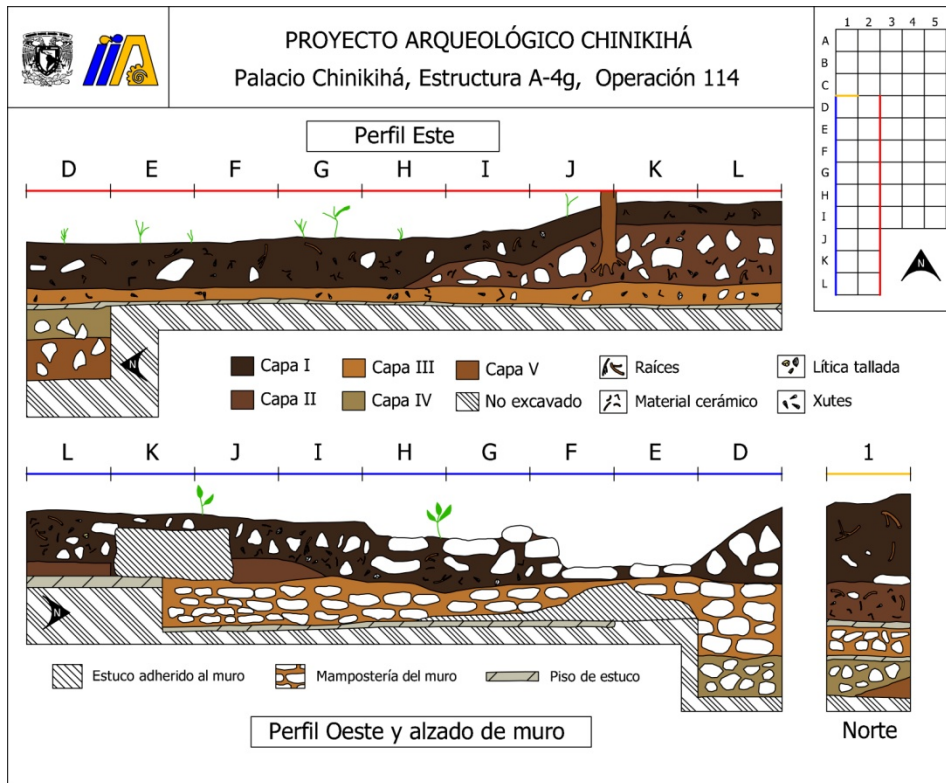


Figura 5.12 Corte Sur-Norte, temporada 2008, Operación 114



Figura 5.13 Mismo Corte Sur-Norte y Norte Sur. Temporada 2008, Operación 114

Materiales Arqueológicos

Cerámica

La operación 114 es un contexto sumamente rico en cuanto a restos cerámicos en tres temporadas de campo recolectamos y analizamos alrededor de 72,000 tiestos (700 kg) distribuidos en 22 categorías de pastas y 14 categorías

formales (Cajete, Cazuela, Cuenco, Incensario, Olla, Plato, Vaso, Platón, Sahumador, Tambor, Tapa, Tecomate, Figurilla, Miscelanea), Ver, Anexo 1, este informe.



Figura 5.14 Operación 114. Distribución cerámica 20-40 cms de profundidad

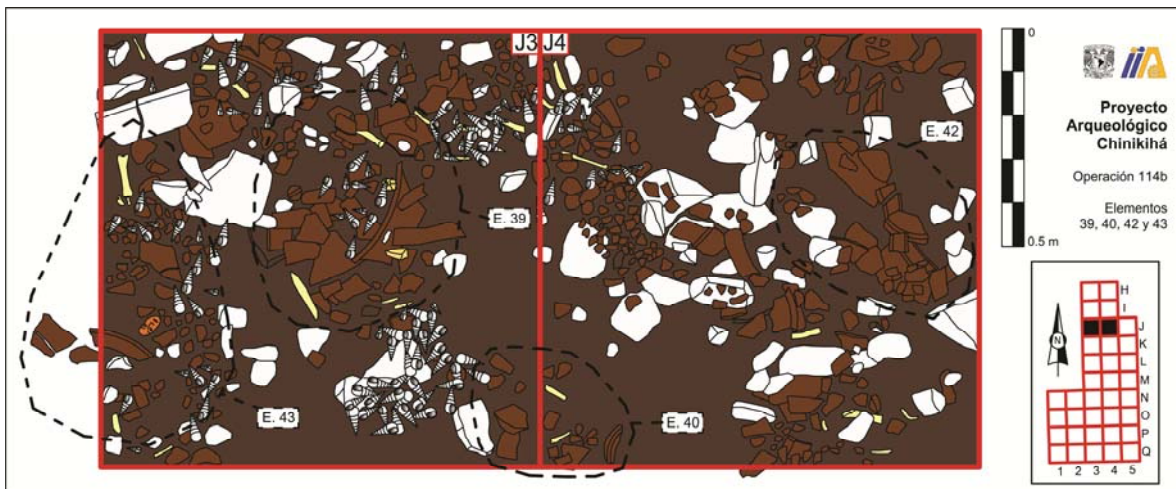


Figura 5.15 Esquema mostrando distribución cerámica Op. 114.

Muchos de los fragmentos cerámicos corresponden a piezas semi-completas que fueron depositadas con cierto cuidado en sucesivas capas. Durante nuestro análisis de gabinete logramos rastrear muchos de los fragmentos que corresponden a piezas completas o semi-completas que representan diferentes formas, principalmente, platos, ollas, cajetes y cazuelas.



Figura 5.16 Elemento 36 en el momento de su excavación

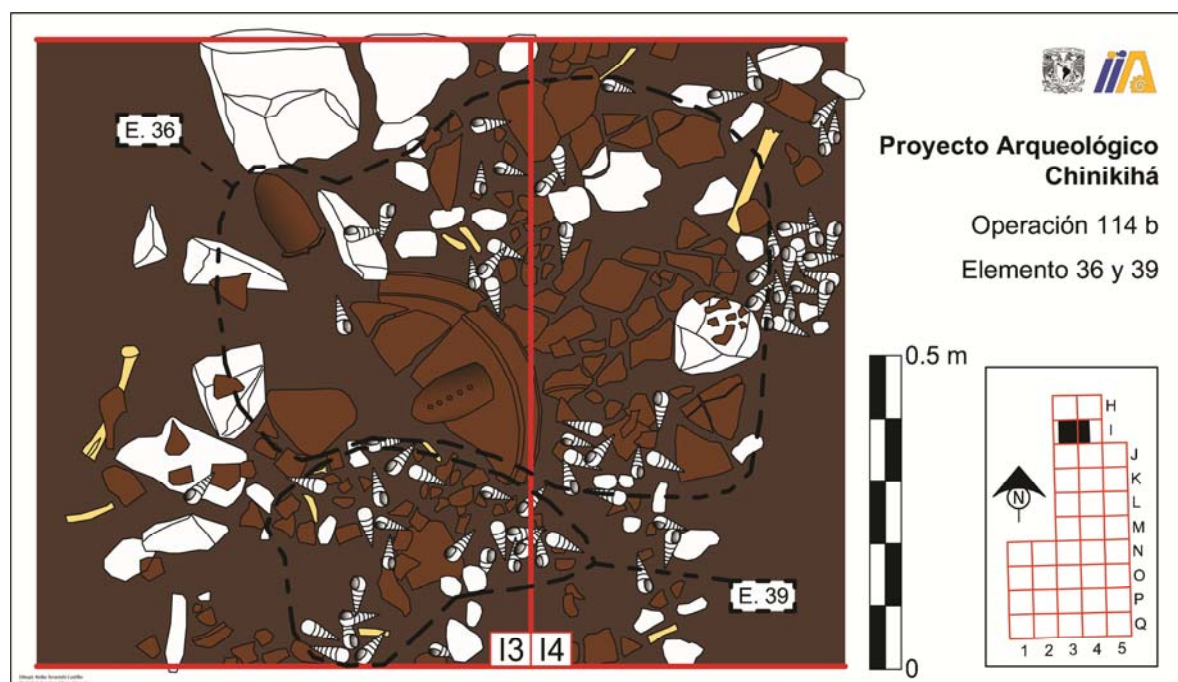


Figura 5.17 Esquema del Elemento 36 y su reconstrucción.

Figurillas: Durante las tres temporadas de campo 2008-2010, encontramos una gran cantidad de figurillas en las tres áreas que componen a la operación 114. Del total de figurillas completas tenemos un informe parcial en donde

analizamos 174 fragmentos de figurillas (Ver Anexo 4, en este Informe), el resto de figurillas aún están siendo analizadas y tendremos un informe completo en breve.

Restos Paleobotánicos: (ver Capítulo 7 de este Informe). Los resultados de la prospección geofísica realizada durante la temporada 2008 de nuestro proyecto identificamos la presencia de una matriz rica en elementos orgánicos. A partir de este descubrimiento un protocolo para la recuperación de restos paleobotánicos enfocado a la recolección de polen, macrorestos y fitolitos que junto con el análisis químico del contenido de las vasijas, nos pudiera dar una idea acerca del contenido de las vasijas encontradas.

Restos Paleozoológicos: (Ver Capítulo 11 de este Informe). El análisis efectuado hasta el momento se refiere al 30% del material y ha sido analizado únicamente hasta el nivel de especie, describiendo segmento del cuerpo y lateralidad. A futuro, el estudio integral de los materiales pretende enfocarse en el nivel de aprovechamiento de las distintas especies presentes en los contextos (a través de los patrones de fracturas y fragmentación de los restos óseos); por lo que algunos elementos del estudio arqueozoológico como el sexo, edad y patologías se trataran en un trabajo posterior.

Especie	nisp	% nisp	nisp con marcas de corte	%
Mamífero indeterminado	13	0.61	0	0.00
<i>Dasyus novemcinctus</i>	1	0.05	0	0.00
Carnívora	1	0.05	0	0.00
<i>Canis sp.</i>	1	0.05	0	0.00
<i>Canis familiaris</i>	24	1.13	0	0.00
<i>Urocyon cinereoargenteus</i>	1	0.05	0	0.00
<i>Procyon lotor</i>	1	0.05	0	0.00
Felidae	1	0.05	0	0.00
<i>Panthera onca</i>	1	0.05	0	0.00
Cervidae	78	3.69	0	0.00
<i>Odocoileus virginianus</i>	1 105	52.25	387	83.95
<i>Mazama americana</i>	1	0.05	0	0.00
<i>Tajassu tajacu</i>	2	0.09	2	0.43
<i>Dasiprocta punctata</i>	2	0.09	0	0.00
<i>Sylvilagus sp.</i>	1	0.05	0	0.00
<i>Sylvilagus floridanus</i>	3	0.14	0	0.00
<i>Sylvilagus brasiliensis</i>	4	0.19	0	0.00
Mamífero mediano/grande	873	41.28	70	15.18
<i>Kinosternon sp.</i>	1	0.05	1	0.22
<i>Dermatemys mawii</i>	1	0.05	1	0.22
Total	2 115	100.00	461	100.00

Tabla 5.2 Fauna representada en el basurero detrás del Palacio proveniente de las excavaciones Temporadas 2006 y 2008 (modificado de Montero 2008).

Finalmente, es importante señalar la gran presencia de caracol de río, *Xute (Pachychilus sp.)* en grandes cantidades asociados a restos de fauna, dentro y alrededor de platos y ollas semicompletas. En total recolectamos 66.47 Kg.

Interpretación del Contexto:

La operación 114 corresponde a un gran depósito que contiene restos de alimentos, restos botánicos y una gran cantidad de especies animales en donde el venado es el animal con mayor representación. Este depósito se encontró cubriendo una plataforma pequeña en su lado oeste, junto a la pared posterior del último cuerpo del Palacio. Parte del depósito cubría también el extremo norte de la plataforma. Sobre los restos de comida, cerámica, figurillas, incensarios y tambores se aplicó una capa de estuco sellando el contexto.

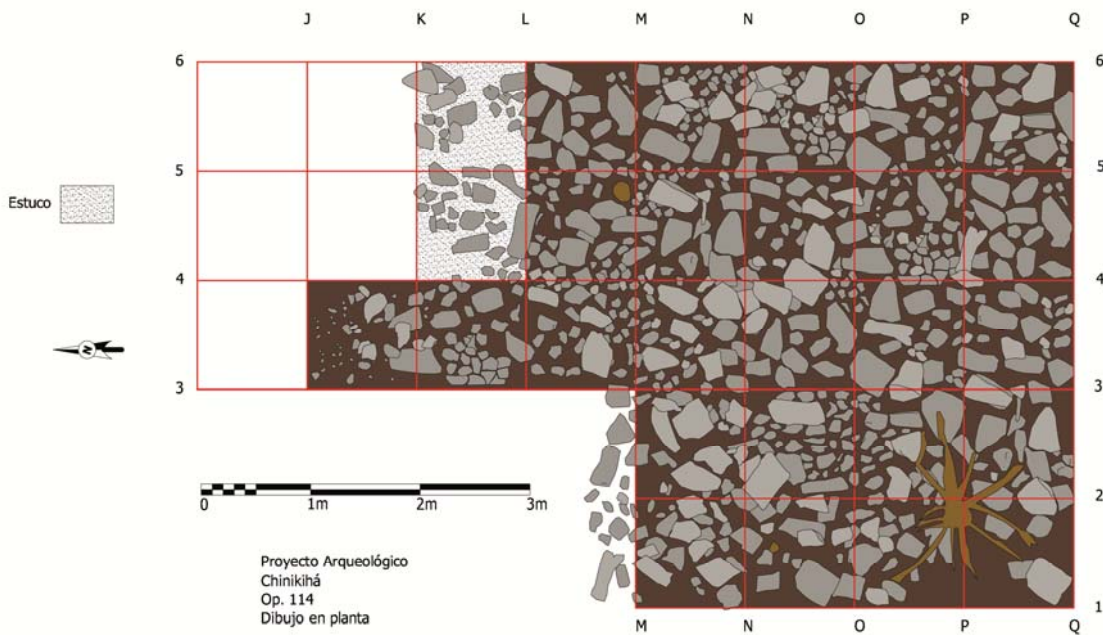


Figura 5.18 Plataforma y recubrimiento de estuco.

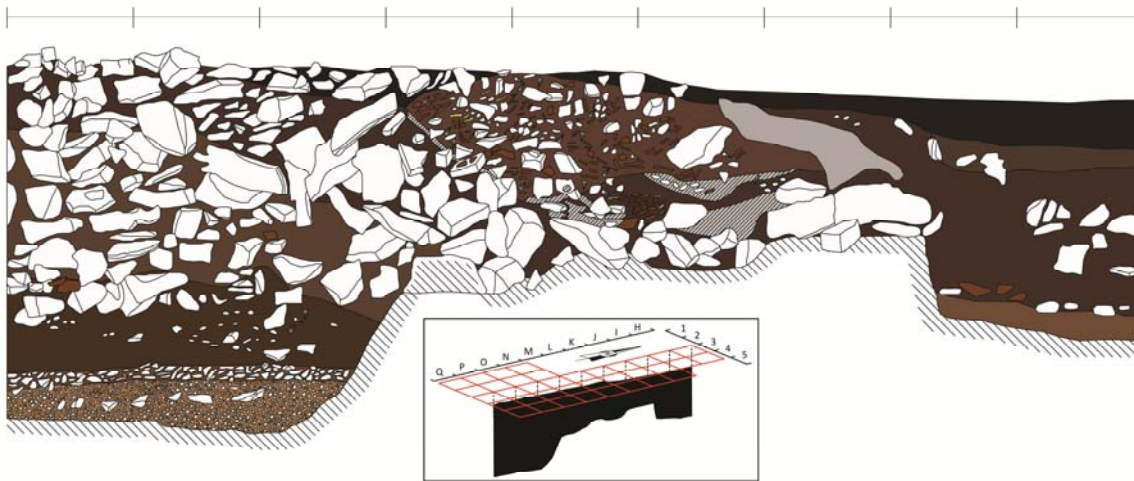


Figura 5.19 Corte de la plataforma mostrando piso de estuco y depósito.

La plataforma construida con materiales burdos descansaba sobre un piso de estuco que cubría la totalidad de la superficie disponible detrás del Palacio. Este piso corresponde a una etapa anterior a la construcción de la plataforma y la formación del depósito y probablemente corresponda a una etapa de ocupación más temprana del Palacio. Sabemos por el material cerámico asociado a este piso que éste fue usado durante el período Clásico Temprano (450-600 A.de C.). Como puede apreciarse en el Anexo 2 de este Informe, la cerámica encontrada en este depósito corresponde en su totalidad al período Clásico Tardío (700-830) mostrando notables similitudes con el material cerámico Murciélagos Balunté presente en Palenque. Chinikihá comparte con Palenque durante este período un 98% de las formas y pastas presentes. Este contexto, independientemente de su interpretación (restos de un banquete, depósito ritual, o basurero) nos permite establecer con certeza un momento importante en la evolución histórica de Chinikihá. Este contexto indica, sin duda, un momento de fuerte influencia de Palenque en el sitio.

Los resultados de los estudios geomorfológicos aplicados a este contexto nos indican, además, que el depósito corresponde a un solo momento de depositación y no a una serie de eventos sucesivos resultado del depósito recurrente de basura. Pensamos que este evento de gran magnitud estuvo asociado a la adaptación y construcción de nuevos espacios arquitectónicos de El palacio en este momento.

Tenemos cuatro fechas que nos indican el posible momento en el que este depósito fue llevado a cabo. Obtuvimos una muestra de material orgánico bajo el piso de estuco existente bajo la plataforma. La fecha obtenida por AMS es Cal BP 1920 to 1810 o bien Cal AD 30 to 140, con una calibración de dos Sigmas, lo que ubica, pensamos de manera lógica el momento de construcción del piso de estuco que formaba el patio posterior del Palacio en su primer momento constructivo.

Las otras dos fechas corresponden a dos fechas de radiocarbón obtenidas de huesos de dos venados que formaban parte del depósito enviadas al Arizona AMS Facility de la Universidad de Arizona. Una de ellas nos indican una fecha de 1,192 B.P +-53 Dos Sigmas, es decir 850+-72 d.de C. La segunda, 1269+-44, es decir 743+-54 d. de C. Independientemente a las fechas anteriormente señaladas, un fragmento de plato

excavado en la temporada 2008 de nuestro proyecto lleva una inscripción con fecha probable de 752 d. de C. Todas estas fechas concuerdan muy bien con el tipo cerámico predominante en nuestro depósito, fase Murciélagos-Balunté (730-830 d. de C.).

Al finalizar las tres temporadas los contextos excavados fueron rellenados cubriendo la totalidad de la superficie liberada.

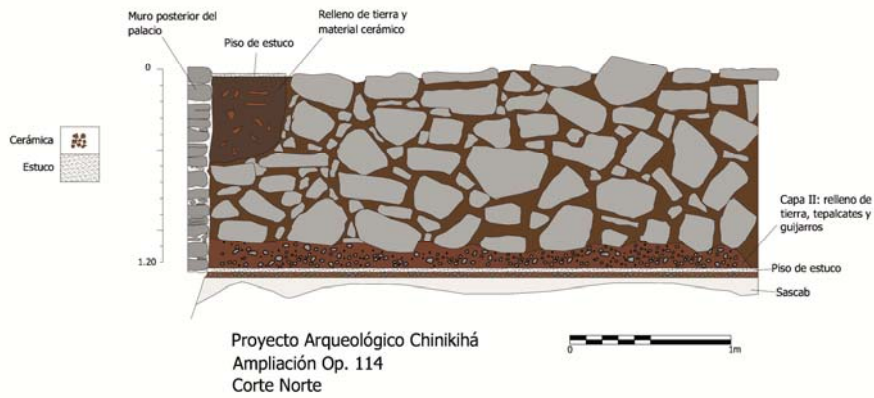


Figura 5.20. Corte Op.114c

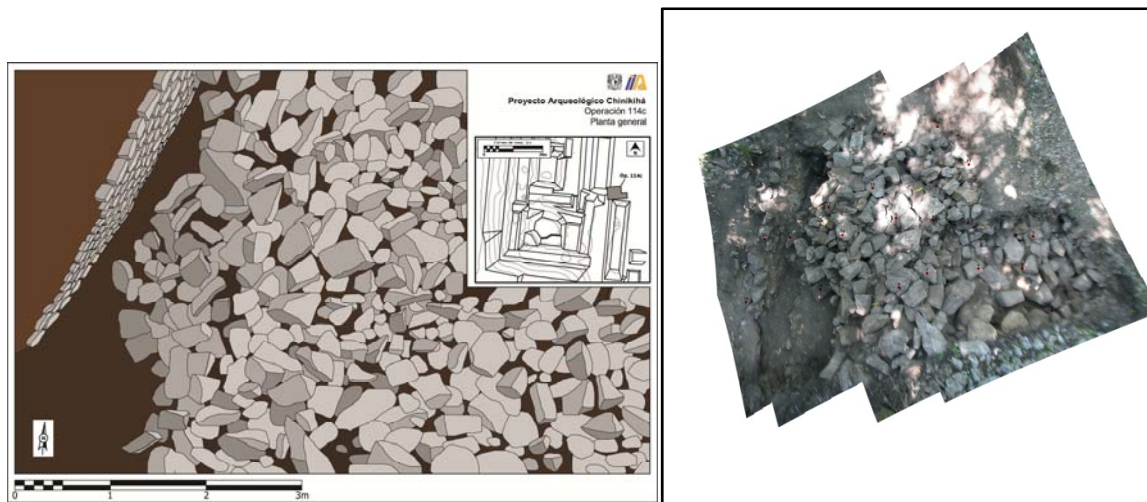


Figura 5.21 Planta Op. 114c



Figura 5.22 Rellenado final de la Op. 114c

6. LAS SEPULTURAS

Luis Núñez Enríquez

Durante la Temporada 2011 se recuperaron 16 sepulturas en diferentes áreas de Chinikihá. Las que sumadas a las de las excavaciones anteriores suman un total de 30 entierros. Las sepulturas recuperadas ésta temporada provienen de siete conjuntos distintos. Tres de éstos, el F 3-6, el F 18-21 y el C 9-11, fueron excavados extensivamente. Mientras que el resto de los otros entierros se encontraron en pozos de sondeo, excavados en distintos conjuntos doméstico.

El Conjunto F 3-6 es donde se habían excavado la mayoría de las sepulturas durante las temporadas previas. Éste año se excavaron dos operaciones más, una en la parte este del patio central y la otra en un patio lateral, al norte del conjunto (operaciones 143 y 144, ver en este informe capítulo 3). Se encontraron dos entierros más y se completo la excavación de otro que había quedado pendiente de la primera temporada. En total, después de tres temporadas, se han excavado 16 sepulturas en ésta casa de Chinikihá. Doce de ellas en el patio central y el resto en un patio lateral al norte del conjunto.

Se excavó durante las tres temporadas el 30% del patio central. Con las excavaciones se intentaron seguir los ejes cardinales de acuerdo a la orientación del conjunto, de 27° al este. Las sepulturas se encontraron a los cuatro rumbos y al centro. En las partes no excavadas es seguro que hay más sepulturas, pues se encontró evidencia de otras cistas en los perfiles de varias de las operaciones. Sería importante en el futuro intentar una recuperación total de sepulturas, para saber entre otras cosas que tantas podría haber y cuanta más variedad podemos encontrar en un solo lugar.

En esta temporada se excavaron extensivamente otros dos conjuntos domésticos. Ambos del tipo con patio al centro. Uno fue el Conjunto F 18-21, (Op 163) también de cuatro estructuras en torno a un patio, del cual se excavó una cala de 7.00 x 2.00 m sobre el eje norte-sur, iniciando al pie de la Estructura F-18. En este conjunto se recuperaron cuatro sepulturas.

El otro conjunto excavado extensivamente (Op 167) es C 5 a, b, c, d, compuesto por tres estructuras con el patio al centro. Mediante varias calas, se excavaron los ejes centrales del patio y de dos estructuras. Se identificaron cinco entierros en la parte centro oriente del patio, de los cuales sólo se excavaron dos. Uno de los entierros que no se excavó se encontraba debajo de una pequeña estructura cuadrada construida en el centro del patio, como un altar. Hubo dos cistas más a unos 3 m al suroeste de esta estructura pero no fueron excavadas. Se observaron las lajas que cubrían a las cistas.

El resto de los entierros se encontraron en los pozos de sondeo que se fueron excavando en diferentes conjuntos domésticos distribuidos por el asentamiento. En uno de los patios de I 23-27, un conjunto de élite construido sobre una plataforma basal, se encontraron dos sepulturas, una de ellas fue excavada en su totalidad y la otra parcialmente. En el J 21-24, un conjunto compuesto ubicado sobre un cerro al sur de la ciudad, tuvo también una cista en un pasillo entre dos estructuras. El A 21-24 tuvo un entierro, es un conjunto alineado de plataformas

construido sobre la ladera oeste del cerro sobre el que se construyeron el palacio y dos templos, por lo que se asume que había una cercanía entre sus habitantes. Y la plataforma basal de D-4 que se encuentra en un área de estructuras dispersas, con dos sepulturas.

A continuación se presenta la información sobre las características de enterramiento de cada una de las 16 sepulturas recuperadas. La información sobre las características biológicas de cada esqueleto no ha sido incluida en el presente informe ya que éstos están actualmente en la etapa de análisis. No obstante, se presentan algunos datos sobre sexo y edad reconocidos en campo. Sin embargo, esta información podrá variar en el momento que se tengan los resultados del análisis.

Sepultura 8

Conjunto F 3-6. Operación 111/144. Temporada 2008/2011.

Hacia el final de la Temporada 2008 se encontró, durante la ampliación de la Op. 111, lo que en un principio supusimos era una concentración de huesos desarticulados junto con una vasija. La excavación se pospuso para otra temporada. En la Temporada 2011 se procedió a terminar con la excavación, pero nos dimos cuenta que la parte excavada con anterioridad era la parte norte de una cista común y que los segmentos óseos que habíamos retirado eran huesos secundarios de un contexto mortuorio mixto.

- Localización:** Patio lateral al norte del conjunto
- Patio norte, a espaldas de la Estructura F 6 hacia el lado este. A unos 50 cm. hacia el oeste de las sepulturas 3 y 5.
- Tipo de sepultura:** Cista común.
- Consiste de piedras de diferentes formas y tamaños, alineadas alrededor del esqueleto y con una forma elíptica. Muy similar a la cista de la Sepultura 6. Las dimensiones del continente fueron de 2.20 x 0.80 m. Las lajas se presentaron a 43 cm. de profundidad y la parte más profunda se registro a 76 cm. Las lajas que la cubrían, muy toscas y de gran tamaño, se encontraban bien acomodadas en la mitad norte, pero se notan amontonadas sobre la parte sur de la cista.
- Tipo de depósito:** Mixto
- Acomodo:** Como en los otros ejemplos de sepulturas mixtas se trata de un individuo primario y en posición de decúbito dorsal extendió, orientado al sur, al que le fueron colocados sobre la cadera y las extremidades inferiores restos óseos desarticulados de por lo menos otros dos individuos. Dos cráneos, presumiblemente correspondientes al resto de los huesos secundarios, fueron colocados cerca del área de los pies del A.
- Análisis restos:** **A: Sexo:** Masculino **Edad:** Adulto
- Aun no se ha realizado el análisis óseo de los esqueletos presentes en esta sepultura. Se sabe el sexo del A, por la observación del ángulo de la escotadura ciática en campo. Pero el número mínimo de individuos y su composición biológica nos son aun desconocidos.
- Objetos asociados** Dos vasijas y tres cuentas de piedra verde.
- Las vasijas se encontraban a los pies del individuo A, junto a los cráneos secundarios, en ambos lados. Las cuentas aparecieron a la altura de la mandíbula y los vértebras cervicales del A. Funcionando posiblemente como colgijes.
- Marcador:** Presente

En lo que sería el nivel del patio de la última etapa constructiva, sobresalía un alineamiento de grandes lajas que enmarcaba esta área de enterramiento con por lo menos dos sepulturas (8 y 22).

Observación: Gotas de una sustancia negra sobre las piedras de la parte sur de la cista.



Fig. 6. 1 Sección de S-8 excavada durante la temporada 2008



Fig. 6. 2 Mancha de sustancia negra sobre piedra delimitadora, parte sureste de la cista



Fig. 6. 3. Vista general de la Sepultura 8, el textil que se observa en el lado izquierdo indica la parte intervenida durante 2008.

Sepultura 16

Conjunto F 18-21. Operación 163.

Localización: Patio central.

En la parte central del patio interno del conjunto. Los restos se colocaron debajo de un relleno del último piso de ocupación del patio, dentro de una acumulación de piedras de distintos tamaños y cerca de varios alineamientos de piedras semi-careadas.

Tipo de sepultura: Entre el relleno del piso del patio. Pero puede tratarse de una cista alterada.

Tipo de depósito: Secundario individual (¿Alterada?)

Acomodo: Se trata del depósito directo de un conjunto de huesos distribuidos en un área de 1.30 x 0.80 m. La mayor concentración de huesos apareció en la parte sur del conjunto. Ésta consiste de varios huesos largos, huesos del cráneo y una mandíbula, todos fragmentados por el peso de las piedras que los cubrían. Hacia la parte norte se encontraron varios fragmentos de vértebras, costillas, pelvis y maxilar, así como algunos dientes sueltos. Se encontró también una pequeña concentración de fragmentos de hueso, a unos 0.70 m hacia el oeste de la parte central de la concentración principal. Los restos aparecieron a una profundidad de entre 0.24 y 0.28 m de la superficie.

Análisis restos: **Sexo:** N. D. **Edad:** Adulto

La información biocultural de los restos de ésta sepultura no están disponibles.

Objetos asociados: Ninguno

Marcador: Sin marcador

Observación: Por debajo del relleno se observó que en el área donde se concentraron los huesos se dibujaba una delimitación de piedras, más evidente en la parte norte que podrían corresponder con una cista. Podría tratarse de otra alteración.



Fig. 6. 4 Acumulación secundaria de la Sepultura 16 (sur) y, huella de cista en el relleno del patio (norte).

Sepultura 17

Conjunto F 3-6. Operación 143

Localización: Patio central.

En la parte este del patio, a menos de un metro de la parte sur del basamento de F 5.

Tipo de sepultura: Cista común (Alterada)

La cista tuvo dos tipos diferentes de construcción. En la mitad norte se colocaron piedras para delimitar la sepultura. Los tres muros laterales en esta sección se encontraban desacomodados, lo que pensamos se debe a una alteración y no tenían cubierta de lajas.

En la mitad sur se encontraron dos grandes lajas que cubrían la parte superior del esqueleto (tórax y cráneo). La cobertura en esta parte se sostenía sobre el borde de una fosa, sin ningún revestimiento de piedra. En esta parte, no se encontró evidencia de alteración. Las dimensiones de la sepultura fueron de 2.00 x 0.80 m.

Tipo de depósito: Individual, primario.

Acomodo: El cuerpo se colocó en posición de decúbito dorsal extendido y orientado con el cráneo hacia el sur.

Análisis restos: **Sexo:** Masculino **Edad:** Adulto

La información biocultural de los restos de ésta sepultura no están disponibles.

Objetos asociados: Una vasija

Se encontró un cajete que estaba volcado sobre su boca en la parte norte de la sepultura. Parece que originalmente fue colocado junto a los pies del individuo. Es posible que la vasija se volcara cuando sucedió la alteración de la sepultura.

Marcador: Posible

Hay una piedra grande que sobresale del nivel del piso del patio que indicaría el área de la cabeza del individuo. Pero está ubicada a unos 0.40 m del límite sur de la cista. La razón por la que su asociación es dudosa es porque los marcadores suelen estar justo donde termina la sepultura en alguno de sus extremos norte o sur, o en ambos.

Observación: Como se ha mencionado para otras sepulturas, la principal evidencia de alteración es el desacomodo de las piedras que delimitan el esqueleto. Los huesos de la pelvis y de las extremidades inferiores se encontraron en malas condiciones de preservación, pero se observó que estaban desplazados de su posición anatómica, en especial los huesos de los pies. Además, los fémures y las tibias, que se encontraban de la parte más afectada por la

alteración, estaban rotos. La posición en que se encontró la vasija es otro rasgo que indica la alteración. La característica más particular de esta sepultura es la diferencia constructiva entre sus mitades.



Fig. 6. 5 Sepultura 17 (parte baja de la foto), mostrando parte cubierta al sur y alterada al norte.

Sepultura 18

Conjunto D-4. Operación 161.

Localización: Patio central

Se encontró un la parte inferior de un esqueleto, que fue colocado sobre el piso de un nivel anterior del patio y cubierto con el relleno de la ampliación de la última etapa. El conjunto arquitectónico del que procede no parece doméstico.

Tipo de sepultura: Sobre piso del patio y cubierto por relleno. Sin ningún tipo de preparación de un continente.

Tipo de depósito: Individual, primario, retiro de elementos óseos.

Acomodo: Se encontraron los restos incompletos de un esqueleto colocado en decúbito dorsal extendido y con una orientación del esqueleto axial de norte a sur. Aparentemente se trató de un depósito primario, que fue reingresado en épocas posteriores para retira el segmento superior (tórax, brazos y cráneo).

Análisis restos: **Sexo:** N. D. **Edad:** Adulto

La información biocultural de los restos de ésta sepultura no están disponibles.

Objetos asociados: El esqueleto se encontró cubierto por fragmentos de cerámica grandes, también tenía cerca de los pies una cabeza de figurilla y, algunos huesos de fauna.

Marcador: Sin marcador

Observación: Este entierro fue colocad en el patio interno de un conjunto con una función distinta a la doméstica. La evidencia del reingreso para retirar elementos óseos se infiere por los fragmentos de cráneo encontrados en la parte que le correspondía por relación anatómica.



Fig. 6. 6 Vista general de la Sepultura 18.



Fig. 6. 7 Detalle donde se observan los tepalcates y otros objetos sobre los restos óseos.

Sepultura 19

Conjunto F 18-21. Operación 163.

Localización: Patio central

Ubicada en la parte centro norte del patio. Debajo de un relleno de piedras que es parte de la segunda fase constructiva del patio. S-19 parece estar en el nivel del anterior piso del patio.

Asociados a la sepultura se encuentran dos muros que corren hacia el este desde ambos extremos (norte y sur) de la cista. Es una sola hilada de piedras semi-cuadradas. Que se encuentran sobre el nivel del piso de la primera etapa del patio.

Tipo de sepultura: Cista Común

Tiene una forma elipsoidal. Los muros laterales se hicieron con piedras semi careadas, pero el límite al sur del continente no estaba revestido con piedras. Las dimensiones de la sepultura fueron 1.80 x 0.50 m.

La cista estaba cubierta con una gran laja sobre la mitad sur, cubriendo la parte del tórax. Esta tapa estaba quebrada en varios pedazos grandes y daba la impresión de haberse fracturado por el peso del relleno de piedras que tenía encima. Sobre el área del cráneo había cubriéndola dos piedras grandes y alargadas.

El área de la pelvis y de las extremidades inferiores estaba descubierta. En esta parte de la sepultura había una vasija intacta, descansando sobre las piernas del esqueleto. Pero por debajo de éste depósito había restos de otro individuo, del que pensamos era el ocupante original.

Tipo de depósito: Colectivo, con un esqueleto primario completo y otro incompleto.

Acomodo: El individuo A se colocó en la cista extendido sobre la espalda y con el cráneo orientado al sur.

El Individuo B, se encontró por debajo del anterior. Es un esqueleto incompleto pero los restos muestran que también estuvo extendido sobre su espalda y orientado al sur. Fragmentados e incompletos se encontraron restos de un cráneo, un húmero izquierdo, restos de costillas y un peroné.

Análisis restos: A) **Sexo:** M **Edad:** Adulto

B) **Sexo:** N. D. **Edad:** Adulto

La información biocultural de los restos de ésta sepultura no están disponibles.

Objetos asociados: Una vasija

Se trata de un beaker que fue colocado sobre la parte distal de las tibias (los tobillos) del individuo A.

Marcador: No

Observación: La sepultura fue construida durante la primera etapa constructiva del patio. El Individuo B, fue posiblemente el ocupante original. La alteración de la sepultura pudo suceder durante la segunda etapa del patio, cuando éste ya estaba en función. Se observa en el relleno de ésta etapa un hoyo rectangular por el que pudieron hacer el reingreso. En ese acto habrían retirado varios huesos de individuo B, en especial huesos largos, fragmentos de cráneo y la pelvis y colocaron al Individuo A por encima de los restos que dejaron.



Fig. 6. 8 Huella de la excavación para acceder a S-19 desde el piso superior del patio.



Fig. 6. 9. Cubierta parcial de la Sepultura 8.



Fig. 6. 10 Vista general de la Sepultura 8.



Fig. 6. 11 Restos parciales del Individuo B. Fragmentos de cráneo y huesos del tórax y de los brazos. Parte sur de la cista.

Sepultura 20

Estructura H-4. Operación 153.

Localización: Dentro de la plataforma

Se encontró, junto con S-25, dentro de la parte norte de una plataforma de nivelación sobre la ladera de un cerro. A nivel de la superficie no se observa ningún elemento arquitectónico, por lo que la función de este espacio es incierta.

Durante la excavación se encontró, en un nivel por encima de las sepulturas, un alineamiento de piedras grandes y cuadradas. El cual desplantaba sobre un relleno de piedras pequeñas que cubre las sepulturas, de unos 0.20 m de altura. El alineamiento corría de este a oeste y, se parece a otros alineamientos asociados a las sepulturas de otros conjuntos.

Tipo de sepultura: Cista Común

Los muros que delimitan el entierro fueron construidos con bloques cuadrados de piedra. Acomodados en posición vertical. La cubierta consistió de bloques rústicos de piedra. Esta es una de las cistas elaborada con piedras de mejor calidad y mejor acomodadas que hemos encontrado en Chinikihá. Sus dimensiones fueron 1.70 x 0.50 m.

Tipo de depósito: Individual, primario

Acomodo: Es un esqueleto colocado en decúbito dorsal extendido. Con el cráneo orientado hacia el sur. La parte del tórax se encontró fuera de su posición anatómica, pero esto se debió a una de las piedras que delimita el esqueleto, que se desprendió de la pared y desplazó los huesos.

Análisis restos: **Sexo:** M **Edad:** Adulto

La información biocultural de los restos de ésta sepultura no está disponible.

Objetos asociados: Ninguno

Se encontraron algunas conchas pero en el nivel del sedimento, no sobre el esqueleto.

Marcador: Posible

Bajo alineamiento de piedras grandes que desplantaba sobre el nivel del relleno que cubría las sepulturas.

Observación: No hay evidencia de reapertura para esta sepultura.



Fig. 6. 12 Cubierta de la Sepultura 20, S-25 junto al lado izquierdo.



Fig. 6. 13 Detalle de las piedras delimitadoras de la cista.



Fig. 6. 14 Vista general de la Sepultura 20.

Sepultura 21

Conjunto F 18-21. Operación 163.

Localización: Patio interno.

Esta sepultura fue excavada en la mitad sur del patio interno. La cista limita al sur con la Estructura F-19 y la parte norte termina en la parte central del patio. El eje de la sepultura tiene una desviación de $-^{\circ}$ hacia el este.

Tipo de sepultura: Cista Alargada

La cista consta de un alineamiento de piedras de forma elipsoidal con una cubierta de lajas, menos en la parte central donde tenía tres piedras planas de gran tamaño y anchura, que sobresalieron del nivel del piso del patio de la primera etapa del conjunto. Las dimensiones de S-21 fueron inusuales, no sólo para el sitio sino para la región en general. Mide de largo $-.—$ x $0.--$ m.de ancho.

Tipo de depósito: Mixto

Acomodo: El contenido de la sepultura fue de tres individuos primarios, colocados extendidos y sobre su espalda y orientados al sur. El primero que se encontró estaba en la parte sur (A), el segundo en la norte (B) y el tercero (C), por debajo del A, con su cráneo unos 0.50 m. más al sur. Además había huesos desarticulados por toda la sepultura.

Análisis restos: Todos los restos observables correspondieron con adultos.

La información biocultural de los restos de ésta sepultura no están disponibles.

Objetos asociados: Una vasija

Colocada a los pies del A y cerca del cráneo B, estaba recostada sobre uno de sus costados. Pertenece a la fase Balunté del Clásico tardío.

Marcador: Presente

En la superficie del último nivel del patio se encontraron tres piedras grandes y cuadradas, marcando lo que sería el área central de la sepultura. Esta parte central, que consta de tres piedras grandes y alargadas que forman parte de la cobertura, también sobresalió del nivel inferior del patio. La sepultura, durante la primera época fue cubierta con dos acumulaciones de piedras en ambos extremos de las piedras centrales. En la acumulación norte apareció la Sepultura 24. Estos tres conjuntos de piedras sobresalieron de la superficie del nivel inferior del patio.

Observación

Esta sepultura mostró haber tenido varios reingresos a lo largo de las dos etapas de ocupación del conjunto.



Fig. 6. 15 Vasiya asociada a la Sepultura 21, parte central de la cista.



Fig. 6. 16 Restos óseos encontrados en la parte norte de la Sepultura 21.



Fig. 6. 17 Vista general de la Sepultura 21, con parte central y sur aun cubiertas por lajas.



Fig. 6. 18 Cubierta de lajas del sector sur de la sepultura.



Fig. 6. 19 Vista general de la cista de la Sepultura 21

Sepultura 22

Conjunto F 3-6. Operación 144.

- Localización:** Patio lateral, al norte del conjunto.
- Patio norte, a espaldas de la Estructura F 6 hacia el lado este. A unos 50 cm. hacia el oeste de S-8. En el centro sur del marco de piedras.
- Tipo de sepultura:** Cista Infantil
- Consistió de un perímetro de piedras acomodadas, con una forma rectangular. Cubierto por una, o tal vez dos lajas. Esta sepultura fue parcialmente destruida durante la excavación. La parte sur fue la que sobrevivió intacta y muestra características muy parecidas a S-11.
- Tipo de depósito:** Individual, primario.
- Acomodo:** Se colocó el cuerpo dentro de un pequeño rectángulo de piedras. La posición de los restos era en decúbito dorsal extendido y orientado con el cráneo hacia el sur.
- Análisis restos:** **Sexo:** N. D. **Edad:** Infantil
- La información biocultural de los restos de ésta sepultura no está disponible.
- Objetos asociados:** Ninguno
- Marcador:** No
- Observación:** Sepultura colocada dentro del perímetro de piedra, pero parece posterior al depósito de S-8. Recuerda relación entre S-11 y S-12, una cista con depósito mixto que yacía medio metro al oeste de otra cista infantil con características muy similares a S-22 (Informe 2010).



Fig. 6. 20 Cubierta parte sur de la Sepultura 22.



Fig. 6. 21 Restos del esqueleto infantil de la Sepultura 22.

Sepultura 23

Conjunto A 21-24. Operación 157.

Localización: Patio lateral

A espaldas de la Estructura A-24, en la parte norte. Está estructura es la última del conjunto en sentido oeste-este. En una especie de patio/pasillo que separa el edificio de la ladera del cerro.

Tipo de sepultura: Cista común.

Es una cista de forma rectangular, la parte sur de la sepultura fue cavada en la roca madre, la cual sobresalía del nivel del piso de ocupación del patio. Los muros que la delimitan fueron hechos con una hilera de piedras de tamaño mediano y semi-cuadradas, sobre las que descansan las lajas de la cubierta. Al igual que en otros ejemplo dentro del sitio, la sepultura carecía de la cubierta de lajas en la porción central, la cual fue rellena con piedras.

Tipo de depósito: Individual, primario.

Acomodo: El esqueleto se encontró en un avanzado estado de deterioro y los fragmentos de huesos se encontraban desplazados de su posición anatómica. No obstante se identificó una posición en decúbito dorsal extendido, con el cráneo apuntando al sur. Hubo varios huesos faltantes, entre ellos el cráneo y la mandíbula.

Análisis restos: **Sexo:** M **Edad:** Adulto

La información biocultural de los restos de ésta sepultura no están disponibles.

Objetos asociados: Ninguno

Marcador: Presente

Se aprovecho una saliente de la roca madre en la porción sur de la sepultura, la cual fue modificada para albergar la parte de la cabeza del individuo.

Observación: El Conjunto A-21-24 fue construido durante el Clásico tardío. Época para la que se ubica este entierro. La remoción de lajas, el relleno de piedras y el estado incompleto del esqueleto, son evidencia que se toma para proponer un reingreso para remover huesos tiempo después del depósito primario.



Fig. 6. 22 Vista general de la Sepultura 23 aun con la cubierta de lajas, nótese al centro la falta de lajas y la sustitución por piedras.



Fig. 6. 23 Detalles parte sur de la cista, nótese el estado de destrucción de los elementos óseos.

Sepultura 24

Conjunto F 18-21. Operación 163.

Localización: Patio central.

En la parte central del patio, colocado encima de las lajas que cubrían a S-21 en el extremo norte de ésta.

Tipo de sepultura: Montículo de piedra sobre cubierta de una cista.

Acumulación en forma trapezoidal de piedras de diferentes formas y tamaños, colocadas sobre el esqueleto. Éste descansaba sobre la parte oeste de las lajas que cubrían la parte norte de la cista de S-21, a partir de la tercera gran piedra de las que forman su centro. Mide 0.85 x 0.45 m.

Tipo de depósito: Individual, primario.

Acomodo: Colocado sobre su espalda, encima de la cobertura de S-21. Cráneo orientado al sur. Las piedras con las se cubrió el cuerpo, destruyeron casi en su totalidad el esqueleto.

Análisis restos: **Sexo:** N.D. **Edad:** Infantil

La información biocultural de los restos de ésta sepultura no están disponibles.

Objetos asociados: Ninguno.

Marcador: Posible.

A mismo nivel que marcador de S-21, y la otra acumulación de piedras al sur. Pero no queda muy claro el momento en que se colocó a S-24.

Observación: Clara asociación entre esta sepultura y la S-21. La 24 fue colocada tiempo después de la construcción de la 21. Con este entierro pudieron haber clausurado esta parte de la cista. Antes de hacer la ampliación del patio.



Fig. 6. 24 Sepultura 24. Acumulación de piedras sobre lajas y junto marcador de la Sepultura 21.



Fig. 6. 25 Restos del esqueleto infantil de la Sepultura 24.

Sepultura 25

Estructura H-4. Operación 154.

Localización: Dentro de la plataforma

Se encontró, junto con S-20, dentro de la parte norte de una plataforma de nivelación sobre la ladera de un cerro. A nivel de la superficie no se observa ningún elemento arquitectónico, por lo que la función de este espacio es incierta. Esta sepultura estaba del lado oeste de S-20

El alineamiento de piedras mencionado anteriormente también pasa por arriba de esta sepultura.

Tipo de sepultura: Cista Común.

Alineamiento elipsoidal de piedras en torno al esqueleto, sobre las que descansaban las lajas de la cobertura. La elaboración de esta cista es parecida a las demás que hemos encontrado en Chinikihá. Sus dimensiones fueron de 1.80 x 0.60 m.

Tipo de depósito: Colectivo, mixto.

Acomodo: Como en las otras sepulturas con depósitos de tipo mixto, se trata de un individuo -el A- colocado en decúbito dorsal extendido y con el cráneo orientado al sur. Los restos secundarios del B se colocaron sobre las extremidades inferiores del primario.

Análisis restos: A) **Sexo:** N. D. **Edad:** Adulto

B) **Sexo:** N. D. **Edad:** Adulto

La información biocultural de los restos de ésta sepultura no están disponibles.

Objetos asociados: Ninguno.

Marcador: Posible.

Bajo alineamiento de piedras grandes que desplantaba sobre el nivel del relleno que cubría las sepulturas.

Observación: No hay evidencia de reapertura.



Fig. 6. 26 Cubierta de la Sepultura 25.



Fig. 6. 27 Vista general de la Sepultura 25.

Sepultura 26

Conjunto I 23-27. Operación 166.

Localización: Patio lateral, al sur del conjunto.

A espaldas de la Estructura I 2. En un patio lateral entre conjunto principal y plataformas de la ladera del cerro. Este patio es parte del circuito de circulación entre los conjuntos de estructuras cercanos. En el nivel en el que se encontró la sepultura, había asociado también, a unos 0.60 m al este, un muro de una etapa constructiva previa.

Tipo de sepultura: Cista común

Los muros delimitadores de la cista se construyeron con grandes bloques rectangulares de piedra, cubierta con solamente dos lajas en la parte sur, sobre el área de los cráneos. Como rasgo distintivo, esta sepultura tenía en la parte noreste una pequeña ampliación de unos 0.20 m que se parece a lo que llaman nichos en otros sitios. Pero no se encontró nada en su interior. Las dimensiones de la sepultura fueron de 1.60 x 0.80 m.

Tipo de depósito: Colectivo, dos esqueletos primarios uno al lado del otro, un parcialmente desacomodado.

Acomodo: Se encontraron dos individuos, ambos en mal estado de conservación debido principalmente al alto contenido de piedras con que se relleno la sepultura. Había restos de un infante, que se encontraba parte desplazado y parte disperso por la sepultura, sugiriendo que pudiera haber sido el ocupante original de la sepultura y que fue removido, posiblemente para dar cabida a un adulto. Ambos esqueletos estaban en decúbito dorsal extendido y con los cráneos orientados al sur.

Análisis restos: **A: Sexo:** Masculino **Edad:** Adulto

B: Sexo: N. D. **Edad:** Infantil

La información biocultural de los restos de ésta sepultura no están disponibles.

Objetos asociados: Dos cuentas tubulares piedra verde

Se encontraban entre el en el área de la mandíbula del Individuo A.

Marcador: Ausente

Observación: La construcción de la sepultura corresponde a una etapa previa. Se encontraba debajo del piso del patio, el cual estaba limitado al este por un muro, posiblemente de un aposento. Previo a que se colocara el relleno de la ampliación del patio, la tumba fue reabierto y rellena con piedras. Es posible que el individuo B ya estuviera cuando colocaron al A. Pero la sucesión de eventos no es clara.



Fig. 6. 28 Cubierta de la Sepultura 26. Notar parte rellena con piedras.



Fig. 6. 29 Vista general de la Sepultura 26, nótese el “nicho” en la esquina NE.

Sepultura 27

Conjunto C 9-11. Operación 167.

Localización: Patio central

Ubicado a uno 0.60 m al sureste del altar central. Justo al lado izquierdo (oeste) de S-30.

Tipo de sepultura: Acumulación de huesos secundarios junto a una cista.

Tipo de depósito: Individual, secundario.

Acomodo: Se trata de un conjunto de huesos largos, principalmente de las extremidades inferiores, colocados en paralelo al muro delimitador oeste de la cista de S-30. Sobre una piedra grande.

Análisis restos: **Sexo:** N.D. **Edad:** Adulto

La información biocultural de los restos de ésta sepultura no están disponibles.

Objetos asociados: Ninguno.

Marcador: Ninguno.

Observación: Existe la posibilidad de que estos huesos sean parte del esqueleto encontrado en la S-30, al cual le faltaban esos segmentos óseos y mostraba evidencia de alteración.



Fig. 6. 30 Huesos largos secundarios de la Sepultura 27.



Fig. 6. 31 Huesos largos de S-2y cubierta de la Sepultura 30.

Sepultura 28

Conjunto I 23-27. Operación 166.

Localización: Patio lateral al sur del conjunto

A espaldas de la Estructura I-2. En patio lateral entre conjunto principal y plataformas de la ladera del cerro. Este patio es parte del circuito de circulación entre los conjuntos de estructuras cercanos. Esta sepultura se encontró en la parte inferior del entre los dos etapas constructivas del patio. Un nivel arriba que S-26.

Tipo de sepultura: Cista Común

Elaborada con piedras redondeadas que delimitan el esqueleto y con lajas como cobertura. Del mismo estilo característico de las otras cistas de Chinikihá.

Tipo de depósito: Individual, primario.

Acomodo: Se observa un individuo articulado y colocado extendido sobre su espalda y, orientado con el cráneo al sur.

Análisis restos: **Sexo:** N.D. **Edad:** Adulto

No se recuperaron restos de este individuo.

Objetos asociados: Ninguno.

Marcador: Ninguno.

Observación: Fue un hallazgo fortuito que por falta de tiempo se decidió no escavar, pero se registraron las características de enterramiento de la sección de la sepultura expuesta y coinciden con otras sepulturas conocidas.



Fig. 6. 32 Parte norte de la Sepultura 28.

Sepultura 29

Conjunto J 18-21. Operación 170.

Localización: Patio lateral

Se encuentra en un patio ubicado al sureste de las estructuras J 19 y 20. Ubicado en lo alto de la lengua del cerro. La parte sur de la sepultura se encuentra al borde de la pendiente.

Tipo de sepultura: Cista Alargada.

Cista elaborada piedras irregulares y con cobertura de grandes piedras alargadas. Se excavaron aproximadamente 1.80 m. pero se desconoce la longitud total.

Tipo de depósito: Colectivo, mixto.

Acomodo: Los individuos A y B fueron colocados sobre su espalda, extendidos y orientados con el cráneo al sur. Alrededor de éstos se encontraban huesos largos, colocados de manera secundaria.

Análisis restos: **A: Sexo:** N. D. **Edad:** Adulto

B: Sexo: N. D. **Edad:** Adulto

C: Sexo: N. D. **Edad:** Adulto

No se recuperaron restos de estos individuos.

Objetos asociados: una vasija

Colocada por debajo de los fémures de A

Marcador: Ninguno

Observación: No se terminó de excavar en sentido longitudinal. Ignoramos el largo total pero posiblemente se trate de algo similar a la 21. El individuo A fue colocado en el extremo sur. Posteriormente, se colocó el B, desplazando las extremidades inferiores del primero. Se encontraron también en diferentes secciones de la sepultura algunos huesos largos que pueden pertenecer a un tercero o más individuos.



Fig. 6. 33 Cubierta de la Sepultura 29.



Fig. 6. 34 Vista general de la Sepultura 29, note la prolongación hacia el norte.

Sepultura 30

Conjunto C 9-11. Operación --.

Localización: Patio central

A unos 0.80 m al sureste del altar central.

Tipo de sepultura: Cista Común (Alterada).

Esta cista tiene el grado de destrucción más grande producto de una alteración. La parte mejor conservada fue la sur, donde aún permanecían varias piedras de los límites laterales alineadas. La parte norte fue removida por completo.

Tipo de depósito: Individual, primario.

Acomodo: Colocado extendido sobre su espalda, con el cráneo apuntando al sur. El brazo derecho descansaba sobre la pelvis y el izquierdo extendido y paralelo al cuerpo. Los restos se encontraban muy deteriorados, pero completos hasta la parte distal de ambos fémures, área donde ocurre la alteración mayor de la sepultura.

Análisis restos: **Sexo:** M **Edad:** Adulto

La información biocultural de los restos de ésta sepultura no están disponibles.

Objetos asociados: Una vasija

La vasija se encontró a la altura de la cadera pero desplazada hacia el este de la cadera y fuera de la del límite de la cista.

Marcador: Ninguno.

Observación: Construido y alterado durante la última etapa constructiva del patio, está muy cerca del altar central y de las otras dos cistas no excavadas. Estos otros tres entierros se encuentran un nivel por debajo de S-30.



Fig. 6. 35 Vista general de la Sepultura 30. Al norte la parte más alterada.



Fig. 6. 36 Detalle del esqueleto, Sepultura 30.

7. PALEOETNOBOTÁNICA Y PALEOAMBIENTE.

Felipe Trabanino

Posgrado en Antropología, UNAM.

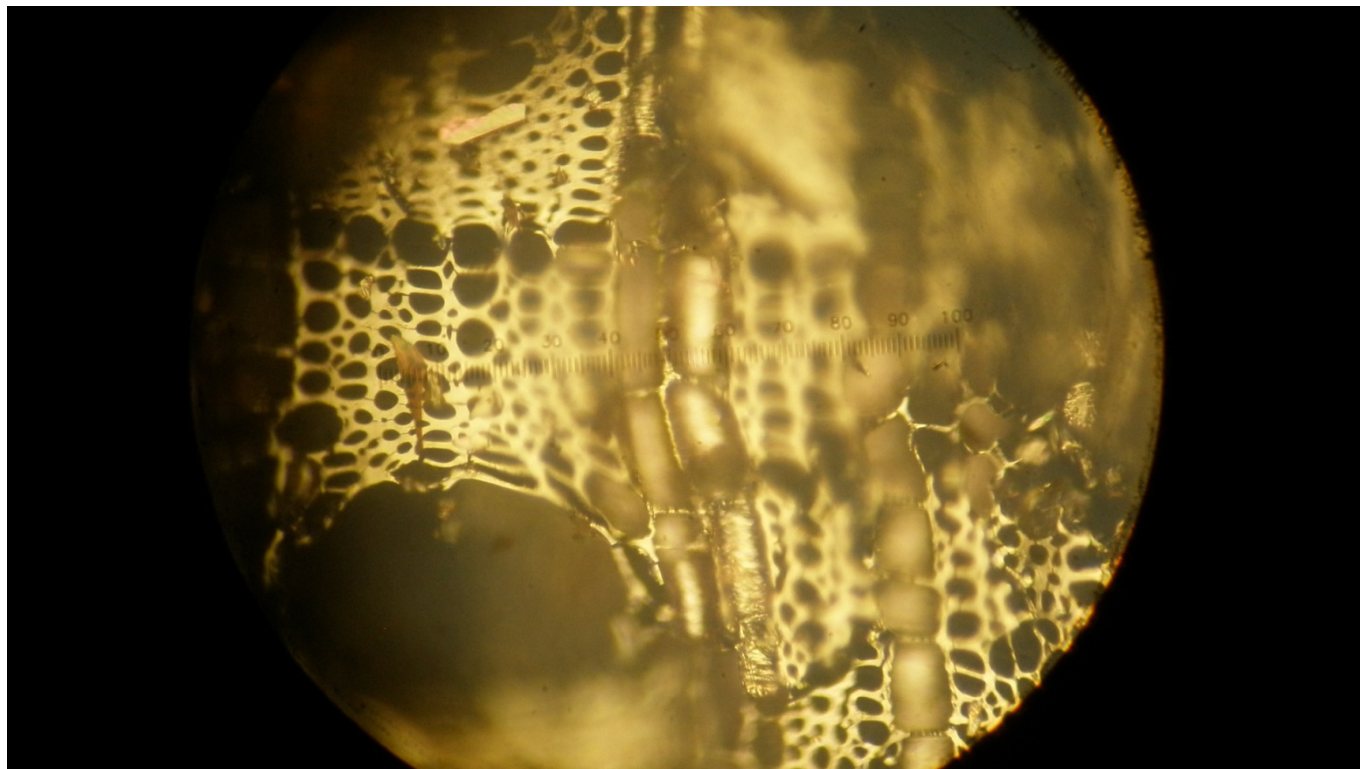


Figura 7.1. Corte transversal de madera carbonizada de Majahua (*Trichospermum mexicanum* TILIACEAE). Colección de referencia de especies actuales de la región de Palenque, Chiapas, México.

Introducción.

Con el fin de evidenciar las interacciones entre las sociedades mayas de Chinikihá y la selva tropical (plantas cultivadas, silvestres y semi-domesticadas) se aplicó un análisis multiproxy (fitolitos, polen, semillas, maderas carbonizadas, y almidones). En el desarrollo de la investigación arqueobotánica se amplió el estudio, incorporando análisis de suelos e inventarios florísticos, así como un estudio etnobotánico sobre el uso y manejo del bosque por una comunidad ch'ol actual.

El estudio de la flora arqueológica visto en relación con el desarrollo de las sociedades del pasado, proporciona tanto a la arqueología como a la biología nuevas fuentes de información que contribuyen a comprender mejor la dinámica del hombre y su ambiente natural (Morcote-Ríos 2008). La recuperación, identificación, análisis, e interpretación de restos vegetales que conforman la arqueobotánica aportan datos de la composición florística en un determinado ecosistema y su relación con las sociedades antiguas (McClung de Tapia 1985, Martínez-Yrizar 2007, Adriano-Morán 2008). Establece cómo los grupos humanos manejaron y explotaron las plantas (Chabal 1997), cuál ha sido el impacto de las acciones antrópicas sobre el mundo vegetal (Roosevelt 2000, Balée 1994) y

qué plantas seleccionaron para sus diversas necesidades, incluidas la alimentación y cómo ésta cambió a través del tiempo (Lentz 2000).

Para las tierras bajas noroccidentales hay pocos estudios arqueobotánicos que den cuenta sobre el manejo y las adaptaciones antiguas al mundo vegetal por parte de las sociedades que vivieron en esta selva lacandona al oeste del Usumacinta. Pocos estudios se han concentrado en el Sur de México y América central (McClung de Tapia 1985). Para el área Maya los estudios anteriores se han centrado sobretodo casi exclusivamente en el Petén (Lentz y Hockaday 2009), Copán (Lentz 1991), Joya de Cerén (Lentz et al. 1996), Belize (Morehart et al. 2005, Wyatt 2008, Mckillop 1994, Miksicek 1983) y en Cobá (Beltrán 1987). Existen muy pocos análisis de polen para la Selva lacandona (Domínguez-Vásquez & Islebe 2008), por lo que el estudio arqueobotánico en Palenque y alrededores es completamente pionero.

Si bien ya se tiene conocimiento sobre el uso de una gran cantidad de plantas útiles en el área maya para el 3400 AC (plantas nativas como introducidas de América del Sur) como para el período Clásico terminal 900 DC (Turner II y Miksicek 1984), no sabemos con precisión: **¿Qué plantas fueron utilizadas en Palenque y sus alrededores?, ¿Utilizaron las especies vegetales que fueron identificadas a partir del sarcófago de Pakal, a saber: *Byrsonima* spp., *Theobroma cacao*, *Persea americana*, *Manilka zapota*, y *Psidium guajaba*?, ¿Qué especies vegetales podemos identificar extrayendo el polen y fitolitos de los sedimentos arqueológicos (depósitos problemáticos, y entierros)?, ¿Qué especies de árboles maderables y frutales podríamos evidenciar al momento de realizar flotaciones y extraer semillas o maderas carbonizadas? Si bien se trata de contextos rituales como ofrendas en entierros y ofrendas rituales que corresponden a festines, desechos de banquetes, pensamos que estas especies siendo de carácter ceremonial pueden inferir prácticas agroforestales y paisajes culturales de donde fueron extraídas. ¿Corresponderían a especies silvestres, cultivadas o semi-domesticadas?, ¿Podríamos sugerir una gestión del combustible en función de las especies encontradas?, ¿Podríamos evidenciar algún tipo de manejo del bosque?**

Estudios recientes en el área maya arrojan resultados interesantes en cuanto a la subsistencia de las sociedades en los bosques tropicales, y emiten nuevas hipótesis en cuanto al manejo del bosque. Para comenzar, los estudios etnobotánicos realizados por Nigh (2008) en las milpas de la selva Lacandona, ofrecen nuevas lecturas de los diagramas polínicos que reconstruyen el paleoclima. En vez de leer deforestación, se propone una lectura: reforestación o regeneración del bosque bajo manejo de acahual. Por otra parte, se está proponiendo nuevas lecturas palinológicas de Copán ruinas (McNei et al. 2010), sugiriendo un manejo del bosque durante el clásico tardío. Así como lo menciona Fedick (2010), Los mayas explotaron y manejaron el bosque transformándolo. De esta manera esta resurgiendo la necesidad en arqueología en integrar estudios etnobotánicos para entender las relaciones entre las sociedades y su medio ambiente. Como lo han sugerido investigaciones etnoecológicas (Toledo 2002) y etnobotánicas (Gómez-Pompa 1987) en la Selva maya demostrando la necesidad de integrar investigaciones arqueológicas a las investigaciones etnobotánicas para poder demostrar las prácticas agroforestales con origen prehispánico así como el uso múltiple del paisaje como estrategia de subsistencia. **¿Qué aportaciones puede la etnobotánica (estudio del uso de las plantas por las comunidades ch'oles actuales) hacer en el estudio**

arqueobotánico en el caso de Chinikihá?, ¿Qué especies vegetales son seleccionadas para leña como combustible?, ¿De qué unidades del paisaje (milpa, acahual, huerto, solar, caminos) obtienen la leña?, Podemos basarnos en la etnografía para inferir sobre antiguas prácticas agroforestales, y destacar de esta manera las unidades de paisaje que son utilizadas para cosechar ciertas especies. El estudio del uso actual de la selva nos ayuda a proponer cómo se cultivaba en el pasado, en qué áreas o unidades del paisaje.

Se ha vuelto a despertar el interés en re-estudiar la tesis de Puleston (1968) sobre la Subsistencia Maya proponiendo que los Mayas de Tikal y Uaxactún complementaban su dieta con semillas de ramón (*Brosimum alicastrum*), resurgiendo el debate sobre la correlación entre altas concentraciones de plantas útiles y plataformas residenciales arqueológicas (Peters 2000). Siguiendo esta línea de investigación sobre el resultado de acciones antrópicas (prácticas agroforestales, manipulación y selección de especies útiles) en la flora actual se ha desarrollado principalmente una corriente teórica a través de la ecología histórica sobre todo en la Amazonía (Balée y Erikson 2006). Recientes investigaciones principalmente en Belice ha demostrado que existen relaciones entre plantas útiles y asentamientos prehispánicos (Ross y Rangel 2010, Ross 2011, Campbell et al 2006), en Uaxactún y en El Mirador. Sin embargo, no se ha realizado ningún tipo de investigación de este tipo para las tierras bajas Noroccidentales, ni para Palenque, ni para Chinikihá. **¿Cuáles son las especies más abundantes hoy en día en los cerros y planicies de Chinikihá?, ¿Pueden éstas especies sugerir antiguas prácticas agroforestales?, ¿Existen diferencias florísticas entre los cerros con asentamientos de élite con los cerros sin plataformas residenciales? Estas son algunas de las preguntas que nos proponemos responder en nuestro estudio.**

Otros debates han quedado atrás, como el uso y cultivo de tubérculos antes de la llegada de los españoles. Las evidencias de Joya de Cerén han logrado demostrar con materiales arqueobotánicos el uso extensivo de cultivo de yuca en las milpas cercanas a las residencias (Sheets et al. 2009). En efecto, lo que propuso una vez propuso Bronson (1966) el uso de yuca (*Manihot esculenta*), makal (*Xanthosoma sp.*), camote (*Ipomoea batatas*), y jícama (*Pachyrhizus erosus*) por los mayas en el Clásico tardío por medio de la especulación, o sea sin evidencia material, sin tener ningún resto arqueológico ya fuese semilla, madera, almidón, polen o fitolito. Bronson con lucidez sugirió el uso de estos tubérculos a través sirviéndose de la lingüística, la etnografía, y valores nutritivos y análisis de productividad. Ahora sabemos con certeza, gracias a las evidencias que muestra Sheets que los Mayas cultivaban tubérculos en Joya de Cerén. **¿Qué tubérculos eran utilizados en Chinikihá?, ¿Qué especies vegetales podríamos identificar extrayendo almidones fósiles dentro de las cavidades de las piedras de moler? Nuestra investigación se interesa precisamente en evidenciar si las sociedades pasadas durante el Clásico tardío manipulaban tubérculos en Chinikihá.**

Hipótesis:

Pensamos que los antiguos mayas de Chinikihá manipularon la selva tropical de manera intensiva enriqueciendo sus unidades de paisaje con especies útiles para la alimentación y condimentos, la construcción, la elaboración de cal, la extracción de tintes a partir de cortezas, el combustible, medicina, elaboración de bebidas y demás usos rituales. Utilizaban tanto las planicies como las cañadas de los cerros para realizar sus milpas y plantaciones de cacao. Aprovechaban la vegetación secundaria de sus acahuals: majagua, corcho, y jolocón para hacer mecapales y para la preparación de la cal, bejuco y palmeras (baya) para extraer fibras y barbasco (veneno) para la pesca. Extraían caracoles y peces de los ríos y arroyos. Realizaban la cacería en sus milpas y acahuals. Cultivaban de manera extensiva plantas con raíces y tubérculos comestibles (yuca, camote, jícama, malanga, ñame) en sus milpas como en los bordes de los arroyos. Protegían aquellas especies buenas para leña durante la tumba en las milpas, así como las especies con flores y semillas comestibles (chapay, chibes).

Material y Métodos.

Encuestas etnobotánicas, Unidades de Paisaje, Colección de Referencia.

Previo a las excavaciones arqueológicas, se realizó un trabajo de campo corto durante el mes de noviembre 2010 en el ejido de López Mateos, aledaño a las ruinas de Palenque. La investigación etnobotánica consistió en identificar las unidades del paisaje manipulado por una unidad doméstica de habla ch'ol, realizando recorridos y encuestas semi-estructuradas. Se colectó información sobre el uso de cada especie vegetal (alimenticio, combustible, etc.) encontrada en cada unidad del paisaje antrópico, el nombre de las plantas en ch'ol, el momento de siembra y cosecha, productividad. Las especies vegetales colectadas fueron fotografiadas con el fin de realizar un banco de imágenes.



Figura 7.2. Unidades de Paisaje en El ejido López Mateos, modificado según Liendo (2002). Áreas de Producción agrícola en la región de Palenque.

Se tomaron ejemplares de las hojas, madera, flores y frutos de las especies presentes en el área con el fin de herborizarlas, e identificarlas basándonos en el Manual para la identificación de las principales especies de Árboles tropicales de México (Pennington y Sarukhán 2005), y con el apoyo de los curadores del Herbario nacional MEXU en el Instituto de Biología de la UNAM. Se realizó una colección de referencia actual con maderas y semillas para identificar el material arqueobotánico (maderas y semillas carbonizadas) y ampliar las colecciones de referencia arqueobotánicas del Laboratorio de Paleoetnobotánica y Paleoambiente del IIA que se tienen del área maya desde las investigaciones en Cobá (Beltrán 1987). Esta etapa fue básica en el entendimiento del uso del bosque. En función de estos recorridos, tuvimos la idea de realizar inventarios florísticos en los cerros del sitio arqueológico de Chinikihá durante la temporada de campo 2011 en paralelo a las excavaciones arqueológicas.

Inventarios florísticos.

Se realizaron inventarios florísticos en el sitio arqueológico de Chinikihá a partir de un enfoque inspirado de la ecología histórica, con el fin de conocer las especies más abundantes y evidenciar el impacto antrópico en las tierras noroccidentales. Los inventarios fueron realizados recorriendo los cerros del sitio arqueológico utilizando cinta métrica de 50 metros acompañados por los trabajadores conocedores de la vegetación. Se evaluó la frecuencia de especies en transectos partiendo del pie del cerro hasta la meseta. Se tomó la altura y la DAP (Diámetro a la Altura del Pecho) registrando especímenes a partir de 1 cm de diámetro para aumentar el número de individuos (Campbell et al 2006). Se llevó un registro sobre los usos de las plantas que se iban encontrando aprovechando informantes de habla Tzeltal, y demás informantes originarios de Tabasco para tener una visión general sobre el

uso a nivel regional. Se realizaron pruebas de pala cada 50 metros, y se tomaron muestras de suelo con el fin de elaborar un mapa idealizado del antiguo uso del suelo y vegetación.

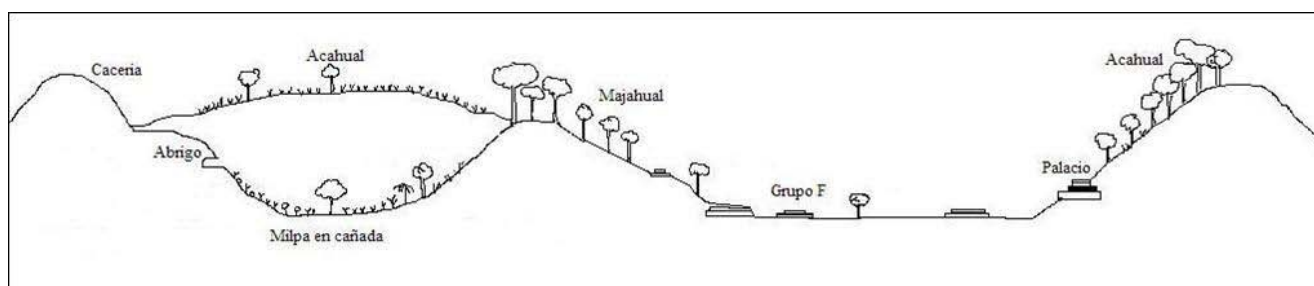


Figura 7.3. Inventarios florísticos en los cerros de Chinikihá.

Recogida de muestras arqueobotánica dividida en dos etapas: una de campo y la otra de laboratorio.

Campo. En paralelo a las excavaciones arqueológicas en las diferentes operaciones se tomaron muestras de 1 a 2 Litros de sedimento con el propósito de coleccionar macro y microrrestos botánicos (semillas, maderas carbonizadas, polen, alimones y fitolitos). Se visitó diariamente las diferentes operaciones con el fin de realizar prospecciones en los mejores contextos con más información arqueobotánica (gran concentración de carbones, contextos con mucha cerámica, entierros, ofrendas, etc.).

Para los macrorrestos (semillas y carbones) se tomaban muestras de 1 o 2 Litros de cada nivel cada 10 cm embolsándolo y etiquetando cada muestra con un número propio, y el número de bolsa correspondiente a la operación, registrando la muestra paleobotánica con un croquis del contexto.

Para los microrrestos se tomaron tres muestras (una para polen, una para almidones, y una para fitolitos) de menos de veinte gramos (la mitad del sobre de papel manila) teniendo el cuidado de sellar los bordes del sobre con cinta adhesiva ya que el sedimento húmedo despegaba el sobre. Cada muestra era llevada diariamente al campamento en Palenque donde se acomodaba en un lugar seco, ventilado, a la par de una ventana para que la muestra se secase y no se desarrollaran hongos en la muestra y se echara a perder. Al tener una buena cantidad de muestras secas: a la segunda o tercera semana de prospección se llevó a cabo la flotación.

Durante la temporada pasada (2010) se habían realizado las flotaciones utilizando la maquina de flotación del LPP, así como flotaciones manuales en laboratorio del LPP. Utilizamos la técnica de Diana Martínez del LPP, y según su técnica y consejos utilizamos baldes, cubetas de agua, cucharones de cocina para mezclar el sedimento y mallas de diferentes aberturas, así como bandejas de cocina para el rechazo (sedimento y partículas que no flotaron). Se vierte agua en una cubeta de más de 10 Litros para muestras de 1 Litro de sedimento. Se mueve con el cucharón de cocina para revolver delicadamente el sedimento, y liberar el material botánico, se deja descansar unos minutos el agua enlodada, y se recupera el material que flota a la superficie (semillas, carbones, raíces, etc.). Se vuelve a remover el sedimento, y se recupera el material con una coladera vaciando la cubeta. Y así hasta que no

quede agua. Se recupera el sobrenadante (lo que no flotó) con el cucharón y se deja secar sobre una malla marcando su número de bolsa junto con las coladeras y su etiqueta

Laboratorio. El análisis paleoetnobotánico consistió en identificar macrorrestos vegetales (semillas y madera carbonizada) y microrrestos (polen, fitolitos y almidones) recuperados de sedimentos arqueológicos en contextos domésticos, entierros en patios, áreas de desecho (basurero); así como el análisis de las piedras de moler para recuperar almidones.

La determinación taxonómica de los restos botánicos arqueológicos se basó en la comparación de especímenes de la colección de referencia de **frutos y semillas** recolectados en el Petén guatemalteco (Uaxactún, Zapote Bobal y El Mirador), como en las diferentes temporadas de campo en Chinikihá, en Palenque, y en el ejido López Mateos, en Chiapas México. Se confirmó la taxonomía consultando el Herbario Nacional MEXU con el apoyo de Hilda Flores y Esteban Martínez. También se consultaron libros de anatomía de semillas del Sur de México y Centro América (Lentz y Dickau 2005) y de la Amazonía colombiana (Morcote-Ríos 2008).

Para la identificación de las **maderas carbonizadas** se realizaron cortes transversales, y longitudinales radiales y tangentes, se observó la anatomía de los carbones y se describió la anatomía según la técnica de antracología de la escuela de Montpellier (Chabal 1997). Se comparó la anatomía del material arqueológico con una ATLAS anatómico (inédito) basado en una colección de referencia en maderas carbonizadas del Petén guatemalteco, y de maderas de Palenque, Chinikihá y el Ejido López Mateos. De la misma manera se consultaron las publicaciones especiales del Instituto de Biología de la UNAM de la serie Anatomía de Maderas de México (Barajas et al, 1997), así como las preparaciones de la Xiloteca de la UNAM con la colaboración de Josefina Barajas. Se consultaron los atlas de anatomía de carbones de las tesis brasileñas de antracología (Scheel-Ybert 2004) y Gina Bianchini (2008), así como el atlas de microfotografías de maderas de la Amazonía colombiana (Archila-Montañez 2005). Se actualizó la nomenclatura según la base de datos de <http://insidewood.lib.ncsu.edu/> y de www.tropicos.org.

Los **fitolitos** fueron extraídos con el apoyo de Cristina Adriano en el Laboratorio LPP según las técnicas de Madela (Madela et al. 1998); las identificaciones y Fotomicroscopía fueron realizados en el Instituto de Geología, con la colaboración de Alexandra Golyeva de la RAS (Russian Academy of Science). Se comparó la anatomía de los biomorfos consultando la colección de fitolitos de especies contemporáneas de la región amazónica (Morcote-Ríos 2008).

El **polen** arqueológico fue extraído en el Laboratorio de palinología del LPP (las muestras de la Operación 114) con el apoyo de Emilio Ibarra, y en el Laboratorio de Palinología de la ENAH con el apoyo de Irán Rivera (las muestras de los diferentes entierros excavados por Luis Núñez). Se consultaron los atlas de Palinología de los Tuxtlas (Lozano –García y Martínez, 1990); el atlas palinológico de la amazonía colombiana (Orlando Rangel 2008), el Atlas de polen de plantas útiles y cultivadas de la Amazonia colombiana (Herrera y Urrego 1996), y la Flora Palinológica de la reserva de la biosfera de Sian Ka'an (Palacios et al, 1991).

Los **almidones** fueron extraídos a partir de la herramienta lítica con el apoyo de Jorge Ezra Cruz Palma (ENAH) según la técnica de Jaime Pagán Jiménez (2007), y las identificaciones fueron realizadas con la colaboración de Roberto Rodríguez de la Universidad de la Habana. Se realizó una colección de referencia de almidones con especies actuales de las milpas de López Mateos, colectando Yuca (*Manihot esculenta*), dos variedades de camotes (*Ipomoea spp.*), Makal (*Xanthosoma sp.*) y ñame (*Dioscorea sp.*).

Resultados.

Resultados del análisis de Macrorrestos (semillas y madera carbonizada).

Por el momento se han identificado tres especies útiles a partir de la flotación de sedimentos del basurero del Palacio de Chinikihá. Estas especies son el jobo o luluy (*Spondias mombin*), el bejuco de uva o parra (*Vitis tiliifolia*), y la granadilla (*Passiflora sp.*). Se piensa que éstas especies debieron haber tenido un uso ritual.

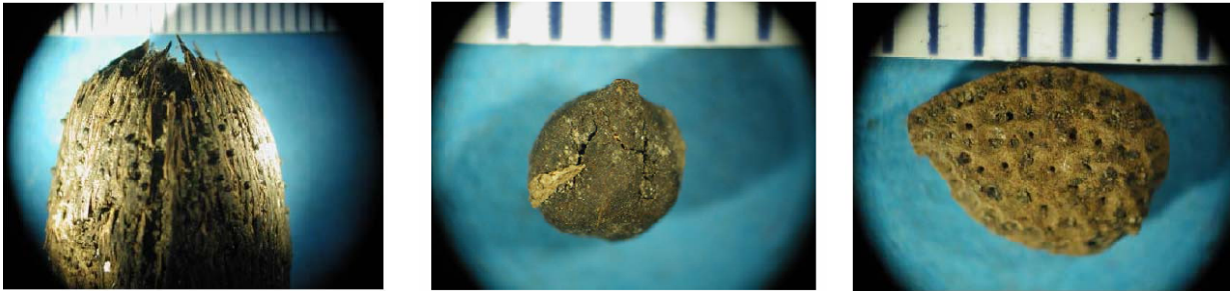
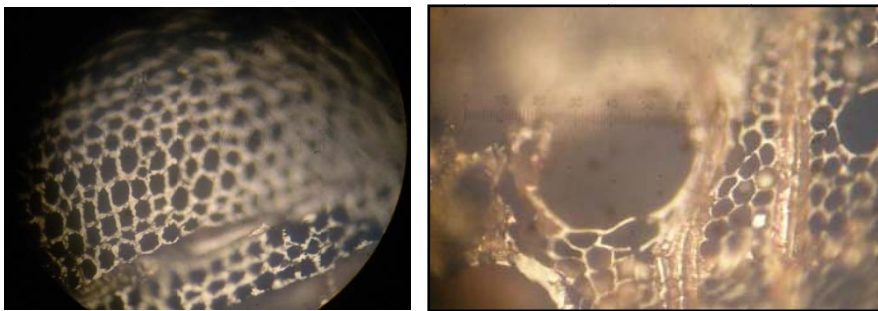


Figura 7.4. Semillas arqueológicas de *Spondias* (izquierda), *Vitis* (medio), y *Passiflora* (derecha).

Se preparan bebidas fermentadas a partir del jobo, así como se emplean los frutos del bejuco de uva para hacer vinagre. De la granadilla se puede comer la fruta, pero las hojas tienen propiedades sedativas y relajantes. Proponemos que durante los festines del Palacio, estas plantas pudieron haber servido para la preparación de bebidas embriagantes. Las altas densidades en árboles de jobo en el sitio de Chinikihá nos hacen pensar que este árbol debió ser protegido y seleccionado durante el Clásico Tardío. Las demás especies se encuentran en estado natural.

El análisis de identificación de carbones se encuentra aún en proceso junto a la Xiloteca y Laboratorio de Anatomía de Maderas del Instituto de Biología. Estamos realizando una base de datos que reúnen las características anatómicas para elaborar una Guía de Identificación. Por el momento se tiene identificados carbones perteneciente al Pino (*Pinus sp.*). La presencia del pino nos indica un uso tanto como combustible como ritual y evidencia el comercio de ocote con las tierras altas de Chiapas o Guatemala, o posiblemente un comercio con el Petén vía el Usumacinta.



Figuras 7.5. Microfotografía de corte transversal de la madera carbonizada de ocote *Pinus sp.* (izquierda), y carbón no identificado de Angiosperma (derecha).

Resultados del Análisis de microrrestos (fitolitos, polen y almidones).

Se realizaron extracciones de fitolitos a partir de sedimentos del basurero del Palacio, evidenciando las siguientes plantas: coníferas, palmas y maíz. Por lo que pensamos que pudieron haber realizado algún altar, o alfombra con agujas de pino. Es la única evidencia que se tiene de maíz. El fitolito evidencia la hoja del maíz, por lo que pensamos que debió usarse como envoltorio, u ofrenda. De las palmas pensamos que podría tratarse del chapay (*Astrocaryum mexicanum*) que posee una inflorescencia comestible.

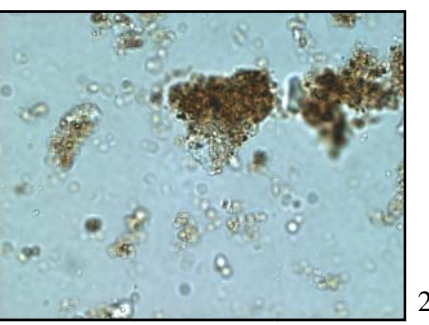
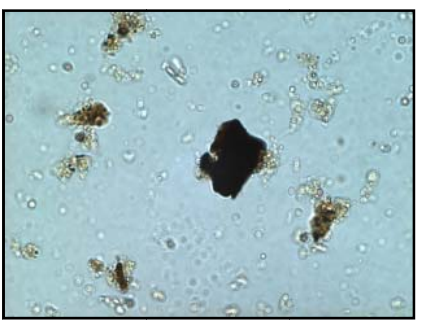
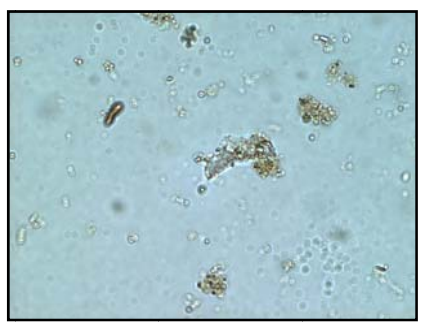
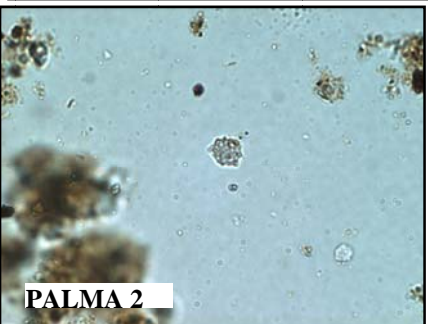
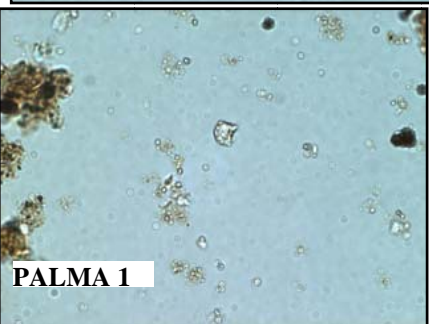
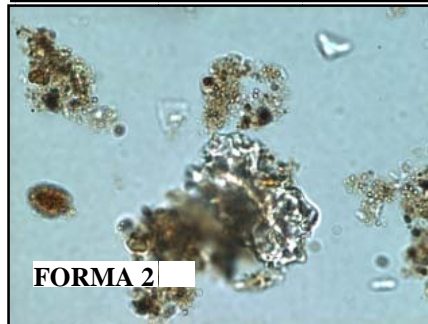
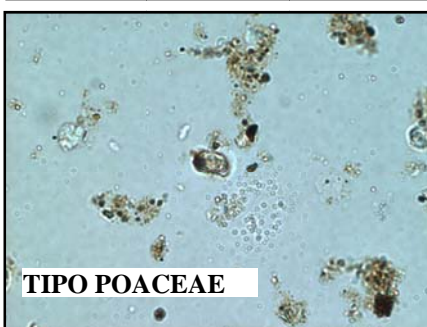
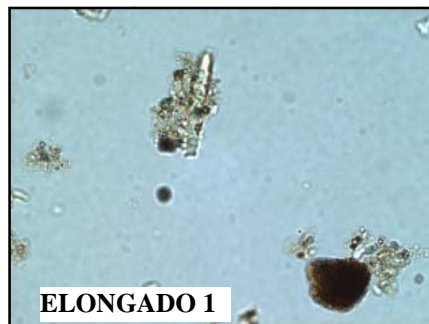
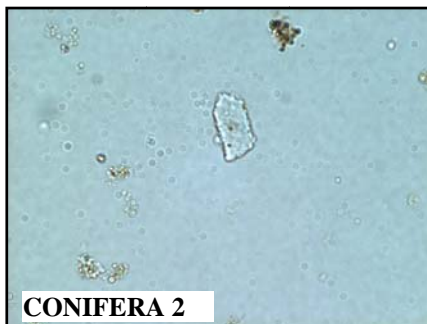
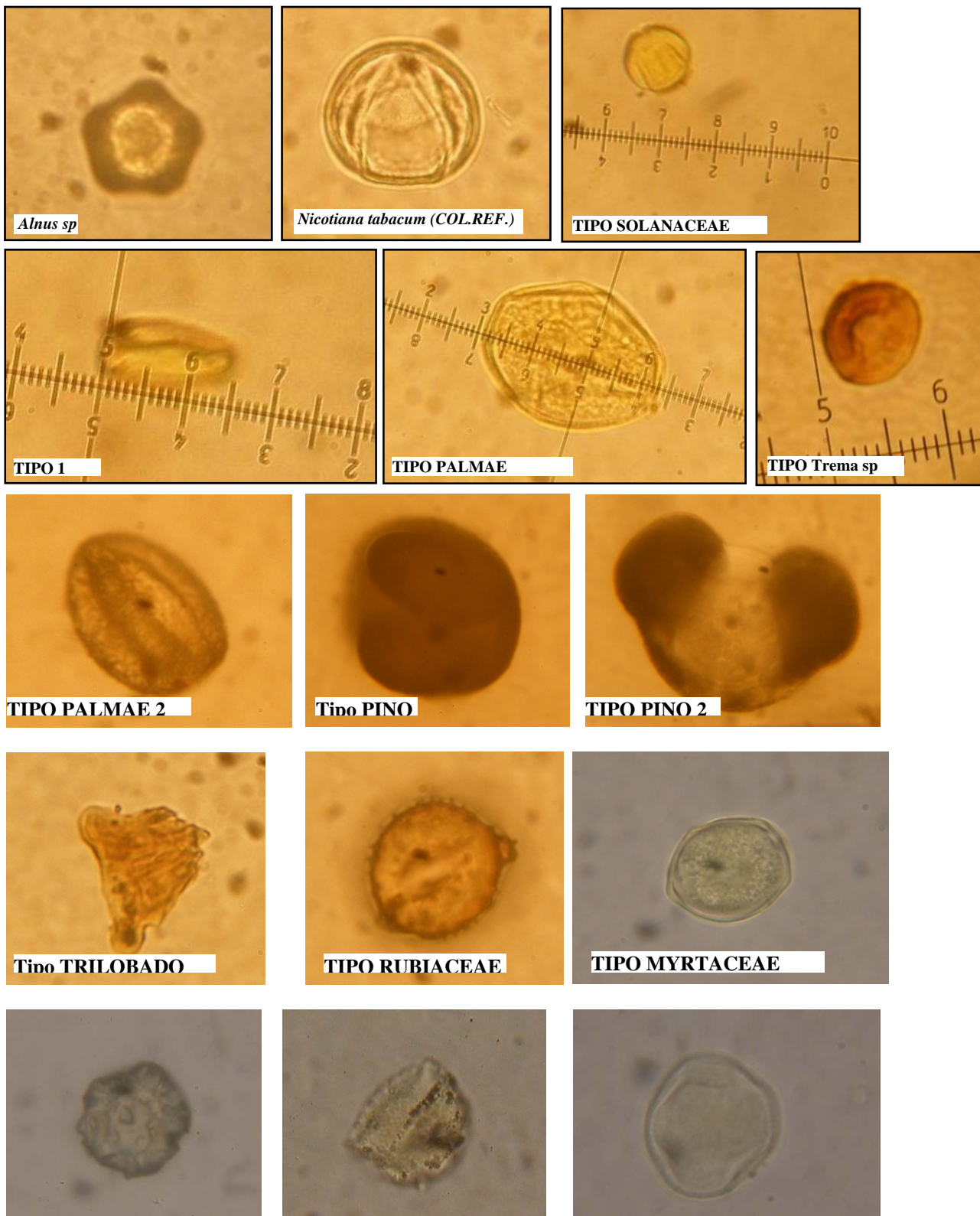


Figura 7.6. Morfotipos de fitolitos arqueológicos extraídos del depósito problemático del Palacio de Chinikihá. Extracción realizada en el Laboratorio de Palinología del LPP con la ayuda de Cristina Adriano, identificación y fotografía realizada en el Laboratorio de Edafología del Instituto de Geología con la ayuda de Alexandra Golyeva.

De las muestras de polen que se recolectaron tanto en el basurero del Palacio como en los diferentes entierros, no se tienen aún siguientes especies identificadas. Presentamos a continuación un polen identificado tentativamente perteneciente a la familia SOLANACEAE, podría tratarse del tomate (*Physalis sp.*) o del Tabaco (*Nicotiana sp.*)



TIPO 2**TIPO 3****TIPO 4**

Figura 7.7. Gránulos de Polen extraídos de entierros en Chinikihá.

Se realizaron extracciones de almidones a partir de 2 líticas: una muestra de piedra de caliza y una piedra de basalto. El pilón de caliza resultó estéril de almidones. Lo que nos sugiere que esa herramienta no era para moler ningún tipo de vegetal, en cambio proponemos que fue utilizada para moler caracoles o cal. La piedra de moler de basalto si presentó UN único almidón. Este último fue identificado como perteneciente a la familia DIOSCOREACEAE. Podría ser ñame (*Dioscorea alata*), o la cocolmea (*Dioscorea bartletti*), o hasta el barbasco (*Dioscorea composita*). El ñame es el único que posee un tubérculo comestible, de las otras dos especies se extrae el barbasco para pescar. ¿A cuál de estas tres especies corresponde ese único y anecdótico almidón fósil?

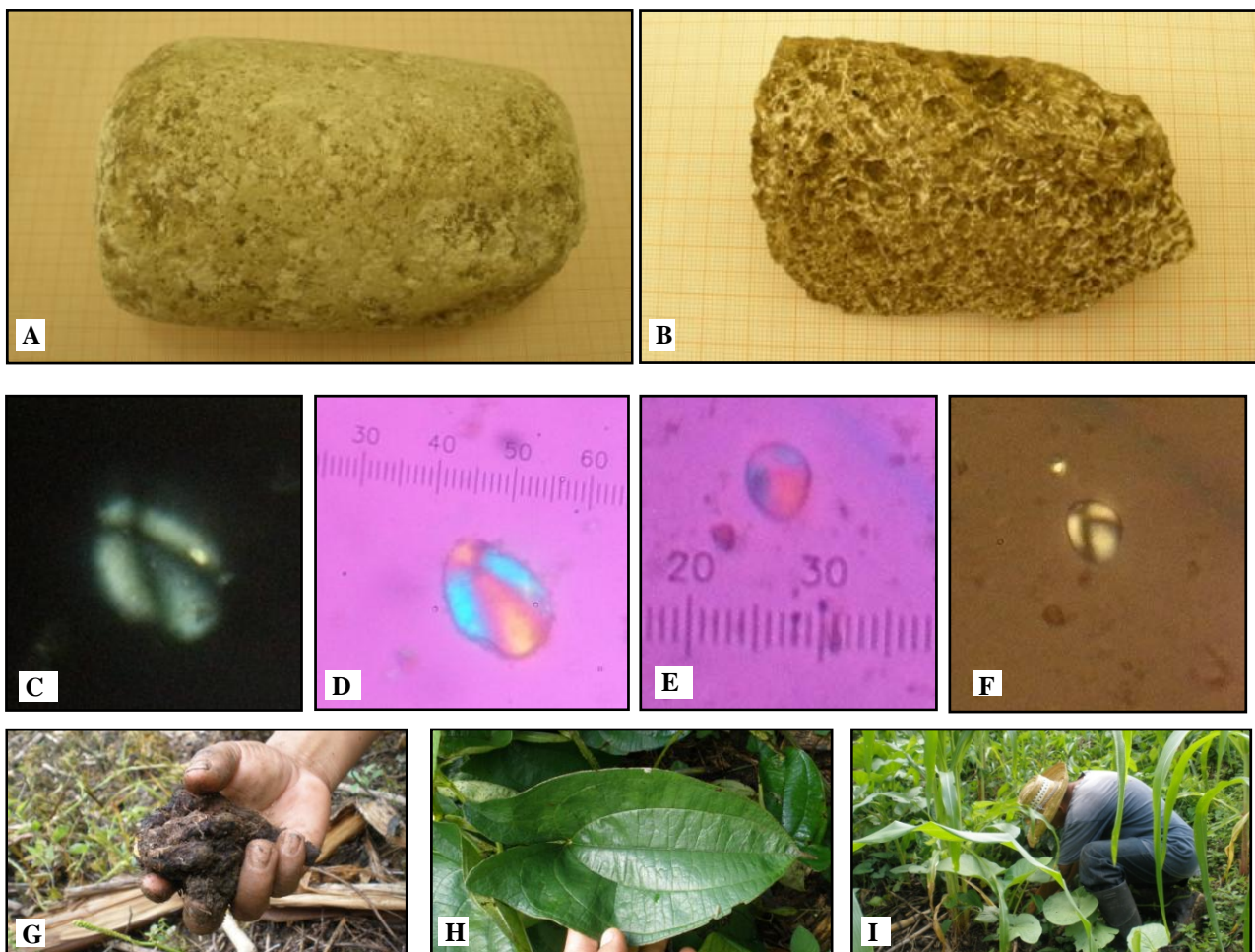


Figura 7.8. (A): Mano. Lítica de Caliza. Op. 114, El.10, Bolsa 710, capa IV, CUADRO J2 (21/06/08); (B): Metate. Lítica de Basalto Estructura D4, Op. 161. Cuadro 8, Nivel 5, Elemento 120. (28/02/11). Bolsa 2838; (C): Almidones arqueológicos TIPO DIOSCOREACEAE con luz negra donde se observa la cruz de malta y (D): con luz polarizada; (E): Almidón actual de

ñame (*Dioscorea sp.*) con luz polarizada y (F) con luz negra Fotografías realizadas en el microscopio del Laboratorio de FOTOMICROSCOPIA del IIA UNAM. ;(G): Tubérculo; y (H): hoja de ñame colectados en una milpa de año (H) en el ejido López Mateos, Palenque, Chiapas, México (Agosto 2011). La extracción fue realizada con el apoyo de Jorge Ezra Cruz Palma (ENAH) según la técnica de Jaime Pagán Jiménez (2007), y las identificaciones con la colaboración de Roberto Rodríguez de la Universidad de la Habana.

Conclusiones preliminares.

Aún no podemos realizar conclusiones ya que no contamos con identificaciones de las maderas carbonizadas. Se demostró la presencia de pino ocote, pero no sabemos con precisión la especie. Sería interesante investigar la procedencia del ocote (¿tierras altas de México o de Guatemala?, ¿tierras bajas de Tabasco o de Belice?). Las identificaciones de los fitolitos han evidenciado la presencia de maíz, agujas de pino, y de palmas. Pero no sabemos con exactitud que especies de palmas fueron utilizadas (se han registrado más de 8 especies dentro del sitio). El análisis del polen se encuentra aún en proceso. Se han analizado únicamente dos herramientas líticas, obteniendo un solo gránulo de almidón identificado tentativamente como perteneciente a la familia DIOSCOREACEA, por lo que podría corresponder al ñame. La identificación a nivel de familia no orienta hacia 3 especies (dos con usos para la pesca, y una comestible). Sería interesante realizar el análisis de la totalidad de las herramientas líticas de Chinikihá e investigar que otras especies eran utilizadas, y realizar una colección de referencia en almidones de especies actuales con énfasis en arqueobotánica.

Finalmente, los recorridos etnobotánicos, junto a los análisis de suelos han sido de mucha utilidad para entender el paisaje de la zona. El uso de las cañadas para la agroforestería, así como el uso de los acahuals enriquecidos en majaguas (*Trichospermum mexicanum* y *Heliocarpus sp.*) siendo la línea de investigación más interesante vale la pena seguir investigando. Destacamos de las encuestas etnobotánicas el uso privilegiado que se le da a las palmas en la zona, sobre todo a la palma Chapay (*Astrocaryum mexicanum*) y el ch'ib (*Chamaedorea spp.*); así como a los tubérculos ñame (*Dioscorea sp.*), camotes (*Ipomoea spp.*), Malanga (*Xanthosoma sp.*), y a la yuca (*Manihot esculenta*).

8 Prospección Arqueológica en los Grupos G, B, y C.

Flavio G. Silva de la Mora

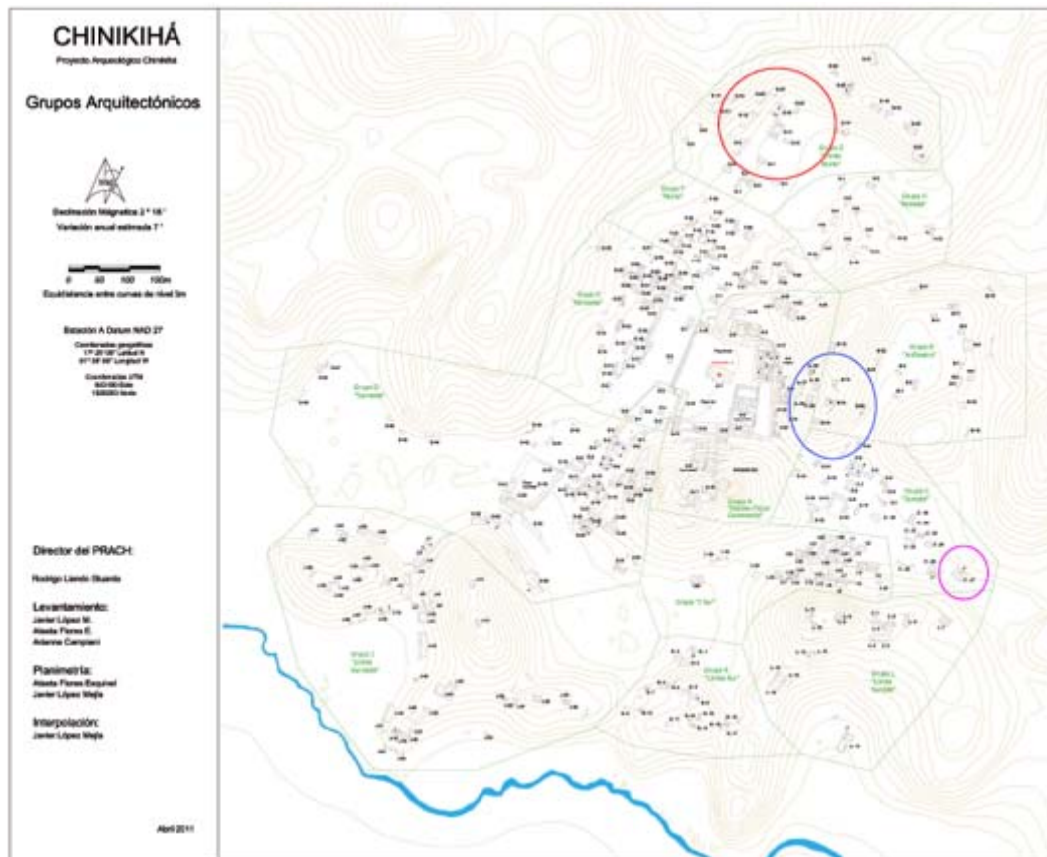


Fig. 8. 1 Mapa de Chinikihá con áreas investigadas: Grupo G-rojo, Grupo B-azul, Grupo C-violeta (PRACH-IIA-UNAM)

Introducción

Parte de las investigaciones llevadas a cabo por el PRACH tienen como objetivo entender distintas zonas de actividad y habitacionales del sitio arqueológico de Chinikihá y su zona de sustentación. Esto nos llevó a comenzar la prospección inicial de dos grupos arquitectónicos distintos durante la temporada del 2011: los Grupos G y B que se escogieron por la identificación material en superficie que presentaba características o rasgos arqueológicos relacionados con áreas de actividad y producción lítica. Inicialmente, esto permitirá entender dos zonas distintas del sitio que presentan características de producción lítica, lo que permitirá abordar otras cuestiones como economía y prácticas comunales.

Se inició el trabajo en el Grupo G, donde se llevaron a cabo dos operaciones de prospección para conocer la deposición arqueológica y características de la zona de estudio: se hicieron una operación de 2X2 m (Op. 165), una de 1X1 m (Op. 176). También se hicieron pruebas de pala con la idea de mejor entender la dispersión de material arqueológico, su disposición en el espacio, e inferir las posibles zonas de excavación a futuro. En el Grupo B, la segunda zona con características de producción lítica también fue prospectada por medio de pruebas de pala y una operación de prospección de 1X1 (Op. 172) m. En las excavaciones se llevó un control estratigráfico cada 10 cm, observando la estratificación y las capas naturales. Además se localizó otra posible zona de actividad de producción en el grupo D. Esta zona se excavó durante la presente temporada por integrantes del equipo, por lo que se decidió concentrarse en otras áreas del sitio donde no se había hecho prospección.

Así mismo se hizo una operación de prospección en el Grupo C, la cual se explica en la última parte del informe. Todas las operaciones fueron levantadas con un teodolito y anexadas a la base de datos del PRACH. El trabajo para las operaciones y pozos de sondeo en los Grupos G y B fue llevados a cabo con la colaboración de Francisco López, Javier Peñate Alejo y Eduardo Rodrigo Juárez López. La operación 172 en el Grupo C se llevó a cabo con la colaboración de Esteban Mirón y Erick López. Las operaciones y los pozos de sondeo fueron registrados por el equipo topográfico PRACH (Arianna Campiani, Javier López, Atasta Flores), y anexados al mapa general. Los modelos de elevación fueron elaborados con la colaboración de Esteban Mirón y Gerardo Jiménez con la información y datos generados por el equipo de trabajo PIPSP-PRACH. La zona de estudio fue inicialmente localizada durante recorridos de superficie por el director del proyecto Rodrigo Liendo y Keiko Tereneshi. Cuando llegaron el equipo de topógrafos al grupo G y después a el B, estos confirmaron la existencia de posibles zonas de actividad.

Prospección de talleres líticos en Chinikihá: Grupo G.

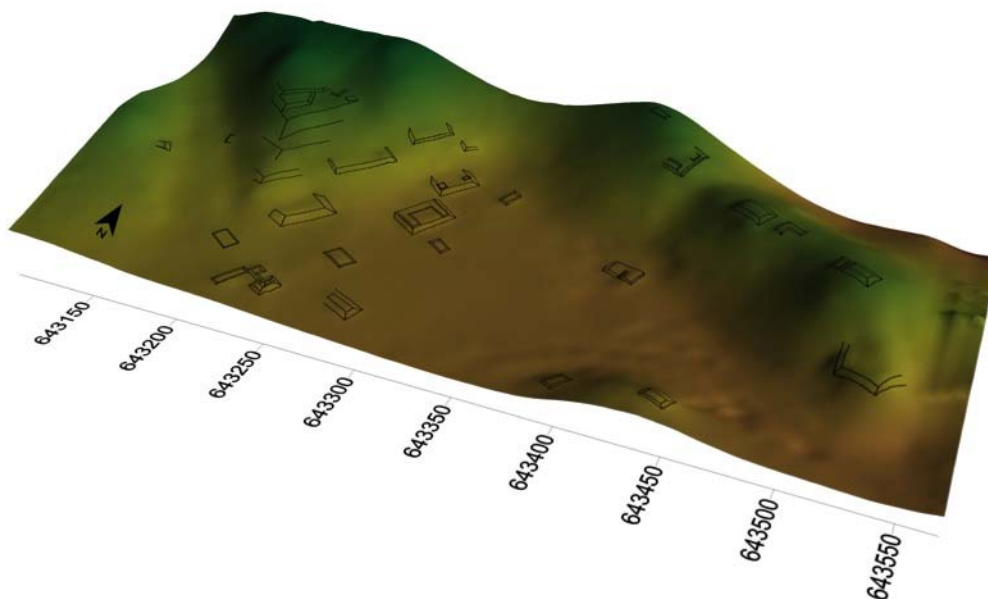


Fig. 8. 2 Mapa y modelo con elevación del Grupo G y zona de estudio.

El Grupo G se localiza al N del sitio, y se trata de un conjunto arquitectónico distribuidos en la parte superior de los cerros, su ladera, y la falda de estos (ver mapa 8.1). Por lo general las estructuras tienden a localizarse en zonas no inundables y más altas del terreno. También es importante notarse que este grupo arquitectónico se encuentra en el límite Norte del sitio, del lado Oeste de la salida o entrada natural a la parte central de sitio. La entrada natural, vistas en el mapa como los cerros de los Grupos G y H, debió de funcionar como el acceso en tiempos prehispánicos; no es por casualidad que la carretera cruce el sitio de tal forma. Los Grupos G y H conforman dos grupos arquitectónicos (que no necesariamente reflejan una división de ningún tipo, más que el de servir como punto de referencia) relacionados con el grupo arquitectónico más al Norte y limite del sitio. No es solo una barrera geomorfológica, si no una división física que se puede observar en el patrón y distribución del sitio (ver mapa 8.2).

Se comenzó con un recorrido de superficie del Grupo G, para observar que tipo de materiales podíamos identificar en superficie, su estado de conservación, y donde se encontraban localizados. En la actualidad el uso de suelo es ganadero, con pastos bajos, lo que ha sido un factor en el deterioro, remoción, y acarreo del material por medio de procesos erosivos naturales y culturales. El dueño actual de este grupo del sitio se llama Jesus Maria Guzmán y vive en Reforma.



Fig. 8. 3 Imágenes de la pendiente y terraza G22; vista desde el Sur.

El uso de suelo está directamente relacionado con procesos de deterioro de los materiales expuestos en superficie. El uso de suelo local presenta algunos factores de deterioro visibles en los materiales arqueológicos. El ganado se sube y pasa constantemente sobre la zona, su afectación no parece ser mayor. Sin embargo, debido a la pendiente y la falta de vegetación, el ganado es un factor activo en el movimiento y redistribución de materiales arqueológicos, por lo general desde las partes más elevadas a las partes más bajas. Además, hay una gran cantidad de material arqueológico en superficie, el paso cotidiano del ganado debe de ser un factor importante en la exposición en superficie de los restos arqueológicos.

Las estructuras en esta área parecen ser de uso habitacional y parecen localizarse en distintas partes del Grupo G. Además, existe una serie de terrazas distribuidas en la ladera del grupo; es posible que éstas sean zonas de producción (ver imágenes 8.3). La presente investigación se centró en las terrazas asociadas al manchón de material lítico más importante localizado en el sitio a la fecha. El material localizado en superficie fue cerámica muy fragmentada y erosionada, restos de producción lítica, restos de bloques de piedra careada, partes de estructuras en lugares más elevados, piedras de molienda, y núcleos desbastados. Los trabajos se concentraron en las partes externas de estructuras y se recolectó solo una pequeña muestra del material en superficie; pensando en la conservación del sitio, sus materiales y la cantidad de material arqueológico. Las terrazas son zonas donde se modificó el paisaje en una pendiente para hacer zonas planas, utilizando materiales locales para su construcción y que funcionan como áreas de actividad productiva. Cabe mencionar que la cantidad de desecho de talla de lítica en comparación de cerámica fue realmente marcado. Incluso hubieron ocasiones que no había cerámica, solo desecho de talla (ver imagen 8.4).



Fig. 8. 4 Imágenes de material localizado en superficie; fragmento de laja, micro y macro desecho de talla, fragmentos de metate o piedra de molienda.

El material en superficie se encontraba muy disperso, pero logramos identificar una zona que presentaba la concentración más abundante de material lítico expuesto. Se identificaron distintos fragmentos de cerámica, metates y manos de molienda (lo visto en superficie eran basaltos), mucho material de desecho de talla de rocas calizas

(sílex/pedernal). Casi todo el material en superficie mostraba distintas etapas productivas, como piedras careadas o trabajadas para construcción, preformas de hacha, cuchillos, manos o piedras de molienda de basaltos, metates, y fragmentos de navajillas prismáticas; lo que nos hace pensar en las distintas etapas de producción lítica. Otro aspecto importante fue la cantidad de desecho de talla, y la homogeneidad en cuanto al tipo de desecho localizado (ver imágenes 8.4).

Una vez recorrido el Grupo G y localizado las zonas de interés, o la zona con la mayor concentración de material lítico en superficie, se decidió por iniciar con una prospección y pozos de sondeo para ver qué tipos de materiales podíamos localizar en excavación, la estratigrafía y deposición del contexto arqueológico, así como la observación y delimitación de posibles zonas de producción. Se hicieron dos operaciones de sondeo y pruebas de pala para delimitar las mejores zonas de investigación en el futuro. Otro objetivo era observar si realmente se trata de zonas de producción lítica, y si era así, donde se localizaban. Esta es una primera aproximación para hacer un estudio sobre

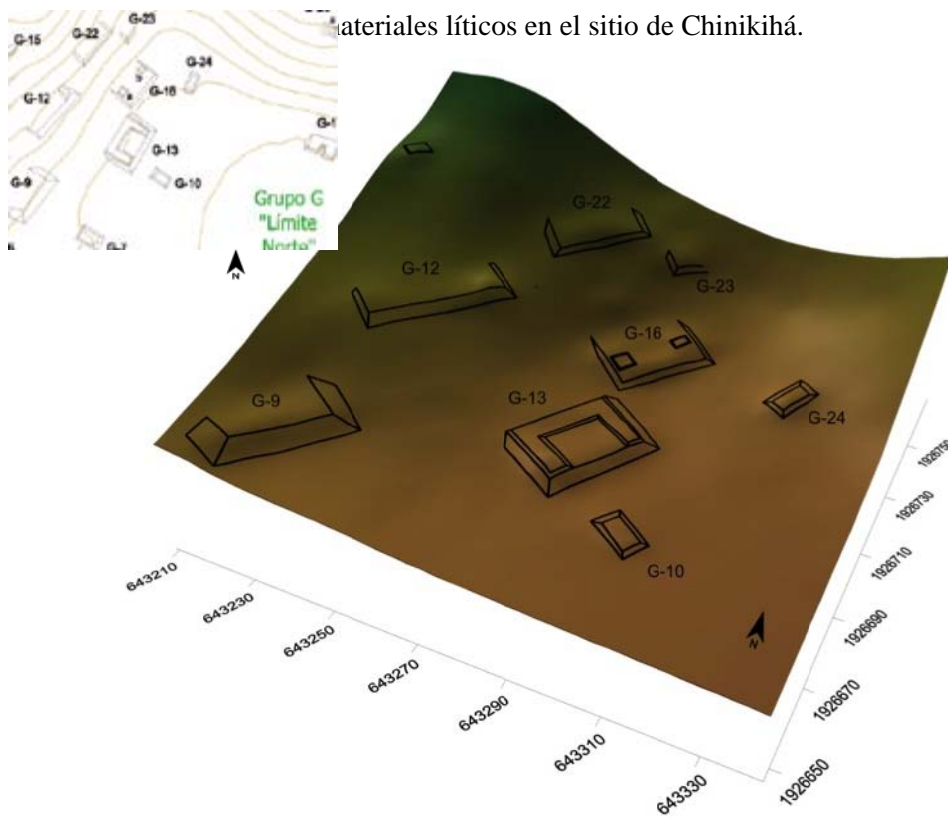


Fig. 8. 5 Mapa del Grupo G mostrando la zona donde se concentro el trabajo. Observar la inclinación en el terreno.

Operación 165.

Como se mencionó anteriormente, el Grupo G se encuentra en una zona con pendientes y laderas donde se modificó el paisaje por medio de terrazas en la ladera del cerro. Se optó por comenzar en la zona más elevada de la ladera, con la idea de poder delimitar posibles zonas de producción utilizando como indicador desecho lítico en superficie, además de tomar en cuenta la geomorfología y el procesos de erosión (pendiente y tipo de vegetación), uso de suelo (ganadero) y posible deposición en esta zona. Una vez localizadas las zonas de mayor potencial, se decidió por comenzar en la terraza G-22 con una operación de sondeo. Esto nos permito distinguir cambios de suelos, texturas, y rellenos en los pozos de prospección. En el presente informe se presenta las descripciones de capas naturales. La ladera

del cerro es bastante pronunciada, y como se verá a continuación pudimos percibir el sistema constructivo de las terrazas, procesos de derrumbe y deposición tanto de elementos arqueológicos como geológicos (ver mapa 8.5).

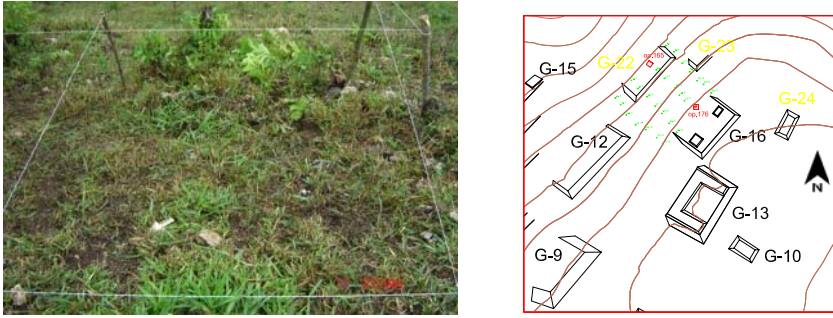


Fig. 8. 6 Imagen de la retícula de la Operación 165 y localización en el mapa de los trabajos en el Grupo G.

La operación se localizó en la parte posterior de la terraza, con la idea de poder recuperar la mayor cantidad de desecho, crear la menor afectación posible a la terraza y a su sistema constructivo, así como observar el aprovechamiento del paisaje. La operación se orientó a la terraza y no al Norte, debido a la orientación de esta y a la geomorfología y pendiente del terreno.

Se comenzaron los trabajos arqueológicos al delimitar la zona y limpiar la superficie de material orgánico, además se separó el material arqueológico. Debido al uso de suelo, la terraza y zonas aledañas se encontraban cubiertas por pastos cortos (del tipo denominado estrella), con muy pocos árboles en los alrededores (ceiba, eucaliptos, chapai, caobas (pequeñas), lima), la mayoría son arbustos, pastos y vegetación secundaria dispersas en el Grupo. Hacia el Norte y el Oeste del grupo, hay vegetación secundaria y acahual, lo que no permitió un recorrido de superficie exhaustivo, solo se trabajó la zona mapeada. La pendiente en la zona era muy pronunciada, lo que se observó durante la excavación de la terraza G-22.

Capa I.

Se trata de una capa no homogénea (irregular con grosor máximo de 25 cm), de color negra oscura (color Munsell 10YR-2/1 Black) con estructura limo arcillosa, con poco materia orgánica (la mayoría raíces de pastos, raíces de arbustos cercanos y de un árbol que se encontraba al NE; también distintos insectos, en su mayoría larvas). Este estrato tenía aspecto de ser capa de erosión; debido a la mezcla de material y que seguía la pendiente general del terreno. El estrato estaba compuesto por tierra y piedras no homogéneas (angulares/subangulares/redondas), de distintos tamaños y que no presentaban algún patrón específico. Además se ubicaron lentículas delgadas de ceniza volcánica durante distintas partes de la capa y de la operación. Entre los materiales arqueológicos localizados en esta capa se encuentran fragmentos de cerámica, desecho de talla lítica (ver imagen 8.7) (preforma de punta, lascas de reducción, lascas de presión; micro y macro desecho: pedernal/sílex), bloques de caliza careados, un mosaico de pirita pulido y restos malacológicos (xutes).



Fig. 8. 7 Imagen del desecho de talla localizado en la Capa I.

En el extremo Sureste de la operación, se localizó una preforma de punta que se registró como Elemento 1 y se localizó justo antes del comienzo de la Capa II. Ésta es muy burda y parece parte de una pieza tallada por alguien que estaba practicando o aprendiendo el trabajo de tallado lítico (ver imagen 8.8).



Fig. 8. 8 Imagen del elemento 1.

Otra pieza recuperada fue un fragmento de espejo en lámina de pirita. Se localizó en esta capa (muy cercano a la superficie), probablemente a causa de acarreo. Esta capa parecía ser una capa de escurrimiento y deposición por procesos erosivos. El fragmento de espejo de pirita se localizó a unos 5 cm de la superficie del terreno y se registró como Elemento 3 (ver imagen 8.9).



Fig. 8. 9 Imagen de la Capa I mostrando la zona donde se encontró el fragmento de espejo de pirita.

Capa II.

Capa de estructura limo arcillosa con muy poca arena, y de forma irregular. Había una gran cantidad de piedras de distintos tamaños y formas mezcladas con material lítico y cerámico. Esta capa parecía ser un relleno para aplanar un poco el terreno con un grosor máximo de 38 cm. Su estructura era bastante homogénea y consistía de piedras de distintos tamaños y formas (redondas/angulares), además de un par de lajas careadas. Muy parecido a la capa anterior, se localizó bastante material arqueológico mezclado en la capa: cerámica, lítica, restos malacológicos (xutes), pocos insectos y raíces de pastos, arbustos, y uno de los arboles cercanos. La mayoría del material localizado fue desecho de talla lítica (fragmentos de lajas, lascas de reducción, lascas de presión; desecho micro y macro (pedernal/sílex) además de un percutor; un fragmento de navajilla prismática de obsidiana). En el extremo Este se localizo un fragmento de una laja bien tallada, que fue parte del relleno utilizado para hacer una superficie horizontal en la ladera (ver figura 8.10).



Fig. 8. 10 Imagen del fragmento de piedra trabajado encontrado en la operación.



Fig. 8. 11 Imagen del percutor encontrado en esta Capa.

Capa III.

Capa limo-arcillosa, muy deleznable y de fácil extracción cuando seca. En húmedo tiene una plasticidad moderada. Se debe notar que su estructura era más fina que la capa anterior, y cuando húmedo era más plástica (plasticidad moderada). Su forma es irregular con grosor máximo de 28 cm. Es parecida a la capa II en que se trata de un relleno con piedras de distintos tamaños (angulares/subangulares) bastante abundantes, con material arqueológico mezclado en forma de relleno. Las piedras en este relleno eran de mayor tamaño que en la capa anterior, y el desecho lítico y cerámico comenzó a disminuir conforme se fue excavando más profundo. Las raíces fueron cada vez menos y de menor tamaño. El color de la capa fue un Color Munsell 10YR 5/4 yellowish Brown o Café amarilloso. En el Perfil NE, prácticamente en la esquina Norte había un hoyo de tuza que mezclo material de la Capa III y IV. En esta capa se registro cerámica, lítica (desecho de talla, núcleo de pedernal desbastado, micro y macro desecho de talla, piedras careadas, y fragmentos de lajas), y restos malacológicos (xutes) mezcladas en la capa; la cual era un relleno para aplanar la ladera.

Cabe mencionar que en esta capa se detectó y registró una punta de lanza o cuchillo bifacial de pedernal completa. En la porción Oeste de la operación se localizó esta punta, el material alrededor no presentó ninguna asociación en el depósito. Incluso estaba acostado horizontalmente. Se registró con el nombre de Elemento 2; mide 11.5 cm de largo, 3.55 cm ancho y 1.2 cm en sección (ver imagen 8.12).



Fig. 8. 12 Imagen del Elemento 2.

Capa IV

La capa más delgada y con la menor cantidad de material arqueológico. Un estrato bastante regular y recto, con un espesor promedio de 14 cm. Tenía una textura arcillo (mayor carga) limosa (menor carga) de estructura muy suave y de granos finos. En seco era muy suave y firme, y en húmedo tenía una plasticidad fuerte y consistencia aun más fuerte. Su color Munsell era 10YR-7/4 very pale Brown o Café muy pálido. Este estrato no tenía piedras grandes, solo hubieron unas pocas gravas, muy pocas (ver imagen 8.13). Se localizó muy poco material arqueológico, cerámica y desecho de talla de lítica (pedernal/sílex). Se tomaron muestras de tierra para flotación en cada una de las Capas en la parte media (al metro) del perfil Noroeste.

Muestra en Capa	Tomada a la profundidad (z) cm
I	44
II	60
III	98
IV	112



Fig. 8. 13 Imagen del perfil Noroeste (lado izquierdo) y la imagen de planta de la operación llegando a la roca madre (a la derecha).

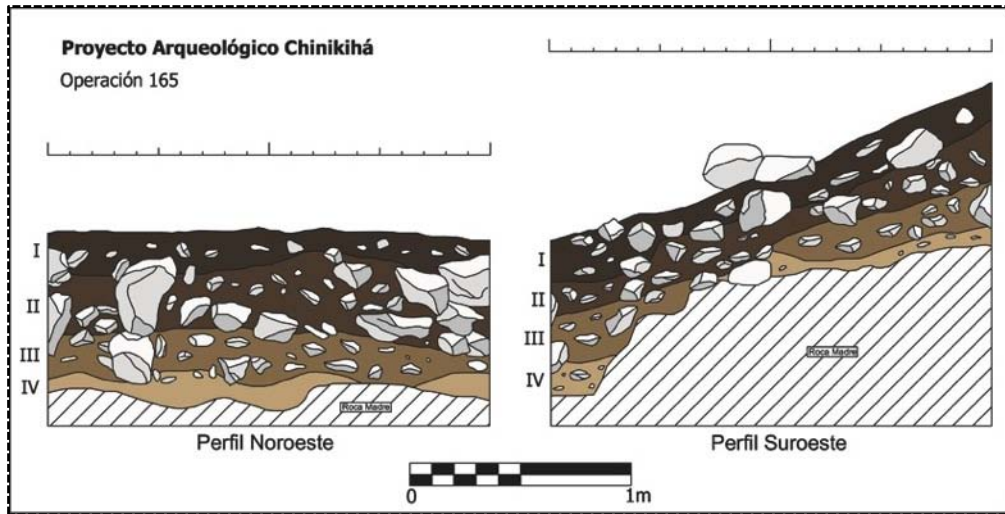


Fig. 8. 14 Dibujo de la Operación 165.



Fig. 8. 15 Imagen del perfil Noroeste y perfil Suroeste.

Operación 176.

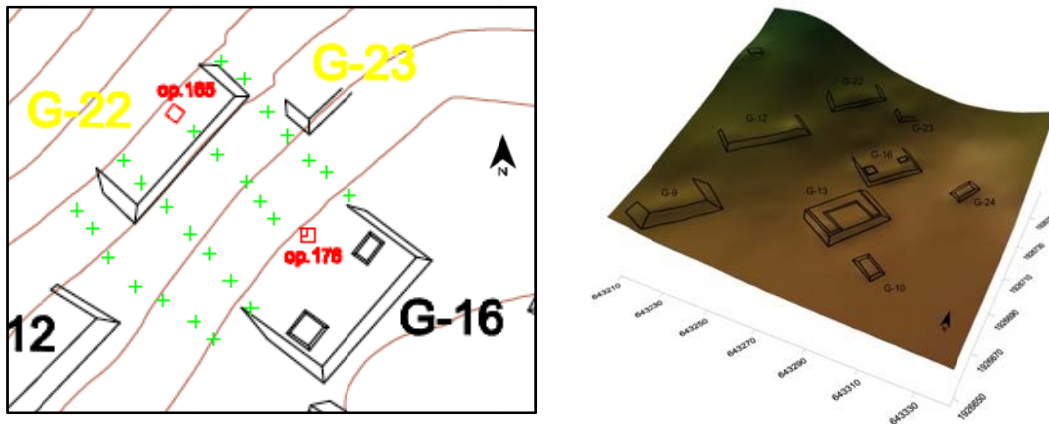


Fig. 8. 16 Mapa mostrando la ubicación de la Operación 176 y los trabajos llevados a cabo en el Grupo G.

Como se mencionó al principio de esta sección, la dispersión de desecho de talla cubría una extensión bastante amplia. Durante los trabajos de excavación, se caminó la zona constantemente para asegurarnos de poder delimitar, a menos de una forma preliminar, la zona del manchón o dispersión cerámica y las diferentes concentraciones. También, observando la topografía, se decidió poner la operación de manera que quedara perpendicular a la Operación 165. Además, existe una pequeña depresión o hundimiento en la pendiente, por lo que se pensó que podría ser un buen lugar para recuperar material de desecho de actividades humanas (al ser la parte trasera de la terraza G-16, donde se pudo depositar basura), además de recuperar material depositado por procesos erosivos. La operación 176 se ubicó en la parte posterior de G-16, orientada al Norte, con la idea de recuperar material arqueológico de la pendiente y terrazas, además de recuperar material de la terraza (ver imagen 8.17).



Fig. 8. 17 Imagen de la parte trasera de G-16 (izquierda) donde se ubico la operación y la fotografía tomada desde G-16 hacia G-22 (derecha).

Operación de prospección inicialmente de 2 X 2 m, pero debido a la cantidad de material recuperado, el tipo de prospección y el tiempo en campo, se decidió en reducir a una prospección de 1 X 1 m. Esto nos permitió por un lado el material procedente de la ladera, y por el otro, la parte trasera de la terraza G-16. Se identificaron dos capas naturales o momentos de deposición. El tamaño de la unidad terminó siendo un factor importante como un limitante en la comprensión de los procesos de deposición arqueológicos. No se llegó a roca madre y llegamos hasta donde el espacio lo permitió. Se localizaron dos Capas naturales o de deposición. En la primera capa sobresale mencionar la cantidad de

desecho de talla que se localizo, a comparación de otros materiales, sobre todo cerámica. La segunda Capa es parte de un relleno relacionado con la parte trasera y relleno de la terraza G-16.

Capa I.

Capa de textura arenosa-limosa ondulada e irregular de color 10YR 5/3 (color en seco) Brown o Café y 10YR 3/2 (color en mojado) Brown o Café. Una vez que se limpió la zona de las piedras, arbustos y pastos, se tenía una capa de tierra grisácea muy delgada, menor de 1 cm. La estructura del suelo era granular, con suelos con carga arenosa mayor a los limos. La capa tenía muchas raíces, la mayor parte se trabaja de raíces de pastos y arbustos. Esta zona tenía menos cantidad de insectos que la Operación anterior. En el perfil Norte se encontró un pozo de tuza.



Fig. 8. 18 Imagen de la ubicación de la Operación 176, la imagen del extremo superior derecho muestra las dimensiones originales; mientras la imagen en el extremo inferior muestra la reducción de las dimensiones de la operación.

Éste mezcló buena parte del lado del perfil Norte, y se metía en el perfil Este. En cuanto se inició la excavación comenzó a salir material lítico. En realidad había muy poca cerámica si se comparado con la cantidad de lítica. En cuanto a la lítica, se recuperaron restos de desecho de talla, micro y macro lascas de rocas calizas (sílex y pedernal) mezcladas con tierra y piedras que en su mayor parte eran de menor tamaño y gravas. Entre los materiales arqueológicos recuperados mencionamos fragmentos de cerámica, material lítico (fragmento de navajilla prismática – obsidiana; lascas de reducción de talla, de presión, fragmento de cuchillo/punta, y un fragmento de cuenta de pedernal/sílex) y restos malacológicos (Xutes).

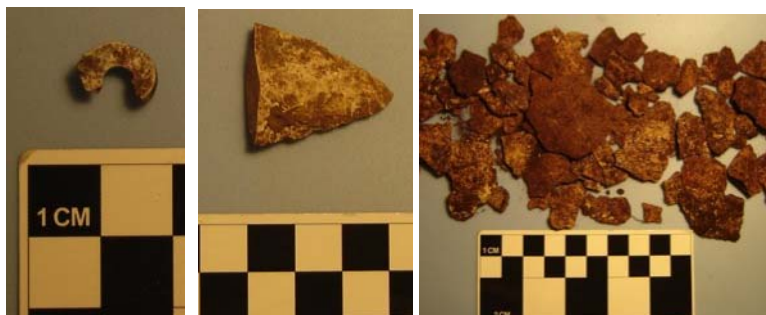


Fig. 8. 19 Imagen del desecho lítico recuperado en excavación de esta capa; de izquierda a derecha: fragmento de cuenta, fragmento de cuchillo/punta, desecho de talla.

El desecho de talla, al igual que en la operación anterior, arrojó distintos materiales que permiten observar el proceso de producción lítico. Se trata de un tiradero de una zona de producción especializada o se trata de algunas

generaciones participando en una tradición lítica en la zona de estudio. Es mucho el volumen y cantidad de desecho de talla recuperado en este grupo, incluso, la cantidad de desecho lítico recuperado, en proporción con la operación 165, fue mayor en ésta.



Fig. 8. 20 Imagen de la Capa I y el perfil Norte.

Capa II.

Esta Capa es parte de un relleno de la terraza G-16. Se trata de una capa de textura arcillo limosa, de forma irregular, y de un tamaño desconocido. Durante la presente prospección se excavó hasta 90 cm de profundidad. Se tomaron distintas muestras de color, textura, y materiales parte del relleno para asegurarnos de que se trataba de una sola capa.



Fig. 8. 21 Imagen de fragmentos de perforadores encontrados en esta capa.

Es un relleno compuesto de piedras de distintos tamaños, desde grandes hasta gravilla, la mayoría de forma angular y bastante frecuentes, mezclado con desecho arqueológico; restos malacológicos (xutes), mucho tepalcate cerámico y desecho de talla lítica (no había tanta diferencia entre la cantidad de fragmentos de cerámica y desecho lítico; la lítica seguía siendo el material arqueológico dominante). Entre los materiales recuperados cabe mencionar tepalcates de cerámica, piezas en distintas etapas de producción, preformas de hachas y una preforma de punta de lanza, fragmentos de punzones o perforadores, y un raspador (sílex/pedernal); fragmentos de navajilla prismática de obsidiana.

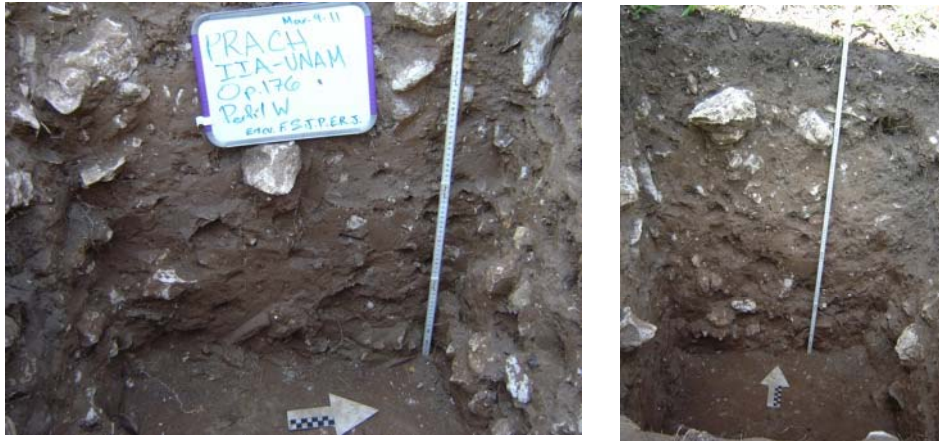


Fig. 8. 22 Imagen del Perfil Oeste (izquierda); imagen del perfil Norte (derecha).

El estrato en su parte superior, de contacto con la Capa I, presentaba la mayor cantidad de desecho de talla. Conforme se fue descendiendo, el material lítico disminuyó, y la capa se hizo más homogénea al conformar el relleno descrito anteriormente. Se debe mencionar que las capas en esta operación tenían más humedad que en la operación anterior.

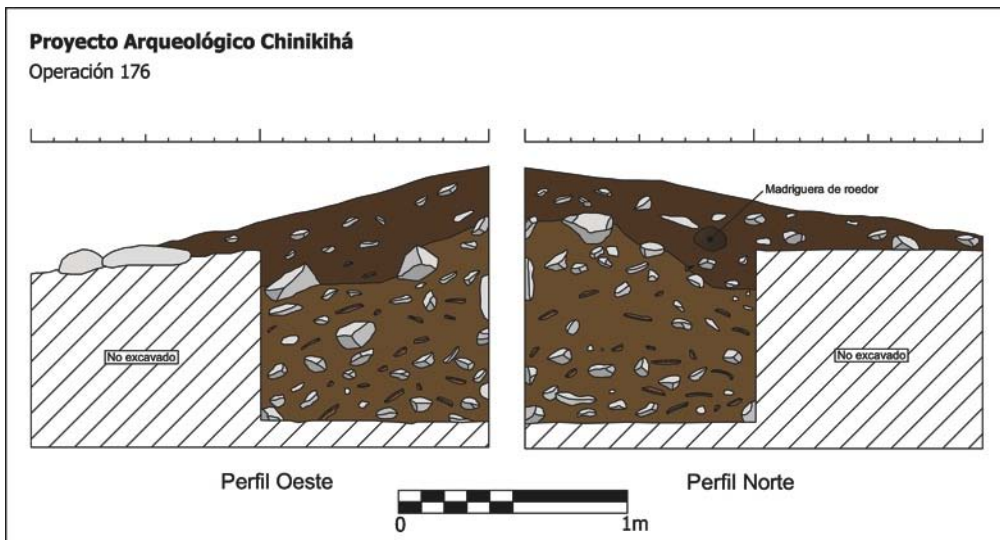


Fig. 8. 23 Dibujo de los perfiles Oeste y Norte de la operación 176.

En el cuadrante NW, se recuperó una preforma de pedernal/sílex. Ésta se localizó a 92 cm de profundidad y se registró como Elemento 4. Se trata de una preforma de punta (probablemente de lanza) de burda técnica. El material asociado a éste era parte del relleno de la capa II (ver imagen 8.24).



Fig. 8. 24 Imagen del Elemento 4, preforma de punta.

En el extremo NW de la operación se recuperó una preforma de sílex/pedernal en forma de hacha. La pieza está casi terminada, con la excepción que le dieron un golpe basal y se llevaron una buena parte; se localizó a una profundidad de 106 cm y de la misma forma que el elemento anterior, éste era parte del relleno de piedras, lítica, y cerámica. Se registró como Elemento 5 (ver imagen 8.25).



Fig. 8. 25 Imagen del Elemento 5, preforma de hacha.

En el extremo SW de la operación, prácticamente llegando a la esquina, se recuperó una herramienta en forma de raspador o raedera y se registró como Elemento 6. Ésta se encontró prácticamente parada verticalmente, formando parte del relleno. Se localizó a 149 cm de profundidad, y de la misma forma que los elementos anteriores, formaba parte del relleno de la terraza G-16.



Fig. 8. 26 Imagen del Elemento 6, herramienta en forma de raspador o raedera.

Se tomaron tres muestras de tierra para flotación, una muestra para la Capa I y debido al tamaño de la Capa II, se tomaron 2 muestras.

Muestra en Capa	Tomada a la profundidad (z) cm
I	73
II	108
II	153

Pruebas de Pala 01-26.

Como se mencionó en la introducción, uno de los objetivos era entender la disposición de los materiales arqueológicos y conocer las zonas con un mayor potencial para investigación a futuro. Se decidió concentrarse en la zona donde se encontró la mayor cantidad de material en superficie. Otro factor que se tomó en cuenta fue la pendiente del terreno, y las zonas donde parecía haber algún tipo de superficie. Cada Prueba de Pala se puso a una distancia de 10 m horizontalmente. En la inclinación vertical se siguió todas las zonas donde hubiera zonas transitables o algo planas y se trató de seguir líneas lo mas derecho posible. En algunos casos no se pudo excavar debido a que era pura piedra; como en el caso de la PP5 y PP9. Las pruebas de pala fueron hechas con una pala plana, de las utilizadas para hacer postes. Se hicieron pozos de 25 X 25 cm por 30 cm de profundidad; lo que era el tamaño de la pala y se orientaron al N.



Fig. 8. 27 Imagen de parte de la prospección con pruebas de pala (izquierda) y una de las pruebas de pala en el Grupo G (derecha).

Se hicieron un total de 26 Pruebas de Pala, las cuales se pueden observar en el mapa de distribución (Fig. 8.29). Estas pruebas de pala nos permitieron ver las concentraciones, disposición y dispersión del material. Se debe mencionar que los pesos de las operaciones 165 y 176 no se integraron, ya que no se tenía una pesa en campo para medir la carga que se recuperó de material. Una vez en el laboratorio, se pesó el desecho de talla para poder hacer estos mapas (ver Fig. 8.30). Las pruebas de pala nos permitieron observar que el material se encuentra localizado alrededor de las terrazas. Por ejemplo en la Prueba de Pala 3 no se recuperó nada de material lítico. Todas las pruebas de pala cercanas a G-12 dieron muy poco o ningún material lítico. Estos mapas nos han permitido observar de una forma grafica posibles zonas de estudio de actividad y los conjuntos habitacionales cercanos a estos. Por ejemplo en la esquina Este de G-13 había una gran cantidad de material lítico al lado de la estructura. Además de las terrazas mencionadas anteriormente, G-13 es otra zona con potencial para la investigación a futuro.

Las pruebas de pala permitieron la recuperación material lítico (desecho de talla de calizas: micro – macro desecho, una pieza o lasca trabajada – este parece ser una pieza de una persona aprendiendo-, y fragmentos de puntas de proyectil), restos malacológicos (ver imagen 8.28).

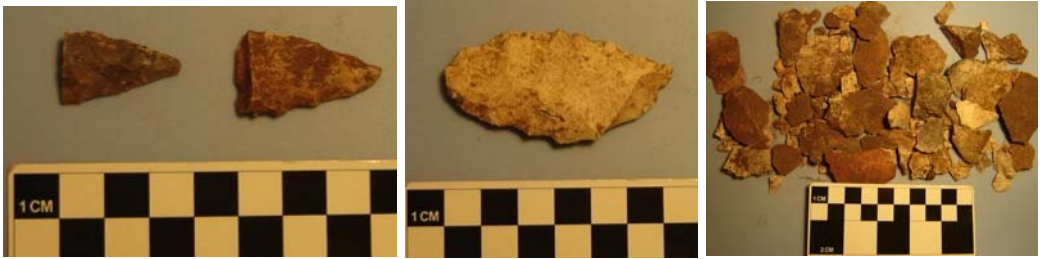


Fig. 8. 28 Imágenes de lítica recuperada durante las pruebas de pala en el Grupo G.

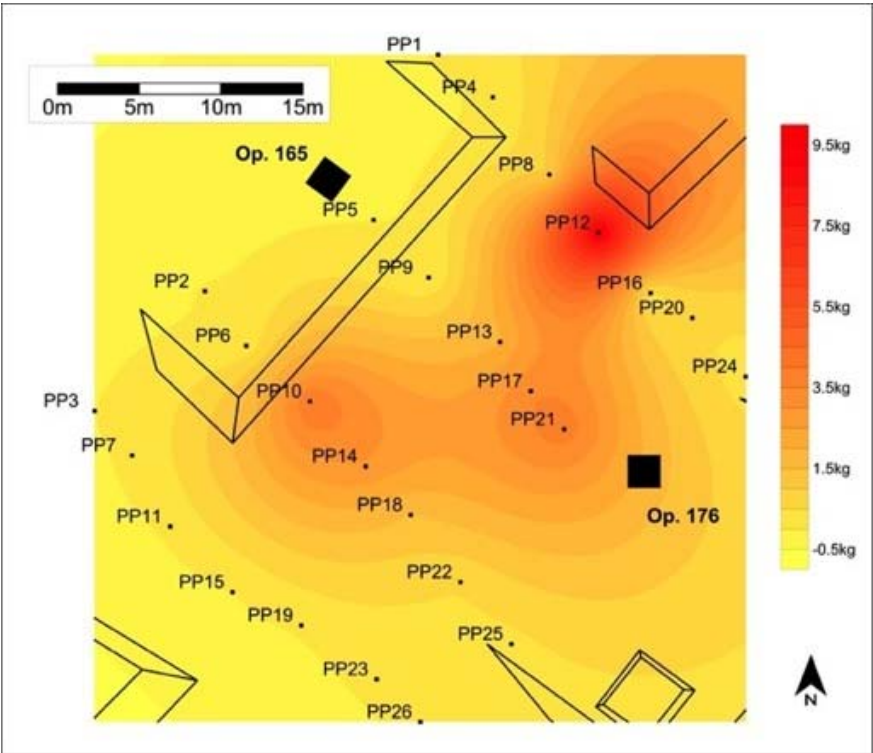


Fig. 8. 29 Mapa mostrando la ubicación de las Pruebas de Pala y el peso de desecho lítico obtenido en el Grupo G; ilustrar la dispersión y concentración del material lítico.

Prueba de Pala	Peso en Kg
PP1	0.049
PP2	0.035
PP3	0
PP4	0.108
PP5	0
PP6	0.114
PP7	0.122
PP8	1.112
PP9	0
PP10	4.033

PP11	0.102
PP12	9.779
PP13	1.95
PP14	2.942
PP15	0
PP16	0.356
PP17	3.424
PP18	1.48
PP19	0.072
PP20	0.63
PP21	3.831
PP22	0.576
PP23	0.11
PP24	0.284
PP25	0.368
PP26	0.118

Fig. 8. 30 Pesos en Kg del desecho de talla recuperado en las Pruebas de Pala en el Grupo G.

Prospección en el Grupo B

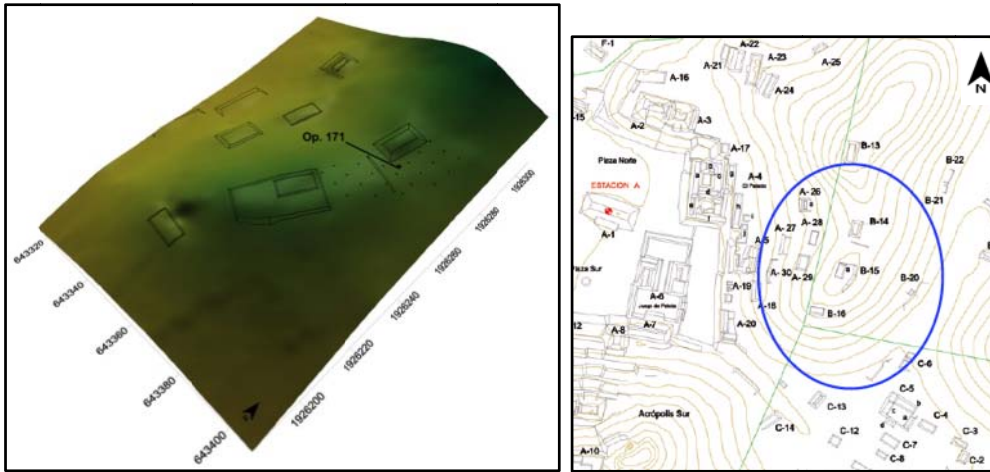


Fig. 8.31 Mapa de elevación de parte donde se llevaron a cabo la operación y las pruebas de pala (izquierda) y mapa mostrando la zona de investigación en el Grupo B (derecha).

Otra zona dentro del sitio arqueológico donde se localizó con anterioridad material arqueológico de desecho de talla en superficie fue el Grupo B. La zona de estudio se localiza en una loma y la parte más alta de uno de los cerros o elevaciones en los alrededores. Vale la pena notar su relación con el Grupo A, parte del conjunto central de Chinikihá. El Grupo B no solo presenta otro tipo de geomorfología, disposición y vegetación, si no también representa un área de actividad de producción lítica que pudo estar relacionado con el conjunto palaciego del sitio (ver mapa Fig. 8.31).



Fig. 8.32 Imágenes del Grupo B; (izquierda) imagen tomada desde B-15 hacia el Norte, (derecha) imagen tomada desde B-14 hacia el Sur.

La parte donde se estuvo trabajando está dentro de un rancho de uso ganadero, sin embargo, todos los cerros se han mantenido con su vegetación y el ganado no sube. Esto ha permitido que la selva esté creciendo y la carga biótica aumentando (ver Fig. 8.32). Se comenzó por hacer un recorrido de superficie, para poder delimitar inicialmente donde se encontraba el material arqueológico. El sitio de Chinikihá presenta un aprovechamiento de la topografía y geomorfología de la región; los pobladores se asentaron en los cerros y construyeron sus casas con el material disponible, el sitio en si es una cantera. Esto es, lo arquitectura del sitio está construido con los materiales locales, los más cercanos y disponibles. A forma de ejemplo, la Fig. 8.33 muestra material de superficie y una cantera localizados en el Grupo B.



Fig. 8. 33 Imágenes del Grupo B; (izquierda) imagen de parte de la ladera y (derecha) imagen de una de las plataformas con su cantera en la parte inferior.

El grupo se encontraba algo enmontado, por lo que se tuvo que hacer una limpieza de la zona. Además, había una capa bastante gruesa de material orgánico en descomposición (compuesto por hojas y ramas de árboles y arbustos). Este fue un factor importante en la identificación de material arqueológico en superficie. Debido a esto, se decidió por comenzar por hacer unas pruebas de pala para ver la disposición y dispersión del material en la zona. La mayoría del material se localizó entre las plataformas B-14 y B-15 (ver mapa en Fig. 8.34).

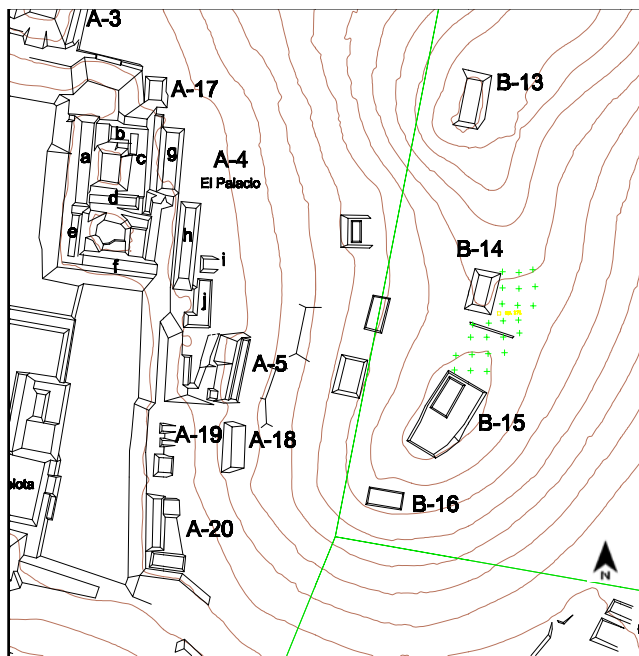


Fig. 8. 34 Mapa del Grupo B mostrando las pruebas de pala y la operación 171.

Pruebas de Pala 30-53.

Una vez delimitada la zona con la mayor cantidad de material registrado en superficie, se delimitó la zona y se comenzaron las Pruebas de Pala. Como se mencionó anteriormente, entre las estructuras B-14 y B-15 se localizó la mayor cantidad de material arqueológico; en específico se quería conocer si existían concentraciones de desecho de talla.



Fig. 8. 35 Imagen del material recuperado de PP 39 y la imagen de una de las pruebas de pala en el Grupo B.

Al igual que en el Grupo G, las pruebas de pala fueron hechas con una pala plana, de las utilizadas para hacer postes; se hicieron pozos de 25 X 25 cm por 30 cm de profundidad y se orientaron al N. Se asignaron los números de prueba de pala 30 a 60 para este grupo; se hicieron 23 pruebas de pala (ver Fig. 8.36). La concentración de restos de desecho de talla es menor que la del Grupo G, sin embargo, presenta la mismas características en cuanto el tipo de desecho de talla y la disposición arquitectónica o de asentamiento. La estructura B-15 y la terraza sobre la que se encuentra, presenta características parecidas a las observadas en el Grupo G y con posibilidad de estudiar una zona con otro nivel de producción. Por medio de esta información se elaboraron mapas de concentración y dispersión que permitieron la comprensión del grupo arquitectónico y su potencial para el estudio a futuro (ver Fig. 8.37). Cabe mencionar que PP39 parece ser un depósito de desecho de talla debido a la cantidad de desecho recuperado aquí. Como se puede observar en el mapa, parece que fuera la única concentración. Debido a la gran cantidad de material (comparado con las otras pruebas de pala) recuperado de esta prueba, el mapa parece estar dominado por este. Ver pesos en tabla para ver distintas cantidades de desecho lítico recuperado.

Prueba de Pala	Peso en Kg
PP30	0.033
PP31	0.030
PP32	0.031
PP33	0.032
PP34	0.043
PP35	0.095
PP36	0.626
PP37	0.217
PP38	1.294
PP39	6.102
PP40	0.710
PP41	0.400
PP42	0.525
PP43	0.981
PP44	0.280

PP45	0.082
PP46	0.068
PP47	0.000
PP48	0.029
PP49	0.016
PP50	0.028
PP51	0.030
PP52	0.000
PP53	0.000

Fig. 8. 36 Pesos en Kg del desecho de talla recuperado en las Pruebas de Pala en el Grupo G.

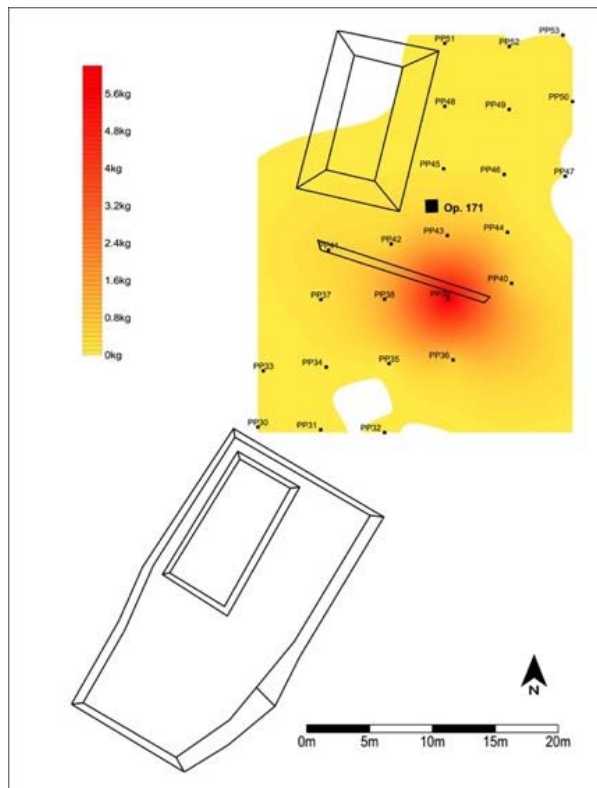


Fig. 8. 37 Mapa mostrando la ubicación de las Pruebas de Pala y el peso de desecho lítico obtenido en el Grupo B; ilustra la dispersión y concentración del material lítico

Op. 171

Una vez hechas las pruebas de pala, se decidió hacer una operación de prospección de 1 X 1 m entre las estructuras B-14 y B15 (ver Fig. 8.34). Como se puede ver en el mapa de distribución de material de las pruebas de pala se podrá observar que las pruebas de pala con la mayor concentración de desecho de talla fueron en la pendiente de lo que debió ser la parte posterior y la ladera del cerro.



Fig. 8. 38 Imágenes del Grupo B: (izquierda) foto de la estructura B-14; imagen de la estructura B-15 (derecha).

Esto nos llama la atención, y se piensa que B-14 es una estructura de uso habitacional, mientras que B-15 parece tener un uso como área de producción. En la porción Norte de B-15 hay una zona plana, en forma de terraza, que podría ser una aplanado y una zona de trabajo. Bajo esta lógica se decidió conocer la zona donde se encontró la mayor cantidad de material entre estas dos estructuras. Si se observa en el mapa (Fig. 8.39) la disposición de las estructuras, se puede ver que el acceso a la zona debió de ser W, y el manchón de material mayor se localizó en lo que sería la parte trasera.

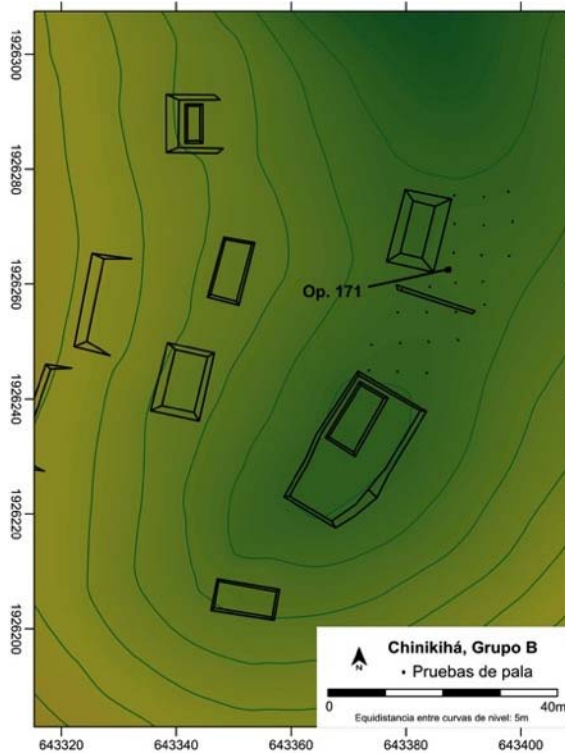


Fig. 8. 39 Mapa mostrando las pruebas de pala, la operación 171 y la topografía del terreno.

Se comenzó la operación 171 ubicándose al E de la estructura B-14 (ver Fig. 8.35). La idea era obtener la mayor cantidad de material arqueológico y ver la deposición y estratigrafía en la zona. Una de las razones por la que se ubicó ahí fue porque se localizaron manchones de desecho de talla en superficie.



Fig. 8. 40 Imágenes de la operación 171.

Capa I.

Capa de humus o materia orgánica en descomposición, de color muy oscura; color Munsell 5YR 2.5/1 Black o Negro (en seco) 7.5 YR 2/0 Black o Negro (en húmedo). Los primeros dos a tres cm estaban compuestos por hojarasca mezclada con tierra de la misma capa, ramas, y toda clase de materia orgánica de los alrededores en descomposición. La capa en si tenía abundantes raíces e insectos. La textura de la capa era limosa, de forma recta. La estructura del suelo era granular y de tamaño de estructura medio. Su extracción durante la excavación fue muy fácil; incluso parecía estar suelta. La capa tenía un tamaño promedio de 22 cm de ancho, con un relleno de piedras pequeñas y gravas angulares y frecuentes. En esta capa se localizaron y recuperaron restos malacológicos (xutes), cerámica, y lítica (desecho de talla, micro y macro lascas de calizas – pedernal/sílex; fragmento de navajilla prismática de obsidiana). La mayoría del material recuperado fue lítica, y el material arqueológico se encontraba mezclado en la capa. Se observó el mismo tipo de predominio de desecho de lítica sobre la cerámica.



Fig. 8. 41 Imagen de planta de la Capa I.

Capa II.

Capa irregular de textura limo-arcilloso, con estructura granular y de tamaño medio. Tenía una consistencia más firme que la capa anterior con una plasticidad moderada; las cantidades de limo y arcilla eran similares. El color Munsell de la capa era 7.5 YR 3/2 dark Brown o Café oscuro (en seco) y 10YR 2/2 very dark Brown o Café muy oscuro (en húmedo). Esta es una capa de relleno. Se tiene la roca madre que sobresale de la superficie, esta segunda capa es un relleno de piedras y gravas (abundantes) mezcladas con material arqueológico y tierra. En esta capa las cantidades de material arqueológico eran bastante homogéneas; entre la cerámica y lítica. También se recuperaron

restos malacológicos (xutes). Entre la lítica recuperada había desechos de talla y de presión (mico y macro lascas) de rocas calizas pedernal/sílex. El relleno llegaba prácticamente hasta el nivel en donde terminaba (o comenzaba) la roca madre, formando un tipo de firme o superficie plana.



Fig. 8. 42 Imagen del comienzo de la excavación de la Capa II; (izquierda) imagen del perfil, (derecha) imagen de planta donde se puede observar la gravilla utilizada para aplanar la superficie.

Como se puede observar en la imagen, la roca madre sobre sale de la superficie y utilizaron este relleno para aplanar y hacer un firme. Los antiguos habitantes rellenaron estos huecos o espacios vacíos, con un relleno de piedras, gravas, tierra y material arqueológico. Se puso el relleno y se terminó a forma de un firme de gravilla con tierra y poco material arqueológico. Sobre este firme comienza la Capa I. Cabe mencionar que el color y textura de la tierra fue la misma en el firme y en toda la Capa II.

Se tomaron dos muestras de tierra para flotación, una muestra para la Capa I y una muestra para la Capa II.

Muestra en Capa	Tomada a la profundidad (z) cm
I	73
II	108

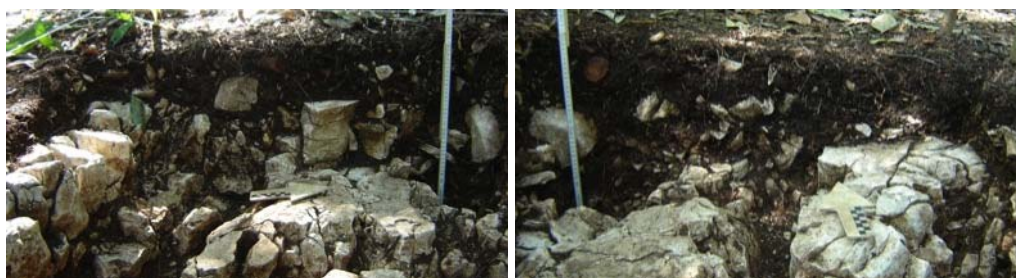


Fig. 8. 43 Imágenes de los Perfiles Oeste (izquierda) y Norte (derecha) de la operación 171.

Proyecto Arqueológico Chinikihá

Operación 171

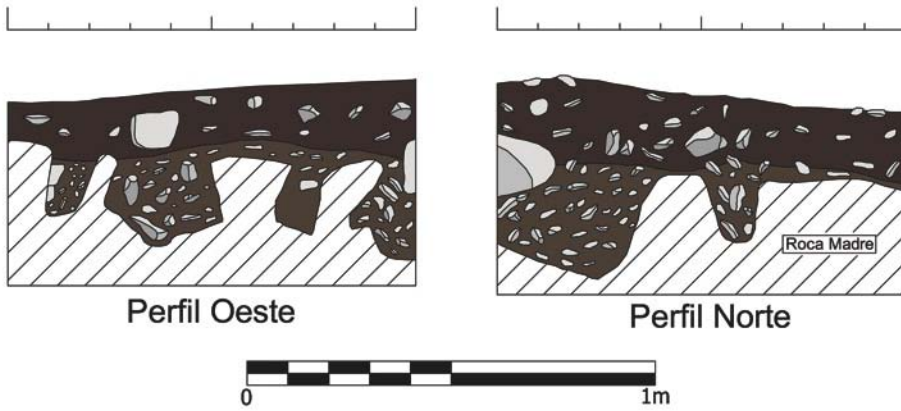


Fig. 8. 44 Dibujo de los perfiles Oeste y Norte de la operación 171.

Grupo C

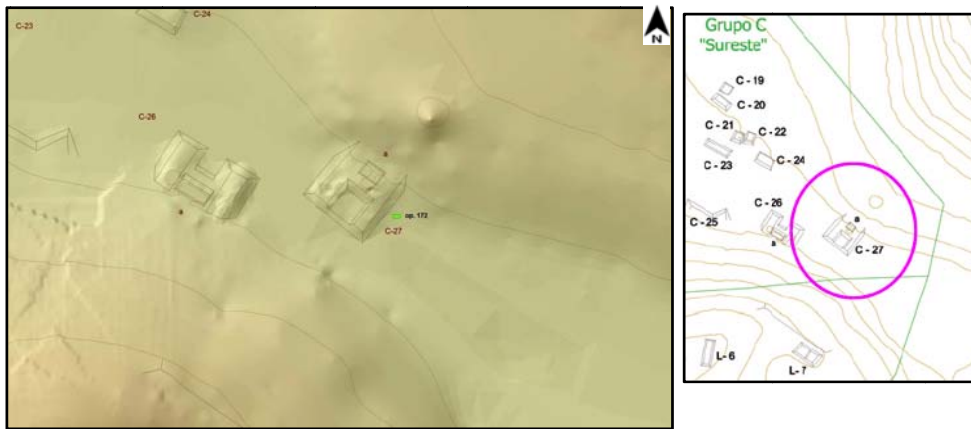


Fig. 8. 45 Mapa con la estructura C-27 y la Operación 172 en el Grupo C.

Como parte de los sondeos llevados a cabo por el PRACH, la Operación 172 se excavó en el Grupo C en el Sureste del sitio. Este grupo es una de las entradas al sitio. Tanto la topografía en la zona como el patrón de asentamiento indican un cierto control, en cuanto al flujo o paso por la zona (ver mapa 8.45). Incluso hoy en día, este mismo paso natural es utilizado como una brecha en la cual además de ganado, llegan a entrar camionetas. Este es una de las fronteras hasta ahora localizadas del sitio, incluso hasta aquí fue mapeado. Por un lado tienes dos cerros, uno al Norte y el otro al Sur, controlados por dos estructuras C-27 y C-26. En el caso de C-27, que fue donde estuvimos trabajando, es una estructura grande, con un patio interno y edificios abovedados.



Fig. 8. 46 Imagen de la terracería entre C-27 y C-26; acercamiento de la estela/lintel liso localizado en la parte frontal de C-27 junto a la terracería.

Desafortunadamente, precisamente por sus dimensiones arquitectónicas, tenía cuatro pozos de saqueo distribuidos en distintos lugares. Prácticamente el lado W de la estructura se lo llevaron con un trascabo, el pozo de saqueo dejó el esqueleto de la estructura visible, comprobando la existencia de cuartos internos y que el edificio fue abovedado. La estructura está orientada a un patio y al paso natural, en medio de ese patio hay una gran ceiba que parece dio cierta estabilidad a la estructura.



Fig. 8. 47 Imagen de la parte del parte interno de C-27 (izquierda) y uno de los pozos de saqueo donde se observa la parte interna de un edificio abovedado.

Otro aspecto interesante fue la localización en superficie de una pieza que parece una estela pequeña o un lintel liso. Éste se encuentra en la superficie junto a la terracería y todo parece indicar que fue movido (ver imagen 8.47).

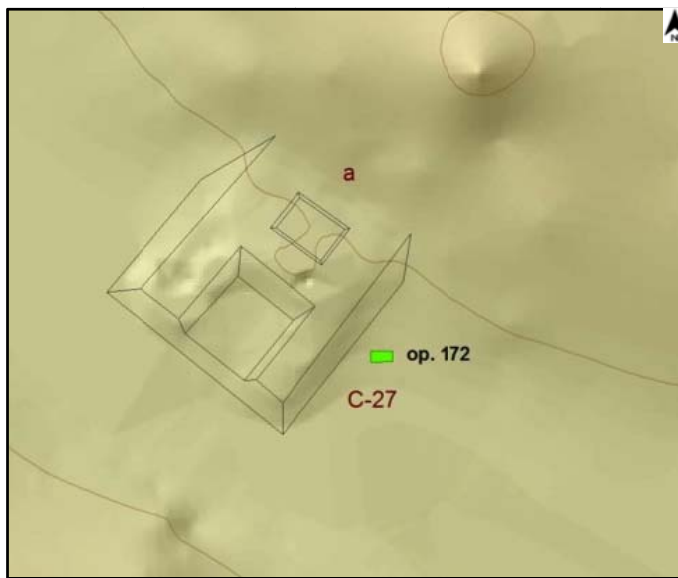


Fig. 8. 48 Mapa de la estructura C-27 con la operación 172.

Op. 172

Se llevó a cabo una operación de prospección al Sureste de la estructura C-27. Se limpió la zona de la vegetación secundaria y se comenzó la operación de sondeo de 2 X 1 m, orientada al Norte. El uso de suelo es de ganadería, pero debido a la topografía y las estructuras, esta zona estaba enmontada con vegetación secundaria. La operación mostró los restos de un basurero y una variedad de materiales; cerámica, lítica (tallada y pulida), hueso, xutes, y un fragmento de meteorito.



Fig. 8. 49 Imagen del terreno donde se ubico la operación 172 (izquierda) con la vegetación secundaria y la imagen de la operación una vez que se limpio la zona.

Capa I.

Capa de textura limo arcillosa, irregular y de un ancho promedio de 14 cm, de color Munsell 10YR 2/2 very dark Brown o Café muy oscuro con plasticidad ligera y consistencia en húmedo firme. La capa tenía bastante materia orgánica en descomposición: ramas y hojas. El estrato, a pesar de la gran cantidad y tamaño de raíces, fue de fácil extracción. El estrato está conformado por tierra con piedras y gravas angulares frecuentes mezclada con material arqueológico. En algunos lugares de la operación se observaron pequeños manchones o lentículas de ceniza volcánica. Se recuperó mucha cerámica en esta capa, además de lítica (fragmento de navajilla prismática de obsidiana; desecho de talla de piedras calizas, piedra careada – pedernal/sílex; restos malacológicos-xutes).



Fig. 8. 50 Imagen de la planta y el perfil S de la operación 171.

Capa II.

Capa de textura arcillosa con estructura granular. Es un estrato irregular con un ancho promedio de 17 cm. Su color Munsel es 2.5YR 2.5/4 dark reddish Brown o Café rojizo oscuro (en seco) y 5YR 3/3 (en húmedo) dark reddish Brown o Café rojizo oscuro. Esta fue la capa en la que se recuperó la mayor cantidad de material arqueológico; cerámica siendo el material dominante. El depósito resultó ser un basurero, con distintos materiales mezclados. La consistencia del estrato era firme con plasticidad ligera y porosidad mediana. El estrato estaba conformado por tierra mezclada con gravas y piedras angulares, además de material arqueológico y raíces. En ciertos lugares aparecieron tobas y manchones de ceniza volcánica. El material lítico recuperado fueron distintas lascas de desecho de talla, usualmente de piedras calizas como sílex o pedernal. También se recuperaron fragmentos de núcleos desbastados de calizas.



Fig. 8. 51 Imagen de la planta y el perfil Norte de la operación 172.

Capa III.

Estrato de textura arcillosa con una estructura granular y de forma irregular. Ultimo estrato antes de llegar a la roca madre, con consistencia firme y plasticidad moderada. El estrato estaba conformado con mucha arcilla, piedras angulares y subangulares y disminuyo el material arqueológico conforme se bajo. De todas las capas, ésta fue en la que menos material arqueológico se recuperó. El estrato tenía un color Munsell 2.5YR 4/4 reddish Brown o Café rojizo (en seco) y 5YR 3/2 dark reddish Brown o Café rojizo oscuro (en húmedo). En distintas partes de la capa salieron concreciones y pequeñas tobas de ceniza volcánica. Se recupero poca cerámica y poco desecho de talla de piedras calizas – sílex/pedernal. En la porción Oeste de la operación, se recuperaron dos fragmentos de hueso, uno a los 95 cm y otro a los 103 cm de profundidad. También se recuperó un pequeño fragmento de una roca metálica que parece ser un meteorito. Se llegó hasta este punto ya que la temporada de campo terminó, sin embargo se llegó a la roca madre en casi toda la unidad. El material arqueológico era prácticamente nulo. Se tomaron tres muestras de tierra para flotación, una muestra para cada capa.

Muestra de Capa	Tomada a la profundidad (z) cm
I	59
II	86
III	95

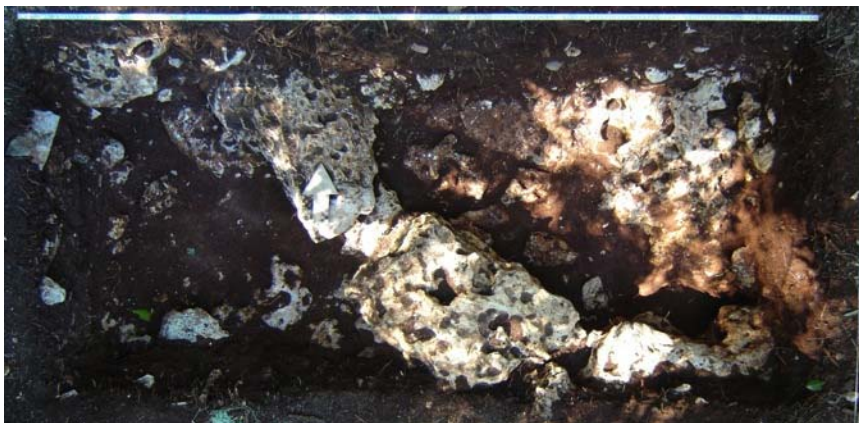


Fig. 8. 52 Imagen de la planta de la operación 172.

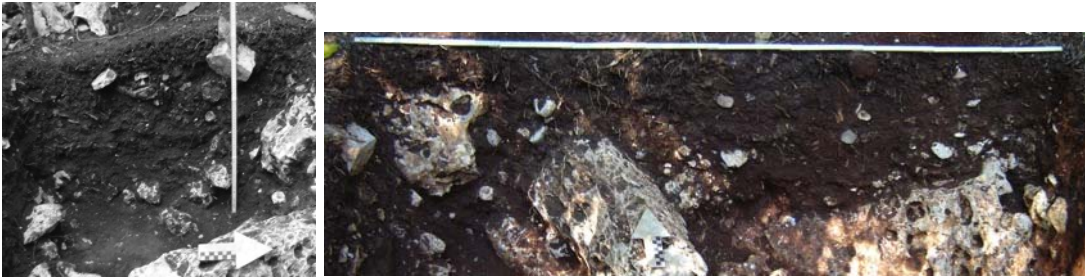


Fig. 8. 53 Imagen del perfil Oeste (izquierda) y el perfil Norte de la Operación 172.

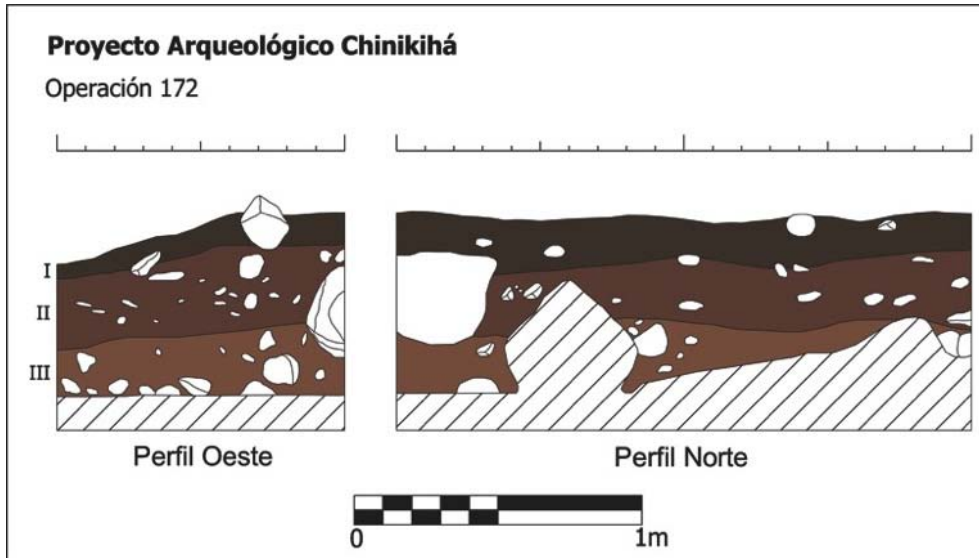


Fig. 8. 54 Dibujo del perfil Oeste y el perfil Norte.

Anexos

Control de bolsas de material arqueológico.

Numero Bolsa	Sitio	Operación	Elemento	Tipo de Material
3101	G22 Grupo G	165		Nivel Sup A Lítica
3102	G22 Grupo G	165		Nivel Sup A Xutes
3103	G22 Grupo G	165		Nivel Sup A Cerámica
3104	Grupo G Superficie	165		Mano Lítica
3105	Grupo G Superficie	165		Hacha Lítica
3106	G22 Grupo G	165		Muestra de Tierra Nivel Sup A Capa Orgánica
3107	G22 Grupo G	165		Nivel Sup B Cerámica
3108	G22 Grupo G	165		Nivel Sup B Lítica
3109	G22 Grupo G	165		Nivel Sup C Lítica
3110	G22 Grupo G	165		Nivel Sup C Cerámica
3111	G22 Grupo G	165		Nivel Sup D Lítica
3112	G22 Grupo G	165		Nivel Sup D Cerámica
3113	G22 Grupo G	165		Nivel Sup C Percutor
3114	G22 Grupo G	165		Nivel Sup E Lítica
3115	G22 Grupo G	165		Nivel Sup E Cerámica
3116	G22 Grupo G	165		Nivel Sup E Xutes
3117	G22 Grupo G	165	3	Nivel Sup E fragmento de espejo de pirita
3118	G22 Grupo G	165	2	Nivel Sup E punta de lanza pedernal
3119	G22 Grupo G	165		Nivel Sup F Lítica
3120	G22 Grupo G	165		Nive Sup F Cerámica
3121	G22 Grupo G	165		Nivel I Lítica
3122	G22 Grupo G	165		Nivel I Cerámica
3123	G22 Grupo G	165	1	Nivel I Lítica preforma
3124	G22 Grupo G	165		Nivel II Cerámica
3125	G22 Grupo G	165		NivelII Lítica (Obsidiana)
3126	G22 Grupo G	165		Nivel III Cerámica
3127	G22 Grupo G	165		Nivel III Lítica
3128	G22 Grupo G	165		Nivel IV Cerámica
3129	G22 Grupo G	165		Nivel IV Lítica
3130	G22 Grupo G	165		Nivel V Cerámica
3131	G22 Grupo G	165		Nivel V Lítica
3132	G22 Grupo G	165		Muestra de Tierra Capa I
3133	G22 Grupo G	165		Muestra de Tierra Capa II
3134	G22 Grupo G	165		Muestra de Tierra Capa III
3135	G22 Grupo G	165		Muestra de Tierra Capa IV
3136	G22 Grupo G	165		Carbón Nivel IV (z= 165 cm)
3137	G16 Grupo G	176		Material de Superficie Cerámica
3138	G16 Grupo G	176		Material de Superficie Lítica
3139	G16 Grupo G	176		Nivel Superficie I Cerámica
3140	G16 Grupo G	176		Nivel Superficie I Lítica

3141	G16 Grupo G	176	Nivel Superficie I Lítica
3142	G16 Grupo G	176	Nivel Superficie I Lítica
3143	G16 Grupo G	176	Nivel Superficie II Cerámica
3144	G16 Grupo G	176	Nivel Superficie II Lítica
3145	G16 Grupo G	176	Nivel Superficie II Lítica
3146	G16 Grupo G	176	Nivel Superficie II Lítica
3147	G16 Grupo G	176	Nivel Superficie II Cerámica
3148	G16 Grupo G	176	4 Nivel Superficie II Lítica (Preforma de pedernal)
3149	G16 Grupo G	176	Nivel Superficie II Lítica (fragmento de cuenta)
3150	G16 Grupo G	176	Nivel Superficie II Lítica
3151	G16 Grupo G	176	Nivel Superficie III Cerámica
3152	G16 Grupo G	176	Nivel Superficie III Lítica
3153	G16 Grupo G	176	Nivel Superficie III Lítica
3154	G16 Grupo G	176	Nivel I Cerámica
3155	G16 Grupo G	176	5 Nivel I Lítica
3156	G16 Grupo G	176	Nivel I Lítica (Obsidiana)
3157	G16 Grupo G	176	Nivel I Lítica Hacha
3158	G16 Grupo G	176	Nivel II Lítica
3159	G16 Grupo G	176	Nivel II Lítica
3160	G16 Grupo G	176	Nivel II Lítica
3161	G16 Grupo G	176	Nivel II Lítica
3162	G16 Grupo G	176	Nivel II Lítica punzones de pedernal
3163	G16 Grupo G	176	Nivel III Cerámica
3164	G16 Grupo G	176	Nivel III Lítica
3165	G16 Grupo G	176	Nivel III Cerámica
3166	G16 Grupo G	176	Nivel III Lítica (Obsidiana)
3167	G16 Grupo G	176	Nivel IV Cerámica
3168	G16 Grupo G	176	Nivel IV Lítica
3169	G16 Grupo G	176	Nivel V Lítica
3170	G16 Grupo G	176	Nivel V Cerámica
3171	G16 Grupo G	176	Nivel V Cerámica
3172	G16 Grupo G	176	Nivel VI Lítica
3173	G16 Grupo G	176	Nivel VI Cerámica
3174	G16 Grupo G	176	Nivel VI Cerámica
3175	G16 Grupo G	176	Nivel VII Cerámica
3176	G16 Grupo G	176	Nivel VII Cerámica
3177	G16 Grupo G	176	Nivel VII Lítica (Obsidiana)
3178	G16 Grupo G	176	Muestra de Tierra Perfil N Capa I
3179	G16 Grupo G	176	Muestra de Tierra Perfil N Capa II
3180	Grupo G	PP12	Lítica
3181	Grupo G	PP12	Lítica
3182	Grupo G	PP12	Lítica
3183	Grupo G	PP10	Lítica
3184	Grupo G	PP13	Lítica
3185	Grupo G	PP14	Lítica
3186	Grupo G	PP14	Lítica
3187	Grupo G	PP18	Lítica (obsidiana)

3188	Grupo G	PP14	Lítica
3189	Grupo G	PP10	Cerámica
3190	Grupo G	PP11	Cerámica
3191	Grupo G	PP18	Cerámica
3192	Grupo G	PP19	Lítica
3193	Grupo G	PP17	Cerámica
3194	Grupo G	PP13	Cerámica
3195	Grupo G	PP14	Cerámica
3196	Grupo G	PP11	Lítica
3197	Grupo G	PP21	Lítica
3198	Grupo G	PP21	Lítica
3199	Grupo G	PP20	Lítica
3200	Grupo G	PP17	Lítica (obsidiana)
3201	Grupo G	PP21	Lítica (obsidiana)
3202	Grupo G	PP16	Lítica
3203	Grupo G	PP25	Lítica
3204	Grupo G	PP17	Lítica
3205	Grupo G	PP24	Lítica
3206	Grupo G	PP22	Cerámica
3207	Grupo G	PP24	Cerámica
3208	Grupo G	PP26	Lítica
3209	Grupo G	PP23	Lítica
3210	Grupo G	PP21	Cerámica
3211	Grupo G	PP22	Lítica
3212	Grupo G	PP20	Cerámica
3213	Grupo G	PP26	Cerámica y Lítica
3214	Grupo G	PP25	Cerámica
3215	Grupo G	PP23	Cerámica
3216	Grupo C	172	Cerámica Nivel IV
3217	Grupo C	172	Lítica (obsidiana) Nivel IV
3218	Grupo C	172	Hueso Nivel IV
3219	Grupo C	172	Meteorito Nivel IV
3220	Grupo C	172	Hueso Nivel IV
3221	Grupo C	172	Cerámica Nivel V
3222	Grupo C	172	Lítica Nivel V
3223	Grupo C	172	Muestra de Tierra Capa I
3224	Grupo C	172	Muestra de Tierra Capa II
3225	Grupo C	172	Muestra de Tierra Capa III
3226	Grupo G	PP12	Lítica
3227	Grupo G	PP13	Lítica
3228	Grupo B	171	Nivel Superficie II Lítica
3229	Grupo G	PP1	Lítica
3230	Grupo G	PP10	Lítica
3231	Grupo G	PP12	Lítica
3232	Grupo G	PP8	Lítica
3233	Grupo G	PP4	Lítica (obsidiana)
3233	Grupo G	PP12	Cerámica
3234	Grupo G	PP6	Cerámica
3235	Grupo G	PP8	Cerámica

3236	Grupo G	PP7	Lítica
3237	Grupo G	PP2	Lítica
3238	B14 Grupo B	171	Nivel I Lítica (obsidiana)
3239	B14 Grupo B	171	Nivel II Lítica
3240	B14 Grupo B	171	Nivel I Cerámica
3241	B14 Grupo B	171	Nivel Superficie I Cerámica
3242	B14 Grupo B	171	Nivel Superficie II Cerámica
3243	B14 Grupo B	171	Nivel Superficie II Cerámica
3244	B14 Grupo B	171	Nivel Superficie II Lítica
3245	B14 Grupo B	171	Nivel I Cerámica
3246	Grupo G	PP4	Cerámica
3247	Grupo G	PP6	Lítica
3248	B14 Grupo B	171	Lítica Nivel III
3249	B14 Grupo B	171	Lítica Nivel II
3250	B14 Grupo B	171	Nivel III Cerámica
3251	B14 Grupo B	171	Nivel II Lítica
3252	B14 Grupo B	171	Nivel III Xutes
3253	Grupo B	PP39	Lítica
3254	Grupo B	PP41	Lítica
3255	Grupo B	PP42	Lítica
3256	Grupo B	PP43	Lítica
3257	Grupo B	38	Lítica
3258	Grupo B	PP39	Lítica
3259	Grupo B	PP39	Lítica
3260	Grupo B	PP39	Lítica
3261	Grupo B	PP36	Lítica
3262	Grupo B	PP40	Lítica
3263	Grupo B	PP40	Cerámica
3264	Grupo B	PP39	Cerámica
3265	Grupo B	PP34	Cerámica
3266	Grupo B	PP34	Lítica y Obsidiana
3267	Grupo B	PP44	Lítica
3268	Grupo B	PP35	Lítica
3269	Grupo B	PP37	Lítica
3270	Grupo B	PP53	Cerámica
3271	Grupo B	PP33	Cerámica
3272	Grupo B	PP32	Cerámica
3273	Grupo B	PP30	Lítica
3274	Grupo B	PP30	Cerámica
3275	Grupo B	PP49	Cerámica
3276	Grupo B	PP48	Cerámica
3277	Grupo B	PP51	Cerámica
3278	Grupo B	PP35	Cerámica
3279	Grupo B	PP46	Lítica
3280	Grupo B	PP47	Cerámica
3281	Grupo B	PP48	Lítica (obsidiana)
3282	B14 Grupo B	171	Nivel II Xutes
3283	Grupo B	PP50	Cerámica
3284	Grupo B	PP49	Lítica

3285	Grupo B	PP44	Cerámica
3286	Grupo B	PP36	Cerámica
3287	Grupo B	PP31	Lítica
3288	Grupo B	PP37	Cerámica
3289	Grupo B	PP51	Lítica
3290	Grupo B	PP50	Lítica
3291	Grupo B	PP52	Cerámica
3292	Grupo B	PP49	Cerámica
3293	Grupo B	PP45	Cerámica
3294	Grupo B	PP33	Lítica
3295	Grupo B	32	Lítica
3296	Grupo B	PP41	Cerámica
3297	Grupo B	PP31	Cerámica
3298	B14 Grupo B	171	Muestra de Tierra Capa I
3299	B14 Grupo B	171	Muestra de Tierra Capa II
3300	Grupo B	PP45	Lítica
2799	G16 Grupo G	176	6 Nivel VI Lítica Raspador de pedernal

9. INFORME PRELIMINAR DE LAS EXCAVACIONES EN EL SITIO DE BOCA CHINIKIHÁ, TEMPORADA 2011

Nicoletta Maestri

Entre el 31 de Enero y el 24 de Marzo 2011, en el marco del Proyecto Arqueológico Chinikihá, se llevó a cabo la segunda temporada de excavaciones en el sitio de Boca Chinikihá (para una descripción del sitio y de los trabajos anteriores, véase López et al. 2010; Maestri 2010; Silva de la Mora y Marván 2009). Objetivo de esta temporada era, por un lado, seguir con el programa de sondeo empezado el año pasado con el fin de tener un muestreo de materiales asociados a todas las principales estructuras del sitio y, por otro lado, excavar unas áreas seleccionadas que se piensa ser relacionadas con posibles accesos al sitio desde el río Chinikihá. La posición estratégica de Boca Chinikihá, en las orillas del río Usumacinta y al desemboque del río Chinikihá en este último, es paralela a la de otros sitios secundarios en el medio Usumacinta que están relacionados con centros políticos mayores como Pomoná (Anaya 2002, 2005), Yaxchilán y Piedras Negras (Golden and Scherer 2006; Canter and Pentecost 2007). Infraestructuras relacionadas con el tránsito fluvial, como rampas, terrazas, pequeños diques, muros de contención, y cañadas han sido registradas en el área del Usumacinta y en otras regiones Mayas y han sido propuestas como evidencia de asentamientos con puertos fluviales (Ashmore et al. 1983; Barrett and Guderjan 2006; Canter and Pentecost 2007; Cook 2005; Keller 2006; Pring and Hammond 1975; Siemens et al. 2002, Turner and Johnson 1979). La existencia de este tipo de infraestructuras, junto con la posible presencia de materiales foráneos, importados en el sitio de Boca Chinikihá podría aclarar su papel y sus relaciones en el paisaje político-económico de la región del medio Usumacinta. En esta temporada se realizaron un total de 11 operaciones. De estas, 10 fueron pozos de sondeo de 2x2 metros, y una consistió en una excavación extensiva de 2x8 metros, subdividida en 4 operaciones de 2x2 metros y dos extensiones de 1x1 mt (Fig.9.1.)



Fig. 9. 1. Mapa de Boca Chinikihá con ubicación de las operaciones del 2011

En seguida, se describen las operaciones agrupadas por estructura asociada.

Operaciones 217, 218 y 219 Asociadas a la Estructura 12

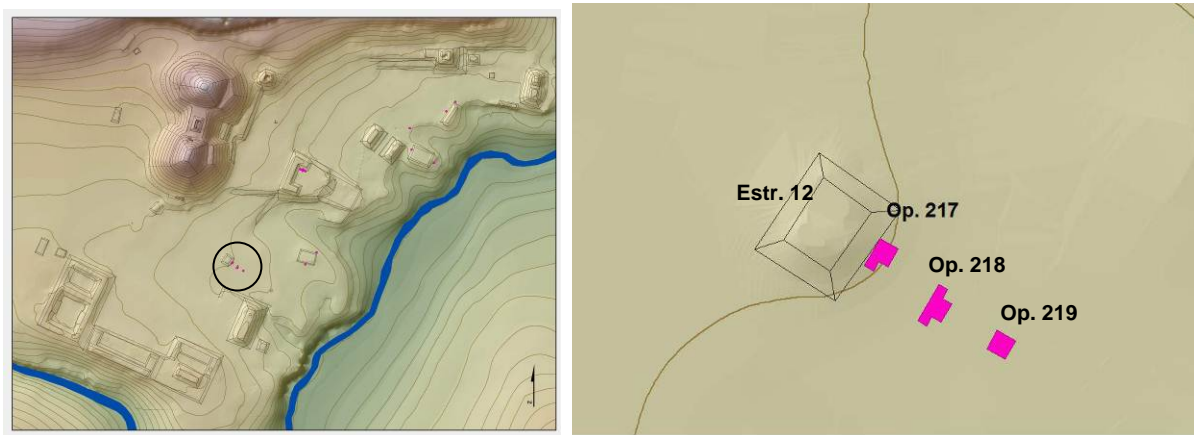


Fig. 9.2. Operaciones 217, 218, 219

Esta serie de operaciones (217, 218, 219) se abrieron en correspondencia del lado Este de la estructura 12 (Fig.9.2). Los pozos, orientados en dirección NE-SW, fueron ubicados a cada 5 metros de distancia el uno del otro, hacia el río Chinikihá. Las excavaciones iniciaron el 31 de enero, y la primera fase consistió en la limpieza de la vegetación. Se formuló la hipótesis que la estructura 12 pudiera marcar el acceso a una de las plazas del sitio de Boca Chinikihá desde el Río Chinikihá. Por esto se planearon una series de pozos de sondeo desde esta estructura hacia el limite inundable a la orilla del río, para averiguar la presencia de posibles infraestructuras connectadas al acceso al sitio, como rampas, o alineacion de piedras como parte de planos terrazados. Despues de abrir la operación 219 nos dimos cuentas, una vez completado un recorrido a lo largo de la orilla del río, que entre la estructura 12 y 10 existía un desnivel de unos metros en el río que hubiera hecho imposible para canoas subir el río hasta este punto.

Operación 217

La operación 217 fue colocada en correspondencia del lado Este de la estructura 12. El datum fue colocado en la esquina SW de la operación, a 53 cm encima del suelo. Se empezó retirando la capa superficial de material orgánico mezclado a hojas y raices, que corresponde a los primeros centímetros de la capa 1. Como en todas las operaciones, se procedió reconociendo capas naturales y culturales, y al mismo tiempo, se dividió el material encontrado por niveles arbitrarios de 10 cm.

- **Capa 1**

La capa 1 tiene un promedio de 20-25 cm de profundidad y es de color café oscuro (Munsell 7.5 YR-2.5/1). En los primeros 10 cm el material cultural fue escaso. Se encontró cerámica, lítica y unas navajillas de obsidiana. Hay muchas raices finas y gruesas, piedras y cantos. El segundo nivel de la capa 1 proporcionó más material cultural. En este nivel, a una profundidad de 20 cm bajo la superficie, despues de retirar unas piedras derrumbadas de la plataforma 12, aparecieron unas piedras de gran tamaño a lo largo del lado oeste, pegadas a la estructura. La tierra sigue siendo de la misma matriz pero con más inclusiones de piedritas y cantos pequeños que se deshacen facilmente. En algunas áreas de la operación el estrato tiene un color más claro quizás por el deshacerse del material calizo. El nivel de piedras se concentra en el lado oeste de la operación aunque piedras de gran tamaño aparecen también en la esquina NE. Una vez retirada la capa 1, se ve que la alineación de piedras y lajas sigue una dirección N-S (Fig.9.3).

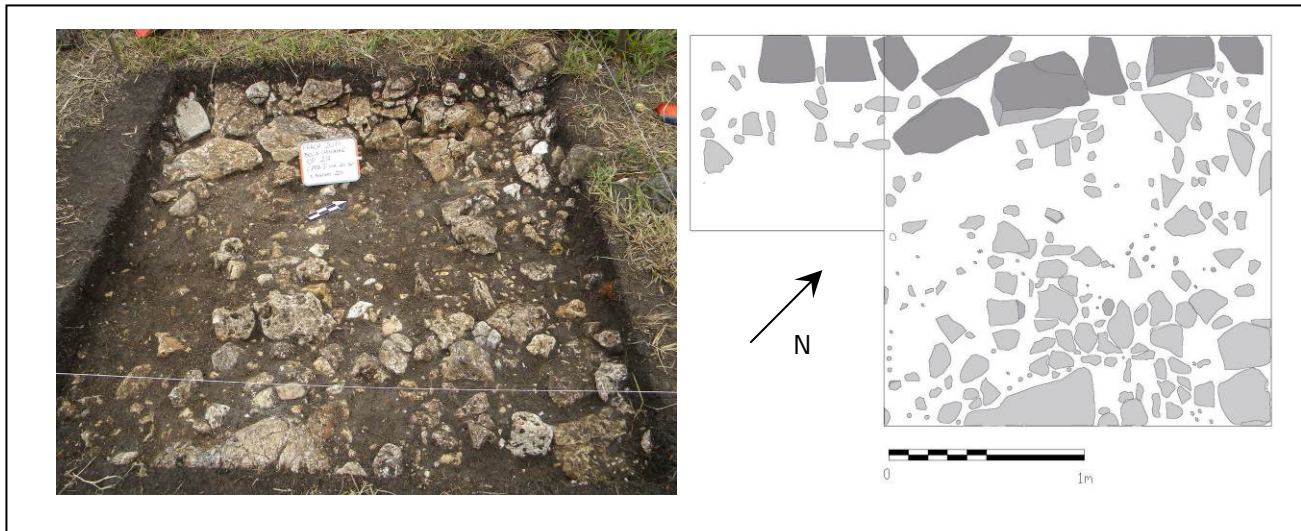


Fig. 9. 3. Op.217, Capa 1

- **Capa 2**

La capa 2 tiene una profundidad media de 25 cm. Su matriz tiene un color marrón rojizo (Munsell 7.5 YR 4/3), y presenta muchas inclusiones de piedritas. Esta es la capa donde apoya la alineación de piedras y lajas descritas anteriormente. Esta hila de piedras parece apoyarse sobre un nivel de piedras más pequeñas. El material cultural es abundante, especialmente lítica y obsidiana, y salieron unos fragmentos de carbón en la esquina N (#2163). En el segundo nivel de la capa 2, en el cuadrante SE, salió un fragmento de cerámica con pintura roja.

Abrimos una ampliación de 1x1 metro en el lado suroeste de la operación para averiguar si la alineación de piedras continuaba (Op. 217 Ext. SW), y detectamos que la hilas de lajas seguía hacia el límite sur de la cuadra.

- **Capa 3**

Bajo la capa 2 se encontró un estrato de piedritas mezcladas a una capa de color amarillento, con escaso material asociado. Después de unos 4-5 cm se ven afloraciones de roca madre, más visibles a lo largo del lado este (Fig.9.4).

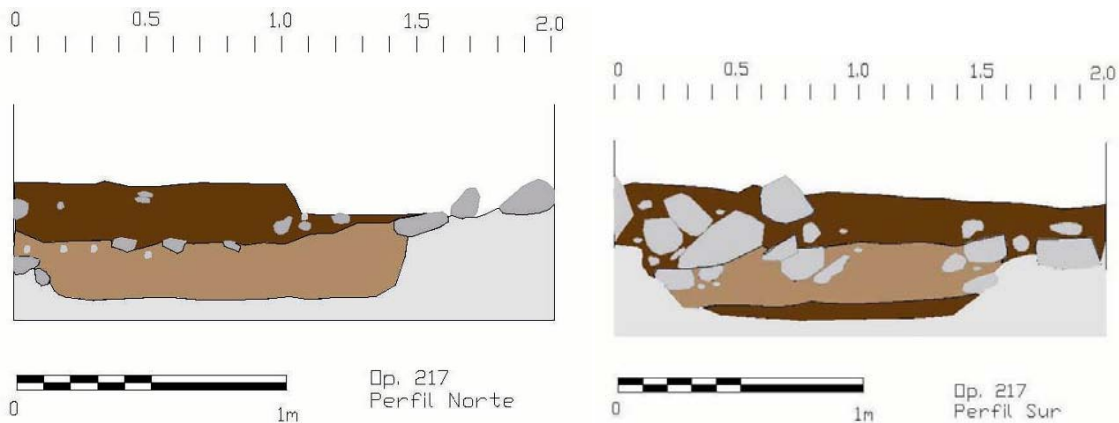


Fig. 9. 4. Op. 217, Perfil Norte y Sur

Operación 218

La Operación 218, siempre de 2x2 mt., fue abierta 5 metros al este de la Op. 217, a una distancia de mas o menos 9 metros de la estructura 12. El datum se colocó en la esquina SW a una altura de 57 cm. Cabe subrayar que hay una diferencia en la pendiente entre el lado W y E de la operación de 20 cm.

- **Capa 1**

La capa 1 tiene una profundidad promedio de 14-20 cm. Hay mucho material orgánico, abundantes raices y su matriz tiene grietas y se presenta de color negro (Munsell 2.5 YR 2.5/1 black). A una profundidad de 10-15 cm aparece un empedrado formado por bloques angulares y rectangulares de grande y media dimensión. Entre los espacios se encontró material disperso (cerámica, lítica tallada, lascas de pedernal y navajillas prismática de obsidiana). Se destaca en este nivel una posible alineación de lajas mas grandes que corre en dirección NW- SE, con una desviación de 27° al oeste (Fig.9.5,9.6).



Fig. 9. 5. Op.218, Foto Capa 1

Extensiones NW, SW, SSW:

Para seguir y confirmar la presencia de una alineación de piedras a lo largo de la operación se abrieron unas series de tres extensiones de 1x1 metro al sur y al norte de la operacion principal. En estas operaciones se bajaron solamente unos niveles para averiguar que la alineación continuaba y seguía afuera de los margines excavados de las cuadras. No fue posible, sin embargo, encontrar ninguna esquina. En la extensión NW se encontró un núcleo de pedernal y algunas lascas y navajillas de obsidiana, pero en general muy poca cerámica.

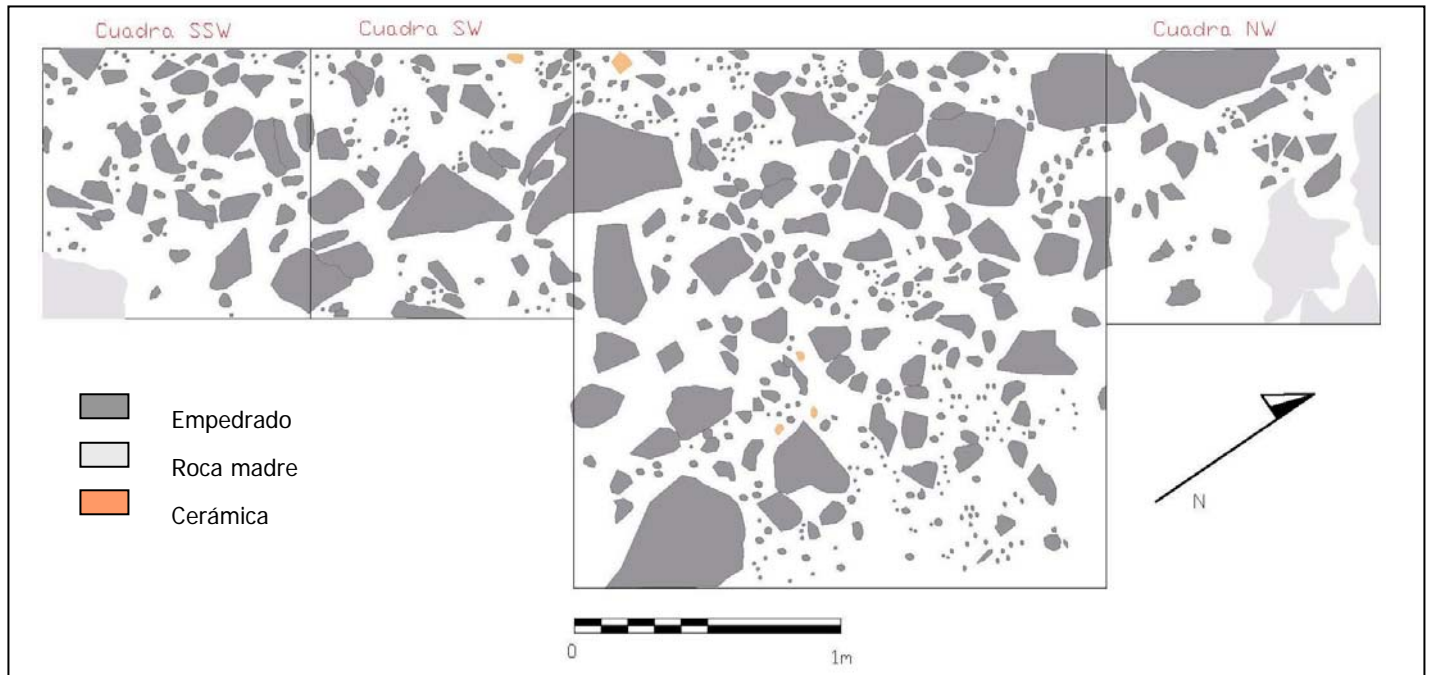


Fig. 9. 6. Op.218, dibujo capa 1

- **Capa 2**

La capa 2 está constituida por una matriz de color más claro (Munsell 2.5 Y 4/6 olive brown) y tiene una profundidad media de 20 cm. Hay abundante frecuencia de piedras y gravas de media y pequeña dimensión. La cerámica parece disminuir en este estrato pero se encontraron lascas de pedernal y navajillas de obsidiana.

- **Capa 3**

La capa 3 tiene una profunda promedio de 20 cm, pero se encontró material cultural solamente en los primeros 10 cm. La matriz tiene un color amarillento (Munsell 2.5 Y 6/8 olive yellow) y hay muchos fragmentos de caliza subangulares y gravilla. En este nivel se encontró un fragmento de un borde de cerámica rojo ceroso. Se observa el afloramiento de roca madre, intemperizada, y asociado a esto no se encontró material arqueológico (Fig.9.7.).

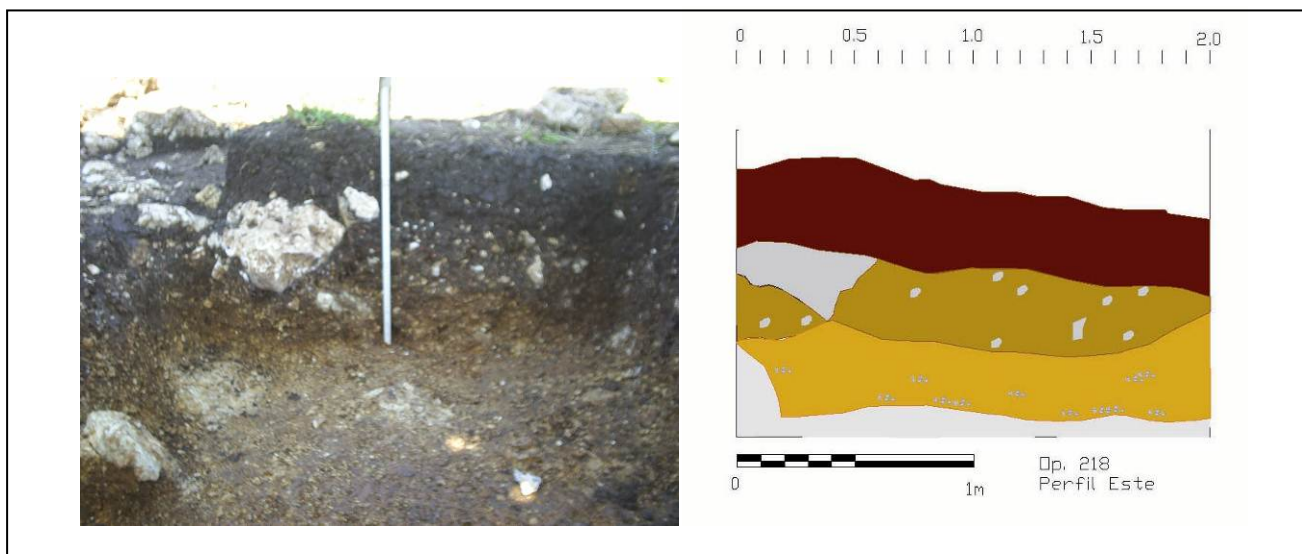


Fig. 9. 7. Op. 218, Foto y dibujo Perfil Este

Operación 219

La operación 219 fue la última abierta en correspondencia de la estructura 12. Fue abierta a una distancia de 5 metros de la 218. El nivel de referencia (datum) se colocó en la esquina SW a una altura de 37 cm. El área tiene una marcada pendiente hacia el este, siguiendo la pendiente hacia la orilla del río. El pozo, de 2x2 mt., está orientado 60° al oeste del norte. Se identificaron un total de dos capas naturales por una profundidad final del pozo de ca. 40 cm. En general esta excavación proporcionó escaso material cultural.

- **Capa 1**

La capa 1 tiene una profundidad promedio de 20 cm. La matriz es de color oscuro (Munsell 7.5 YR 2.5/1 black) y hay muchas inclusiones de raíces y poca gravilla. En este estrato se encontró una buena cantidad de material cultural (cerámica, lítica y obsidiana)

- **Capa 2**

La capa 2 es de un color más claro (Munsell 7.5 YR 4.3 brown), y mide aproximadamente 20 cm. En este nivel hay más inclusiones de gravas y piedras de medio y pequeño tamaño. En el centro de la operación y en el cuadrante SE se encontraron manchas de carbón y tierra quemada. El material cultural fue más escaso e incluyó cerámica, lítica pulida y tallada, huesos, obsidiana, jutes y conchas. Bajo el segundo nivel de la capa 2, a una profundidad de 40 cm apareció un estrato amarillento de piedras calizas, muy intemperizadas y no se encontró más material cultural y por eso se interrumpió la excavación (Fig.9.8.).

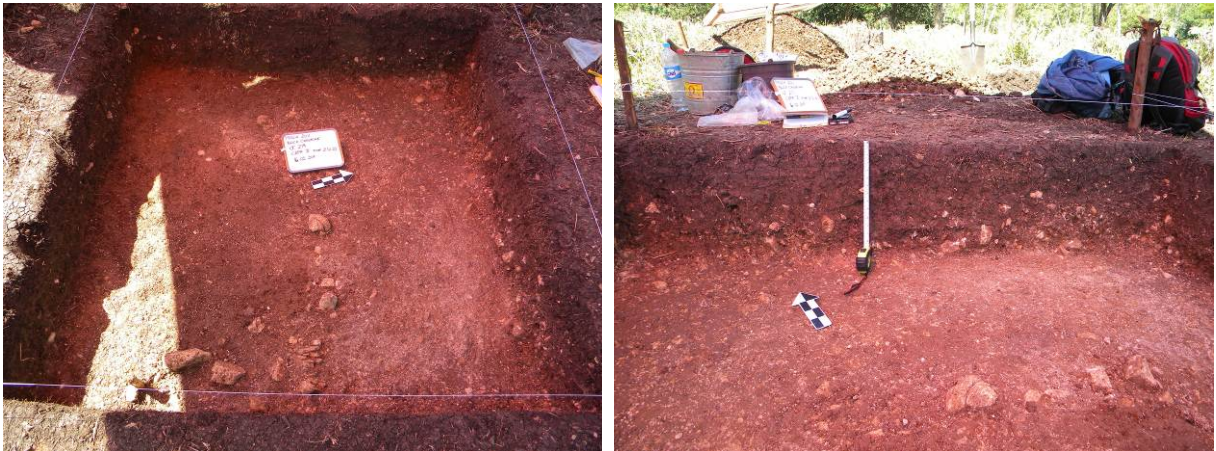


Fig. 9. 8 . Op. 219, Foto capa 2 y perfil Norte

Operaciones 220 y 221 Asociadas a la Estructura 11

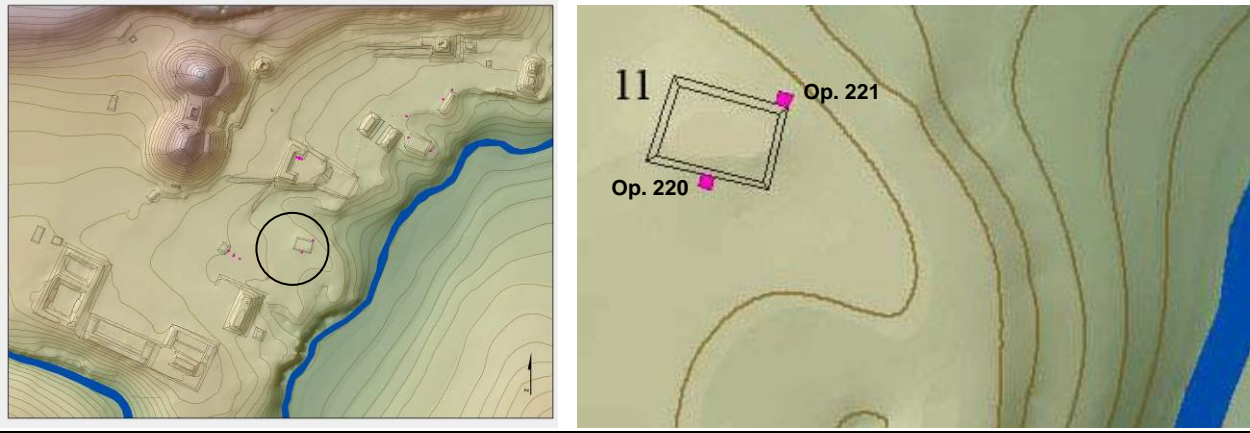


Fig. 9. 9. Operaciones 220, 221

La Estructura 11 fue la segunda área elegida para excavaciones. La plataforma se apoya a un afloramiento rocoso natural y se encuentra al lado de una pendiente que forma una pequeña cañada, o cuenca, hacia el río Chinikihá. El desplante de la estructura, en su lado este, dista unos 30 metros del límite inundable de la planicie, durante la temporada de lluvia. Decidimos sondear esta estructura porqué su posición la indicaba como un posible punto de control del tráfico desde el río Chinikihá hacia el asentamiento. La operaciones 220 y 221 se abrieron respectivamente pegadas a los lados sur y norte de la plataforma (Fig.9.9.).

Operación 220

La operación 220 se abrió en correspondencia del eje mediano del lado sur de la estructura. El pozo de 2x2 mt. estaba orientado con la estructura. El datum fue colocado en la esquina SW a un altura de 56 cm. El área tiene una fuerte pendencia hacia el sur. Se registraron un total de dos capas naturales (Fig.9.12). Esta operación se destaca por la abundante presencia de material lítico y por el hallazgo de una vasija completa por $\frac{3}{4}$, encontrada invertida en la esquina SW del pozo (Fig.9.10).

- **Capa 1**

La capa 1 tiene una profundidad promedia de 15 cm, y su matriz se presenta de un color café oscuro/negro (Munsell 5 YR 2.5/1 black). Las pocas piedras de gran tamaño se concentraban en el lado norte de la operación, cercano a la estructura. Entre las piedras se encontró abundante material, especialmente cerámica, lascas de pedernal y fragmentos de navajillas de obsidiana de color gris opaco con vetas negras.

- **Capa 2**

La capa 2 tiene una profundidad promedia de 30-35 cm y su matriz tiene un color más claro (Munsell 2.5 Y 4/6 olive brown). Retirando esta capa se ve que la acumulación de piedras pegadas al lado norte del pozo sigue hasta el centro de la cuadra. Se encontró mucha cerámica dispersa entre las piedras en muy mal estado de conservación. Sobresale la presencia de una cabeza de figurilla. En el segundo y tercer nivel de la capa 2 sobresale la gran cantidad de material lítico, especialmente pedernal: bifaciales, una punta de proyectil, desechos de tallas, y núcleos. Estos hallazgos se concentran en la esquina NE de la cuadra. Se encontró también un hueso tallado imitando una espina de raya. El lado sur-suroeste de la operación se encuentra libero de piedras y con una mayor acumulación de tierra. En la esquina SW, a una profundidad de aproximadamente 30 cm de la superficie, se halló un cajete de borde evertidos, casi completo, en posición invertida (boca abajo), rodeado por otros fragmentos y bordes de cerámica (Fig.9.11.). En este nivel se empieza a ver el afloramiento natural de roca caliza, especialmente en el lado este. Se bajó un nivel más hasta encontrar en estrato amarillento que rodeaba partes del afloramiento de roca madre, con material calizo intemperizado y ausencia de material cultural. Se interrumpió la excavación.



Fig. 9. 10. Op. 220, Foto capa 1 y 2.



Fig. 9. 11. Op.220, cajete invertido, hallazgo capa 2

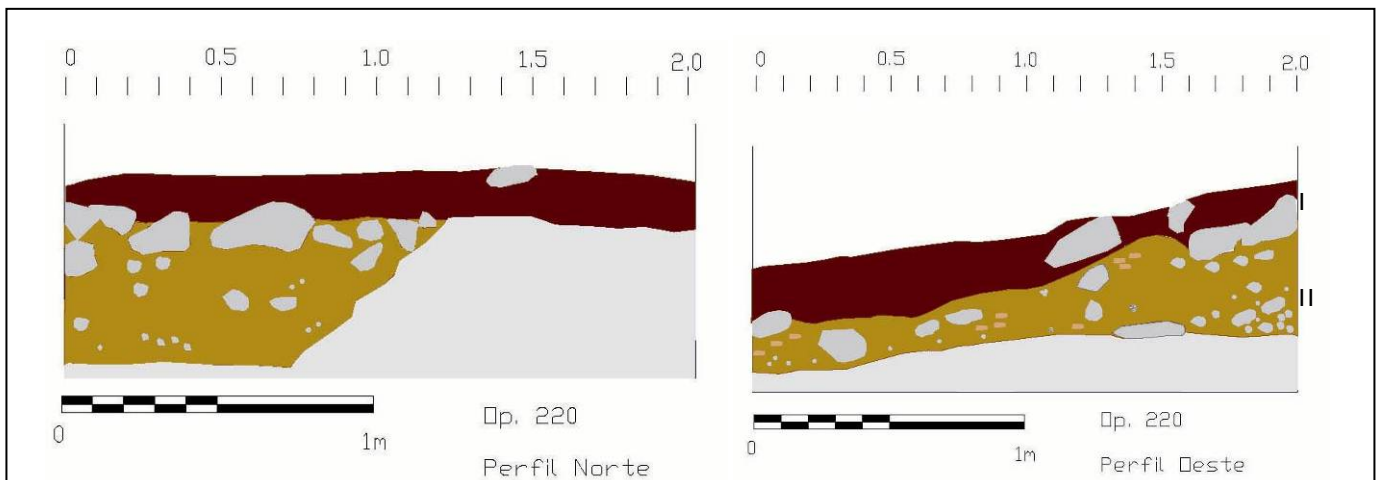


Fig. 9. 12. Op.220, Perfil Norte y Oeste

Operación 221

Operación de 2x2 metros abierta en correspondencia de la esquina NE de la estructura 11. En este área se observa un afloramiento de roca caliza al cual se apoya la estructura (Fig.9.13). El datum fue colocado en la esquina SW, a un altura de 62 cm. Se registraron dos capas naturales por un total de 4 niveles métricos (Fig.9.15, 16). El

material es abundante, sobre todo material malacológico, lítica tallada y pulida. En el primer nivel se encontraron unos fragmentos de vidrio de botella.



Fig. 9. 13. Op. 221, Foto inicio y fin excavación

- **Capa 1**

La capa 1 tiene una profundidad promedio de 15 cm y se presenta de un color café oscuro (Munsell 7.5 YR 2.5/2 very dark brown). En los primeros centímetros se encontraron inclusiones modernas en la forma de fragmentos de vidrio de botella. En la parte sur de la cuadra se ve el afloramiento de caliza. Hay cerámica dispersa. En el segundo nivel de la capa 1 apareció más material: cerámica, lítica, y jutes. Se halló una parte de un metate y una mano, unas navajillas de obsidiana y una punta de proyectil. El material se concentra en el sector NE y NW.

- **Capa 2**

La capa 2 tiene una profundidad promedio de 25 cm y su matriz es de color café (Munsell 7.5 YR 4/3 brown). La matriz se encuentra mezclada con piedras de pequeño y medio tamaño. El material es más abundante en este estrato, sobre todo cerámica. Se destaca el hallazgo en este nivel de varios bordes y fragmentos rojo ceroso. El material lítico es también abundante, núcleos y lascas de pedernal, y material malacológico como jutes. En el perfil oeste se encontró una cabeza de figurilla zoomorfa, posiblemente de un jaguar.

Se decidió ampliar la operación hacia el oeste de 1x1 metro. Se retiraron las piedras y en el medio de estas se encontró bastante material cerámico. Se destaca el hallarse parte de un fondo rojo ceroso con soporte en forma de botón. Bajo las piedras se encontraron piedras más pequeñas. En toda la operación, después de retirar el segundo nivel de la capa 2, el material arqueológico empieza a disminuir hasta desaparecer, y se ve el afloramiento de caliza, junto con fragmentos de piedras calizas sueltas. El área de excavación se encontró también restringida por la presencia del afloramiento de roca madre (Fig.9.14).



Fig. 9. 14. Op.221, capa 2

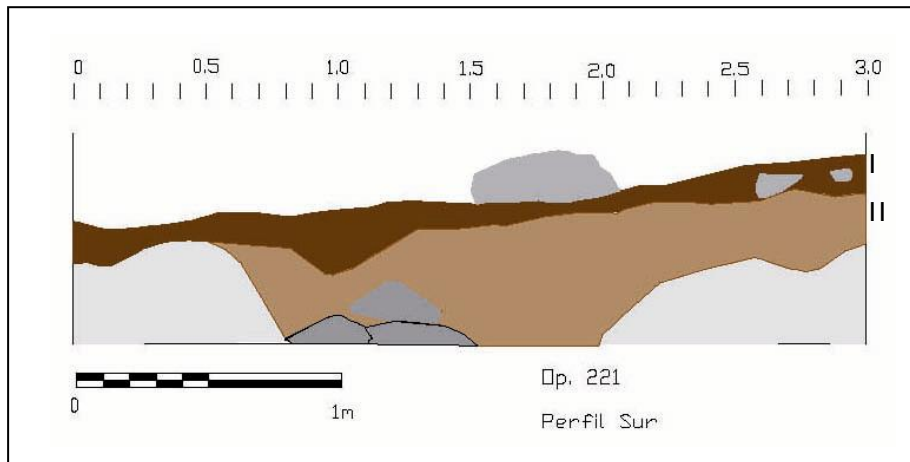


Fig. 9. 15. Op.221. Perfil Sur

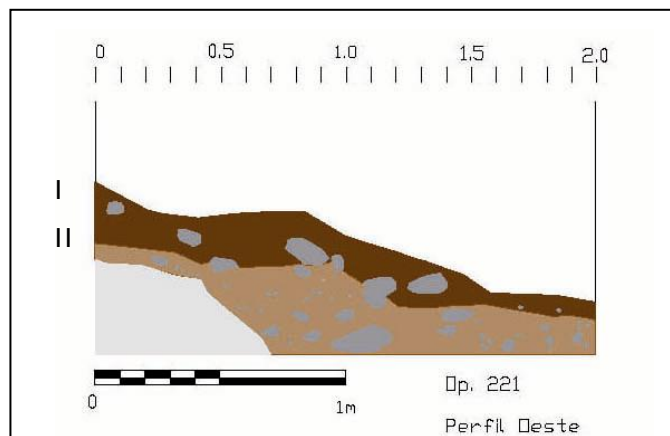


Fig. 9. 16. Op.221, Perfil Oeste

Operaciones 222-225 y 231 Asociadas a la Estructura 10

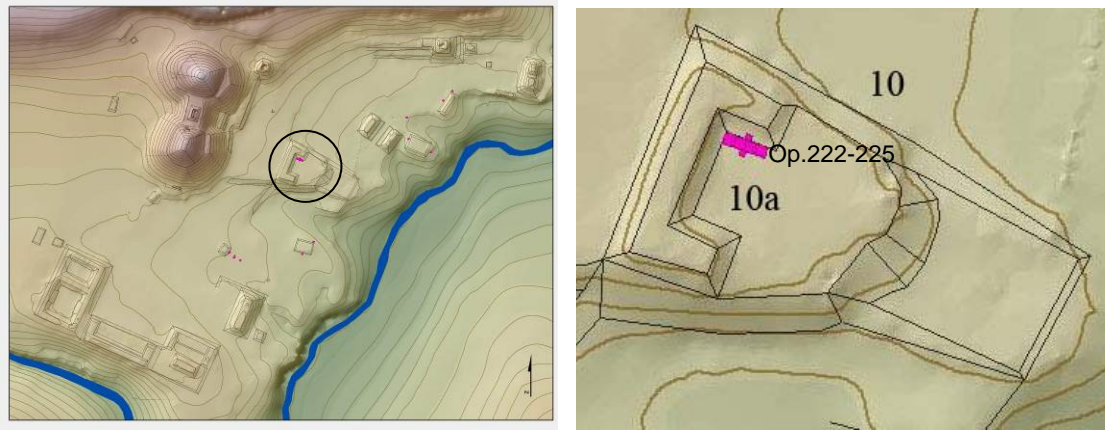


Fig. 9. 17. Ubicación de las operaciones 222, 223, 224, 225, y 231

Las operaciones 222, 223, 224, 225 y 231 se planearon para sondear la estructura 10 y tener informaciones que aclararan su función (Fig.9.17). Esta estructura es un edificio largo, en forma de C que desplanta sobre una plataforma de dos niveles que mira hacia el río Chinikihá. Unos pozos de sondeo se llevaron a cabo en la temporada 2010, atrás de la estructura para averiguar la presencia de basureros o acumulación de material cultural, especialmente cerámica, que pudiera proporcionar informaciones sobre la cronología de la estructura (Véase, Maestri 2010). El material recuperado está actualmente bajo análisis. En esta temporada se quería averiguar la posibilidad que esta área fuera utilizada como lugar de control de mercancías u otros artículos procedentes del tráfico fluvial. También se quería verificar si la estructura tenía una finalidad residencial, cosa que no nos parecía muy probable. Las excavaciones se abrieron a la esquina del brazo norte de la estructura 10 con el cuerpo principal. Se colocó una cala de 2x8 metros, orientada con el lado de la estructura y desviada 28° al este del norte magnético. Esta fue luego dividida en 4 operaciones, 222, 223, 224, 225 y dos extensiones de 1x1 metro al norte y al sur de la operación 224 (Op.231 y Op 224 Ext. Norte). El datum fue colocado en la esquina SW de la operación 222, a una altura de 53 cm (Fig.9.23).

En seguida se describen las distintas operaciones:

Operación 222

Operación de 2x2 abierta en la esquina interior NW de la estructura. En el lado norte se notan muchas piedras, probablemente derrumbadas de la estructura. El área tiene una fuerte pendiente hacia el este y de norte a sur. A una profundidad de aproximadamente 50 cm de la superficie en el sector norte y de 20 cm en el sector sur se encontró un nivel de piedras de grande y media dimensión que corre hacia la op.223 y termina con una grada o muro de contención. Este se interpretó como un empedrado que se apoyaba al brazo N de la estructura y seguía hacia el sur y posiblemente hacia el otro lado de la estructura. Asociado a la OP.222 se encontró abundante material cultural: un fragmento de mano y metate (posiblemente en contexto secundario, encontrándose quebrados y reutilizado como material de relleno por en el empedrado), cerámica, jutes, lítica tallada y pulida, huesos, conchas, obsidiana y una cuenta de barro. Se registraron dos capas naturales, por un total de 6 niveles métricos (Fig.9.22).

- **Capa 1**

La capa 1 tiene una profundidad media de 20 cm, la matriz es de color café oscuro (Munsell 7.5 YR 2.5/1). En los primeros 10 cm, cerca de la esquina NW se encontró una acumulación de jutes. La capa está perturbada por la presencia de muchas raíces. Se encontraron fragmentos de cerámica y lítica.

- **Capa 2**

La capa 2 tiene una profundidad de 10-15 cm en el sector sur de la cuadra y aproximadamente 30 cm en el sector norte. La matriz es de un color café claro (Munsell 7.5 YR 5/3). Se destaca la presencia de muchas piedras careadas y lajas de medias y grandes dimensiones, especialmente en los lados norte y oeste de la operación, probablemente caídas de la estructura. El material es abundante: cerámica, lítica tallada y pulida, jutes, navajillas de obsidiana, huesos, conchas, y una cuenta de barro. La capa 2 cubría un nivel de piedras, piedritas y lajas que formaban el empedrado delimitado por la grada/muro de contención encontrado en las operaciones 223, 224. Entre las piedras del empedrado se halló un mano, posiblemente reutilizado como material de relleno.

Operación 223

La operación 223, de 2x2 mt., fue abierta al este de la OP. 222. Se registraron dos capas, por un total de 6 niveles métricos (Fig.9.22).

- **Capa 1**

La capa 1 tiene una profundidad media de 15-20 cm. El color de la matriz es marrón-rojizo (Munsell 10 YR 3/2). En la capa 1 hay tierra mixta a piedritas pequeñas y piedras grandes del derrumbe de la estructura 10. En los primeros 10 cm se recolectó un pedazo de carbón. El material incluyó cerámica, lítica, obsidiana, jutes y conchas, y pedazos de barro quemado, posiblemente de bajareque.

- **Capa 2**

La capa 2 tiene una profundidad de aproximadamente 20 cm en el sector sur y 30-35 cm en la parte norte de la operación. La tierra es de color café claro (Munsell 7.5 YR 5/3) y hay inclusiones de piedras y gravas. Retirando la capa 2 a una profundidad de aproximadamente 50 cm de la superficie aparecieron unas lajas alineadas en dirección N-S en el límite este de la operación, colindante con la OP. 224. El material encontrado incluyó: abundante cerámica, obsidiana, lítica tallada y pulida, fragmentos de huesos quemados, jutes, barro quemado, y una mano de figurilla.

Operación 224

Operación de 2x2 metros, abierta al este de la Op. 223. En esta operación se halló a unos 20 cm bajo la superficie, en el lado oeste, al límite con la Op. 223, una hila de piedras que formaban un muro de contención de una grada que se extendía hacia el oeste y corría por las operaciones 222 y 223 hasta juntarse con el cuerpo principal de la estructura 10 (Fig.9.20). Para seguir este muro, se abrieron dos extensiones de 1x1 metro hacia NW y SW (ext. Norte y OP.231) y se pudo averiguar que el muro se apoyaba al brazo norte de la estructura y que hacia el sur, en la Op.231, el muro seguía hasta el límite de la excavación y posiblemente continuaba hacia el otro lado de la estructura 10 (Fig.9.18). En los últimos días de la temporada, se decidió sondear un sector de la OP.224 pegado al muro, es decir las cuadras NW y SW. Se bajó hasta el nivel donde desplantaba el muro, y se encontró un nivel de piso, con restos de estuco, muy erosionado, y, por falta de tiempo, se terminó la excavación. En esta excavación se encontró abundante material cultural: cerámica, lítica tallada, lítica pulida, parte de un metate, huesos, conchas, jutes y obsidiana. Se recolectaron unas muestras de tierras bajo un nivel de ceniza y bajo el nivel del piso de estuco. Se encontraron 4 capas, por un total de 8 niveles métricos (Fig.9.22).

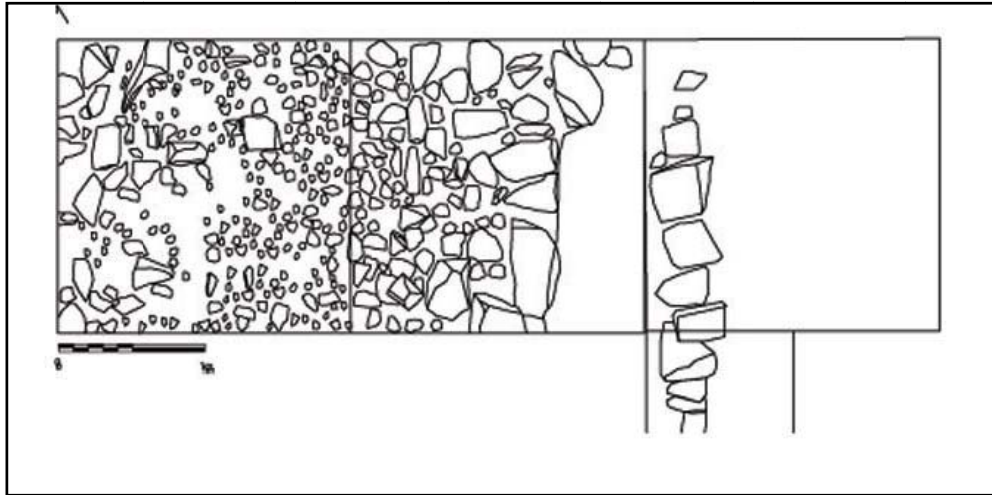


Fig. 9. 18. Op. 222, 223, 224, empedrado y muro de contención de la grada

- **Capa 1**

La capa 1 tiene una profundidad media de 15 cm en el sector sur y de 20-25 cm en el lado norte de la operación, probablemente debido a la pendiente. Es una capa de color café oscuro (Munsell 7.5 YR 2.5/1). Los primeros 10-15 cm están perturbados por el abundante presencia de raíces y se encontró, en la esquina SE, un pedazo de lámina de metal. Se notan inclusiones de piedritas y gravas distribuidas por toda la operación. El material cultural incluyó cerámica, huesos, obsidiana, jutes, lítica, y pedazos de barro quemado, posiblemente parte de revestimiento de bajareque.

- **Capa 2**

La capa 2 tiene una profundidad promedio de 30 cm. La matriz es de color gris y de una consistencia más fina, gredosa, casi polvo, con inclusiones de caliza (Munsell 10 YR 5/3). Este estrato se encuentra mezclado con un nivel de piedras de grandes dimensiones, algunas careadas que se distribuyen, sin aparente arreglo, por toda la operación, y siguen en la operación 225. En el medio de este nivel de piedras se encontró un fragmento de metate. En el lado oeste de la operación estas piedras cubrían la hilera de lajas que forman el muro de contención de la grada ya identificada en la operación 223. En el sector sureste de la operación, a una profundidad de 30 cm de la superficie, se encontró una lente de ceniza asociada a pedazos de carbón. Se tomó una muestra de la lente de ceniza y de la tierra bajo esta, así como del carbón (Fig.9.19). El material encontrado en esta capa incluía: cerámica, lítica, obsidiana, y huesos encontrados cerca del área quemada.



Fig. 9. 19. Op 224, Fragmento de metate y lente de ceniza, capa 2

- **Capa 3**

La capa 3 tiene una profundidad media de 20 cm y fue excavada en un área de 1x2 metros en las cuadras NW y SW de la operación 224. Esta se encontraba debajo de las piedras y tenía una consistencia y color similar a la capa 2: el mismo color gris y textura gredosa. Se excavó en el área pegada a las piedras del muro de contención de la grada por una extensión de 1 x 2 metros. Esta capa cubría el piso de estuco sobre el cual desplantaba la hila de piedras. Se encontraron fragmentos de cerámicas, jutes, obsidiana, y huesos.

- **Capa 4**

La capa 4 consistía en el estrato de tierra mezclada al los restos de estuco del piso encontrado en las cuadras NW y SW. Fue excavado solamente en el sector SW y se recolectó una muestra de tierra para análisis. Sobre el piso se encontraron fragmentos de cerámica polícroma y rojo ceroso, y unos fragmentos de navajilla de obsidiana.

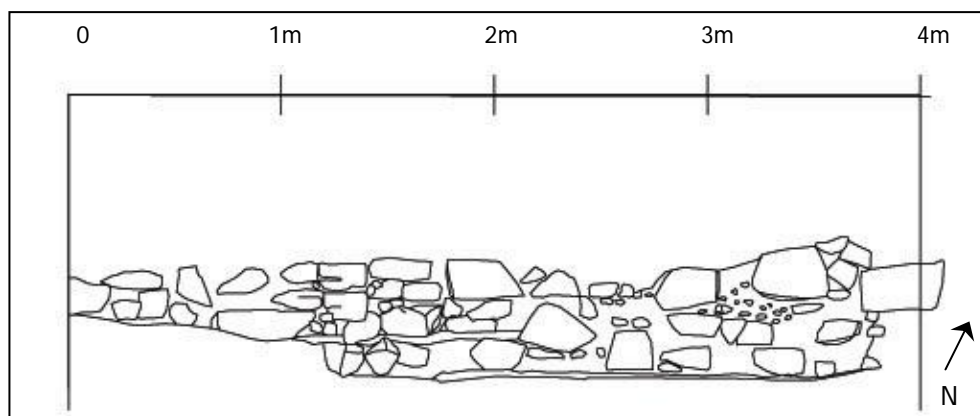


Fig. 9. 20. op. 224, Corte muro de contención.



Fig. 9. 21. Op.224, foto muro de contención

Operación 225

Operación de 2x2 metros, abierta a lado de la op. 224. Esta fue la última de la serie de excavaciones abiertas en la estructura 10. La operación está caracterizada por la presencia de piedras de gran tamaño, algunas careadas, sin aparente arreglo. El material incluía: cerámica, obsidiana, lítica, huesos quemados, una cuenta de hueso o un hueso

labrado, jutes, barro quemado y un diente humano (muela). Se registraron un total de 2 capas, por un total de 4 niveles métricos (Fig.9.22).

- **Capa 1**

La capa 1 tenía una profundidad de 20 cm y su matriz era de un color café oscuro (Munsell 7.5. YR 2.5/1). Hay muchas raíces y inclusiones de piedritas. El material incluyó cerámica, jutes, lítica, y huesos.

- **Capa 2**

La capa 2 tiene una profundidad de 30 cm. El color y la textura es muy similar a la capa 2 de la operación 224: color gris y consistencia fina y gredosa. Este estrato se encuentra mezclado con un nivel de piedras de grandes dimensiones, algunas careadas que se distribuyen, sin aparente arreglo, por toda la operación, y siguen en la operación 224. El material encontrado incluye: cerámica, jutes, obsidiana, huesos, y un hueso labrado, barro quemado y una muela humana. Se recolectó una muestra de carbón a una profundidad de 46 cm de la superficie. Por falta de tiempo se decidió seguir con la excavación solamente en un sector de 1x2 metros en la operación 224, en correspondencia del muro de contención de la grada.

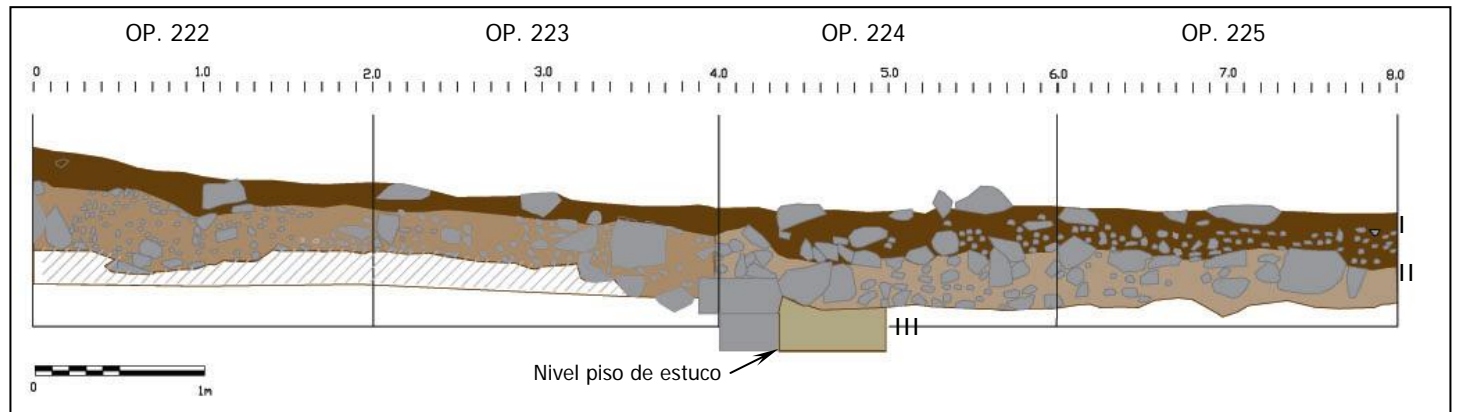


Fig. 9. 22. Op.222-225, Perfil Norte



Fig. 9. 23. Op.222-225, fin excavación

Operaciones 226 y 227 Asociadas a la Estructura 7

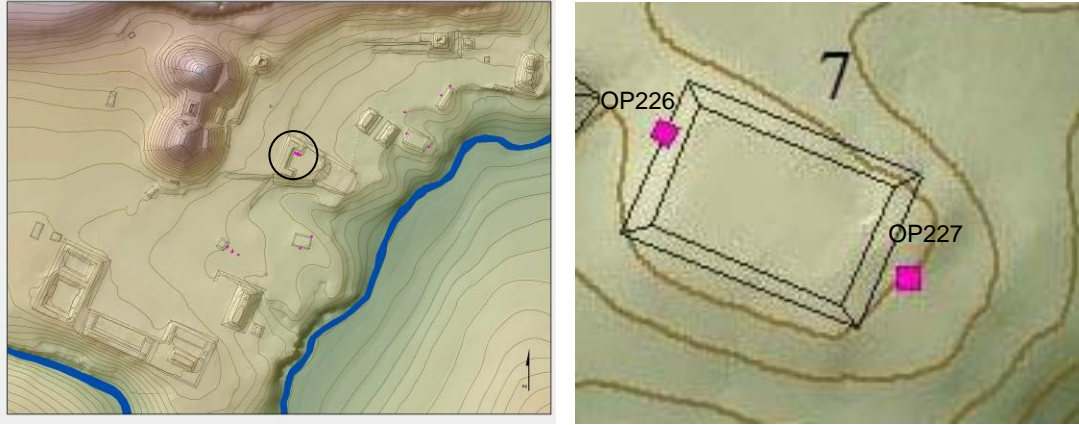


Fig. 9. 24. Ubicación operaciones 226 y 227

La Estructura 7 fue elegida para excavaciones de sondeo debido a su posición a lado de una cañada que llega hasta el río Chinikihá y por encontrarse encima de un altura cuyos límites representan los límites del área inundable de la planicie, durante la temporada de lluvia. La plataforma se encuentra por mitad en el área abierta donde crece el pasto y por mitad adentro del achahual. La operación 226 se colocó en correspondencia del lado oeste de la plataforma, entre esta última y el edificio 8 del Juego de Pelota, mientras que la operación 227 se posicionó dentro del área de achahual. Por esa razón, el estado del terreno y el suelo es muy diferente en las dos operaciones (Fig.9.24).

Operación 226

Operación de 2x2 metros abierta en correspondencia del lado oeste del la estructura 7, entre esta y la estructura 8 del Juego de Pelota. El pozo está orientado con la estructura y desviado 30° al este respecto al norte magnético. El datum se posicionó en la parte media de perfil este, a una altura de 62 cm. Cabe mencionar que en la esquina SW de la operación, al nivel de la capa 2 se encontró un entierro. Hallandose justo en la esquina de la operación, se decidió ampliar de 1x2 metros hacia el este y sur para liberar completamente el entierro (Fig.9.25). Se registraron dos capas naturales por un total de 6 niveles métricos (Fig.9.26). El material fue abundante. Destaca el hallazgo de dos cabezas de figurilla zoomorfa, abundantes tiesto cerámicos, entre estos unos fragmentos rojo ceroso, y abundante lítica y obsidiana.



Fig. 9. 25. Op.226, Foto final y ubicación entierro 1

- **Capa 1**

La capa 1 tiene una profundidad media de 15-20 cm. Se presenta de color café oscuro con pocas inclusiones de piedras y gravas y de una textura limosa. En el sector NW y lado oeste, pegado a la estructura, se encuentran piedras de grandes dimensiones. Entre estas piedras se encontró una cabeza de figurilla zoomorfa en forma de reptil. En el primer nivel de la capa 1 se encontraron unas navajilla de obsidiana, unas lascas de pedernal, huesos animales y un fragmento de cerámica rojo ceroso. Más lítica apareció en el segundo nivel, donde se encontró un fragmento de bifacial y más restos óseos de animal (posiblemente una aleta de pez).

- **Capa 2**

La capa 2 tiene una profundidad promedio de 30-40 cm, y es de un café claro, y de matriz limosa. Hay más inclusiones de piedras de medio y gran tamaño y de gravas. En los primeros niveles se encontró bastante material, como navajillas de obsidiana, cerámica, lítica. Entre las rocas en el sector N y W se halló mucha cerámica dispersa, material óseo y unos fragmentos de plastrones de tortuga.

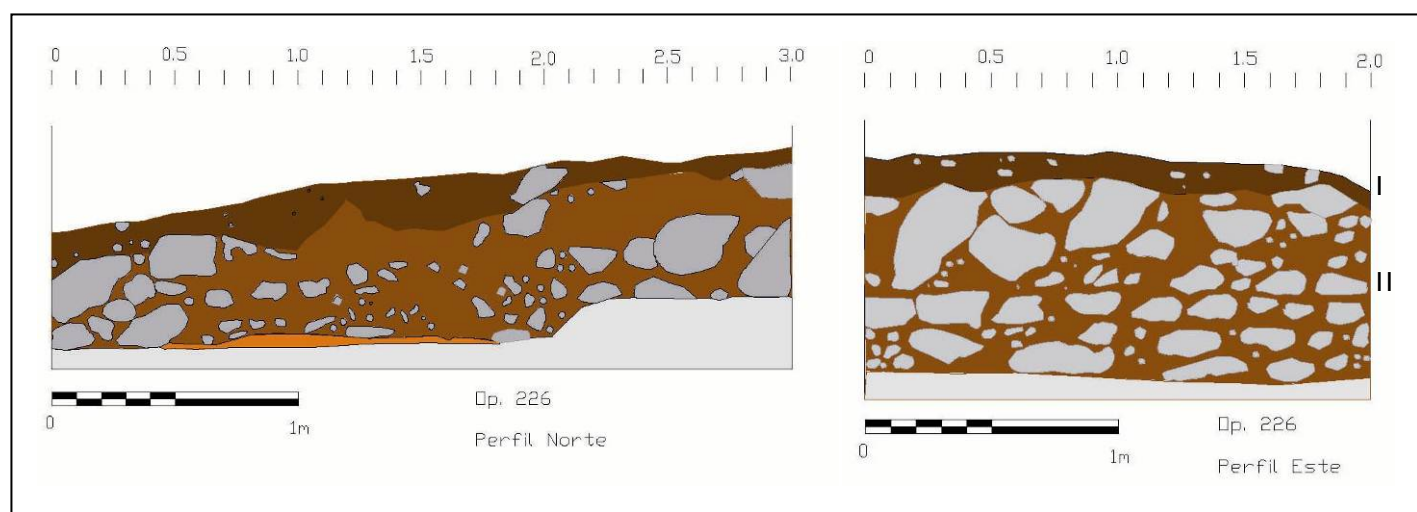


Fig. 9. 26. Op.226, Perfil Norte y Este

Entierro #1

A una profundidad de 60 cm de la superficie, en el sector sureste de la operación, pegado al perfil, apareció un cráneo aplastado y fragmentado (Fig.9.27). El cráneo está invertido, probablemente roto o se trata de un contexto secundario. Asociado al cráneo se encontraron un fragmento de pirita, unas navajillas de obsidiana y unos fragmentos de cerámica tipo rojo ceroso. Además del cráneo, se hallaron unos huesos largos y partes del sacro. El entierro (Entierro #1, OP 226) está ubicado al fondo de la excavación donde ya se ve aflorar la roca madre. Para liberar completamente el entierro se abrieron dos extensiones al este y sur de la operación 226, dado que el entierro tenía una orientación E-O y seguía afuera de los límites de la operación, (para una más detallada descripción del entierro véase la cédula de entierro en los anexos).



Fig. 9. 27. Op.226, Entierro #1

Operación 227

La operación 227 se abrió adyacente al lado oeste de la estructura 7, en un área donde la cobertura de vegetación es de acahual (Fig.9.28). El pozo, de 2x2 mt., está desviado 10° al est del norte magnetico. El operación tiene una fuerte pendencia N-S, hacia el orilla del río Chinikihá. El datum se colocó en correspondencia de la esquina SW de la operación, a un altura de 58 cm. Se registraron tres capas naturales, pero el material cultural se concentró en las primeras dos, siendo la capa 3 de material parental (Fig.9.29). El material cultural fue escaso, se encontró cerámica dispersa (entre esta un fragmento de rojo ceroso), jutes, navajillas de obsidiana, y lascas de pedernal. En general las capas tenían una consistencia más limosa, posiblemente por la cercanía al río Chinikihá y al área inundable.



Fig. 9. 28. Op. 227, Inicio y Fin Excavación

- **Capa 1**

La capa 1 tiene una profundidad media de 5 cm. y es de un color café oscuro (Munsell 7.5 YR 2.5/2 very dark brown). La matriz es de tipo limosa y las inclusiones (piedras, gravas, cantos), aparte por raíces y materia orgánica, son muy escasas. El material cultural incluía fragmentos de cerámica dispersos (cabe subrayar unos fragmentos de cerámica rojo ceroso), lítica tallada y pulida, navajillas de obsidiana, y jutes.

- **Capa 2**

La capa 2 tenía una profundidad media de 20-30 cm, la consistencia es limoso-arcillosa y se presenta de un color más claro (Munsell 7.5 YR 4/3 brown). Hay muchas raíces y muy escasa presencia de piedras. En esta capa se encontró cerámica y lítica tallada.

- **Capa 3**

La capa 3 era constituida por material parental de roca caliza, intemperizada. Se bajó en este estrato por 10-20 cm sin encontrar material cultural y se cerró la operación.

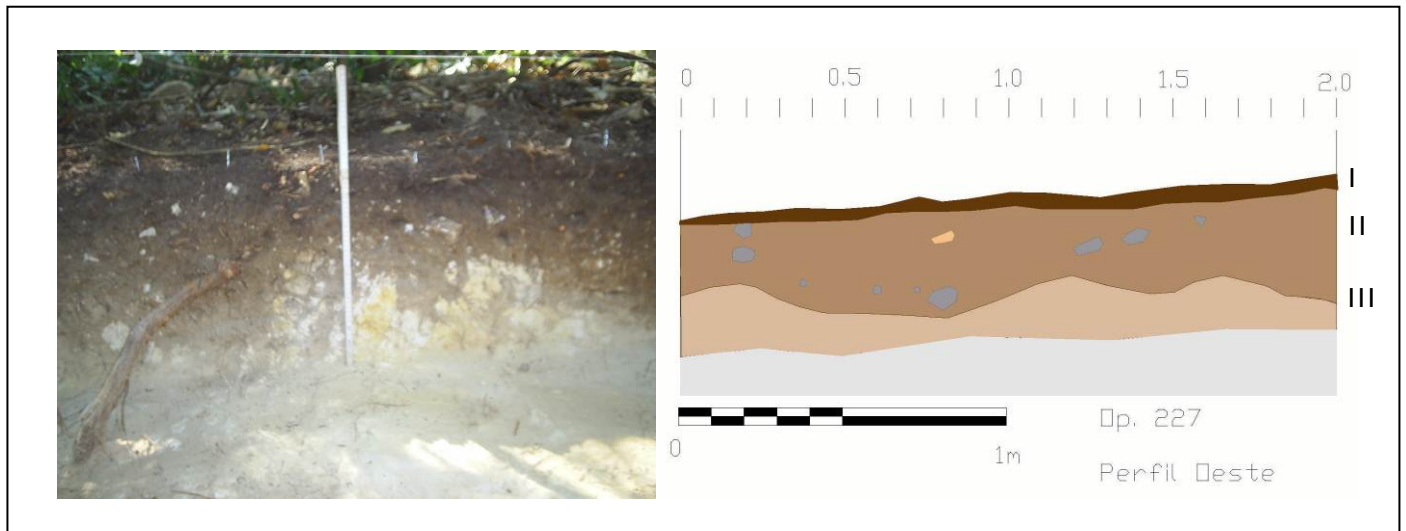


Fig. 9. 29. Op.227 Foto y dibujo Perfil Oeste

Operaciones 228 y 229 Asociadas a la Estructura 6

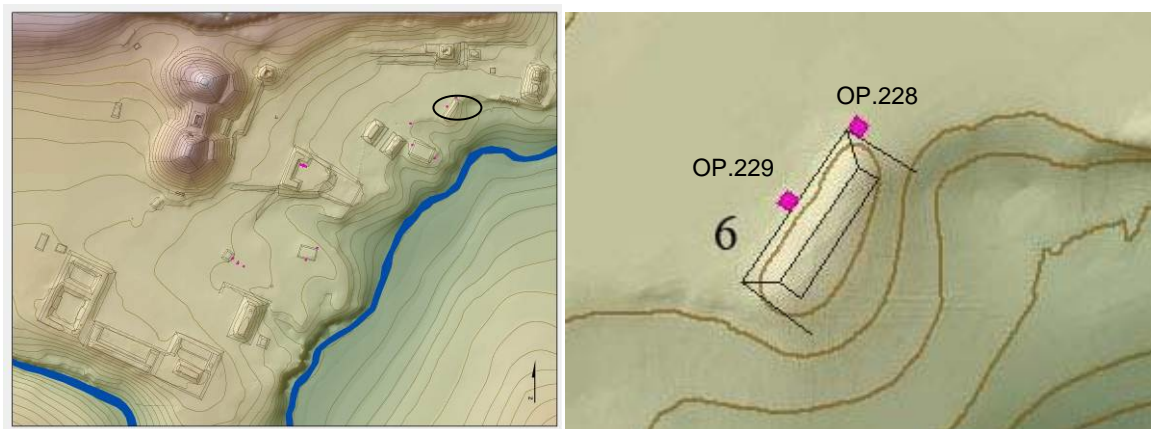


Fig. 9. 30. Ubicación Operaciones 228, 229.

Las operaciones 228 y 229 se abrieron en correspondencia respectivamente de los lados norte y oeste de la estructura 6 (Fig.9.30). se eligió esta área para sondear esta estructura que se encuentra pegada al margen de la planicie donde empieza una abrupta pendiente hacia el río Chinikihá.

Operación 228

La operación 228 se abrió en la esquina noroeste de la estructura 6 (Fig.9.31). En general se encontró muy escaso material arqueológico y después de unos 20 cm se encontró un nivel de piedras grandes e irregulares,

posiblemente utilizadas para nivelar el terreno. Se registraron dos capas naturales por un total de 4 niveles métricos (Fig.9.32).



Fig. 9. 31. Op.228, Foto inicio y fin excavación.

- **Capa 1**

La capa 1 tiene una profundidad media de 10-15 cm. La matriz tiene un color café oscuro (Munsell 2.5 YR 2.5/1 black). En el primer nivel se ven piedras de medio tamaño en el sector sur, adosadas al lado de la estructura 6. El material es escaso y se limita a unos fragmentos de cerámica, obsidiana y unas lascas de pedernal.

- **Capa 2**

La capa 2 tiene una profundidad promedio de 30 cm y su matriz es de color más claro (Munsell 2.5 Y 4/6 olive brown). Las piedras que afloraban en la capa 1 ahora se ven más claramente y ocupan todo el sector central del pozo. El material sigue siendo escaso y disperso en el medio de las rocas. Se encontraron unos fragmentos de cerámica muy poca lítica, navajillas de obsidiana y jutes. Debajo de esta capa se encontró el afloramiento de roca madre y material calizo intemperizado.

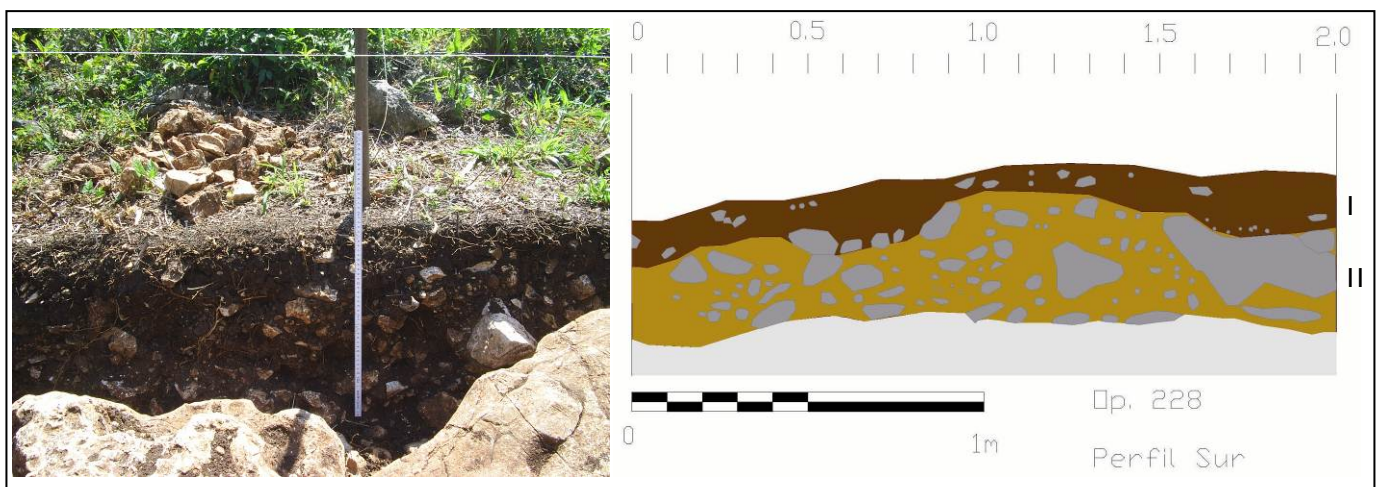


Fig. 9. 32. Op.228, Foto y dibujo Perfil Sur.

Operación 229

Operación de 2x2 metros abierta en correspondencia del lado oeste de la estructura 6. La estructura está saqueada. El pozo de saqueo corta el eje mediano del lado oeste de la misma. Nuestro pozo de sondeo fue abierto justo a lado del área saqueada (Fig.9.33). La cuadra se orientó con el lado de la estructura, y está desviada 38° al este del

norte magnético. En general se encontró muy escaso y disperso material arqueológico. En los primeros 15 cm se encontraron inclusiones de material moderno, en forma de vidrio de botella. Se registraron un total de tres capas naturales, por un total de 5 niveles métricos (Fig.9.34).



Fig. 9. 33. Op. 229, Foto inicio excavación y parte de empedrado Capa 2

- **Capa 1**

La capa 1 tiene una profundidad media de 10-15 cm. La capa es constituida por una matriz franco arcillo limosa y es de color café oscuro (Munsell 7.5 YR 2.5/1 very dark brown). En la capa 1 se encontró un fragmento de fondo de botella de vidrio, evidencia que los primeros niveles presentan contaminación moderna. El material cultural encontrado en la capa 1 fue escaso y se limitó a unos fragmentos de cerámica.

- **Capa 2**

La capa 2 tiene una profundidad de 30-40 cm y se presenta de color más claro (Munsell 7.5 4/3 brown). Después de retirar una piedras de gran tamaño en los primeros niveles del estrato, se encontraron piedras más pequeñas en el sector este, noreste y oeste del pozo, posiblemente formando un plano de nivelación. El material cultural sigue siendo escaso pero se aprecia la presencia de obsidiana y lítica tallada (pedernal), además de unos fragmentos cerámicos.

- **Capa 3**

La capa 3 tiene una profundidad max. de 10 cm y su matriz es de color café claro (Munsell 2.5 YR 8/3 pale brown). En este nivel se empieza a ver el afloramiento rocoso de caliza y el material sigue siendo escaso. La presencia de piedras que caracterizaba la capa 2 disminuye hasta desaparecer completamente. El material cultural encontrado incluía solamente unos fragmentos de cerámica. Por falta de tiempo no se pudo bajar más y alcanzar el nivel estéril de afloramiento rocoso y se interrumpió la excavación.

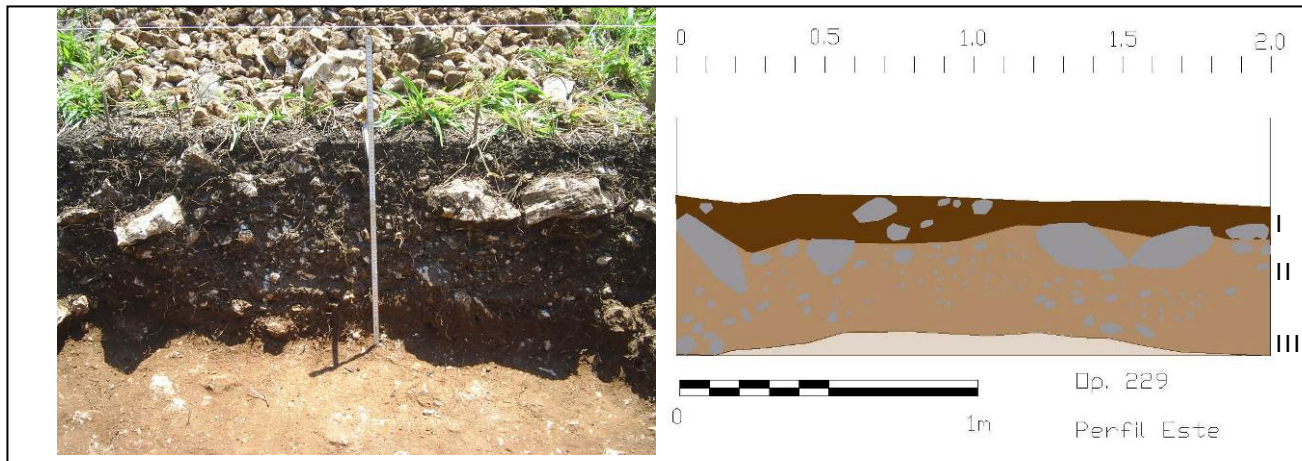


Fig. 9. 34. Op. 229 Foto y dibujo Perfil Este

Operación 230

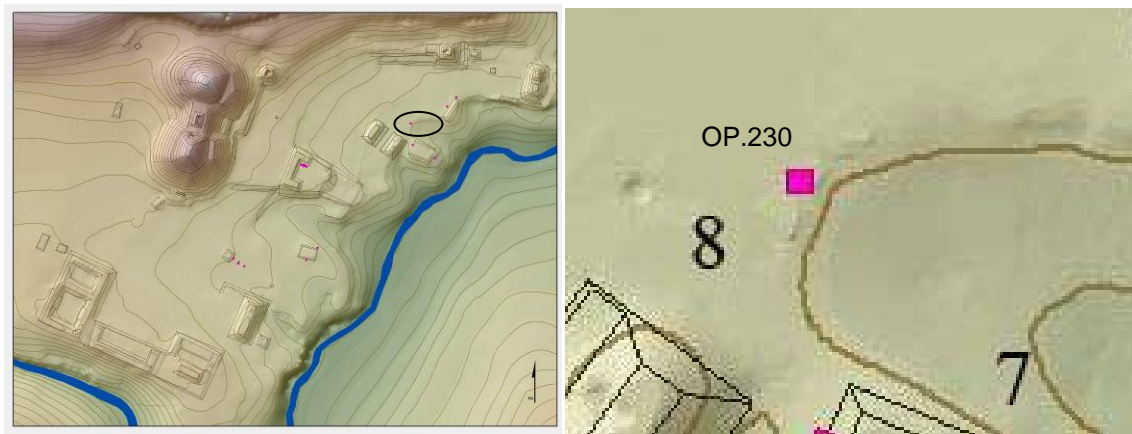


Fig. 9. 35. Ubicación operacion 230

La Operación 230 tenía el fin de averiguar si el área de pendiente entre las estructuras 7 y 6 pudiera haber sido un acceso a la plaza desde el río Chinikihá. La presencia de piedras dispuestas alrededor de la orilla de la cuenca, nos hizo formular la hipótesis de una rampa de acceso, de una escalinata o de una nivelación del terreno para facilitar el acceso. Por esta razón se decidió abrir una operación en este sector con el fin de limpiar y averiguar la presencia de posibles empedrados, terrazas, o escalones. En primer lugar se abrió un pozo de 2x2 metros y luego se extendió la operación hacia el norte y el este hasta a incluir dos áreas del mismo tamaño (Fig.9.35).

- **Capa 1**

Se registró una sola capa natural que cubría el nivel de piedras y tenía una profundidad promedio de 10 cm. El material cultural fue escaso y mezclado con material moderno como vidrio. Se encontraron unos fragmentos de cerámica, unas lascas de pedernal y unas de obsidiana. Una vez retirada la capa de tierra se puso en luz un amontonamiento de piedras de diferente tamaño sin aparente arreglo, y solamente en algunos sectores de la excavación estas estaban niveladas. Es posible, sin embargo, que la actividad antrópica y el nivel superficial de las piedras haya sido un factor de perturbación del contexto. De toda forma, no se pudo confirmar la presencia o meno de una infraestructura relacionada con el acceso al asentamiento desde el río (Fig.9.36).



Fig. 9. 36. Operación 230, Fin excavación

Agradecimientos

El trabajo de campo de esta temporada no hubiera sido posible sin la ayuda de muchas personas. Entre estas quisiera agradecer especialmente a Christian Jesus Sarmiento Arias, pasante de arqueología de la ENAH, quien supervisó las excavaciones en las operaciones 218, 220, 221, 226, 227, 228, 229. Natanael Hernandez, Alfonso Bonilla, William Ocampo, José Carlos Castello, Juan Antonio Arcia, proporcionaron sus trabajo a lo largo de toda la temporada. Además, Francesca Abbonato, Valeria Bellomia, Gaia Carosi, Flaminia Di Costanzo, Mattia di Paolo, Federica Falchi, Viola Martini, Silvia Monterrosa, Luisa Villani, Natalia Visconti y Giuseppe Zega, estudiantes de arqueología de la Universidad “La Sapienza” de Roma, Italia participaron con entusiasmo a los trabajos de excavación. Finalmente, esta investigación, que es parte del proyecto de doctorado que la autora está llevando a cabo en la Universidad de California, Riverside, ha sido apoyada por una beca UC-Mexus (UC-Mexus Dissertation Research Grant), obtenida en el 2010.

Apéndice 1: Registro Materiales Boca Chinikihá 2011

Bolsa	Sitio	Temporada	Operacion	Cuadra	Elemento	Tipo Material
2144	Boca Chinikihá	2011	n/a	n/a	n/a	Ceramica recoleccion de superficie
2145	Boca Chinikihá	2011	n/a	n/a	n/a	Ceramica_recoleccion de sup. playa Usumacinta
2146	Boca Chinikihá	2011	n/a	n/a	n/a	Litica_recoleccion de superficie
2147	Boca Chinikihá	2011	217			Ceramica Capa 1 (0-10)
2148	Boca Chinikihá	2011	217			Litica Capa 1 (0-10)
2149	Boca Chinikihá	2011	217			Obsidiana Capa 1 (0-10)
2150	Boca Chinikihá	2011	217			Ceramica Capa 1 (10-20)
2151	Boca Chinikihá	2011	217			Obsidiana Capa 1 (10-20)
2152	Boca Chinikihá	2011	217			Litica Capa 1 (10-20)
2153	Boca Chinikihá	2011	217			Hueso Capa 1 (10-20)
2154	Boca Chinikihá	2011	217			Ceramica Capa 1 (20-30)
2155	Boca Chinikihá	2011	217			Muestra carbon Capa 1 (20-30)
2156	Boca Chinikihá	2011	217			Obsidiana Capa 1 (20-30)
2157	Boca Chinikihá	2011	217			Litica Capa 1 (20-30)
2158	Boca Chinikihá	2011	217			Barro Quemado Capa 1 (20-30)
2159	Boca Chinikihá	2011	217			Huesos Capa 1 (20-30)
2160	Boca Chinikihá	2011	217			Criba ceramica Capa 1 (0-20)
2161	Boca Chinikihá	2011	217			Criba Litica Capa 1 (0-20)
2162	Boca Chinikihá	2011	217			criba Obsidiana capa 1 (0-20)
2163	Boca Chinikihá	2011	217	NW		Muestra carbon (0.72m) 7/2/2011
2164	Boca Chinikihá	2011	217			Ceramica Capa 2 (0-10)
2165	Boca Chinikihá	2011	217			Litica Capa 2 (0-10)
2166	Boca Chinikihá	2011	217			Obsidiana Capa 2 (0-10)

Bolsa	Sitio	Temporada	Operacion	Cuadra	Elemento	Tipo Material
2167	Boca Chinikihá	2011	217			muestra carbon Capa 2 (0-10)
2168	Boca Chinikihá	2011	217			Barro Quemado Capa 2 (0-10)
2169	Boca Chinikihá	2011	rec. Sup.			muestra de ceramica llevada por el encargado
2170	Boca Chinikihá	2011	217			Muestra carbon Capa 2 Nivel 1 (0.75m)
2171	Boca Chinikihá	2011	217			Ceramica Capa 2 (10-20)
2172	Boca Chinikihá	2011	217			Hueso Capa 2 (10-20)
2173	Boca Chinikihá	2011	217			Obsidiana Capa 2 (10-20)
2174	Boca Chinikihá	2011	217			Litica Capa 2 (10-20)
2175	Boca Chinikihá	2011	217			Cuenta de Barro Capa 2 (10-20) criba
2176	Boca Chinikihá	2011	217			Muestra Carbon Capa 2 (10-20)
2177	Boca Chinikihá	2011	217			criba_Ceramica Capa 2 (10-20)
2178	Boca Chinikihá	2011	217			criba_Obsidiana Capa 2 (10-20)
2179	Boca Chinikihá	2011	217			criba_Litica Capa 2 (10-20)
2180	Boca Chinikihá	2011	217			Litica Capa 3 (0-10)
2181	Boca Chinikihá	2011	217			Obsidiana Capa 3 (0-10)
2182	Boca Chinikihá	2011	217			Ceramica Capa 3 (0-10)
2183	Boca Chinikihá	2011	217			Hueso Capa 3 (0-10)
2184	Boca Chinikihá	2011	217	EXT. SW		Muestra tierra Capa 1
2185	Boca Chinikihá	2011	217	EXT. SW		Ceramica Capa 1 (0-10)
2186	Boca Chinikihá	2011	217	EXT. SW		Litica Capa 1 (0-10)
2215	Boca Chinikihá	2011	218			Ceramica Nivel 1
2216	Boca Chinikihá	2011	218			Litica Nivel 1
2217	Boca Chinikihá	2011	218			Obsidiana Nivel 1
2218	Boca Chinikihá	2011	218			Ceramica Nivel 2
2219	Boca	2011	218			Litica Nivel 2

Bolsa	Sitio	Temporada	Operacion	Cuadra	Elemento	Tipo Material
	Chinikihá					
2220	Boca Chinikihá	2011	218			criba_ceramica (0-20)
2221	Boca Chinikihá	2011	218			Litica (0-20)
2222	Boca Chinikihá	2011	218			Obsidiana (0-20)
2223	Boca Chinikihá	2011	218			Ceramica Nivel 3 (20-30)
2224	Boca Chinikihá	2011	218			criba_ceramica Nivel 3
2225	Boca Chinikihá	2011	218			Ceramica (area central) Nivel 2
2226	Boca Chinikihá	2011	218			Obsidiana Nivel 3
2227	Boca Chinikihá	2011	218			Litica Nivel 3
2228	Boca Chinikihá	2011	218			Litica nivel 4
2229	Boca Chinikihá	2011	218			criba_Litica Nivel 3
2230	Boca Chinikihá	2011	218			Obsidiana Nivel 2
2231	Boca Chinikihá	2011	218			Litica (Seccion Este) Nivel 3
2232	Boca Chinikihá	2011	218	Ext. SW		Litica Nivel 1
2233	Boca Chinikihá	2011	218	Ext. SW		Obsidiana Nivel 1
2234	Boca Chinikihá	2011	218	Ext. SW		Litica Nivel 2
2235	Boca Chinikihá	2011	218	Ext. SW		Obsidiana Nivel 2
2236	Boca Chinikihá	2011	218	Ext. NW		Litica Nivel 1
2237	Boca Chinikihá	2011	218	Ext. NW		Obsidiana Nivel 1
2238	Boca Chinikihá	2011	218	Ext. NW		Obsidiana Nivel 2
2239	Boca Chinikihá	2011	218	Ext. NW		Litica Nivel 2
2240	Boca Chinikihá	2011	218	Ext. NW		Ceramica Nivel 4
2241	Boca Chinikihá	2011	218	Ext. NW		Ceramica Nivel 1 *
2242	Boca Chinikihá	2011	218	Ext. SW		Ceramica Nivel 1
2243	Boca Chinikihá	2011	218	Ext. NW		Ceramica Nivel 1 *

Bolsa	Sitio	Temporada	Operacion	Cuadra	Elemento	Tipo Material
2244	Boca Chinikihá	2011	218	Ext. W?		criba_?*
2245	Boca Chinikihá	2011	218			criba_Barro Quemado Nivel 4
2246	Boca Chinikihá	2011	218	Ext. SW		Ceramica Nivel 2
2247	Boca Chinikihá	2011	218	Ext. NW		Ceramica Nivel 2
2248	Boca Chinikihá	2011	218	Ext. W?		criba_ceramica Nivel 2
2249	Boca Chinikihá	2011	218	Ext. S-SW		Ceramica Nivel 1
2250	Boca Chinikihá	2011	218	Ext. S-SW		Ceramica Nivel 2
2251	Boca Chinikihá	2011	219			Ceramica Capa 1 (0-10)
2252	Boca Chinikihá	2011	219			Litica Capa 1 (0-10)
2253	Boca Chinikihá	2011	219			Obsidiana Capa 1 (0-10) (1 pza. Verde)
2254	Boca Chinikihá	2011	219			Ceramica Capa 1 (10-20)
2255	Boca Chinikihá	2011	219			Obsidiana Capa 1 (10-20)
2256	Boca Chinikihá	2011	219			Litica Capa 1 (10-20)
2257	Boca Chinikihá	2011	219			Muestra Carbon Capa 1 (10-20)
2258	Boca Chinikihá	2011	219			Criba_ Ceramica Capa 1 (10-20)
2259	Boca Chinikihá	2011	219			Criba_ Litica Capa 1 (10-20)
2260	Boca Chinikihá	2011	219			Ceramica Capa 2 (0-10)
2261	Boca Chinikihá	2011	219			Litica Capa 2 (0-10)
2262	Boca Chinikihá	2011	219			Obsidiana Capa 2 (0-10)
2263	Boca Chinikihá	2011	219			Criba_Ceramica capa 2 (0-10)
2264	Boca Chinikihá	2011	219			Muestra Carbon Capa 2 (0-10)
2265	Boca Chinikihá	2011	219			hueso Capa 2 (0-10)
2266	Boca Chinikihá	2011	219			Muestra Carbon # 1 Capa 2 (0-10)
2267	Boca Chinikihá	2011	219			Muestra Tierra Capa 2
2268	Boca	2011	219			Ceramica Capa 2 (10-20)

Bolsa	Sitio	Temporada	Operacion	Cuadra	Elemento	Tipo Material
	Chinikihá					
2269	Boca Chinikihá	2011	219			Litica Capa 2 (10-20)
2270	Boca Chinikihá	2011	219			Obsidiana Capa 2 (10-20)
2271	Boca Chinikihá	2011	222			Ceramica Capa 1 (0-10)
2272	Boca Chinikihá	2011	222			Litica Capa 1 (0-10)
2273	Boca Chinikihá	2011	222			Jutes Capa 1 (0-10)
2274	Boca Chinikihá	2011	222			Huesos Capa 1 (0-10)
2275	Boca Chinikihá	2011	223			Ceramica Capa 1 (0-10)
2276	Boca Chinikihá	2011	223			Litica Capa 1 (0-10)
2277	Boca Chinikihá	2011	224			Ceramica Capa 1 (0-10)
2278	Boca Chinikihá	2011	224			Litica Capa 1 (0-10)
2279	Boca Chinikihá	2011	224			Huesos Capa 1 (0-10)
2280	Boca Chinikihá	2011	225			Ceramica Capa 1 (0-10)
2281	Boca Chinikihá	2011	225			Litica Capa 1 (0-10)
2282	Boca Chinikihá	2011	225			Obsidiana Capa 1 (0-10)
2283	Boca Chinikihá	2011	225			Jutes Capa 1 (0-10)
2284	Boca Chinikihá	2011	222			Barro Quemado Capa 1 (0-10)
2285	Boca Chinikihá	2011	222			Obsidiana Capa 1 (0-10)
2286	Boca Chinikihá	2011	224			Obsidiana Capa 1 (0-10)
2287	Boca Chinikihá	2011	224			Jutes Capa 1 (0-10)
2288	Boca Chinikihá	2011	223			Muestra Carbon Capa 1 nivel 1 (0.91m)
2289	Boca Chinikihá	2011	225			Barro Quemado Capa 1 (0-10)
2290	Boca Chinikihá	2011	225			Huesos Capa 1 (0-10)
2291	Boca Chinikihá	2011	224			Muestra Carbon Capa 1 (0-10)
2292	Boca Chinikihá	2011	223			Huesos Capa 1 (0-10)

Bolsa	Sitio	Temporada	Operacion	Cuadra	Elemento	Tipo Material
2293	Boca Chinikihá	2011	223			Obsidiana Capa 1 (0-10)
2294	Boca Chinikihá	2011	223			Jutes y Conchas Capa 1 (0-10)
2295	Boca Chinikihá	2011	223			Muestra Carbon Capa 1 nivel 1
2296	Boca Chinikihá	2011	225			Ceramica Capa 1 (10-20)
2297	Boca Chinikihá	2011	225			Jutes Capa 1 (10-20)
2298	Boca Chinikihá	2011	225			Huesos Capa 1 (10-20)
2299	Boca Chinikihá	2011	225			Obsidiana Capa 1 (10-20)
2300	Boca Chinikihá	2011	218	Ext. S-SW		Obsidiana Nivel 1
2301	Boca Chinikihá	2011	218	Ext. S-SW		Litica Nivel 1
2302	Boca Chinikihá	2011	218	Ext. S-SW		criba_obsidiana Nivel 1
2303	Boca Chinikihá	2011	218	Ext. S-SW		criba_litica Nivel 1
2304	Boca Chinikihá	2011	218	Ext. S-SW		criba_Hueso Nivel 1
2305	Boca Chinikihá	2011	218	Ext. S-SW		criba_ceramica Nivel 1?*
2306	Boca Chinikihá	2011	218	Ext. S-SW		criba_ceramica Nivel 2
2307	Boca Chinikihá	2011	218	Ext. S-SW		Obsidiana Nivel 2
2308	Boca Chinikihá	2011	218	Ext. S-SW		Litica Nivel 2
2309	Boca Chinikihá	2011	218	Ext. S-SW		Hueso Nivel 2
2310	Boca Chinikihá	2011	220			Ceramica Nivel 1
2311	Boca Chinikihá	2011	221			Ceramica Nivel 1
2312	Boca Chinikihá	2011	221			Jutes Nivel 1
2313	Boca Chinikihá	2011	221			Obsidiana Nivel 1
2314	Boca Chinikihá	2011	221			Litica Nivel 1
2315	Boca Chinikihá	2011	221			criba_litica Nivel 1
2316	Boca Chinikihá	2011	221			criba_Ceramica Nivel 1
2317	Boca	2011	220			Obsidiana Nivel 1

Bolsa	Sitio	Temporada	Operacion	Cuadra	Elemento	Tipo Material
	Chinikihá					
2318	Boca Chinikihá	2011	220			criba_Obsidiana Nivel 1
2319	Boca Chinikihá	2011	220			Litica Nivel 1
2320	Boca Chinikihá	2011	220			criba_Litica Nivel 1
2321	Boca Chinikihá	2011	220			criba_Ceramica Nivel 1
2322	Boca Chinikihá	2011	220			Ceramica Nivel 2
2323	Boca Chinikihá	2011	221			Ceramica Nivel 2
2324	Boca Chinikihá	2011	221			Punta de Proyecto/Cinzel de pedernal
2325	Boca Chinikihá	2011	220			criba_Ceramica Nivel 1* (see #2321)
2326	Boca Chinikihá	2011	221			ceramica Nivel 2 * (see #2323)
2327	Boca Chinikihá	2011	221			Litca Nivel 2 * (see #2336)
2328	Boca Chinikihá	2011	221			Jutes Nivel 2*
2329	Boca Chinikihá	2011	221			Obsidiana Nivel 2
2330	Boca Chinikihá	2011	221			Litica Nivel 2
2331	Boca Chinikihá	2011	221			criba_Ceramica Nivel 2
2332	Boca Chinikihá	2011	220			Litica Nivel 2
2333	Boca Chinikihá	2011	220			Ceramica Nivel 2
2334	Boca Chinikihá	2011	220			Obsidiana Nivel 2
2335	Boca Chinikihá	2011	221			Ceramica Nivel 2
2336	Boca Chinikihá	2011	221			Litica Nivel 2* (see #2327)
2337	Boca Chinikihá	2011	221			Ceramica Nivel 2 * (see # 2323)
2338	Boca Chinikihá	2011	221			Jutes Nivel 2 * (see # 2328)
2339	Boca Chinikihá	2011	221			Jutes Nivel 3
2340	Boca Chinikihá	2011	221			Obsidiana Nivel 3
2341	Boca Chinikihá	2011	221			Hueso Nivel 3

Bolsa	Sitio	Temporada	Operacion	Cuadra	Elemento	Tipo Material
2342	Boca Chinikihá	2011	220			Litica nivel 2* (see #2332)
2343	Boca Chinikihá	2011	220			hueso (tallado?) Nivel 2
2344	Boca Chinikihá	2011	220			figurilla fragmento (cabeza) Nivel 2
2345	Boca Chinikihá	2011	220	area norte		Ceramica Nivel 2
2346	Boca Chinikihá	2011	220	aea norte		Obsidiana Nivel 2
2347	Boca Chinikihá	2011	221	area norte		Litica Nivel 2
2348	Boca Chinikihá	2011	221	area oeste		Litica Nivel 2
2349	Boca Chinikihá	2011	221			Huesos Nivel 2
2350	Boca Chinikihá	2011	220	area central norte		material ? Nivel 2
2351	Boca Chinikihá	2011	225			Litica Capa 1 (10-20)
2352	Boca Chinikihá	2011	225			Barro Quemado Capa 1 (10-20)
2353	Boca Chinikihá	2011	224			Ceramica Capa 1 (10-20)
2354	Boca Chinikihá	2011	224			Huesos Capa 1 (10-20)
2355	Boca Chinikihá	2011	224			Barro Quemado Capa 1 (10-20)
2356	Boca Chinikihá	2011	224			Obsidiana Capa 1 (10-20)
2357	Boca Chinikihá	2011	224			Jutes Capa 1 (10-20)
2358	Boca Chinikihá	2011	223			Ceramica Capa 1 (10-20)
2359	Boca Chinikihá	2011	223			Litica Capa 1 (10-20)
2360	Boca Chinikihá	2011	223			Huesos Capa 1 (10-20)
2361	Boca Chinikihá	2011	223			Barro Quemado Capa 1 (10-20)
2362	Boca Chinikihá	2011	223			Jutes Capa 1 (10-20)
2363	Boca Chinikihá	2011	223			Obsidiana Capa 1 (10-20)
2364	Boca Chinikihá	2011	222			Muestra carbon Capa 1 (0-10)
2365	Boca Chinikihá	2011	222			Ceramica Capa 1 (10-20)
2366	Boca	2011	222			Barro Quemado Capa 1 (10-20)

Bolsa	Sitio	Temporada	Operacion	Cuadra	Elemento	Tipo Material
	Chinikihá					
2367	Boca Chinikihá	2011	222			Obsidiana Capa 1 (10-20)
2368	Boca Chinikihá	2011	222			Huesos Capa 1 (10-20)
2369	Boca Chinikihá	2011	222			Jutes Capa 1 (10-20)
2370	Boca Chinikihá	2011	222			Litica Capa 1 (10-20)
2371	Boca Chinikihá	2011	222			Ceramica Nivel 3
2372	Boca Chinikihá	2011	222			Litica Nivel 3
2373	Boca Chinikihá	2011	222			Barro Quemado Nivel 3
2374	Boca Chinikihá	2011	222			Conchas Nivel 3
2375	Boca Chinikihá	2011	223			Jutes Nivel 3
2376	Boca Chinikihá	2011	223			Ceramica Nivel 3
2377	Boca Chinikihá	2011	223			Barro Quemado Nivel 3
2378	Boca Chinikihá	2011	223			Jutes Nivel 3
2379	Boca Chinikihá	2011	223			Hueso Quemado Nivel 3
2380	Boca Chinikihá	2011	223			Obsidiana Nivel 3
2381	Boca Chinikihá	2011	223			Litica Nivel 3
2382	Boca Chinikihá	2011	224			Ceramica Nivel 3
2383	Boca Chinikihá	2011	224			Barro Quemado Nivel 3
2384	Boca Chinikihá	2011	224			Litica Nivel 3
2385	Boca Chinikihá	2011	224			Obsidiana Nivel 3
2386	Boca Chinikihá	2011	224			Jutes Nivel 3
2387	Boca Chinikihá	2011	224			diente? Nivel 3
2388	Boca Chinikihá	2011	224			Muestra carbon Nivel 3
2389	Boca Chinikihá	2011	225			Ceramica Nivel 3
2390	Boca Chinikihá	2011	225			Litica Nivel 3

Bolsa	Sitio	Temporada	Operacion	Cuadra	Elemento	Tipo Material
2391	Boca Chinikihá	2011	225			Obsidiana Nivel 3
2392	Boca Chinikihá	2011	225			Barro Quemado Nivel 3
2393	Boca Chinikihá	2011	225			Jutes Nivel 3
2394	Boca Chinikihá	2011	225			Hueso Nivel 3
2395	Boca Chinikihá	2011	222			Hueso Nivel 3
2396	Boca Chinikihá	2011	222			Obsidiana Nivel 3
2397	Boca Chinikihá	2011	222			Litica Nivel 3
2398	Boca Chinikihá	2011	224			Metate (parte) Nivel 3
2399	Boca Chinikihá	2011	223			Ceramica Nivel 4
2400	Boca Chinikihá	2011	221			Jutes Nivel 2
2401	Boca Chinikihá	2011	221	area central		Ceramica Nivel 3
2402	Boca Chinikihá	2011	221	area Oeste		Ceramica Nivel 2
2403	Boca Chinikihá	2011	221	area central		Ceramica Nivel 3
2404	Boca Chinikihá	2011	220	area norte		Huesos Nivel 2
2405	Boca Chinikihá	2011	221	Ext. Oeste		Ceramica? Nivel 1**
2406	Boca Chinikihá	2011	221	Ext. Oeste		Jutes Nivel 1
2407	Boca Chinikihá	2011	221	Ext. Oeste		Litica Nivel 1
2408	Boca Chinikihá	2011	221	Ext. Oeste		Obsidiana Nivel 1
2409	Boca Chinikihá	2011	221	Ext. Oeste		Jutes Nivel 3
2410	Boca Chinikihá	2011	220	area Oeste		Litica Nivel 2
2411	Boca Chinikihá	2011	220	area oeste		Ceramica Nivel 2* (cfr. #2412)
2412	Boca Chinikihá	2011	220	area oeste		Ceramica Nivel 2*(cfr. #2411)
2413	Boca Chinikihá	2011	220	area oeste		Obsidiana Nivel 2
2414	Boca Chinikihá	2011	221			Litica (Frgmento de metate) Nivel 2
2415	Boca	2011	220	area oeste		Litica Pulida Nivel 2

Bolsa	Sitio	Temporada	Operacion	Cuadra	Elemento	Tipo Material
	Chinikihá					
2416	Boca Chinikihá	2011	220			pedra Pomex
2417	Boca Chinikihá	2011	220		2417	vasija (cajete) casi completa Nivel 3
2418	Boca Chinikihá	2011	220			Ceramica Nivel 3
2419	Boca Chinikihá	2011	220			Litica Nivel 3 (see # 2427)
2420	Boca Chinikihá	2011	221	Ext. Oeste		Ceramica Nivel 1**
2421	Boca Chinikihá	2011	221	Ext. Oeste		Ceramica Nivel 2
2422	Boca Chinikihá	2011	221			Jutes Nivel 2
2423	Boca Chinikihá	2011	221	Ext. Oeste		Obsidiana Nivel 2
2424	Boca Chinikihá	2011	221	Ext. Oeste		Litica Nivel 2
2425	Boca Chinikihá	2011	221	Ext. Oeste		Huesos Nivel 2
2426	Boca Chinikihá	2011	220			Ceramica Nivel 3
2427	Boca Chinikihá	2011	220			Litica Nivel 3 * (see # 2419)
2428	Boca Chinikihá	2011	220			Obsidiana Nivel 3
2429	Boca Chinikihá	2011	220			Obsidiana Nivel 4
2430	Boca Chinikihá	2011	221	Ext. Oeste		Ceramica Nivel 3
2431	Boca Chinikihá	2011	221	Ext. Oeste		Jutes Nivel ?
2432	Boca Chinikihá	2011	220			Ceramica Nivel 4
2433	Boca Chinikihá	2011	220			Litica Nivel 4
2434	Boca Chinikihá	2011	221			Ceramica Nivel 4
2435	Boca Chinikihá	2011	221	Ext. Oeste		Jutes Nivel 4
2436	Boca Chinikihá	2011	226			Ceramica Nivel 1
2437	Boca Chinikihá	2011	226			Litica Nivel 1
2438	Boca Chinikihá	2011	226			Obsidiana Nivel 1
2439	Boca Chinikihá	2011	226			Huesos Nivel 1

Bolsa	Sitio	Temporada	Operacion	Cuadra	Elemento	Tipo Material
2440	Boca Chinikihá	2011	227			Ceramica Nivel 1
2441	Boca Chinikihá	2011	227			Obsidiana Nivel 1
2442	Boca Chinikihá	2011	227			Litica Nivel 1
2443	Boca Chinikihá	2011	227			Jutes Nivel 1
2444	Boca Chinikihá	2011	227			Ceramica Nivel 2
2445	Boca Chinikihá	2011	227			Litica Nivel 2
2446	Boca Chinikihá	2011	227			Jutes Nivel 2
2447	Boca Chinikihá	2011	226			Ceramica Nivel 2 * (cfr. #2452)
2448	Boca Chinikihá	2011	226			Litica Nivel 2
2449	Boca Chinikihá	2011	226			Obsidiana Nivel 2
2450	Boca Chinikihá	2011	226			Huesos Nivel 2
2451	Boca Chinikihá	2011	226			Jutes Nivel 2
2452	Boca Chinikihá	2011	226			Ceramica Nivel 2 * (cfr. #2447)
2453	Boca Chinikihá	2011	226			Litica Nivel 2
2454	Boca Chinikihá	2011	226			Obsidiana Nivel 2
2455	Boca Chinikihá	2011	226			Ceramica Nivel 3
2456	Boca Chinikihá	2011	226			Obsidiana Nivel 3
2457	Boca Chinikihá	2011	226			Litica Nivel 3
2458	Boca Chinikihá	2011	226			Huesos Nivel 3
2459	Boca Chinikihá	2011	228			Ceramica Nivel 1
2460	Boca Chinikihá	2011	228			Obsidiana Nivel 1
2461	Boca Chinikihá	2011	228			Litica Nivel 1
2462	Boca Chinikihá	2011	228			Ceramica Nivel 2
2463	Boca Chinikihá	2011	228			Obsidiana Nivel 2
2464	Boca	2011	228			Litica Nivel 2

Bolsa	Sitio	Temporada	Operacion	Cuadra	Elemento	Tipo Material
	Chinikihá					
2465	Boca Chinikihá	2011	226			Ceramica Nivel 4
2466	Boca Chinikihá	2011	226			Obsidiana Nivel 4
2467	Boca Chinikihá	2011	226			Litica Nivel 4
2468	Boca Chinikihá	2011	226			Huesos Nivel 4
2469	Boca Chinikihá	2011	228			Ceramica Nivel 3
2470	Boca Chinikihá	2011	228			Obsidiana Nivel 3
2471	Boca Chinikihá	2011	228			Litica Nivel 3
2472	Boca Chinikihá	2011	228			Jutes Nivel 3
2473	Boca Chinikihá	2011	226			Ceramica Nivel 5
2474	Boca Chinikihá	2011	226			Litica Nivel 5*
2475	Boca Chinikihá	2011	226			Litica Nivel 5*
2476	Boca Chinikihá	2011	226			Huesos Nivel 5
2477	Boca Chinikihá	2011	228			Ceramica Nivel 4
2478	Boca Chinikihá	2011	228			Obsidiana Nivel 4
2479	Boca Chinikihá	2011	228			Litica Nivel 4
2480	Boca Chinikihá	2011	228			Jutes Nivel 4
2481	Boca Chinikihá	2011	226	Ext. Sur		Huesos Nivel 1 (material oseó)??
2482	Boca Chinikihá	2011	226	Ext. Este		Ceramica Nivel 1
2483	Boca Chinikihá	2011	226	Ext. Este		Litica Nivel 1
2484	Boca Chinikihá	2011	226	Ext. Este		Obsidiana Nivel 1
2485	Boca Chinikihá	2011	226	Ext Este		Huesos Nivel 1
2486	Boca Chinikihá	2011	226	Ext. Sur		Litica Nivel 2
2487	Boca Chinikihá	2011	226	Ext. Sur		Obsidiana Nivel 2
2488	Boca Chinikihá	2011	226	Ext. Sur		Huesos Nivel 2

Bolsa	Sitio	Temporada	Operacion	Cuadra	Elemento	Tipo Material
2489	Boca Chinikihá	2011	229			Ceramica Nivel 2
2490	Boca Chinikihá	2011	229			Obsidiana Nivel 2
2491	Boca Chinikihá	2011	229			Litica Nivel 2
2492	Boca Chinikihá	2011	226	Ext. Sur		Ceramica Nivel 3
2493	Boca Chinikihá	2011	226	Ext. Sur		Obsidiana Nivel 3
2494	Boca Chinikihá	2011	226	Ext. Sur		Litica Nivel 3
2495	Boca Chinikihá	2011	226	Ext. Sur		Huesos Nivel 3
2496	Boca Chinikihá	2011	226	Ext. Este		Ceramica Nivel 3
2497	Boca Chinikihá	2011	226	Ext. Este		Obsidiana Nivel 3
2498	Boca Chinikihá	2011	226	Ext. Este		Litica Nivel 3
2499	Boca Chinikihá	2011	226	Ext. Este		Huesos Nivel 3
2500	Boca Chinikihá	2011	223			Litica Nivel 4
2501	Boca Chinikihá	2011	223			Jutes Nivel 4
2502	Boca Chinikihá	2011	223			Huesos Nivel 4
2503	Boca Chinikihá	2011	223			Obsidiana Nivel 4
2504	Boca Chinikihá	2011	224			Ceramica Nivel 4
2505	Boca Chinikihá	2011	224			Obsidiana Nivel 4
2506	Boca Chinikihá	2011	224			Jutes Nivel 4
2507	Boca Chinikihá	2011	224			Muestra carbon Nivel 4 (1.14m)
2508	Boca Chinikihá	2011	224			Muestra carbon Nivel 4 (1.14m)
2509	Boca Chinikihá	2011	225			Litica Nivel 4
2510	Boca Chinikihá	2011	225			Ceramica Nivel 4
2511	Boca Chinikihá	2011	225			Obsidiana Nivel 4
2512	Boca Chinikihá	2011	225			Jutes Nivel 4
2513	Boca	2011	224			Muestra Tierra Nivel 4 (bajo lente de ceniza)

Bolsa	Sitio	Temporada	Operacion	Cuadra	Elemento	Tipo Material
	Chinikihá					(1.27m)
2514	Boca Chinikihá	2011	224			lente de ceniza Nivel 4 (1.25m)
2515	Boca Chinikihá	2011	225			diente Nivel 5
2516	Boca Chinikihá	2011	224			Huesos Nivel 5 (esquina donde estaba carbon)
2517	Boca Chinikihá	2011	224			Muestra carbon Nivel 5 (x:1.14; y: 0.33; z: 1.27)
2518	Boca Chinikihá	2011	222			Ceramica Nivel 4
2519	Boca Chinikihá	2011	222			Litica Nivel 4
2520	Boca Chinikihá	2011	222			Cuenta de Barro Nivel 4
2521	Boca Chinikihá	2011	222			huesos Nivel 4
2522	Boca Chinikihá	2011	222			Jutes Nivel 4
2523	Boca Chinikihá	2011	224			Ceramica Nivel 5
2524	Boca Chinikihá	2011	222			Mano de Metate Nivel 5
2525	Boca Chinikihá	2011	223			Ceramica Nivel 5
2526	Boca Chinikihá	2011	223			Jutes Nivel 5
2527	Boca Chinikihá	2011	225			Muestra carbon Capa 1 (10-20) (x: 124; y: 0.20, z: 0.95)
2528	Boca Chinikihá	2011	225			Muestra carbon Nivel 5 (x: 0.50; y: 110; z: 1.36)
2529	Boca Chinikihá	2011	225			Litica Nivel 5
2530	Boca Chinikihá	2011	225			Hueso labrado (Cuenta?) Nivel 4
2531	Boca Chinikihá	2011	225			Ceramica Nivel 5
2532	Boca Chinikihá	2011	225			Jutes Nivel 5
2533	Boca Chinikihá	2011	225			Obsidiana Nivel 5
2534	Boca Chinikihá	2011	225			Ceramica Nivel 6
2535	Boca Chinikihá	2011	225			Jutes Nivel 6
2536	Boca Chinikihá	2011	224			Muestra carbon Nivel 6 (z: 1.27m)
2537	Boca Chinikihá	2011	224			Litica Nivel 5

Bolsa	Sitio	Temporada	Operacion	Cuadra	Elemento	Tipo Material
2538	Boca Chinikihá	2011	224			Barro Quemado Nivel 5
2539	Boca Chinikihá	2011	224			Jutes Nivel 5
2540	Boca Chinikihá	2011	224			Ceramica Nivel 6
2541	Boca Chinikihá	2011	224			Jutes Nivel 6
2542	Boca Chinikihá	2011	224			Litica Nivel 6
2543	Boca Chinikihá	2011	231			Ceramica Capa 1 (0-10)
2544	Boca Chinikihá	2011	231			Obsidiana Capa 1 (0-10)
2545	Boca Chinikihá	2011	231			Jutes Capa 1 (0-10)
2546	Boca Chinikihá	2011	231			Ceramica Capa 1 (10-20)
2547	Boca Chinikihá	2011	231			Jutes Capa 1 (10-20)
2548	Boca Chinikihá	2011	231			Huesos Capa 1 (10-20)
2549	Boca Chinikihá	2011	231			Obsidiana Capa 1 (10-20)
2550	Boca Chinikihá	2011	231			Ceramica Nivel 3
2551	Boca Chinikihá	2011	231			Litica Nivel 3
2552	Boca Chinikihá	2011	231			Jutes Nivel 3
2553	Boca Chinikihá	2011	231			Ceramica Nivel 4
2554	Boca Chinikihá	2011	231			Litica Nivel 4
2555	Boca Chinikihá	2011	231			Obsidiana Nivel 4
2556	Boca Chinikihá	2011	231			Panal? Quemado? Nivel 4 (z: 1.34m)
2557	Boca Chinikihá	2011	231			Litica Nivel 5
2558	Boca Chinikihá	2011	231			Ceramica Nivel 5
2559	Boca Chinikihá	2011	rec. Sup.			obsidiana, camino hacia Usumacinta
2560	Boca Chinikihá	2011	rec. Sup.			ceramica, camino hacia Usumacinta
2561	Boca Chinikihá	2011	224			Muestra Tierra Nivel 6 (z: 1.40m)
2562	Boca	2011	224	SW		Ceramica Nivel 6

Bolsa	Sitio	Temporada	Operacion	Cuadra	Elemento	Tipo Material
	Chinikihá					
2563	Boca Chinikihá	2011	224	SW		Ceramica Nivel 7
2564	Boca Chinikihá	2011	224	SW		Litca Nivel 7
2565	Boca Chinikihá	2011	224	SW		Jutes Nivel 6
2566	Boca Chinikihá	2011	224	SW		Muestra Tierra Nivel 8 (z: 1.60m)
2567	Boca Chinikihá	2011	224	NW		Ceramica Nivel 6
2568	Boca Chinikihá	2011	224	NW		Ceramica Nivel 7
2569	Boca Chinikihá	2011	223			Ceramica Nivel 5
2570	Boca Chinikihá	2011	224	NW		Hueso Nivel 7
2571	Boca Chinikihá	2011	224	NW		Jutes Nivel 6
2572	Boca Chinikihá	2011	224	NW		Obsidiana Nivel 7
2573	Boca Chinikihá	2011	224	SW		Obsidiana Nivel 7 (1.46-1.56)
2574	Boca Chinikihá	2011	224	SW		Hueso? Nivel 7
2575	Boca Chinikihá	2011	224	SW		Ceramica Nivel 8
2576	Boca Chinikihá	2011	224	NW		Litica Nivel 7
2577	Boca Chinikihá	2011	224	SW		Obsidiana Nivel 8
2578	Boca Chinikihá	2011	224	Ext. Norte		Ceramica Nivel 1
2579	Boca Chinikihá	2011	224	Ext. Norte		Litica Nivel 2
2580	Boca Chinikihá	2011	224	Ext. Norte		Ceramica Nivel 2
2581	Boca Chinikihá	2011	224	Ext. Norte		Hueso Nivel 2
2582	Boca Chinikihá	2011	224	Ext. Norte		Obsidiana Nivel 2
2583	Boca Chinikihá	2011	229			Ceramica Nivel 3
2584	Boca Chinikihá	2011	229			Litica Nivel 3
2585	Boca Chinikihá	2011	229			Obsidiana Nivel 3
2586	Boca Chinikihá	2011	230			Ceramica Nivel 1

Bolsa	Sitio	Temporada	Operacion	Cuadra	Elemento	Tipo Material
2587	Boca Chinikihá	2011	230			Litica Nivel 1
2588	Boca Chinikihá	2011	230			Obsidiana Nivel 1
2589	Boca Chinikihá	2011	229			Ceramica Nivel 4
2590	Boca Chinikihá	2011	229			Obsidiana Nivel 4
2591	Boca Chinikihá	2011	229			Litica Nivel 4
2592	Boca Chinikihá	2011	229			Ceramica Nivel 5
2593	Boca Chinikihá	2011	226	Ext. Este		Ceramica Nivel 5
2594	Boca Chinikihá	2011	226	Ext. Este		Litica Nivel 5
2595	Boca Chinikihá	2011	226	Ext. Este		Obsidiana Nivel 5
2596	Boca Chinikihá	2011	226	Ext. Este		Huesos Nivel 5
2597	Boca Chinikihá	2011	226	Ext. Sur		Ceramica Nivel 4
2598	Boca Chinikihá	2011	226	Ext. Sur		Litica Nivel 4
2599	Boca Chinikihá	2011	226	Ext. Sur		Obsidiana Nivel 4
3600	Boca Chinikihá	2011	226	Ext. Este		Huesos Nivel 4
3601	Boca Chinikihá	2011	226	Ext. Este		Ceramica Nivel 4
3602	Boca Chinikihá	2011	226	Ext. Este		Litica Nivel 4
3603	Boca Chinikihá	2011	226	Ext. Este		Obsidiana Nivel 4
3604	Boca Chinikihá	2011	226	Ext. Este		Huesos Nivel 4
3605	Boca Chinikihá	2011	226	Ext. Sur		Ceramica Nivel 5
3606	Boca Chinikihá	2011	226	Ext. Sur		Huesos Nivel 5 * (cfr. # 3609)
3607	Boca Chinikihá	2011	226	Ext. Sur		Litica Nivel 5
3608	Boca Chinikihá	2011	226	Ext. Sur		Obsidiana Nivel 5
3609	Boca Chinikihá	2011	226	Ext. Sur		Huesos Nivel 5* (cfr. # 3606)
3610	Boca Chinikihá	2011	226			Ceramica Nivel 6
3611	Boca	2011	226			Obsidiana Nivel 6

Bolsa	Sitio	Temporada	Operacion	Cuadra	Elemento	Tipo Material
	Chinikihá					
3612	Boca Chinikihá	2011	226			Litca Nivel 6
3613	Boca Chinikihá	2011	226			Obsidiana asociada a craneo Nivel 6
3614	Boca Chinikihá	2011	226			Fragmento de Piritita asociado a craneo Nivel 6
3615	Boca Chinikihá	2011	226			Litica asociada a craneo Nivel 6
3616	Boca Chinikihá	2011	220			Hueso quemado Nivel 3
3617	Boca Chinikihá	2011	229			Ceramica Nivel 1
3618	Boca Chinikihá	2011	226	Ext. Sur		Ceramica Nivel 1
3619	Boca Chinikihá	2011	226	Ext. Sur		Obsidiana Nivel 1
3620	Boca Chinikihá	2011	226	Ext. Sur		Litica Nivel 1
3621	Boca Chinikihá	2011	226	Ext. Sur		Ceramica Nivel 2
3622	Boca Chinikihá	2011	226	Ext. Este		Ceramica Nivel 2
3623	Boca Chinikihá	2011	226	Ext. Este		Litica Nivel 2
3624	Boca Chinikihá	2011	226	Ext. Este		Obsidiana Nivel 2

Apéndice 2:

Proyecto Arqueológico Chinikihá 2011

Cédula de Entierro

DATOS EXCAVACIÓN

Operación: 226 Conjunto: n/a Sepultura #: 1
Capa: 2 Excavado por: Christian Jesus Arias Sarmiento
Nivel: 5 Cronología: n/a

CARACTERÍSTICAS DEL CONTINENTE

Tipo: simple Forma: no se observa un orden, los huesos estan acumulados entres y debajo de las rocas

Profundidad (min/max): 118/129 Tamaño: 60x50cm

Material constuctivo: rocas y guijarros # de individuos: 1

Descripción del relleno: los restos se encuentran entre las piedras; el suelo es arcillo-limoso

Localización de la sepultura

Se localiza justo en el arranque del relleno de la estructura 7; a 5.40 metros del Juego de Pelota, atrás de la estructura 8. En la sección Sur de la operación. Tiene una extension aproximada de 60x50 cm.

MATERAL ASOCIADOS

- 2 navajillas de obsidiana sobre lobo craneal
- 3 fragmentos cerámicos cercanos al nivel del cráneo (rojo ceroso), a 25 cm. del cráneo

Otros:

n/a

Muestras:

n/a

OBSERVACIONES

Los huesos estan fragmentados, sin ningun orden y en distinto niveles.

CARACTERÍSTICAS BIOLÓGICAS

Edad

Infantiles (x) Adolescentes () Adulto ()

Describir indicadores:

Sexo

Femenino () Masculino () No determinable (x)

Modificación Corporal

Cráneo: deformación de tipo no determinado Dientes: limados

Observaciones: n/a

DISPOSICIÓN DEL CUERPO

Clase: Primarios () Secundarios (x) Reducidos () Perturbados ()

Tipo: Directo (x) Indirecto ()

Decomposición en: Rellenado progresivo () Vacío parcial () Vacío ()

Describir Indicadores: no existe una disposición clara. Solo están presentes algunos huesos largos, y parte del cráneo.

Profundidad restos: n/a

Posición: n/a

Orientación: 98° al este

Observaciones:

Apéndice 3 : Muestras de Carbón 2011 Boca Chinikihá

#BOLSA	OPERACIÓN	CAPA	NIVEL	UBICACIÓN	ANOTACIÓN	FECHA
2153	217	1	2			
2163	217	2	1	z:0.72		
2167	217	2	1	z:0.76		
2170	217	2	1	z:0.75		9/02/2911
2176	217	2	2			
2257	219	1	2			
2264	219	2	1	x:0.48 y:0.65 z:0.60	muestra #3	
2265	219	2	1	x:0.64 y:0.82 z:0.58		
2266	219	2	1	x:1.00 y:1.10 z:0.58		
2288	223	1	1	x:1.80 y:0.40 z:0.91		22/02/2011
2291	224	1	1		cerca del clavo de hierro	21/02/2011
2295	223	1	1			22/02/2011
2364	222	1	1	x:0.30 y:1.90 z: 0.55	Sobre piedras en la esq. NW	
2388	224		3	x:1.75 y:0.60 z:1.08		4/03/2011
2507	224		4	x:1.75 y:1.13 z: 1.14		8/03/2011
2508	224		4	x:0.83 y:1.47 z:1.14		
2517	224			x:1.14 y:0.33 z:1.27		
2527	225	1	2	x:1.24 y:0.20 z:0.95		
2528	225		5	x:0.5 y:1.10 z:1.36		14/03/2011
2536	224		6	x:1.95 y:0.64 z:1.27		16/03/2011

10. PROGRAMA DE CONSERVACIÓN: INFORME DE ACTIVIDADES EN EL SITIO DE CHINIKIHÁ, CHIAPAS.

Daniel Juárez/DEA-INAH

Como parte de los trabajos que desarrolla el Proyecto Arqueológico Chinikihá (PRACH), bajo la dirección de Rodrigo Liendo Stuardo, se solicitó nuestra colaboración para llevar a cabo la conservación de dos estructuras que se exploraron a partir de calas en el sitio de Chinikihá, Municipio de Palenque, en Chiapas. Una de ellas corresponde al Edificio 4-D del Conjunto CHK/D87 y la otra al Edificio C5b del Conjunto CHK/C126. En ambos casos la exploración estuvo a cargo de Joshua Balcells.

Nuestra participación se limitó a efectuar trabajos de limpieza así como sondeos muy específicos en el conjunto de la excavación. Esto tuvo como propósito, delimitar y hacer más evidentes los espacios construidos registrados durante el proceso de excavación. Conviene puntualizar que no se efectuaron reconstrucciones, sólo se consolidaron los elementos arquitectónicos. Sin embargo, en algunos casos se restituyó parte del núcleo para recuperar el volumen de las construcciones.

Consideramos necesario aclarar este aspecto, ya que si bien en excavaciones extensivas, cuyo objetivo principal ha sido la “restauración de monumentos” para la apertura de sitios al público; dichas restauraciones generalmente exceden los límites de la conservación e incluso exageran la reconstrucción más allá de la evidencia arqueológica. En este sentido, estamos conscientes que la excavación intensiva sólo a partir de calas, acota la comprensión de los espacios construidos, razón por la cual hemos limitado nuestra intervención a la estricta consolidación de los elementos arquitectónicos. De esta manera, la caracterización e interpretación de los espacios arquitectónicos, queda abierta para desarrollarse a partir de perspectivas descriptivas en formatos digitales. Futuras excavaciones permitirán conocer con mayor detalle las características y configuración de estos conjuntos residenciales.

Operación 161: Conjunto CHK/D87, Edificio D-4a

En el primer caso, la exploración del Edificio D-4a del Conjunto CHK/D87, consistió en la apertura de una cala transversal que permitió observar los elementos arquitectónicos de una plataforma habitacional. En términos generales podemos señalar que esta estructura incorpora los edificios D-3 y D-4a, cuya configuración en planta asume la forma de una “L”. No se observan subestructuras, a reserva de lo que se indique en el informe de excavación, razón por la cual nuestra actividad se limitó a consolidar los elementos identificados en la cala y a reponer algunos volúmenes con el propósito de clarificar su distribución.

El edificio 4 consta de dos cuerpos: el basamento y el recinto propiamente habitacional. En el caso de basamento, la cala permitió identificar la escalinata de acceso (Fig. 10.1), de la cual se conservaron tres escalones bien peraltados y con una huella bastante amplia; así como el paño frontal del basamento (Fig. 10.2), el cual, con toda seguridad, funcionó como un cuarto peldaño. La escalinata se construyó mediante grandes bloques de caliza bien labrados tanto en la huella como en peralte.



Fig. 10. 1. 10.1. Operación 161, Aspecto de la escalinata del Edificio 4 al concluir el proceso de excavación



Fig. 10. 2. Operación 161. Al concluir la excavación, se procedió a realizar una limpieza más detallada para conocer las características del sistema constructivo, previo a su consolidación

Como era de esperarse, las hiladas de la escalinata mostraban cierta deformación así como el desplazamiento de algunos bloques hacia el frente (Fig. 10.3) En este sentido, nuestro trabajo consistió en el saneamiento de juntas así como en la recolocación y alineación de los bloques en sus hiladas correspondientes (Fig. 10.4) Conviene destacar que la tercera hilada del escalón no se localizó completa (Fig. 10.5), razón por la cual esta porción se consolidó como si fuese la base para soportar el escalón (Figs. 10.6, 10.7)



Fig. 10. 3. Operación 16: Vista general de la cala



Fig. 10. 3A. Operación 16: Retiro de escombro de la escalinata del Edificio 4.



Fig. 10. 3B. Operación 16: Saneamiento de juntas en la escalinata del Edificio 4.



Fig. 10. 4. Operación 16: Remoción de escombros y materiales disgregados en la porción superior del basamento del Edificio 4.



Fig. 10. 5. Operación 16: Reacomodo y alineación de los peldaños de la escalinata.



Fig. 10. 6. Operación 16: Reposición de juntas en la escalinata del basamento del Edificio 4.



Fig. 10. 7. Operación 16: Preparación y consolidación del núcleo para la base de la escalinata

Para su consolidación, se utilizó una mezcla de cal y *sascab* en proporción 1:2, a la que se adicionó un 5 % de cemento blanco para brindarle una mayor resistencia. Quizás resulte oportuno aclarar que los terrenos donde se sitúa este conjunto habitacional, son utilizados como potrero donde pasta un hato de ganado vacuno. De tal manera que uno de los factores de deterioro más importante, es el paso constante de los animales encima de las estructuras que se localizan en la parte baja del terreno. Esto ha ocasionado la erosión y compactación del terreno, con la consecuente pérdida de elementos arquitectónicos de casi todas estructuras que se localizan en estos terrenos. Es bajo esta consideración que hemos optado por adicionar el cemento blanco a la mezcla. Ahora bien, una vez aplicada la mezcla, los labios de la piedra fueron cepillados para limpiar el exceso. Las juntas se entallaron y pintaron con tierra de color ocre para acentuarlas. En cuanto al paño frontal del basamento, también se sanearon las juntas, algunos de los bloques que se habían desplazado fueron recolocados y alineados, para posteriormente consolidar el núcleo expuesto en su porción superior, hasta alcanzar la altura del descanso (Fig. 10.10)



Fig. 10. 10. Operación 161: Detalle de la escalinata una vez concluido el proceso de consolidación



Fig. 10. 14. Operación 161: Reacomodo y consolidación de la escalinata superior del Edificio 4.



Fig. 10. 19. Operación 161: Consolidación del vano de acceso al recinto de Edificio 4



Fig. 10. 24. Operación 161: Consolidación del muro medianero.



Fig. 10. 28. Operación 16: Vista del muro posterior donde se aprecian las raicillas que ocasionaron la disgregación de la mampostería.



Fig. 10. 30. Operación 161: En esta porción del muro posterior, se aprecia el faltante del patío

Por lo que toca a lo que hemos definido como el recinto habitacional asentado sobre el basamento, la cala permitió identificar diversos elementos arquitectónicos: su escalinata (Fig. 10.14), una de las jambas del vano (Fig. 10.19), un muro medianero que divide el espacio longitudinalmente (Fig. 10.24), los restos del muro posterior y parte de la superficie que parece conformar una amplia terraza que se extiende detrás del recinto (Figs. 10.28 y 10.30)

La escalinata es de huellas mas angostas y menos peraltadas en relación con las del basamento. En ella se detectaron tres escalones, aunque es probable que el escarpe del recinto haya funcionado como un cuarto peldaño (Fig. 10.14) También conviene señalar que la porción oriental de la escalinata se encontraba sumamente destruida, razón por la cual se consolidó un núcleo expuesto para marcar la base de los peldaños (Figs. 10.16 y 10.17) El claro formado al interior del recinto se encuentra bien delimitado: al frente por una sección de la jamba y en la parte posterior por los restos del muro. De acuerdo a las evidencias recuperadas, sabemos que el interior estaba recubierto mediante un piso de estuco blanco, bien pulido y con casi dos centímetros de espesor (Fig. 10.23) Sobre éste, seguramente durante alguna remodelación, se colocó un nuevo piso de estuco más delgado, quizá sólo para resanar la superficie ya erosionada por el uso constante. Es interesante hacer notar que el sistema constructivo del piso, resulta similar a los

observados en la región. Esto es, sobre un relleno de piedras medianas que le dan altura al cuerpo de la construcción, se coloca una gruesa capa de gravilla que funciona como soporte para el estuco, lo cual, además de ayudar a nivelar el piso, le brinda una mayor resistencia. Finalmente se coloca el “derretido de estuco”, que consiste en una mezcla rica en cal con una carga pobre de *sascab*, mezcla que una vez fraguada, se pulía con cantos de río o maderas de “color” para cerrar los poros y evitar su agrietamiento.



Fig. 10. 16. Operación 161: Colocación y consolidación del núcleo en la porción faltante de la escalinata superior en el Edificio 4.



Fig. 10. 17. Operación 161: Proceso concluido de la consolidación de la escalinata superior del Edificio 4.



Fig. 10. 23. Operación 161: Aplicación de agua de cal para consolidar los restos del piso de estuco.

Los fragmentos del piso que se detectaron, fueron consolidados mediante la aplicación de agua de cal durante varios días. Posteriormente se le colocó una delgada capa de *sascab*, y todo el interior del recinto se recubrió con gravilla de *sascab* para enfatizar visualmente la superficie que debió estar sellada por el piso de estuco (Fig. 10.27) No así el descanso al frente y la terraza posterior, los cuales se recubrieron con una capa de tierra oscura, lo cual también permite diferenciar el espacio interior del exterior.

La sección de la jamba se construyó mediante lajas cuatrapeadas de caliza, cuyo deterioro más evidente obedeció a la pérdida de argamasa en las juntas y su desplazamiento debido a la penetración de raíces (Fig. 10.20) Para la conservación de este elemento, se desmontaron las lajas, retiramos las raíces, saneamos el núcleo y se unieron con una mezcla de cal y *sascab* en proporción de 1:2, a la que se agregó un 3 % de cemento blanco (Figs. 10.21 y 10.22).



Fig. 10. 20. Operación 161: Una vez concluida la consolidación del vano, se procedió con la limpieza del muro medianero en el recinto del Edificio 4.



Fig. 10. 21. Operación 161: Aspecto del recinto, al término de la consolidación, al cual se le incorporó una capa de gravilla de sascab para indicar la ubicación del nivel de piso.



Fig. 10. 27. Operación 16: El piso de estuco quedó protegido mediante la aplicación de *sascab* bien cribado. Sobre éste se colocó una capa de gravilla de *sascab*, indicando así su nivel general.



Fig. 10. 22. Operación 161: Vista general del recinto superior ya concluido el proceso de consolidación.

El muro medianero es angosto. Se construyó a partir de calizas a las que se les buscó el “rostro”, lo que permite que la cara expuesta sea mas o menos lisa (Figs. 10.25 y 10.26) El muro posterior en cambio, es más ancho y se construyó con bloques de caliza (Figs. 10.31 y 10.34) que mantienen el mismo sistema constructivo observado en otros edificios de la región. Esto es, bloques bien cortados que confinan un núcleo indiferenciado de piedra y tierra compactado. De este último muro sólo se conservaron dos hiladas en el costado poniente de la cala, cuyo deterioro también fue ocasionado por la penetración de raíces. En este caso, se consolidaron los bloques de caliza y sólo se repuso el volumen del núcleo interior, lo cual le brinda solidez al muro y nos permite visualizar con mayor claridad las dimensiones del recinto (Figs. 10.37 y 10.39) En la terraza posterior se colocó una capa de tierra oscura bien compactada, similar a la del descanso (Fig. 10.40 y 10.41)



Fig. 10. 25. Operación 161: Limpieza de juntas y consolidación del muro medianero.



Fig. 10. 26. Operación 161: Vista general del recinto del Edificio 4 ya concluido con el piso de gravilla de *sascab*



Fig. 10. 31. Operación 161: Aspecto del muro posterior una vez saneadas las juntas.



Fig. 10. 34. Operación 161: Detalle de la anterior.



Fig. 10. 37. Operación 161: Aspecto del muro posterior con la incorporación del núcleo para indicar el límite del recinto.



Fig. 10. 39. Operación 161: Para diferenciar la porción faltante de muro, se aplicó una capa de tierra negra



Fig. 10. 40. Operación 161: Detalle de la consolidación del núcleo en el muro posterior



Fig. 10. 41. Operación 161: Vista general de la cala desde el muro posterior ya terminado el trabajo de consolidación.

Resulta probable suponer que los muros detectados en la cala, en realidad corresponden a la cimentación o soporte de una construcción hecha con materiales precederos, tales como el bahareque. Por las evidencias observadas, dichos muros difícilmente alcanzaron una altura promedio de 50 centímetros, ya que prácticamente no se encuentran piedras labradas entre los escombros que sugieran una altura superior a la indicada, y menos aún lascas para el armado de bóvedas.

Toda vez que se concluyó la consolidación de los elementos arquitectónicos, se colocó una capa de tierra amarilla (Fig. 10.45) para que futuras excavaciones permitan diferenciarlos sin equivocación alguna. Adicionalmente, los muros quedaron protegidos mediante el adosamiento de “muros secos”, separados también por una capa de tierra amarilla. Posteriormente se incorporaron cajones de relleno, alternando capas de tierra y piedra hasta cerrar totalmente la cala con una gruesa capa de tierra (Fig. 10.46)



Fig. 10. 45. Operación 161: Tambos para el apagado de la cal y cribado de *sascab* para la preparación de mezclas.



Fig. 10. 46. Operación 161: Vista general de la cala ya terminado el trabajo.



Fig. 10. 46A. Tapado de la op. 161. Vista del frente Norte



Fig. 10. 46B. Rellenado de la escalera del frente Norte de la op. 161



Fig. 10. 46C. Operación 161. Finalización de las labores de relleno.



Fig. 10. 46D. Operación 161. Finalización de las labores de relleno.

Operación 167: Conjunto CHK/C126, Edificio C-5b

En este edificio también se practicó una larga cala transversal. Las evidencias indican que se trata de una plataforma habitacional, que al igual que la anterior muestra una planta en forma de “L”. Uno de sus rasgos más distintivos es la presencia de un altar al frente. Aparentemente hay evidencia de ocupación más temprana, sin embargo, los elementos arquitectónicos que se conservan no permiten definir sus características arquitectónicas. Lo más relevante lo constituye una suerte de trincheras cerradas por lajas, en cuyo interior se localizaron diversos enterramientos.

Este edificio muestra dos cuerpos bien diferenciados: el basamento y lo que identificamos como el recinto. El basamento cuenta con una escalinata descrita por cuatro peldaños bien peraltados de amplia huella (Fig. 10.47) Se construyeron con bloques de caliza bien cortados. Las cuatro hiladas de los peldaños estaban claramente definidas, aunque con cierta deformación y ligeramente desplazadas de su posición original. Sobre la cuarta y última hilada, que permite alcanzar la terraza superior, se percibe un mayor desplazamiento hacia el frente. En este sentido, la consolidación se limitó a recolocar y calzar los peldaños desplazados. Se retiraron raíces y se sanearon juntas mediante una mezcla de cal y *sasacab* en proporción 1:2, a la que adicionamos hasta un 5 % de cemento blanco para garantizar su estabilidad (Figs. 10.48 y 10.49)



Fig. 10. 47. Operación 167: Consolidación de la escalinata del Edificio C-5b.



Fig. 10. 48. Operación 167: Vista general de la cala, con la escalinata ya consolidada y la colocación de gravilla de *sasacab*.



Fig. 10. 49. Operación 167: Detalle de la escalinata.

Entre el recinto y la escalinata, se extiende una terraza más o menos amplia, ya que alcanza cerca de los 2.50 metros. Aunque no se localizó, es posible que haya contado, al menos, con un escalón para salvar el peralte. No hay evidencia de piso o algún tipo de recubrimiento en ella. Resulta probable que por tratarse de un espacio abierto, sólo haya sido una superficie bien compactada mediante tierra y grava (Fig. 10.55), aunque tampoco podemos descartar la posibilidad de que en algún momento tuviera un recubrimiento de estuco, ahora destruido por los factores de deterioro ya indicados previamente.

El recinto parece haber alcanzado un claro bastante amplio: alrededor de 3.50 metros. La mampostería del muro frontal es sumamente irregular, da la apariencia de un paño “rajueleado” o “ripeado” (Fig. 10.56), a diferencia de la que se observa en el muro posterior. En este último, se advierten bloques de caliza y piedras “careadas” (Fig. 10.50) Esta notable diferencia en el aparejo, podría sugerir que la fachada principal llevó algún tipo de recubrimiento o bien que permaneció oculta por el peldaño que parece faltar. La fachada posterior contaba también con un zócalo, el cual, muy probablemente, recorre el perímetro del basamento (Fig. 10.54) Uno de los factores de deterioro más notables en el edificio, ha sido la intensa erosión que afectó la parte posterior del conjunto, donde se aprecia la disgregación de materiales constructivos. Esto fue aún más evidente durante su exploración, ya que el muro posterior del recinto perdió, por lo menos, un tercio de su altura con respecto a la fachada.



Fig. 10. 50. Operación 167: Limpieza y saneamiento de juntas del muro posterior del Edificio C-5b



Fig. 10. 51. Operación 167: Consolidación del muro posterior del Edificio C-5b y colocación de la caja para su relleno.

En cuanto al trabajo de restauración, procedimos a sanear y reponer las juntas, utilizando una mezcla de cal y *sascab* en proporción 1:2 a la que se adicionó un 3 % de cemento blanco. En el muro posterior, optamos por restituir su volumen mediante la colocación de un núcleo para enrasar la superficie y destacar así la configuración del recinto, lo cual favorece sensiblemente la comprensión del espacio construido (Fig. 10.51) Conviene señalar que durante el proceso de exploración se retiró el relleno alojado al interior del recinto, razón por la cual, una vez restituida la altura del muro posterior, lo recolocamos nuevamente. Para ello se construyó una caja con muros en seco, la cual se relleno alternando tierra y piedra para su adecuada compactación (Figs. 10.52 y 10.53) Una vez nivelada la superficie, se apisonó con tierra y se colocó una capa de gravilla a manera de piso. Dada la erosión del montículo, resulta difícil determinar con cierta precisión no sólo las características del piso alojado en el recinto, sino aún las de la estructura misma. No obstante, es muy probable que ésta hay sido construida mediante un armazón de madera techado con palma.

Una vez concluido el proceso de consolidación se procedió a cerrar la cala. Para ello se protegieron la escalinata y los muros. En las escalinatas se colocó *sascab* cribado y sobre éste un relleno de piedra. Alineados al paño de los muros y separados de éstos unos 10 centímetros, se acomodaron muros secos, entre cuya separación se dispuso un relleno de *sascab* cribado. Finalmente se colocó piedra que se compactó con tierra. De esta manera, futuros trabajos de excavación pueden identificar y retirar los rellenos sin peligro de alterar los elementos arquitectónicos ya consolidados.



Fig. 10. 52. Operación 167: Detalle que muestra la colocación de muros secos para el armado de las cajas de relleno.



Fig. 10. 53. Operación 167: Relleno de las cajas alternando capas de tierra y piedra.

Por lo que toca al altar que se extiende frente al edificio, sólo los paños de la esquina norte y este eran los mejor conservados. En el paño sur se advertía la alineación de los bloques aunque con una mayor deformación, no así el paño poniente donde difícilmente se conservó parte del desplante. Resulta interesante señalar que, adosado al paño sur, también se identificó una banqueta no muy peraltada. Durante el saneamiento de juntas y reacomodo de los mampuestos, limpiamos el interior para verificar el depósito, donde sólo se localizó un relleno de piedra. El trabajo de consolidación básicamente se limitó a la reposición de juntas en los paños norte, este y sur; mientras el paño oriente se cerró con un núcleo para dar estabilidad a este elemento. También se consolidó la banqueta y se colocó un pequeño núcleo para recuperar su volumen. Finalmente, este elemento y el resto de la cala se rellenaron nuevamente, quedando protegidos mediante muros secos separados de los paños originales con *sascab* cribado.

Si bien este elemento arquitectónico lo hemos descrito como altar, su configuración parece responder mejor a las características de una caja para empotrar una estela. Sabemos que la gran mayoría de los monumentos con inscripciones, generalmente se encuentran asociados con arquitectura abovedada, razón por la cual resulta inquietante la presencia de este elemento como parte de un conjunto habitacional. Cabe recordar que cajas con estas características no son raras en la región, como lo confirman aquellas que se localizan en la Gran Plaza de Yaxchilán para soportar las estelas 1, 2 y 3, aunque estas últimas, obviamente son mucho más grandes. Sería interesante una revisión de los conjuntos habitacionales estudiados en la región, para caracterizar mejor estos conjuntos en términos de su adscripción hacia los grupos de linaje que pudieron haberlos ocupado. Si bien es difícil afirmar que este “altar” fue utilizado como soporte para una estela, debemos recordar que relativamente cercano a este conjunto, hacia su extremo oriental, se localizó una estela lisa.



Fig. 10. 54. Tapado de la op. 167, vista general



Fig. 10. 55. Vista de las operaciones de tapado de la op. 167



Fig. 10. 56. Operación 167. Finalización de las labores de relleno.



Fig. 10. 57. Operación 167. Finalización de las labores de relleno.

11. Análisis preliminar del material arqueofaunístico del sitio de Chinikiha, Chiapas **Temporada 2010**

Carlos Miguel Varela Scherrer

Introducción

El presente informe es un avance preliminar del estudio de los restos de fauna procedentes principalmente de la Operación 114 realizada en el Palacio del sitio de Chinikiha, Chiapas. El análisis efectuado hasta el momento se refiere al 30% del material y ha sido analizado únicamente hasta el nivel de especie, describiendo segmento del cuerpo y lateralidad. A futuro, el estudio integral de los materiales pretende enfocarse en el nivel de aprovechamiento de las distintas especies presentes en los contextos (a través de los patones de fracturas y fragmentación de los restos óseos); por lo que algunos elementos del estudio arqueozoológico como el sexo, edad y patologías se trataran en un trabajo posterior.

Operaciones analizadas

Operación 114

Desde 2006, debido a su importancia, este contexto ha sido intensamente excavado arrojando datos preliminares sobre su función. El material que se ha obtenido encierra además de una gran cantidad de restos de fauna, lítica, fragmentos de cerámica, figurillas y restos óseos humanos (Montero en Liendo et al, 2010: 217). Tentativamente se ha catalogado a este contexto como “basurero”, sin embargo solo hasta que se realice el estudio integral de todos los materiales arqueológicos de esta excavación se podrá afirmar o refutar este término (Liendo, et al 2008:216).

De esta operación existe ya un análisis previo de la fauna ahí presente realizado por Coral Montero López, quien denomina esta operación como depósito problemático debido a que es posible que en este contexto coexistan los desechos producidos por diversas acciones: domésticas, banquetes rituales y como consecuencia de la limpieza del edificio (barrido de la estructura) (Montero 2008). Sin embargo Montero López propone la posibilidad de que la deposición haya sido debido al resultado de uno o varios eventos de consumo ritual llevado a cabo constantemente en la misma área de actividad, también se ha sugerido que esta deposición se encuentre asociada al o los eventos que ocurrieron en la plataforma que se ubica al sur de la excavación (Liendo, et al, 2008:16)

La investigadora encontró una marcada preferencia por el venado cola blanca (*Odocoileus virginianus*), ya que este animal fue el mejor representado y que además, por la presencia de la mayor parte del esqueleto, llegó completo al asentamiento. Destaca en este estudio la detección de marcas y huellas como consecuencia de procesos pre y posenterramiento, lo que da como resultado la correcta identificación de aquellas marcas producidas por el hombre y aquellas que se generan por la acción de otros agentes como carnívoros, roedores, tierra y agua; estudio conocido como Tafonomía (Reitz y Wing 1999:118). De esta forma, el alto contenido de marcas de corte, huellas y transformaciones en los restos óseos de fauna permitió a la autora afirmar que éstos corresponden a acciones destinadas a desmembrar, despellejar y destazar a los animales, y que están siendo utilizadas navajillas de obsidiana para los cortes.

Operación 201

Este depósito se caracteriza al igual que la operación anterior por la alta cantidad de materiales arqueológicos, lo que lo ha permitido catalogar (como el contexto anterior) a un posible basurero, pues son abundantes los materiales cerámicos, líticos y de fauna (Liendo, et al 2008:307). Preliminarmente se ha fechado este depósito como perteneciente a los complejos Murciélagos – Balunte (Ibid).

En el estudio anterior también realizado por Coral Montero sobresale el venado cola blanca (*Odocoileus virginianus*), siguiéndole en importancia el perro doméstico (*Canis familiaris*) (Montero en Liendo, et al, 2010:172).

Operación 138

Se trata de un pozo realizado en el interior del patio formado por la estructura A-20. Esta operación arrojó como las dos anteriores abundante material arqueológico: cerámica, lítica tallada, fragmentos de metate y hueso animal (Mirón en Liendo, et al, 2010:81).

Metodología

El material de arqueofauna se transportó a la zona arqueológica de Palenque, Chiapas, donde se lavó en los laboratorios de materiales arqueológicos del sitio y se almacenó para su estudio. La identificación taxonómica se llevó a cabo en este mismo espacio apoyada por la colección arqueológica de fauna localizada en una de las bodegas de materiales arqueológicos de la zona, algunas especies que han perecido en el sitio como *Dasyprocta punctata* y *Alouata palliata*, así como con la pata trasera de un venado cola blanca obtenido a través de un habitante de una comunidad cercana a la población de Palenque, Chiapas.

De la colección arqueológica de fauna localizada en la bodega de materiales arqueológicos, se realizó un muestrario con las especies mejor representadas.



Fig. 11.1 Parte del muestrario de la fauna arqueológica de Palenque

Resultados

Especies representadas

El análisis preliminar hecho hasta ahora permite corroborar la predilección del venado cola blanca (*Odocoileus virginianus*) por parte de los pobladores de Chinikiha, ya que es la especie más abundante, seguida por el perro (*Canis familiaris*). Otras especies presentes son conejo (*Sylvilagus*), tortuga blanca (*Dermatemys mawii*) y jute (*Pachychilus indiorum*).

Representación por segmentos del cuerpo

Las partes del cuerpo mejor representadas tanto en *Odocoileus virginianus* como en *Canis familiaris* son las que conforman el esqueleto axial. Para el venado cola blanca las costillas fueron las más abundantes, caracterizándose principalmente por fragmentos del cuerpo. Sin embargo cabe destacar la presencia del axis y el atlas, así como de vértebras cervicales, torácicas y lumbares. A estos segmentos le siguen en importancia los cuartos traseros siendo el espécimen más abundante la pelvis; en menor medida le siguen fragmentos de diáfisis y epífisis de fémur. Posteriormente encontramos a los huesos de la cabeza, destacándose fragmentos de las mandíbulas (izquierda y derecha) así como fragmentos de maxilares (izquierdo y derecho) todos estos con presencia de molares (principalmente segundo y tercer molar). Seguido tenemos los huesos de los cuartos delanteros con diez restos, destacando el Húmero y el Radio. Por último en menor medida se encuentran huesos del “retropié” (Hindfoot) con nueve restos y los huesos del pie con tres restos.

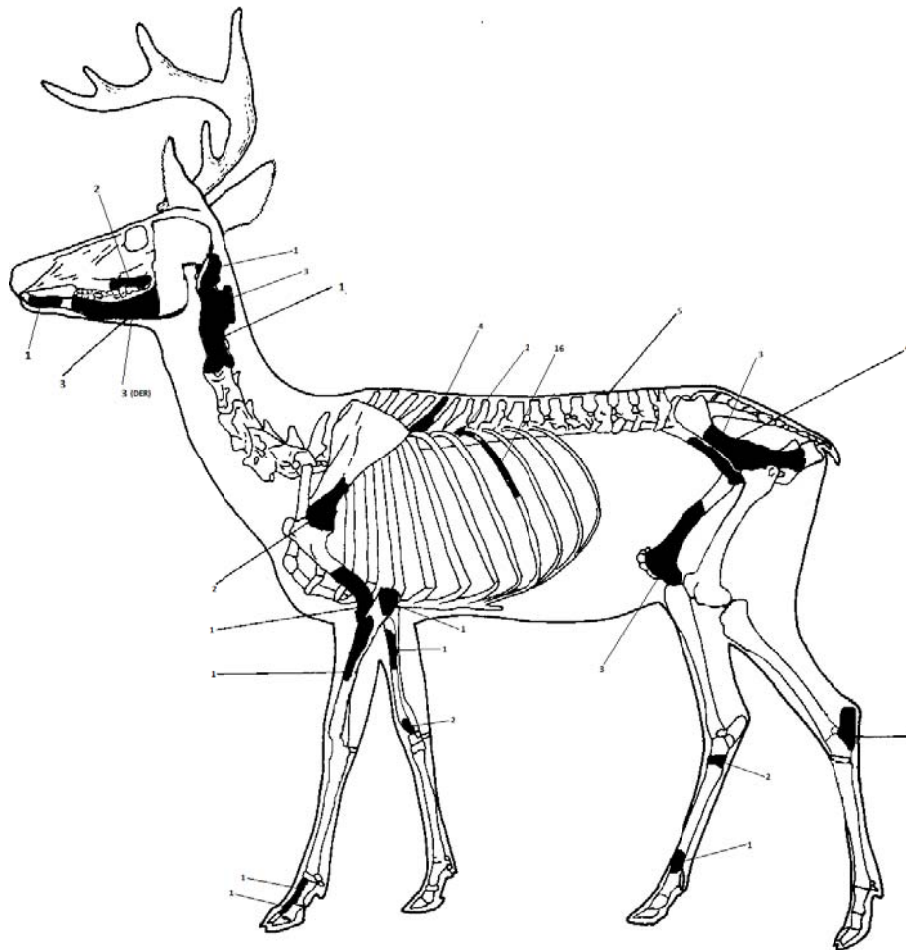


Fig. 11.1A Segmentos del cuerpo de *Odocoileus virginianus* encontrados en la Operación 114³³⁵

En *Canis familiaris* el segmento del cuerpo mejor representado es, como ya se mencionó, el esqueleto poscraneal; aquí destacan las vértebras lumbares con cuatro restos, siendo también representados el axis, el atlas, así como una vértebra cervical y una lumbar. En la muestra también tenemos huesos del miembro torácico o anterior con fragmentos de hueso del omóplato, del húmero y del radio, así como un tercer metacarpiano izquierdo y una falange. En menor frecuencia tenemos dos fragmentos de mandíbula (izquierda y derecha) y huesos del miembro posterior: tres calcáneos (dos derechos que pertenecen a la Operación 201).

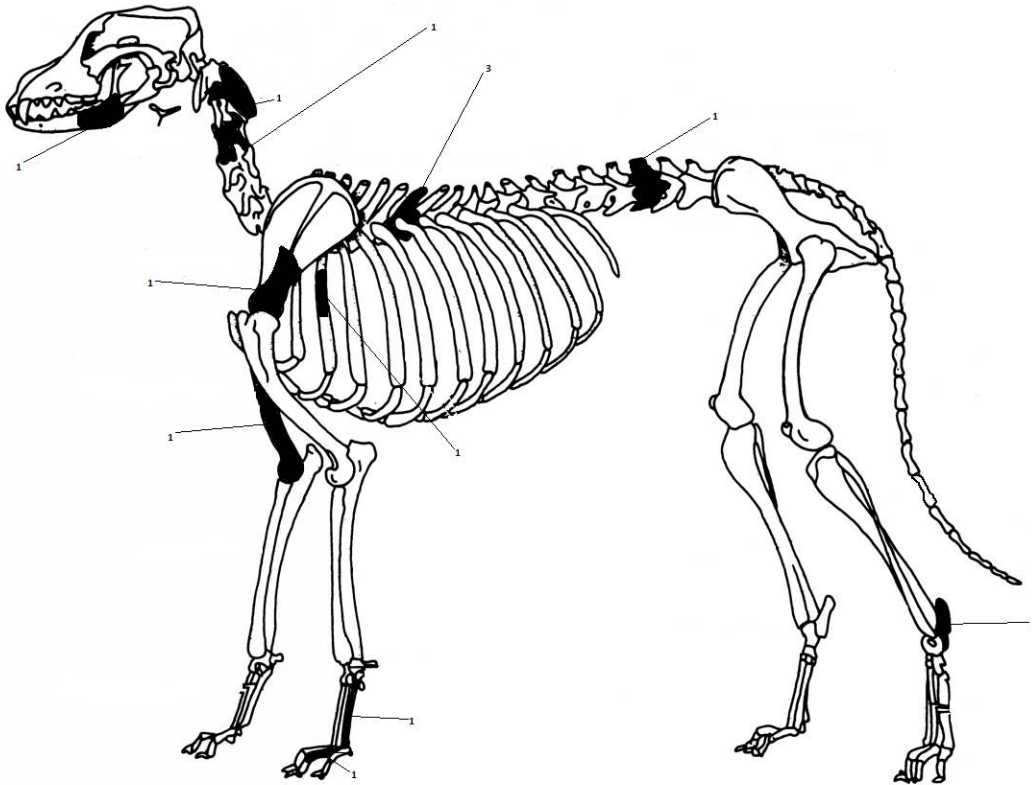


Fig. 11.2 Segmentos del cuerpo de *Canis familiaris* encontrados en la Operación 114

Aunque este estudio es preliminar se puede observar que la tendencia es similar al estudio realizado por Coral Montero. Es evidente que el animal que seguirá apareciendo en la muestra es el venado cola blanca. Durante el proceso de identificación, algunos fragmentos como las diáfisis de huesos largos y algunos fragmentos de otros huesos debido a su fragmentación en unos y su mal estado de conservación en otros no fue posible asignarles especie; por lo que en algunos casos únicamente se clasificaron como de mamífero grande o pequeño. Sin embargo algunos restos presentaban características del orden Artiodactyla y se registraron bajo este nombre. Así como también se registraron fragmentos de la familia Cervidae. Estos dos anteriores la mayoría debido a su tamaño es posible que pertenezcan a *Odocoileus virginianus*, pero que dadas las características ya descritas no fue posible identificar.

Por la representación de los segmentos del cuerpo podemos corroborar la propuesta de Montero López respecto a que en el caso de los venados, estos están llegando completos al asentamiento (Montero López 2008a); ya que se encuentran representadas la mayoría de las distintas partes del esqueleto así como

segmentos izquierdos y derechos. Sin embargo únicamente hasta que se haga el conteo de todos los restos y se calcule el número mínimo de individuos (MNI) podremos conocer más al respecto.

Con relación a los procesos tafonómicos se han detectado algunos fragmentos de vértebras lumbares de venado con exposición a fuego, así como una diáfisis de hueso largo a la que no fue posible asignar especie, lo cual remite a la naturaleza doméstica de este contexto. Así mismo algunos fragmentos de calcáneos de esta misma especie presentaban huellas de mordisqueo, dejando entrever la exposición a la que estuvieron sujetos los restos. Esto también se puede apreciar debido al mal estado de conservación que guardan la mayoría de los restos analizados.

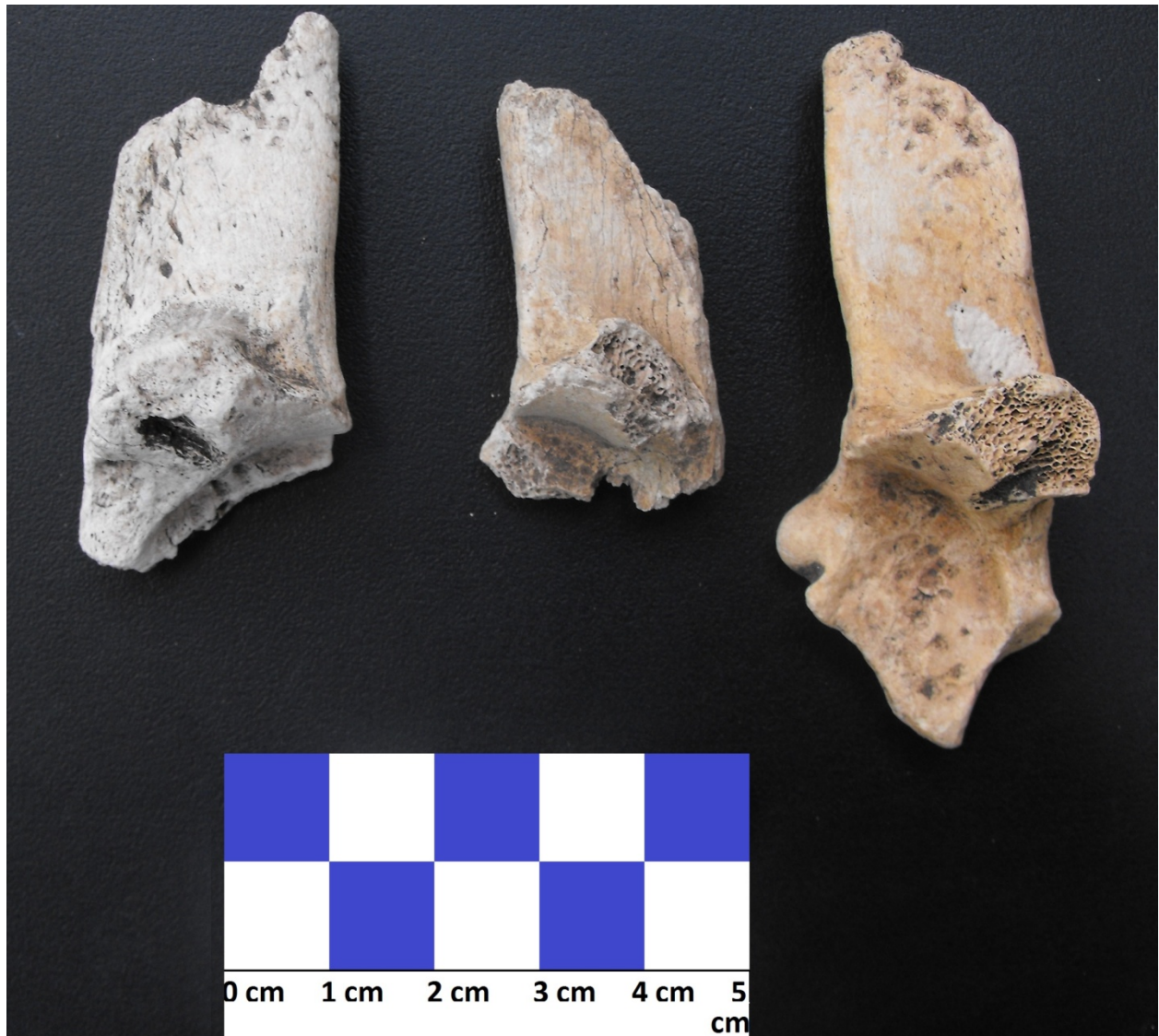


Fig. 11.3 Calcáneos de *Odocoileus virginianus*. Uno izquierdo y dos derechos. Nótese las huellas de mordisqueo en los ejemplares externos.

En cuanto a materiales ornamentales se encontró un canino de mandíbula de *Canis familiaris* que presentaba una perforación en la raíz del diente, por lo que posiblemente se trate de un pendiente.



Fig. 11.4 Caninos de perro doméstico. Nótese la perforación en la raíz, la cual se encuentra rota, pero es evidente la modificación cultural. El ejemplar de la derecha pertenece a la colección arqueológica de Palenque, Chiapas.

Conclusiones

El análisis preliminar hasta ahora hecho hace evidente la predilección por parte de los pobladores de Chinikiha del venado cola blanca (*Odocoileus virginianus*). Los segmentos del cuerpo aquí representados también sugieren, como ya se ha mencionado, que esta especie llegaba completa al asentamiento, derivado de su caza en los alrededores del sitio.

Por otra parte es interesante notar que haciendo una comparación de contextos de elite, entre Chinikiha y sitios como Comalcalco y Palenque, ubicados en la misma región geográfico-política, la fauna encontrada en el primero está enfocada casi en su totalidad al consumo de *Odocoileus virginianus*, caso contrario a los dos últimos en donde hay marcada preferencia por la tortuga blanca (*Dermatemys mawii*).

A pesar de la diferencia estos datos coinciden con un patrón muy común en las tierras bajas mayas, donde en contextos palaciegos, es marcada la preferencia por el venado cola blanca (*Odocoileus virginianus*) y la tortuga de río (*Dermatemys mawii*) (Emery, 2001). Lo inquietante resulta en el hecho de

que no aparezca en abundancia tortuga blanca en Chinikihá, ubicado muy cerca del río Usumacinta, lugar donde actualmente habita este animal. Lo mismo ocurre en Comalcalco y Palenque con la baja frecuencia de venado cola blanca en las muestras. Sin embargo es importante mencionar que en Palenque existe una mayor variedad de especies presentes, sumando aquellas que son foráneas como los moluscos marinos provenientes tanto del océano Pacífico como del Atlántico. Hecho que ocurre similarmente en Comalcalco pero en mucho menor medida y que se encuentra ausente en Chinikiha.

Estas representaciones pueden deberse a que el aprovechamiento de los productos animales por parte de la elite, jugó un papel muy importante en la interacción de las distintas comunidades a nivel regional. Es decir, que ciertos grupos quisieran diferenciarse de otros mediante el consumo específico de ciertos taxones. De esta forma podemos pensar que la similitud del contexto de Comalcalco con el de Palenque, se debe a que el primero quisiera emular el comportamiento de los grupos de poder de la región. Conducta que Chinikihá no pudo llevar a cabo, ya que seguramente el acceso a ciertos recursos estuvo controlado y/o restringido. De esta forma la presencia o ausencia de especies animales pudo deberse al nivel de importancia que ocupaba regionalmente.

Anexo 1. Análisis del material cerámico de la Operación 114. Esteban Mirón Marván.

INTRODUCCIÓN

Durante los primeros trabajos de prospección en el sitio de Chinikihá en la temporada 2005, a través de las operaciones de sondeo 1a y 1b, de un metro cuadrado respectivamente, realizadas en la parte posterior del palacio, nos percatamos de la existencia de un depósito de muy abundante material arqueológico cercano a la esquina sureste de la estructura A-4g, según la nomenclatura actual del sitio.

Esta concentración de materiales cerámicos, líticos, paleo botánicos y paleo faunísticos, se ubicaba en el espacio plano de 94 m² limitado al oeste por la estructura A-4g, al noreste por la ladera del cerro que se desplanta desde ahí y al sur por la estructura A-4h; podría considerarse como el patio trasero del conjunto de edificios que constituyen el palacio.

El análisis de los 48 kg ó 4127 tiestos recuperados tras los sondeos en los pozos 1a y 1b, junto con el material proveniente de las otras trece operaciones realizadas en el área que hasta ese momento se había prospectado en Chinikihá fue realizado por Socorro Jiménez Álvarez; estos datos pueden ser consultados en el Segundo Informe Parcial de la temporada 2008 del Proyecto Arqueológico Chinikihá; conforman la base metodológica de este trabajo y los futuros análisis cerámicos en el sitio y la región.

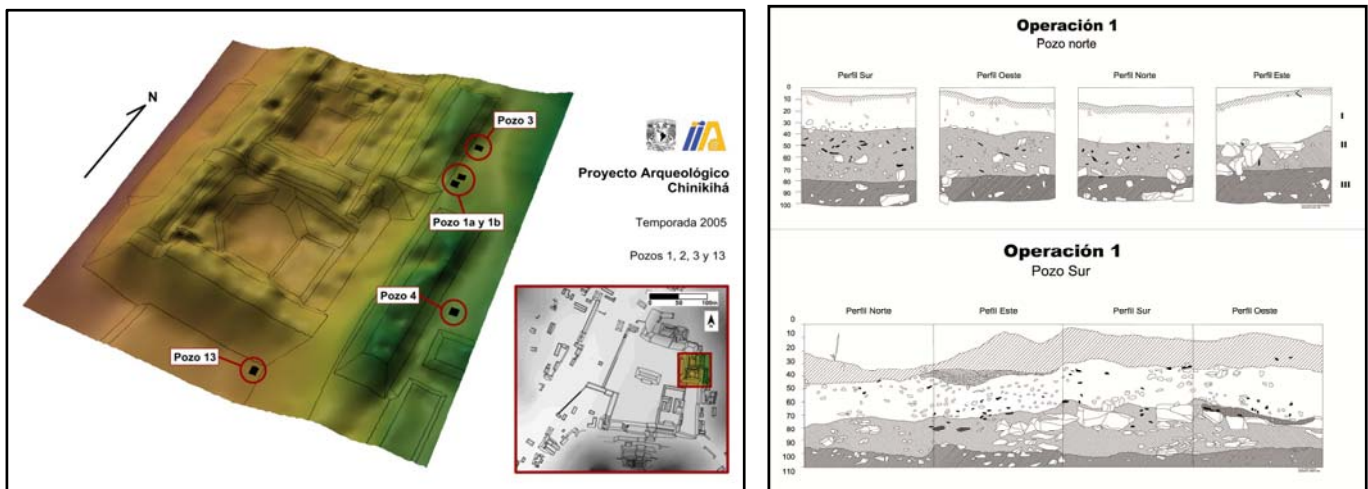


Fig. 1. Ubicación de los pozos 1a (pozo norte) y 1b (pozo sur) y Fig. 2; el dibujo de sus respectivos perfiles.

Con el propósito de resolver las cuestiones surgidas de la excavación de aquellos dos primeros pozos, así como de agotar el depósito de abundante material arqueológico que se había observado; durante el transcurso de las temporadas 2008, 2010 y 2011 del Proyecto Arqueológico Chinikihá; se excavaron las tres etapas de lo que se denominó como Operación 114, aún hoy arrojando datos y mas cuestionamientos con respecto al depósito y la naturaleza del mismo.

Durante el 2008 se excavaron 17 m² a lo largo del muro que limita al este la estructura A-4g, desde ese momento nos percatamos de que la concentración más grande de material se encontraba en los cuadros I1, I2, J1, J2, K1, K2; y L2 encima y debajo y por encima de los dos pisos registrados en aquella temporada, en el espacio formado entre el muro de la crujía en la plataforma A-4g y el límite noroeste de un depósito de piedras grandes y medianas que corresponden a un adosamiento de la plataforma A-4h. Se registró un total de 33191 tiestos en esta etapa de la operación durante 2008.

En 2010 se excavaron 20 m² al este de la primera etapa, bordeando el arranque del adosamiento al norte de la estructura A4-h observado desde la temporada anterior. de ahí se realizó también una cala penetrando hacia el sur dicho adosamiento, liberando el relleno, en los cuadros K4, L4 y M4. Un total de 28807 tiestos se recuperaron en esa

temporada. Se registró un piso de alguna de las etapas constructivas del palacio en la extensión mencionada, debajo del que se recuperó material cerámico correspondiente al siglo VII, única muestra de tiestos en esta operación que presenta una temporalidad diferente a los complejos Murciélagos–Balunté de Palenque.

Por último en el 2011 se realizó una excavación de 15 m² a seis metros al sur de las dos primeras etapas, con el objeto de indagar en el relleno y el costado oeste del adosamiento antes mencionado, en el espacio formado entre este y el muro de la plataforma A-4g. En esa última temporada se recuperó del relleno del adosamiento menos material que en las dos primeras temporadas, un total de 4108 tiestos.

Para los detalles de esta operación consúltese el capítulo en este informe, por Rodrigo Liendo Stuardo; donde pormenoriza los contextos de los que en el presente documento se presenta solamente una breve descripción de los que presentaron material cerámico y su relación con este.

Operación	m ²	Tiestos	Peso (kg)
114a	17	33191	417.95
114b	20	28807	227.99
114c	15	4108	52.26
TOTAL	52	66106	698.20

Tabla 1. Totales del material cerámico registrado

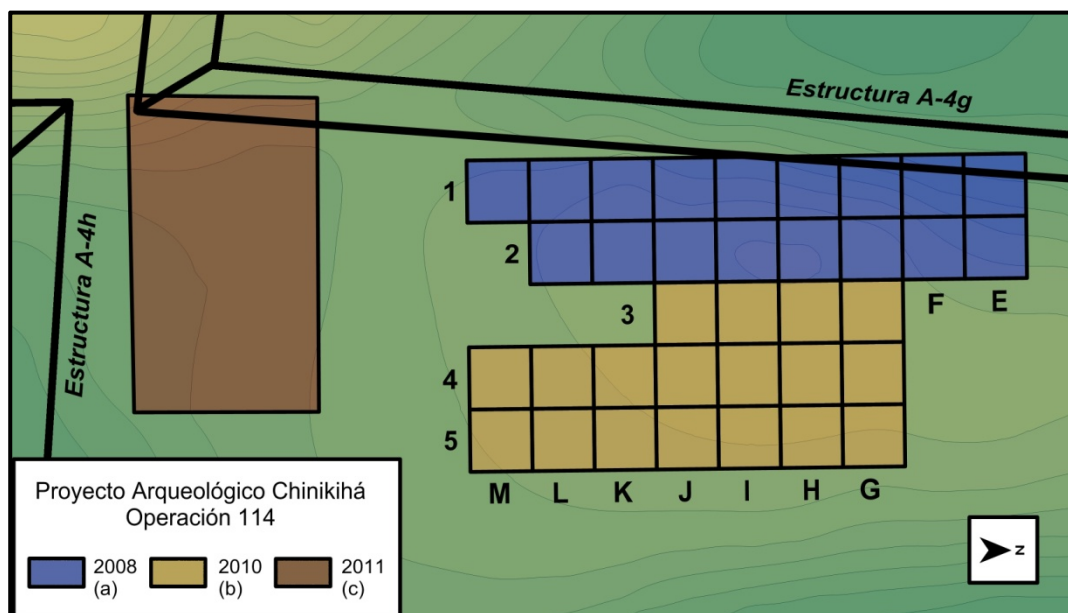


Fig. 3. Ubicación de las tres etapas de la Operación 114, y nomenclatura de la retícula.

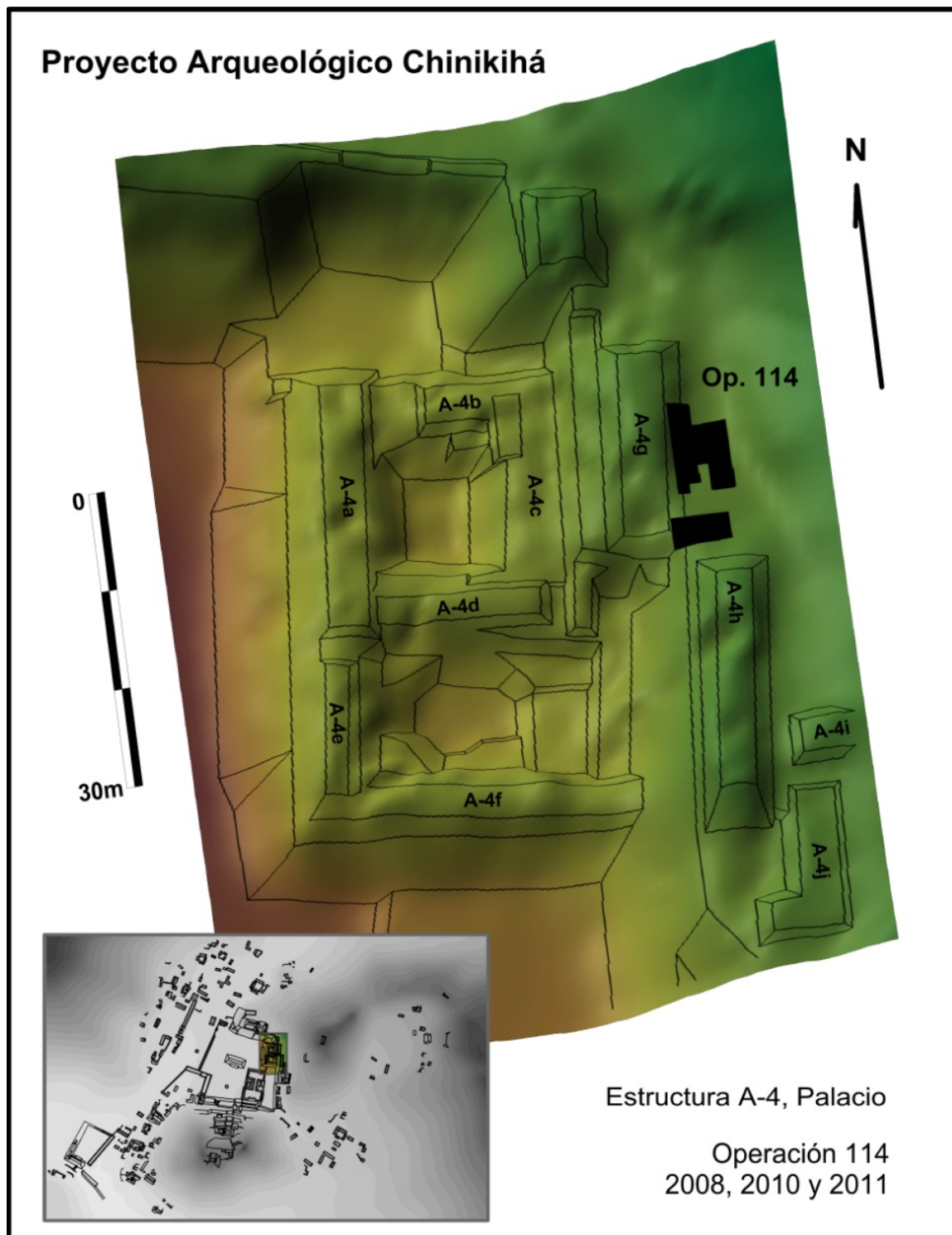


Fig. 4. Vista general del Palacio y la ubicación de las excavaciones realizadas en la operación 114 en sus tres temporadas.

METODOLOGÍA DEL ANÁLISIS CERÁMICO

Realizado en 16 meses comenzando en agosto de 2010 hasta enero de 2012; contando con la colaboración durante parte del proceso de análisis y ordenamiento de la colección por parte de los estudiantes de la Escuela Nacional de Antropología e Historia: Gabriela Patricia González del Ángel, Marlene Lucero Rodríguez Hernández, Eos López Pérez e Ignacio Forteza Saavedra. Todos los dibujos han sido elaborados por Ana Celia Guadalupe Salgado Pérez y digitalizados por quien escribe.

Como se había mencionado, se recurrió al mismo método de clasificación multimodal, establecido por Culbert y Rands (2007) y empleado por Socorro Jiménez Álvarez en el estudio de las primeras colecciones del proyecto de material cerámico proveniente del sitio de Chinikihá (2008); en este análisis se reconocieron la mayor parte de categorías establecidas por su estudio y describieron algunas que no se habían registrado. Con un total de 398 tiestos que en alguno de los modos presentaron características únicas y no antes registradas, sin la cantidad suficiente para establecer una categoría.

Modo	% Categorizados	Descripción
Pasta	98.6	Identificación macroscópica de atributos usando categorías que describen a nivel general la composición y textura de las pastas y sus elementos no plásticos. Siguiendo las categorías establecidas por Jimenez.
Forma	46.2	Denominación de clases o subclases formales de los tiestos diagnósticos.
A. de Superficie	22.8	Descripción del color y textura del acabado de superficie conservado.
Decoración	10.8	Descripción general de las características decorativas en los casos en los que se presentaba.

Tabla 2. Proporciones de tiestos que pudieron ser ubicados en alguna de las categorías pertenecientes a sus modos de análisis

Se ha prestado especial atención en describir los atributos formales de los artefactos cerámicos. La delimitación cronológica del material se realizó en base a la evolución de este modo en la cerámica de Palenque, planteada por Robert Rands desde finales de los años sesenta hasta el reciente final de su vida. (Rands, 1967, 1973, 1974). Esta evolución formal ha sido revisada con los trabajos de Socorro Jiménez, en la elaboración de su tesis doctoral, sobre el material de los primeros sondeos en Chinikihá. La categoría formal que mayores datos ha aportado a la delimitación cronológica ha sido la de los platos, contándose con una secuencia muy detallada para esta forma y una muestra abundante de la misma en este contexto palaciego del sitio. A su vez, la forma de los recipientes y otros artefactos cerámicos es crucial para sugerir el espectro y la escala de actividades llevadas a cabo en la unidad residencial palaciega.

Registrado e integrado todos los datos de esta y operaciones anteriores en una sola base de datos con la descripción e ilustración de todos los modos y posibles observaciones del material cerámico. Con esto se ha facilitado el aislamiento de dichos modos para el estudio de su comportamiento en la operación, en el asentamiento y en la región. Los materiales que se consideraron representativos se separaron en un muestrario en el laboratorio del proyecto que representa muy bien la tradición cerámica de los complejos Murciélagos y Balunté, de Palenque.

El análisis del gran volumen de material de todas las operaciones restantes aun sigue siendo realizado, así como un catálogo que complementa al que ya fue realizado por la Dra. Jiménez en el universo de variaciones observadas.

LOS CONTEXTOS EN LA OPERACIÓN

Como se mencionó antes, se recuperó de esta operación una cantidad de material sin precedentes en los proyectos tanto en el hinterland de palenque como en el sitio de Chinikihá. Un total de 66106 tiestos en 698 kilos de los 52 m² que esta operación cubrió con una profundidad promedio de 1.5 metros. Tan vasta cantidad es producto principalmente de un solo depósito (más del 65% del material total) en los cuadros I1, I2, J1, J2, K1, K2; y L2 y sus inmediaciones; en el límite norte de un adosamiento del edificio A-4h, del palacio.

Por debajo del depósito mencionado, en un estrato sellado por un piso a 2.5 m de profundidad, en los cuadros K4, L4 y M4, se registró otro contexto con una pequeña cantidad de material más temprano que el del resto de la operación; de las etapas previas a la última ampliación del palacio de Chinikihá. A continuación se detallarán los contextos y las características generales del material cerámico registrado en los mismos.

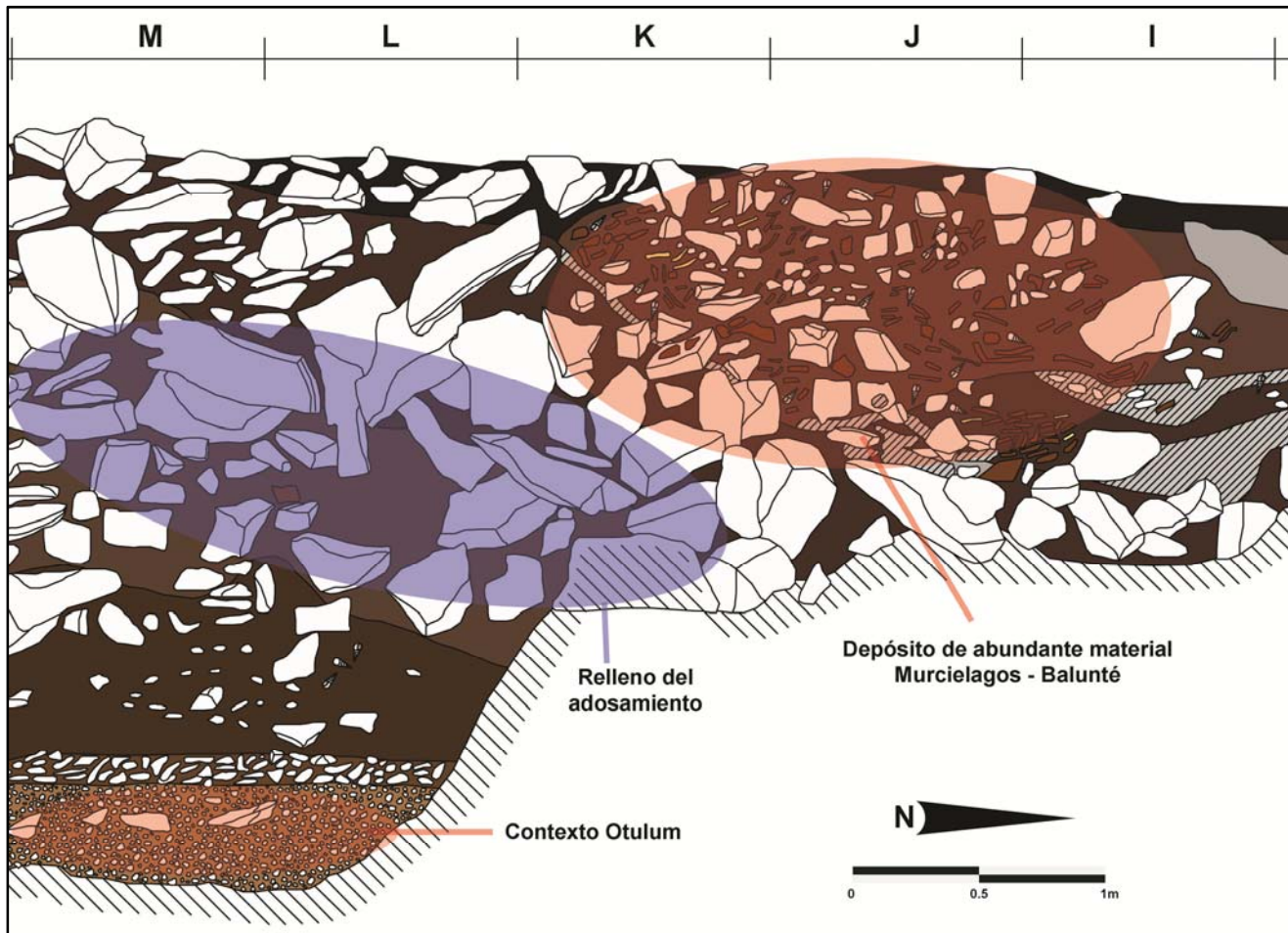


Fig. 5. Ubiación en el perfil oeste de los contextos de la operación 114b, en relación al mencionado adosamiento al norte de la plataforma A-4h

Contexto Otulum

Relleno debajo de un piso del siglo VII d.C.; anterior a la mayor parte del material recuperado en esta excavación (de los complejos Murciélagos y Balunté de Palenque). Después de realizar una extensión al sur en los cuadros K4, L4, M4, se observó el firme de un piso a 2.5 m de profundidad, que sella un relleno constructivo constituido por gravas, piedras pequeñas y un sustrato limo-arenoso debajo del mismo, como se puede ver en el detalle del dibujo del perfil oeste (Fig. 5). Se observa aquí la evidencia de un edificio anterior a la plataforma A-4h, quizás asociado y encarando al conjunto de estructuras que se encuentran sepultadas bajo las últimas etapas de A-4e, A-4f y A-4g.

Una pequeña colección de 45 tiestos pesando 650 gr se recuperaron en los cuadros M4 y L4, donde destacan los bordes de un par de platos de labio prominente de baño crema, un borde de olla de cuello largo de pasta carbonatada con acanaladura en el borde, un plato o cajete de pasta micácea con acanaladura interior en el borde y tres cuerpos de; mismos que parecerían corresponder al Complejo Otulum de Palenque; así como dos cuerpos de olla con engobe rojo ceroso que podría ser datado para finales del preclásico. Sin presentarse ningún tiesto diagnóstico de temporalidad posterior, que pudiera reconocerse en los rasgos formales y acabados de superficie de los recipientes

Cabe señalar que aunque el material de esta temporalidad es aún una muestra pequeña; está siendo complementado por el análisis, aun en curso, de todas las muestras de los diferentes sondeos hasta la fecha en el sitio, habiendo sectores que muestran una ocupación más consistente durante este tiempo. El estilo que se puede observar en la muestra se encuentra ya afiliado a la esfera palencana que para el complejo Otulum, durante el siglo VII ya se confinaba en círculos de distribución intra-regionales. Cuando el señorío de Baak´ había consolidado control político de una gran porción de territorio.

Depósito Principal (Murciélagos – Balunté)

Se trata de un depósito secundario de lo que parece ser la suma de un número indeterminado de eventos, dispuestos en el rincón ofrecido entre el sur del muro de la crujía de la plataforma A-4g y el adosamiento al norte de A-4h, con algunas porciones a diferentes niveles selladas con capas de argamasa de estuco (Figura 5), una buena parte del material había sido disperso por la actividad de roedores cuyas madrigueras se abrían paso en el volumen posteriormente excavado y permitieron percatarnos en superficie de la presencia de este depósito.

La temporalidad de este contexto se observa en el material mezclando los estilos palencanos pertenecientes a los complejos Murciélagos y Balunté de Palenque y al complejo Naab de Trinidad. En todos los estratos dentro de esta acumulación se observan las características de estos complejos, con la excepción de solamente tres tiestos de platos y platonos más tempranos, registrados en los niveles superficiales.

La cifra total de fragmentos en esta acumulación es de 70233 tiestos con un peso de 645.5 kg concentrados en los cuadros mencionados y sus límites inmediatos. Excavados en los primeros dos pozos del 2005 y las temporadas 2008 y 2010, durante las que se excavó el área donde se localizaba dicha concentración.

Del total de la muestra se pudo asociar con una de las pastas reconocidas al 98.6% de los casos; con una categoría o subcategoría formal pudo ser asociado el 46.2% (330.3 kg, como se aprecia en la Tabla 2); conservan identificable algún acabado de superficie el 22.8% y el 10.8% presentan modos de decorativos. La proporción elevada de casos reconocidos en categorías ya establecidas en parte se debe a los pormenorizados trabajos de Jiménez, por las condiciones de conservación en el sustrato en el que se encontraba depositado y a la calidad de los materiales y factura de las piezas cerámicas.

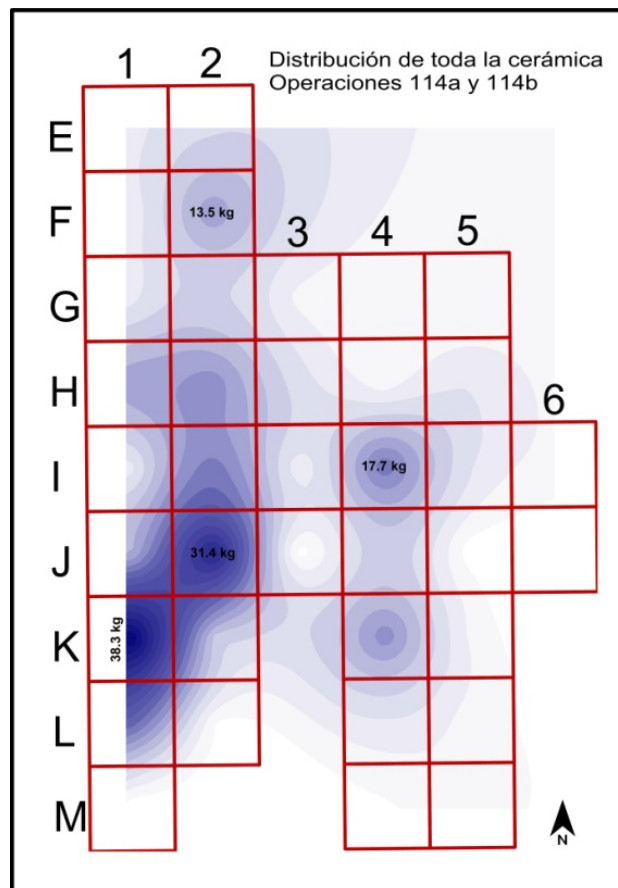


Fig. 6. Distribución de todo el material cerámico diagnóstico de alguna categoría formal de las operaciones 114a y 114b (curvas de nivel: 2 kg).

En el depósito se aprecia una mezcla de los desechos propios de una cocina, el servicio de los alimentos producidos ahí y una porción menor pero considerable de desechos de actividades que se pueden considerar rituales; todas circunscritas al espacio delimitado por la unidad habitacional palaciega.

El repertorio de artefactos revela un patrón de consumo único con respecto a otros conjuntos dentro de Chinikihá y en los sitios en la región, fuera de Palenque. Visto esto en la escala y calidad, muy por encima de la media registrada, de los recipientes relacionados con alimentos y en la presencia de abundante material asociado con la quema de incienso, el *performance* de ritmos y sonidos con tambores y silbatos y una cuantiosa muestra de fragmentos de figurillas.

Forma	Peso (kg)	Porcentaje del total
Cerámica relacionada con alimentos	284.56	86.1%
Transporte, almacenamiento y procesamiento	134.02	40.6%
Servicio	150.53	45.5%
Cerámica de carácter ritual o festivo. *	45.74	13.8%
Incensarios	43.74	13.2%
Sahumadores	0.828	0.25%
Tambores	1.177	0.35%
TOTAL	330.30	100%

Tabla 3. Proporciones del material cerámico diagnóstico con alguna categoría formal

* Las figurillas aun no se describen, a falta de un análisis completo.

Forma	Tiestos	Peso (kg)
Ollas	3514	71.66
Cazuelas	2769	62.36

Tabla 4. Conteo de las formas asociadas con el procesamiento y almacenaje de alimentos en el depósito principal.

Forma	Tiestos	Peso (kg)
Cajetes	5154	49.53
Vasos	269	3.99
Platos	3173	71.88
Ollas de servicio	2127	25.13

Tabla 5. Conteo de las formas asociadas con el servicio de alimentos en el depósito principal.

Las ollas y cazuelas presentan capacidades de contener una media mayor que en el resto de los contextos registrados por el proyecto hasta la fecha. Los recipientes restringidos, algunos probablemente estacionarios que si bien no conocemos la cantidad exacta de volumen que contenían presentan diámetros y grosores por encima del promedio. Los recipientes no restringidos presentan el mismo volumen que en contextos registrados en sitios de rangos menores; con una frecuencia mucho mayor en ambos casos.

Los utensilios de servicio de alimentos presentan un grado tal de calidad en la manufactura que, contrastando nuevamente con contextos en el hinterland, presenta un grado de conservación y fragmentación que permiten reconocer

un porcentaje sustancial de casos en cada uno de los modos. Con una mayor ocurrencia de modos decorativos y acabados de superficie muy bien ejecutados.

Ejemplo de los recipientes cerámicos exclusivos de este contexto son algunos fragmentos de platos y cajetes con la presencia de textos jeroglíficos, rasgo registrado solamente en los sitios de mayor rango dentro la región comprendida en los proyectos de los que este estudio se ha derivado. Así como la proporción de contenedores decorados con iconografía decorando sus paredes.

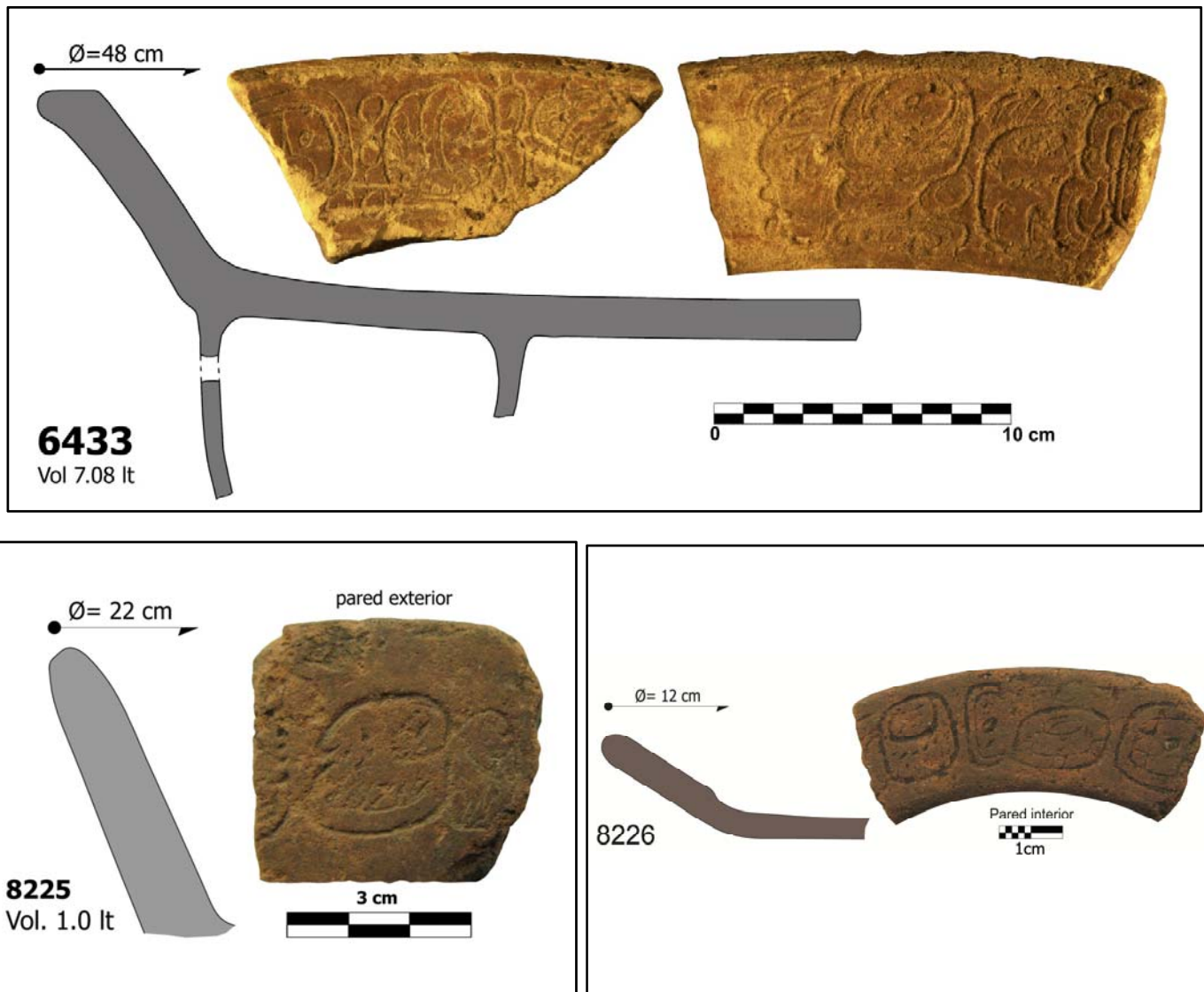


Fig. 7. Piezas con fragmentos de textos epigráficos. Pastas: 6433 Caolinítica, 8225 arenosa y 8226 arenosa rojiza.

El material no parece indicar distribuciones diferenciadas dentro de la retícula de la excavación, con respecto a la proporción de las diferentes vajillas y formas mencionadas, de las que se podrían delimitar áreas donde se llevaba a cabo alguna actividad, como el almacenamiento o procesamiento de alimentos. Por el contrario, el depósito parece haber sido acumulado en un espacio delimitado; mezclando la suma de un número indeterminado de actividades realizadas en diferentes puntos en las cercanías del lugar.

Se presentan a continuación los esquemas de distribución de las diferentes clases formales dentro de la retícula de las dos primeras etapas de excavación de la operación 114. Estos esquemas fueron realizados exclusivamente con los datos de la cerámica diagnóstica de dichos atributos formales. (Los 28724 tiestos ó 330.3 kg de la Tabla 2). En las

siguientes ilustraciones se muestra una columna extra al este de la excavación, corresponde al material registrado en el perfil este de las filas I y J.

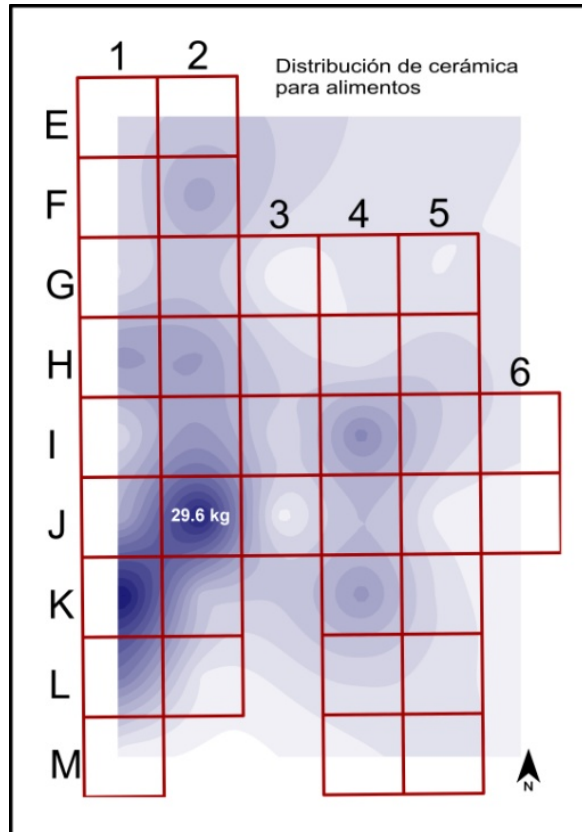


Fig. 8 Distribución de los artefactos cerámicos relacionados con alimentos.

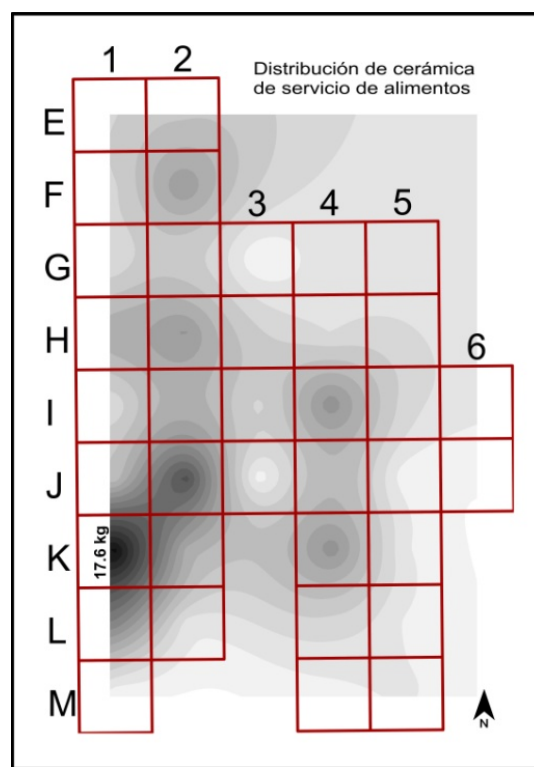
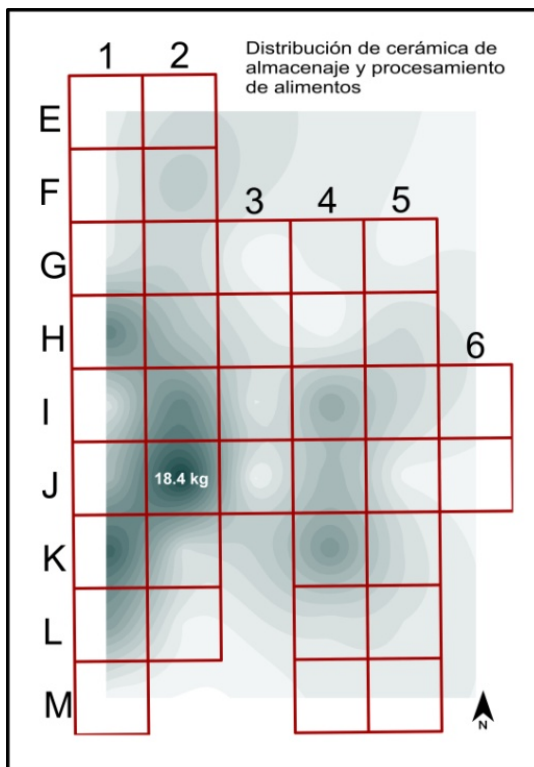


Fig. 9. Distribución de toda la cerámica de almacenaje y procesamiento de alimentos (izquierda) y Fig. 10; de servicio (derecha).

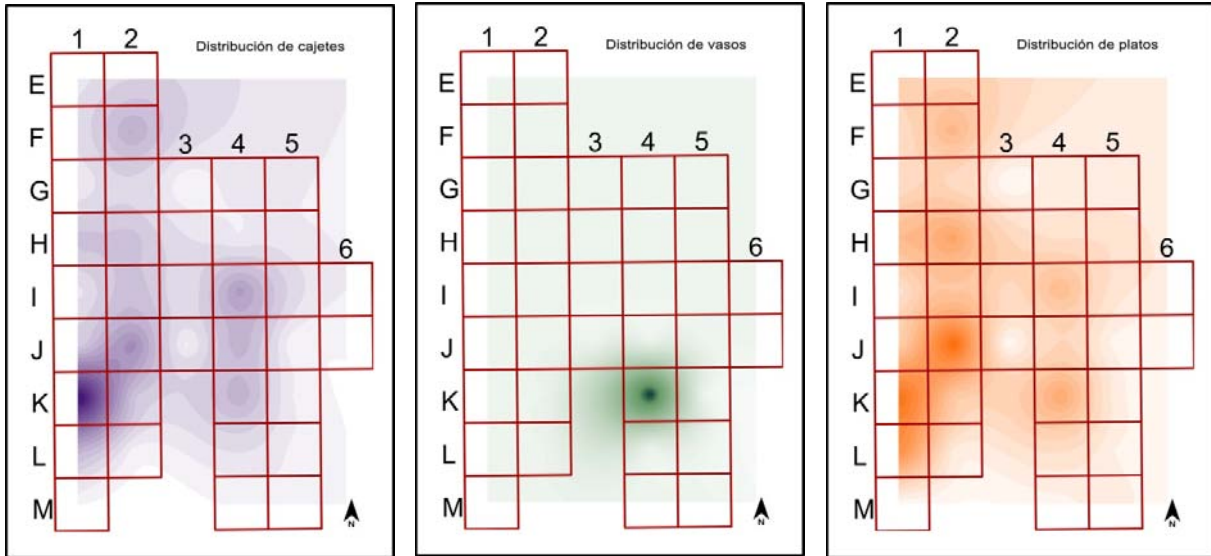


Fig. 11. Distribución de Cajetes (izquierda); Fig. 12. Vasos (centro) y Fig. 13 Platos (derecha) en la Operación 114 a y b.

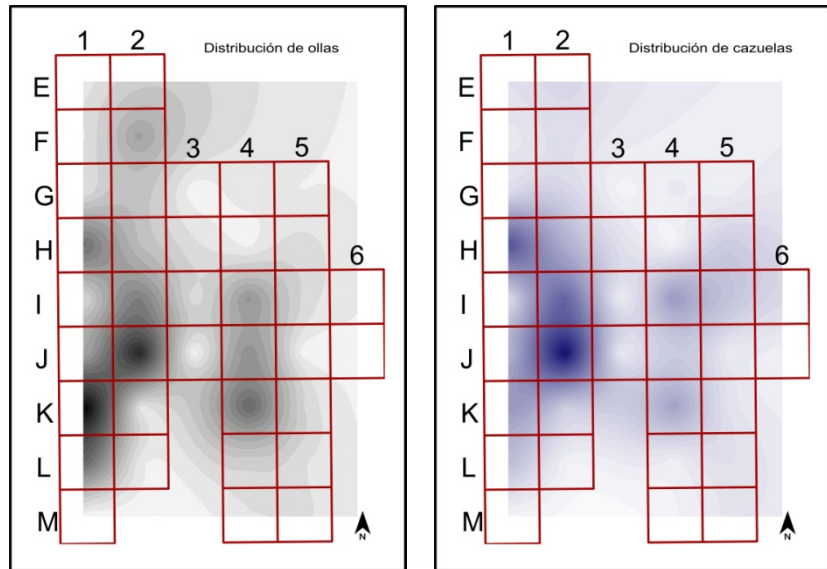


Fig. 14. Distribución de ollas (izquierda) y Fig. 15. Cazuelas (derecha) en la Operación 114 a y b.

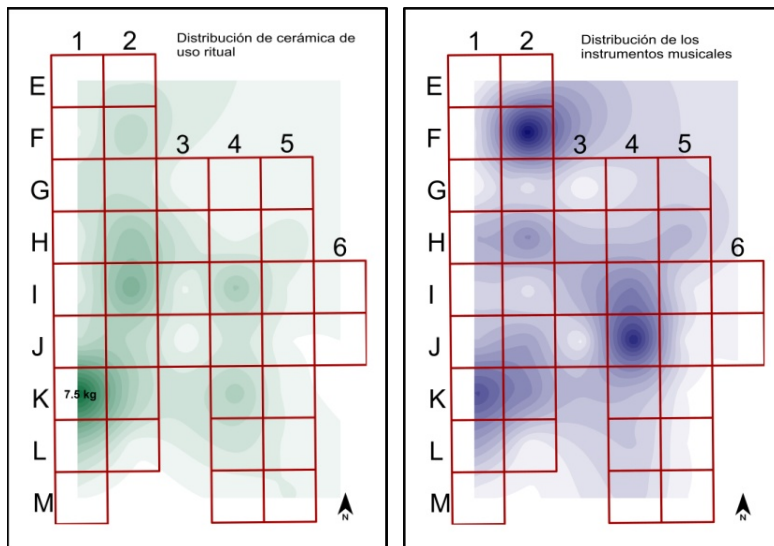


Fig. 16. Distribución de los incensarios y braseros (izquierda) y Fig. 17. de los instrumentos musicales (derecha)

Estas siete decenas de miles de tiestos conforman una invaluable muestra de material cerámico y proporcionan la oportunidad de estudiar detalladamente los patrones de consumo en un palacio del siglo VIII, mezclando los estilos de dos complejos de Palenque que transcurrieron durante aquel siglo, que fue el periodo de mayor actividad y cantidad de asentamientos distribuidos en los territorios de los *ajawlelob* de la región, según se ha visto en las investigaciones en los *hinterlands* de los mismos.

Se presenta a continuación un resumen gráfico del material del depósito, mismo que no pretende ser un catálogo. Para los detalles sobre las categorías de pasta, forma, superficie y decoración, consúltese el catálogo disponible en línea del material de los primeros sondeos realizado por Jimenez (2008). Los datos, todos del siglo VIII, se mostrarán ordenados por el uso de los recipientes y por categoría formal, que como he mencionado es un modo muy diagnóstico no solo para la delimitación temporal, sino para el establecimiento del rango de actividades llevadas a cabo en aquel conjunto residencial.

Procesamiento y almacenaje de alimentos

Ollas

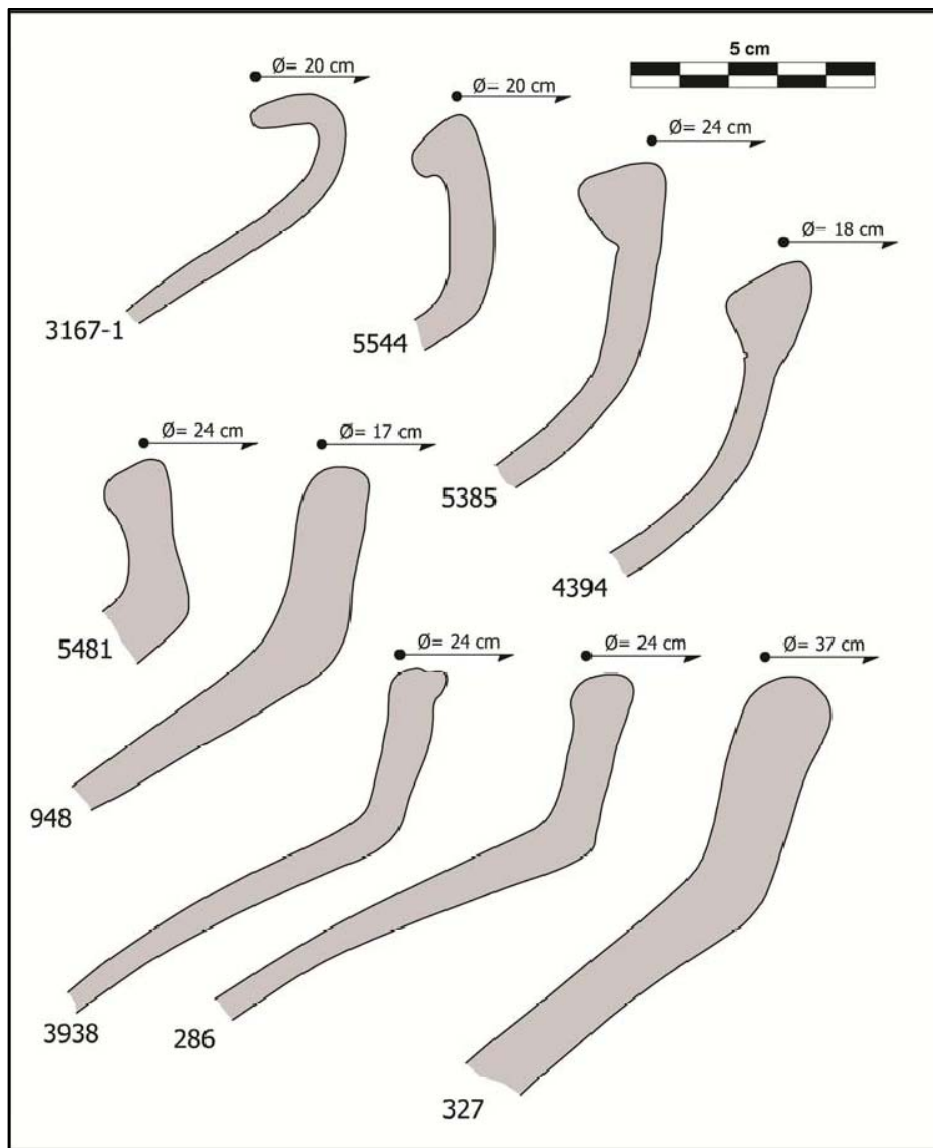


Fig. 18. Ejemplos de perfiles de ollas de cuello corto. Pastas: 3167, 5544, 5385 y 4394 arenosa, 5481 y 948 micácea, 3938, 286 y 327 carbonatos.

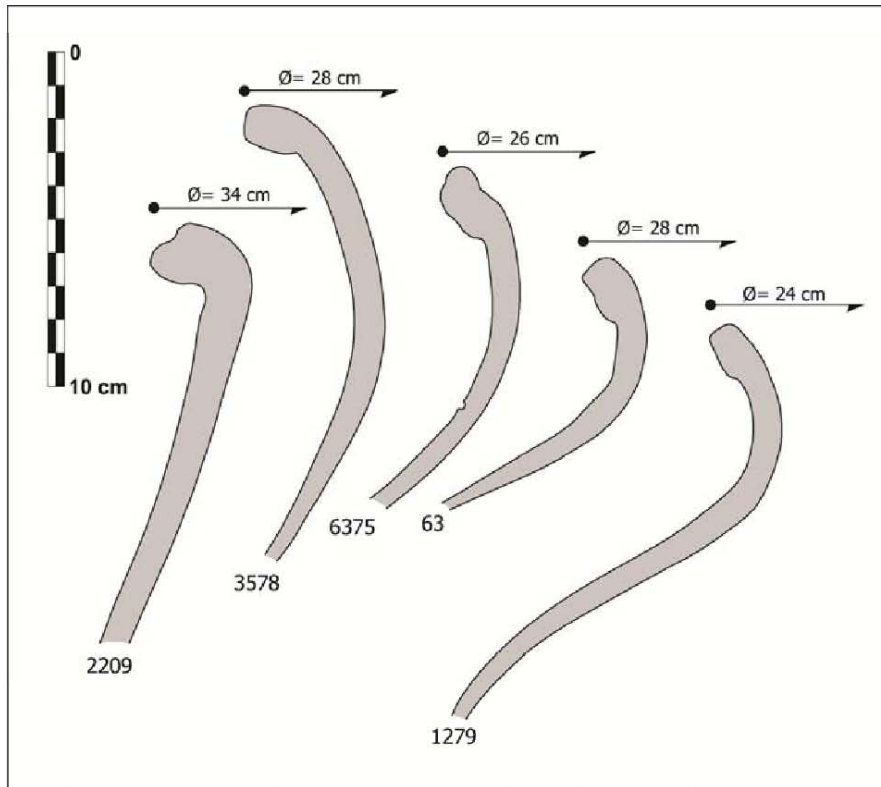


Fig. 19. Ejemplos de perfiles de ollas de Cuello largo. Pastas: 2209 arenosa, 3578, 6375, 63 y 1279 carbonatos.

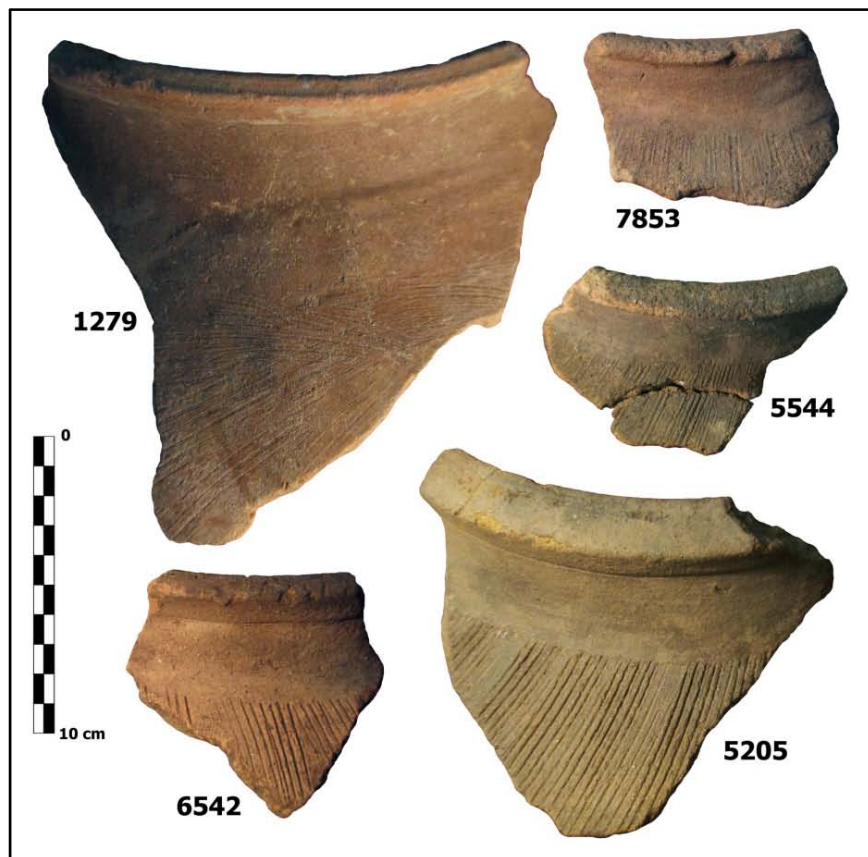


Fig. 20. Ollas estriadas. Pastas: 1279 y 7853 carbonatos; 5544, 6542, y 5205 arenosa.

Cazuelas

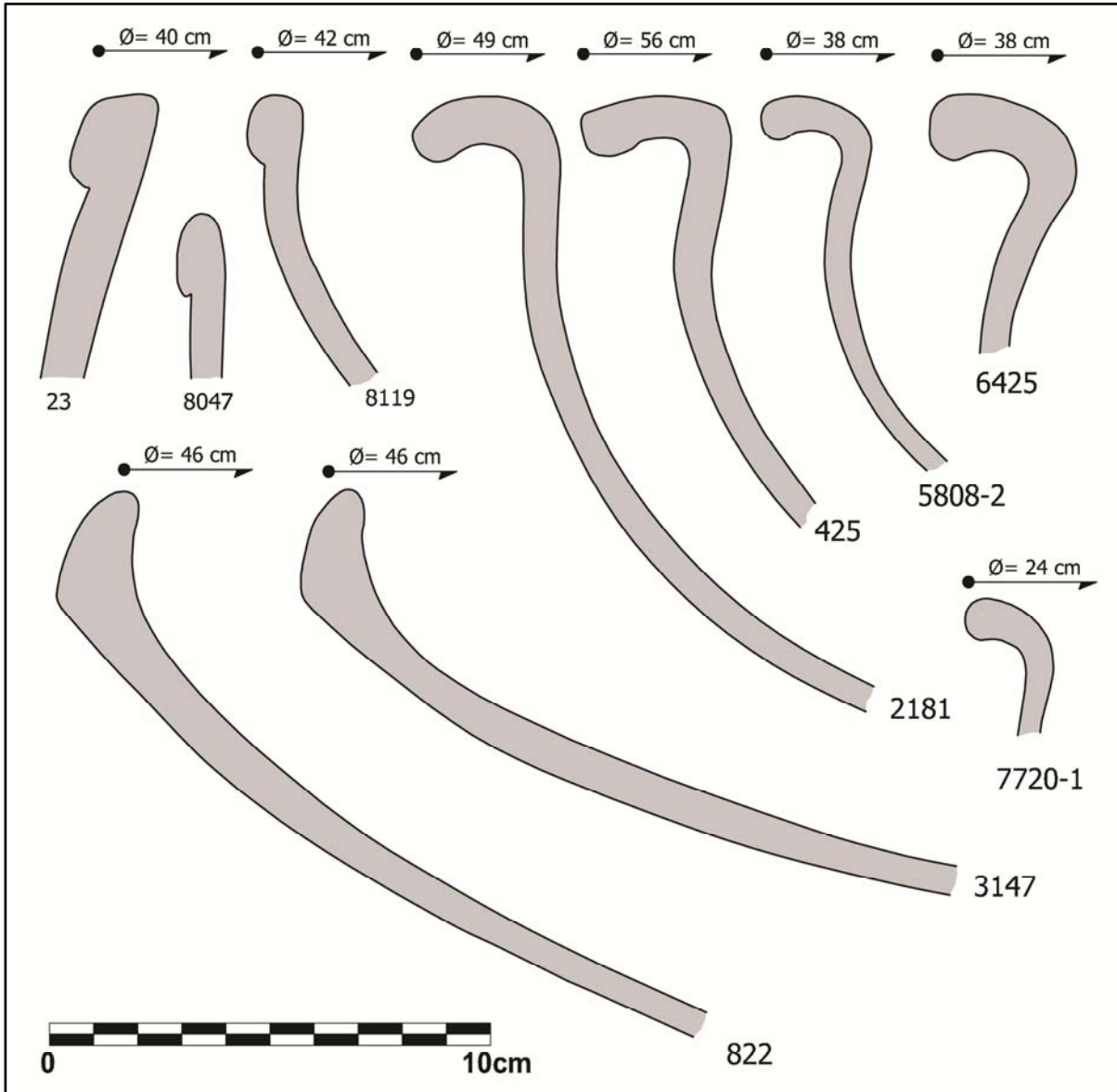


Fig. 21. Cazuelas. Pastas: 23 y 8119 carbonatos; 8047, 2181, 425, 5808-2, 6425, 7720-1, 822 y 3147 arenosa.



Fig. 22. Superficies de cazuelas. Pastas: 3059, 344-1 y 425 arenosa; 4229 carbonatos.

Cerámica de servicio de alimentos.

Cajetes

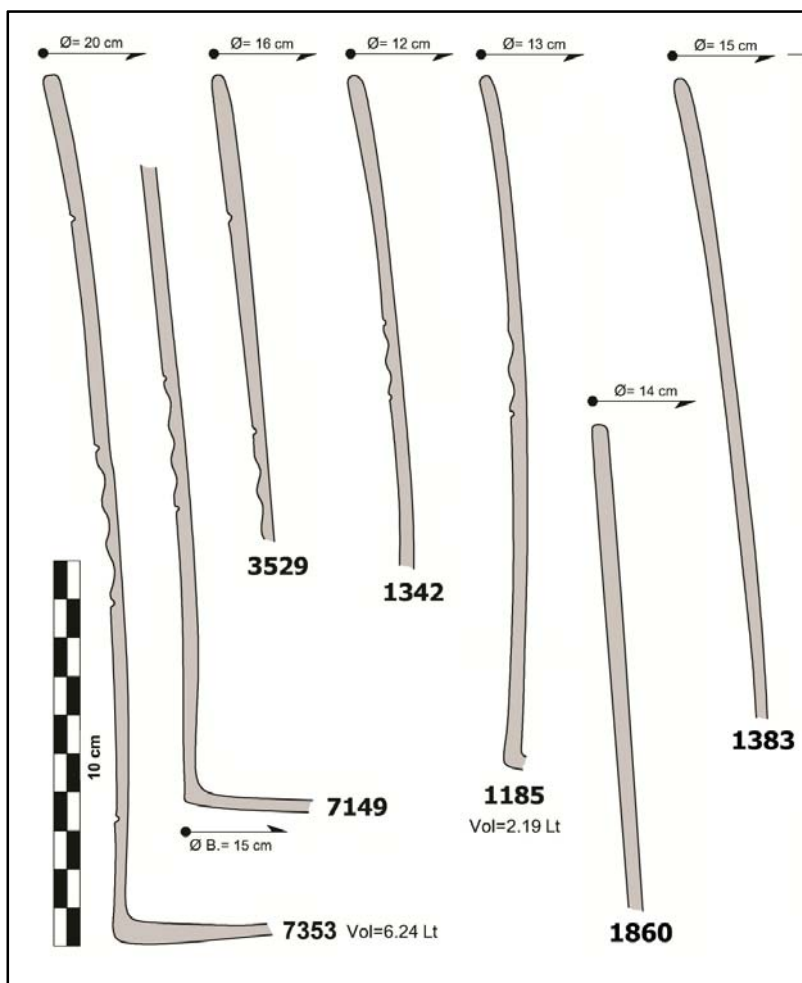


Fig. 23. Perfiles de cajetes de paredes delgadas y altas. Todas las pastas arenosas



Fig. 24. Superficies de cajetes de paredes delgadas y altas. Todas las pastas arenosas excepto 4178, que es gredosa de oxidación completa.

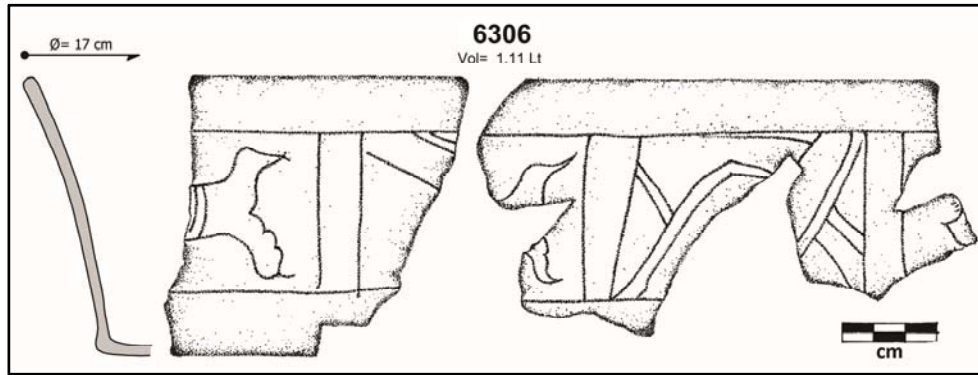


Fig. 25. Cajete arenoso con iconografía.

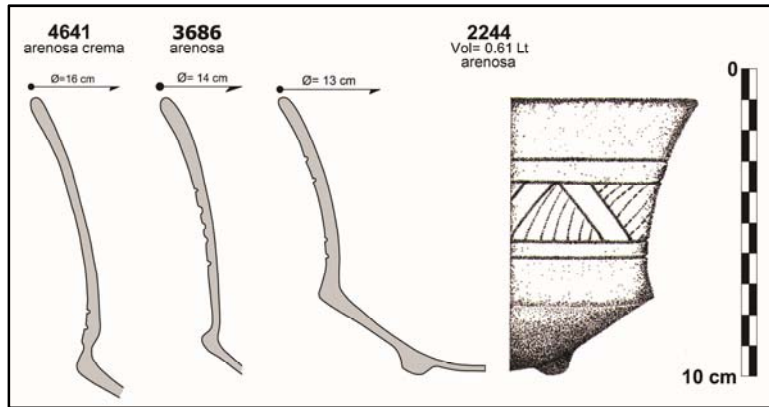


Fig. 26. Cajete arenosos de silueta compuesta (4641 arenosa crema)

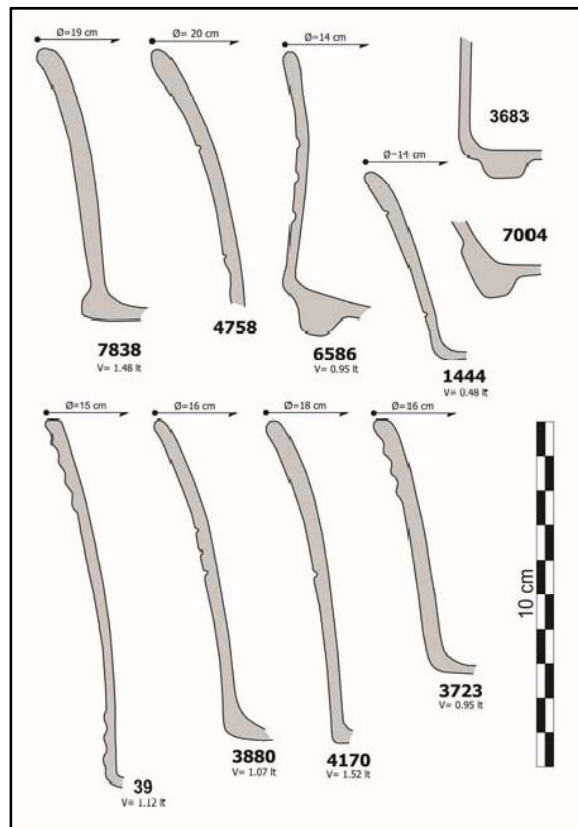


Fig. 27. Perfiles de cajetes de paredes bajas. Todas las pastas arenosas, excepto 39 (no reconocida) y 6586 (arenosa rojiza)



Fig. 28. Superficies de cajetes de paredes bajas. Todas las pastas arenosas, excepto 1564 (gris fina)

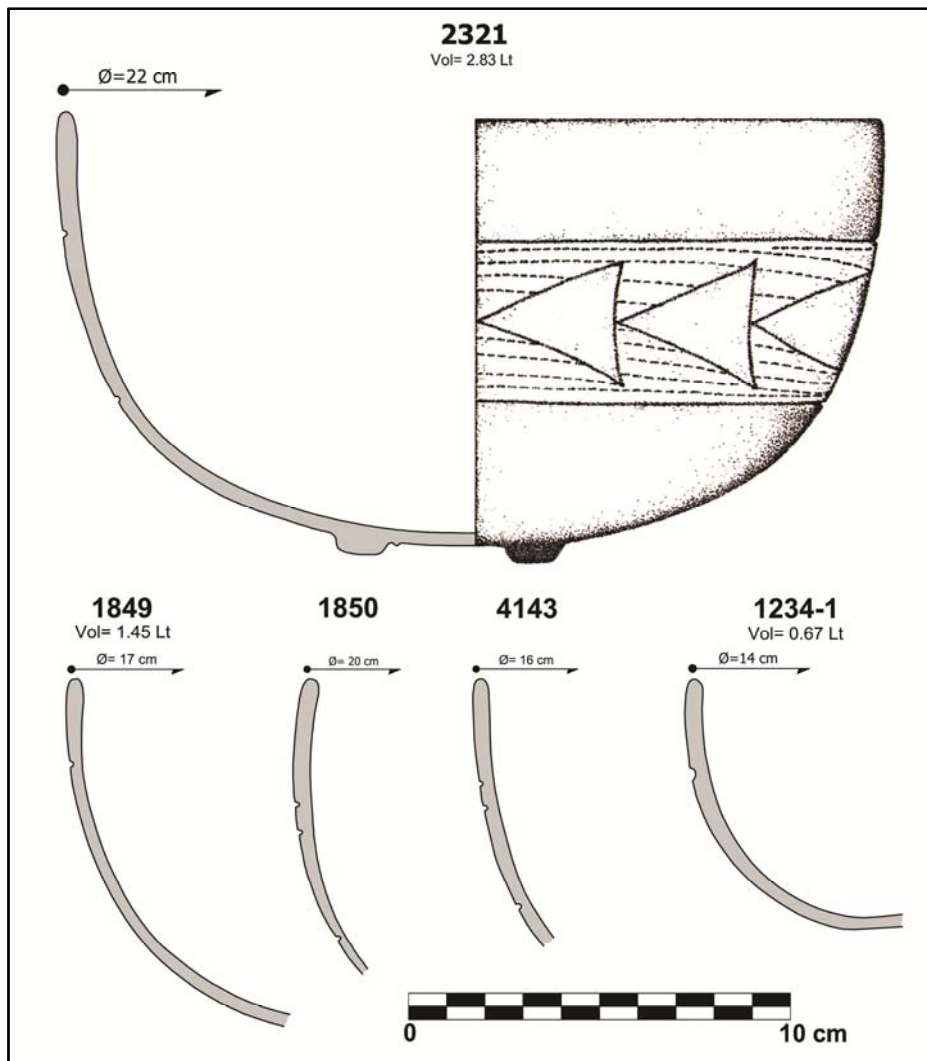


Fig. 29. Perfiles de cajetes arenosos de paredes curvo-convergentes.



Fig. 30. Superficies de cajetes de paredes curvo convergentes. Todas las pastas arenosas excepto 4332 (gris fina)



Fig. 31. Cajetes de pasta arenosa con iconografía.

Platos

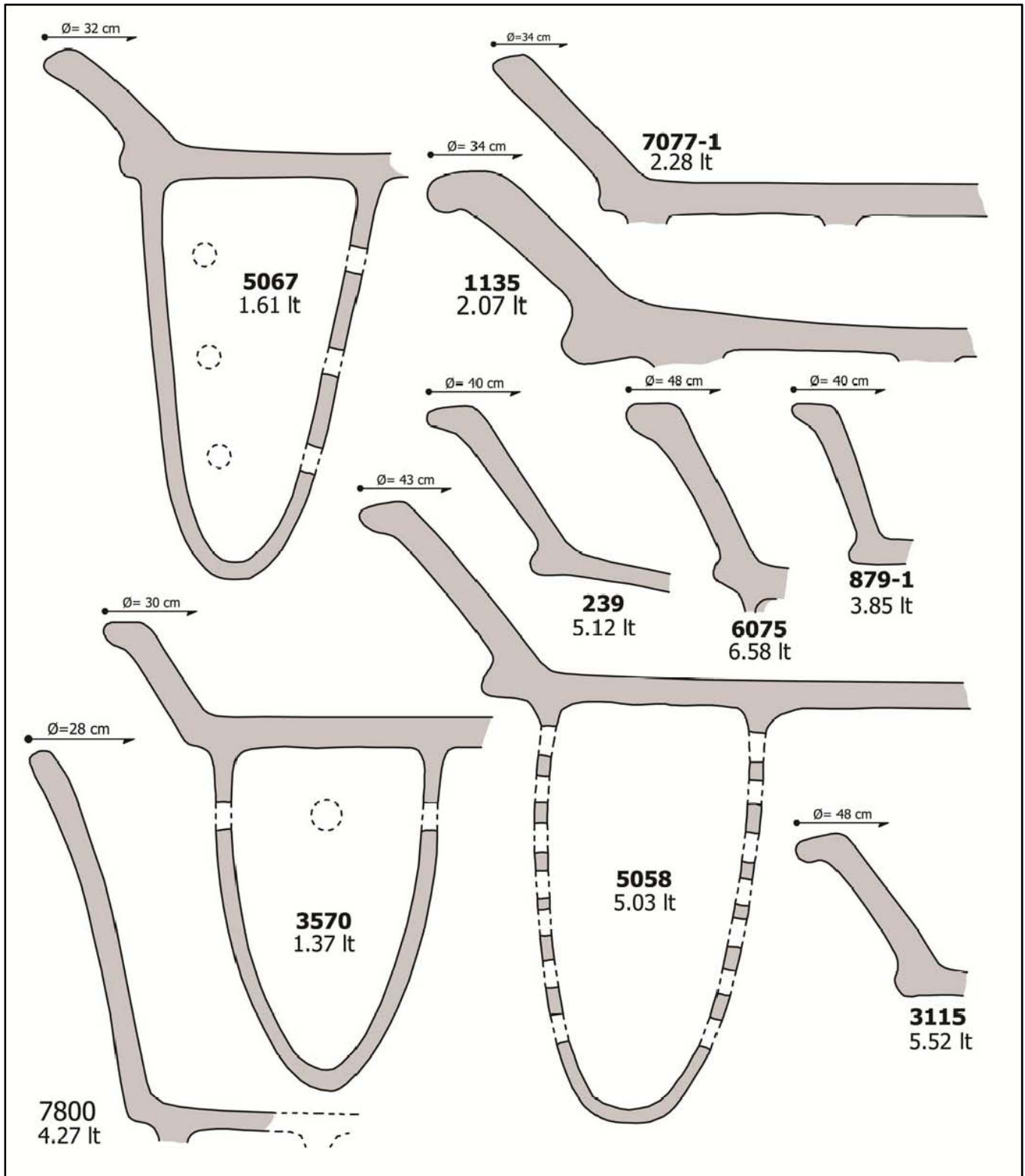


Fig. 32. Platos arenosos de soportes altos. Todas las pastas arenosas excepto 1135 y 3115 (arenosa rojiza)

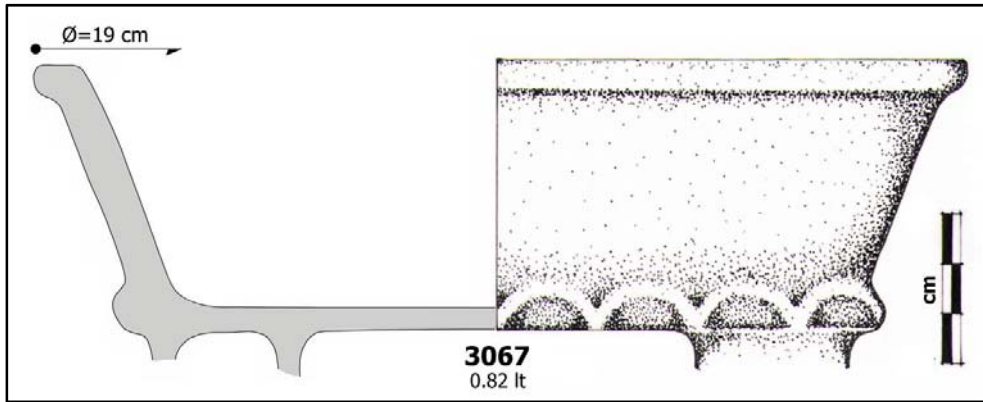


Fig. 33. Plato arenoso con muescas en la base.

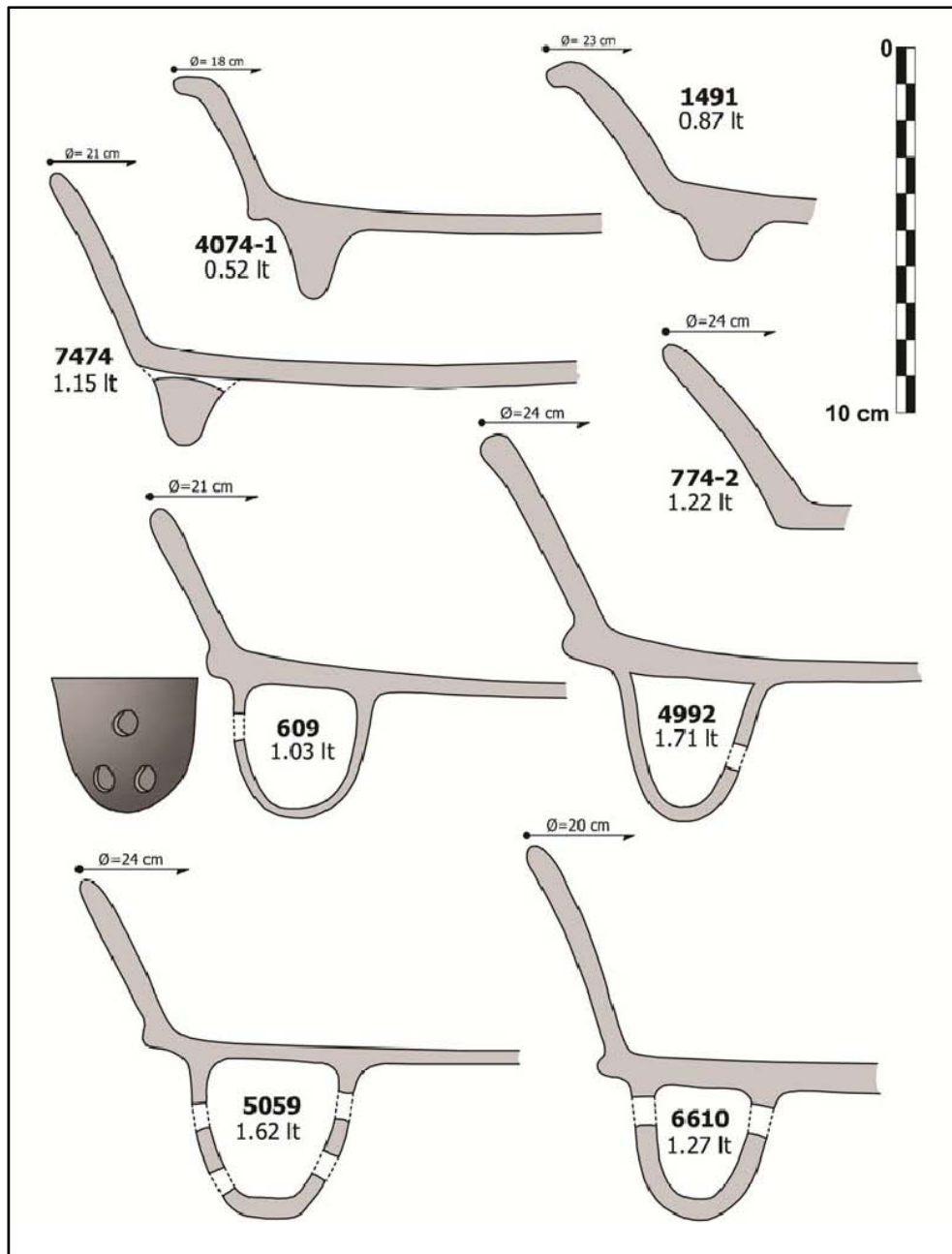


Fig. 34. Platos de volumen pequeño y soportes bajos. Todas las pastas son arenosas excepto 1491 (arenosa rojiza)



Fig. 35. Ejemplos de superficies de los platos del depósito.

Ollas de servicio

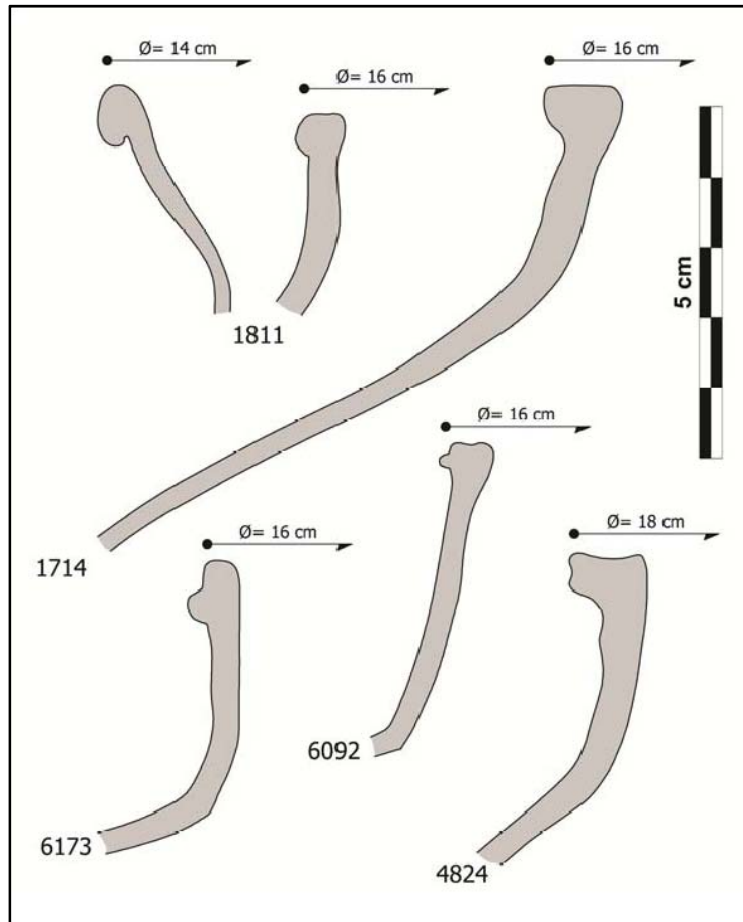


Fig. 36. Ollas arenosas de paredes delgadas con el cuello vertical.

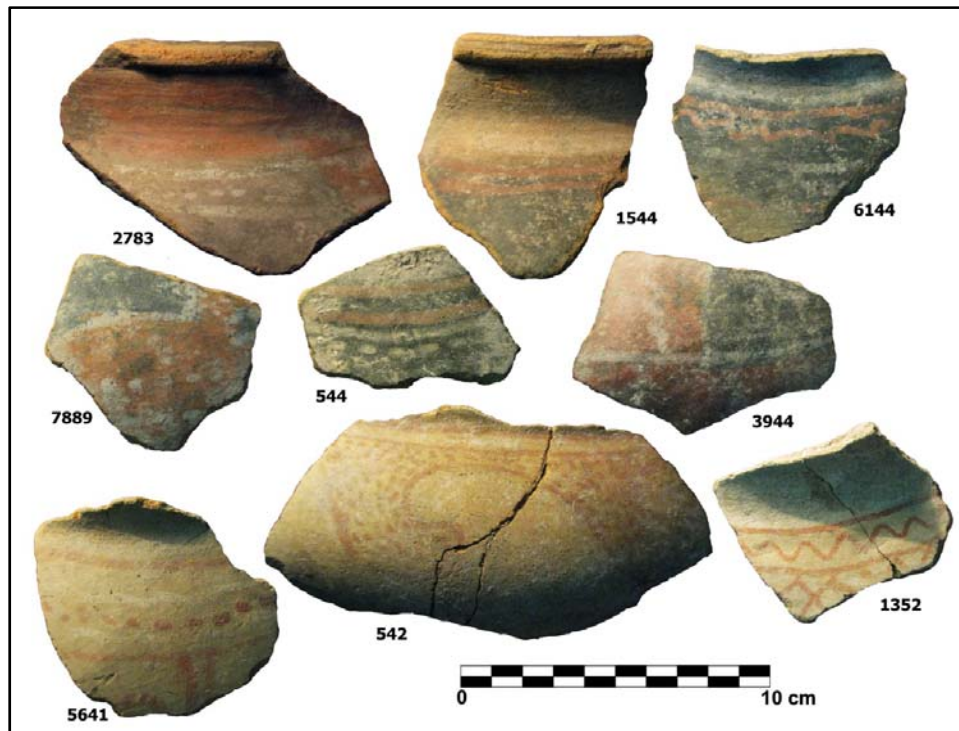


Fig. 37. Ejemplos de superficies decoradas en las ollas de paredes delgadas y cuello vertical

Artefactos cerámicos que no corresponden a recipientes

Incensarios

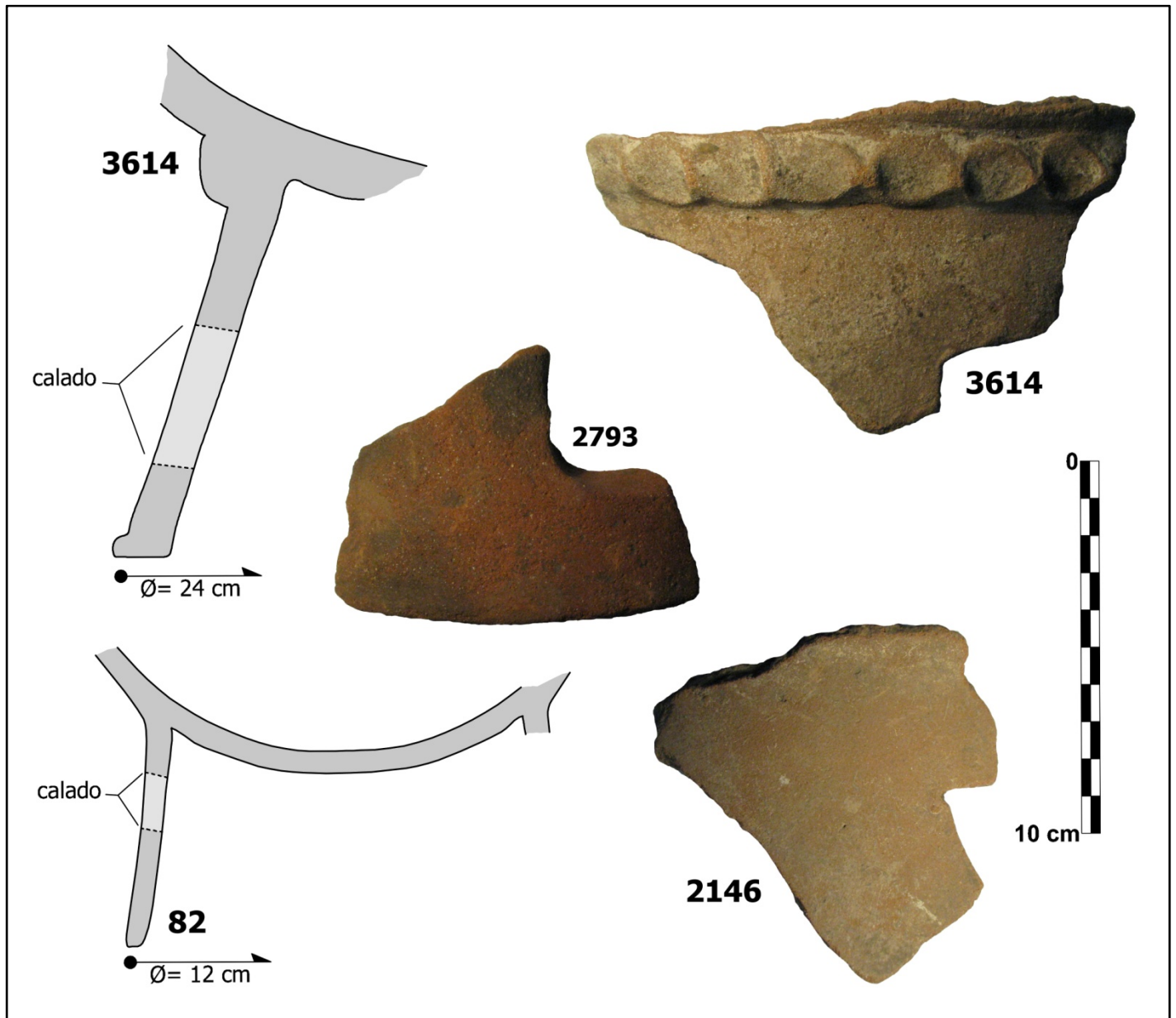


Fig. 38. Ejemplos de los incensarios registrados en el depósito

Sahumadores

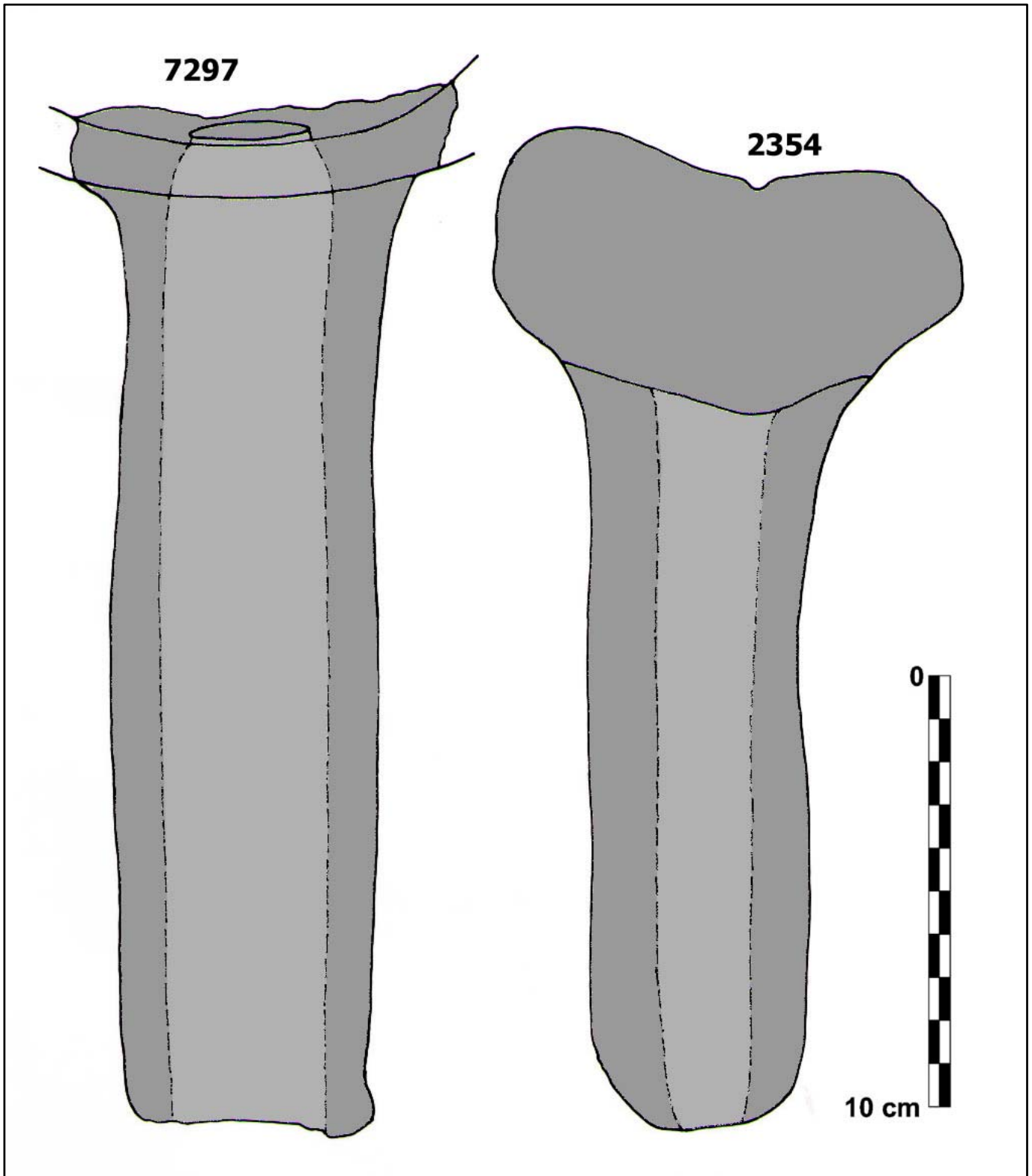


Fig. 39. Ejemplos de los sahumadores registrados en el depósito

Tambores

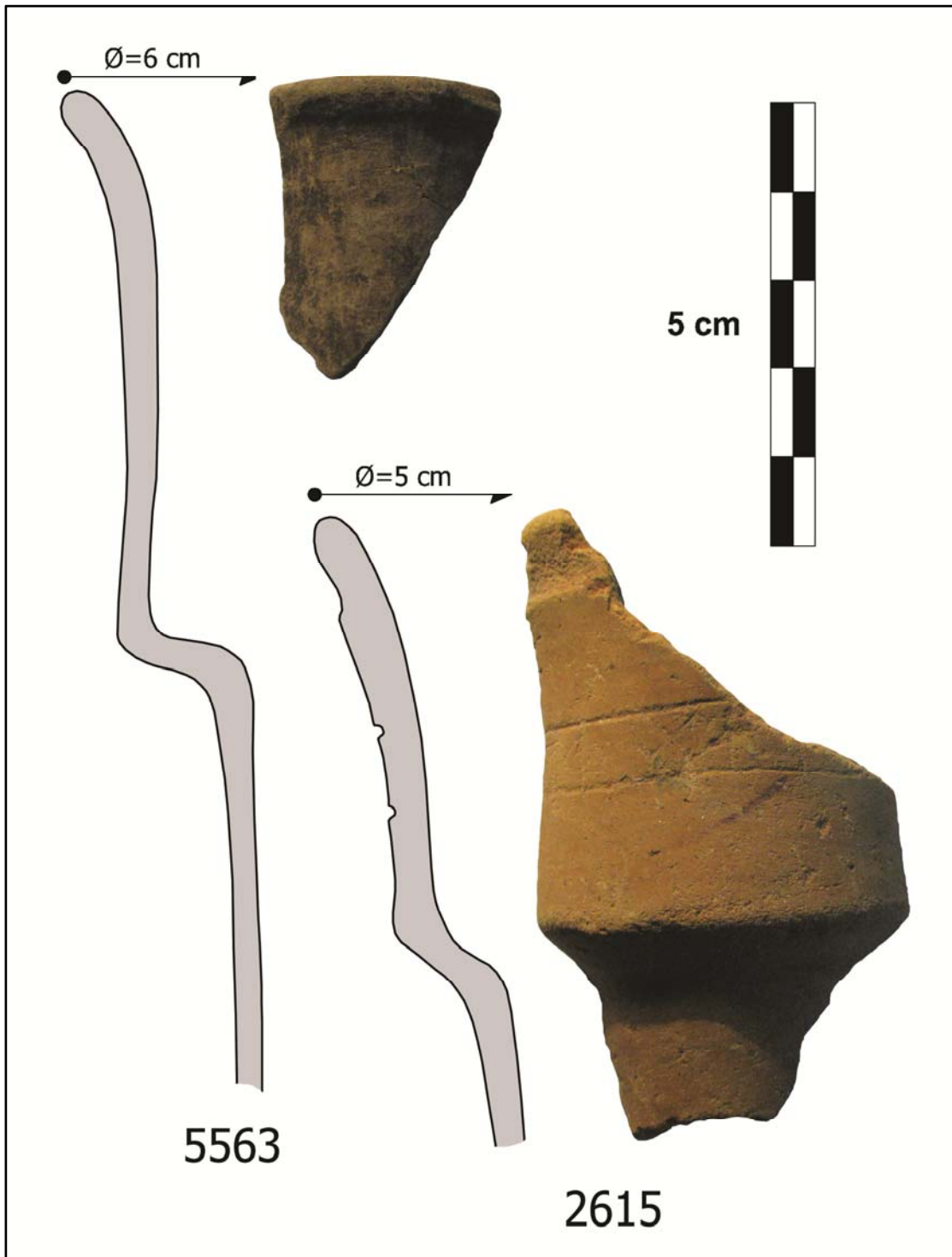


Fig. 40. Ejemplos de los tambores de pasta arenosa registrados en el depósito.



BASE DE DATOS DE ELEMENTOS

Nr. Elemento

1

Sitio

Chinikihá

Nr. Operación

114a

Cuadro

K1

Nivel métrico

0-10 cm

X

Y

Z

Mano metate.
NO HAY DIBUJOS NI FOTOS

Dibujo

Foto



BASE DE DATOS DE ELEMENTOS

Nr. Elemento

1

Sitio

Chinikihá

Nr. Operación

165

Cuadro

Nivel métrico

0-10 cm

X

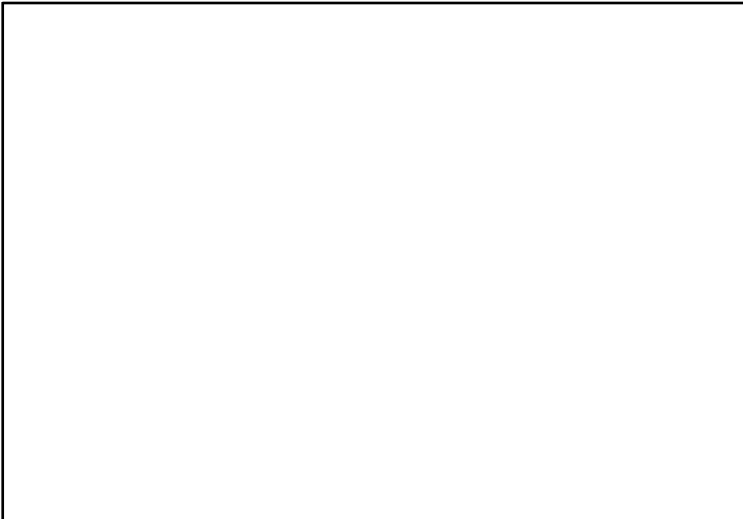
Y

Z

Lítica, preforma.
NO HAY DIBUJO

Dibujo

Foto





BASE DE DATOS DE ELEMENTOS

Nr. Elemento

2

Sitio

Chinikihá

Nr. Operación

114a

Cuadro

9

Nivel métrico

55-65 cm

X

Y

Z

Mat.Cerámico.
NO HAY DIBUJOS NI FOTOS

Dibujo

Foto



BASE DE DATOS DE ELEMENTOS

Nr. Elemento

2

Sitio

Chinikihá

Nr. Operación

165

Cuadro

Nivel métrico

Superficie

X

Y

Z

Nivel Sup E, punta de lanza pedernal.

Dibujo

Foto





BASE DE DATOS DE ELEMENTOS

Nr. Elemento

3

Sitio

Chinikihá

Nr. Operación

114a

Cuadro

G2

Nivel métrico

30-40 cm

X

Y

Z

Orejera de cerámica.
NO HAY DIBUJOS NI FOTOS

Dibujo

Foto



BASE DE DATOS DE ELEMENTOS

Nr. Elemento

3

Sitio

Chinikihá

Nr. Operación

165

Nivel Sup E: fragmento de espejo de pirita

Cuadro

Nivel métrico

Superficie

X

Y

Z

Dibujo

Foto





BASE DE DATOS DE ELEMENTOS

Nr. Elemento

4

Sitio

Chinikihá

Nr. Operación

176

Cuadro

Nivel métrico

20-30 cm

X

Y

Z

Lítica (Preforma de pedernal)

Dibujo

Foto





BASE DE DATOS DE ELEMENTOS

Nr. Elemento

5

Sitio

Chinikihá

Nr. Operación

176

Cuadro

Nivel métrico

10-20 cm

X

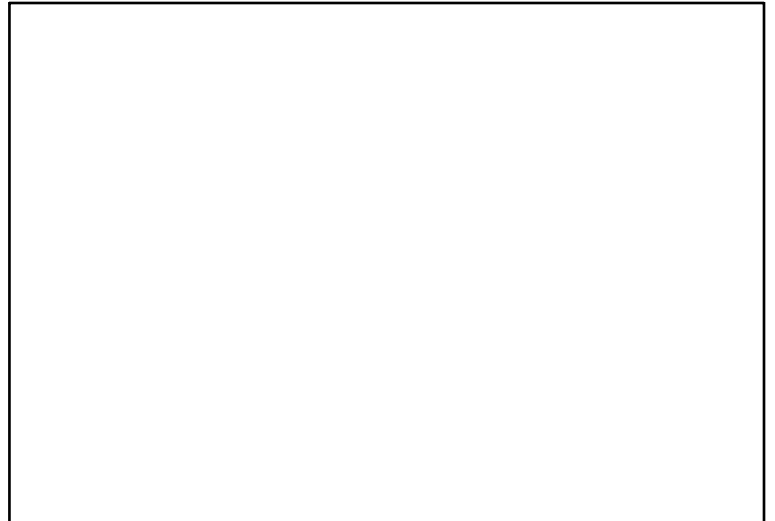
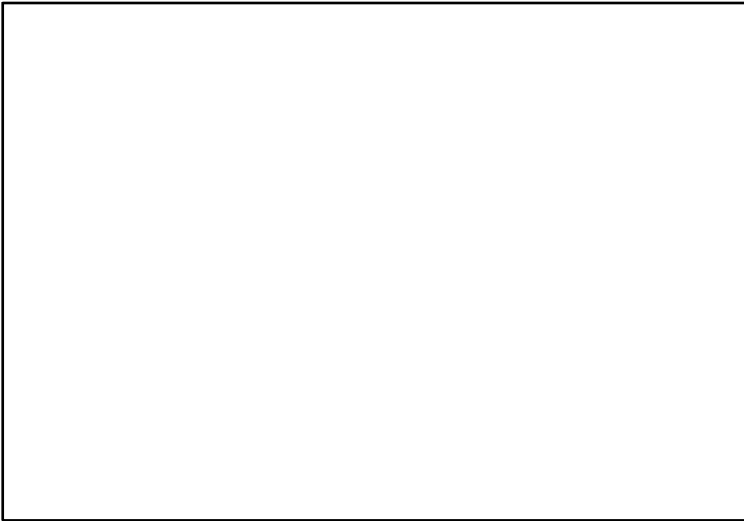
Y

Z

Nivel I Lítica

Dibujo

Foto





BASE DE DATOS DE ELEMENTOS

Nr. Elemento

6

Sitio

Chinikihá

Nr. Operación

114a

Cuadro

K2

Nivel métrico

10-20 cm

X

Y

Z

Metate Fragmentado.
NO HAY DIBUJOS NI FOTOS

Dibujo

Foto



BASE DE DATOS DE ELEMENTOS

Nr. Elemento

6

Sitio

Chinikihá

Nr. Operación

176

Cuadro

Nivel métrico

60-70 cm

X

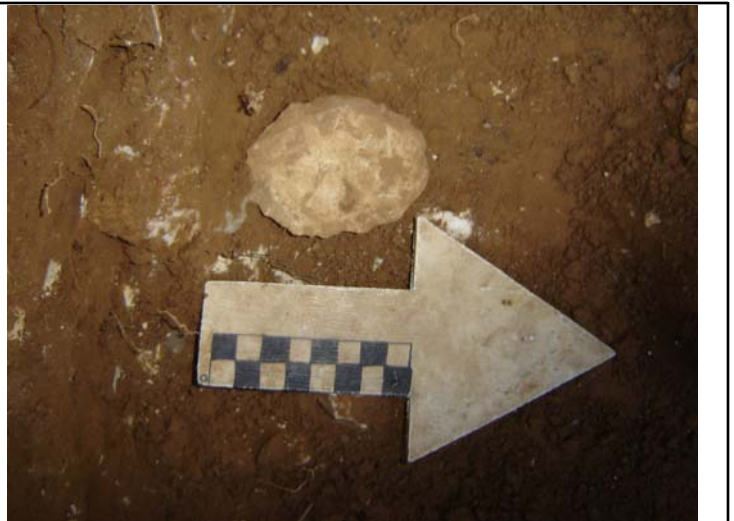
Y

Z

Lítica Raspador de pedernal

Dibujo

Foto





BASE DE DATOS DE ELEMENTOS

Nr. Elemento

7

Sitio

Chinikihá

Nr. Operación

114a

Cuadro

K2

Nivel métrico

10-20 cm

X

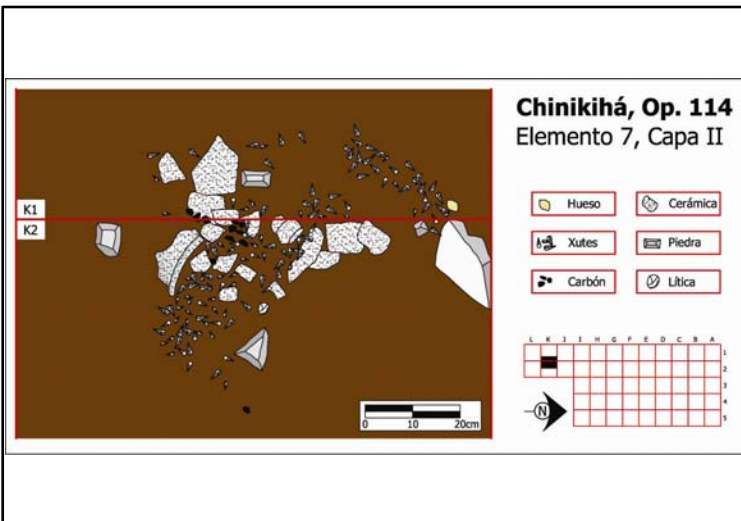
Y

Z

Mat.Malacológico, Mat. Cerámico, Mat.Oséo,
Mat.Lítico.
NO HAY DIBUJOS NI FOTOS

Dibujo

Foto





BASE DE DATOS DE ELEMENTOS

Nr. Elemento

8

Sitio

Chinikihá

Nr. Operación

114a

Cuadro

K2

Nivel métrico

10-20 cm

X

Y

Z

Bifacial.
NO HAY DIBUJOS NI FOTOS

Dibujo

Foto



BASE DE DATOS DE ELEMENTOS

Nr. Elemento

9

Sitio

Chinikihá

Nr. Operación

114a

Cuadro

2

Nivel métrico

30-40 cm

X

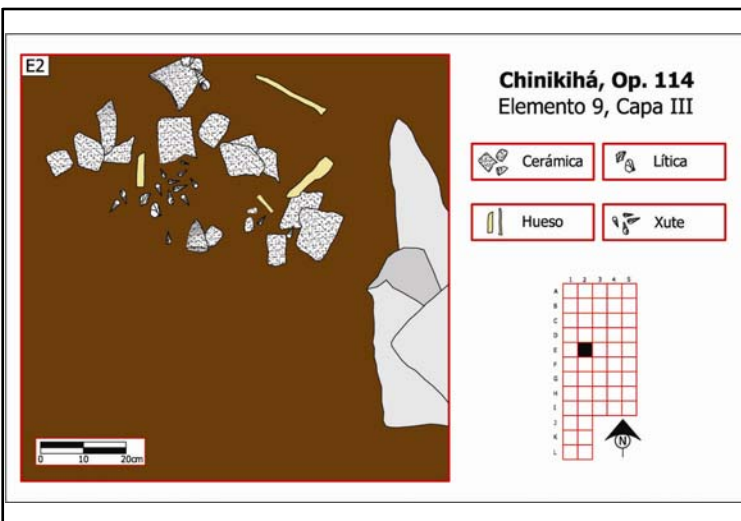
Y

Z

restos de olla y borde de Beaker y un plato
con soportes grandes y huecos

Dibujo

Foto





BASE DE DATOS DE ELEMENTOS

Nr. Elemento

10

Sitio

Chinikihá

Nr. Operación

114a

Cuadro

J2

Nivel métrico

40-50 cm

X

Y

Z

Mat.Lítico (Mano de Metate).
NO HAY DIBUJOS NI FOTOS

Dibujo

Foto



BASE DE DATOS DE ELEMENTOS

Nr. Elemento

11

Sitio

Chinikihá

Nr. Operación

114a

Cuadro

J2

Nivel métrico

40-50 cm

X

Y

Z

Mat.Cerámico.
NO HAY DIBUJOS NI FOTOS

Dibujo

Foto



BASE DE DATOS DE ELEMENTOS

Nr. Elemento

12

Sitio

Chinikihá

Nr. Operación

114a

Cuadro

J2

Nivel métrico

40-50 cm

X

Y

Z

Mat.Cerámico.
NO HAY DIBUJOS NI FOTOS

Dibujo

Foto



BASE DE DATOS DE ELEMENTOS

Nr. Elemento

13

Sitio

Chinikihá

Nr. Operación

114a

Cuadro

J1

Nivel métrico

50-60 cm

X

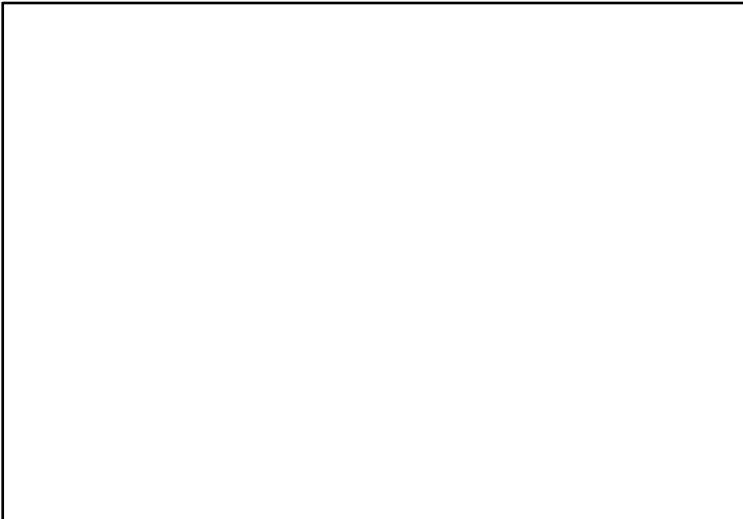
Y

Z

estuco Modelado y Pintado

Dibujo

Foto





BASE DE DATOS DE ELEMENTOS

Nr. Elemento

14

Sitio

Chinikihá

Nr. Operación

114a

Cuadro

K1

Nivel métrico

30-40 cm

X

Y

Z

Mat. Óseo (Aguja).
NO HAY DIBUJOS NI FOTOS

Dibujo

Foto



BASE DE DATOS DE ELEMENTOS

Nr. Elemento

15

Sitio

Chinikihá

Nr. Operación

114a

Cuadro

K1

Nivel métrico

30-40 cm

X

Y

Z

Mat.Óseo (Mandíbula animal)

Dibujo

Foto



BASE DE DATOS DE ELEMENTOS

Nr. Elemento

16

Sitio

Chinikihá

Nr. Operación

114a

Cuadro

K1

Nivel métrico

30-40 cm

X

Y

Z

Mat.Cerámico (Cabeza de figurilla)

NO HAY DIBUJOS NI FOTOS

Dibujo

Foto



BASE DE DATOS DE ELEMENTOS

Nr. Elemento

17

Sitio

Chinikihá

Nr. Operación

114a

Cuadro

H2

Nivel métrico

50-60 cm

X

Y

Z

Piezas cerámicas con Hueso .

Dibujo

Foto

H2



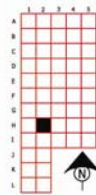
Chinikihá, Op. 114
Elemento 17, Capa V



Elemento 17



Plato semi-completo



0 10 20cm





BASE DE DATOS DE ELEMENTOS

Nr. Elemento

18

Sitio

Chinikihá

Nr. Operación

114a

Cuadro

H1

Nivel métrico

50-60 cm

X

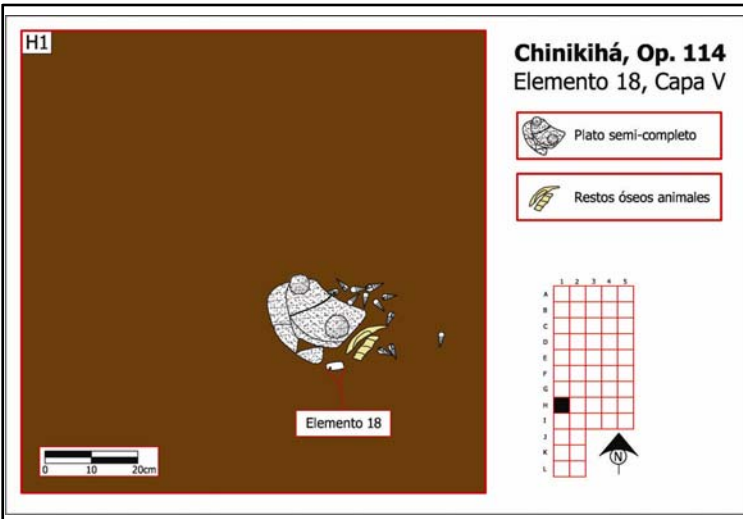
Y

Z

Pendiente de Concha.

Dibujo

Foto





BASE DE DATOS DE ELEMENTOS

Nr. Elemento

19

Sitio

Chinikihá

Nr. Operación

114a

Cuadro

F2

Nivel métrico

40-50 cm

X

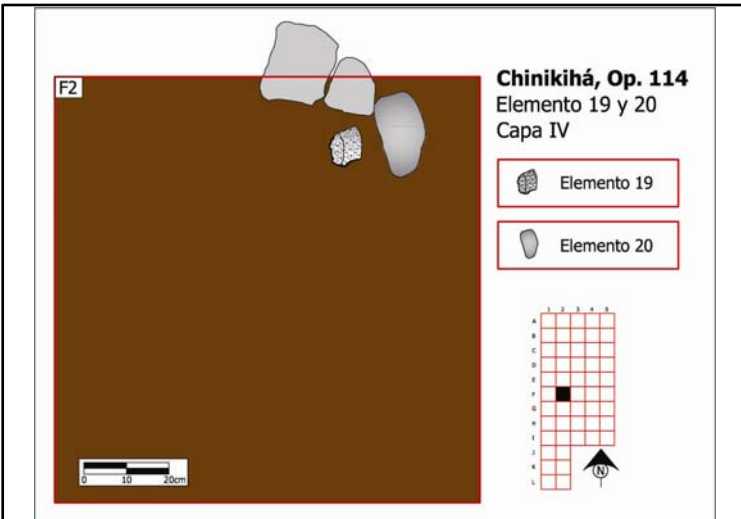
Y

Z

Beaker semicompleto.

Dibujo

Foto





BASE DE DATOS DE ELEMENTOS

Nr. Elemento

20

Sitio

Chinikihá

Nr. Operación

110

Cuadro

7

Nivel métrico

10-20 cm

X

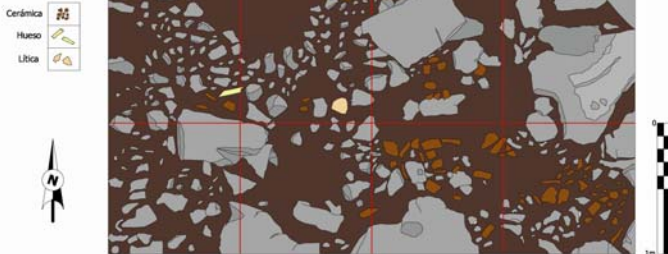
Y

Z

Mat. Cerámico

Dibujo

Foto



Proyecto
Arqueológico
Chinikihá
Op. 110

Capa 6 y 7
Lote 20
Dibujo en planta





BASE DE DATOS DE ELEMENTOS

Nr. Elemento

20

Sitio

Chinikihá

Nr. Operación

110

Cuadro

C7

Nivel métrico

20-30 cm

X

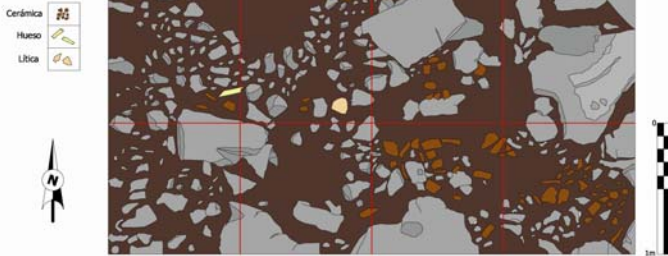
Y

Z

Mat. Cermico, lítico, malacológico, óseo,

Dibujo

Foto



Proyecto
Arqueológico
Chinikihá
Op. 110

Capa 6 y 7
Lote 20
Dibujo en planta





BASE DE DATOS DE ELEMENTOS

Nr. Elemento

20

Sitio

Chinikihá

Nr. Operación

114a

Cuadro

F2

Nivel métrico

40-50 cm

X

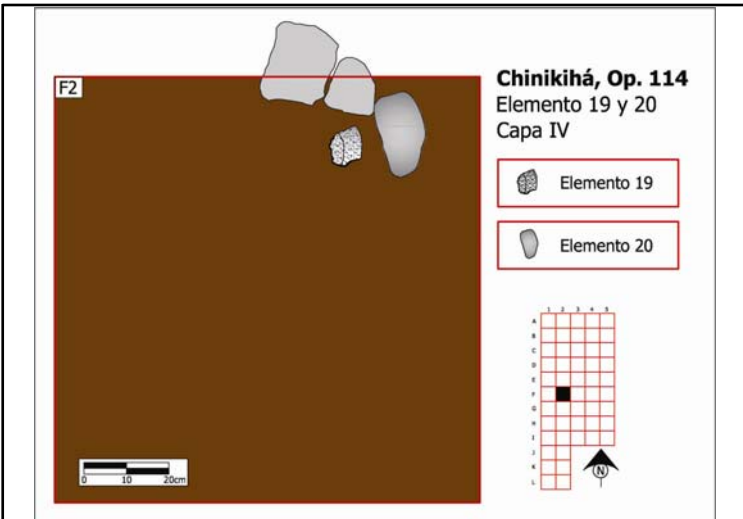
Y

Z

fragmento Metate.

Dibujo

Foto





BASE DE DATOS DE ELEMENTOS

Nr. Elemento

21

Sitio

Chinikihá

Nr. Operación

110

Cuadro

A1,B1

Nivel métrico

20-30 cm

X

Y

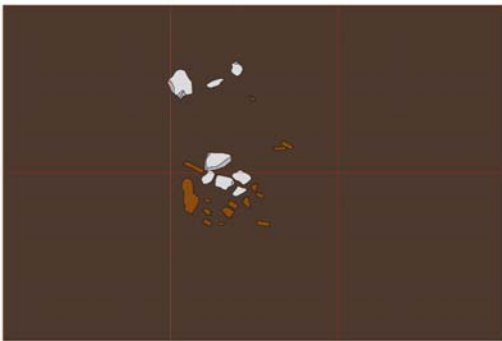
Z

Mat. Cerámico, lítico, malacológico, óseo,
mat.Lítico, Mat.Lítico (Pulido).
NO HAY FOTOS

Dibujo

Foto

Cerámica



Proyecto
Arqueológico
Chinikihá
Op. 110

Lote 21
Dibujo en planta



BASE DE DATOS DE ELEMENTOS

Nr. Elemento

22

Sitio

Chinikihá

Nr. Operación

110

Mat. Cerámico, lítico, malacológico, óseo,

Cuadro

A1,B1, A2, A3

Nivel métrico

20-30 cm

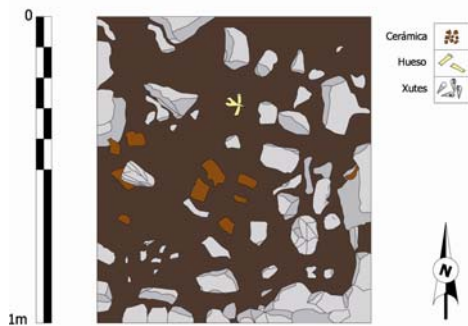
X

Y

Z

Dibujo

Foto



Proyecto Arqueológico Chinikihá
Op. 110
Lote 22
Dibujo en planta



22/11/2008
Proyecto Arqueológico
Chinikihá, II A-UNAH
Capa II
Elemento 22
Planta
Coord. Cuad. A1, B1
C/110 - 22/11, A-G



BASE DE DATOS DE ELEMENTOS

Nr. Elemento

22

Sitio

Chinikihá

Nr. Operación

114a

Caparazón esgrafiado con texto incompleto.

Cuadro

F2

Nivel métrico

50-60 cm

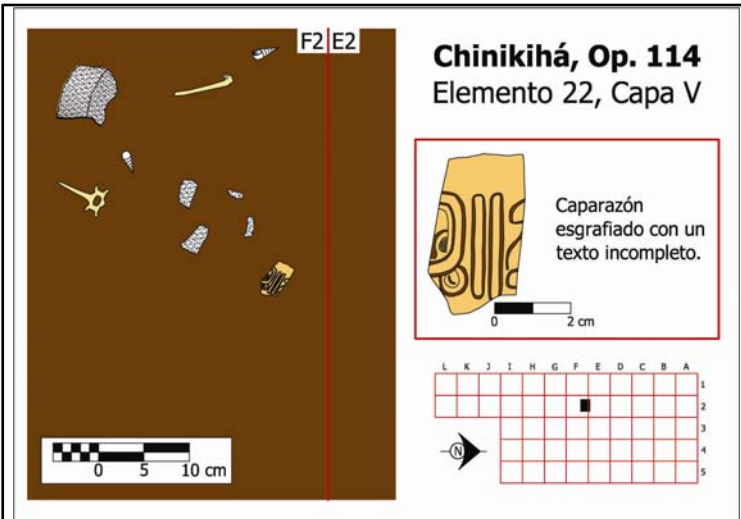
X

Y

Z

Dibujo

Foto





BASE DE DATOS DE ELEMENTOS

Nr. Elemento

23

Sitio

Chinikihá

Nr. Operación

110

Cuadro

B3

Nivel métrico

20-30 cm

X

Y

Z

Mat. Lítico Pulida (Metate), mat. Cerámico,
lítico y óseo.

NO HAY DIBUJOS NI FOTOS

Dibujo

Foto



BASE DE DATOS DE ELEMENTOS

Nr. Elemento

23

Sitio

Chinikihá

Nr. Operación

114a

Cuadro

F2

Nivel métrico

50-60 cm

X

Y

Z

Aguja de Hueso.
NO HAY DIBUJOS NI FOTOS

Dibujo

Foto



BASE DE DATOS DE ELEMENTOS

Nr. Elemento

24

Sitio

Chinikihá

Nr. Operación

110

Cuadro

B2

Nivel métrico

40-50 cm

X

Y

Z

Mat.Cerámico (Figurillas)

Dibujo

Foto





BASE DE DATOS DE ELEMENTOS

Nr. Elemento

24

Sitio

Chinikihá

Nr. Operación

114a

Cuadro

F2

Nivel métrico

50-60 cm

X

Y

Z

Hueso esgrafiado con texto.
NO HAY DIBUJOS NI FOTOS

Dibujo

Foto



BASE DE DATOS DE ELEMENTOS

Nr. Elemento

25

Sitio

Chinikihá

Nr. Operación

114a

Cuadro

E2

Nivel métrico

40-50 cm

X

Y

Z

Silbato pieza completa.

Dibujo

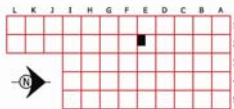
Foto



Chinikihá, Op. 114
Elemento 25, Capa V



Ocarina modelada
con forma de animal





BASE DE DATOS DE ELEMENTOS

Nr. Elemento

25

Sitio

Chinikihá

Nr. Operación

110

Concentración ceniza, tepalcates, Hueso,
xute, malacológico.
NO HAY DIBUJOS

Cuadro

A1, A2

Nivel métrico

40-50 cm

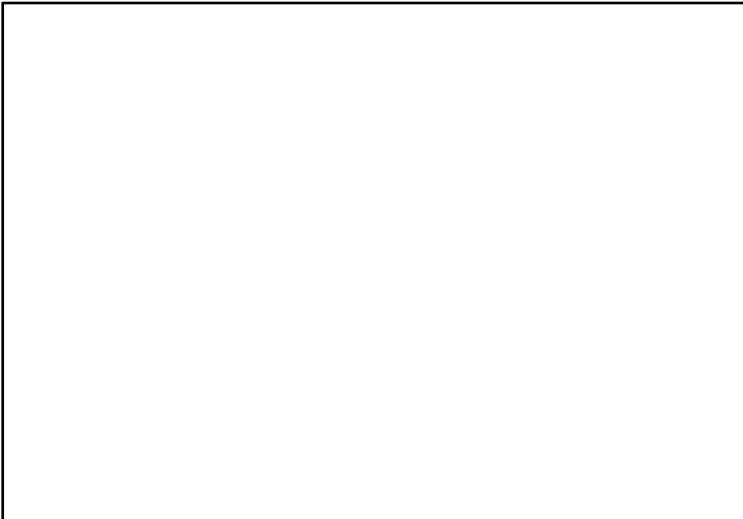
X

Y

Z

Dibujo

Foto





BASE DE DATOS DE ELEMENTOS

Nr. Elemento

26

Sitio

Chinikihá

Nr. Operación

114b

Cuadro

I4

Nivel métrico

0-10 cm

X

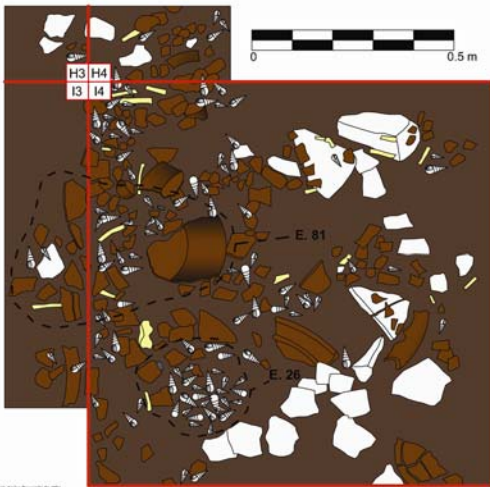
Y

Z

Un pedazo de cajete y plato con Xutes y
huesos de venado.
NO HAY FOTOS

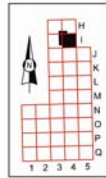
Dibujo

Foto



Proyecto Arqueológico
Chinikihá

Operación 114b
Elementos 81 y 26





BASE DE DATOS DE ELEMENTOS

Nr. Elemento

27

Sitio

Chinikihá

Nr. Operación

115

Cuadro

N1,N2,N3

Nivel métrico

30-40 cm

X

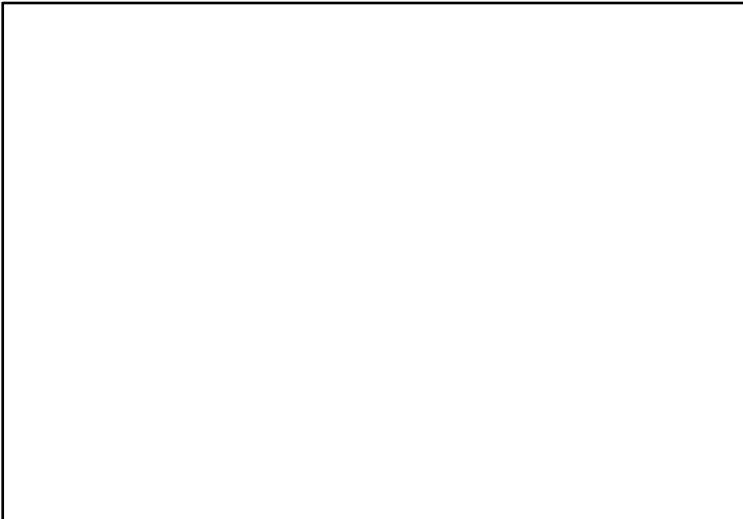
Y

Z

Mat.Cerámico y lítico.
NO HAY DIBUJOS

Dibujo

Foto





BASE DE DATOS DE ELEMENTOS

Nr. Elemento

27

Sitio

Chinikihá

Nr. Operación

119

Cuadro

Nivel métrico

20-30 cm

X

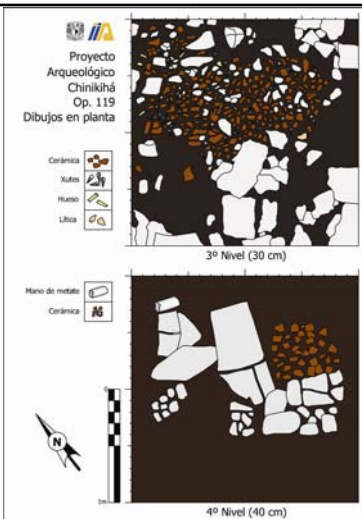
Y

Z

cerámica

Dibujo

Foto





BASE DE DATOS DE ELEMENTOS

Nr. Elemento

28

Sitio

Chinikihá

Nr. Operación

115

Cuadro

N5

Nivel métrico

20-40 cm

X

Y

Z

Mat.Cerámico, lítico, lítica pulida.
NO HAY DIBUJOS NI FOTOS

Dibujo

Foto



BASE DE DATOS DE ELEMENTOS

Nr. Elemento

28

Sitio

Chinikihá

Nr. Operación

119

Cuadro

Nivel métrico

20-30 cm

X

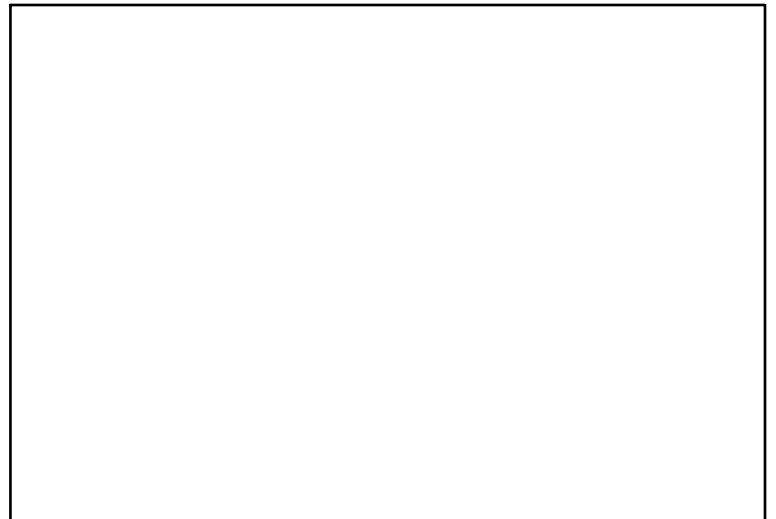
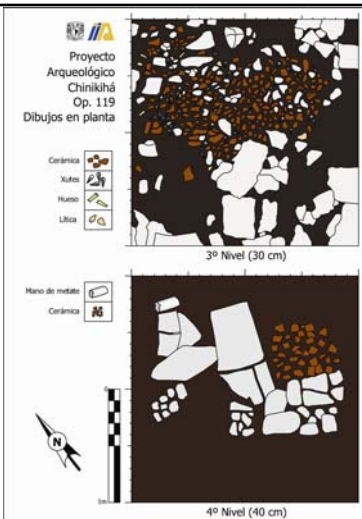
Y

Z

lítica.
NO HAY FOTOS

Dibujo

Foto





BASE DE DATOS DE ELEMENTOS

Nr. Elemento

29

Sitio

Chinikihá

Nr. Operación

114b

Cuadro

I3

Nivel métrico

10-20 cm

X

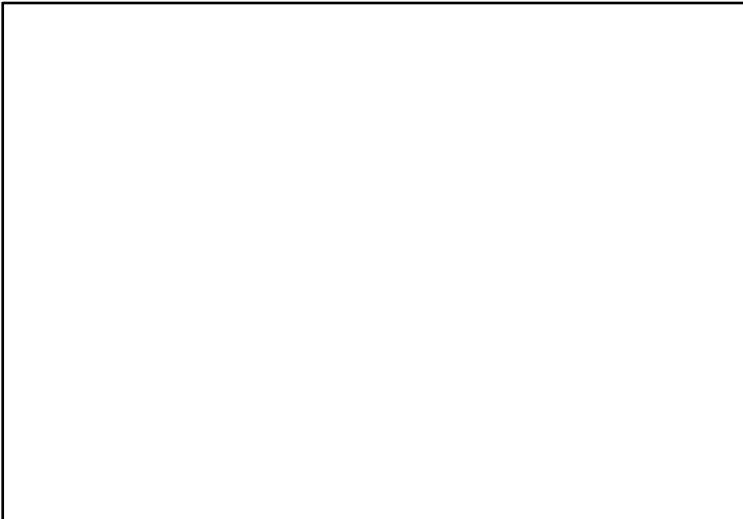
Y

Z

Fragmento de olla muy completo, con xutes alrededor y una vertebra de venado cercana.

Dibujo

Foto





BASE DE DATOS DE ELEMENTOS

Nr. Elemento

29

Sitio

Chinikihá

Nr. Operación

115

Cuadro

N1, N2

Nivel métrico

20-30 cm

X

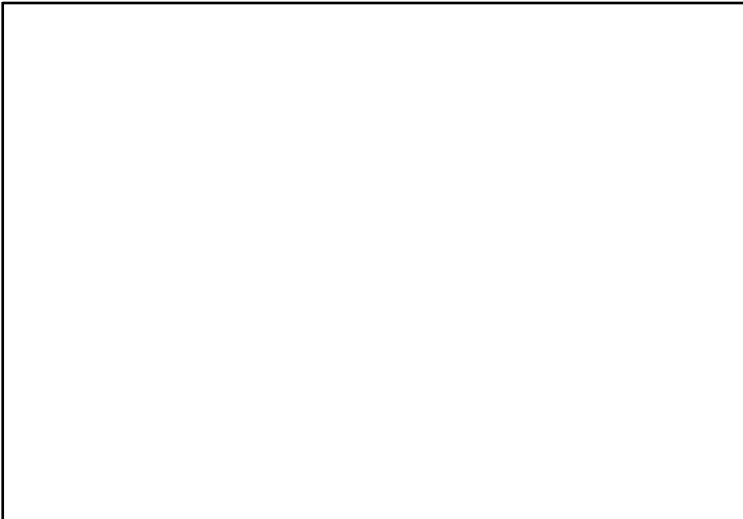
Y

Z

Mat.Cerámico.
NO HAY DIBUJOS

Dibujo

Foto





BASE DE DATOS DE ELEMENTOS

Nr. Elemento

29

Sitio

Chinikihá

Nr. Operación

111

Cuadro

N1,N2

Nivel métrico

30-40 cm

X

Y

Z

EXTENSIÓN NORTE. Mat.Lítico.
NO HAY DIBUJOS NI FOTOS

Dibujo

Foto



BASE DE DATOS DE ELEMENTOS

Nr. Elemento

30

Sitio

Chinikihá

Nr. Operación

114b

Cuadro

13

Nivel métrico

10-20 cm

X

Y

Z

Olla semi-completa con gran cantidad de
xutes y huesos largos, vertebras y lítica.
NO HAY DIBUJOS NI FOTOS

Dibujo

Foto



BASE DE DATOS DE ELEMENTOS

Nr. Elemento

31

Sitio

Chinikihá

Nr. Operación

114b

Cuadro

13

Nivel métrico

10-20 cm

X

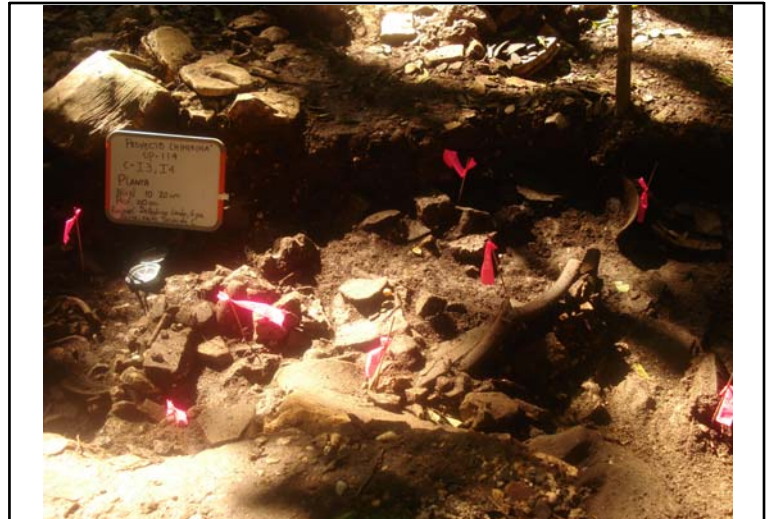
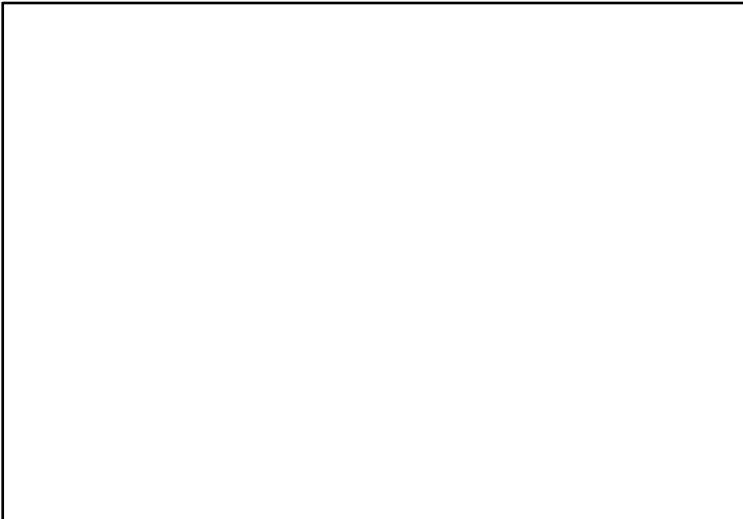
Y

Z

Cerámica, lítica, huesos, y tierra para flotación nivel 10-20 cm. Mitad de Beaker asociado a Huesos, más xutes y obsidiana

Dibujo

Foto





BASE DE DATOS DE ELEMENTOS

Nr. Elemento

32

Sitio

Chinikihá

Nr. Operación

114b

Cuadro

I4

Nivel métrico

10-20 cm

X

Y

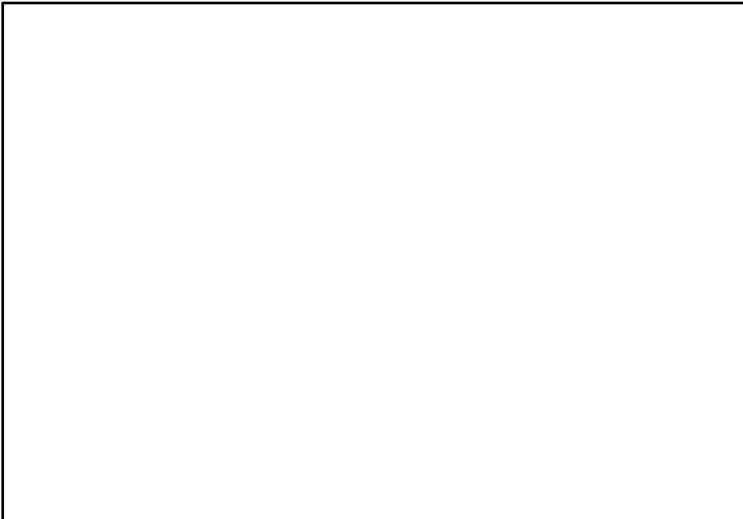
Z

Una concentración de cerámica, xutes y hueso en el cuadro I4 en el segundo nivel. Cajete con soporte anular asociado a huesos y xutes.

NO HAY DIBUJO

Dibujo

Foto





BASE DE DATOS DE ELEMENTOS

Nr. Elemento

33

Sitio

Chinikihá

Nr. Operación

114b

Cuadro

I3

Nivel métrico

10-20 cm

X

Y

Z

Concentración de cerámica, concha y hueso en el cuadro I3 a 20 centímetros de profundidad. Cajete metido en el borde del perfil sur, muchos xutes más obsidiana. Cerámica, concha, hueso (10-20), estuco.
NO HAY DIBUJOS

Dibujo

Foto





BASE DE DATOS DE ELEMENTOS

Nr. Elemento

34

Sitio

Chinikihá

Nr. Operación

114b

Cuadro

I5

Nivel métrico

30-40 cm

X

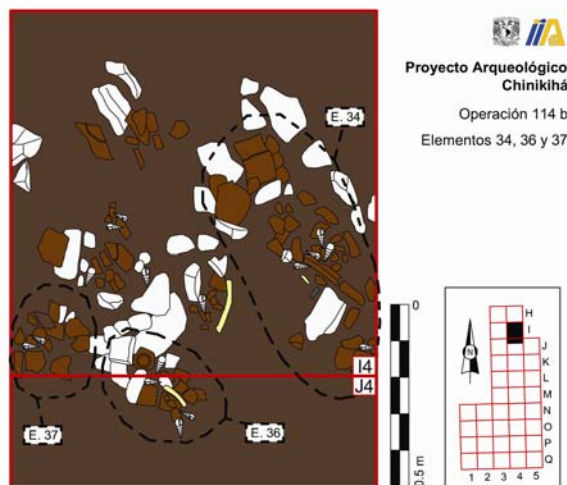
Y

Z

Concentración de cerámica, concha y lítica en el cuadro 15. Dispersión de fragmentos y bordes de olla. (I3 10-20)

Dibujo

Foto





BASE DE DATOS DE ELEMENTOS

Nr. Elemento

35

Sitio

Chinikihá

Nr. Operación

114b

Cuadro

14

Nivel métrico

10-20 cm

X

Y

Z

Un pulidor asociado a otros fragmentos de
lítica, cerámica, concha y huesos. Plato con
soporte de botón. Estuco.
NO HAY DIBUJOS NI FOTOS

Dibujo

Foto



BASE DE DATOS DE ELEMENTOS

Nr. Elemento

36

Sitio

Chinikihá

Nr. Operación

114b

Cuadro

I3

Nivel métrico

20-30 cm

X

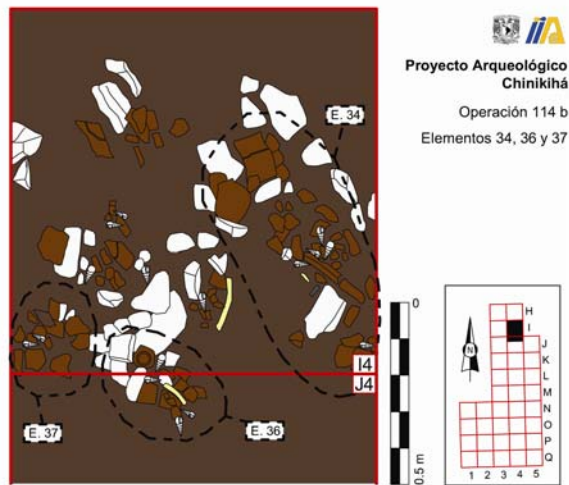
Y

Z

Concentración de piezas cerámicas semicompletas, lítica, huesos y xutes; así como las muestras de tierra para polen y flotación de la tierra asociada a la cerámica. Cajete y soporte mamiforme de gran tamaño delimitado por piedras+olla

Dibujo

Foto





BASE DE DATOS DE ELEMENTOS

Nr. Elemento

37

Sitio

Chinikihá

Nr. Operación

114b

Cuadro

I5

Nivel métrico

10-20 cm

X

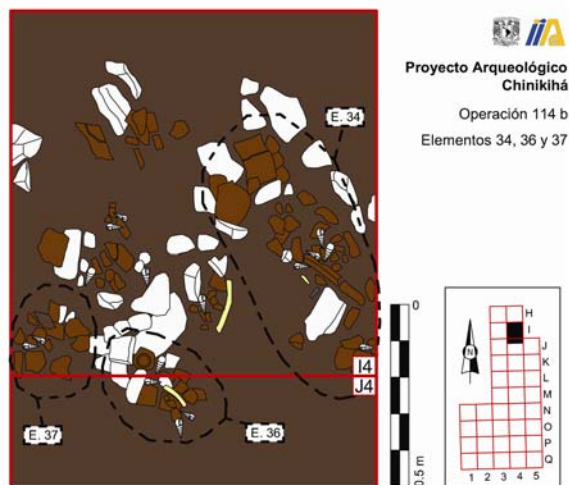
Y

Z

Pequeña concentración de huesos, concha, lítica y cerámica. Borde de olla pegado al perfil norte (I3, I4)

Dibujo

Foto





BASE DE DATOS DE ELEMENTOS

Nr. Elemento

37

Sitio

Chinikihá

Nr. Operación

114a

Cuadro

K1

Nivel métrico

40-50 cm

X

Y

Z

Anforita.
NO HAY DIBUJOS NI FOTOS

Dibujo

Foto



BASE DE DATOS DE ELEMENTOS

Nr. Elemento

38

Sitio

Chinikihá

Nr. Operación

125

Cuadro

13

Nivel métrico

0-20 cm

X

Y

Z

Puntas de proyectil y un hacha.
NO HAY DIBUJOS NI FOTOS

Dibujo

Foto



BASE DE DATOS DE ELEMENTOS

Nr. Elemento

38

Sitio

Chinikihá

Nr. Operación

114a

Cuadro

Nivel métrico

n/a

X

Y

Z

hueso esgrañado.
NO HAY DIBUJOS NI FOTOS

Dibujo

Foto



BASE DE DATOS DE ELEMENTOS

Nr. Elemento

39

Sitio

Chinikihá

Nr. Operación

114b

Cuadro

J4

Nivel métrico

30-40 cm

X

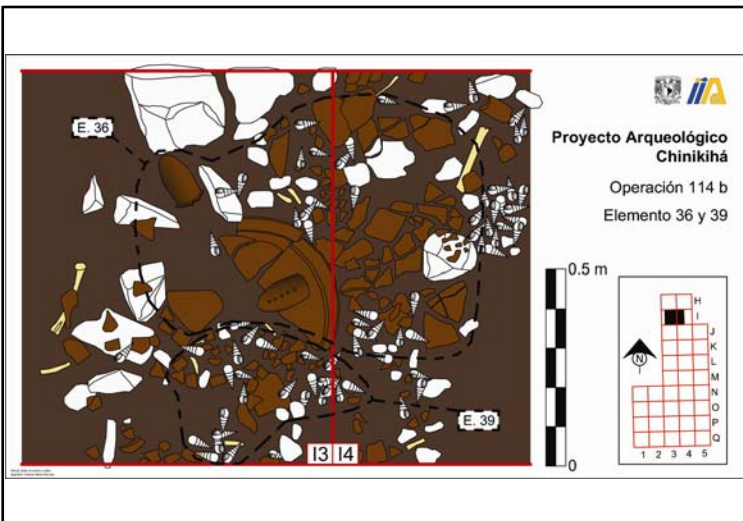
Y

Z

Concentración de Cerámica, hueso, lítica y xutes en el cuadro I4.
olla partida en dos fragmentos, xutes y un Hueso largo, concha.
NO HAY FOTOS

Dibujo

Foto





BASE DE DATOS DE ELEMENTOS

Nr. Elemento

40

Sitio

Chinikihá

Nr. Operación

114b

Cuadro

15

Nivel métrico

30-40

X

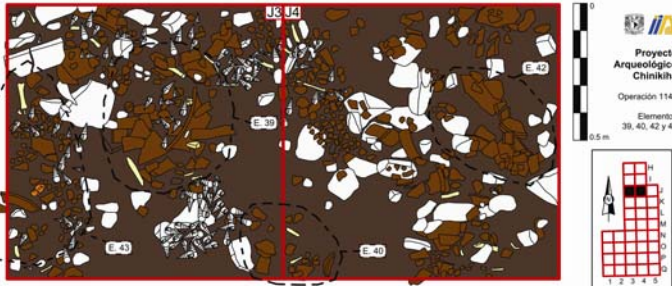
Y

Z

Cazuela tipo apaxtle de cuello evertido y bordes redondeados. así como un plato con soporte de 10 cms de diámetro, fondo plano y trípode, un cajete con paredes delgadas y evertidas y una cabeza de figurilla de cerámica. Es un depósito asociado a xutes y a los elementos 45 y 46 aunque con una menor cantidad de xutes que los anteriores. Tiene asociados fragmentos de huesos de venado (I6_15)

Dibujo

Foto





BASE DE DATOS DE ELEMENTOS

Nr. Elemento

40

Sitio

Chinikihá

Nr. Operación

112

Cuadro

Nivel métrico

10-30 cm

X

Y

Z

Carbón sobre piedras, cerámica ente piedras,

cráneo, lítica

ASOCIADO A ENTIERRO

NO HAY DIBUJOS

Dibujo

Foto





BASE DE DATOS DE ELEMENTOS

Nr. Elemento

41

Sitio

Chinikihá

Nr. Operación

114b

Cuadro

I4

Nivel métrico

30-40

X

Y

Z

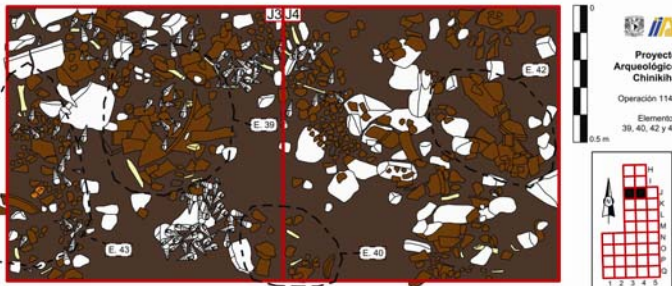
Concentración de Cerámica, concha y hueso en el cuadro I4, entre 30 y 40 centímetros de profundidad. Vaso con huesos de venado.

(J3)

NO HAY FOTOS

Dibujo

Foto





BASE DE DATOS DE ELEMENTOS

Nr. Elemento

41

Sitio

Chinikihá

Nr. Operación

111

Cuadro

Nivel métrico

20-30 cm

X

Y

Z

Fauna, entierro 3, cerámica.

NO HAY DIBUJOS

Dibujo

Foto





BASE DE DATOS DE ELEMENTOS

Nr. Elemento

42

Sitio

Chinikihá

Nr. Operación

114b

Cuadro

I6

Nivel métrico

30-40 cm

X

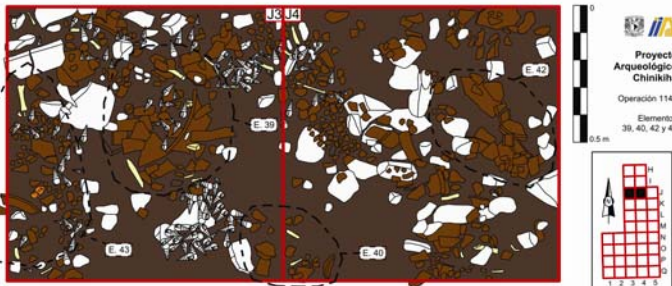
Y

Z

fragmento de cuello de olla, muchos tepalcates+xutes. Nivel 30-40: hueso, cerámica, lítica, concha.
NO HAY FOTOS

Dibujo

Foto





BASE DE DATOS DE ELEMENTOS

Nr. Elemento

42

Sitio

Chinikihá

Nr. Operación

112

Cuadro

Nivel métrico

20-30 cm

X

Y

Z

Muestra de Tierra, cerámica y Hueso humano debajo lecho- NIVEL ENTIERRO 4.

Dibujo

Foto

Proyecto Arqueológico
Chinikihá
Grupo F
Operación 112
Elemento 42
Entierro 4

Individuo A

Individuo B

Individuo C

Huesos no identificados



0

1m

N



Chinikihá 2008
Conj. Norte
Op. 112
Elemento 42
ENTIERRO 4
Objeto Asociado
extrema N. cista
18/VI/08, 2008



BASE DE DATOS DE ELEMENTOS

Nr. Elemento

43

Sitio

Chinikihá

Nr. Operación

114b

Cuadro

I4

Nivel métrico

30-40 cm

X

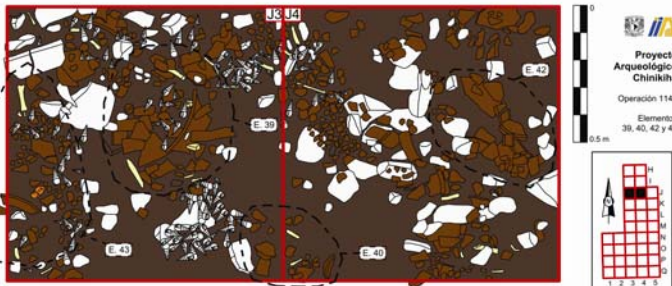
Y

Z

Concentración de concha, hueso y cerámica en el cuadro I4. Dos bordes+plato con soporte pasta gris. Una figurilla

Dibujo

Foto





BASE DE DATOS DE ELEMENTOS

Nr. Elemento

44

Sitio

Chinikihá

Nr. Operación

114b

Cuadro

K4, L4

Nivel métrico

0-10 cm

X

Y

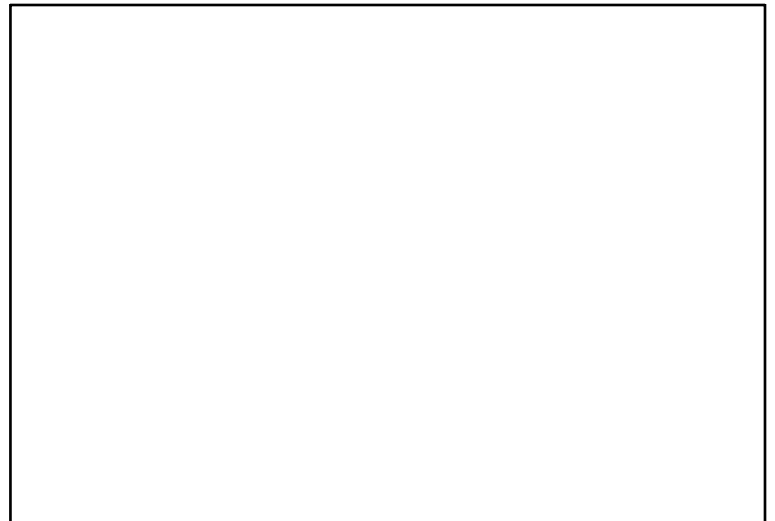
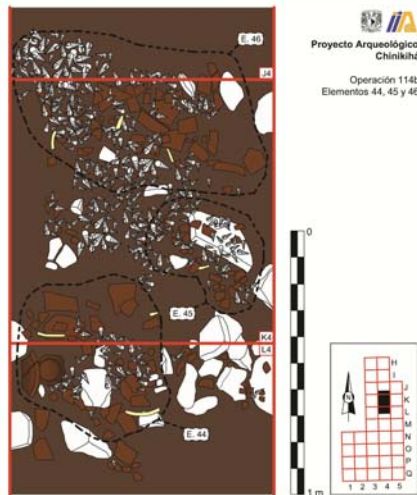
Z

Concentración de cerámica, lítica, concha y hueso en los cuadros K4 y L4. fragmento de plato junto a un cajete, xutes pegados a la superficie del plato; lítica, concha, cerámica, hueso.

NO HAY FOTOS

Dibujo

Foto





BASE DE DATOS DE ELEMENTOS

Nr. Elemento

44

Sitio

Chinikihá

Nr. Operación

112

Vasija asociada a entierro, material en cista

Cuadro

Nivel métrico

20-30 cm

X

Y

Z

Dibujo

Foto





BASE DE DATOS DE ELEMENTOS

Nr. Elemento

45

Sitio

Chinikihá

Nr. Operación

114b

Cuadro

K4

Nivel métrico

0-20 cm

X

Y

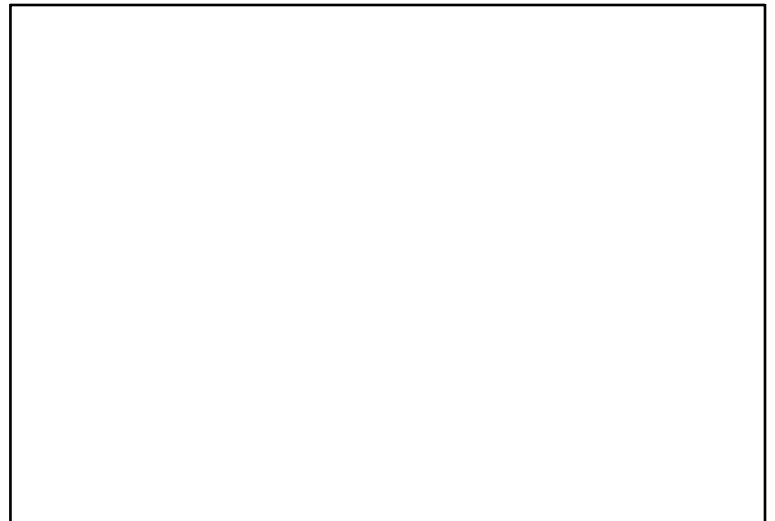
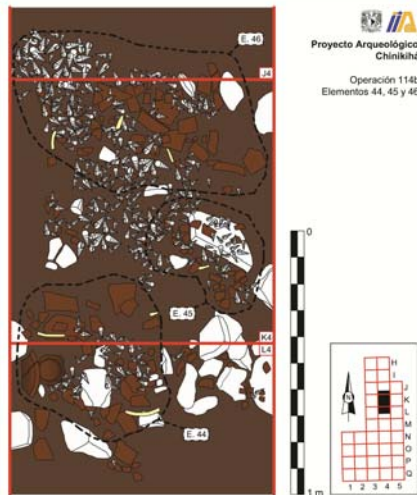
Z

Concentración de cerámica, hueso, concha y lítica en el cuadro K4. Dos fragmentos de olla con mucho xute, posiblemente una misma olla.

NO HAY FOTOS

Dibujo

Foto





BASE DE DATOS DE ELEMENTOS

Nr. Elemento

45

Sitio

Chinikihá

Nr. Operación

112

Cuadro

Nivel métrico

10-30 cm

X

Y

Z

Vasija asociada.
NO HAY DIBUJOS

Dibujo

Foto





BASE DE DATOS DE ELEMENTOS

Nr. Elemento

46

Sitio

Chinikihá

Nr. Operación

114b

Cuadro

K4

Nivel métrico

0-20 cm

X

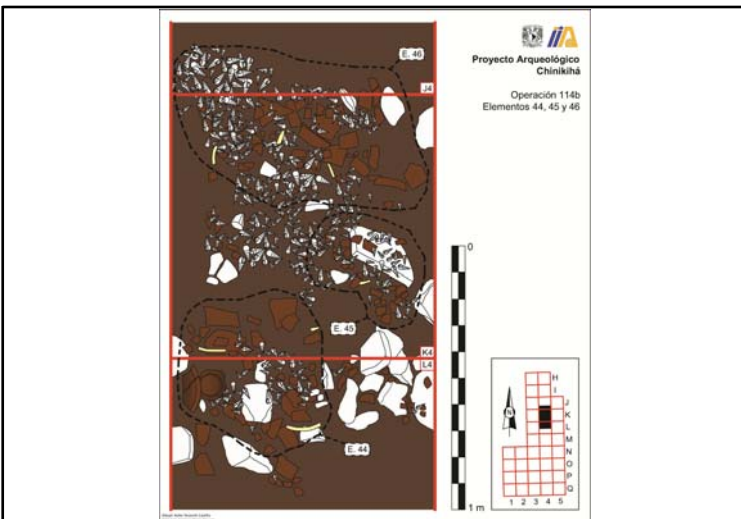
Y

Z

Concentración de cerámica, concha, hueso y lítica en el cuadro K4.
Cajete con mucho xute junto al elemento 45, concha.

Dibujo

Foto





BASE DE DATOS DE ELEMENTOS

Nr. Elemento

46

Sitio

Chinikihá

Nr. Operación

111

Cuadro

Nivel métrico

0-40 cm

X

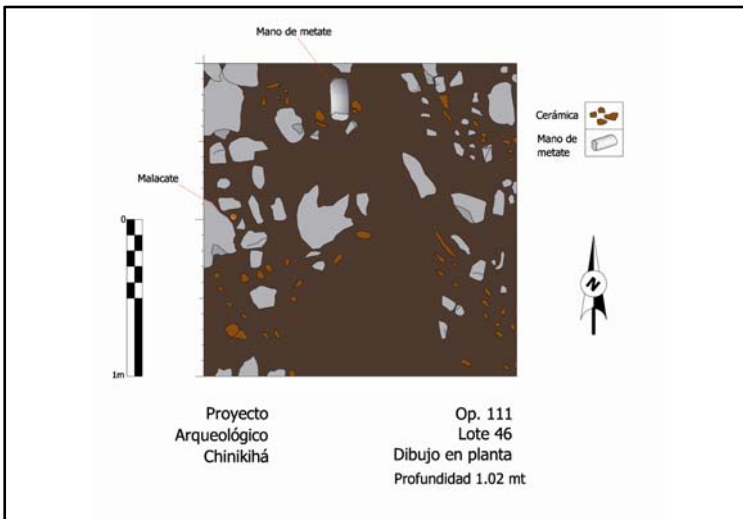
Y

Z

op. 111 ext norte: Mat.Cerámico, lítico, óseo, lítica tallada, (bolsa 118=vasija). ASOCIADO A ENTIERRO

Dibujo

Foto





BASE DE DATOS DE ELEMENTOS

Nr. Elemento

47

Sitio

Chinikihá

Nr. Operación

112

Cuadro

I-2

Nivel métrico

n/a

X

Y

Z

cerámica y lítica.
NO HAY DIBUJOS NI FOTOS

Dibujo

Foto



BASE DE DATOS DE ELEMENTOS

Nr. Elemento

47

Sitio

Chinikihá

Nr. Operación

117

Cuadro

4, 5 Y 6

Nivel métrico

n/a

X

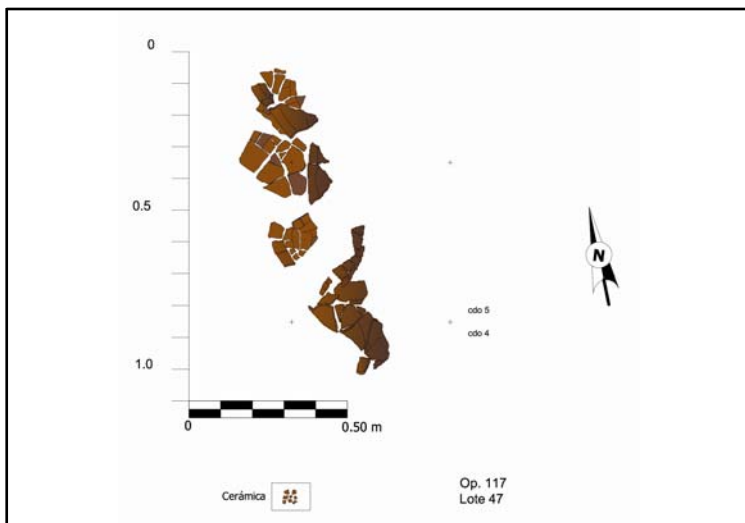
Y

Z

Fragmento vasija.
NO HAY FOTOS

Dibujo

Foto





BASE DE DATOS DE ELEMENTOS

Nr. Elemento

48

Sitio

Chinikihá

Nr. Operación

122

Cuadro

1

Nivel métrico

0-20 cm

X

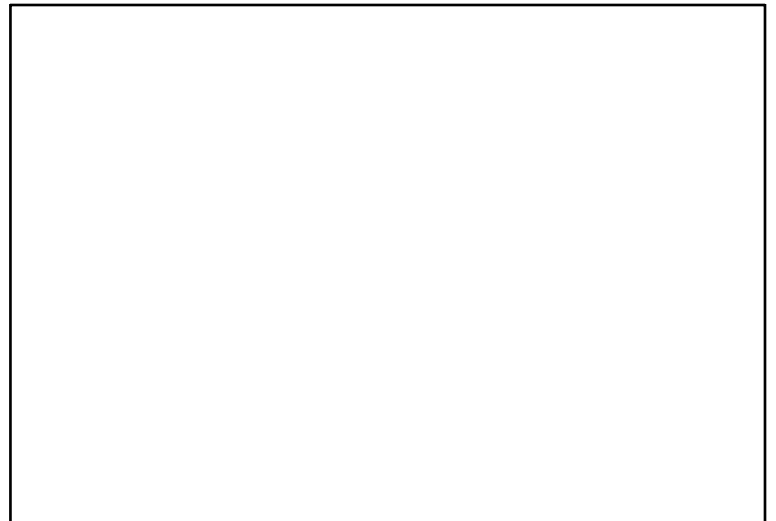
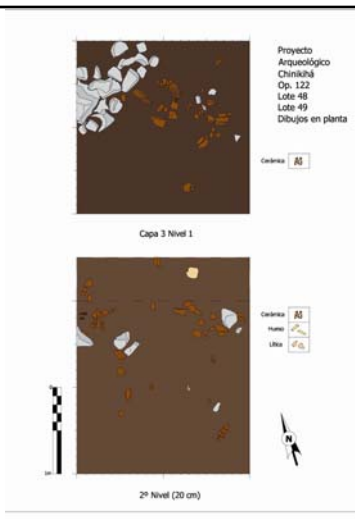
Y

Z

Acumulación cerámica.
NO HAY FOTOS

Dibujo

Foto





BASE DE DATOS DE ELEMENTOS

Nr. Elemento

49

Sitio

Chinikihá

Nr. Operación

122

Cuadro

1

Nivel métrico

20-30 cm

X

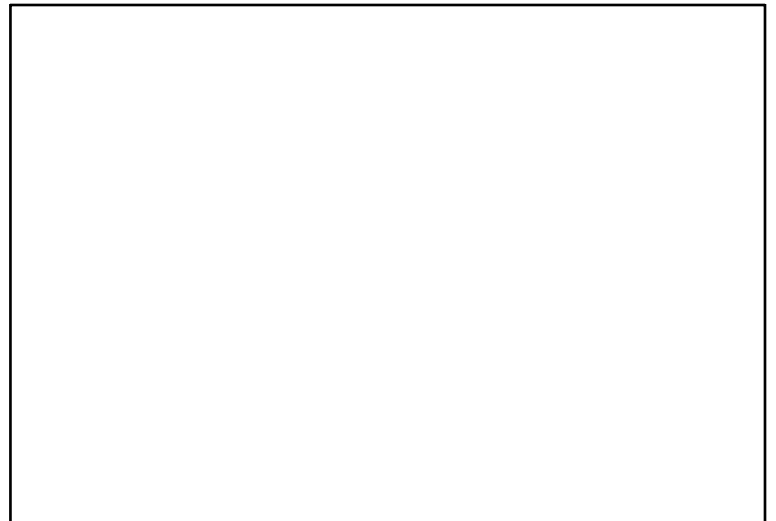
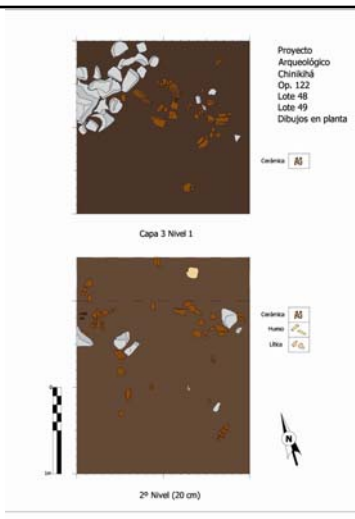
Y

Z

cerámica. NO HAY FOTOS

Dibujo

Foto





BASE DE DATOS DE ELEMENTOS

Nr. Elemento

50

Sitio

Chinikihá

Nr. Operación

116

Cuadro

n/a

Nivel métrico

n/a

X

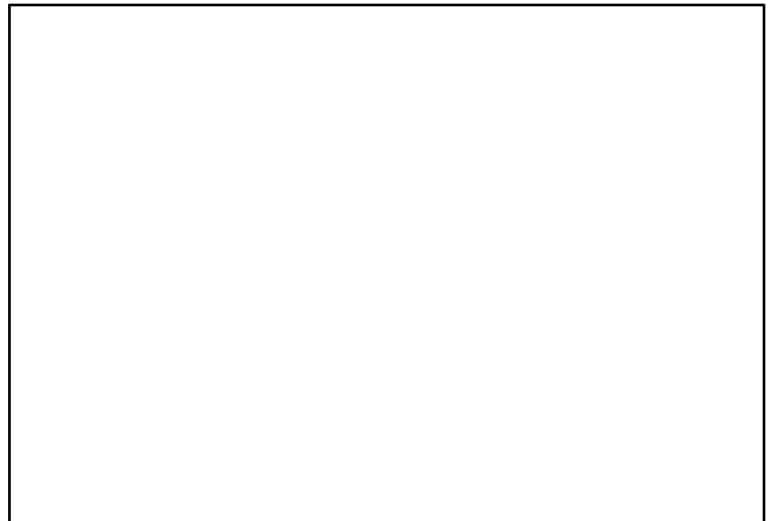
Y

Z

Lítica, bifacial extraño.
NO HAY DIBUJOS

Dibujo

Foto





BASE DE DATOS DE ELEMENTOS

Nr. Elemento

51

Sitio

Chinikihá

Nr. Operación

116

Cuadro

n/a

Nivel métrico

n/a

X

Y

Z

Figurilla de cerámica (cabeza).
NO HAY DIBUJOS NI FOTOS

Dibujo

Foto



BASE DE DATOS DE ELEMENTOS

Nr. Elemento

52

Sitio

Chinikihá

Nr. Operación

116

Cuadro

n/a

Nivel métrico

n/a

X

Y

Z

Concentración cerámica.
NO HAY DIBUJOS NI FOTOS

Dibujo

Foto



BASE DE DATOS DE ELEMENTOS

Nr. Elemento

53

Sitio

Chinikihá

Nr. Operación

116

Cuadro

n/a

Nivel métrico

n/a

X

Y

Z

Concentración cerámica.
NO HAY DIBUJOS NI FOTOS

Dibujo

Foto



BASE DE DATOS DE ELEMENTOS

Nr. Elemento

54

Sitio

Chinikihá

Nr. Operación

116

Cuadro

n/a

Nivel métrico

n/a

X

Y

Z

Concentración cerámica.
NO HAY DIBUJOS NI FOTOS

Dibujo

Foto



BASE DE DATOS DE ELEMENTOS

Nr. Elemento

55

Sitio

Chinikihá

Nr. Operación

116

Cuadro

n/a

Nivel métrico

n/a

X

Y

Z

Concentración cerámica.
NO HAY DIBUJOS NI FOTOS

Dibujo

Foto



BASE DE DATOS DE ELEMENTOS

Nr. Elemento

56

Sitio

Chinikihá

Nr. Operación

116

Cuadro

n/a

Nivel métrico

n/a

X

Y

Z

Silbato antropomorfo.
NO HAY DIBUJOS NI FOTOS

Dibujo

Foto



BASE DE DATOS DE ELEMENTOS

Nr. Elemento

57

Sitio

Chinikihá

Nr. Operación

130

Cuadro

n/a

Nivel métrico

n/a

X

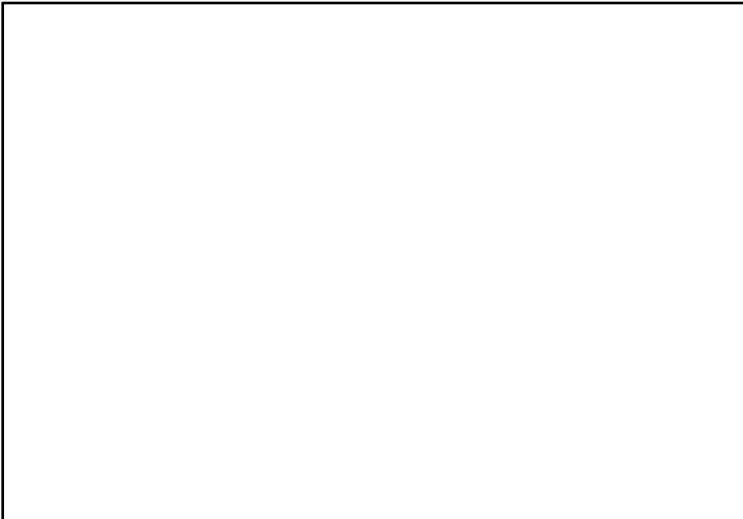
Y

Z

Fragmento cerámica.
NO HAY DIBUJOS

Dibujo

Foto





BASE DE DATOS DE ELEMENTOS

Nr. Elemento

60

Sitio

Chinikihá

Nr. Operación

122

Cuadro

1

Nivel métrico

40-50 cm

X

Y

Z

NO HAY FOTOS NI DIBUJOS NI
DESCRIPCIÓN

Dibujo

Foto



BASE DE DATOS DE ELEMENTOS

Nr. Elemento

61

Sitio

Chinikihá

Nr. Operación

122

Cuadro

1

Nivel métrico

40-50 cm

X

Y

Z

torso figurilla.
NO HAY DIBUJOS NI FOTOS

Dibujo

Foto



BASE DE DATOS DE ELEMENTOS

Nr. Elemento

62

Sitio

Chinikihá

Nr. Operación

122

Cuadro

1

Nivel métrico

40-50 cm

X

Y

Z

Torso figurilla.
NO HAY FOTOS NI DIBUJOS

Dibujo

Foto



BASE DE DATOS DE ELEMENTOS

Nr. Elemento

63

Sitio

Chinikihá

Nr. Operación

122

Cuadro

1

Nivel métrico

40-50 cm

X

Y

Z

Fragmento vasija.
NO HAY DIBUJOS NI FOTOS

Dibujo

Foto



BASE DE DATOS DE ELEMENTOS

Nr. Elemento

64

Sitio

Chinikihá

Nr. Operación

122

Cuadro

1

Nivel métrico

40-50 cm

X

Y

Z

Punta proyectíl.
NO HAY DIBUJOS NI FOTOS.

Dibujo

Foto



BASE DE DATOS DE ELEMENTOS

Nr. Elemento

65

Sitio

Chinikihá

Nr. Operación

117

Cuadro

2

Nivel métrico

30-40 cm

X

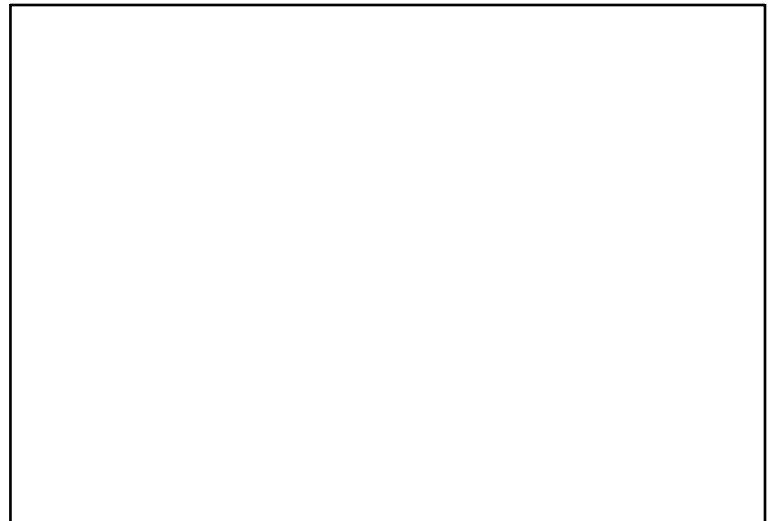
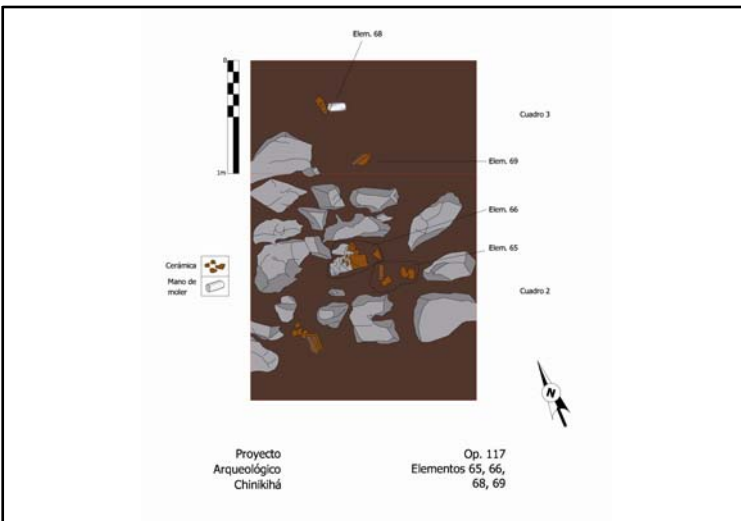
Y

Z

cerámica.
NO HAY FOTOS

Dibujo

Foto





BASE DE DATOS DE ELEMENTOS

Nr. Elemento

66

Sitio

Chinikihá

Nr. Operación

117

Cuadro

2

Nivel métrico

30-40 cm

X

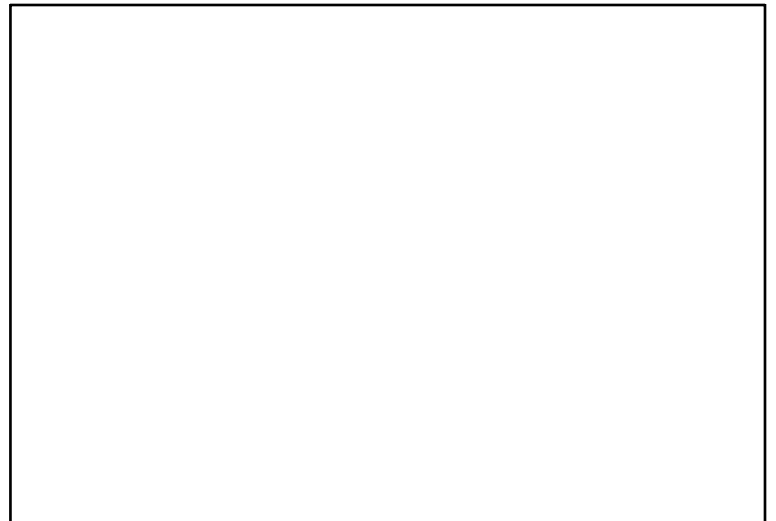
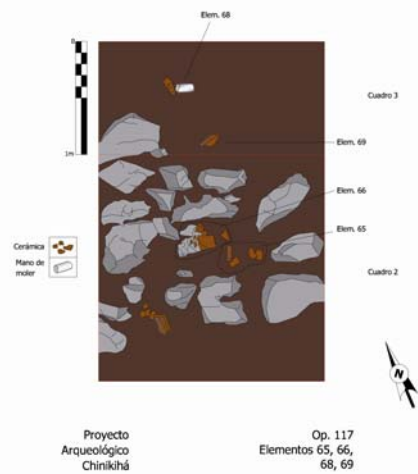
Y

Z

cerámica y hueso.
NO HAY FOTOS

Dibujo

Foto





BASE DE DATOS DE ELEMENTOS

Nr. Elemento

67

Sitio

Chinikihá

Nr. Operación

117

Cuadro

3

Nivel métrico

n/a

X

Y

Z

torso figurilla.
NO HAY DIBUJOS NI FOTOS

Dibujo

Foto



BASE DE DATOS DE ELEMENTOS

Nr. Elemento

68

Sitio

Chinikihá

Nr. Operación

117

Cuadro

3

Nivel métrico

n/a

X

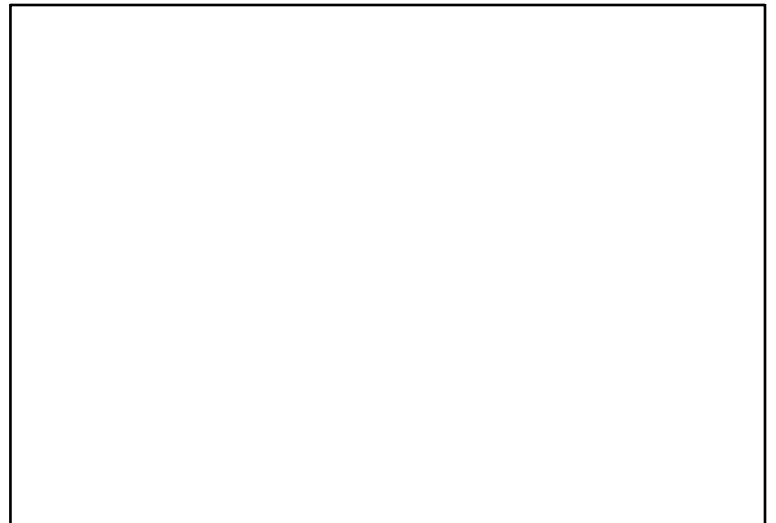
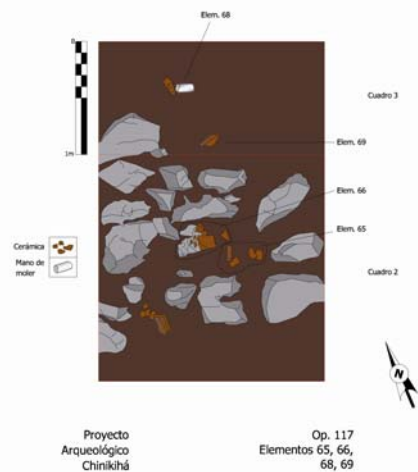
Y

Z

Mano Metate.
NO HAY FOTOS

Dibujo

Foto





BASE DE DATOS DE ELEMENTOS

Nr. Elemento

69

Sitio

Chinikihá

Nr. Operación

117

Cuadro

3

Nivel métrico

n/a

X

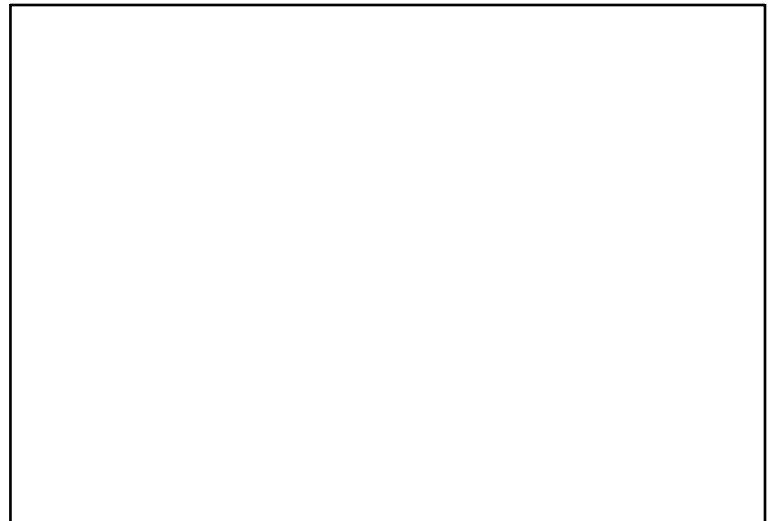
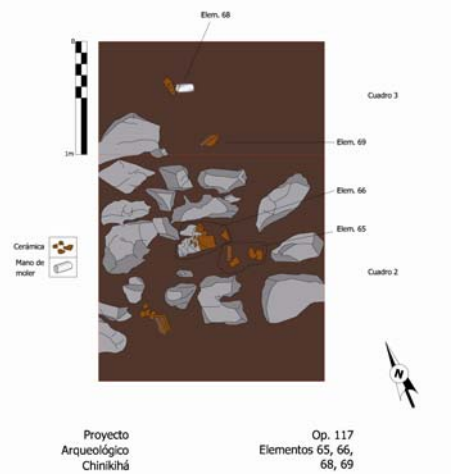
Y

Z

Fragmento borde.
NO HAY FOTOS

Dibujo

Foto





BASE DE DATOS DE ELEMENTOS

Nr. Elemento

70

Sitio

Chinikihá

Nr. Operación

114b

Cuadro

I5, J5

Nivel métrico

40-50 cm

X

Y

Z

Concentración de cerámica, hueso y concha en el cuadro I5. Hueso largo, fragmentos pequeños de cajete. Ollas pequeñas, xutes. Posiblemente esté dentro de un elemento (contenedor de 5 piedras formando un semicírculo).

NO HAY DIBUJOS NI FOTOS.

Dibujo

Foto



BASE DE DATOS DE ELEMENTOS

Nr. Elemento

71

Sitio

Chinikihá

Nr. Operación

114b

Cuadro

15

Nivel métrico

50-60 cm

X

Y

Z

Concentración de cerámica, huesos, concha y lítica en el cuadro 15. Se tomaron muestras de la tierra asociada para flotación. fragmentos pequeños de cerámica, bordes de olla, platos y cajetes. Mucho xute fuera del semicírculo (el. 70). NO HAY DIBUJOS NI FOTOS

Dibujo

Foto



BASE DE DATOS DE ELEMENTOS

Nr. Elemento

72

Sitio

Chinikihá

Nr. Operación

114b

Cuadro

I6

Nivel métrico

40-50 cm

X

Y

Z

Concentración de cerámica, hueso, lítica y concha en el cuadro I6, se tomaron muestras para flotación de la tierra asociada a la concentración. Fragmentos de ollas y poco xute+lítica y huesos.
NO HAY DIBUJOS NI FOTOS.

Dibujo

Foto



BASE DE DATOS DE ELEMENTOS

Nr. Elemento

73

Sitio

Chinikihá

Nr. Operación

114b

Cuadro

16

Nivel métrico

40-50 cm

X

Y

Z

Fragmentos pequeños de cerámica, bordes de olla, lítica y poco xute. Se tomó muestra para flotación de la tierra asociada.
NO HAY DIBUJOS NI FOTOS

Dibujo

Foto



BASE DE DATOS DE ELEMENTOS

Nr. Elemento

74

Sitio

Chinikihá

Nr. Operación

114b

Cuadro

J4, K4

Nivel métrico

20-40 cm

X

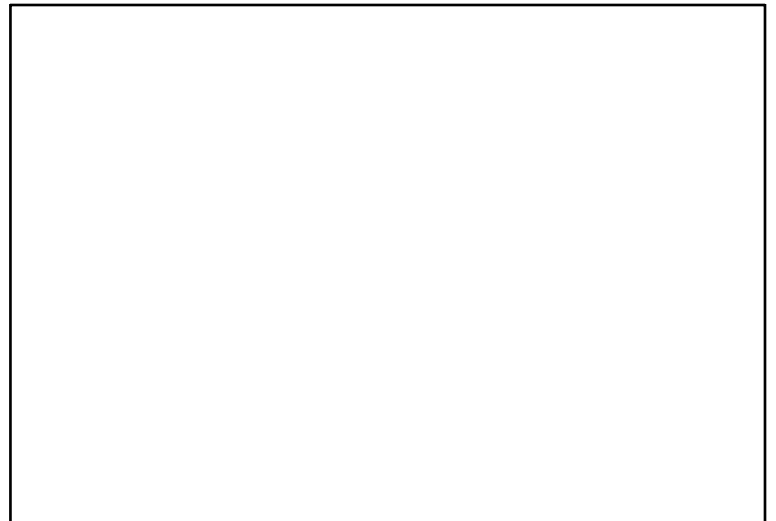
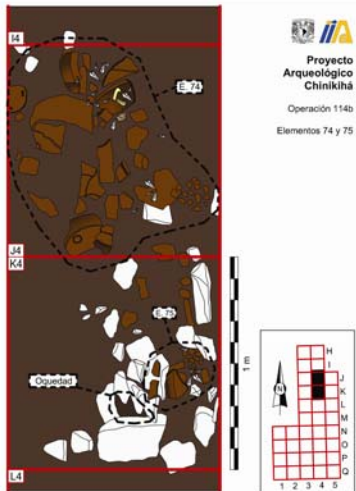
Y

Z

Concentración de cerámica, concha y hueso en los cuadros J4 y K4. Se tomo muestra para flotación de la tierra asociada. Ollas paredes gruesas+fragmentos de ollas pequeña.
NO HAY FOTOS

Dibujo

Foto





BASE DE DATOS DE ELEMENTOS

Nr. Elemento

75

Sitio

Chinikihá

Nr. Operación

114b

Cuadro

J4

Nivel métrico

0-20 cm

X

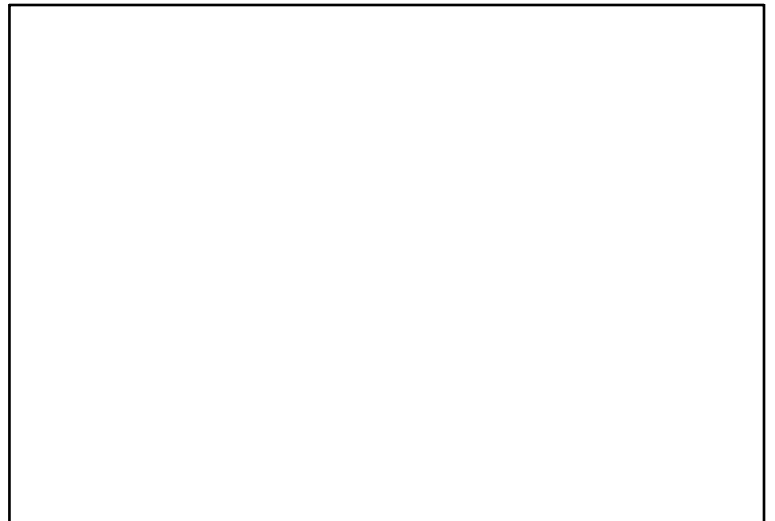
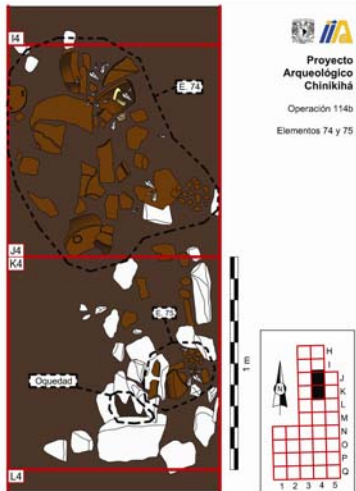
Y

Z

Concentración cerámica. Concentración abundante de xute+bordes de plato, olla y un vaso.
NO HAY FOTOS

Dibujo

Foto





BASE DE DATOS DE ELEMENTOS

Nr. Elemento

76

Sitio

Chinikihá

Nr. Operación

114b

Cuadro

16

Nivel métrico

40-50 cm

X

Y

Z

Plato plano de bordes evertidos de 1 cm de grosor en sus bordes, con pedacería encima de cerámica y algunos xutes. Tiene asociado al norte un fragmento de hueso largo en mal estado de conservación.

NO HAY DIBUJOS NI FOTOS

Dibujo

Foto



BASE DE DATOS DE ELEMENTOS

Nr. Elemento

77

Sitio

Chinikihá

Nr. Operación

114b

Cuadro

I4

Nivel métrico

50-60 cm

X

Y

Z

Figurilla de cerámica zoomorfa, asociada a huesos (dos cráneos de animal) y caracoles. Se trata de una tapa con forma de perro y sus materiales asociados.

Dibujo

Foto





BASE DE DATOS DE ELEMENTOS

Nr. Elemento

78

Sitio

Chinikihá

Nr. Operación

114b

Cuadro

H4, H5

Nivel métrico

20-30 cm

X

Y

Z

Concentración de material arqueológico en los cuadros H4 y H5. Cerámica, Lítica y Xute. Beaker dentro de semicírculo de piedra.
NO HAY DIBUJOS NI FOTOS

Dibujo

Foto



BASE DE DATOS DE ELEMENTOS

Nr. Elemento

79

Sitio

Chinikihá

Nr. Operación

114b

Cuadro

J4, K4

Nivel métrico

40-50 cm

X

Y

Z

Concentración de cerámica, concha, hueso, lítica. De la cerámica destaca un fragmento de figurilla y un tambor semicompleto.
NO HAY DIBUJOS NI FOTOS

Dibujo

Foto



BASE DE DATOS DE ELEMENTOS

Nr. Elemento

80

Sitio

Chinikihá

Nr. Operación

114b

Cuadro

H5

Nivel métrico

20-30 cm

X

Y

Z

Concentración de material arqueológico en el cuadro H5. Cerámica, Hueso, Lítica y Xutes.

Concentración cerámica dentro de semicírculo. Fondo de plato.

NO HAY DIBUJOS NI FOTOS

Dibujo

Foto



BASE DE DATOS DE ELEMENTOS

Nr. Elemento

81

Sitio

Chinikihá

Nr. Operación

114b

Cuadro

I3, I4, I5

Nivel métrico

0-10 cm

X

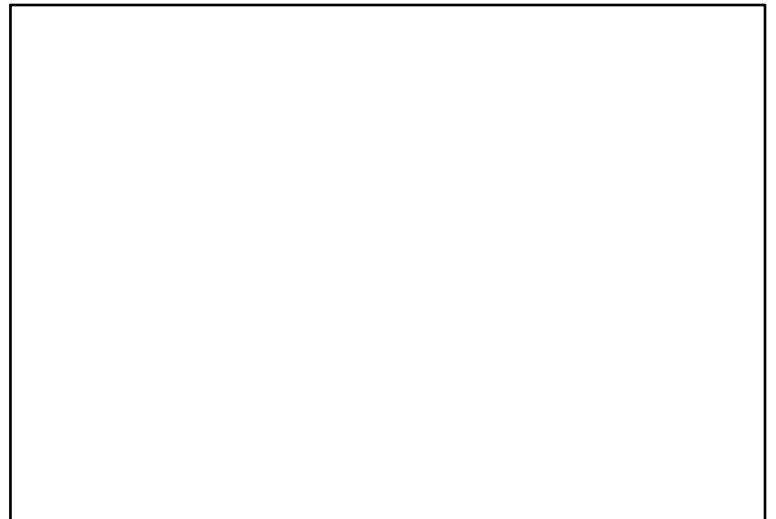
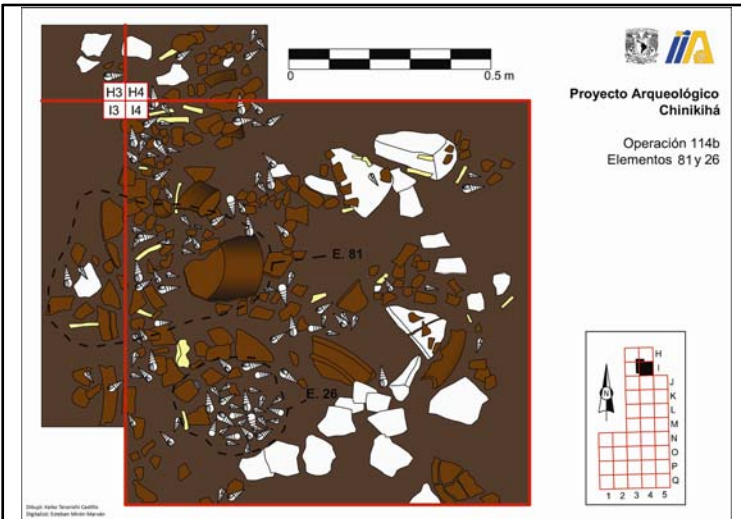
Y

Z

un pedazo de olla con una parte de cajete y muchos xutes
SE CAMBIÓ EL NR DE ELEMENTO DE 25 (SE REPITE CON UNO DE LA 114a) A 81.
NO HAY FOTOS

Dibujo

Foto





BASE DE DATOS DE ELEMENTOS

Nr. Elemento

82

Sitio

Chinikihá

Nr. Operación

144

Cuadro

Nivel métrico

sup

X

Y

Z

Punta proyectíl.
NO HAY DIBUJOS

Dibujo

Foto

PRACH 2011
OPERACIÓN 144
CONJUNTO F
ELEMENTO 1
Z - 0.11 m (Nivel 1)
1-3-11

201



BASE DE DATOS DE ELEMENTOS

Nr. Elemento

84

Sitio

Chinikihá

Nr. Operación

144

Cuadro

Nivel métrico

40-50 cm

X

Y

Z

NO HAY DIBUJOS NI DESCRIPCIÓN

Dibujo

Foto





BASE DE DATOS DE ELEMENTOS

Nr. Elemento

85

Sitio

Chinikihá

Nr. Operación

144

Cuadro

Nivel métrico

40-50 cm

X

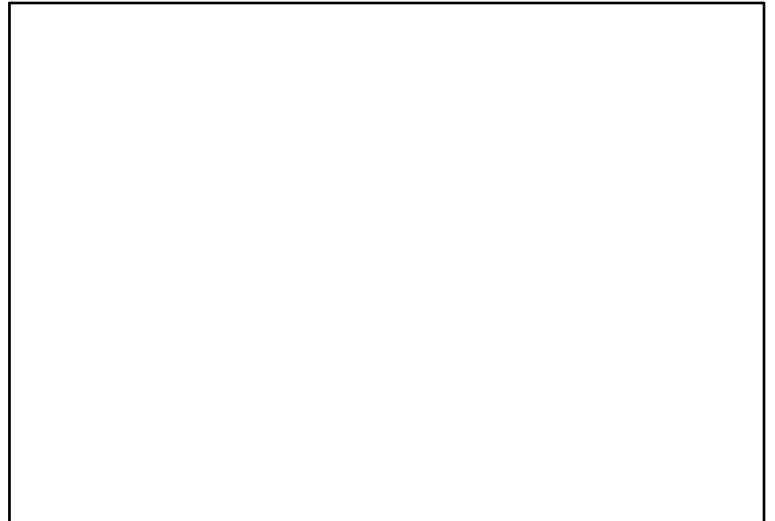
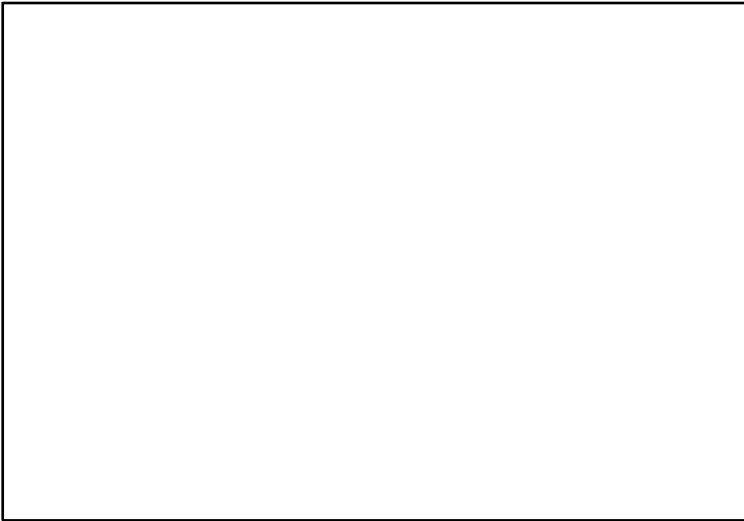
Y

Z

NO HAY FOTOS NI DIBUJOS NI
DESCRIPCIÓN

Dibujo

Foto





BASE DE DATOS DE ELEMENTOS

Nr. Elemento

86

Sitio

Chinikihá

Nr. Operación

163

Cuadro

Nivel métrico

50-60 cm

X

Y

Z

vasija asociada a sepultura 19

Dibujo

Foto





BASE DE DATOS DE ELEMENTOS

Nr. Elemento

87

Sitio

Chinikihá

Nr. Operación

144

Cuadro

Nivel métrico

50-60 cm

X

Y

Z

Mano Metate y cerámica.
NO HAY DIBUJOS

Dibujo

Foto





BASE DE DATOS DE ELEMENTOS

Nr. Elemento

88

Sitio

Chinikihá

Nr. Operación

163

Cuadro

Nivel métrico

50-60 cm

X

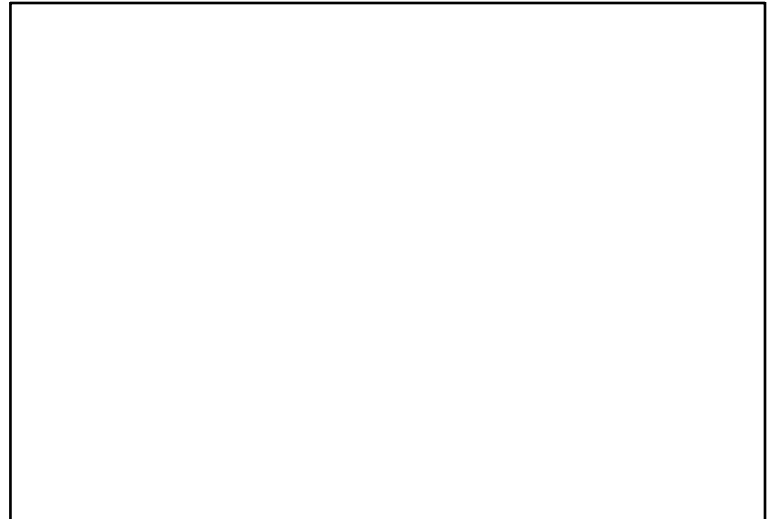
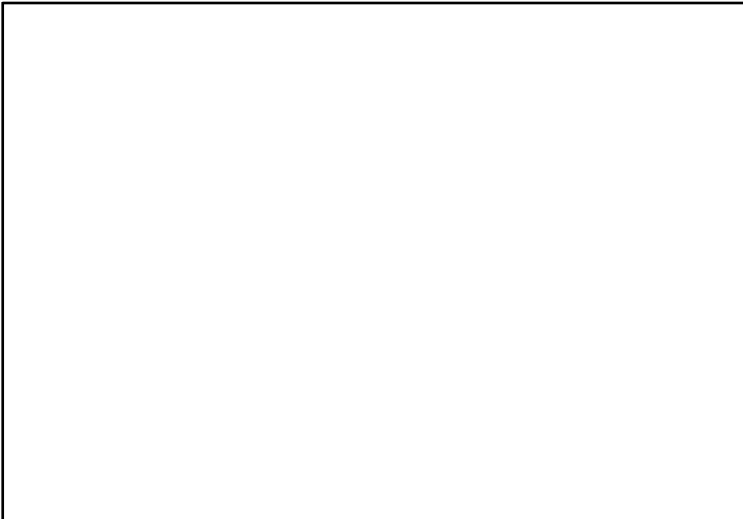
Y

Z

dos manos y un pulidor.
NO HAY DIBUJOS NI FOTOS

Dibujo

Foto





BASE DE DATOS DE ELEMENTOS

Nr. Elemento

89

Sitio

Chinikihá

Nr. Operación

144

Cuadro

Nivel métrico

50-60 cm

X

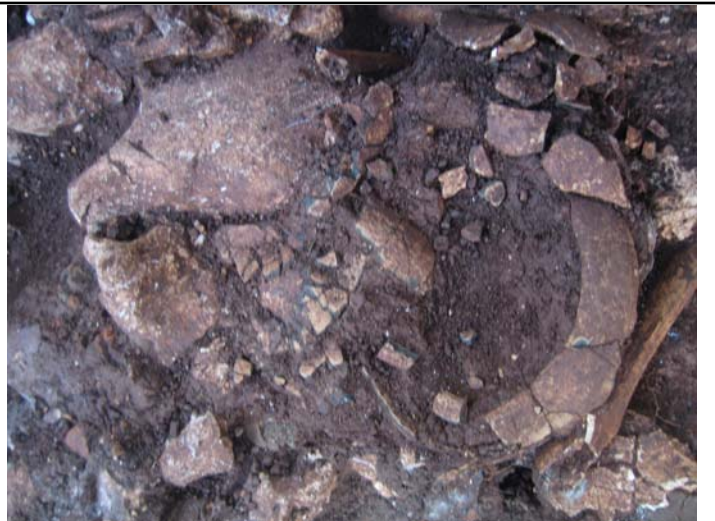
Y

Z

Cuenco en sepultura.

Dibujo

Foto





BASE DE DATOS DE ELEMENTOS

Nr. Elemento

90

Sitio

Chinikihá

Nr. Operación

144

Cuadro

Nivel métrico

50-60 cm

X

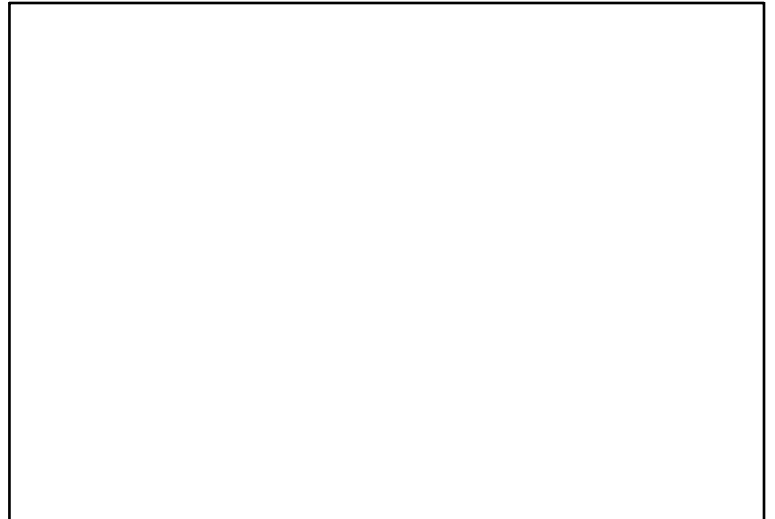
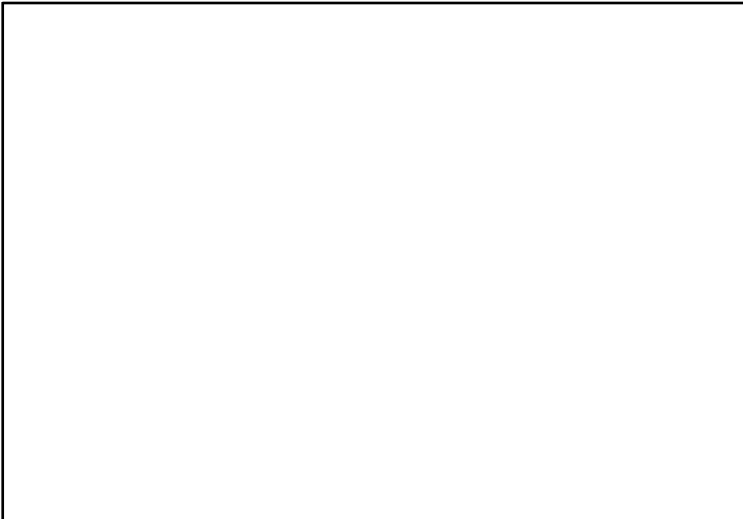
Y

Z

lítica, punta de proyectíl.
NO HAY DIBUJOS NI FOTOS

Dibujo

Foto





BASE DE DATOS DE ELEMENTOS

Nr. Elemento

91

Sitio

Chinikihá

Nr. Operación

144

Cuadro

Nivel métrico

50-60 cm

X

Y

Z

cuenta de piedra verde sepultura 8, cerámica
sepultura 8.

NO HAY DIBUJOS

Dibujo

Foto





BASE DE DATOS DE ELEMENTOS

Nr. Elemento

92

Sitio

Chinikihá

Nr. Operación

144

Cuadro

Nivel métrico

50-60 cm

X

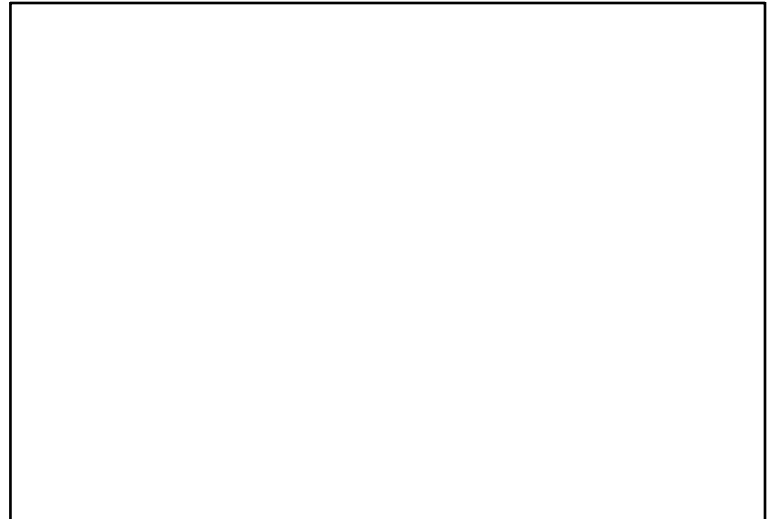
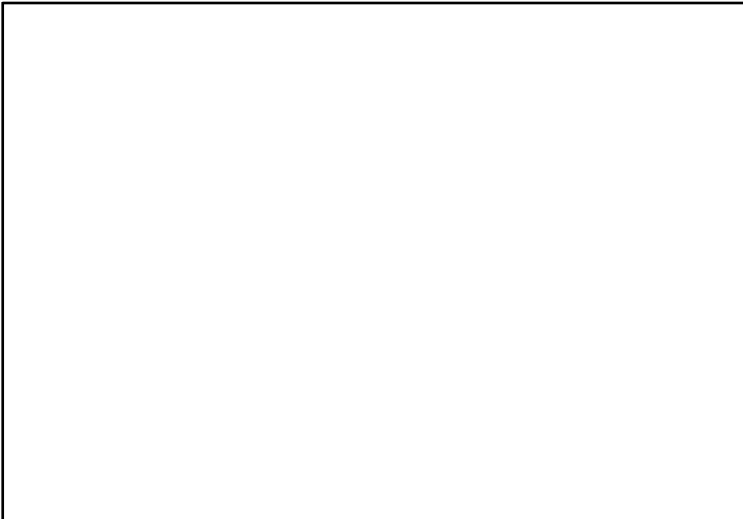
Y

Z

cerámica sepultura 8.
NO HAY DIBUJOS NI FOTOS

Dibujo

Foto





BASE DE DATOS DE ELEMENTOS

Nr. Elemento

93

Sitio

Chinikihá

Nr. Operación

144

Cuadro

Nivel métrico

50-60 cm

X

Y

Z

Olla de cerámica.
NO HAY DIBUJOS

Dibujo

Foto





BASE DE DATOS DE ELEMENTOS

Nr. Elemento

94

Sitio

Chinikihá

Nr. Operación

144

Cuadro

Nivel métrico

50-60 cm

X

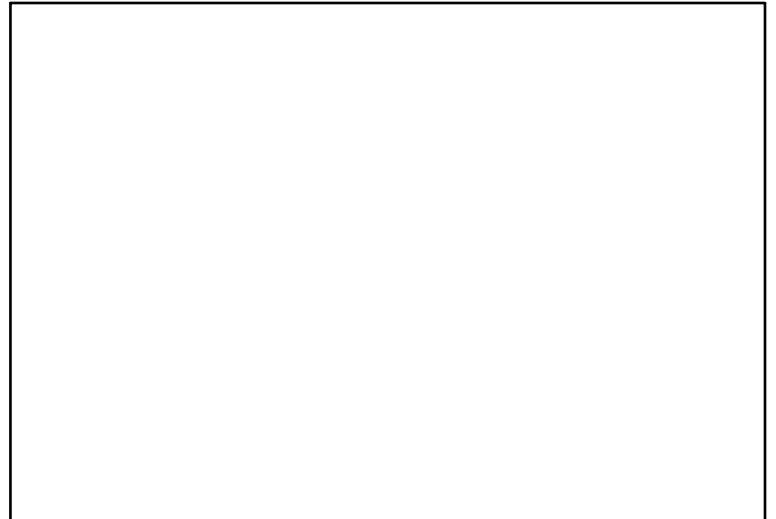
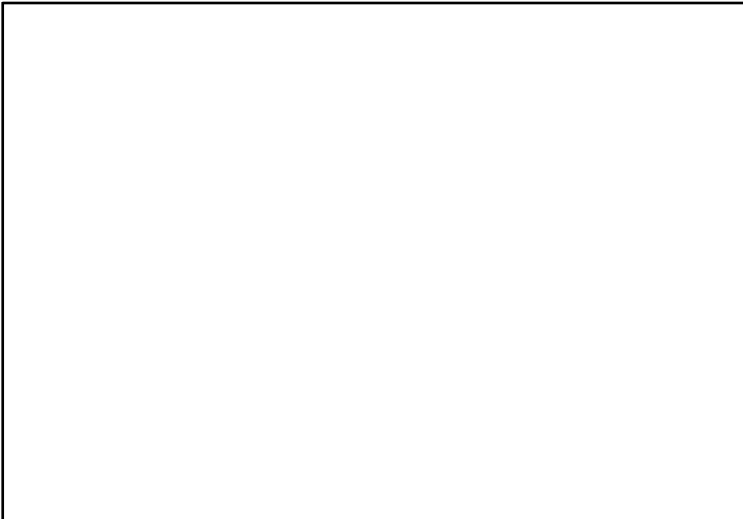
Y

Z

cerámica debajo de las lajas.
NO HAY DIBUJOS NI FOTOS

Dibujo

Foto





BASE DE DATOS DE ELEMENTOS

Nr. Elemento

95

Sitio

Chinikihá

Nr. Operación

144

Cuadro

Nivel métrico

50-60 cm

X

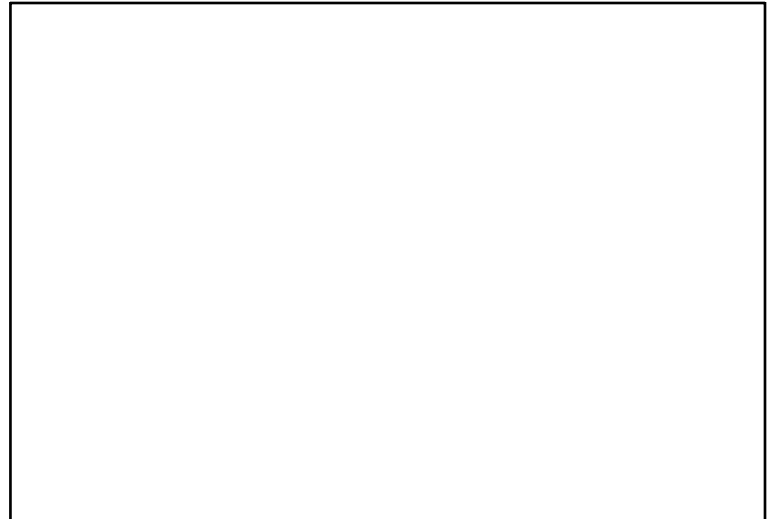
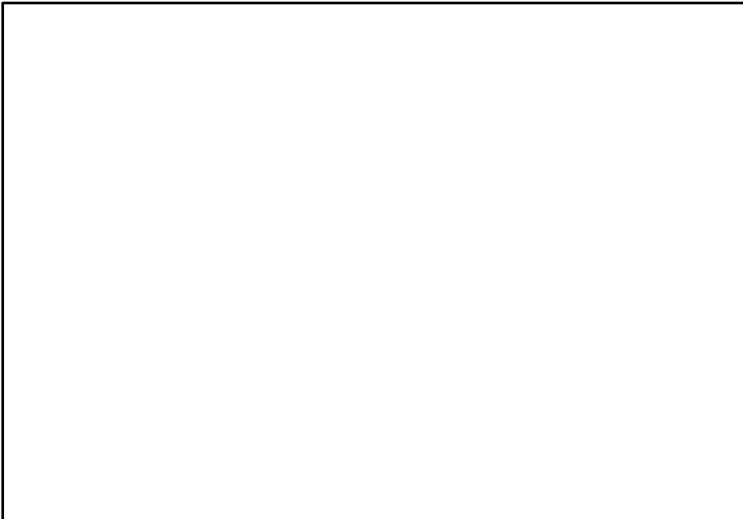
Y

Z

placa de caparazón de tortuga.
NO HAY DIBUJOS NI FOTOS

Dibujo

Foto





BASE DE DATOS DE ELEMENTOS

Nr. Elemento

96

Sitio

Chinikihá

Nr. Operación

144

Cuadro

Nivel métrico

50-60 cm

X

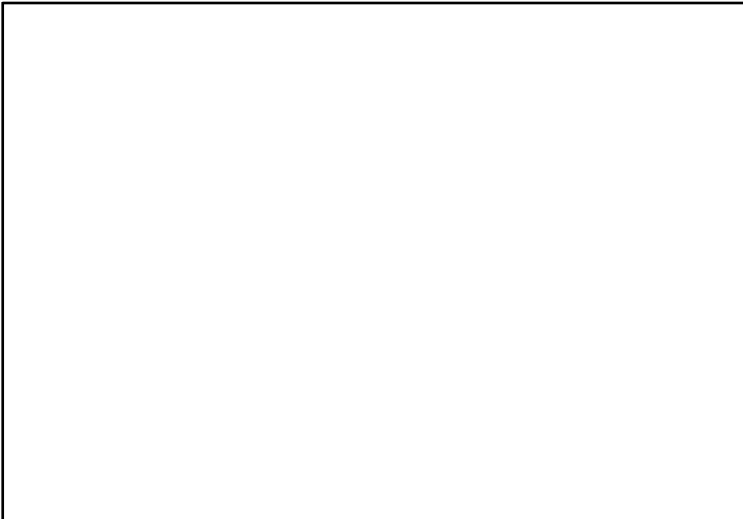
Y

Z

núcleo de obsidiana.
NO HAY DIBUJOS

Dibujo

Foto





BASE DE DATOS DE ELEMENTOS

Nr. Elemento

97

Sitio

Chinikihá

Nr. Operación

144

Cuadro

Nivel métrico

50-60 cm

X

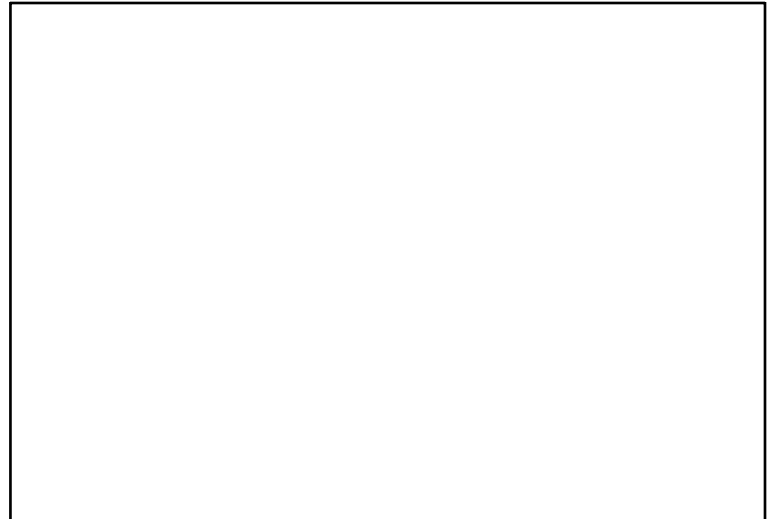
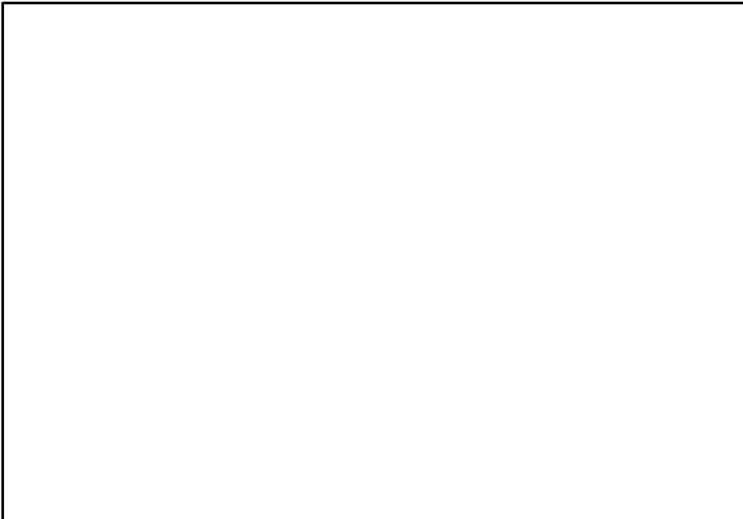
Y

Z

Carbón.
NO HAY DIBUJOS NI FOTOS

Dibujo

Foto





BASE DE DATOS DE ELEMENTOS

Nr. Elemento

98

Sitio

Chinikihá

Nr. Operación

144

Cuadro

Nivel métrico

50-60 cm

X

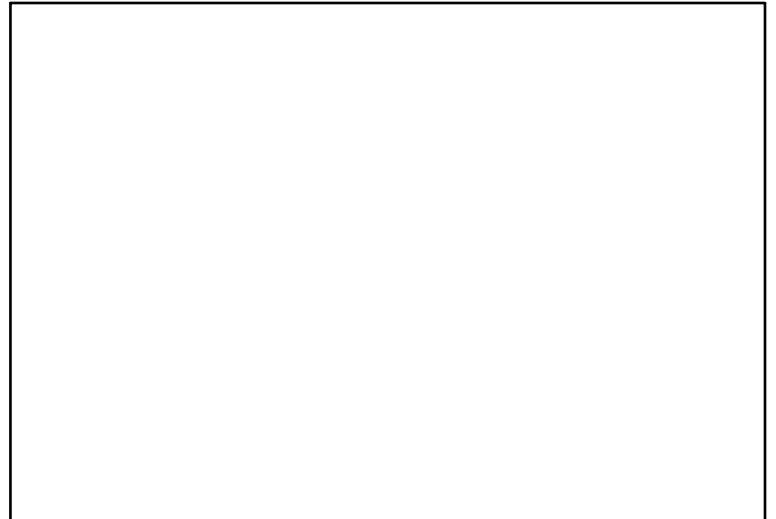
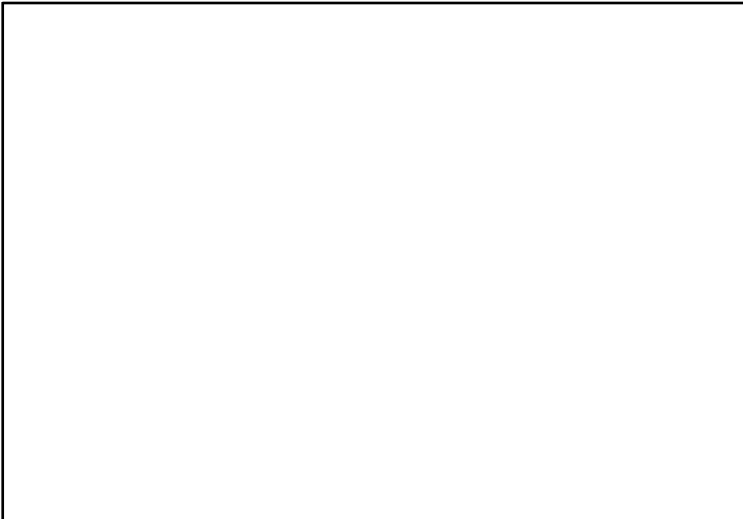
Y

Z

cerámica debajo de las lajas.
NO HAY DIBUJOS NI FOTOS

Dibujo

Foto





BASE DE DATOS DE ELEMENTOS

Nr. Elemento

99

Sitio

Chinikihá

Nr. Operación

144

Cuadro

Nivel métrico

50-60 cm

X

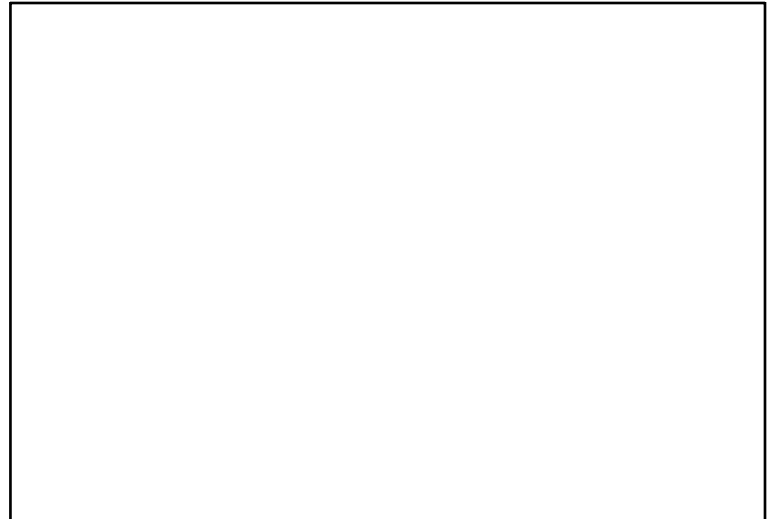
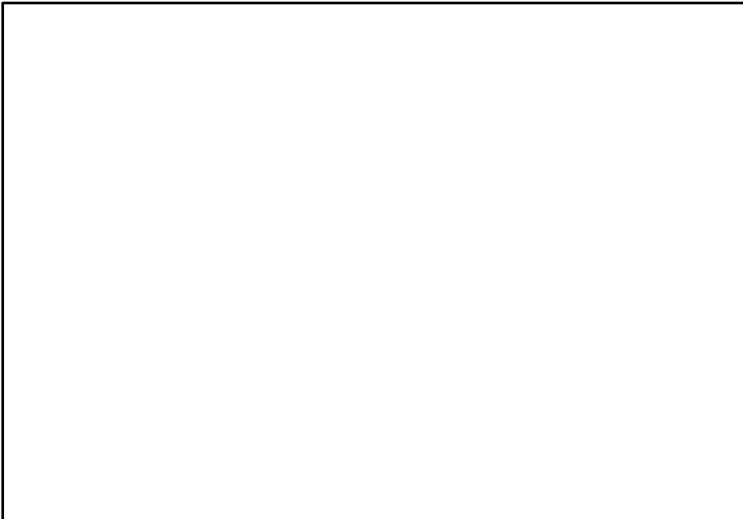
Y

Z

Lítica debajo de las lajas.
NO HAY DIBUJOS NI FOTOS

Dibujo

Foto





BASE DE DATOS DE ELEMENTOS

Nr. Elemento

100

Sitio

Chinikihá

Nr. Operación

144

Cuadro

Nivel métrico

50-60 cm

X

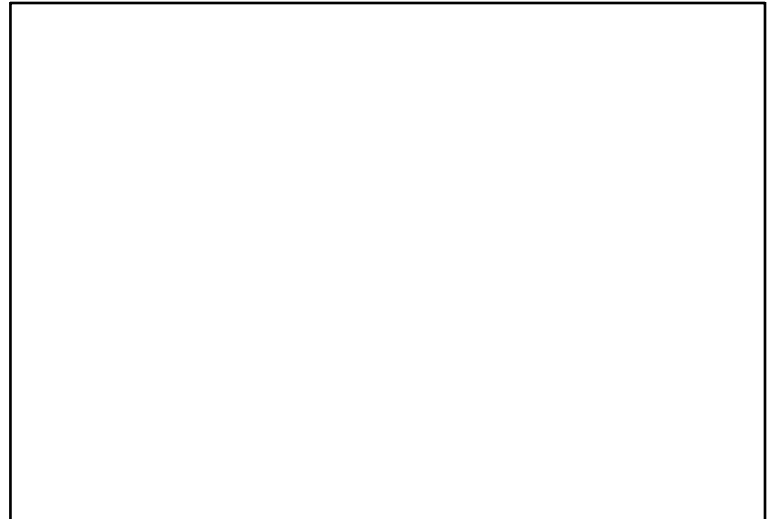
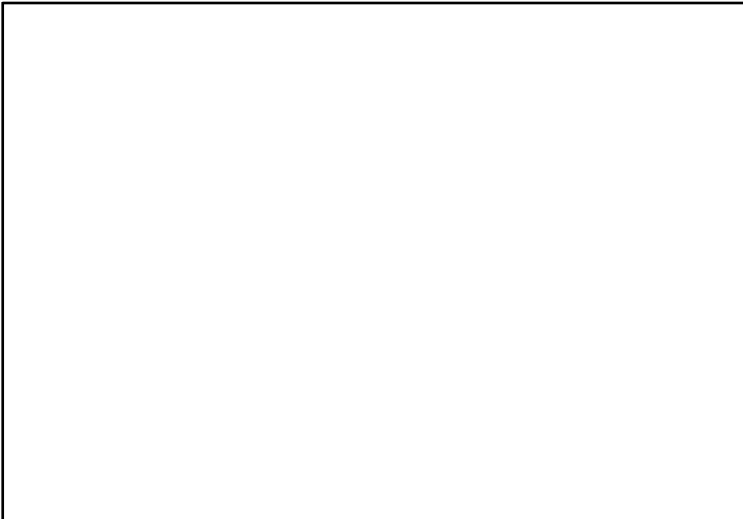
Y

Z

cerámica a nivel de la roca madre.
NOHAY DIBUJOS NI FOTOS

Dibujo

Foto





BASE DE DATOS DE ELEMENTOS

Nr. Elemento

101

Sitio

Chinikihá

Nr. Operación

161

Cuadro

C1

Nivel métrico

0-10 cm

X

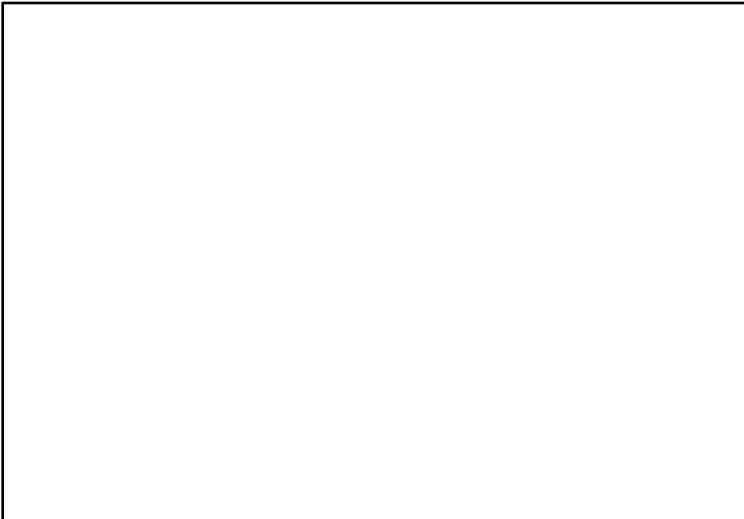
Y

Z

Núcleo pedernal.
NO HAY DIBUJOS

Dibujo

Foto





BASE DE DATOS DE ELEMENTOS

Nr. Elemento

102

Sitio

Chinikihá

Nr. Operación

161

Cuadro

C1

Nivel métrico

0-10 cm

X

Y

Z

Piedra moler.
NO HAY DIBUJOS NI FOTOS

Dibujo

Foto



BASE DE DATOS DE ELEMENTOS

Nr. Elemento

103

Sitio

Chinikihá

Nr. Operación

161

Cuadro

C1

Nivel métrico

0-10 cm

X

Y

Z

3 núcleos pedernal.
NO HAY DIBUJOS NI FOTOS

Dibujo

Foto



BASE DE DATOS DE ELEMENTOS

Nr. Elemento

104

Sitio

Chinikihá

Nr. Operación

161

Cuadro

C1

Nivel métrico

0-10 cm

X

Y

Z

Núcleo pedernal.
NO HAY DIBUJOS NI FOTOS

Dibujo

Foto



BASE DE DATOS DE ELEMENTOS

Nr. Elemento

105

Sitio

Chinikihá

Nr. Operación

161

Cuadro

C1

Nivel métrico

20-30 cm

X

Y

Z

NO HAY FOTOS NI DIBUJOS NI
DESCRIPCIÓN

Dibujo

Foto



BASE DE DATOS DE ELEMENTOS

Nr. Elemento

106

Sitio

Chinikihá

Nr. Operación

161

Cuadro

C1

Nivel métrico

30-40 cm

X

Y

Z

hacha pedernal.
NO HAY DIBUJOS NI FOTOS.

Dibujo

Foto



BASE DE DATOS DE ELEMENTOS

Nr. Elemento

107

Sitio

Chinikihá

Nr. Operación

161

Cuadro

C1

Nivel métrico

40-50 cm

X

Y

Z

hacha pedernal.
NO HAY DIBUJOS NI FOTOS

Dibujo

Foto



BASE DE DATOS DE ELEMENTOS

Nr. Elemento

108

Sitio

Chinikihá

Nr. Operación

161

Cuadro

C1

Nivel métrico

50-60 cm

X

Y

Z

concentración cerámica.
NO HAY DIBUJOS NI FOTOS

Dibujo

Foto



BASE DE DATOS DE ELEMENTOS

Nr. Elemento

109

Sitio

Chinikihá

Nr. Operación

161

Cuadro

C1

Nivel métrico

60-70 cm

X

Y

Z

mano y piedra de moler.
NO HAY FOTOS NI DIBUJOS

Dibujo

Foto



BASE DE DATOS DE ELEMENTOS

Nr. Elemento

110

Sitio

Chinikihá

Nr. Operación

161

Cuadro

C1

Nivel métrico

70-80 cm

X

Y

Z

hacha pedernal.
NO HAY FOTOS NI DIBUJOS

Dibujo

Foto



BASE DE DATOS DE ELEMENTOS

Nr. Elemento

111

Sitio

Chinikihá

Nr. Operación

161

Cuadro

C1

Nivel métrico

80-90 cm

X

Y

Z

Núcleos pedernal, 2 piedras de moler.
NO HAY DIBUJOS NI FOTOS

Dibujo

Foto



BASE DE DATOS DE ELEMENTOS

Nr. Elemento

112

Sitio

Chinikihá

Nr. Operación

161

Cuadro

C1

Nivel métrico

20-30 cm

X

Y

Z

lítica núcleos, hachas, lascas.
NO HAY FOTOS NI DIBUJOS

Dibujo

Foto



BASE DE DATOS DE ELEMENTOS

Nr. Elemento

113

Sitio

Chinikihá

Nr. Operación

161

Cuadro

C1

Nivel métrico

20-30 cm

X

Y

Z

2 fragmentos de mano.
NO HAY DIBUJOS NI FOTOS.

Dibujo

Foto



BASE DE DATOS DE ELEMENTOS

Nr. Elemento

114

Sitio

Chinikihá

Nr. Operación

161

Cuadro

C1

Nivel métrico

20-30 cm

X

Y

Z

pedras de moler.
NO HAY DIBUJOS NI FOTOS

Dibujo

Foto



BASE DE DATOS DE ELEMENTOS

Nr. Elemento

115

Sitio

Chinikihá

Nr. Operación

161

Cuadro

2

Nivel métrico

30-40 cm

X

Y

Z

fragmento de mano asociado a metate. NO
HAY FOTOS NI DIBUJOS

Dibujo

Foto



BASE DE DATOS DE ELEMENTOS

Nr. Elemento

116

Sitio

Chinikihá

Nr. Operación

161

Cuadro

c3

Nivel métrico

40-50 cm

X

Y

Z

concentración de xutes.
NO HAY FOTOS NI DIBUJOS

Dibujo

Foto



BASE DE DATOS DE ELEMENTOS

Nr. Elemento

117

Sitio

Chinikihá

Nr. Operación

161

Cuadro

c7

Nivel métrico

X

Y

Z

cerámica.
NO HAY DIBUJOS NI FOTOS.

Dibujo

Foto



BASE DE DATOS DE ELEMENTOS

Nr. Elemento

118

Sitio

Chinikihá

Nr. Operación

161

Cuadro

c11

Nivel métrico

X

Y

Z

obsidiana,concentración.
NO HAY DIBUJOS NI FOTOS

Dibujo

Foto



BASE DE DATOS DE ELEMENTOS

Nr. Elemento

119

Sitio

Chinikihá

Nr. Operación

161

Cuadro

c11

Nivel métrico

X

Y

Z

Ítica, mano de metate.
NO HAY DIBUJOS NI FOTOS

Dibujo

Foto



BASE DE DATOS DE ELEMENTOS

Nr. Elemento

120

Sitio

Chinikihá

Nr. Operación

161

Cuadro

C8

Nivel métrico

X

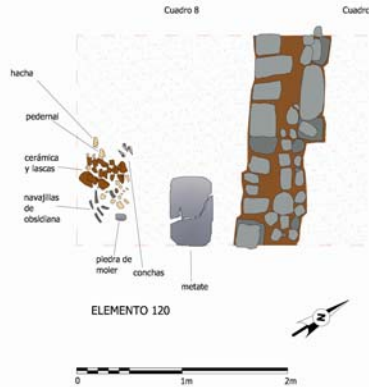
Y

Z

metate parte 1 y 2, lítica y obsidiana,
cerámica y 2 cabezas de figurilla.

Dibujo

Foto



ELEMENTO 120

Proyecto Arqueológico
Chinikihá
Op. 161
Elemento 120





BASE DE DATOS DE ELEMENTOS

Nr. Elemento

121

Sitio

Chinikihá

Nr. Operación

167

Cuadro

c8

Nivel métrico

10-20 cm

X

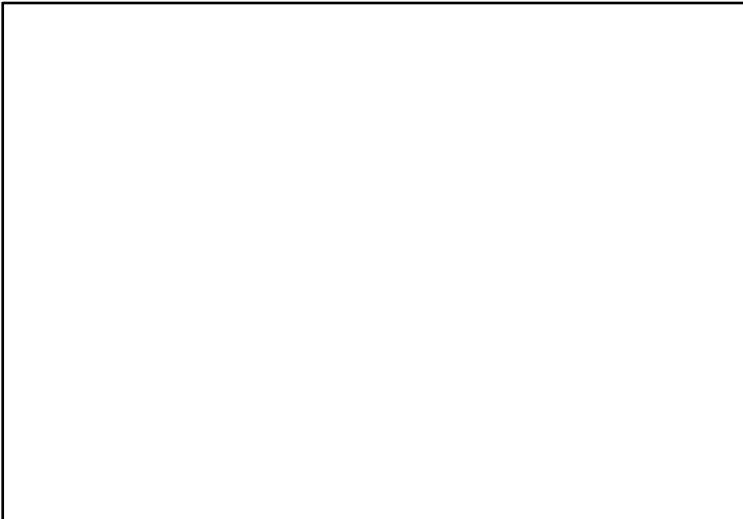
Y

Z

mancha cerámica, última línea escalinata. NO
HAY DIBUJOS

Dibujo

Foto





BASE DE DATOS DE ELEMENTOS

Nr. Elemento

151

Sitio

Chinikihá

Nr. Operación

158

Cuadro

Nivel métrico

40-60 CM

X

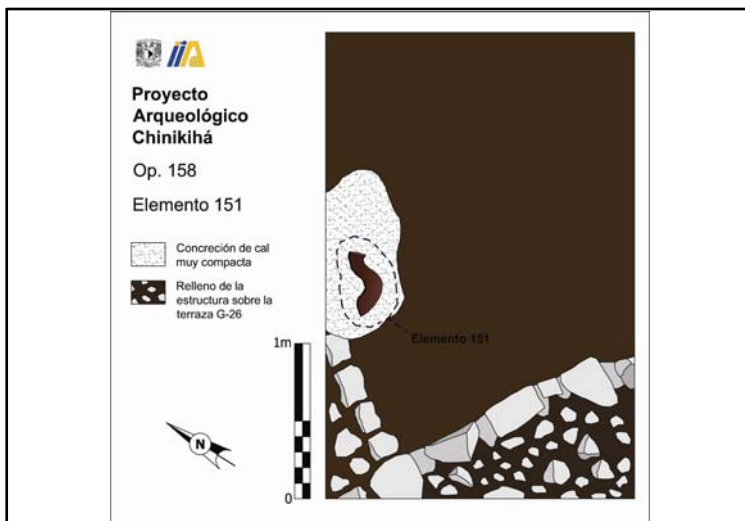
Y

Z

olla completa con cal.

Dibujo

Foto





BASE DE DATOS DE ELEMENTOS

Nr. Elemento

152

Sitio

Chinikihá

Nr. Operación

158

Cuadro

Nivel métrico

40-60 CM

X

Y

Z

Material dentro de la olla.
NO HAY FOTOS NI DIBUJOS

Dibujo

Foto



BASE DE DATOS DE ELEMENTOS

Nr. Elemento

200

Sitio

Boca Chinikihá

Nr. Operación

214

Cuadro

Nivel métrico

X

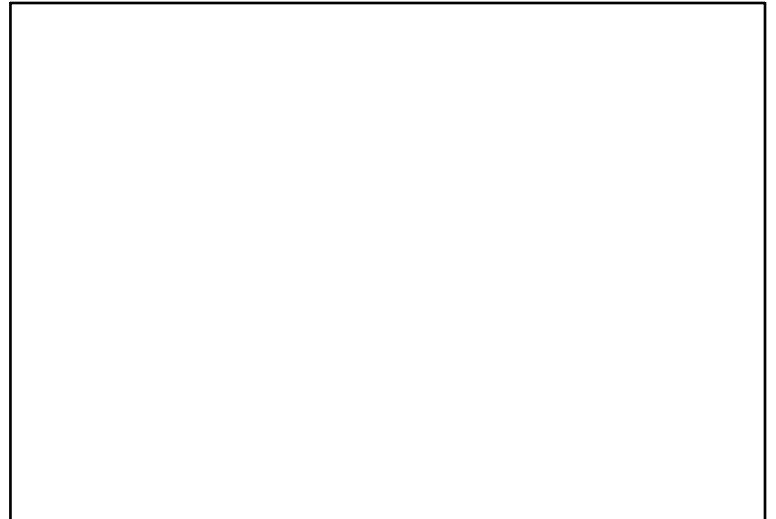
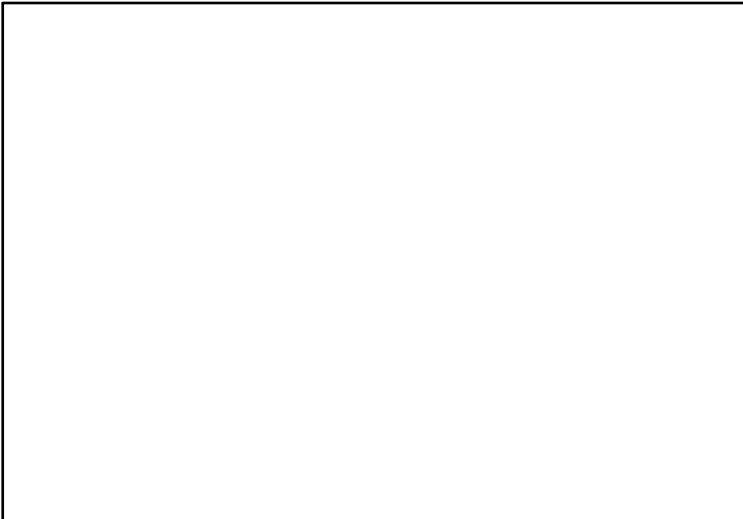
Y

Z

ceramica (fragmento de incensario). NO HAY
DIBUJOS NI FOTOS

Dibujo

Foto





BASE DE DATOS DE ELEMENTOS

Nr. Elemento

201

Sitio

Boca Chinikihá

Nr. Operación

216

Cuadro

Nivel métrico

50-60 cm

X

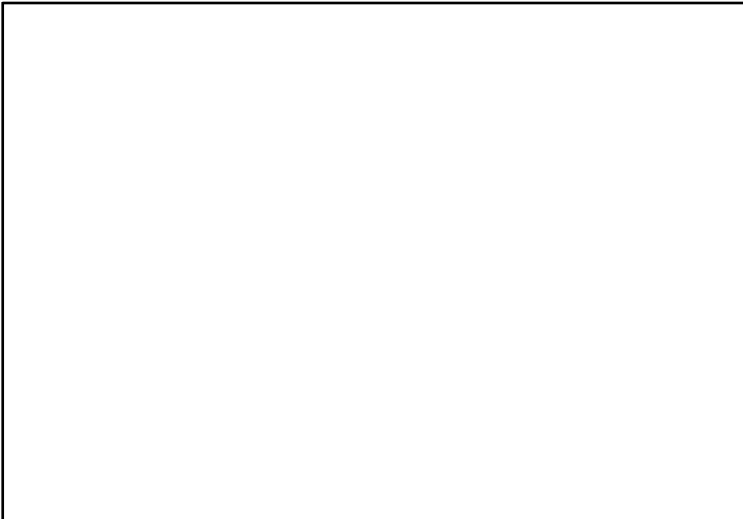
Y

Z

concentracion ceramica.
NO HAY DIBUJOS

Dibujo

Foto





BASE DE DATOS DE ELEMENTOS

Nr. Elemento

202

Sitio

Boca Chinikihá

Nr. Operación

216

Cuadro

Nivel métrico

50-60 cm

X

Y

Z

mandibula de venado.
NO HAY DIBUJOS

Dibujo

Foto





BASE DE DATOS DE ELEMENTOS

Nr. Elemento

203

Sitio

Boca Chinikihá

Nr. Operación

216

Cuadro

Nivel métrico

X

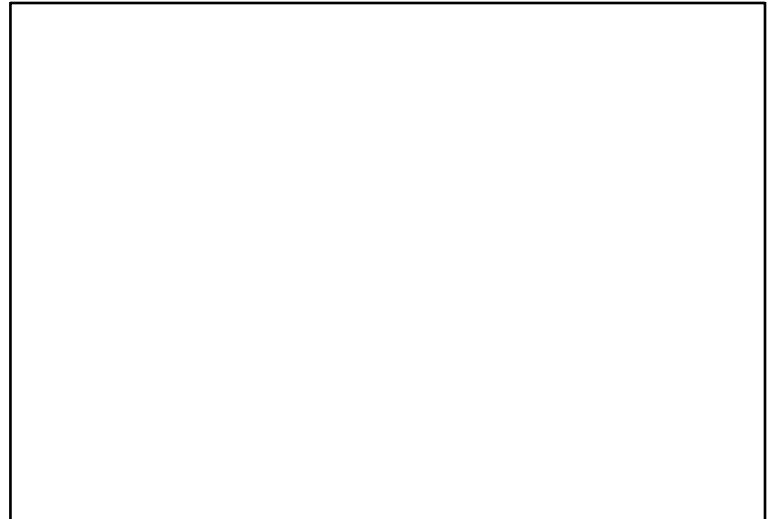
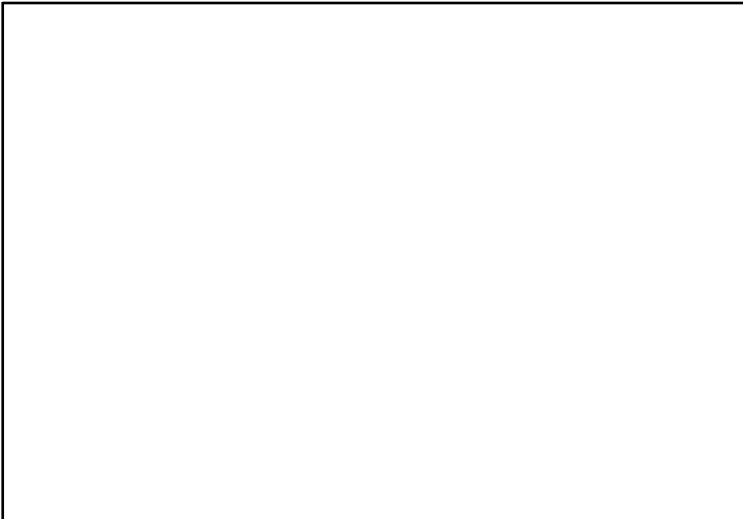
Y

Z

aguja de hueso.
NO HAY DIBUJOS NI FOTOS

Dibujo

Foto





BASE DE DATOS DE ELEMENTOS

Nr. Elemento

251

Sitio

Boca Chinikihá

Nr. Operación

209

Cuadro

Nivel métrico

20-30 cm

X

Y

Z

ceramica (fondo de plato con soporte).
NO HAY DIBUJO

Dibujo

Foto





BASE DE DATOS DE ELEMENTOS

Nr. Elemento

252

Sitio

Boca Chinikihá

Nr. Operación

213

Cuadro

Nivel métrico

10-20 cm

X

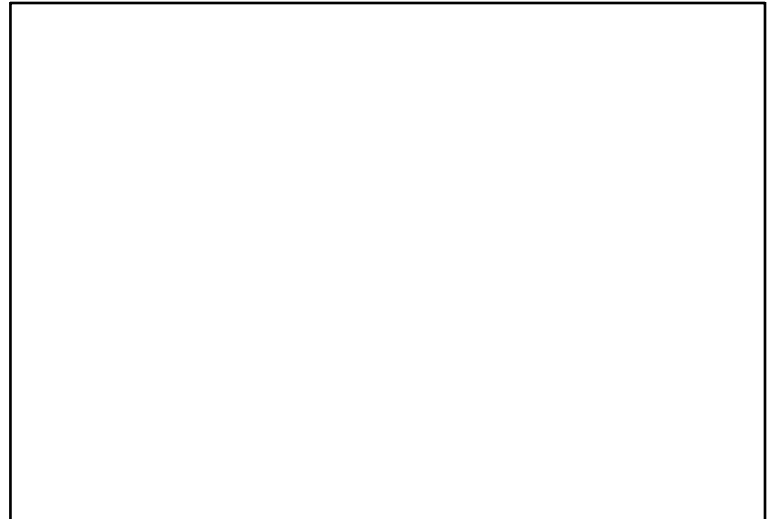
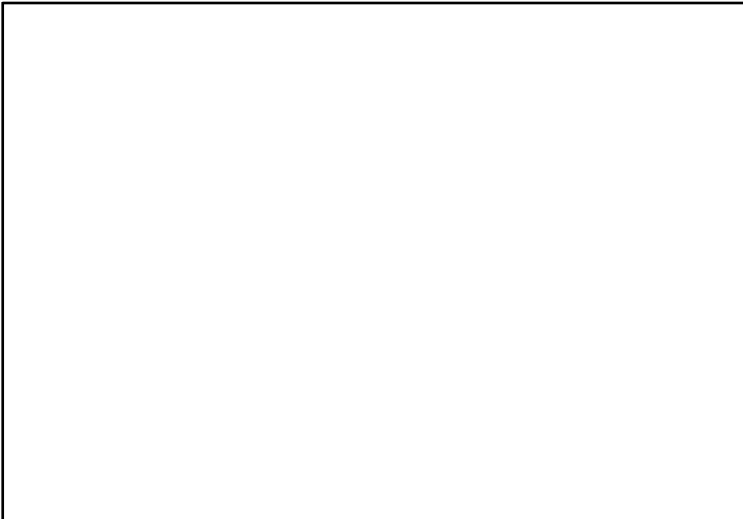
Y

Z

mano de metate.
NO HAY DIBUJOS NI FOTOS

Dibujo

Foto





BASE DE DATOS DE ELEMENTOS

Nr. Elemento

253

Sitio

Boca Chinikihá

Nr. Operación

213

Cuadro

Nivel métrico

10-20 cm

X

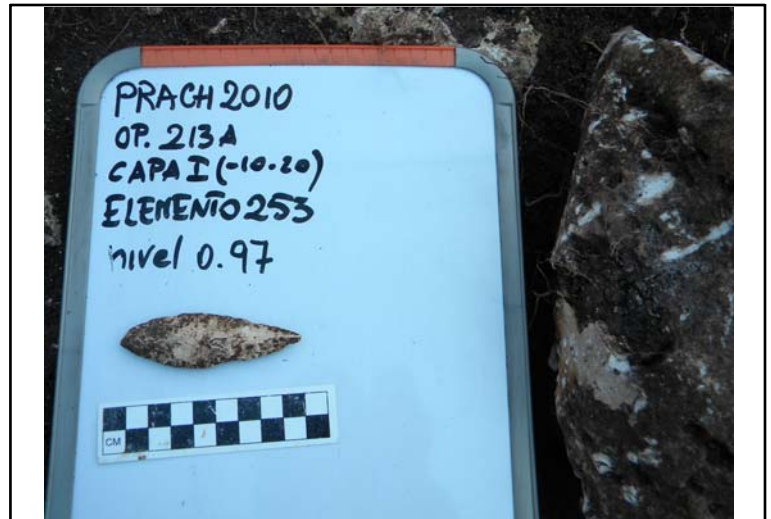
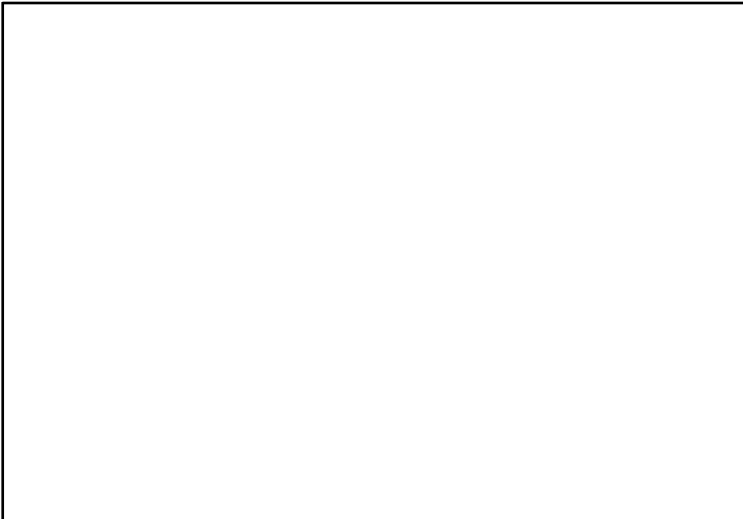
Y

Z

litica-punta de pedernal. NO HAY DIBUJOS

Dibujo

Foto





BASE DE DATOS DE ELEMENTOS

Nr. Elemento

48-2

Sitio

Chinikihá

Nr. Operación

122

cerámica, hueso, lítica. NO HAY FOTOS

Cuadro

1

Nivel métrico

0-20 cm

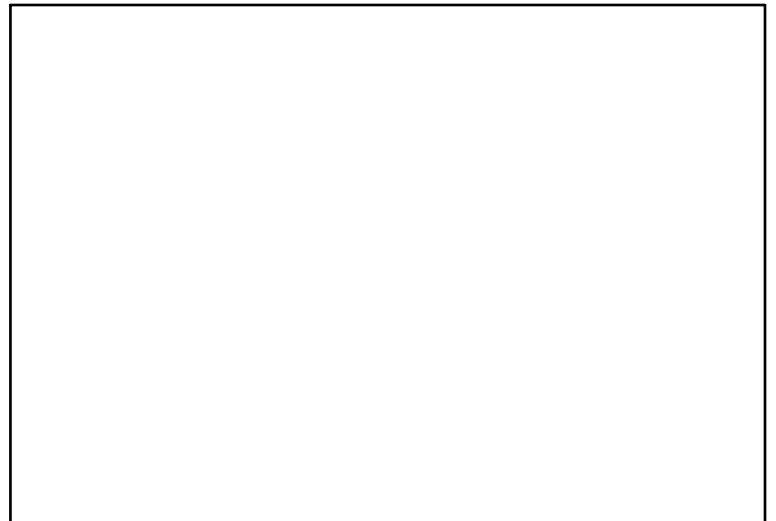
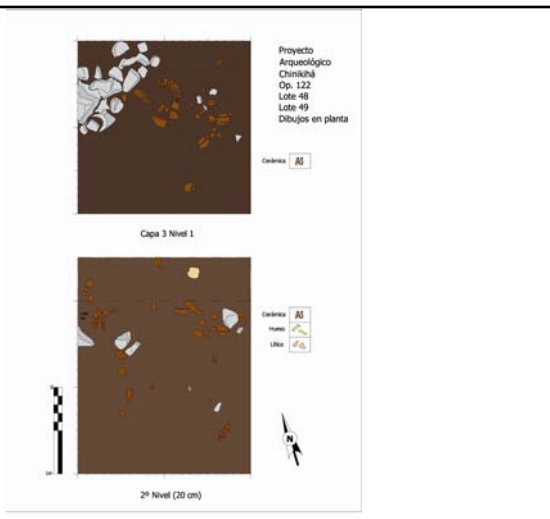
X

Y

Z

Dibujo

Foto





BASE DE DATOS DE ELEMENTOS

Nr. Elemento

2417

Sitio

Boca Chinikihá

Nr. Operación

220

Cuadro

Nivel métrico

30-40 cm

X

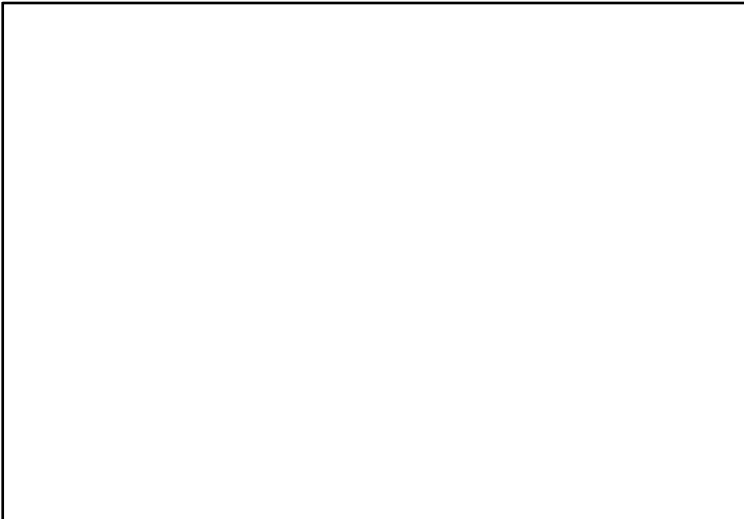
Y

Z

vasija (cajete) casi completa.
NO HAY DIBUJOS

Dibujo

Foto





BASE DE DATOS DE ELEMENTOS

Nr. Elemento

45/46

Sitio

Chinikihá

Nr. Operación

114b

Cuadro

J4, K4

Nivel métrico

0-20 cm

X

Y

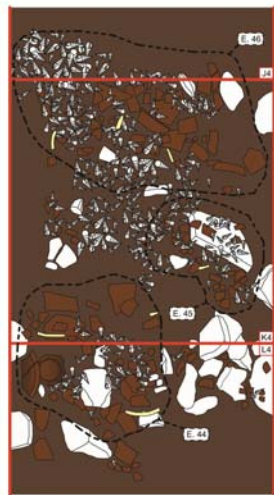
Z

Concha, hueso, lítica y cerámica.

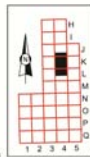
NO HAY FOTOS

Dibujo

Foto



Proyecto Arqueológico
Chinikihá
Operación 114b
Elementos 44, 45 y 46



Cédula de Conjunto arquitectónico

Sitio Chinikihá

Conjunto CHK/G1

Tipo de Conjunto Basal

Emplazamiento Ladera de cerro

Preparación del terreno Basamento artificial

N estructuras 1

Área espacio compartido/
espacio disponible (m2) 199,4

Existe una estructura sobresaliente No Nr. Estructura sobresaliente No

Porque sobresale

Distancia mínima de otro conjunto (m) 25,9

Excavado No

Operación(es)

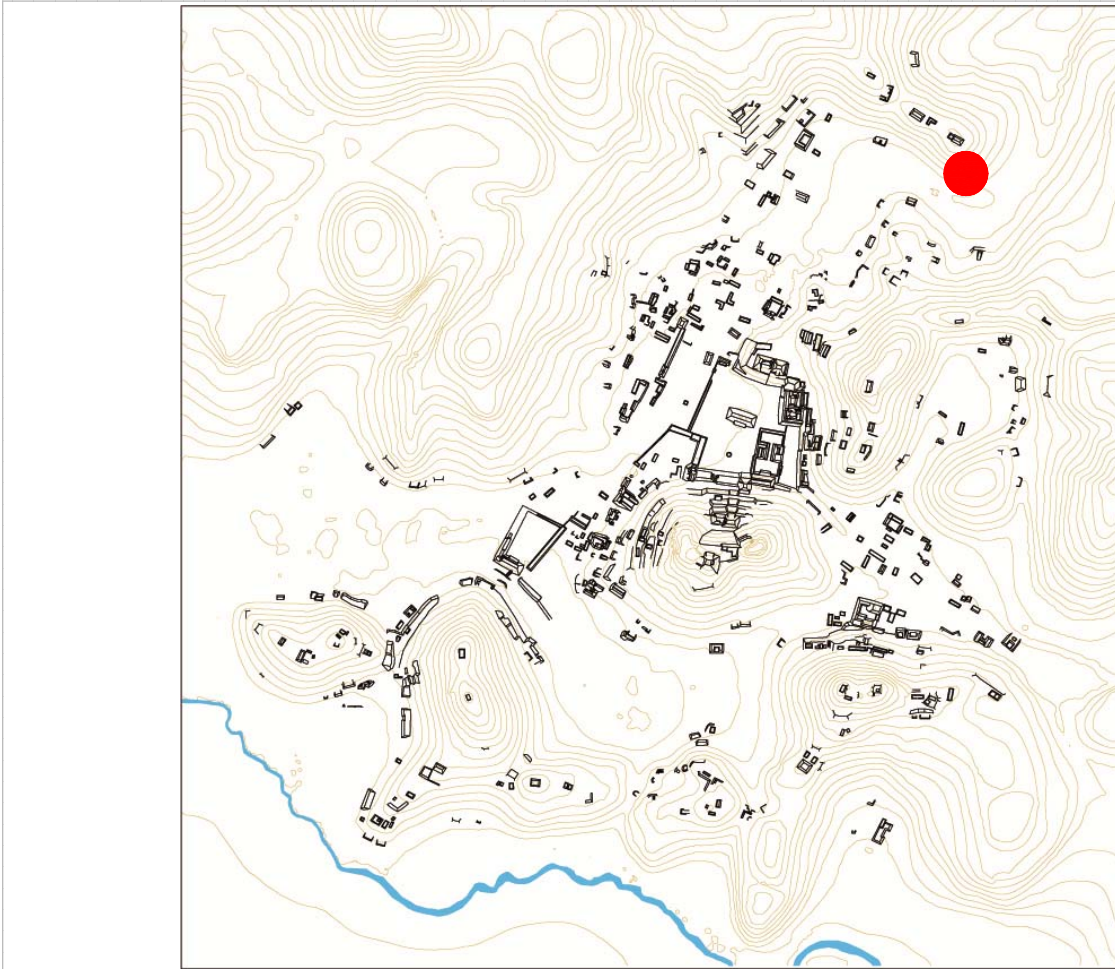
Estructuras de este Conjunto

Estructura	Área	Altura	Volumen	Tipo de estructura
G-21	320,85	Mts2 1	Mts 320,85	Mts3 plataforma basal
G-21a	80,51	Mts2 ,3	Mts 24,153	Mts3 plataforma rectangular

Observaciones

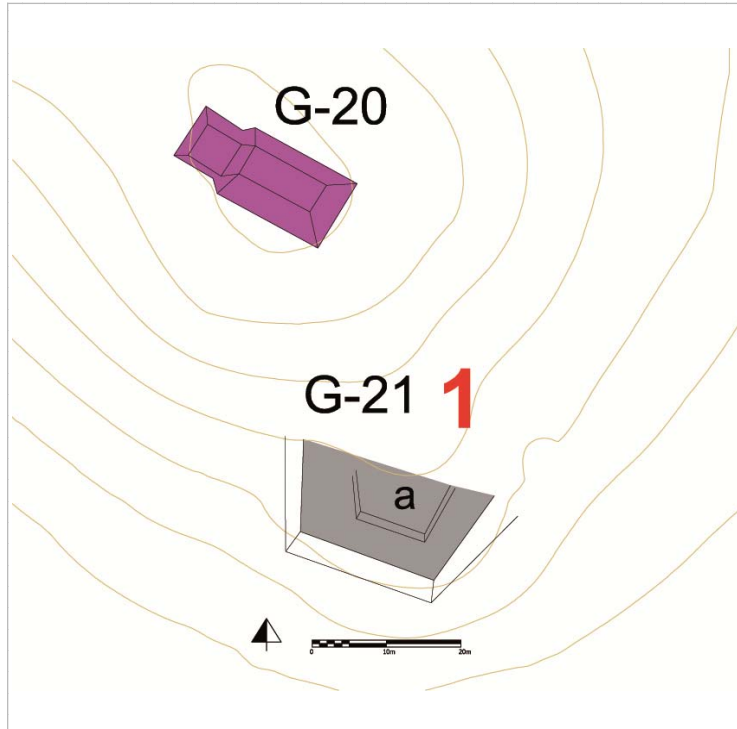
El conjunto es uno de los ejemplo del tipo "Basal" que soporta una sola estructura. El basamento es artificial, la mampostería es somera y los sillares burdamente careados. En correspondencia de este conjunto se encontraron fragmentos de metate. Se encuentra en una posición que permite la observación del acceso Norte al sitio.

Localización en el sitio



Mapa

Fotografía conjunto



Cédula de Conjunto arquitectónico

Sitio Chinikihá

Conjunto CHK/G2

Tipo de Conjunto Lineal

Emplazamiento Cima de cerro

Preparación del terreno Nignuna

N estructuras 3

Área espacio compartido/
espacio disponible (m2)

Existe una estructura sobresaliente G 18 Nr. Estructura sobresaliente G 18

Porque sobresale Volumen constructivo

Distancia mínima de otro conjunto (m) 25,9

Excavado No

Operación(es)

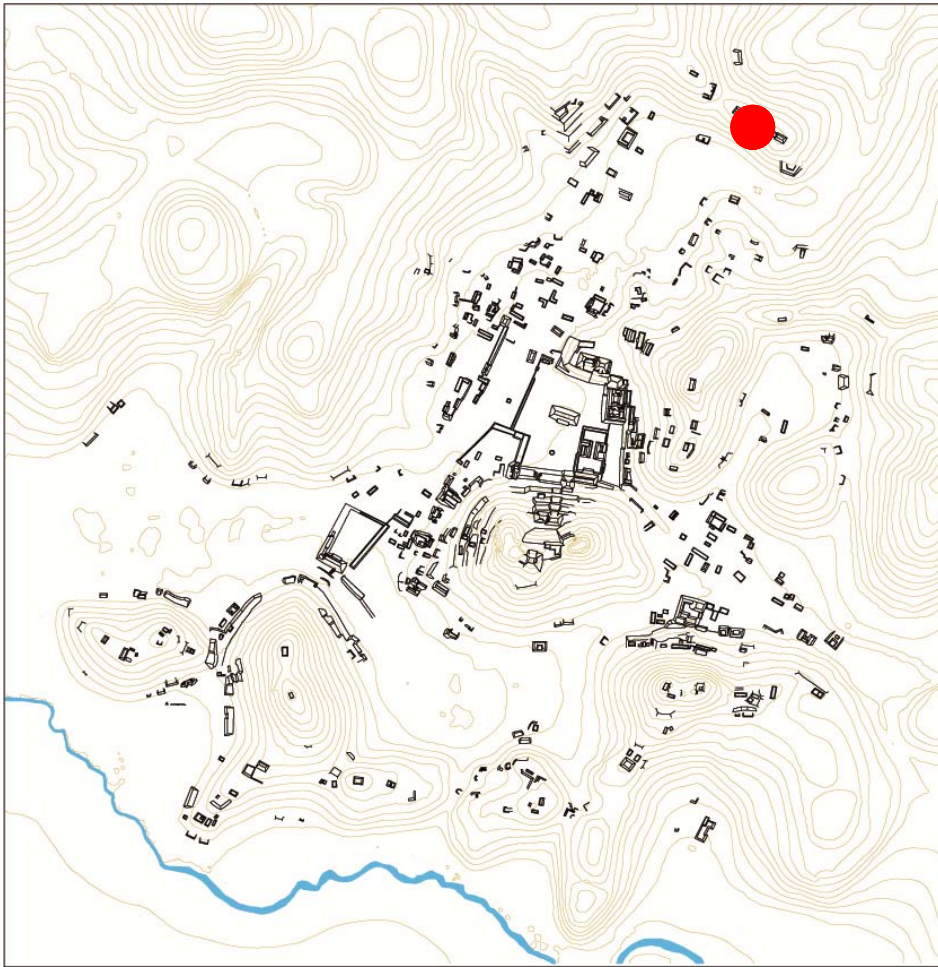
Estructuras de este Conjunto

Estructura	Área	Altura	Volumen	Tipo de estructura
G-18	223,74	Mts2 1,2	Mts 268,488	Mts3 plataforma rectangular
G-19	138,88	Mts2 ,5	Mts 69,44	Mts3 plataforma en forma de L
G-20	231,29	Mts2 ,7	Mts 161,903	Mts3 plataforma rectangular

Observaciones

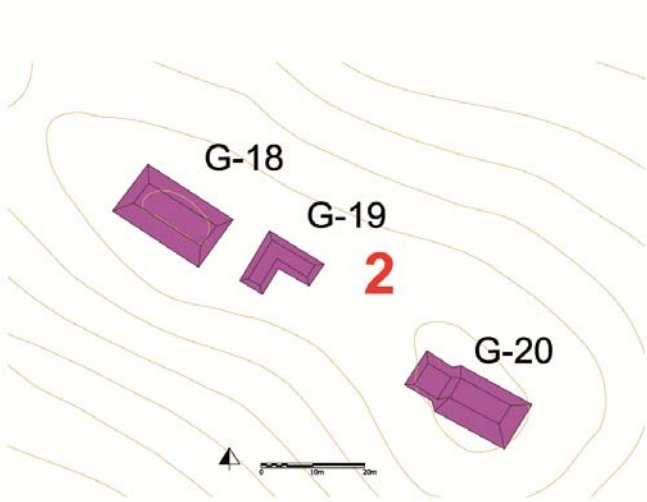
Se trata de un conjunto que domina desde la altura el límite Norte del sitio; de aquí se puede observar la planicie en donde se insinua Pomoná, al Norte, y todo el asentamiento hacia el Sur. En correspondencia de la estr. G-20 se encontraron restos de metate.

Localización en el sitio



Mapa

Fotografía conjunto



Cédula de Conjunto arquitectónico

Sitio Chinikihá

Conjunto CHK/G3

Tipo de Conjunto Patio

Emplazamiento Cima de cerro

Preparación del terreno Basamento parcialmente artificial
Contención

N estructuras 2

Área espacio compartido/
espacio disponible (m2) 166

Existe una estructura sobresaliente No Nr. Estructura sobresaliente No

Porque sobresale

Distancia mínima de otro conjunto (m) 22,4

Excavado Si

Operación(es) 158

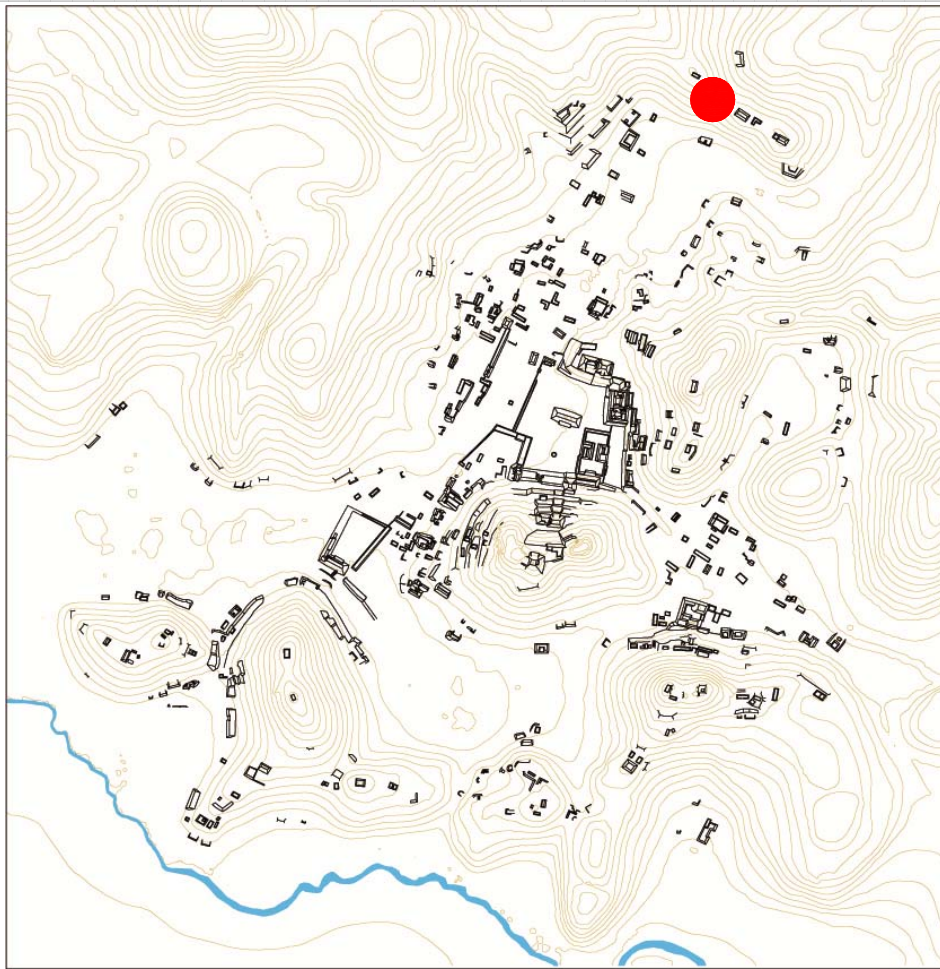
Estructuras de este Conjunto

Estructura	Área	Altura	Volumen	Tipo de estructura
G-26	284,4	Mts2 ,5	Mts 142,2	Mts3 plataforma rectangular
G-26a	35,26	Mts2 ,2	Mts 7,052	Mts3 plataforma rectangular
G-26b	20,16	Mts2 ,3	Mts 6,048	Mts3 plataforma rectangular

Observaciones

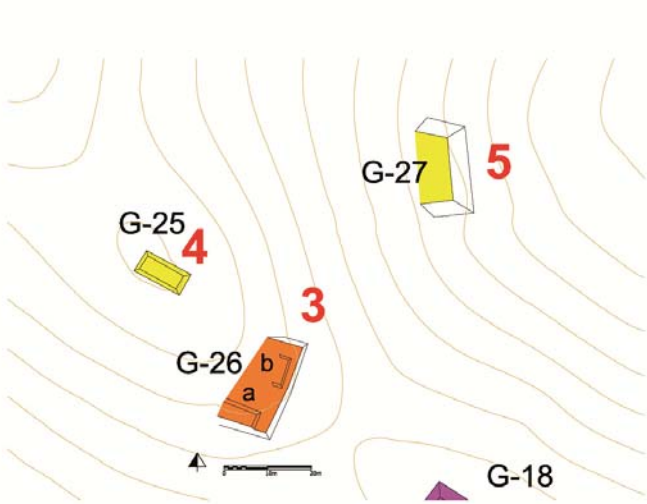
Este conjunto representa uno de los casos en los que la posición recíproca de dos estructuras y su emplazamiento, enfatizado por la topografía reutilizada, se pueden definir como un conjunto tipo patio. En la estr. G-26a se llevó a cabo la operación TOT que descubrió parte del muro norte de la plataforma.

Localización en el sitio



Mapa

Fotografía conjunto



Cédula de Conjunto arquitectónico

Sitio

Conjunto

Tipo de Conjunto

Emplazamiento

Preparación del terreno

N estructuras

Área espacio compartido/
espacio disponible (m2)

Existe una estructura sobresaliente

Nr. Estructura sobresaliente

Porque sobresale

Distancia mínima de otro conjunto (m)

Excavado

Operación(es)

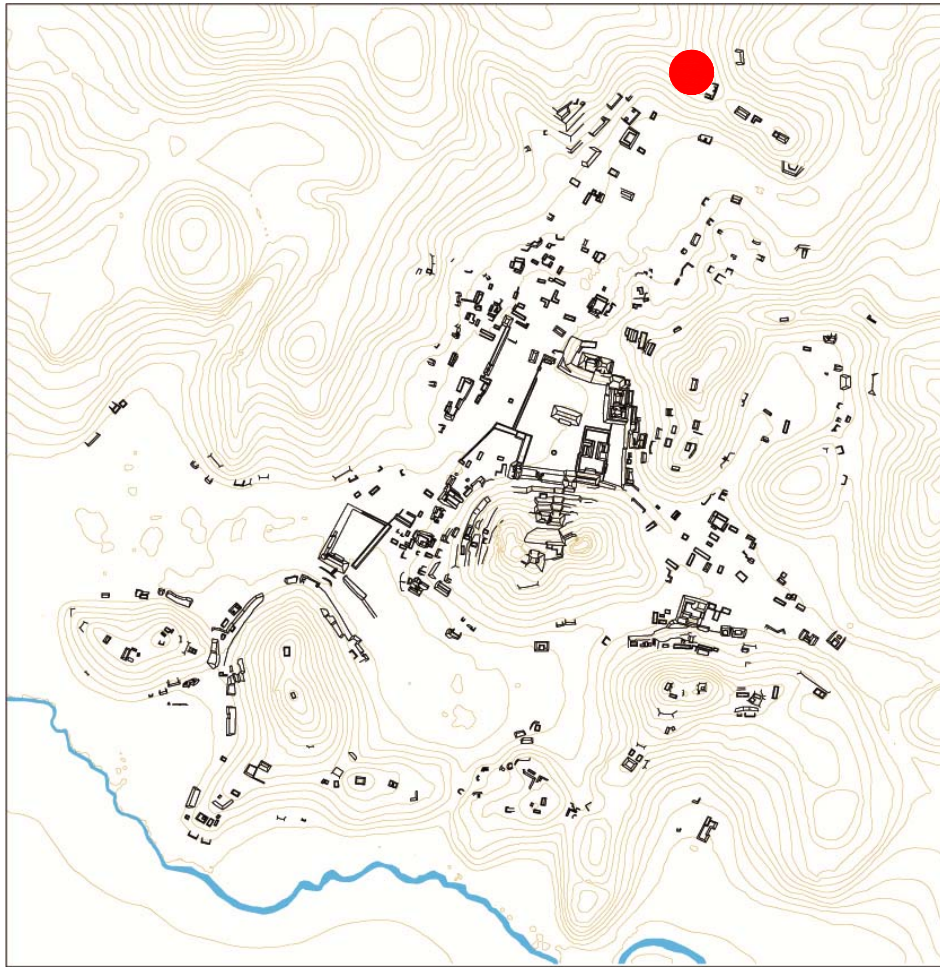
Estructuras de este Conjunto

Estructura	Área	Altura	Volumen	Tipo de estructura
G-25	63,72	Mts2 ,6	Mts 38,232	Mts3 plataforma rectangular

Observaciones

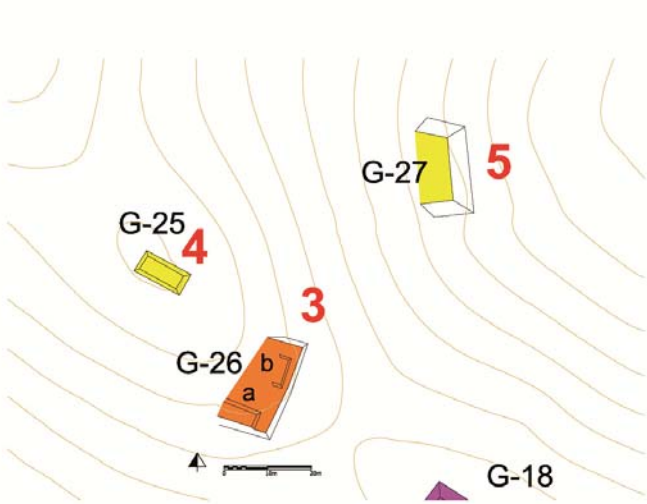
Por la lejanía de otros conjuntos y la posición entre ellos, podemos decir que se trata de una plataforma aislada, en una posición dominante con respecto al sitio y sus alrededores.

Localización en el sitio



Mapa

Fotografía conjunto



Cédula de Conjunto arquitectónico

Sitio

Conjunto

Tipo de Conjunto

Emplazamiento

Preparación del terreno

N estructuras

Área espacio compartido/
espacio disponible (m2)

Existe una estructura sobresaliente Nr. Estructura sobresaliente

Porque sobresale

Distancia mínima de otro conjunto (m)

Excavado

Operación(es)

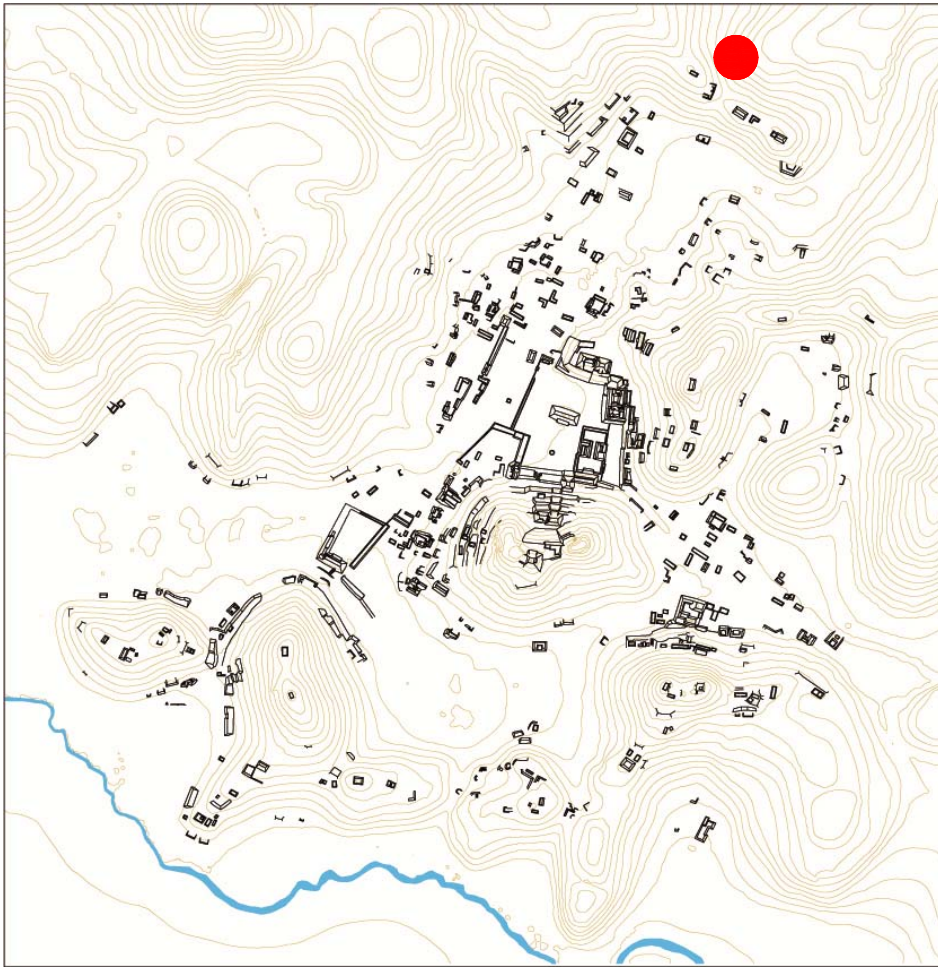
Estructuras de este Conjunto

Estructura	Área	Altura	Volumen	Tipo de estructura
G-27	182	Mts2 2	Mts 364	Mts3 plataforma rectangular

Observaciones

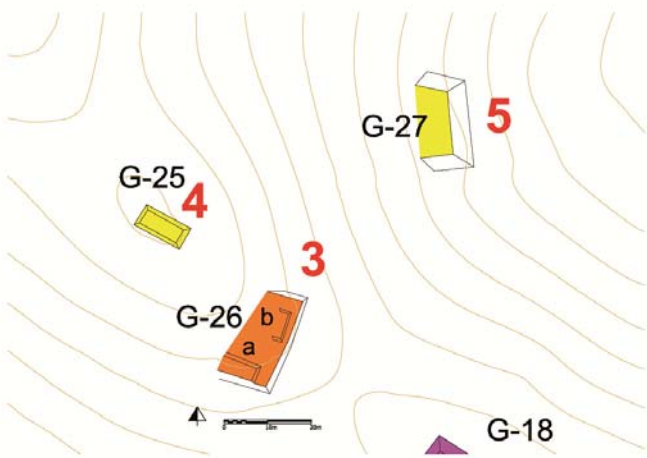
La estructura se encuentra en un mal estado de conservación, lo que no permite apreciar completamente sus características formales. Sin embargo por su posición en la ladera del cerro Norte del sitio, hacia el exterior del mismo, podemos decir que para su construcción se aprovechó algún afloramiento que se acondicionó.

Localización en el sitio



Mapa

Fotografía conjunto



Cédula de Conjunto arquitectónico

Sitio

Conjunto

Tipo de Conjunto

Emplazamiento

Preparación del terreno

N estructuras

Área espacio compartido/
espacio disponible (m2)

Existe una estructura sobresaliente Nr. Estructura sobresaliente

Porque sobresale

Distancia mínima de otro conjunto (m)

Excavado

Operación(es)

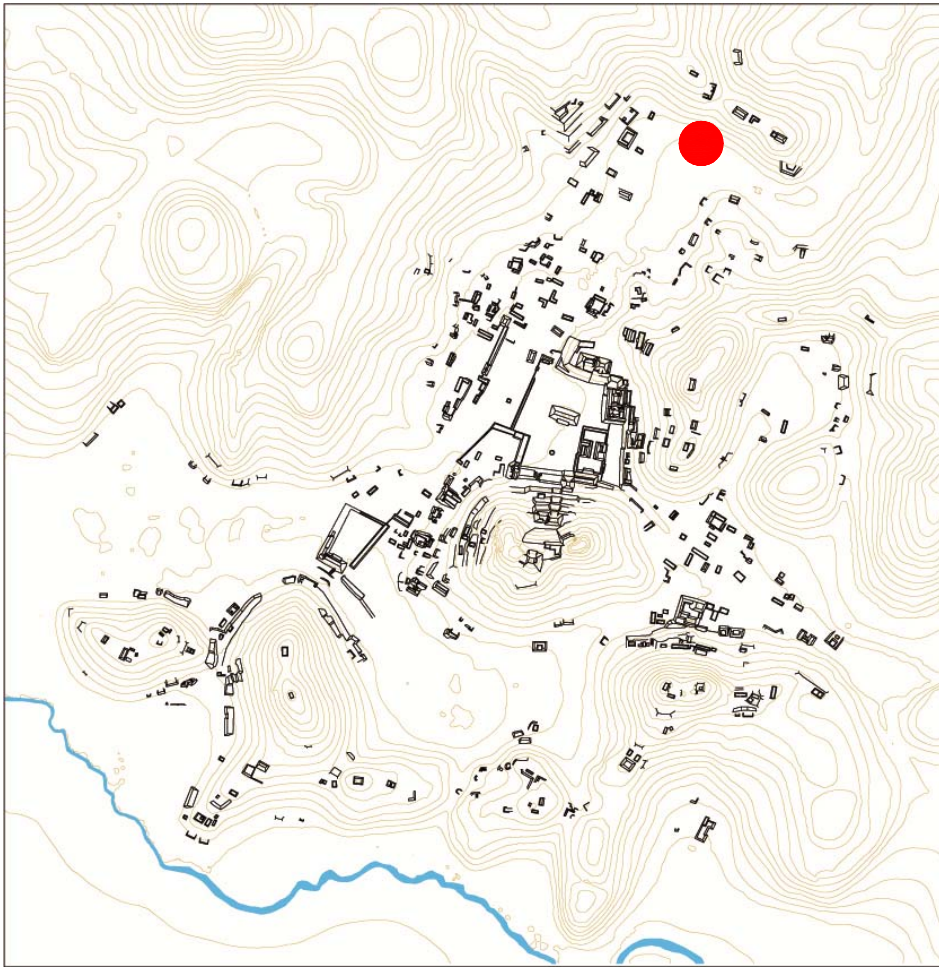
Estructuras de este Conjunto

Estructura	Área	Altura	Volumen	Tipo de estructura
G-17	164,65	Mts2 1,1	Mts 181,115	Mts3 plataforma en forma de C

Observaciones

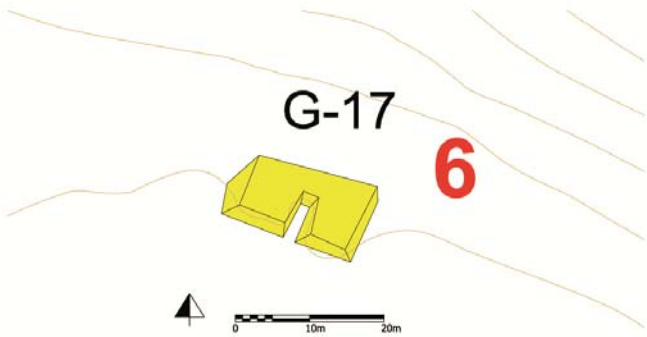
La estructura se encuentra en mal estado de conservación debido a su posición, por lo que no es posible apreciar plenamente sus características formales. Seguramente el terreno se acondicionó, aprovechándose parte del afloramiento natural o de la topografía para su construcción.

Localización en el sitio



Mapa

Fotografía conjunto



Cédula de Conjunto arquitectónico

Sitio

Conjunto

Tipo de Conjunto

Emplazamiento

Preparación del terreno

N estructuras

Área espacio compartido/
espacio disponible (m2)

Existe una estructura sobresaliente Nr. Estructura sobresaliente

Porque sobresale

Distancia mínima de otro conjunto (m)

Excavado

Operación(es)

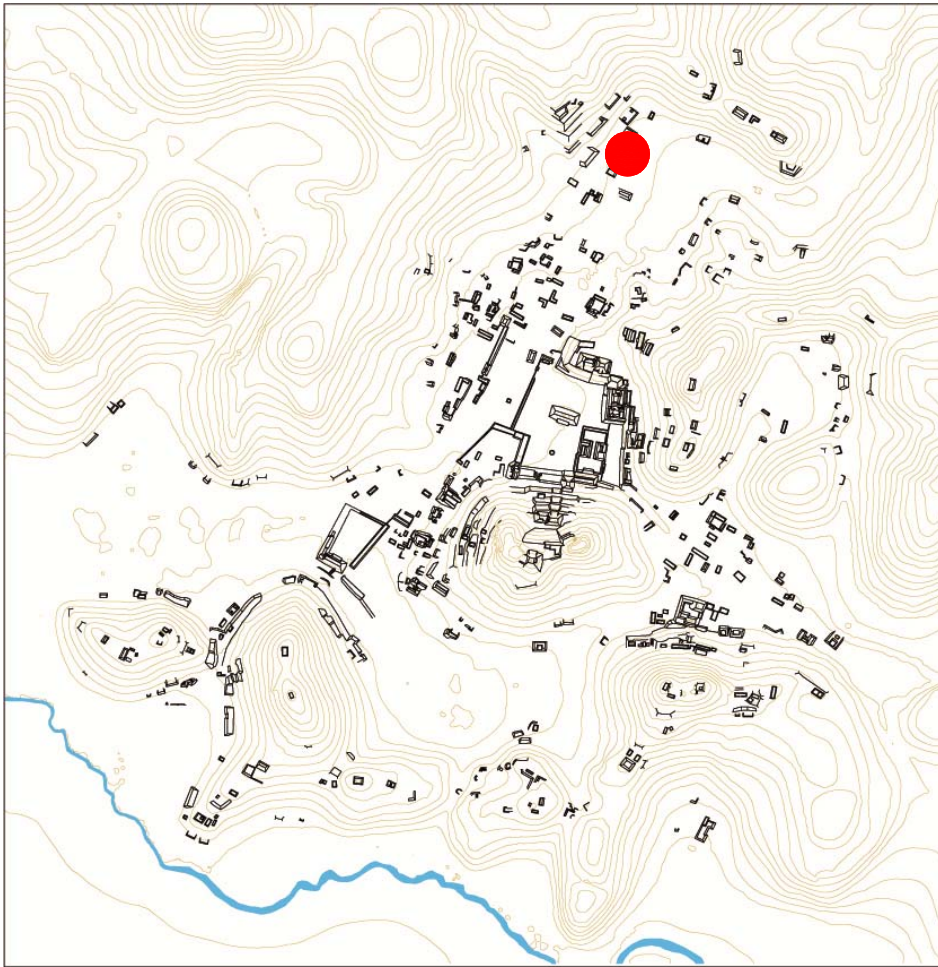
Estructuras de este Conjunto

Estructura	Área	Altura	Volumen	Tipo de estructura
G-10	72,6	Mts2 ,5	Mts 36,3	Mts3 plataforma rectangular
G-13	458,16	Mts2 1.7	Mts 7788,72	Mts3 plataforma en forma de C

Observaciones

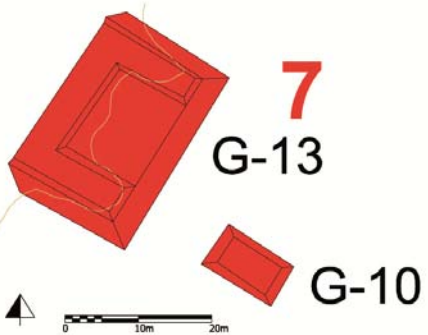
El conjunto es uno de los cuatro de Chinikihá que se componen por una estructura en forma de C sobre un basamento artificial. Por cercanía y orientación, se le asocia una plataforma baja, la G-10, por lo que se considera que todos los edificios pertenezcan al mismo conjunto.

Localización en el sitio



Mapa

Fotografía conjunto



Cédula de Conjunto arquitectónico

Sitio

Conjunto

Tipo de Conjunto

Emplazamiento

Preparación del terreno

N estructuras

Área espacio compartido/
espacio disponible (m2)

Existe una estructura sobresaliente Nr. Estructura sobresaliente

Porque sobresale

Distancia mínima de otro conjunto (m)

Excavado

Operación(es)

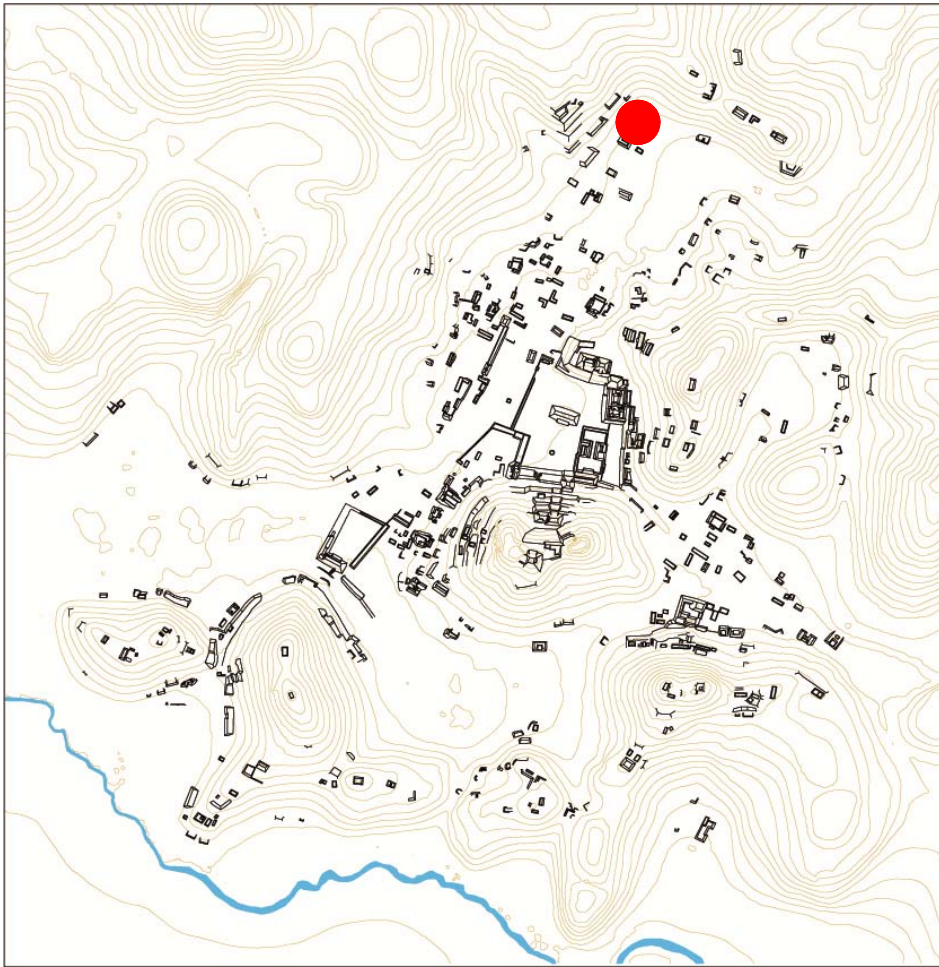
Estructuras de este Conjunto

Estructura	Área	Altura	Volumen	Tipo de estructura
G-16	293,97	Mts2 1,1	Mts 323,367	Mts3 plataforma basal
G-16a	18,04	Mts2 ,5	Mts 9,02	Mts3 plataforma cuadrangular
G-16b	14,4	Mts2 ,6	Mts 8,64	Mts3 plataforma cuadrangular
G-24	64,96	Mts2 ,7	Mts 45,472	Mts3 plataforma rectangular

Observaciones

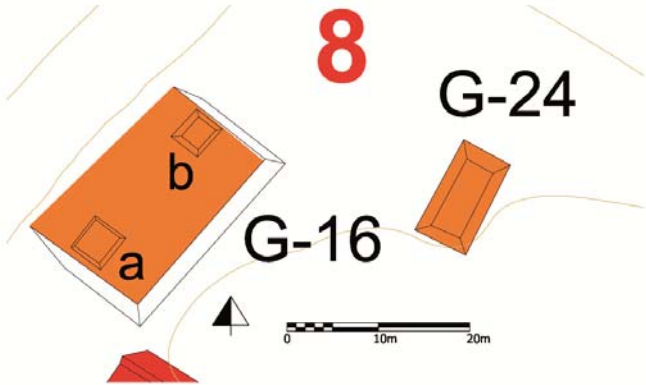
Se trata de una terraza parcialmente natural en la que se encuentran dos estructura compartiendo el espacio. Por cercanía la estr. G-24 se considera perteneciente a este conjunto patio.

Localización en el sitio



Mapa

Fotografía conjunto



Cédula de Conjunto arquitectónico

Sitio Chinikihá

Conjunto CHK/G9

Tipo de Conjunto Lineal

Emplazamiento Ladera de cerro

Preparación del terreno Contención
Nivelación

N estructuras 4

Área espacio compartido/
espacio disponible (m2)

Existe una estructura sobresaliente G-9 Nr. Estructura sobresaliente G-9

Porque sobresale Volumen constructivo

Distancia mínima de otro conjunto (m) 17

Excavado Si Operación(es) 165, 152

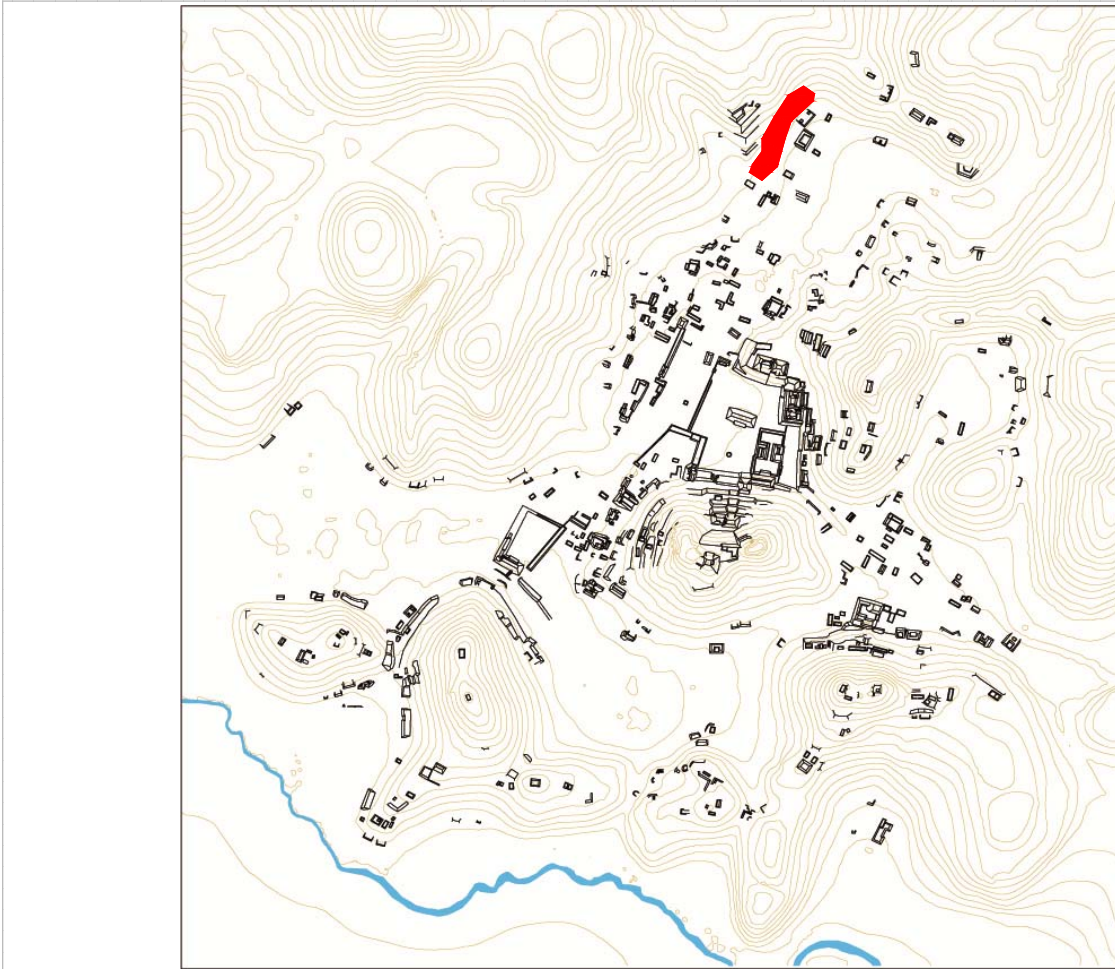
Estructuras de este Conjunto

Estructura	Área	Altura	Volumen	Tipo de estructura
G-12	246,74	Mts2 1,6	Mts 3947,84	Mts3 plataforma rectangular
G-22	170,43	Mts2 1,7	Mts 289,731	Mts3 plataforma rectangular
G-23	47,32	Mts2 1,8	Mts 85,176	Mts3 plataforma rectangular
G-9	389,89	Mts2 1,9	Mts 740,791	Mts3 plataforma rectangular

Observaciones

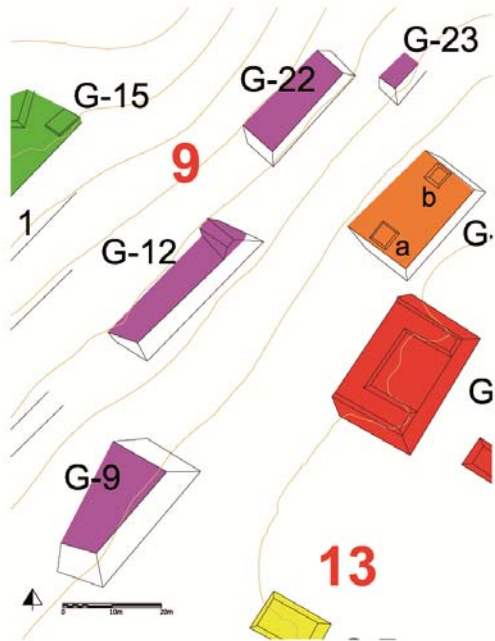
Se trata de una serie de terrazas alineadas, una de las cuales, la G-9 que está más pegada al pie de monte, sobresale por su tamaño y volumen constructivo. Sin embargo las malas condiciones de preservación no permiten apreciar cuál es la real inversión de mano de obra, es decir cuanta parte es natural y cuanta artificial.

Localización en el sitio



Mapa

Fotografía conjunto



Cédula de Conjunto arquitectónico

Sitio

Conjunto

Tipo de Conjunto

Emplazamiento

Preparación del terreno

N estructuras

Área espacio compartido/
espacio disponible (m2)

Existe una estructura sobresaliente Nr. Estructura sobresaliente

Porque sobresale

Distancia mínima de otro conjunto (m)

Excavado

Operación(es)

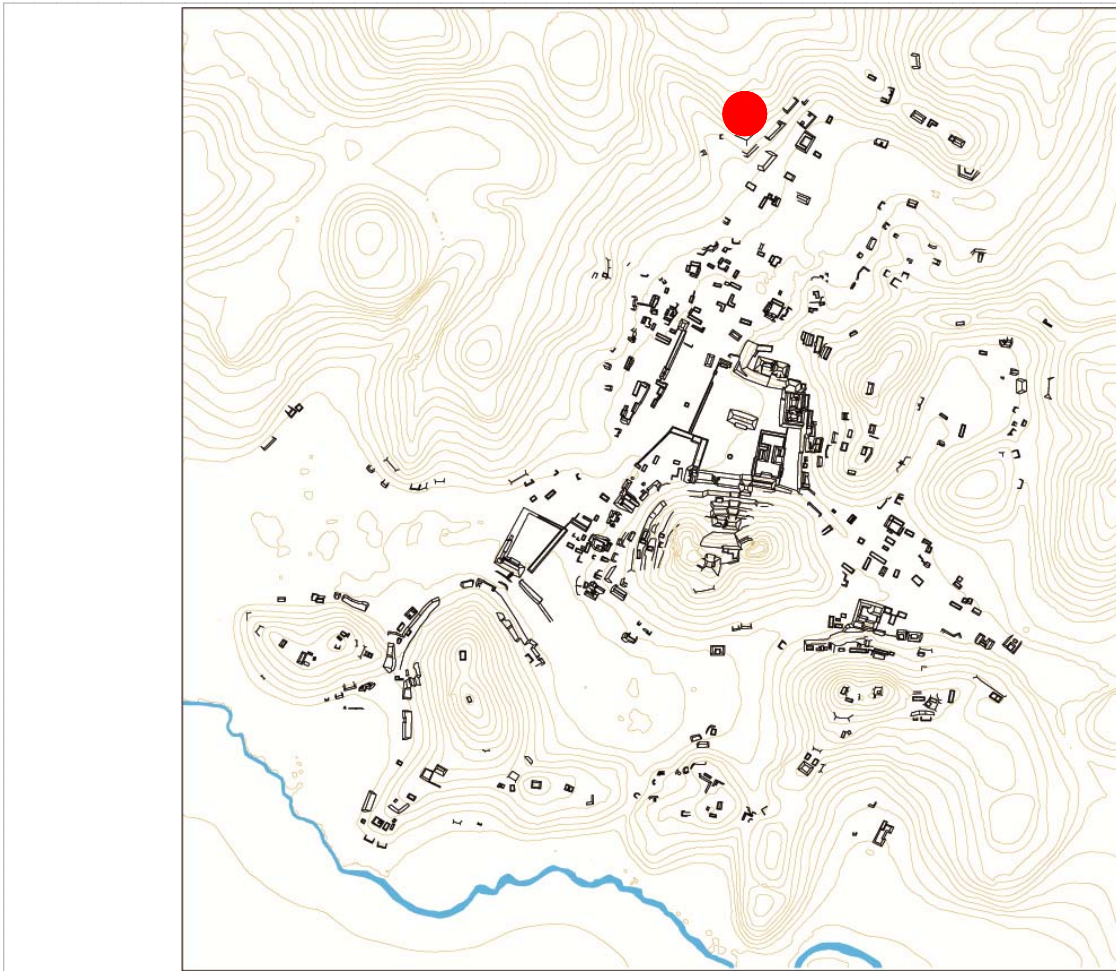
Estructuras de este Conjunto

Estructura	Área	Altura	Volumen	Tipo de estructura
G-11	222,6	Mts2 1,1	Mts 244,86	Mts3 plataforma rectangular
G-14	234,36	Mts2 ,9	Mts 210,924	Mts3 plataforma rectangular
G-15	21,09	Mts2 ,1	Mts 2,109	Mts3 plataforma rectangular

Observaciones

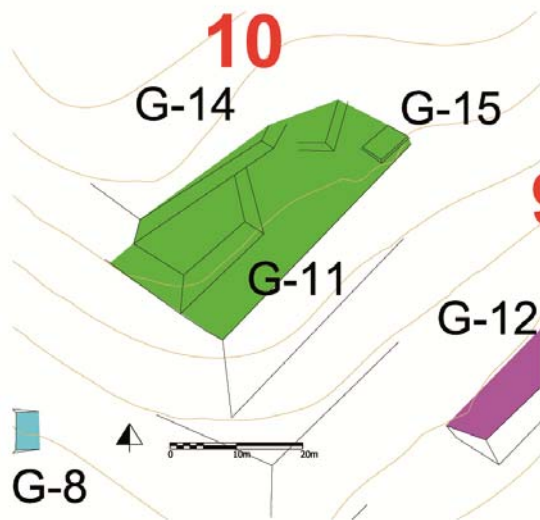
El conjunto se constituye por dos pequeñas plataformas y una más grande, en una terraza parcialmente natural en la ladera de un cerro que limita el sitio al Oeste. A nivel de observación superficial no se pueden apreciar las características de las estructuras, sin embargo el lugar ofrece un punto de observación preferencial del límite Este del sitio y hacia el conjunto monumental (foto).

Localización en el sitio



Mapa

Fotografía conjunto



Cédula de Conjunto arquitectónico

Sitio

Conjunto

Tipo de Conjunto

Emplazamiento

Preparación del terreno

N estructuras

Área espacio compartido/
espacio disponible (m2)

Existe una estructura sobresaliente Nr. Estructura sobresaliente

Porque sobresale

Distancia mínima de otro conjunto (m)

Excavado

Operación(es)

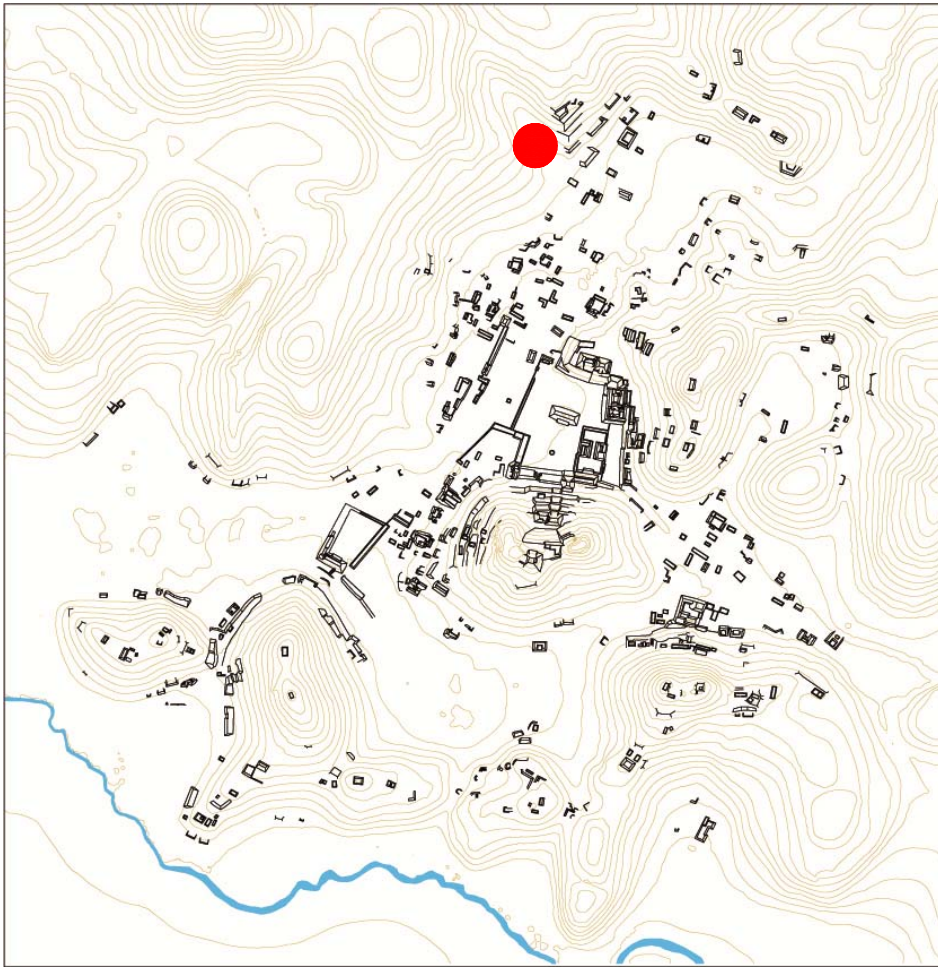
Estructuras de este Conjunto

Estructura	Área	Altura	Volumen	Tipo de estructura
G-8	27,72	Mts2 ,3	Mts 8,316	Mts3 plataforma rectangular
G.5	46,62	Mts2 1,1	Mts 51,282	Mts3 plataforma rectangular

Observaciones

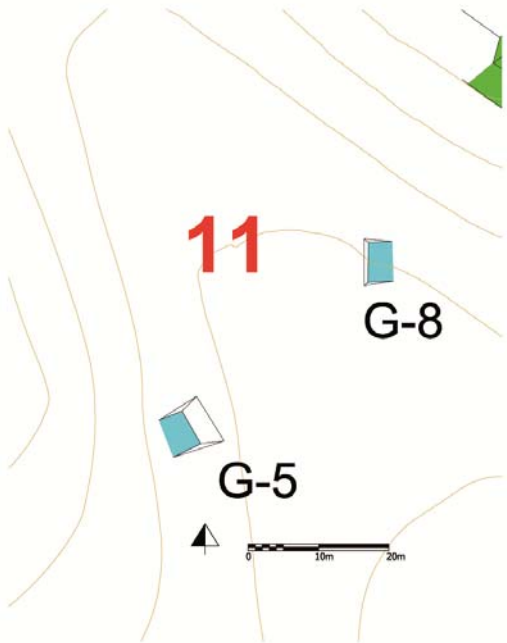
Se trata de dos plataformas que se enfrentan, a controlar el acceso al sitio desde el oeste. Por su posición y esta particularidad de emplazamiento se consideró que constituyeran un único conjunto.

Localización en el sitio



Mapa

Fotografía conjunto



Cédula de Conjunto arquitectónico

Sitio Chinikihá

Conjunto CHK/G12

Tipo de Conjunto Patio

Emplazamiento Planicie

Preparación del terreno Nignuna

N estructuras 4

Área espacio compartido/
espacio disponible (m2) 157,5

Existe una estructura sobresaliente G3 Nr. Estructura sobresaliente G3

Porque sobresale Volumen constructivo

Distancia mínima de otro conjunto (m) 20,36

Excavado Si

Operación(es) 154

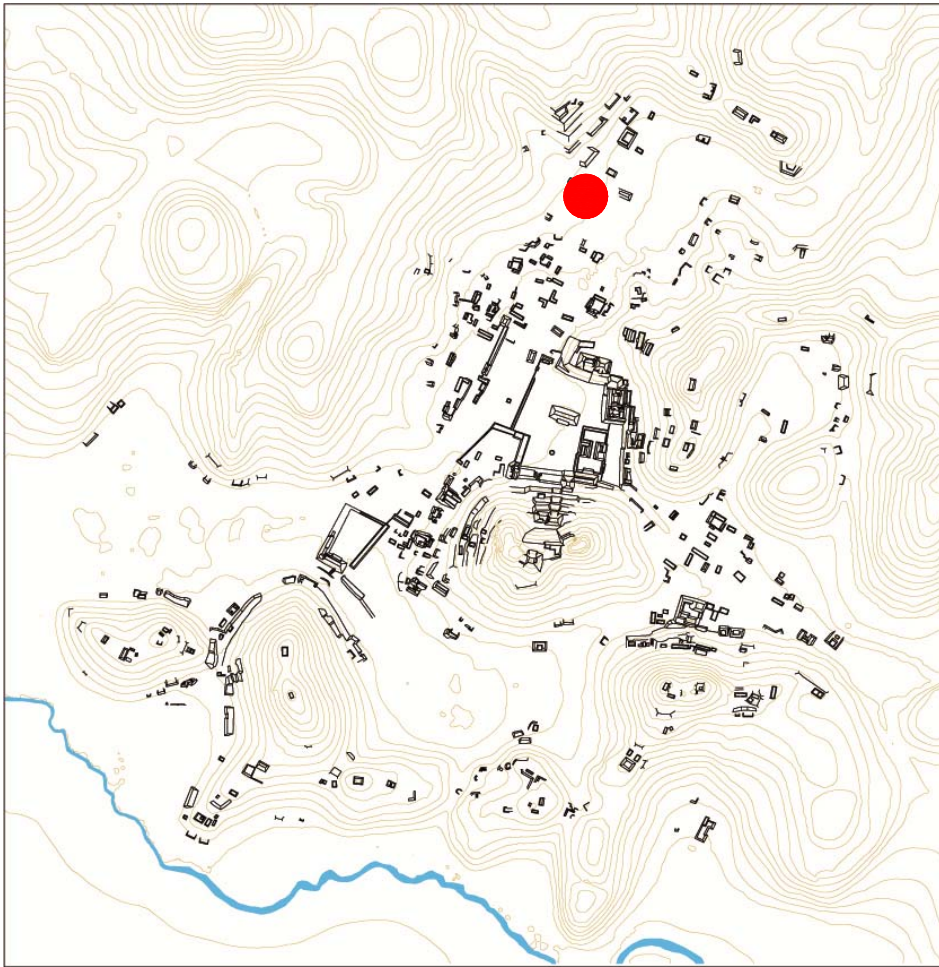
Estructuras de este Conjunto

Estructura	Área	Altura	Volumen	Tipo de estructura
G-1	95,4	Mts2 ,3	Mts 28,62	Mts3 plataforma rectangular
G-2	40,47	Mts2 ,6	Mts 24,282	Mts3 plataforma rectangular
G-3	116,16	Mts2 1,5	Mts 174,24	Mts3 plataforma rectangular
G-6	118,15	Mts2 ,2	Mts 23,63	Mts3 plataforma rectangular

Observaciones

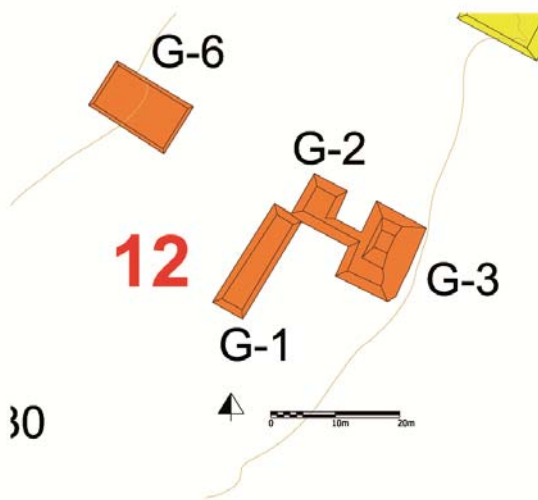
Se considera che la estr. G 26 pertenece a este grupo patio. Su estado de conservación es malo por lo que no es posible formular consideraciones cualitativas.

Localización en el sitio



Mapa

Fotografía conjunto



Cédula de Conjunto arquitectónico

Sitio

Conjunto

Tipo de Conjunto

Emplazamiento

Preparación del terreno

N estructuras

Área espacio compartido/
espacio disponible (m2)

Existe una estructura sobresaliente

Nr. Estructura sobresaliente

Porque sobresale

Distancia mínima de otro conjunto (m)

Excavado

Operación(es)

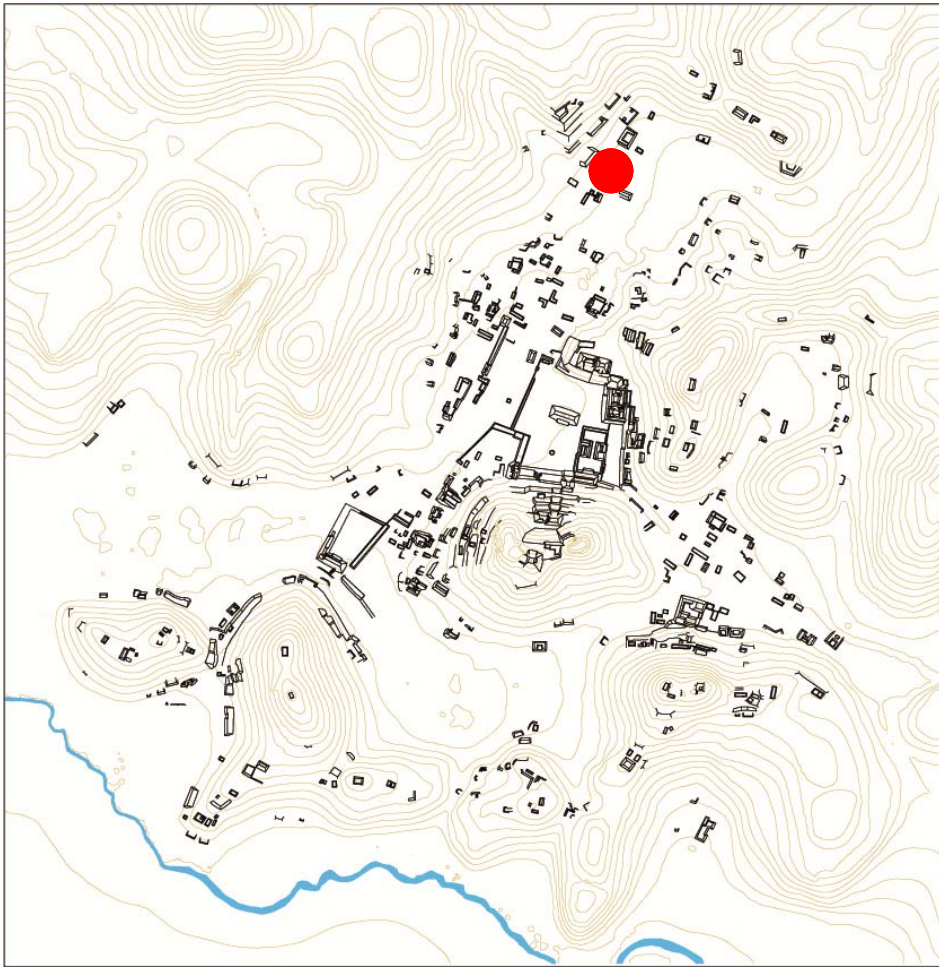
Estructuras de este Conjunto

Estructura	Área	Altura	Volumen	Tipo de estructura
G-7	121,55	Mts2 ,7	Mts 85,085	Mts3 plataforma rectangular

Observaciones

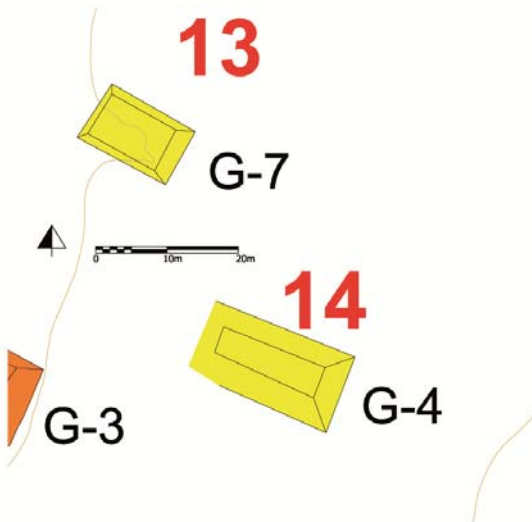
Se trata de una plataforma aislada (por lejanía de las otras estructuras y/o conjuntos) que gravita en el área del conjunto patio CHK/G12.

Localización en el sitio



Mapa

Fotografía conjunto



Cédula de Conjunto arquitectónico

Sitio

Conjunto

Tipo de Conjunto

Emplazamiento

Preparación del terreno

N estructuras

Área espacio compartido/
espacio disponible (m2)

Existe una estructura sobresaliente

Nr. Estructura sobresaliente

Porque sobresale

Distancia mínima de otro conjunto (m)

Excavado

Operación(es)

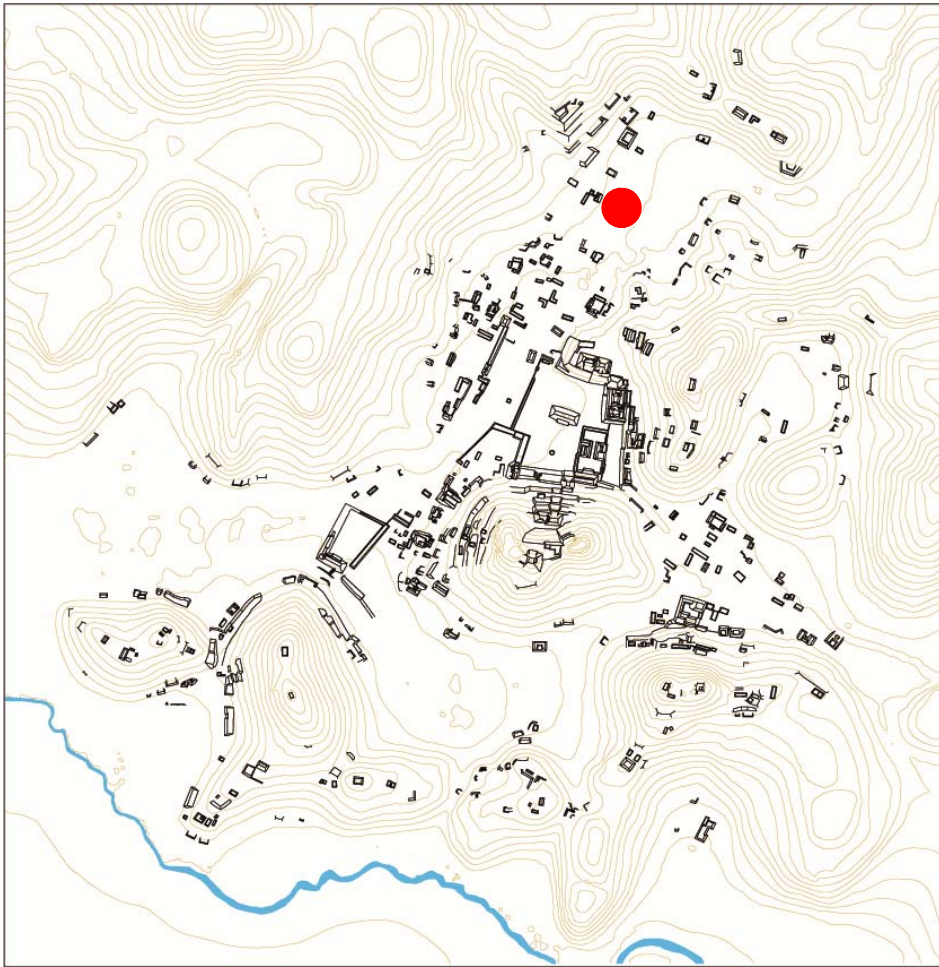
Estructuras de este Conjunto

Estructura	Área	Altura	Volumen	Tipo de estructura
G-4	236,17	Mts2 1,2	Mts 283,404	Mts3 plataforma rectangular

Observaciones

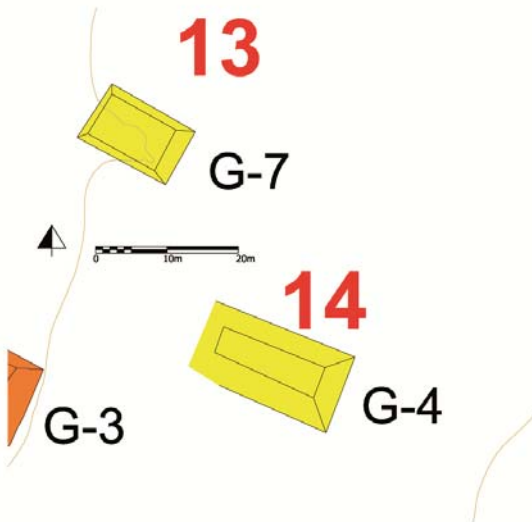
Se trata de una plataforma aislada (por lejanía de las otras estructuras y/o conjuntos) que gravita en el área del conjunto patio CHK/G12.

Localización en el sitio



Mapa

Fotografía conjunto



Cédula de Conjunto arquitectónico

Sitio

Conjunto

Tipo de Conjunto

Emplazamiento

Preparación del terreno

N estructuras

Área espacio compartido/
espacio disponible (m2)

Existe una estructura sobresaliente

Nr. Estructura sobresaliente

Porque sobresale

Distancia mínima de otro conjunto (m)

Excavado

Operación(es)

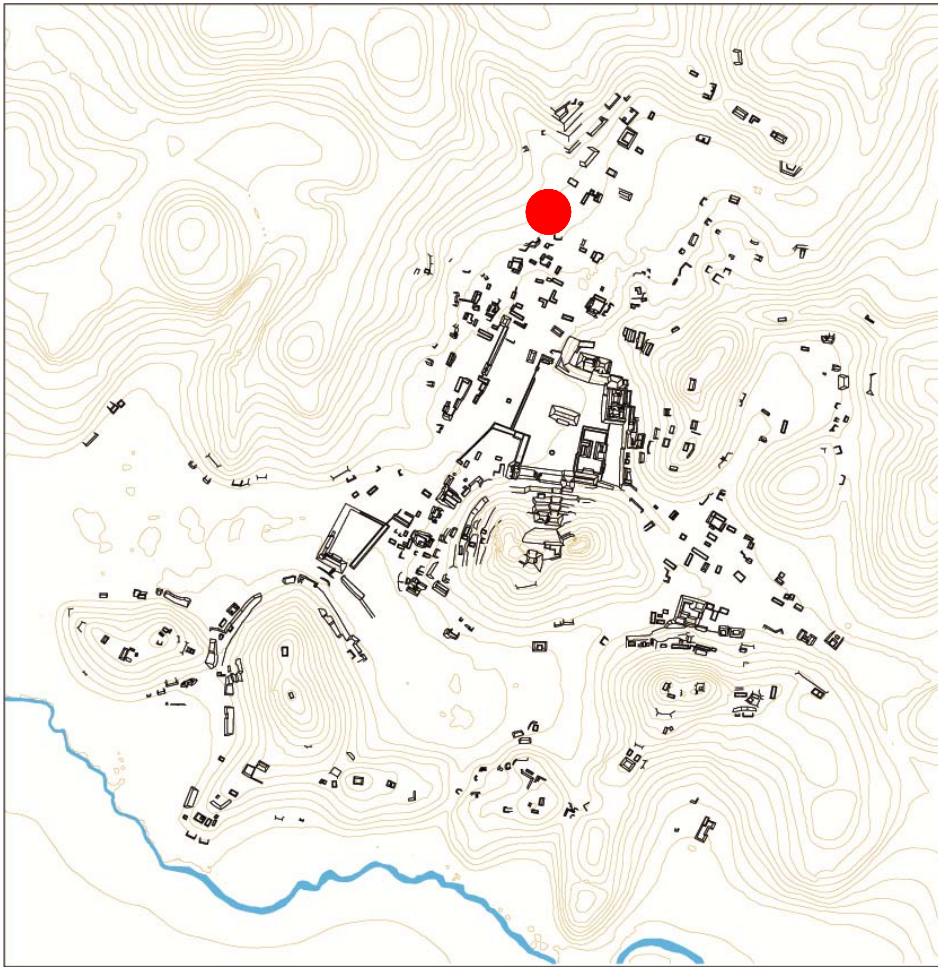
Estructuras de este Conjunto

Estructura	Área	Altura	Volumen	Tipo de estructura
F-30	71,28	Mts2 1	Mts 71,28	Mts3 plataforma rectangular

Observaciones

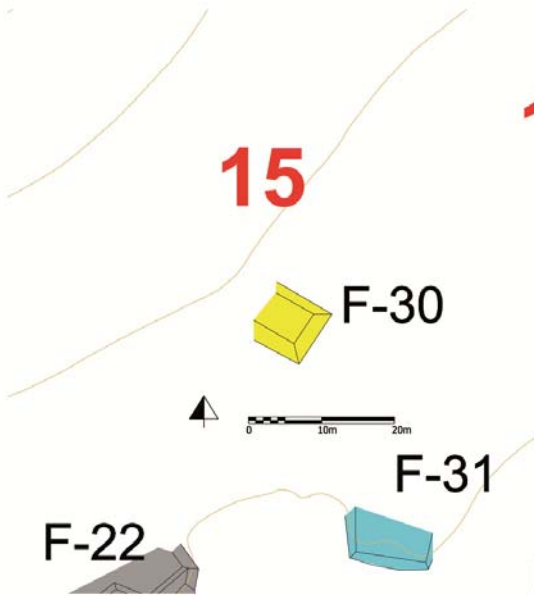
.

Localización en el sitio



Mapa

Fotografía conjunto



Cédula de Conjunto arquitectónico

Sitio Chinikihá

Conjunto CHK/F16

Tipo de Conjunto Basal

Emplazamiento Pie de Monte

Preparación del terreno Contención
Nivelación

N estructuras 1

Área espacio compartido/
espacio disponible (m2) 47,6

Existe una estructura sobresaliente No Nr. Estructura sobresaliente No

Porque sobresale

Distancia mínima de otro conjunto (m) 8,54

Excavado Si

Operación(es) 162

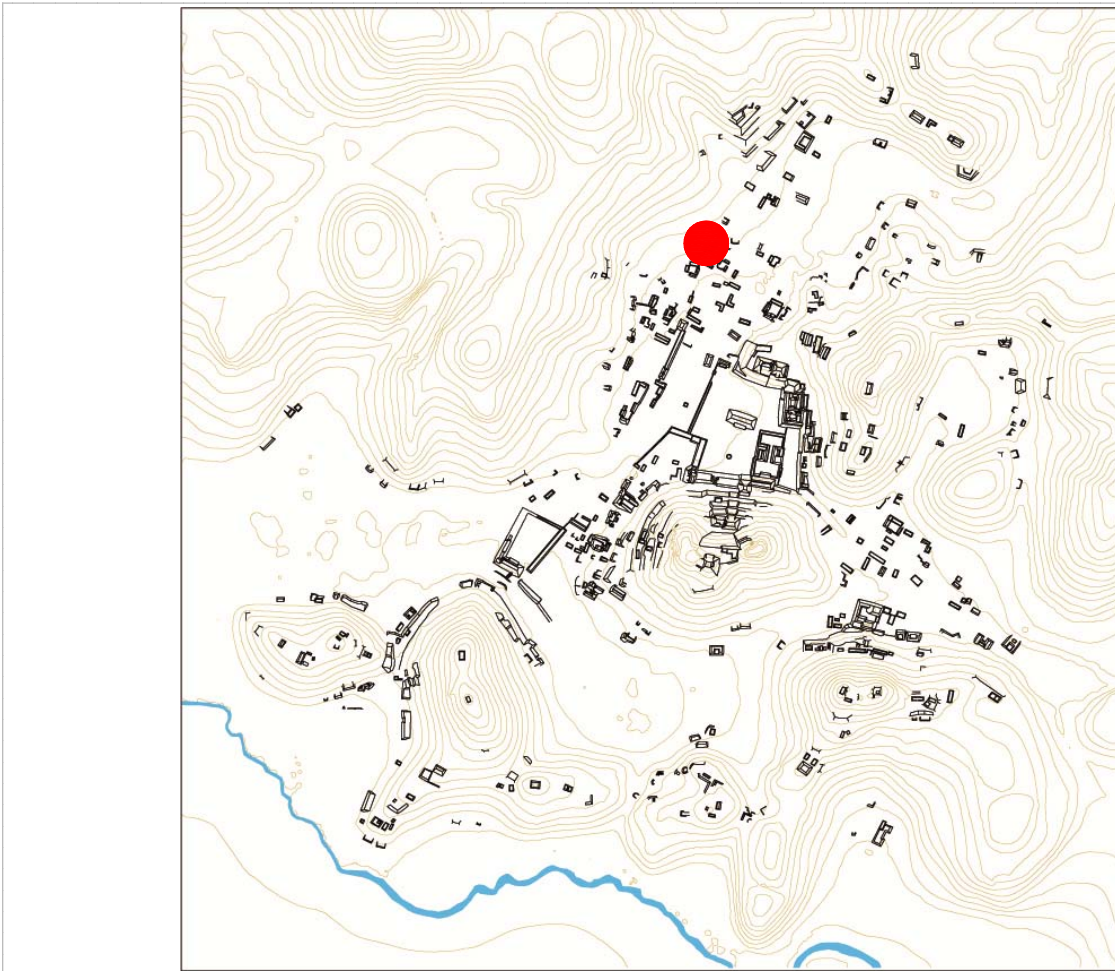
Estructuras de este Conjunto

Estructura	Área	Altura	Volumen	Tipo de estructura
F-22	65,61	Mts2 1	Mts 65,61	Mts3 plataforma cuadrangular

Observaciones

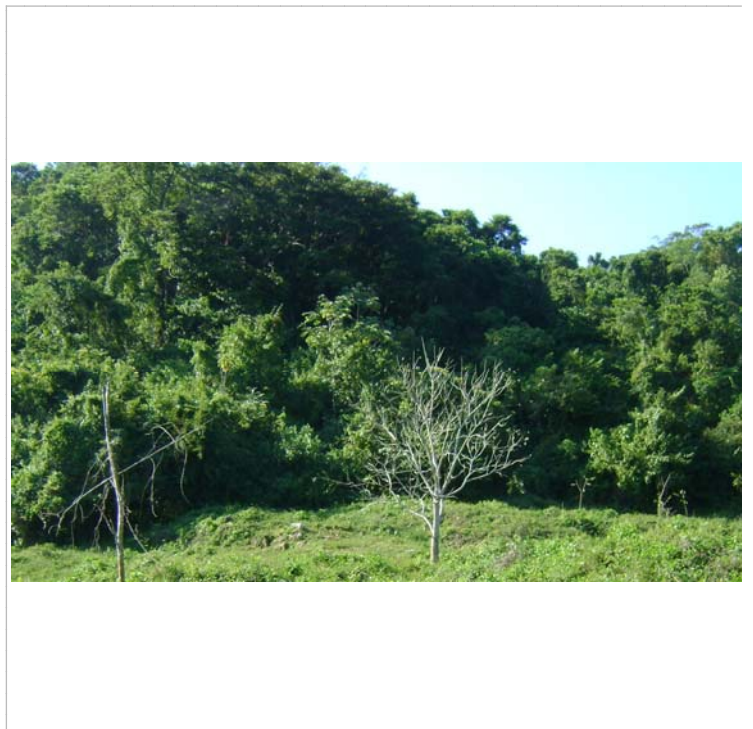
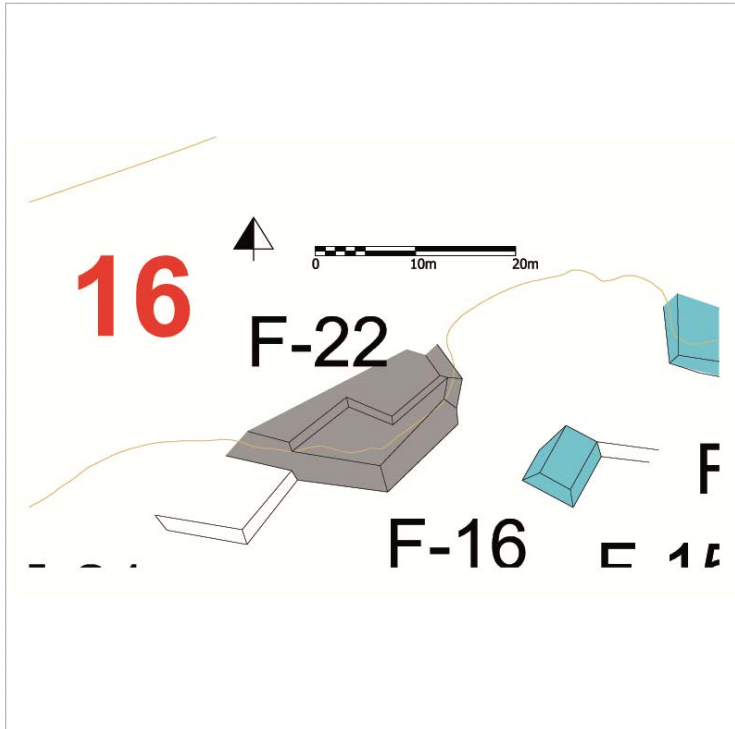
Se trata de un conjunto basal que soporta una sólo estructura en forma de L. Se aprovechó parte de la topografía para construir su basamento.

Localización en el sitio



Mapa

Fotografía conjunto



Cédula de Conjunto arquitectónico

Sitio

Conjunto

Tipo de Conjunto

Emplazamiento

Preparación del terreno

N estructuras

Área espacio compartido/
espacio disponible (m2)

Existe una estructura sobresaliente

Nr. Estructura sobresaliente

Porque sobresale

Distancia mínima de otro conjunto (m)

Excavado

Operación(es)

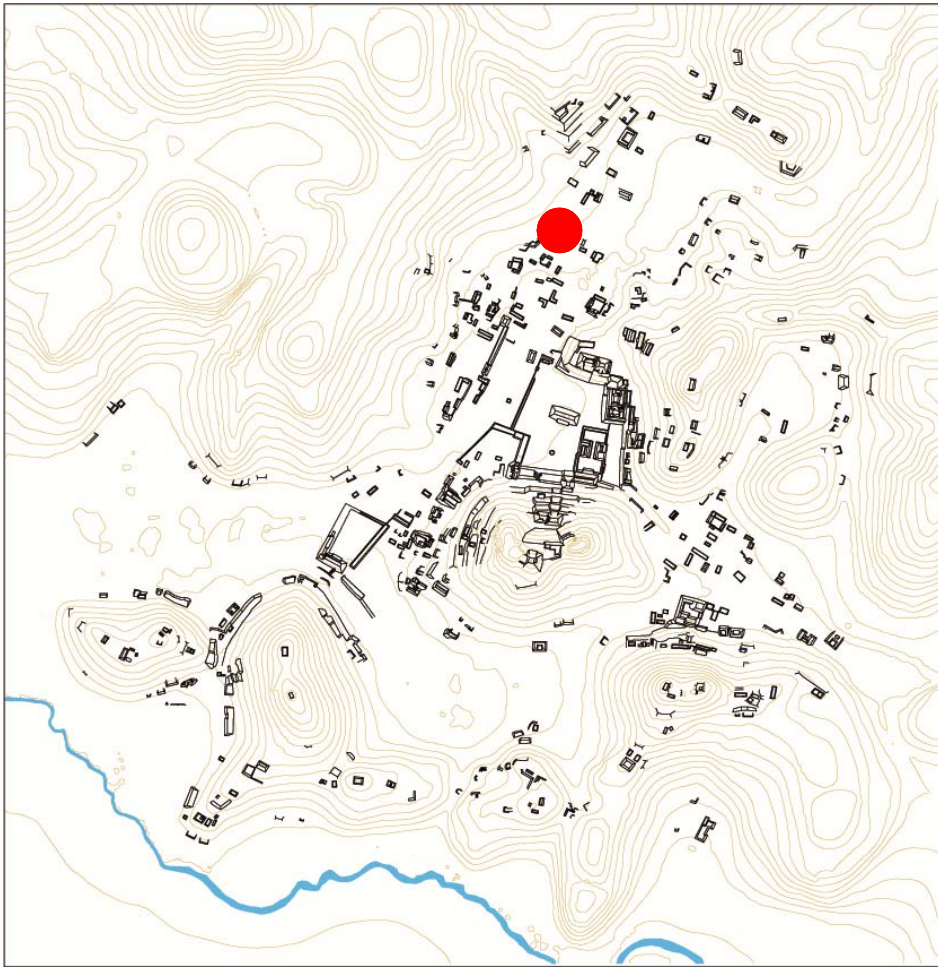
Estructuras de este Conjunto

Estructura	Área	Altura	Volumen	Tipo de estructura
F-31	87,2	Mts2 ,5	Mts 43,6	Mts3 plataforma rectangular

Observaciones

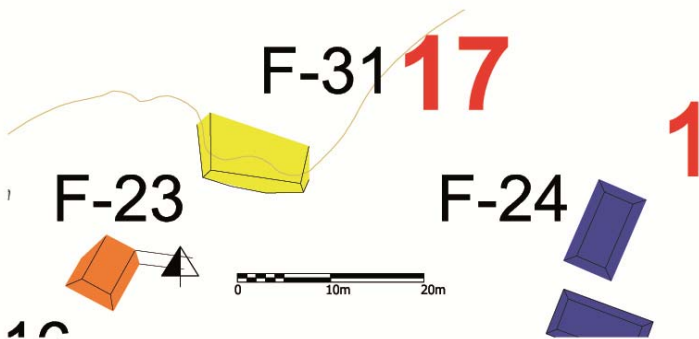
En las estribaciones de las alutras que delimitan Chinikihá, esta plataforma aislada se encuentra en un límite entre dos grupos arquitectónicos, marcado por ausencia de estructuras.

Localización en el sitio



Mapa

Fotografía conjunto



Cédula de Conjunto arquitectónico

Sitio Chinikihá

Conjunto CHK/F18

Tipo de Conjunto Compuesto

Emplazamiento Planicie

Preparación del terreno Nignuna

N estructuras 3

Área espacio compartido/
espacio disponible (m2) 261,14

Existe una estructura sobresaliente F-26 Nr. Estructura sobresaliente F-26

Porque sobresale Volumen constructivo

Distancia mínima de otro conjunto (m) 31,34

Excavado No

Operación(es)

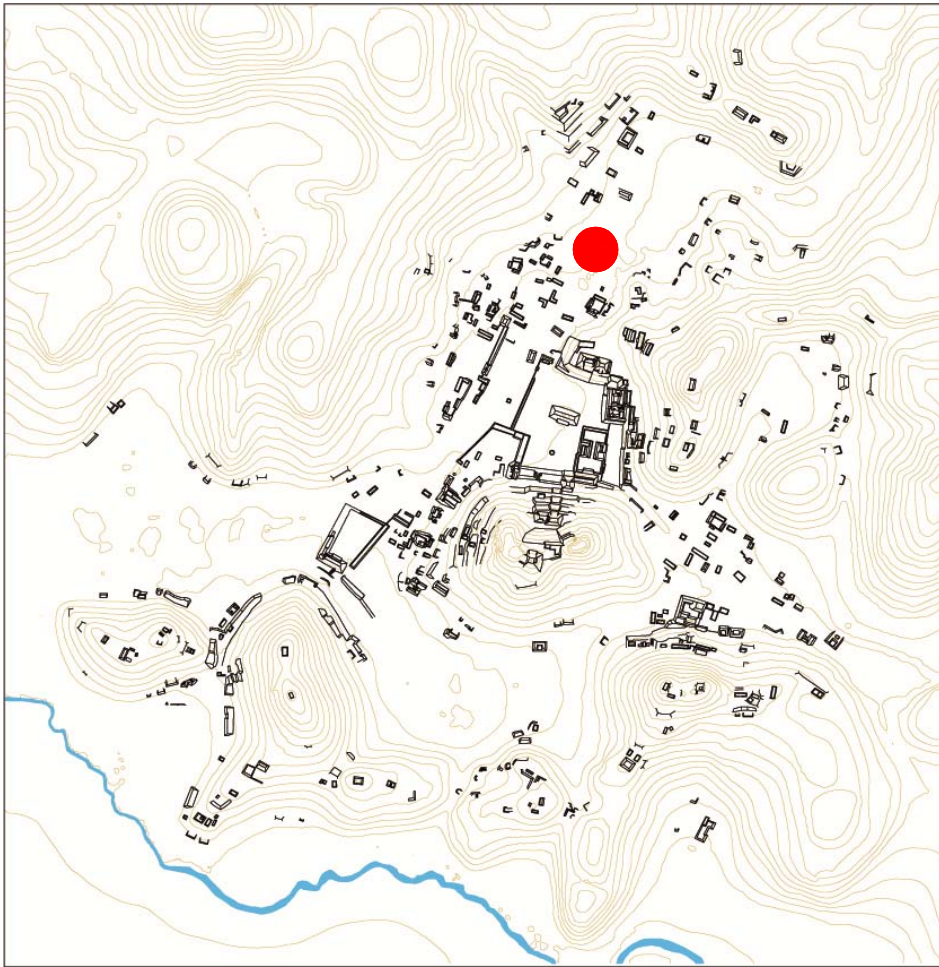
Estructuras de este Conjunto

Estructura	Área	Altura	Volumen	Tipo de estructura
F-24	52,25	Mts2 ,5	Mts 26,125	Mts3 plataforma rectangular
F-25	56,65	Mts2 ,5	Mts 28,325	Mts3 plataforma rectangular
F-26	49,5	Mts2 1	Mts 49,5	Mts3 plataforma rectangular

Observaciones

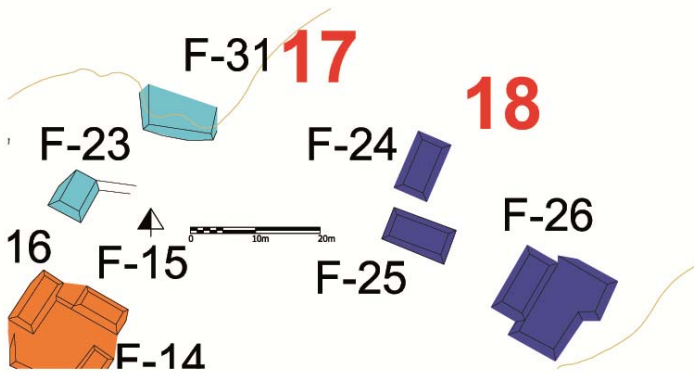
El conjunto se encuentra en un mal estado de conservación, debido a la presencia de un poste de la CFE en cima de la estr. F-26 y a la cercanía de la carretera Chancalá-Penjamo, por lo que hay que especificar que es por sus características actuales que se categoriza como "conjunto compuesto".

Localización en el sitio



Mapa

Fotografía conjunto



Cédula de Conjunto arquitectónico

Sitio

Conjunto

Tipo de Conjunto

Emplazamiento

Preparación del terreno

N estructuras

Área espacio compartido/
espacio disponible (m2)

Existe una estructura sobresaliente

Nr. Estructura sobresaliente

Porque sobresale

Distancia mínima de otro conjunto (m)

Excavado

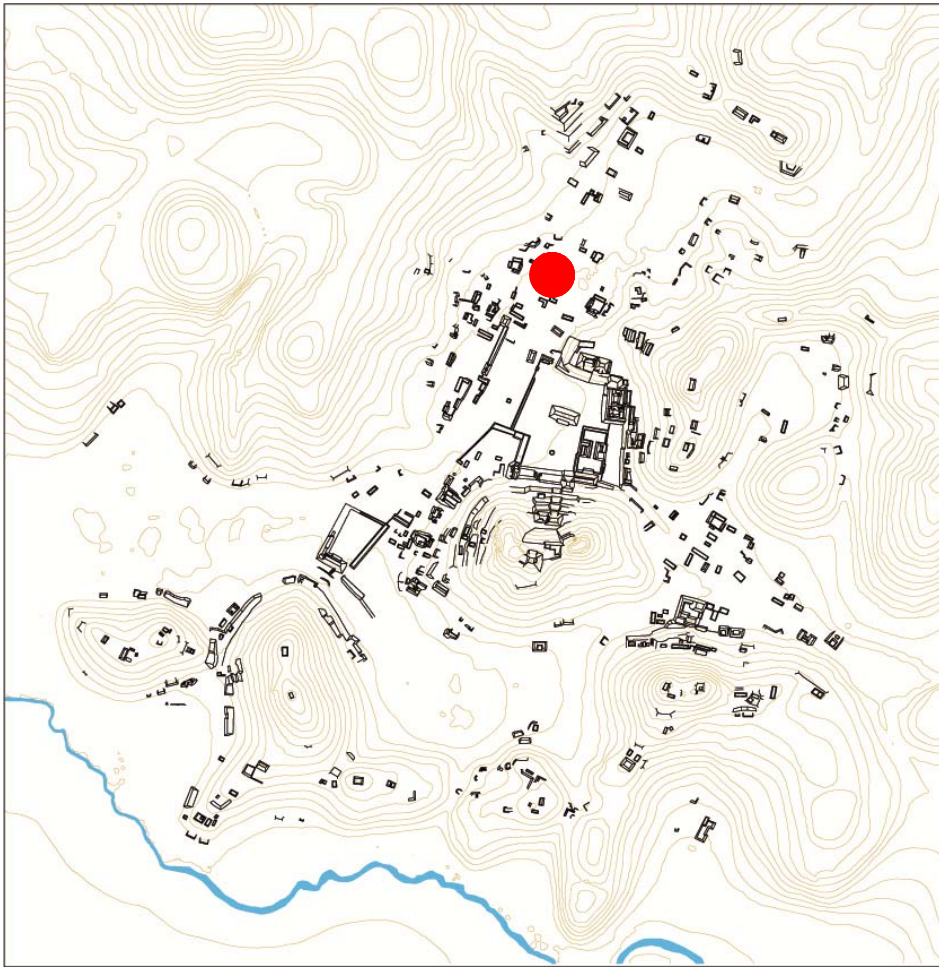
Operación(es)

Estructuras de este Conjunto

Estructura	Área	Altura	Volumen	Tipo de estructura
F-10	55,2	Mts2 ,5	Mts 27,6	Mts3 plataforma rectangular
F-11	27,28	Mts2 ,3	Mts 8,184	Mts3 plataforma rectangular
F-12	93,5	Mts2 ,5	Mts 46,75	Mts3 plataforma rectangular

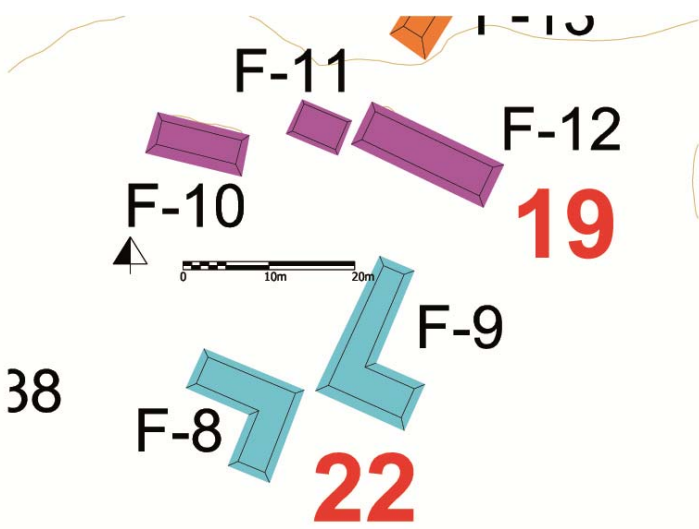
Observaciones

Localización en el sitio



Mapa

Fotografía conjunto



38

22

19

F-11

F-12

F-10

F-9

F-8

F-13

Cédula de Conjunto arquitectónico

Sitio Chinikihá

Conjunto CHK/F20

Tipo de Conjunto Patio

Emplazamiento Planicie

Preparación del terreno Basamento parcialmente artificial
Nivelación

N estructuras 6

Área espacio compartido/
espacio disponible (m2) 106,2

Existe una estructura sobresaliente No Nr. Estructura sobresaliente No

Porque sobresale

Distancia mínima de otro conjunto (m) 9,9

Excavado Si

Operación(es) 164

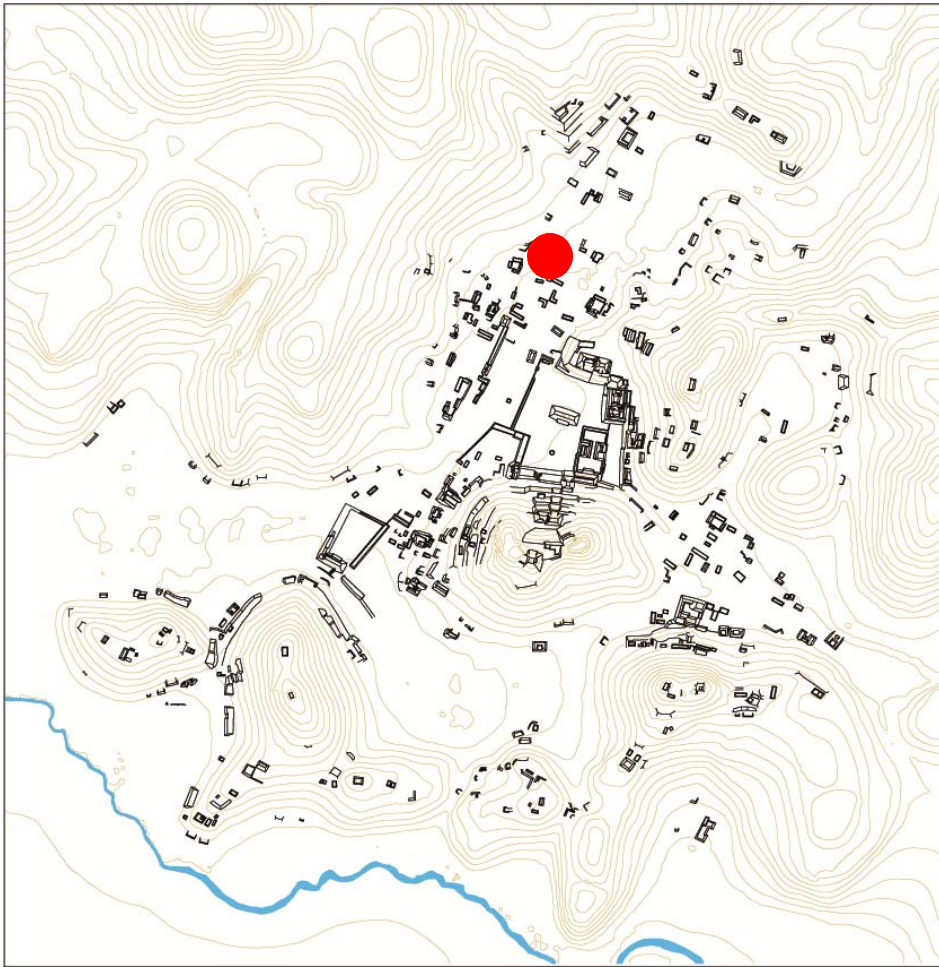
Estructuras de este Conjunto

Estructura	Área	Altura	Volumen	Tipo de estructura
F-13	62,4	Mts2 ,5	Mts 31,2	Mts3 plataforma rectangular
F-14	31,45	Mts2 ,5	Mts 15,725	Mts3 plataforma rectangular
F-15	27,38	Mts2 ,5	Mts 13,69	Mts3 plataforma rectangular
F-16	43,24	Mts2 ,5	Mts 21,62	Mts3 plataforma rectangular
F-17	45,59	Mts2 ,5	Mts 22,795	Mts3 plataforma rectangular
F-23	33,64	Mts2 ,5	Mts 16,82	Mts3 plataforma rectangular

Observaciones

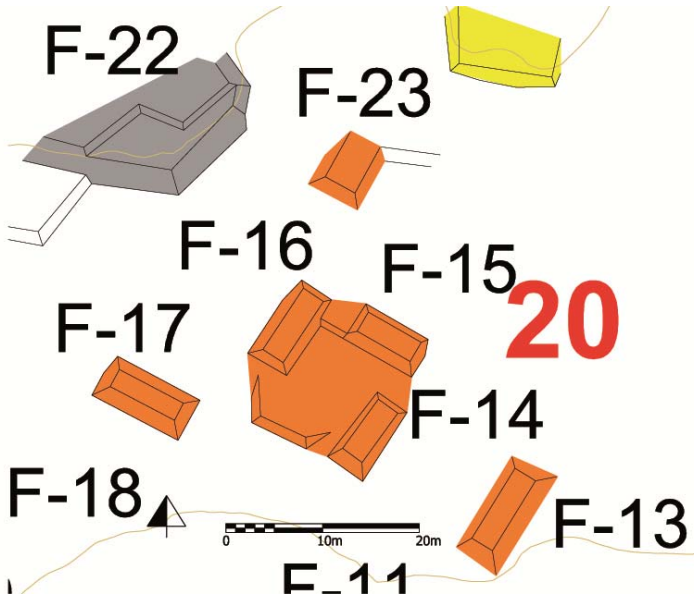
En este conjunto tipo patio el espacio común es enmarcado por 3 estructuras, mientras que las otras 3 que integran el conjunto se encuentran en sus inmediatas cercanías, la F-17 parece constituir un ligamen entre el conjunto CHK/F20 y el CHK/21, otro del tipo "patio".

Localización en el sitio



Mapa

Fotografía conjunto



Cédula de Conjunto arquitectónico

Sitio Chinikihá

Conjunto CHK/F21

Tipo de Conjunto Patio

Emplazamiento Planicie

Preparación del terreno Contención
Nivelación

N estructuras 4

Área espacio compartido/
espacio disponible (m2) 118,5

Existe una estructura sobresaliente F-21 Nr. Estructura sobresaliente F-21

Porque sobresale Volumen constructivo

Distancia mínima de otro conjunto (m) 9,9

Excavado Si

Operación(es) 163

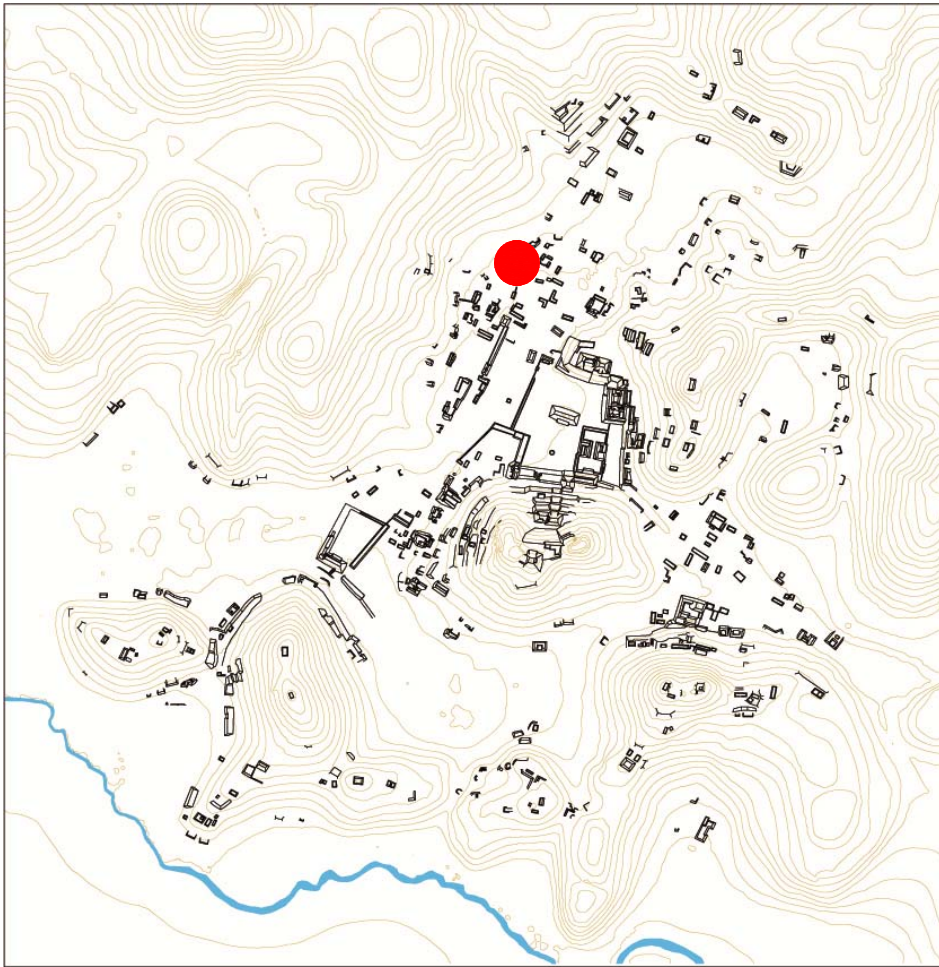
Estructuras de este Conjunto

Estructura	Área	Altura	Volumen	Tipo de estructura
F-18	25,41	Mts2 1	Mts 25,41	Mts3 plataforma rectangular
F-19	45,15	Mts2 1	Mts 45,15	Mts3 plataforma rectangular
F-20	40,92	Mts2 1	Mts 40,92	Mts3 plataforma rectangular
F-21	80,64	Mts2 1,5	Mts 120,96	Mts3 plataforma rectangular

Observaciones

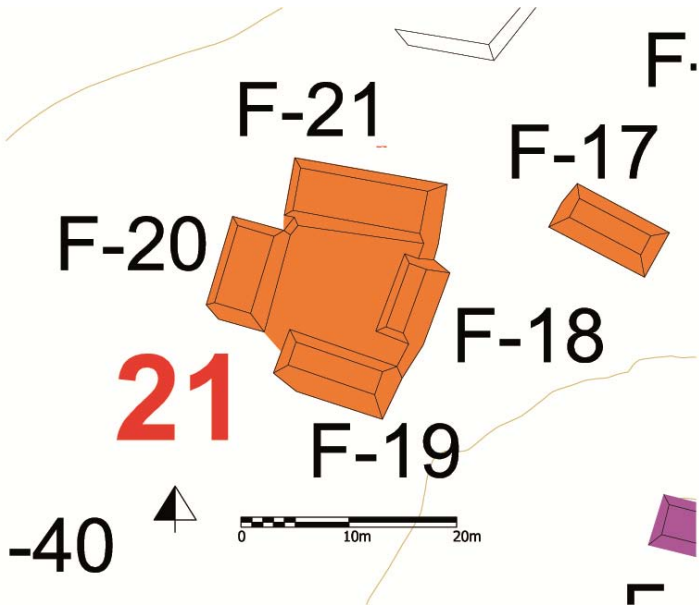
Es un conjunto tipo patio que en su parte Este manifiesta unas obras de contención y nivelación para la preparación del terreno.

Localización en el sitio



Mapa

Fotografía conjunto



Cédula de Conjunto arquitectónico

Sitio

Conjunto

Tipo de Conjunto

Emplazamiento

Preparación del terreno

N estructuras

Área espacio compartido/
espacio disponible (m2)

Existe una estructura sobresaliente Nr. Estructura sobresaliente

Porque sobresale

Distancia mínima de otro conjunto (m)

Excavado

Operación(es)

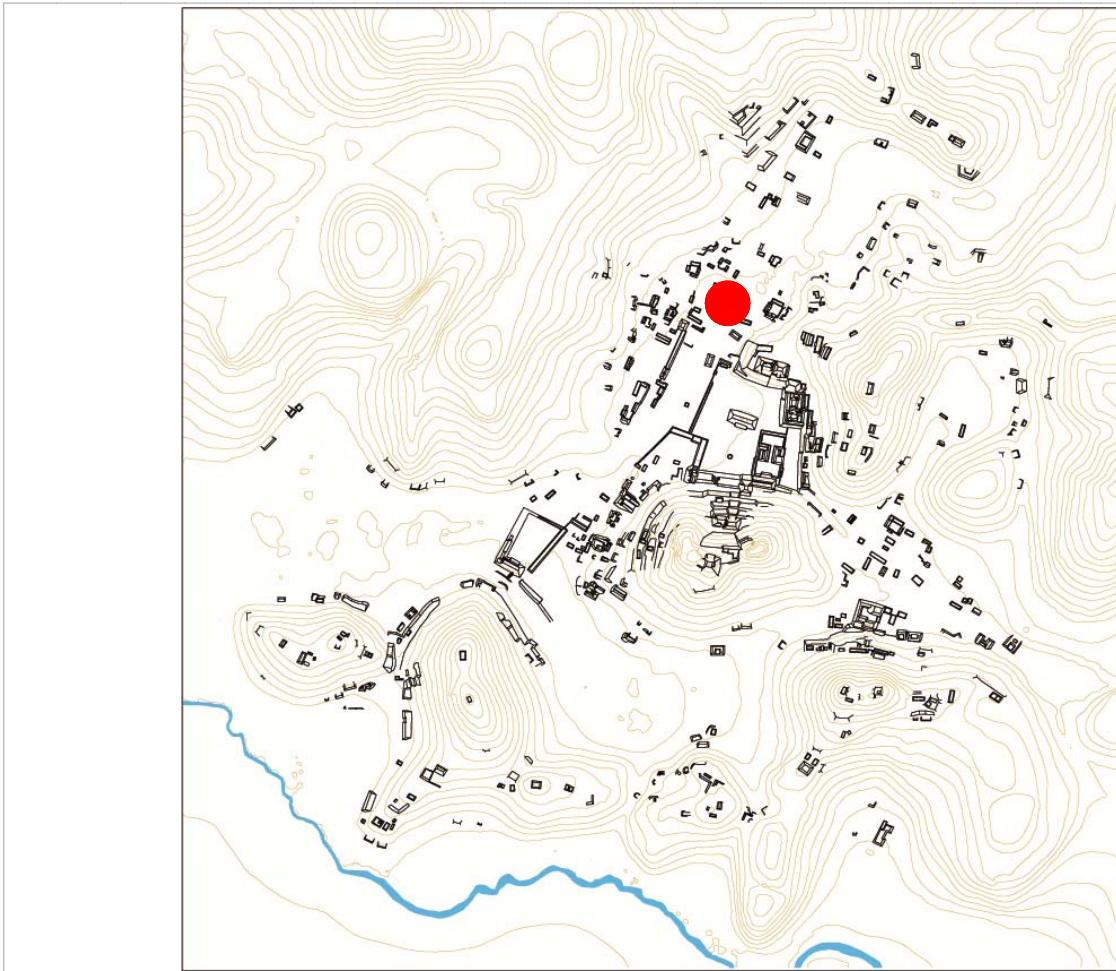
Estructuras de este Conjunto

Estructura	Área	Altura	Volumen	Tipo de estructura
F-8	144,9	Mts2 ,5	Mts 72,45	Mts3 plataforma en forma de L
F-9	196,62	Mts2 ,5	Mts 98,31	Mts3 plataforma en forma de L

Observaciones

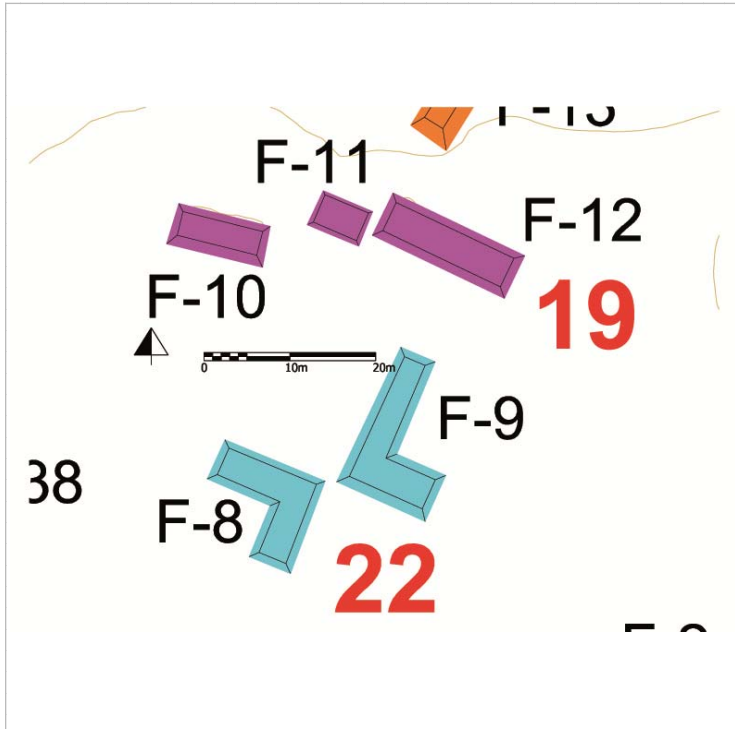
El estado de conservación de éstas estructuras es pésimo por lo que no se pueden distinguir bien sus rasgos formales.

Localización en el sitio



Mapa

Fotografía conjunto



Cédula de Conjunto arquitectónico

Sitio Chinikihá

Conjunto CHK/E23

Tipo de Conjunto Lineal

Emplazamiento Pie de Monte

Preparación del terreno Nignuna

N estructuras 3

Área espacio compartido/
espacio disponible (m2)

Existe una estructura sobresaliente No Nr. Estructura sobresaliente No

Porque sobresale

Distancia mínima de otro conjunto (m) 9,53

Excavado No

Operación(es)

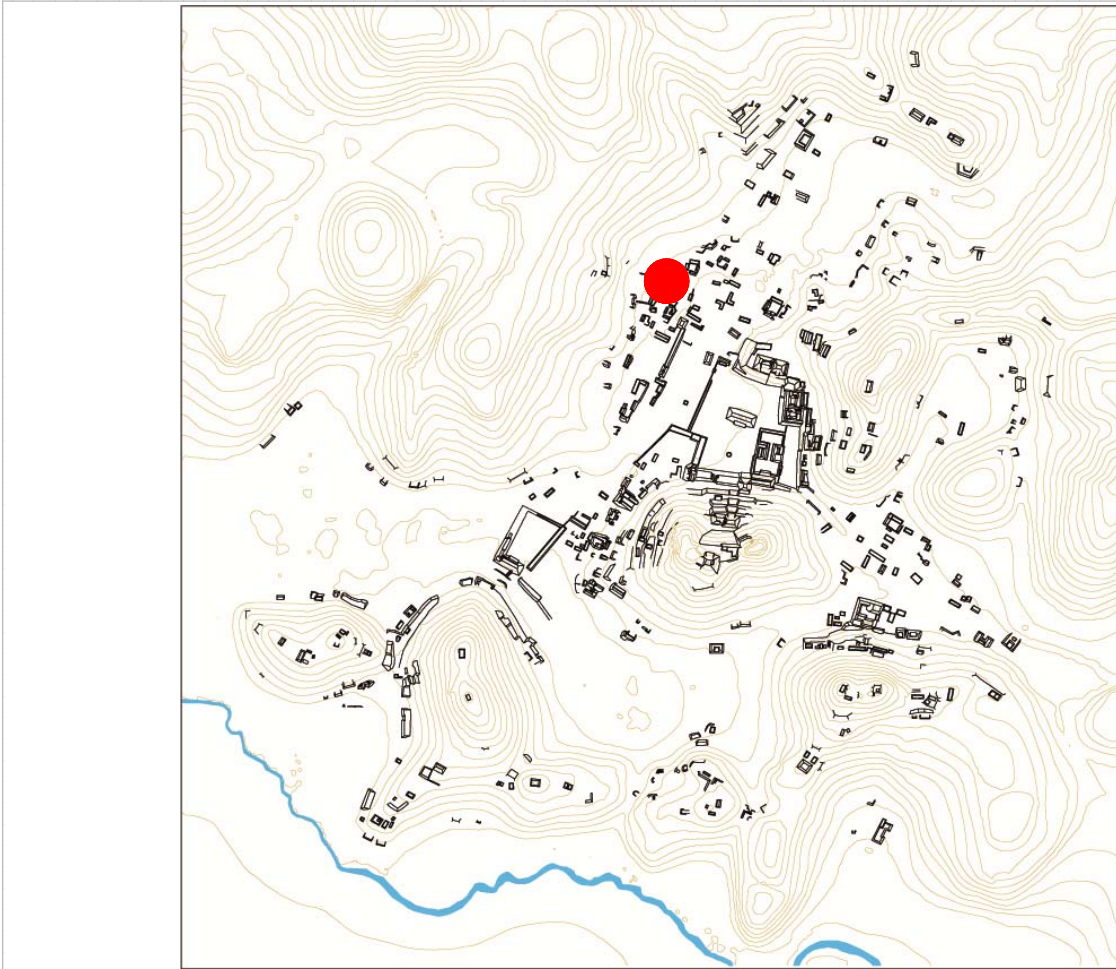
Estructuras de este Conjunto

Estructura	Área	Altura	Volumen	Tipo de estructura
E-40	38,22	Mts2 ,5	Mts 19,11	Mts3 plataforma rectangular
E-41	23,46	Mts2 ,3	Mts 7,038	Mts3 plataforma rectangular

Observaciones

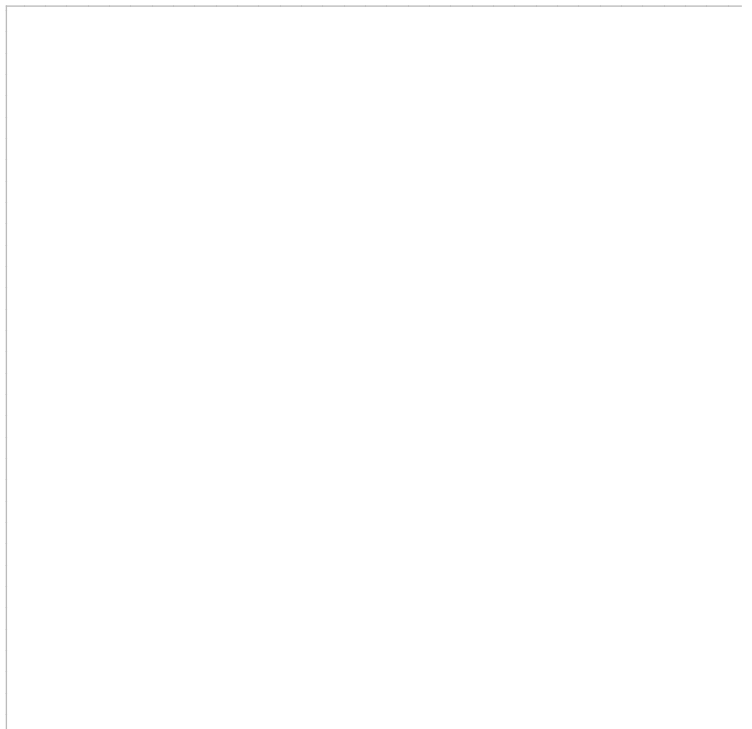
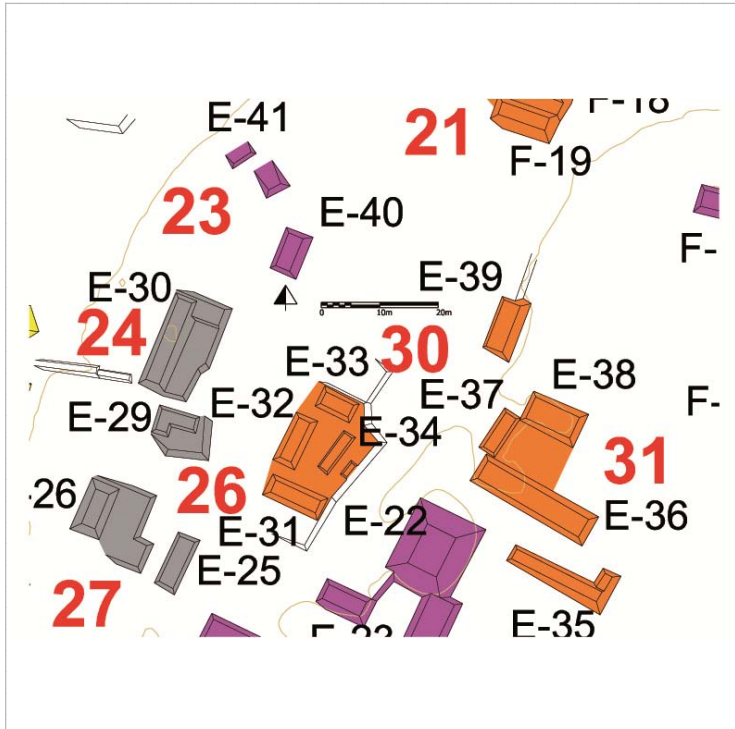
Se trata de un conjunto lineal compuesto por pequeñas plataformas.

Localización en el sitio



Mapa

Fotografía conjunto



Cédula de Conjunto arquitectónico

Sitio

Conjunto

Tipo de Conjunto

Emplazamiento

Preparación del terreno

N estructuras

Área espacio compartido/
espacio disponible (m2)

Existe una estructura sobresaliente Nr. Estructura sobresaliente

Porque sobresale

Distancia mínima de otro conjunto (m)

Excavado

Operación(es)

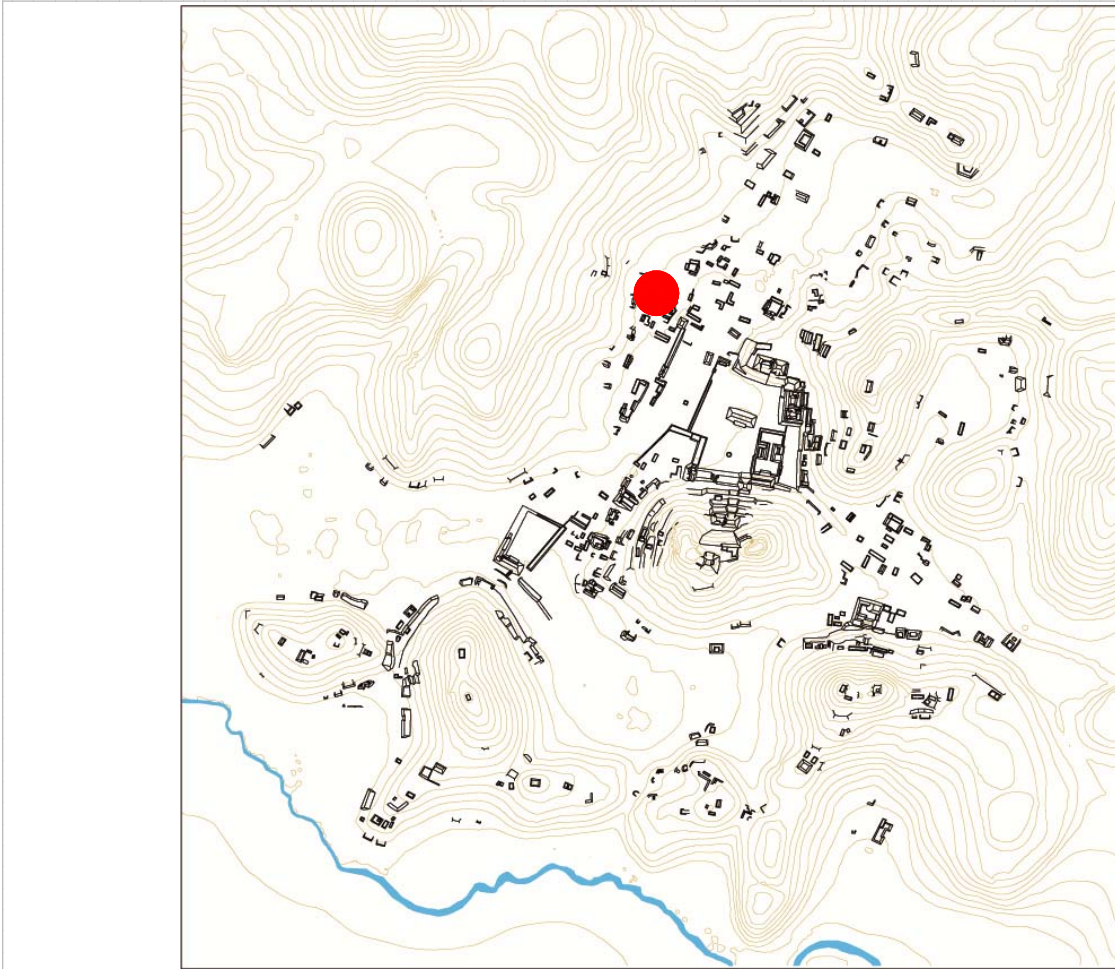
Estructuras de este Conjunto

Estructura	Área	Altura	Volumen	Tipo de estructura
E-30	65,52	Mts2 ,5	Mts 32,76	Mts3 plataforma rectangular

Observaciones

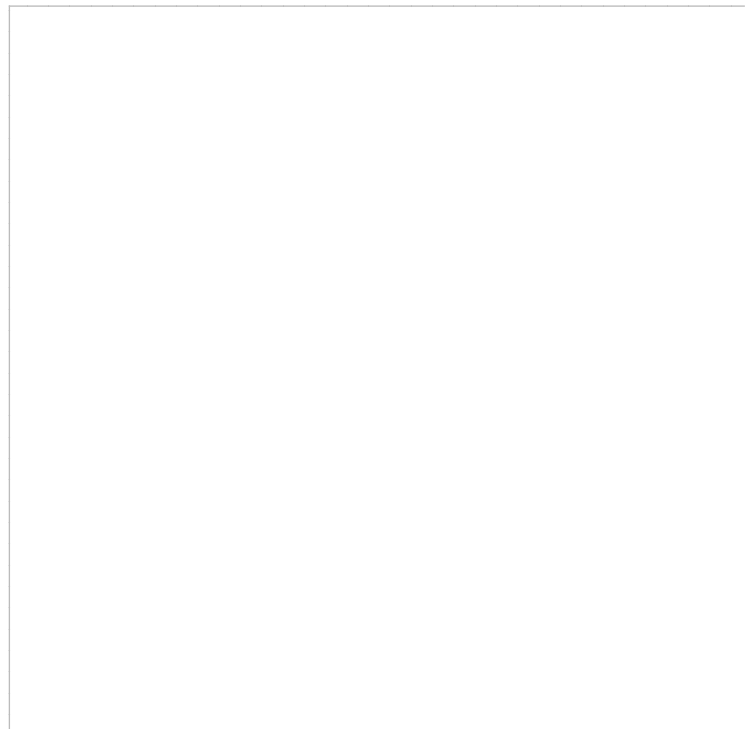
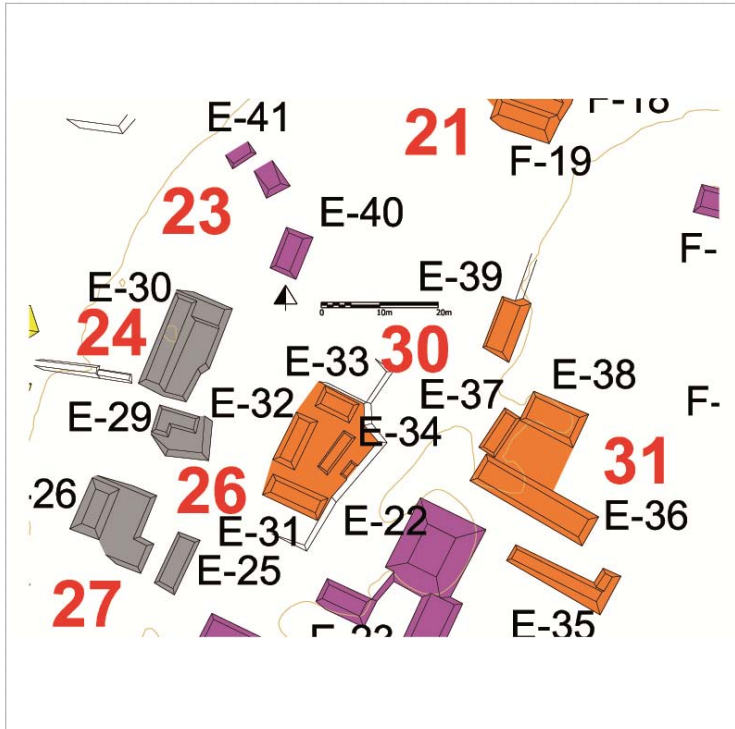
Este conjunto se inserta en una serie de conjuntos de tipo "basal" de dimensiones modestas que soportan una sólo estructura. El basamento casi completamente artificial lleva a considerarlos conjuntos basales más que del tipo patio.

Localización en el sitio



Mapa

Fotografía conjunto



Cédula de Conjunto arquitectónico

Sitio

Conjunto

Tipo de Conjunto

Emplazamiento

Preparación del terreno

N estructuras

Área espacio compartido/
espacio disponible (m2)

Existe una estructura sobresaliente Nr. Estructura sobresaliente

Porque sobresale

Distancia mínima de otro conjunto (m)

Excavado

Operación(es)

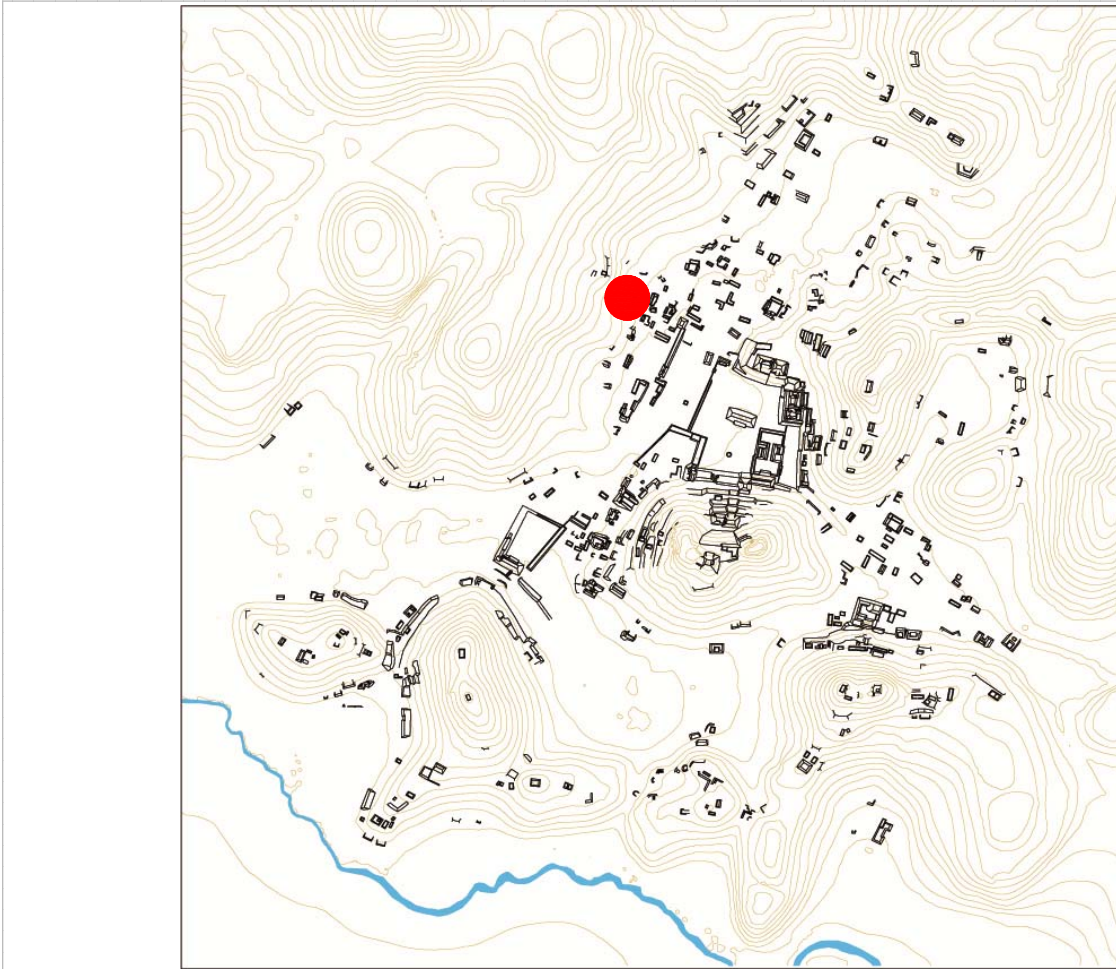
Estructuras de este Conjunto

Estructura	Área	Altura	Volumen	Tipo de estructura
E-28	76,76	Mts2 1,5	Mts 115,14	Mts3 plataforma rectangular

Observaciones

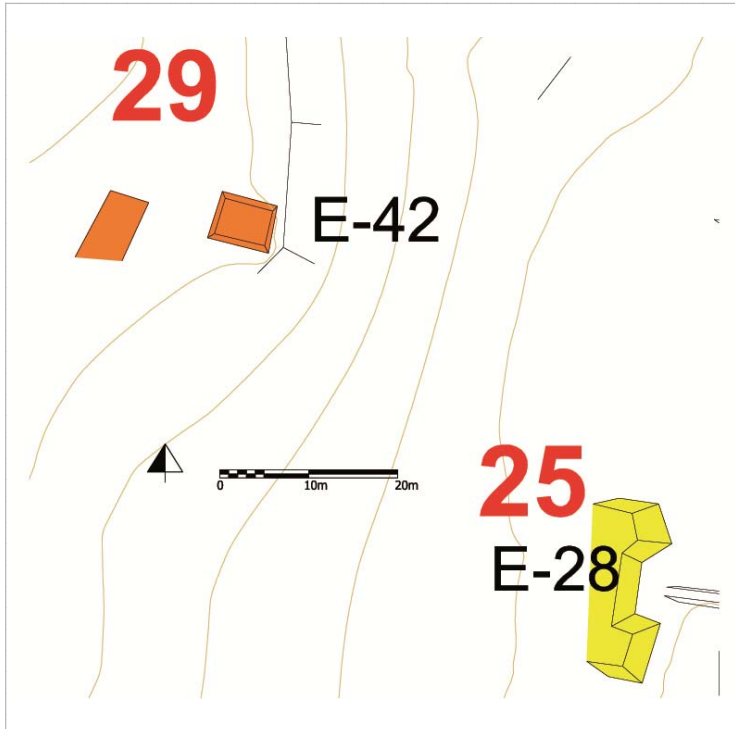
Se trata de una terraza parcialmente artificial en la ladera del cerro, de dimensiones considerables.

Localización en el sitio



Mapa

Fotografía conjunto



Cédula de Conjunto arquitectónico

Sitio

Conjunto

Tipo de Conjunto

Emplazamiento

Preparación del terreno

N estructuras

Área espacio compartido/
espacio disponible (m2)

Existe una estructura sobresaliente Nr. Estructura sobresaliente

Porque sobresale

Distancia mínima de otro conjunto (m)

Excavado

Operación(es)

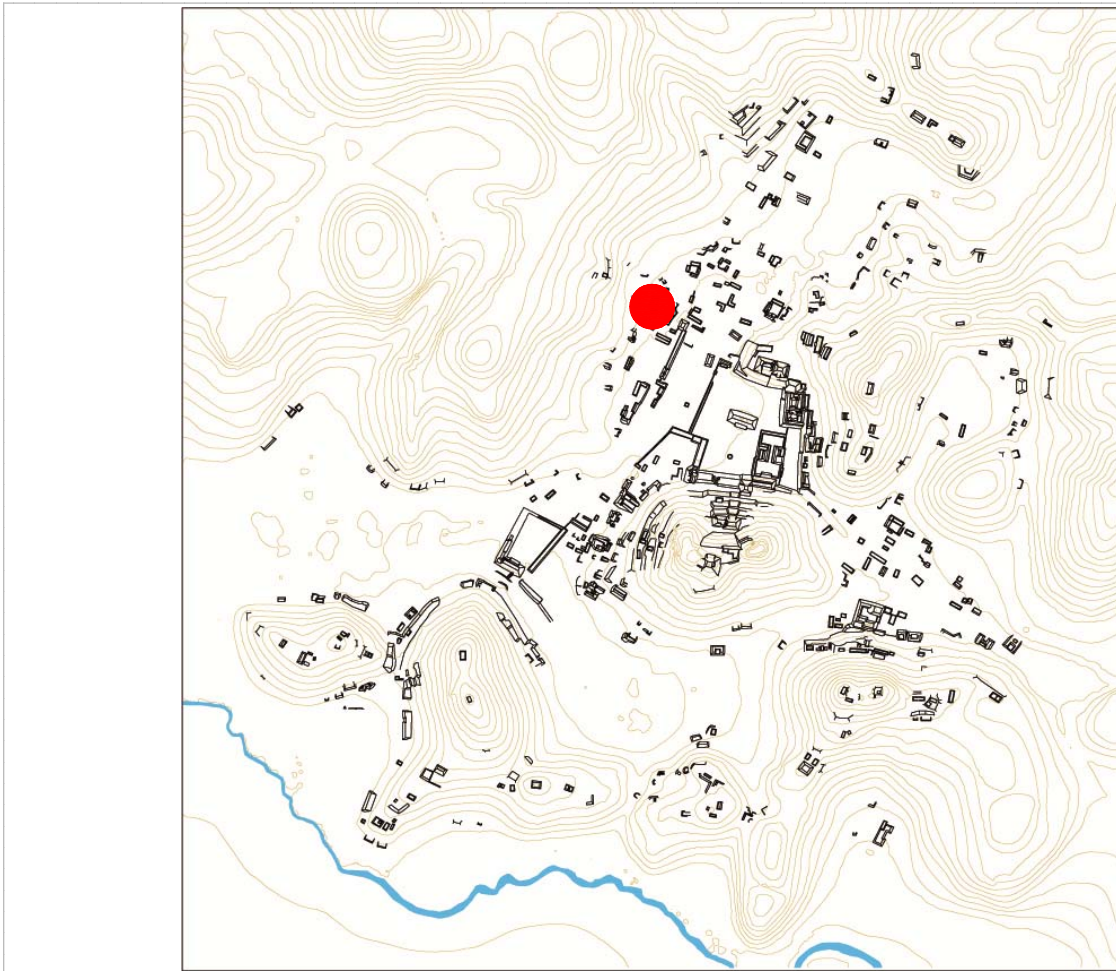
Estructuras de este Conjunto

Estructura	Área	Altura	Volumen	Tipo de estructura
E-29	34,08	Mts2 ,5	Mts 17,04	Mts3 plataforma en forma de L

Observaciones

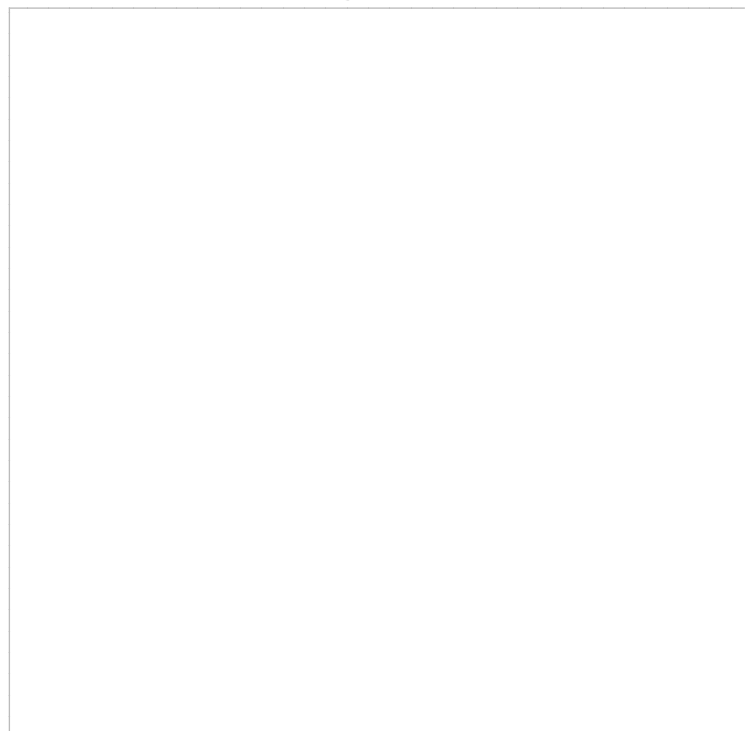
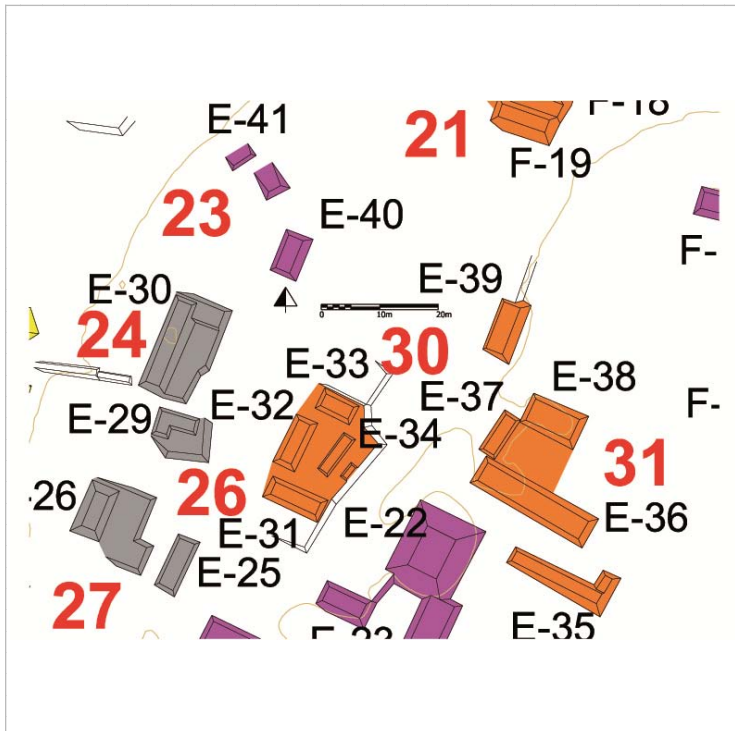
Este conjunto se inserta en una serie de conjuntos de tipo "basal" de dimensiones modestas que soportan una sólo estructura. El basamento casi completamente artificial lleva a considerarlos conjuntos basales más que del tipo patio.

Localización en el sitio



Mapa

Fotografía conjunto



Cédula de Conjunto arquitectónico

Sitio

Conjunto

Tipo de Conjunto

Emplazamiento

Preparación del terreno

N estructuras

Área espacio compartido/
espacio disponible (m2)

Existe una estructura sobresaliente Nr. Estructura sobresaliente

Porque sobresale

Distancia mínima de otro conjunto (m)

Excavado

Operación(es)

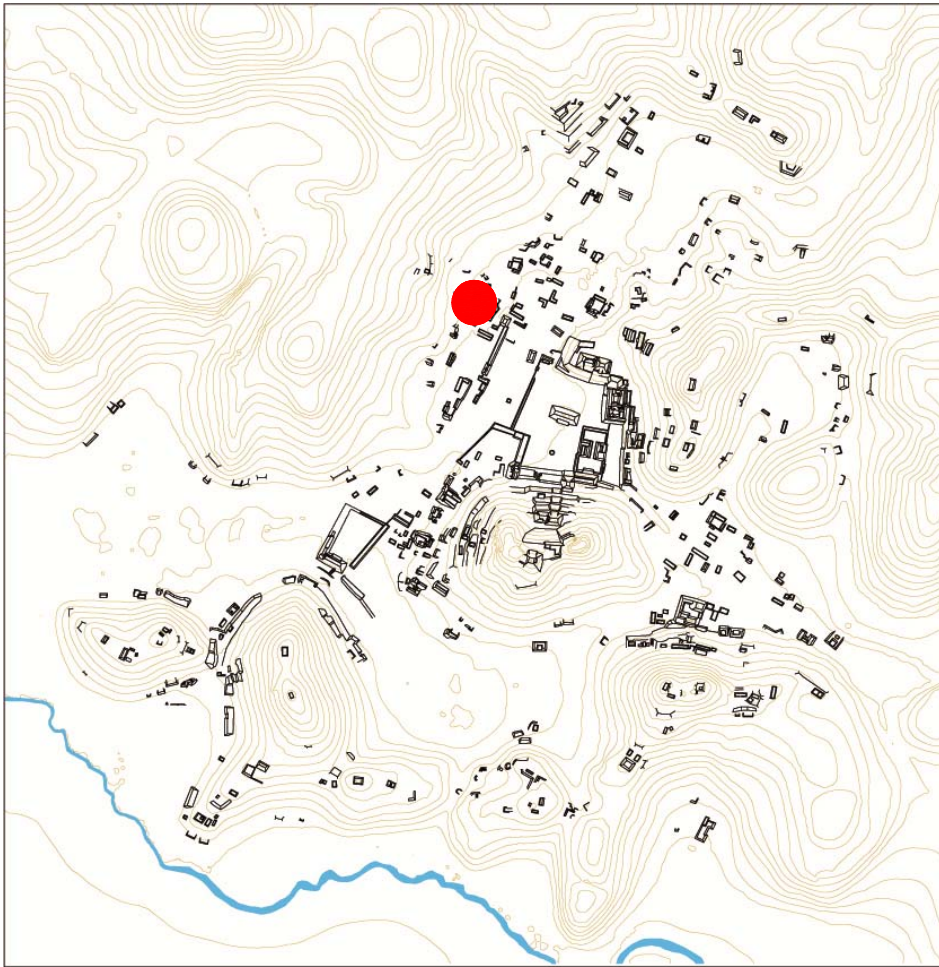
Estructuras de este Conjunto

Estructura	Área	Altura	Volumen	Tipo de estructura
E-25	41,2	Mts2 ,5	Mts 20,6	Mts3 plataforma rectangular
E-26	50,88	Mts2 ,5	Mts 25,44	Mts3 plataforma rectangular

Observaciones

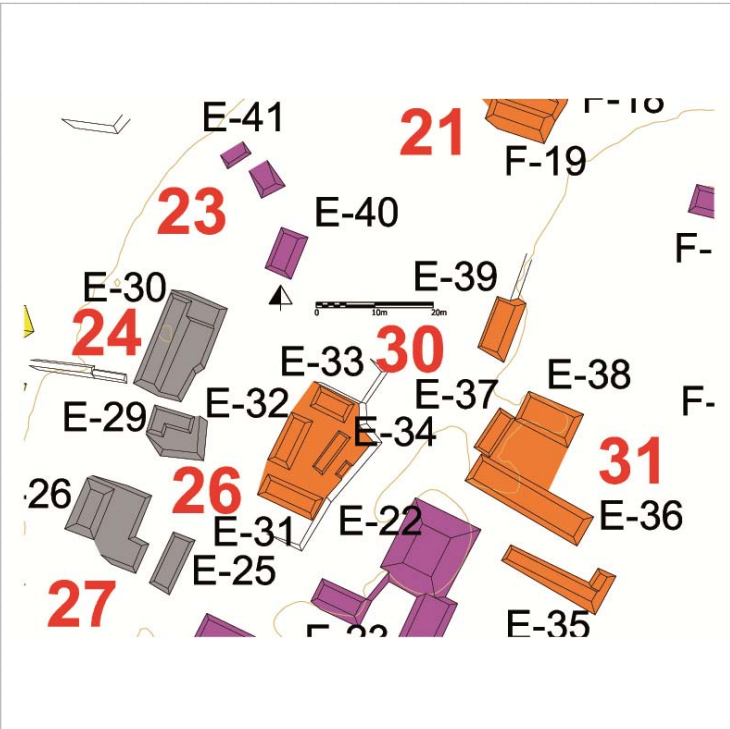
Este conjunto se inserta en una serie de conjuntos de tipo "basal" de dimensiones modestas que soportan una sólo estructura. El basamento casi completamente artificial lleva a considerarlos conjuntos basales más que del tipo patio. A éste se le asocia una estructura por cercanía, al Este, a una distancia de 2.8 mts.

Localización en el sitio



Mapa

Fotografía conjunto



Cédula de Conjunto arquitectónico

Sitio

Conjunto

Tipo de Conjunto

Emplazamiento

Preparación del terreno

N estructuras

Área espacio compartido/
espacio disponible (m2)

Existe una estructura sobresaliente Nr. Estructura sobresaliente

Porque sobresale

Distancia mínima de otro conjunto (m)

Excavado

Operación(es)

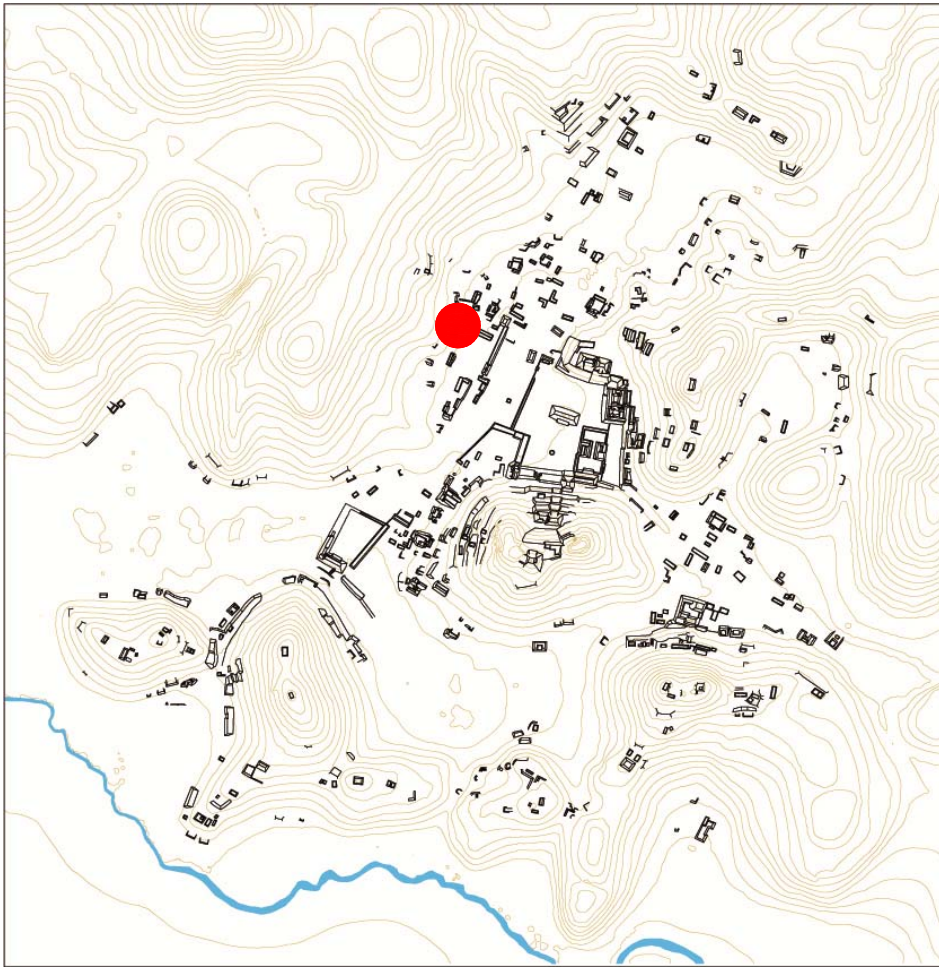
Estructuras de este Conjunto

Estructura	Área	Altura	Volumen	Tipo de estructura
E-27	25,83	Mts2 1,5	Mts 38,745	Mts3 plataforma rectangular

Observaciones

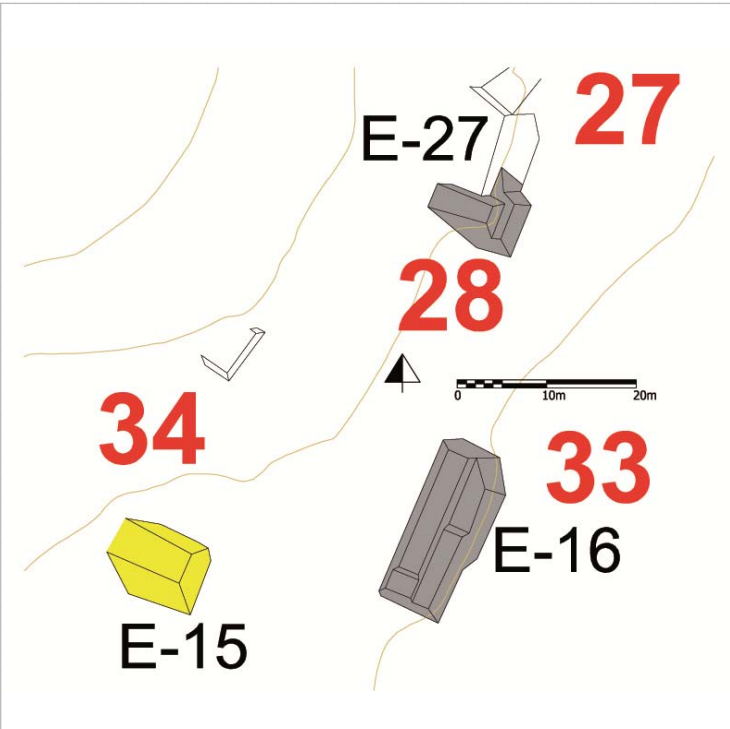
El basamento de este conjunto, es parcialmente artificial, ya que para construirlo se aprovechó parte de la ladera del cerro.

Localización en el sitio



Mapa

Fotografía conjunto



Cédula de Conjunto arquitectónico

Sitio

Conjunto

Tipo de Conjunto

Emplazamiento

Preparación del terreno

N estructuras

Área espacio compartido/
espacio disponible (m2)

Existe una estructura sobresaliente Nr. Estructura sobresaliente

Porque sobresale

Distancia mínima de otro conjunto (m)

Excavado

Operación(es)

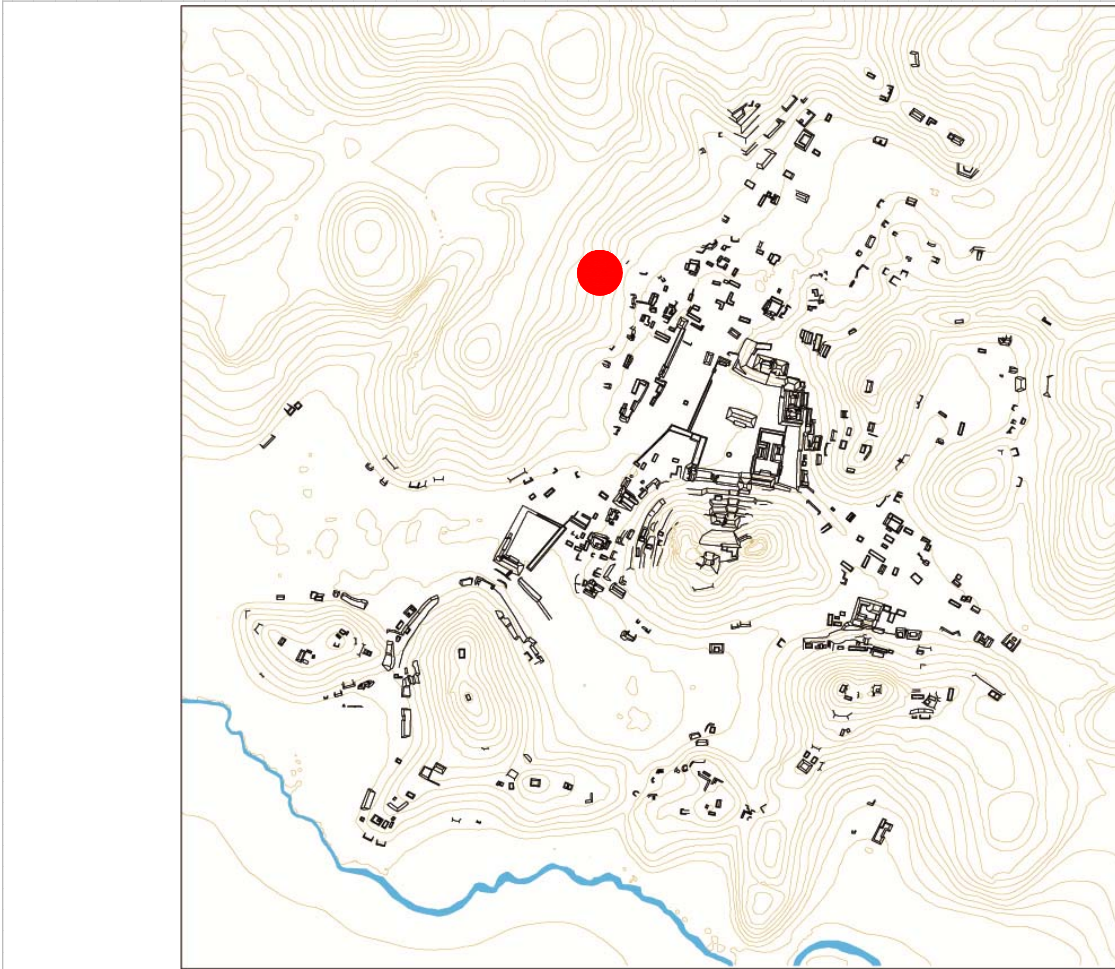
Estructuras de este Conjunto

Estructura	Área	Altura	Volumen	Tipo de estructura
E-42	37,8	Mts2 ,5	Mts 18,9	Mts3 plataforma rectangular

Observaciones

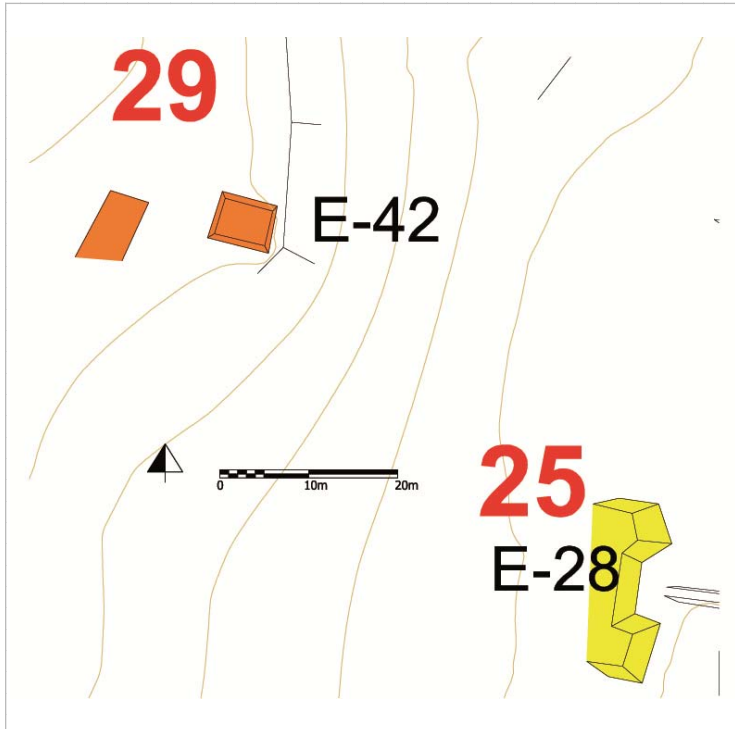
Se trata de dos estructuras de dimensiones modestas que ocupan una terraza parcialmente natural en la ladera del cerro. Por su posición recíproca y emplazamiento se les consideró formar un conjunto tipo patio.

Localización en el sitio



Mapa

Fotografía conjunto



Cédula de Conjunto arquitectónico

Sitio Chinikihá

Conjunto CHK/E30

Tipo de Conjunto Patio

Emplazamiento Planicie

Preparación del terreno Contención
Nivelación

N estructuras 4

Área espacio compartido/
espacio disponible (m2) 55,57

Existe una estructura sobresaliente E-31 Nr. Estructura sobresaliente E-31

Porque sobresale Volumen constructivo

Distancia mínima de otro conjunto (m) 11,13

Excavado NO

Operación(es)

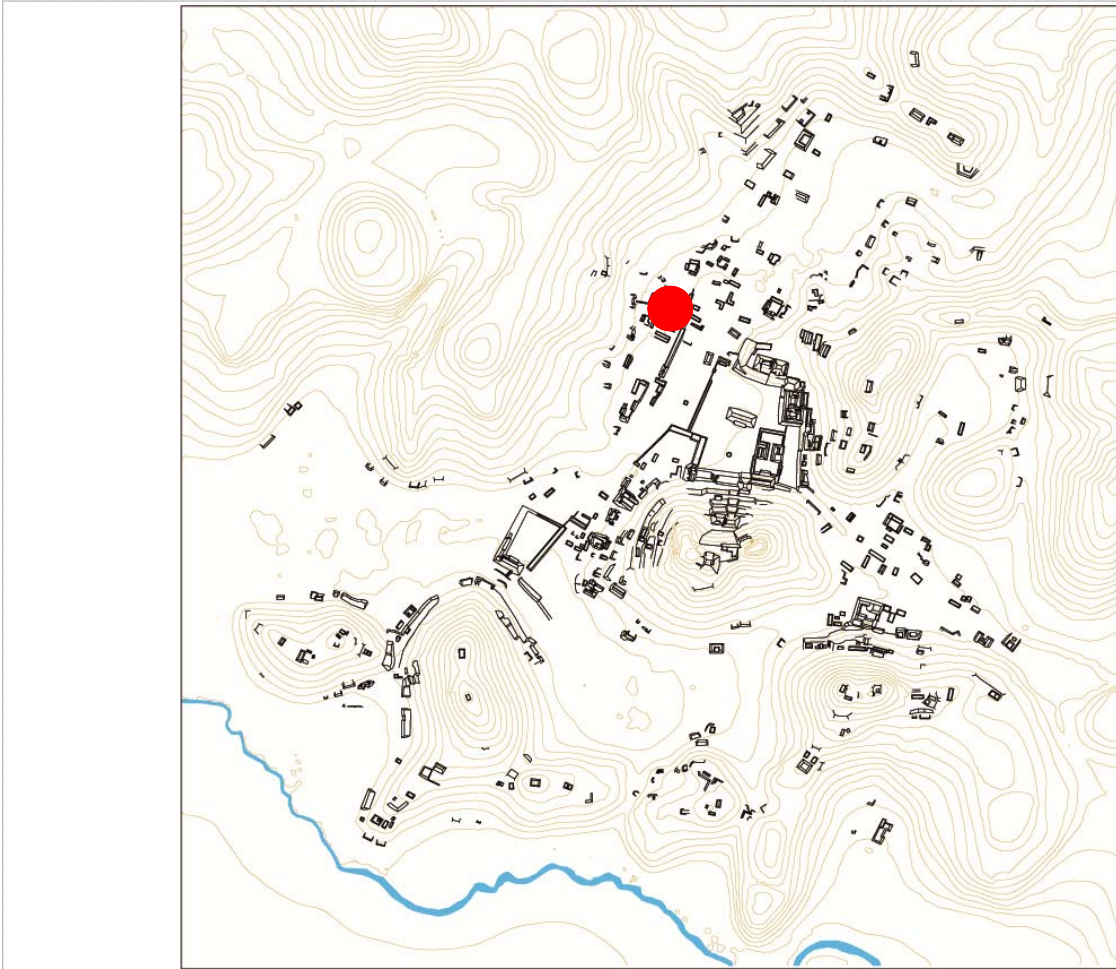
Estructuras de este Conjunto

Estructura	Área	Altura	Volumen	Tipo de estructura
E-31	41,2	Mts2 ,5	Mts 20,6	Mts3 plataforma rectangular
E-32	36,4	Mts2 ,3	Mts 10,92	Mts3 plataforma rectangular
E-33	25,08	Mts2 ,3	Mts 7,524	Mts3 plataforma rectangular
E-34	17,71	Mts2 ,3	Mts 5,313	Mts3 plataforma rectangular

Observaciones

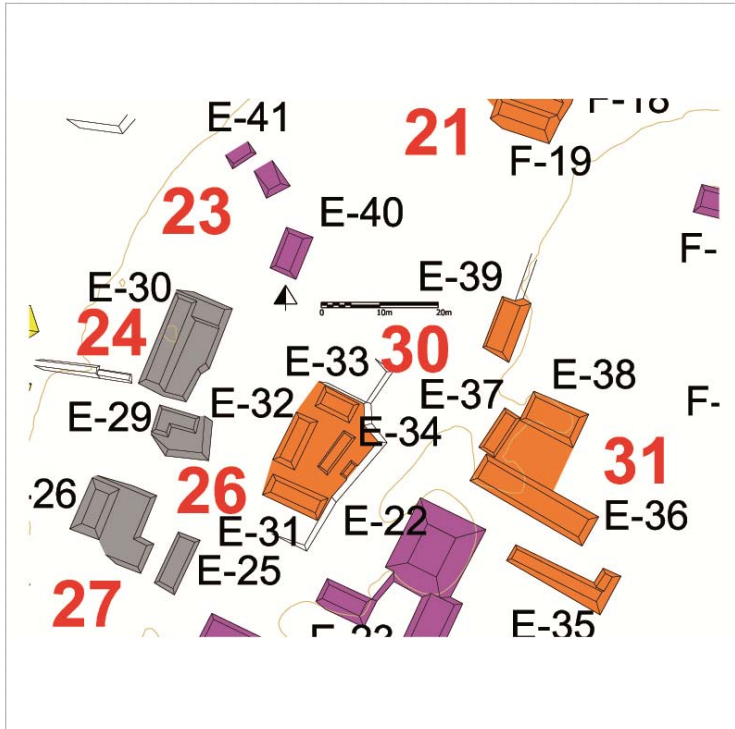
En este conjunto tipo patio las estructuras conforman un estrecho espacio central, sin embargo la E34 goza de un área abierta atrás, hacia el Este. Para construir el conjunto se adaptó la morfología del terreno gracias a obras de contención y nivelación.

Localización en el sitio



Mapa

Fotografía conjunto



Cédula de Conjunto arquitectónico

Sitio Chinikihá

Conjunto CHK/E31

Tipo de Conjunto Patio

Emplazamiento Planicie

Preparación del terreno Nignuna

N estructuras 5

Área espacio compartido/
espacio disponible (m2) 87,3

Existe una estructura sobresaliente E-36 Nr. Estructura sobresaliente E-36

Porque sobresale Volumen constructivo

Distancia mínima de otro conjunto (m) 6,62

Excavado No

Operación(es)

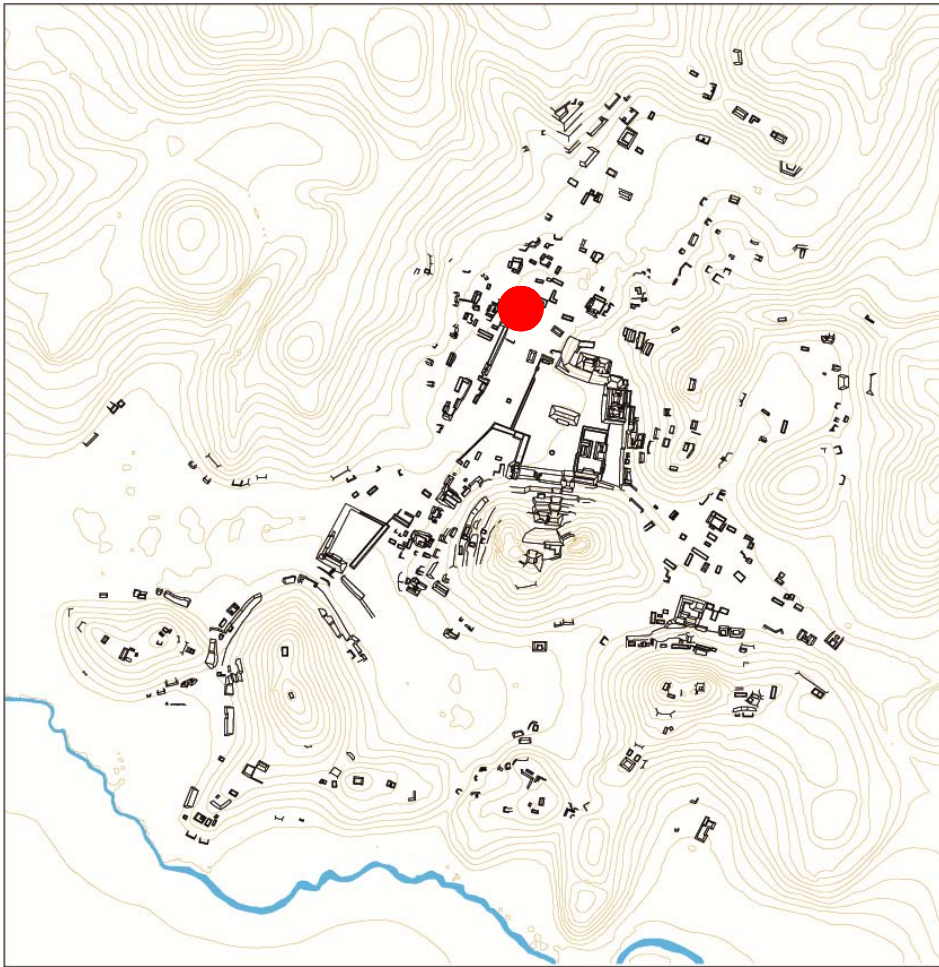
Estructuras de este Conjunto

Estructura	Área	Altura	Volumen	Tipo de estructura
E-35	140,6	Mts2 ,5	Mts 70,3	Mts3 plataforma en forma de L
E-36	117,66	Mts2 ,5	Mts 58,83	Mts3 plataforma rectangular
E-37	25,92	Mts2 ,3	Mts 7,776	Mts3 plataforma rectangular
E-38	64,26	Mts2 ,5	Mts 32,13	Mts3 plataforma rectangular
E-39	56,16	Mts2 ,5	Mts 28,08	Mts3 plataforma rectangular

Observaciones

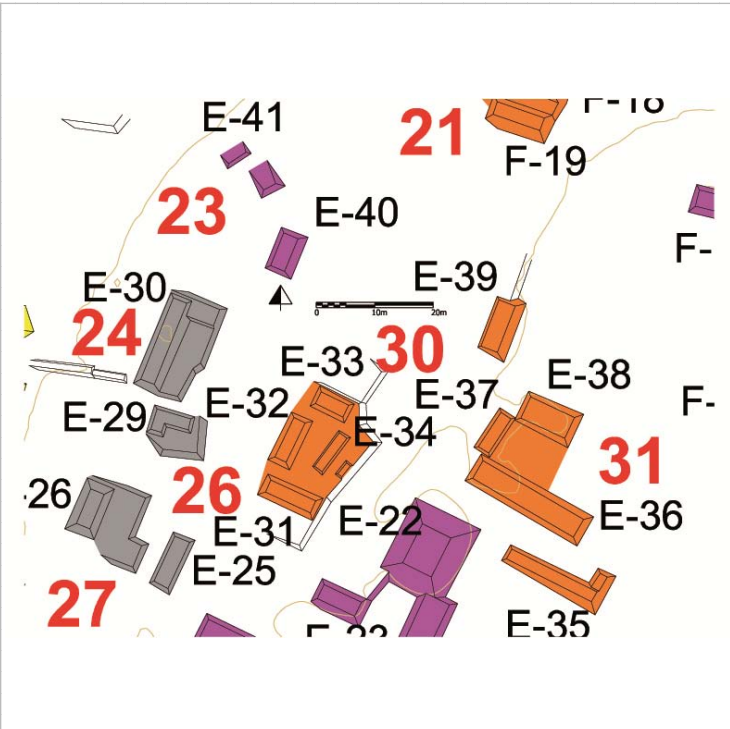
El patio de este conjunto es enmarcado por 3 estructuras, en donde la E-36, en el lado sur, sobresale por su dimensiones, siendo una plataforma baja y larga. por cercanía y características formales (E-35) se le asocian dos plataforma, la E-39 y al E-35, en forma de L. Ésta conforma con la E-36 un passillo en dirección E-O.

Localización en el sitio



Mapa

Fotografía conjunto



Cédula de Conjunto arquitectónico

Sitio Chinikihá

Conjunto CHK/E32

Tipo de Conjunto Lineal

Emplazamiento Planicie

Preparación del terreno Nignuna

N estructuras 8

Área espacio compartido/
espacio disponible (m2)

Existe una estructura sobresaliente E-21 Nr. Estructura sobresaliente E-21

Porque sobresale Volumen constructivo

Distancia mínima de otro conjunto (m) 5,87

Excavado Si

Operación(es) 12

Estructuras de este Conjunto

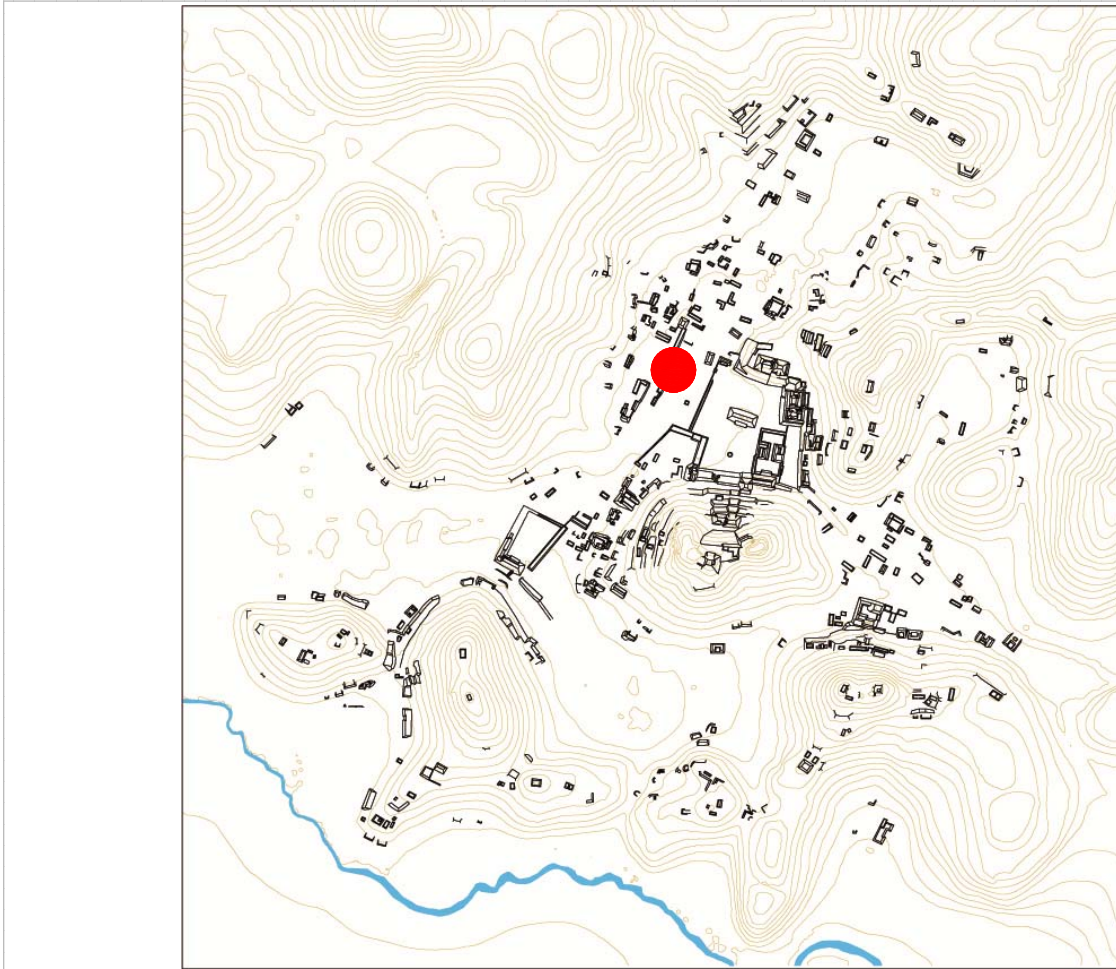
Estructura	Área	Altura	Volumen	Tipo de estructura
E-17	73,08	Mts2 1	Mts 73,08	Mts3 plataforma rectangular
E-18	98,82	Mts2 1	Mts 98,82	Mts3 plataforma rectangular
E-19	100,48	Mts2 1	Mts 100,48	Mts3 plataforma rectangular
E-20	153,9	Mts2 1,5	Mts 230,85	Mts3 plataforma rectangular
E-21	416,77	Mts2 ,5	Mts 208,385	Mts3 plataforma rectangular
E-22	163,75	Mts2 2,5	Mts 409,375	Mts3 plataforma rectangular

Observaciones

Este conjunto lineal es constituido por estructuras con características formales diferentes; la E-21 es la que sobresale siendo una plataforma larga (más de 58 mts en sentido este-oeste por 7 mts) que se desarrolla paralelamente al terraplen que delimita la plaza principal, con una distancia entre ellos de más de 60 mts. La estr. E-22 sobresale también por tener 2.5 mts de alto.

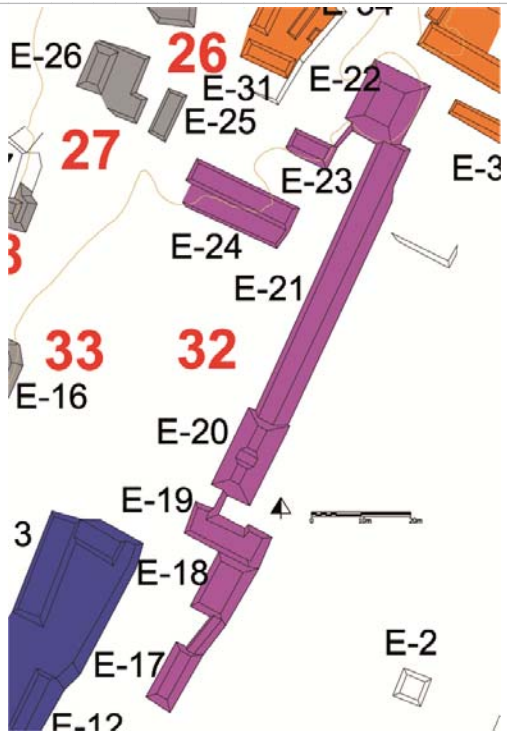
La operación 12 consistió de dos pozos.

Localización en el sitio



Mapa

Fotografía conjunto



Cédula de Conjunto arquitectónico

Sitio

Conjunto

Tipo de Conjunto

Emplazamiento

Preparación del terreno

N estructuras

Área espacio compartido/
espacio disponible (m2)

Existe una estructura sobresaliente

Nr. Estructura sobresaliente

Porque sobresale

Distancia mínima de otro conjunto (m)

Excavado

Operación(es)

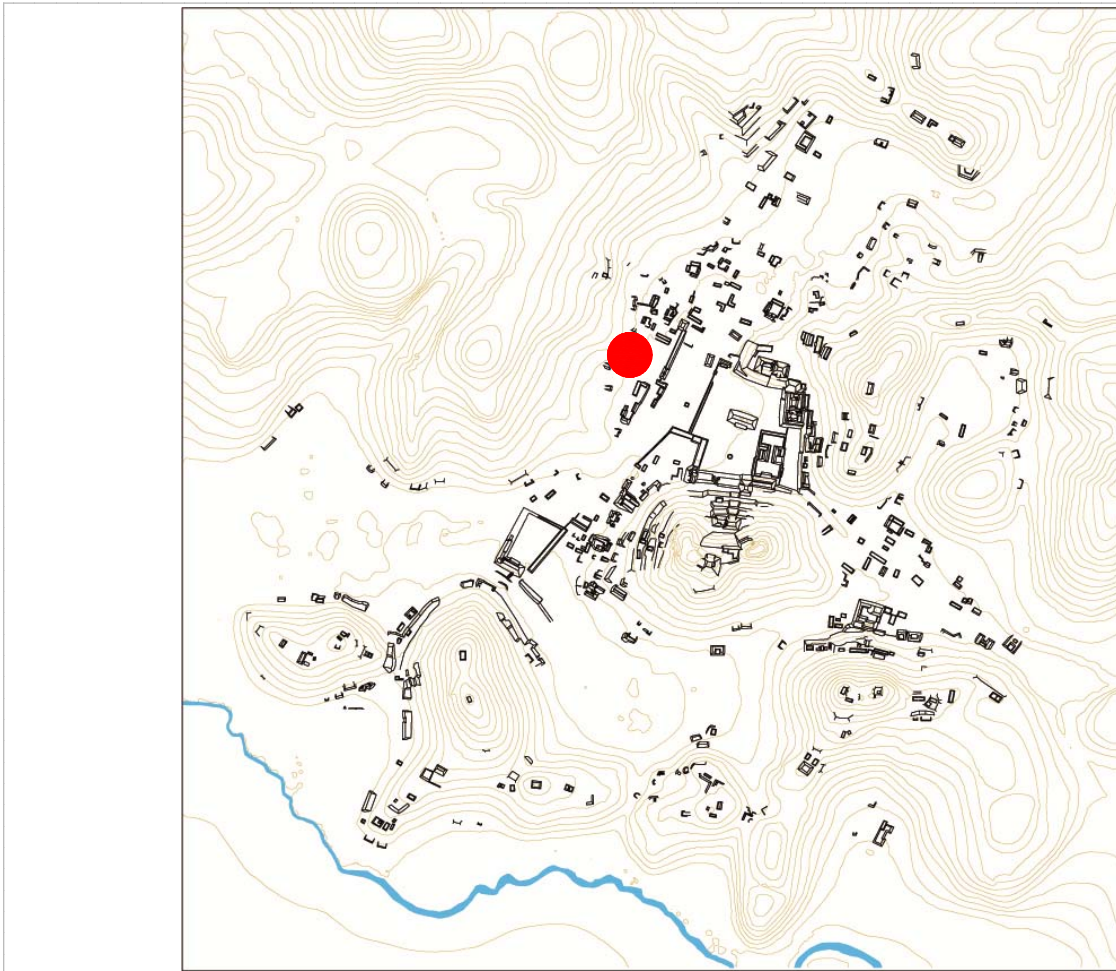
Estructuras de este Conjunto

Estructura	Área	Altura	Volumen	Tipo de estructura
E-16	120,75	Mts2 2	Mts 241,5	Mts3 plataforma rectangular

Observaciones

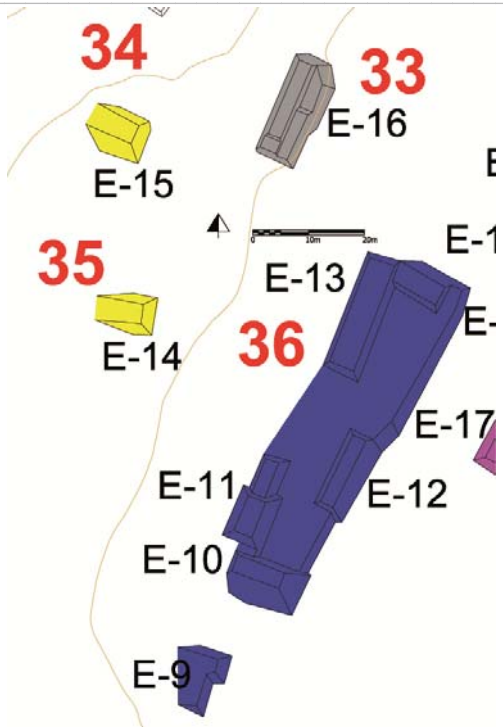
Es el último de los conjuntos basales que se desarrollan en el pie de monte o en sus cercanías; es de tamaño reducido y su basamento se apoya a la ladera del cerro.

Localización en el sitio



Mapa

Fotografía conjunto



Cédula de Conjunto arquitectónico

Sitio

Conjunto

Tipo de Conjunto

Emplazamiento

Preparación del terreno

N estructuras

Área espacio compartido/
espacio disponible (m2)

Existe una estructura sobresaliente Nr. Estructura sobresaliente

Porque sobresale

Distancia mínima de otro conjunto (m)

Excavado

Operación(es)

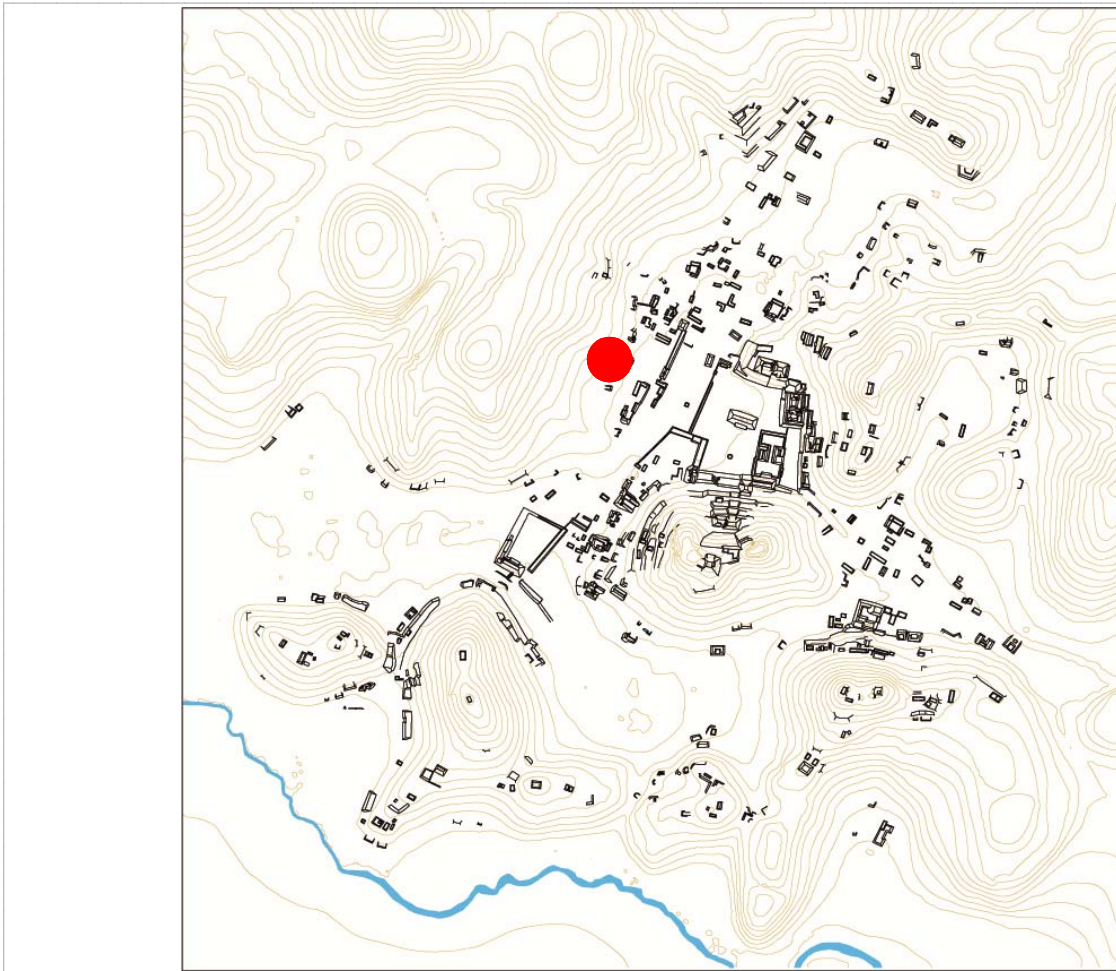
Estructuras de este Conjunto

Estructura	Área	Altura	Volumen	Tipo de estructura
E-15	47,45	Mts2 2	Mts 94,9	Mts3 plataforma rectangular

Observaciones

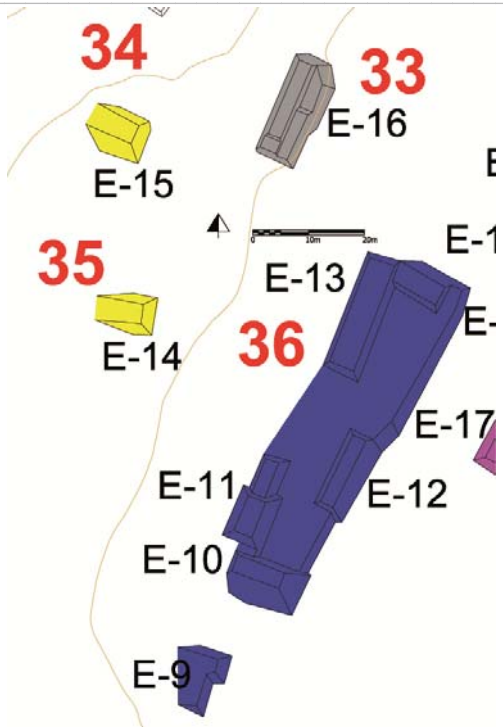
Se trata de una terraza que se construyó aprovechando la topografía.

Localización en el sitio



Mapa

Fotografía conjunto



Cédula de Conjunto arquitectónico

Sitio

Conjunto

Tipo de Conjunto

Emplazamiento

Preparación del terreno

N estructuras

Área espacio compartido/
espacio disponible (m2)

Existe una estructura sobresaliente

Nr. Estructura sobresaliente

Porque sobresale

Distancia mínima de otro conjunto (m)

Excavado

Operación(es)

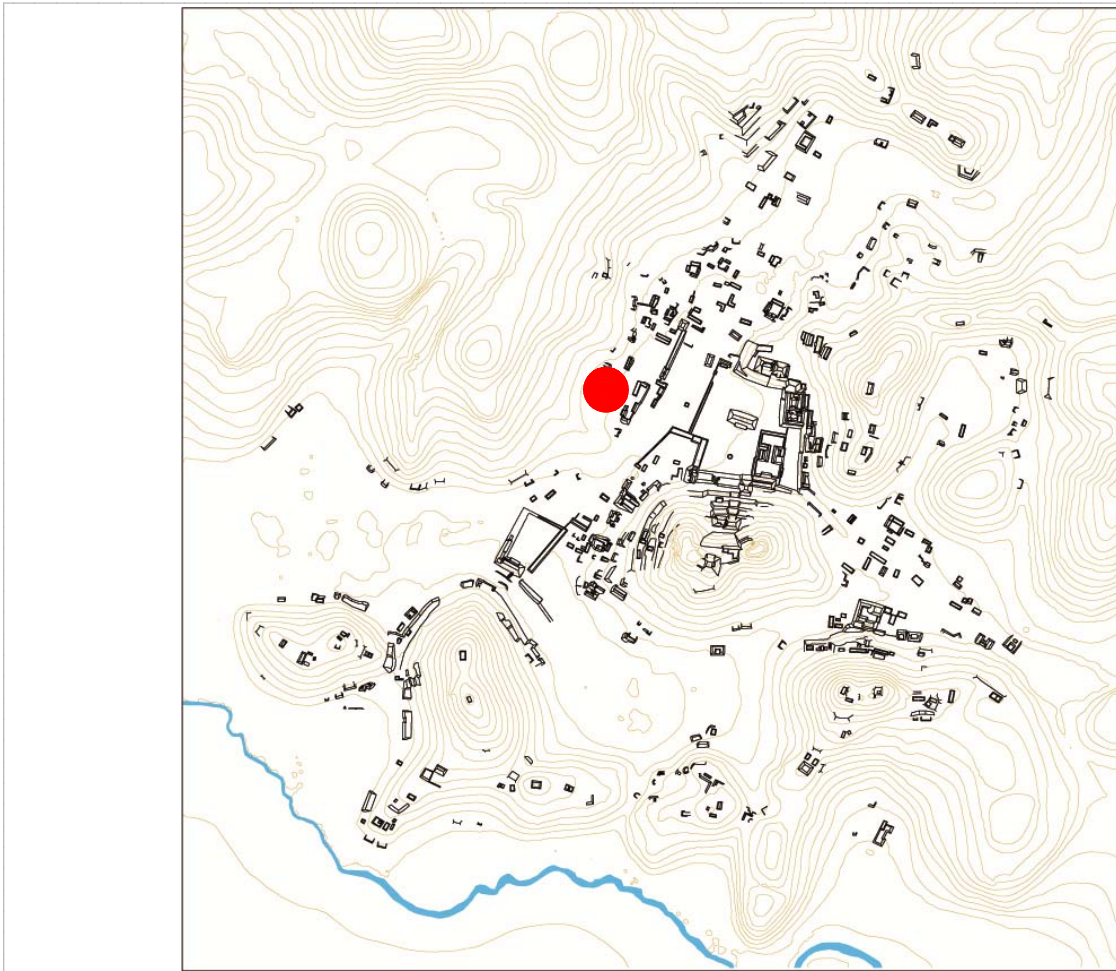
Estructuras de este Conjunto

Estructura	Área	Altura	Volumen	Tipo de estructura
E-14	30,6	Mts2 1,5	Mts 45,9	Mts3 plataforma rectangular

Observaciones

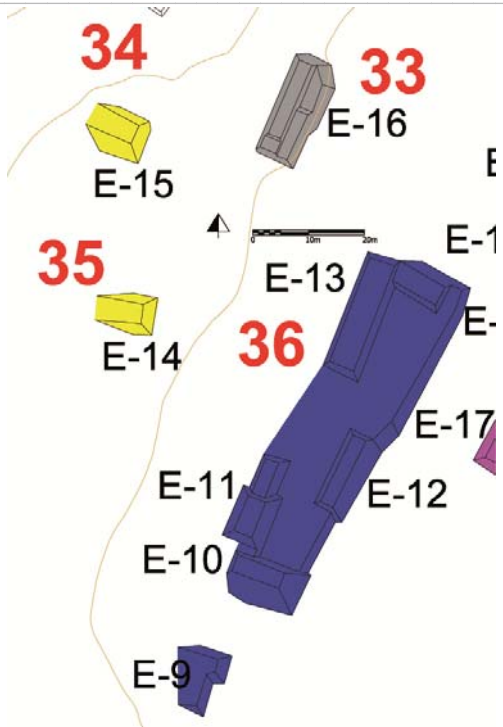
Se trata de una terraza que se construyó aprovechando la topografía.

Localización en el sitio



Mapa

Fotografía conjunto



Cédula de Conjunto arquitectónico

Sitio Chinikihá

Conjunto CHK/E36

Tipo de Conjunto Compuesto

Emplazamiento Planicie

Preparación del terreno Contención
Nivelación

N estructuras 6

Área espacio compartido/
espacio disponible (m2) 548,46

Existe una estructura sobresaliente Si Nr. Estructura sobresaliente Si

Porque sobresale Volumen constructivo

Distancia mínima de otro conjunto (m) E-11

Excavado Si

Operación(es) 11

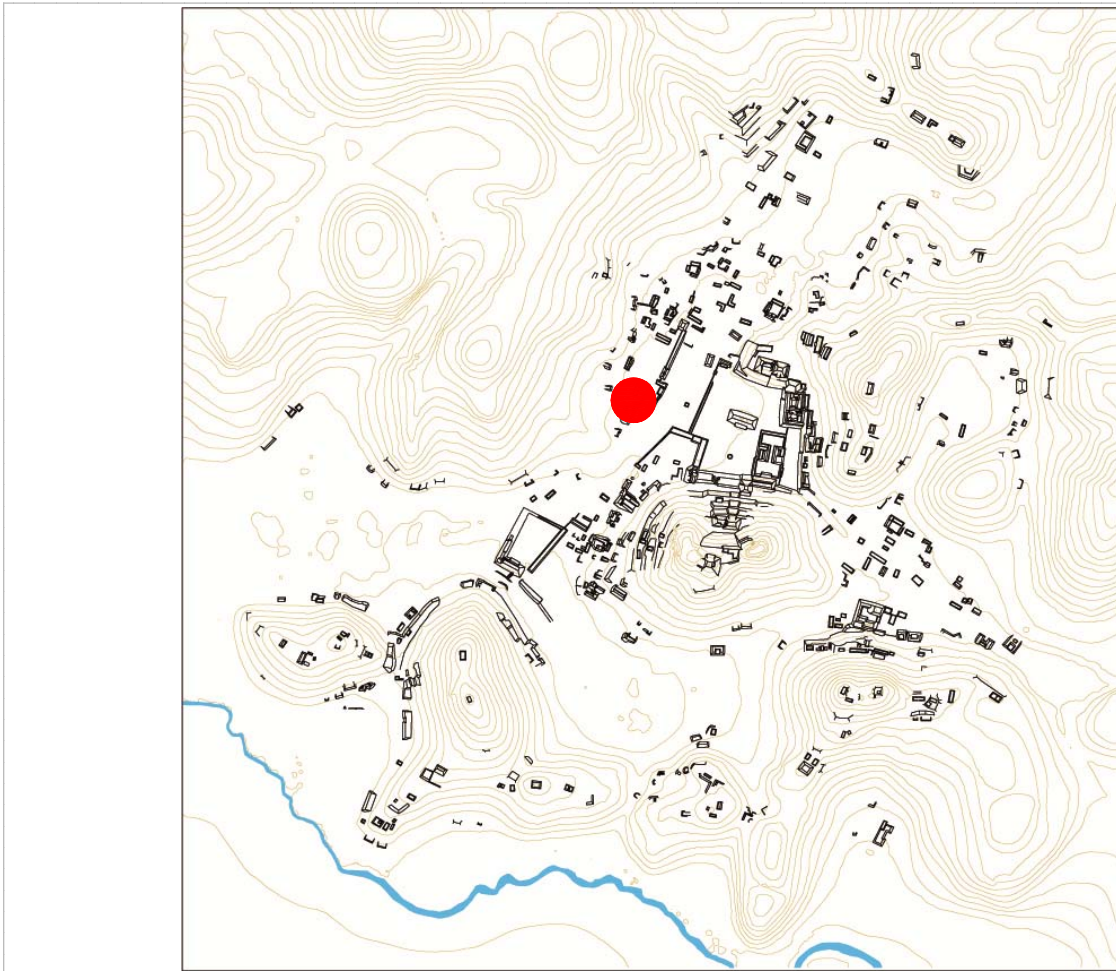
Estructuras de este Conjunto

Estructura	Área	Altura	Volumen	Tipo de estructura
E-10	94,8	Mts2 2	Mts 189,6	Mts3 plataforma rectangular
E-11	108,9	Mts2 1,5	Mts 163,35	Mts3 plataforma rectangular
E-12	67,5	Mts2 1	Mts 67,5	Mts3 plataforma rectangular
E-13	130,2	Mts2 ,5	Mts 65,1	Mts3 plataforma en forma de L
E-9	67,8	Mts2 1,5	Mts 101,7	Mts3 plataforma rectangular

Observaciones

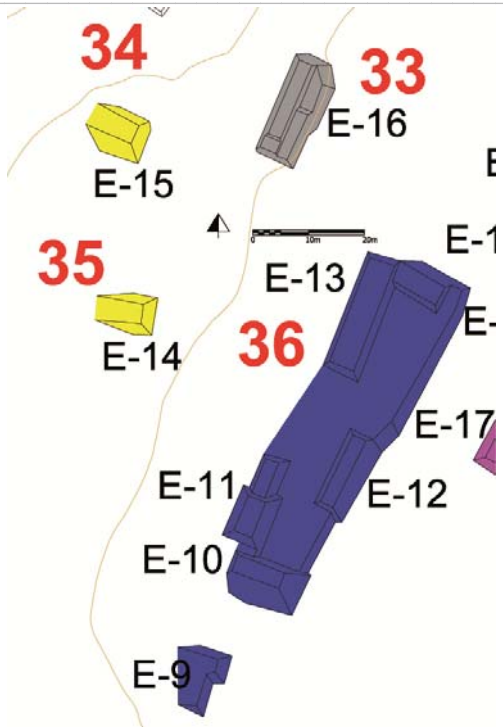
Se trata de un conjunto compuesto por estructuras con diferentes características formales, entre las que sobresale por volumen constructivo e inversión de mano de obra, la E-10. Por lo que se puede observar parece que esta estructura estuvo abovedada. El conjunto se levanta en una terraza cuyo lafo Este fue modificado para nivelar el terreno; el patio es un espacio alargado en sentido Norte-Sur. Por cercanía de le asocia una estructura en el lado sur, afuera del espacio común, la E-9.

Localización en el sitio



Mapa

Fotografía conjunto



Cédula de Conjunto arquitectónico

Sitio

Conjunto

Tipo de Conjunto

Emplazamiento

Preparación del terreno

N estructuras

Área espacio compartido/
espacio disponible (m2)

Existe una estructura sobresaliente

Nr. Estructura sobresaliente

Porque sobresale

Distancia mínima de otro conjunto (m)

Excavado

Operación(es)

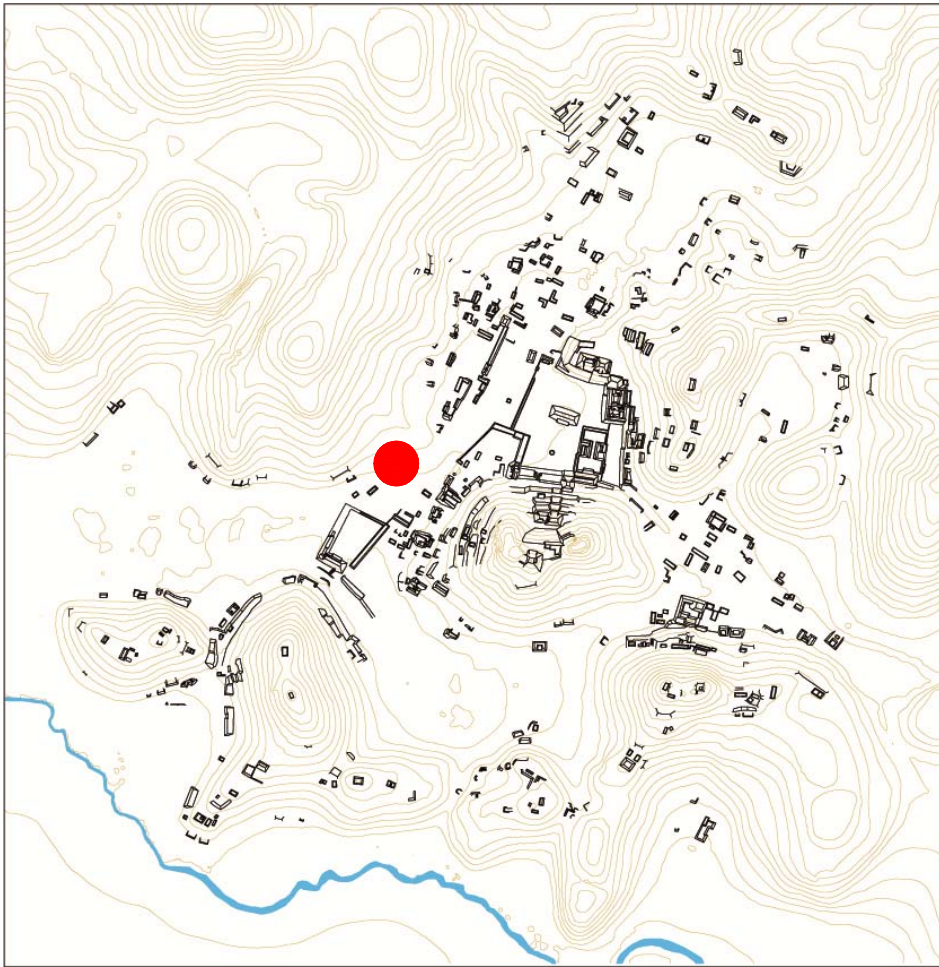
Estructuras de este Conjunto

Estructura	Área	Altura	Volumen	Tipo de estructura
D-40	96,8	Mts2 ,5	Mts 48,4	Mts3 plataforma rectangular

Observaciones

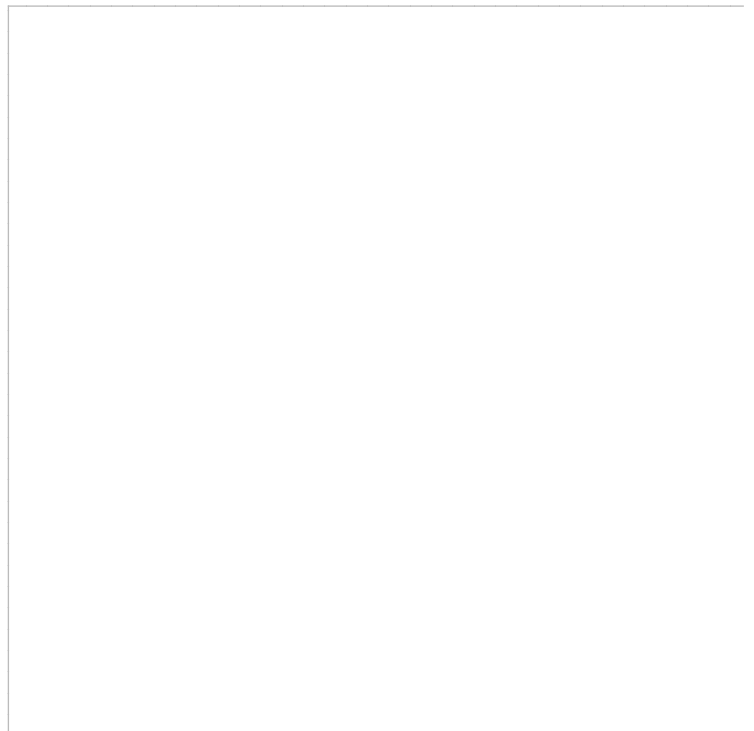
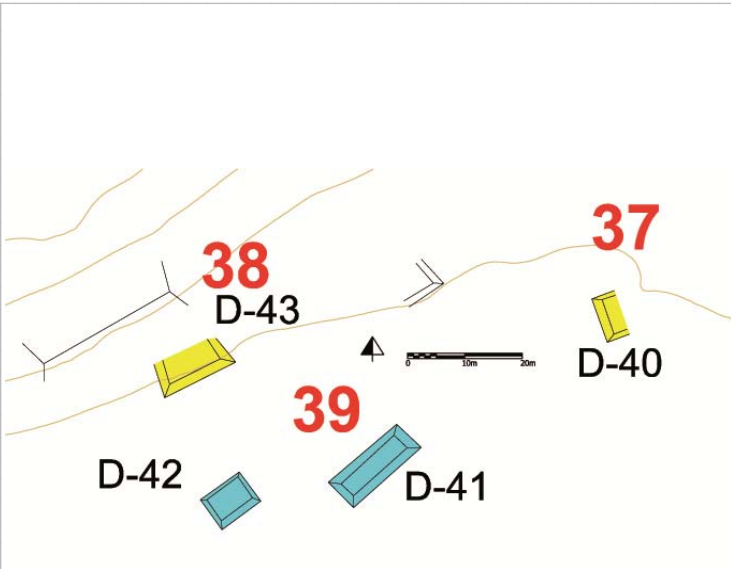
Se trata de una plataforma aislada en pésimo estado de conservación.

Localización en el sitio



Mapa

Fotografía conjunto



Cédula de Conjunto arquitectónico

Sitio

Conjunto

Tipo de Conjunto

Emplazamiento

Preparación del terreno

N estructuras

Área espacio compartido/
espacio disponible (m2)

Existe una estructura sobresaliente Nr. Estructura sobresaliente

Porque sobresale

Distancia mínima de otro conjunto (m)

Excavado

Operación(es)

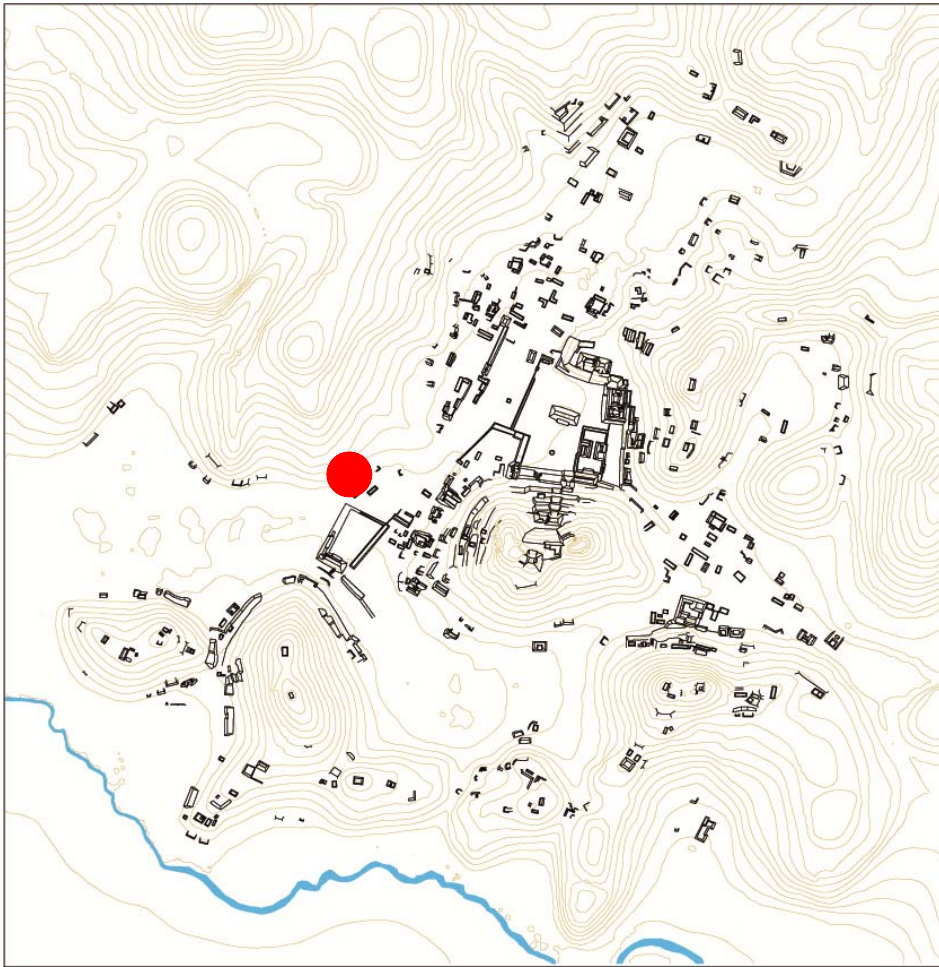
Estructuras de este Conjunto

Estructura	Área	Altura	Volumen	Tipo de estructura
D-43	73,14	Mts2 ,4	Mts 29,256	Mts3 plataforma rectangular

Observaciones

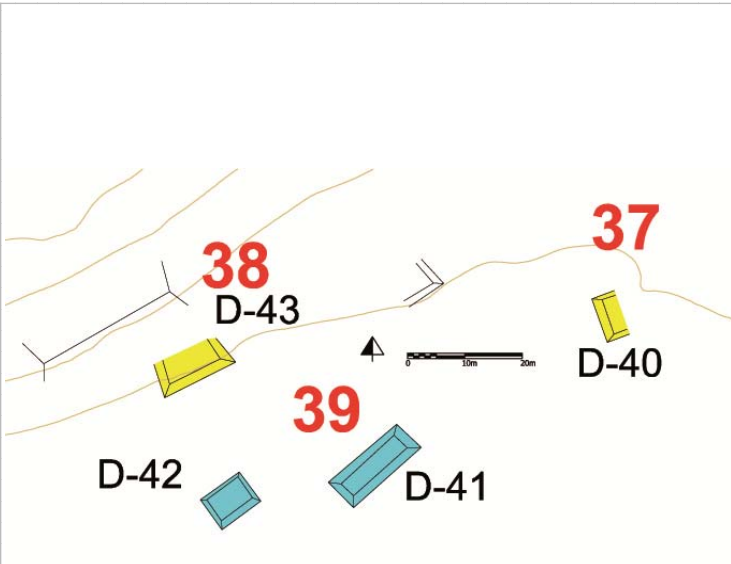
Se trata de una terraza en la construcción de la cual se aprovechó de la topografía.

Localización en el sitio



Mapa

Fotografía conjunto



Cédula de Conjunto arquitectónico

Sitio Chinikihá

Conjunto CHK/D39

Tipo de Conjunto Plataformas pareadas

Emplazamiento Planicie

Preparación del terreno Nignuna

N estructuras 2

Área espacio compartido/
espacio disponible (m2)

Existe una estructura sobresaliente No Nr. Estructura sobresaliente No

Porque sobresale

Distancia mínima de otro conjunto (m) 17,57

Excavado No

Operación(es)

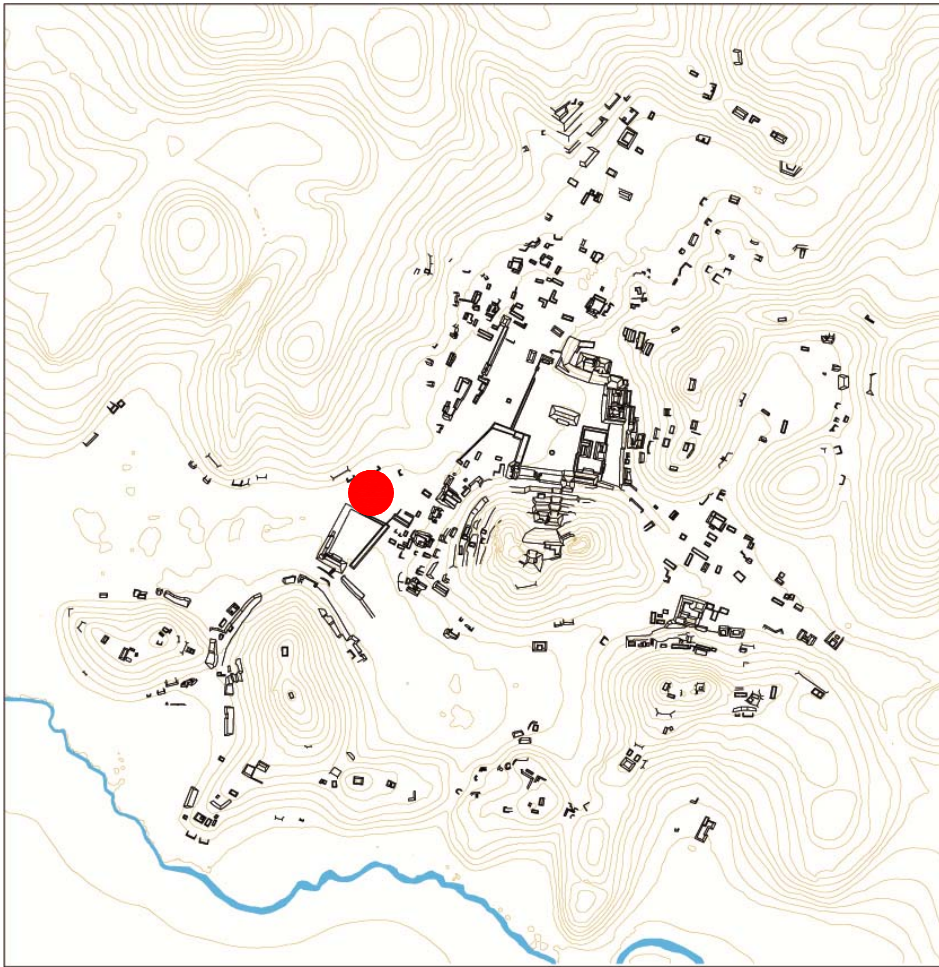
Estructuras de este Conjunto

Estructura	Área	Altura	Volumen	Tipo de estructura
D-41	91,64	Mts2 ,5	Mts 45,82	Mts3 plataforma rectangular
D-42	52,92	Mts2 ,4	Mts 21,168	Mts3 plataforma rectangular

Observaciones

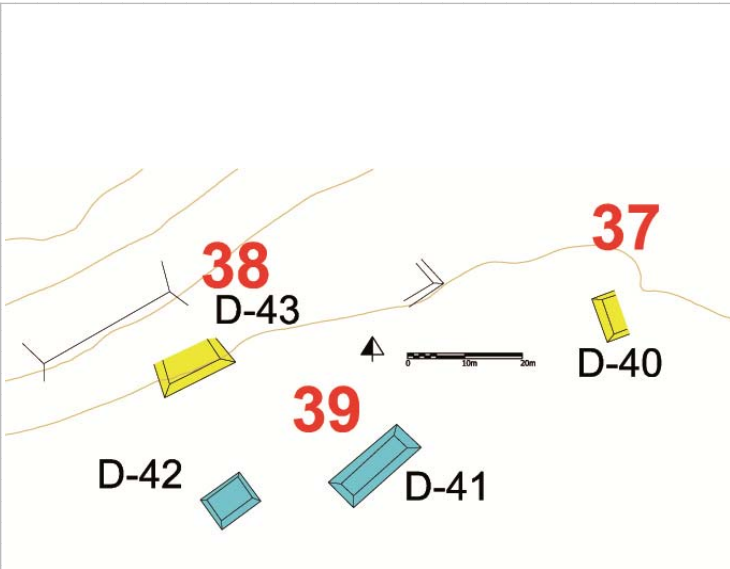
Se trata de dos plataformas en mal estado de conservación por su localización en un potrero.

Localización en el sitio



Mapa

Fotografía conjunto



Cédula de Conjunto arquitectónico

Sitio

Conjunto

Tipo de Conjunto

Emplazamiento

Preparación del terreno

N estructuras

Área espacio compartido/
espacio disponible (m2)

Existe una estructura sobresaliente Nr. Estructura sobresaliente

Porque sobresale

Distancia mínima de otro conjunto (m)

Excavado

Operación(es)

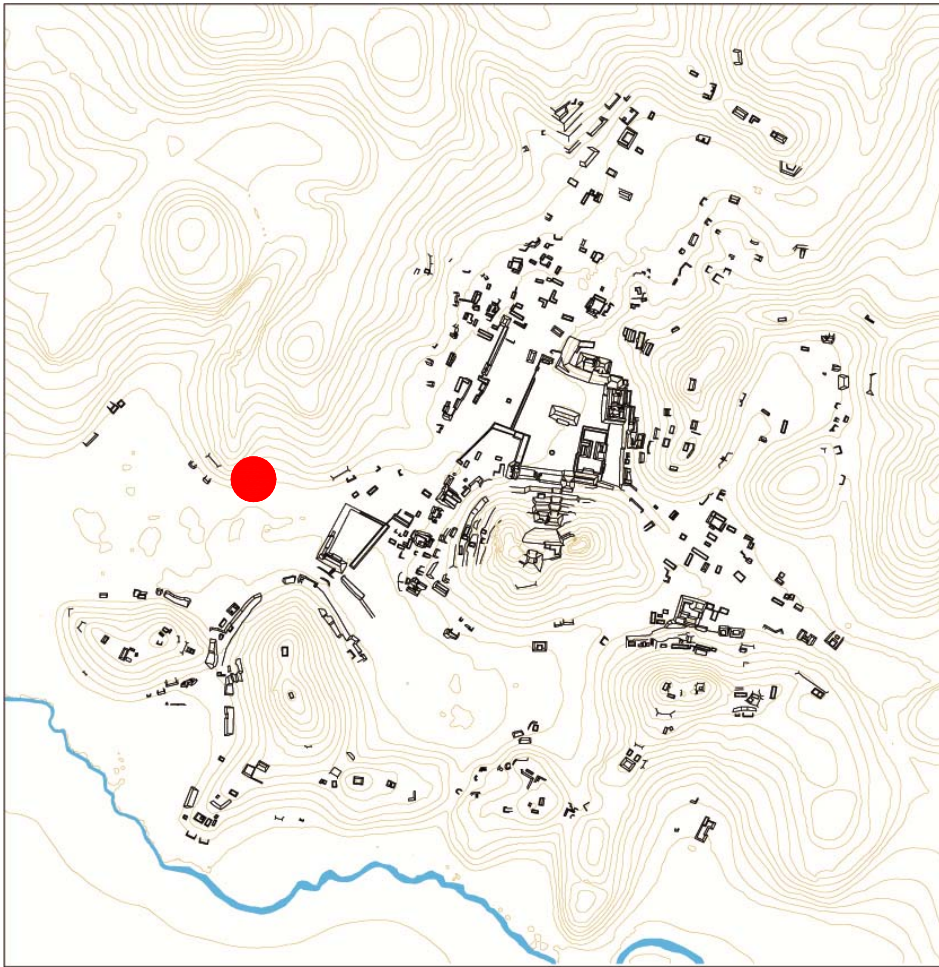
Estructuras de este Conjunto

Estructura	Área	Altura	Volumen	Tipo de estructura
D-44	116,96	Mts2 ,6	Mts 70,176	Mts3 plataforma rectangular

Observaciones

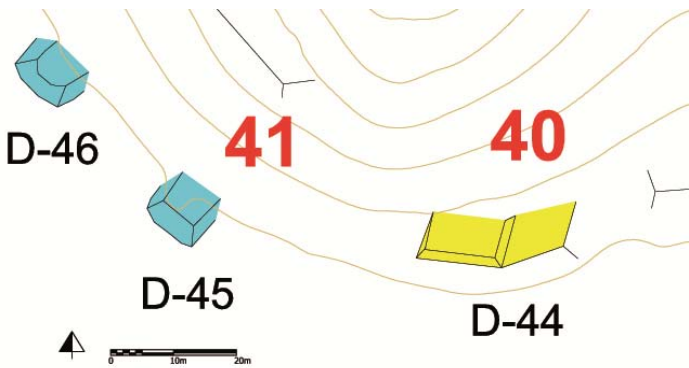
Se trata de una plataforma baja que se construye en una terraza parcialmente remodelada.

Localización en el sitio



Mapa

Fotografía conjunto



Cédula de Conjunto arquitectónico

Sitio Chinikihá

Conjunto CHK/D41

Tipo de Conjunto Plataformas pareadas

Emplazamiento Pie de Monte

Preparación del terreno Nivelación
Contención

N estructuras 2

Área espacio compartido/
espacio disponible (m2)

Existe una estructura sobresaliente No Nr. Estructura sobresaliente No

Porque sobresale

Distancia mínima de otro conjunto (m) 33,95

Excavado No

Operación(es)

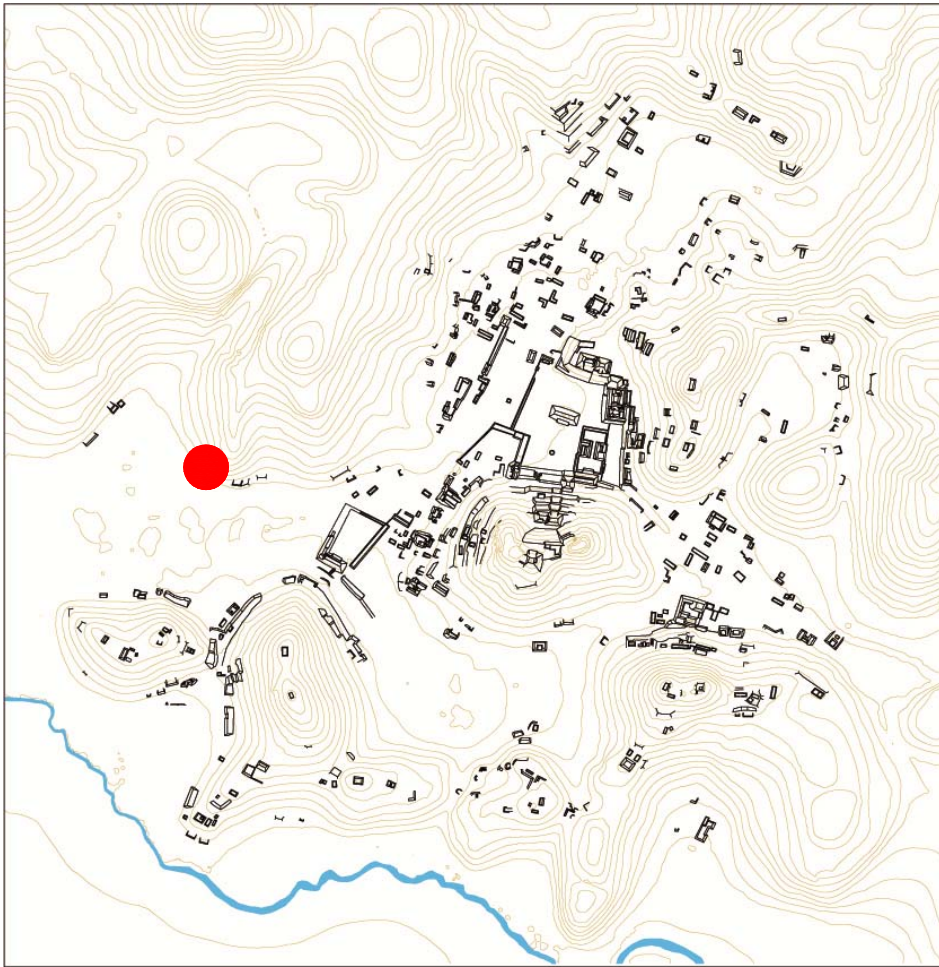
Estructuras de este Conjunto

Estructura	Área	Altura	Volumen	Tipo de estructura
D-45	55,8	Mts2 1,8	Mts 100,44	Mts3 plataforma rectangular
D-46	40,32	Mts2 1,5	Mts 60,48	Mts3 plataforma rectangular

Observaciones

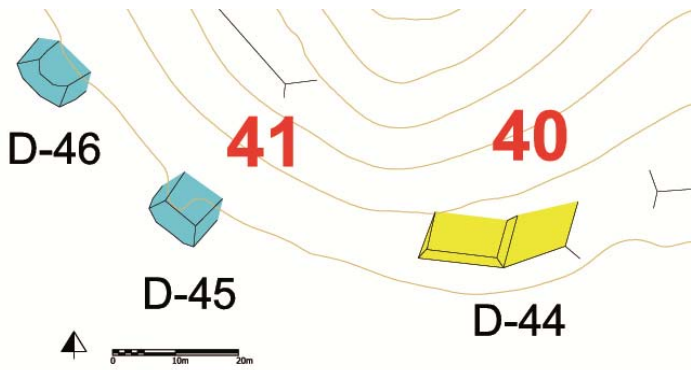
Se trata de dos pequeñas terrazas que manifiestan obras de ocntención y nivelación en su construcción, reaprovechando los afloramientos naturales. Las estructuras que comprenden de D-45 a D-49 se construyeron en la ladera del cerro ya que la planicie presenta un sistema natural de bocas de captación de agua, siendo sujeto a inundación.

Localización en el sitio



Mapa

Fotografía conjunto



Cédula de Conjunto arquitectónico

Sitio Chinikihá

Conjunto CHK/D42

Tipo de Conjunto Plataformas pareadas

Emplazamiento Pie de Monte

Preparación del terreno Contención
Nivelación

N estructuras 2

Área espacio compartido/
espacio disponible (m2)

Existe una estructura sobresaliente D-48 Nr. Estructura sobresaliente D-48

Porque sobresale Volumen constructivo

Distancia mínima de otro conjunto (m) 38,67

Excavado No

Operación(es)

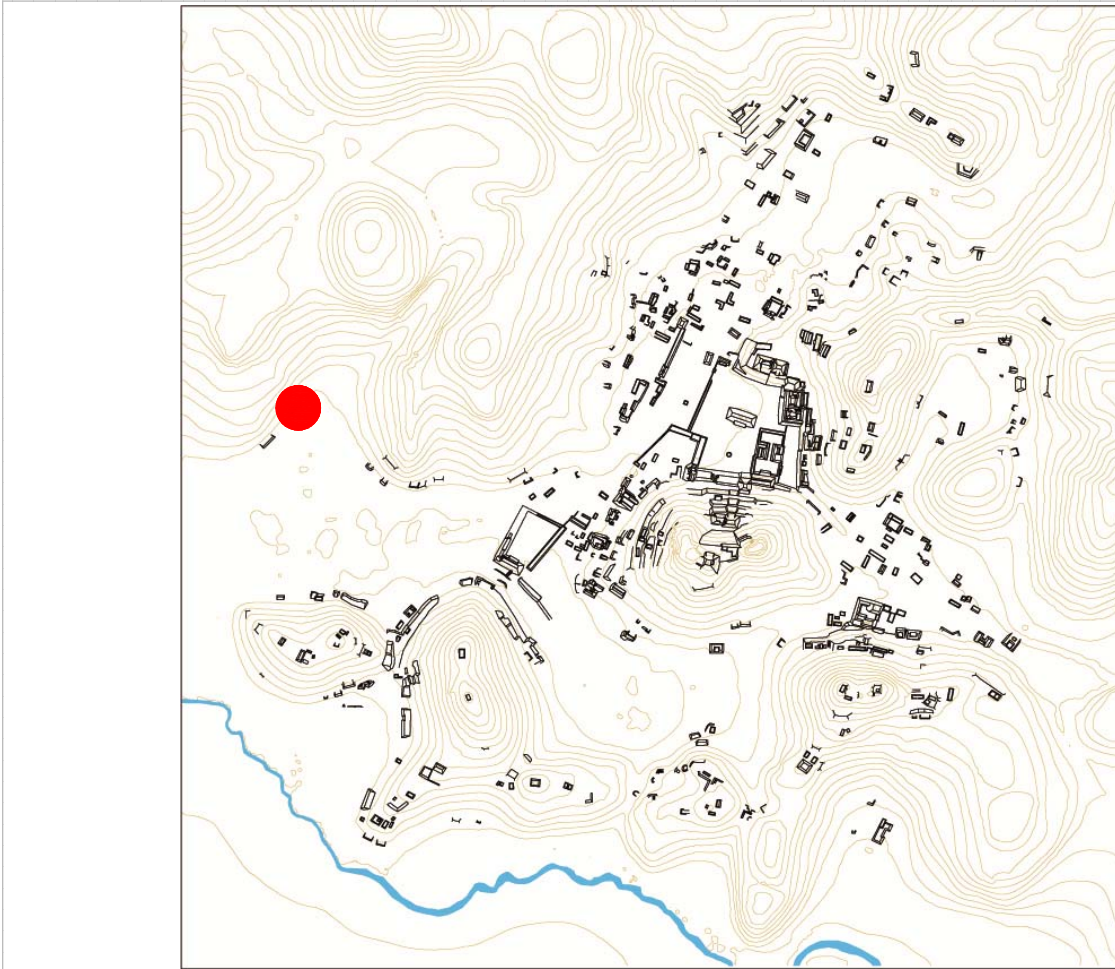
Estructuras de este Conjunto

Estructura	Área	Altura	Volumen	Tipo de estructura
D-47	69,72	Mts2 ,7	Mts 48,804	Mts3 plataforma rectangular
D-48	175,89	Mts2 1,1	Mts 193,479	Mts3 plataforma rectangular

Observaciones

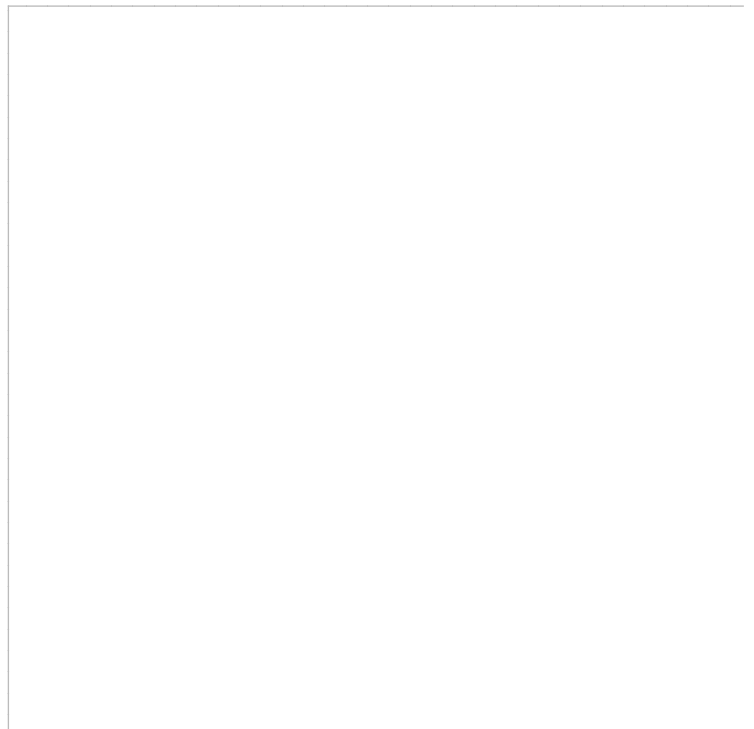
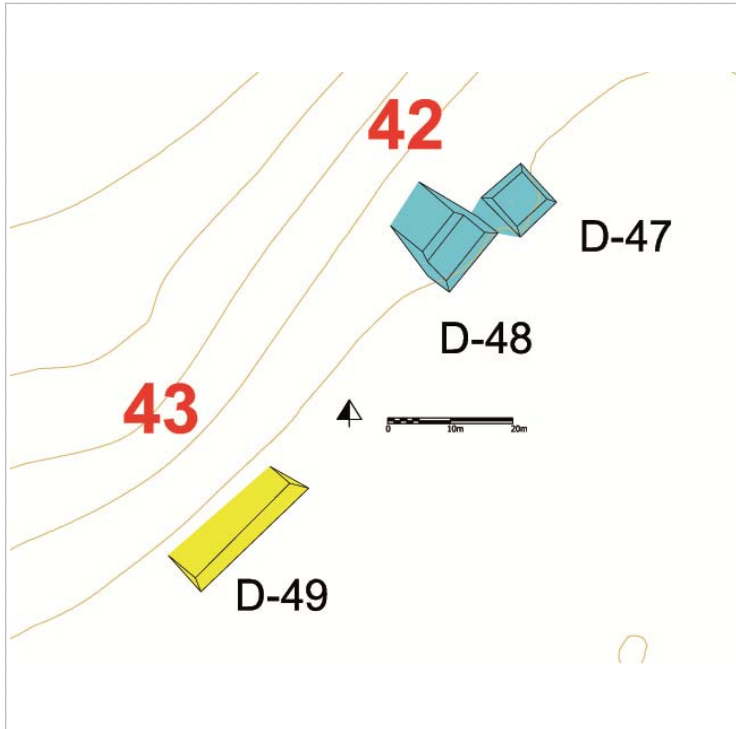
Se trata de dos plataformas en mal estado de conservación que presentan extracción de piedra. Se aprecia que se reutiliza parte del afloramiento rocoso en su construcción. Las estructuras que comprenden de D-45 a D-49 se construyeron en la ladera del cerro ya que la planicie presenta un sistema natural de bocas de captación de agua, siendo sujeto a inundación.

Localización en el sitio



Mapa

Fotografía conjunto



Cédula de Conjunto arquitectónico

Sitio Chinikihá

Conjunto CHK/D43

Tipo de Conjunto Aislada

Emplazamiento Pie de Monte

Preparación del terreno Contención
Nivelación

N estructuras 1

Área espacio compartido/
espacio disponible (m2)

Existe una estructura sobresaliente No Nr. Estructura sobresaliente No

Porque sobresale

Distancia mínima de otro conjunto (m) 38,67

Excavado No

Operación(es)

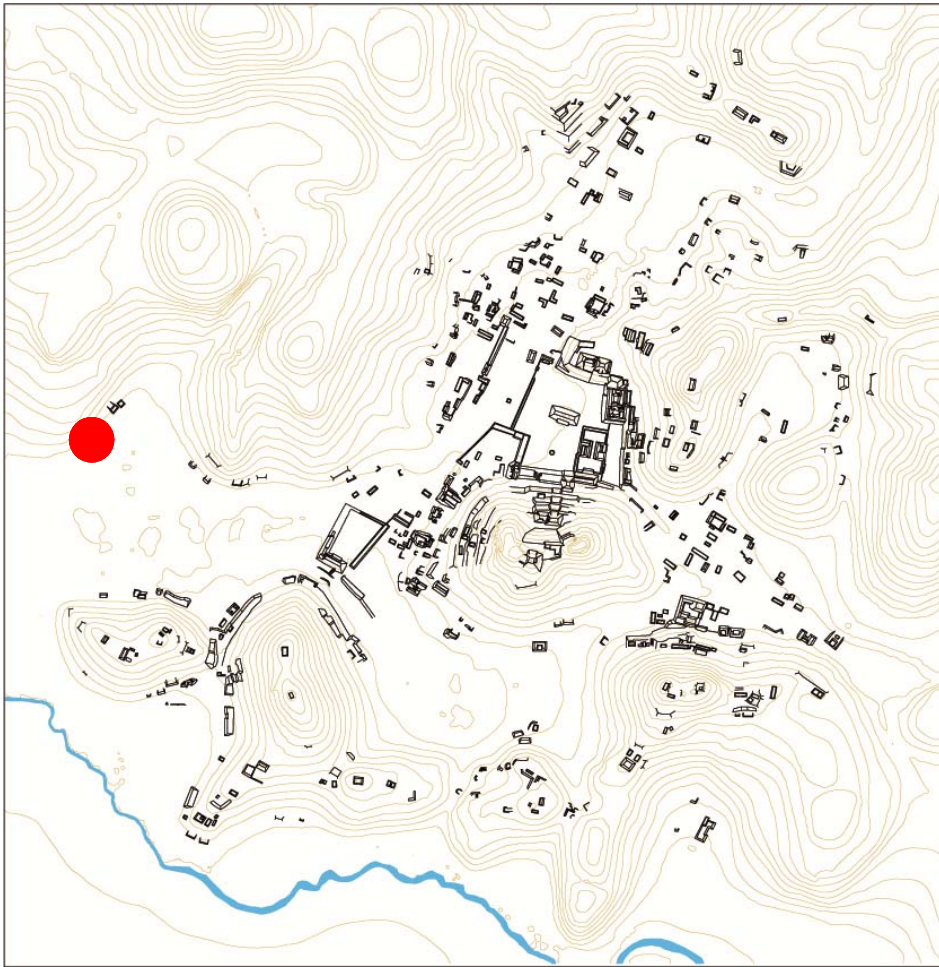
Estructuras de este Conjunto

Estructura	Área	Altura	Volumen	Tipo de estructura
D-49	133,84	Mts2 ,6	Mts 80,304	Mts3 plataforma rectangular

Observaciones

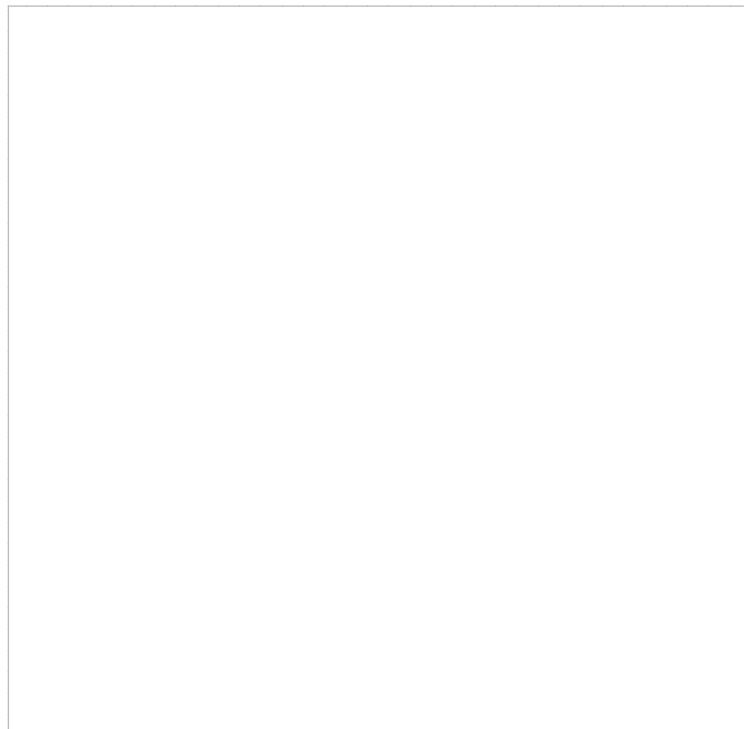
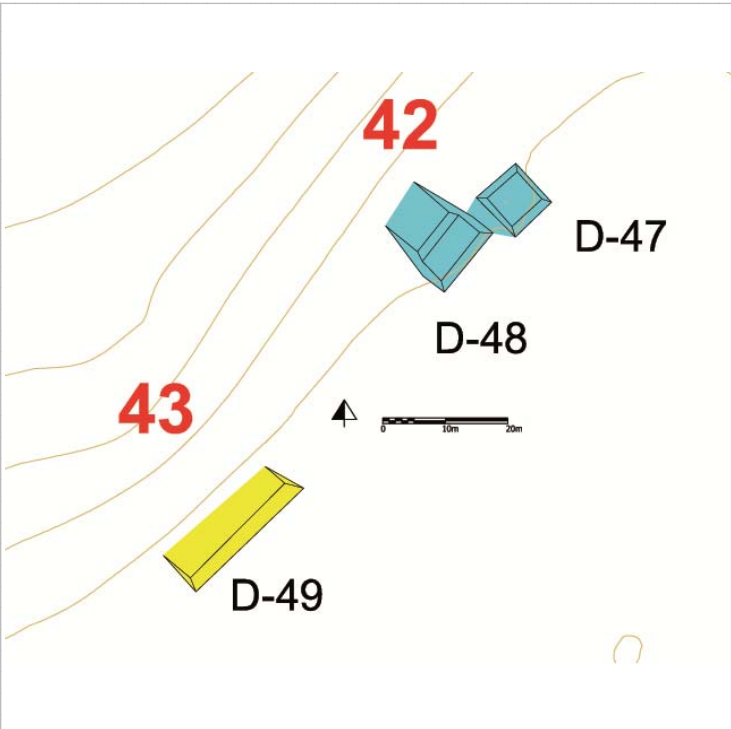
Se trata de una terraza larga que aprovecha la ladera del cerro. Las estructuras que comprenden de D-45 a D-49 se construyeron en la ladera del cerro ya que la planicie presenta un sistema natural de bocas de captación de agua, siendo sujeto a inundación.

Localización en el sitio



Mapa

Fotografía conjunto



Cédula de Conjunto arquitectónico

Sitio Chinikihá

Conjunto CHK/J44

Tipo de Conjunto Lineal

Emplazamiento Pie de Monte

Preparación del terreno Contención
Nivelación

N estructuras 5

Área espacio compartido/
espacio disponible (m2)

Existe una estructura sobresaliente No Nr. Estructura sobresaliente No

Porque sobresale

Distancia mínima de otro conjunto (m) 53,91

Excavado No

Operación(es)

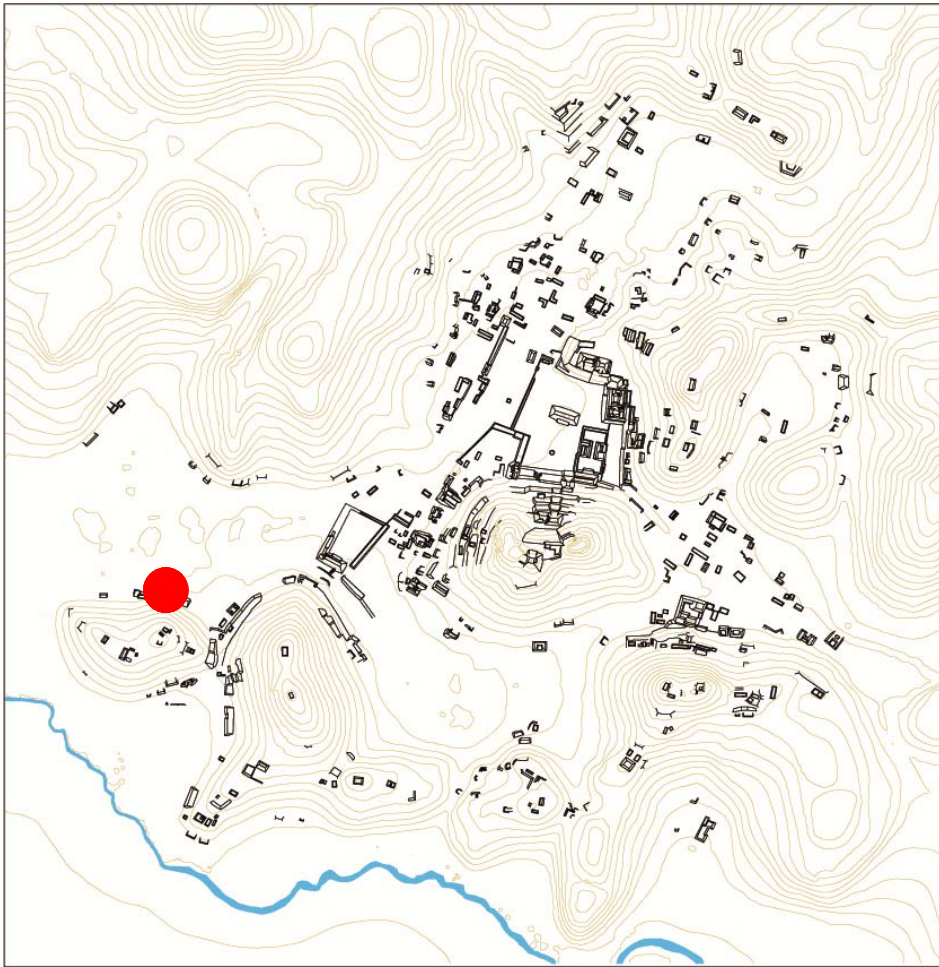
Estructuras de este Conjunto

Estructura	Área	Altura	Volumen	Tipo de estructura
J-31	48,16	Mts2 ,6	Mts 28,896	Mts3 plataforma rectangular
J-32	60,5	Mts2 ,3	Mts 18,15	Mts3 plataforma rectangular
J-33	53,32	Mts2 1,7	Mts 90,644	Mts3 plataforma rectangular
J-34	319,44	Mts2 1.7	Mts 5430,48	Mts3 plataforma rectangular
J-54	64,4	Mts2 ,9	Mts 57,96	Mts3 plataforma rectangular

Observaciones

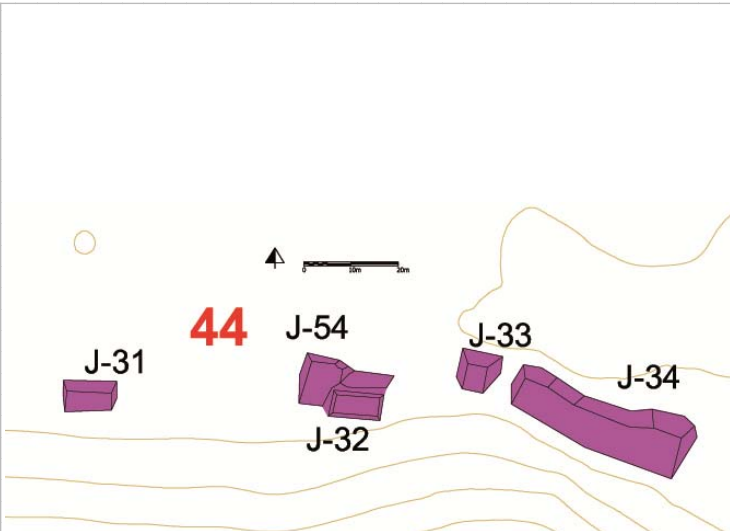
Se trata de un conjunto compuesto por terrazas (que manifiestan un aprovechamiento de la topografía, como la J-34) y estructuras de dimensiones diferentes, pegados a las estrubaciones de un cerrito arriba del cual se encuentran algunos conjuntos arquitectónicos.

Localización en el sitio



Mapa

Fotografía conjunto



Cédula de Conjunto arquitectónico

Sitio Chinikihá

Conjunto CHK/J45

Tipo de Conjunto Basal

Emplazamiento Pie de Monte

Preparación del terreno Nignuna

N estructuras 3

Área espacio compartido/
espacio disponible (m2) 68,7

Existe una estructura sobresaliente No Nr. Estructura sobresaliente No

Porque sobresale

Distancia mínima de otro conjunto (m) 10,22

Excavado No

Operación(es)

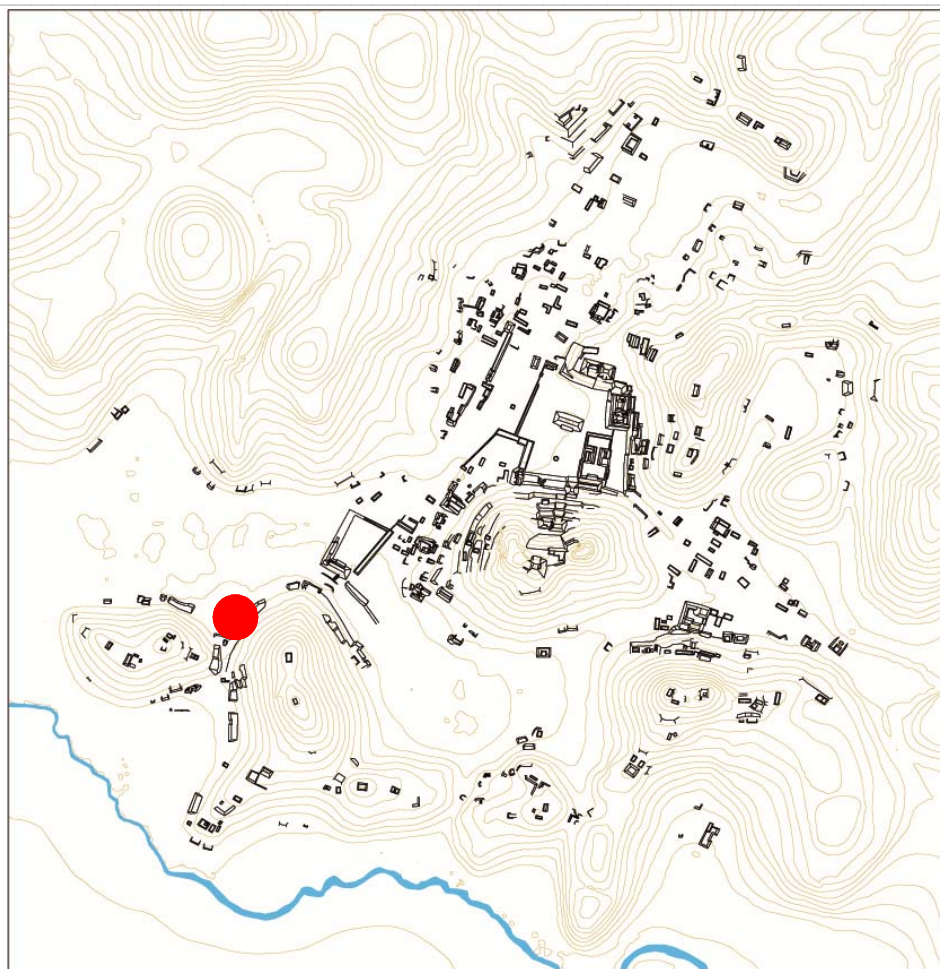
Estructuras de este Conjunto

Estructura	Área	Altura	Volumen	Tipo de estructura
J-1	168,92	Mts2 ,8	Mts 135,136	Mts3 plataforma basal
J-1a	8,91	Mts2 ,4	Mts 3,564	Mts3 plataforma cuadrangular
J-1b	20,52	Mts2 ,5	Mts 10,26	Mts3 plataforma rectangular
J-2	57,15	Mts2 ,4	Mts 22,86	Mts3 plataforma rectangular

Observaciones

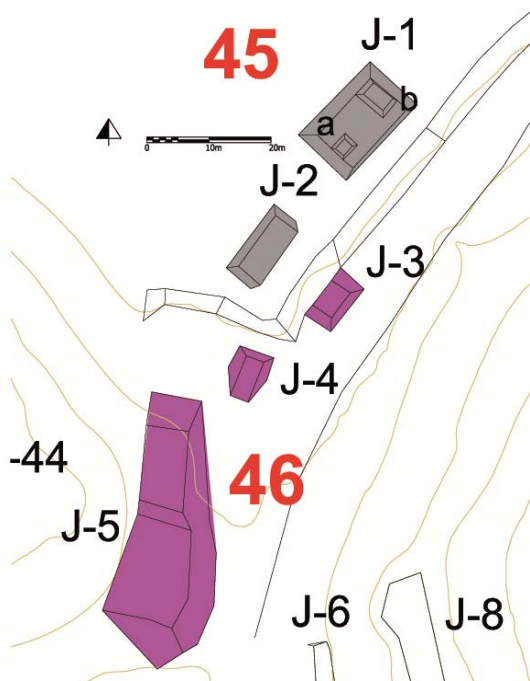
Se trata de un conjunto basal constituido por dos estructuras modestas arriba de un basamento de poca altura. Por cercanía se le considera asociada también la estr. J-2. En la ladera del cerro, en una terraza al Norte del conjunto (en la foto), se halló un fragmento de piedra tallada.

Localización en el sitio



Mapa

Fotografía conjunto



Cédula de Conjunto arquitectónico

Sitio

Conjunto

Tipo de Conjunto

Emplazamiento

Preparación del terreno

N estructuras

Área espacio compartido/
espacio disponible (m2)

Existe una estructura sobresaliente Nr. Estructura sobresaliente

Porque sobresale

Distancia mínima de otro conjunto (m)

Excavado

Operación(es)

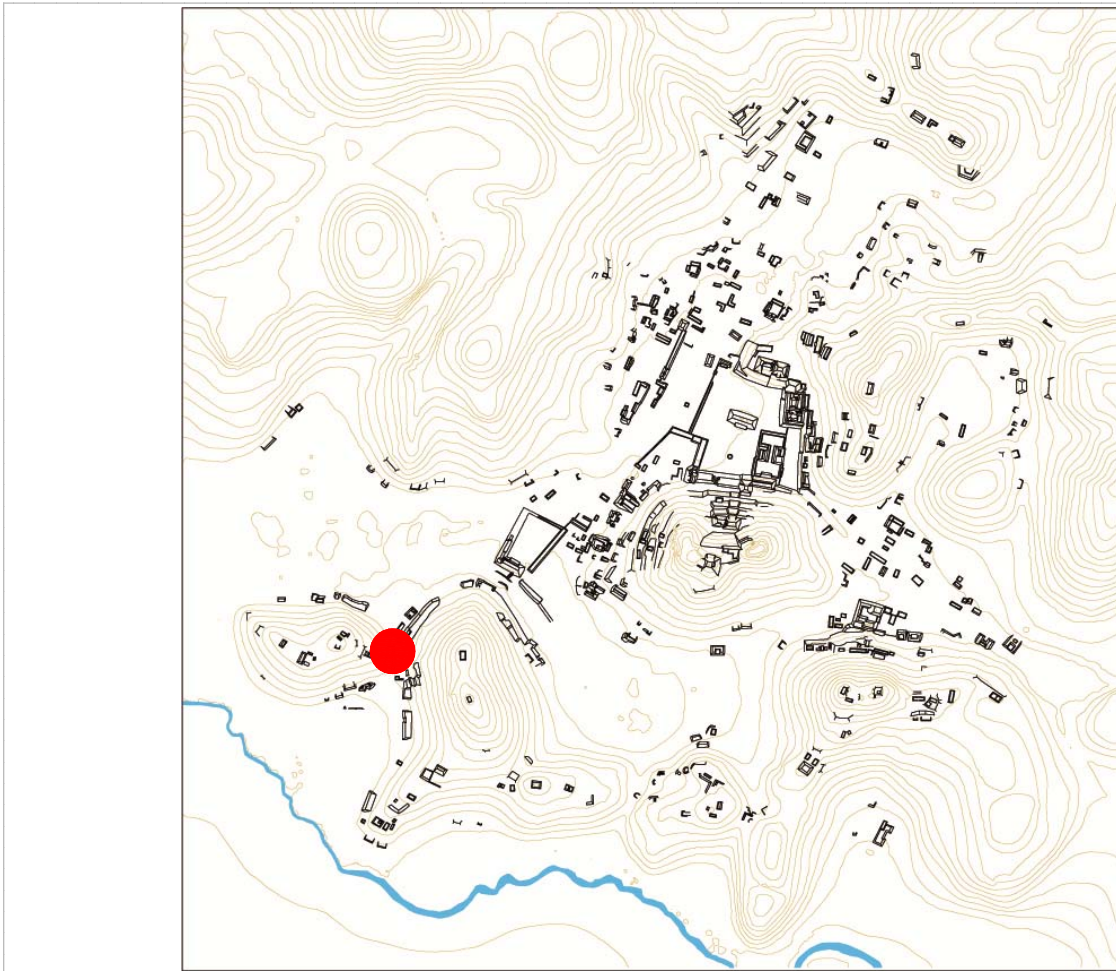
Estructuras de este Conjunto

Estructura	Área	Altura	Volumen	Tipo de estructura
J-3	43	Mts2 ,5	Mts 21,5	Mts3 plataforma rectangular
J-4	39,33	Mts2 ,9	Mts 35,397	Mts3 plataforma rectangular
J-5	285,3	Mts2 1,8	Mts 513,54	Mts3 plataforma rectangular

Observaciones

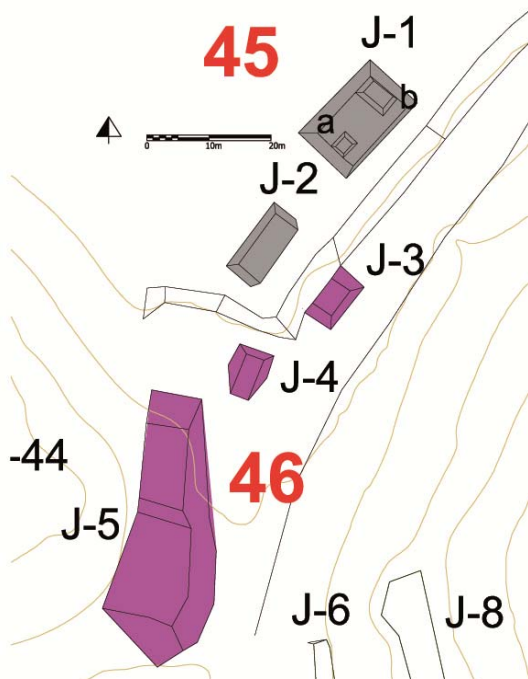
Se trata de dos pequeñas plataformas alineadas junto con un grande basamento arriba de una terraza artificial y casi a controlar un acceso entre un área y la otra del sitio.

Localización en el sitio



Mapa

Fotografía conjunto



Cédula de Conjunto arquitectónico

Sitio Chinikihá

Conjunto CHK/J47

Tipo de Conjunto Lineal

Emplazamiento Pie de Monte

Preparación del terreno Contención
Nivelación

N estructuras 3

Área espacio compartido/
espacio disponible (m2)

Existe una estructura sobresaliente Nr. Estructura sobresaliente

Porque sobresale

Distancia mínima de otro conjunto (m) 4,86

Excavado No

Operación(es)

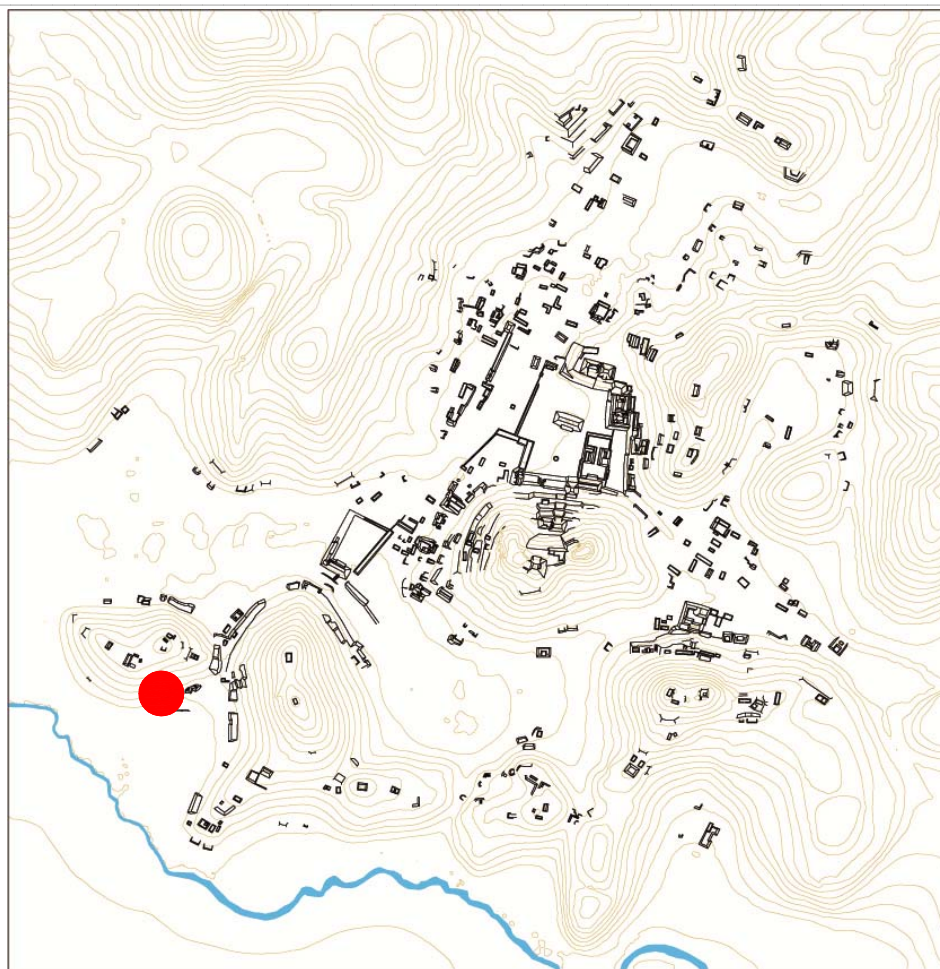
Estructuras de este Conjunto

Estructura	Área	Altura	Volumen	Tipo de estructura
J-46	132,13	Mts2 1,2	Mts 158,556	Mts3 plataforma rectangular
J-47	65,88	Mts2 1,2	Mts 79,056	Mts3 plataforma rectangular
J-48	16,32	Mts2 ,6	Mts 9,792	Mts3 plataforma rectangular

Observaciones

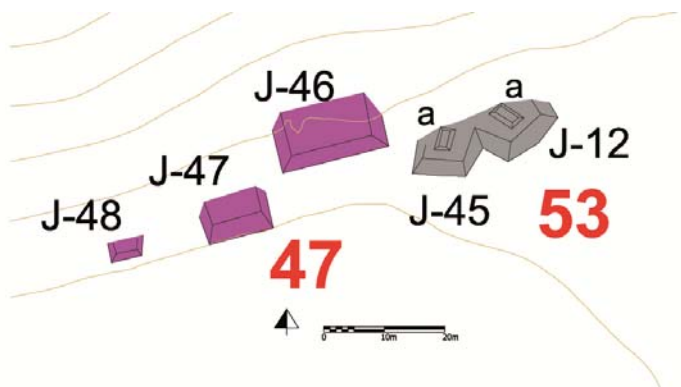
Se trata de pequeñas estructuras en mal estado de conservación que casi se confunden con los afloramientos rocos de la ladera del cerro.

Localización en el sitio



Mapa

Fotografía conjunto



Cédula de Conjunto arquitectónico

Sitio

Conjunto

Tipo de Conjunto

Emplazamiento

Preparación del terreno

N estructuras

Área espacio compartido/
espacio disponible (m2)

Existe una estructura sobresaliente Nr. Estructura sobresaliente

Porque sobresale

Distancia mínima de otro conjunto (m)

Excavado

Operación(es)

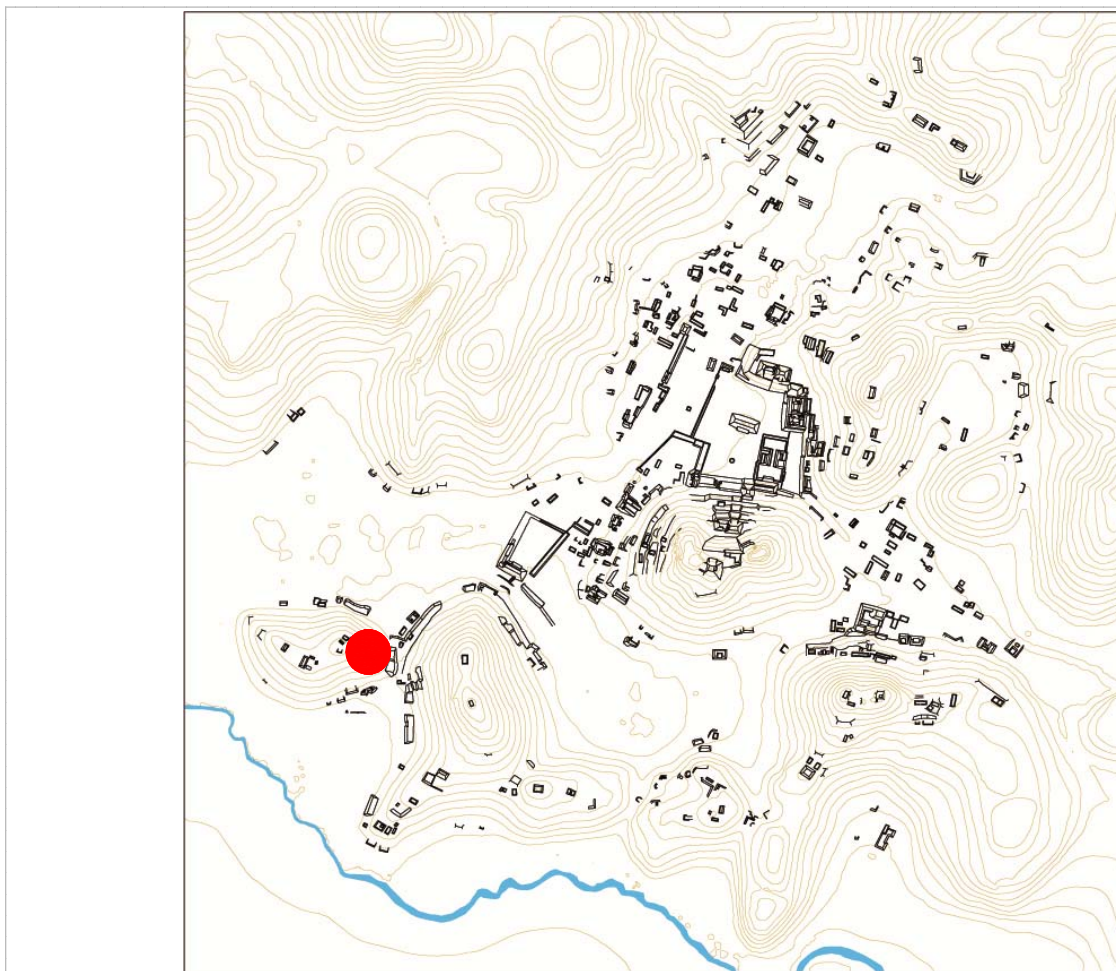
Estructuras de este Conjunto

Estructura	Área	Altura	Volumen	Tipo de estructura
J-44	79,38	Mts2 1,3	Mts 103,194	Mts3 plataforma rectangular

Observaciones

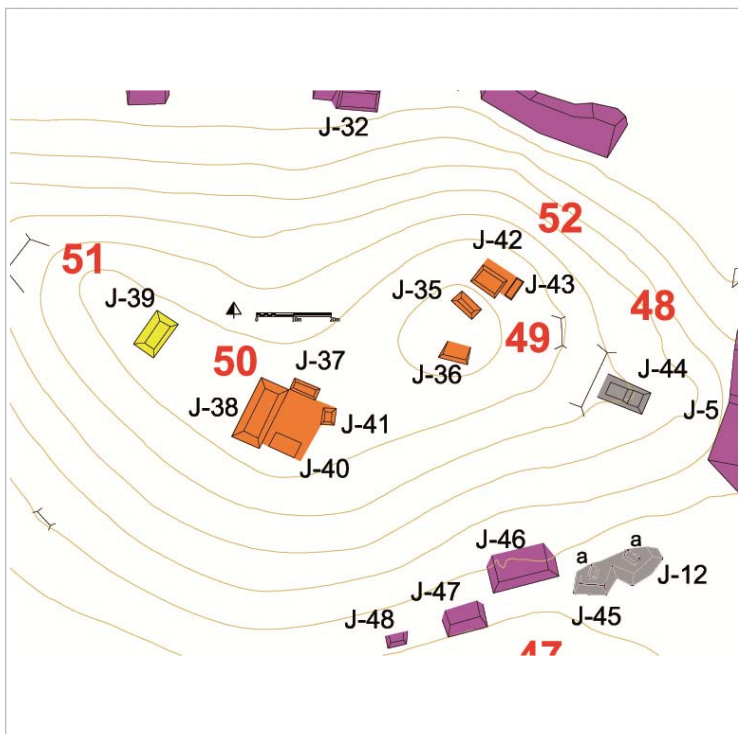
Se trata de un conjunto basal que soporta una sola estructura bien apreciable en una terraza natural de un pequeño cerro.

Localización en el sitio



Mapa

Fotografía conjunto



Cédula de Conjunto arquitectónico

Sitio Chinikihá

Conjunto CHK/J49

Tipo de Conjunto Patio

Emplazamiento Cima de cerro

Preparación del terreno Contención
Nivelación

N estructuras 2

Área espacio compartido/
espacio disponible (m2) 139,2

Existe una estructura sobresaliente No Nr. Estructura sobresaliente No

Porque sobresale

Distancia mínima de otro conjunto (m) 3,98

Excavado No

Operación(es)

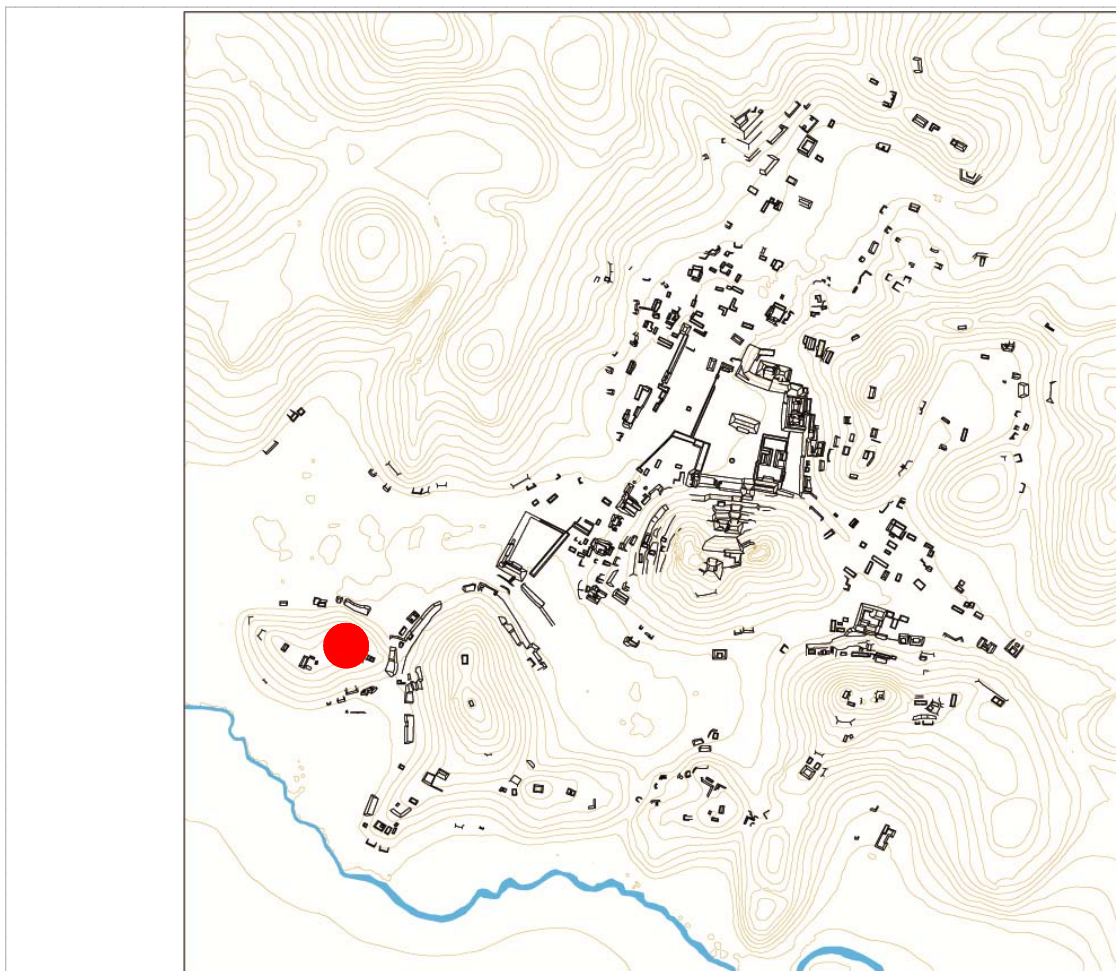
Estructuras de este Conjunto

Estructura	Área	Altura	Volumen	Tipo de estructura
J-35	26,27	Mts2 ,4	Mts 10,508	Mts3 plataforma rectangular
J-36	36,8	Mts2 ,4	Mts 14,72	Mts3 plataforma rectangular
J-49	41,89	Mts2 ,9	Mts 37,701	Mts3 plataforma rectangular

Observaciones

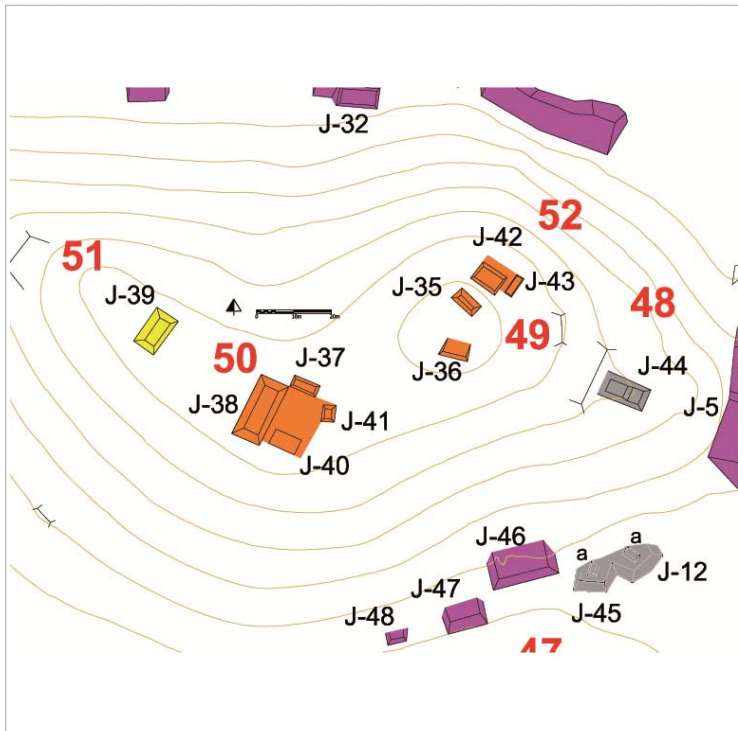
Se trata de un conjunto tipo patio en la cima de un pequeño cerro que marca el límite sur de Chinikihá. El conjunto es conformado por dos estructuras y el espacio que comparten es definido por compartir una terraza cuyo límite sur manifiesta evidencia de modificación.

Localización en el sitio



Mapa

Fotografía conjunto



Cédula de Conjunto arquitectónico

Sitio Chinikihá

Conjunto CHK/J50

Tipo de Conjunto Patio

Emplazamiento Cima de cerro

Preparación del terreno Nignuna

N estructuras 4

Área espacio compartido/
espacio disponible (m2) 137,39

Existe una estructura sobresaliente J-38 Nr. Estructura sobresaliente J-38

Porque sobresale Volumen constructivo

Distancia mínima de otro conjunto (m) 27,34

Excavado Si

Operación(es) 168

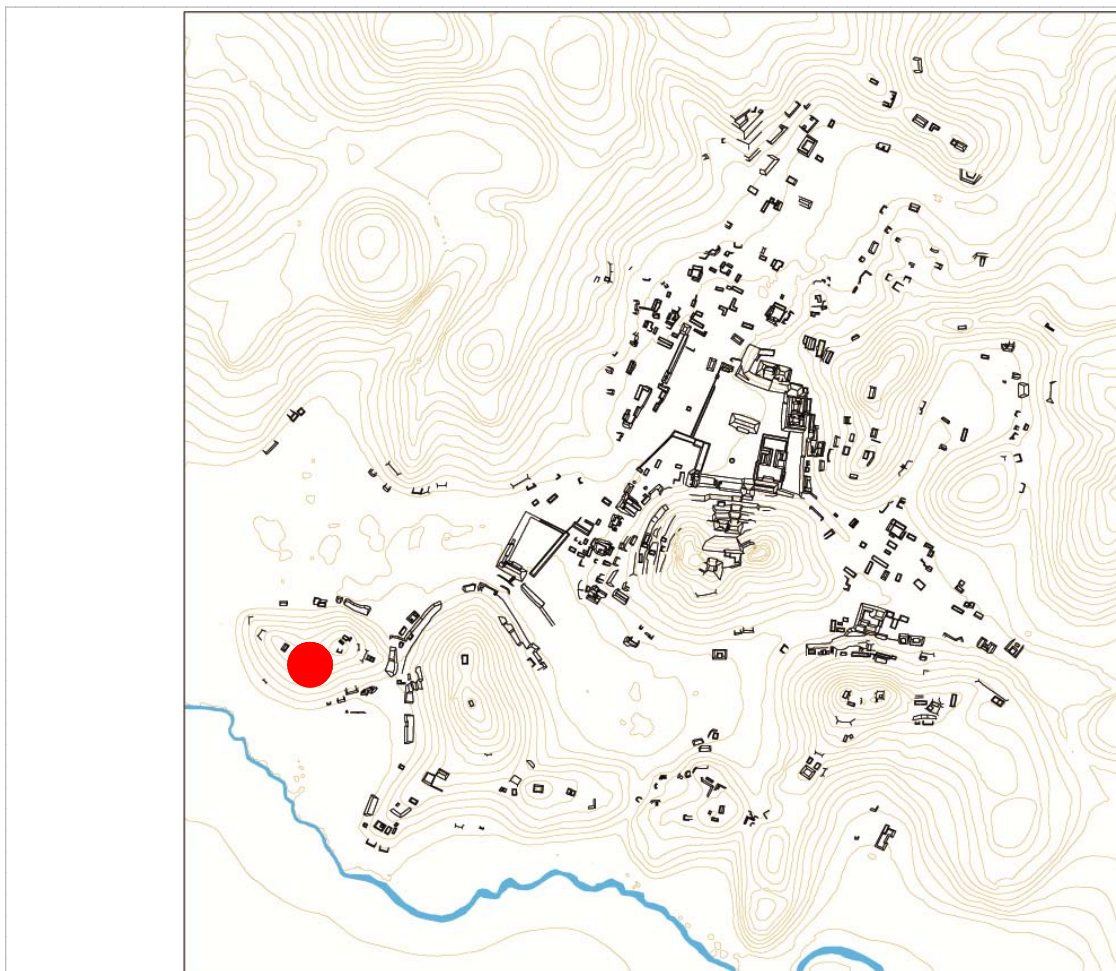
Estructuras de este Conjunto

Estructura	Área	Altura	Volumen	Tipo de estructura
J-37	24,42	Mts2 ,4	Mts 9,768	Mts3 plataforma rectangular
J-38	140,8	Mts2 ,8	Mts 112,64	Mts3 plataforma rectangular
J-40	31,82	Mts2 ,1	Mts 3,182	Mts3 plataforma rectangular
J-41	28,35	Mts2 ,3	Mts 8,505	Mts3 plataforma rectangular

Observaciones

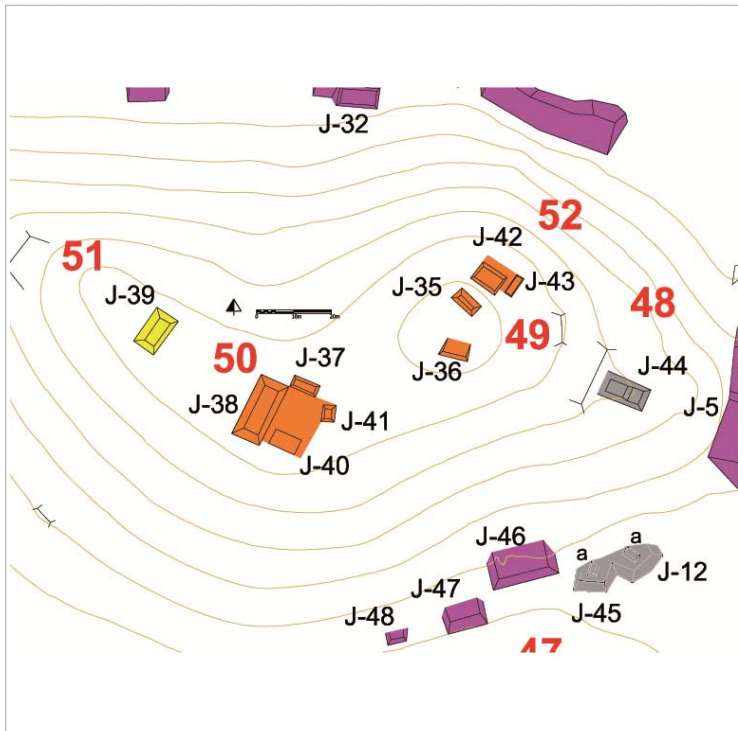
Se trata de un conjunto tipo patio compuesto por cuatro plataformas de dimensiones modestas, a menos de la J-38 que cierra el patio hacia el sur y marca el límite de la terraza. Más al sur se encuentra otra terraza, la última de este cerro, que hospeda una plataforma aislada.

Localización en el sitio



Mapa

Fotografía conjunto



Cédula de Conjunto arquitectónico

Sitio Chinikihá

Conjunto CHK/J51

Tipo de Conjunto Aislada

Emplazamiento Cima de cerro

Preparación del terreno Contención
Nivelación

N estructuras 1

Área espacio compartido/
espacio disponible (m2)

Existe una estructura sobresaliente No Nr. Estructura sobresaliente No

Porque sobresale

Distancia mínima de otro conjunto (m) 27,34

Excavado No

Operación(es)

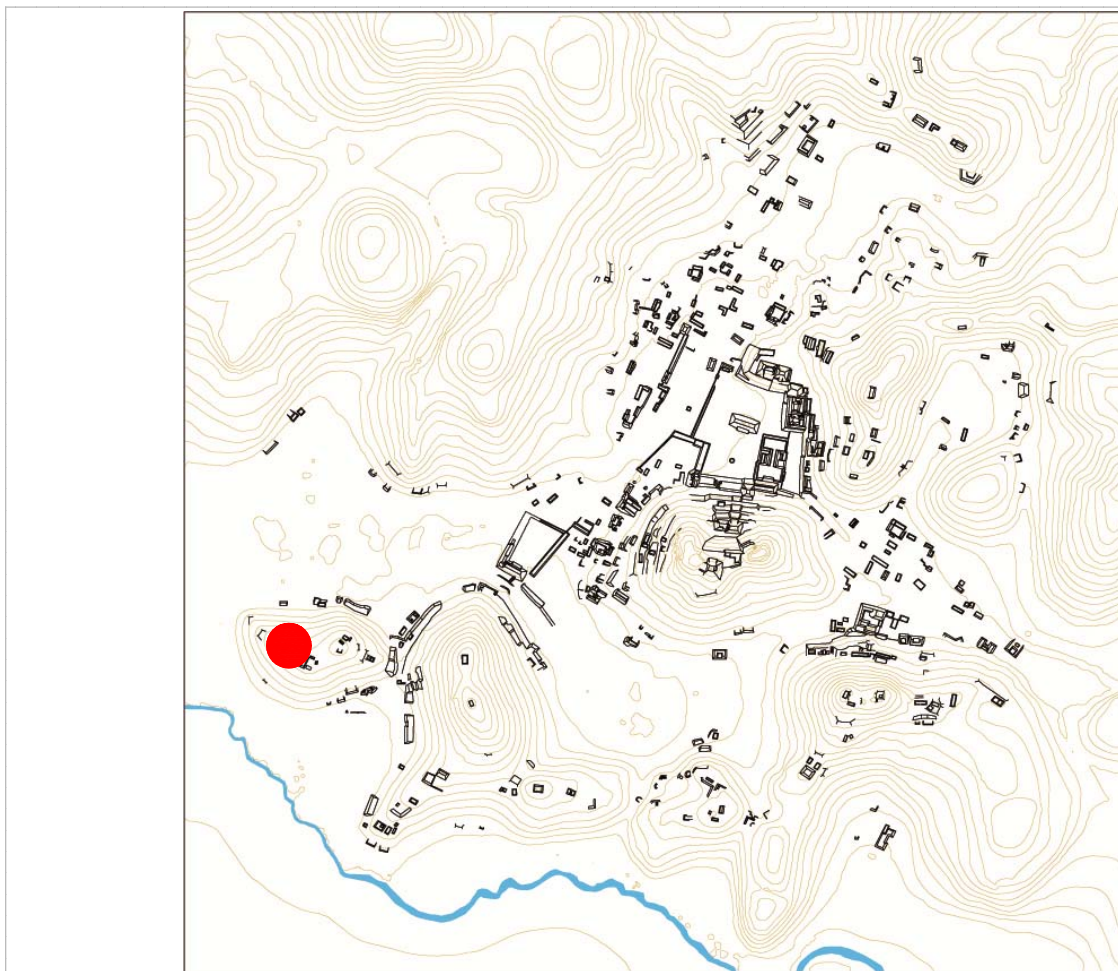
Estructuras de este Conjunto

Estructura	Área	Altura	Volumen	Tipo de estructura
J-39	71,5	Mts2 ,9	Mts 64,35	Mts3 plataforma rectangular

Observaciones

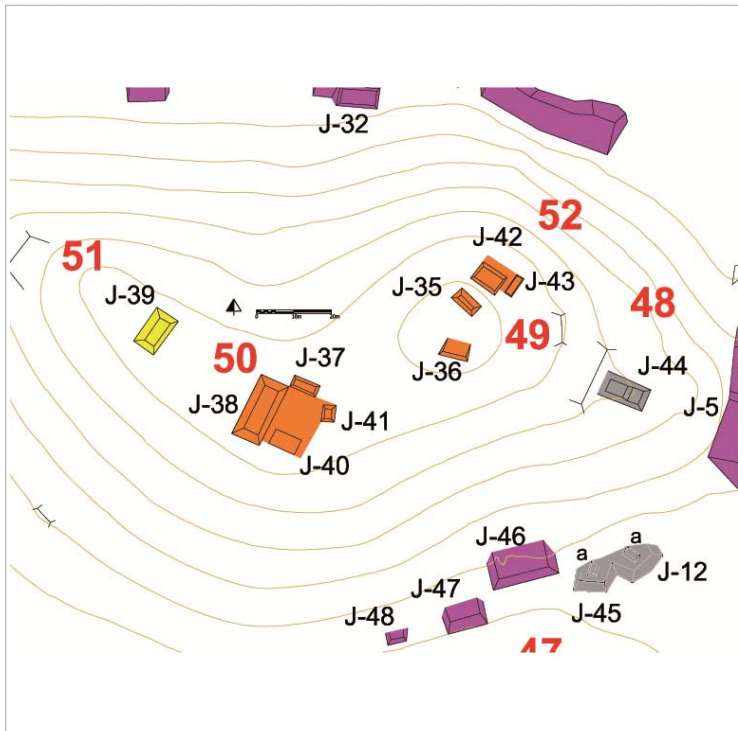
Se trata de una plataforma aislada de dimensiones modestas, que ocupa la última de una serie de terrazas de un pequeño cerro en el límite sur del sitio.

Localización en el sitio



Mapa

Fotografía conjunto



Cédula de Conjunto arquitectónico

Sitio Chinikihá

Conjunto CHK/J52

Tipo de Conjunto Patio

Emplazamiento Cima de cerro

Preparación del terreno Nivelación
Contención

N estructuras 2

Área espacio compartido/
espacio disponible (m2) 19,27

Existe una estructura sobresaliente J-42 Nr. Estructura sobresaliente J-42

Porque sobresale Volumen constructivo

Distancia mínima de otro conjunto (m) 4,04

Excavado No

Operación(es)

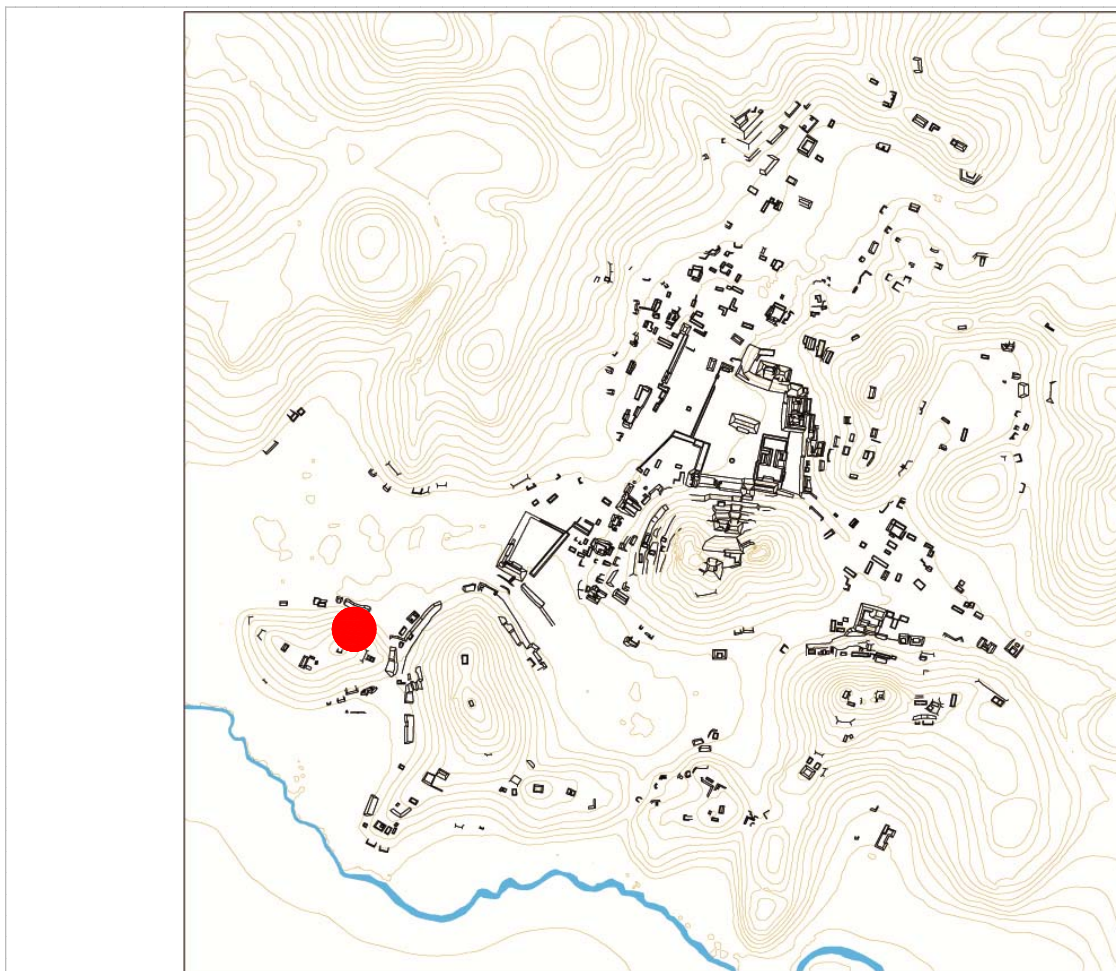
Estructuras de este Conjunto

Estructura	Área	Altura	Volumen	Tipo de estructura
J-42	45,82	Mts2 ,5	Mts 22,91	Mts3 plataforma rectangular
J-43	12,98	Mts2 ,2	Mts 2,596	Mts3 plataforma rectangular

Observaciones

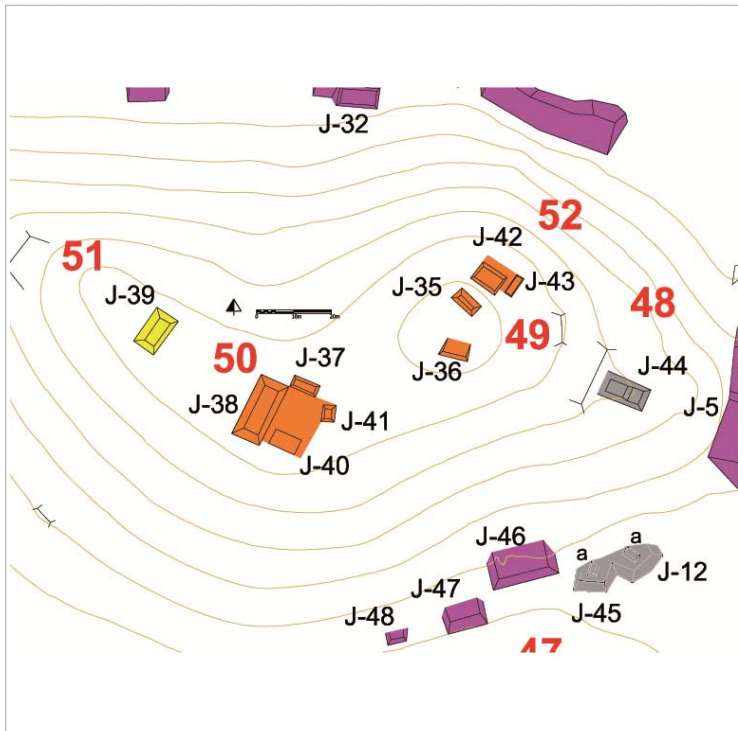
Se trata de dos plataformas, entre las que sobresale la J-42, que comparten una pequeña terraza al norte de un pequeño cerro. El espacio que comparten resulta ser muy angosto.

Localización en el sitio



Mapa

Fotografía conjunto



Cédula de Conjunto arquitectónico

Sitio Chinikihá

Conjunto CHK/J53

Tipo de Conjunto Basal

Emplazamiento Ladera de cerro

Preparación del terreno Basamento parcialmente artificial

N estructuras 2

Área espacio compartido/
espacio disponible (m2) 69,2

Existe una estructura sobresaliente No Nr. Estructura sobresaliente No

Porque sobresale

Distancia mínima de otro conjunto (m) 4,87

Excavado No

Operación(es)

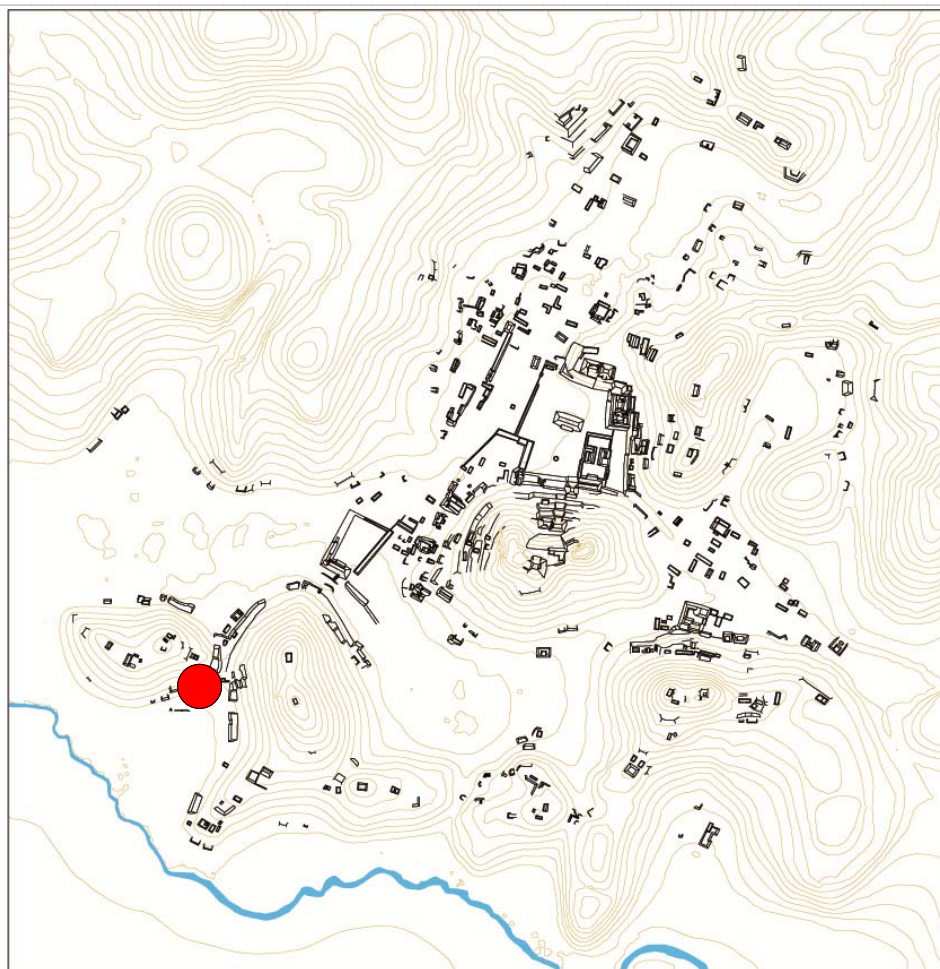
Estructuras de este Conjunto

Estructura	Área	Altura	Volumen	Tipo de estructura
J-12	70,4	Mts2 ,6	Mts 42,24	Mts3 plataforma basal
J-12a	12,15	Mts2 ,3	Mts 3,645	Mts3 plataforma rectangular
J-45	51,92	Mts2 ,8	Mts 41,536	Mts3 plataforma basal
J-45a	9,1	Mts2 ,3	Mts 2,73	Mts3 plataforma rectangular

Observaciones

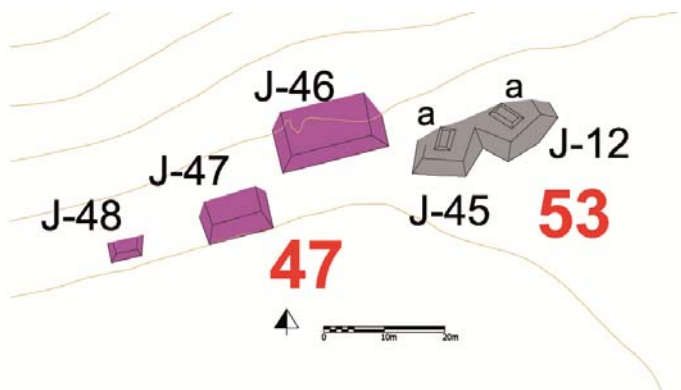
Este conjunto es conformado por dos pequeñas plataformas, en muy malo estado de conservación, que se construyeron arriba de un gran basamento que se apoya a la ladera del cerro y en cuya construcción posiblemente se aprovechó parte del afloramiento natural

Localización en el sitio



Mapa

Fotografía conjunto



Cédula de Conjunto arquitectónico

Sitio Chinikihá

Conjunto CHK/J54

Tipo de Conjunto Informal

Emplazamiento Ladera de cerro

Preparación del terreno Contención
Nivelación

N estructuras 6

Área espacio compartido/
espacio disponible (m2)

Existe una estructura sobresaliente No Nr. Estructura sobresaliente No

Porque sobresale

Distancia mínima de otro conjunto (m) 9,14

Excavado No

Operación(es)

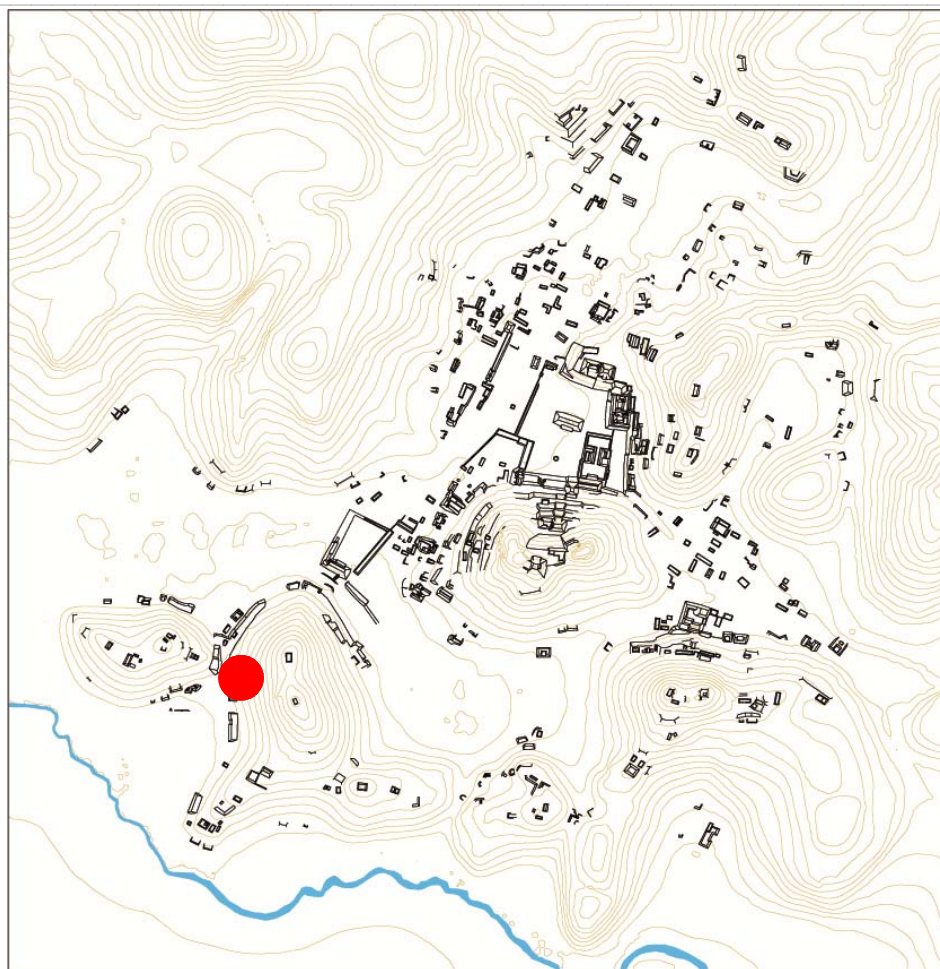
Estructuras de este Conjunto

Estructura	Área	Altura	Volumen	Tipo de estructura
J-10	53,28	Mts2 ,9	Mts 47,952	Mts3 plataforma rectangular
J-11	290	Mts2 1	Mts 290	Mts3 plataforma rectangular
J-6	26,24	Mts2 ,3	Mts 7,872	Mts3 plataforma rectangular
J-7	67,2	Mts2 ,5	Mts 33,6	Mts3 plataforma en forma de L
J-8	157,08	Mts2 1,3	Mts 204,204	Mts3 plataforma rectangular
J-9	63,72	Mts2 2	Mts 127,44	Mts3 plataforma rectangular

Observaciones

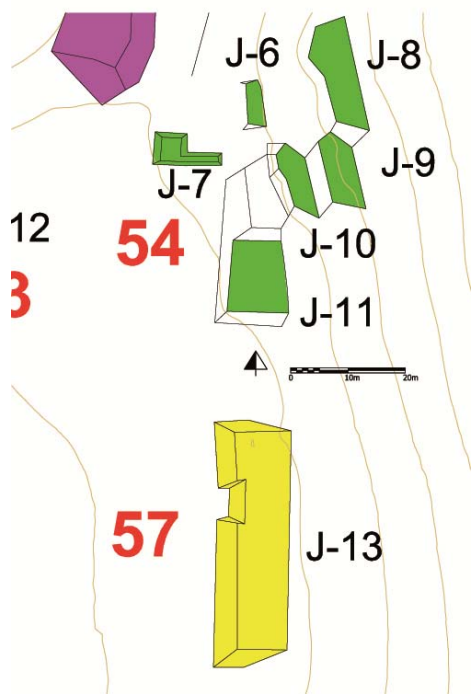
Las estructuras y terrazas que conforman este conjunto se encuentran en pésimo estado de conservación, hecho debido principalmente a la ocupación ganadera del suelo. Se decidió, por cercanía, considerarlas todas pertenecientes al mismo conjunto. En correspondencia de la J-7 pudimos observar un pequeño brote de agua del terreno, como si este terreno también formara parte del sistema de aguas subterráneas que permean en algunos lugares la superficie.

Localización en el sitio



Mapa

Fotografía conjunto



Cédula de Conjunto arquitectónico

Sitio

Conjunto

Tipo de Conjunto

Emplazamiento

Preparación del terreno

N estructuras

Área espacio compartido/
espacio disponible (m2)

Existe una estructura sobresaliente Nr. Estructura sobresaliente

Porque sobresale

Distancia mínima de otro conjunto (m)

Excavado

Operación(es)

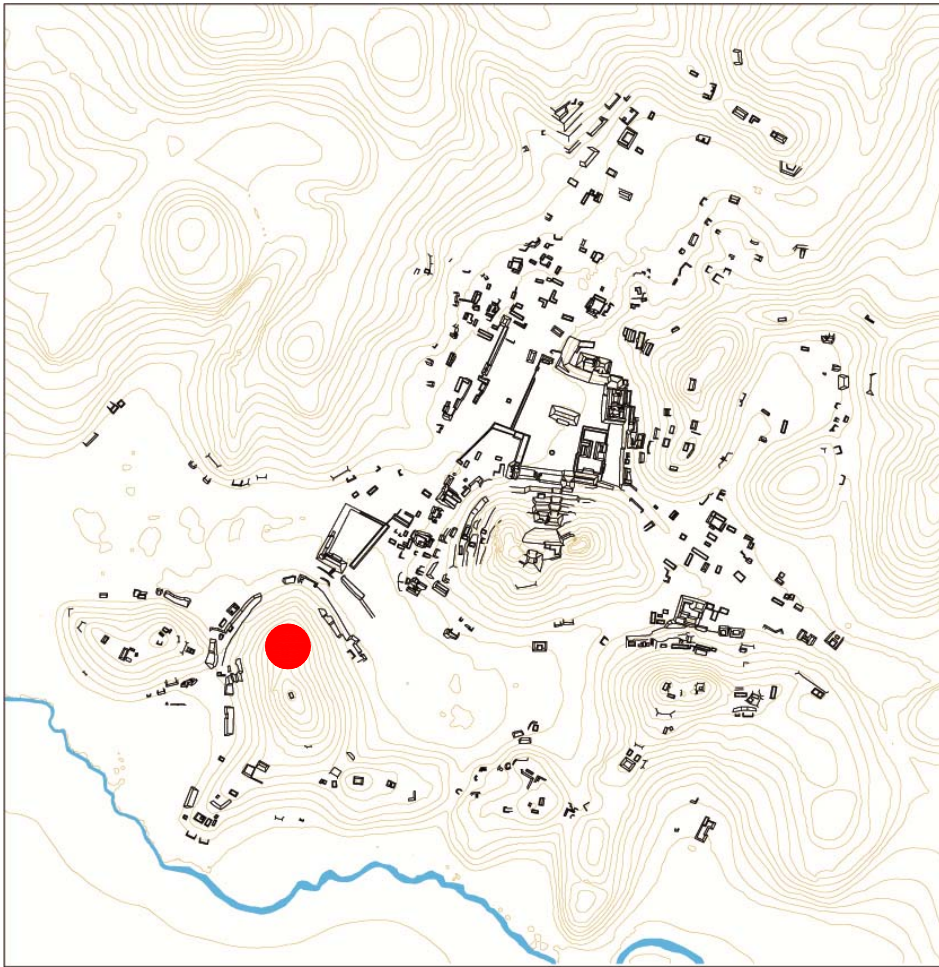
Estructuras de este Conjunto

Estructura	Área	Altura	Volumen	Tipo de estructura
J-14	115,7	Mts2 ,5	Mts 57,85	Mts3 plataforma rectangular

Observaciones

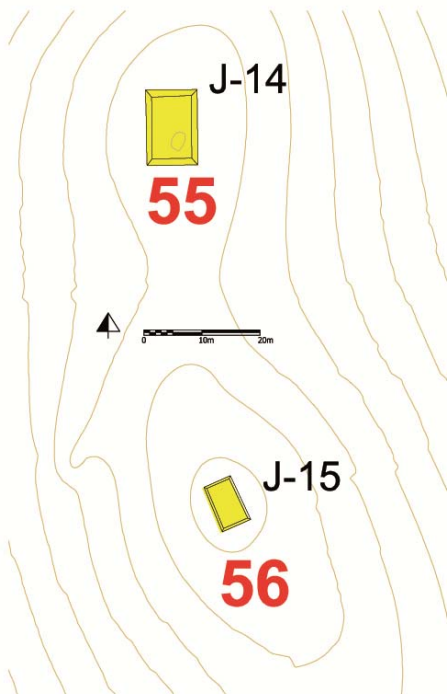
Esta estructura es parte de las que pensamos ser una red de observación hacia el interior y el exterior del sitio, conformada por una serie de estructuras en la cima de los cerros. Ésta, junto a la J -15 (conjunto CHK/J56), se encuentra en una posición privilegiada siendo el cerro donde descansan uno de los más elevados del Chinikihá.

Localización en el sitio



Mapa

Fotografía conjunto



Cédula de Conjunto arquitectónico

Sitio

Conjunto

Tipo de Conjunto

Emplazamiento

Preparación del terreno

N estructuras

Área espacio compartido/
espacio disponible (m2)

Existe una estructura sobresaliente Nr. Estructura sobresaliente

Porque sobresale

Distancia mínima de otro conjunto (m)

Excavado

Operación(es)

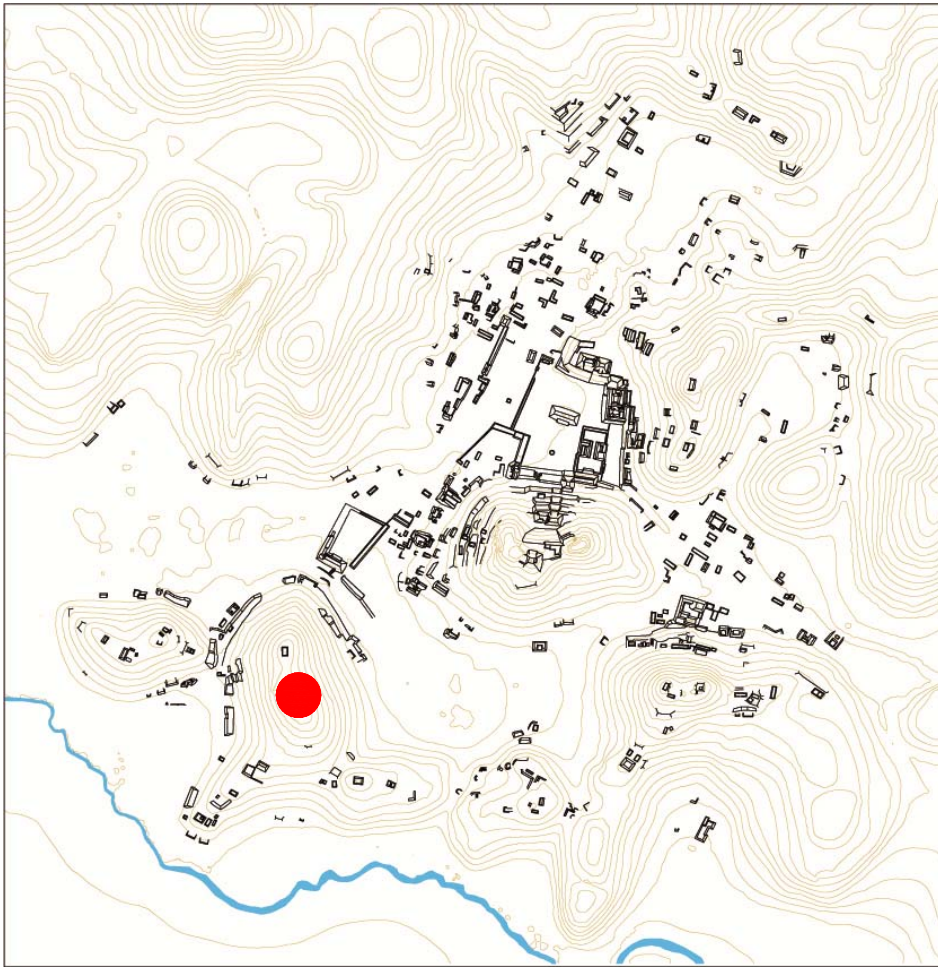
Estructuras de este Conjunto

Estructura	Área	Altura	Volumen	Tipo de estructura
J-15	40,18	Mts2 ,3	Mts 12,054	Mts3 plataforma rectangular

Observaciones

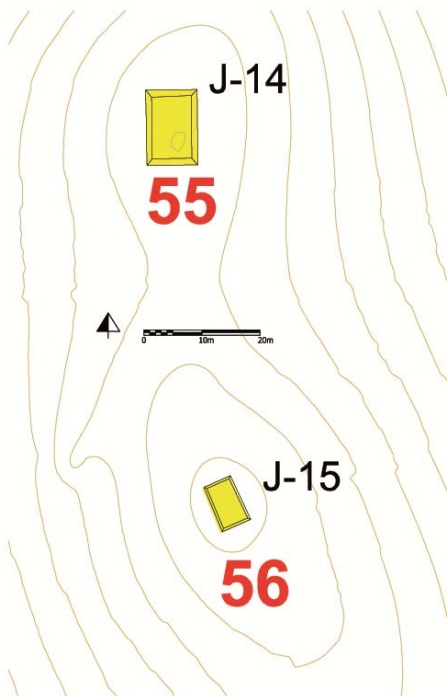
Esta estructura es parte de las que pensamos ser una red de observación hacia el interior y el exterior del sitio, conformada por una serie de estructuras en la cima de los cerros. Ésta, junto a la J-14 (conjunto CHK/J55), se encuentra en una posición privilegiada siendo el cerro donde descansan uno de los más elevados del Chinikihá.

Localización en el sitio



Mapa

Fotografía conjunto



Cédula de Conjunto arquitectónico

Sitio

Conjunto

Tipo de Conjunto

Emplazamiento

Preparación del terreno

N estructuras

Área espacio compartido/
espacio disponible (m2)

Existe una estructura sobresaliente No Nr. Estructura sobresaliente No

Porque sobresale

Distancia mínima de otro conjunto (m)

Excavado No

Operación(es)

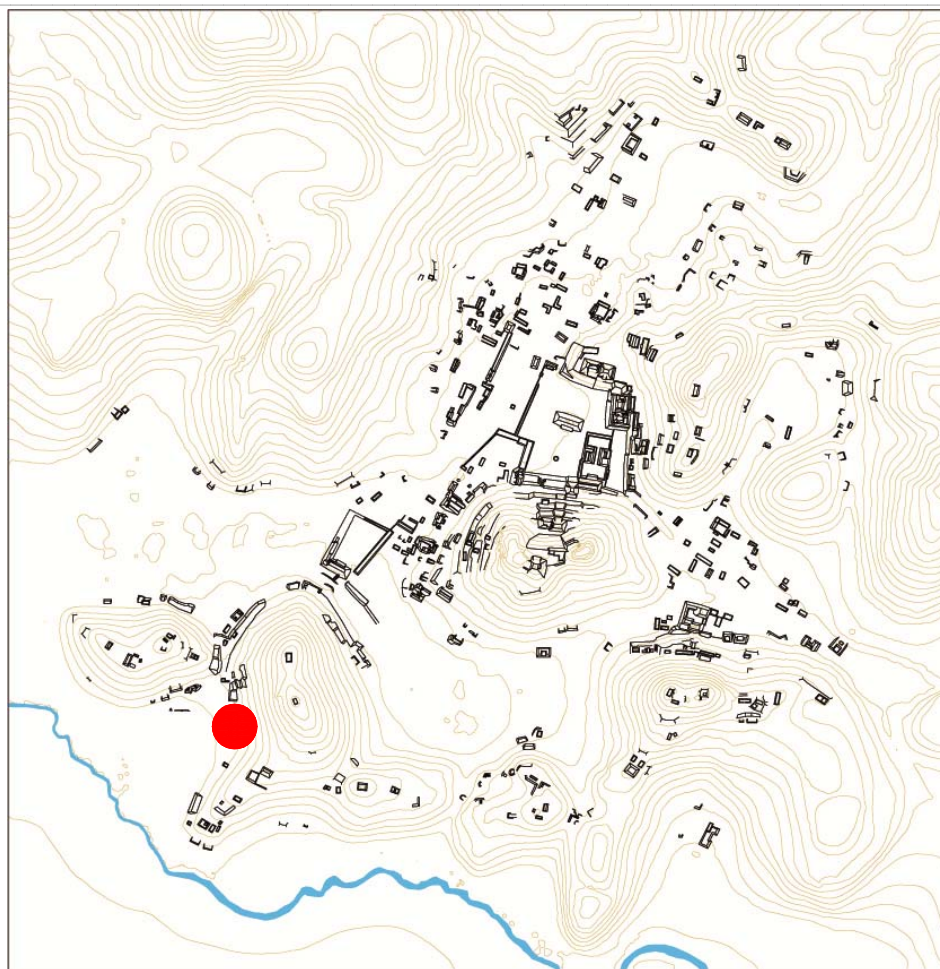
Estructuras de este Conjunto

Estructura	Área	Altura	Volumen	Tipo de estructura
J-13	373,23	Mts2 1,1	Mts 410,553	Mts3 plataforma en forma de C

Observaciones

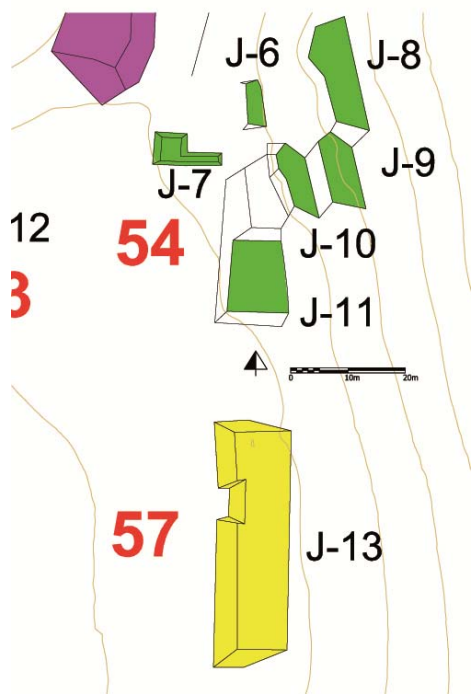
Se trata de una terraza de gran tamaño, en mal estado de conservación por lo que no es posible apreciar sus características, sin embargo podemos decir que seguramente se aprovechó parte del afloramiento natural para su construcción.

Localización en el sitio



Mapa

Fotografía conjunto



Cédula de Conjunto arquitectónico

Sitio

Conjunto

Tipo de Conjunto

Emplazamiento

Preparación del terreno

N estructuras

Área espacio compartido/
espacio disponible (m2)

Existe una estructura sobresaliente

Nr. Estructura sobresaliente

Porque sobresale

Distancia mínima de otro conjunto (m)

Excavado

Operación(es)

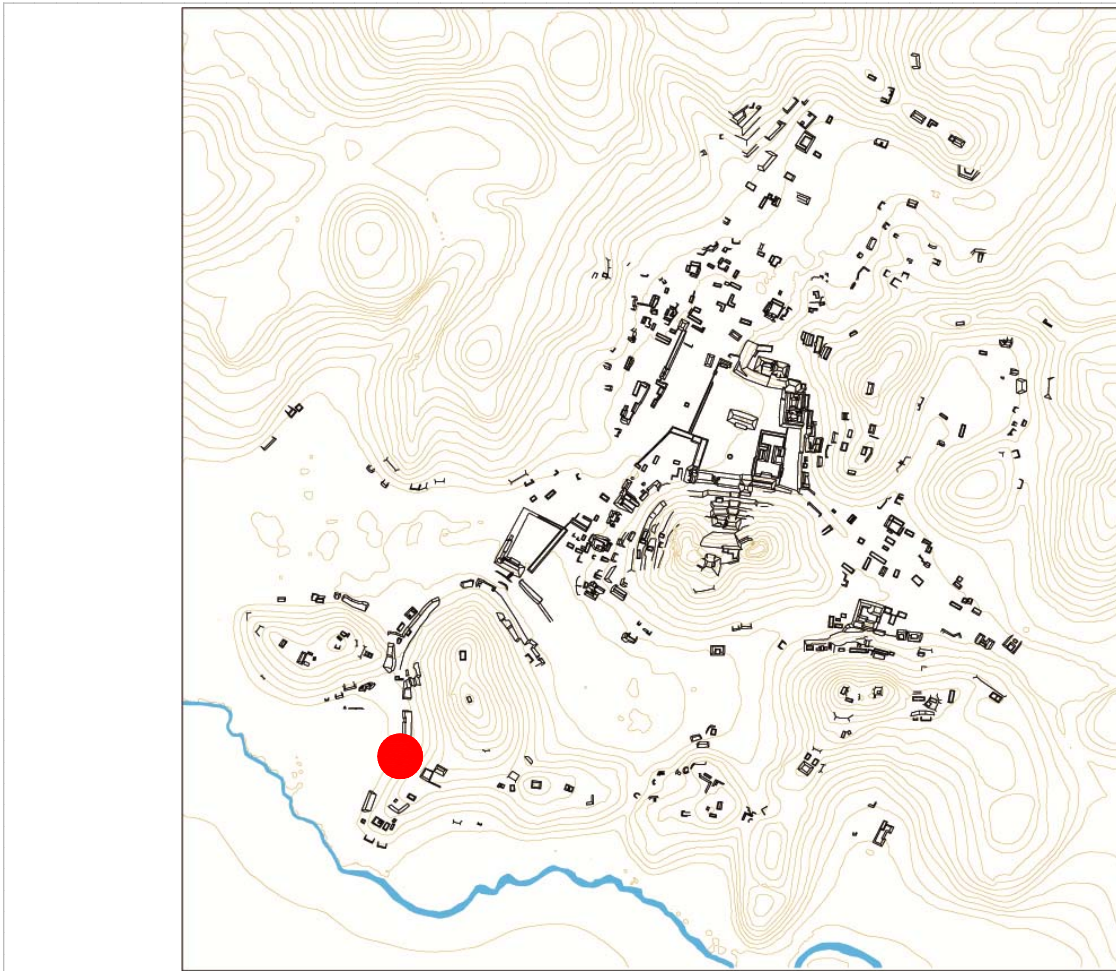
Estructuras de este Conjunto

Estructura	Área	Altura	Volumen	Tipo de estructura

Observaciones

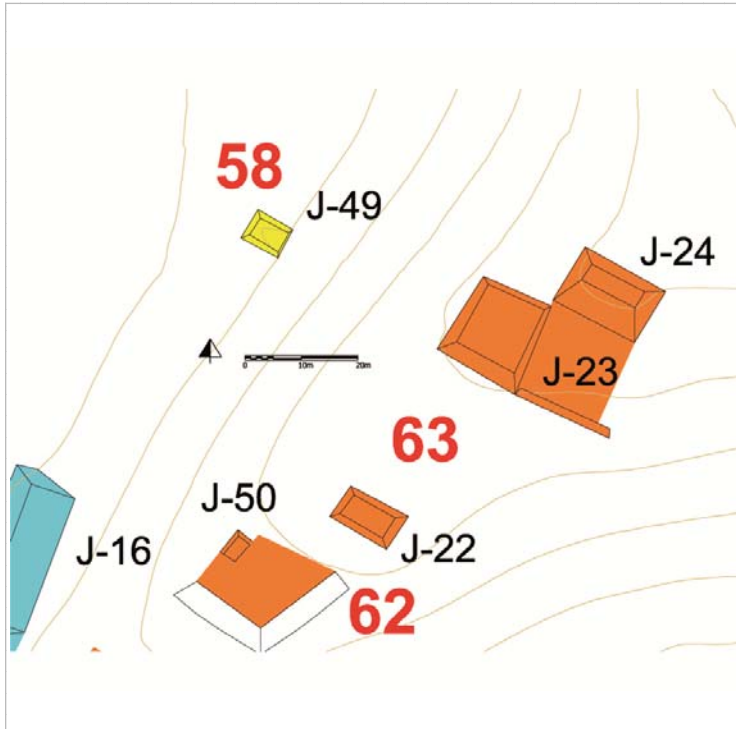
Se trata de una pequeña plataforma aislada en mal estado de conservación.

Localización en el sitio



Mapa

Fotografía conjunto



Cédula de Conjunto arquitectónico

Sitio **Chinikihá**

Conjunto **CHK/J59**

Tipo de Conjunto **Plataformas pareadas**

Emplazamiento **Pie de Monte**

Preparación del terreno **Basamento parcialmente artificial**

N estructuras **2**

Área espacio compartido/
espacio disponible (m2)

Existe una estructura sobresaliente **J-16** Nr. Estructura sobresaliente **J-16**

Porque sobresale **Volumen constructivo**

Distancia mínima de otro conjunto (m) **16,63**

Excavado **No**

Operación(es)

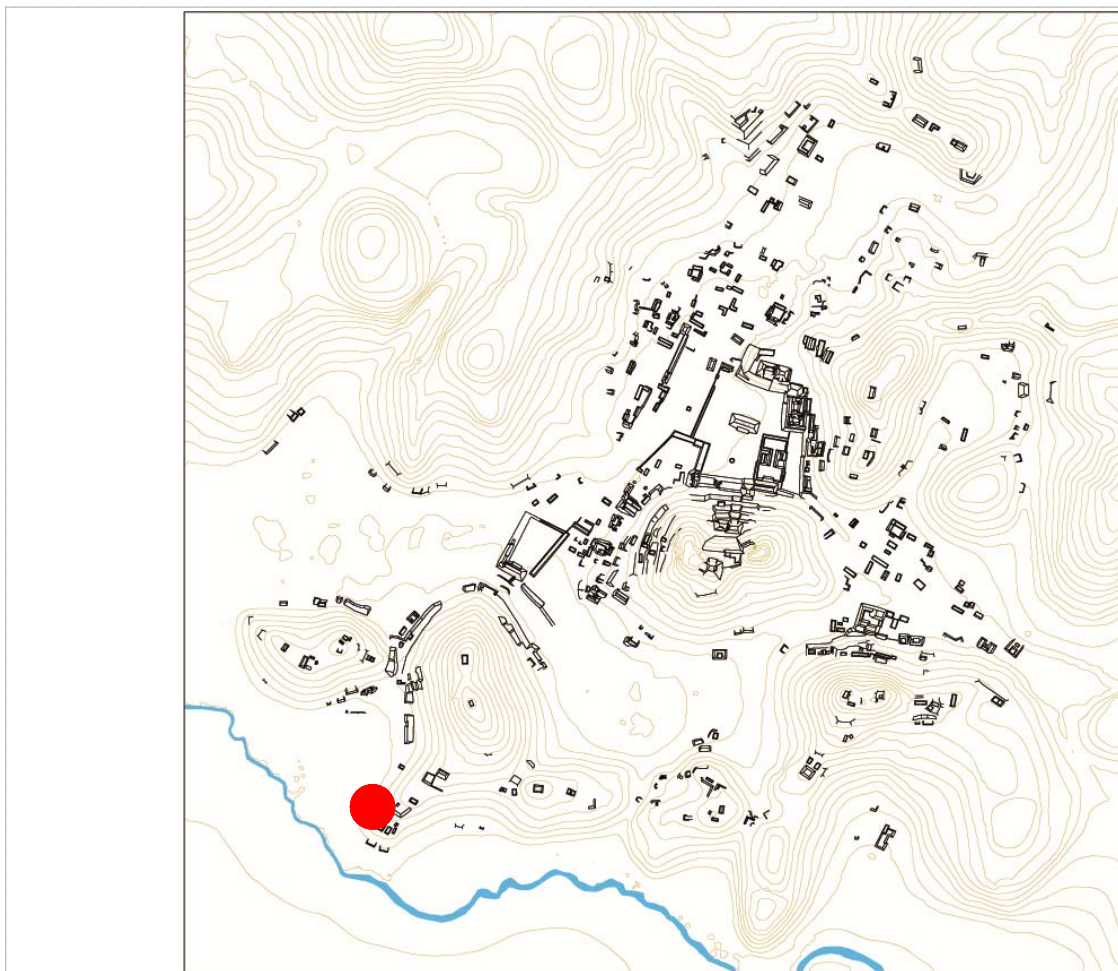
Estructuras de este Conjunto

Estructura	Área	Altura	Volumen	Tipo de estructura
J-16	246,48	Mts2 2	Mts 492,96	Mts3 plataforma rectangular
J-17	32,13	Mts2 ,6	Mts 19,278	Mts3 plataforma rectangular

Observaciones

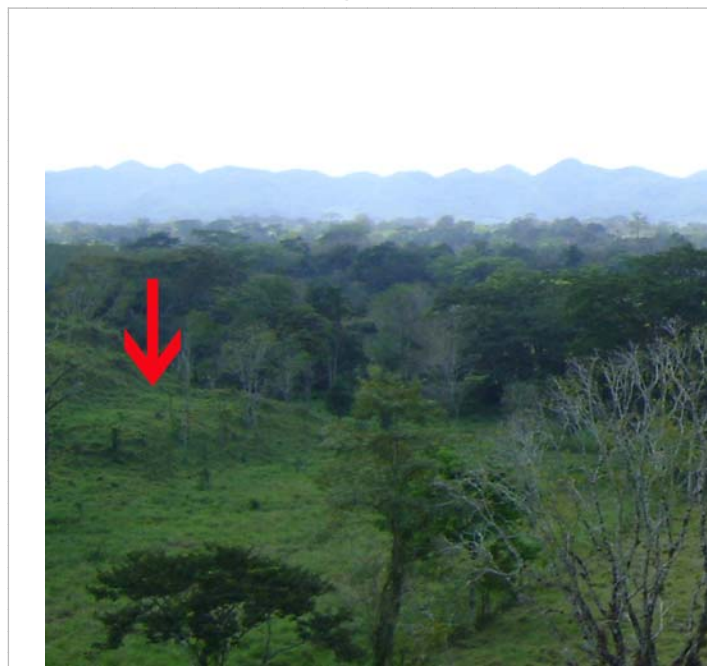
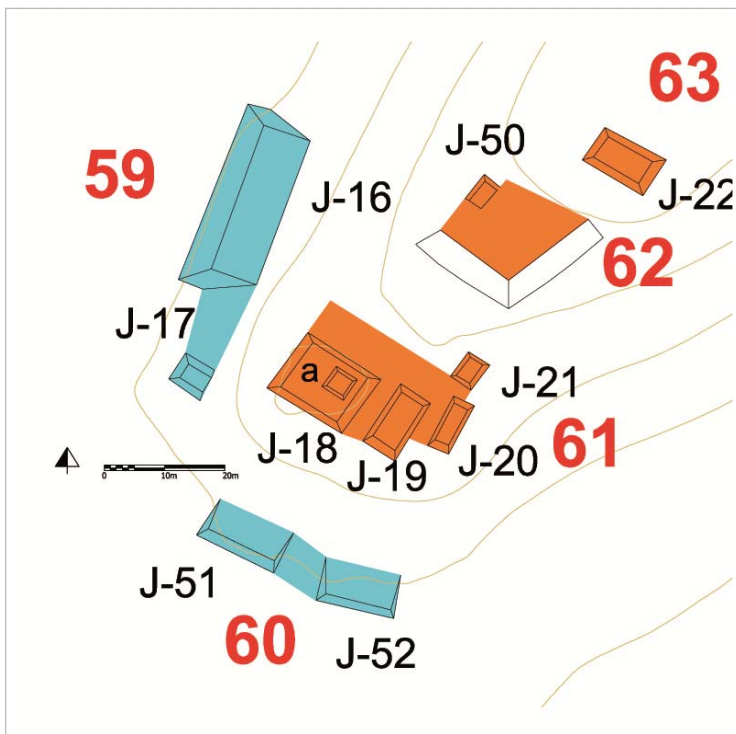
La estructura J-16 sobresale en este conjunto por sus dimensiones, sobre todo si comparada con la J-17 cuyo tamaño es extremadamente reducido.

Localización en el sitio



Mapa

Fotografía conjunto



Cédula de Conjunto arquitectónico

Sitio

Conjunto

Tipo de Conjunto

Emplazamiento

Preparación del terreno

N estructuras

Área espacio compartido/
espacio disponible (m2)

Existe una estructura sobresaliente

Nr. Estructura sobresaliente

Porque sobresale

Distancia mínima de otro conjunto (m)

Excavado

Operación(es)

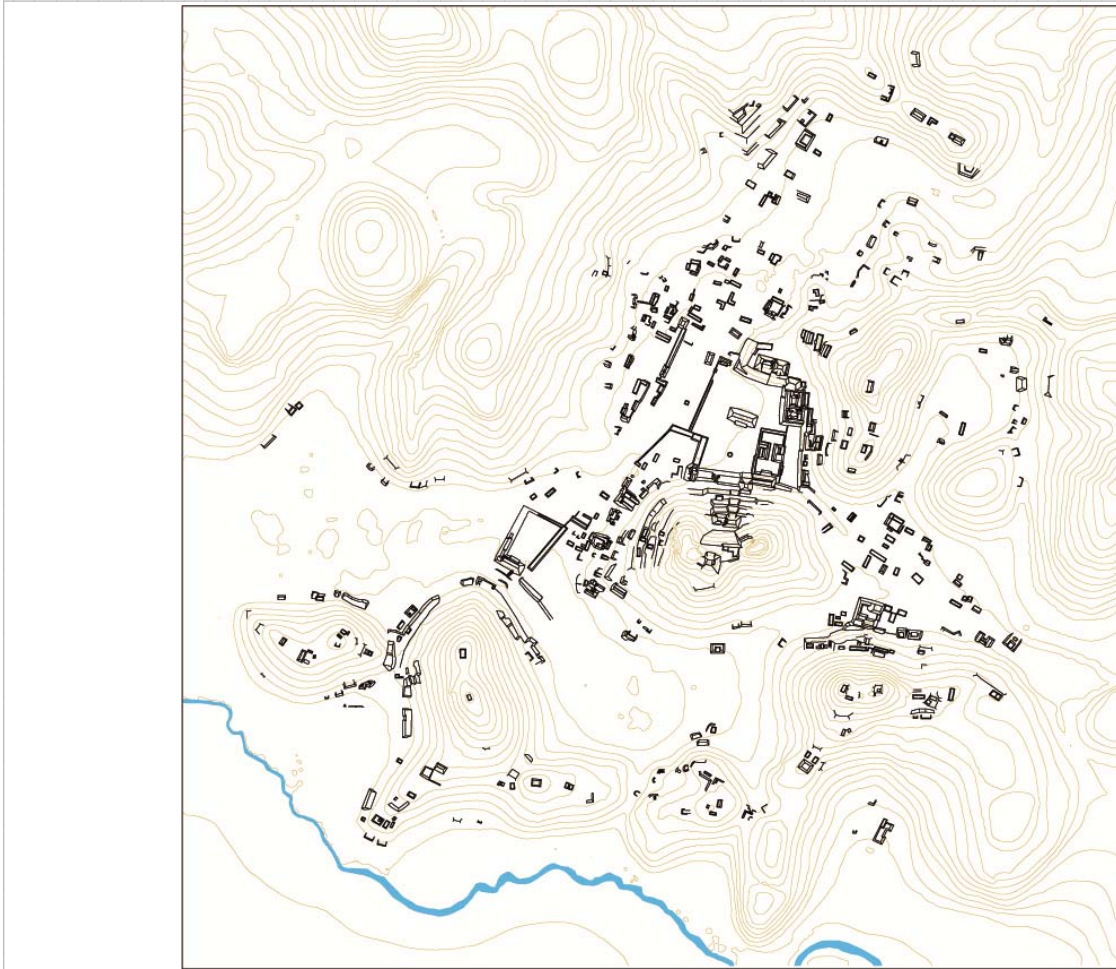
Estructuras de este Conjunto

Estructura	Área	Altura	Volumen	Tipo de estructura

Observaciones

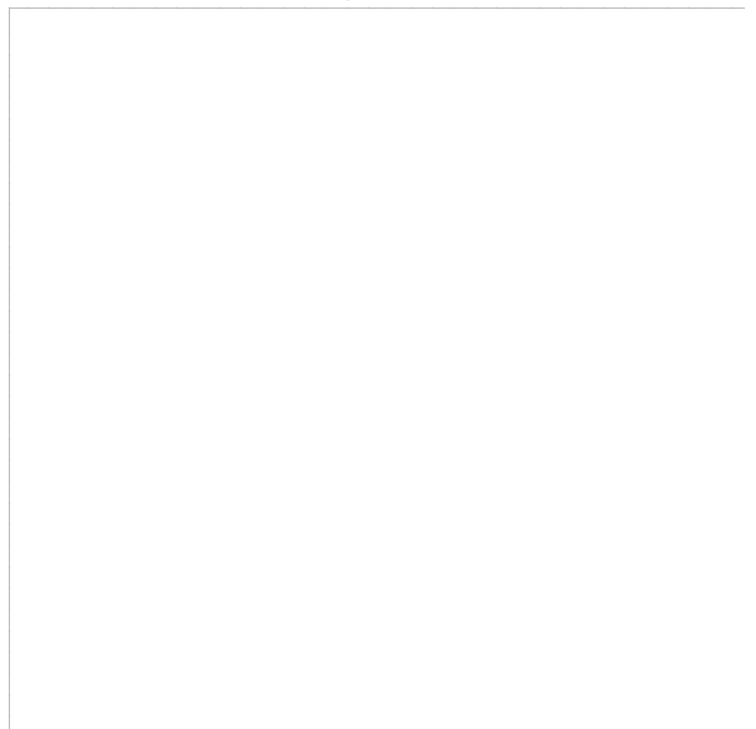
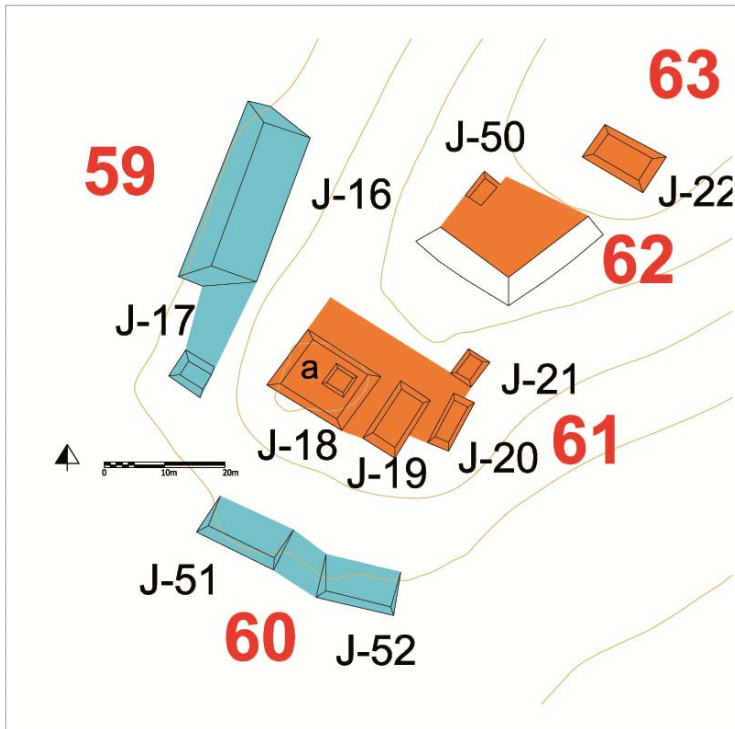
Estas dos plataformas se encuentran destruidas casi por completo, ya que su núcleo fue cavado para recavar un hoyo y muchas de sus piedras removidas para crear un horno para hornear chiles, así pudimos levantar parte de lo que quedaba visible de su forma original.

Localización en el sitio



Mapa

Fotografía conjunto



Cédula de Conjunto arquitectónico

Sitio Chinikihá

Conjunto CHK/J61

Tipo de Conjunto Patio

Emplazamiento Cima de cerro

Preparación del terreno Contención
Nivelación

N estructuras 5

Área espacio compartido/
espacio disponible (m2) 262,11

Existe una estructura sobresaliente J-18 Nr. Estructura sobresaliente J-18

Porque sobresale Otro

Distancia mínima de otro conjunto (m) 11,18

Excavado Si

Operación(es) 169

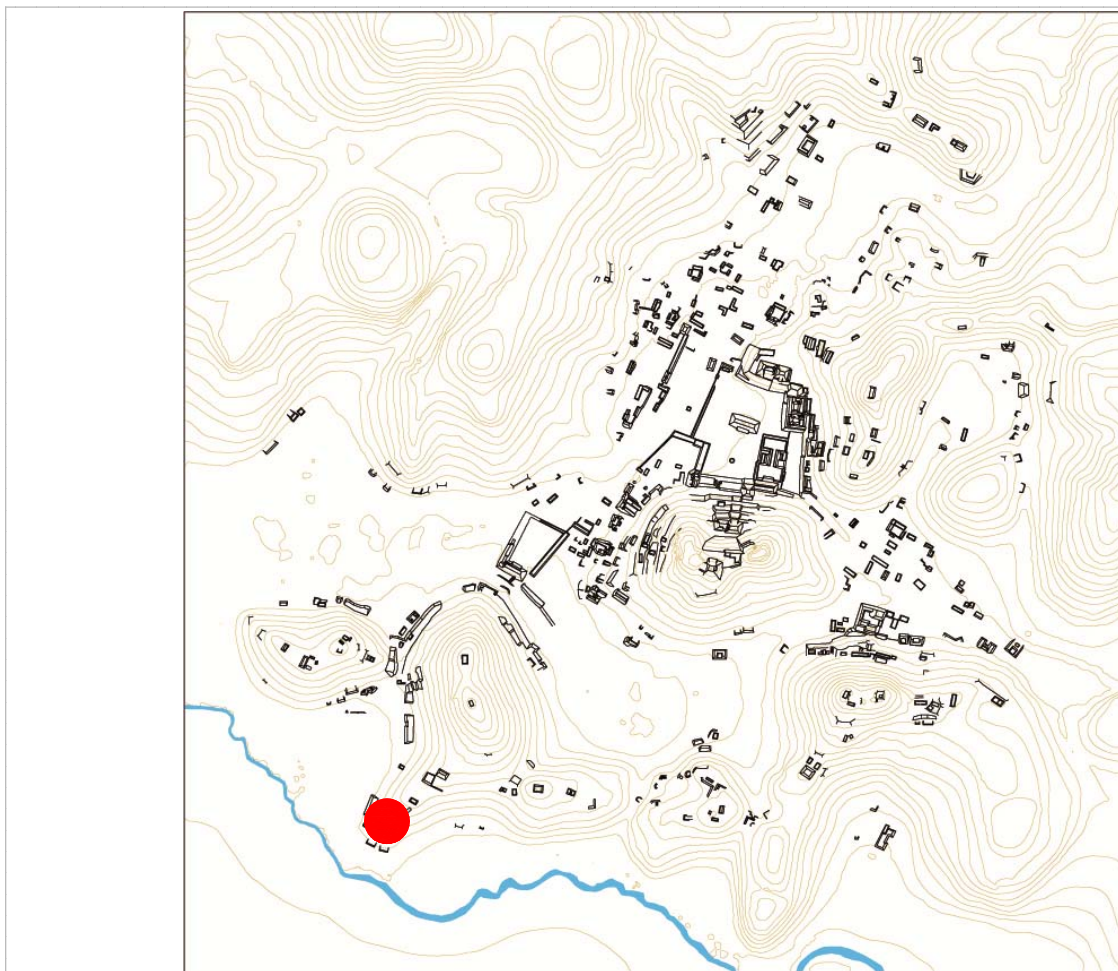
Estructuras de este Conjunto

Estructura	Área	Altura	Volumen	Tipo de estructura
J-18	164,16	Mts2 1,5	Mts 246,24	Mts3 plataforma basal
J-18a	17,22	Mts2 ,3	Mts 5,166	Mts3 plataforma cuadrangular
J-19	66,67	Mts2 ,3	Mts 20,001	Mts3 plataforma rectangular
J-20	33,3	Mts2 ,3	Mts 9,99	Mts3 plataforma rectangular
J-21	20,5	Mts2 ,4	Mts 8,2	Mts3 plataforma cuadrangular

Observaciones

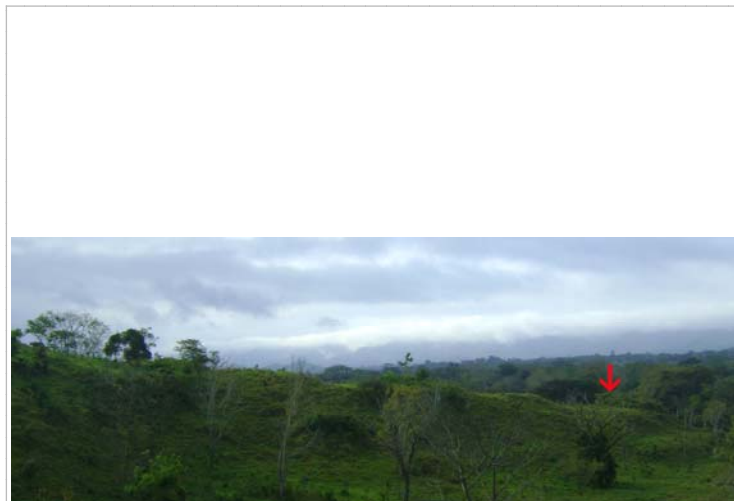
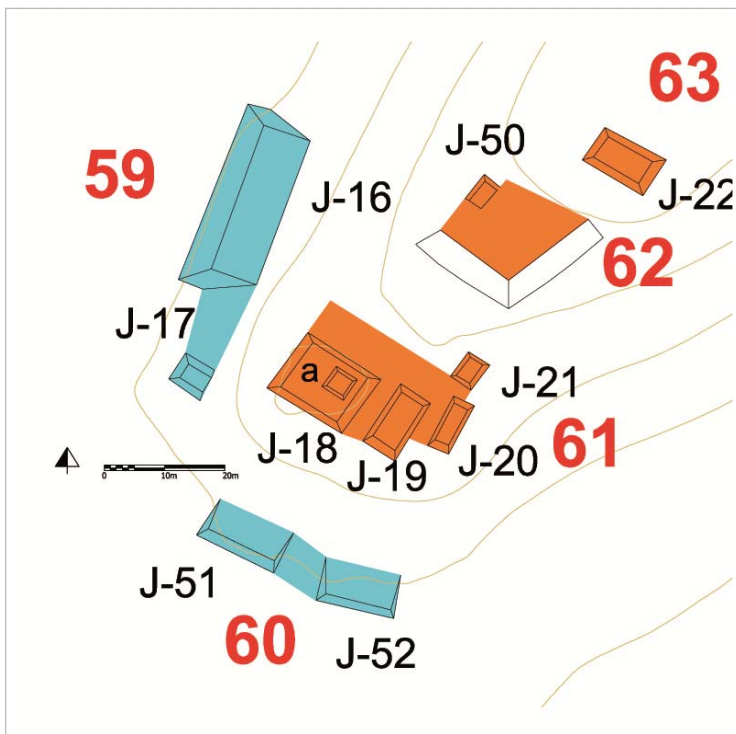
Este conjunto se define como patio también gracias a sus características topográficas: se construye en una de una serie de terrazas que conforman un pequeño cerro al sur del sitio. Es el más complejo a nivel formal de los tres que allí se encuentran; la estr. J-18 sobresale por ser constituida por una plataforma basal. Hacia el límite físico del cerro se observan obras de contención y nivelación de la terraza. se hallaron fragmentos de metate en superficie.

Localización en el sitio



Mapa

Fotografía conjunto



Cédula de Conjunto arquitectónico

Sitio

Conjunto

Tipo de Conjunto

Emplazamiento

Preparación del terreno

N estructuras

Área espacio compartido/
espacio disponible (m2)

Existe una estructura sobresaliente Nr. Estructura sobresaliente

Porque sobresale

Distancia mínima de otro conjunto (m)

Excavado

Operación(es)

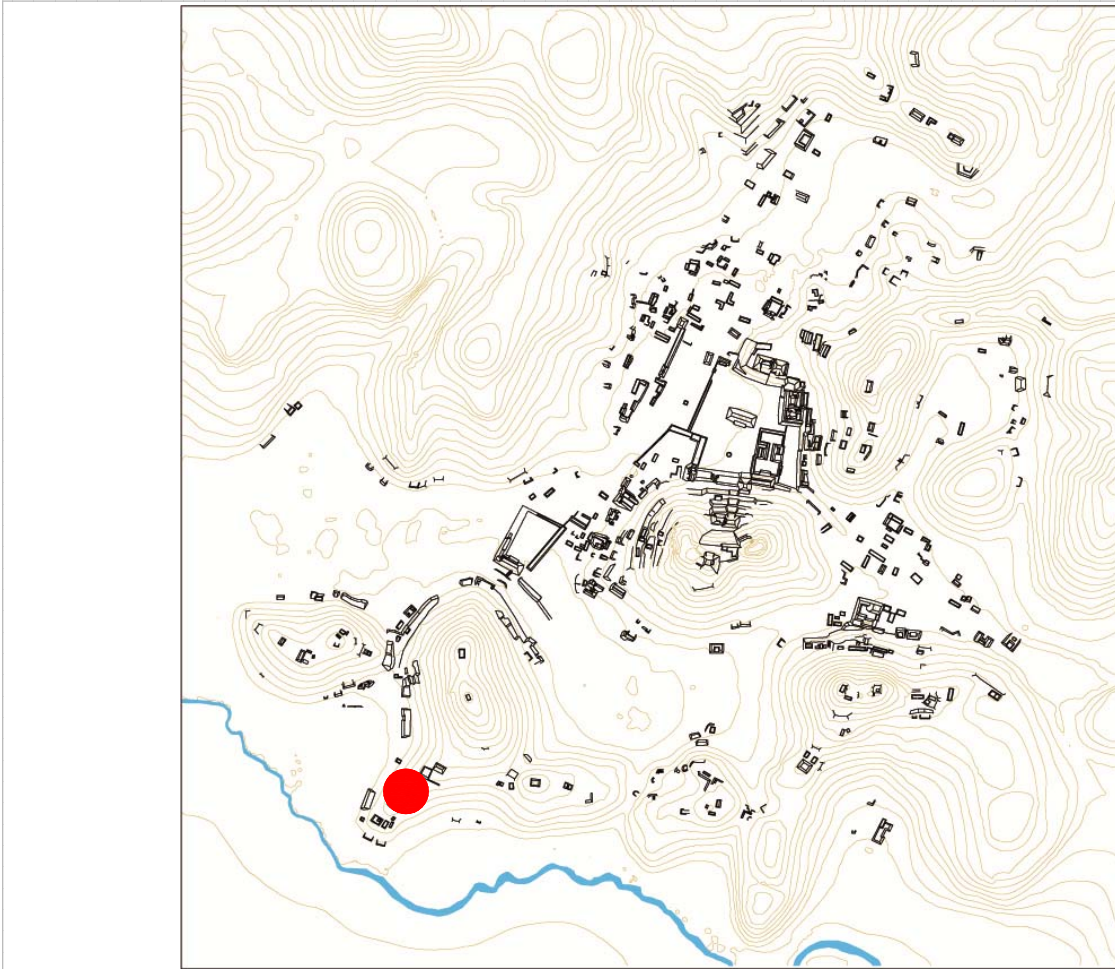
Estructuras de este Conjunto

Estructura	Área	Altura	Volumen	Tipo de estructura
J-50	15,81	Mts2 ,3	Mts 4,743	Mts3 plataforma rectangular

Observaciones

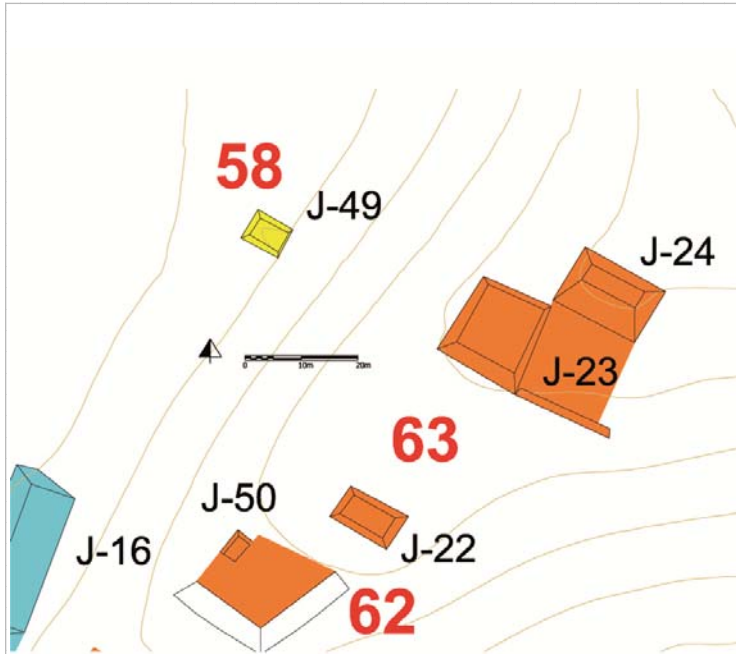
Se trata de otra terraza en una serie que conforma un pequeño cerro al sur del sitio. Se pudo levantar aquí sólo una plataforma, aunque por la presencia de una terraza delimitada por la topografía y separada de otras se piensa forme parte de los conjuntos tipo patio.

Localización en el sitio



Mapa

Fotografía conjunto



Cédula de Conjunto arquitectónico

Sitio

Conjunto

Tipo de Conjunto

Emplazamiento

Preparación del terreno

N estructuras

Área espacio compartido/
espacio disponible (m2)

Existe una estructura sobresaliente Nr. Estructura sobresaliente

Porque sobresale

Distancia mínima de otro conjunto (m)

Excavado Operación(es)

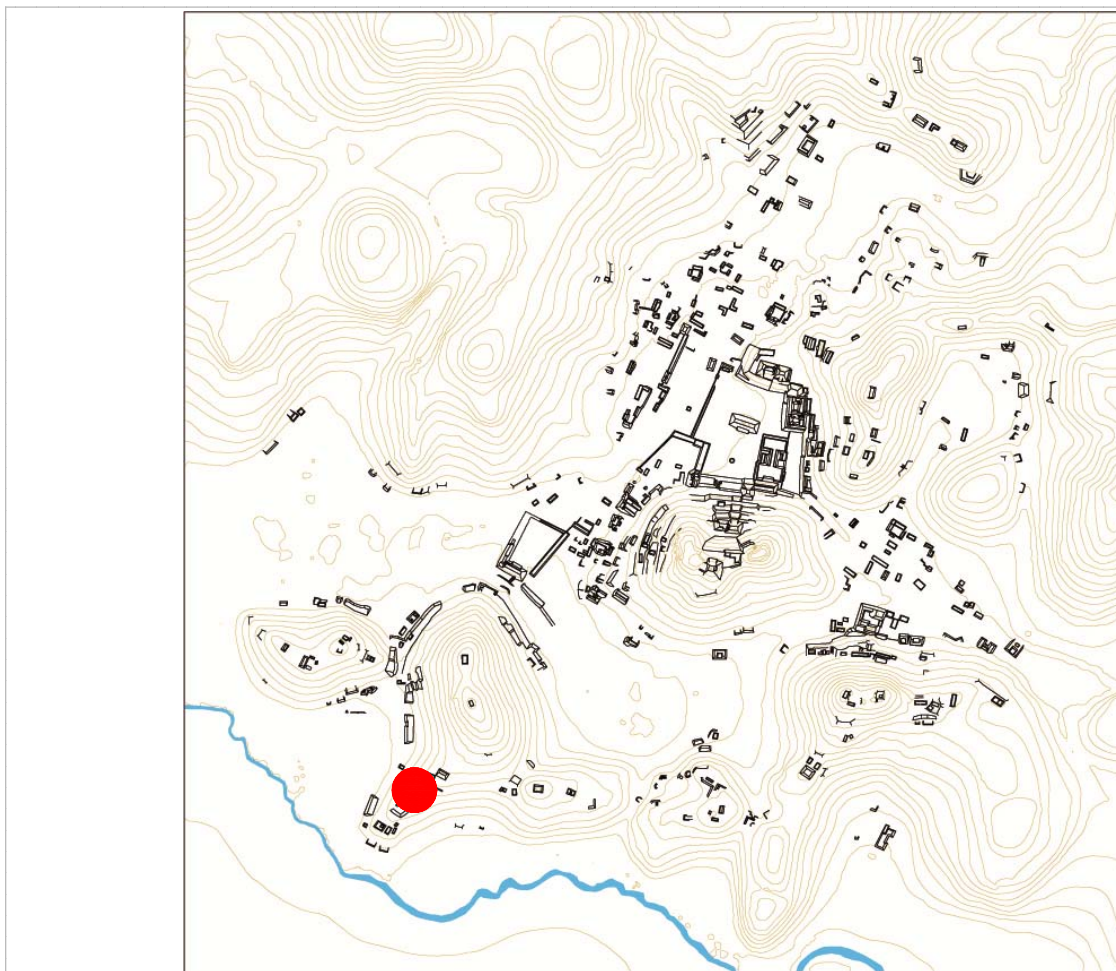
Estructuras de este Conjunto

Estructura	Área	Altura	Volumen	Tipo de estructura
J-22	80,5	Mts2 ,7	Mts 56,35	Mts3 plataforma rectangular

Observaciones

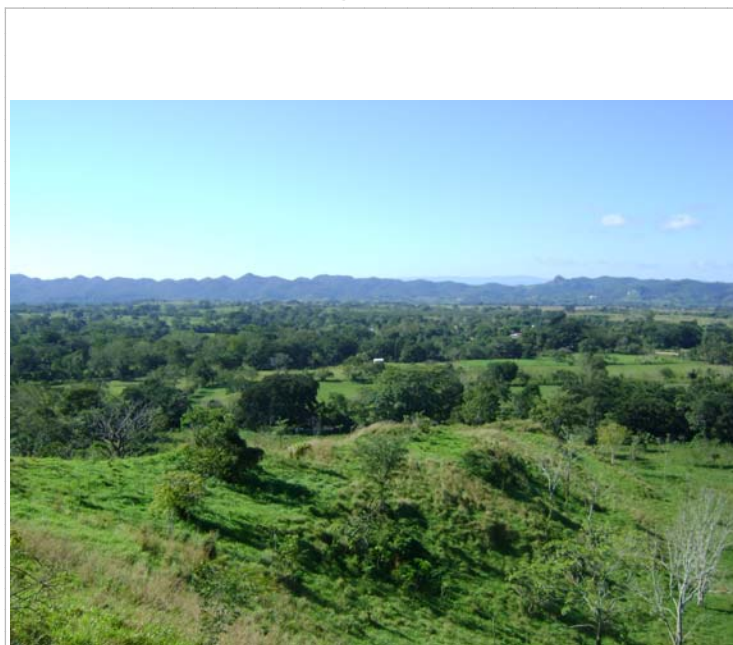
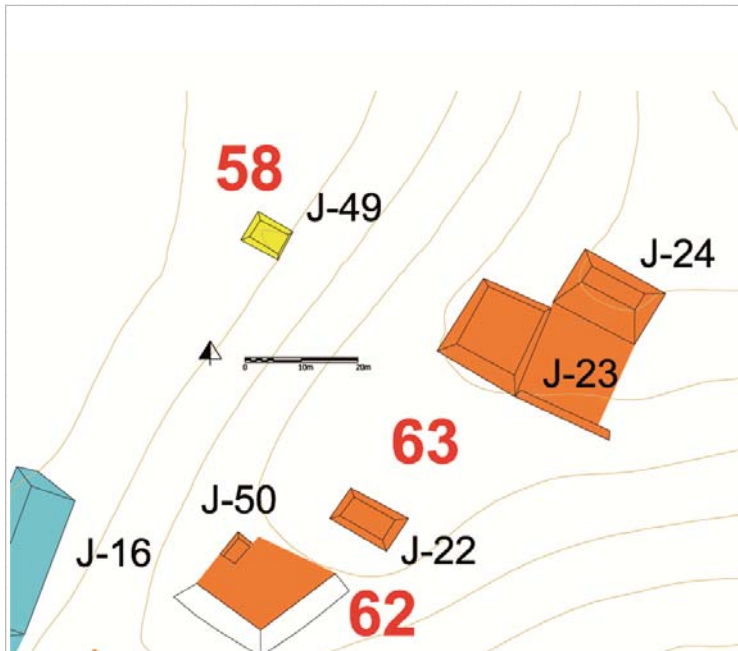
Este conjunto se conforma por 1 estructura que domina una grande terraza, entre una serie de espacios del mismo tipo y de tamaño diferente. Entre el límite sur de esta terraza y la otra se observa el acondicionamiento del terreno.

Localización en el sitio



Mapa

Fotografía conjunto



Cédula de Conjunto arquitectónico

Sitio Chinikihá

Conjunto CHK/J64

Tipo de Conjunto Lineal

Emplazamiento Cima de cerro

Preparación del terreno Nignuna

N estructuras 3

Área espacio compartido/
espacio disponible (m2)

Existe una estructura sobresaliente J-27 Nr. Estructura sobresaliente J-27

Porque sobresale Volumen constructivo

Distancia mínima de otro conjunto (m) 25,53

Excavado No

Operación(es)

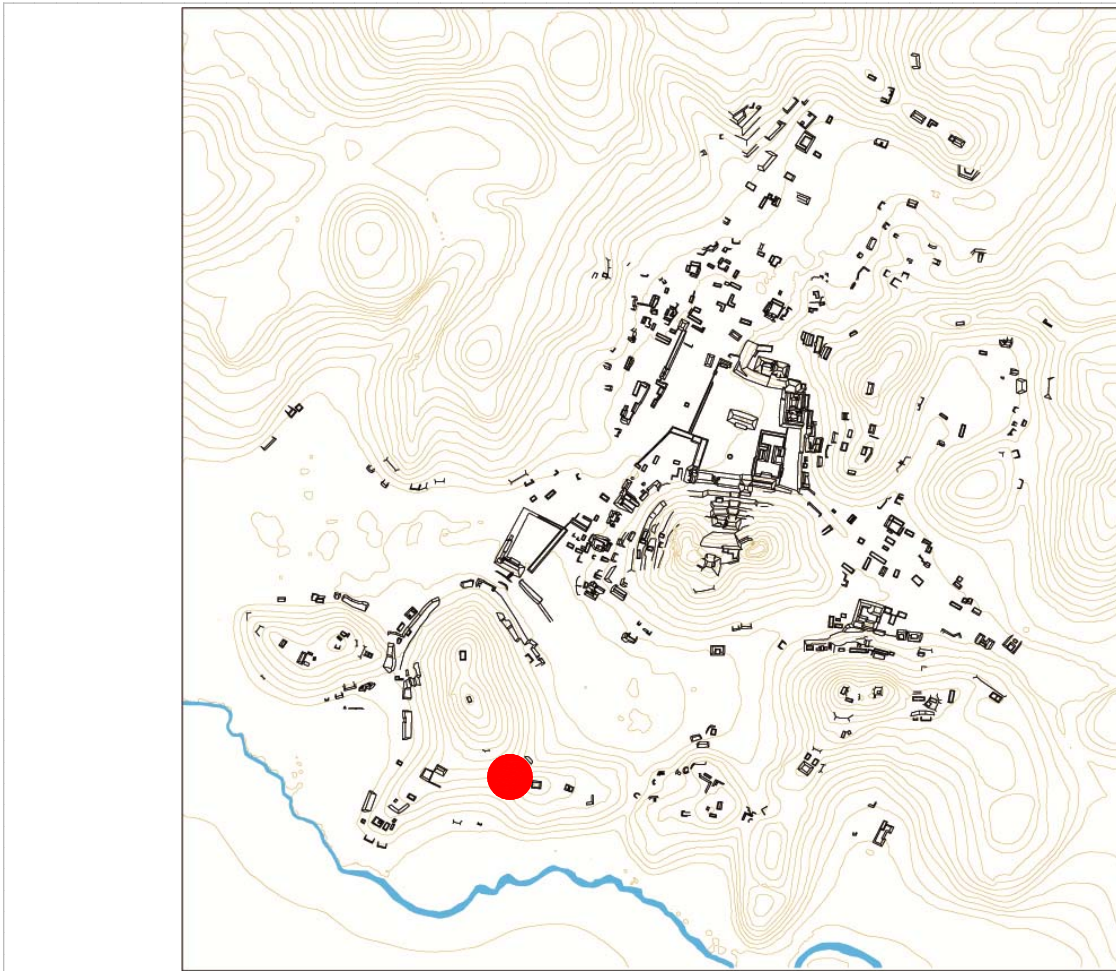
Estructuras de este Conjunto

Estructura	Área	Altura	Volumen	Tipo de estructura
J-25	18,88	Mts2 ,2	Mts 3,776	Mts3 plataforma rectangular
J-26	22,5	Mts2 ,2	Mts 4,5	Mts3 plataforma cuadrangular
J-27	58,24	Mts2 ,6	Mts 34,944	Mts3 plataforma rectangular

Observaciones

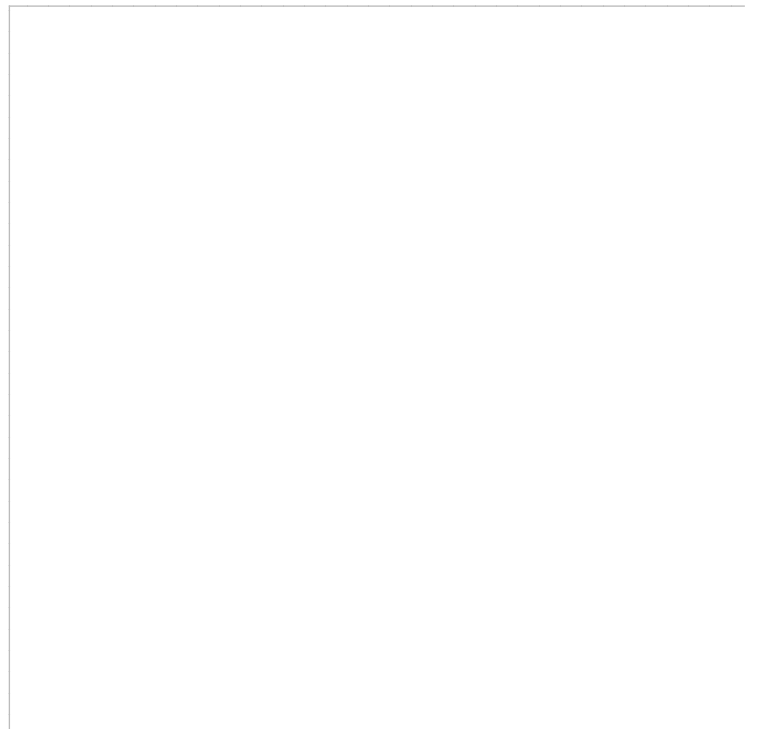
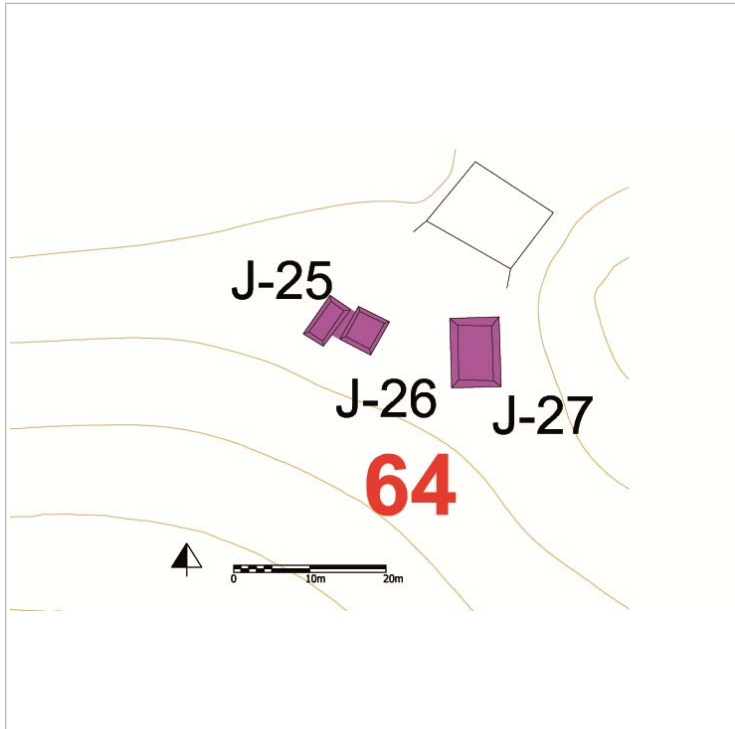
Se trata de tres plataformas que ocupan un lugar de paso entre el extremo sur del sitio y el área inundable en donde se encuentra la aguada.

Localización en el sitio



Mapa

Fotografía conjunto



Cédula de Conjunto arquitectónico

Sitio

Conjunto

Tipo de Conjunto

Emplazamiento

Preparación del terreno

N estructuras

Área espacio compartido/
espacio disponible (m2)

Existe una estructura sobresaliente

Nr. Estructura sobresaliente

Porque sobresale

Distancia mínima de otro conjunto (m)

Excavado

Operación(es)

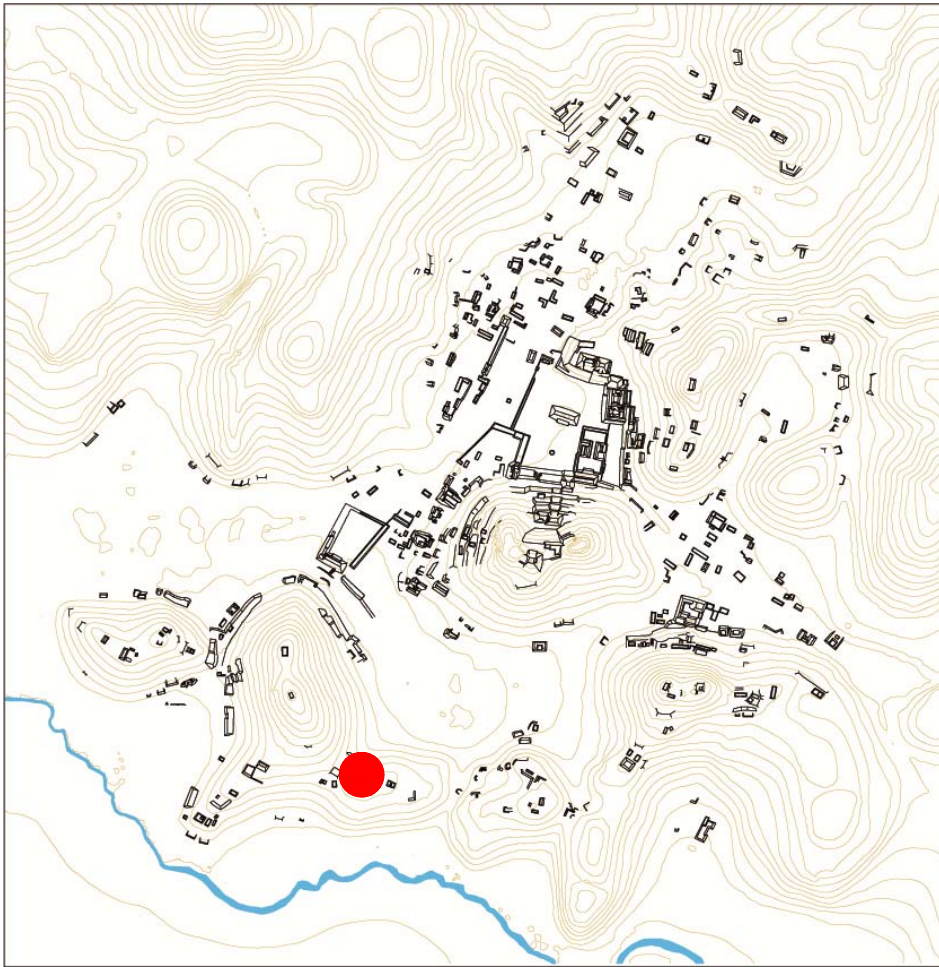
Estructuras de este Conjunto

Estructura	Área	Altura	Volumen	Tipo de estructura
J-28	140,4	Mts2 ,9	Mts 126,36	Mts3 plataforma rectangular

Observaciones

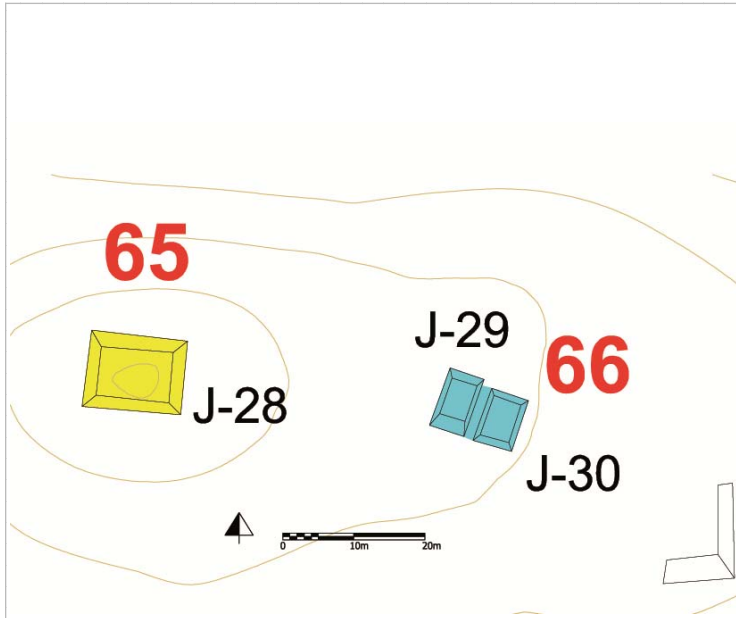
Esta plataforma aislada forma parte de la red visual que se crea entre las estructuras que ocupan la cima de los cerros. Desde aquí se puede tener una vista tanto hacia el río como hacia la aguada y al Este hasta el final del Valle de la Primavera. Junto a esta estructura se encontraron fragmentos de metate.

Localización en el sitio



Mapa

Fotografía conjunto



Cédula de Conjunto arquitectónico

Sitio

Conjunto

Tipo de Conjunto

Emplazamiento

Preparación del terreno

N estructuras

Área espacio compartido/
espacio disponible (m2)

Existe una estructura sobresaliente Nr. Estructura sobresaliente

Porque sobresale

Distancia mínima de otro conjunto (m)

Excavado

Operación(es)

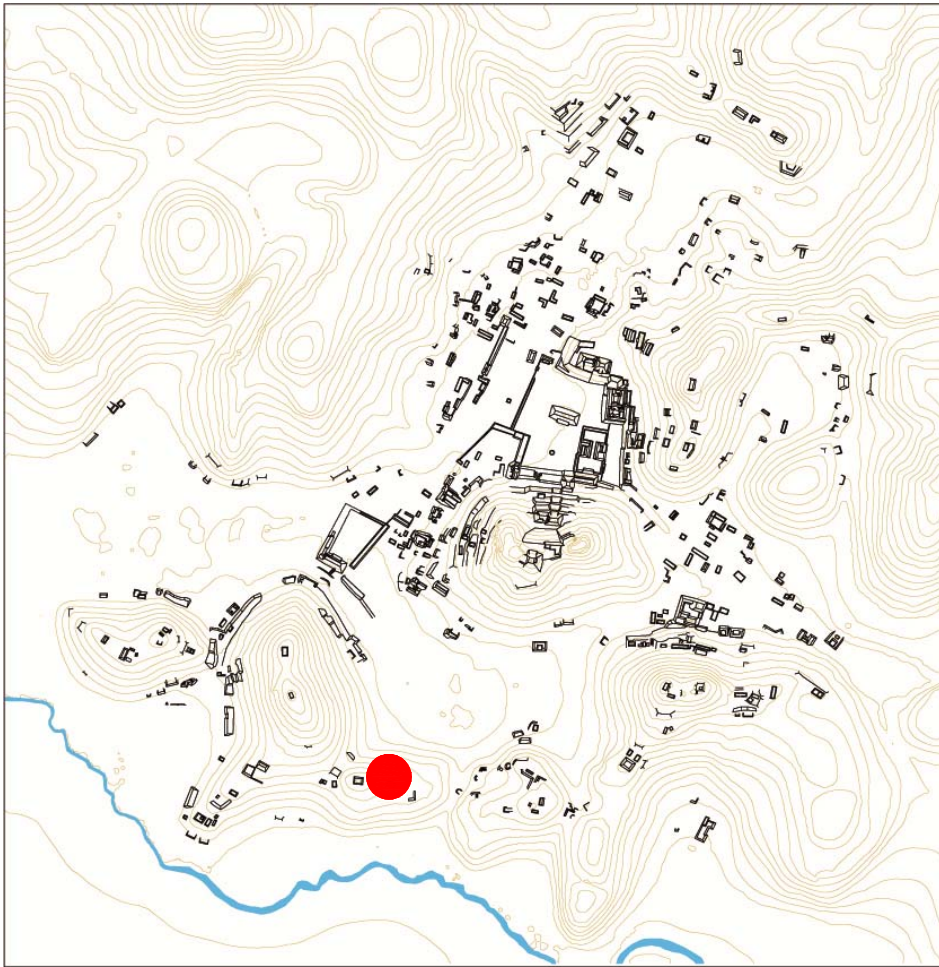
Estructuras de este Conjunto

Estructura	Área	Altura	Volumen	Tipo de estructura
J-29	42,5	Mts2 ,3	Mts 12,75	Mts3 plataforma rectangular
J-30	40,5	Mts2 ,4	Mts 16,2	Mts3 plataforma rectangular

Observaciones

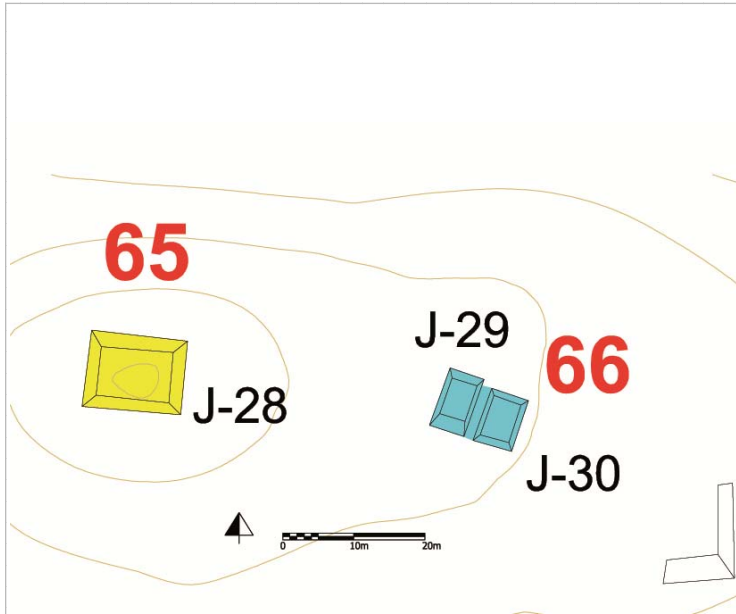
Se trata de dos pequeñas plataformas bajas en mal estado de conservación; pro su posición en el mismo cerro del conjunto CHK/J65, aunque debajo de la cima que este ocupa, se piensa estuvieron a ello relacionadas.

Localización en el sitio



Mapa

Fotografía conjunto



Cédula de Conjunto arquitectónico

Sitio Chinikihá

Conjunto CHK/J67

Tipo de Conjunto Patio

Emplazamiento Cima de cerro

Preparación del terreno Contención
Nivelación

N estructuras 2

Área espacio compartido/
espacio disponible (m2) 252,27

Existe una estructura sobresaliente J-24 Nr. Estructura sobresaliente J-24

Porque sobresale Volumen constructivo

Distancia mínima de otro conjunto (m) 29,12

Excavado No

Operación(es)

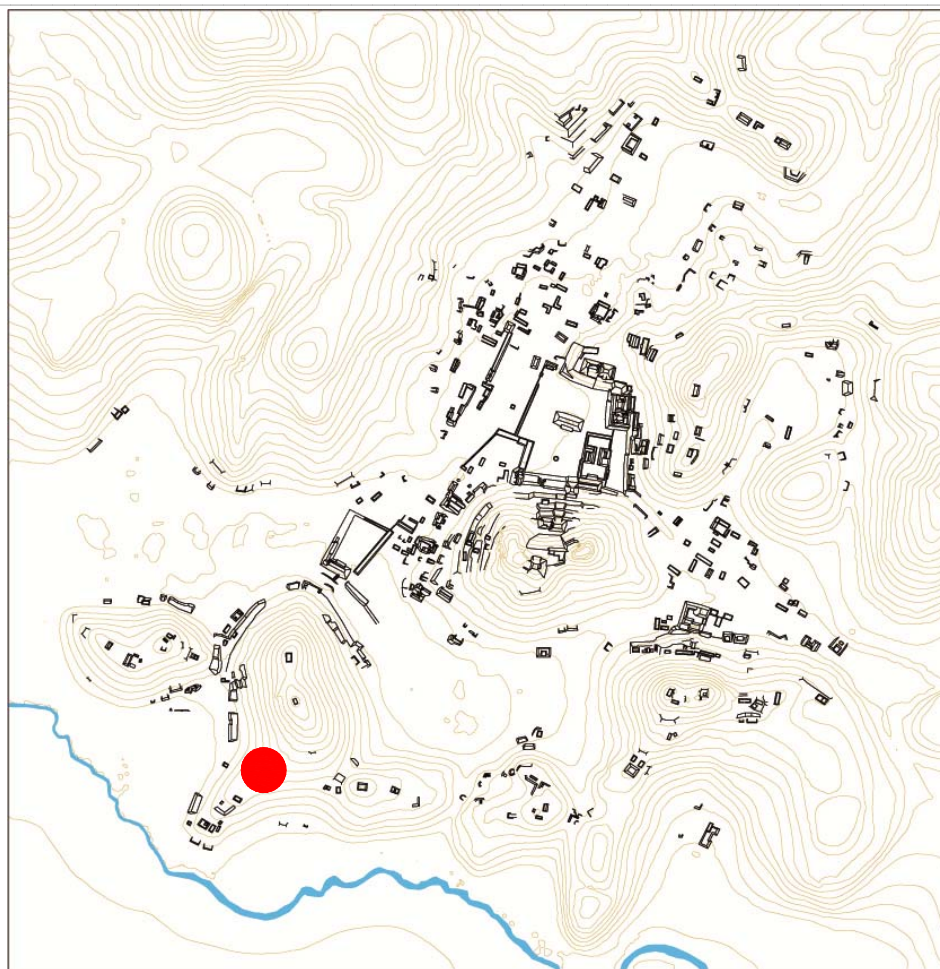
Estructuras de este Conjunto

Estructura	Área	Altura	Volumen	Tipo de estructura
J-23	243,27	Mts2 1,4	Mts 340,578	Mts3 plataforma cuadrangular
J-24	172,78	Mts2 2,5	Mts 431,95	Mts3 plataforma rectangular

Observaciones

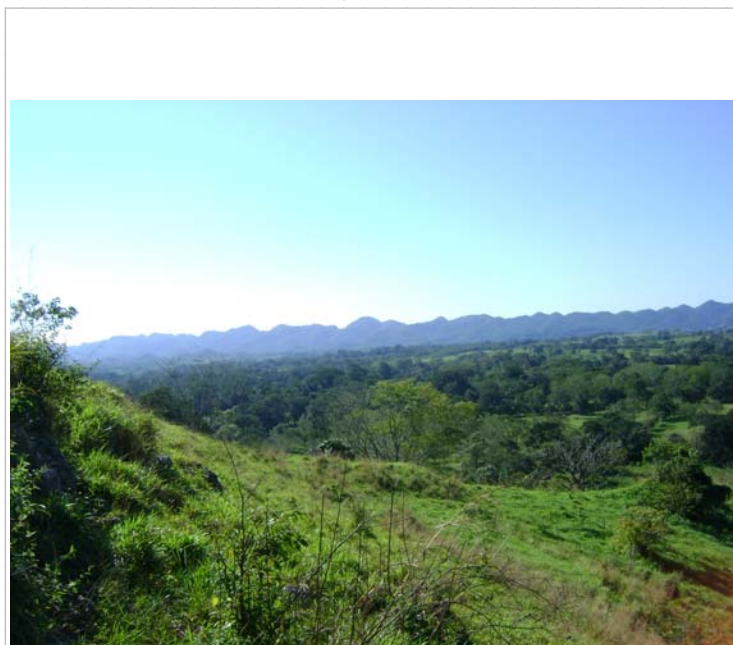
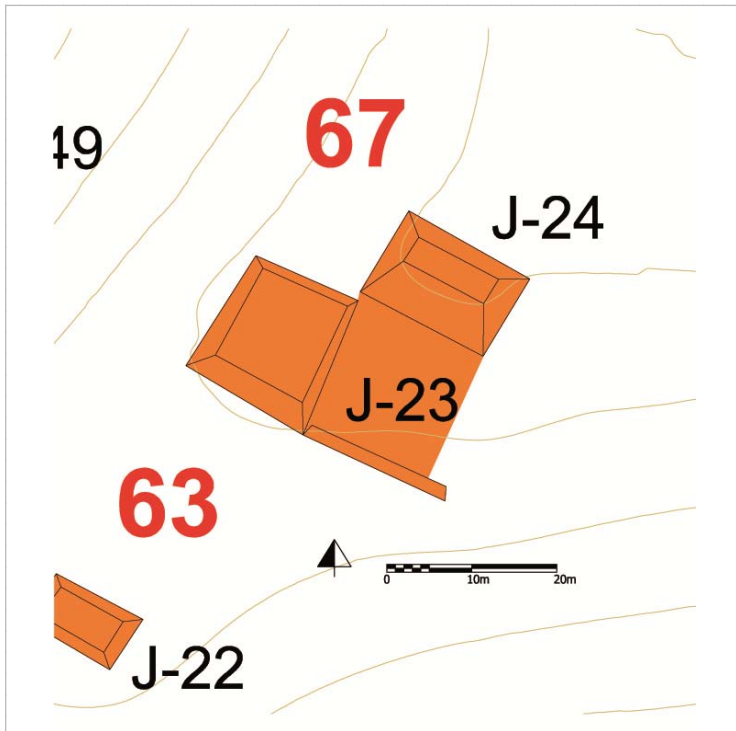
Se trata de otro grupo patio en la sucesión de terrazas naturales y parcialmente remodeladas en la cima de un pequeño cerro. Se compone por dos estructuras entre las que la J-24 tiene 2.5 mts de altura.

Localización en el sitio



Mapa

Fotografía conjunto



Cédula de Conjunto arquitectónico

Sitio Chinikihá

Conjunto CHK/D68

Tipo de Conjunto Basal

Emplazamiento Pie de Monte

Preparación del terreno Basamento parcialmente artificial

N estructuras 5

Área espacio compartido/
espacio disponible (m2) 141,9

Existe una estructura sobresaliente No Nr. Estructura sobresaliente No

Porque sobresale

Distancia mínima de otro conjunto (m) 31,69

Excavado No

Operación(es)

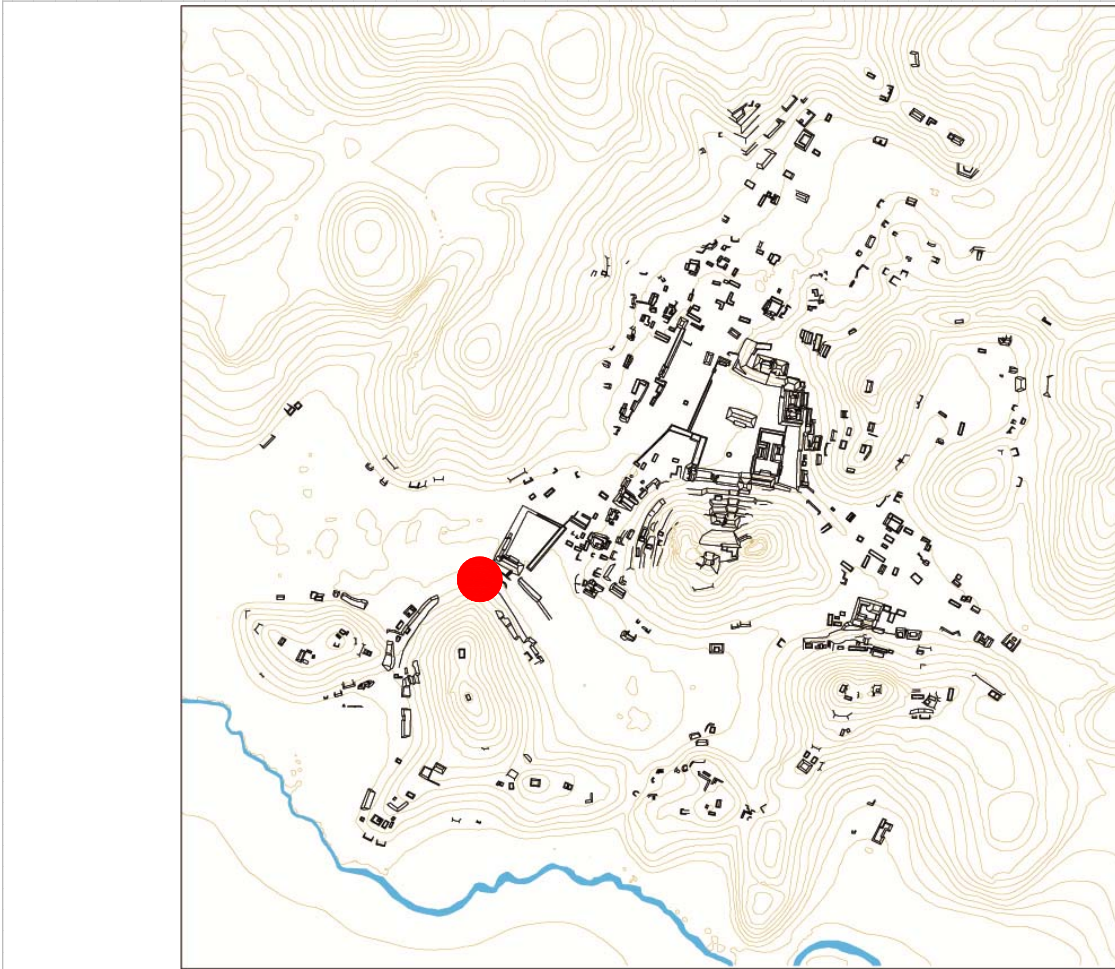
Estructuras de este Conjunto

Estructura	Área	Altura	Volumen	Tipo de estructura
D-22	117,12	Mts2 1,5	Mts 175,68	Mts3 plataforma basal
D-22a	20,91	Mts2 ,5	Mts 10,455	Mts3 plataforma rectangular
D-22b	13,77	Mts2 ,5	Mts 6,885	Mts3 plataforma rectangular
D-38	151,32	Mts2 1	Mts 151,32	Mts3 plataforma rectangular

Observaciones

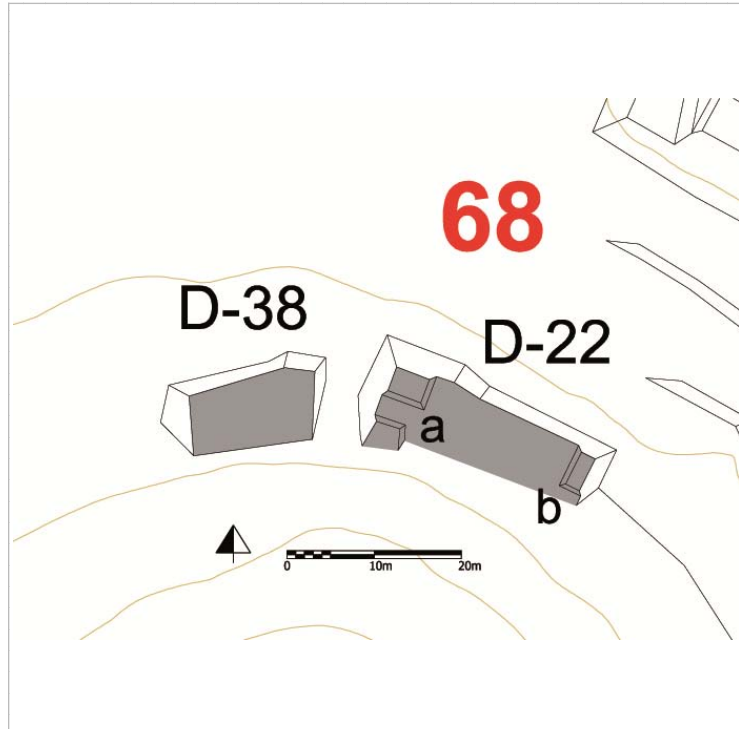
Se trata de un pequeño conjunto sobre una plataforma basal que se apoya a la ladera del cerro y que seguramente se construyó aprovechando parte del afloramiento natural. Al lado se encuentra una terraza que por su cercanía se consideró relacionada a este conjunto.

Localización en el sitio



Mapa

Fotografía conjunto



Cédula de Conjunto arquitectónico

Sitio

Conjunto

Tipo de Conjunto

Emplazamiento

Preparación del terreno

N estructuras

Área espacio compartido/
espacio disponible (m2)

Existe una estructura sobresaliente Nr. Estructura sobresaliente

Porque sobresale

Distancia mínima de otro conjunto (m)

Excavado

Operación(es)

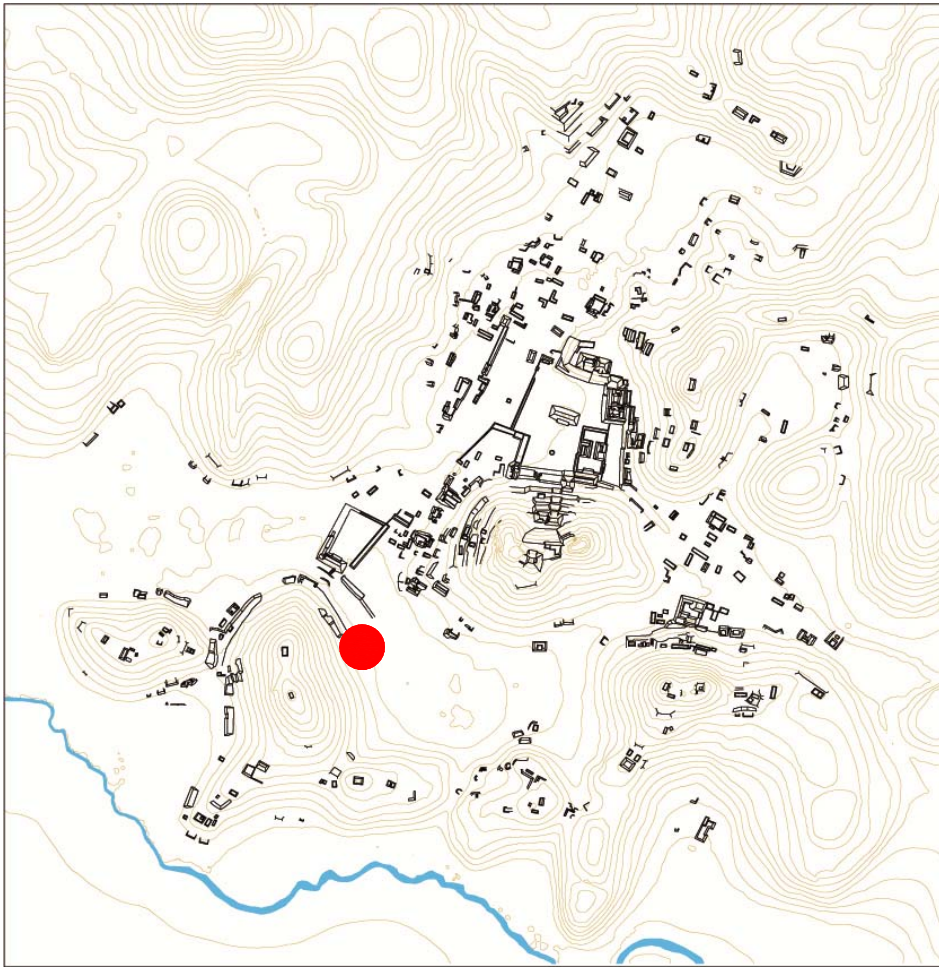
Estructuras de este Conjunto

Estructura	Área	Altura	Volumen	Tipo de estructura
D-39	863,14	Mts2 2,5	Mts 2157,85	Mts3 plataforma basal en forma de C
D-39a	79,36	Mts2 ,4	Mts 31,744	Mts3 plataforma rectangular

Observaciones

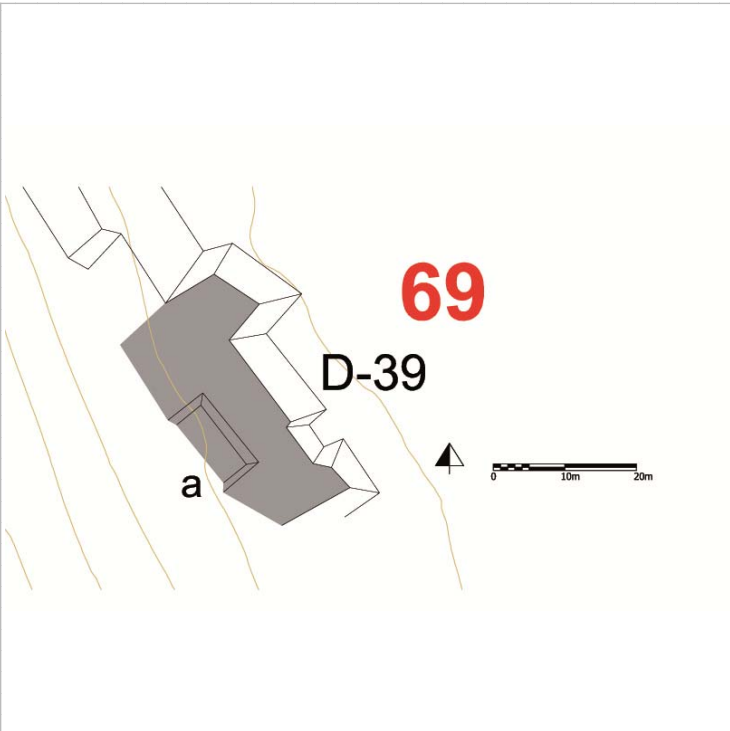
Se trata de un basamento que soporta una pequeña estructura; su naturaleza es parcialmente natural. Como los otros conjuntos que se encuentran en este lugar de Chinikihá, éste se acomoda al pie de un cerro y su basamento es de notable altura (2.5 mts) ya que el área se inunda a causa de fuertes lluvias.

Localización en el sitio



Mapa

Fotografía conjunto



Cédula de Conjunto arquitectónico

Sitio Chinikihá

Conjunto CHK/I70

Tipo de Conjunto Aislada

Emplazamiento Pie de Monte

Preparación del terreno Nignuna

N estructuras 1

Área espacio compartido/
espacio disponible (m2)

Existe una estructura sobresaliente No Nr. Estructura sobresaliente No

Porque sobresale

Distancia mínima de otro conjunto (m) 27,15

Excavado No

Operación(es)

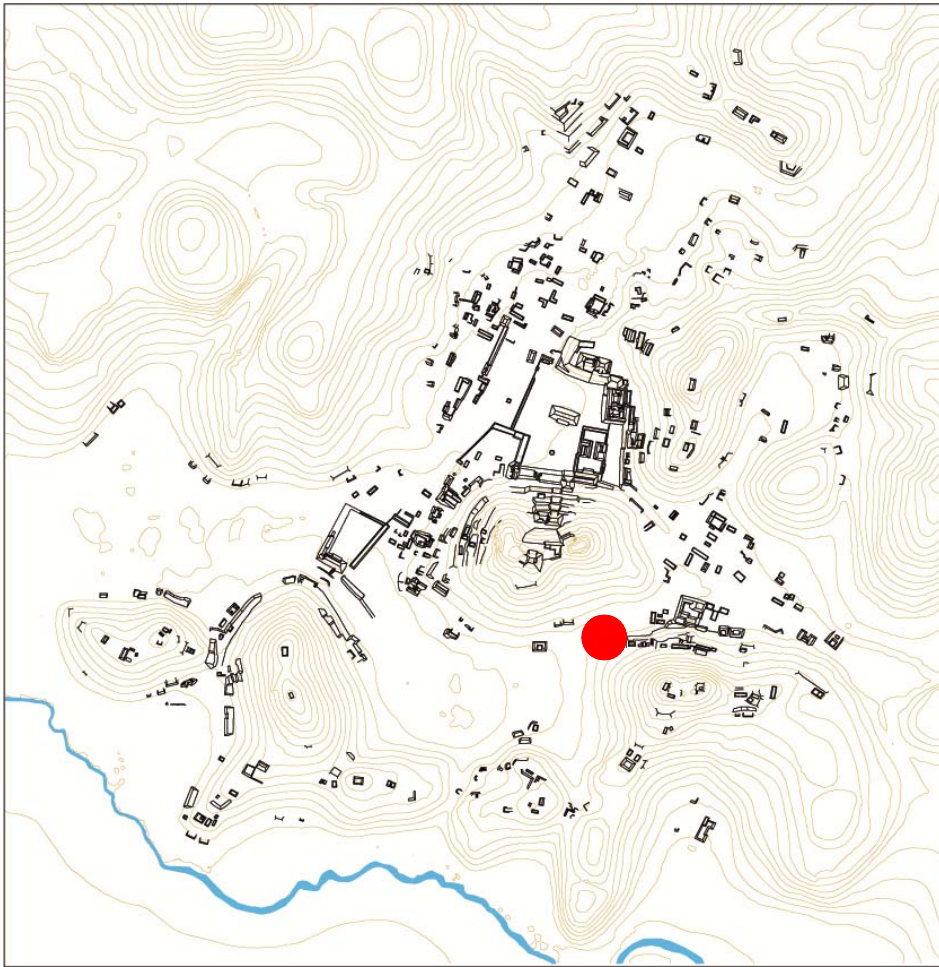
Estructuras de este Conjunto

Estructura	Área	Altura	Volumen	Tipo de estructura
I-30	66,67	Mts2 ,6	Mts 40,002	Mts3 plataforma rectangular

Observaciones

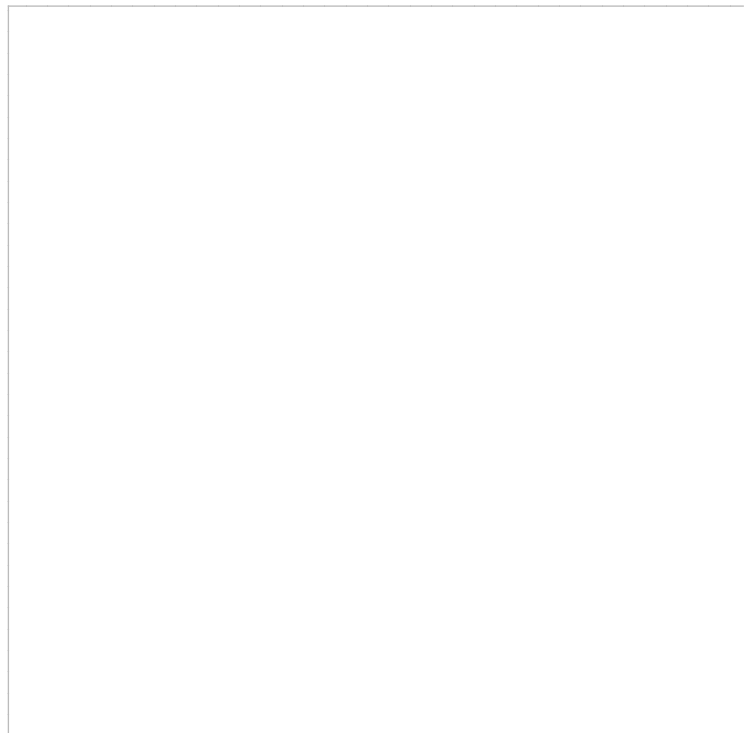
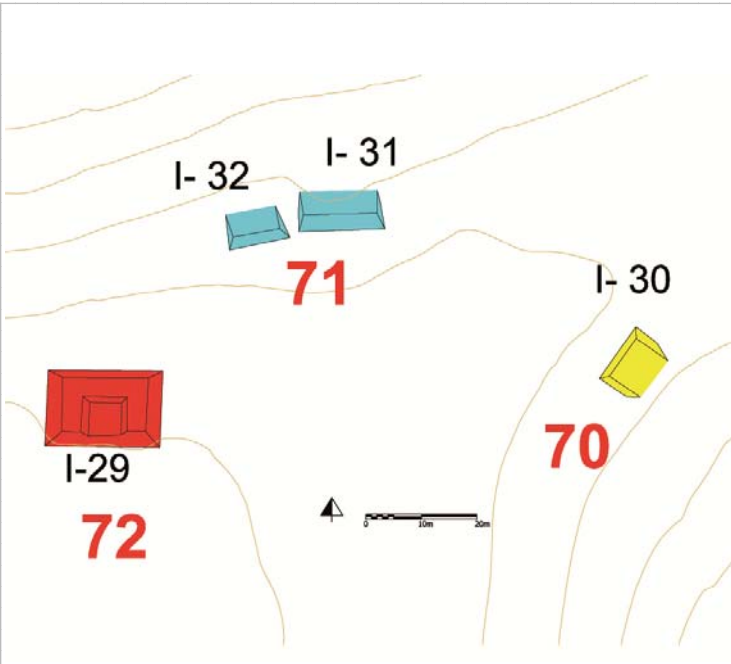
Se trata de una pequeña plataforma en mal estado de conservación que se encuentra en un lugar de paso y quizás de control entre el "Grupo C" y el "Grupo D"

Localización en el sitio



Mapa

Fotografía conjunto



Cédula de Conjunto arquitectónico

Sitio

Conjunto

Tipo de Conjunto

Emplazamiento

Preparación del terreno

N estructuras

Área espacio compartido/
espacio disponible (m2)

Existe una estructura sobresaliente Nr. Estructura sobresaliente

Porque sobresale

Distancia mínima de otro conjunto (m)

Excavado

Operación(es)

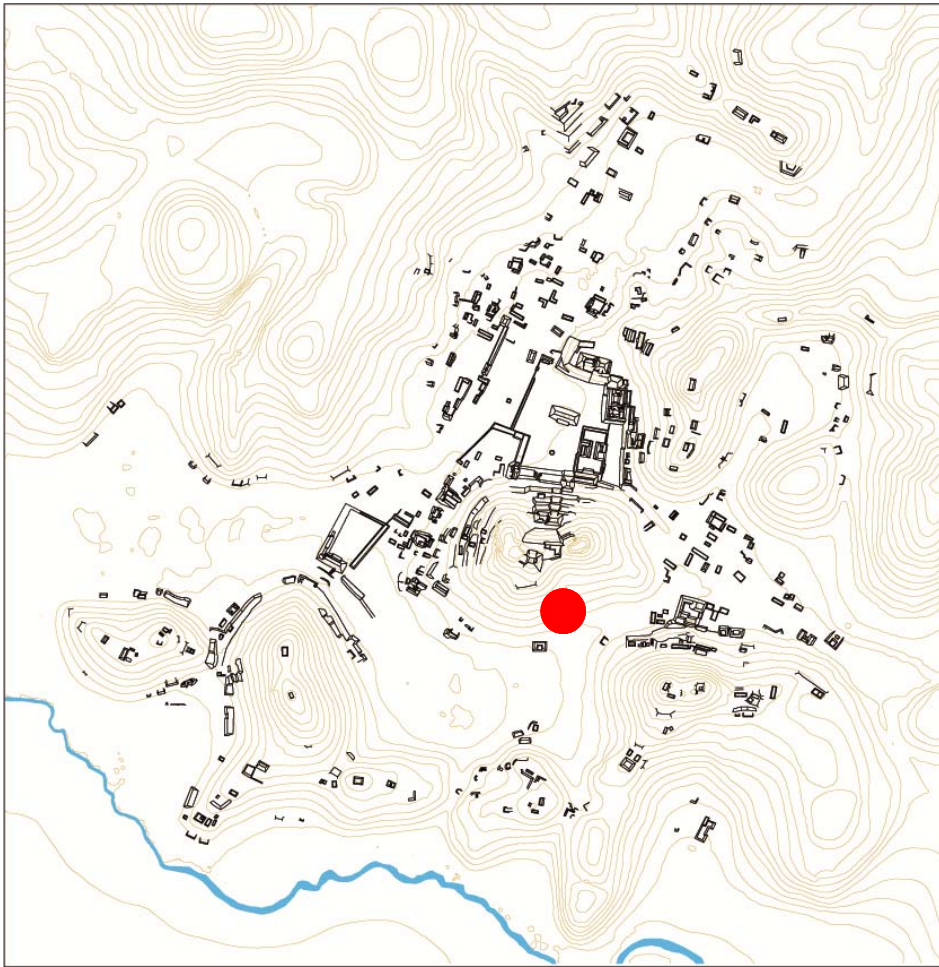
Estructuras de este Conjunto

Estructura	Área	Altura	Volumen	Tipo de estructura
I-31	111,6	Mts2 1,2	Mts 133,92	Mts3 plataforma rectangular
I-32	71,04	Mts2 ,8	Mts 56,832	Mts3 plataforma rectangular

Observaciones

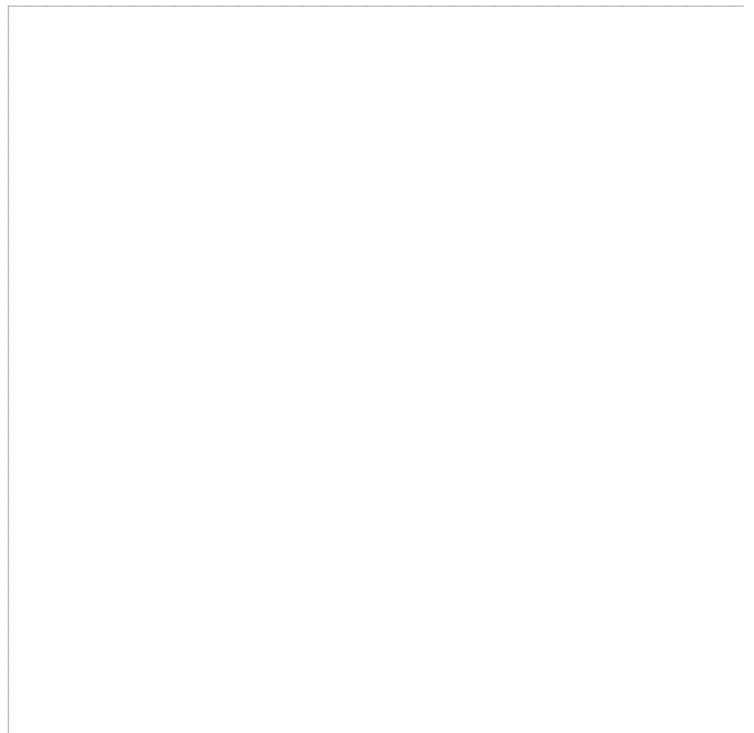
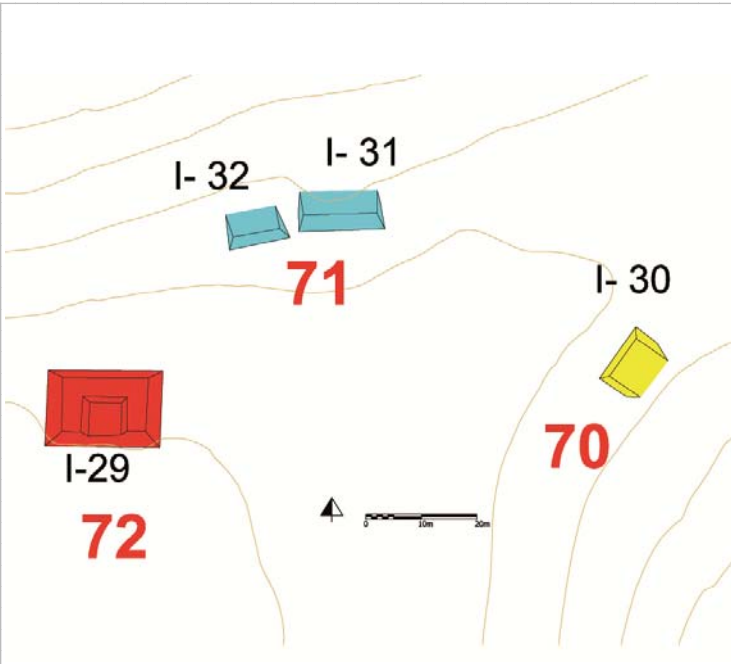
Estas dos plataformas cercanas frontean a la I-30 en el paso entre el "Grupo C" y el "Grupo I", teniendo una cercanía interesante con una de los cuatro conjuntos en forma de C de Chinikihá, el CHK/I72.

Localización en el sitio



Mapa

Fotografía conjunto



Cédula de Conjunto arquitectónico

Sitio Chinikihá

Conjunto CHK/I72

Tipo de Conjunto En C sobre basal

Emplazamiento Pie de Monte

Preparación del terreno Basamento parcialmente artificial

N estructuras 1

Área espacio compartido/
espacio disponible (m2) 34,5

Existe una estructura sobresaliente No Nr. Estructura sobresaliente No

Porque sobresale

Distancia mínima de otro conjunto (m) 24,92

Excavado No

Operación(es)

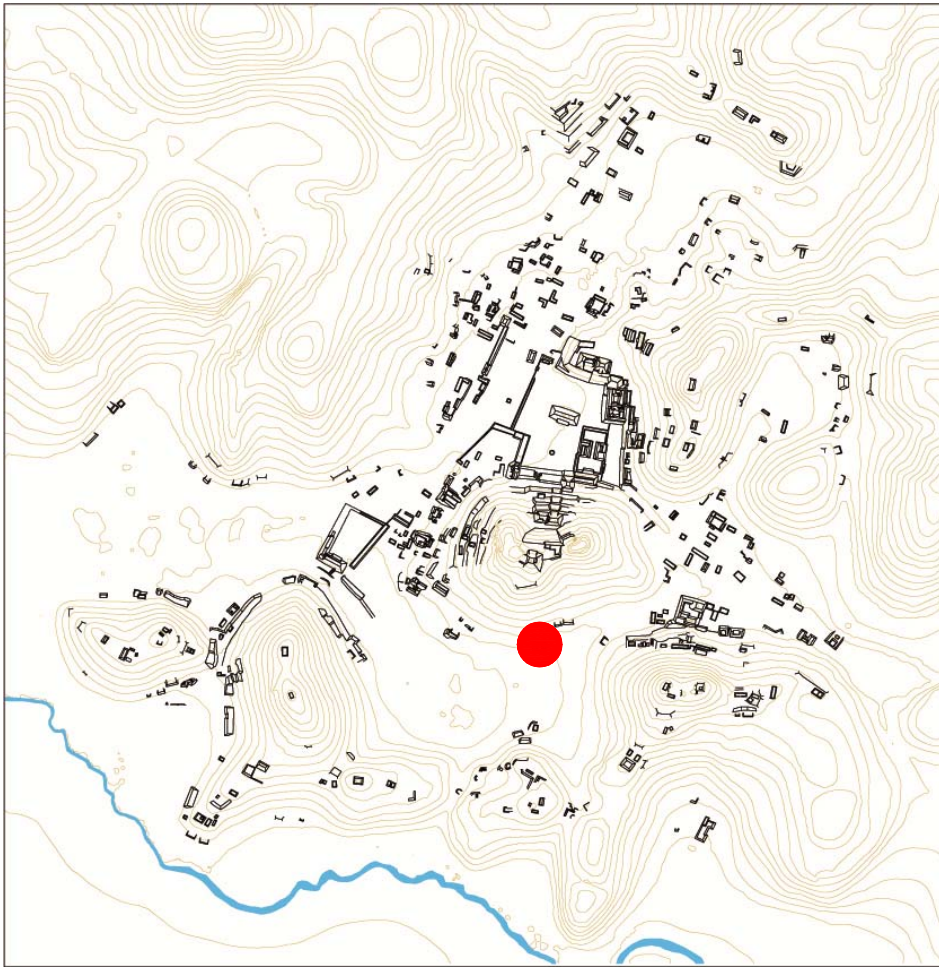
Estructuras de este Conjunto

Estructura	Área	Altura	Volumen	Tipo de estructura
I-29	286,34	Mts2 1,4	Mts 400,876	Mts3 plataforma en forma de C

Observaciones

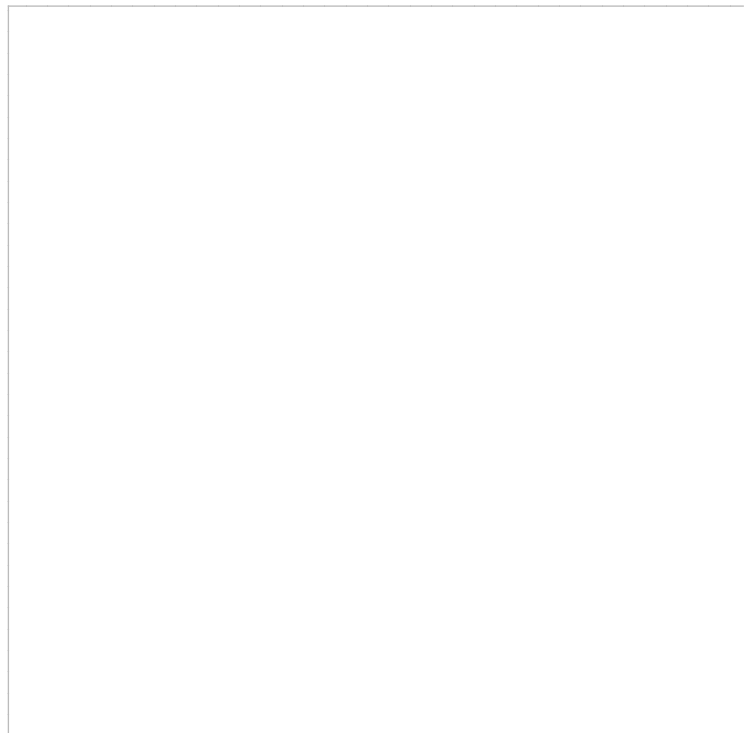
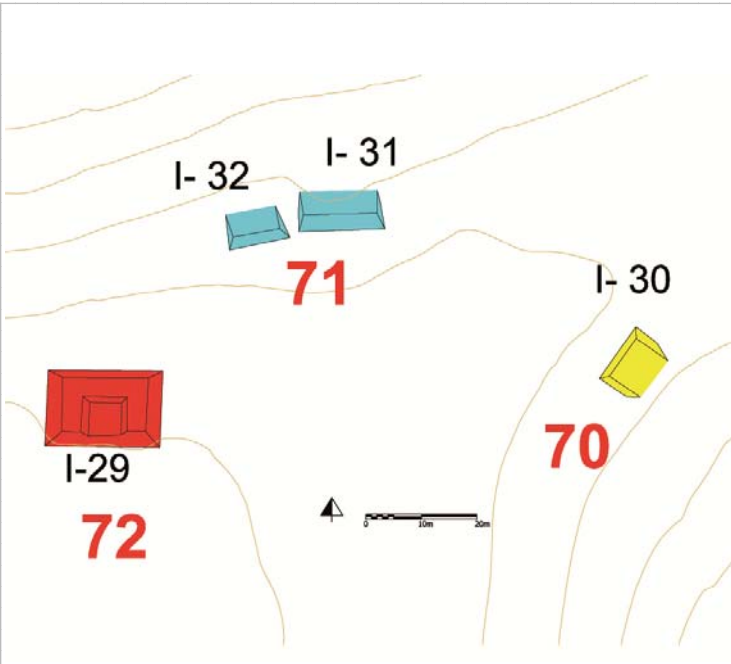
Es uno de los 4 conjuntos compuesto de un basamento (artificial o parcialmente artificial) que soporta una estructura en forma de C (hasta el momento, sin escavar, no se ha podido establecer si realmente se trata de una única estructura o si son diferentes que componen una C). Ocupa también el lugar de paso entre el "Grupo C" y el "Grupo D" y sobresale por tamaño constructivo entre las que ocupan esta área del sitio, casi completamente priva de estructuras por el terreno inundable.

Localización en el sitio



Mapa

Fotografía conjunto



Cédula de Conjunto arquitectónico

Sitio

Conjunto

Tipo de Conjunto

Emplazamiento

Preparación del terreno

N estructuras

Área espacio compartido/
espacio disponible (m2)

Existe una estructura sobresaliente

Nr. Estructura sobresaliente

Porque sobresale

Distancia mínima de otro conjunto (m)

Excavado

Operación(es)

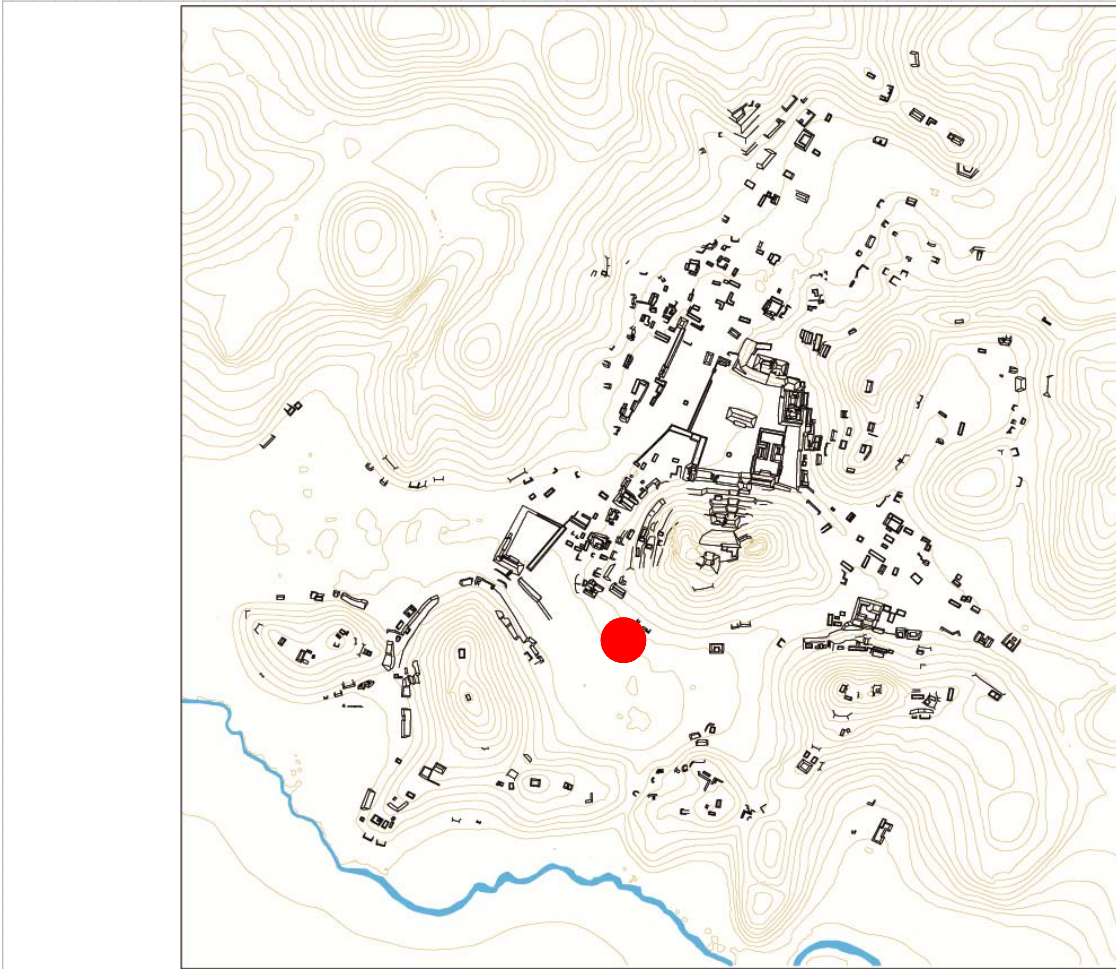
Estructuras de este Conjunto

Estructura	Área	Altura	Volumen	Tipo de estructura
D-31	31,54	Mts2 ,5	Mts 15,77	Mts3 plataforma rectangular

Observaciones

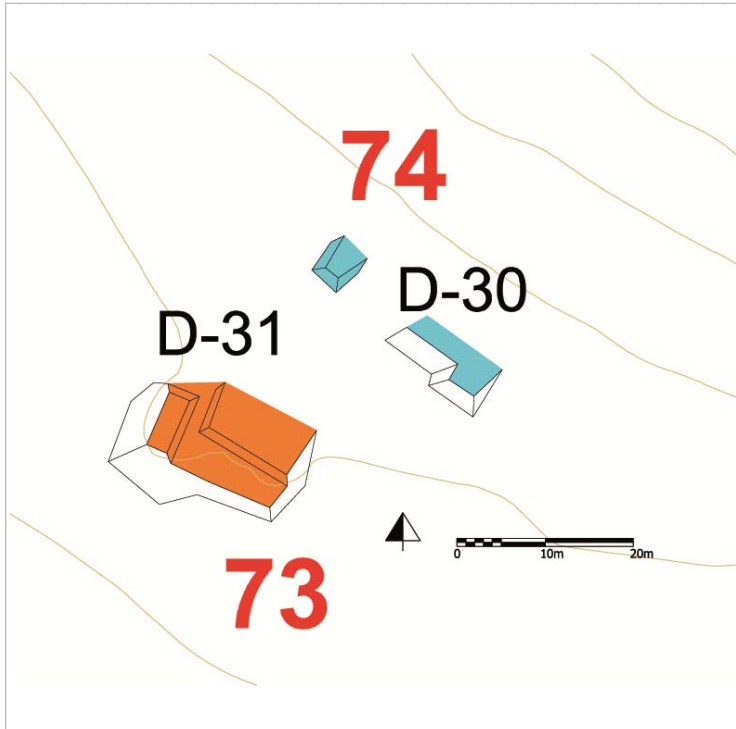
Se trata de dos plataformas bajas que comparten una terraza natural, por esto y su posición reciproca se les identificó compartir una conjunto tipo patio.

Localización en el sitio



Mapa

Fotografía conjunto



Cédula de Conjunto arquitectónico

Sitio

Conjunto

Tipo de Conjunto

Emplazamiento

Preparación del terreno

N estructuras

Área espacio compartido/
espacio disponible (m2)

Existe una estructura sobresaliente Nr. Estructura sobresaliente

Porque sobresale

Distancia mínima de otro conjunto (m)

Excavado

Operación(es)

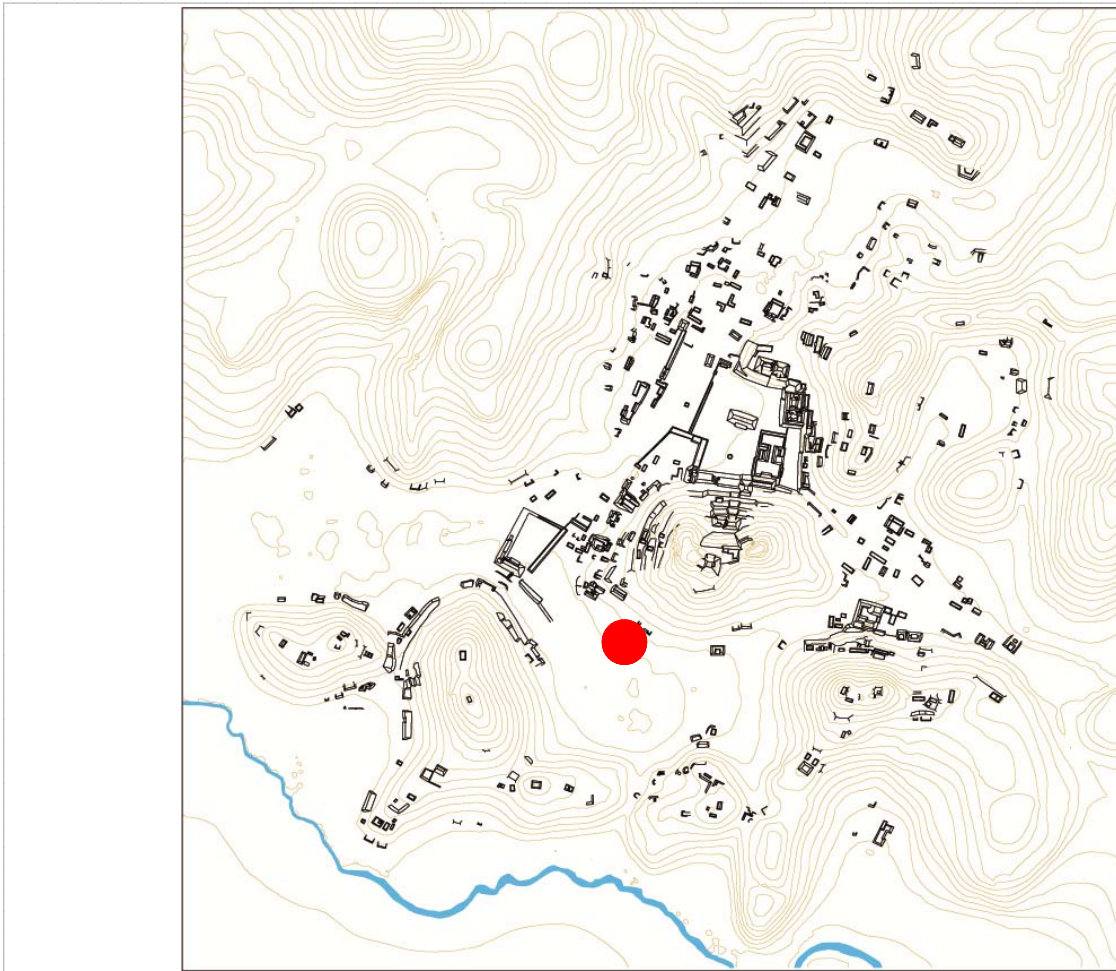
Estructuras de este Conjunto

Estructura	Área	Altura	Volumen	Tipo de estructura
D-30	14,43	Mts2 1	Mts 14,43	Mts3 plataforma cuadrangular

Observaciones

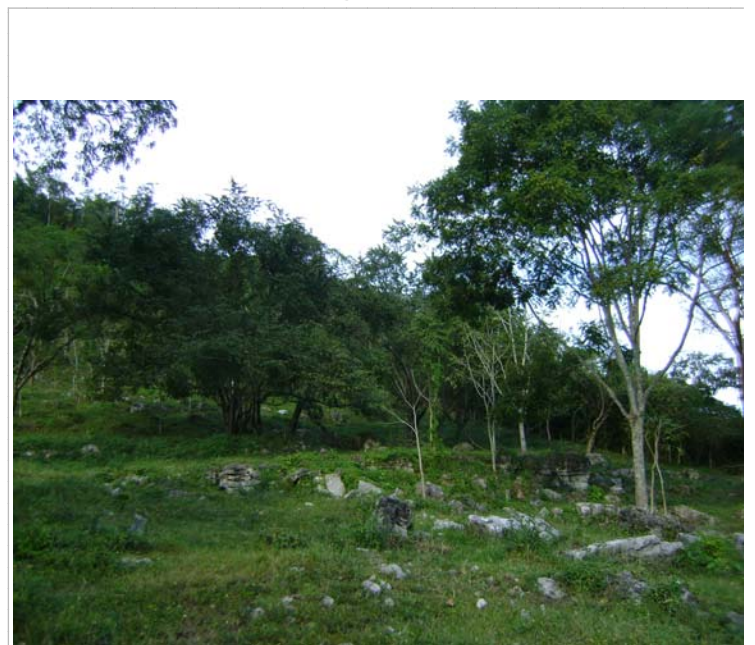
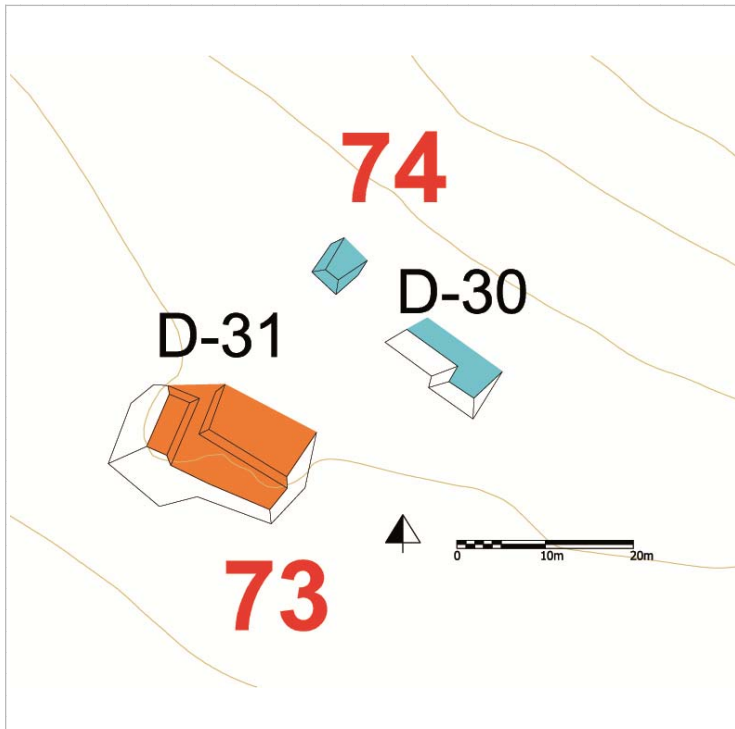
Se trata de una terraza en mal estado de conservación y de otra pequeña terraza a esa relacionada por cercanía.

Localización en el sitio



Mapa

Fotografía conjunto



Cédula de Conjunto arquitectónico

Sitio Chinikihá

Conjunto CHK/D75

Tipo de Conjunto Patio

Emplazamiento Ladera de cerro

Preparación del terreno Nivelación
Contención

N estructuras 2

Área espacio compartido/
espacio disponible (m2) 77,97

Existe una estructura sobresaliente D-29 Nr. Estructura sobresaliente D-29

Porque sobresale Volumen constructivo

Distancia mínima de otro conjunto (m) 6,12

Excavado No

Operación(es)

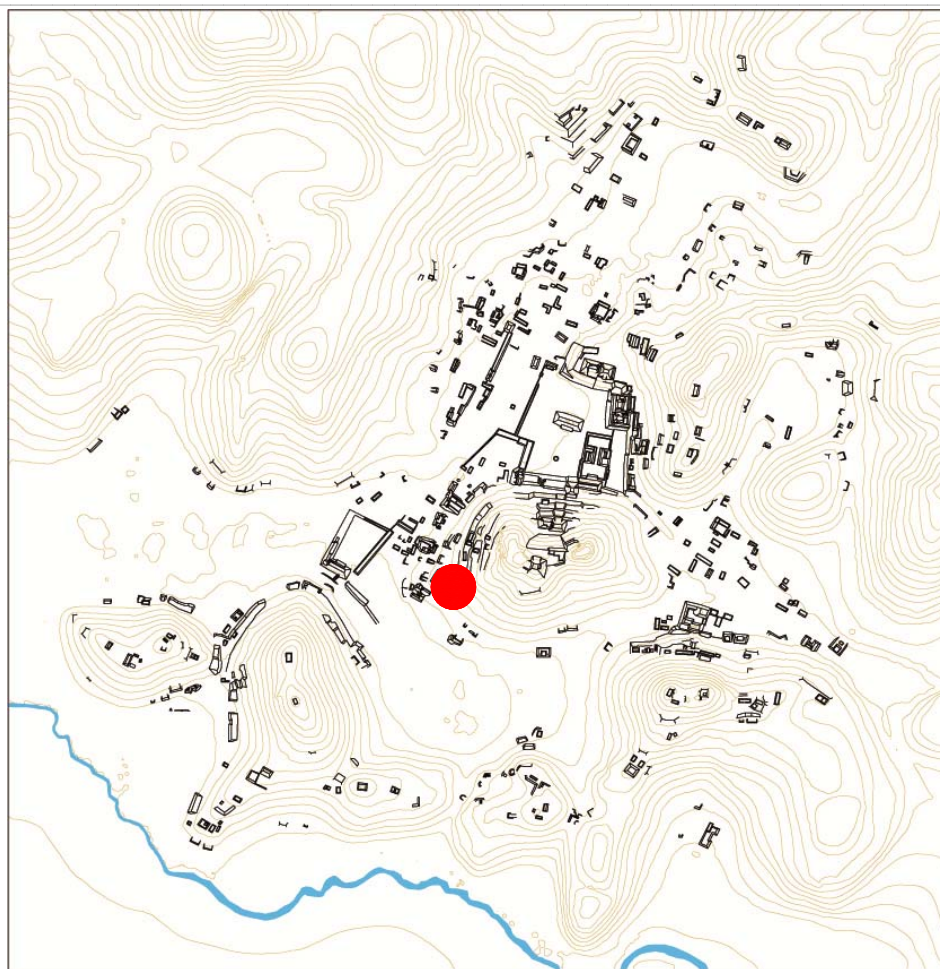
Estructuras de este Conjunto

Estructura	Área	Altura	Volumen	Tipo de estructura
D-28	18	Mts2 ,5	Mts 9	Mts3 plataforma rectangular
D-29	108	Mts2 ,5	Mts 54	Mts3 plataforma rectangular

Observaciones

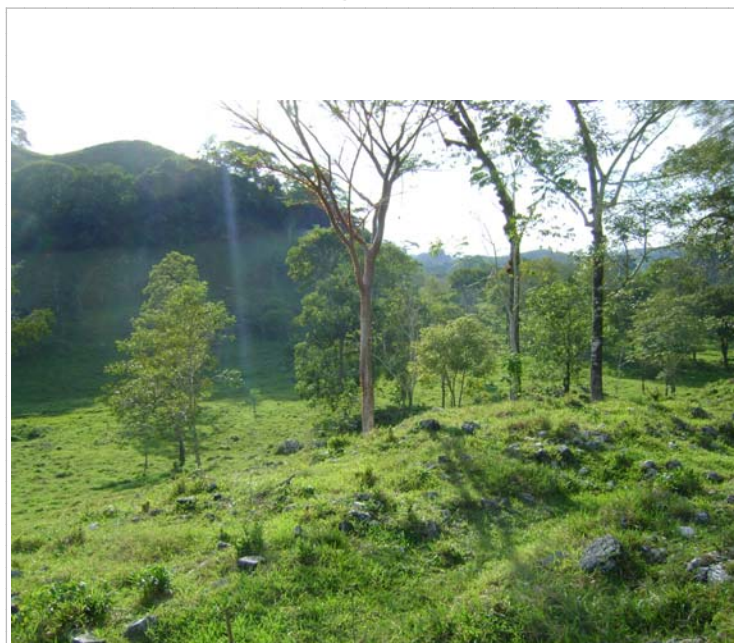
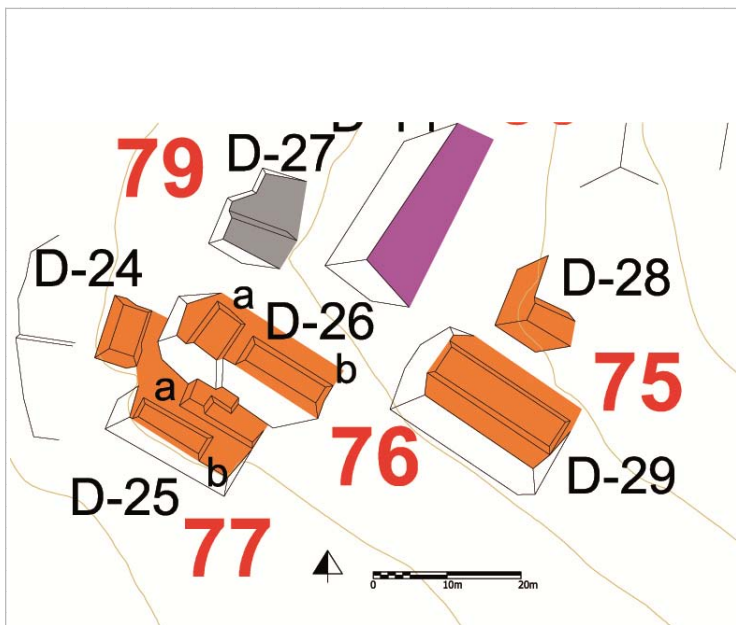
Se trata de una terraza parcialmente artificial que soporta una estructura (D-29) que la ocupa casi completamente en sentido E-O por lo que se crea un passillo hacia el sur. A ésta se asocia la estructura D-28 ya que, aunque se encuentre en un nivel más alto, entre las dos se crea un patio a nivel de la D-29.

Localización en el sitio



Mapa

Fotografía conjunto



Cédula de Conjunto arquitectónico

Sitio

Conjunto

Tipo de Conjunto

Emplazamiento

Preparación del terreno

N estructuras

Área espacio compartido/
espacio disponible (m2)

Existe una estructura sobresaliente Nr. Estructura sobresaliente

Porque sobresale

Distancia mínima de otro conjunto (m)

Excavado

Operación(es)

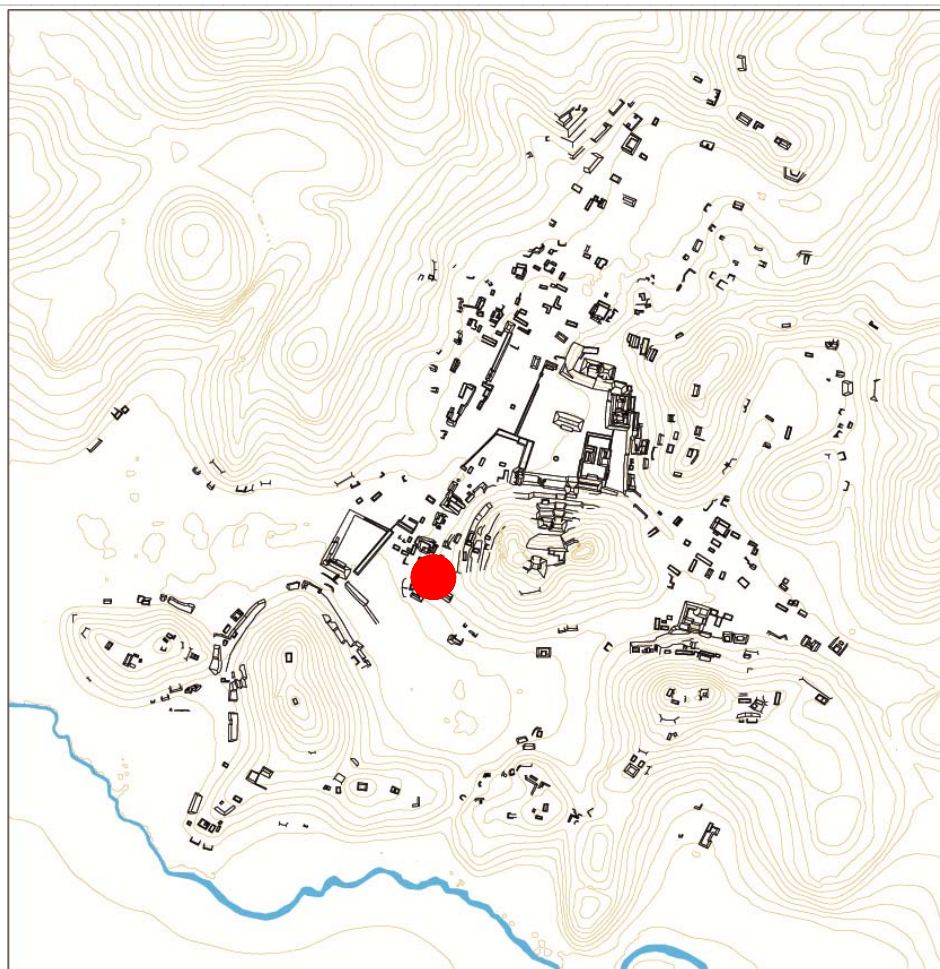
Estructuras de este Conjunto

Estructura	Área	Altura	Volumen	Tipo de estructura
D-26	132,6	Mts2 2	Mts 265,2	Mts3 plataforma rectangular
D-26a	35,28	Mts2 1	Mts 35,28	Mts3 plataforma rectangular
D-26b	58,88	Mts2 ,5	Mts 29,44	Mts3 plataforma rectangular

Observaciones

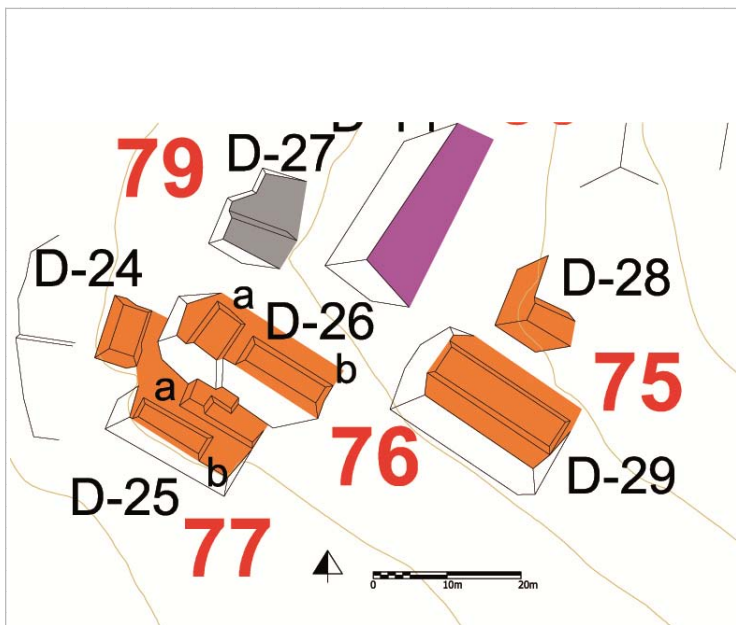
Se trata de dos plataformas que comparten una terraza en donde son evidentes las obras de contención y nivelación ya que el colapso del basamento invade el conjunto CHK/D77. El conjunto en exámen y el CHK/D77 se pueden considerar en relación directa por cercanía.

Localización en el sitio



Mapa

Fotografía conjunto



Cédula de Conjunto arquitectónico

Sitio Chinikihá

Conjunto CHK/D77

Tipo de Conjunto Patio

Emplazamiento Ladera de cerro

Preparación del terreno Contención
Nivelación

N estructuras 3

Área espacio compartido/
espacio disponible (m2) 81,9

Existe una estructura sobresaliente D-25b Nr. Estructura sobresaliente D-25b

Porque sobresale Otro

Distancia mínima de otro conjunto (m) 3,58

Excavado No

Operación(es)

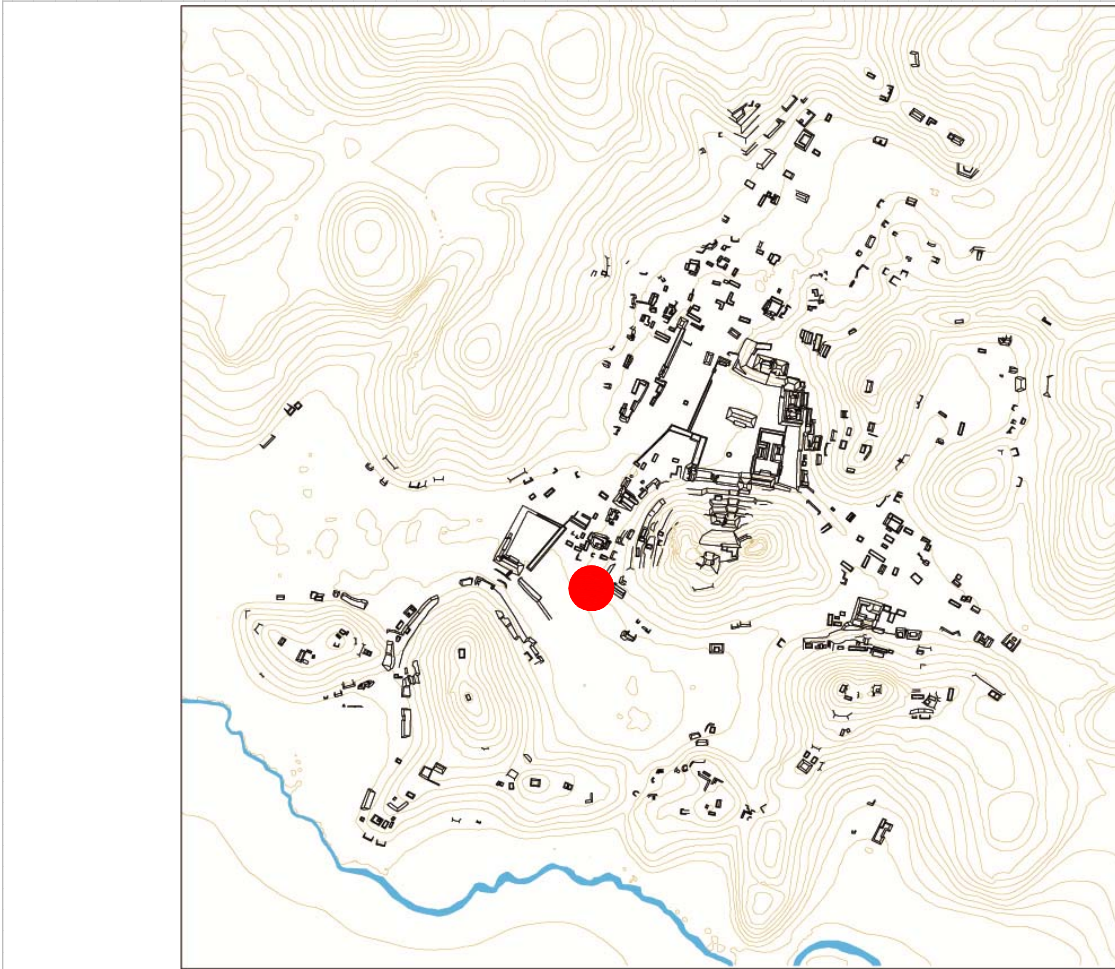
Estructuras de este Conjunto

Estructura	Área	Altura	Volumen	Tipo de estructura
D-24	40,05	Mts2 1	Mts 40,05	Mts3 plataforma rectangular
D-25	136,9	Mts2 1,5	Mts 205,35	Mts3 plataforma rectangular
D-25a	36,48	Mts2 ,5	Mts 18,24	Mts3 plataforma rectangular
D-25b	35,2	Mts2 ,5	Mts 17,6	Mts3 plataforma rectangular

Observaciones

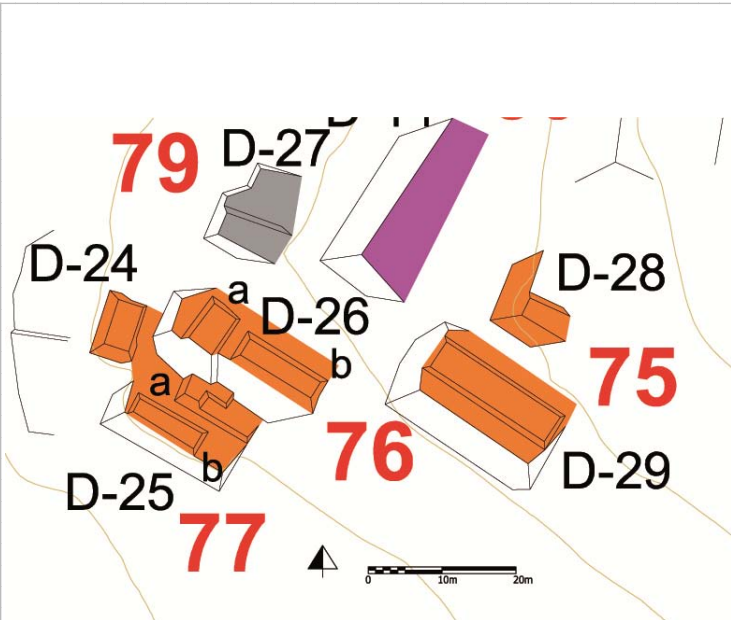
Se trata de un conjunto pequeño que ocupa un espacio reducido en el quiebre de un cerro; sin embargo es posible observar todavía algunos de los muros perimetrales de la D-25a y el de contención de la D-24; el patio central se extiende en sentido E-O y su largo es reducido. En la temporada 2011 se reportó la afectación del basamento que apoya en un afloramiento natural, a causa de la extracción de material.

Localización en el sitio



Mapa

Fotografía conjunto



Cédula de Conjunto arquitectónico

Sitio Chinikihá

Conjunto CHK/D78

Tipo de Conjunto Patio

Emplazamiento Planicie

Preparación del terreno Nignuna

N estructuras 4

Área espacio compartido/
espacio disponible (m2) 3234,8

Existe una estructura sobresaliente D-20 Nr. Estructura sobresaliente D-20

Porque sobresale Volumen constructivo

Distancia mínima de otro conjunto (m) 11,79

Excavado Si

Operación(es) 128

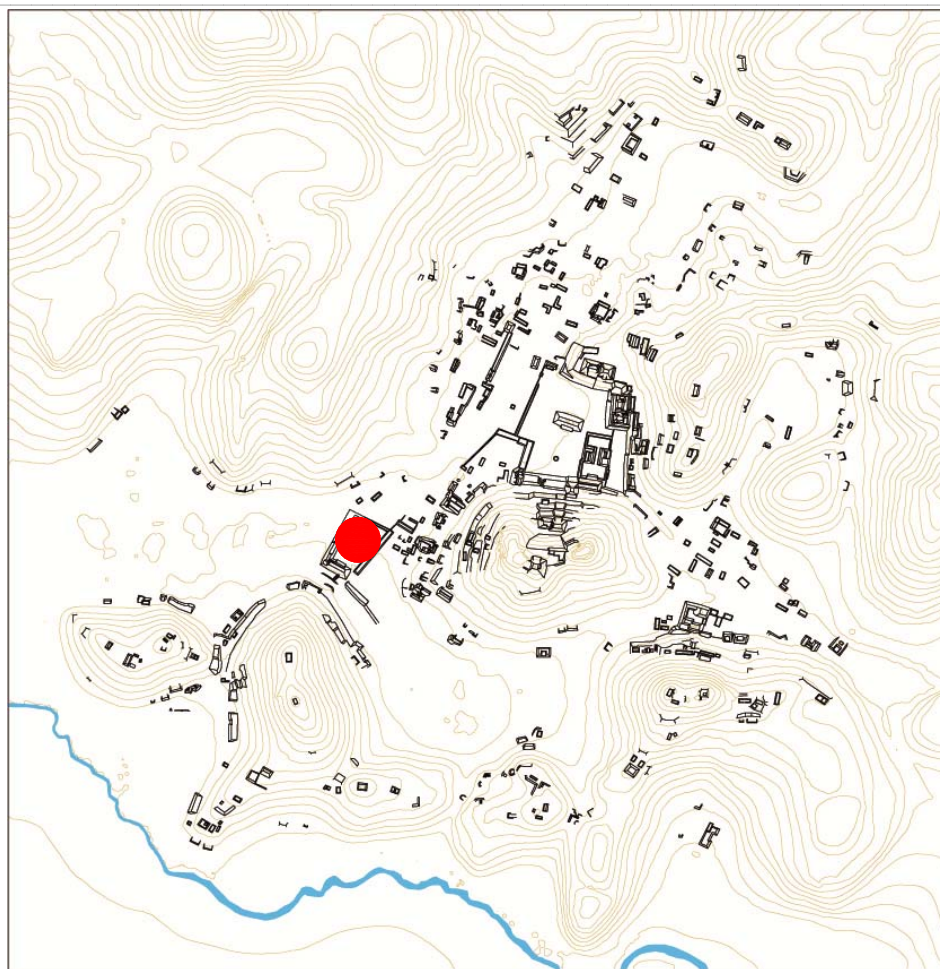
Estructuras de este Conjunto

Estructura	Área	Altura	Volumen	Tipo de estructura
D-18	207,57	Mts2 ,5	Mts 103,785	Mts3 plataforma rectangular
D-19	727,76	Mts2 1,5	Mts 1091,64	Mts3 plataforma rectangular
D-20	508,69	Mts2 3,5	Mts 1780,415	Mts3 plataforma rectangular
D-21	956,8	Mts2 2	Mts 1913,6	Mts3 plataforma rectangular

Observaciones

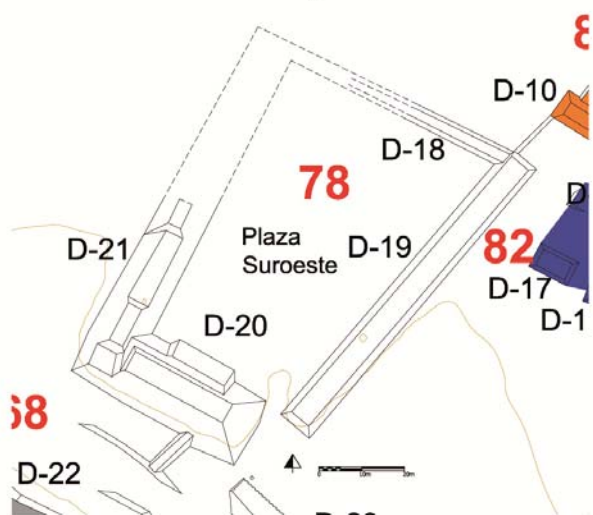
Se trata de una plaza cerrada por tres de sus cuatros lados por plataformas bajas y largas; las que se encuentran al oeste fueron en parte destruidas por la carretera Chancalá-Penjamó. Sobresale la estructura D-20 que cierra el conjunto al Sur por su volumen constructivo y dimensiones; atrás de la estructura empieza a ser visible el sistema de agua subterránea, con bocas de captación, que caracteriza esta área. Pensamos que esta plaza sea parte del control de la ruta de acceso al sitio desde el Valle de la Primavera, al sur.

Localización en el sitio



Mapa

Fotografía conjunto



Cédula de Conjunto arquitectónico

Sitio

Conjunto

Tipo de Conjunto

Emplazamiento

Preparación del terreno

N estructuras

Área espacio compartido/
espacio disponible (m2)

Existe una estructura sobresaliente Nr. Estructura sobresaliente

Porque sobresale

Distancia mínima de otro conjunto (m)

Excavado

Operación(es)

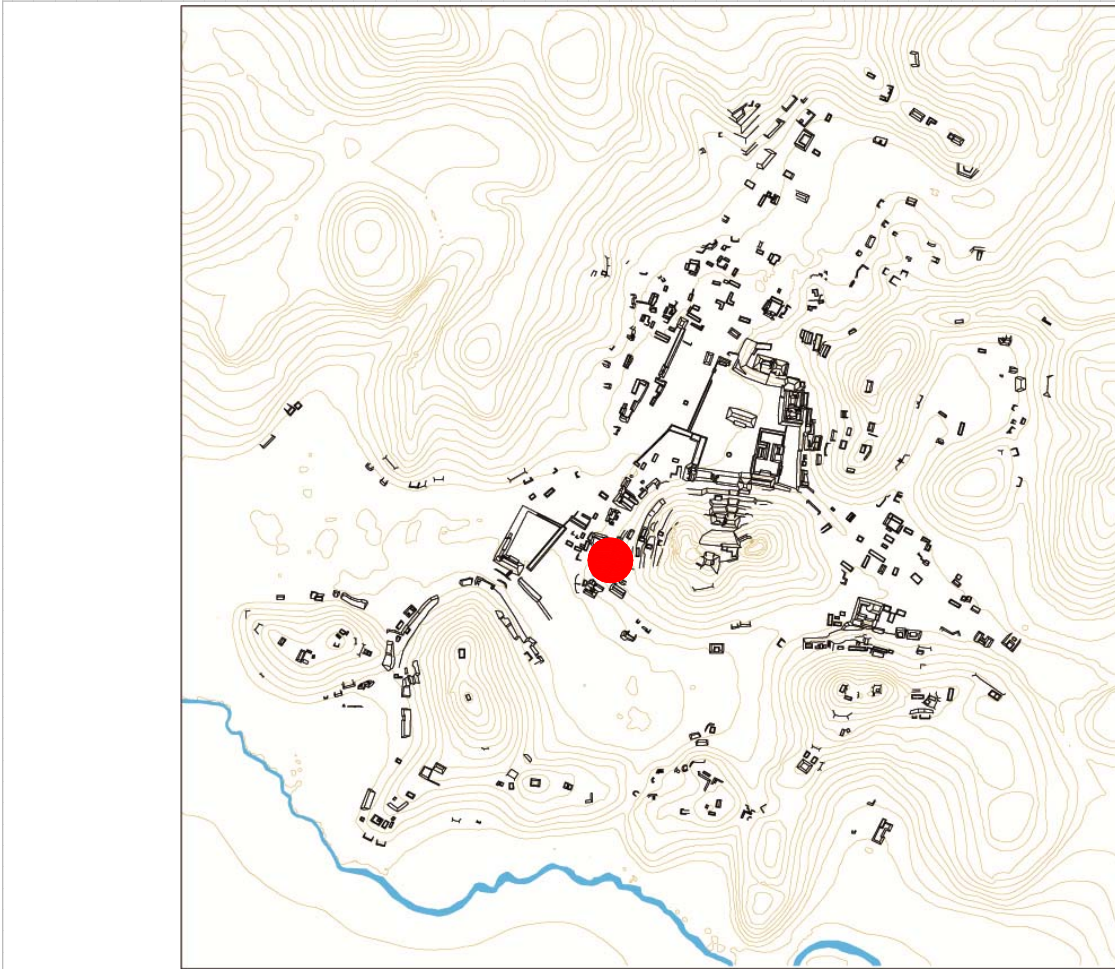
Estructuras de este Conjunto

Estructura	Área	Altura	Volumen	Tipo de estructura
D-27	47,84	Mts2 1	Mts 47,84	Mts3 plataforma rectangular

Observaciones

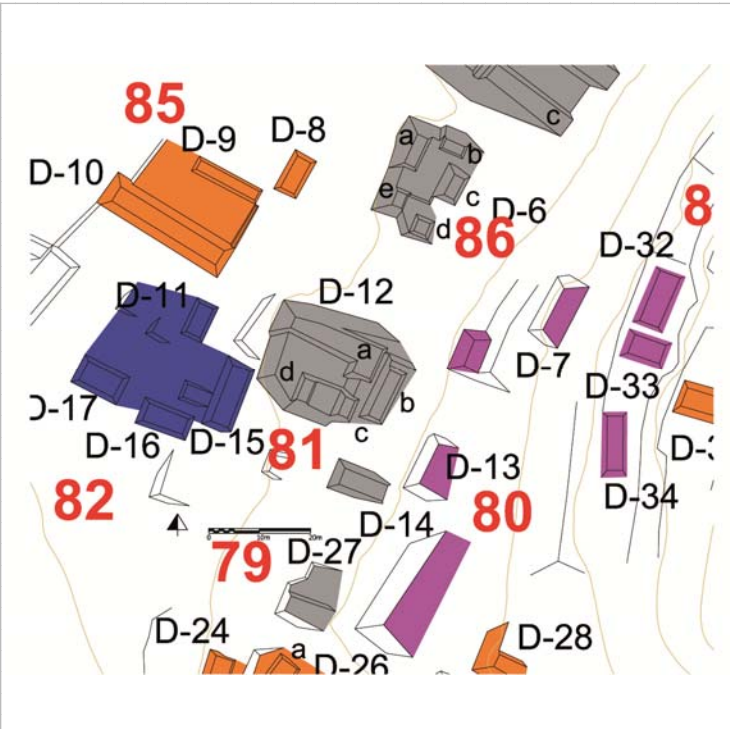
Se trata de uno de los ejemplos de conjunto basal que soporta una sólo estructura.

Localización en el sitio



Mapa

Fotografía conjunto



Cédula de Conjunto arquitectónico

Sitio Chinikihá

Conjunto CHK/D80

Tipo de Conjunto Lineal

Emplazamiento Ladera de cerro

Preparación del terreno Contención
Nivelación

N estructuras 3

Área espacio compartido/
espacio disponible (m2)

Existe una estructura sobresaliente D-14 Nr. Estructura sobresaliente D-14

Porque sobresale Volumen constructivo

Distancia mínima de otro conjunto (m) 6,12

Excavado No

Operación(es)

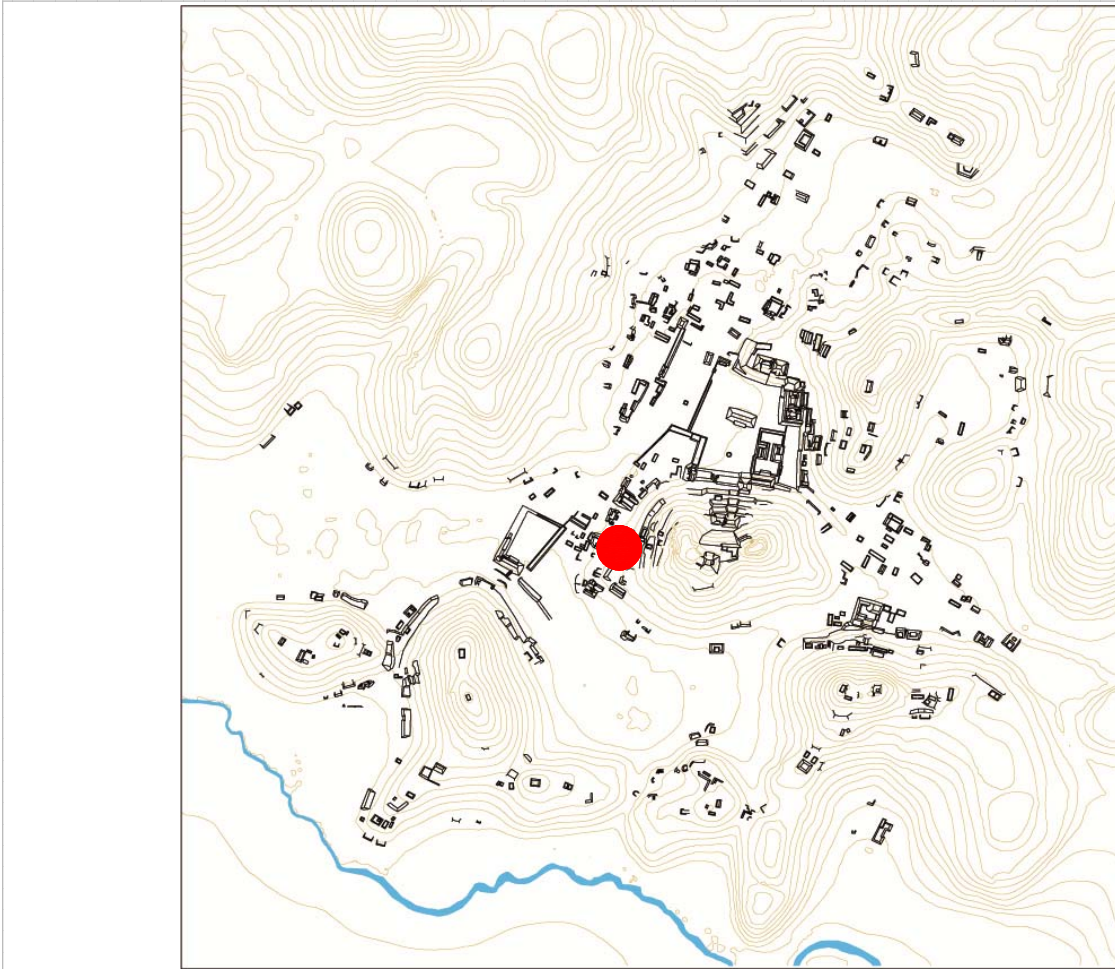
Estructuras de este Conjunto

Estructura	Área	Altura	Volumen	Tipo de estructura
D-13	59,36	Mts2 1,5	Mts 89,04	Mts3 plataforma rectangular
D-14	72,45	Mts2 1,5	Mts 108,675	Mts3 plataforma rectangular
D-7	53,68	Mts2 1,5	Mts 80,52	Mts3 plataforma rectangular

Observaciones

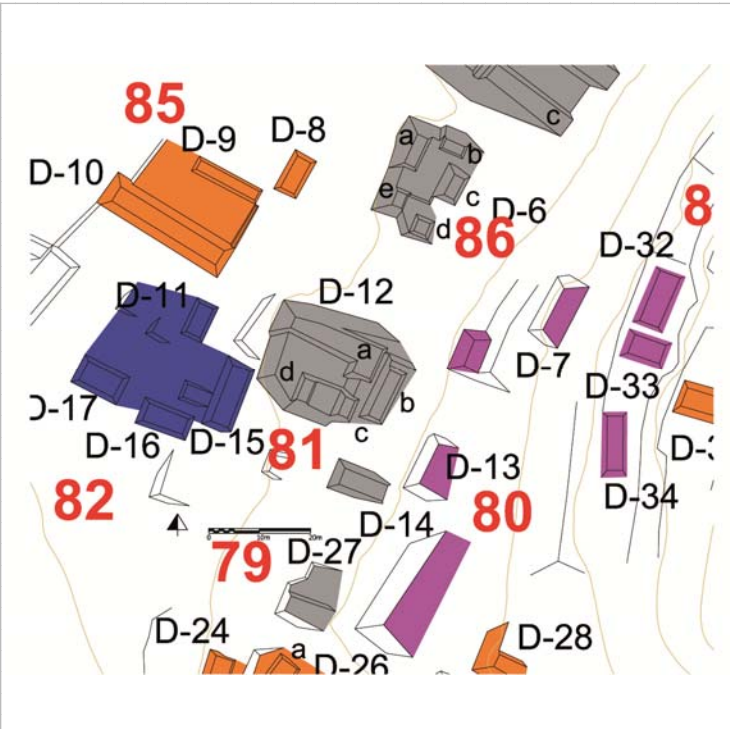
Se trata de una serie de terrazas alineadas a lo largo de la ladera de un cerro. El estado de conservación pro lo general es malo, no obstante se pueden observar en casi todos los casos las obras de contención y nivelación que las caracterizan.

Localización en el sitio



Mapa

Fotografía conjunto



Cédula de Conjunto arquitectónico

Sitio Chinikihá

Conjunto CHK/D81

Tipo de Conjunto Basal

Emplazamiento Pie de Monte

Preparación del terreno Basamento parcialmente artificial

N estructuras 4

Área espacio compartido/
espacio disponible (m2) 98,1

Existe una estructura sobresaliente No Nr. Estructura sobresaliente No

Porque sobresale

Distancia mínima de otro conjunto (m) 1

Excavado No

Operación(es)

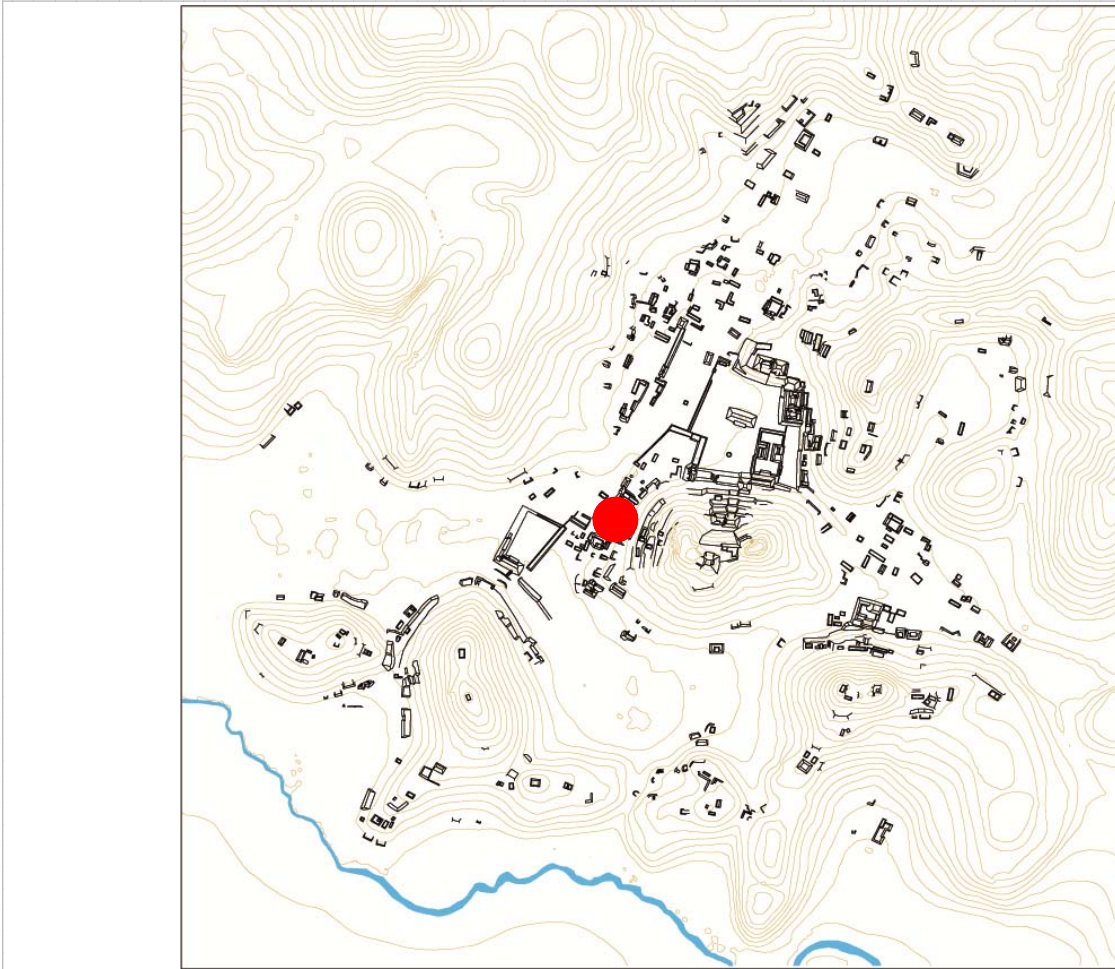
Estructuras de este Conjunto

Estructura	Área	Altura	Volumen	Tipo de estructura
D-12	313,5	Mts2 2	Mts 627	Mts3 plataforma basal
D-12a	145,53	Mts2 ,5	Mts 72,765	Mts3 plataforma en forma de L
D-12b	52,8	Mts2 ,5	Mts 26,4	Mts3 plataforma rectangular
D-12c	22	Mts2 1	Mts 22	Mts3 plataforma rectangular
D-12d	53,32	Mts2 1	Mts 53,32	Mts3 plataforma rectangular

Observaciones

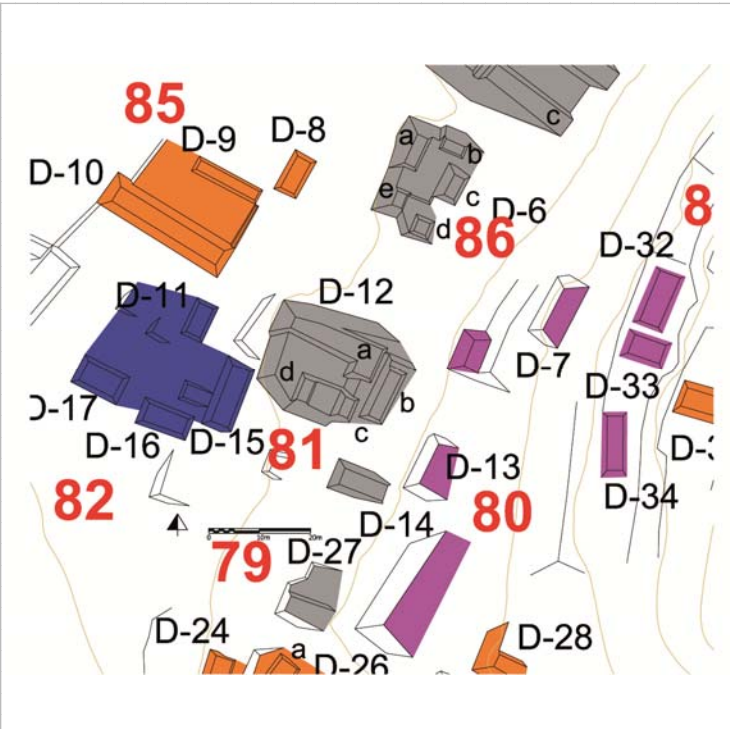
Se trata de un conjunto de tipo basal que pertenece a una serie de conjuntos del mismo tipo y que manifiestan características formales parecidas (junto con el CHK/D86 y CHK/D87). Sobresale el basamento artificial (o en gran parte artificial) que se apoya a la ladera del cerro. Por lo general el espacio que las estructuras comparten en la cima del basamento resulta reducido.

Localización en el sitio



Mapa

Fotografía conjunto



Cédula de Conjunto arquitectónico

Sitio Chinikihá

Conjunto CHK/D82

Tipo de Conjunto Compuesto

Emplazamiento Planicie

Preparación del terreno Nignuna

N estructuras 4

Área espacio compartido/
espacio disponible (m2) 394,6

Existe una estructura sobresaliente D-15 Nr. Estructura sobresaliente D-15

Porque sobresale Volumen constructivo

Distancia mínima de otro conjunto (m) 1

Excavado Si

Operación(es) 132

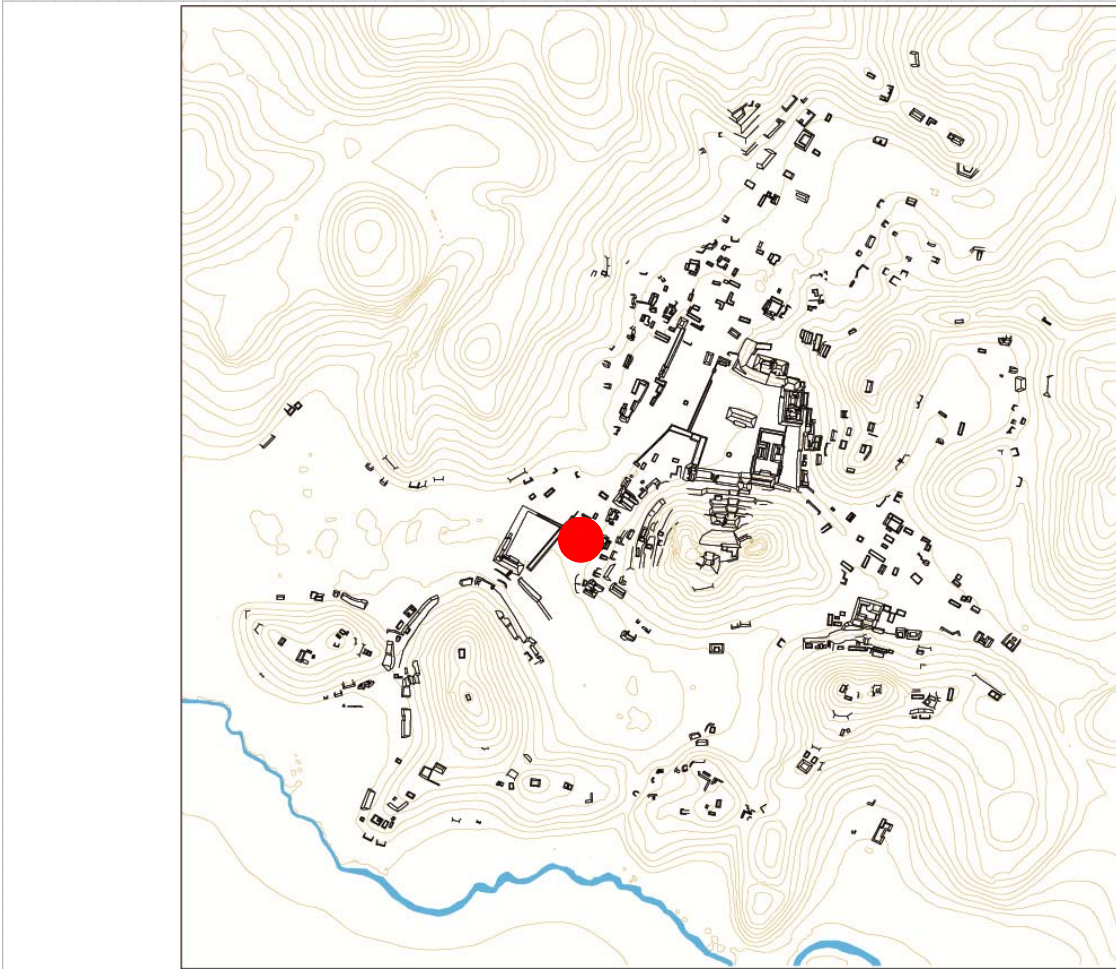
Estructuras de este Conjunto

Estructura	Área	Altura	Volumen	Tipo de estructura
D-11	35,88	Mts2 ,5	Mts 17,94	Mts3 plataforma rectangular
D-15	60,9	Mts2 1	Mts 60,9	Mts3 plataforma rectangular
D-16	57,75	Mts2 1	Mts 57,75	Mts3 plataforma rectangular
D-17	62	Mts2 ,5	Mts 31	Mts3 plataforma rectangular

Observaciones

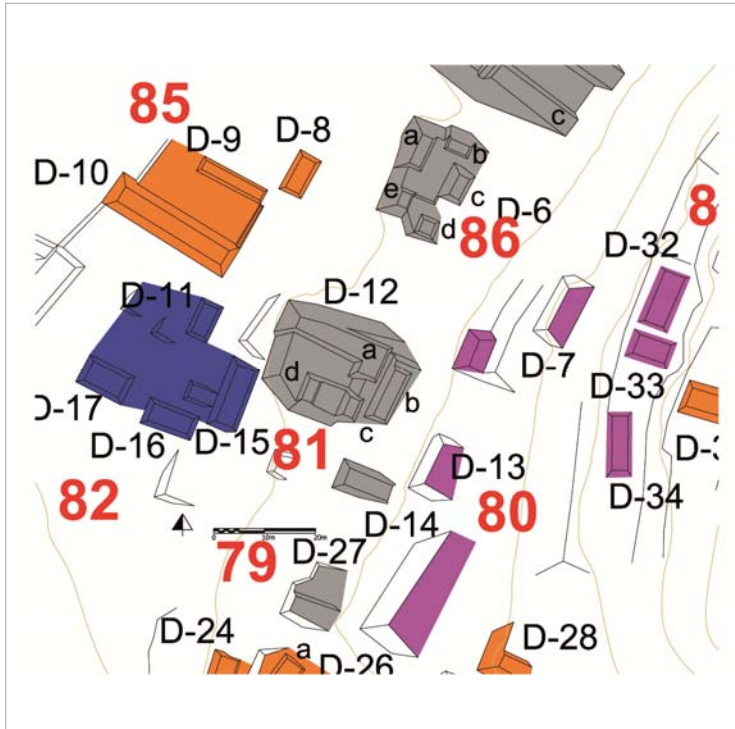
El conjunto se encuentra en mal estado de conservación ya que se encuentra en la planicie de un terreno destinado a potrero. No obstante sobresale la estr. D-15 atrás de la cual se hizo un pozo de sondeo recoletando mucho material cultural.

Localización en el sitio



Mapa

Fotografía conjunto



Cédula de Conjunto arquitectónico

Sitio

Conjunto

Tipo de Conjunto

Emplazamiento

Preparación del terreno

N estructuras

Área espacio compartido/
espacio disponible (m2)

Existe una estructura sobresaliente Nr. Estructura sobresaliente

Porque sobresale

Distancia mínima de otro conjunto (m)

Excavado

Operación(es)

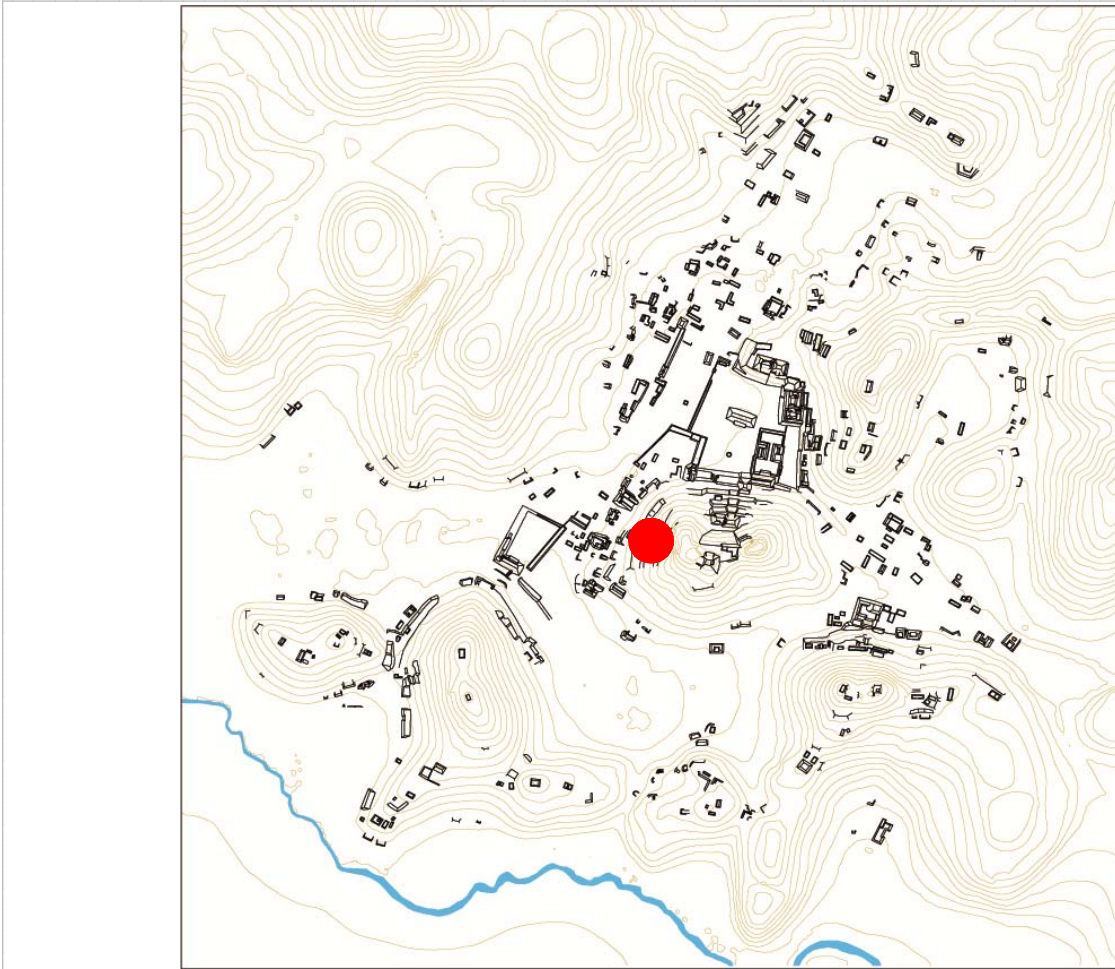
Estructuras de este Conjunto

Estructura	Área	Altura	Volumen	Tipo de estructura
D-32	74,97	Mts2 ,7	Mts 52,479	Mts3 plataforma rectangular
D-33	49,28	Mts2 ,6	Mts 29,568	Mts3 plataforma rectangular
D-34	60,96	Mts2 ,9	Mts 54,864	Mts3 plataforma rectangular

Observaciones

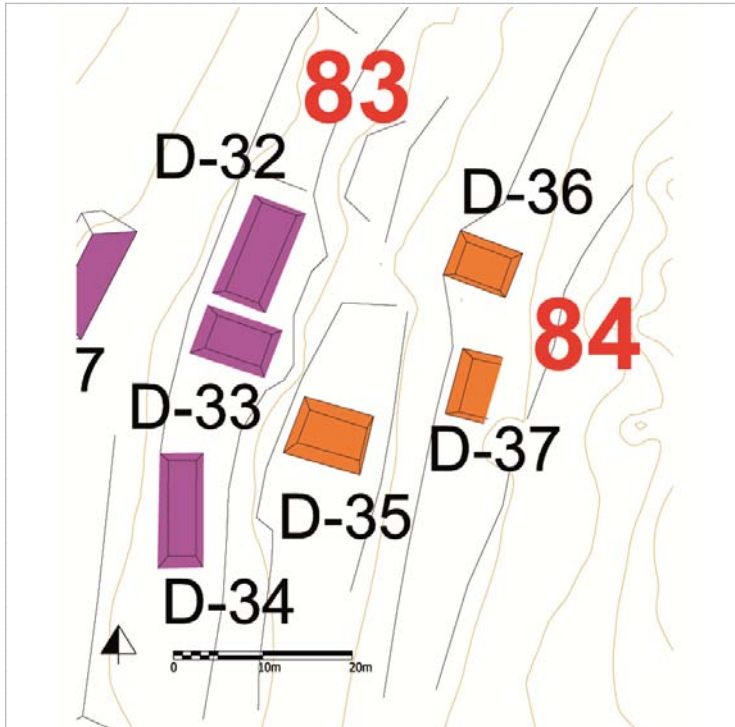
Se trata de un conjunto lineal contituido por tres estructuras que se encuentran en la ladera del cerro Maler. El espacio que ocupan es reducido y se pueden apreciar obras de contención y nivelación de la terraza arriba del conjuntobasal CHK/D-86.

Localización en el sitio



Mapa

Fotografía conjunto



Cédula de Conjunto arquitectónico

Sitio Chinikihá

Conjunto CHK/D84

Tipo de Conjunto Patio

Emplazamiento Ladera de cerro

Preparación del terreno Nignuna

N estructuras 2

Área espacio compartido/
espacio disponible (m2) 45,4

Existe una estructura sobresaliente No Nr. Estructura sobresaliente No

Porque sobresale

Distancia mínima de otro conjunto (m) 8

Excavado No

Operación(es)

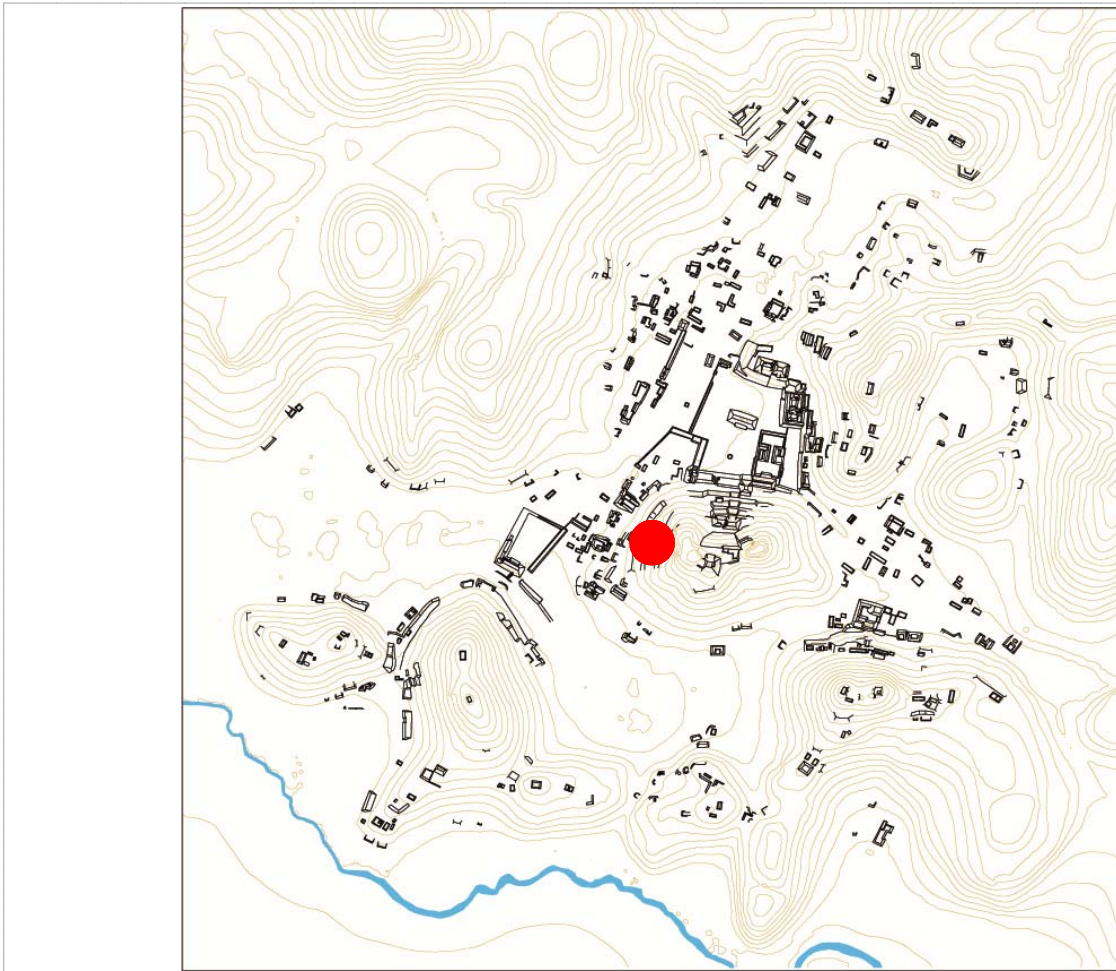
Estructuras de este Conjunto

Estructura	Área	Altura	Volumen	Tipo de estructura
D-36	38,69	Mts2 ,6	Mts 23,214	Mts3 plataforma rectangular
D-37	33	Mts2 ,8	Mts 26,4	Mts3 plataforma rectangular

Observaciones

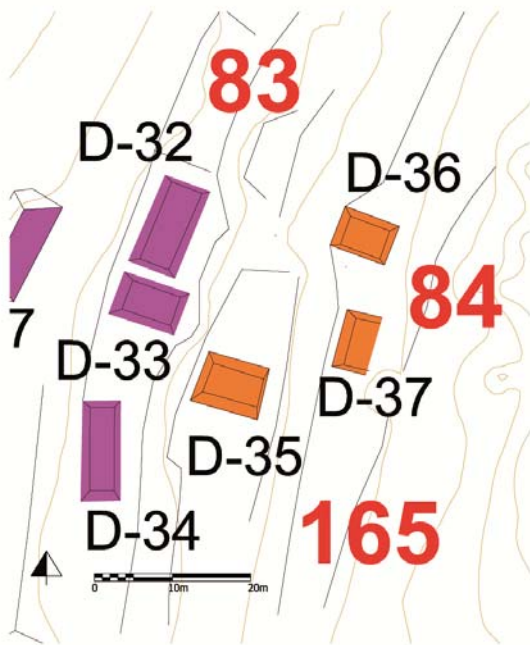
Se trata de dos pequeñas plataformas que ocupan una terraza de dimensiones reducidas en las estribaciones de los farallones en la ladera Oeste del cerro Maler.

Localización en el sitio



Mapa

Fotografía conjunto



Cédula de Conjunto arquitectónico

Sitio

Conjunto

Tipo de Conjunto

Emplazamiento

Preparación del terreno

N estructuras

Área espacio compartido/
espacio disponible (m2)

Existe una estructura sobresaliente Nr. Estructura sobresaliente

Porque sobresale

Distancia mínima de otro conjunto (m)

Excavado

Operación(es)

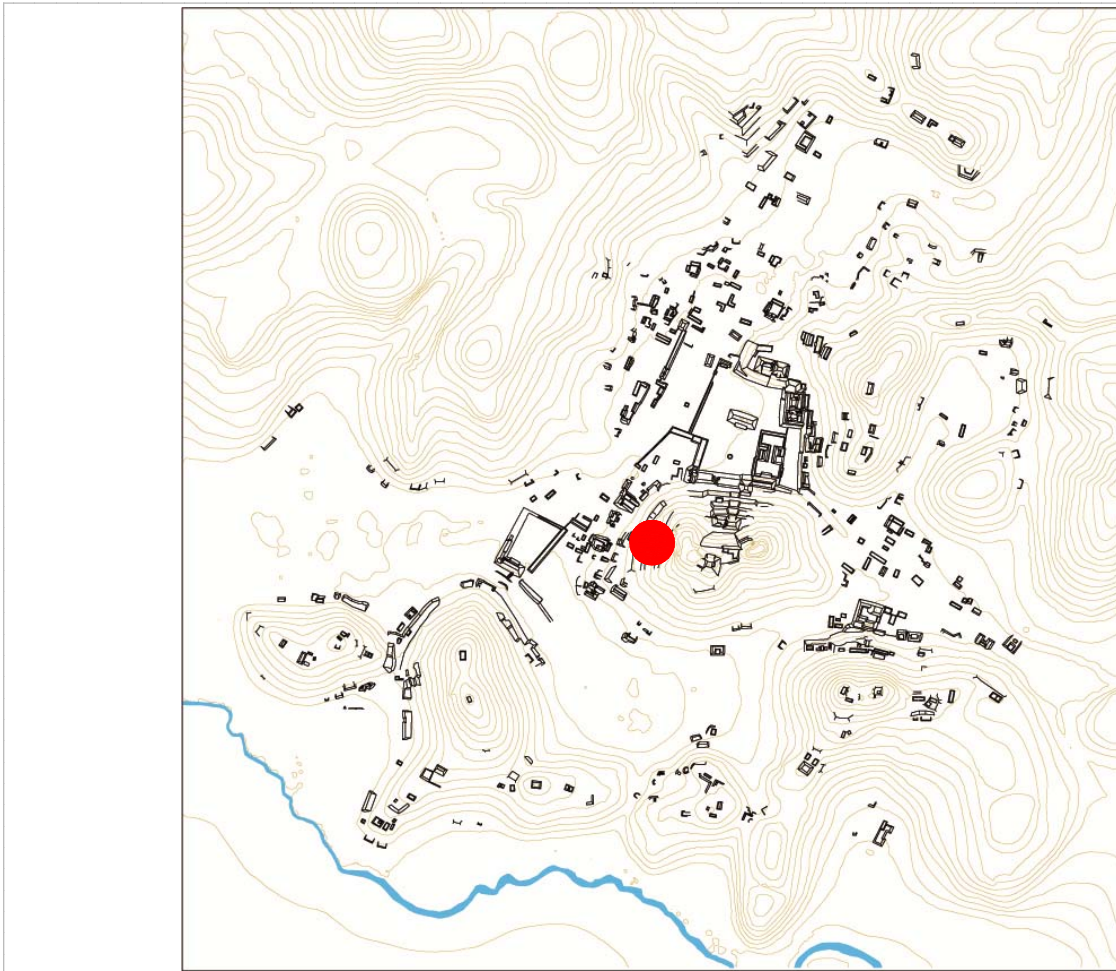
Estructuras de este Conjunto

Estructura	Área	Altura	Volumen	Tipo de estructura
D-35	59,63	Mts2 ,8	Mts 47,704	Mts3 plataforma rectangular

Observaciones

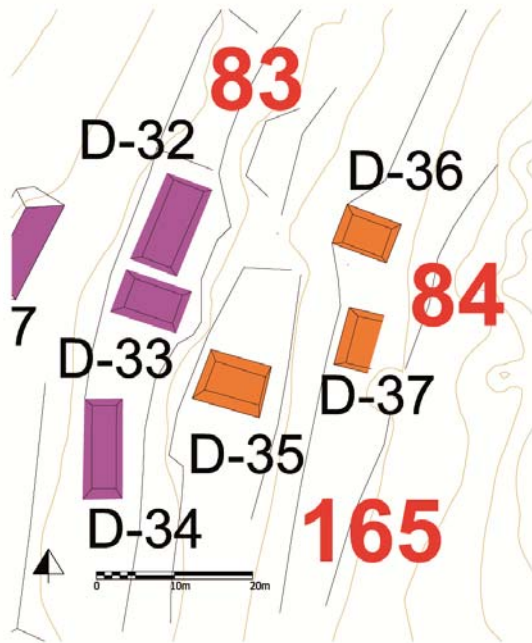
Se trata de una sólo plataforma que ocupa uan terraza que se extiende en sentido N-S. Se pueden apreciar las obras de contención y nivelación en su basamento.

Localización en el sitio



Mapa

Fotografía conjunto



Cédula de Conjunto arquitectónico

Sitio Chinikihá

Conjunto CHK/D85

Tipo de Conjunto Patio

Emplazamiento Planicie

Preparación del terreno Nignuna

N estructuras 3

Área espacio compartido/
espacio disponible (m2) 211,6

Existe una estructura sobresaliente D-10 Nr. Estructura sobresaliente D-10

Porque sobresale Volumen constructivo

Distancia mínima de otro conjunto (m) 12,6

Excavado Si

Operación(es)

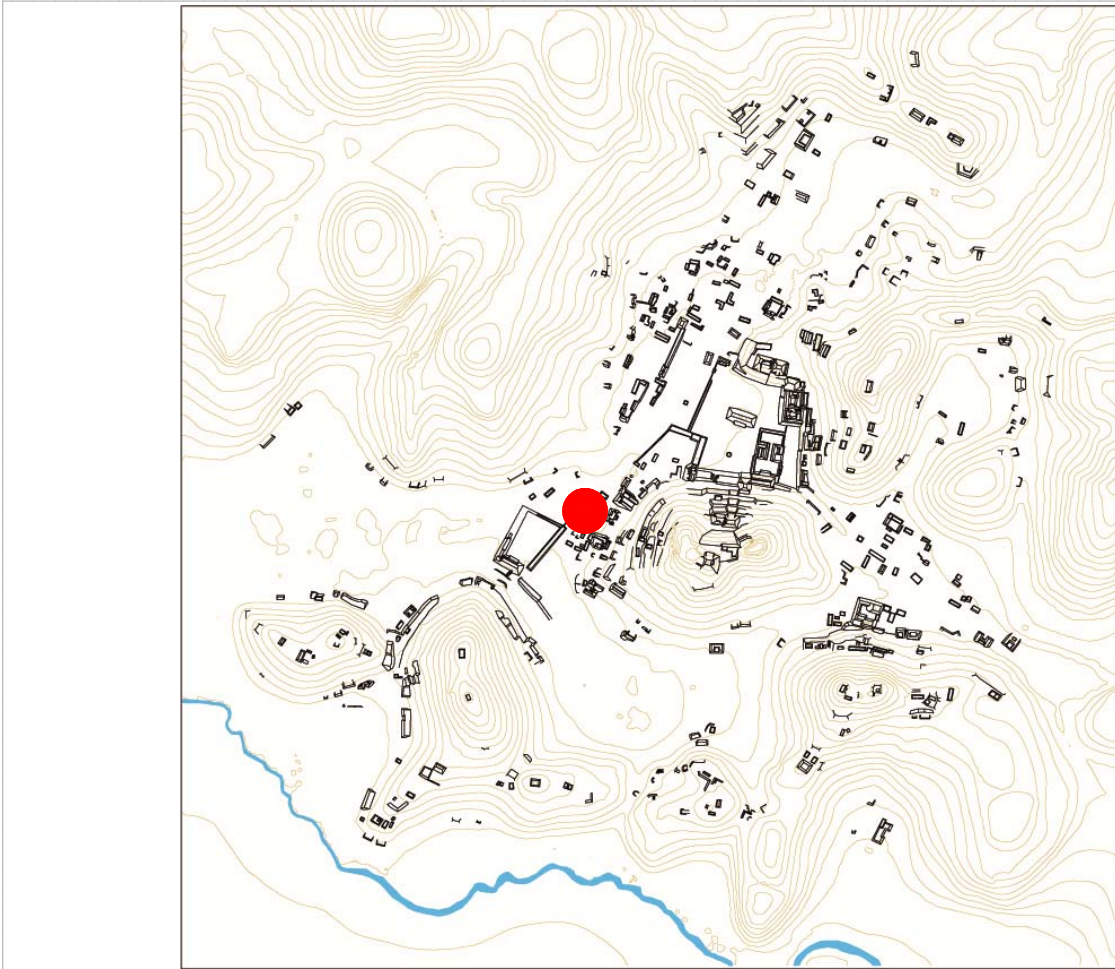
Estructuras de este Conjunto

Estructura	Área	Altura	Volumen	Tipo de estructura
D-10	189,7	Mts2 ,5	Mts 94,85	Mts3 plataforma rectangular
D-8	42,24	Mts2 ,5	Mts 21,12	Mts3 plataforma rectangular
D-9	46,53	Mts2 ,5	Mts 23,265	Mts3 plataforma rectangular

Observaciones

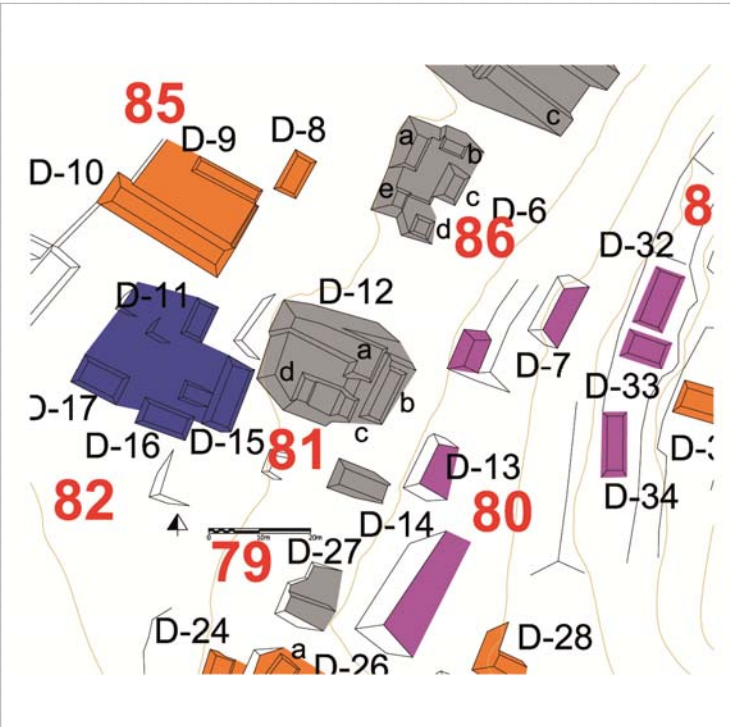
Se trata de dos estructuras alargadas, más una tercera afuera del patio, que delimitan un espacio común; no sólo esta área es identificada por D-10 y D-9, sino se levantaron dos terraplenes que delimitan el patio al E y O. Entre este conjunto y el CHK/D78 se aprecia un terraplen que tiene la misma orientación de la estr. D-19 de la plaza cerrada (CHK/D78).

Localización en el sitio



Mapa

Fotografía conjunto



Cédula de Conjunto arquitectónico

Sitio Chinikihá

Conjunto CHK/D86

Tipo de Conjunto Basal

Emplazamiento Pie de Monte

Preparación del terreno Basamento parcialmente artificial

N estructuras 5

Área espacio compartido/
espacio disponible (m2) 69,1

Existe una estructura sobresaliente No Nr. Estructura sobresaliente No

Porque sobresale

Distancia mínima de otro conjunto (m) 6,3

Excavado No

Operación(es)

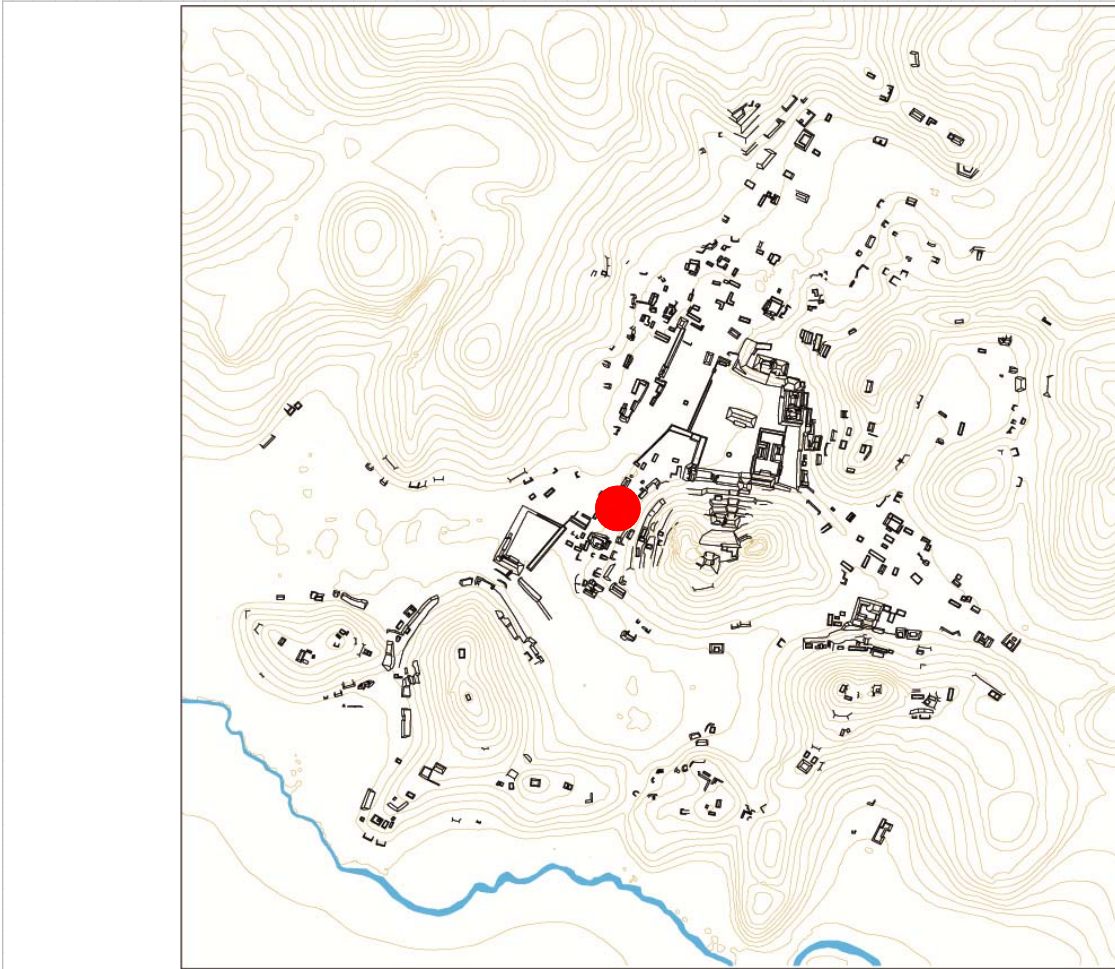
Estructuras de este Conjunto

Estructura	Área	Altura	Volumen	Tipo de estructura
D-6	278,6	Mts2 1,5	Mts 417,9	Mts3 plataforma basal
D-6a	19,76	Mts2 ,5	Mts 9,88	Mts3 plataforma rectangular
D-6b	14,5	Mts2 ,3	Mts 4,35	Mts3 plataforma rectangular
D-6c	33,88	Mts2 ,5	Mts 16,94	Mts3 plataforma rectangular
D-6d	15,21	Mts2 ,5	Mts 7,605	Mts3 plataforma cuadrangular
D-6e	12,87	Mts2 ,5	Mts 6,435	Mts3 plataforma cuadrangular

Observaciones

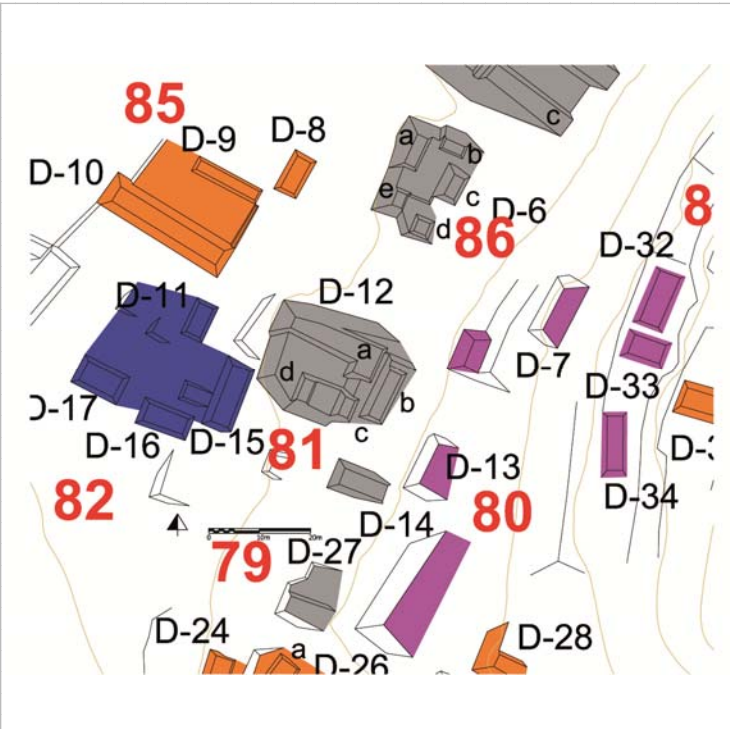
Se trata de un conjunto basal en mal estado de conservación cuyas estructuras se encuentran alrededor de un espacio reducido. Se puede apreciar muy bien el basamento que se apoya a la aldera de un cerro, lo que nos hace suponer su naturaleza parcialmente artificial. Es el más pequeño de la serie de conjuntos basales que ocupan esta ladera de cerro.

Localización en el sitio



Mapa

Fotografía conjunto



Cédula de Conjunto arquitectónico

Sitio Chinikihá

Conjunto CHK/D87

Tipo de Conjunto Basal

Emplazamiento Pie de Monte

Preparación del terreno Basamento parcialmente artificial

N estructuras 6

Área espacio compartido/
espacio disponible (m2) 127

Existe una estructura sobresaliente D-4a Nr. Estructura sobresaliente D-4a

Porque sobresale Volumen constructivo

Distancia mínima de otro conjunto (m) 5,13

Excavado Si

Operación(es) 6, 7, 161

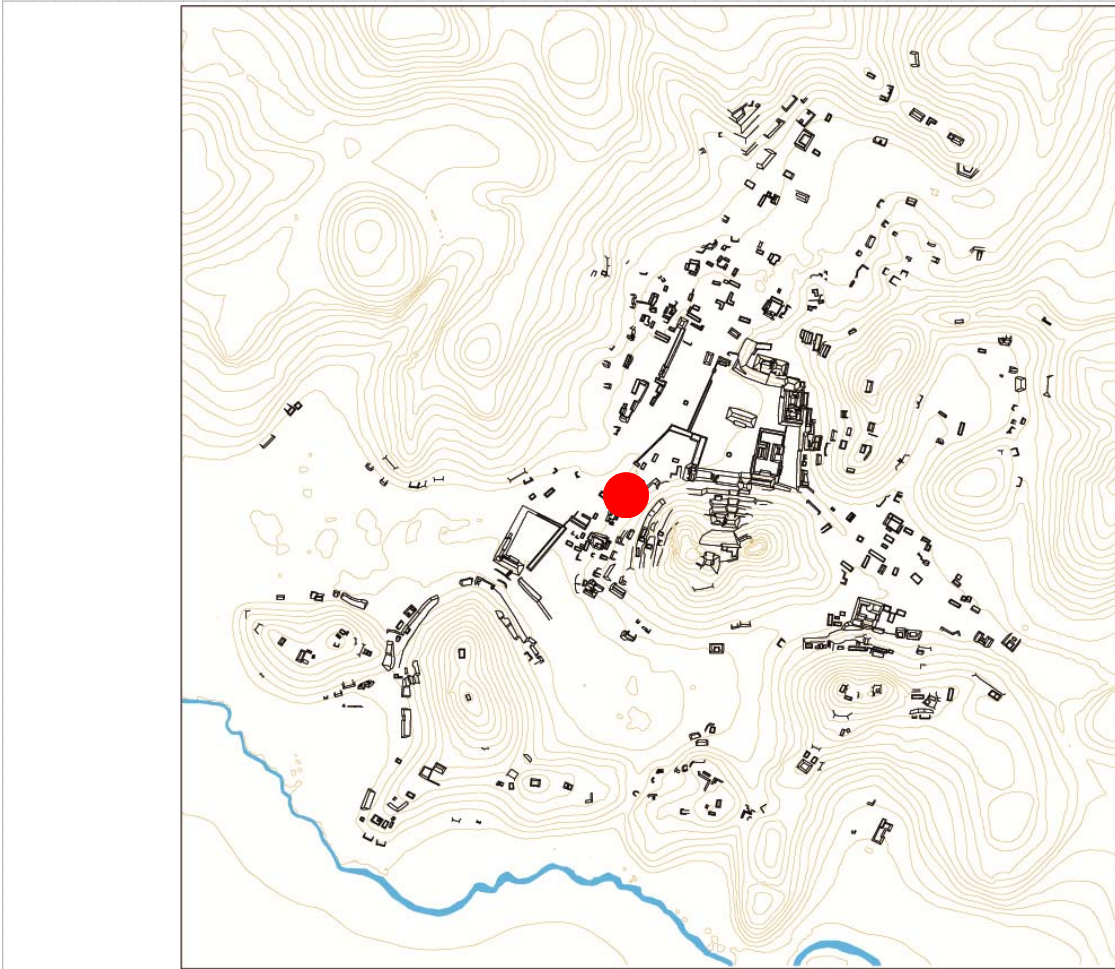
Estructuras de este Conjunto

Estructura	Área	Altura	Volumen	Tipo de estructura
D-3	127,28	Mts2 2,5	Mts 318,2	Mts3 plataforma rectangular
D-4	207	Mts2 2,5	Mts 517,5	Mts3 plataforma basal
D-4a	52,08	Mts2 ,5	Mts 26,04	Mts3 plataforma rectangular
D-4b	156,95	Mts2 ,5	Mts 78,475	Mts3 plataforma rectangular
D-4c	101,36	Mts2 ,5	Mts 50,68	Mts3 plataforma rectangular
D-5	97,5	Mts2 1	Mts 97,5	Mts3 plataforma rectangular

Observaciones

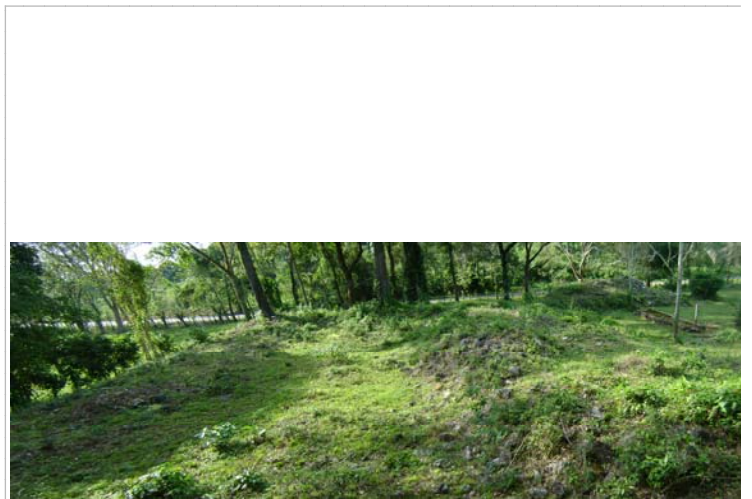
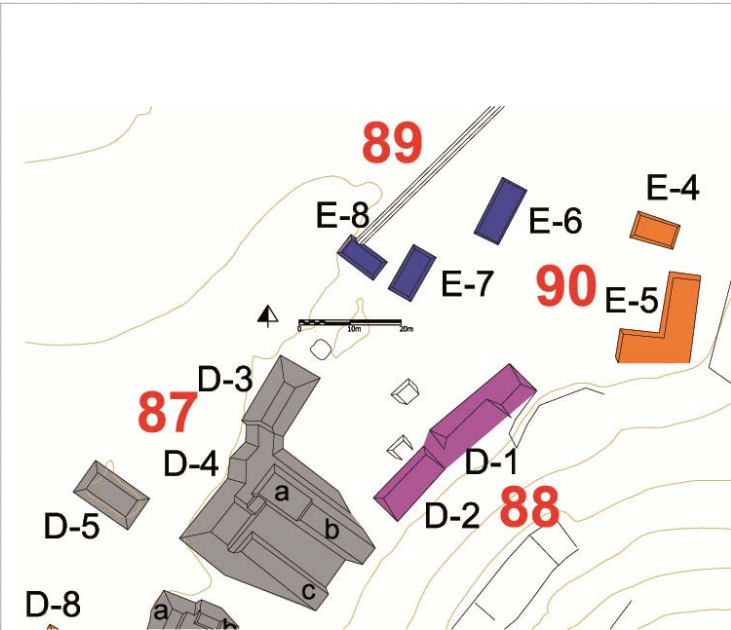
A nivel dimensional es el mayor de los conjuntos basales de esta ladera de cerro. Se llevó a cabo la operación 161 que puseo en luz, en la estr. D-4a (norte) una escalera de acceso desde el nivel de plaza y otra hacia el patio. Por cercanía se considera que la estr. D-3 sea asociada a este conjunto.

Localización en el sitio



Mapa

Fotografía conjunto



Cédula de Conjunto arquitectónico

Sitio

Conjunto

Tipo de Conjunto

Emplazamiento

Preparación del terreno

N estructuras

Área espacio compartido/
espacio disponible (m2)

Existe una estructura sobresaliente Nr. Estructura sobresaliente

Porque sobresale

Distancia mínima de otro conjunto (m)

Excavado

Operación(es)

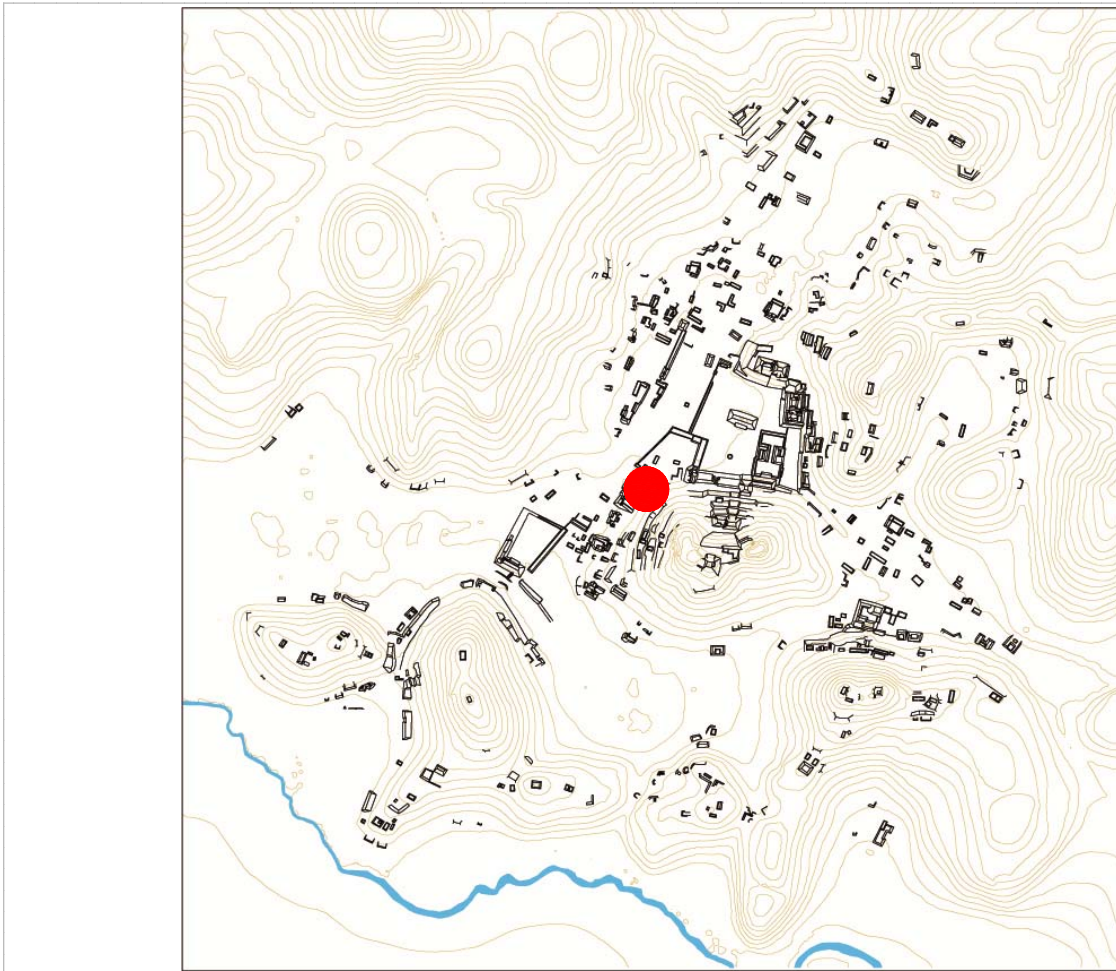
Estructuras de este Conjunto

Estructura	Área	Altura	Volumen	Tipo de estructura
D-1	154,28	Mts2 1,5	Mts 231,42	Mts3 plataforma rectangular
D-2	93,06	Mts2 1,5	Mts 139,59	Mts3 plataforma rectangular

Observaciones

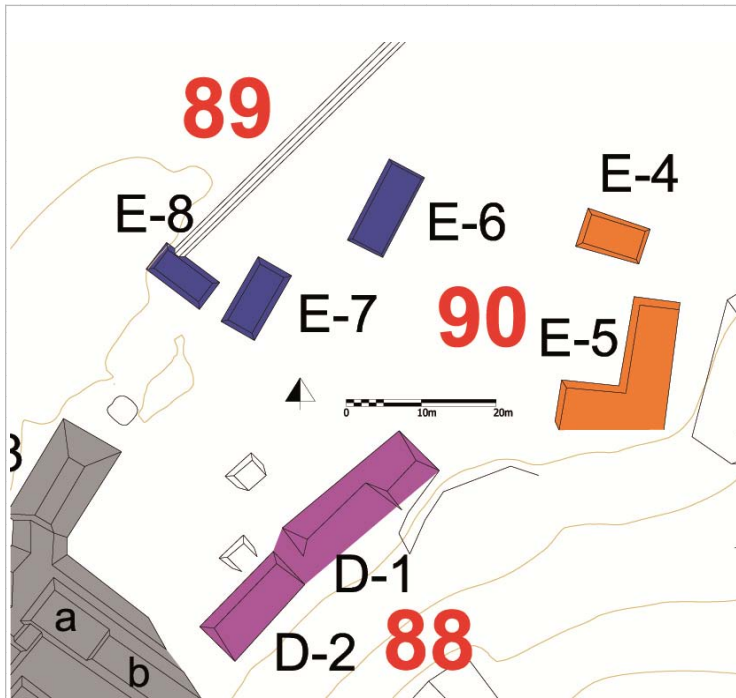
Se trata de dos terrazas en mal estado de conservación, de grandes dimensiones.

Localización en el sitio



Mapa

Fotografía conjunto



Cédula de Conjunto arquitectónico

Sitio

Conjunto

Tipo de Conjunto

Emplazamiento

Preparación del terreno

N estructuras

Área espacio compartido/
espacio disponible (m2)

Existe una estructura sobresaliente Nr. Estructura sobresaliente

Porque sobresale

Distancia mínima de otro conjunto (m)

Excavado

Operación(es)

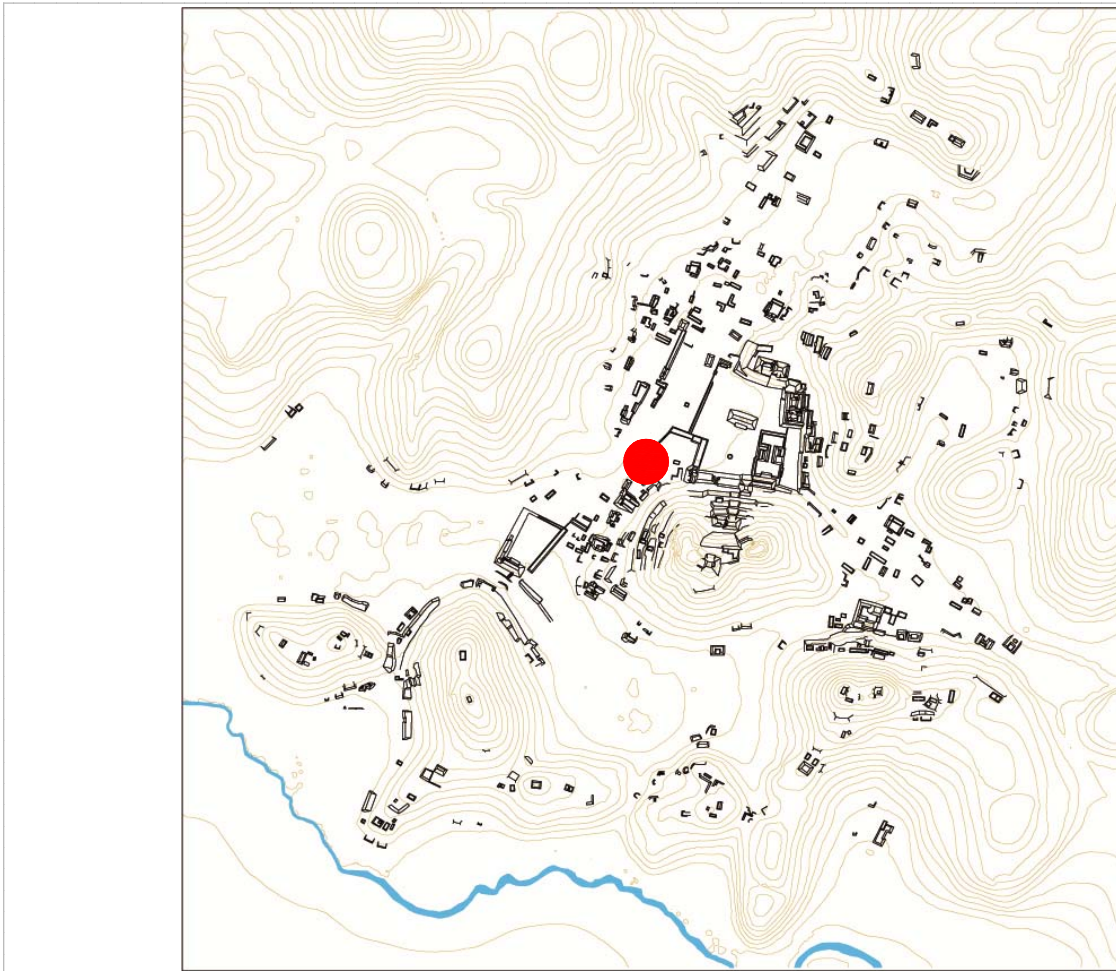
Estructuras de este Conjunto

Estructura	Área	Altura	Volumen	Tipo de estructura
E-6	65,88	Mts2 ,5	Mts 32,94	Mts3 plataforma rectangular
E-7	51	Mts2 ,5	Mts 25,5	Mts3 plataforma rectangular
E-8	40,05	Mts2 ,5	Mts 20,025	Mts3 plataforma rectangular

Observaciones

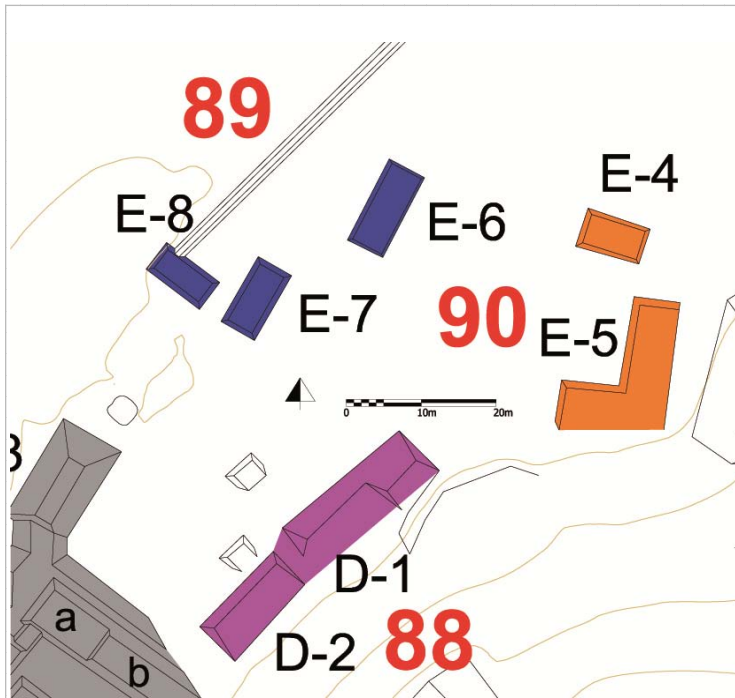
Se trata de tres pequeñas plataforma cuyo espacio común es definido por un terraplén que parece tener la misma orientación de la estr. D-19 del conjunto CHK/D78.

Localización en el sitio



Mapa

Fotografía conjunto



Cédula de Conjunto arquitectónico

Sitio Chinikihá

Conjunto CHK/E90

Tipo de Conjunto Patio

Emplazamiento Planicie

Preparación del terreno Nignuna

N estructuras 2

Área espacio compartido/
espacio disponible (m2) 142,86

Existe una estructura sobresaliente E-5 Nr. Estructura sobresaliente E-5

Porque sobresale Características formales

Distancia mínima de otro conjunto (m) 6,3

Excavado No

Operación(es)

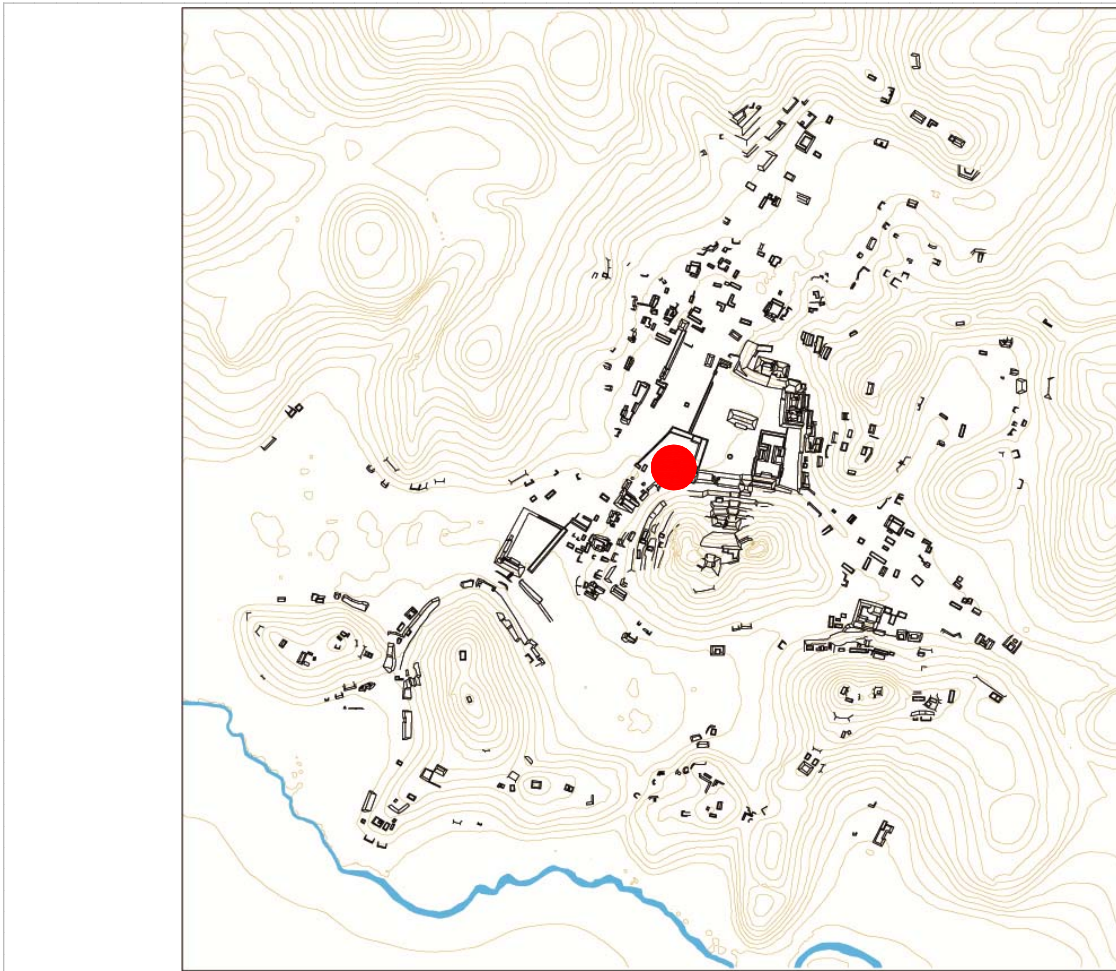
Estructuras de este Conjunto

Estructura	Área	Altura	Volumen	Tipo de estructura
E-4	42,63	Mts2 ,3	Mts 12,789	Mts3 plataforma rectangular
E-5	216,72	Mts2 1	Mts 216,72	Mts3 plataforma rectangular

Observaciones

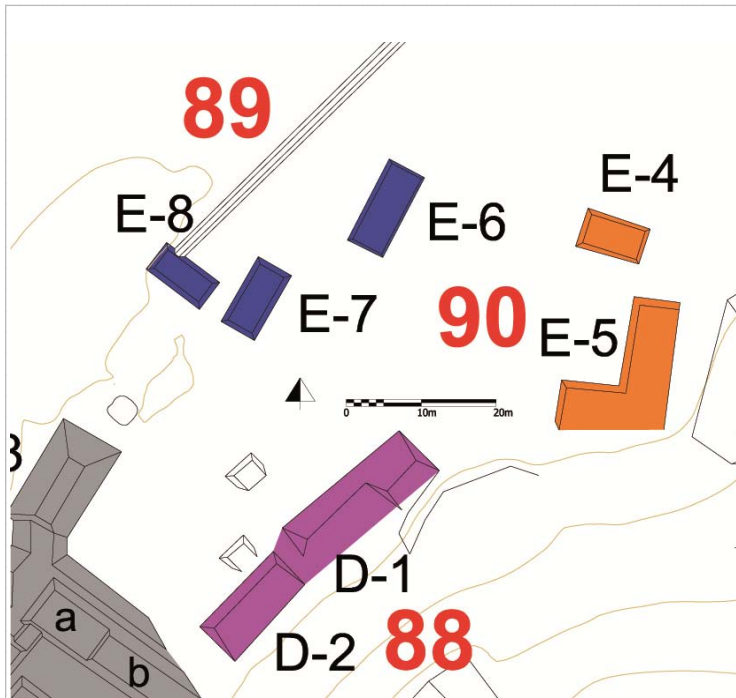
Este conjunto es formado por 2 plataformas bajas, la E-5 sobresale por sus características formales, siendo en forma de L y definiendo, así, el patio, junto a la E-4 que cierra el espacio al Norte.

Localización en el sitio



Mapa

Fotografía conjunto



Cédula de Conjunto arquitectónico

Sitio Chinikihá

Conjunto CHK/K91

Tipo de Conjunto Aislada

Emplazamiento Pie de Monte

Preparación del terreno Nignuna

N estructuras 1

Área espacio compartido/
espacio disponible (m2)

Existe una estructura sobresaliente No Nr. Estructura sobresaliente No

Porque sobresale

Distancia mínima de otro conjunto (m) 17,92

Excavado No

Operación(es)

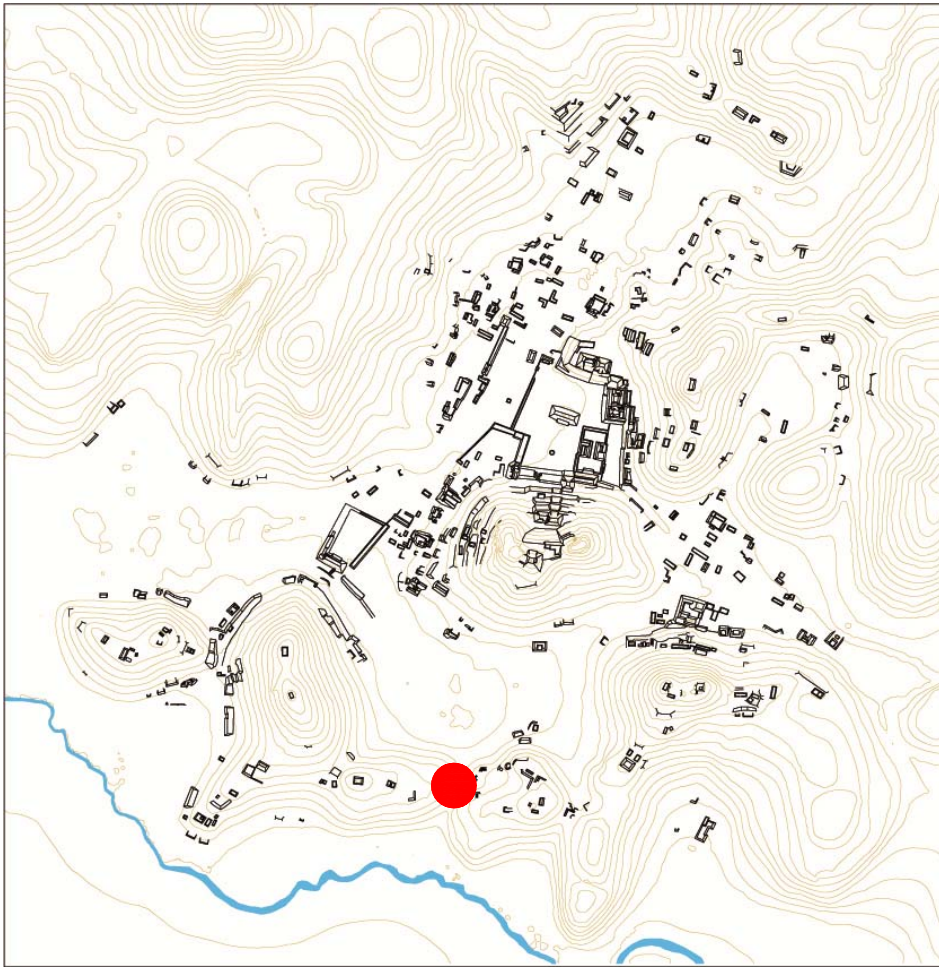
Estructuras de este Conjunto

Estructura	Área	Altura	Volumen	Tipo de estructura
K-9	48,28	Mts2 ,8	Mts 38,624	Mts3 plataforma cuadrangular

Observaciones

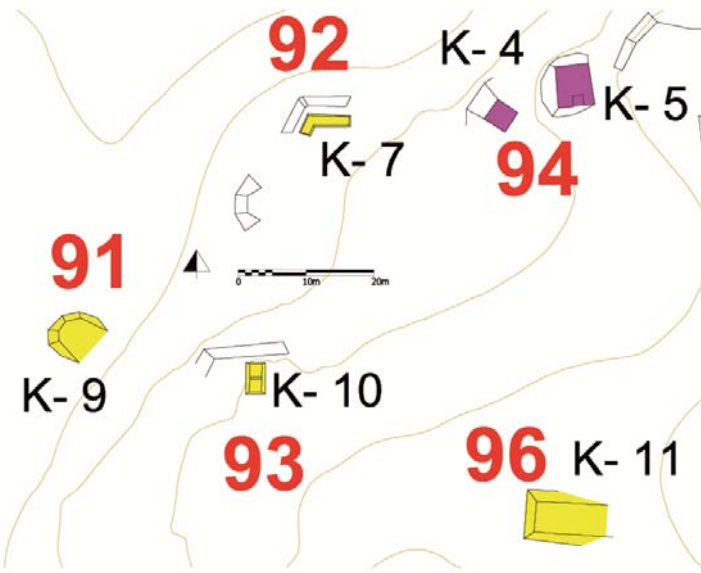
Se trata de una plataforma pequeña y en mal estado de conservación. Sin embargo su posición es interesante, ya que se encuentra en un estrecho pasaje que conduce desde el sitio hacia el arroyo Chinikihá.

Localización en el sitio



Mapa

Fotografía conjunto



Cédula de Conjunto arquitectónico

Sitio

Conjunto

Tipo de Conjunto

Emplazamiento

Preparación del terreno

N estructuras

Área espacio compartido/
espacio disponible (m2)

Existe una estructura sobresaliente Nr. Estructura sobresaliente

Porque sobresale

Distancia mínima de otro conjunto (m)

Excavado

Operación(es)

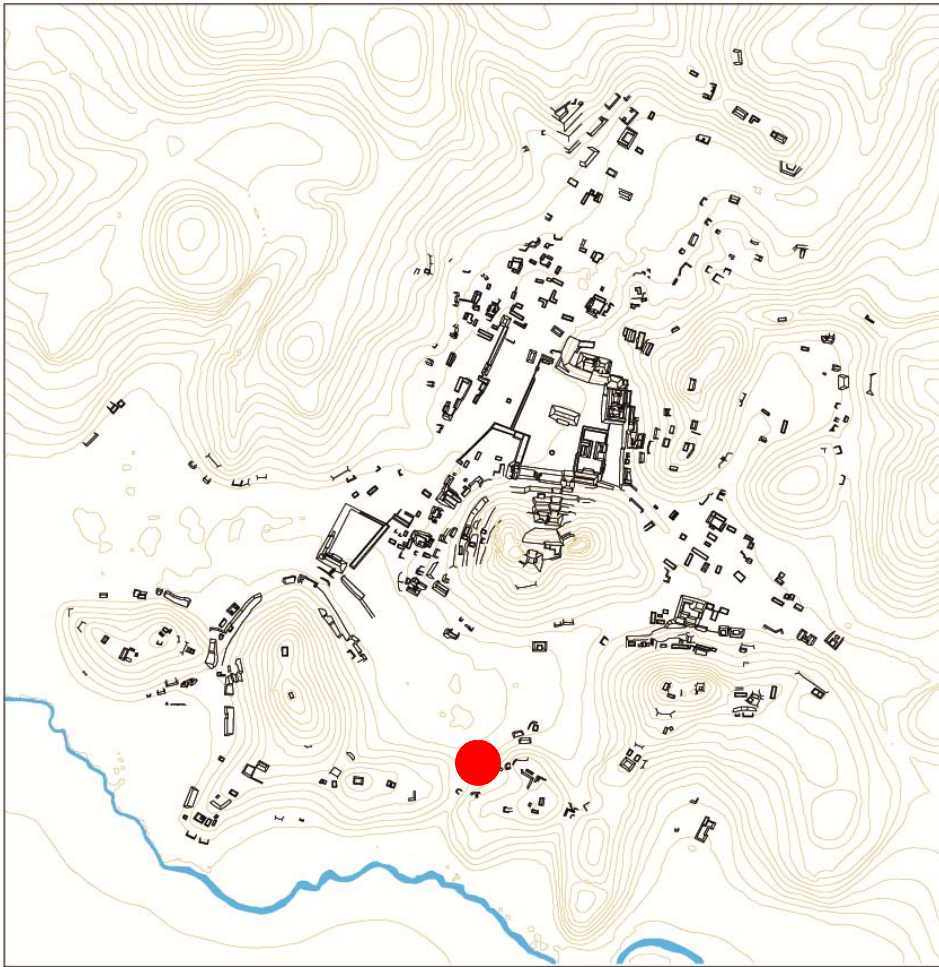
Estructuras de este Conjunto

Estructura	Área	Altura	Volumen	Tipo de estructura
K-7	19,53	Mts2 ,3	Mts 5,859	Mts3 plataforma rectangular

Observaciones

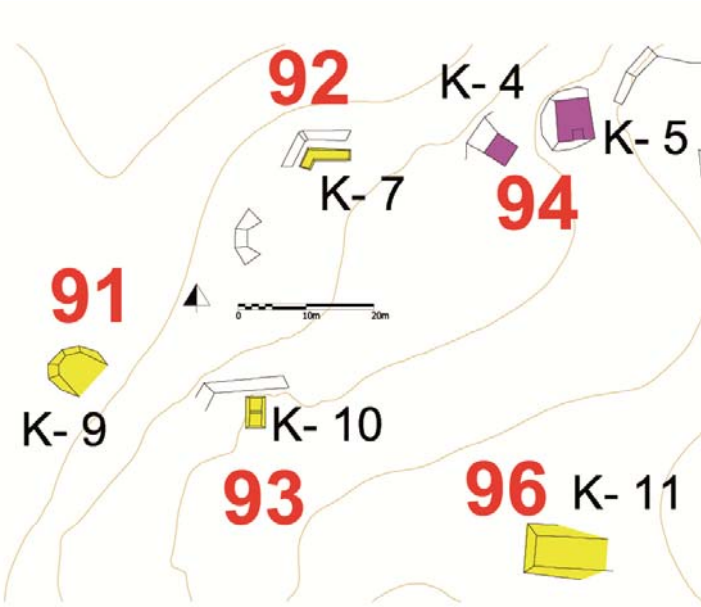
Se trata de una pequeña plataforma aislada que domina una terraza y cuyo basamento presenta obras de contención y nivelación.

Localización en el sitio



Mapa

Fotografía conjunto



Cédula de Conjunto arquitectónico

Sitio

Conjunto

Tipo de Conjunto

Emplazamiento

Preparación del terreno

N estructuras

Área espacio compartido/
espacio disponible (m2)

Existe una estructura sobresaliente Nr. Estructura sobresaliente

Porque sobresale

Distancia mínima de otro conjunto (m)

Excavado

Operación(es)

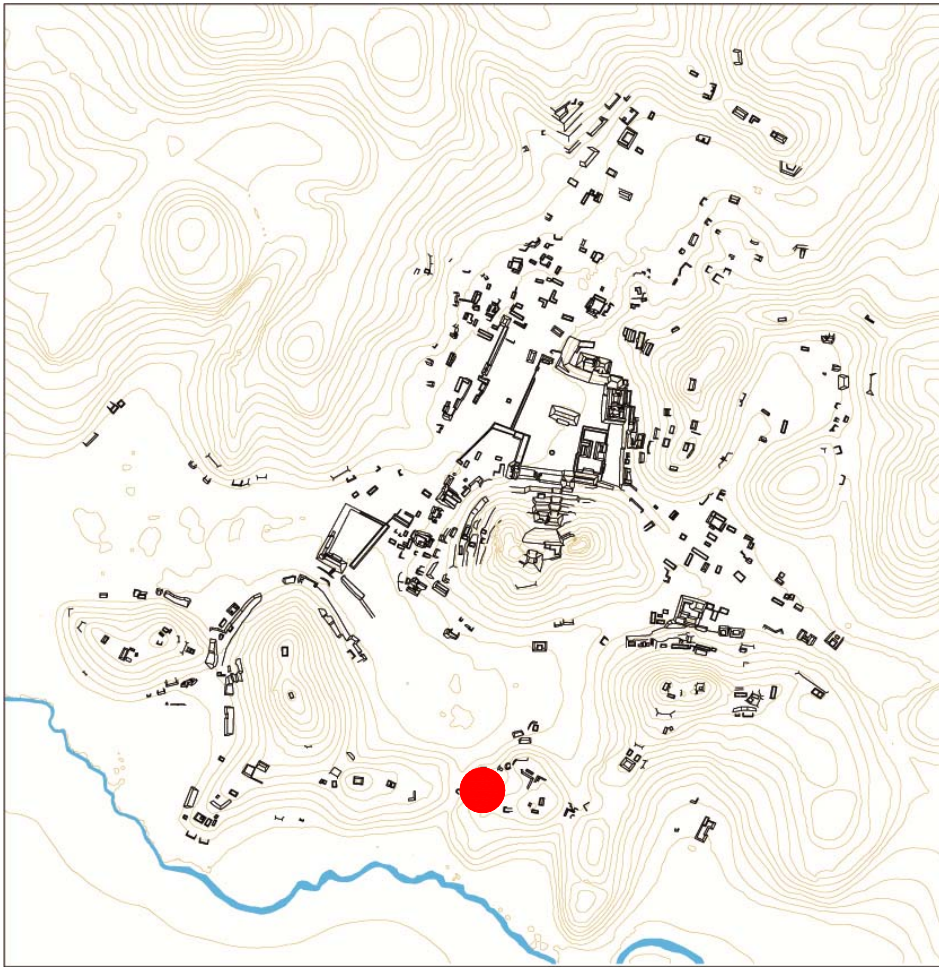
Estructuras de este Conjunto

Estructura	Área	Altura	Volumen	Tipo de estructura
K-10	13,63	Mts2 ,4	Mts 5,452	Mts3 plataforma rectangular

Observaciones

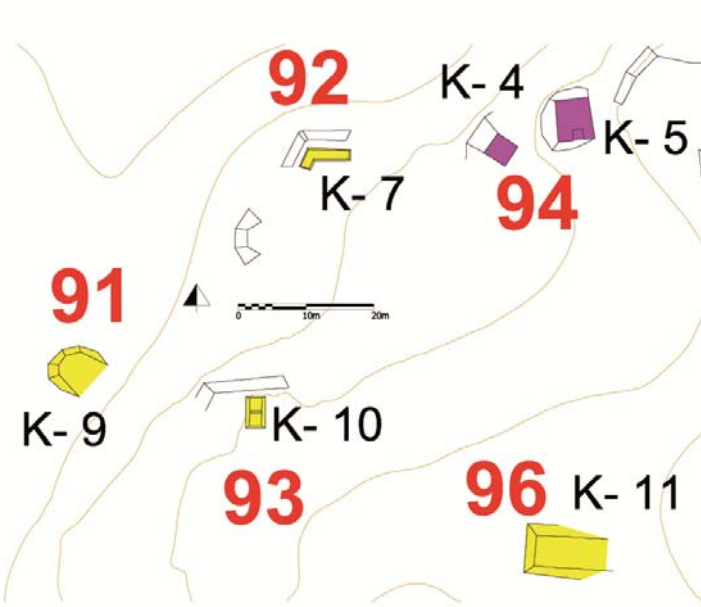
Aunque hemos definido esta estructura como aislada hay que subrayar el buen estado de conservación muro de contención de la terraza que sustenta la plataforma y cuya mampostería, aunque burda, se puede bien apreciar.

Localización en el sitio



Mapa

Fotografía conjunto



Cédula de Conjunto arquitectónico

Sitio Chinikihá

Conjunto CHK/K94

Tipo de Conjunto Lineal

Emplazamiento Ladera de cerro

Preparación del terreno Basamento parcialmente artificial

N estructuras 2

Área espacio compartido/
espacio disponible (m2)

Existe una estructura sobresaliente K-5 Nr. Estructura sobresaliente K-5

Porque sobresale Características formales
Volumen constructivo

Distancia mínima de otro conjunto (m) 22,75

Excavado No

Operación(es)

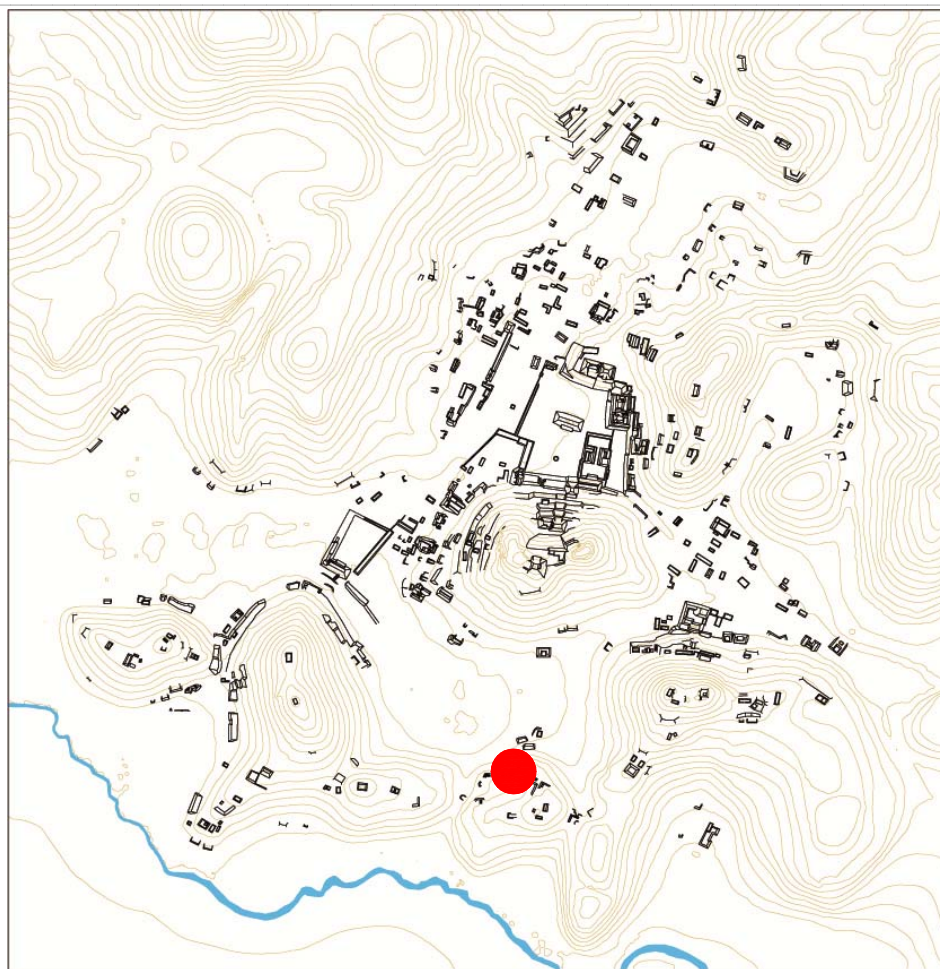
Estructuras de este Conjunto

Estructura	Área	Altura	Volumen	Tipo de estructura
K-4	72,98	Mts2 2,4	Mts 175,152	Mts3 plataforma cuadrangular
K-5	62,48	Mts2 2	Mts 124,96	Mts3 plataforma rectangular

Observaciones

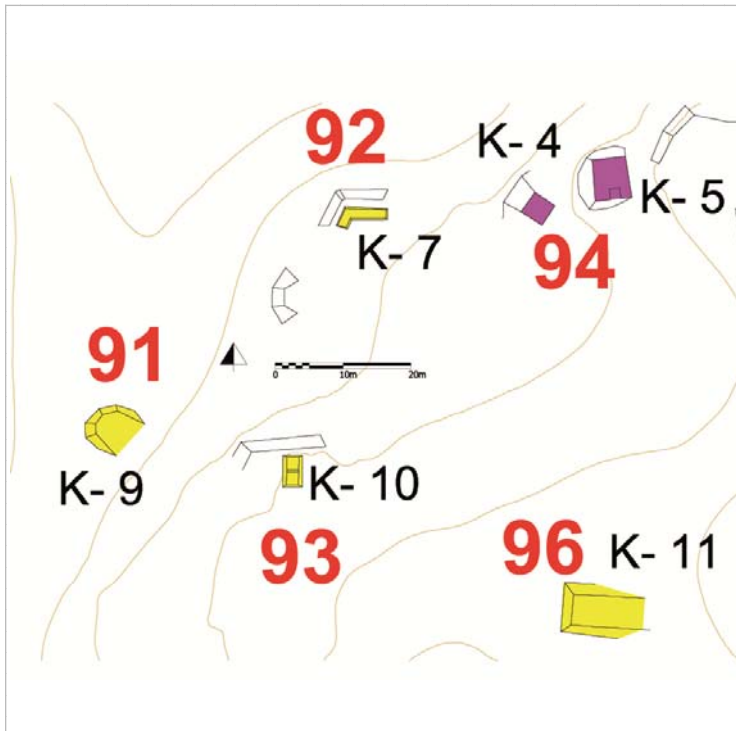
Este conjunto resalta por su integración con el entorno natural y por sus edificios abovedados que se apoyan a los desniveles naturales del cerro. Entre los dos edificios, en el K-5 se puede apreciar en buen estado de conservación un cuarto abovedado en forma de L que se apoya hacia el Norte a un abrigo rocoso. No excluimos que las dos estructuras fueran comunicantes a través de niveles diferentes recavados en la ladera del cerro. En el K-4 también pudimos apreciar parte del colapso de una bóveda en el espacio entre K-5 y K-6.

Localización en el sitio



Mapa

Fotografía conjunto



Cédula de Conjunto arquitectónico

Sitio

Conjunto

Tipo de Conjunto

Emplazamiento

Preparación del terreno

N estructuras

Área espacio compartido/
espacio disponible (m2)

Existe una estructura sobresaliente No Nr. Estructura sobresaliente No

Porque sobresale

Distancia mínima de otro conjunto (m)

Excavado No

Operación(es)

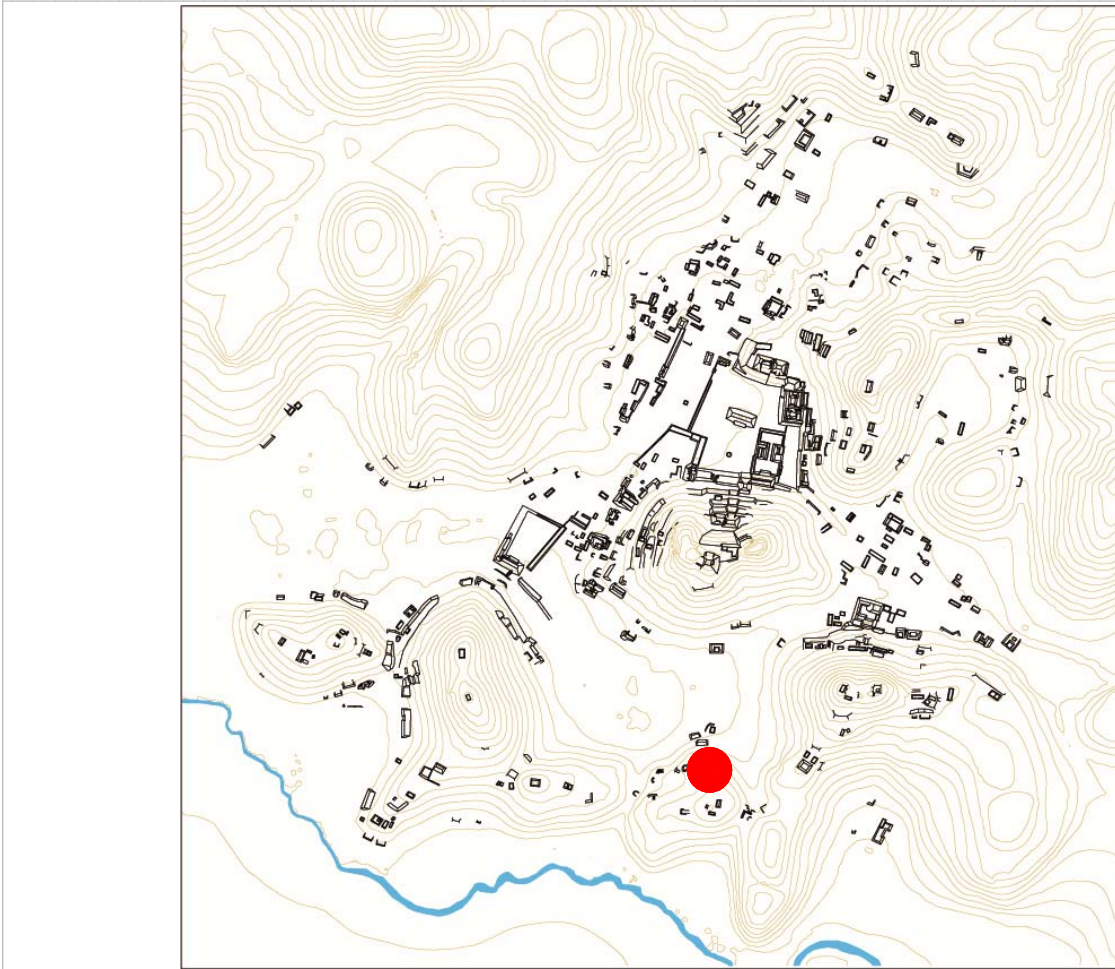
Estructuras de este Conjunto

Estructura	Área	Altura	Volumen	Tipo de estructura
K-6	37,29	Mts2 ,4	Mts 14,916	Mts3 plataforma rectangular
K-8	150,8	Mts2 1	Mts 150,8	Mts3 plataforma basal
K-8a	10,32	Mts2 ,3	Mts 3,096	Mts3 plataforma rectangular

Observaciones

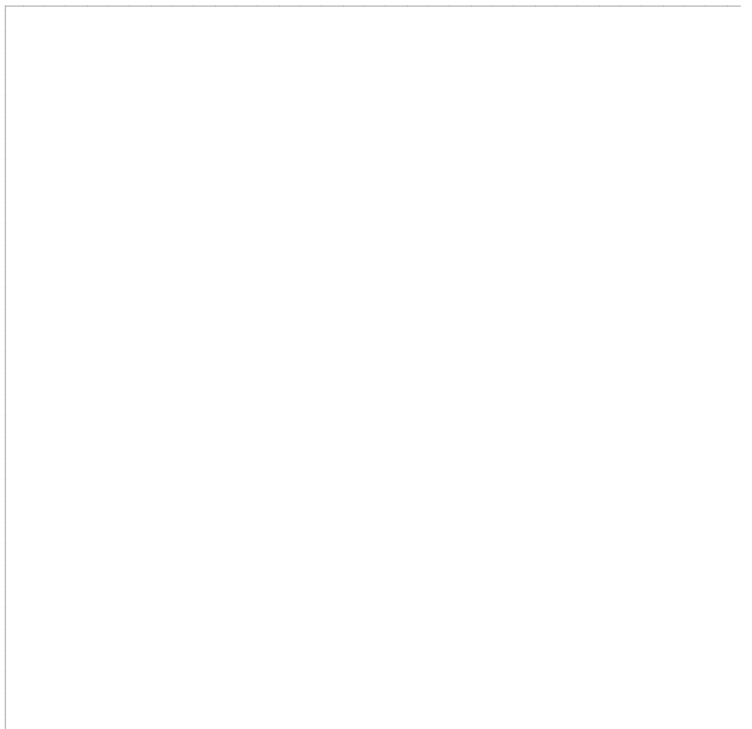
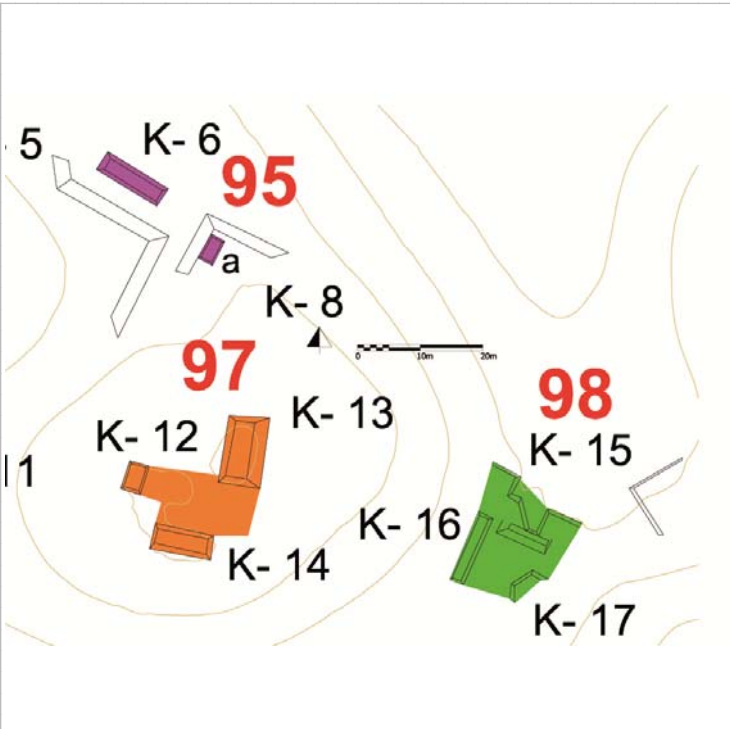
Este conjunto lineal se compone por dos estructuras en donde las terrazas arriba de las cuales descansan manifiestan obras de contención y nivelación.

Localización en el sitio



Mapa

Fotografía conjunto



Cédula de Conjunto arquitectónico

Sitio

Conjunto

Tipo de Conjunto

Emplazamiento

Preparación del terreno

N estructuras

Área espacio compartido/
espacio disponible (m2)

Existe una estructura sobresaliente

Nr. Estructura sobresaliente

Porque sobresale

Distancia mínima de otro conjunto (m)

Excavado

Operación(es)

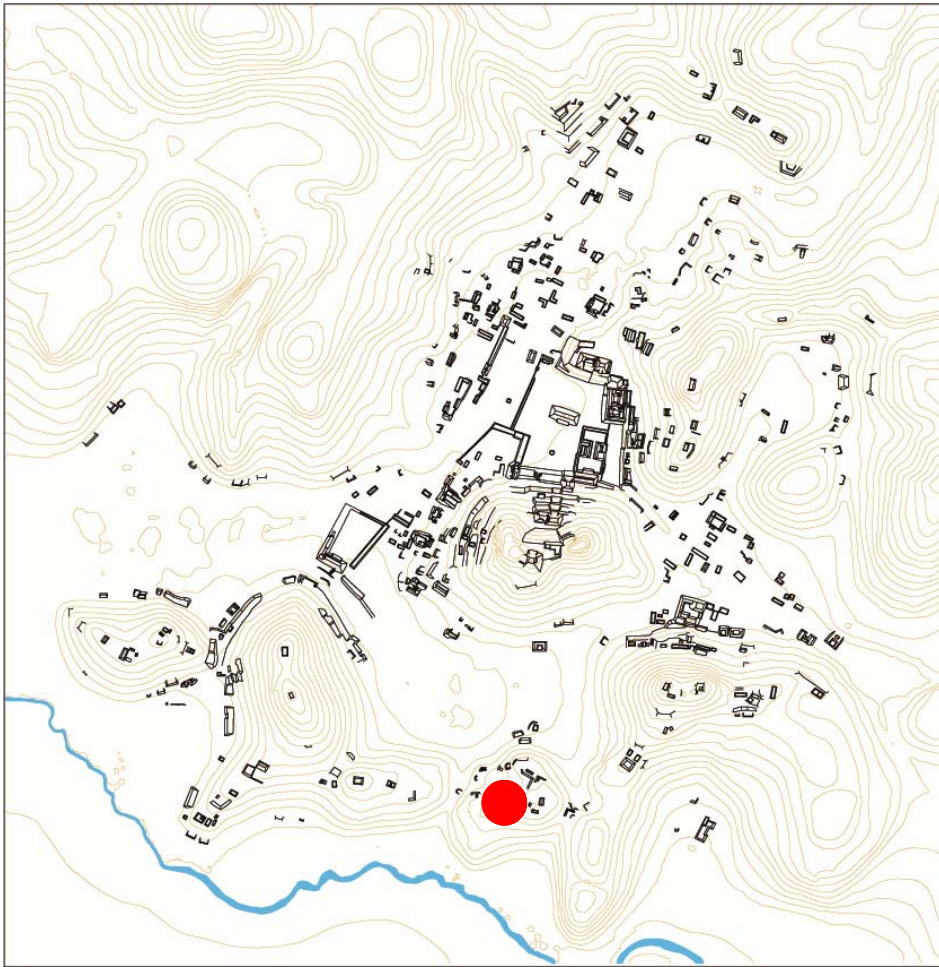
Estructuras de este Conjunto

Estructura	Área	Altura	Volumen	Tipo de estructura
K-11	96,36	Mts2 1,4	Mts 134,904	Mts3 plataforma rectangular

Observaciones

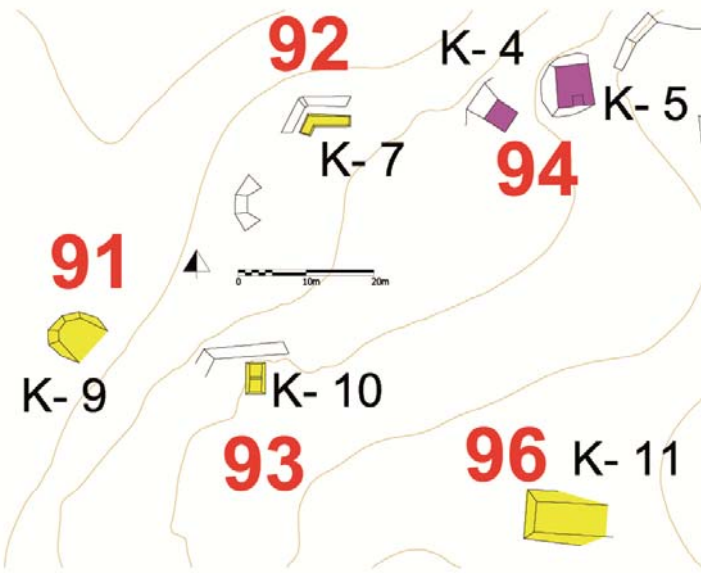
Se trata de una plataforma de grandes dimensiones que se apoya a la ladera del cerro.

Localización en el sitio



Mapa

Fotografía conjunto



Cédula de Conjunto arquitectónico

Sitio Chinikihá

Conjunto CHK/K97

Tipo de Conjunto Patio

Emplazamiento Cima de cerro

Preparación del terreno Nignuna

N estructuras 3

Área espacio compartido/
espacio disponible (m2) 109,9

Existe una estructura sobresaliente K-13 Nr. Estructura sobresaliente K-13

Porque sobresale Volumen constructivo

Distancia mínima de otro conjunto (m) 24,7

Excavado No

Operación(es)

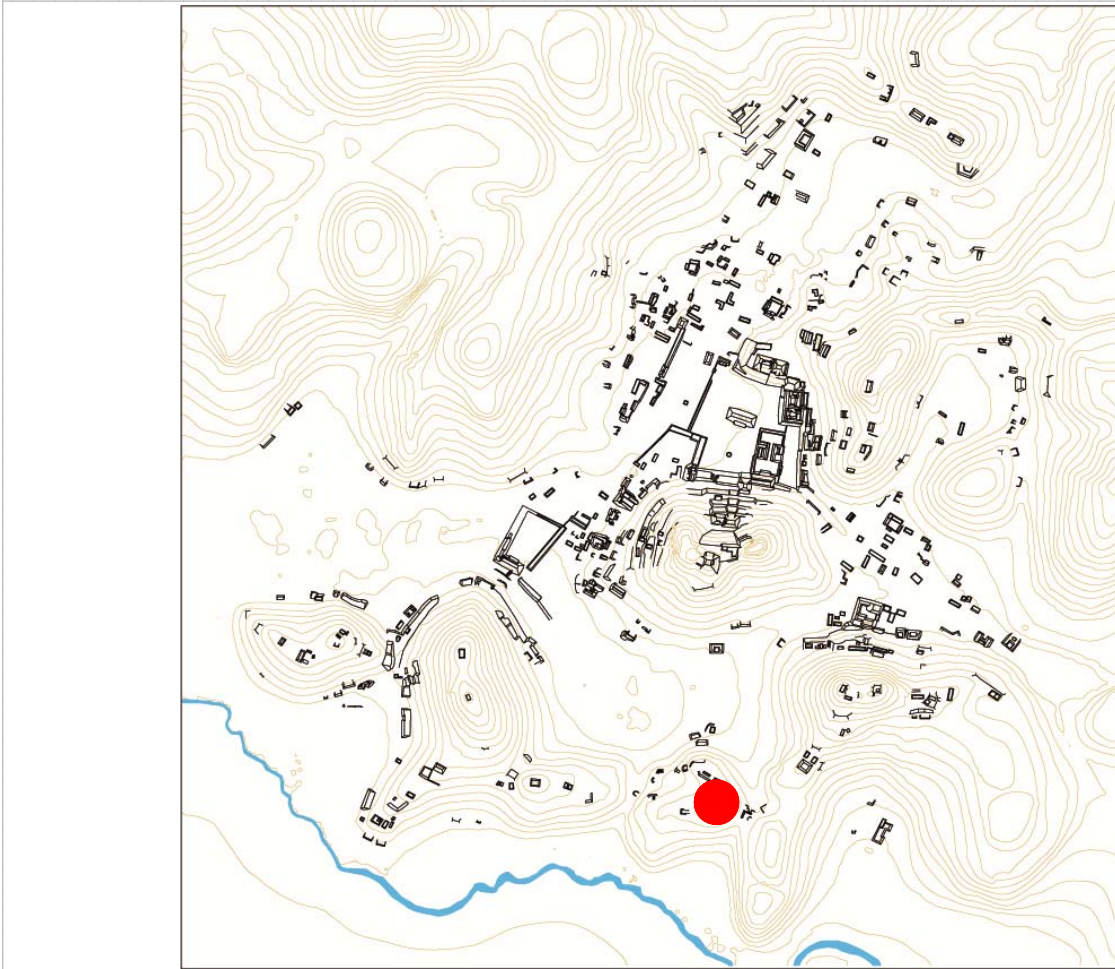
Estructuras de este Conjunto

Estructura	Área	Altura	Volumen	Tipo de estructura
K-12	15,36	Mts2 ,2	Mts 3,072	Mts3 plataforma rectangular
K-13	77,05	Mts2 ,7	Mts 53,935	Mts3 plataforma rectangular
K-14	38,61	Mts2 ,5	Mts 19,305	Mts3 plataforma rectangular

Observaciones

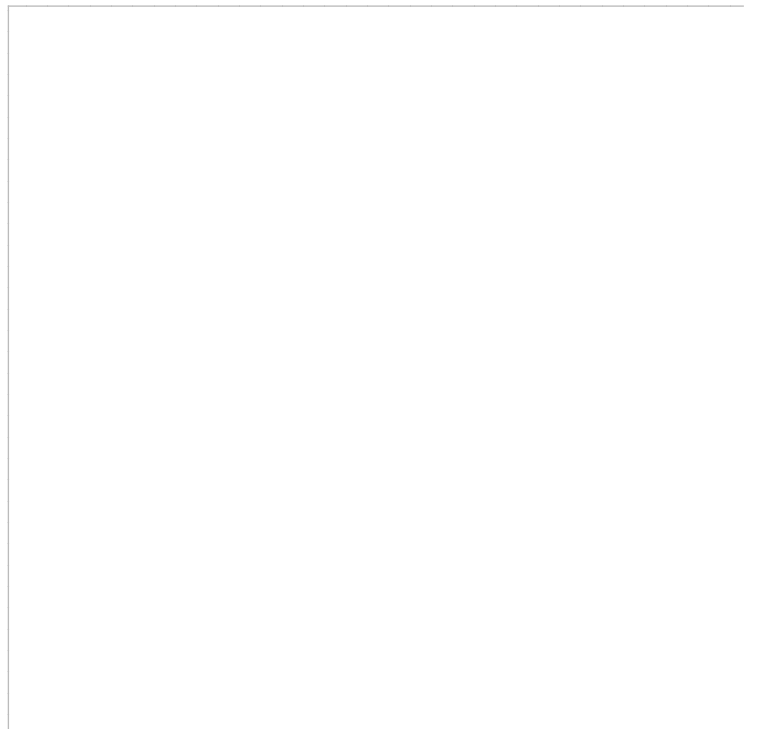
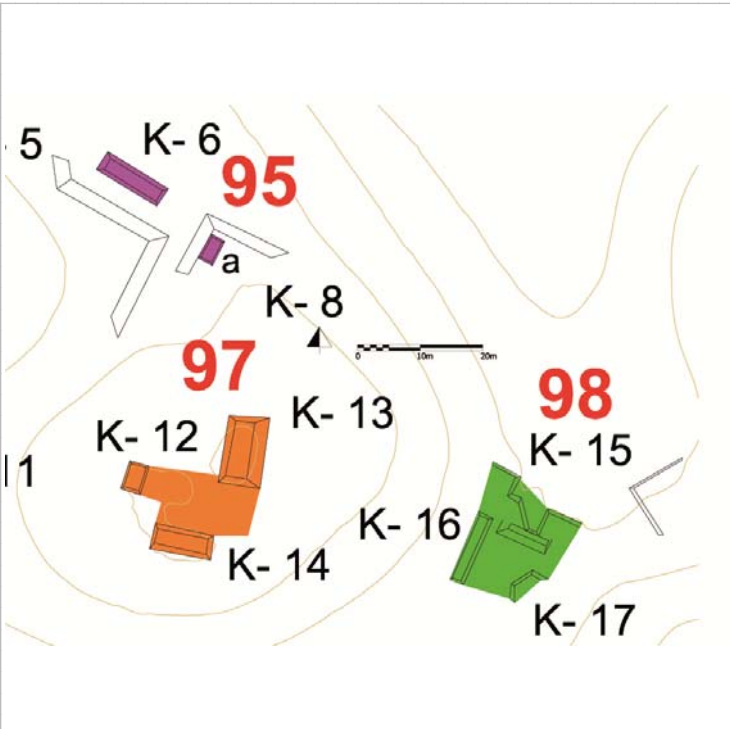
Se trata de tres estructuras que comparten una cima de loma, alrededor de un espacio común; la K-13 sobresale por volumen constructivo, en la K-14 es evidente el reforzamiento de la ladera del cerro a través de obras de contención.

Localización en el sitio



Mapa

Fotografía conjunto



Cédula de Conjunto arquitectónico

Sitio Chinikihá

Conjunto CHK/K98

Tipo de Conjunto Informal

Emplazamiento Ladera de cerro

Preparación del terreno Nignuna

N estructuras 3

Área espacio compartido/
espacio disponible (m2) 76,7

Existe una estructura sobresaliente K-15 Nr. Estructura sobresaliente K-15

Porque sobresale Volumen constructivo
Características formales

Distancia mínima de otro conjunto (m) 37,04

Excavado NO

Operación(es)

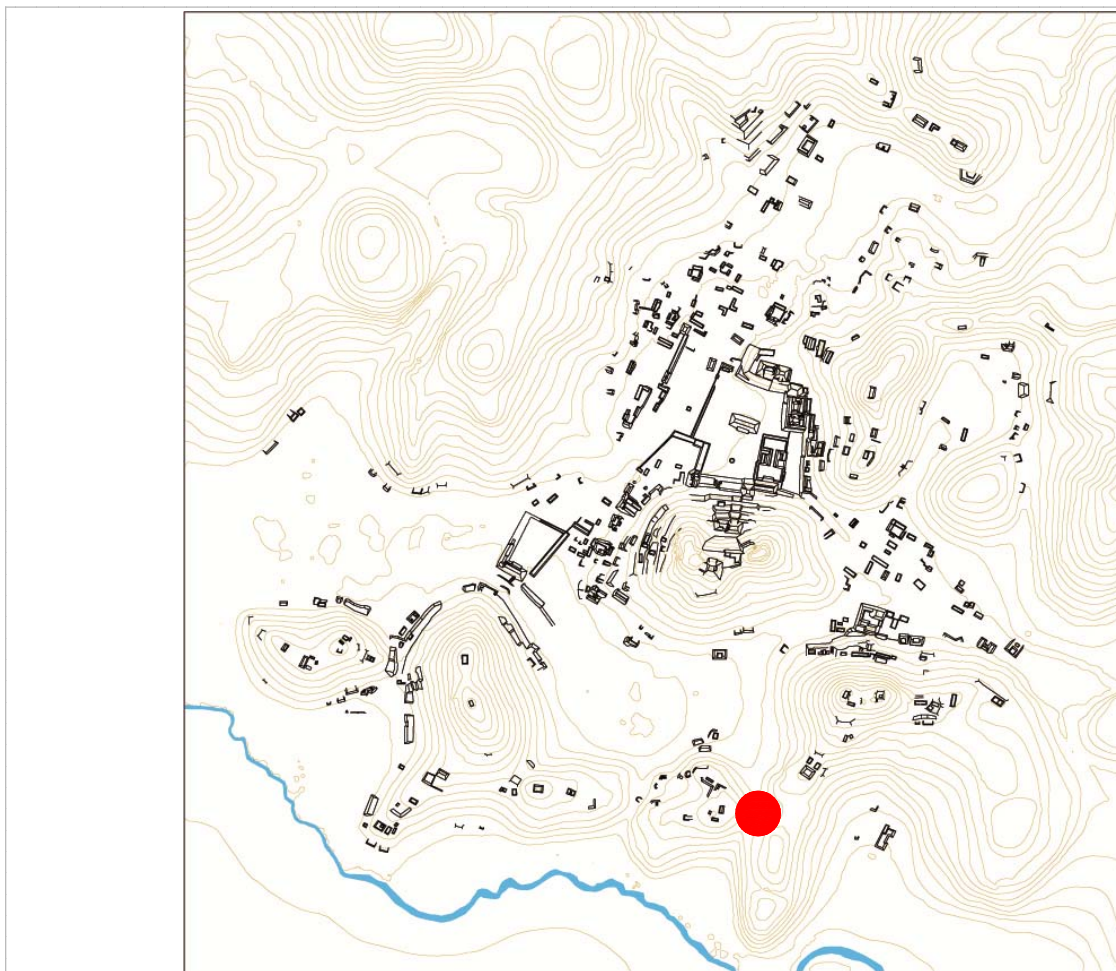
Estructuras de este Conjunto

Estructura	Área	Altura	Volumen	Tipo de estructura
K-15	18,7	Mts2 ,9	Mts 16,83	Mts3 plataforma rectangular
K-16	27,37	Mts2 ,2	Mts 5,474	Mts3 plataforma rectangular
K-17	12,72	Mts2 ,4	Mts 5,088	Mts3 plataforma rectangular

Observaciones

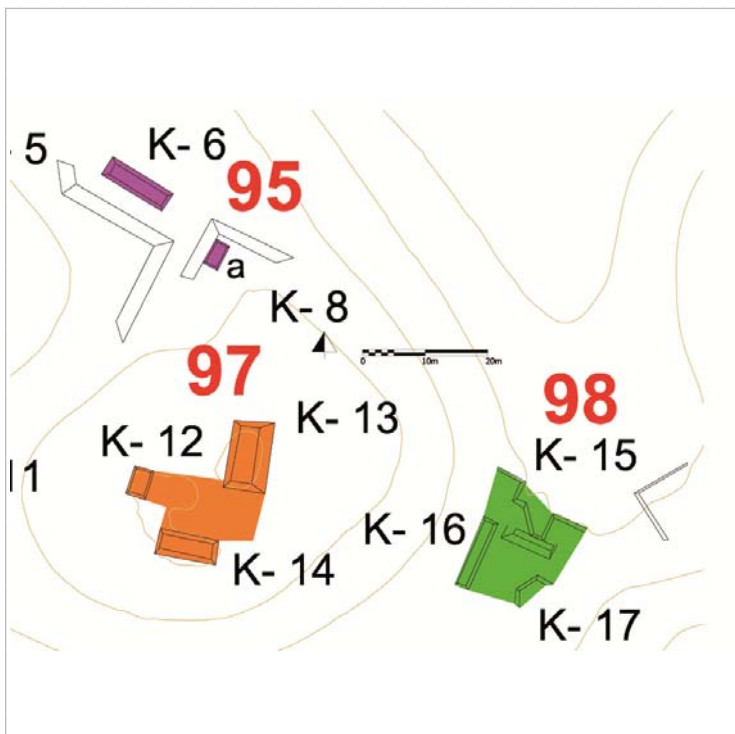
La estructura K-16 conforma con la K-17 y la parte superior de la K-15 un pequeño patio, sin embargo no se categorizó este conjunto de tipo "patio" ya que la estr. K-15 sobresale con respecto a las otras tanto por volumen constructivo como por sus características formales: su frente sur se abre hacia la planicie (y no hacia el río) con una alta pared de mampostería aunque no se entiende si la C que éstas conforman sea el resultado de la destrucción parcial de la fachada. Arriba de este nivel se encuentran las pequeñas plataformas que comparten un espacio y controla la bajada-o la subida hacia y desde el arroyo Chinikihá.

Localización en el sitio



Mapa

Fotografía conjunto



Cédula de Conjunto arquitectónico

Sitio Chinikihá

Conjunto CHK/K99

Tipo de Conjunto Informal

Emplazamiento Ladera de cerro

Preparación del terreno Basamento parcialmente artificial

N estructuras 3

Área espacio compartido/
espacio disponible (m2)

Existe una estructura sobresaliente K-3 Nr. Estructura sobresaliente K-3

Porque sobresale Volumen constructivo

Distancia mínima de otro conjunto (m) 33,81

Excavado No

Operación(es)

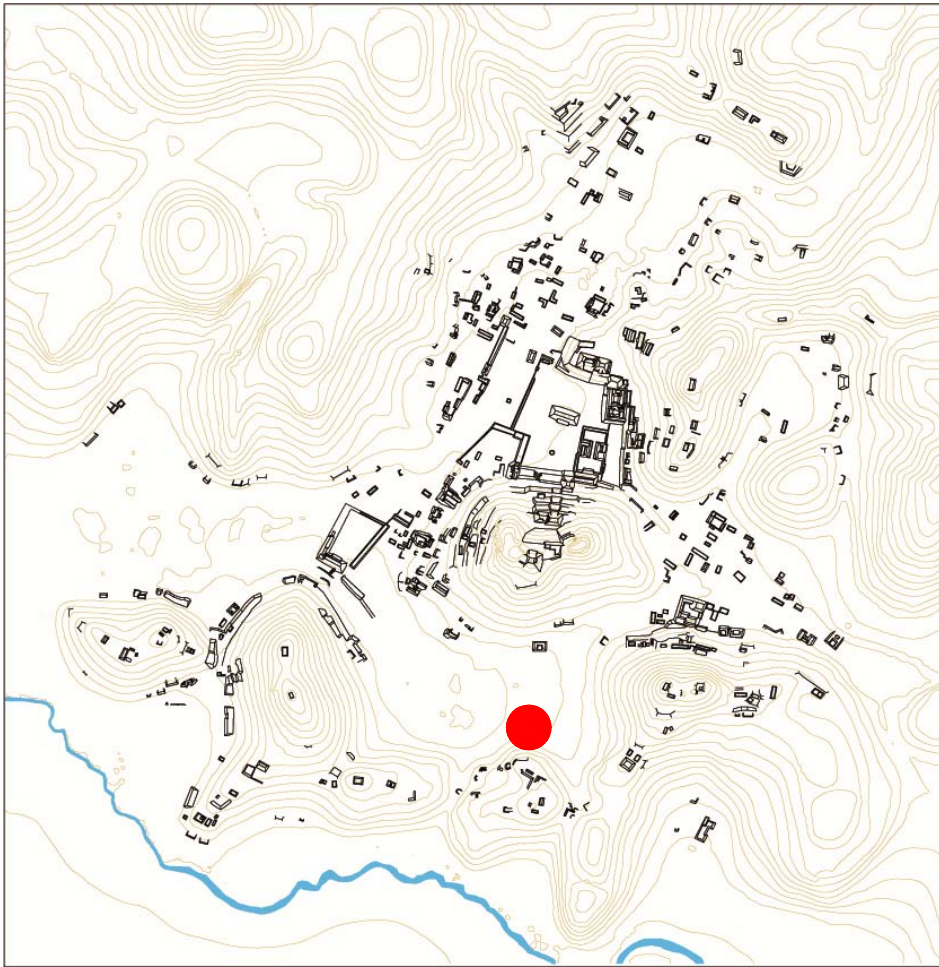
Estructuras de este Conjunto

Estructura	Área	Altura	Volumen	Tipo de estructura
K-1	238,95	Mts2 ,5	Mts 119,475	Mts3 plataforma rectangular
K-1a	66,43	Mts2 ,4	Mts 26,572	Mts3 plataforma rectangular
K-2	101,4	Mts2 ,6	Mts 60,84	Mts3 plataforma rectangular
K-3	81,83	Mts2 2	Mts 163,66	Mts3 plataforma rectangular

Observaciones

Se trata de tres estructuras que se contruyeron en el pie de monte y en la ladera del cerro (K-3), quizás por su cercanía con el área inundable. En la K-1 se observa el basamento parcialmente artificial y en la K-3 obras de contención y nivelación, aunque el estado de conservación y la maleza no dejan observar con detalle sus características.

Localización en el sitio



Mapa

Fotografía conjunto

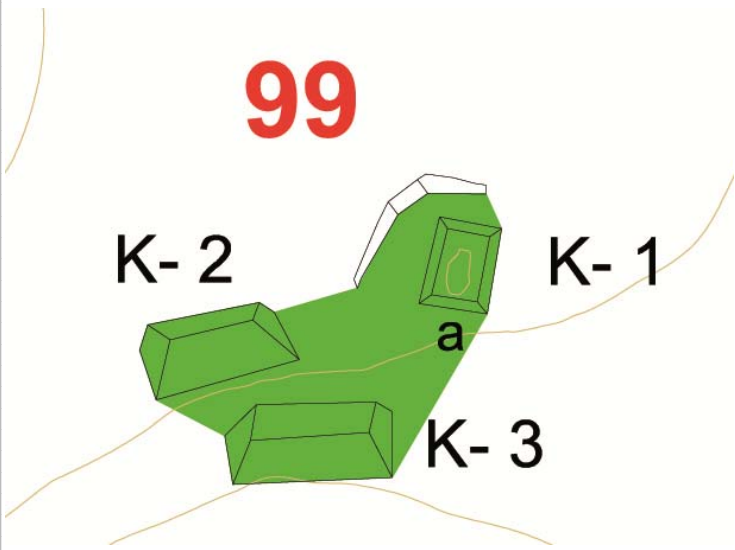
99

K-2

K-1

K-3

a



Cédula de Conjunto arquitectónico

Sitio Chinikihá

Conjunto CHK/L100

Tipo de Conjunto Patio

Emplazamiento Ladera de cerro

Preparación del terreno Nignuna

N estructuras 3

Área espacio compartido/
espacio disponible (m2) 131,2

Existe una estructura sobresaliente L-16 Nr. Estructura sobresaliente L-16

Porque sobresale Volumen constructivo

Distancia mínima de otro conjunto (m) 51,2

Excavado No

Operación(es)

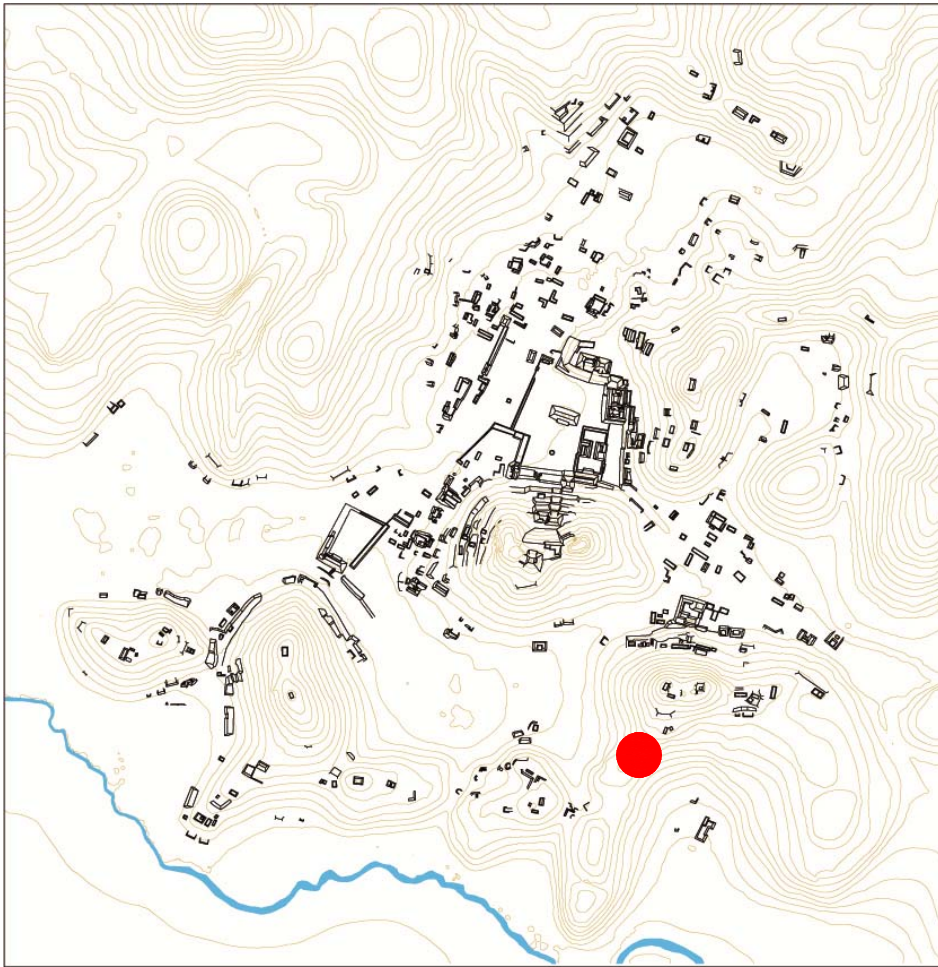
Estructuras de este Conjunto

Estructura	Área	Altura	Volumen	Tipo de estructura
L-14	55,51	Mts2 ,5	Mts 27,755	Mts3 plataforma rectangular
L-15	60,14	Mts2 ,7	Mts 42,098	Mts3 plataforma rectangular
L-16	253,44	Mts2 1,8	Mts 456,192	Mts3 plataforma rectangular

Observaciones

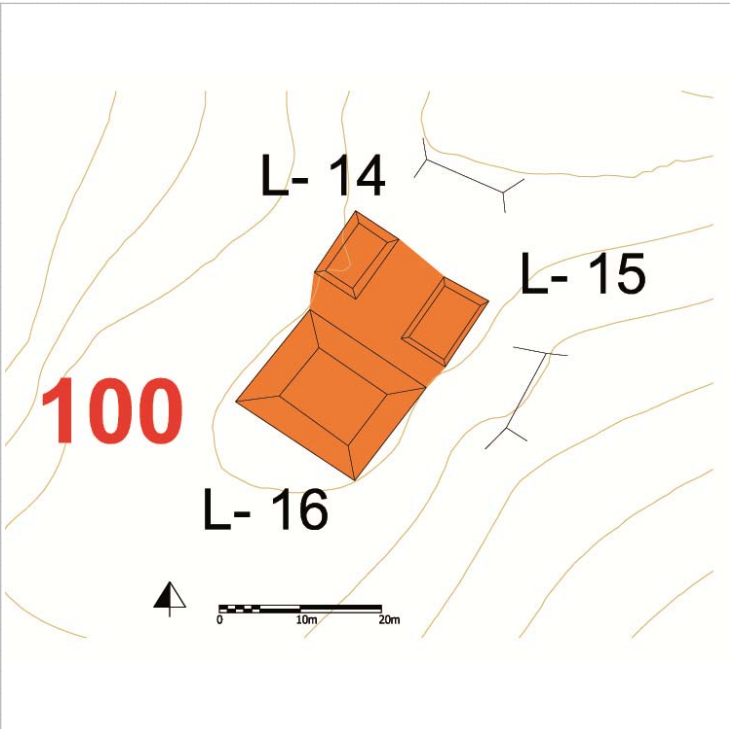
Este conjunto pertenece a una serie de conjuntos en el cima del cerro más alto de Chinikihá, en el sector Sureste del sitio. Su particularidad (y de los otros también) es de ocupar una terraza natural (o parcialmente) en el cerro, cuyo espacio resulta amplio y le confiere una vista y un control hacia el área del aguada, al oeste, el río al este y la bajada al río, siendo fácil atrás de la L-16 el recorrido hacia el conjunto CHK/K98 y la bajada al arroyo Chinikihá.

Localización en el sitio



Mapa

Fotografía conjunto



Cédula de Conjunto arquitectónico

Sitio

Conjunto

Tipo de Conjunto

Emplazamiento

Preparación del terreno

N estructuras

Área espacio compartido/
espacio disponible (m2)

Existe una estructura sobresaliente Nr. Estructura sobresaliente

Porque sobresale

Distancia mínima de otro conjunto (m)

Excavado

Operación(es)

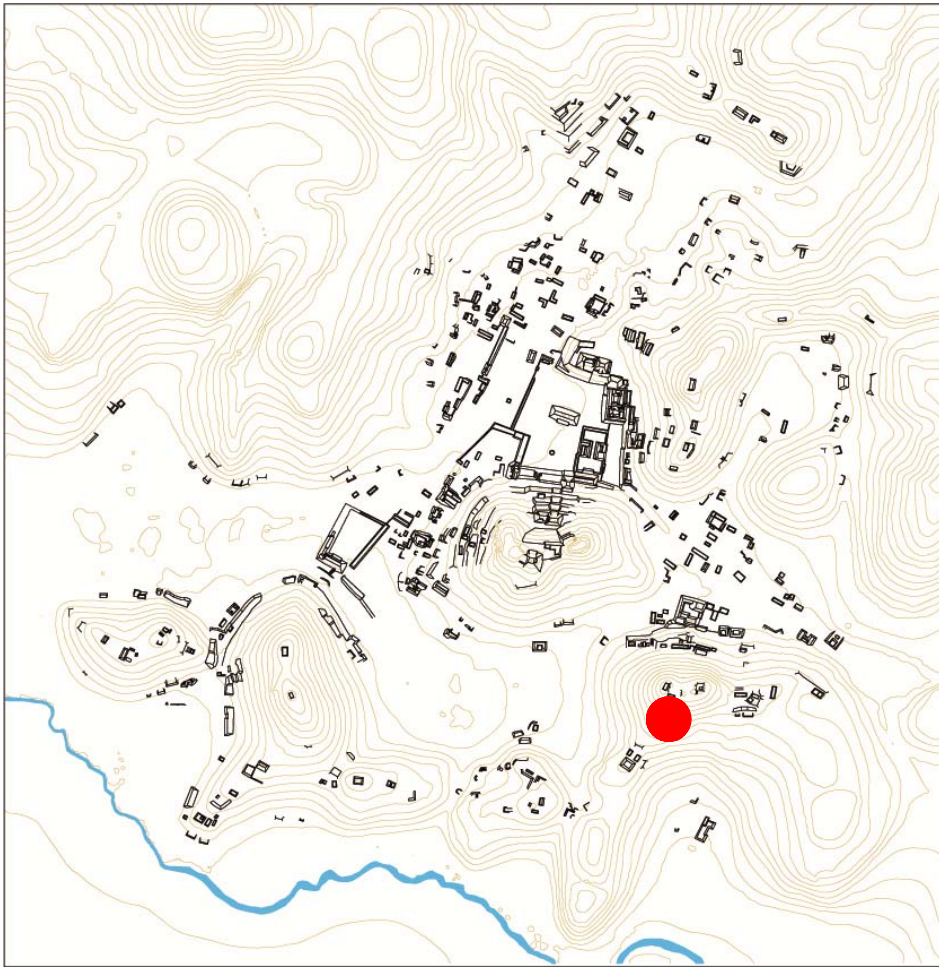
Estructuras de este Conjunto

Estructura	Área	Altura	Volumen	Tipo de estructura
L-12	38,4	Mts2 ,3	Mts 11,52	Mts3 plataforma rectangular
L-13	20,64	Mts2 ,3	Mts 6,192	Mts3 plataforma cuadrangular

Observaciones

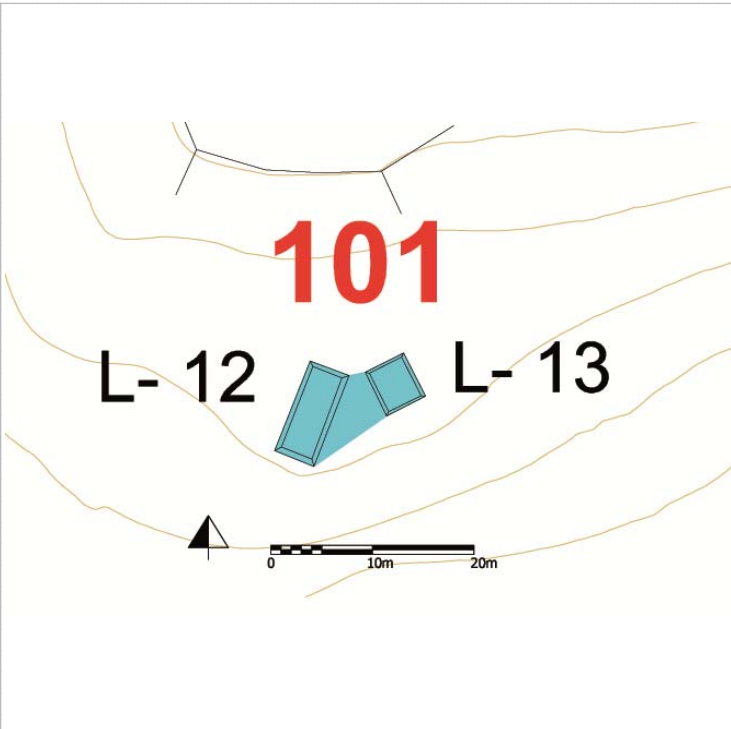
Estas dos estructuras ocupan el extremo sur de una terraza en la ladera sur del cerro más alto de Chinikihá; se encuentran directamente arriba de la pendiente de la ladera del cerro, por lo que se hacen evidentes obras de contención y nivelación en su frente sur.

Localización en el sitio



Mapa

Fotografía conjunto



Cédula de Conjunto arquitectónico

Sitio Chinikihá

Conjunto CHK/L102

Tipo de Conjunto Plataformas pareadas

Emplazamiento Cima de cerro

Preparación del terreno Contención
Nivelación

N estructuras 2

Área espacio compartido/
espacio disponible (m2)

Existe una estructura sobresaliente No Nr. Estructura sobresaliente No

Porque sobresale

Distancia mínima de otro conjunto (m) 30,51

Excavado No

Operación(es)

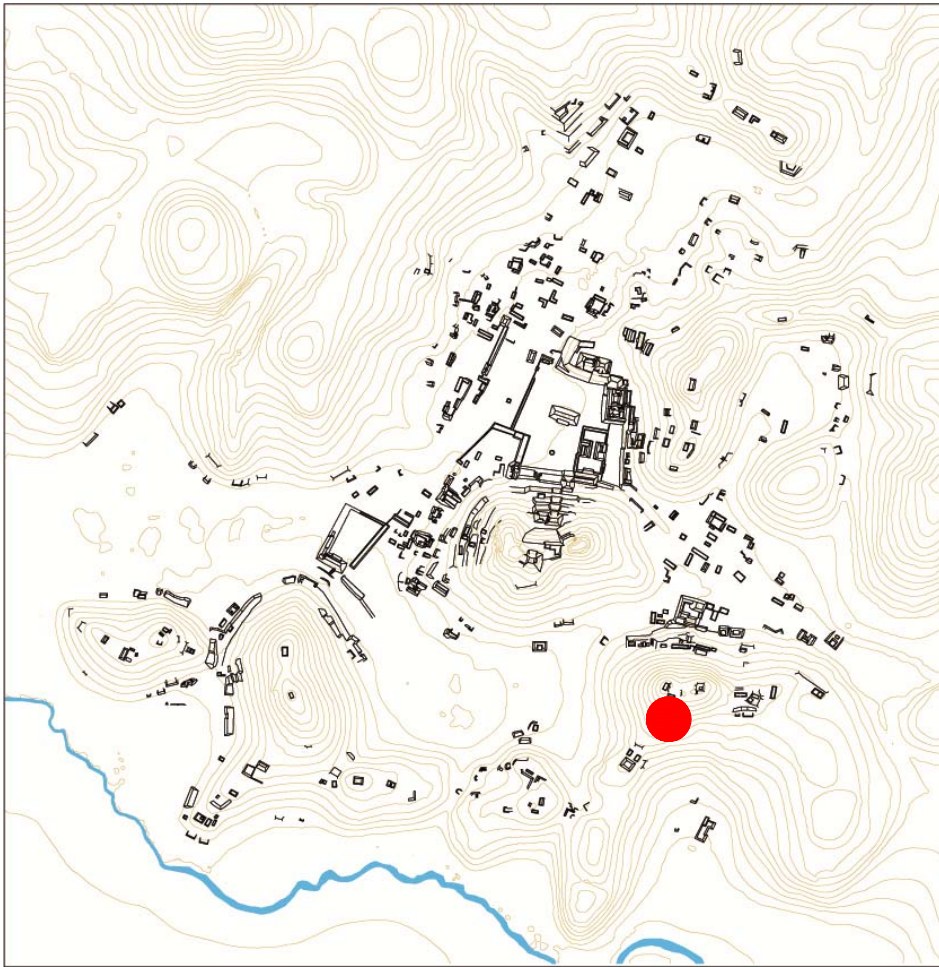
Estructuras de este Conjunto

Estructura	Área	Altura	Volumen	Tipo de estructura
L-10	49,05	Mts2 ,5	Mts 24,525	Mts3 plataforma rectangular
L-11	28,32	Mts2 ,3	Mts 8,496	Mts3 plataforma rectangular

Observaciones

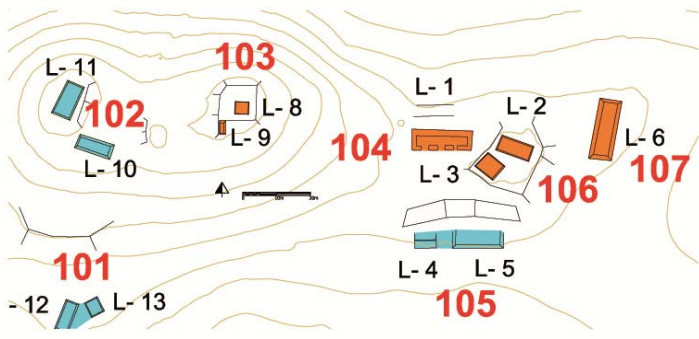
Estas dos plataformas se encuentran en dos niveles diferentes, ya que la L-11 ocupa una pequeña terraza en la posición más alta del cerro, en donde se aprecia la modelación artificial de una terraza. Debido a esta diferencia de nivel no podemos considerar que compongan un conjunto tipo patio, como es el caso de las otras dos plataformas en la cima del cerro (conjunto L104).

Localización en el sitio



Mapa

Fotografía conjunto



Cédula de Conjunto arquitectónico

Sitio

Conjunto

Tipo de Conjunto

Emplazamiento

Preparación del terreno

N estructuras

Área espacio compartido/
espacio disponible (m2)

Existe una estructura sobresaliente Nr. Estructura sobresaliente

Porque sobresale

Distancia mínima de otro conjunto (m)

Excavado

Operación(es)

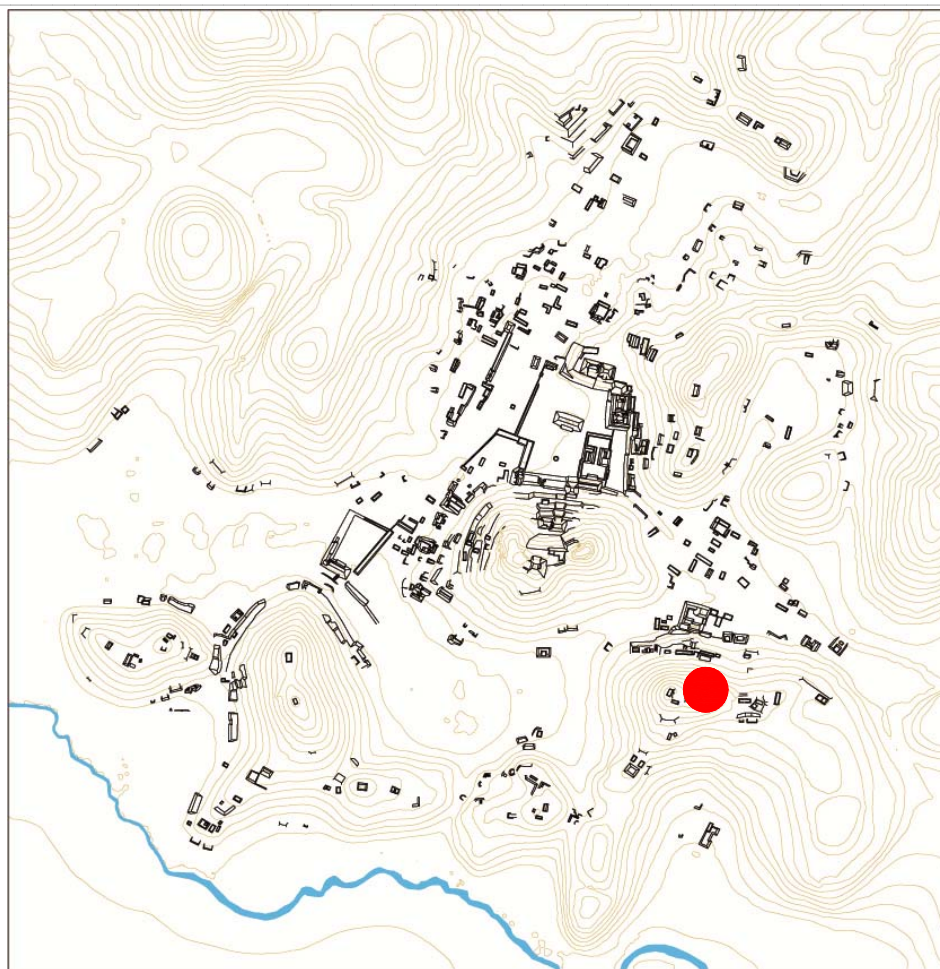
Estructuras de este Conjunto

Estructura	Área	Altura	Volumen	Tipo de estructura
L-8	14,8	Mts2 ,2	Mts 2,96	Mts3 plataforma cuadrangular
L-9	7,38	Mts2 ,3	Mts 2,214	Mts3 plataforma rectangular

Observaciones

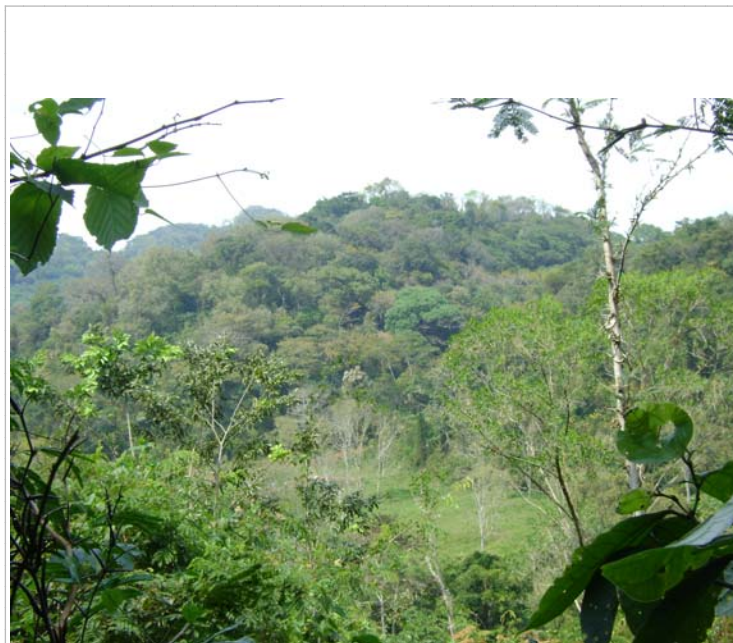
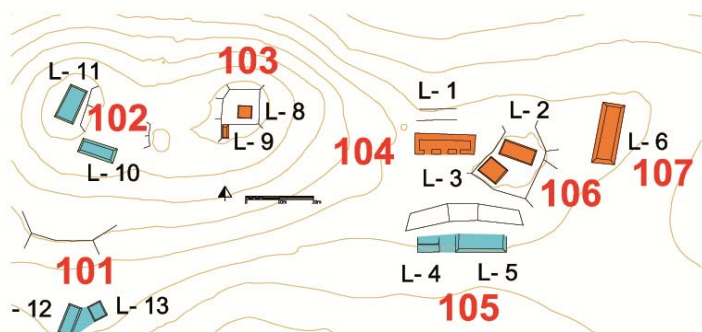
Este pequeño patio es constituido por dos plataformas bajas que comparten una misma terraza en la cima del cerro más alto de Chinikihá. Desde este lugar se puede apreciar, abajo, la planicie rodeada por elevaciones, en donde se encuentra el Grupo "C" (en la foto).

Localización en el sitio



Mapa

Fotografía conjunto



Cédula de Conjunto arquitectónico

Sitio

Conjunto

Tipo de Conjunto

Emplazamiento

Preparación del terreno

N estructuras

Área espacio compartido/
espacio disponible (m2)

Existe una estructura sobresaliente Nr. Estructura sobresaliente

Porque sobresale

Distancia mínima de otro conjunto (m)

Excavado

Operación(es)

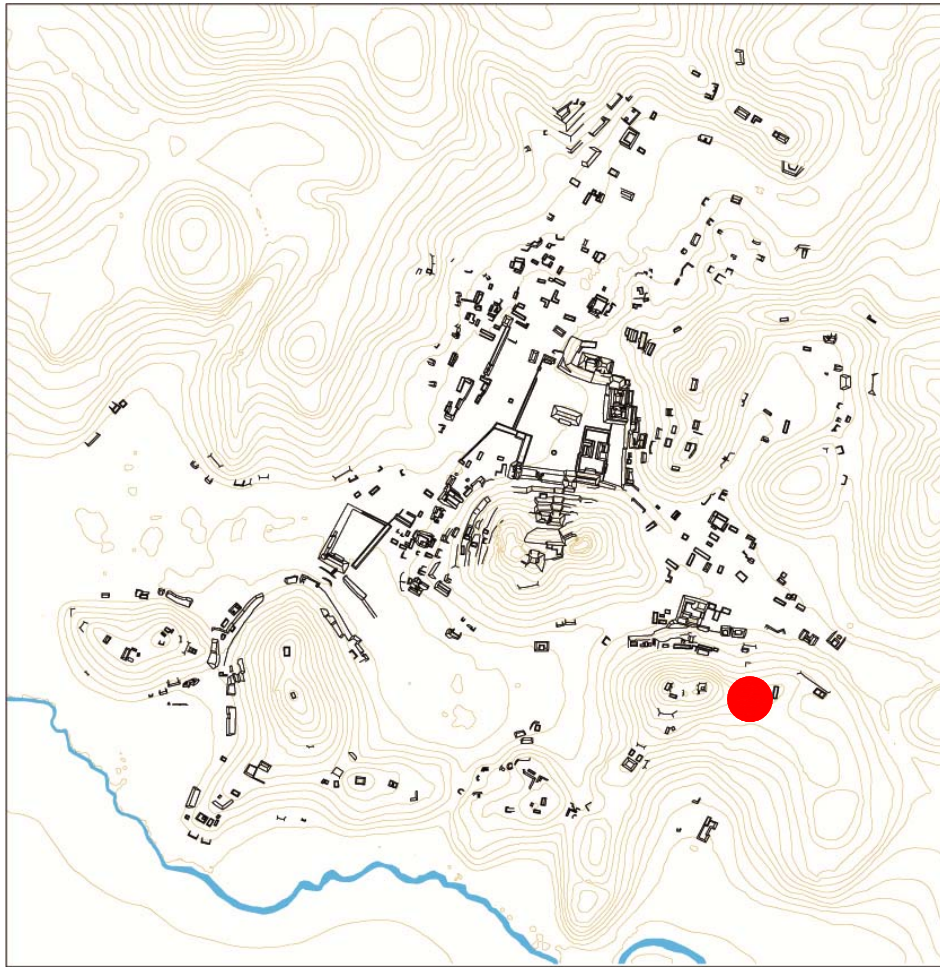
Estructuras de este Conjunto

Estructura	Área	Altura	Volumen	Tipo de estructura
L-1	110,98	Mts2 ,35	Mts 38,843	Mts3 plataforma rectangular

Observaciones

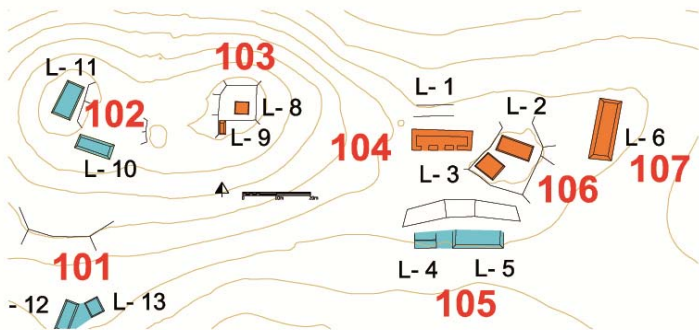
Esta estructura resulta particularmente interesante por su estado de conservación. Como otros conjuntos que ocupan este cerro, se encuentra en una de las terrazas a diferentes niveles que constituyen la cima, y en su lado Norte destacan dos niveles con obras de mampostería para construir terrazas de nivelación hasta llegar a la cumbre. Aquí se observa el muro de la fachada trasera, al norte, y la crujía que se desarrolla en sentido Este-Oeste a la cual se puede acceder por 3 vanos en su lado Sur. Siendo una sólo estructura que ocupa por completo una terraza se considera como conjunto tipo patio.

Localización en el sitio



Mapa

Fotografía conjunto



Cédula de Conjunto arquitectónico

Sitio

Conjunto

Tipo de Conjunto

Emplazamiento

Preparación del terreno

N estructuras

Área espacio compartido/
espacio disponible (m2)

Existe una estructura sobresaliente Nr. Estructura sobresaliente

Porque sobresale

Distancia mínima de otro conjunto (m)

Excavado

Operación(es)

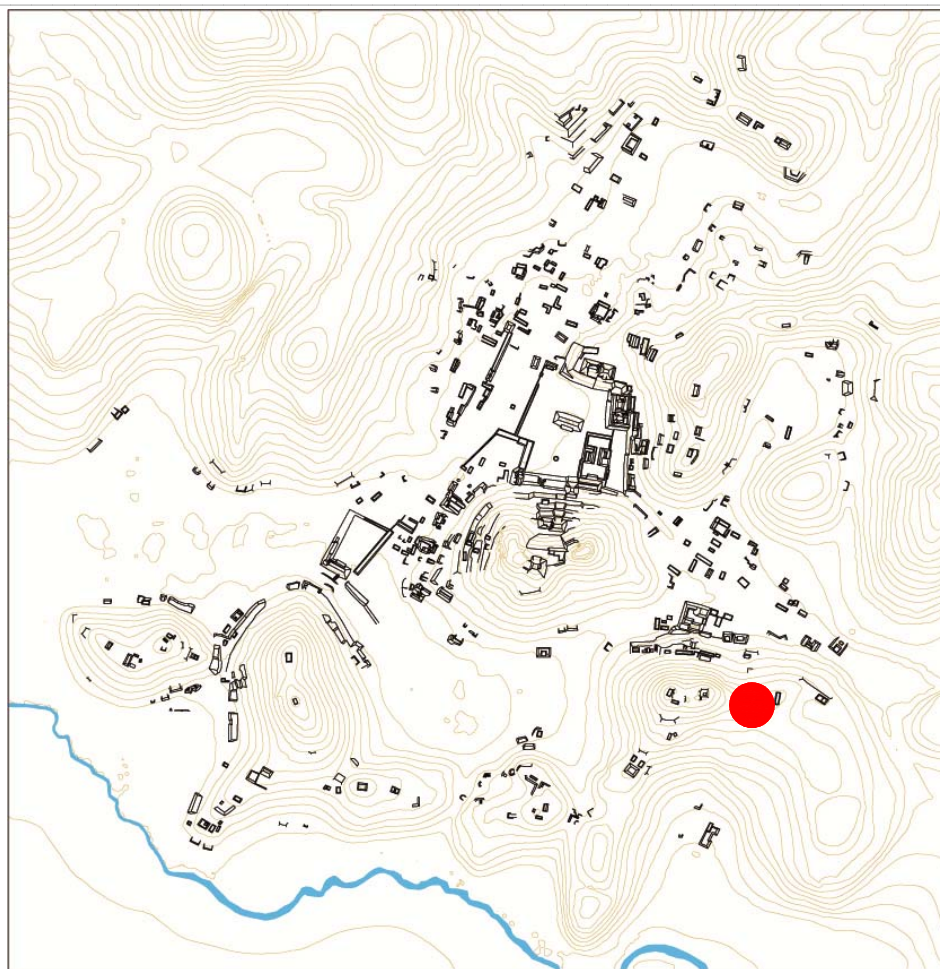
Estructuras de este Conjunto

Estructura	Área	Altura	Volumen	Tipo de estructura
L-4	26,88	Mts2 ,2	Mts 5,376	Mts3 plataforma rectangular
L-5	73,5	Mts2 ,5	Mts 36,75	Mts3 plataforma rectangular

Observaciones

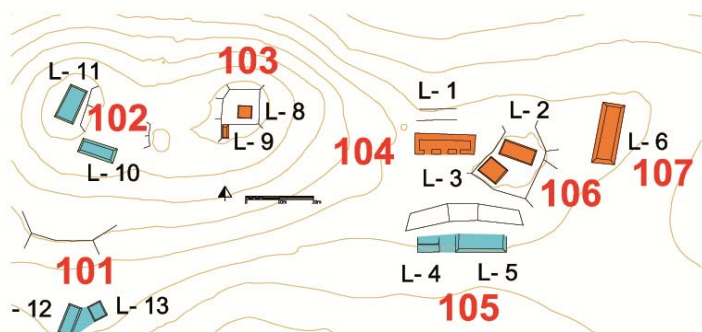
En la misma cumbre del cerro más alto de Chinikihá, pero en diferentes terrazas, estas estructuras constituyen uno de los conjuntos que aquí se encuentran. No obstante la vegetación es todavía posible apreciar algunos de los sillares que constituyen el frente Sur de las plataformas, que miran hacia el arroyo Chinikihá.

Localización en el sitio



Mapa

Fotografía conjunto



Cédula de Conjunto arquitectónico

Sitio

Conjunto

Tipo de Conjunto

Emplazamiento

Preparación del terreno

N estructuras

Área espacio compartido/
espacio disponible (m2)

Existe una estructura sobresaliente Nr. Estructura sobresaliente

Porque sobresale

Distancia mínima de otro conjunto (m)

Excavado

Operación(es)

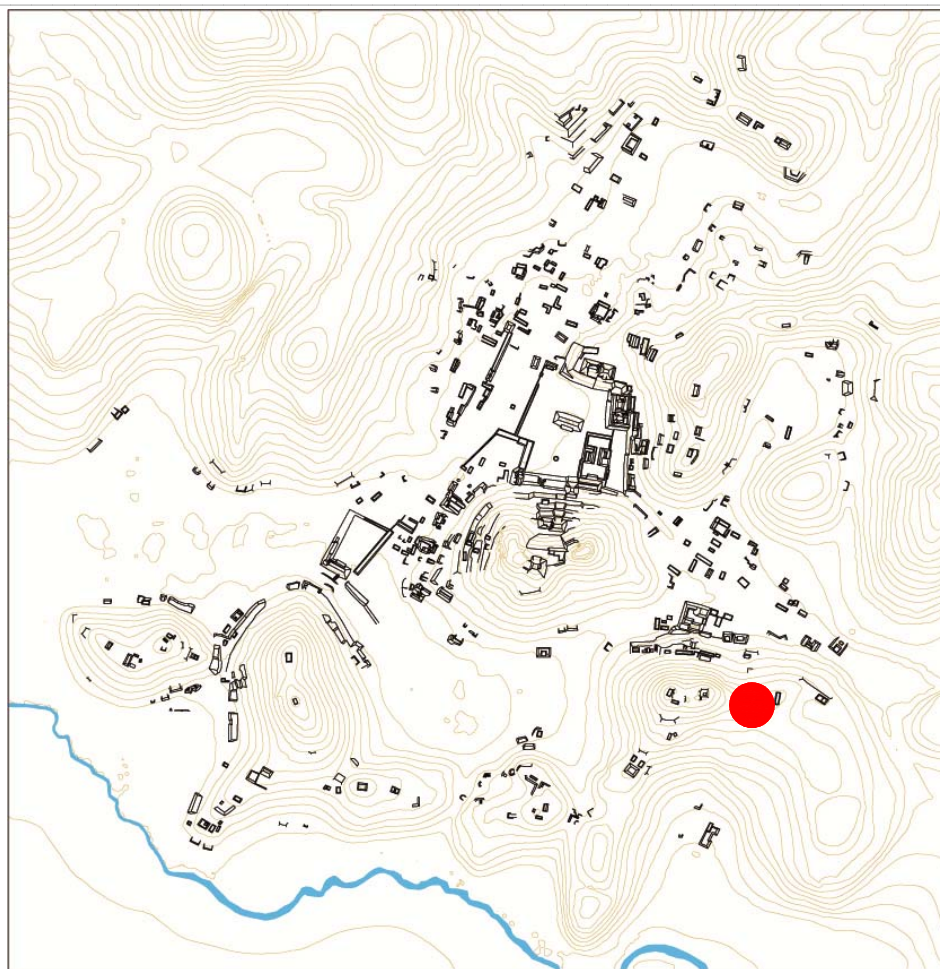
Estructuras de este Conjunto

Estructura	Área	Altura	Volumen	Tipo de estructura
L-2	49,44	Mts2 ,2	Mts 9,888	Mts3 plataforma rectangular
L-3	35,2	Mts2 ,4	Mts 14,08	Mts3 plataforma cuadrangular

Observaciones

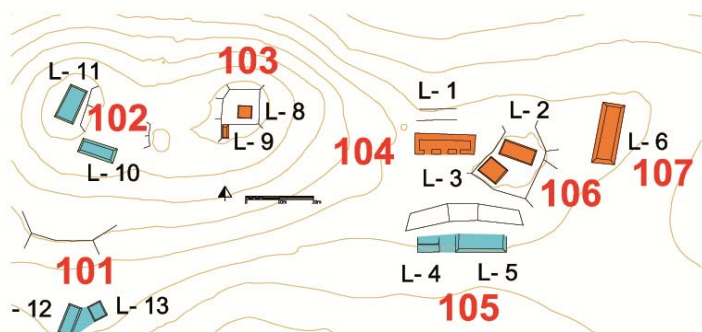
Estas dos plataformas ocupan una pequeña elevación cuyas laderas son en parte naturales (en la foto).

Localización en el sitio



Mapa

Fotografía conjunto



Cédula de Conjunto arquitectónico

Sitio

Conjunto

Tipo de Conjunto

Emplazamiento

Preparación del terreno

N estructuras

Área espacio compartido/
espacio disponible (m2)

Existe una estructura sobresaliente Nr. Estructura sobresaliente

Porque sobresale

Distancia mínima de otro conjunto (m)

Excavado

Operación(es)

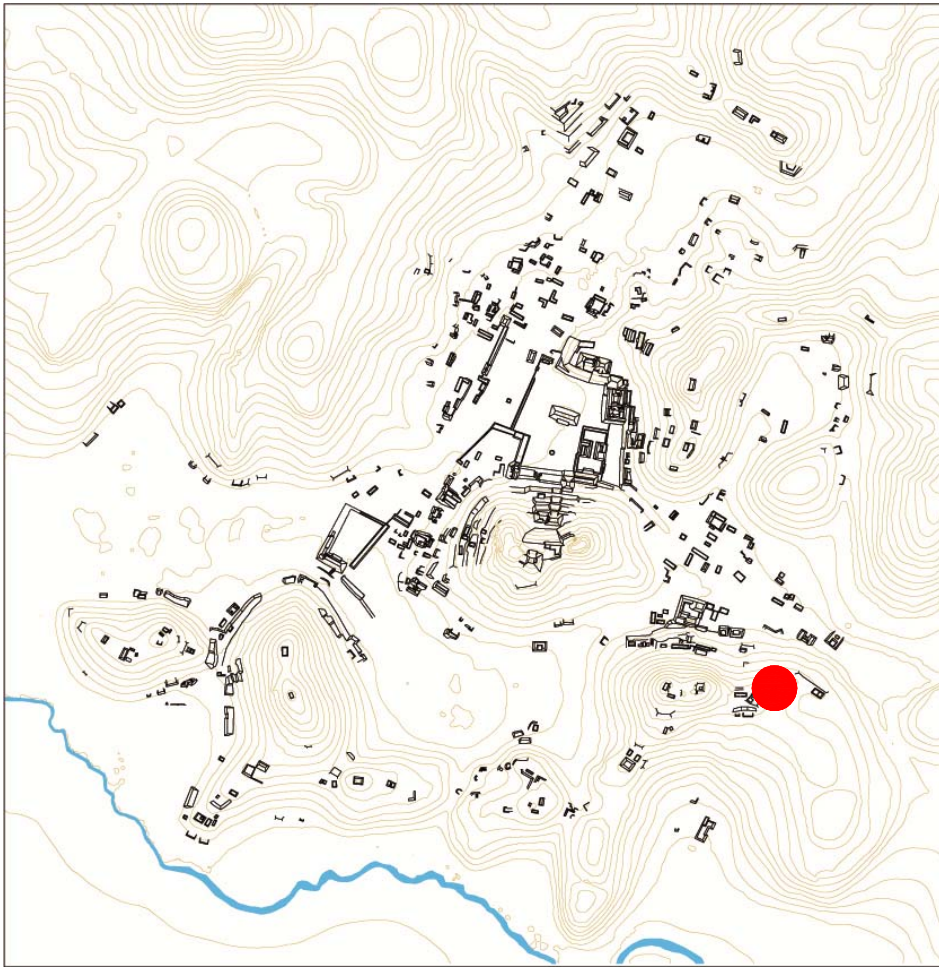
Estructuras de este Conjunto

Estructura	Área	Altura	Volumen	Tipo de estructura
L-6	116,35	Mts2 ,5	Mts 58,175	Mts3 plataforma rectangular

Observaciones

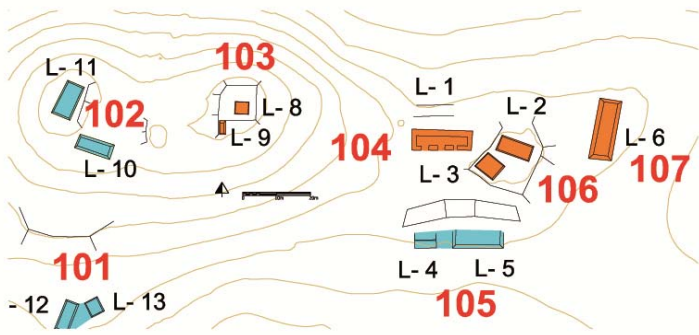
Se trata de una estructura que ocupa una terraza adyacente al conjunto L106; por encontrarse en un espacio bien definido por la topografía se considera constituya un conjunto tipo patio.

Localización en el sitio



Mapa

Fotografía conjunto



Cédula de Conjunto arquitectónico

Sitio Chinikihá

Conjunto CHK/L108

Tipo de Conjunto Basal

Emplazamiento Cima de cerro

Preparación del terreno Contención
Nivelación

N estructuras 1

Área espacio compartido/
espacio disponible (m2)

Existe una estructura sobresaliente No Nr. Estructura sobresaliente No

Porque sobresale

Distancia mínima de otro conjunto (m) 51,07

Excavado No

Operación(es)

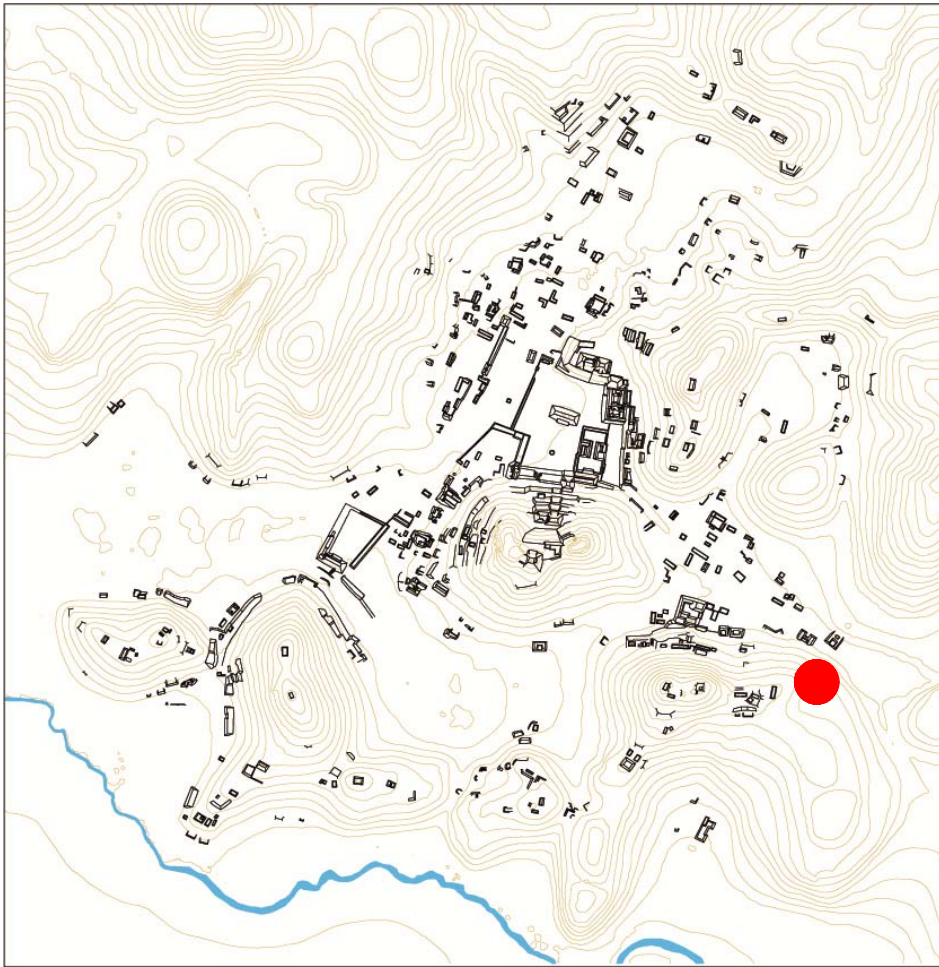
Estructuras de este Conjunto

Estructura	Área	Altura	Volumen	Tipo de estructura
L-7	158,1	Mts2 ,6	Mts 94,86	Mts3 plataforma rectangular

Observaciones

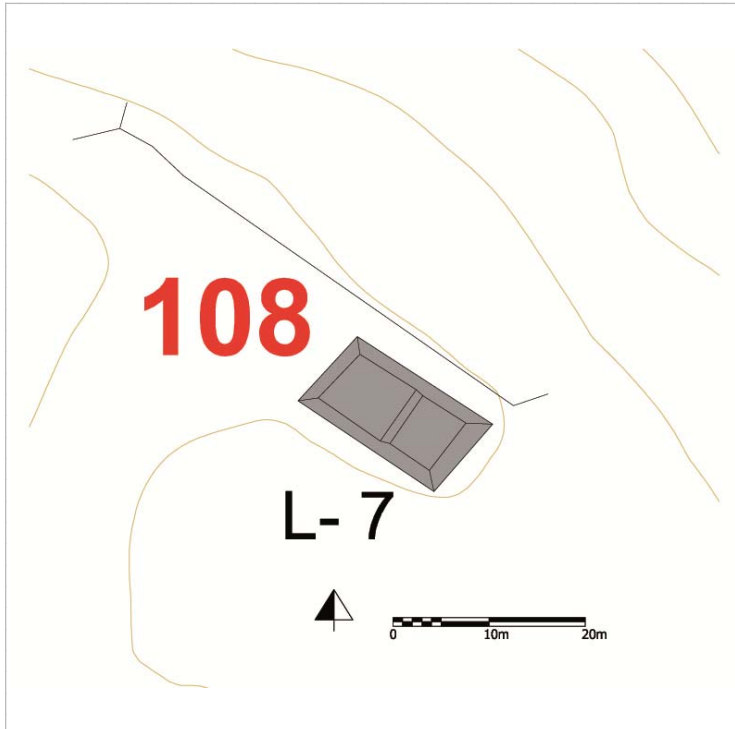
Se trata de una basamento que se desarrolla en sentido Noroeste-sureste arriba del cual se encuentra una pequeña estructura. Sobresalen las obras de contención y nivelación que se aprecian a lo largo de toda la terraza que ocupa.

Localización en el sitio



Mapa

Fotografía conjunto



Cédula de Conjunto arquitectónico

Sitio Chinikihá

Conjunto CHK/C109

Tipo de Conjunto En C sobre basal

Emplazamiento Planicie

Preparación del terreno Basamento artificial

N estructuras 1

Área espacio compartido/
espacio disponible (m2) 48,5

Existe una estructura sobresaliente No Nr. Estructura sobresaliente No

Porque sobresale

Distancia mínima de otro conjunto (m) 12,35

Excavado Si Operación(es) 172

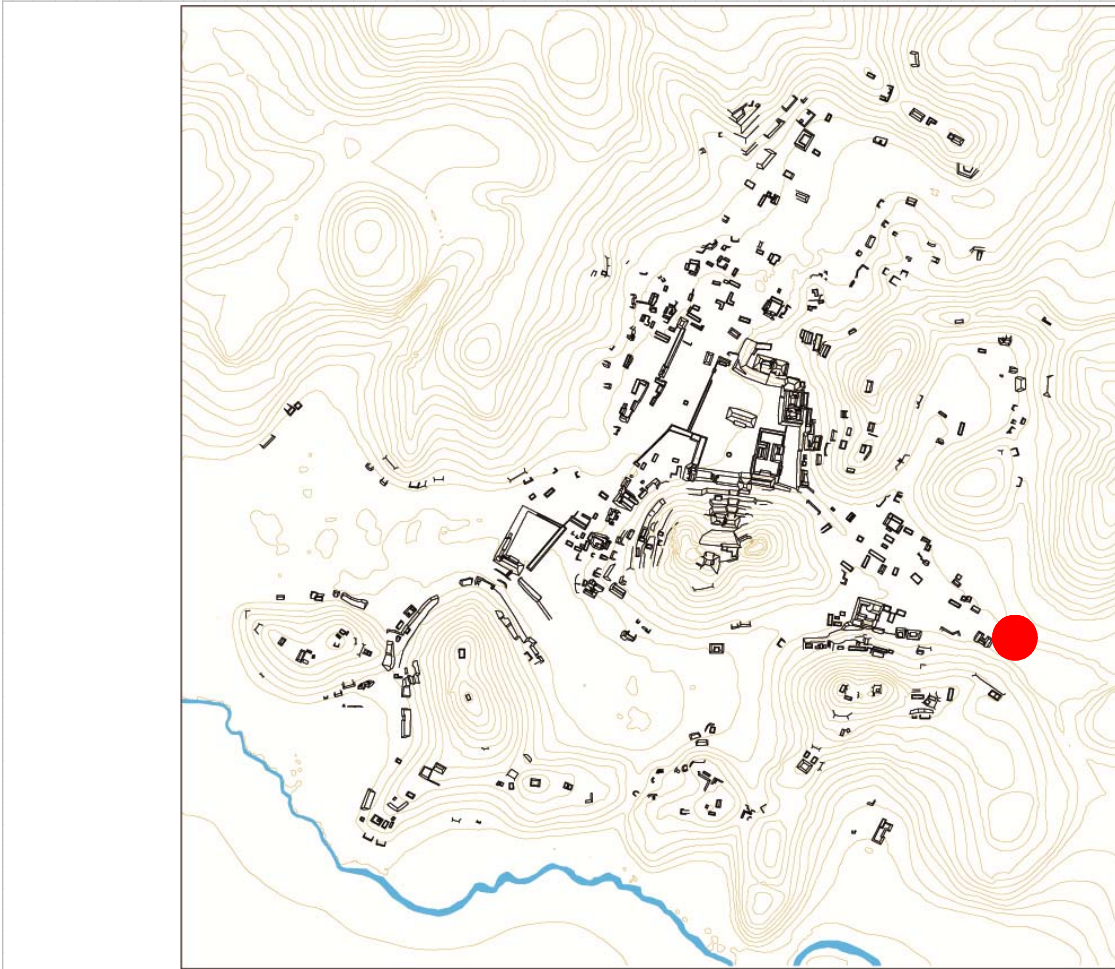
Estructuras de este Conjunto

Estructura	Área	Altura	Volumen	Tipo de estructura
C-27	376,2	Mts2 1,3	Mts 489,06	Mts3 plataforma basal en forma de C
C-27a	23,94	Mts2 ,3	Mts 7,182	Mts3 plataforma rectangular

Observaciones

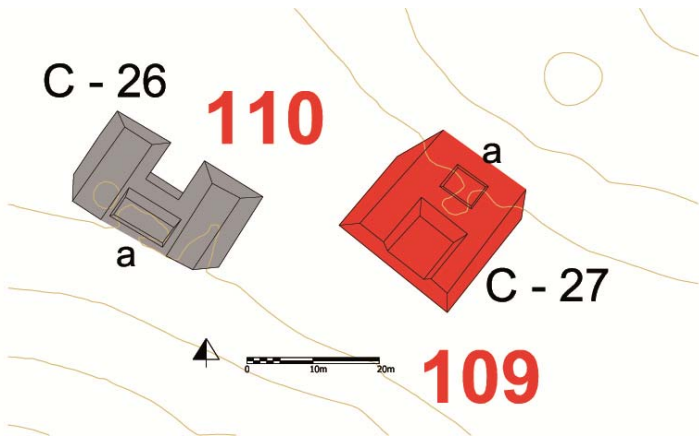
Se trata de una estructura en forma de C arriba de una plataforma basal artificial, que se apoya al cerro en su frente este. Al pie de este conjunto se encontró una laja careada de grandes dimensiones que podría ser una estela sin labrar o un dintel. Este conjunto se encuentra en una posición estratégica, ya que controla una de las salidas (o accesos) de Chinikihám hacia el río y las cuevas.

Localización en el sitio



Mapa

Fotografía conjunto



Cédula de Conjunto arquitectónico

Sitio

Conjunto

Tipo de Conjunto

Emplazamiento

Preparación del terreno

N estructuras

Área espacio compartido/
espacio disponible (m2)

Existe una estructura sobresaliente Nr. Estructura sobresaliente

Porque sobresale

Distancia mínima de otro conjunto (m)

Excavado

Operación(es)

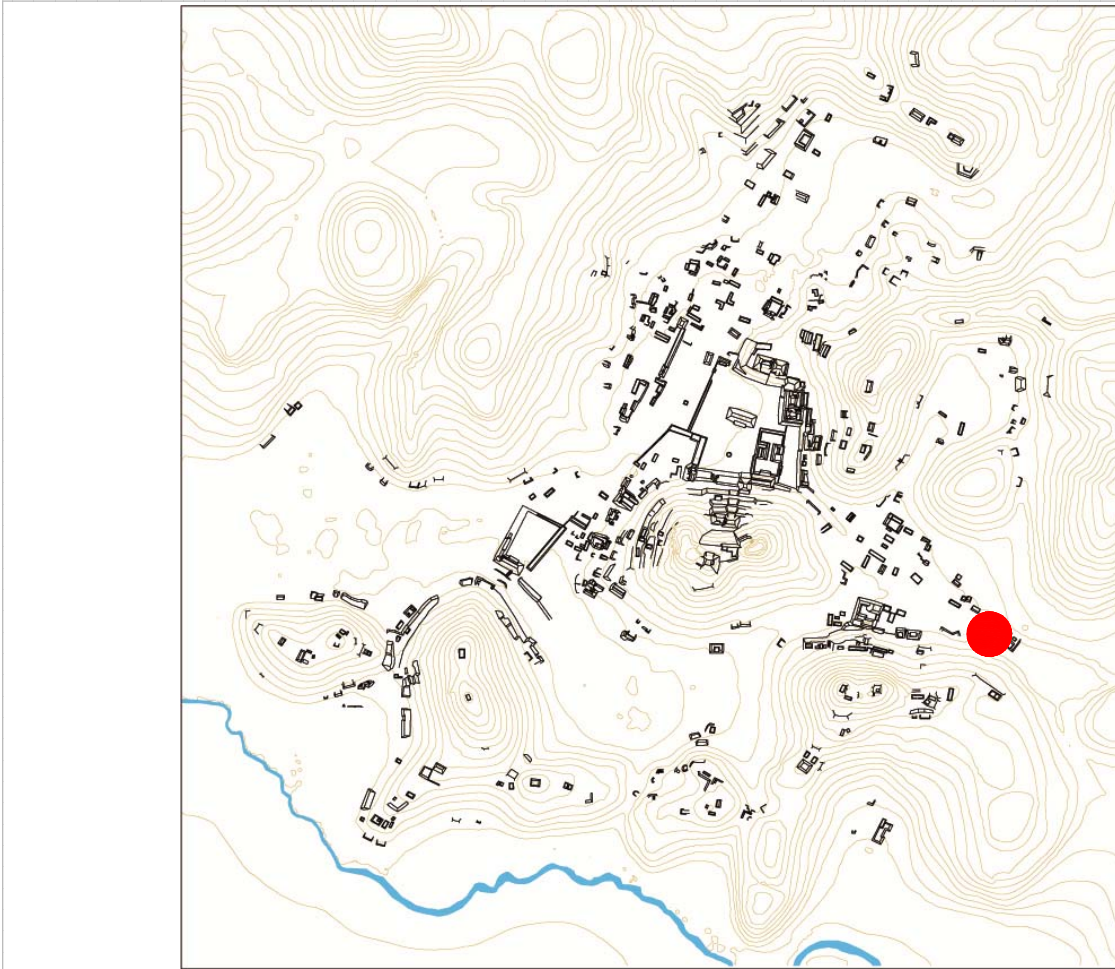
Estructuras de este Conjunto

Estructura	Área	Altura	Volumen	Tipo de estructura
C-26	318,75	Mts2 1,8	Mts 573,75	Mts3 plataforma basal en forma de C
C-26a	46,5	Mts2 ,6	Mts 27,9	Mts3 plataforma rectangular

Observaciones

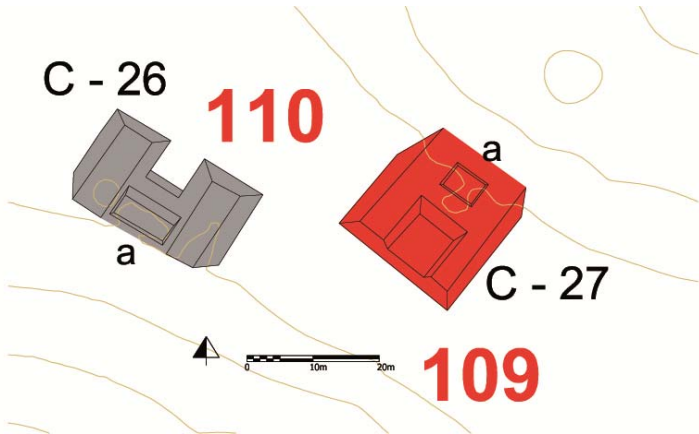
Se trata de una grande platafprma basale en forma de C, arriba de la cual, en cada brazo de la C, se encuentra una pequeña plataforma; se encuentra casi en frente al conjunto C109, es decir en el punto de salida hacia las cuevas.

Localización en el sitio



Mapa

Fotografía conjunto



Cédula de Conjunto arquitectónico

Sitio

Conjunto

Tipo de Conjunto

Emplazamiento

Preparación del terreno

N estructuras

Área espacio compartido/
espacio disponible (m2)

Existe una estructura sobresaliente Nr. Estructura sobresaliente

Porque sobresale

Distancia mínima de otro conjunto (m)

Excavado

Operación(es)

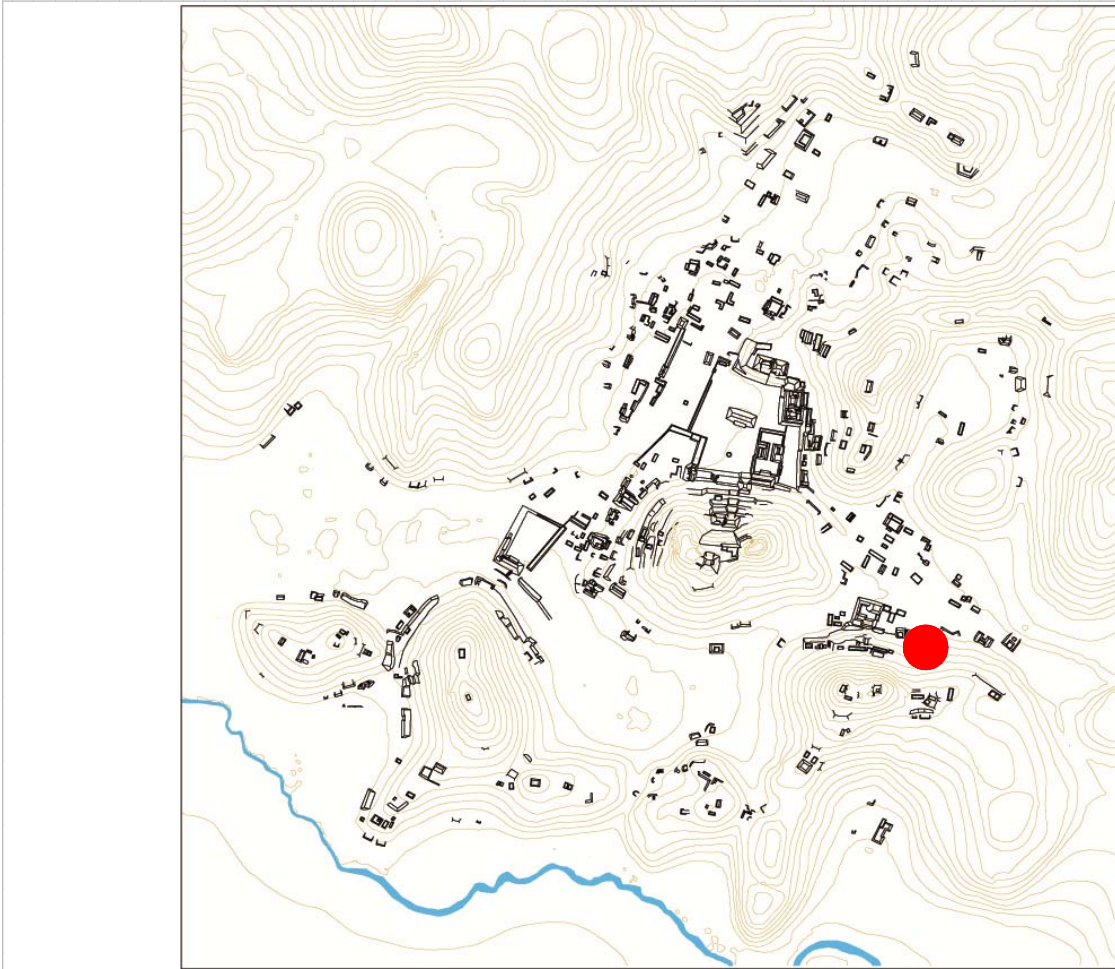
Estructuras de este Conjunto

Estructura	Área	Altura	Volumen	Tipo de estructura
I-33	38,22	Mts2 ,8	Mts 30,576	Mts3 plataforma rectangular

Observaciones

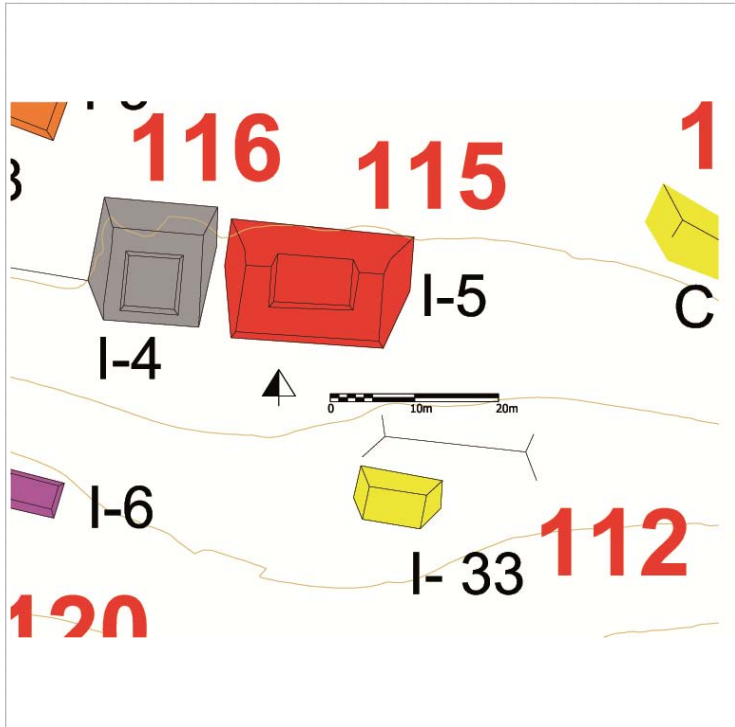
Se trata de una plataforma en muy mal estado de conservación que se encuentra en una pequeña terraza en donde se aprecian obras de contención y nivelación.

Localización en el sitio



Mapa

Fotografía conjunto



Cédula de Conjunto arquitectónico

Sitio

Conjunto

Tipo de Conjunto

Emplazamiento

Preparación del terreno

N estructuras

Área espacio compartido/
espacio disponible (m2)

Existe una estructura sobresaliente

Nr. Estructura sobresaliente

Porque sobresale

Distancia mínima de otro conjunto (m)

Excavado

Operación(es)

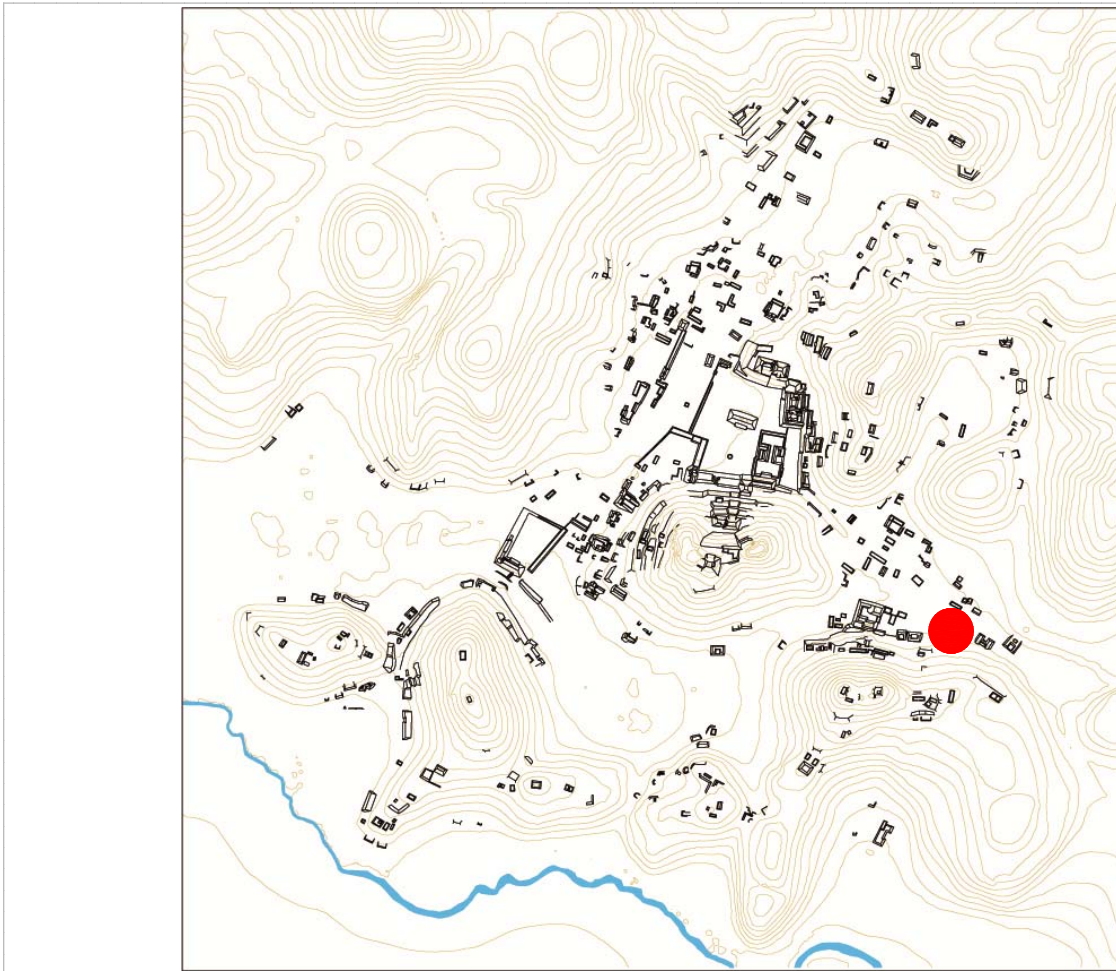
Estructuras de este Conjunto

Estructura	Área	Altura	Volumen	Tipo de estructura
C-25	232,8	Mts2 ,7	Mts 162,96	Mts3 plataforma rectangular

Observaciones

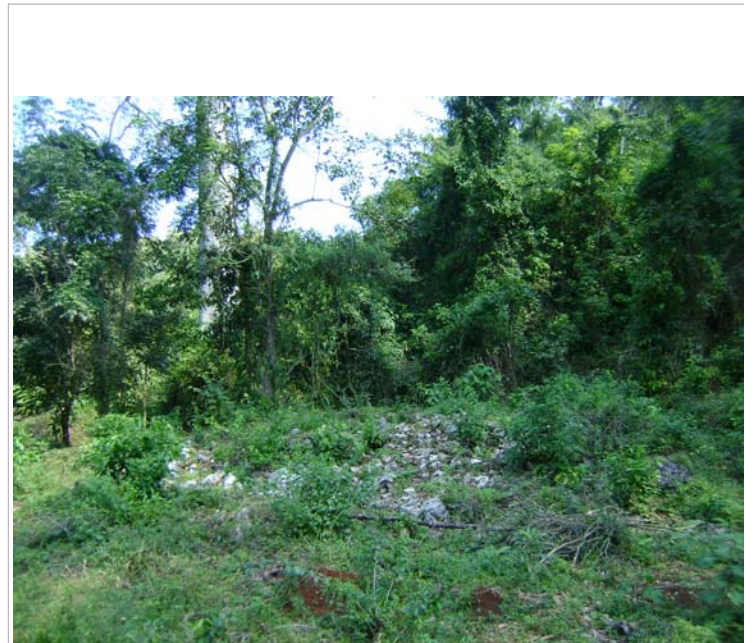
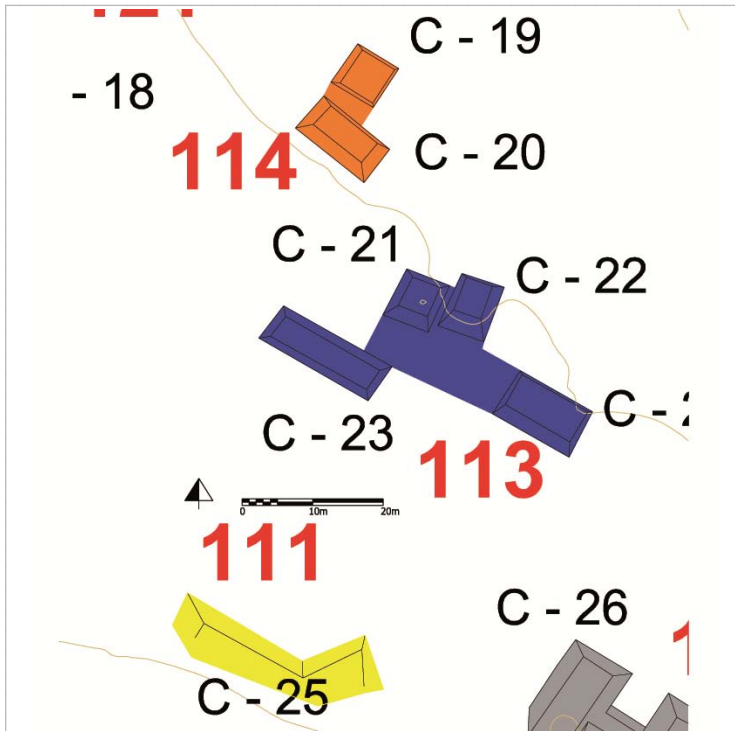
Se trata de una plataforma alargada en mal estado de conservación que se apoya a la ladera del cerro en su frente sur.

Localización en el sitio



Mapa

Fotografía conjunto



Cédula de Conjunto arquitectónico

Sitio Chinikihá

Conjunto CHK/C113

Tipo de Conjunto Compuesto

Emplazamiento Planicie

Preparación del terreno Nignuna

N estructuras 4

Área espacio compartido/
espacio disponible (m2) 155,3

Existe una estructura sobresaliente C-23 Nr. Estructura sobresaliente C-23

Porque sobresale Volumen constructivo

Distancia mínima de otro conjunto (m) 13,65

Excavado No

Operación(es)

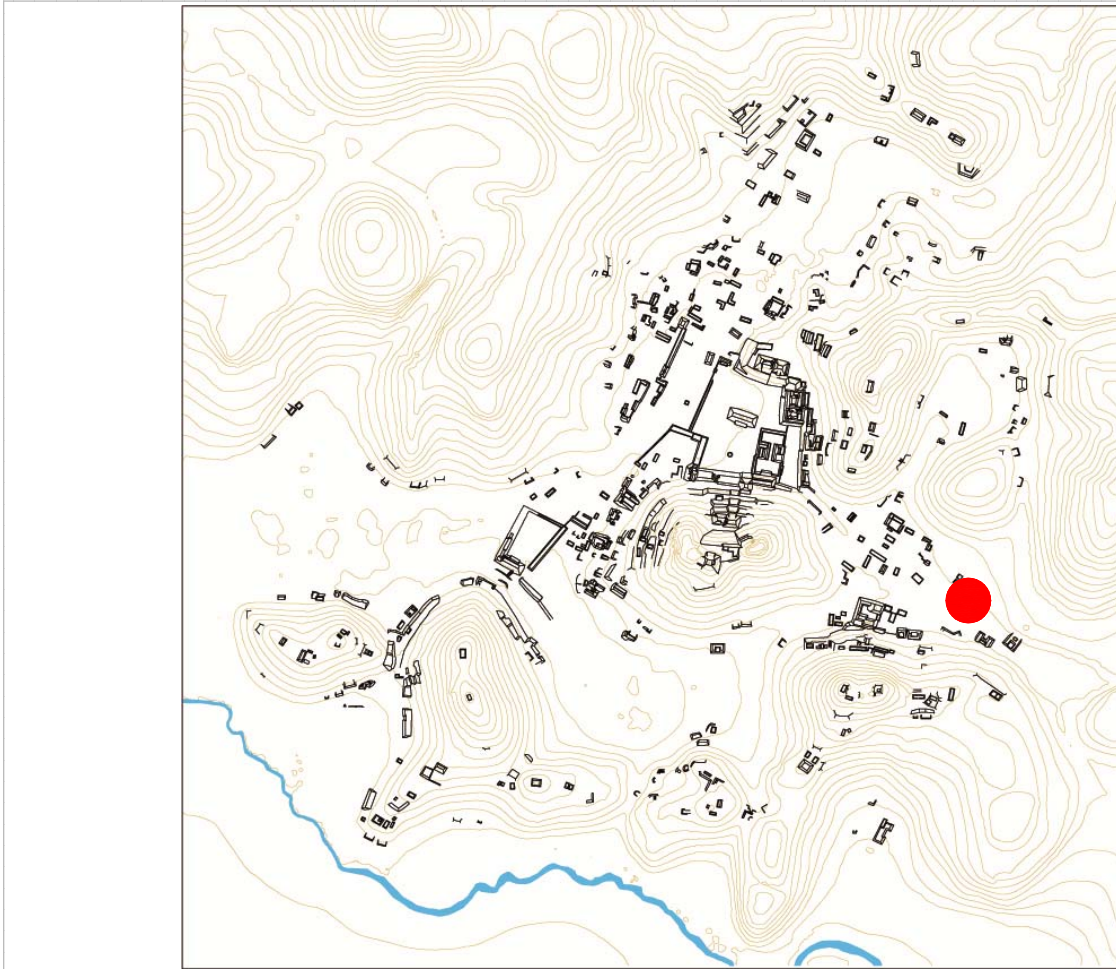
Estructuras de este Conjunto

Estructura	Área	Altura	Volumen	Tipo de estructura
C-21	49,64	Mts2 1	Mts 49,64	Mts3 plataforma cuadrangular
C-22	51,66	Mts2 1,2	Mts 61,992	Mts3 plataforma rectangular
C-23	102,08	Mts2 ,5	Mts 51,04	Mts3 plataforma rectangular
C-24	89,28	Mts2 1	Mts 89,28	Mts3 plataforma rectangular

Observaciones

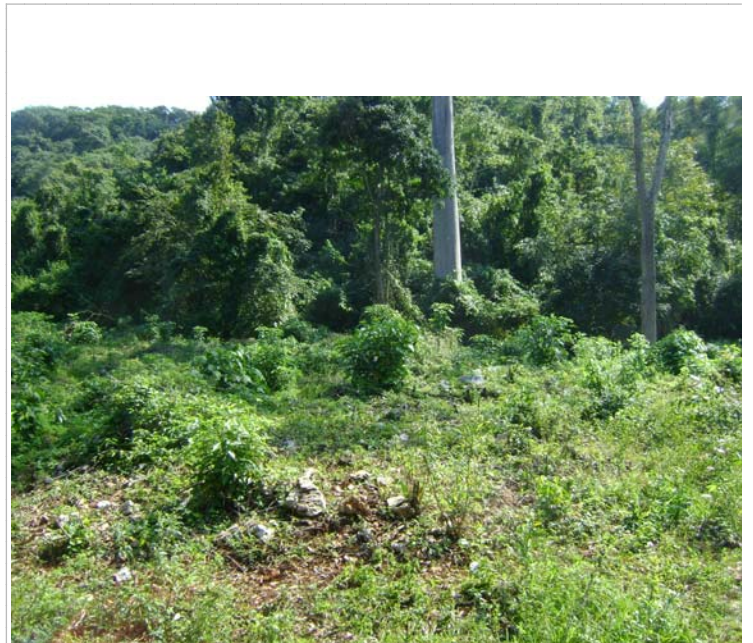
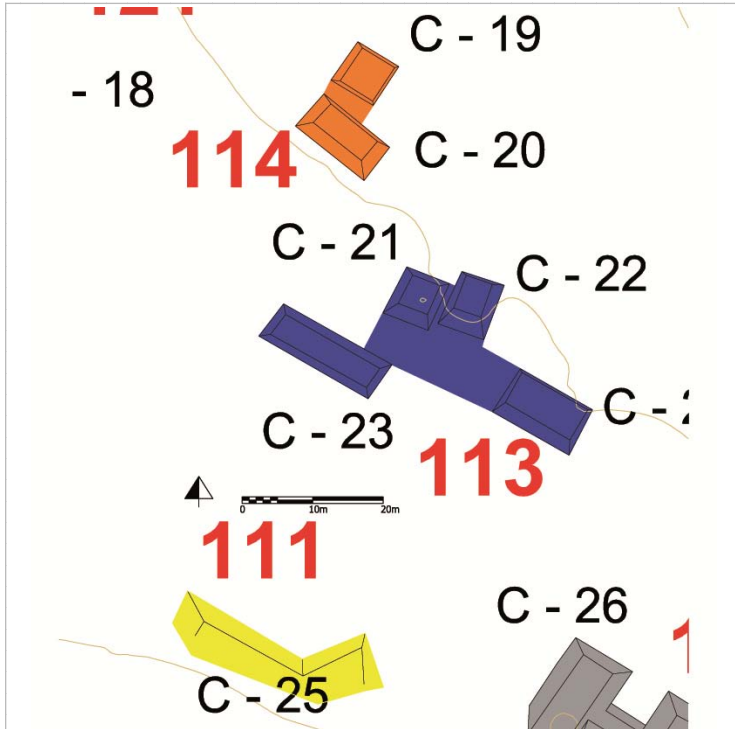
Se trata de una conjunto compuesto por estructuras de diferente tamaño y volumen constructivo, aunque la vegetación no permite apreciar bien sus características.

Localización en el sitio



Mapa

Fotografía conjunto



Cédula de Conjunto arquitectónico

Sitio Chinikihá

Conjunto CHK/C114

Tipo de Conjunto Patio

Emplazamiento Planicie

Preparación del terreno Nignuna

N estructuras 2

Área espacio compartido/
espacio disponible (m2) 56,9

Existe una estructura sobresaliente C-20 Nr. Estructura sobresaliente C-20

Porque sobresale Volumen constructivo

Distancia mínima de otro conjunto (m) 13,65

Excavado No

Operación(es)

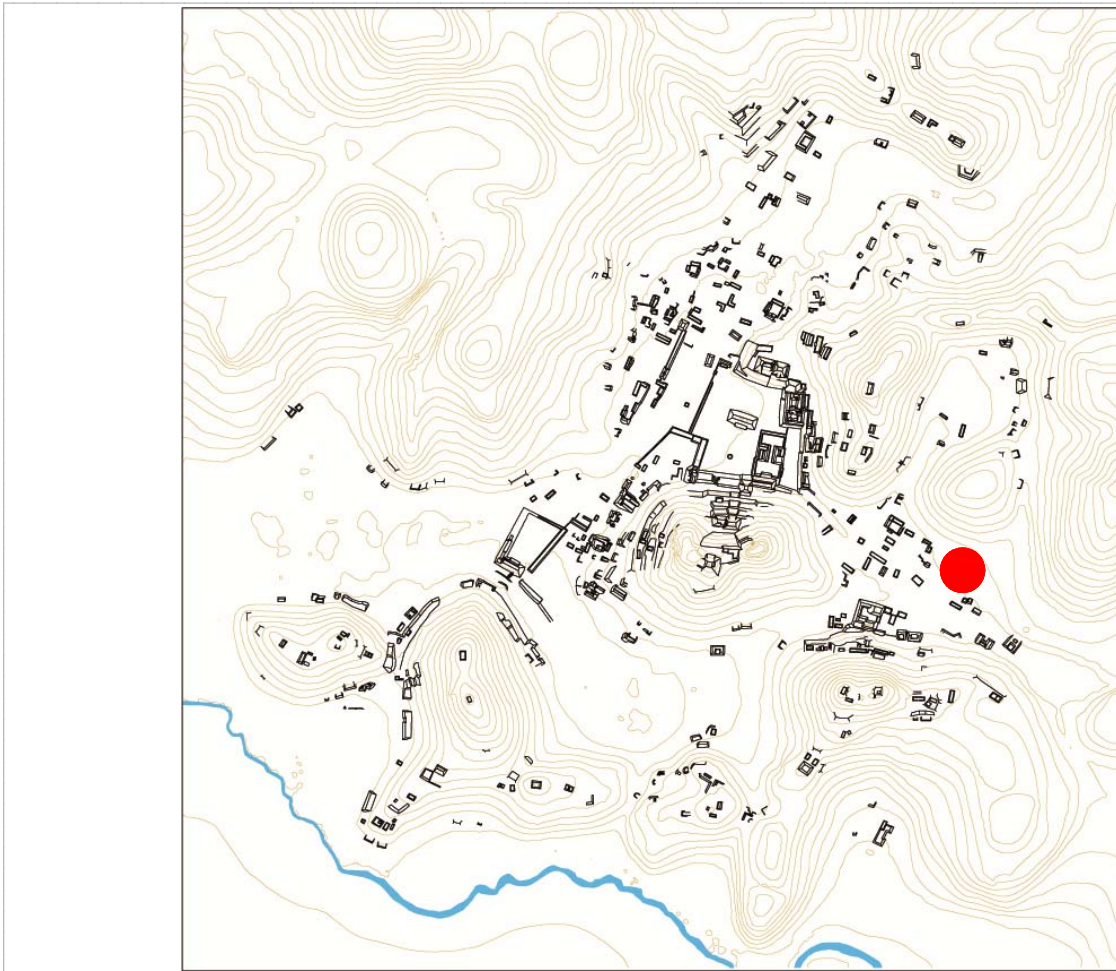
Estructuras de este Conjunto

Estructura	Área	Altura	Volumen	Tipo de estructura
C-19	45,5	Mts2 ,4	Mts 18,2	Mts3 plataforma cuadrangular
C-20	70,21	Mts2 ,9	Mts 63,189	Mts3 plataforma rectangular

Observaciones

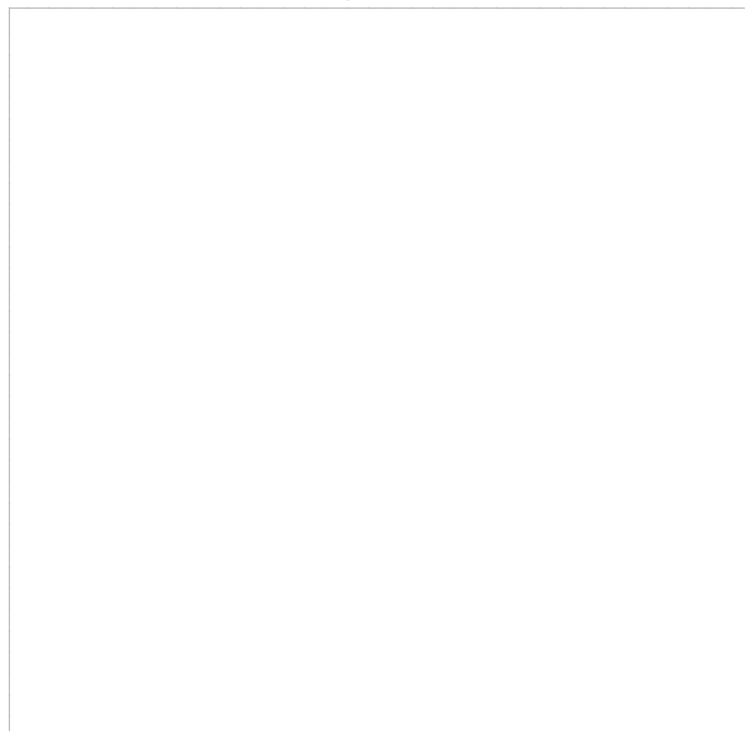
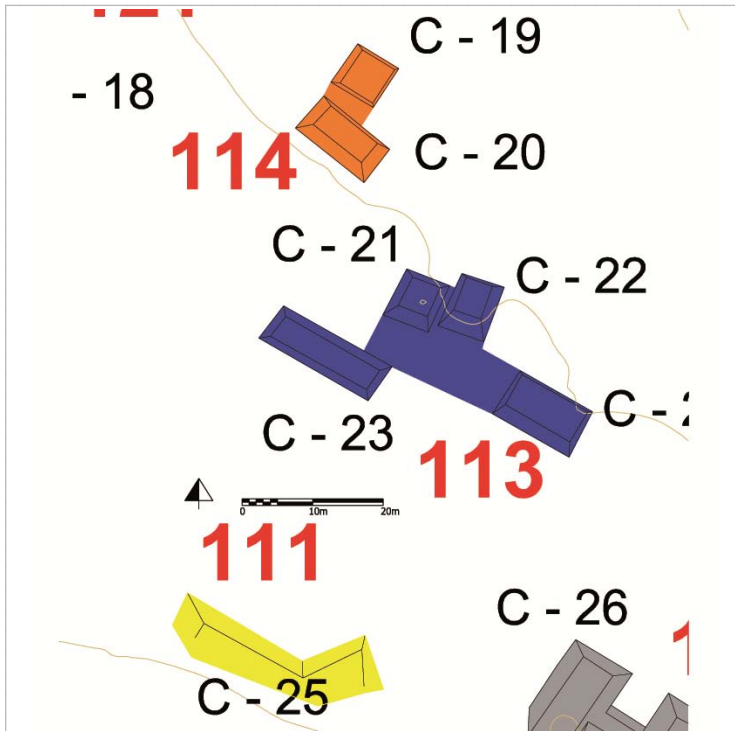
Se trata de dos estructura que, por el ángulo que conforman, definen un conjunto tipo patio. Se encuentran en un área en donde hay mucho afloramiento de la roca caliza, por lo que podemos pensar que para construirlas se haya aprovechado parte de ello.

Localización en el sitio



Mapa

Fotografía conjunto



Cédula de Conjunto arquitectónico

Sitio

Conjunto

Tipo de Conjunto

Emplazamiento

Preparación del terreno

N estructuras

Área espacio compartido/
espacio disponible (m2)

Existe una estructura sobresaliente Nr. Estructura sobresaliente

Porque sobresale

Distancia mínima de otro conjunto (m)

Excavado

Operación(es)

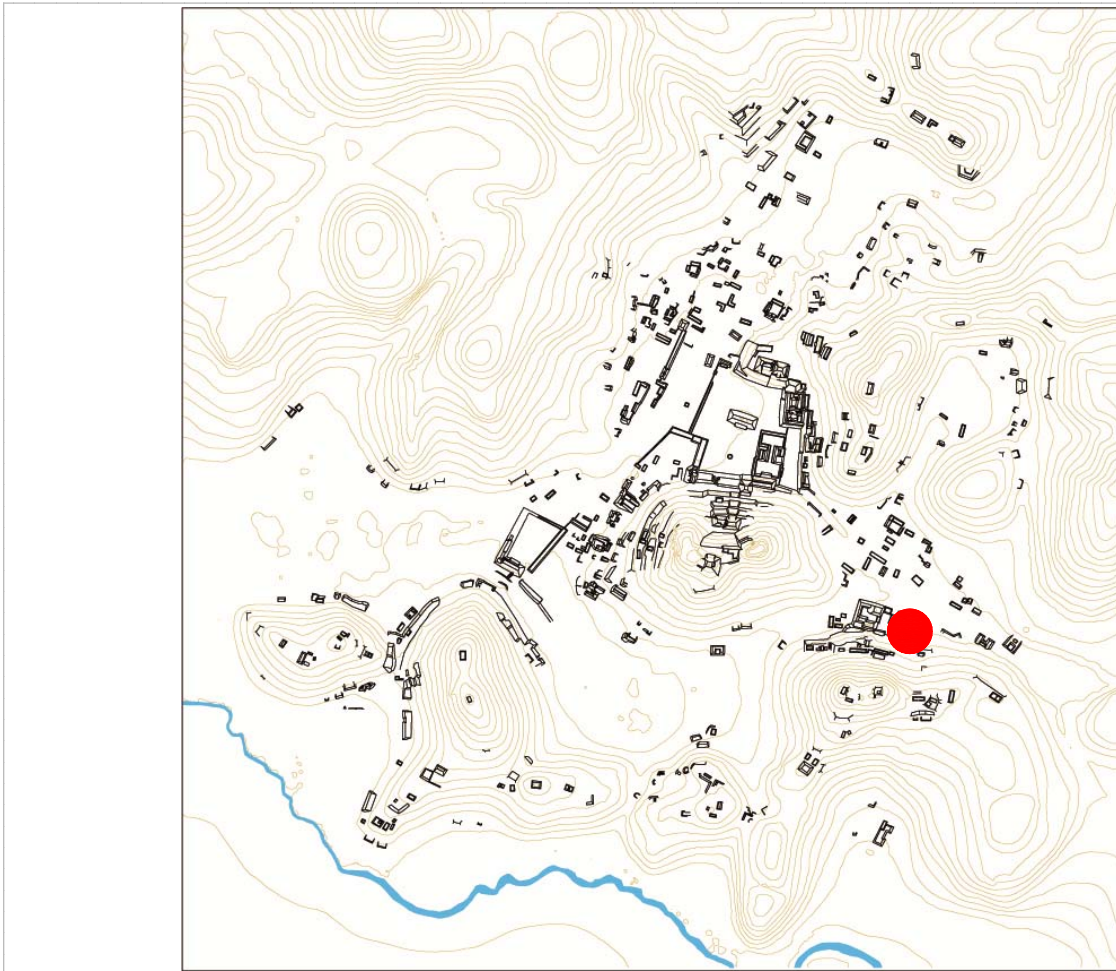
Estructuras de este Conjunto

Estructura	Área	Altura	Volumen	Tipo de estructura
I-5	174,4	Mts2 2,8	Mts 488,32	Mts3 plataforma en forma de C

Observaciones

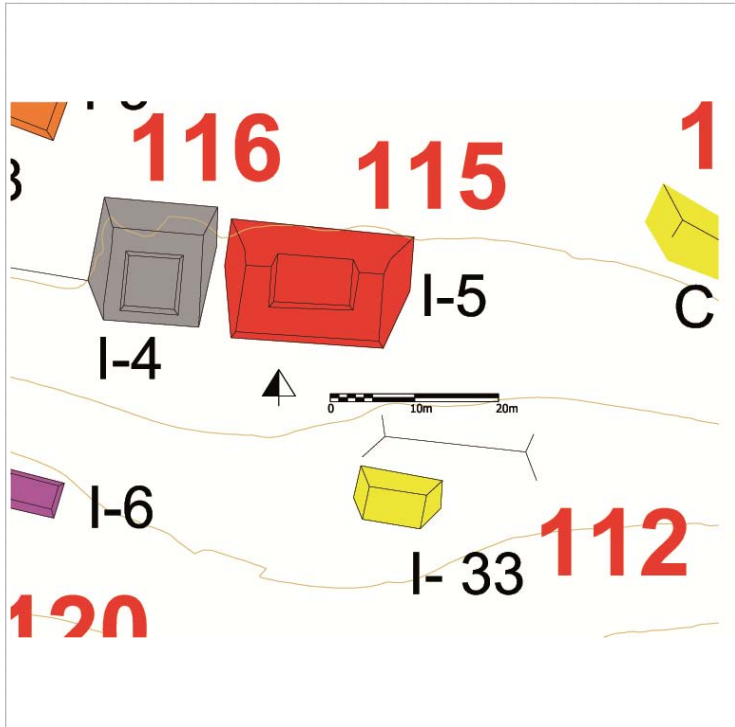
Se trata de uno de los conjuntos que arriba de la plataforma basal (que se apoya a la ladera del cerro), sostiene una estructura en forma de C, que parece ser una construcción única, por lo menos en un nivel de observación superficial. Se encuentra particularmente cercana al conjunto CHK/I116 y por su posición y cercanía pensamos ser uno de los conjuntos de élite (por volumen constructivo y, por ende, por mano de obra invertida) que gravitaban alrededor del conjunto CHK/I118.

Localización en el sitio



Mapa

Fotografía conjunto



Cédula de Conjunto arquitectónico

Sitio Chinikihá

Conjunto CHK/I116

Tipo de Conjunto Basal

Emplazamiento Planicie

Preparación del terreno Basamento artificial

N estructuras 1

Área espacio compartido/
espacio disponible (m2)

Existe una estructura sobresaliente No Nr. Estructura sobresaliente No

Porque sobresale

Distancia mínima de otro conjunto (m) 2,15

Excavado No

Operación(es)

Estructuras de este Conjunto

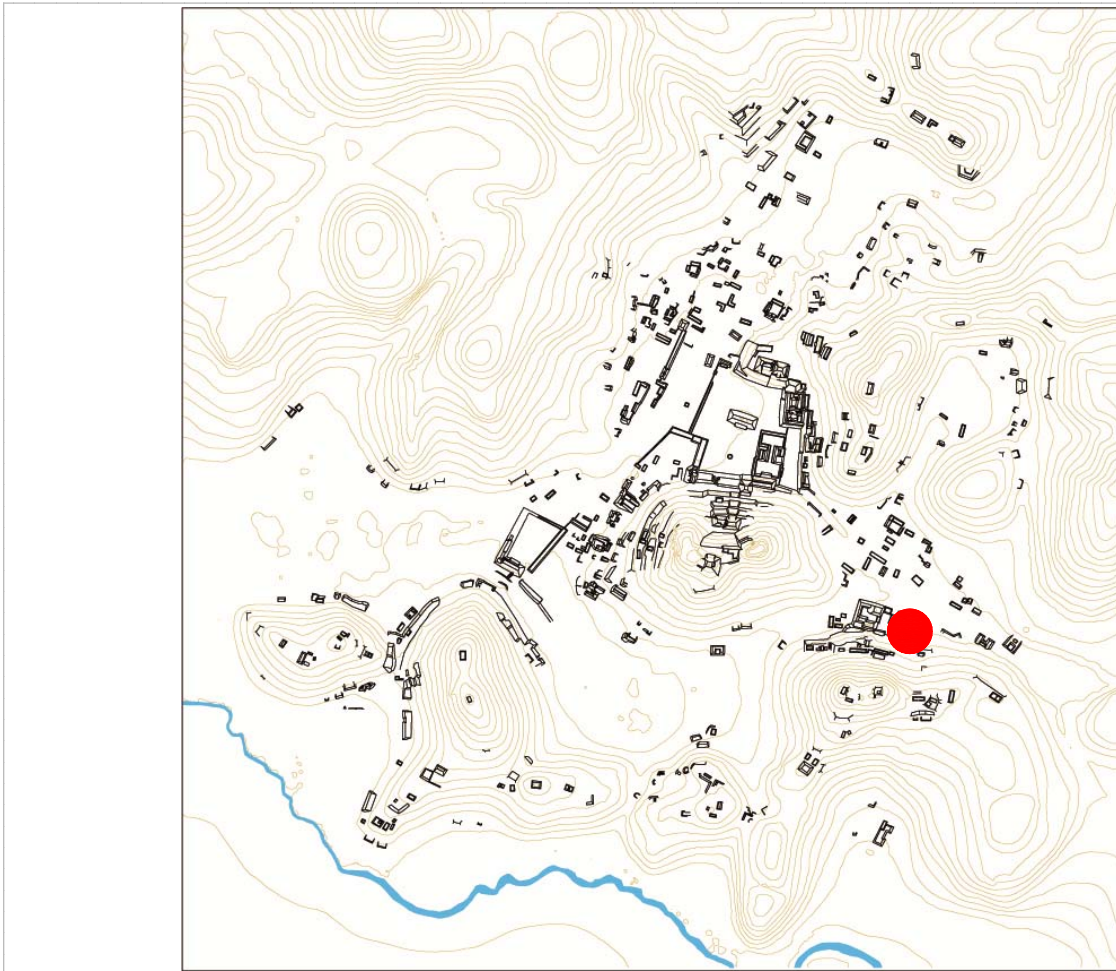
Estructura	Área	Altura	Volumen	Tipo de estructura
I-4	141,75	Mts2 2	Mts 283,5	Mts3 plataforma rectangular

Observaciones

Se trata de un conjuntode tipo basal en el que resalta la presencia de parte un muro perimetral o interior, en su frente norte. El mal estado de conservación y el saqueo operado en el conjunto no permite apreciar ss reales características formales.

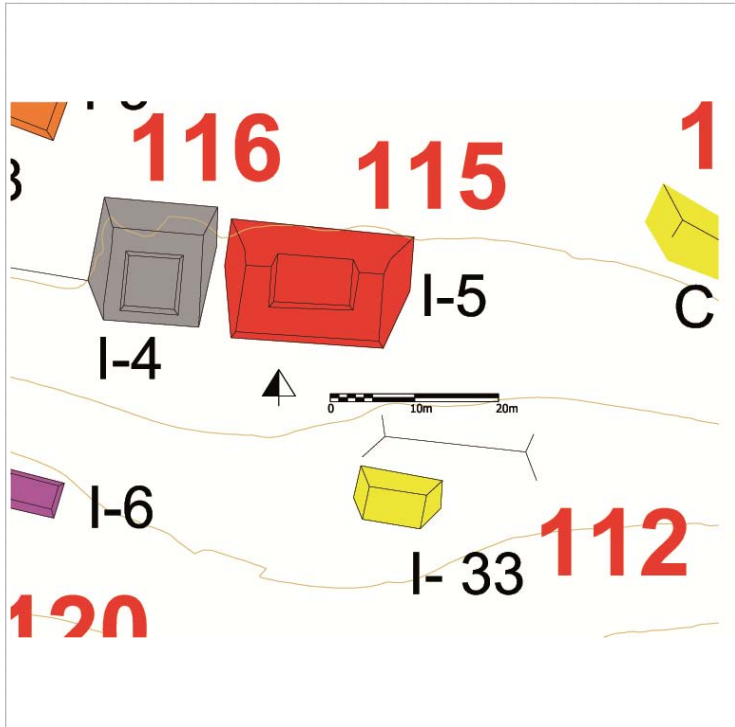
Se encuentra particularmente cercana al conjunto CHK/I115 y por su posición y cercanía pensamos ser uno de lo conjuntos de élite (por volumen constructivo y, por ende, por mano de obra invertida) que gravitaban alrededor del conjunto CHK/I118.

Localización en el sitio



Mapa

Fotografía conjunto



Cédula de Conjunto arquitectónico

Sitio Chinikihá

Conjunto CHK/I117

Tipo de Conjunto Patio

Emplazamiento Pie de Monte

Preparación del terreno

N estructuras 3

Área espacio compartido/
espacio disponible (m2) 72,84

Existe una estructura sobresaliente I-3 Nr. Estructura sobresaliente I-3

Porque sobresale Volumen constructivo

Distancia mínima de otro conjunto (m) 0

Excavado No

Operación(es)

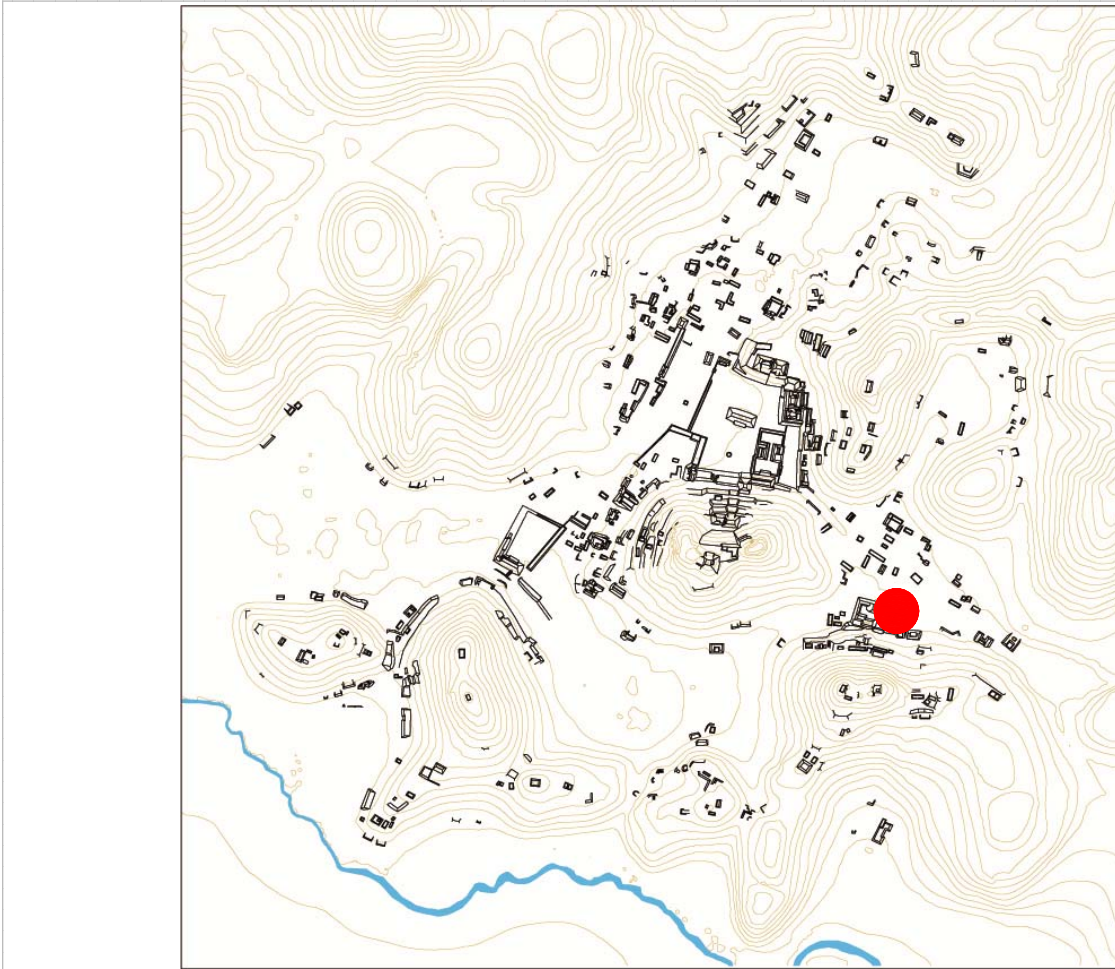
Estructuras de este Conjunto

Estructura	Área	Altura	Volumen	Tipo de estructura
I-1	98,1	Mts2 1,2	Mts 117,72	Mts3 plataforma rectangular
I-2	101,12	Mts2 ,4	Mts 40,448	Mts3 plataforma rectangular
I-3	120,12	Mts2 1	Mts 120,12	Mts3 plataforma rectangular

Observaciones

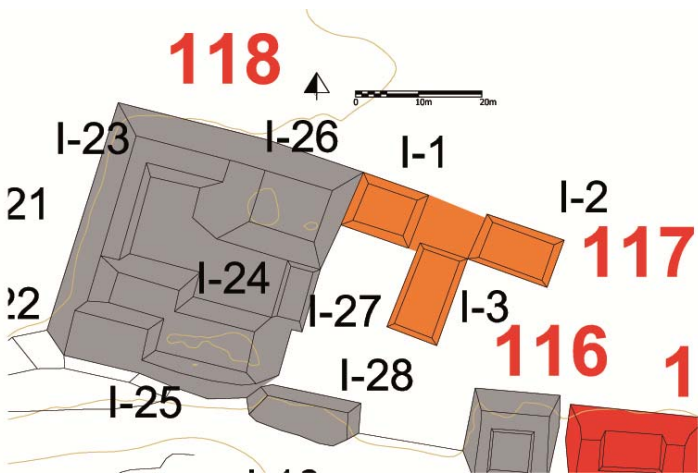
Se trata de un conjunto tipo patio cuyas estructuras son muy cercanas entre ellas; el conjunto se encuentra directamente adyacente al CHK/I18, el más grande del Grupo I, por lo que podemos presuponer una relación directa entre ellos. Hay que especificar que el estado de conservación del conjunto CHK/I117 es muy malo ya que de sus estructuras se extrayó piedra para la construcción de la carretera Chancalá-Penjamó.

Localización en el sitio



Mapa

Fotografía conjunto



Cédula de Conjunto arquitectónico

Sitio **Chinikihá**

Conjunto **CHK/I118**

Tipo de Conjunto **Basal**

Emplazamiento **Pie de Monte**

Preparación del terreno **Basamento artificial**

N estructuras **6**

Área espacio compartido/
espacio disponible (m2) **252,89**

Existe una estructura sobresaliente **I-25** Nr. Estructura sobresaliente **I-25**

Porque sobresale **Características formales**

Distancia mínima de otro conjunto (m) **0**

Excavado **Si**

Operación(es) **159, 166**

Estructuras de este Conjunto

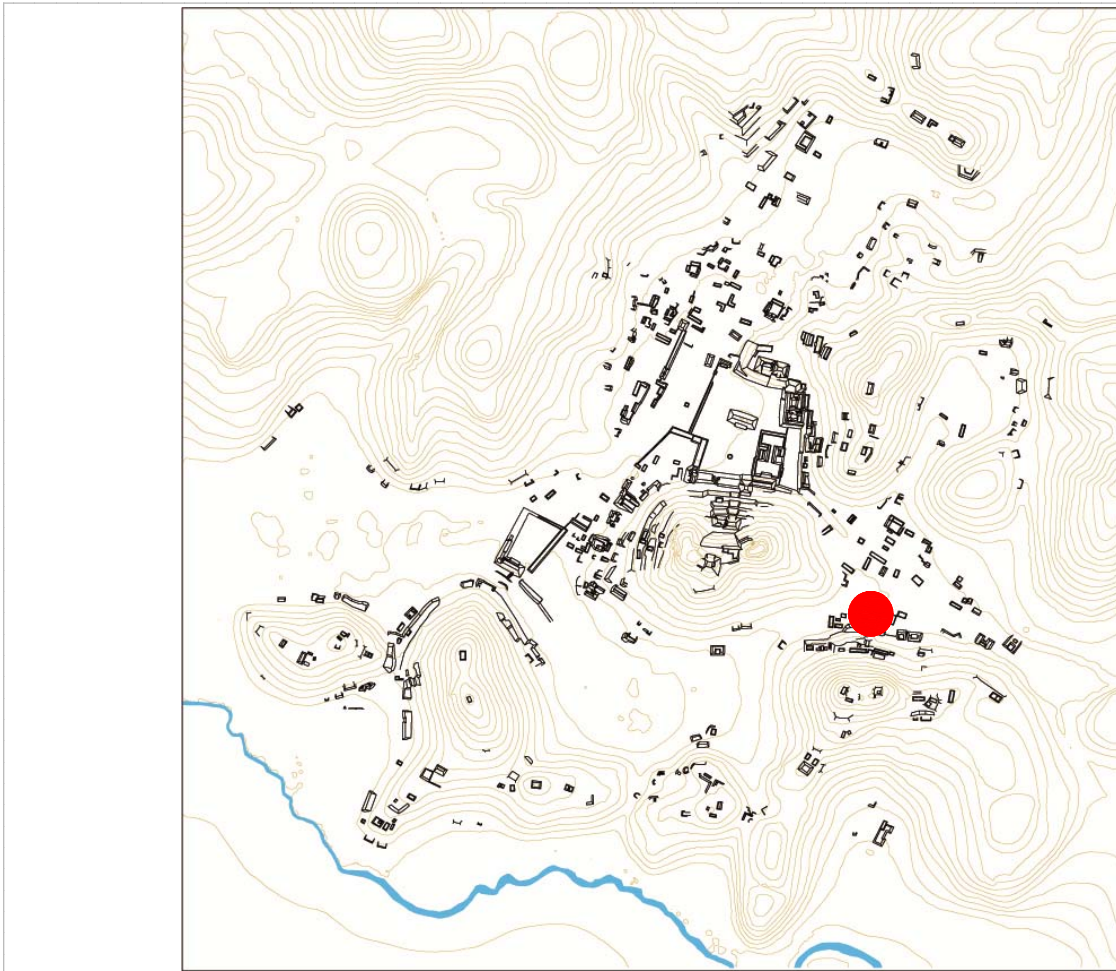
Estructura	Área	Altura	Volumen	Tipo de estructura
I-23	302,94	Mts2 2,4	Mts 727,056	Mts3 plataforma en forma de L
I-24	222,3	Mts2 2	Mts 444,6	Mts3 plataforma rectangular
I-25	90,52	Mts2 1,4	Mts 126,728	Mts3 plataforma rectangular
I-26	369,6	Mts2 4	Mts 1478,4	Mts3 plataforma rectangular
I-27	54,59	Mts2 ,6	Mts 32,754	Mts3 plataforma rectangular
I-28	75,2	Mts2 ,8	Mts 60,16	Mts3 plataforma rectangular

Observaciones

Este conjunto sobresale al interior del Grupo I por sus dimensiones y, por ende, su volumen constructivo. Se compone de estructuras con características formales diferentes entre ellas; todas desplantan arriba de un grande basamento artificial creando un patio interior elevado; en su lado sur el basamento se apoya a la ladera del cerro más alto de Chinikihá.

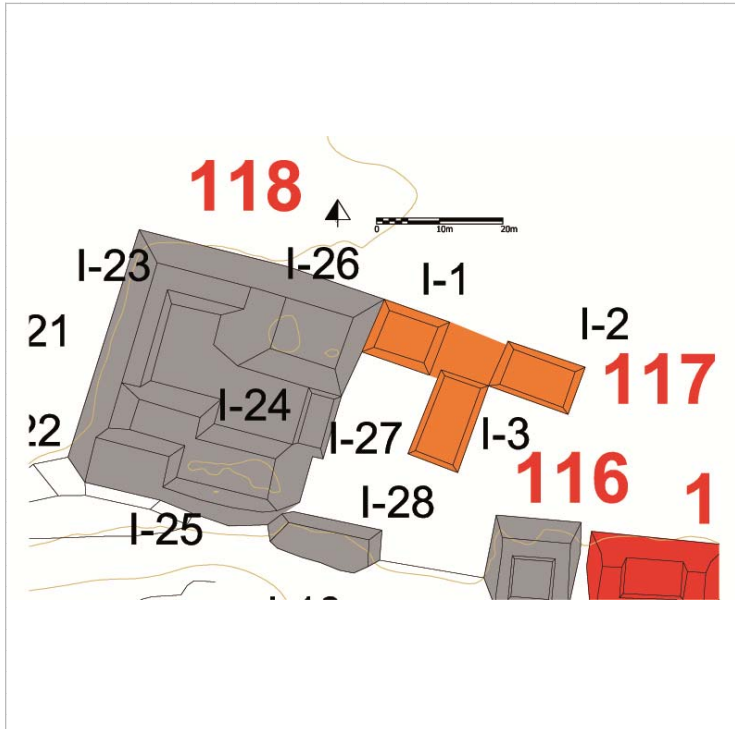
Por lo que las condiciones de preservación permiten, vale la pena describir brevemente cada una de ellas: la I-26 es la que ha sufrido mayormente por la extracción de piedra para la construcción de la carretera Chancalá-Penjamó, ha sido casi completamente destruyda por lo que no se pueden apreciar sus características formales, más allá de su posible perímetro. La I-23 es una estructura larga en forma de L, que ocupa el frente Norte y Oeste del basamento; hacia el suroeste el patio es

Localización en el sitio



Mapa

Fotografía conjunto



Cédula de Conjunto arquitectónico

Sitio Chinikihá

Conjunto CHK/I119

Tipo de Conjunto Patio

Emplazamiento Planicie

Preparación del terreno Nignuna

N estructuras 4

Área espacio compartido/
espacio disponible (m2) 41,45

Existe una estructura sobresaliente I-20 Nr. Estructura sobresaliente I-20

Porque sobresale Volumen constructivo

Distancia mínima de otro conjunto (m) 16,08

Excavado No

Operación(es)

Estructuras de este Conjunto

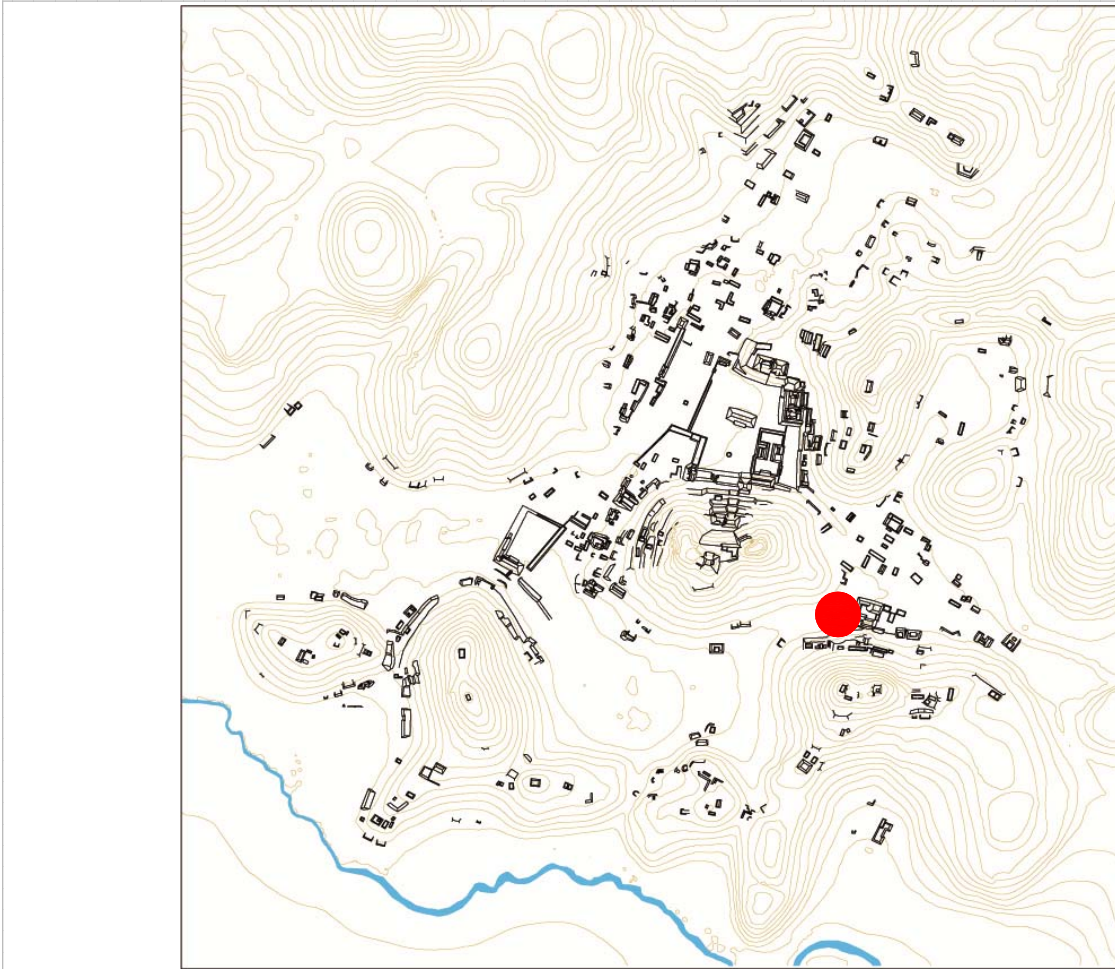
Estructura	Área	Altura	Volumen	Tipo de estructura
I-19	68,44	Mts2 ,6	Mts 41,064	Mts3 plataforma rectangular
I-20	114,54	Mts2 ,8	Mts 91,632	Mts3 plataforma rectangular
I-21	42,75	Mts2 ,6	Mts 25,65	Mts3 plataforma rectangular
I-22	28,12	Mts2 ,4	Mts 11,248	Mts3 plataforma rectangular

Observaciones

Este pequeño conjunto tipo patio (rodeado por 3 estructuras, más la cuarta- I-21- que se encuentra en su directa cercanía) manifiesta un pequeño patio y una estructura (I-20) de grandes dimensiones, que se desarrolla en sentido Norte-Sur.

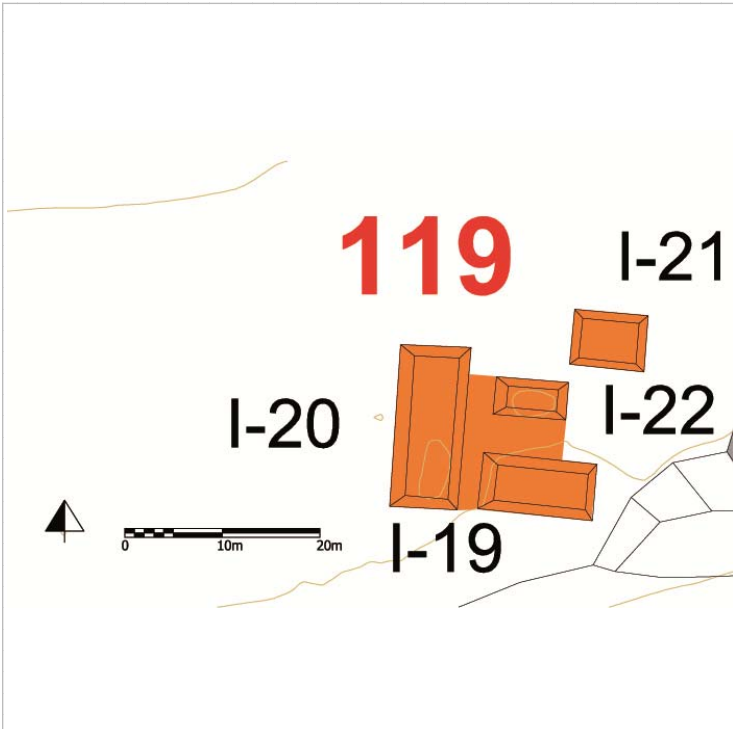
Por su cercanía al conjunto CHK/I118 podemos pensar que dependiera directamente de éste.

Localización en el sitio



Mapa

Fotografía conjunto



Cédula de Conjunto arquitectónico

Sitio Chinikihá

Conjunto CHK/I120

Tipo de Conjunto Lineal

Emplazamiento Ladera de cerro

Preparación del terreno Contención

N estructuras 8

Área espacio compartido/
espacio disponible (m2)

Existe una estructura sobresaliente I-11 Nr. Estructura sobresaliente I-11

Porque sobresale Volumen constructivo

Distancia mínima de otro conjunto (m) 13,58

Excavado Si

Operación(es) 160

Estructuras de este Conjunto

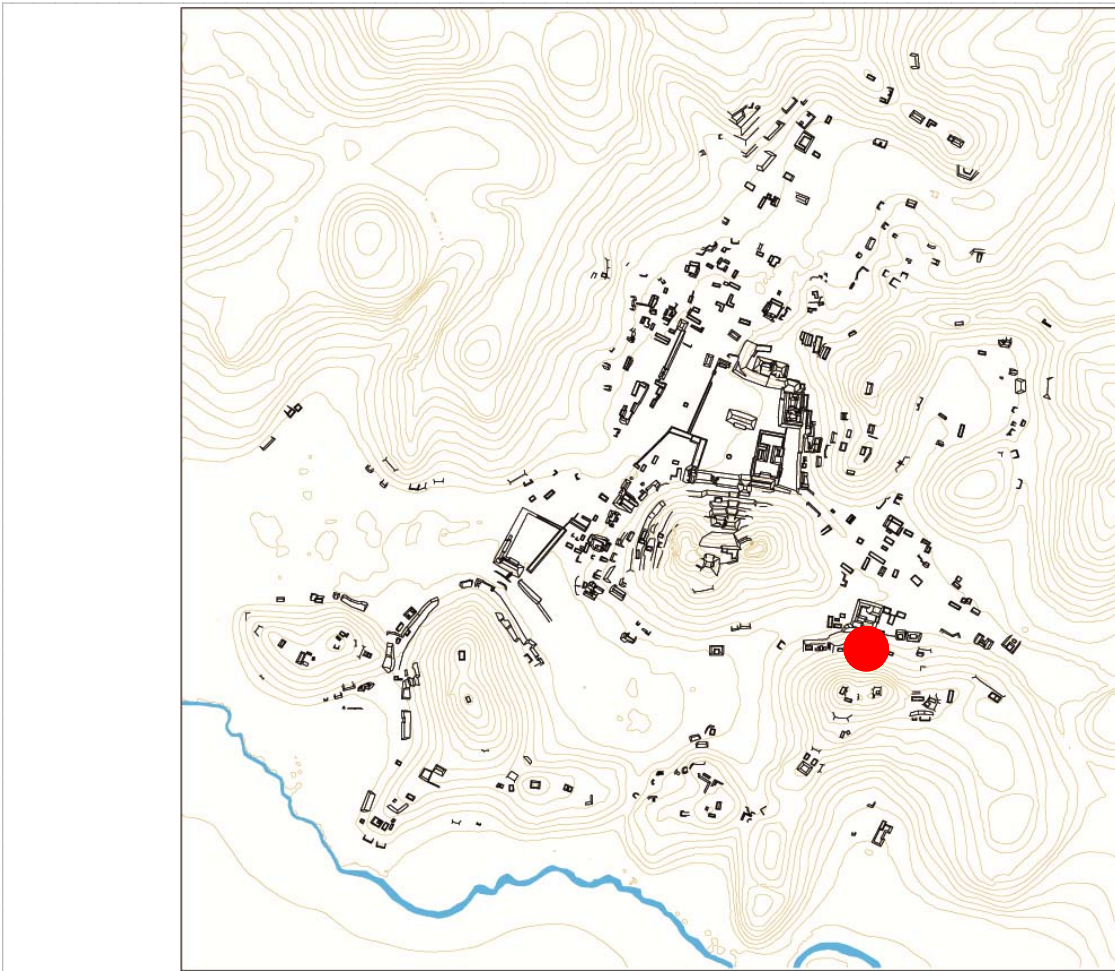
Estructura	Área	Altura	Volumen	Tipo de estructura
I-10	58,32	Mts2 ,6	Mts 34,992	Mts3 plataforma rectangular
I-11	170,18	Mts2 1	Mts 170,18	Mts3 plataforma rectangular
I-12	27,5	Mts2 ,4	Mts 11	Mts3 plataforma en forma de L
I-13	34,86	Mts2 ,4	Mts 13,944	Mts3 plataforma rectangular
I-6	29,24	Mts2 1	Mts 29,24	Mts3 plataforma rectangular
I-7	107,5	Mts2 ,8	Mts 86	Mts3 plataforma rectangular

Observaciones

Se trata de un conjunto de tipo lineal compuesto por numerosas estructuras (por lo general plataformas bajas), que ocupan una terraza larga y de ancho reducido, arriba del conjunto CHK/I118. Hay que destacar que la parte de cerro entre ese conjunto y el objeto de análisis, fue trabajada a través de una gran obra de contención de la ladera.

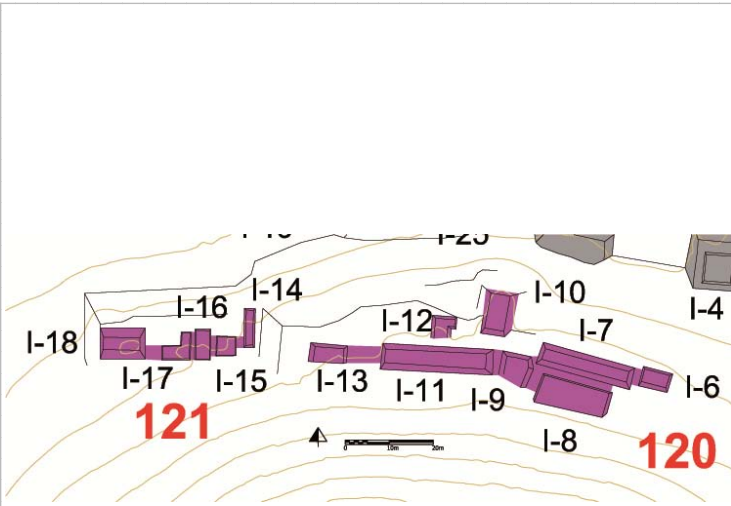
Entre las estructuras destaca la I-11 por su tamaño, es una plataforma larga en la que todavía se puede apreciar parte del muro perimetral norte y algunos cuartos interiores, se desarrolla en sentido Este-Oeste, aprovechando las dimensiones de la terraza. Le sigue, en cuestión de tamaño, la I-7. Abajo de la estr. I-13 (la más occidental del conjunto), se puede todavía apreciar el muro de contención intacto.

Localización en el sitio



Mapa

Fotografía conjunto



Cédula de Conjunto arquitectónico

Sitio Chinikihá

Conjunto CHK/I121

Tipo de Conjunto Lineal

Emplazamiento Ladera de cerro

Preparación del terreno Contención

N estructuras 5

Área espacio compartido/
espacio disponible (m2)

Existe una estructura sobresaliente I-18 Nr. Estructura sobresaliente I-18

Porque sobresale Volumen constructivo

Distancia mínima de otro conjunto (m) 13,58

Excavado No

Operación(es)

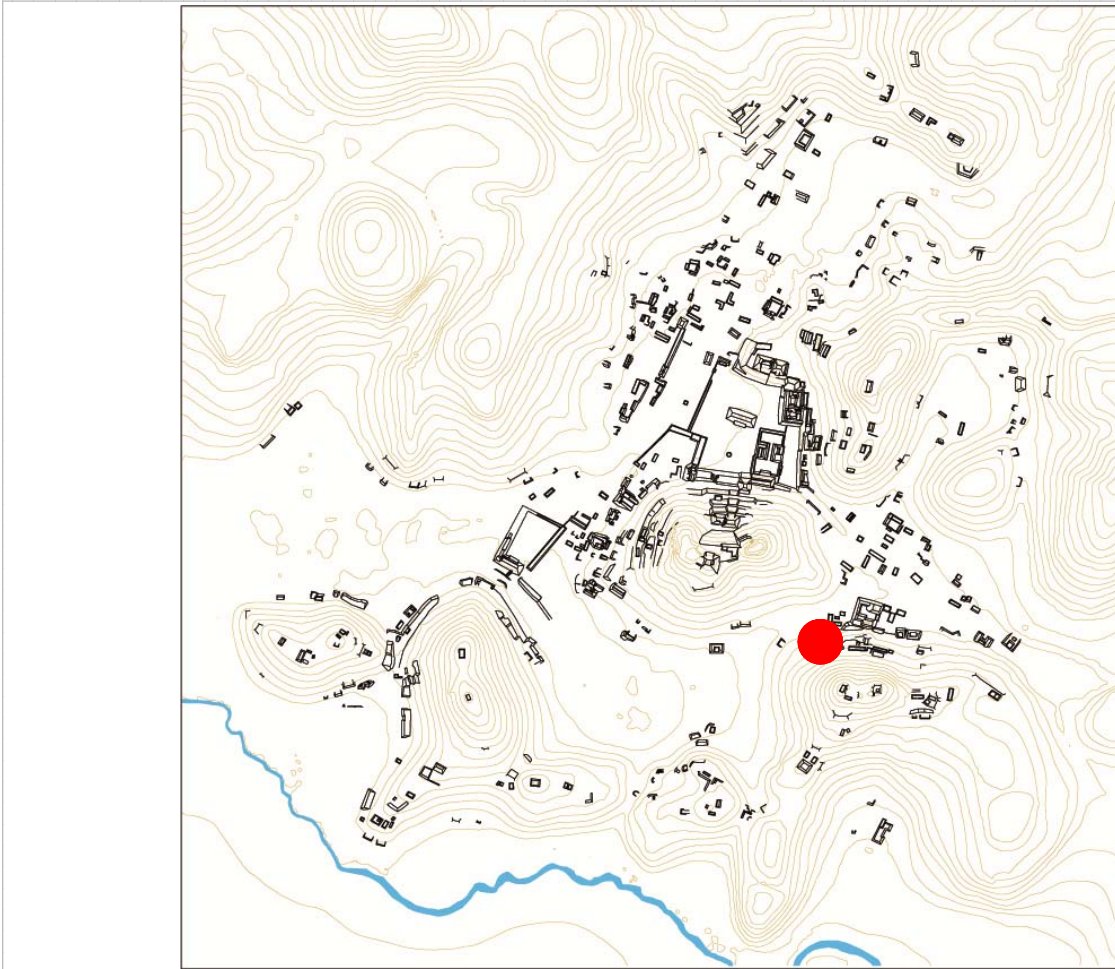
Estructuras de este Conjunto

Estructura	Área	Altura	Volumen	Tipo de estructura
I-14	21,12	Mts2 ,4	Mts 8,448	Mts3 plataforma rectangular
I-15	19,8	Mts2 ,2	Mts 3,96	Mts3 plataforma cuadrangular
I-16	24,15	Mts2 ,2	Mts 4,83	Mts3 plataforma rectangular
I-17	39,68	Mts2 ,4	Mts 15,872	Mts3 plataforma en forma de L
I-18	70,7	Mts2 ,6	Mts 42,42	Mts3 plataforma rectangular

Observaciones

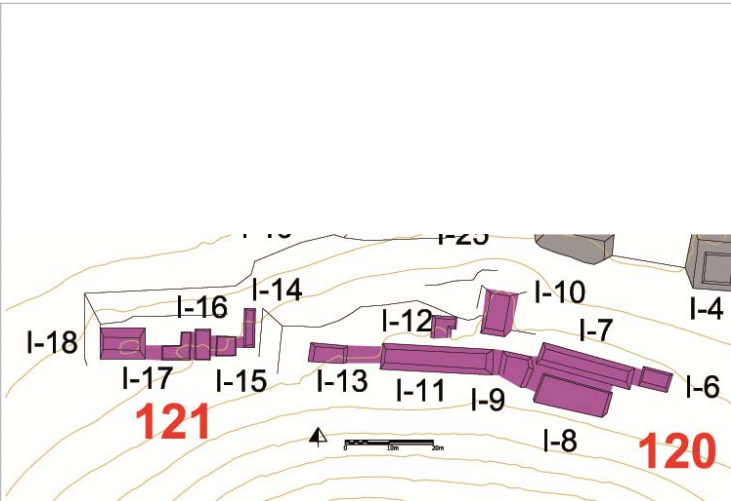
Se trata de otro conjunto lineal compuesto por estructuras que se asocian linealmente en una terraza adyacente a la del conjunto CHK/I120. Por lo general se observan unas bajas plataformas entre las que sobresale la I-18 por su tamaño. En este caso también vemos que la obra de contención de la ladera del cerro, empezada entre el CHK/I118 y el CHK/I120 sigue en este tramo de la ladera también. Se piensa que, por su cercanía, todos estos conjuntos estuvieron relacionados con el CHK/I118.

Localización en el sitio



Mapa

Fotografía conjunto



Cédula de Conjunto arquitectónico

Sitio Chinikihá

Conjunto CHK/C122

Tipo de Conjunto Patio

Emplazamiento Pie de Monte

Preparación del terreno Nignuna

N estructuras 2

Área espacio compartido/
espacio disponible (m2) 109,5

Existe una estructura sobresaliente No Nr. Estructura sobresaliente No

Porque sobresale

Distancia mínima de otro conjunto (m) 13,09

Excavado No

Operación(es)

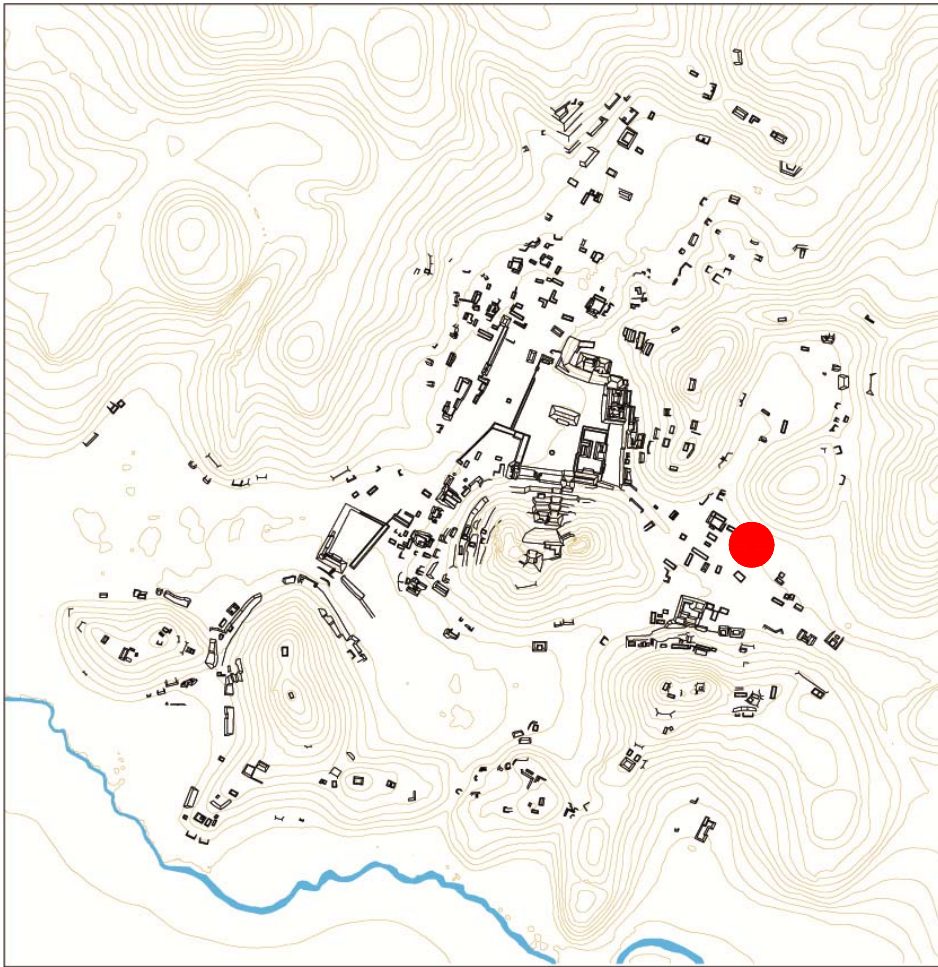
Estructuras de este Conjunto

Estructura	Área	Altura	Volumen	Tipo de estructura
C-2	68,6	Mts2 1	Mts 68,6	Mts3 plataforma rectangular
C-3	52,48	Mts2 ,5	Mts 26,24	Mts3 plataforma rectangular

Observaciones

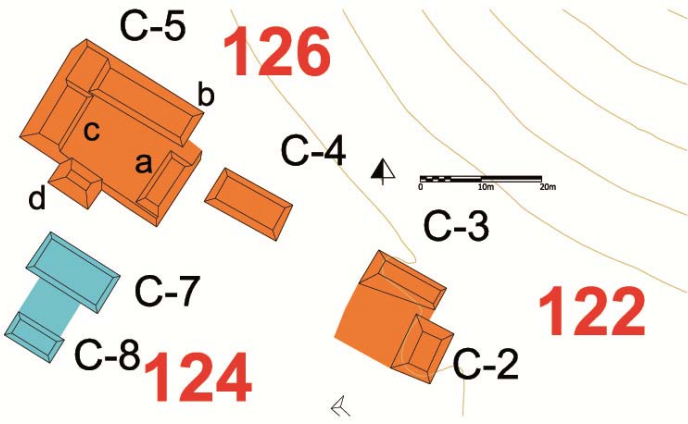
Se trata de dos plataformas bajas que entre si manifiestan un ángulo de 90 grados por lo que se considera constituiscan un conjunto tipo patio.

Localización en el sitio



Mapa

Fotografía conjunto



Cédula de Conjunto arquitectónico

Sitio Chinikihá

Conjunto CHK/C123

Tipo de Conjunto Patio

Emplazamiento Planicie

Preparación del terreno Nignuna

N estructuras 4

Área espacio compartido/
espacio disponible (m2) 428,75

Existe una estructura sobresaliente C-9 Nr. Estructura sobresaliente C-9

Porque sobresale Volumen constructivo

Distancia mínima de otro conjunto (m) 12,8

Excavado Si

Operación(es) 139

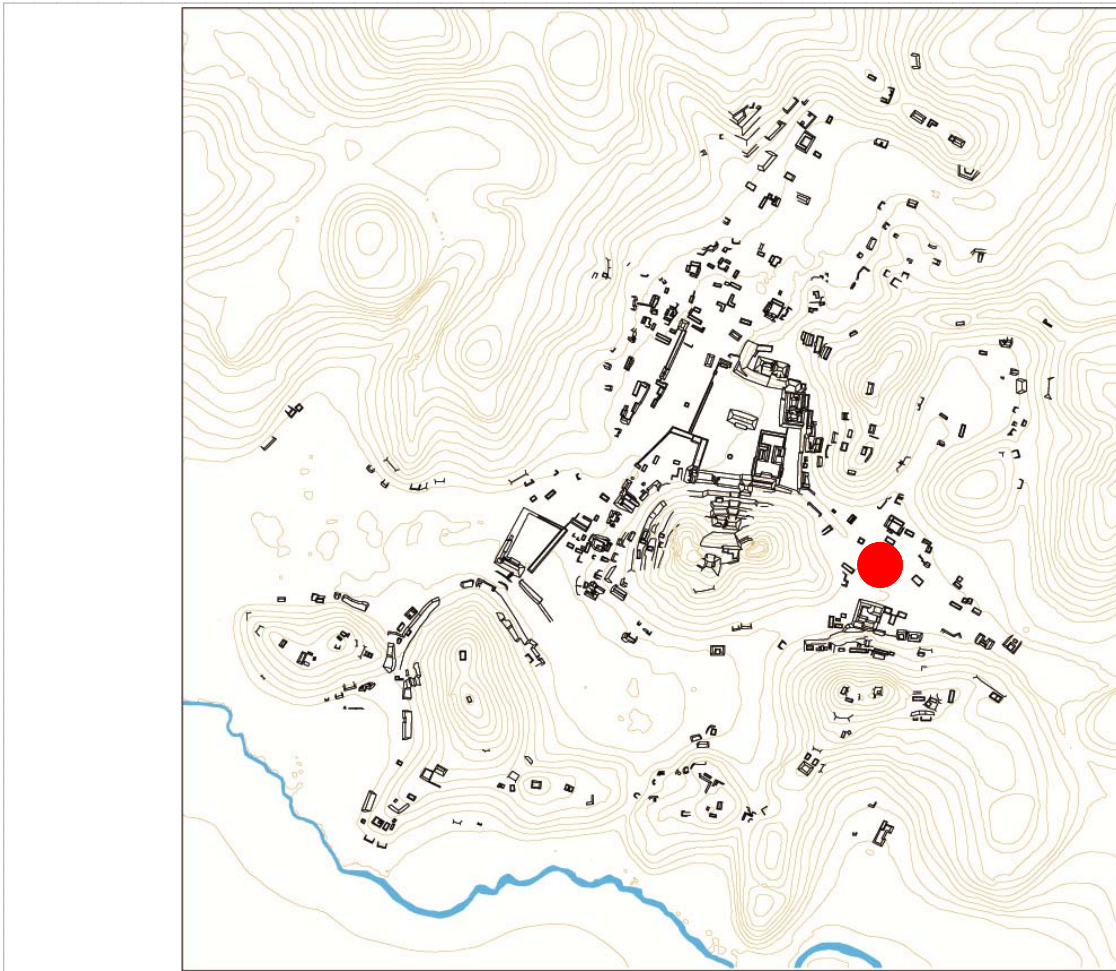
Estructuras de este Conjunto

Estructura	Área	Altura	Volumen	Tipo de estructura
C-10	95,2	Mts2 ,5	Mts 47,6	Mts3 plataforma rectangular
C-11	103,04	Mts2 ,5	Mts 51,52	Mts3 plataforma rectangular
C-17	66,6	Mts2 ,3	Mts 19,98	Mts3 plataforma rectangular
C-9	157,8	Mts2 ,5	Mts 78,9	Mts3 plataforma rectangular

Observaciones

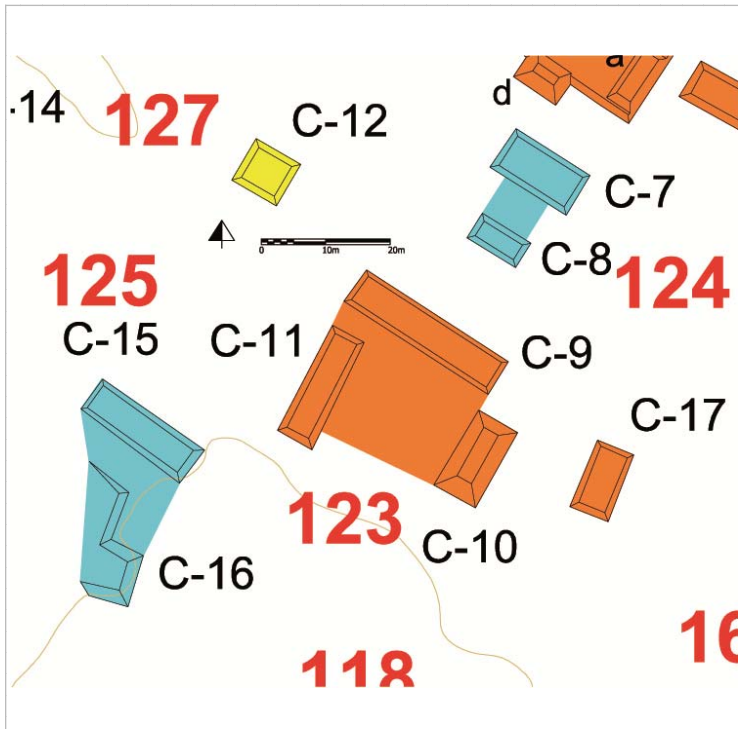
Se trata de uno de los dos grandes conjuntos de tipo patio (CHK/C123 y CHK/C126) que componen el Grupo C y cuya característica sobresaliente concierne a la amplitud del patio central. A diferencia del C126 ese espacio es libre de estructuras que lo delimiten en su lado Sur.

Localización en el sitio



Mapa

Fotografía conjunto



Cédula de Conjunto arquitectónico

Sitio

Conjunto

Tipo de Conjunto

Emplazamiento

Preparación del terreno

N estructuras

Área espacio compartido/
espacio disponible (m2)

Existe una estructura sobresaliente

Nr. Estructura sobresaliente

Porque sobresale

Distancia mínima de otro conjunto (m)

Excavado

Operación(es)

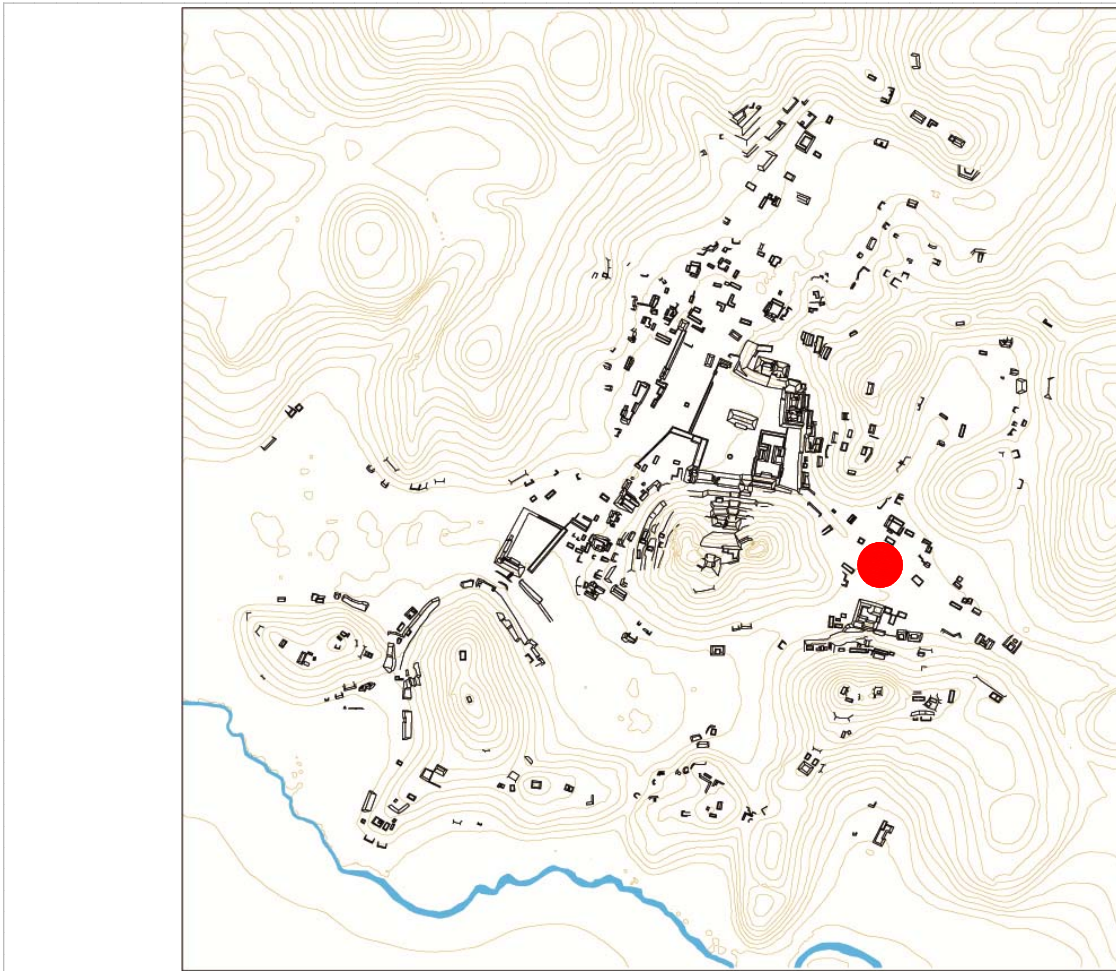
Estructuras de este Conjunto

Estructura	Área	Altura	Volumen	Tipo de estructura
C-7	100,8	Mts2 ,3	Mts 30,24	Mts3 plataforma rectangular
C-8	39,6	Mts2 ,3	Mts 11,88	Mts3 plataforma rectangular

Observaciones

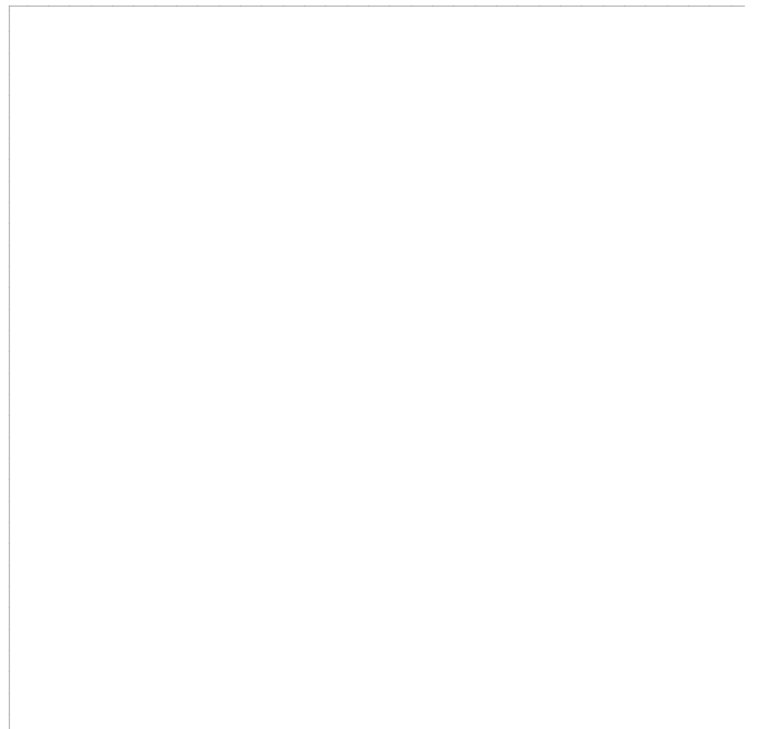
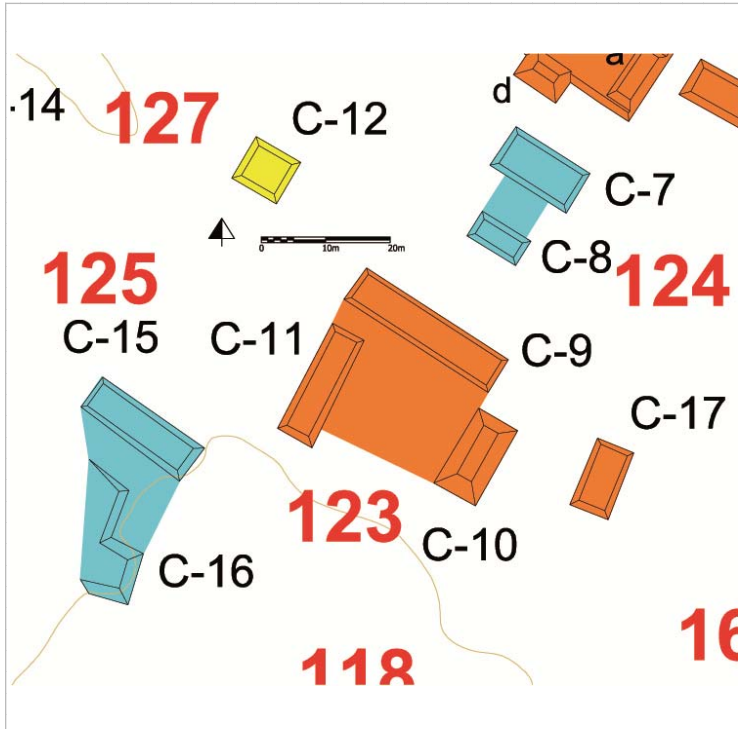
Se trata de dos pequeñas y bajas plataformas paralelas que se encuentran entre los dos grandes conjuntos del tipo patio del Grupo C (CHK123 y CHK126).

Localización en el sitio



Mapa

Fotografía conjunto



Cédula de Conjunto arquitectónico

Sitio

Conjunto

Tipo de Conjunto

Emplazamiento

Preparación del terreno

N estructuras

Área espacio compartido/
espacio disponible (m2)

Existe una estructura sobresaliente Nr. Estructura sobresaliente

Porque sobresale

Distancia mínima de otro conjunto (m)

Excavado

Operación(es)

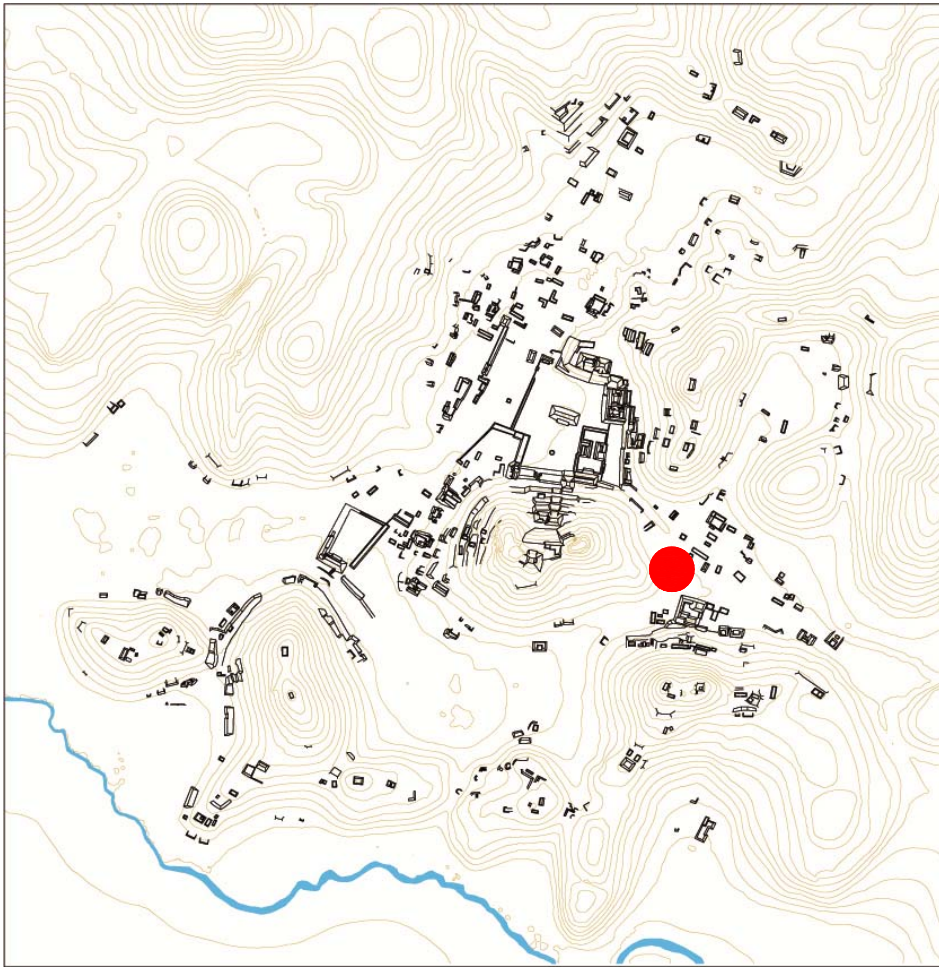
Estructuras de este Conjunto

Estructura	Área	Altura	Volumen	Tipo de estructura
C-15	110,01	Mts2 ,5	Mts 55,005	Mts3 plataforma rectangular
C-16	115,94	Mts2 1	Mts 115,94	Mts3 plataforma en forma de L

Observaciones

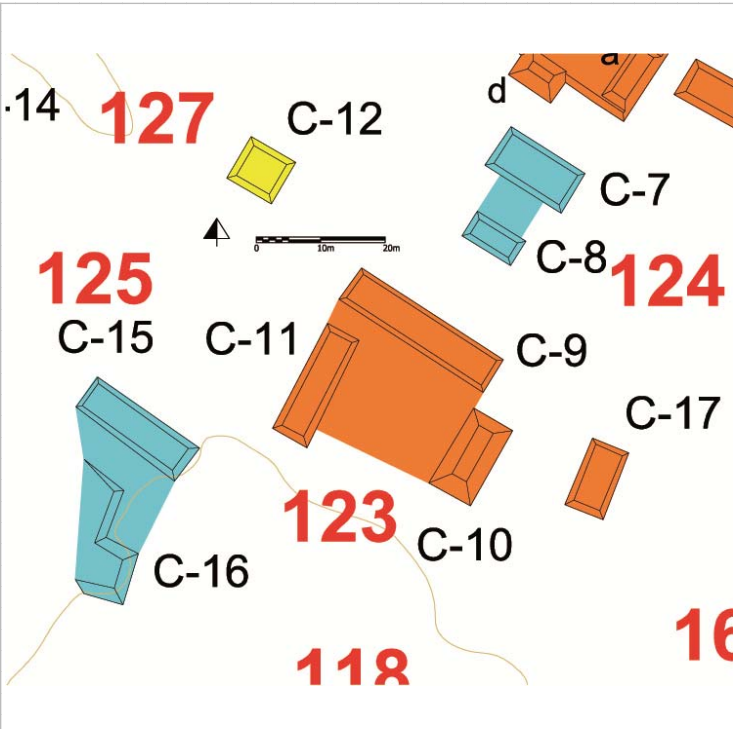
Se trata de dos estructuras, una de las cuales (C-16) es una terraza en forma de L, que son adyacentes entre ellas y pegadas al desplante del "cerro Maler".

Localización en el sitio



Mapa

Fotografía conjunto



Cédula de Conjunto arquitectónico

Sitio Chinikihá

Conjunto CHK/C126

Tipo de Conjunto Patio

Emplazamiento Planicie

Preparación del terreno Nivelación

N estructuras 5

Área espacio compartido/
espacio disponible (m2) 177,3

Existe una estructura sobresaliente C5-b Nr. Estructura sobresaliente C5-b

Porque sobresale Volumen constructivo

Distancia mínima de otro conjunto (m) 11,27

Excavado Si

Operación(es) 167

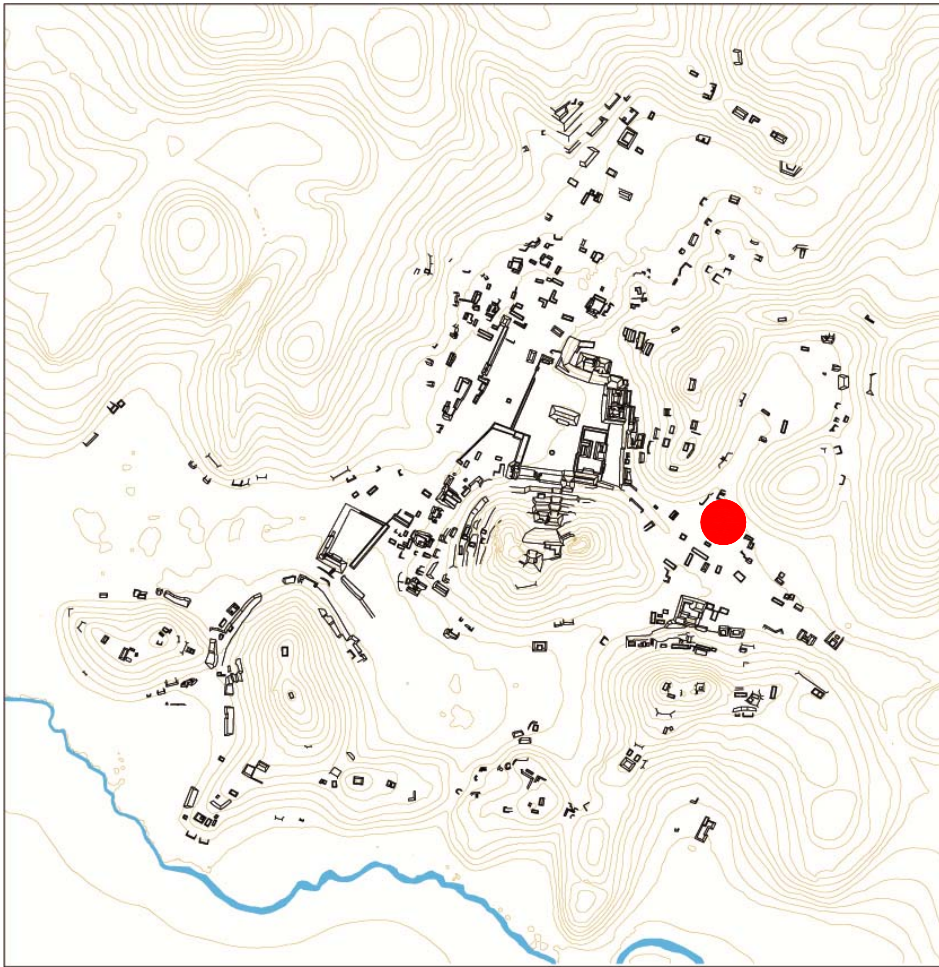
Estructuras de este Conjunto

Estructura	Área	Altura	Volumen	Tipo de estructura
C-4	87,75	Mts2 ,5	Mts 43,875	Mts3 plataforma rectangular
C-5a	56,71	Mts2 ,5	Mts 28,355	Mts3 plataforma rectangular
C-5b	118,8	Mts2 ,5	Mts 59,4	Mts3 plataforma rectangular
C-5c	43,86	Mts2 ,5	Mts 21,93	Mts3 plataforma rectangular
C-5d	28,44	Mts2 1	Mts 28,44	Mts3 plataforma rectangular

Observaciones

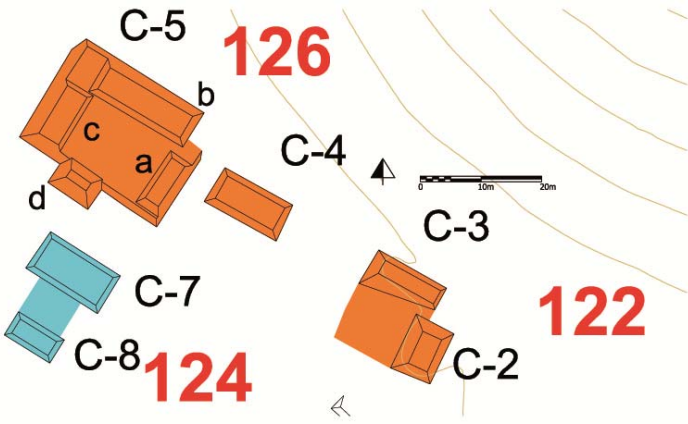
Se trata de un grande conjunto tipo patio, rodeado en todos sus lados por estructuras con características diferentes. en su lado sur es posible apreciar un pequeño terraplen debido a obras de nivelación para hacer homogéneo el plano del patio. Se llevó a cabo aquí la operación 167, que consistió en una cala en dirección Norte-Sur y que puso en evidencia, en el centro del patio, la presencia de un altar (o caja de estela) y el acceso a la estr. C-5b desde el patio.

Localización en el sitio



Mapa

Fotografía conjunto



Cédula de Conjunto arquitectónico

Sitio

Conjunto

Tipo de Conjunto

Emplazamiento

Preparación del terreno

N estructuras

Área espacio compartido/
espacio disponible (m2)

Existe una estructura sobresaliente

Nr. Estructura sobresaliente

Porque sobresale

Distancia mínima de otro conjunto (m)

Excavado

Operación(es)

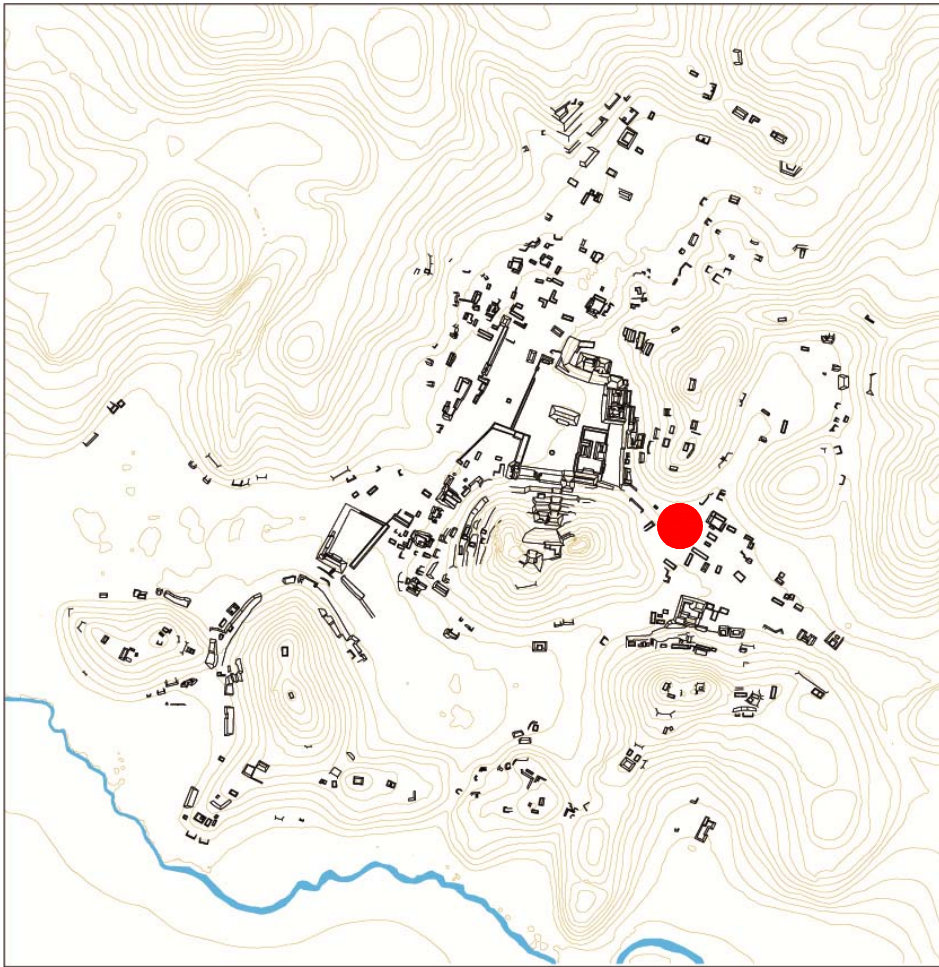
Estructuras de este Conjunto

Estructura	Área	Altura	Volumen	Tipo de estructura
C-12	60	Mts2 ,5	Mts 30	Mts3 plataforma rectangular

Observaciones

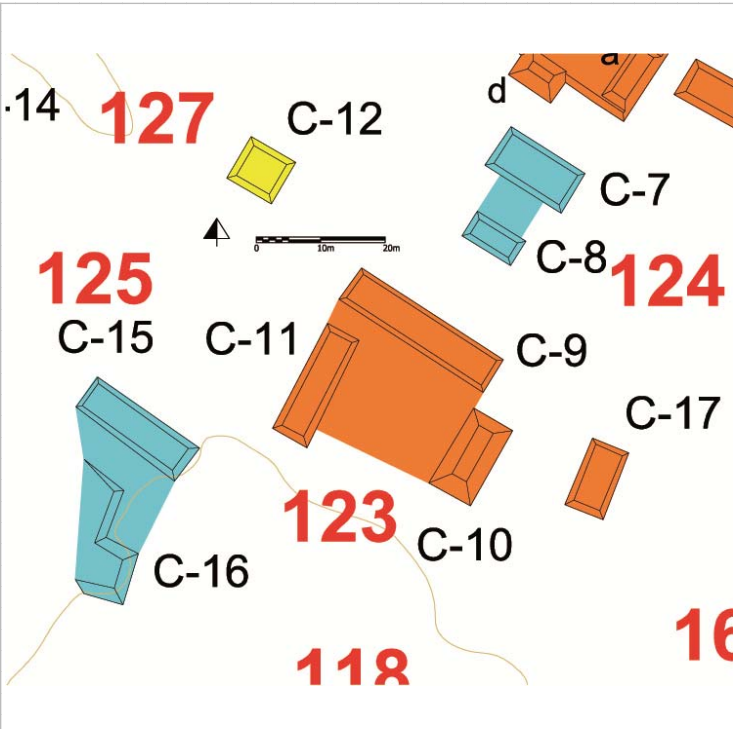
Se trata de una pequeña plataforma aislada entre los dos conjuntos tipo patio y hacia la entrada por el lado de la plaza principa del Grupo Monumental de Chinikihá.

Localización en el sitio



Mapa

Fotografía conjunto



Cédula de Conjunto arquitectónico

Sitio

Conjunto

Tipo de Conjunto

Emplazamiento

Preparación del terreno

N estructuras

Área espacio compartido/
espacio disponible (m2)

Existe una estructura sobresaliente Nr. Estructura sobresaliente

Porque sobresale

Distancia mínima de otro conjunto (m)

Excavado

Operación(es)

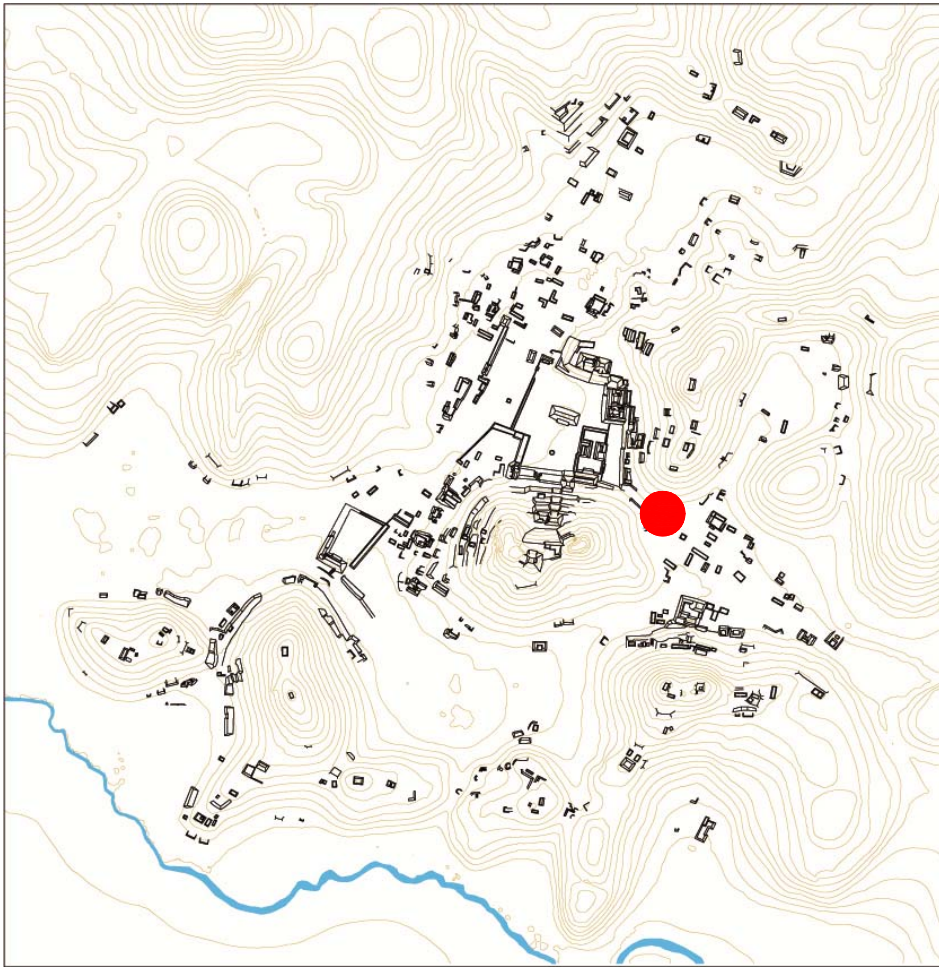
Estructuras de este Conjunto

Estructura	Área	Altura	Volumen	Tipo de estructura
C-13	97,79	Mts2 1	Mts 97,79	Mts3 plataforma basal
C-14	110,23	Mts2 1	Mts 110,23	Mts3 plataforma rectangular

Observaciones

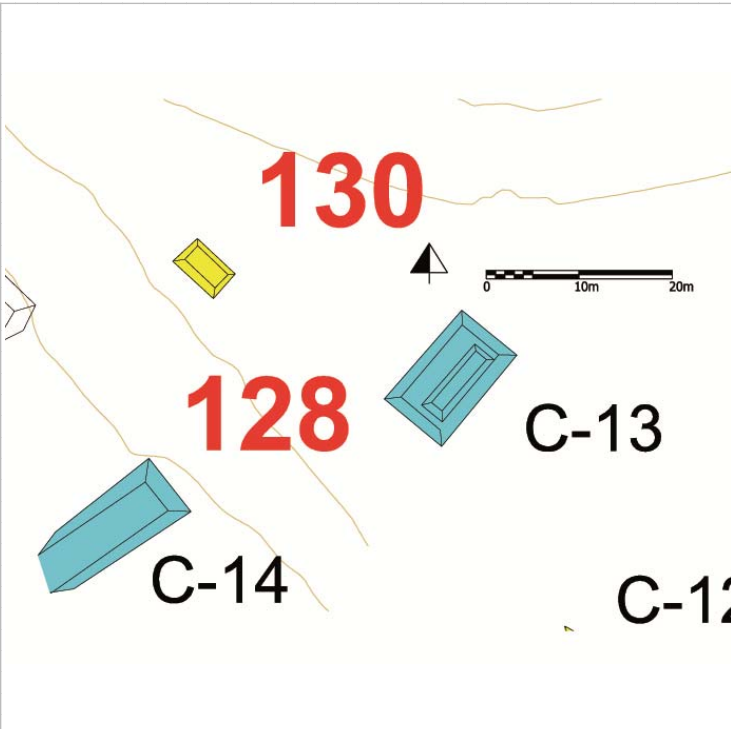
Estas dos estructuras se consideraron pareadas ya que se encuentran enfrentadas en una posición privilegiada para controlar el acceso (o la salida) al (desde el) Grupo Central-monumental.

Localización en el sitio



Mapa

Fotografía conjunto



Cédula de Conjunto arquitectónico

Sitio Chinikihá

Conjunto CHK/C129

Tipo de Conjunto Plataformas pareadas

Emplazamiento Planicie

Preparación del terreno Nignuna

N estructuras 2

Área espacio compartido/
espacio disponible (m2)

Existe una estructura sobresaliente No Nr. Estructura sobresaliente No

Porque sobresale

Distancia mínima de otro conjunto (m) 18,9

Excavado Si

Operación(es) 140

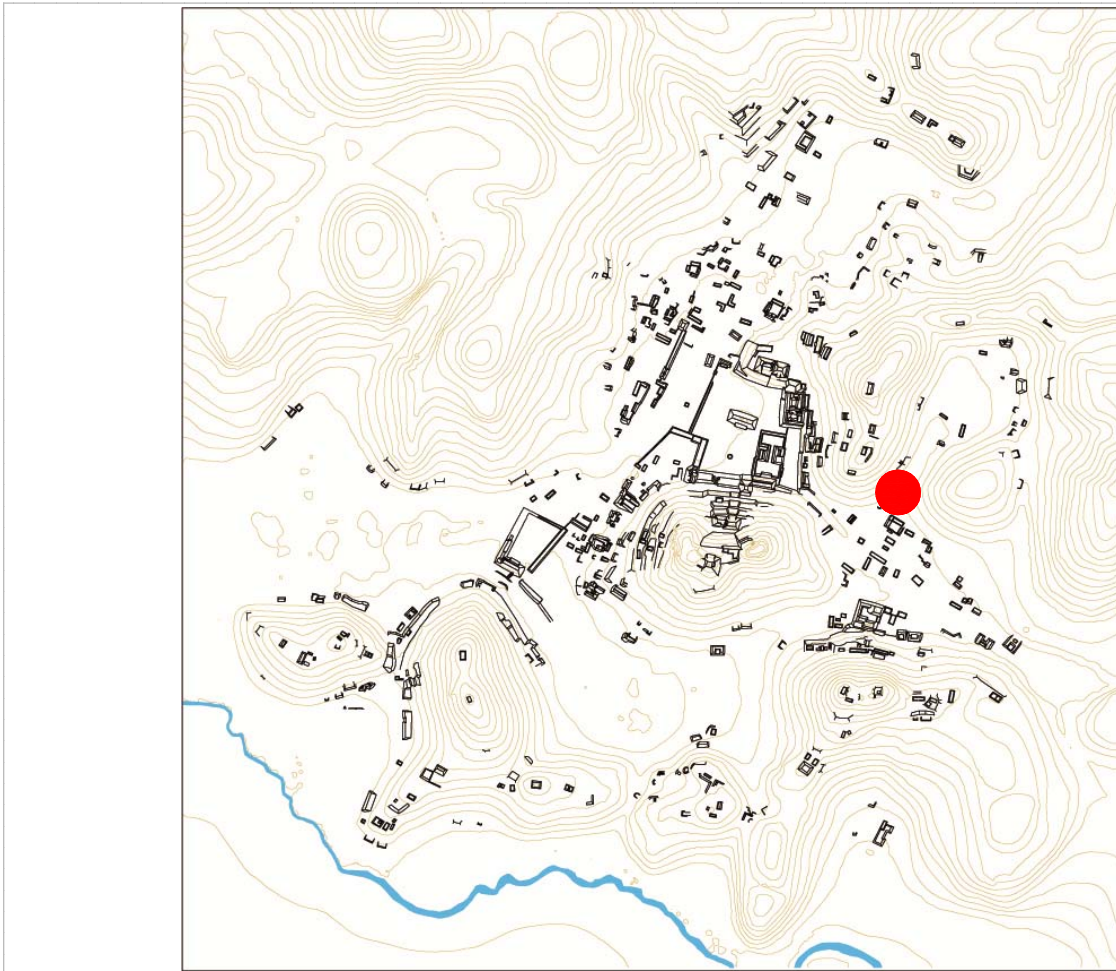
Estructuras de este Conjunto

Estructura	Área	Altura	Volumen	Tipo de estructura
C-6	59,29	Mts2 ,5	Mts 29,645	Mts3 plataforma cuadrangular

Observaciones

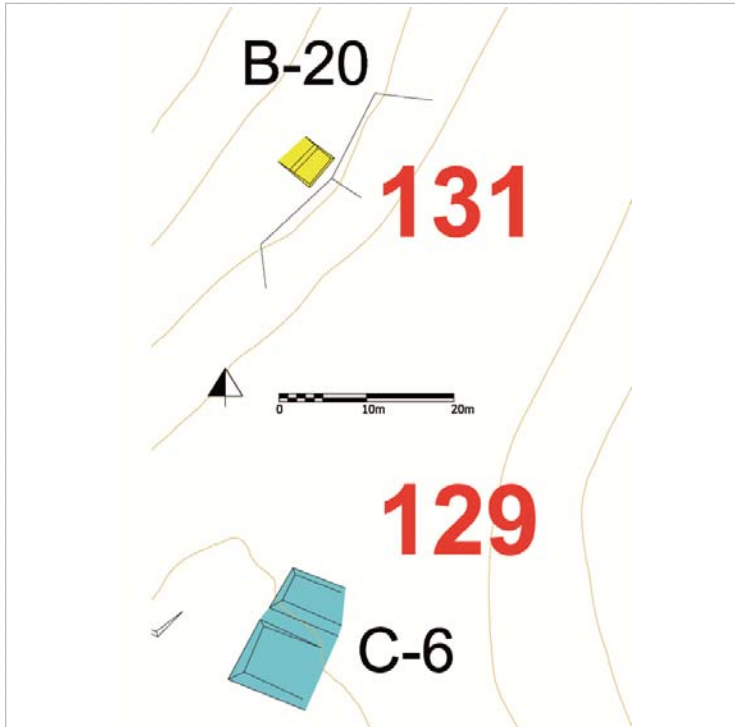
Estas dos pequeña plataformas fueron objeto de excavación en el año 2008; se encuentran cercanas al acceso al Grupo B.

Localización en el sitio



Mapa

Fotografía conjunto



Cédula de Conjunto arquitectónico

Sitio

Conjunto

Tipo de Conjunto

Emplazamiento

Preparación del terreno

N estructuras

Área espacio compartido/
espacio disponible (m2)

Existe una estructura sobresaliente

Nr. Estructura sobresaliente

Porque sobresale

Distancia mínima de otro conjunto (m)

Excavado

Operación(es)

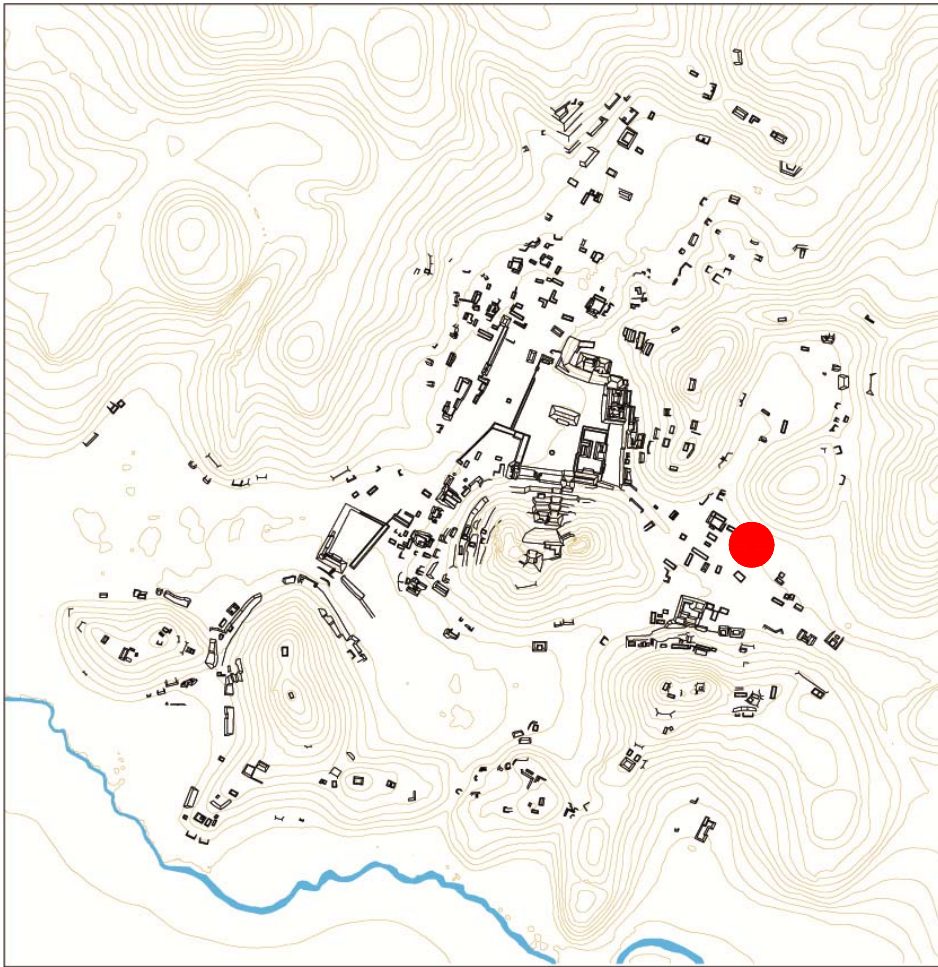
Estructuras de este Conjunto

Estructura	Área	Altura	Volumen	Tipo de estructura

Observaciones

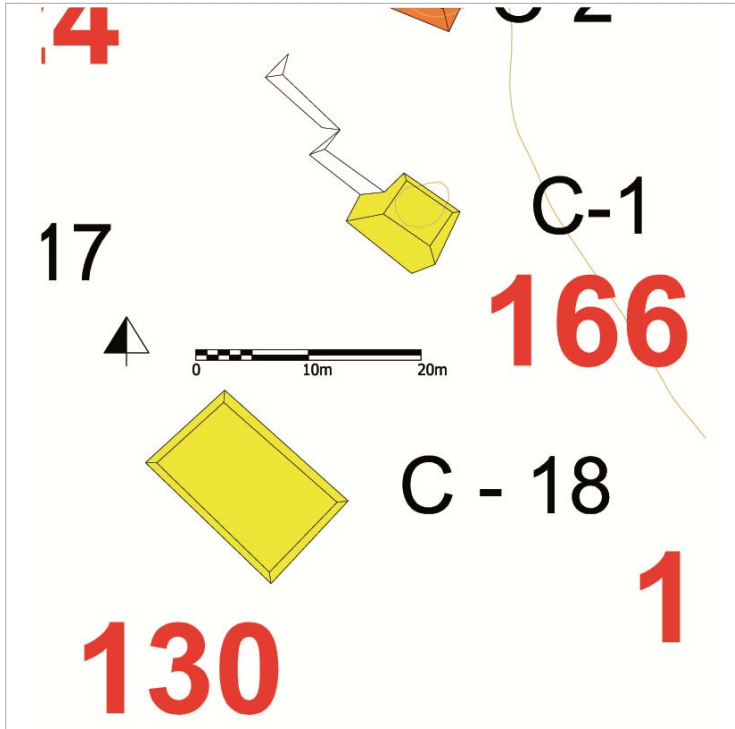
Se trata de una pequeña plataforma aislada; en su construcción se aprovechó de parte del afloramiento de roca caliza que caracteriza esta parte del Grupo C.

Localización en el sitio



Mapa

Fotografía conjunto



Cédula de Conjunto arquitectónico

Sitio Chinikihá

Conjunto CHK/B131

Tipo de Conjunto Aislada

Emplazamiento Ladera de cerro

Preparación del terreno Contención
Nivelación

N estructuras 1

Área espacio compartido/
espacio disponible (m2)

Existe una estructura sobresaliente No Nr. Estructura sobresaliente No

Porque sobresale

Distancia mínima de otro conjunto (m) 43,78

Excavado No

Operación(es)

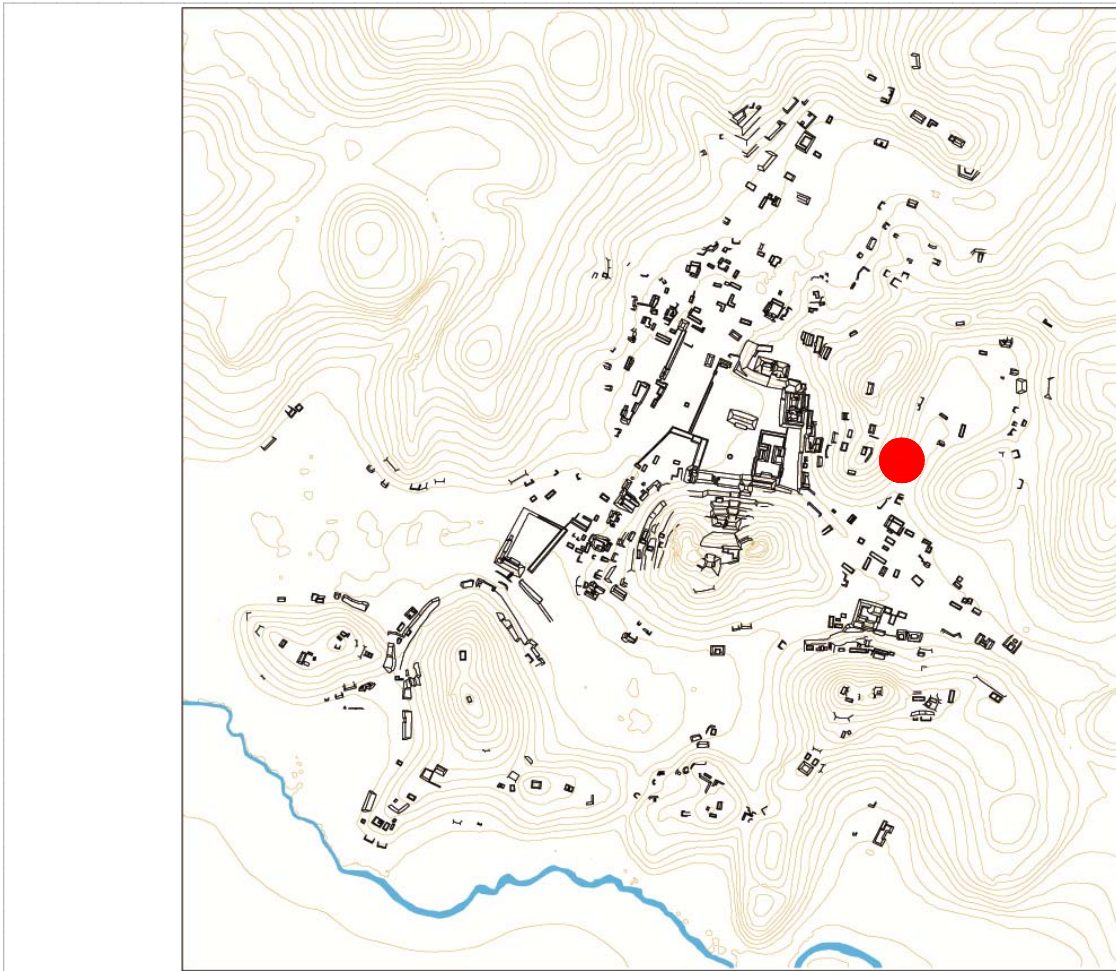
Estructuras de este Conjunto

Estructura	Área	Altura	Volumen	Tipo de estructura
B-20	20,68	Mts2 ,3	Mts 6,204	Mts3 plataforma cuadrangular

Observaciones

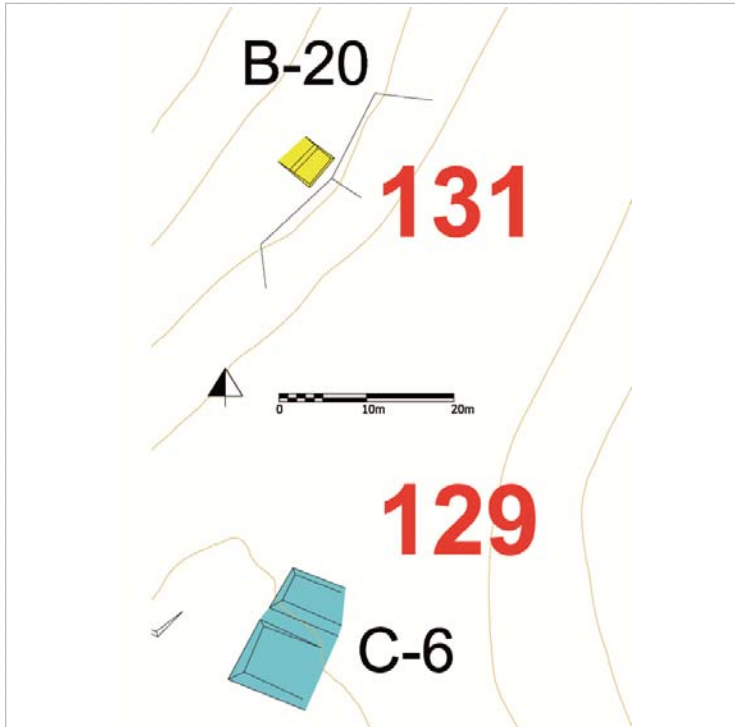
Se trata de una amplia terraza, que manifiesta obras de contención y nivelación de la ladera del cerro, en donde se encuentra una sólo estructura, la B-20.

Localización en el sitio



Mapa

Fotografía conjunto



Cédula de Conjunto arquitectónico

Sitio

Conjunto

Tipo de Conjunto

Emplazamiento

Preparación del terreno

N estructuras

Área espacio compartido/
espacio disponible (m2)

Existe una estructura sobresaliente

Nr. Estructura sobresaliente

Porque sobresale

Distancia mínima de otro conjunto (m)

Excavado

Operación(es)

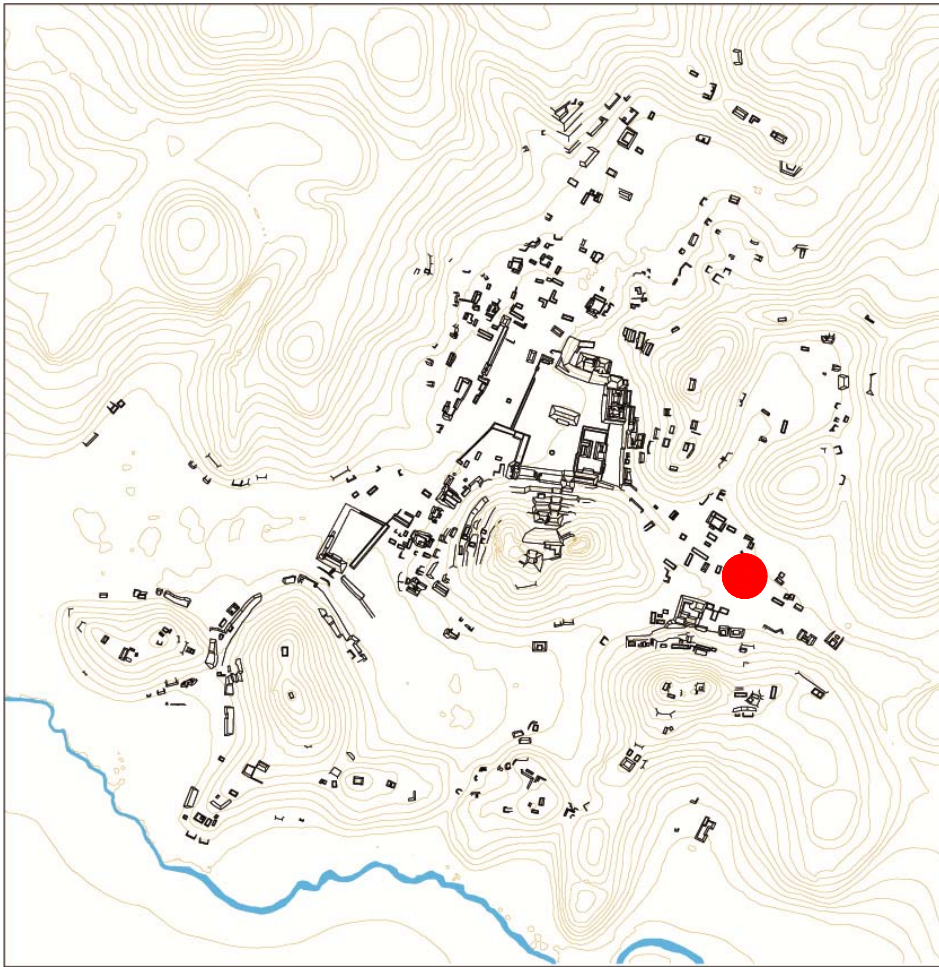
Estructuras de este Conjunto

Estructura	Área	Altura	Volumen	Tipo de estructura

Observaciones

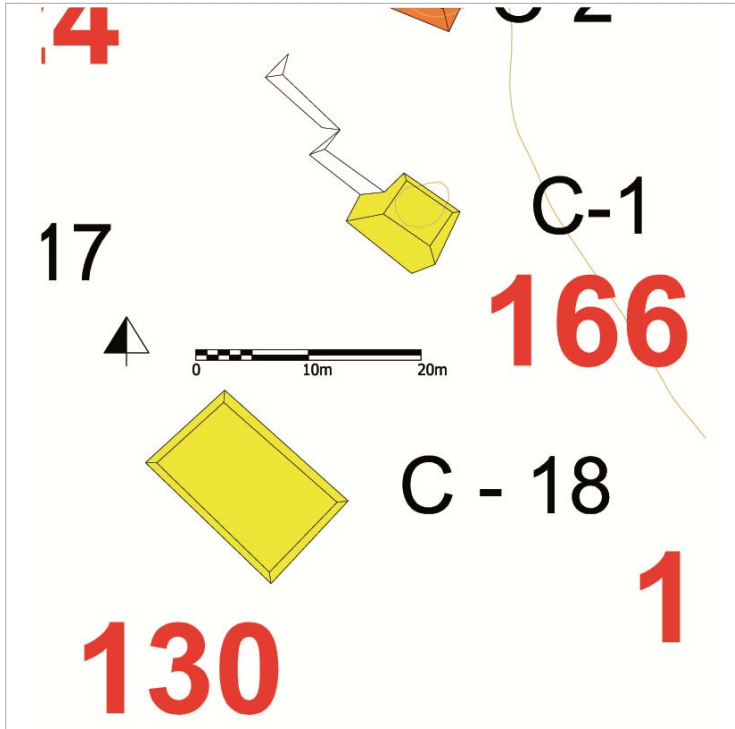
Se trata de una plataforma aislada de grandes dimensiones.

Localización en el sitio



Mapa

Fotografía conjunto



Cédula de Conjunto arquitectónico

Sitio

Conjunto

Tipo de Conjunto

Emplazamiento

Preparación del terreno

N estructuras

Área espacio compartido/
espacio disponible (m2)

Existe una estructura sobresaliente

Nr. Estructura sobresaliente

Porque sobresale

Distancia mínima de otro conjunto (m)

Excavado

Operación(es)

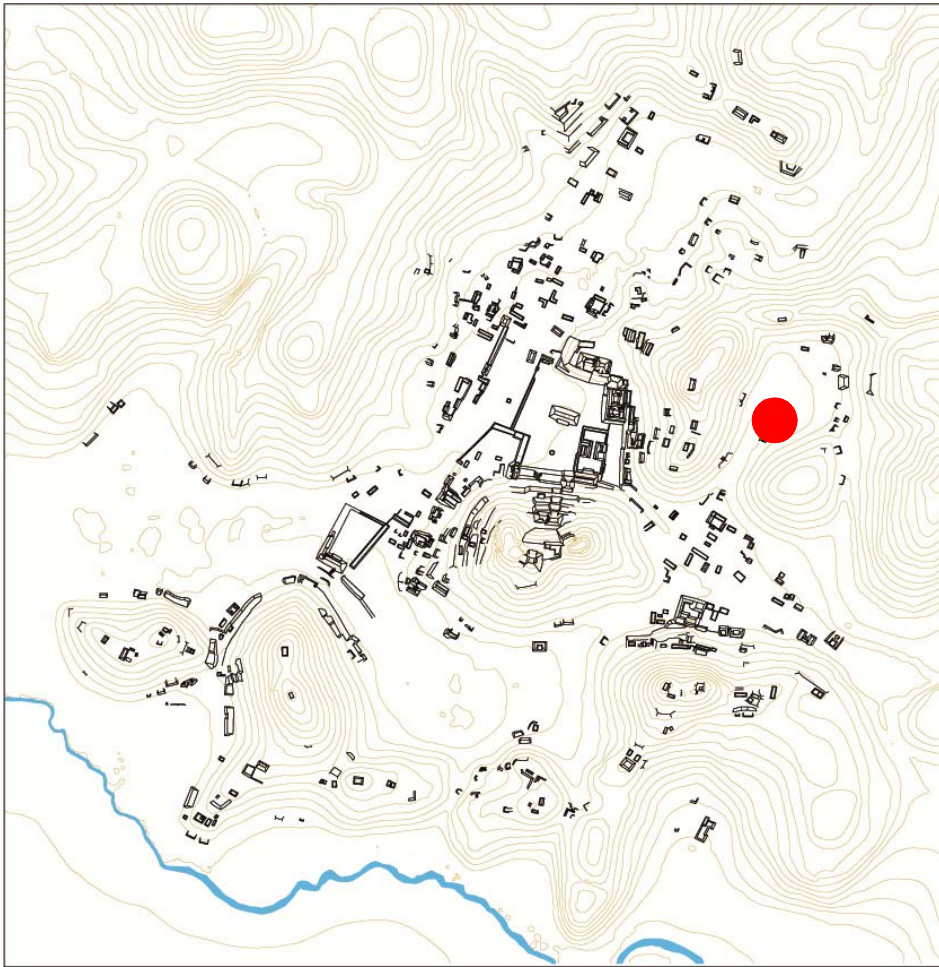
Estructuras de este Conjunto

Estructura	Área	Altura	Volumen	Tipo de estructura
B-1	49,68	Mts2 2	Mts 99,36	Mts3 plataforma cuadrangular
B-2	111	Mts2 ,5	Mts 55,5	Mts3 plataforma rectangular
B-3	50,54	Mts2 ,3	Mts 15,162	Mts3 plataforma rectangular

Observaciones

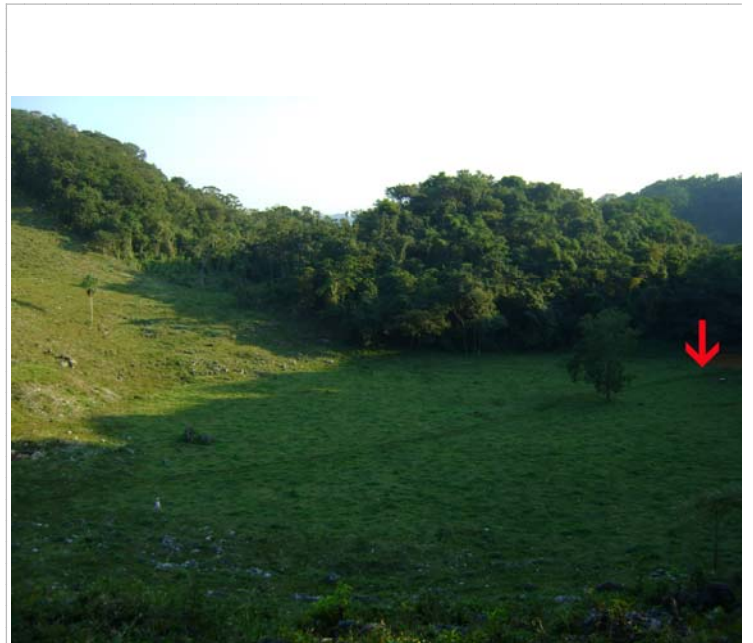
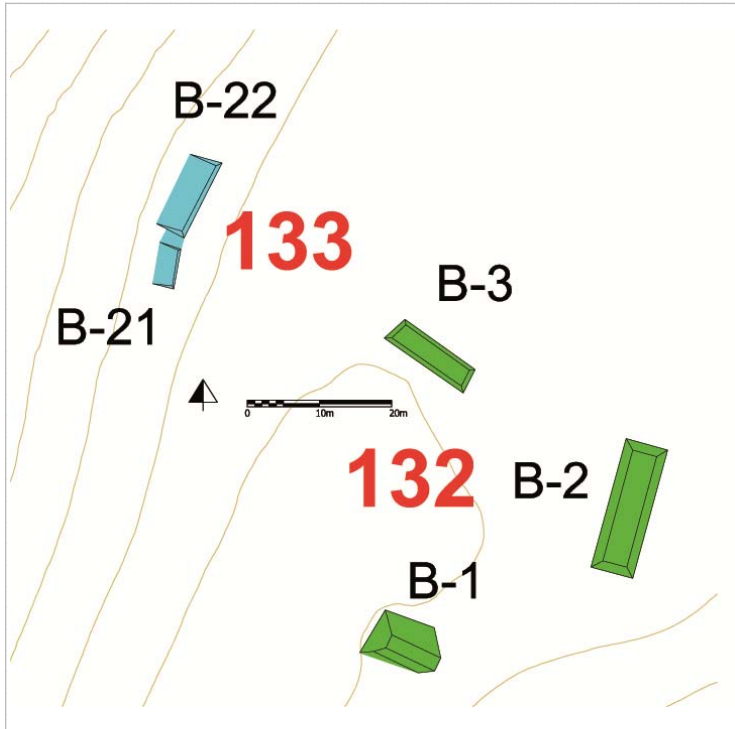
Este conjunto se consideró informal por la presencia de estas 3 sóloas plataformas en la "arena" del Grupo B, aunque su distancia sea notable, por lo que no se consideró que conformaran un patio.

Localización en el sitio



Mapa

Fotografía conjunto



Cédula de Conjunto arquitectónico

Sitio

Conjunto

Tipo de Conjunto

Emplazamiento

Preparación del terreno

N estructuras

Área espacio compartido/
espacio disponible (m2)

Existe una estructura sobresaliente Nr. Estructura sobresaliente

Porque sobresale

Distancia mínima de otro conjunto (m)

Excavado

Operación(es)

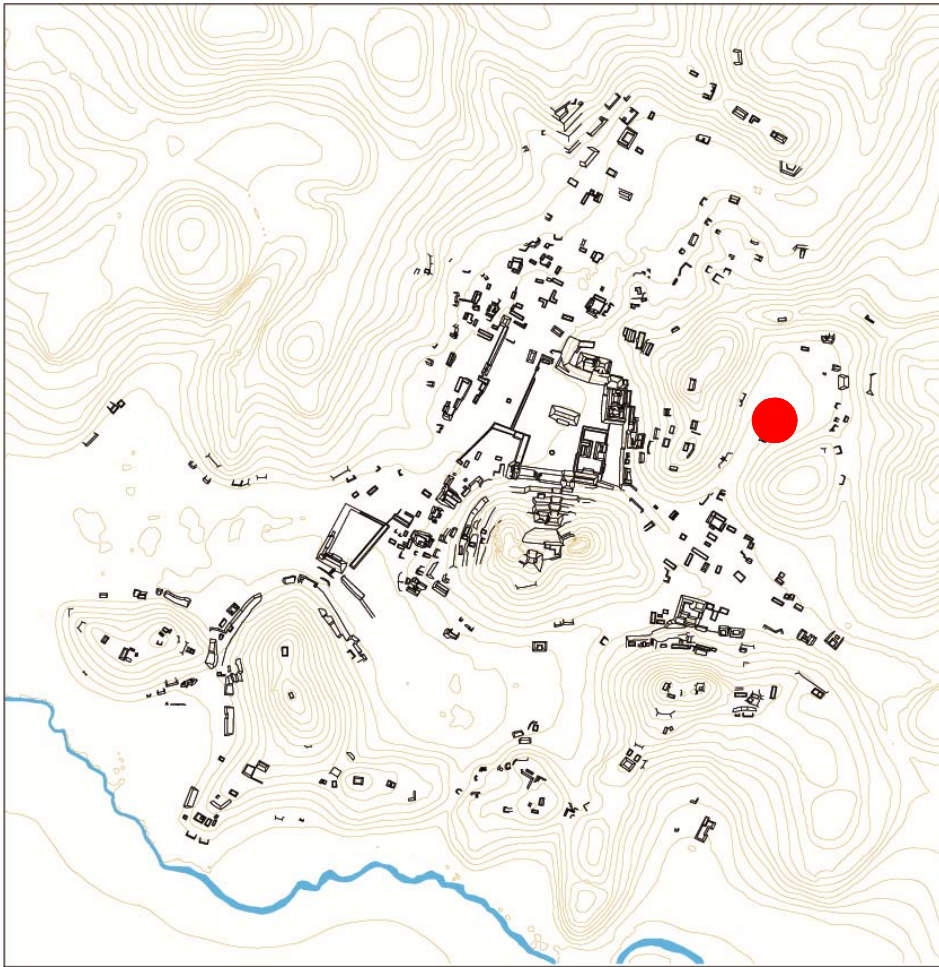
Estructuras de este Conjunto

Estructura	Área	Altura	Volumen	Tipo de estructura
B-21	16,8	Mts2 ,2	Mts 3,36	Mts3 plataforma rectangular
B-22	52,2	Mts2 ,4	Mts 20,88	Mts3 plataforma rectangular

Observaciones

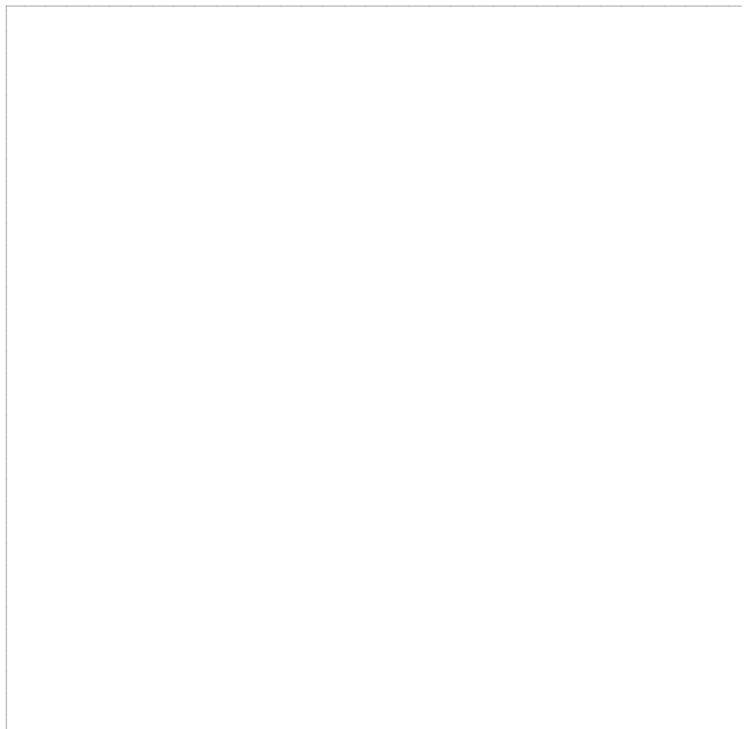
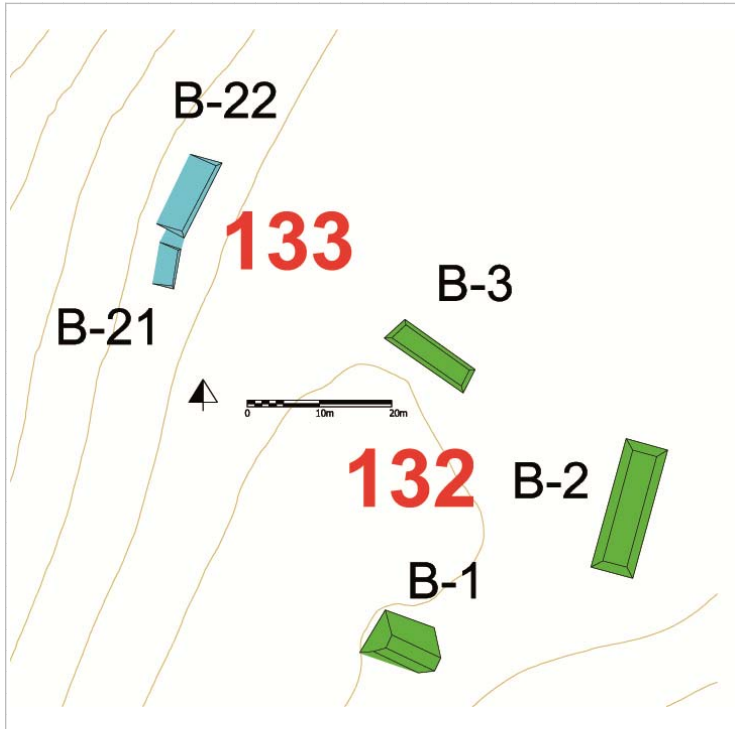
Se trata de dos plattaformas de dimensiones modestas que ocupan una terraza parcialmente natural, ya que es evidente que la ladera del cerro fue trabajada para permitir tanto el nivelamento de la superficie como la estabilidad del cerro.

Localización en el sitio



Mapa

Fotografía conjunto



Cédula de Conjunto arquitectónico

Sitio

Conjunto

Tipo de Conjunto

Emplazamiento

Preparación del terreno

N estructuras

Área espacio compartido/
espacio disponible (m2)

Existe una estructura sobresaliente Nr. Estructura sobresaliente

Porque sobresale

Distancia mínima de otro conjunto (m)

Excavado

Operación(es)

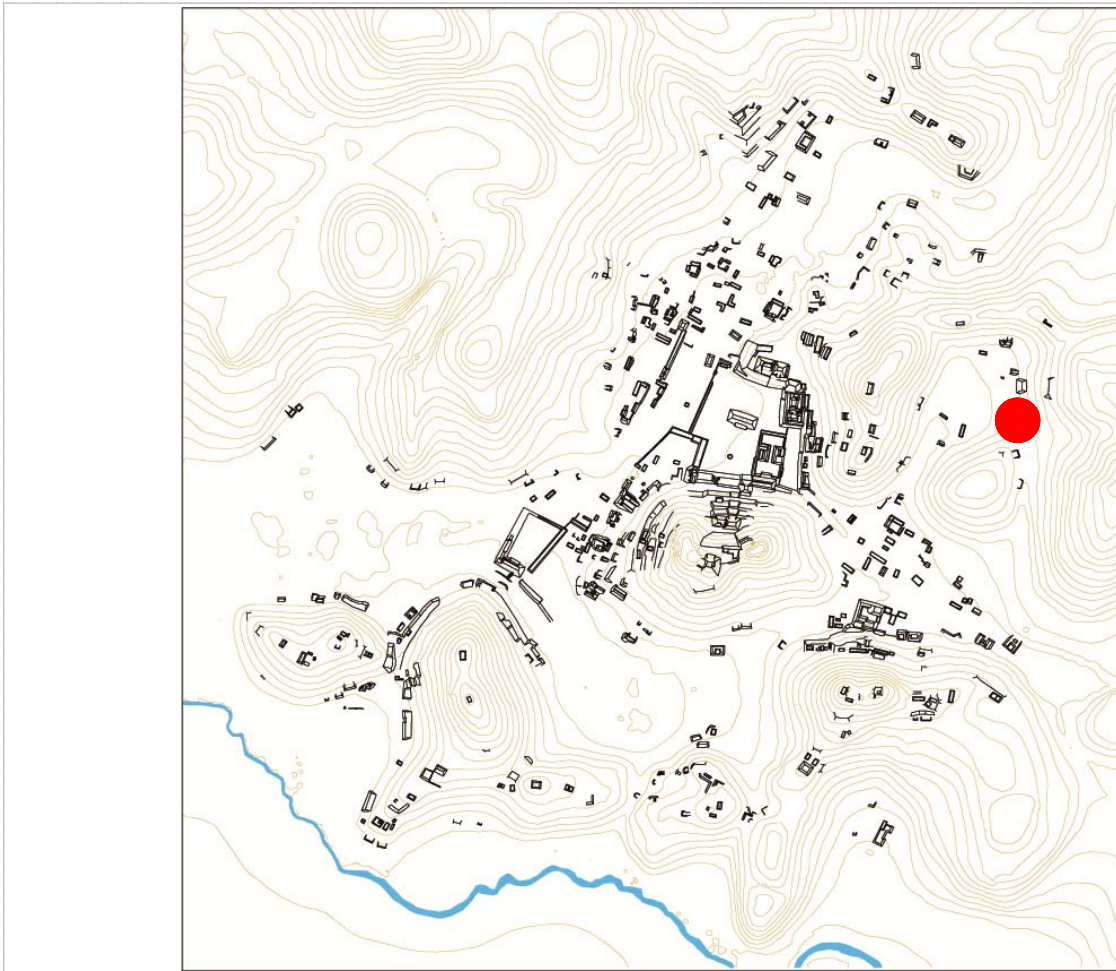
Estructuras de este Conjunto

Estructura	Área	Altura	Volumen	Tipo de estructura
B-4	36,48	Mts2 1	Mts 36,48	Mts3 plataforma rectangular
B-5	36,54	Mts2 1	Mts 36,54	Mts3 plataforma cuadrangular
B-6	50,96	Mts2 1	Mts 50,96	Mts3 plataforma rectangular

Observaciones

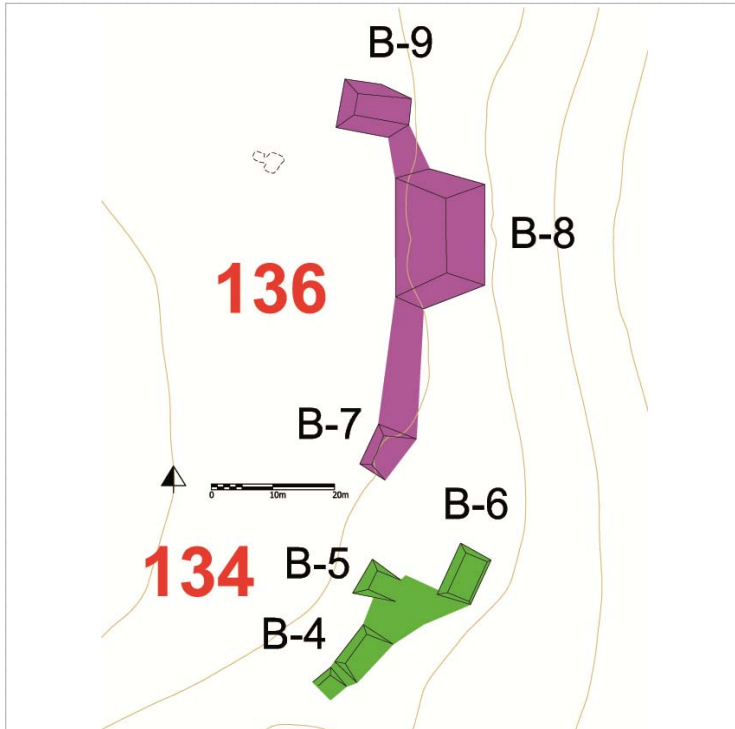
Se trata de tres entre plataformas y terrazas que ocupan parte del pié de monte y ladera del cerro Este del Grupo B. Su estado de conservación es malo debido al uso ganadero del lugar, por lo que no se pueden formular más consideraciones.

Localización en el sitio



Mapa

Fotografía conjunto



Cédula de Conjunto arquitectónico

Sitio

Conjunto

Tipo de Conjunto

Emplazamiento

Preparación del terreno

N estructuras

Área espacio compartido/
espacio disponible (m2)

Existe una estructura sobresaliente Nr. Estructura sobresaliente

Porque sobresale

Distancia mínima de otro conjunto (m)

Excavado

Operación(es)

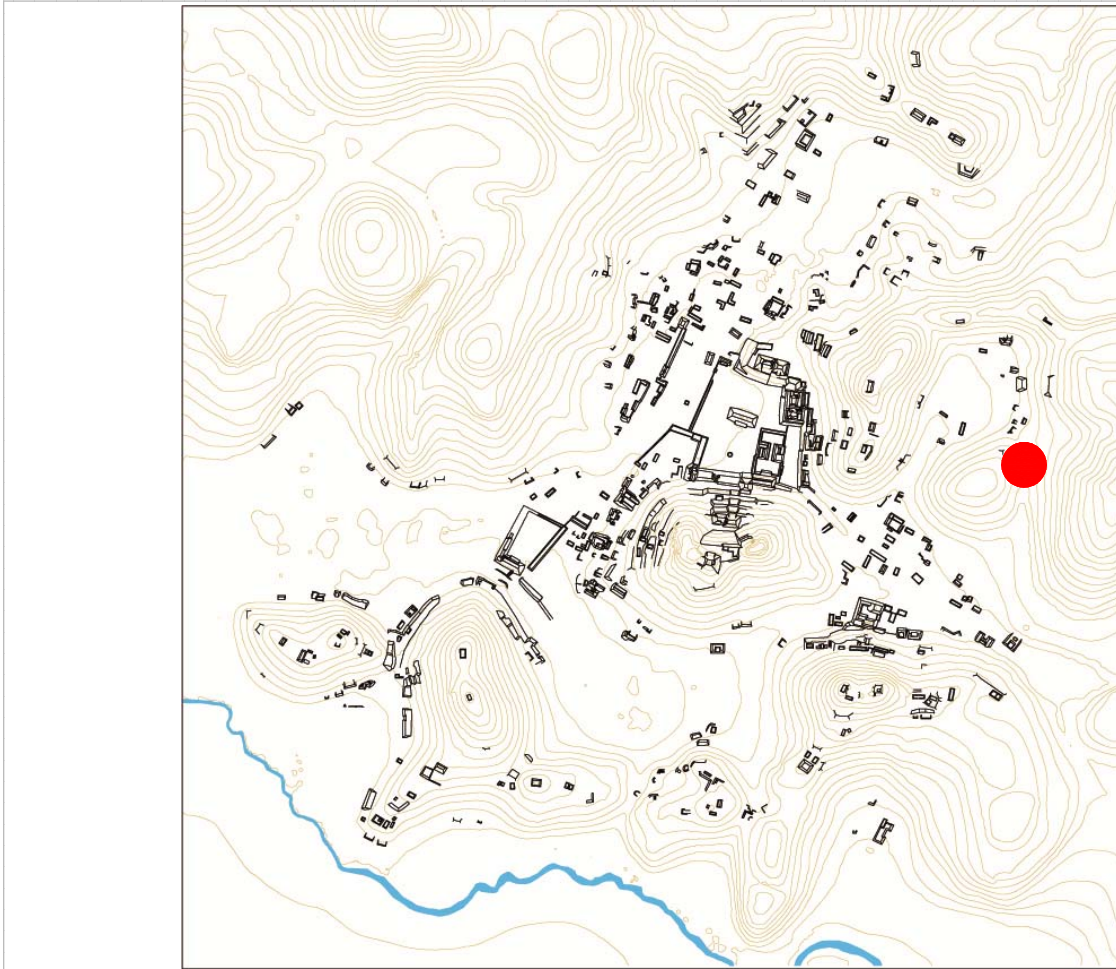
Estructuras de este Conjunto

Estructura	Área	Altura	Volumen	Tipo de estructura
B-18	81,4	Mts2 ,5	Mts 40,7	Mts3 plataforma rectangular
B-19	65,45	Mts2 ,4	Mts 26,18	Mts3 plataforma rectangular

Observaciones

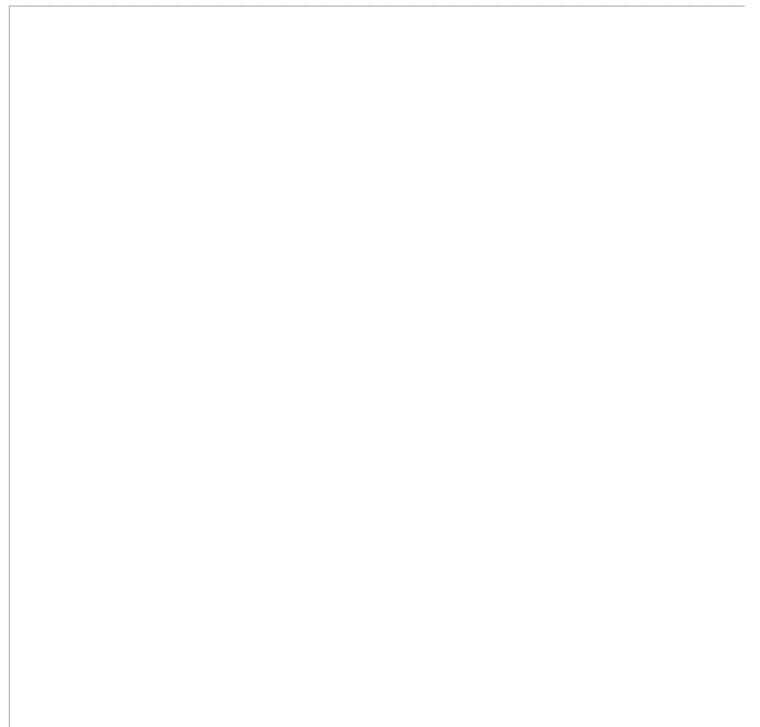
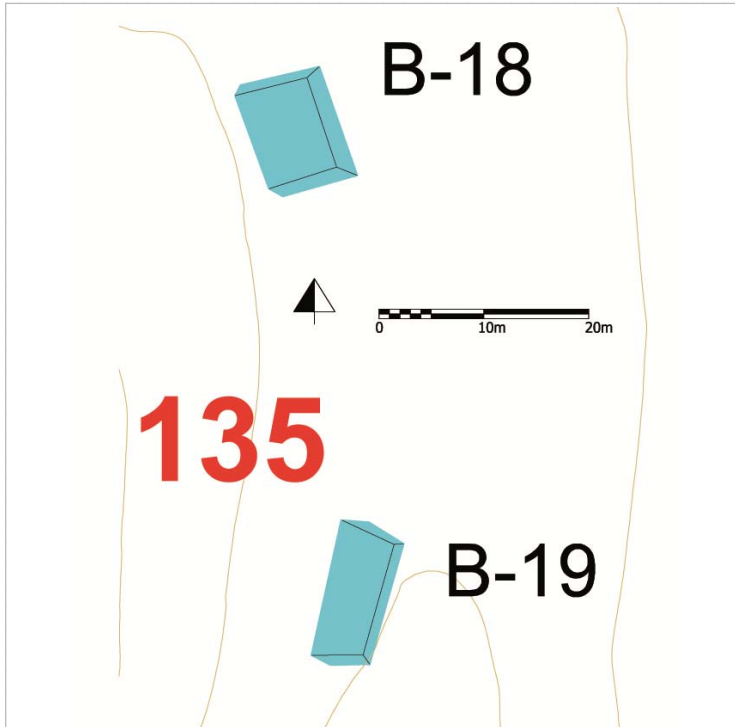
Estas dos plataformas se encuentran en una posición particular, ya que en este lugar se detectó un paso entre la ladera del cerro que delimita e Grupo B, al sur, y el Grupo C.

Localización en el sitio



Mapa

Fotografía conjunto



Cédula de Conjunto arquitectónico

Sitio Chinikihá

Conjunto CHK/B136

Tipo de Conjunto Lineal

Emplazamiento Ladera de cerro

Preparación del terreno Nivelación
Contención

N estructuras 3

Área espacio compartido/
espacio disponible (m2)

Existe una estructura sobresaliente B-8 Nr. Estructura sobresaliente B-8

Porque sobresale Volumen constructivo

Distancia mínima de otro conjunto (m) 12,96

Excavado Si Operación(es) 141

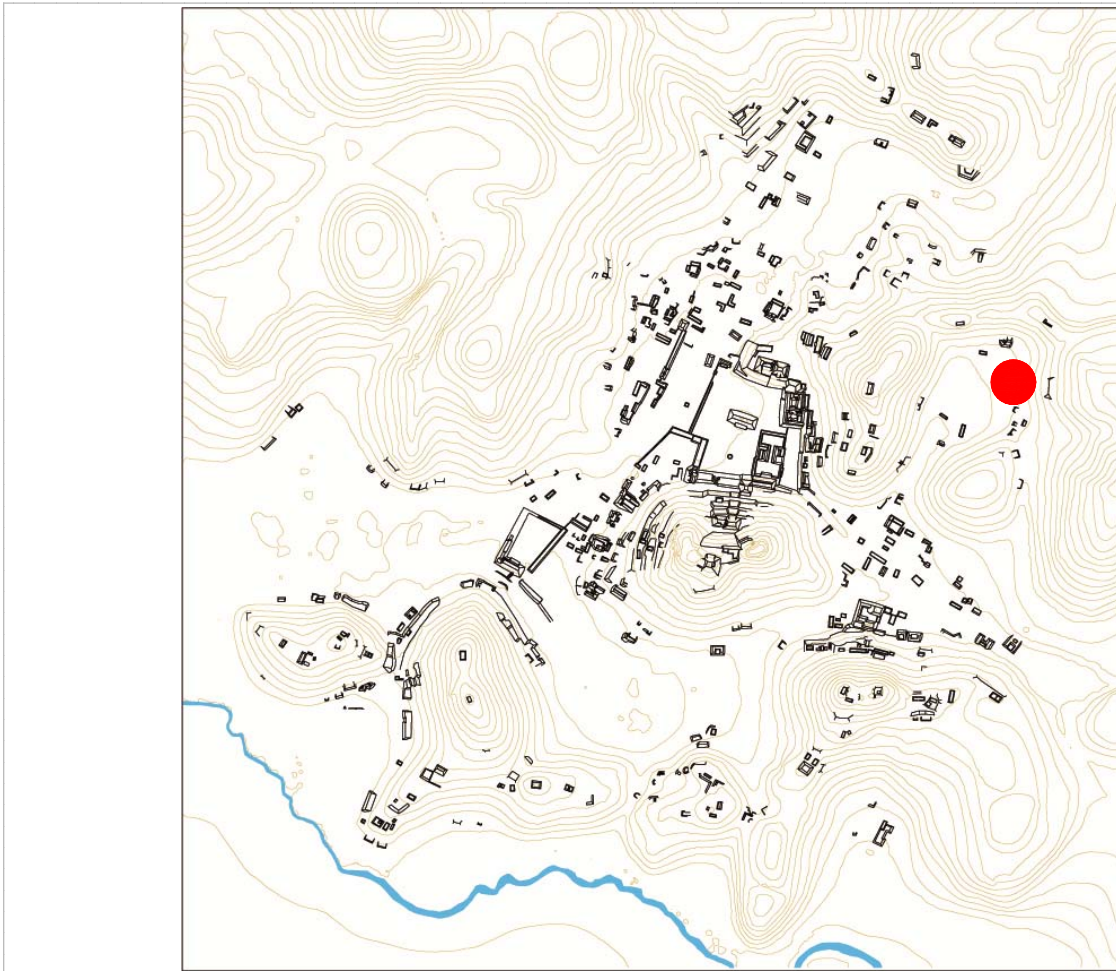
Estructuras de este Conjunto

Estructura	Área	Altura	Volumen	Tipo de estructura
B-7	34,79	Mts2 1	Mts 34,79	Mts3 plataforma rectangular
B-8	108,87	Mts2 5,5	Mts 598,785	Mts3 plataforma rectangular
B-9	48	Mts2 1,5	Mts 72	Mts3 plataforma rectangular

Observaciones

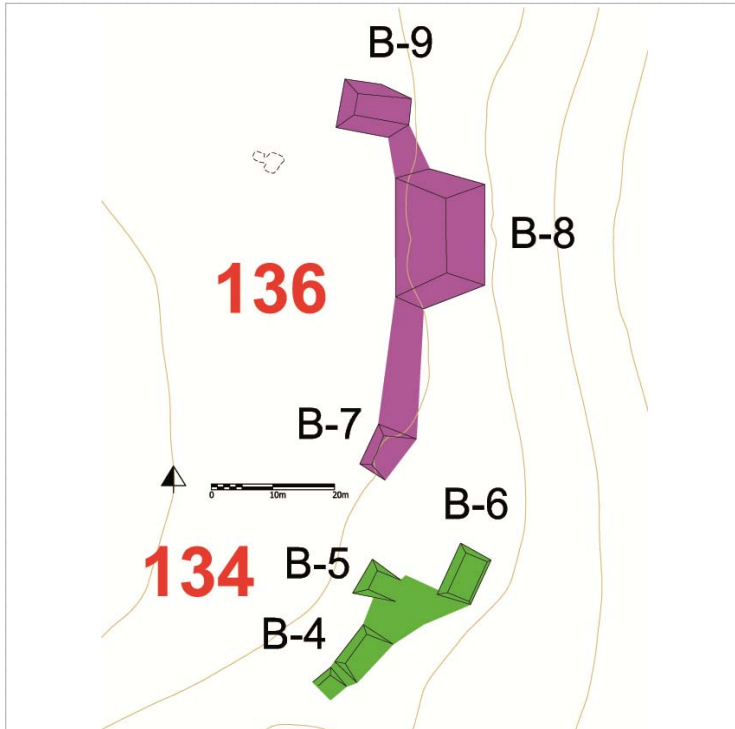
Se trata de 3 estructuras heterogéneas que conforman un conjunto lineal, entre ellas sobresale la terraza B-8, que con una altura de 5.5 mts desplanta en el pie de monte hasta apoyarse en la ladera del cerro.

Localización en el sitio



Mapa

Fotografía conjunto



Cédula de Conjunto arquitectónico

Sitio

Conjunto

Tipo de Conjunto

Emplazamiento

Preparación del terreno

N estructuras

Área espacio compartido/
espacio disponible (m2)

Existe una estructura sobresaliente

Nr. Estructura sobresaliente

Porque sobresale

Distancia mínima de otro conjunto (m)

Excavado

Operación(es)

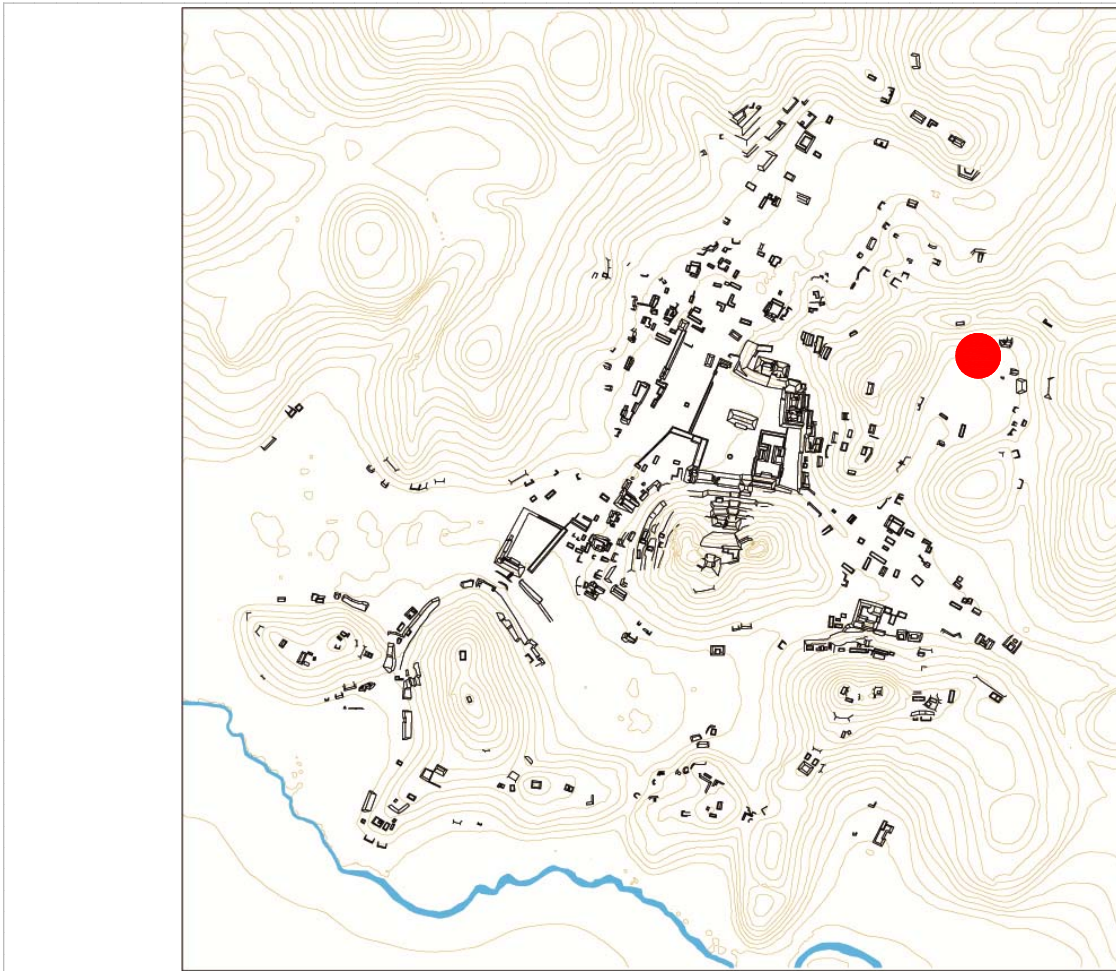
Estructuras de este Conjunto

Estructura	Área	Altura	Volumen	Tipo de estructura
B-12	55	Mts2 ,5	Mts 27,5	Mts3 plataforma rectangular

Observaciones

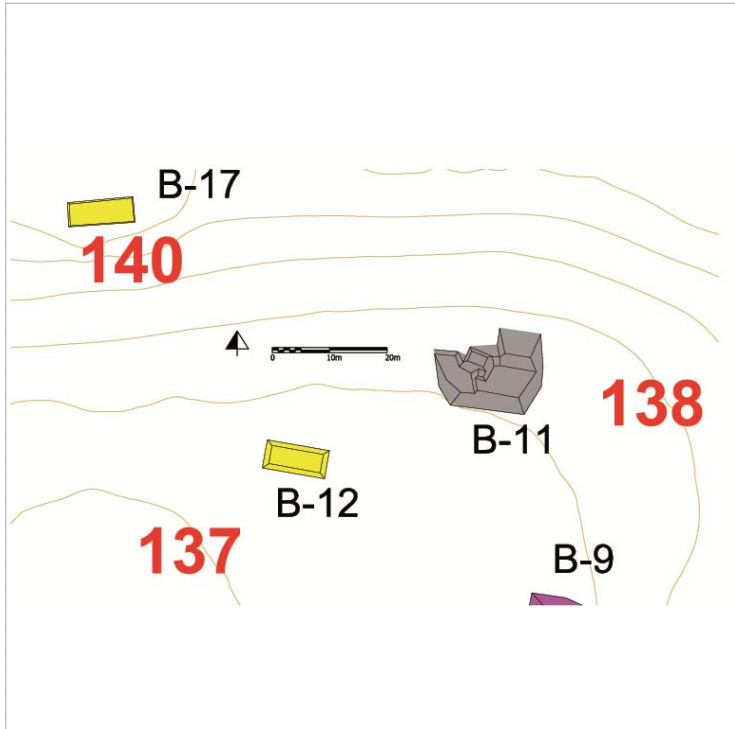
Se trata de una pequeña plataforma en mal estado de conservación.

Localización en el sitio



Mapa

Fotografía conjunto



Cédula de Conjunto arquitectónico

Sitio

Conjunto

Tipo de Conjunto

Emplazamiento

Preparación del terreno

N estructuras

Área espacio compartido/
espacio disponible (m2)

Existe una estructura sobresaliente Nr. Estructura sobresaliente

Porque sobresale

Distancia mínima de otro conjunto (m)

Excavado

Operación(es)

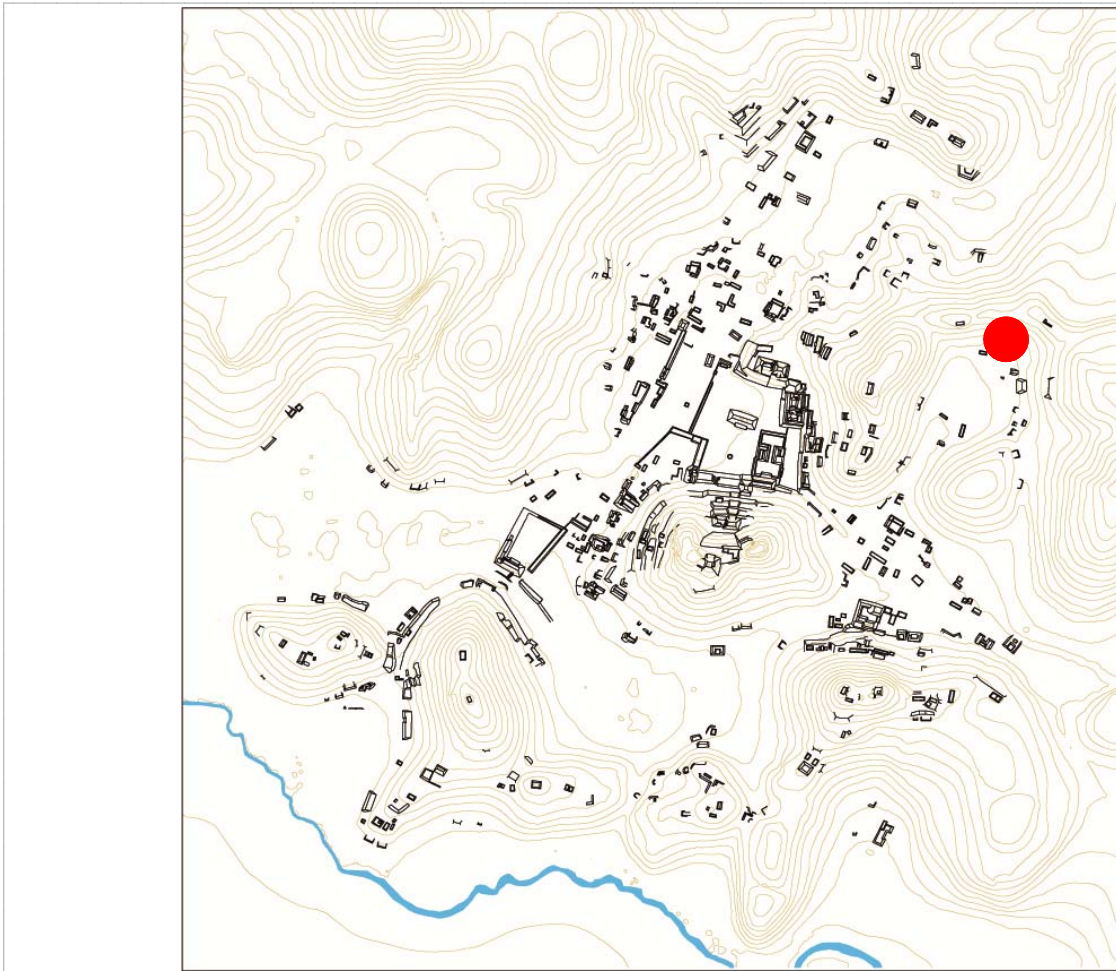
Estructuras de este Conjunto

Estructura	Área	Altura	Volumen	Tipo de estructura
B-11	12,18	Mts2 1	Mts 12,18	Mts3 plataforma rectangular

Observaciones

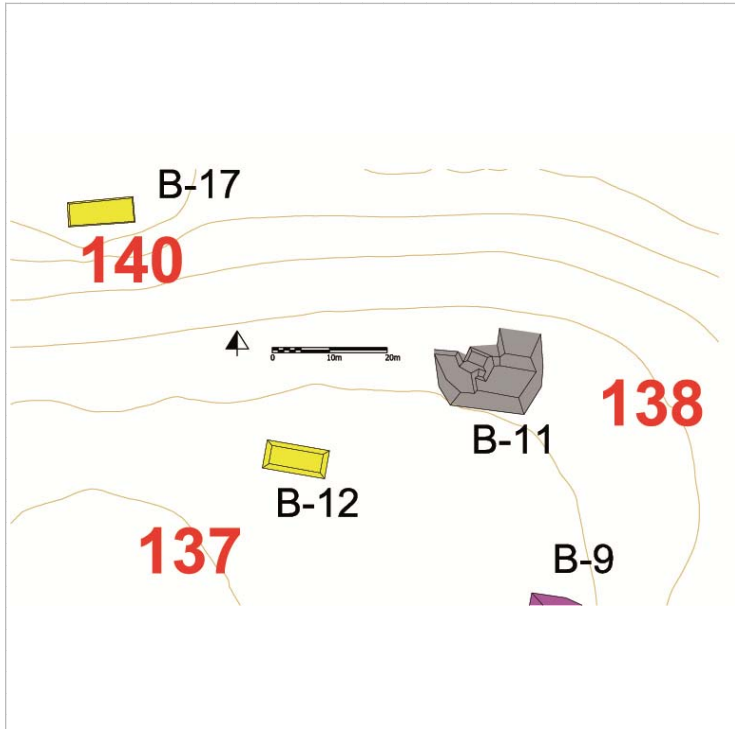
Se trata de un conjunto cuya base se apoya a la ladera del cerro, su estado de conservación es malo debido a la naturaleza ganadera del terreno, por lo que no se pueden formular muchas consideraciones.

Localización en el sitio



Mapa

Fotografía conjunto



Cédula de Conjunto arquitectónico

Sitio Chinikihá

Conjunto CHK/B139

Tipo de Conjunto Aislada

Emplazamiento Cima de cerro

Preparación del terreno Nignuna

N estructuras 1

Área espacio compartido/
espacio disponible (m2)

Existe una estructura sobresaliente No Nr. Estructura sobresaliente No

Porque sobresale

Distancia mínima de otro conjunto (m) 52,37

Excavado No

Operación(es)

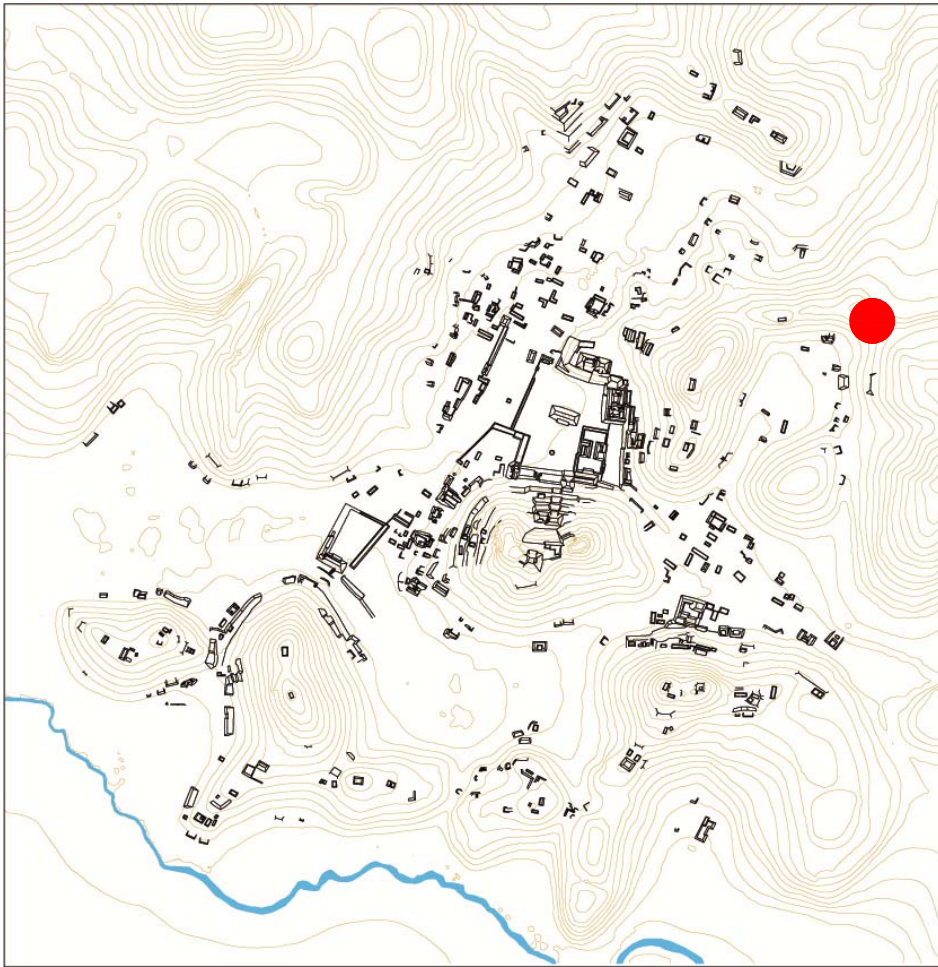
Estructuras de este Conjunto

Estructura	Área	Altura	Volumen	Tipo de estructura
B-10	81,78	Mts2 ,5	Mts 40,89	Mts3 plataforma en forma de L

Observaciones

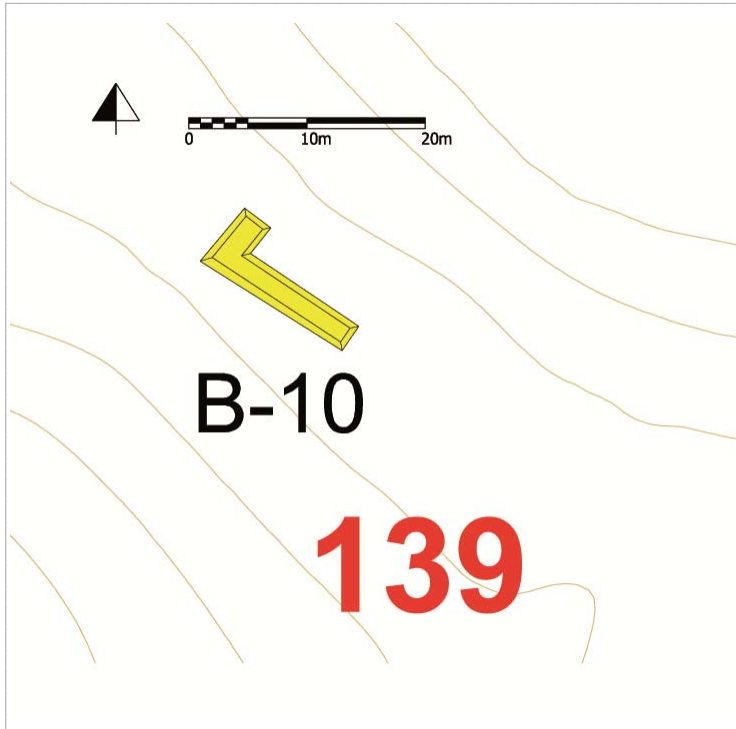
Se trata de una plataforma aislada en forma de L que se encuentra en la cumbre del cerro que moldea y delimita el Grupo B al Nordeste. Desde esta plataforma es posible observar las afueras de Chinikihá hacia el Noreste.

Localización en el sitio



Mapa

Fotografía conjunto



Cédula de Conjunto arquitectónico

Sitio

Conjunto

Tipo de Conjunto

Emplazamiento

Preparación del terreno

N estructuras

Área espacio compartido/
espacio disponible (m2)

Existe una estructura sobresaliente Nr. Estructura sobresaliente

Porque sobresale

Distancia mínima de otro conjunto (m)

Excavado

Operación(es)

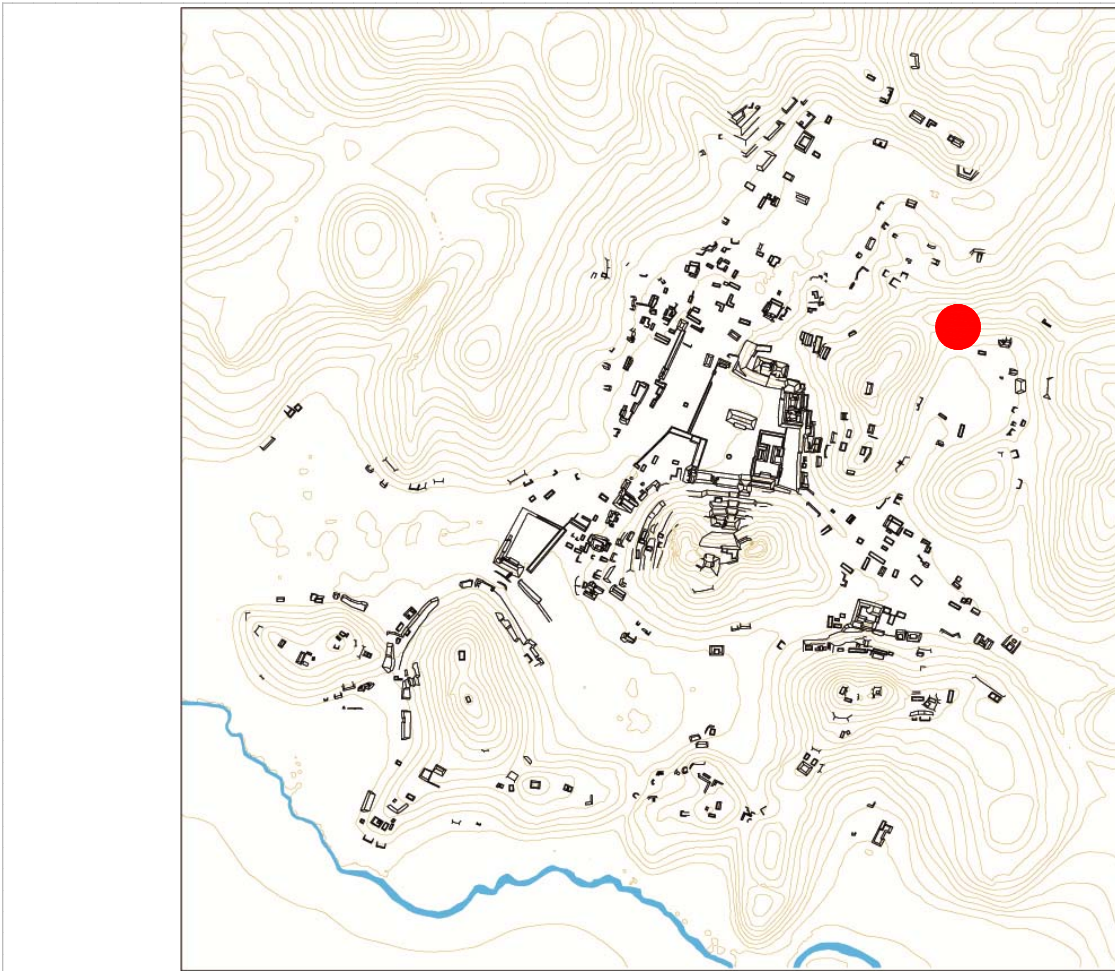
Estructuras de este Conjunto

Estructura	Área	Altura	Volumen	Tipo de estructura
B-17	52,2	Mts2 ,5	Mts 26,1	Mts3 plataforma rectangular

Observaciones

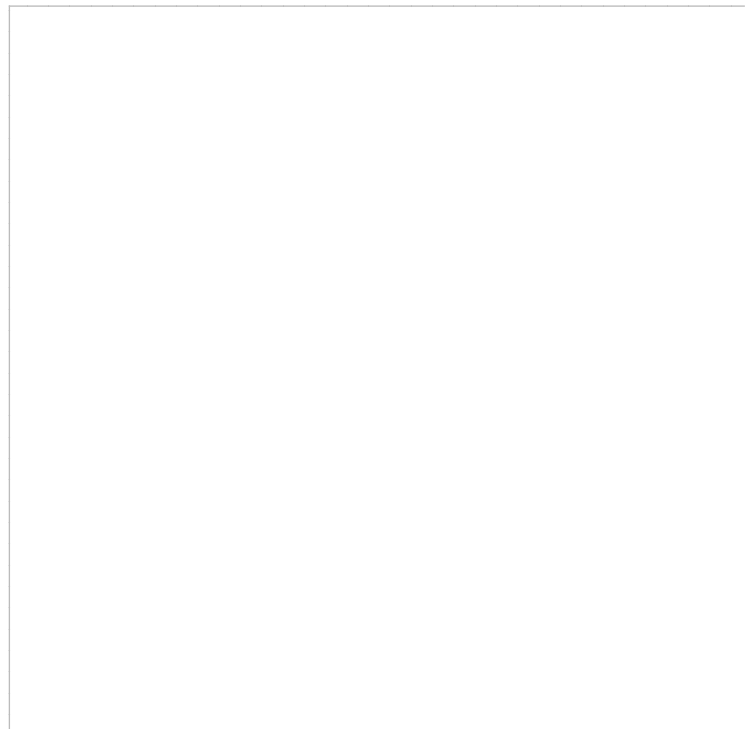
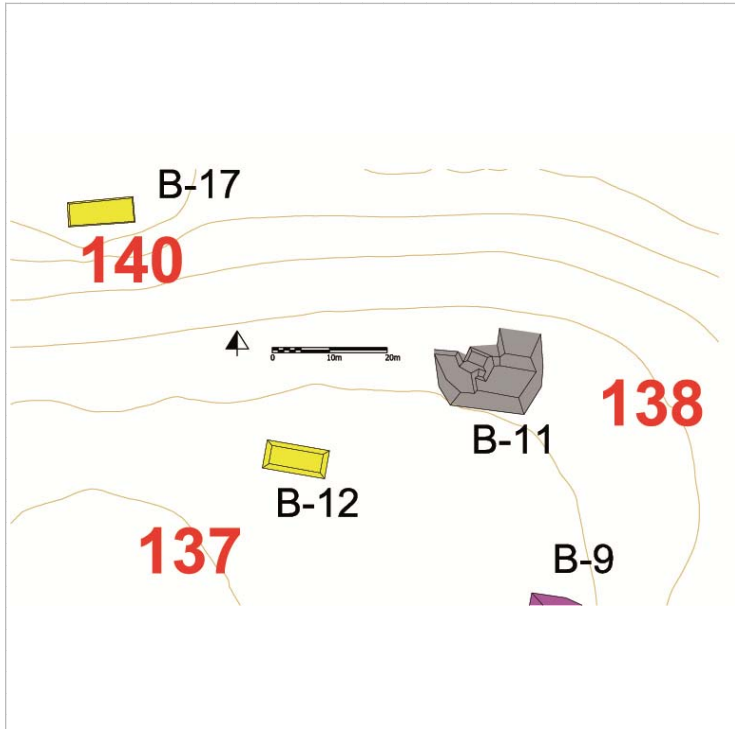
Se trata de una plataforma aislada en la cumbre del cerro que delimita al Norte el Grupo B. Siendo la cumbre estrecha pero sin grandes desniveles, desde este lugar es posible alcanzal el CHK/B139 y el CHK/B141.

Localización en el sitio



Mapa

Fotografía conjunto



Cédula de Conjunto arquitectónico

Sitio Chinikihá

Conjunto CHK/B141

Tipo de Conjunto Lineal

Emplazamiento Cima de cerro

Preparación del terreno Contención
Nivelación

N estructuras 5

Área espacio compartido/
espacio disponible (m2)

Existe una estructura sobresaliente B-13 Nr. Estructura sobresaliente B-13

Porque sobresale Volumen constructivo

Distancia mínima de otro conjunto (m) 24,77

Excavado Si

Operación(es) 171

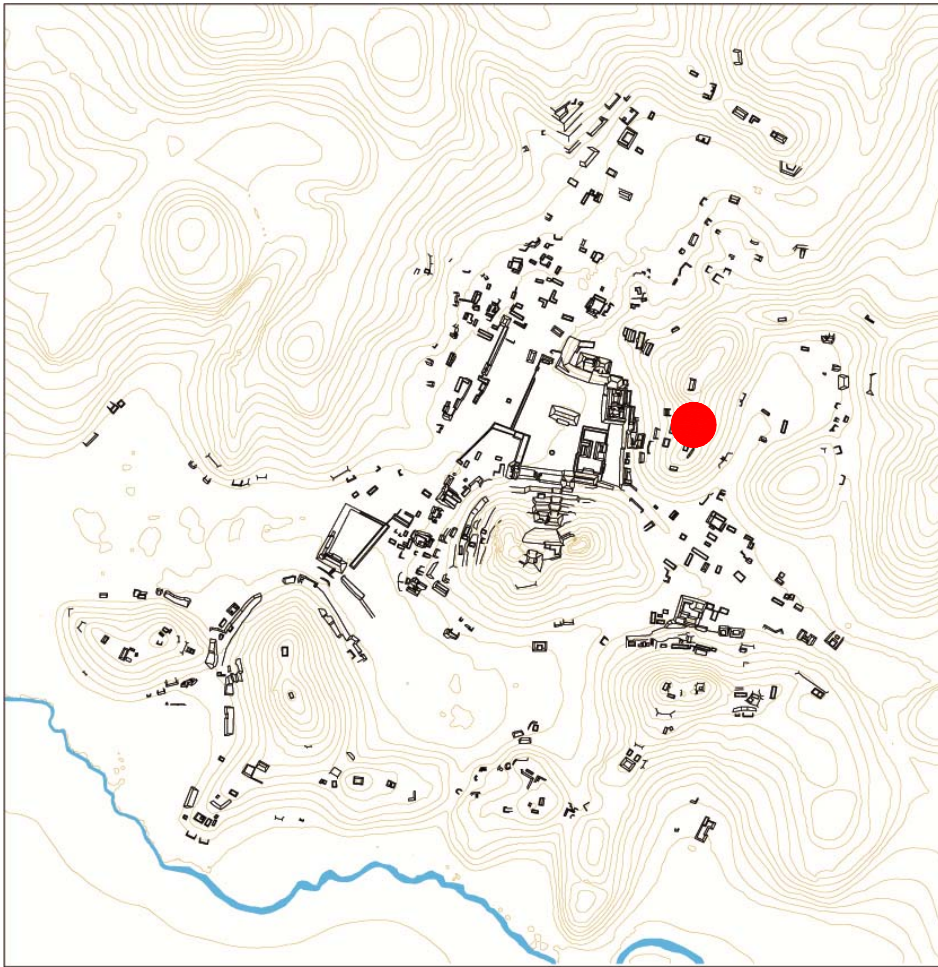
Estructuras de este Conjunto

Estructura	Área	Altura	Volumen	Tipo de estructura
B-13	161	Mts2 3,5	Mts 563,5	Mts3 plataforma rectangular
B-14	107,42	Mts2 1,5	Mts 161,13	Mts3 plataforma rectangular
B-15	307,19	Mts2 ,8	Mts 245,752	Mts3 plataforma basal
B-15a	74,75	Mts2 ,4	Mts 29,9	Mts3 plataforma rectangular
B-16	62,16	Mts2 ,3	Mts 18,648	Mts3 plataforma rectangular

Observaciones

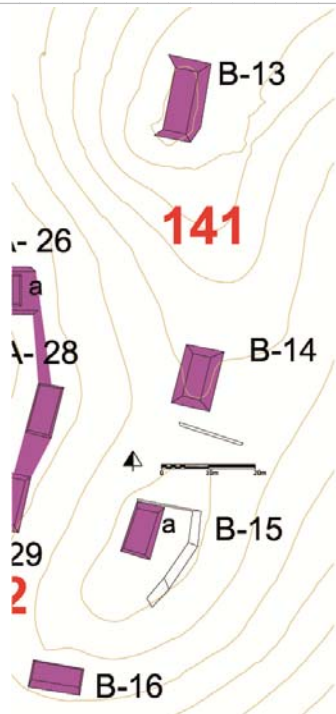
Este conjunto lineal ocupa la cumbre del cerro que separa el Grupo Central-monumental del Grupo B. La cima fue parcialmente trabajada para permitir una continuidad de nivel de la terraza, a menos de la estr. B-16 que se encuentra en un nivel inferior. Sin embargo la posición y cercanía de estas estructuras nos hicieron decidir por su relación, lo que nos llevó a definir las como pertenecientes a un conjunto de tipo línea.

Localización en el sitio



Mapa

Fotografía conjunto



Cédula de Conjunto arquitectónico

Sitio

Conjunto

Tipo de Conjunto

Emplazamiento

Preparación del terreno

N estructuras

Área espacio compartido/
espacio disponible (m2)

Existe una estructura sobresaliente Nr. Estructura sobresaliente

Porque sobresale

Distancia mínima de otro conjunto (m)

Excavado

Operación(es)

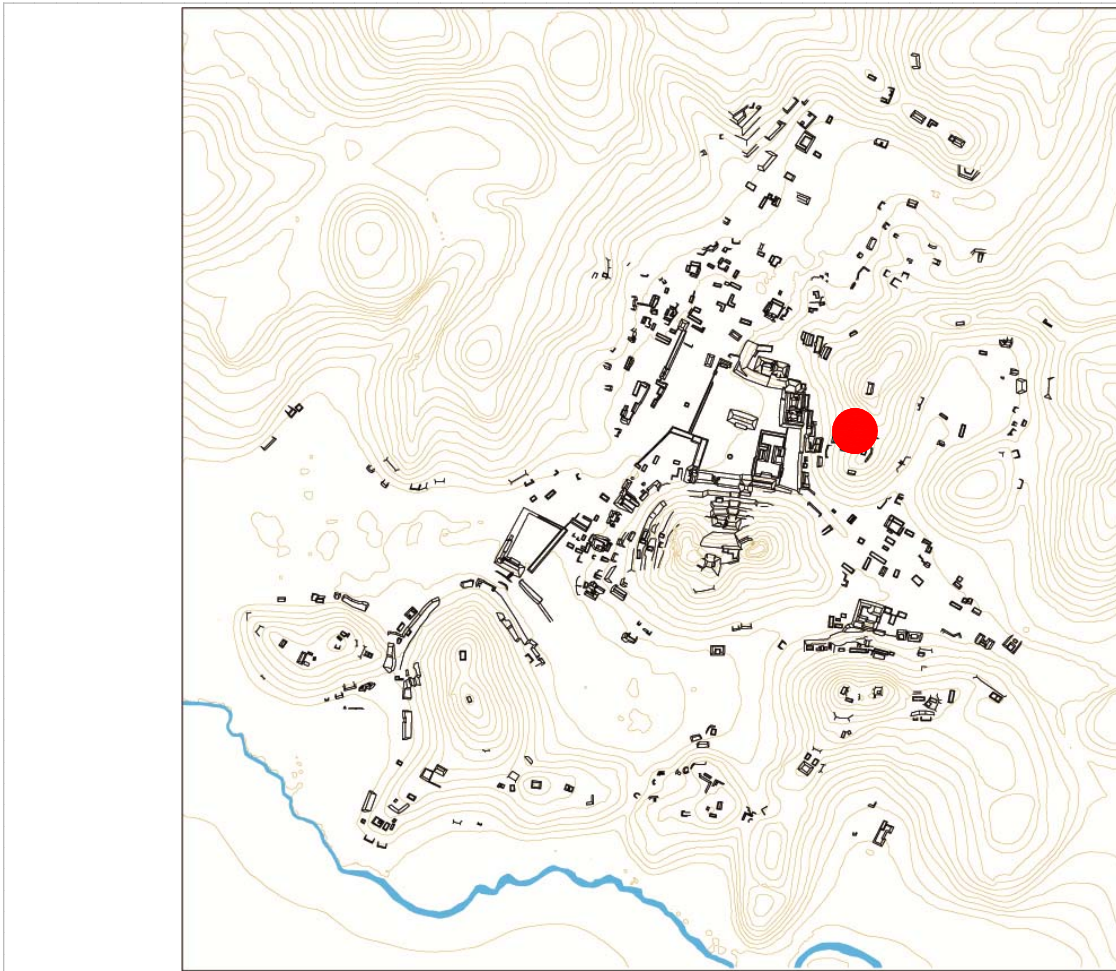
Estructuras de este Conjunto

Estructura	Área	Altura	Volumen	Tipo de estructura
A-26	88	Mts2 ,7	Mts 61,6	Mts3 plataforma basal
A-28	60,48	Mts2 ,3	Mts 18,144	Mts3 plataforma rectangular
A-29	100,43	Mts2 ,5	Mts 50,215	Mts3 plataforma rectangular

Observaciones

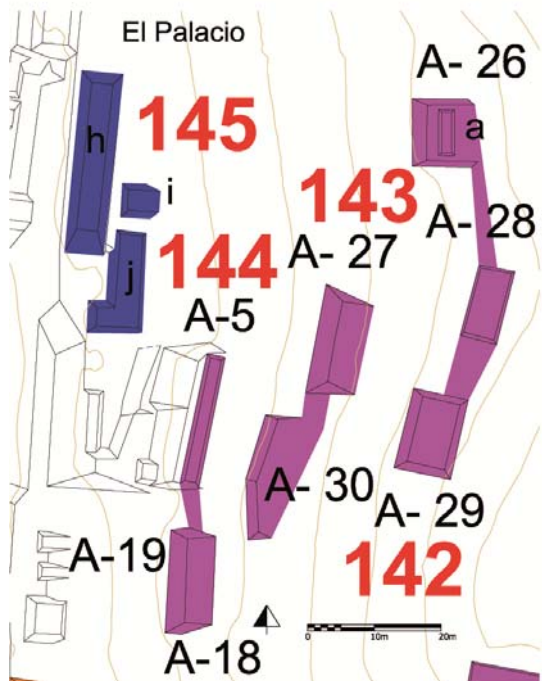
Se trata de una serie de tres conjuntos de tipo lineal que se encuentran en la ladera del cerro directamente arriba del palacio y del Grupo Central. Se constituyen por plataformas bajas cuya mampostería es muy burda y se puede confundir con los afloramientos de caliza (de los cuales posiblemente se extrajo la materia prima). (en la foto)

Localización en el sitio



Mapa

Fotografía conjunto



Cédula de Conjunto arquitectónico

Sitio

Conjunto

Tipo de Conjunto

Emplazamiento

Preparación del terreno

N estructuras

Área espacio compartido/
espacio disponible (m2)

Existe una estructura sobresaliente Nr. Estructura sobresaliente

Porque sobresale

Distancia mínima de otro conjunto (m)

Excavado

Operación(es)

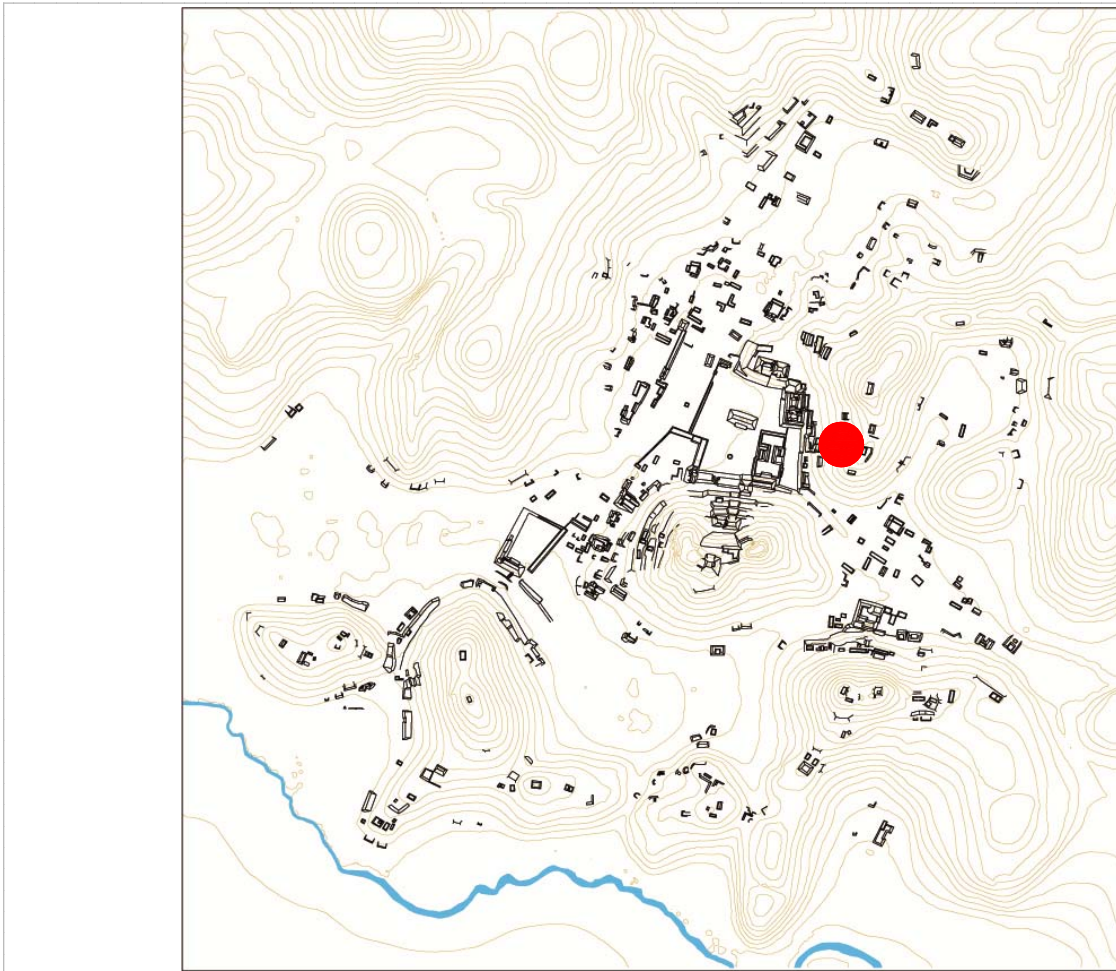
Estructuras de este Conjunto

Estructura	Área	Altura	Volumen	Tipo de estructura
A-26a	16,32	Mts2 ,4	Mts 6,528	Mts3 plataforma rectangular
A-27	75,9	Mts2 1	Mts 75,9	Mts3 plataforma rectangular
A-30	63,36	Mts2 ,6	Mts 38,016	Mts3 plataforma rectangular

Observaciones

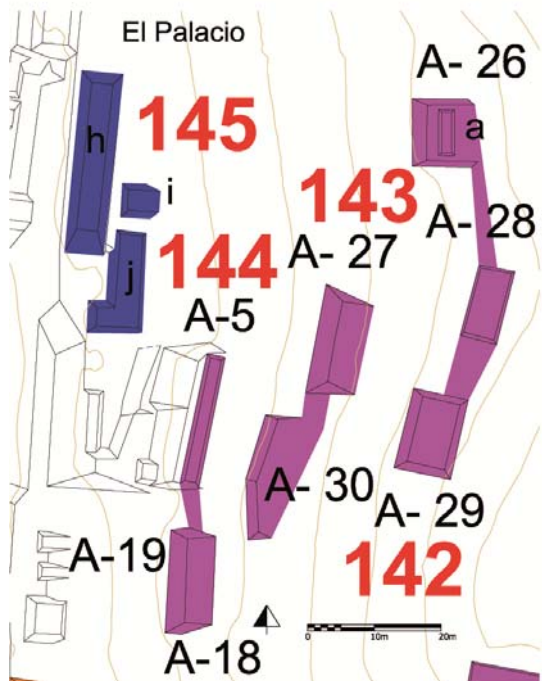
Se trata de dos terrazas que manifiestan obras de contención y nivelación en la ladera del cerro, las que han colapsado con el tiempo. La vegetación y el derrumbe no permiten apreciar plenamente sus características.

Localización en el sitio



Mapa

Fotografía conjunto



Cédula de Conjunto arquitectónico

Sitio

Conjunto

Tipo de Conjunto

Emplazamiento

Preparación del terreno

N estructuras

Área espacio compartido/
espacio disponible (m2)

Existe una estructura sobresaliente Nr. Estructura sobresaliente

Porque sobresale

Distancia mínima de otro conjunto (m)

Excavado

Operación(es)

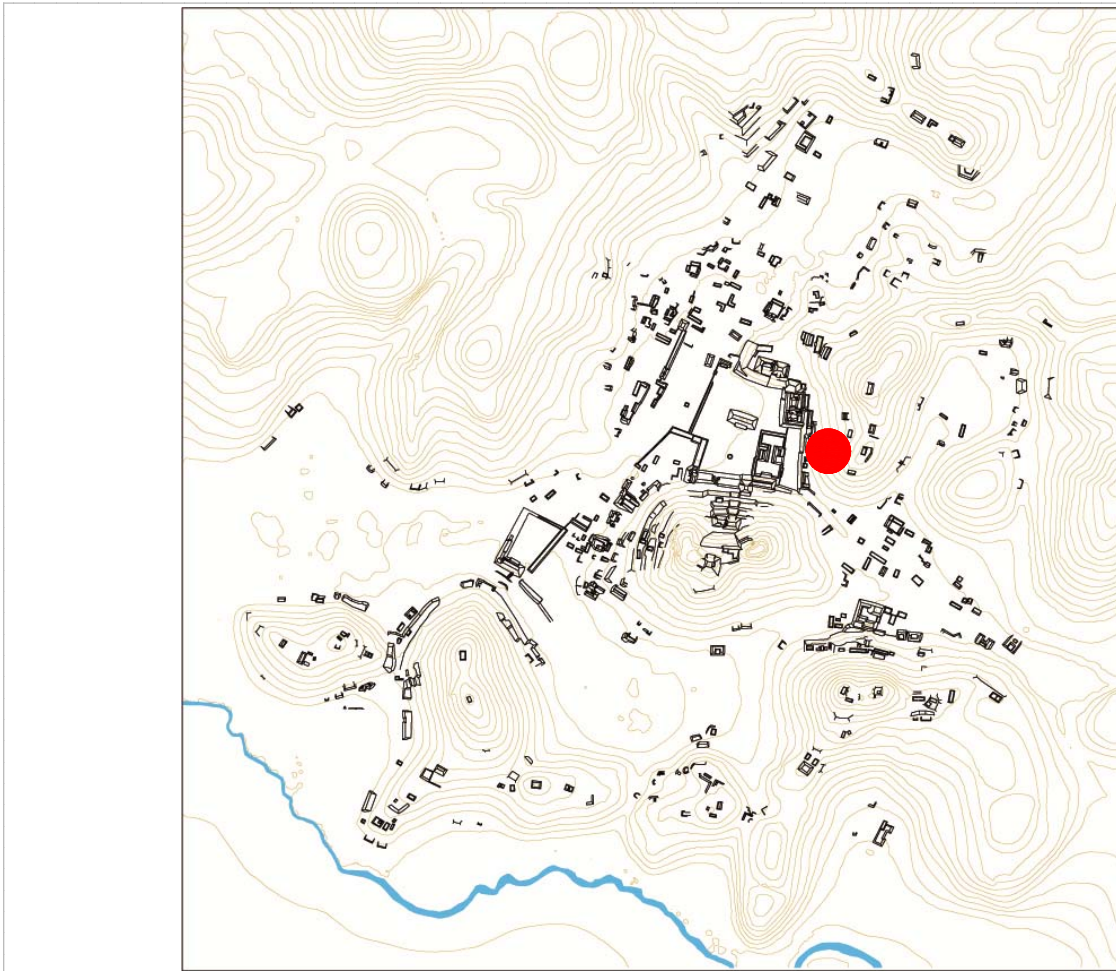
Estructuras de este Conjunto

Estructura	Área	Altura	Volumen	Tipo de estructura
A-18	38,25	Mts2 2	Mts 76,5	Mts3 plataforma rectangular
A-19	28,98	Mts2 1	Mts 28,98	Mts3 plataforma rectangular
A-5	53,46	Mts2 ,5	Mts 26,73	Mts3 plataforma rectangular

Observaciones

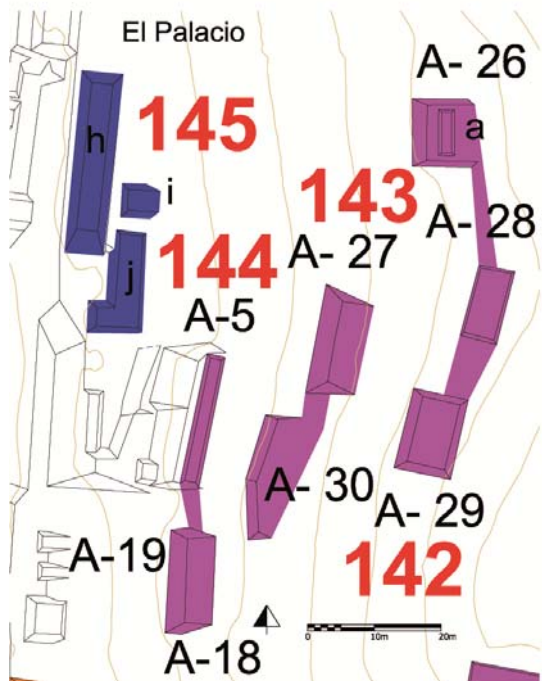
Se trata de otro conjunto lineal en la terraza directamente arriba del patio rasero del palacio de Chinikihá, las estructuras que lo componen se desarrollan en sentido longitudinal (norte-sur) y entre ellas la A-5 sobresale por la relación largo-ancho.

Localización en el sitio



Mapa

Fotografía conjunto



Cédula de Conjunto arquitectónico

Sitio **Chinikihá**

Conjunto **CHK/A145**

Tipo de Conjunto **Compuesto**

Emplazamiento **Ladera de cerro**

Preparación del terreno **Contención
Nivelación**

N estructuras **3**

Área espacio compartido/
espacio disponible (m2) **204,77**

Existe una estructura sobresaliente **A-4h** Nr. Estructura sobresaliente **A-4h**

Porque sobresale **Características formales**

Distancia mínima de otro conjunto (m) **3,05**

Excavado **Si**

Operación(es) **114**

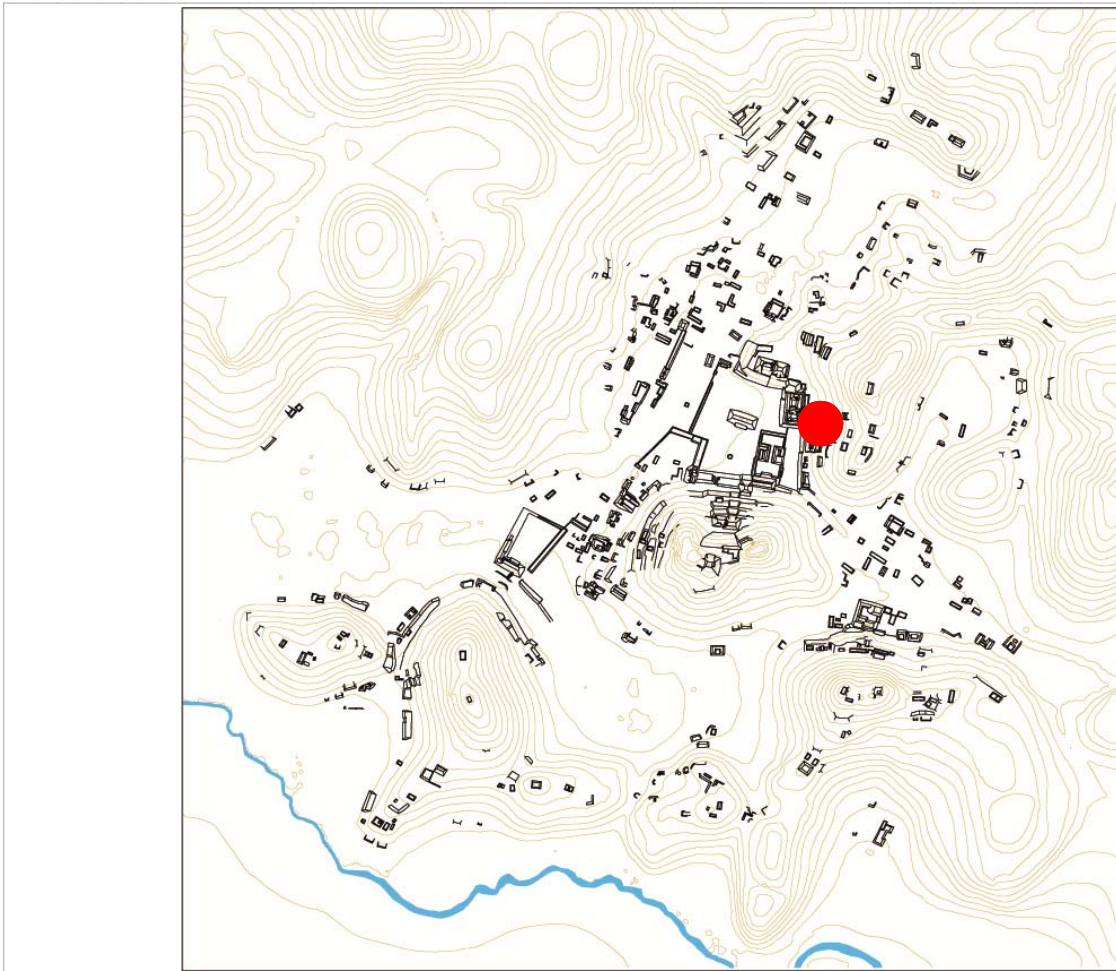
Estructuras de este Conjunto

Estructura	Área	Altura	Volumen	Tipo de estructura
A-4h	157,48	Mts2 1,5	Mts 236,22	Mts3 plataforma rectangular
A-4i	21,5	Mts2 ,5	Mts 10,75	Mts3 plataforma cuadrangular
A-4j	113,96	Mts2 1	Mts 113,96	Mts3 plataforma en forma de L

Observaciones

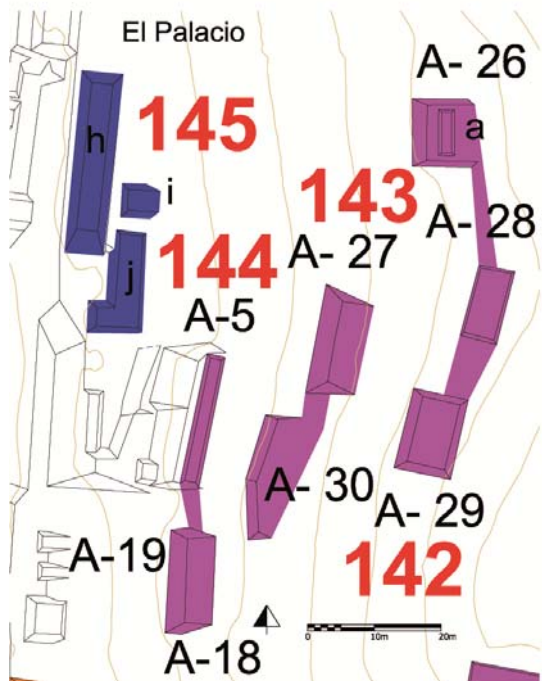
Este conjunto, el el que domina la estr. A-4h por sus características formales (es otra estructura "longitudinal", en donde destaca la relación largo-ancho), cierra al sur el patio trasero del palacio de Chinikihá, además la A-4h domina el patio sur del palacio, desde la altura, en su frente oeste. Por sus características formales, parecidas a las de los conjuntos CHK/A142, 143, 144, se decidió considerarlo separatamente del palacio, las estr. A-4i y A-4j sería de servicio a la A-4h por sus dimensiones reducidas y su relación formal con ésta. Hay que subrayar que la A-4h es una estructura abovedada, aunque manifiesta en su paramento, una mampostería muy burda.

Localización en el sitio



Mapa

Fotografía conjunto



Cédula de Conjunto arquitectónico

Sitio Chinikihá

Conjunto CHK/A146

Tipo de Conjunto Patio

Emplazamiento Ladera de cerro

Preparación del terreno Nivelación
Contención

N estructuras 3

Área espacio compartido/
espacio disponible (m2) 53,01

Existe una estructura sobresaliente No Nr. Estructura sobresaliente No

Porque sobresale

Distancia mínima de otro conjunto (m) 5,92

Excavado Si

Operación(es) 138

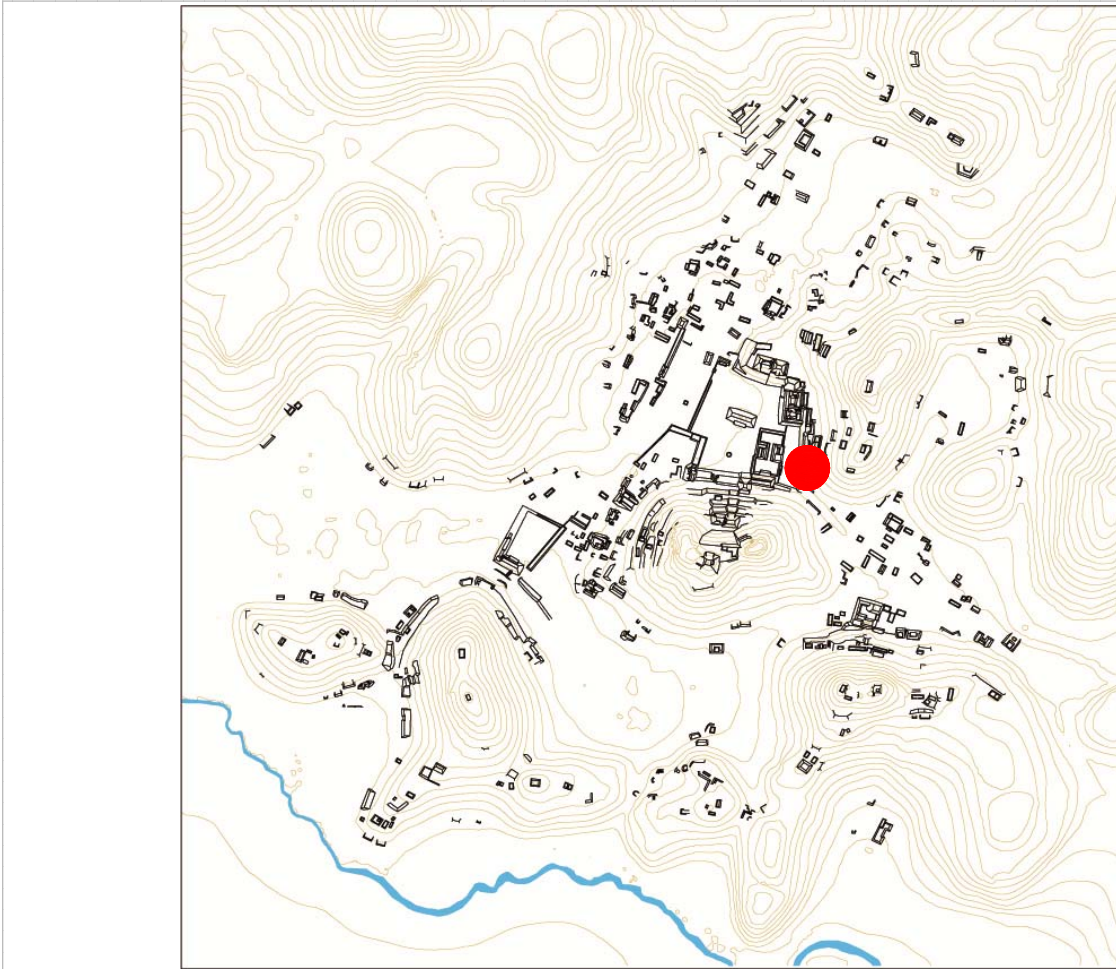
Estructuras de este Conjunto

Estructura	Área	Altura	Volumen	Tipo de estructura
A-20	106,2	Mts2 ,5	Mts 53,1	Mts3 plataforma en forma de L

Observaciones

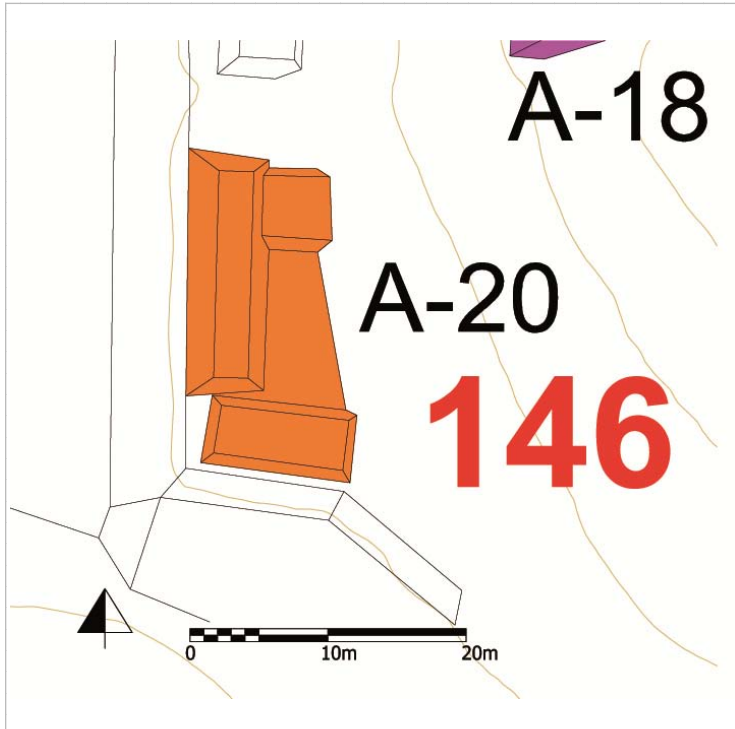
Ae trata de un conjunto tipo patio cuya característica predominante es su localización: se encuentra arriba de un grande basamento artificial (o en parte) que sigue la ladera del cerro al sur del palacio y en frente al juego de pelota.

Localización en el sitio



Mapa

Fotografía conjunto



Cédula de Conjunto arquitectónico

Sitio

Conjunto

Tipo de Conjunto

Emplazamiento

Preparación del terreno

N estructuras

Área espacio compartido/
espacio disponible (m2)

Existe una estructura sobresaliente Nr. Estructura sobresaliente

Porque sobresale

Distancia mínima de otro conjunto (m)

Excavado Operación(es)

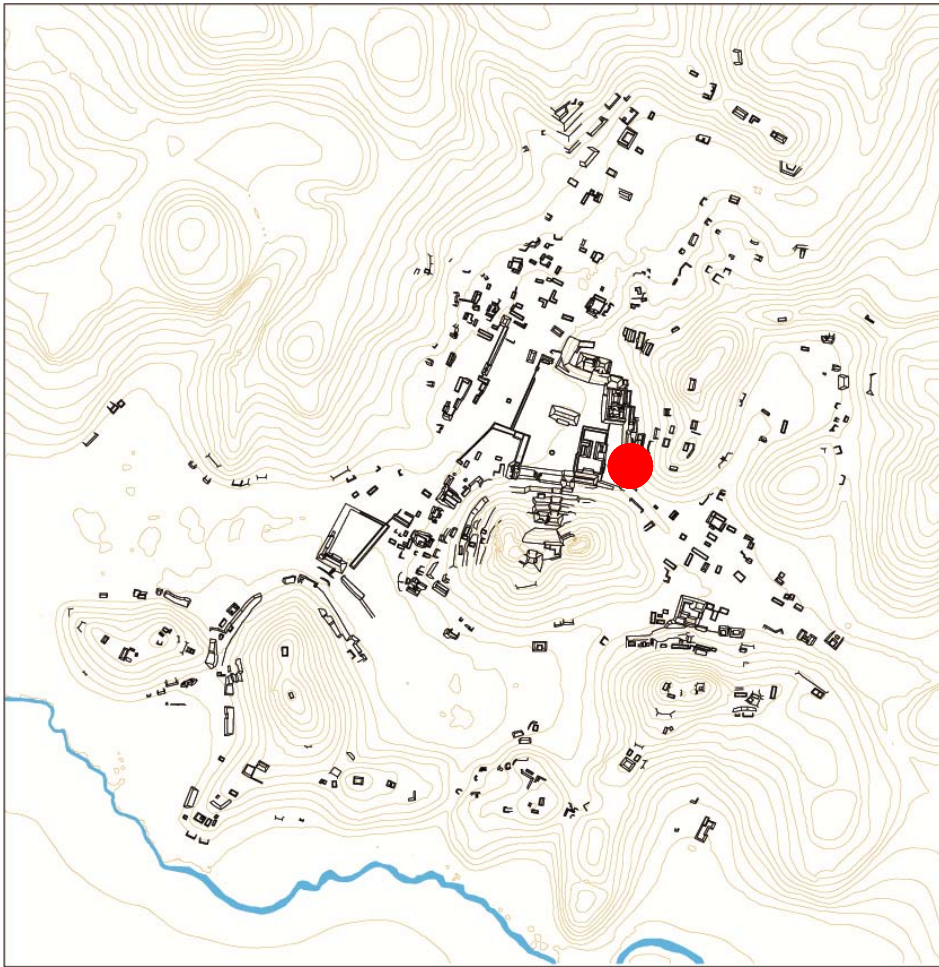
Estructuras de este Conjunto

Estructura	Área	Altura	Volumen	Tipo de estructura

Observaciones

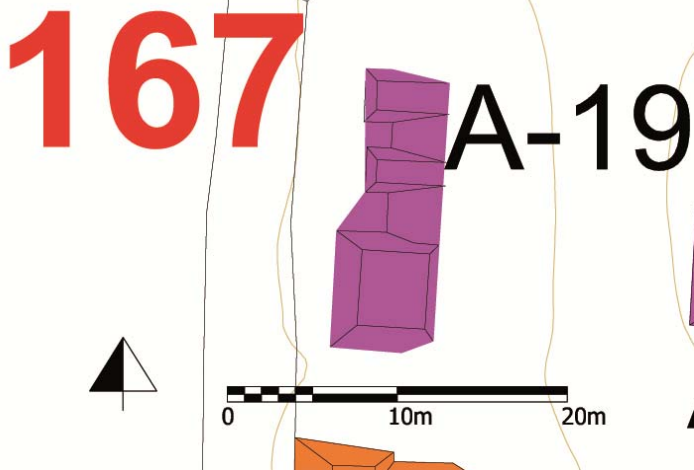
Se trata de un montículo flanqueado por otros dos (en mal estado de conservación, por lo que no se entiende bien su naturaleza), en la misma terraza del CHK/A146, a un costado del juego de pelota.

Localización en el sitio



Mapa

Fotografía conjunto



Cédula de Conjunto arquitectónico

Sitio **Chinikihá**

Conjunto **CHK/A147**

Tipo de Conjunto **Lineal**

Emplazamiento **Ladera de cerro**

Preparación del terreno **Contención
Nivelación**

N estructuras **4**

Área espacio compartido/
espacio disponible (m2)

Existe una estructura sobresaliente **A-23** Nr. Estructura sobresaliente **A-23**

Porque sobresale **Características formales**

Distancia mínima de otro conjunto (m) **32,52**

Excavado **Si** Operación(es) **157**

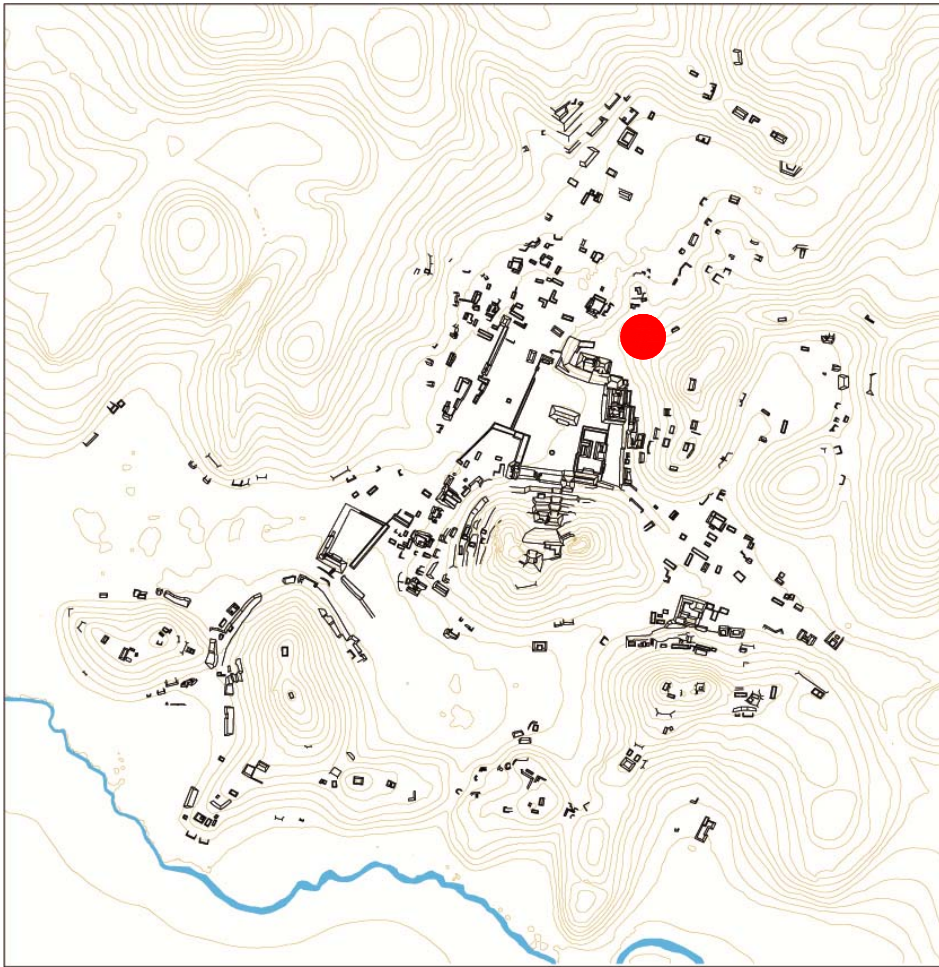
Estructuras de este Conjunto

Estructura	Área	Altura	Volumen	Tipo de estructura
A-21	51,66	Mts2 ,6	Mts 30,996	Mts3 plataforma rectangular
A-22	144,48	Mts2 ,7	Mts 101,136	Mts3 plataforma rectangular
A-22a	219,12	Mts2 ,7	Mts 153,384	Mts3 pltaforma basal
A-23	230	Mts2 1,5	Mts 345	Mts3 plataforma rectangular
A-24	104,72	Mts2 ,6	Mts 62,832	Mts3 plataforma rectangular

Observaciones

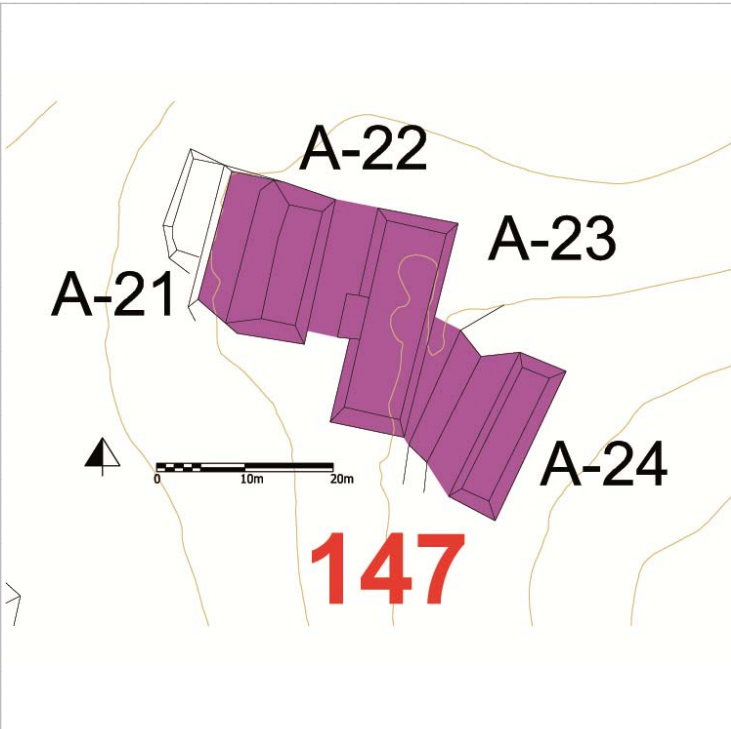
Este conjunto lineal se compone por estructuras que se desarrollan principalmente en sentido longitudinal (el largo se extiende en dirección norte-sur); las estructuras ocupan terrazas sucesivas con poco desnivel entre ellas, y en las cuales son visibles las obras de contención y nivelación del terreno. Destaca la A-23 por su estado de conservación y por la presencia de una escalera de acceso, en su frente Oeste, que todavía se puede apreciar plenamente. La cercanía de este conjunto con los templos dobles y con el Grupo Monumental es considerada un factor importante.

Localización en el sitio



Mapa

Fotografía conjunto



Cédula de Conjunto arquitectónico

Sitio

Conjunto

Tipo de Conjunto

Emplazamiento

Preparación del terreno

N estructuras

Área espacio compartido/
espacio disponible (m2)

Existe una estructura sobresaliente Nr. Estructura sobresaliente

Porque sobresale

Distancia mínima de otro conjunto (m)

Excavado

Operación(es)

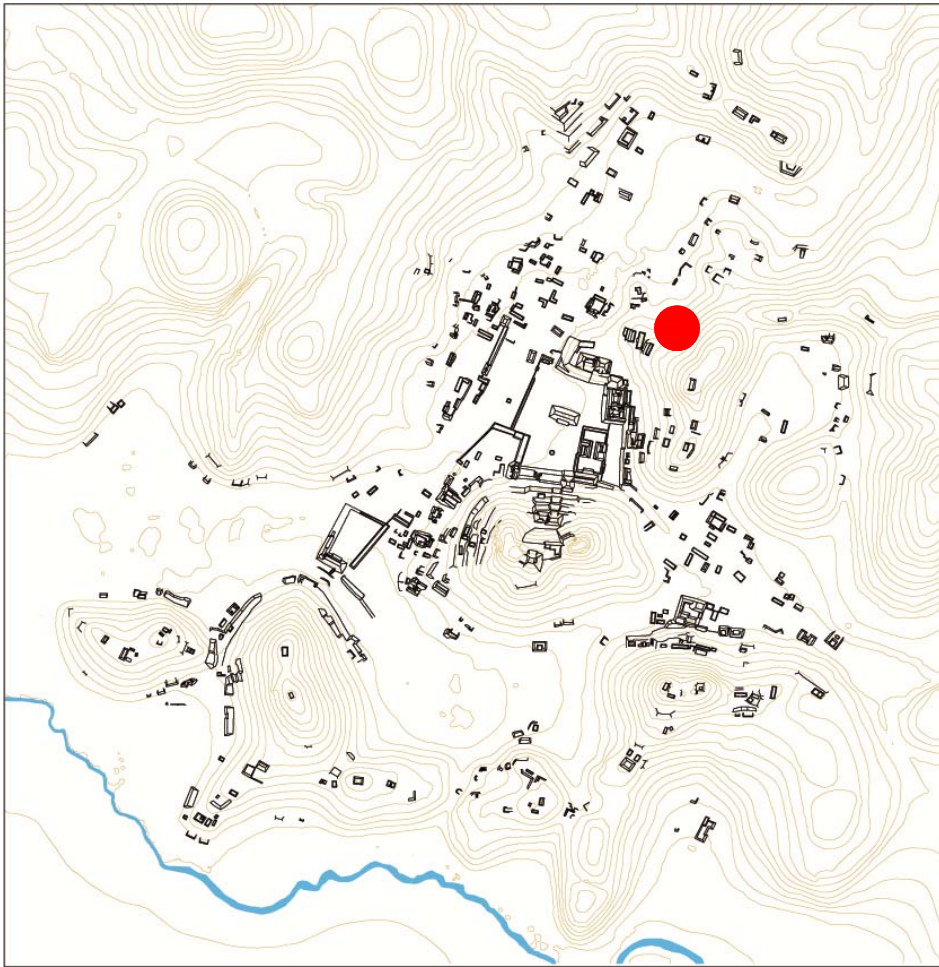
Estructuras de este Conjunto

Estructura	Área	Altura	Volumen	Tipo de estructura
A-25	39,2	Mts2 1	Mts 39,2	Mts3 plataforma rectangular

Observaciones

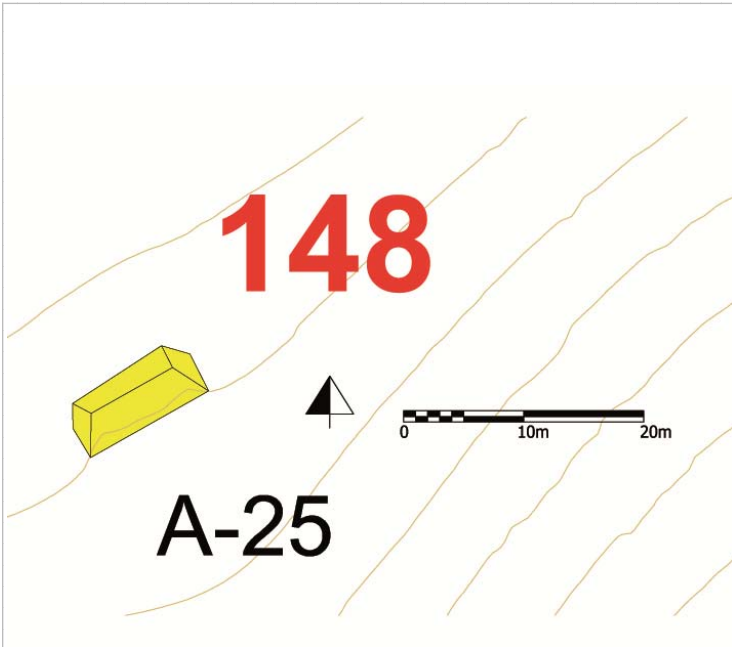
Se trata de una estructura que se ha considerado aislada por su lejanía del conjunto CHK/A148; su mampostería es muy parecida a la de este último conjunto.

Localización en el sitio



Mapa

Fotografía conjunto



Cédula de Conjunto arquitectónico

Sitio

Conjunto

Tipo de Conjunto

Emplazamiento

Preparación del terreno

N estructuras

Área espacio compartido/
espacio disponible (m2)

Existe una estructura sobresaliente Nr. Estructura sobresaliente

Porque sobresale

Distancia mínima de otro conjunto (m)

Excavado Operación(es)

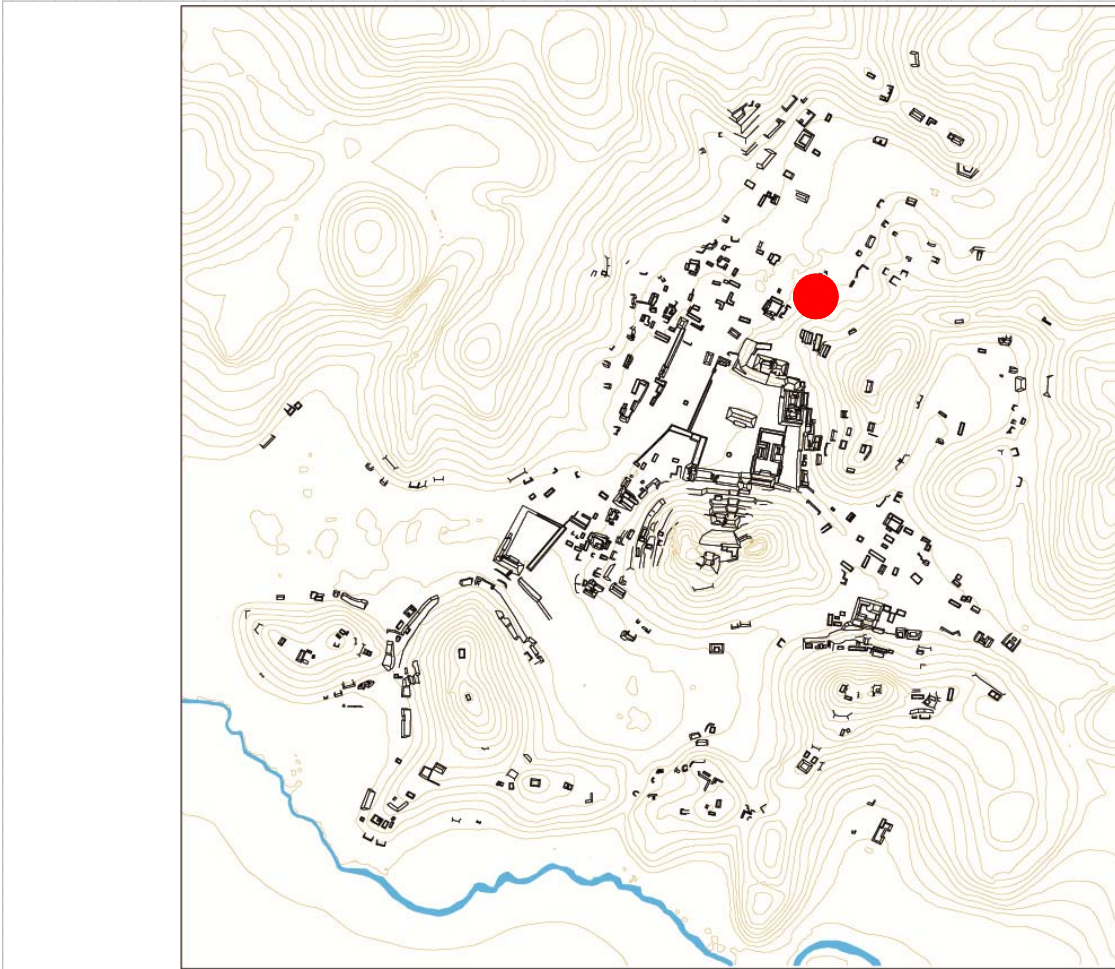
Estructuras de este Conjunto

Estructura	Área	Altura	Volumen	Tipo de estructura
F-27	81,37	Mts2 ,5	Mts 40,685	Mts3 plataforma en forma de L
F-28	80,01	Mts2 1	Mts 80,01	Mts3 plataforma rectangular
F-29	31,2	Mts2 ,5	Mts 15,6	Mts3 plataforma rectangular

Observaciones

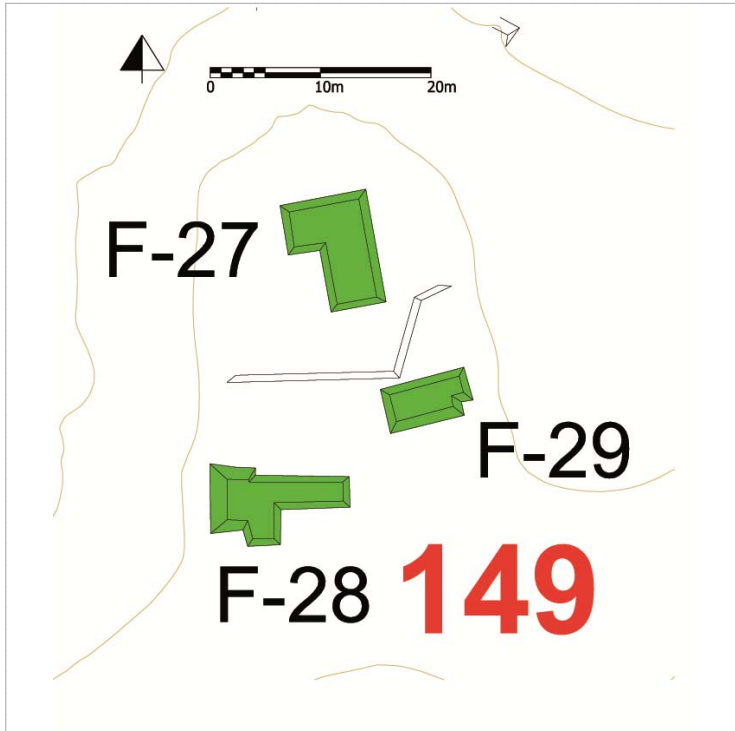
Este conjunto ocupa la cima de una pequeña lengua del cerro ocupado por los templos dobles y el CHK/A147. Se ha considerado informal por la diferencia de nivel entre la F-27 y las otras dos estructuras (que son paralelas entre ellas).

Localización en el sitio



Mapa

Fotografía conjunto



Cédula de Conjunto arquitectónico

Sitio Chinikihá

Conjunto CHK/F150

Tipo de Conjunto Patio

Emplazamiento Planicie

Preparación del terreno Contención
Nivelación

N estructuras 5

Área espacio compartido/
espacio disponible (m2) 222,6

Existe una estructura sobresaliente F-3 Nr. Estructura sobresaliente F-3

Porque sobresale Características formales

Distancia mínima de otro conjunto (m) 22,83

Excavado Si

Operación(es) 111, 112, 113, 115,

Estructuras de este Conjunto

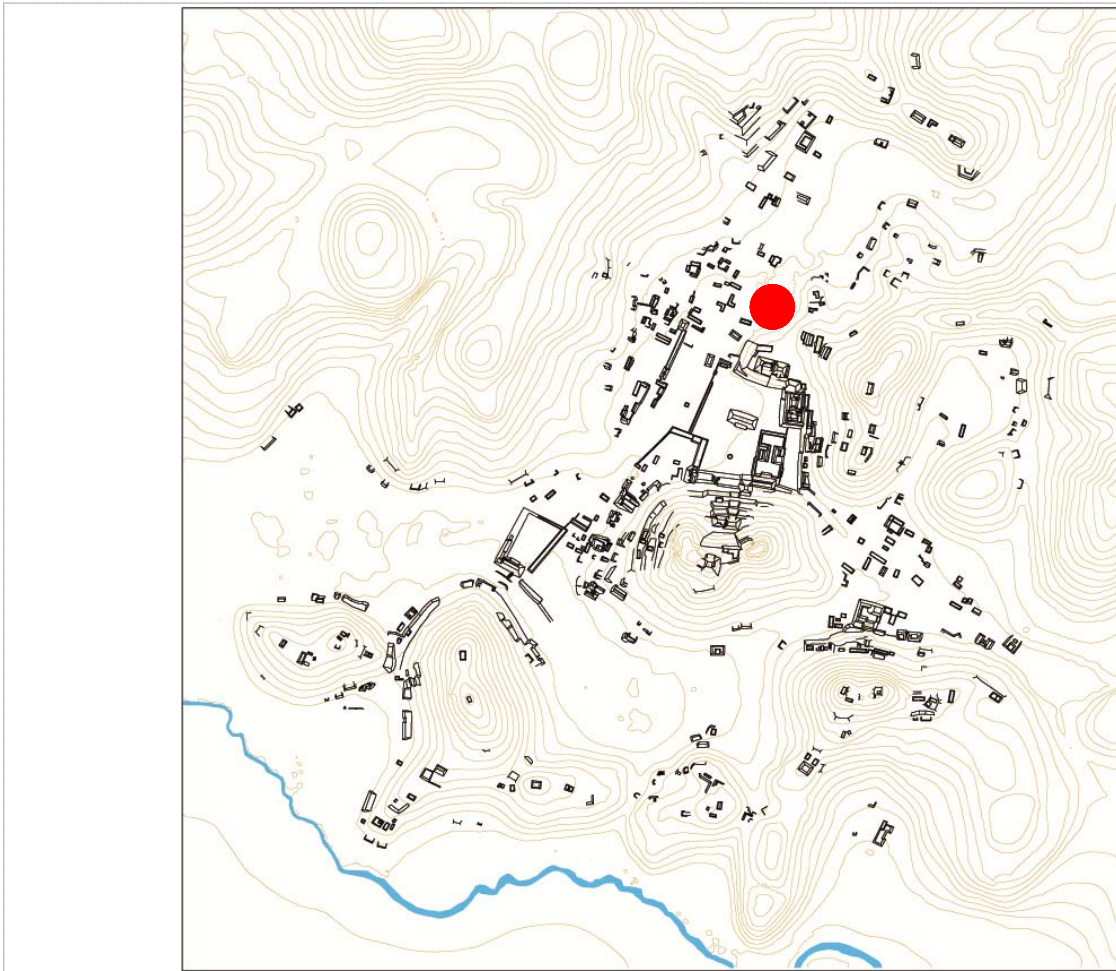
Estructura	Área	Altura	Volumen	Tipo de estructura
F-3	105,19	Mts2 1,5	Mts 157,785	Mts3 plataforma rectangular
F-4	127,14	Mts2 1	Mts 127,14	Mts3 plataforma rectangular
F-5	98,44	Mts2 1	Mts 98,44	Mts3 plataforma rectangular
F-6	104,72	Mts2 ,5	Mts 52,36	Mts3 plataforma rectangular
F-7	26,6	Mts2 ,3	Mts 7,98	Mts3 plataforma rectangular

Observaciones

Este conjunto es el más grande hacia el lado oeste del Grupo Monumental. En tres temporadas se llevaron a cabo operaciones de excavación del patio y de la estr. F-3 por lo que podemos decir que sobresale con respecto a las otras ya que las labores pusieron en luz una escalera central de acceso desde el patio, en su frente Este. La enfrenta, a un nivel superior con respecto al patio, la F-5, cuyas características formales (además de parecer una C) no han sido apreciadas plenamente por falta de excavación. Tanto en la estr. F-3 como en la estr. F-6, las excavaciones pusieron en evidencia la presencia de una subestructura.

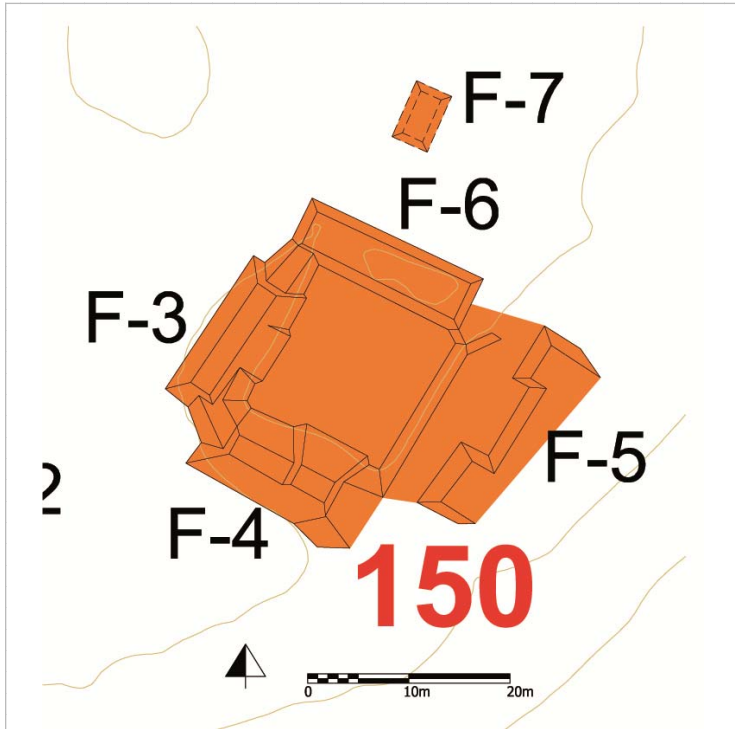
La cercanía de este conjunto con el Grupo monumental no ha de pasar desapercibida.

Localización en el sitio



Mapa

Fotografía conjunto



Cédula de Conjunto arquitectónico

Sitio Chinikihá

Conjunto CHK/F151

Tipo de Conjunto Plataformas pareadas

Emplazamiento Planicie

Preparación del terreno Nignuna

N estructuras 2

Área espacio compartido/
espacio disponible (m2)

Existe una estructura sobresaliente No Nr. Estructura sobresaliente No

Porque sobresale

Distancia mínima de otro conjunto (m) 28,1

Excavado Si

Operación(es) 116

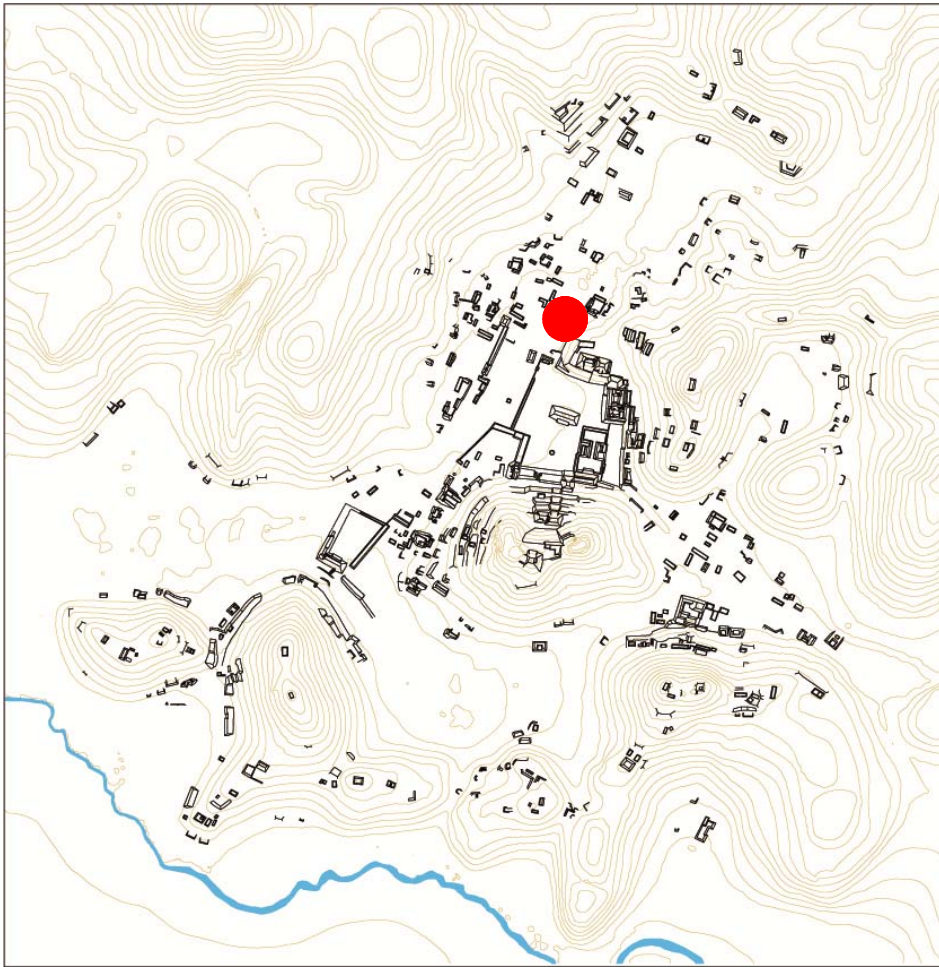
Estructuras de este Conjunto

Estructura	Área	Altura	Volumen	Tipo de estructura
F-1	143,55	Mts2 1	Mts 143,55	Mts3 plataforma rectangular
F-2	103,32	Mts2 1	Mts 103,32	Mts3 plataforma rectangular

Observaciones

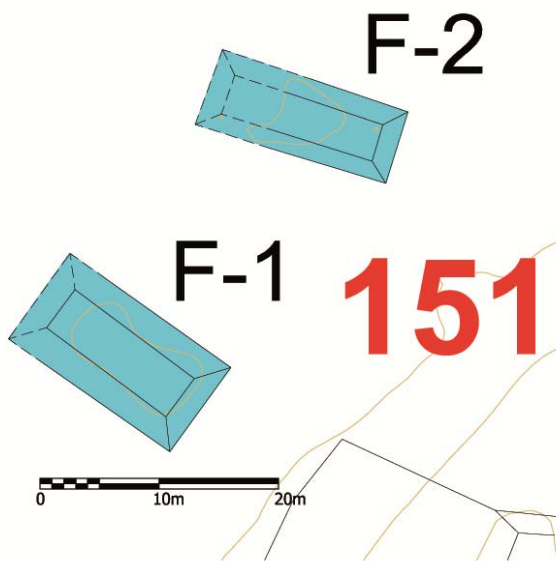
Se trata de dos plataformas altas paralelas y cercanas al CHK/F150, en mal estado de conservación tanto por la cercanía de la carretera Chancalá-Penajmo, al oeste, como por una zanja artificial al este.

Localización en el sitio



Mapa

Fotografía conjunto



Cédula de Conjunto arquitectónico

Sitio Chinikihá

Conjunto CHK/A152

Tipo de Conjunto Plataformas pareadas

Emplazamiento Planicie

Preparación del terreno Nignuna

N estructuras 2

Área espacio compartido/
espacio disponible (m2)

Existe una estructura sobresaliente A-15 Nr. Estructura sobresaliente A-15

Porque sobresale

Distancia mínima de otro conjunto (m) 36,03

Excavado No

Operación(es)

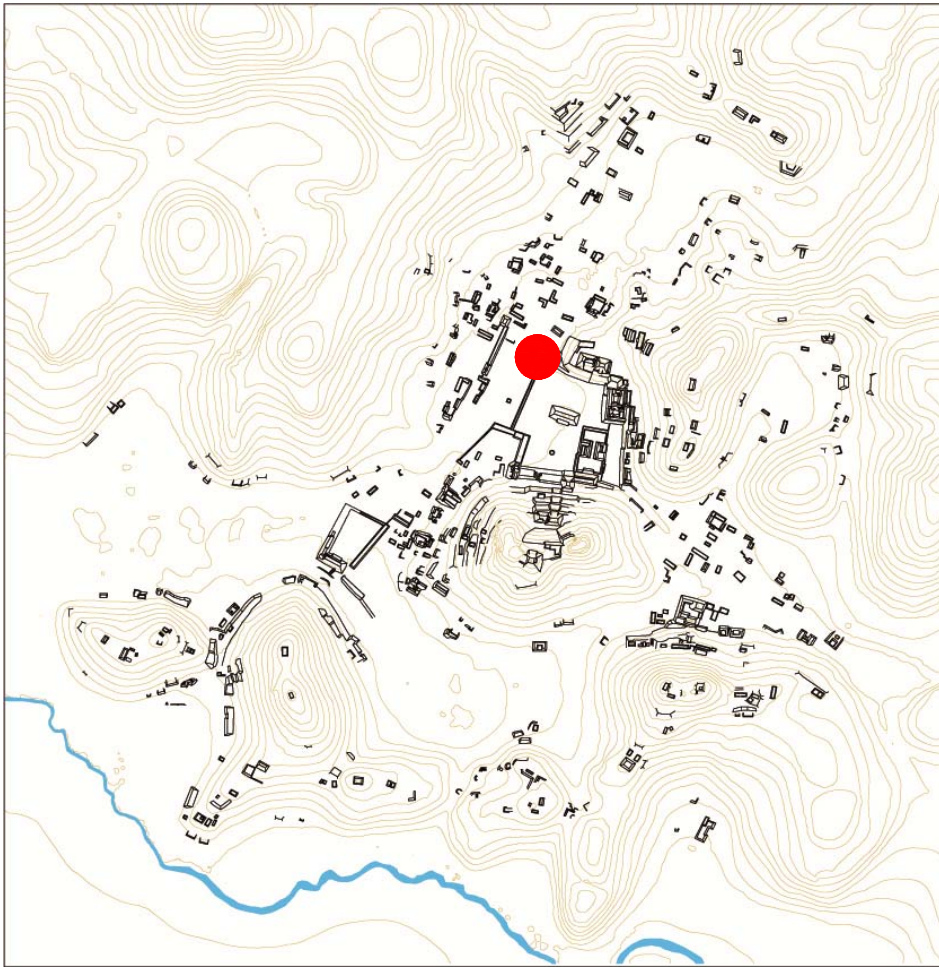
Estructuras de este Conjunto

Estructura	Área	Altura	Volumen	Tipo de estructura
A-15	132,86	Mts2 2	Mts 265,72	Mts3 plataforma rectangular
E-1	178,5	Mts2 1,5	Mts 267,75	Mts3 plataforma rectangular

Observaciones

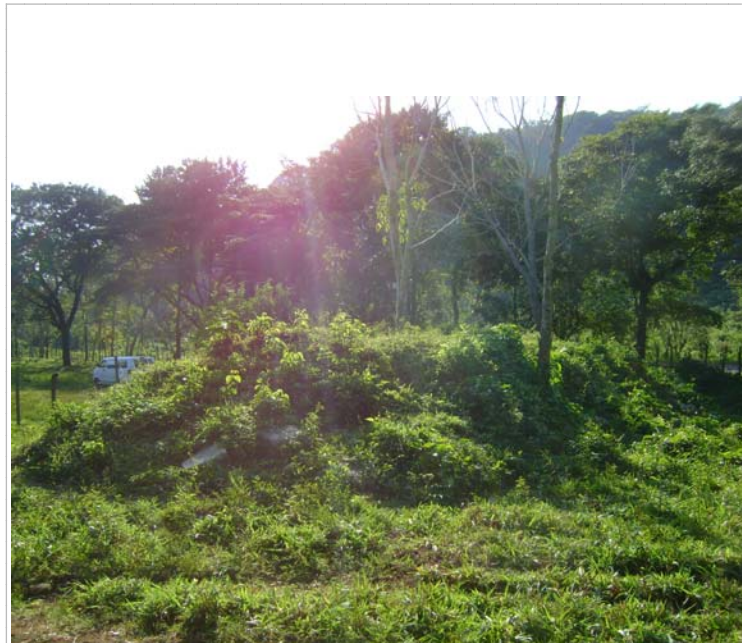
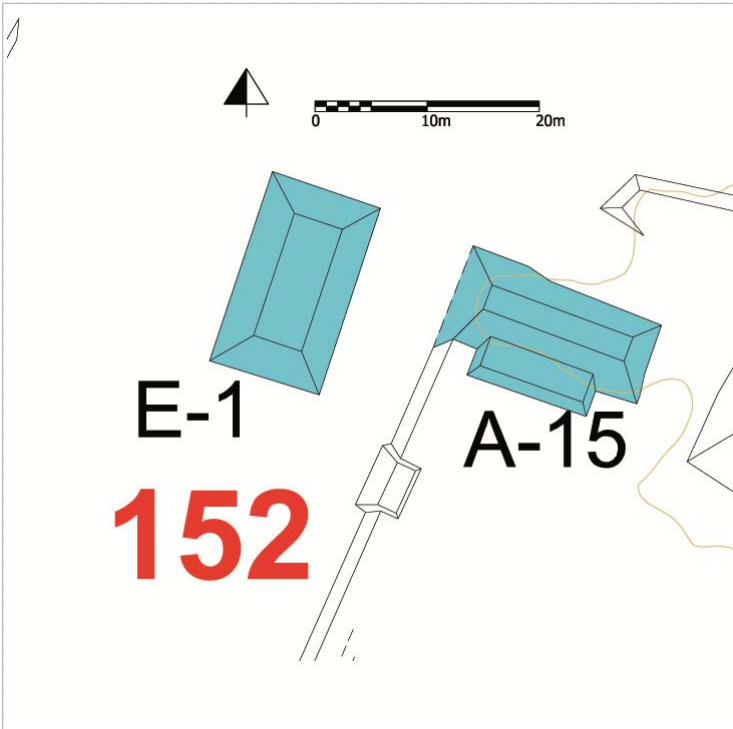
Entre estas dos estructuras la A-15 es la que presenta un mejor estado de conservación, no obstante la zanja que pasa cercana a su costado Oeste, se puede apreciar la presencia de una escalera en su frente sur; el terraplen que delimita la plaza principal al Oeste termina en correspondencia de esta estructura.

Localización en el sitio



Mapa

Fotografía conjunto



Cédula de Conjunto arquitectónico

Sitio Chinikihá

Conjunto CHK/H153

Tipo de Conjunto Plataformas pareadas

Emplazamiento Pie de Monte

Preparación del terreno Nignuna

N estructuras 2

Área espacio compartido/
espacio disponible (m2)

Existe una estructura sobresaliente No Nr. Estructura sobresaliente No

Porque sobresale

Distancia mínima de otro conjunto (m) 12,94

Excavado No

Operación(es)

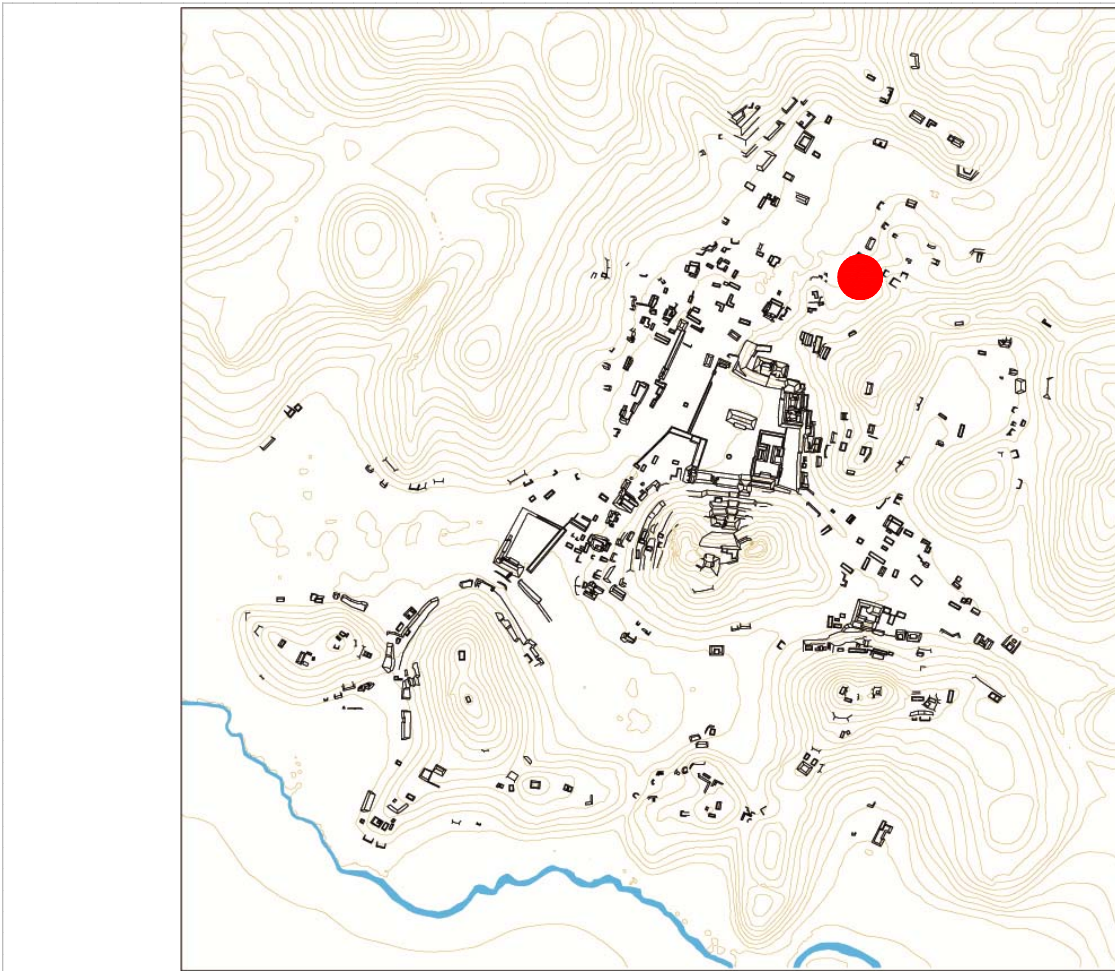
Estructuras de este Conjunto

Estructura	Área	Altura	Volumen	Tipo de estructura
H-14	22	Mts2 1	Mts 22	Mts3 plataforma rectangular
H-7	243,07	Mts2 ,7	Mts 170,149	Mts3 plataforma rectangular

Observaciones

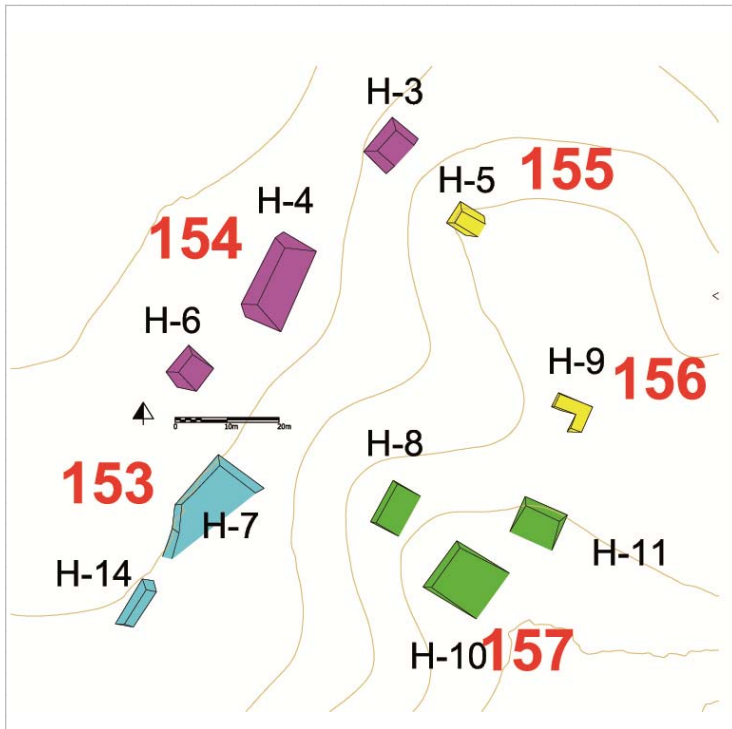
Se trata de dos terrazas que se construyeron al pie de un pequeño cerro que delimita el sitio de Chinikihá al Noreste.

Localización en el sitio



Mapa

Fotografía conjunto



Cédula de Conjunto arquitectónico

Sitio Chinikihá

Conjunto CHK/H154

Tipo de Conjunto Lineal

Emplazamiento Pie de Monte

Preparación del terreno Nignuna

N estructuras 3

Área espacio compartido/
espacio disponible (m2)

Existe una estructura sobresaliente H-4 Nr. Estructura sobresaliente H-4

Porque sobresale Volumen constructivo

Distancia mínima de otro conjunto (m) 15,32

Excavado Si

Operación(es) 116

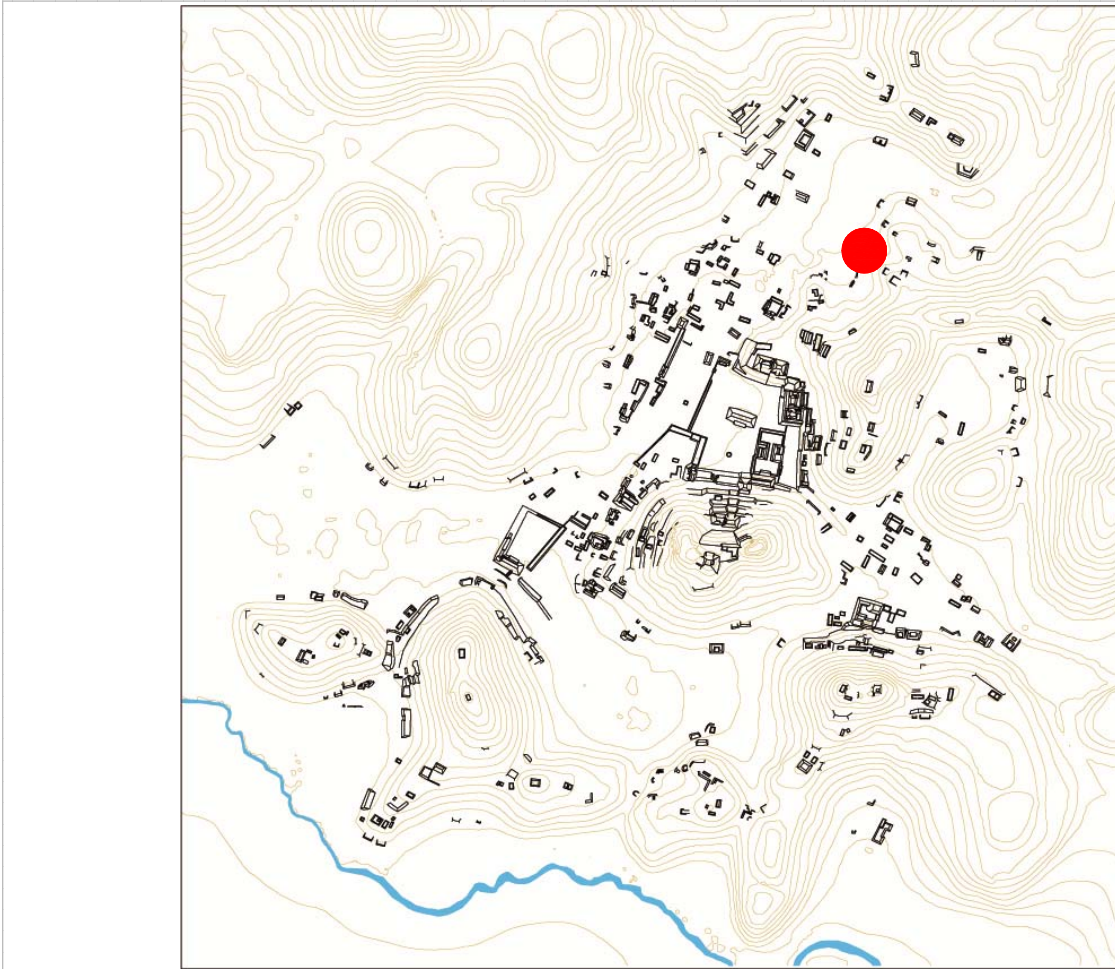
Estructuras de este Conjunto

Estructura	Área	Altura	Volumen	Tipo de estructura
H-3	55,04	Mts2 ,8	Mts 44,032	Mts3 plataforma rectangular
H-4	135,32	Mts2 ,6	Mts 81,192	Mts3 plataforma rectangular
H-6	24,12	Mts2 ,6	Mts 14,472	Mts3 plataforma rectangular

Observaciones

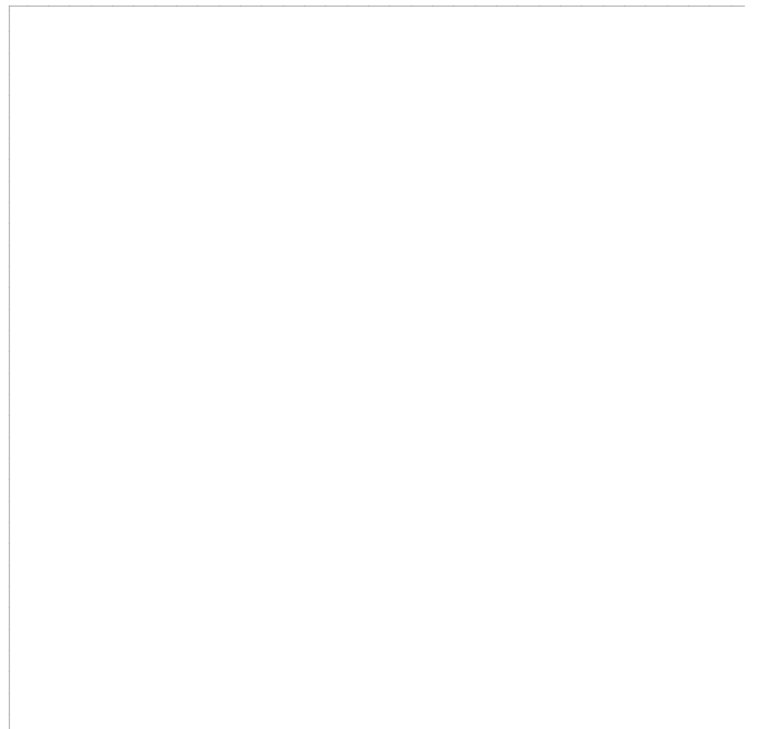
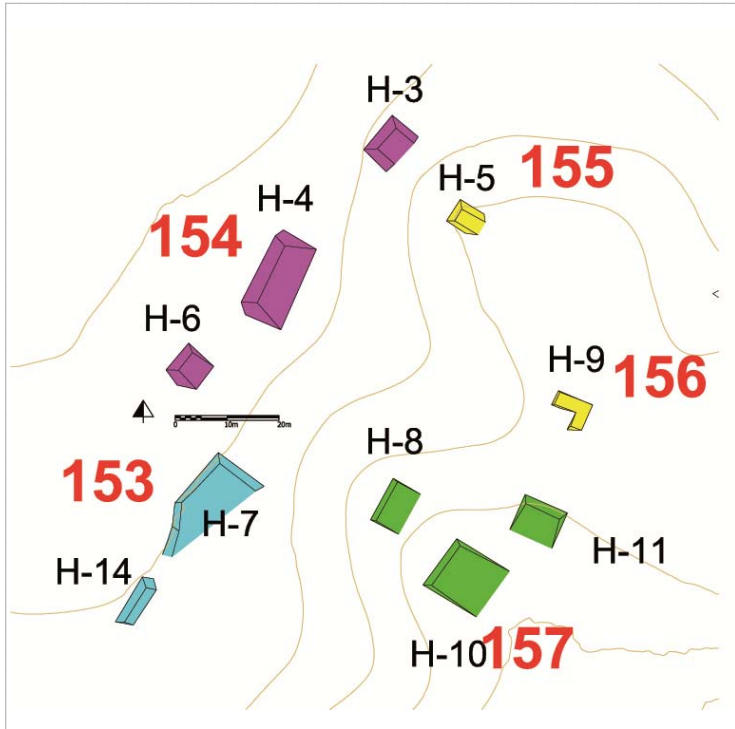
Se trata de tres terrazas que se construyeron al pie de un pequeño cerro que delimita el sitio de Chinikihá al Noreste. La excavación que se llevó a cabo cerca de la estr. H-4 puso en luz un entierro y muchas mano de moler.

Localización en el sitio



Mapa

Fotografía conjunto



Cédula de Conjunto arquitectónico

Sitio

Conjunto

Tipo de Conjunto

Emplazamiento

Preparación del terreno

N estructuras

Área espacio compartido/
espacio disponible (m2)

Existe una estructura sobresaliente Nr. Estructura sobresaliente

Porque sobresale

Distancia mínima de otro conjunto (m)

Excavado

Operación(es)

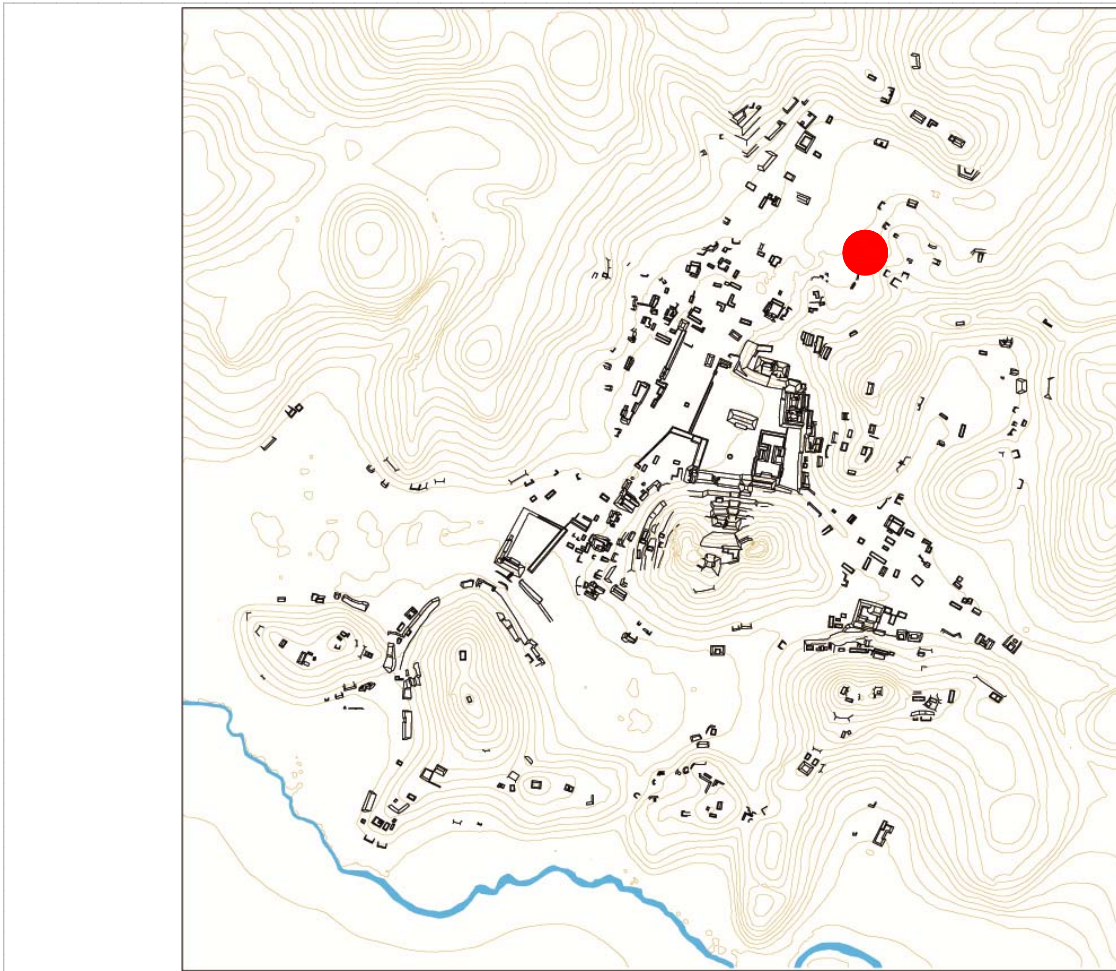
Estructuras de este Conjunto

Estructura	Área	Altura	Volumen	Tipo de estructura
H-5	25,97	Mts2 ,5	Mts 12,985	Mts3 plataforma rectangular

Observaciones

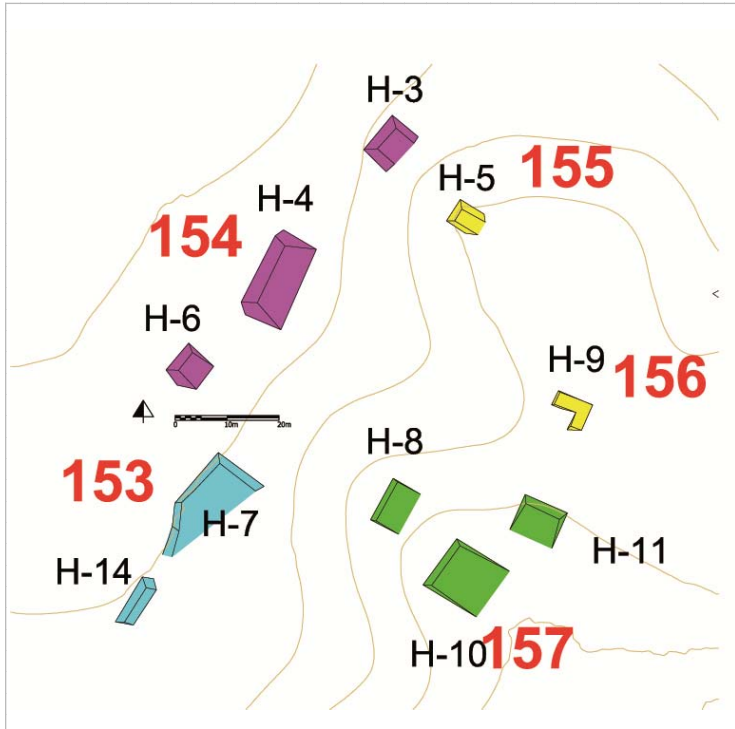
Se trata de una terraza aislada en la ladera del cerro que delimita Chinikihá al Noreste. Para construirla se aprovechó de parte del afloramiento calizo, muy abundante en este lugar.

Localización en el sitio



Mapa

Fotografía conjunto



Cédula de Conjunto arquitectónico

Sitio

Conjunto

Tipo de Conjunto

Emplazamiento

Preparación del terreno

N estructuras

Área espacio compartido/
espacio disponible (m2)

Existe una estructura sobresaliente

Nr. Estructura sobresaliente

Porque sobresale

Distancia mínima de otro conjunto (m)

Excavado

Operación(es)

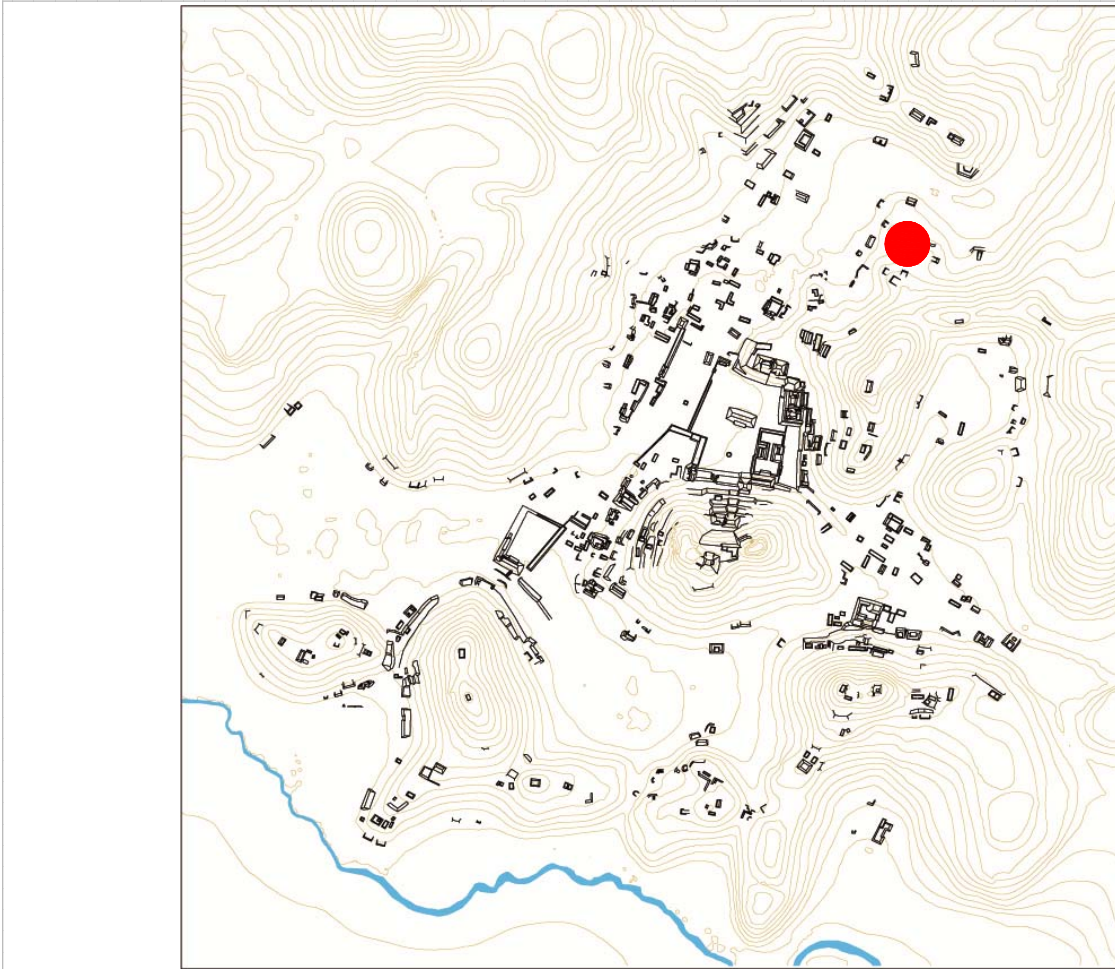
Estructuras de este Conjunto

Estructura	Área	Altura	Volumen	Tipo de estructura
H-9	36,04	Mts2 ,3	Mts 10,812	Mts3 plataforma rectangular

Observaciones

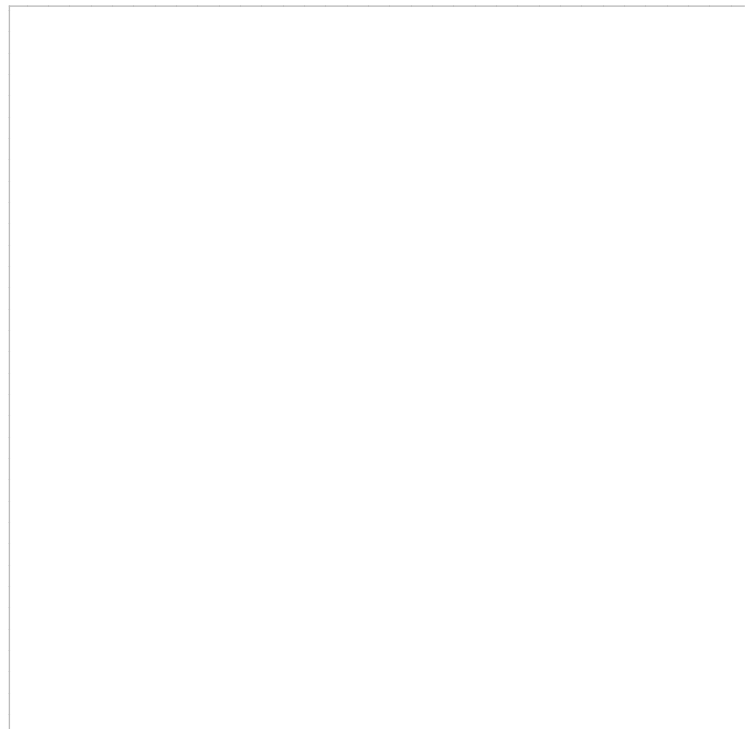
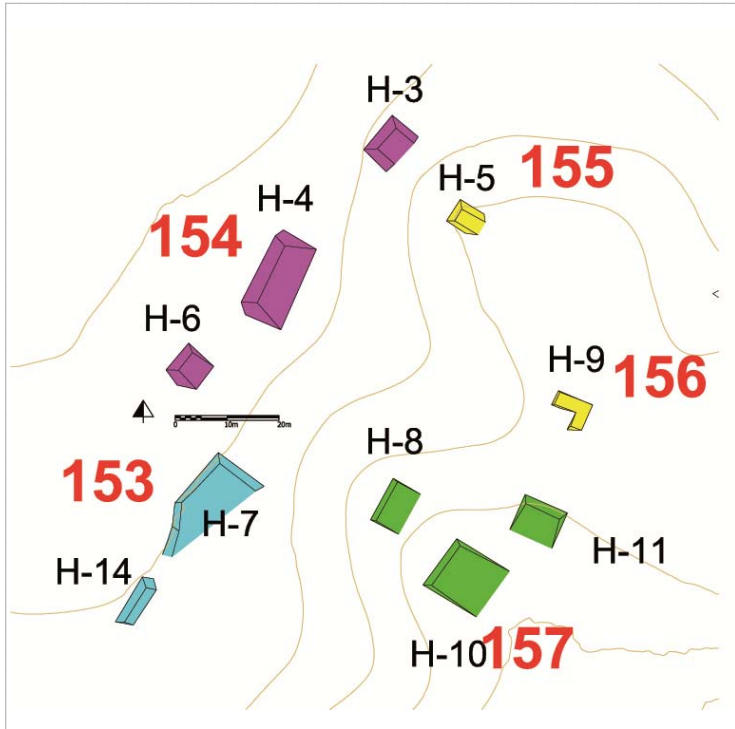
Se trata de una plataforma rectangular de tamaño reducido que posiblemente tuvo una forma en L, pero su estado de conservación no permite apreciar plenamente sus características.

Localización en el sitio



Mapa

Fotografía conjunto



Cédula de Conjunto arquitectónico

Sitio Chinikihá

Conjunto CHK/H157

Tipo de Conjunto Informal

Emplazamiento Cima de cerro

Preparación del terreno Nignuna

N estructuras 3

Área espacio compartido/
espacio disponible (m2)

Existe una estructura sobresaliente H-10 Nr. Estructura sobresaliente H-10

Porque sobresale Volumen constructivo

Distancia mínima de otro conjunto (m) 21,04

Excavado No

Operación(es)

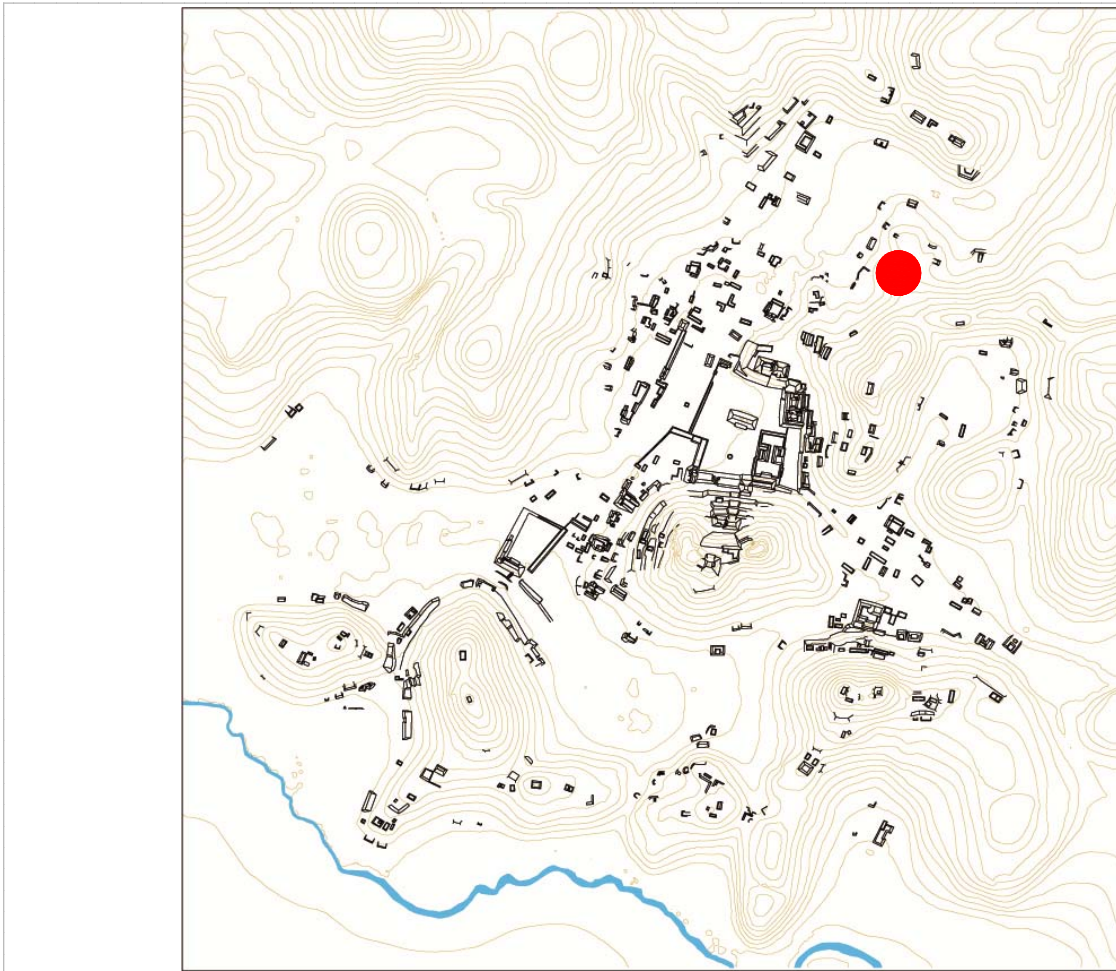
Estructuras de este Conjunto

Estructura	Área	Altura	Volumen	Tipo de estructura
H-10	127,44	Mts2 ,5	Mts 63,72	Mts3 plataforma rectangular
H-11	65,12	Mts2 ,8	Mts 52,096	Mts3 plataforma rectangular
H-8	56,4	Mts2 ,3	Mts 16,92	Mts3 plataforma rectangular

Observaciones

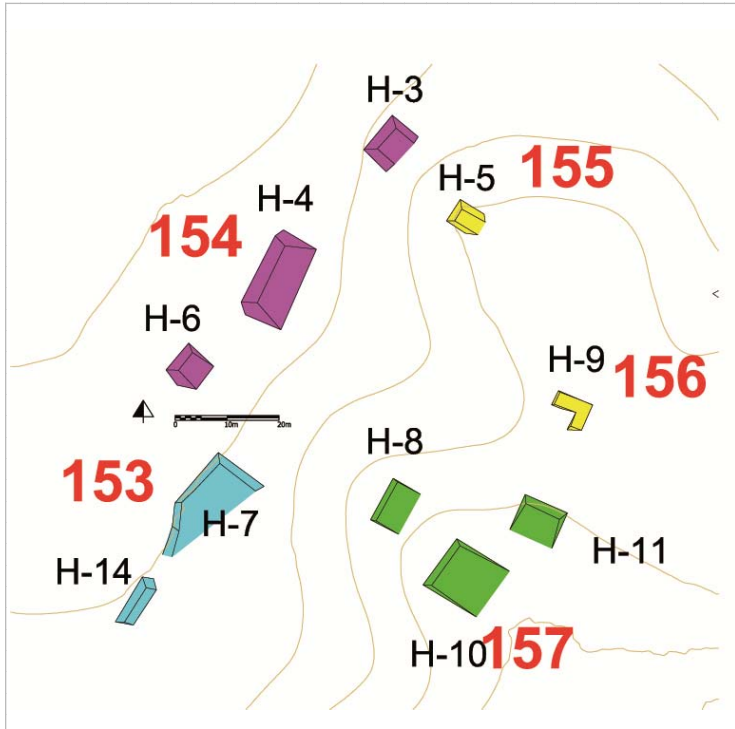
En este pequeño cerro, este conjunto es constituido por 3 plataformas que se confunden con los afloramientos de roca caliza muy abundantes en el lugar. La estr. H-8 se encuentra en un nivel más bajo con respecto a las otras dos, por lo que se consideró formaran un conjunto de tipo informal.

Localización en el sitio



Mapa

Fotografía conjunto



Cédula de Conjunto arquitectónico

Sitio Chinikihá

Conjunto CHK/H158

Tipo de Conjunto Aislada

Emplazamiento Ladera de cerro

Preparación del terreno Nignuna

N estructuras 1

Área espacio compartido/
espacio disponible (m2)

Existe una estructura sobresaliente No Nr. Estructura sobresaliente No

Porque sobresale

Distancia mínima de otro conjunto (m) 29,63

Excavado No

Operación(es)

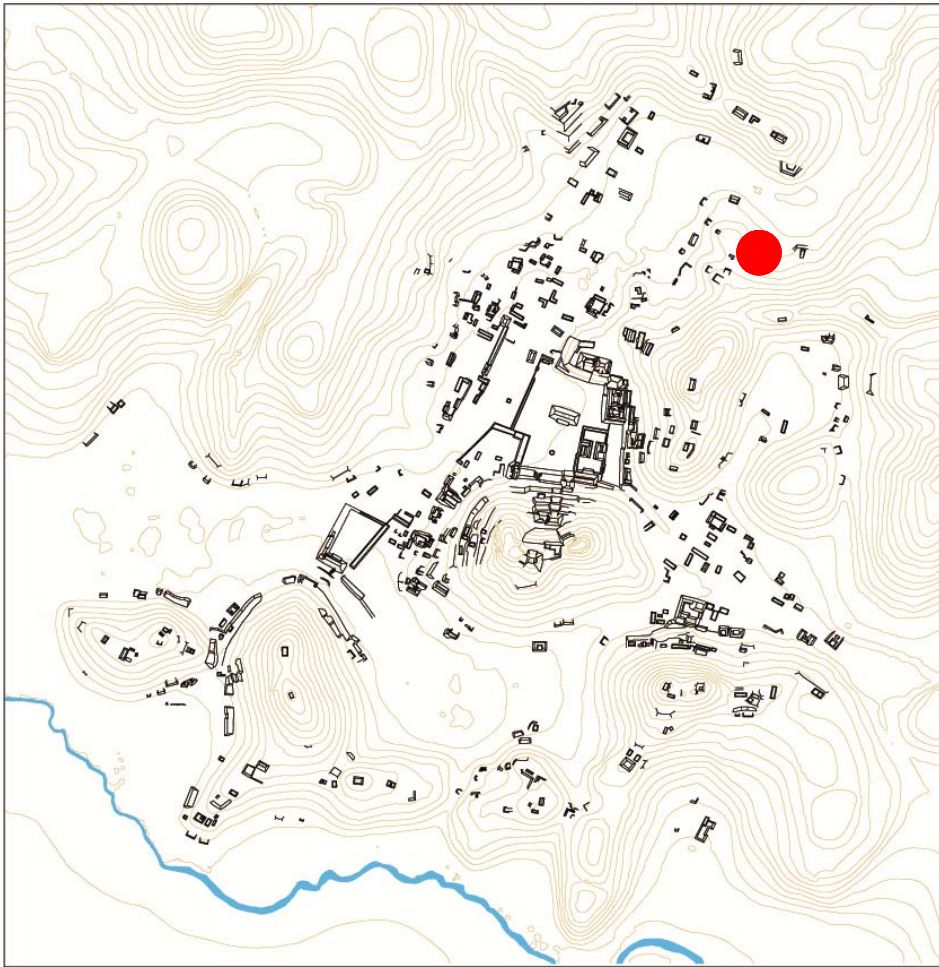
Estructuras de este Conjunto

Estructura	Área	Altura	Volumen	Tipo de estructura
H-12	88,55	Mts2 1,2	Mts 106,26	Mts3 plataforma rectangular

Observaciones

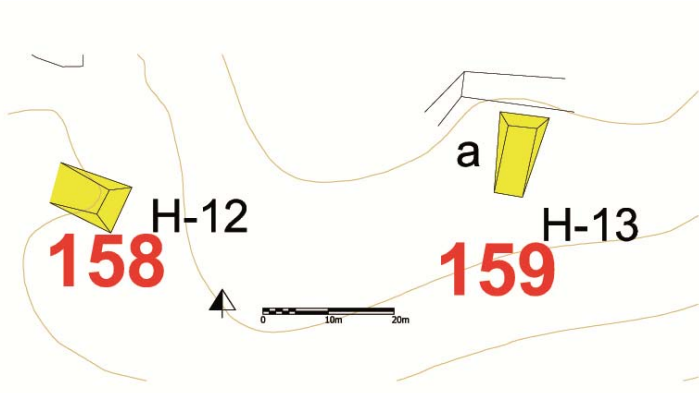
Se trata de uan pequeña terraza que se apoya, en su frente oeste, a la aldera del cerro.

Localización en el sitio



Mapa

Fotografía conjunto



Cédula de Conjunto arquitectónico

Sitio

Conjunto

Tipo de Conjunto

Emplazamiento

Preparación del terreno

N estructuras

Área espacio compartido/
espacio disponible (m2)

Existe una estructura sobresaliente Nr. Estructura sobresaliente

Porque sobresale

Distancia mínima de otro conjunto (m)

Excavado

Operación(es)

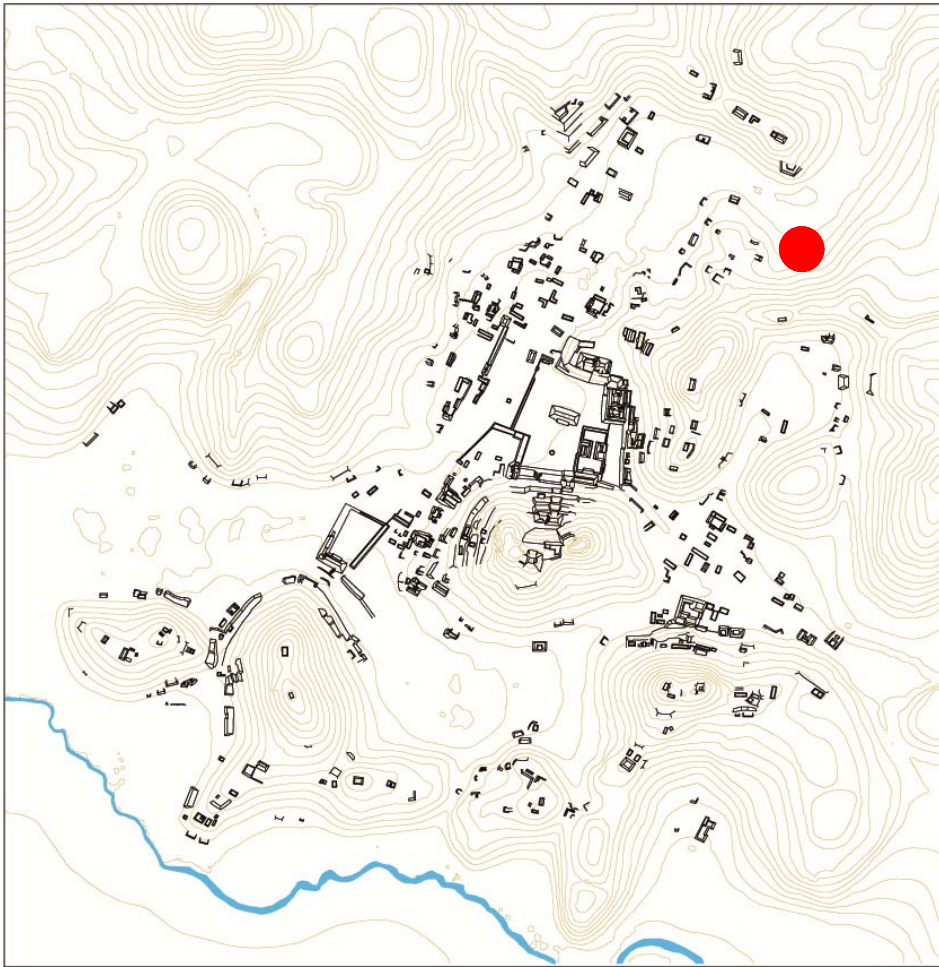
Estructuras de este Conjunto

Estructura	Área	Altura	Volumen	Tipo de estructura
H-13	314,86	Mts2 1,6	Mts 503,776	Mts3 plataforma cuadrangular
H-13a	96	Mts2 1,2	Mts 115,2	Mts3 plataforma rectangular

Observaciones

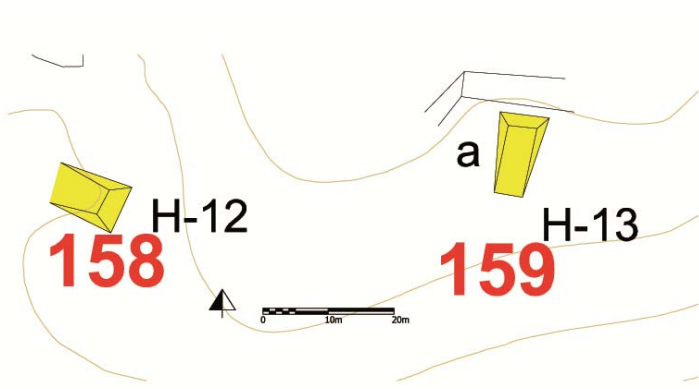
Se trata de una plataforma arriba de una terraza parcialmente artificial que se apoya a la ladera del cerro.

Localización en el sitio



Mapa

Fotografía conjunto



Cédula de Conjunto arquitectónico

Sitio **Chinikihá**

Conjunto **CHK/A160**

Tipo de Conjunto **Compuesto**

Emplazamiento **Planicie**

Preparación del terreno **Contención
Nivelación**

N estructuras **23**

Área espacio compartido/
espacio disponible (m2) **12'000**

Existe una estructura sobresaliente **Si** **Nr. Estructura sobresaliente** **Si**

Porque sobresale **Volumen constructivo
Características formales**

Distancia mínima de otro conjunto (m) **4**

Excavado **Si** Operación(es) **1, 2, 3, 5, 9, 8, 10,**

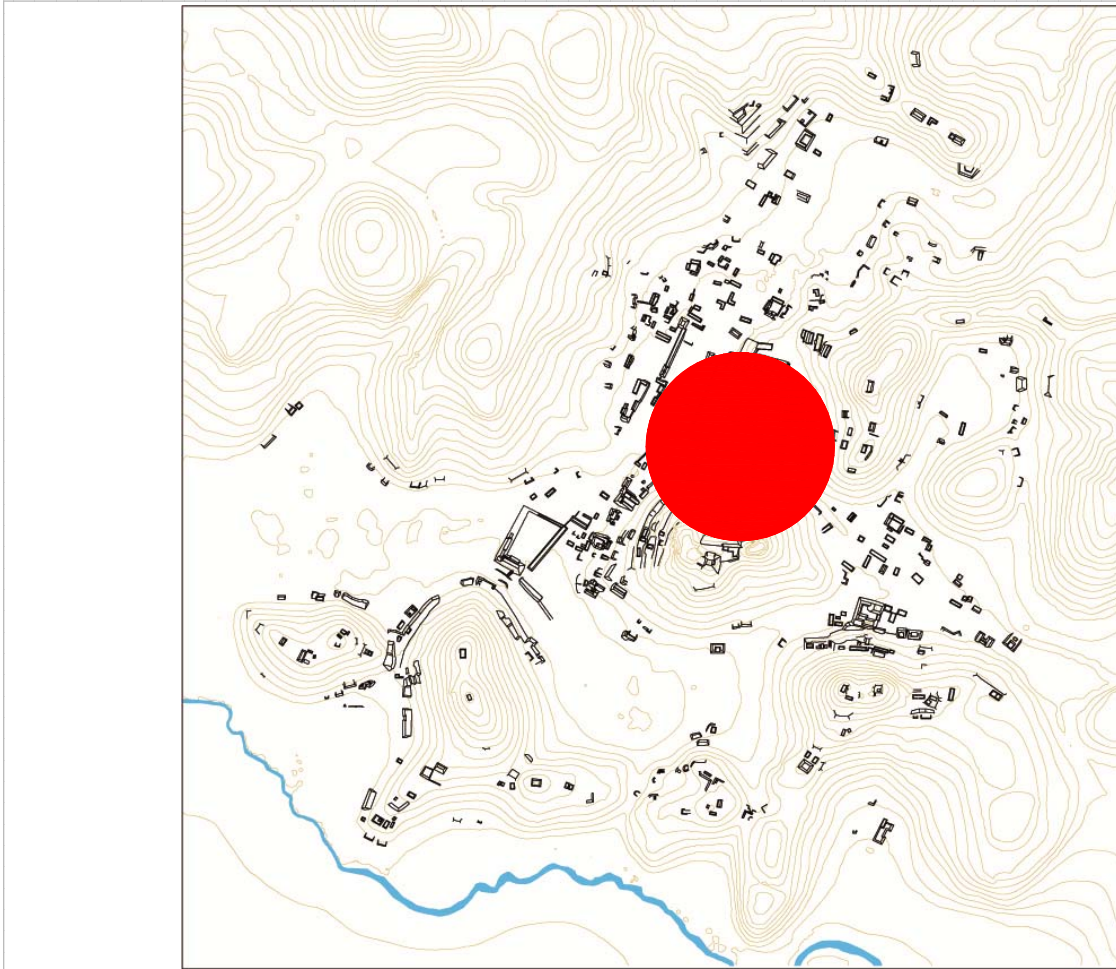
Estructuras de este Conjunto

Estructura	Área	Altura	Volumen	Tipo de estructura
A-1	746,46	Mts2 4,5	Mts 3359,07	Mts3 plataforma rectangular
A-10	346,48	Mts2 ,5	Mts 173,24	Mts3 plataforma en forma de L
A-11	582,4	Mts2 9,5	Mts 5532,8	Mts3 estructura piramidal
A-12	31,92	Mts2 1,5	Mts 47,88	Mts3 plataforma en forma de L
A-13	131,72	Mts2 3	Mts 395,16	Mts3 plataforma rectangular
A-14	1087,06	Mts2 ,5	Mts 543,53	Mts3 plataforma en forma de L

Observaciones

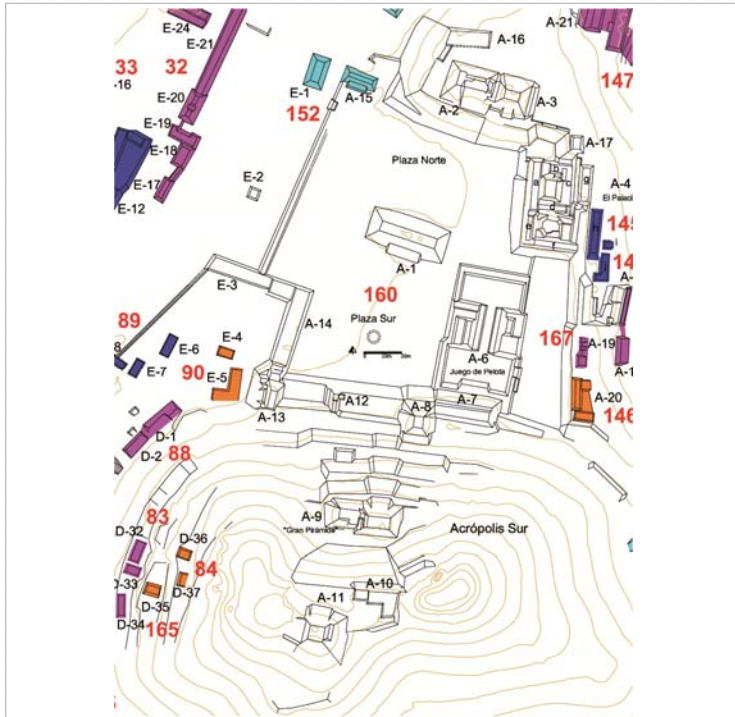
Este es el conjunto más particular de Chinikihá, ya que coincide con el Grupo Central-monumental. Por esta motivación se decidió definirlo como conjunto compuesto, ya que se constituye por más de 6 edificios alrededor de un espacio común (en este caso las dos plazas centrales, definidas por la presencia separadora de la estr. A-1). Las estructuras que pertenecen a este conjunto-grupo presentan todas características diferentes, vamos brevemente a elencar cada una de ellas con algunos de sus rasgos sobresalientes: Los "templos dobles" (A-2 y A-3) ocupan el límite norte del conjunto, alcanzando una altura de 14 mts arriba del nivel de plaza, aunque hay que enfatizar el prolongado saqueo de piedras al que fueron expuestos. En su lado sur hay una pequeña plaza ocupada por una plataforma baja (A-16). Al oeste se encuentra el complejo del palacio de Chinikihá,

Localización en el sitio



Mapa

Fotografía conjunto



Cédula de Conjunto arquitectónico

Sitio

Conjunto

Tipo de Conjunto

Emplazamiento

Preparación del terreno

N estructuras

Área espacio compartido/
espacio disponible (m2)

Existe una estructura sobresaliente

Nr. Estructura sobresaliente

Porque sobresale

Distancia mínima de otro conjunto (m)

Excavado

Operación(es)

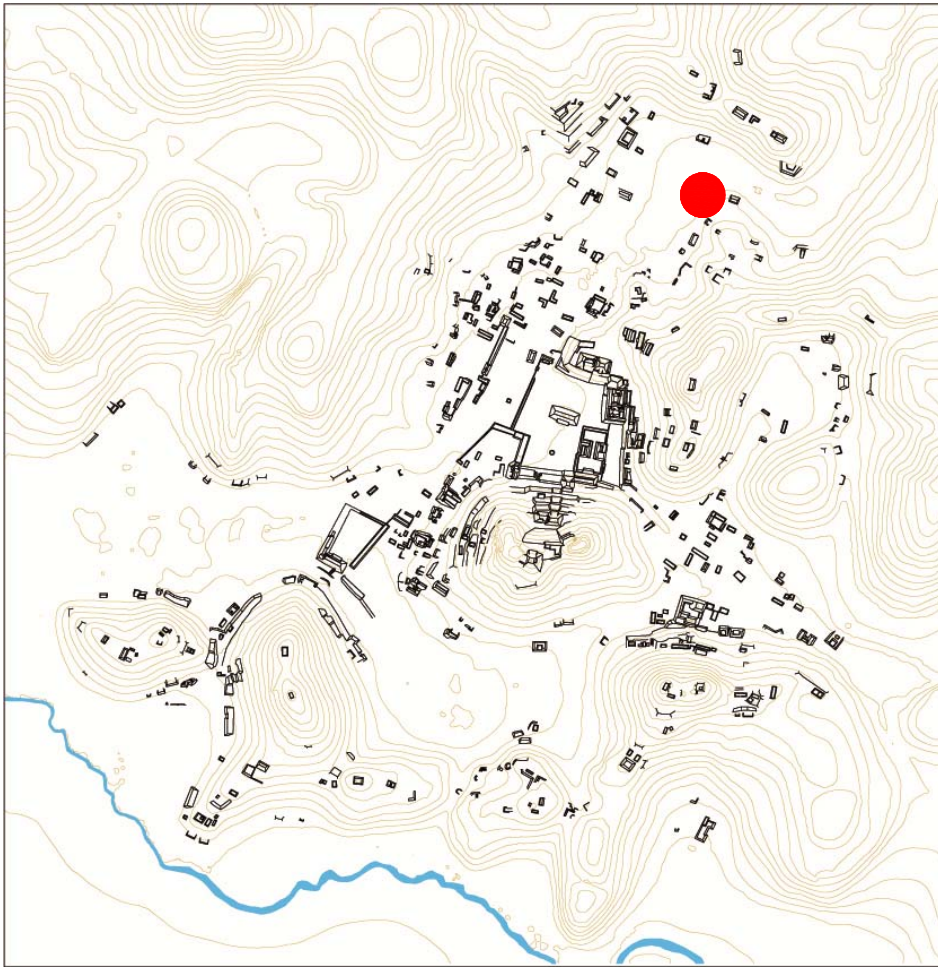
Estructuras de este Conjunto

Estructura	Área	Altura	Volumen	Tipo de estructura
H-1	58,14	Mts2 ,5	Mts 29,07	Mts3 plataforma rectangular

Observaciones

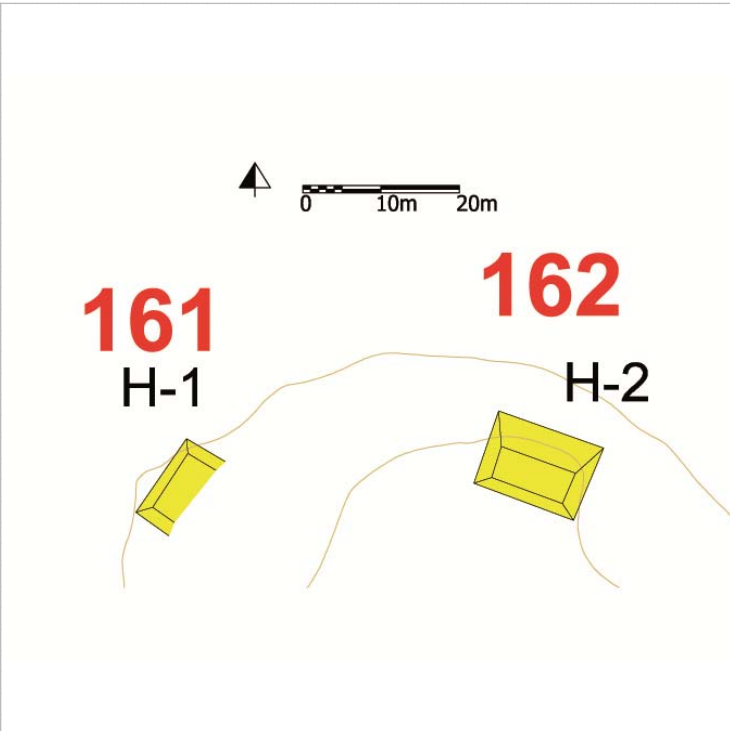
Se trata de una pequeña plataforma aislada casi al extremo norte del sitio de Chinikihá.

Localización en el sitio



Mapa

Fotografía conjunto



Cédula de Conjunto arquitectónico

Sitio Chinikihá

Conjunto CHK/H162

Tipo de Conjunto Aislada

Emplazamiento Pie de Monte

Preparación del terreno Nignuna

N estructuras 1

Área espacio compartido/
espacio disponible (m2)

Existe una estructura sobresaliente No Nr. Estructura sobresaliente No

Porque sobresale

Distancia mínima de otro conjunto (m) 35,58

Excavado Si Operación(es) 156

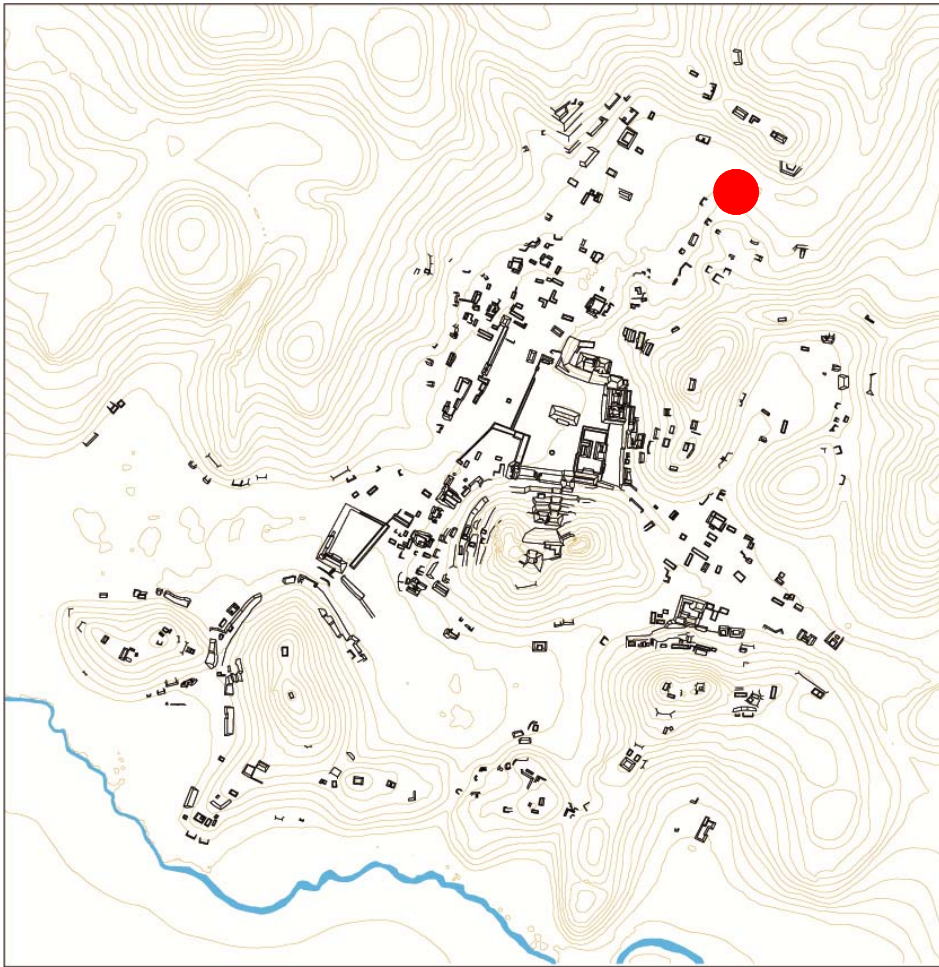
Estructuras de este Conjunto

Estructura	Área	Altura	Volumen	Tipo de estructura
H-2	91,8	Mts2 ,5	Mts 45,9	Mts3 plataforma rectangular

Observaciones

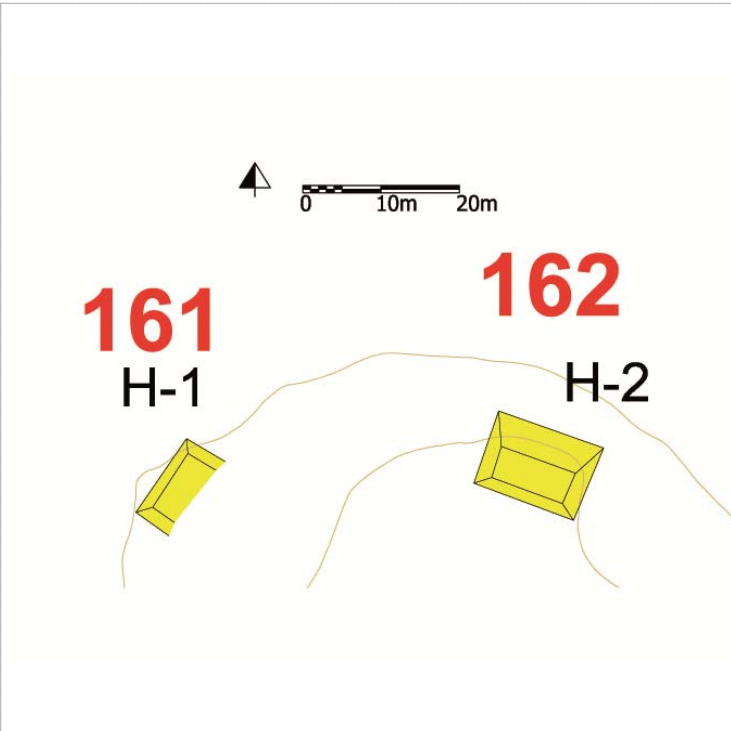
Si consideramos el lado Este de la carretera Chancalá-Penjamó, esta es la estructura que se encuentra más al Norte: se trata de una pequeña plataforma aislada.

Localización en el sitio



Mapa

Fotografía conjunto



Cédula de Conjunto arquitectónico

Sitio

Conjunto

Tipo de Conjunto

Emplazamiento

Preparación del terreno

N estructuras

Área espacio compartido/
espacio disponible (m2)

Existe una estructura sobresaliente Nr. Estructura sobresaliente

Porque sobresale

Distancia mínima de otro conjunto (m)

Excavado

Operación(es)

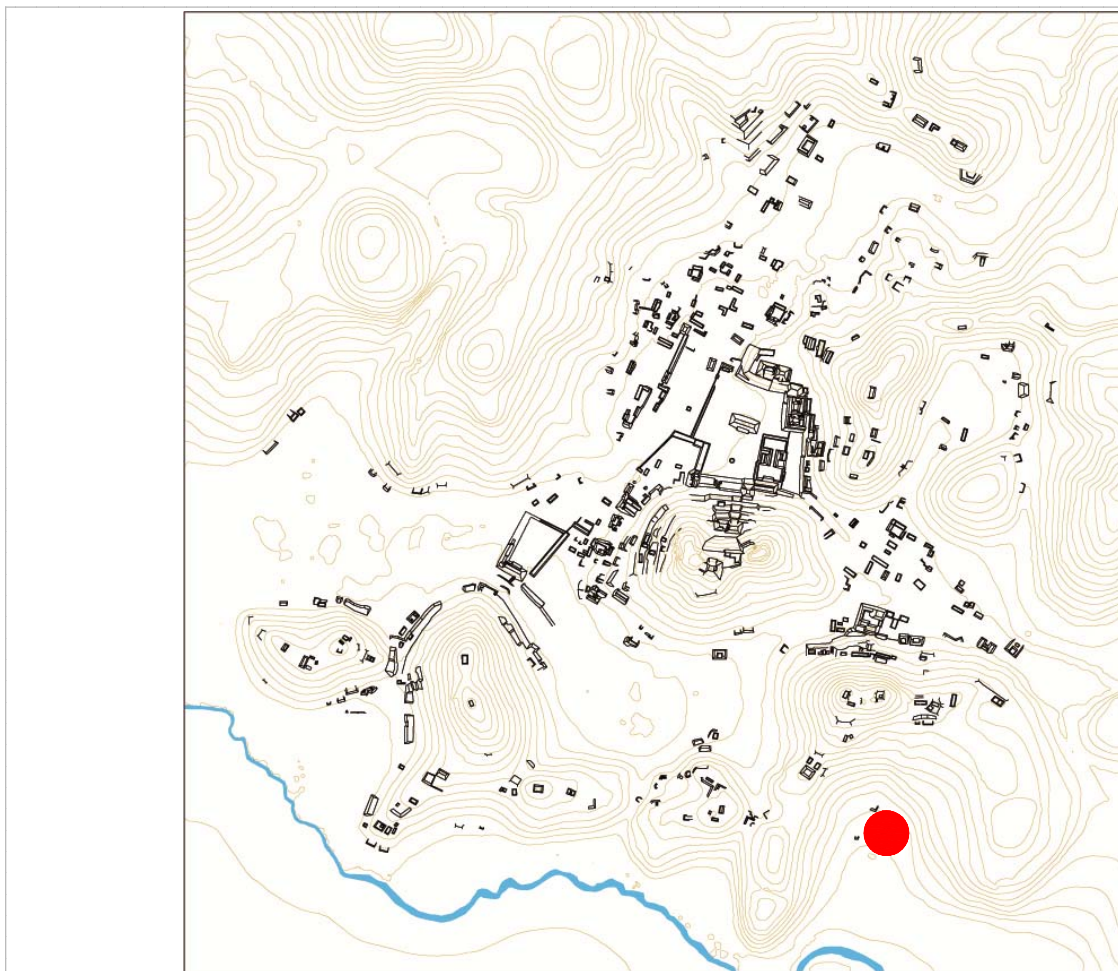
Estructuras de este Conjunto

Estructura	Área	Altura	Volumen	Tipo de estructura
L-17	560	Mts2 1,6	Mts 896	Mts3 plataforma en forma de C
L-17a	75,04	Mts2 ,4	Mts 30,016	Mts3 plataforma rectangular

Observaciones

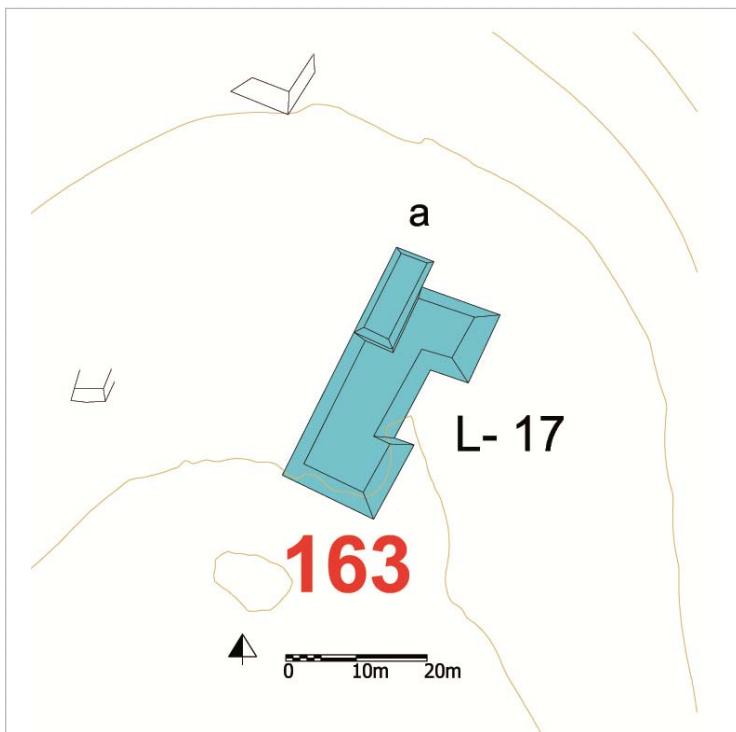
Se trata de dos plataformas cercanas, la L-17 en forma de C, la otra pegada a su frente noroeste; ocupa una pequeña planicie decrita por cerros por todos sus lados, a menos del sur, cercana a un quiebre del arroyo Chinikihá.

Localización en el sitio



Mapa

Fotografía conjunto



Cédula de Conjunto arquitectónico

Sitio Chinikihá

Conjunto CHK/J164

Tipo de Conjunto Aislada

Emplazamiento Planicie

Preparación del terreno Nignuna

N estructuras 1

Área espacio compartido/
espacio disponible (m2)

Existe una estructura sobresaliente No Nr. Estructura sobresaliente No

Porque sobresale

Distancia mínima de otro conjunto (m) 65,41

Excavado No

Operación(es)

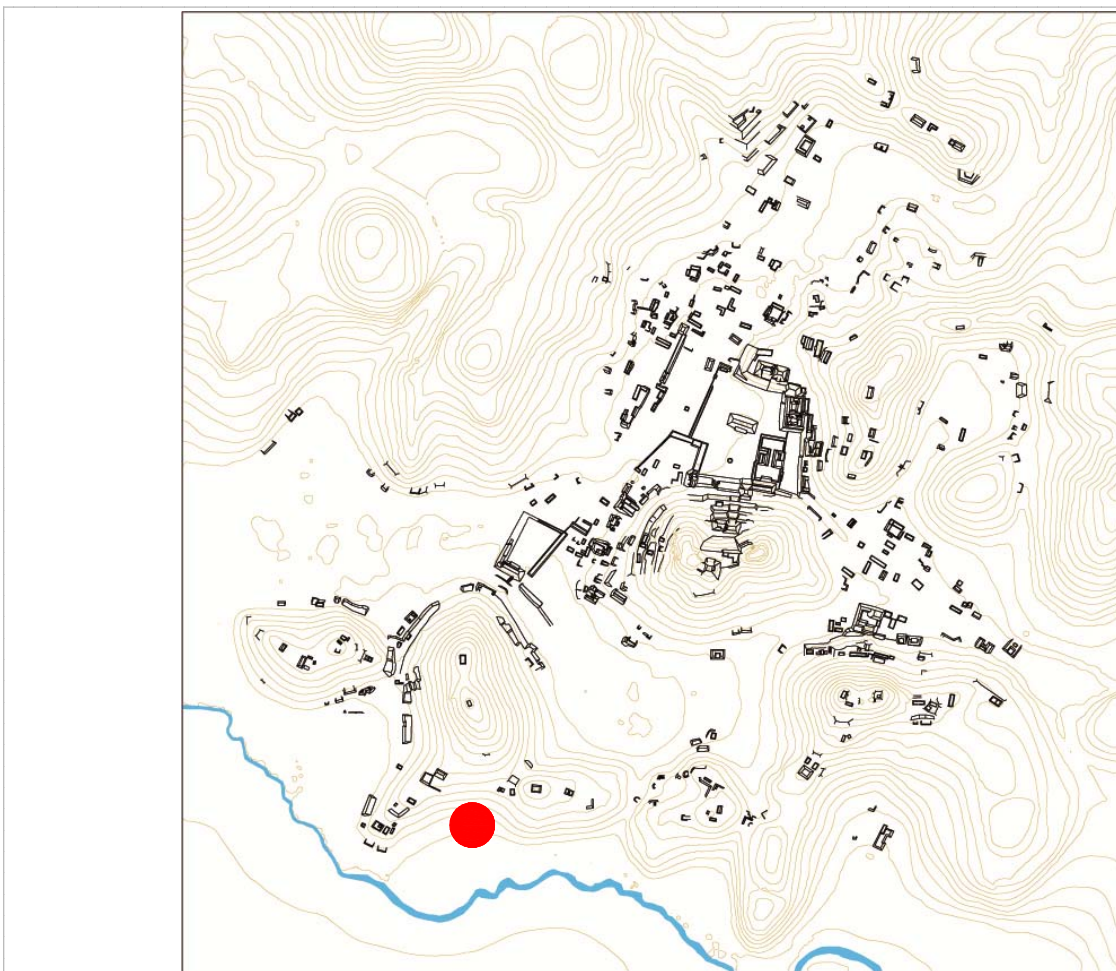
Estructuras de este Conjunto

Estructura	Área	Altura	Volumen	Tipo de estructura
J-53	10,03	Mts2 ,4	Mts 4,012	Mts3 plataforma rectangular

Observaciones

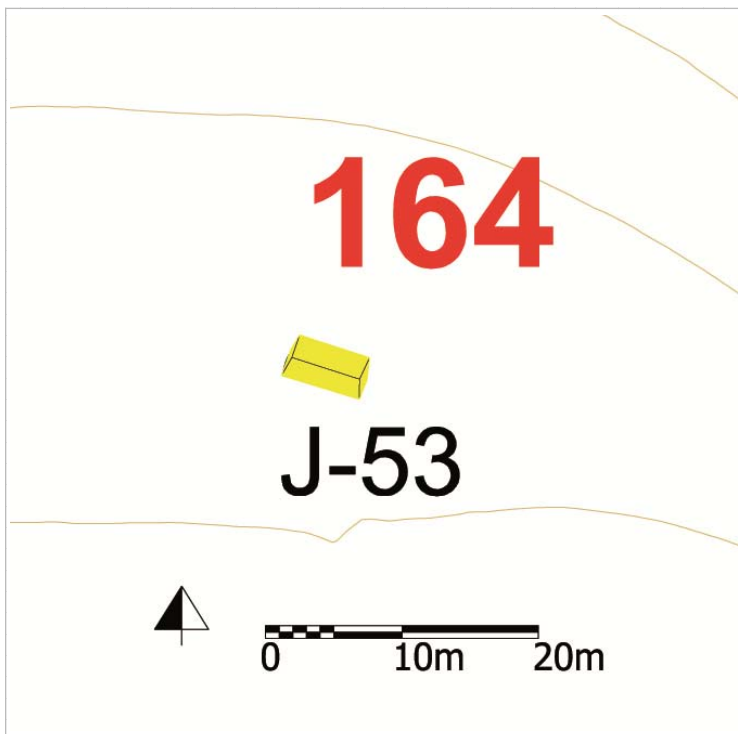
Se trata de una pequeña estructura aislada al suroeste del sitio, hacia el arroyo Chinikihá.

Localización en el sitio



Mapa

Fotografía conjunto

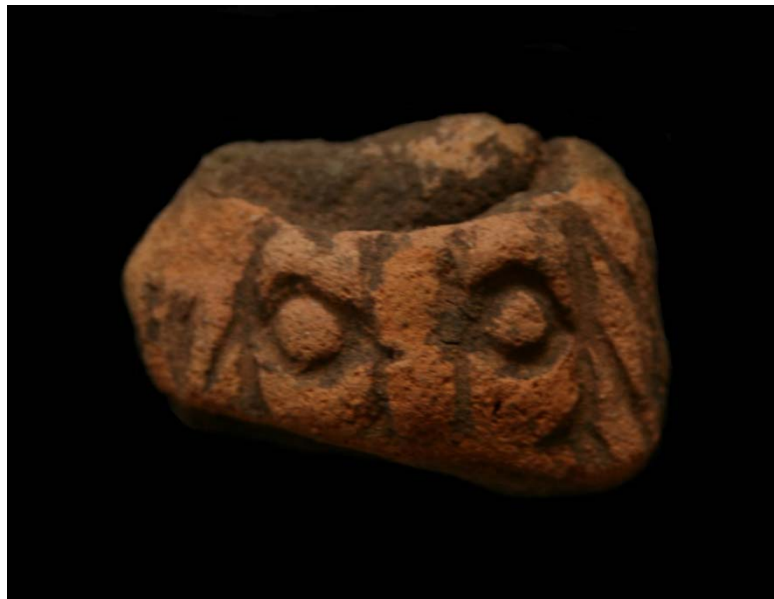


Universidad Autónoma de Yucatán.

Facultad de Ciencias Antropológicas

ANEXO 4

Informe preliminar del análisis descriptivo realizado a
las figurillas de Chinikihá, Chiapas



Br. Luz Marcela Vargas Roldán.

M.A. Erin L. Sears.

En el presente año se llevó a cabo el análisis de las figurillas recuperadas durante la temporada 2006 en un periodo entre los meses de junio y agosto en el laboratorio de la FCA-UADY. El análisis consistió en la identificación de las piezas, así como son la descripción de estas en cuanto a las características de su pasta (únicamente textura y color) y las dimensiones de las piezas. El resultado del análisis son los datos que se expondrán en este informe.

La muestra consiste en 154 fragmentos de figurillas, procedentes de 27 contextos diferentes, de los cuales la información de 3 no pudo ser identificada (debido a la pérdida de dicha información y uno que no la poseía), además de dos fragmentos que podrían considerarse como recolectados en superficie. De los 27 contextos, son cinco los que sobresalen por la cantidad de fragmentos que presentan, dichos contextos son (de mayor a menor cantidad) el denominado como CHK 1-2 con 67 fragmentos (43.51% del total de la muestra), el CHK 13-1 que presenta 18 fragmentos (11.69% de la muestra). Los contextos CHK 2-2 y CHK 3-1 con 11 fragmentos (7.14%) cada uno, y finalmente el contexto CHK 1-1 que posee 7 fragmentos (4.55%).

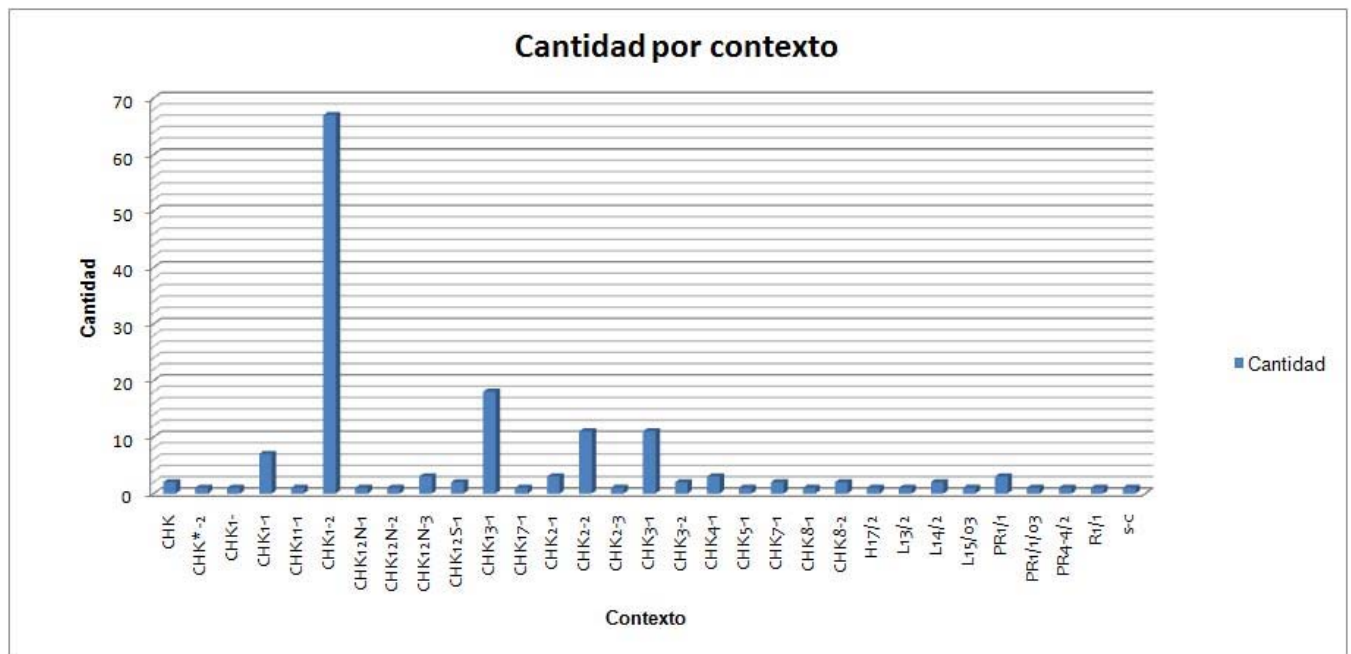


Figura. 1: gráfica que muestra la cantidad de figurillas encontrada en los diferentes contextos

Todos los contextos antes mencionados, pertenecen a pozos realizados en la estructura considerada como el palacio del sitio. En el caso de CHK 1-1 y CHK 1-2 corresponden a los pozos excavados en la parte posterior del palacio, en el pasillo que se encuentra entre los edificios del tercer nivel y la posible terraza de contención del cerro (Liendo: 2006). CHK 2-2 se encuentra “en el espacio interior de la última estructura de los edificios del tercer nivel del Palacio entre este espacio y la terraza al parecer de contención del lado este del complejo” (Liendo 2006: 18). El contexto CHK 3-1 abarca al menos en cuanto al material recuperado en la operación 3, realizada en el patio entre los edificios del tercer piso y en el corredor que se encuentra entre las estructuras y la terraza de contención en la parte de atrás del palacio, respectivamente (Liendo 2006). Finalmente, el contexto CHK 13-1 se encuentra en “la esquina noreste de la escalinata que da al palacio” (Liendo 2006:42)

El análisis realizado se dividió en varios aspectos: de la pasta se analizó el color y la textura; en cuanto a la primera característica, el análisis se realizó de modo superficial o donde alguna ruptura no intencional (hechas previas a su análisis) lo permitiera y con ayuda de un catálogo Munsell (**versión**); de este modo se distinguieron 6 colores, los cuales en la siguiente lista están nombrados primero por el nombre con que se describió en la base de datos, diferenciándolo del nombre que recibe del catálogo Munsell:

- Color beige: en el catálogo recibe el nombre “marrón muy pálido” (very pale Brown, 10 YR 8/3) se tomó como referencia a la CHF 001 y CHF 086.



Figura 2. Detalle del fragmento CHF 001

- Color naranja claro: en este caso se identificó un rango de color dentro del “amarillo rojizo” (reddish yellow, entre el 7.5 YR 7/6 y el 7.5 YR 8/6), tomando como referencia a las CHF 015, CHF 085 y CHF 039.



Figura 3. Detalle del fragmento CHF 039

- Color rojo: tomando como referencia a la CHF 092, se identificó como “rojo” (red 10 R 4/8) en el caso de las figurillas que presentan este color, su pasta presenta además similitudes con el grupo cerámico carbonato de calcio.



Figura 4. Detalle de la pieza CHF 092

- Color rojizo: en este caso se tomó como referencia a las CHF 031, y CHF 073; que presentaron un color “rojo” (red 10 YR 5/8) y un “rojo claro” (light red 2.5 YR 7/6), el color y las características de la pasta de las piezas con este color es similar al grupo cerámico carbonato de calcio.



Figura 5. Detalle de la pieza CHF073

- Gris verdoso: con referencia a la CHF 025 se describe en el catálogo Munsell como “marrón amarillento” (yellowish Brown 10 YR 5/4), identificado como núcleo de oxidación y presente (como el color de la pasta) en contados fragmentos, uno de los cuales fue tomado como referencia.



Figura 6. Detalle del fragmento CHF 025

En cuanto a la textura, se hizo una primera revisión visual tras la cual se procedió a una segunda con la finalidad de unificar los términos y plantear del modo más preciso posible diferentes rangos, y se trató de establecer un fragmento como referencia. De este modo se definieron cuatro rangos: “fino” se empleó para denotar que en el fragmento no se observan partículas ni dentro de la pasta o a nivel superficial, y se consideró como referencia posible la pieza con el código CHF 002.



Figura 7. Detalle del fragmento CHF002

Por “fino-mediano” se consideraron aquellas piezas en las cuales fuese posible apreciar escasas partículas en su superficie, considerando como referencia a la CHF 001; “mediana” es la textura que se consideró para las piezas en las cuales las partículas presentes en su superficie y principalmente dentro de la pasta son más abundantes –en comparación con el anterior-, en su mayoría de tamaño pequeño y de un tamaño más o menos uniforme, en este caso se tomaron como posibles referencias las piezas CHF 003 y CHF 004.



Figura 8. Detalle del fragmento CHF 003

Finalmente se consideró como “burdo” aquellas piezas que presentaran partículas de tamaños diversos (de modo particular 2 o más fragmentos grandes) en abundancia, como referencia se tomó a la CHF031.



Figura 9. Detalle del fragmento CHF 031

Al hacer el análisis de la cantidad de fragmentos que se podían agrupar dentro de los cuatro diferentes rangos presentados anteriormente, se pudo observar que el predominante es la textura mediana (64.29%), seguida por la fina-mediana (20.13%), la textura burda (9.74%) y finalmente aquellas consideradas como fina (5.84%).

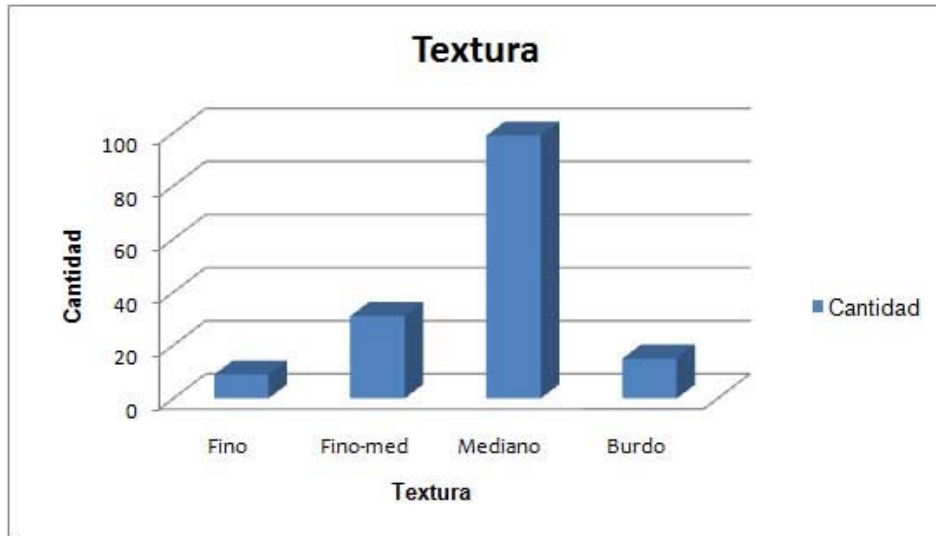


Figura.10 Gráfica que muestra los diferentes rangos de textura de la muestra y su frecuencia.

En cuanto a los motivos representados en la muestra, se realizó la descripción inicial de la pieza, distinguiendo entre varias categorías, dependiendo de sus características; siendo así:

- Antro: Se usó para designar aquellos en los que se tuvo una mayor certeza – torsos, cabezas- de que se tratara de figuras antropomorfas, en algunos casos pudo ser posible suponer si se trataba de un sujeto masculino o femenino (en el caso del fragmento CHF 030 incluso se consideró la posibilidad de que se tratara de un hombre anciano); de este modo CHF 086 se adscribe a esta categoría, ya que a pesar de tratarse de fragmentos que posiblemente corresponderían a las piernas, dado que se pudo suponer si se trataba de un individuo femenino, fue incluido en esta categoría.

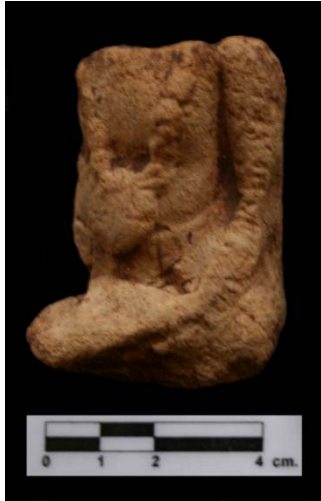


Figura 11. Fotografía del fragmento CHF 030

- Antro?: Se usó para designar de modo general las extremidades –brazos, piernas, pies, hombro-. Hay un caso particular que merece mención, dentro de esta categoría fue agrupado el fragmento CHF 001, correspondiente a un tocado, debido a que durante el análisis de la muestra se consideró posiblemente de un personaje femenino.



Figura 12. muestra diferentes perspectivas del fragmento CHF001



Figura 13. Muestra una mano derecha (?) con pulgar y dos dedos incisos sujetando un objeto. Corresponde al fragmento CHF 107.

- Aplicaciones: se designó dentro de este rango a los tocados, escudos, y aplicaciones en general. Los fragmentos que se consideraron tuvieran tocados, incluyendo aquellos que estaban agrupados dentro de otra categoría, fueron considerados para la parte estadística y estilística del análisis (de modo que la diferencia fue tan solo con fines claridad en la base de datos). Dentro de los tocados se tuvo entonces tan solo un total de 18 fragmentos (11.69% del total de la muestra), abarcando desde simples partes del tocado hasta cabezas completas, en su mayoría provenían del contexto CHK1-2 (44.44%), siendo los restantes del contexto CHK 13-1, CHK1-1 (con 27.27% cada uno), CHK8-2, L15/03, PR1/1/03 cada uno con el 5.56% y uno de contexto indeterminado debido a la falta parcial de información (5.56%).



Figura 14. a) cabello con tocado inciso en línea mediana b) Parte alta de tocado (?) en forma de abanico (CHF008). (CHF 081)



Figura 15. Diferentes vistas del fragmento CHKF110, mostrando tanto los motivos como la posible pintura azul.

- Artefactos: En esta categoría se agruparon a los fragmentos que se identificaron durante los análisis como pertenecientes a troncos, brazos de incensarios o silbatos. Dentro de esta categoría el mayor número de fragmentos representaban partes de tronco (ya que tanto de incensarios como de silbatos solo se encontró un fragmento cada uno).

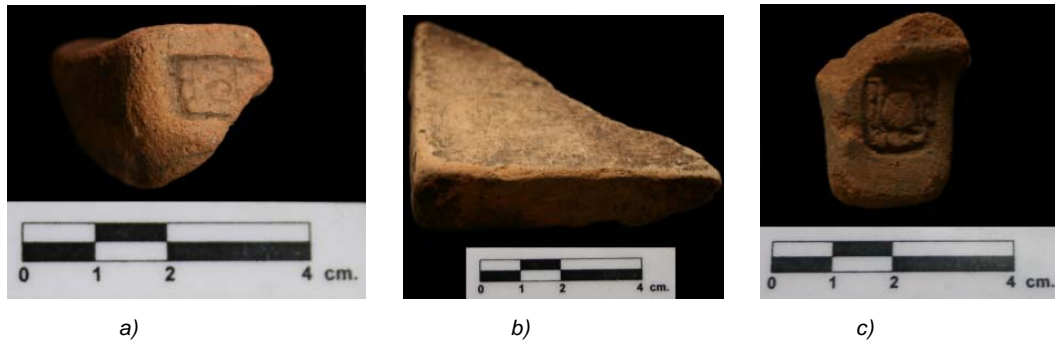


Figura 16. Diferentes estilos de trono a) trono con pseudoglifos (CHF 020) b) trono estilo Palenque (?) (CHF 039) c) trono estilo Jonuta (?) (CHF 040).

- Zoo: Se usó para las piezas que con mayor certeza se les pudo clasificar como zoomorfas. En este caso se trata hasta el momento de fragmentos pertenecientes a la cabeza (CHF013 y CHF 021 principalmente, y CHF 068), ojos (CHF 057), una oreja aparentemente como aplicación; las patas y parte del cuerpo (como en el caso de la CHF 073 que incluso fu considerada como posiblemente un perro), así como torsos de ave donde además se aprecia parte de las alas y en el caso de la CHF 067 donde en la que incluso hay una representación del torso del ave, con el pico y lo que podría ser una cuenta (¿jade?).

Figura 17. Figurillas consideradas dentro de la categoría Zoo:



a) cabeza, posiblemente jaguar (?) b) cabeza, posiblemente conejo (?) c) ojo



d) ave, torso con ala izquierda y derecha, pico y cuenta e) perro, parte izquierda y parte del tronco.

- Zoo?: Se designó al fragmento que por su forma fue imposible determinar con certeza si se trataba efectivamente de la parte superior de la cabeza de algún ser zoomorfo y el fragmento que no pudo determinarse si se trataba de una figura zoomorfa o de un enano posiblemente en cuclillas (CHF 003).



Figura 18. Posible zoomorfo o enano(?) corresponde al fragmento CHF 003

- Enano: Como enano se identificó solo un fragmento –no obstante hay otro fragmento, arriba mencionado, en el que hay la duda de si se trata de un ser zoomorfo o de un enano.



Figura 19. Fragmento CHK 047 que representa posiblemente a un enano de perfil izquierdo con el brazo y pierna doblados.

La frecuencia de los diferentes motivos descritos líneas arriba, puede observarse en la siguiente tabla, donde puede notarse como la categoría denominada como “indeterminados” (representan el 29.87% de la muestra) es la que más abunda en la muestra, seguida por “antro?” (con un 29.22%) y finalmente “antro” (representando un 24.03% de la muestra).



Figura 20. Muestra los diferentes motivos y su frecuencia dentro de la muestra.

A partir del estilo y la manufactura siendo ésta tanto modelada como moldeada de las figurillas identificadas, estas pertenecerían al clásico, según la propuesta de Rands y Rands (1965).



Figura 21. Muestra manufactura por moldeado del fragmento CHKF -, torso posiblemente antropomorfo (femenino?).

El estilo de las figurillas tiene semejanza con el que presentan las piezas descritas como estilo palenque, esta relación fue apreciada especialmente a partir de la identificación del tocado en tipo “corte escalonado” (Rands y Rands:1965; Robertson 1985: 30; Flores 2002: 428), además de “la extensión en la cabeza con un triángulo invertido impreso” (Flores, 2002: 428) reportado por Robertson (1985) como reservado para las mujeres, aunque Flores (2002) señala puede presentarse también en algunos casos donde la representación no es particularmente masculina. También encontramos puntos de coincidencia en aspectos como la ornamentación (en particular de una de las piezas antropomorfas) y la postura.

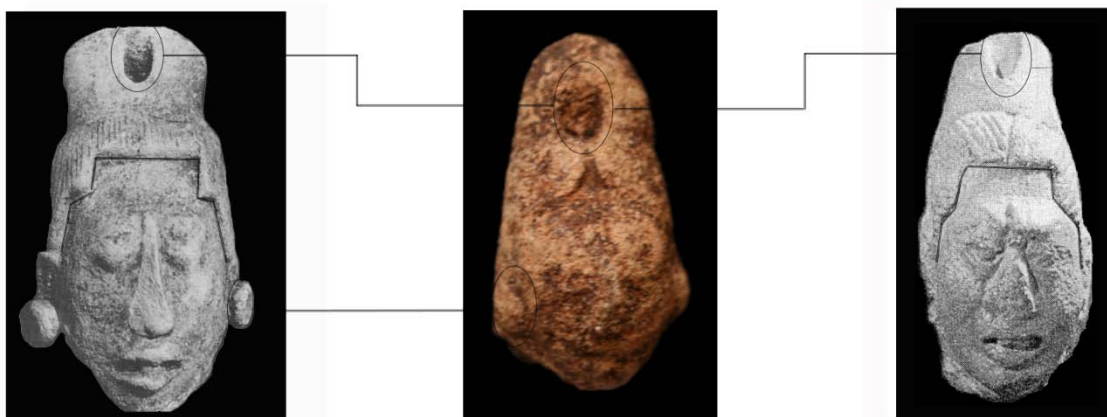


Figura 22. Comparación entre figurillas reportadas por Robertson (1985:3; en el extremo izquierdo), y por Goldstein (---:---; en el extremo derecho) con el fragmento CHKF 072 . Se acentúan la incisión central en la cabeza y el posible escalonado de CHKF 072, así como la orejera.

Otro punto de semejanza a considerar se encuentra en los troncos con pseudoglifos asociados por Rands y Rands (1965) a la costa de Campeche y el bajo Usumacinta, y por Flores (2002) al estilo Jonuta.

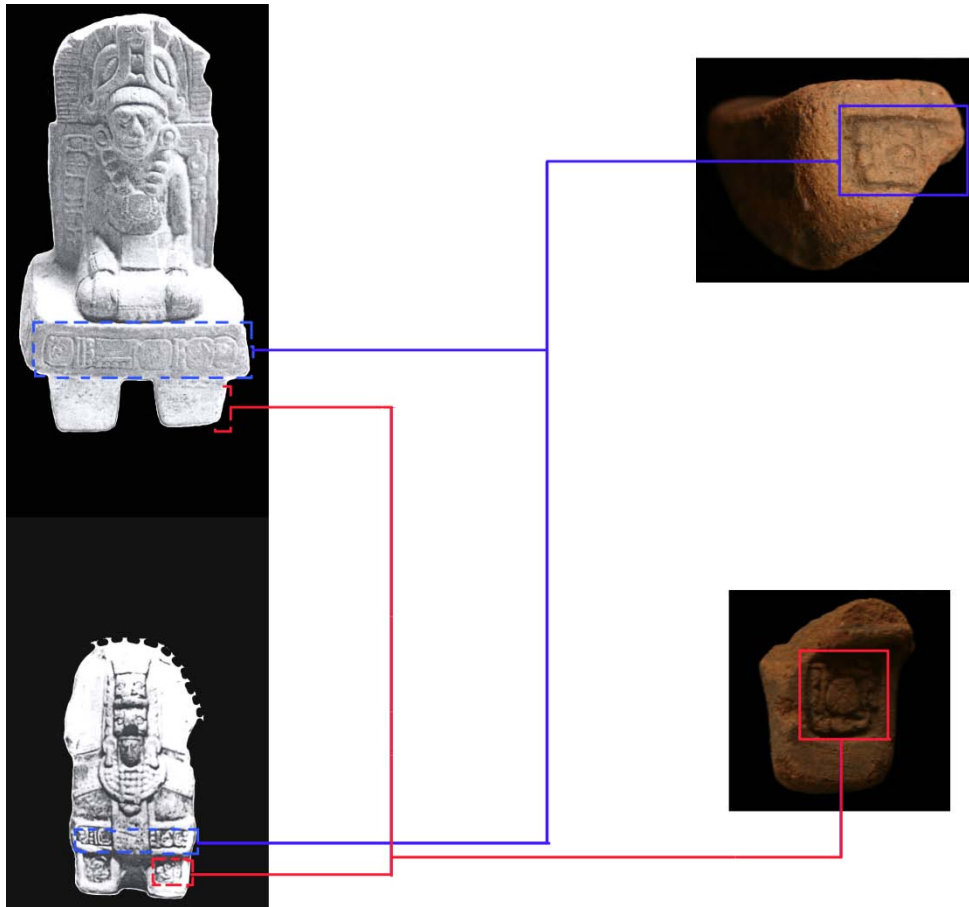


Figura 23. Muestra la comparación entre troncos con pseudoglifos reportados en ----- con los fragmentos CHF --- y CHF ---, respectivamente.

Finalmente, habría que señalar que las piezas además de ser pocas como para poder dar una idea más definida de motivos y manufactura predominante, se encontraban muy deterioradas, algo apreciable al ser la cantidad de fragmentos indeterminados mayor a la de cualquiera de los motivos apreciados en la muestra. De modo que será necesaria mayor investigación en el sitio, el análisis minucioso del material existente en otros sitios y la relación en el modo de manufactura y características de pasta para poder tener una comprensión más cercana a la sociedad que produjo esos artefactos, y las interrelaciones entre Chinikihá y otros sitios ahora desde la perspectiva de las figurillas, entre otros aspectos.

BIBLIOGRAFÍA

Adriano-Morán, C.

2000 *Estudio del Carbón Arqueológico como indicador de los cambios en la vegetación, en el valle de Teotihuacan, estado de México*. Tesis de Maestría, Facultad de Ciencias, Biología Vegetal. UNAM, México.

Adriano-Morán, C. y E. McClung

2008 Trees and shrubs: The use of wood in prehispanic Teotihuacan. *Journal of Archaeological Sciences* 35 (2008) 2927-2936.

Anaya, Hernandez, Armando,

2002 *The Pomoná Kingdom and its Hinterland*, Report Submitted to the Foundation for the Advancement of Mesoamerican Studies, Inc., Crystal River, Florida. Documento electrónico, www.famsi.org, accesado en Febrero 2010

Anaya, Hernandez, Armando,

2005 Strategic Location and Territorial Integrity: The Role of Subsidiary Sites in the Classic Maya Kingdoms of the Upper Usumacinta Region. Internet Archaeology, Issue 19. Documento electrónico. http://intarch.ac.uk/journal/issue19/anaya_toc.html , accesado en Febrero 2010.

Ashmore, Wendy, Edward M. Shortman, and Robert J. Sharer,

1983 Paper No. 8. The Quiriguá Project: 1979 Season, in *Quiriguá Reports, Volume II*, edited by Robert J. Sharer, Edward M. Shortman and Patricia A. Urban, pp: 55-78. University Museum Monograph 49. University of Pennsylvania Museum, Philadelphia.

Archila Montañañez, Sonia

2005 Arqueobotánica en la amazonía colombiana, un modelo etnográfico para el análisis de maderas carbonizadas. FIAN-UNIANDES-CESO, Bogotá.

Balée, W. y C.L.Erickson

2006 Time and Complexity in Historical Ecology: Studies in the Neotropical Lowlands. (Eds). Columbia University Press, New York, Pp. 433.

Balée, W.

1994 *Footprints of the Forest: Ka'apor Ethnobotany - the Historical Ecology of Plants Utilization by an Amazonian People*. New York: Colombia University Press.

Barajas-Morales, Josefina, Guillermo Ángeles Álvarez, y Patricia Solis Sánchez

1997 Anatomía de maderas de México: especies de una selva alta perennifolia I. Publicaciones Especiales 16, UNAM.126 Pp.

Barba, Luis, Agustín Ortiz y Jorge Blancas

2008 Estudios geofísicos en Chinikihá. Informe de Campo. En *Segundo Informe Parcial Proyecto Arqueológico Chinikihá Temporda 2008*, editado por Rodrigo Liendo Stuardo, UNAM, México.

Barrett, Jason W., and Thomas H. Guderjan,

2006 An Ancient Maya Dock and Dam at Blue Creek, Rio Hondo, Belize, *Latin American Antiquity* Vol.17, (2): 227-239

Beltrán, L.

1987 Subsistencia y Aprovechamiento del Medio. En *Cobá, Quintana Roo: Análisis de dos unidades habitacionales mayas del horizonte clásico*. L. Manzanilla (ed.), pp. 213-240. Arqueología Serie Antropológica, 82. IIA, UNAM, México.

Bianchini, G.

2008 *Fogo e Paisagem: evidências de práticas rituais e construção do ambiente a partir da análise antracológica de um sambaqui no litoral sul de Santa Catarina*. Dissertação de Mestrado em Arqueologia, Museu Nacional da Universidade Federal do Rio de Janeiro.

Bronson, B.

1966 Roots and the subsistence of the ancient Maya. *Southwestern Journal of Anthropology* 22: 251-279.

Campbell, D. G., A. Ford, K. Lowell, J. Walker, J. K. Lake, C. Ocampo-Raeder, A. Townesmith, y M. Balick.

2006 The Feral forests of the Eastern Petén. In: W. Balée y C. L. Erickson (Eds.). *Time and complexity in historical ecology*, pp. 21–55. Columbia University Press, New York.

Campiani, Arianna, Atasta Flores Esquivel y Javier López Mejía

2011 Topografía y espacio: el caso de Chinikihá, Chiapas, México. Ponencia presentada en el XXV Simposio de Investigaciones Arqueológicas en Guatemala, Ciudad de Guatemala

Campiani, Arianna

2009 La arquitectura de Chinikihá: Consideraciones preliminares. En *Segundo Informe Parcial, Proyecto Arqueológico Chinikihá, Temporada 2008*, editado por Rodrigo Liendo Stuardo, UNAM, México Consultable on-line en:

<http://www.mesoweb.com/resources/informes/Chinikiha2008.html>

Campiani, Arianna

2010 Los conjuntos y grupos arquitectónicos de Chinikihá. Estudio preliminar. En *Proyecto Arqueológico Chinikihá. Tercer Informe Parcial, Temporada 2010*, editado por Rodrigo Liendo Stuardo, UNAM, México

Cosultable on-line en:

<http://www.mesoweb.com/resources/informes/Chinikiha2010.html>

Canter, Ronald L., and Dave Pentecost,

2007 Rocks, Rope, and Maya Boats; Stone Bollards at Ancient Waterfronts Along the Rio Usumacinta: Yaxchilan, Mexico to El Provenir, Guatemala. *The PARI Journal*, Vol. 8, No. 3: 4-16

Chabal, L.

1997 *Forêts et sociétés en Languedoc (Néolithique final, Antiquité tardive): L'antracologie, méthode et paléoécologie*. Documents d'Archéologie Française. Vol.63, Paris.

Cook, D.E.

2005 Records of Ancient Human-Environmental Interaction from Mayan Southern Petén, Guatemala, Report Submitted to the Foundation for the Advancement of Mesoamerican Studies, Inc., Crystal River, Florida, Documento eletrônico,

www.famsi.org, accesado en Febrero 2010

Culbert, P. T. y Rands, R. L.

2007 Multiple Classifications: An Alternative Approach to the Investigation of Maya Ceramics, En *Latin American Antiquity*, Volumen 18, Número 2.

Davis, Simon J.,

1987 *The Archaeology of Animals*. Yale University Press, New heaven, 218 pp.

Demarest, Arthur, Brent Woodfill, Tomás Barrientos, Mirza Monterroso y Federico Fahsen

2007 La ruta Altiplano-Tierras Bajas del Occidente y el surgimiento y caída de la civilización Maya del Clásico. *XX Simposio de Investigaciones Arqueológicas en Guatemala, 2006*, editado por P. Laporte, B. Arroyo y H. Mejía, Museo Nacional de Arqueología y Etnología, Guatemala, pp. 19-47.

Consultable on-line en: <http://asociaciontikal.com/simposio.php?id=27>

Digital Globe

2008 Imagen de Satélite en *Google Earth*, altitud 764m, tomada el 21 de Mayo de 2003, coordenadas centro de la foto 658272.04E – 1924374.31N zona 15Q, Datum WGS84.

Digital Globe

2011 Google Imágenes, Digital Globe, Geo Eye, Cnes / Spot Image.

Domínguez-Vásquez, Gabriela y Gerald Alexander Islebe

2008 Protracted drought during the late Holocene in the Lacandon rain forest. *Veget. Hist. Archaeobot.* (17): 327-333.

Emery, Kitty F.,

2001 *Informe Zooarqueológico 2000: Utilización de Animales por la Élite de Piedras Negras. Proyecto Arqueológico Piedras Negras: Informe preliminar No. 4*, cuarta Temporada, 2000. Editado por Héctor Escobedo y Stephen D. Houston, pp. 559- 566. Instituto de Antropología e Historia, Guatemala.

Fedick, S.

2010 The Maya Forest: Destroyed or Cultivated by the ancient Maya? *PNAS*. 107 (3): 953-954.

Flores Esquivel, Atasta, Javier López Mejía y Arianna Campiani

2009 Levantamiento Topográfico en el Sitio de Chinikihá, Chiapas (mayo-julio de 2008). En *Segundo Informe Parcial, Proyecto Arqueológico Chinikihá, Temporada 2008*, editado por Rodrigo Liendo Stuardo, UNAM, México

Consultable on-line en: <http://www.mesoweb.com/resources/informes/Chinikihá2008.html>

Ford, Anabel

2008 Dominant plants of the Maya forest and gardens of El Pilar: Implications for paleoenvironmental reconstructions: *Journal of Ethnobiology*. 28(2): 179-199.

Golden Charles, and Andrew Sherer,

2006 Border Problems: Recent Archaeological Research along the Usumacinta River. *The PARI Journal*, Vol.7, No. 2: 1-16

Gómez-Pompa, A.

1987 On Maya Silvicultura. *Mexican Studies / Estudios Mexicanos*. 3(1):1-17. University of California Press, UNAM.

Guerrero, Belem,

2008 *Evidencias arqueológicas del uso de fauna en Palenque y Tenam Puente, Chiapas* en Memoria de la Quinta Mesa Redonda de Palenque, Rodrigo Liendo Stuardo coordinador, 41-67 pp.

Herrera, Luis Fernanda y Ligia Estela Urrego (eds.)

1996 Atlas de polen de plantas útiles y cultivadas de la Amazonia colombiana. Fundacion Erigae. Tropembos Colombia. Estudios en la Amazonia colombiana, Volumen XI. 462pp.

Keller, Angela,

2006 *Roads to the Center. The Design, Use and Meaning of the Roads of Xunantunich*, Belize. PhD Dissertation, Anthropology Dept. University of Pennsylvania, (digital version)

Instituto de Estadística, Geografía e Informática (INEGI) 1983 *Carta Topográfica E15 D35 Tenosique*, INEGI. 1990 *Carta Topográfica E15 D35 Tenosique de Pino Suarez*, INEGI.

Lentz, D.

1991 Maya Diets of the Rich and Poor: Paleoethnobotanical Evidence from Copán. *Latin American Antiquity* 2(3): 269-287.

- Lentz, D.
2000 *Imperfect Balance: Landscape Transformations in the Precolumbian Americas*. Columbia University Press, New York.
- Lentz, D., M. Beaudry-Corbett, M. De Aguilar, L. Kaplan
1996 Foodstuffs, Forests, Fields, and Shelter: A Paleoethnobotanical Analysis of Vessel Contents from the Cerén Site, El Salvador. *Latin American Antiquity* 7(3): 247-262.
- Lentz, D.L., y R. Dickau
2005 Seeds from Central America and Southern Mexico. The economic species. *Memoirs of the New York Botanical Garden*. Vol. 91. 296 pp.
- Lentz, D.L., y B. Hockaday
2009 Tikal timbers and temples: ancient maya agroforestry and the end of time. *Journal of Archaeological Science*. 36 (7): 1342–1353.
- Liendo Stuardo, Rodrigo
2008 *Proyecto Arqueológico Chinikihá, Temporada 2006. Informe de Actividades*. UNAM-IIA. Reporte entregado al INAH, México, D.F. Versión electrónica en línea:
<http://www.famsi.org/reports/06007es/index.html>
- Liendo Stuardo, Rodrigo (comp.)
2009 *Segundo Informe Parcial, Proyecto Arqueológico Chinikihá, Temporada 2008*. UNAM-IIA. Reporte entregado al INAH, México, D.F. Versión electrónica en línea:
<http://www.mesoweb.com/resources/informes/Chinikiha2008.html>
- Liendo Stuardo, Rodrigo (comp.)
2010 *Proyecto Arqueológico Chinikihá, Tercer Informe Parcial, Temporada 2010*. UNAM-IIA. Reporte entregado al INAH, México, D.F. Versión electrónica en línea:
<http://www.mesoweb.com/resources/informes/Chinikiha2010.html>
- Liendo Stuardo, Rodrigo (edt.)
2011 *B'aakal. Arqueología de la región de Palenque, Chiapas, México, Temporadas 1996-2006*. Paris Monographs in American Archaeology, vol. 26, BAR International Series 2203
- López Mejía, Javier, Atasta Flores Esquivel y Arianna Campiani
2010 Levantamiento Topográfico en los Sitios Chinikihá, Chiapas y Boca Chinikihá, Tabasco (Enero - Marzo de 2010). *Proyecto Arqueológico Chinikihá. Tercer Informe Parcial, Temporada 2010*, editado por Rodrigo Liendo Stuardo, UNAM, México. Cosultable on-line en:
<http://www.mesoweb.com/resources/informes/Chinikiha2010.html>
- Madella, Marco, Alix H. Powers-Jones and Martin K. Jones
1998 A simple method of extraction of Opal Phytoliths from sediments using a non-toxic heavy liquid. *Journal of Archaeological Science*. 25:801-803.
- Maestri, Nicoletta
2010 Primera Temporada de Excavaciones en el Sitio de Boca Chinikihá: Resultados Preliminares. En *Proyecto Arqueológico Chinikihá. Tercer Informe Parcial. Temporada 2010*, editado por Rodrigo Liendo Suardo.
- Martínez – Yrizar, D.
2007 *Subsistencia mixta en el montículo 20b, La Campana-Santa Cruz Atizapán, Estado de México*. Tesis de Maestría, UNAM, México. 165 p.

- McKillop, H.
1994 Ancient Maya Tree Cropping. *Ancient Mesoamerica*. 5:129-140.
- McNeil, C., D.A. Burney, y L. Pigott Burney
2010 Evidence disputing deforestation as the cause for the collapse of the ancient Maya polity of Copan, Honduras. *PNAS*.107 (3)1017-1022.
- Miksicek, C. H.,
2000 (1983) Macrofloral Remains of the Pulltrouser Area: Settlements and Fields. In *Pulltrouser swamp. Ancient Maya habitat, agricultural and settlement in northern Belize*. B.L. Turner II and Peter D. Harrison.(ed.), pp. 94-104. The University of Utah Press. Salt Lake City.
- Montero López, Coral,
2008 *Infiriendo el contexto de los restos faunísticos a través de la Tafonomía: el análisis de un basurero doméstico asociado Palacio de Chinikiha, Chiapas*. Tesis de Maestría en Antropología, Facultad de Filosofía y Letras, UNAM, México, 202 pp.
- Morcote-Ríos, Gaspar
2008 *Antiguos habitantes en ríos de aguas negras, ecosistemas y cultivos en el Interfluvio Amazonas-Putumayo Colombia-Brasil*. Instituto de Ciencias Naturales, Facultad de Ciencias, Universidad Nacional de Colombia. 242 pp.
- Morehart, C.T., D.L. Lentz y K.M. Prufer
2005 Wood of the Gods: The ritual use of pine (*Pinus* spp.) by the ancient Lowland Maya. *Latin American Antiquity* 16: 255-274.
- Nigh, Ronald
2010 Trees, fire and farmers: making Woods and soil in the maya Forest. *Journal of Ethnobiology* 28(2):231-243.
- Nuñez Enriquez, Luis F.
2010 Actividades realizadas en el conjunto F. Enero-Marzo 2010. En *Proyecto Arqueológico Chinikihá. Tercer Informe Parcial Temporada 2010*, editado por Rodrigo Liendo Stuardo, UNAM, México
Cosultable on-line en:
<http://www.mesoweb.com/resources/informes/Chinikiha2010.html>
- Ortiz, Gabriel,
2011 Calculadora de Estimación de la Declinación Magnética [en línea], <<http://www.gabrielortiz.com/>> [Consulta: 20 Abril 2011]
- Pagán Jiménez, J.
2007 *De antiguos pueblos y culturas botánicas en el Puerto Rico indígena*. BAR International Series.
- Palacios Chávez, Rodolfo, Beatriz Ludlow-Wiechers,y Rogel Villanueva G.,
1991 Flora Palinologica de la reserva de la biosfera de Sian Ka'an, Quintana Roo, Mexico CIQRO. Centro de Investigaciones de Quintana Roo. 321 pp.
- Pennington, Terrence D. y José Sarukhán
2005 (1968) *Árboles tropicales de México, manual para la identificación de las principales especies*. Ediciones científicas universitarias, Serie texto científico Universitario, UNAM, FCE, México.523 pp.
- Peters, C.
2000 Precolumbian Silviculture and Indigenous Management of Neotropical Forests. In *Imperfect Balance: Landscape*

Transformations in the Precolumbian Americas. D. Lentz (ed.), pp. 203-223. Columbia University Press, New York.

Pring, Duncan, and Norman Hammond,

1975 Investigation of a possible port installation at Nohmul. In *Archaeology in Northern Belize: British Museum-Cambridge University Corozal Project: 1974-1975 Interim Report*, pp: 117-131. Edited by Norman Hammond. Center for Latin American Studies, Cambridge University, England.

Puleston, D. E.,

1968 *Brosimum alicastrum* as a Subsistence Alternative for the Classic Maya of the Central Southern Low-lands. Unpublished Master's thesis, Department of Anthropology, University of Pennsylvania, Philadelphia.

Rands, Robert L.

1967 Ceramic Technology and Trade in the Palenque Region. En: *American Historical Anthropology*. Editado por: C.L. Riley y W. W. Taylor. Pp 137-151. Carbondale.

1967b Cerámica de la Region de Palenque. En: *Estudios de Cultura Maya* 6:112-147

1973 The Classic Maya Collapse: Usumacinta Zone and the Northwest Periphery. En: *The Classic Maya Collapse*. Editado por: T. P. Culbert, pp. 165-206. School of American Research, Albuquerque.

1974 The Ceramic Sequence at Palenque, Chiapas. En: *Mesoamerican Archaeology: New Approaches*. Editado por: N. Hammond, pp. 51-75. Duckworth, London.

Reitz, Elizabeth J. y Elizabeth S. Wing,

1999 *Zooarchaeology*. Cambridge University Press, Cambridge, 559 pp.

Roosevelt, A.

2000 The Lower Amazon: A dynamic human habitat. In *Imperfect Balance: Landscape Transformations in the Precolumbian Americas*. D. Lentz (ed.). Columbia University Press, New York.

Ross, N. y T.F. Rangel,

2010 Ancient Maya Agroforestry Echoing Through Spatial Relationships in the Extant Forest of NW Belize. *Biotropica*. (42) 4: 1-8.

Ross, Nanci J.,

2011 Modern tree species composition reflects ancient maya "forest gardens" in northwest Belize. *Ecological Applications* 21(1): 75-84.

Scheel-Ybert, R.,

2004 Teoria e Método em Antracologia. I: Considerações teóricas e perspectivas. *Arquivos do Museu Nacional* 62 (1): 3-14.

Sheets, P., D. Lentz, C. C. Dixon, G. Maloof, A. P. Tetlow, A. Hood,

2009 *Proyecto Agricultura Maya al Sur de Joya de Cerén, El Salvador, Temporada 2009*. Pp 135.
www.colorado.edu/.../projects/.../PROYECTOAGRICULTURAMAYAALSURDEJOYADECEREN.pdf (consultado nov. 2009).

Silva de la Mora Flavio y Esteban Mirón Marván

2009 "Recorrido de Superficie del Valle de Lindavista y Sondeo en la región de Palenque-Lindavista" en *Segundo Informe Parcial Proyecto Arqueológico Chinikihá Temporada 2008*, Director Rodrigo Liendo Stuardo, Informe presentado al consejo de arqueología, p 221 - 321.

Silva de la Mora, Flavio G.,

2008 *Sicix Bähih, caminos en las Tierras Bajas Noroccidentales. Una propuesta de rutas de comunicación.* Tesis de licenciatura inédita. Escuela Nacional de Antropología e Historia, México D.F.

Siemens, Alfred H., J.A. S. Graham. R. Hedba, and M. Heimo,
2002 "Dams" on the Candelaria. *Ancient Mesoamerica* 13: 115-123

Toledo, V.M.,
2002 Ethnoecology: a conceptual framework for the study of indigenous knowledge of nature. En *Ethnobiology and Biocultural Diversity*. J.R. Stepp et al. (ed.), pp. 511-522. International Society of Ethnobiology, Georgia.

Turner II, B.L., y C. Miksicek,
1984 Economic Plant Species Associated with Prehistoric Agriculture in the Maya Lowlands. *Economic Botany* 38 (2): 179-193.

Turner, B. L., and W.C. Johnson,
1979 A Maya Dam in the Copan Valley, Honduras. *American Antiquity* 44: 299-305.

Wyatt, A.,
2008 Pine as an element of household refuse in the fertilization of ancient maya agricultural fields. *Journal of Ethnobiology* 28 (2): 244-258.

Google

2011 Google Maps [en línea], <<http://www.maps.google.es/>> [Consulta: 22 Abril 2011]